BnF Gallica

Comptes rendus hebdomadaires des séances de l'Académie des sciences / publiés... par MM. les secrétaires perpétuels

Source gallica.bnf.fr / Bibliothèque nationale de France

{BnF Gallica

Académie des sciences (France). Auteur du texte. Comptes rendus hebdomadaires des séances de l'Académie des sciences / publiés... par MM. les secrétaires perpétuels. 1952-07.

1/ Les contenus accessibles sur le site Gallica sont pour la plupart des reproductions numériques d'oeuvres tombées dans le domaine public provenant des collections de la BnF. Leur réutilisation s'inscrit dans le cadre de la loi n°78-753 du 17 juillet 1978 :
- La réutilisation non commerciale de ces contenus ou dans le cadre d'une publication académique ou scientifique est libre et gratuite dans le respect de la législation en vigueur et notamment du maintien de la mention de source des contenus telle que précisée ci-après : « Source gallica.bnf.fr / Bibliothèque nationale de France » ou « Source gallica.bnf.fr / BnF ».
- La réutilisation commerciale de ces contenus est payante et fait l'objet d'une licence. Est entendue par réutilisation commerciale la revente de contenus sous forme de produits élaborés ou de fourniture de service ou toute autre réutilisation des contenus générant directement des revenus : publication vendue (à l'exception des ouvrages académiques ou scientifiques), une exposition, une production audiovisuelle, un service ou un produit payant, un support à vocation promotionnelle etc.

CLIQUER ICI POUR ACCÉDER AUX TARIFS ET À LA LICENCE

2/ Les contenus de Gallica sont la propriété de la BnF au sens de l'article L.2112-1 du code général de la propriété des personnes publiques.

3/ Quelques contenus sont soumis à un régime de réutilisation particulier. Il s'agit :

- des reproductions de documents protégés par un droit d'auteur appartenant à un tiers. Ces documents ne peuvent être réutilisés, sauf dans le cadre de la copie privée, sans l'autorisation préalable du titulaire des droits.
- des reproductions de documents conservés dans les bibliothèques ou autres institutions partenaires. Ceux-ci sont signalés par la mention Source gallica.BnF.fr / Bibliothèque municipale de ... (ou autre partenaire). L'utilisateur est invité à s'informer auprès de ces bibliothèques de leurs conditions de réutilisation.

4/ Gallica constitue une base de données, dont la BnF est le producteur, protégée au sens des articles L341-1 et suivants du code de la propriété intellectuelle.

5/ Les présentes conditions d'utilisation des contenus de Gallica sont régies par la loi française. En cas de réutilisation prévue dans un autre pays, il appartient à chaque utilisateur de vérifier la conformité de son projet avec le droit de ce pays.

6/ L'utilisateur s'engage à respecter les présentes conditions d'utilisation ainsi que la législation en vigueur, notamment en matière de propriété intellectuelle. En cas de non respect de ces dispositions, il est notamment passible d'une amende prévue par la loi du 17 juillet 1978.

7/ Pour obtenir un document de Gallica en haute définition, contacter **utilisation.commerciale@bnf.fr**.

droite l, $A \cap l$ est fermé dans la topologie naturelle de l, il s'appelle *linéairement borné* (l. b.), si $A \cap l$ est toujours contenu dans un segment borné. La *clôture linéaire forte de* A (c. l. A) est définie comme $\cap F(A \subseteq F, A \text{ l. f.})$. [Cette clôture correspond à la « core topology » de V. L. Klee Jr. (2).]

7. Si E, F sont des corps convexes linéairement fermé et linéairement borné, convexe (E, F) peut être non linéairement fermé. Exemple : soit $\{e_n\}$ un système orthonormal et complet d'un espace réel, séparable et complet de Hilbert. Soit $\mu_n > 0$, $\Sigma_{n=1}^{\infty} \mu_n < +\infty$. Posons $x'_n = e_1 - 1/n \cdot e_2 + \Sigma \mu_i e_i$, $x''_n = -e_i - 1/n \cdot e_2 - \Sigma \mu_i e_i$ $(i = 3, 4, \ldots, n; n = 3, 4, \ldots)$. Posons

$$A' = \text{conv}(x'_3, x'_4, \ldots), \qquad A'' = (x''_3, x''_4, \ldots),$$

et définissons $E' = \text{conv}(S + e_1 - 2e_2; A')$, $E'' = \text{conv}(S - e_1 - 2e_2; A')$, où S est la sphère fermée de rayon 1, centrée en θ. Posons $V = \text{var}(e_1, e_2, \ldots)$. Les ensembles $E = V \cap E'$, $F = V \cap E''$ ont la propriété désirée.

8. Si E, F sont des corps convexes l. b., $\text{conv}(E, F)$ peut être non linéairement borné. Pour prouver ceci, signalons le lemme : Soit L un espace abstrait, L', W deux sous-variétés linéaires d'un espace complet $\mathfrak{H}$ de Hilbert, tels que L et L' soient algébriquement isomorphes et L' partout dense dans $\mathfrak{H}$. Soit $S' = \{x \mid 1 \geq \|x\|\}$. [L'image D isomorphe de $D' = (W + S) \cap L'$ est un corps convexe dans L]. Pour que D soit linéairement borné il faut et il suffit que $\overline{W} \cap L' = (\theta)$. (Remarquons que $\mathfrak{H}$ peut être remplacé par un espace de Banach). Soit maintenant $\{e(\alpha)\}$ une base de Hamel de L et considérons comme un système orthonormal et complet de $\mathfrak{H}$, ($\mathfrak{H}$ est l'espace « hilbertisé » de L). Soit $p = \Sigma_\alpha \lambda_\alpha e(\alpha)$ où $p \in \mathfrak{H}$, mais $p \overline{\in} L$. Soit $p' = 2\lambda_1 e(1) - p$; soient W, W' des sous-variétés de $\mathfrak{H}$ telles que $p \in W$, $p' \in W'$, $\overline{W} \cap L = (\theta)$, $\overline{W'} \cap L = (\theta)$, par exemple W, W' peuvent être des droites. En vertu du lemme $E = (W + S) \cap L$, $F = (W' + S) \cap L$ sont des corps convexes linéairement bornés, mais $G = \text{conv}(E, F)$ n'est pas linéairement borné, parce que $\text{ray}[\theta, e(1), \rightarrow] \in G$. Géométriquement E, F résultent de S par « translations » dans des directions n'existant pas dans L.

MÉCANIQUE DES FLUIDES. — *Oscillations amorties d'une sphère dans un fluide visqueux.* Note (*) de M. **Jacques Valensi** et Mlle **Claire Clarion**, présentée par M. Joseph Pérès.

La théorie de Stokes relative au mouvement du pendule à sphère est précisée et complétée dans le cas d'oscillations d'amplitude finie, grâce à l'emploi de paramètres de similitude et en utilisant les résultats de l'expérience.

Les expressions théoriques données par O. E. Meyer pour la pulsation ω et

(2) *Duke Math. J.* 18, 1951, p. 443-466.

(*) Séance du 27 octobre 1952.

Source gallica.bnf.fr / Bibliothèque nationale de France

l'amortissement λ dans le mouvement libre d'une sphère oscillant au sein d'un fluide visqueux et rappelée à sa position d'équilibre par une force élastique linéaire sont bien connues. On peut les simplifier notablement en introduisant la pulsation ω_p que prendrait la sphère dans un fluide parfait de même masse spécifique que le fluide réel.

On fait ainsi apparaître dans les expressions de ω/ω_p et de λ/ω_p deux paramètres de similitude $\mathfrak{S}$ et m dont l'un $\mathfrak{S}$ est essentiel.

On a $\mathfrak{S} = R^2\omega_p/\nu$ et $m^2 = 1 + 2\rho'/\rho$, avec R le rayon de la sphère, ρ' sa masse spécifique, ρ et ν la masse spécifique et le coefficient de viscosité cinématique du fluide.

Pour m supérieur à 2 et $\mathfrak{S}$ supérieur à 100, $(1/2)\,(\lambda/\omega)$ et λ^2/ω^2 sont négligeables devant 1 et $(\omega/\omega_p)^{1/2}$ peut être confondu sans erreur sensible avec 1.

Les expressions de O. E. Meyer peuvent alors très simplement se déduire d'une équation différentielle du deuxième ordre à coefficients constants qui s'écrit

$$(1) \qquad (M + M')\ddot{x} + f_1\dot{x} + kx = 0$$

avec M la masse oscillante et avec pour M' et f_1 des expressions tirées de celles données par Stokes et Lamb pour la masse hydrodynamique et le coefficient d'amortissement et déduites de l'intégration des équations de Navier-Stokes en négligeant les termes non linéaires.

Ces expressions s'écrivent :

$$(2) \qquad M' = \rho V\left(\frac{1}{2} + \frac{9}{2\sqrt{2}}\mathfrak{S}^{-\frac{1}{2}}\right),$$

$$(3) \qquad f_1 = \frac{9}{2\sqrt{2}}\rho V\omega_p\left[\mathfrak{S}^{-\frac{1}{2}} + \sqrt{2}\,\mathfrak{S}^{-1}\right].$$

Les mesures que nous avons effectuées avec des sphères de différent rayon, oscillant dans des liquides de différente viscosité montrent que dans le domaine exploré caractérisé par $2 < m < 3$ et $20 < \mathfrak{S} \leq 50000$, les résultats théoriques représentent bien des phénomènes réels, pourvu que l'on se limite au cas des oscillations d'amplitude infiniment petite.

Dans le cas d'oscillations d'amplitude finie, les expériences montrent que pour un R, un $\mathfrak{S}$ et un m donnés, le quotient $0_n = (A_n - A_{n+1})/(x_n - x_{n+1})$ avec $A_n = x_n/x_{n+1}$ (x_n et x_{n+1} étant deux élongations maxima successives d'un même côté), est indépendant de n.

Il y a lieu de penser, dans ces conditions en se basant sur les calculs de Kryloff et Bogoliuboff, que dans le cas d'oscillations finies, l'équation différentielle représentant très approximativement les phénomènes réels sera obtenue en ajoutant au premier membre de l'équation (1) un terme supplémentaire $f_2|\dot{x}|\dot{x}$.

L'intégration approchée de l'équation ainsi modifiée qui est licite dans le domaine exploré permet de trouver par comparaison avec l'expérience l'expression semi-empirique de f_2 qui s'écrit :

$$f_2 \simeq 0{,}177\,\frac{\rho V}{R}\,\frac{m^2+\dfrac{9}{\sqrt{2}}\,\mathfrak{S}^{-\frac{1}{2}}}{m\mathfrak{S}^{\frac{1}{2}}}. \tag{4}$$

D'ailleurs dans le domaine exploré ω/ω_p garde l'expression déduite du calcul de Meyer, tandis que le λ/ω_p de Meyer correspond à l'amortissement pour les oscillations d'amplitude infiniment petite.

Enfin on constate que lorsque $\mathfrak{S}$ augmente, $M'/\rho V$ tend asymptotiquement vers la valeur 1/2 correspondant au fluide parfait.

Il est intéressant de comparer, pour un m donné et pour différentes valeurs de $\mathfrak{S}$ et de l'élongation, l'importance relative des modules des termes en $\dot{x}$ et $\dot{x}^2$ de l'équation modifiée.

MÉCANIQUE DES FLUIDES. — *Limitation des gradients, et de leur dérivée logarithmique dans les ondes de choc, par les formules de Chapman.* Note (*) de M. **Serge Travers**, présentée par M. Joseph Pérès.

Appliquées à l'écoulement unidimentionnel supersonique, les formules publiées par Chapman en 1939 pour l'anisotropie de pression et le flux de chaleur dans un gaz monoatomique non uniforme, limitent par rapport à la vitesse quadratique moyenne et au libre parcours moyen, le gradient maximum dans la discontinuité principale, et la dérivée logarithmique du gradient à l'entrée d'une onde de choc intense.

1° Appelons T la température absolue correspondant conventionnellement à la vitesse quadratique moyenne C, p la pression, ρ la densité, χ la conductibilité calorifique et η la viscosité correspondant à T, u la vitesse d'écoulement suivant l'axe x dirigé vers l'intérieur de l'onde de célérité U et de grand nombre de Mach M, q le flux négatif de chaleur, $(p_n - p)$ l'anisotropie positive de pression. Les conditions de permanence pour la fonction de répartition des vitesses d'agitation moléculaire donnent (1) approximativement : q comme la somme du terme classique $-\chi(d\mathrm{T}/dx)$, de termes en $(\eta^2/\rho\mathrm{T})(d\mathrm{T}/dx)(du/dx)$ et $(\eta^2/\rho u)(du/dx)^2$, et de termes en $-(\eta^2/\rho\mathrm{T})u(d^2\mathrm{T}/dx^2)$ et $(\eta^2/\rho)(d^2u/dx^2)$; $(p_n - p)$ comme la somme du terme classique $-(4/3)\eta(du/dx)$, de termes en $(\eta^2/p)(du/dx)^2$ et $(\eta^2/\rho\mathrm{T}^2)(d\mathrm{T}/dx)^2$, et de termes en $(\eta^2/p)u(d^2u/dx^2)$ et $(\eta^2/\rho\mathrm{T})(d^2\mathrm{T}/dx^2)$.

Contrairement à la plupart des auteurs (2), et à Chapman lui-même, nous

(*) Séance du 3 novembre 1952.

(1) Chapman et Cowling, *Mathematical Theory of non uniform Gases*, 1939, p. 265.

(2) Notamment Herpin, *Théorie générale des ondes de choc* (*Mémorial de l'Artillerie française*, 1952, p. 892).

ne ferons pas disparaître préalablement, de q la dérivée seconde (d^2T/dx^2) et de (p_n-p) la dérivée seconde (d^2u/dx^2), par des transformations valables seulement pour les écoulements quasi isentropiques, non pour les ondes intenses en cause ici.

2° Dans la discontinuité principale, au gradient maximum, la dérivée seconde correspondante est nulle, et l'autre négligeable, les maxima de gradients de température et de vitesse s'écartant peu, comme ma thèse (3) l'a montré.

Écrivons $(p_n-p)/p=-(4/3)(\eta\,du/p\,dx)+K(\eta\,du/p\,dx)^2$, K étant voisin de 3. L'anisotropie relative $(p_n-p)/p$ est nécessairement inférieure à 2 dans un gaz, donc $\eta\,du/p\,dx$ est nécessairement limité.

En posant $l=(3\eta/\rho C)$, $(\eta/p)=(l/C)$, l est voisin d'un libre parcours moyen, et du/dx ne peut guère dépasser $0,4(C/l)$ dans les ondes intenses, où tous les gaz se compriment d'abord comme s'il étaient monoatomiques, de façon à ce que l'anisotropie relative de pression ne dépasse guère l'unité. La dérivée logarithmique de la température doit rester inférieure à l'inverse de l.

3° A l'entrée de l'onde, là où $[M^2(p_n-p)/p]<1$, les gradients, proportionnels comme les variations à une même fonction exponentielle, sont très faibles, mais ont même dérivée logarithmique finie $1/i$.

Les produits et carrés des dérivées premières sont négligeables, mais la somme des termes aux dérivées secondes peut l'emporter sur le terme classique du gradient.

Suivant les formules de Chapman, un rapport acceptable des variations de température et de volume rend positives les sommes des termes aux dérivées secondes, d'une part pour $-q$, d'autre part pour (p_n-p).

Appelons τ le rapport, très grand comme M^2, de $(T-T_0)/T_0$ à $1-\omega=(U-u)/U$,

$$p_n-p\sim\frac{4}{3}\frac{\eta^2U}{p}\frac{d^2u}{dx^2}+\frac{2\eta^2}{\rho T}\frac{d^2T}{dx^2}=\frac{4}{3}\frac{\eta^2U}{p}\frac{d^2u}{dx^2}\left[1-\frac{9\tau}{10M^2}\right].$$

Comme $U(d^2u/dx^2)<0$ et $p_n-p>0$, il faut que τ soit supérieur à $10M^2/9$ tout en étant inférieur à $15M^2/9$ (tangente à l'origine de la parabole).

$$q\sim-5,6\frac{\eta^2}{\rho T}\frac{d^2T}{dx^2}+\frac{2\eta^2}{\rho}\frac{d^2u}{dx^2}=-5,6\frac{\eta^2}{\rho T}\frac{d^2T}{dx^2}\left(1+\frac{0,35}{\tau}\right)\sim-5,6\frac{\eta^2}{\rho T}\frac{d^2T}{dx^2}.$$

La conservation de l'énergie donne avec

$$c\Delta T\sim-\frac{q}{\rho_0U},\qquad ci^2\rho_0^2T_0=5,6\eta^2,\qquad 2cT_0=C^2,\qquad 2l^2=\frac{9i^2}{5,6},\qquad l^2\sim0,8i^2.$$

(3) Travers, *Thèse*, Paris, 1951; *Mémorial de l'Artillerie française*, 1951; Eyrolles, 1952.

La valeur de τ doit conserver la quantité de mouvement

$$(p_n - p) + (p - p_0) = \rho_0 U^2 (1 - \omega)$$

$$-\frac{4}{3}\frac{\tau_i^2}{p} U \frac{d^2 u}{dx^2}\left(\frac{9}{10}\frac{\tau}{M^2} - 1\right) + p_0\left\{\frac{T - T_0}{T_0} + (1 - \omega)\right\} = p_0 U^2 (1 - \omega)$$

$$\frac{4}{3}\frac{l^2}{i^2}\frac{U^2}{C^2}\left(\frac{9}{10}\frac{\tau}{M^2} - 1\right) + \tau + 1 = \frac{5}{3} M^2, \qquad \tau \sim 1{,}47\, M^2 < \frac{15}{9} M^2.$$

4° En employant les valeurs ainsi trouvées $(9\tau/10M^2 - 1) \backsim 0{,}35$ et $i \backsim 1{,}1\, l$ pour $M > 10$, le rapport de la somme des termes aux dérivées secondes au terme classique se trouve voisin de $0{,}2\,M$ pour $(p_n - p)$ et de M pour q. Quand $M \to 30$, le terme classique devient donc négligeable à l'entrée de l'onde, et c'est la somme des termes aux dérivées secondes qui limite la dérivée logarithmique $1/i$ au voisinage de l'inverse d'un libre parcours moyen.

5° Physiquement, la validité d'une formule de Chapman reste douteuse quand les dérivées secondes y sont prépondérantes. Mais nous venons de montrer que l'application ne présente pas de difficulté mathématique dans la discontinuité principale ou même au départ. Si Zoller (4) a trouvé dans la discontinuité principale pour $M > 5$ des termes correctifs décuples des termes classiques, et non environ égaux, ce serait par une méprise équivalant à un emploi injustifié des valeurs initiales des coefficients, valeurs beaucoup trop faibles pour la température de la discontinuité. Les anomalies signalées par cet auteur à l'entrée des ondes de $M > 1{,}3$ proviennent sans doute de l'emploi pour q d'une formule assez différente de celle publiée par Chapman en 1939, pour rendre incompatibles au départ une conductibilité efficace positive et une viscosité efficace positive.

AÉROTECHNIQUE. — *Applications nouvelles de l'anémomètre à fil chaud.* Note de M. **Gottfried Dätwyler**, présentée par M. Théodore de Kármán.

La sensibilité d'un fil chaud (sans pertes de chaleur aux supports par conduction métallique) aux fluctuations $\sqrt{\overline{u^2}}$ de la vitesse U de l'air est donnée par (1)

$$\varepsilon_U = \left(\frac{\partial E}{\partial U}\right)_I = \frac{I \alpha_0 R_0}{U\left(\frac{1}{\frac{\nu_m}{b}} - \frac{1}{n}\left[\frac{1}{\frac{\lambda_m}{a}} + \frac{\frac{1}{\alpha_0} + l_a}{\left(\frac{1}{\alpha_0} + t\right)(t - t_a)}\right]\right)}.$$

La sensibilité aux fluctuations $\sqrt{\overline{t^2}}$ de la température t_a de l'air est obtenue

(4) *Zur Struktur des Verdichtungsstosses* (*Z. Physik*, 130, 1951, p. 21-22).

(1) *Comptes rendus*, 229, 1949, p. 977.

par différentiation partielle de l'expression du bilan thermique du fil chaud par rapport à la température t_a de l'air, soit

$$\varepsilon_t = \left(\frac{\partial E}{\partial t_a}\right)_1 = 1\,\alpha_0 R_0 \frac{1-(t-t_a)\left(\frac{1}{\frac{\lambda_m}{a}}-\frac{n}{\frac{\nu_m}{b}}\right)}{1+(t-t_a)\left(\frac{1}{\frac{\lambda_m}{a}}-\frac{n}{\frac{\nu_m}{b}}-\frac{1}{\frac{1}{\alpha_0}+t}\right)}.$$

Avec ces expressions les problèmes suivants peuvent être étudiés.

1° La mesure de la turbulence cinématique peut être falsifiée par la présence d'une turbulence thermique.

De la tension fluctuante moyenne totale de l'anémomètre

$$\sqrt{\overline{e^2}} = \sqrt{\varepsilon_U^2\,\overline{u^2} + \varepsilon_t^2\,\overline{t^2} + 2\,\varepsilon_U \varepsilon_t\,\overline{ut}}$$

est évaluée la turbulence cinématique par division par ε_U, donc

$$u^* = \sqrt{\overline{u^2} + \left(\frac{\varepsilon_t}{\varepsilon_U}\right)^2 \overline{t^2} + 2\,\frac{\varepsilon_t}{\varepsilon_U}\,\overline{ut}}$$

ou, en introduisant la corrélation k

$$u^* = \sqrt{\overline{u^2} + \left(\frac{\varepsilon_t}{\varepsilon_U}\right)^2 \overline{t^2} + 2k\,\frac{\varepsilon_t}{\varepsilon_U}\sqrt{\overline{u^2}}\sqrt{\overline{t^2}}}.$$

On a

$$\frac{\varepsilon_t}{\varepsilon_U} = U\,\frac{\left[1-(t-t_a)\left(\frac{1}{\frac{\lambda_m}{a}}-\frac{n}{\frac{\nu_m}{b}}\right)\right]\left[\frac{1}{\frac{\nu_m}{b}}-\frac{1}{n}\left(\frac{1}{\frac{\lambda_m}{a}}+\frac{\frac{1}{\alpha_0}+t_a}{\left(\frac{1}{\alpha_0}+t\right)(t-t_a)}\right)\right]}{1+(t-t_a)\left(\frac{1}{\frac{\lambda_m}{a}}-\frac{n}{\frac{\nu_m}{b}}-\frac{1}{\frac{1}{\alpha_0}+t}\right)}$$

$$= U.\vartheta \sim \frac{-U}{n(t-t_a)}$$

approximation pour les cas $(t-t_a) \to 0$, mais valable tout généralement si $(t-t_a) < 400°C$.

Donc

$$u^* = \sqrt{\overline{u^2} + U^2\vartheta^2\,\overline{t^2} + 2kU\vartheta\sqrt{\overline{u^2}}\sqrt{\overline{t^2}}}.$$

La valeur correcte serait $\sqrt{\overline{u^2}}$. Le rapport entre les deux, avec

$$\frac{\sqrt{\overline{u^2}}}{U} = u', \qquad \text{est} \quad \frac{u^*}{\sqrt{\overline{u^2}}} = \sqrt{1+\vartheta^2\,\frac{\overline{t^2}}{u'^2}+2k\vartheta\,\frac{\sqrt{\overline{t^2}}}{u'}}.$$

En présence de fluctuations thermiques la turbulence cinématique mesurée sera donc fonction de la température du fil chaud, donc fonction du courant

de chauffage de ce dernier, et différera de la valeur correcte excepté sous condition que

$$|\Im| = \frac{2ku'}{\sqrt{t^2}} \sim \frac{1}{n(t-t_a)}.$$

2° Il a été proposé (²) d'utiliser l'indication du minimum de la turbulence thermique par le fil chaud pour déterminer si un thermomètre à résistance sous forme dudit fil chaud dans un écoulement à température élevée t_a possède exactement cette température moyenne. Le chauffage de la sonde dans ce cas est nécessaire pour compenser ses pertes de chaleur par rayonnement, etc.

Ici la tension fluctuante moyenne totale de l'anémomètre est évaluée comme étant l'effet des fluctuations thermiques seules, c'est-à-dire elle est divisée par ε_t, ce qui donne

$$t^* = \sqrt{\left(\frac{\varepsilon_U}{\varepsilon_t}\right)^2 \overline{u^2} + \overline{t^2} + 2k\frac{\varepsilon_U}{\varepsilon_t}\sqrt{\overline{u^2}}\sqrt{\overline{t^2}}}.$$

Puisque $t \to t_a$, $(t - t_a) = \delta \to 0$, on a

$$\frac{\varepsilon_U}{\varepsilon_t} \sim \frac{-n\delta}{U} \to 0,$$

et

$$t^* = \sqrt{(n\delta)^2 u'^2 + \overline{t^2} - 2kn\,\delta u'\sqrt{\overline{t^2}}}$$

qui a un minimum pour la valeur

$$\delta = \frac{\sqrt{\overline{t^2}}}{u'}\frac{k}{n}$$

égale à zéro seulement sous condition que $k = 0$ ou $\overline{t^2} = 0$.

La proposition citée ci-dessus est donc à préciser correspondamment.

MÉCANIQUE PHYSIQUE. — *Influence des phénomènes de fatigue sur le module d'élasticité des aciers.* Note de MM. **André Kovacs** et **Pierre Laurent**, présentée par M. Pierre Chevenard.

Divers auteurs (¹) ont montré que la flèche prise par une éprouvette soumise à un essai de flexion rotative ou alternée, varie avec le nombre de cycles. Ce résultat paraît indiquer une variation du module d'élasticité; une méthode pour déterminer la limite de fatigue est d'ailleurs basée sur cette constatation (²).

(²) *Comptes rendus*, **233**, 1951, p. 131.

(¹) *Voir*, notamment, Lazan, *A. S. M.*, 1950, p. 499.

(²) *Voir*, notamment, Fotiadi, *Rev. Métall.*, 1947, p. 12.

Mais, si l'on peut interpréter le fait en considérant que cette modification traduit un changement des propriétés intrinsèques du métal conféré par la fatigue, il est également permis de le relier à une variation dans le champ des contraintes.

Si la première hypothèse est exacte, le changement du module doit s'observer aussi dans l'essai par traction-compression; dans le deuxième cas, il doit disparaître.

Pour éclaircir ce point, nous avons entrepris des expériences sur un acier nickel-chrome de construction, après divers traitements thermiques. Les éprouvettes étaient incorporées dans une colonne vibrant longitudinalement à sa fréquence propre, de l'ordre de 150 Hz.

La partie cylindrique de l'éprouvette avait une section de 0,2 cm^2 et une longueur de 4 cm. Nous avons mesuré la fréquence d'après la durée de 10 000 alternances; ainsi, le module de l'éprouvette était mesuré avec une précision de 0,8 %.

Quels que soient la charge et le nombre de cycles, nous n'avons pu observer le moindre changement du module.

En conclusion, il nous semble que les variations de flèche observées dans les essais par flexion rotative ou alternée, sont dues à une modification progressive de la répartition des contraintes, résultant de l'hétérogénéité initiale.

MÉCANIQUE DES SOLS. — *Sur le tassement d'une couche d'argile sous l'effet d'une force concentrée.* Note de M. **Jean Mandel**, présentée par M. Albert Caquot.

Dans une précédente Note (1) nous avons donné la solution du problème du tassement d'une couche d'argile sous l'effet d'une force concentrée P s'exerçant à la surface du sol et normale à celle-ci, en admettant que, dans l'état d'équilibre final, la distribution des contraintes était celle que définissent les formules de Boussinesq. Ceci n'est exact que si les couches encaissantes ont mêmes coefficients d'élasticité que la couche d'argile. Nous admettions aussi, comme conséquence de l'hypothèse précédente, que sur les deux faces de la couche le cisaillement ne varie pas au cours du tassement.

Nous avons repris le problème en supposant que les couches encaissantes ont des coefficients d'élasticité différents de ceux de la couche d'argile et en admettant sur les faces de la couche d'autres conditions à la limite.

En généralisant un calcul dû à Burmister, nous obtenons pour la dilatation cubique à l'intérieur de la couche d'argile dans l'état d'équilibre final une

(1) *Comptes rendus*, 232, 1951, p. 209.

expression de la forme

$$(1)\qquad \theta_\infty = -\frac{P(1-2\sigma)}{2\pi\mu}\int_0^\infty [\varphi(mh)e^{-my}+\psi(mh)e^{my}]\,J_0(mr)\,m\,dm,$$

μ est le deuxième coefficient de Lamé, σ le coefficient de Poisson de l'argile, r, y désignent les coordonnées dans le plan méridien passant par la ligne d'action Oy de la force P. Le plan $y=0$ est la face supérieure de la couche d'argile, h la distance de cette face à la surface du sol. J_0 est la fonction de Bessel d'ordre zéro. Lorsque la couche d'argile a une épaisseur infinie :

$$\psi(mh)=0, \qquad \varphi(mh)=g(mh);$$

en posant

$$(2)\qquad g(mh)=(1-N_2)\frac{e^{mh}-N_1(1-2mh)\,e^{-mh}}{e^{2mh}-(N_1+N_2+4N_1m^2h^2)+N_1N_2e^{-2mh}}$$

$$N_1=\frac{\mu_1-\mu}{\mu_1+\mu(3-4\sigma_1)}, \qquad N_2=\frac{\mu_1(3-4\sigma)-\mu(3-4\sigma_1)}{\mu_1(3-4\sigma)+\mu},$$

μ_1, σ_1 sont les coeficients de la couche qui surmonte l'argile.

En supposant alors que sur les deux faces de la couche d'argile il n'y ait aucun déplacement radial au cours de la consolidation, on obtient pour le tassement à la distance r et au temps t l'expression

$$(3)\quad \mathfrak{C}(r,t)=\mathfrak{C}(r,\infty)-\frac{P(1-2\sigma)}{2\pi\mu a}\int_0^\infty \chi(mh)\sum_{k=1,3,5,\ldots}\left[\frac{2n_k}{m^2+n_k^2}\right]^2 e^{-(m^2+n_k^2)c\,t}\,ch(ma)\,J_0(mr)\,m\,dm,$$

où

$$\chi(mh)=\varphi(mh)e^{-ma}+\psi(mh)e^{ma}, \qquad n_k=k\frac{\pi}{2a},$$

$2a$ est l'épaisseur de la couche.

Pour une couche infiniment mince, cette formule conduit au même résultat que la méthode approchée classique de M. Terzaghi. Il n'en est pas de même pour une couche épaisse. Pour une couche d'épaisseur infinie, on obtient

$$(4)\qquad \mathfrak{C}(r,t)=\mathfrak{C}(r,\infty)-\frac{P(1-2\sigma)}{4\pi\mu}\int_0^\infty g(mh)f(m\sqrt{ct})\,J_0(mr)\,dm,$$

où $g(mh)$ est donné par (2) et

$$(5)\qquad f(m\sqrt{ct})=\frac{2}{\sqrt{\pi}}\left[(1+2u^2)\int_u^\infty e^{-x^2}\,dx-ue^{-u^2}\right], \qquad u=m\sqrt{ct}.$$

Si, au lieu d'admettre qu'il n'y a pas de déplacement radial, on admet que le cisaillement sur les deux faces de la couche ne varie pas au cours de la consolidation, on retrouve une expression de la forme (4), mais $f(m\sqrt{ct})$ dépend dans ce cas du coefficient de Poisson σ de l'argile. Pour $\sigma=0{,}5$ on retrouve l'expression (5).

Par application du principe de superposition on déduit facilement des

formules précédentes le tassement au centre d'un cercle de rayon R sur la surface duquel est répartie uniformément une force totale P. L'intégration dans l'aire du cercle conduit à remplacer simplement dans les formules (3) et (4) $J_0(mr)$ par $2J_1(mR) : mR$.

PHYSIQUE MATHÉMATIQUE. — *Variants intégraux associés aux équations hyperboliques linéaires*. Note de M. **Frans H. van den Dungen**, présentée par M. Joseph Pérès.

Nous avons montré (1) que l'intégrale de la fonction u étendue à l'aire S atteinte à l'instant t par l'onde émise par S_0 à l'instant t_0, constitue un variant intégral qui satisfait à une équation différentielle ordinaire dont le type dépend de l'équation aux dérivées partielles régissant la fonction u.

On peut former une infinité de variants intégraux dont l'expression générale est celle du moment

$$(A) \qquad \iint_S x^k y^l u\, dS \qquad (k, l = 0, 1, 2, \ldots).$$

Chacun de ces variants est un polynome en t, dans le cas de l'équation classique des ondes, dont les coefficients sont les variants $(k', l' \leq k, l)$ calculés à l'instant initial en fonction des données de Cauchy f et g sur S_0 ; les axes x et y sont choisis de façon quelconque une fois pour toutes.

Si l'on calcule la transformée de Fourier

$$(B) \qquad F(t; p.q) = \iint_{-\infty}^{+\infty} \exp(ipx + iqy)\, u(t)\, dx\, dy,$$

le variant est proportionnel au coefficient du terme en $p^k q^l$ dans le développement de (B) en série double entière. Il s'ensuit que l'équation différentielle du variant se déduit aisément de l'équation différentielle (en t) à laquelle F doit satisfaire. On voit donc que, tout au moins au point de vue formel, la solution $u(t)$ peut être calculée en fonction de la suite des variants (A). On peut d'ailleurs remplacer les moments par les expressions semblables aux « semi-invariants » de Thiele utilisés en Statistique, que l'on obtient en développant $\log F$ en série double.

Dans nos raisonnements, nous avons supposé que sur le contour c_0 limitant S_0, la fonction u et ses dérivées premières sont nulles. Lorsque les dérivées premières sont discontinues sur c_0 les équations de propagation de ces discontinuités assurent encore l'existence des variants. Lorsque la discontinuité atteint u, il faut tenir compte des équations particulières de propagation d'une telle discontinuité. En voici un *exemple :* l'écoulement linéarisé à une dimen-

(1) *Comptes rendus*, 235, 1952, p. 532.

sion d'un fluide incompressible satisfait aux équations

$$\frac{\partial \eta}{\partial t} + h_0 \frac{\partial \upsilon}{\partial x} + u_0 \frac{\partial \eta}{\partial x} = 0, \qquad \frac{\partial \upsilon}{\partial t} + u_0 \frac{\partial \upsilon}{\partial x} + g \cos \alpha \frac{\partial \eta}{\partial x} + 2 b g u_0 \upsilon = 0,$$

où η est le remous de la ligne d'eau et υ la survitesse; les constantes h_0, u_0, α et b caractérisent la profondeur et la vitesse du mouvement permanent, la pente du thalweg et le coefficient de Chézy. Si le remous s'étend de x_1, à x_2, on doit avoir pour ces deux abscisses

$$w - u_0 = h_0 \frac{\upsilon}{\eta} = g \cos \alpha \frac{\eta}{\upsilon},$$

où w est la vitesse de déplacement du ressaut. Compte tenu de ces relations, les premiers variants sont encore

$$U_0 = \int_{x_1}^{x_2} \upsilon \, dx, \qquad H_0 = \int_{x_1}^{x_2} \eta \, dx.$$

Introduisons les transformées de Fourier

$$F = \int_{-\infty}^{+\infty} e^{ipx} \eta \, dx, \qquad G = \int_{-\infty}^{+\infty} e^{ipx} \upsilon \, dx.$$

On déduit dès lors des équations

$$\frac{dF}{dt} = ip h_0 G + ip u_0 F, \qquad \frac{dG}{dt} = ip u_0 G + ip g \cos \alpha F - 2 bg u_0 G,$$

les équations différentielles des variants successifs

$$\frac{dH_0}{dt} = 0, \qquad \frac{dH_1}{dt} = h_0 H_0 + u_0 U_0,$$

$$\frac{dU_0}{dl} = -2 bg u_0 U_0, \qquad \frac{dU_1}{dt} = h_0 U_0 + g \cos \alpha H_0 - 2 bg u_0 U_1,$$

et ainsi de suite.

PHYSIQUE THÉORIQUE. — *Forces s'exerçant sur les lignes de courant usuelles des particules de spin* 0, 1/2 *et* 1 *en théorie de l'onde-pilote*. Note de M. **Jean-Pierre Vigier**, présentée par M. Louis de Broglie.

On étend les calculs de M. L. de Broglie (1) sur le courant de Gordon aux courants $\varphi^+ \beta^\mu \varphi$ tirés des équations $\beta^\mu D_\mu \varphi - \mu \varphi = 0$ où les β^μ satisfont aux relations de commutations habituelles. On en déduit des expressions simples pour les forces, qui permettent de passer à l'interprétation de la double solution en théorie unitaire.

Dans une Note récente M. Louis de Broglie (2) a étendu ses anciennes

(1) L. de Broglie, *Comptes rendus*, **187**, 1927, p. 1118.

(2) L. de Broglie, *Comptes rendus*, **235**, 1952, p. 557.

conceptions de l'onde-pilote en choisissant comme lignes de courant des lignes différentes des lignes de courant habituelles, tangentes en chaque point au courant de Dirac.

A l'exemple de M. D. Bohm ([3]) nous proposons au contraire de considérer ces lignes de courant comme trajectoires réelles possibles et d'étendre le calcul au cas des particules de spin 0 et 1.

Partons des équations d'ondes écrites sous la forme

$$\hbar D_\nu \beta^\nu \varphi + \mu \varphi = 0, \tag{1}$$

avec $D_\nu = \partial_\nu - i\varepsilon A_\mu$, $\mu = m_0 c$ et $\varepsilon = e/\hbar c$. Les courants correspondants $j^\nu = \varphi^+ \beta^\nu \varphi$ transformés à l'aide des équations (1) et compte tenu des relations de commutation s'écriront si l'on pose $I^{\mu\nu} = \beta^\mu \beta^\nu - \beta^\nu \beta^\mu$ et $F_{\nu\rho} = \partial_\nu A_\rho - \partial_\rho A_\nu$:

$$j_\nu = \frac{1}{\mu}\left[\hbar(\partial_\nu \varphi^+ \varphi - \varphi^+ \partial_\nu \varphi) + i\varepsilon A_\nu \varphi^+ \varphi + \frac{\hbar}{4}\partial_\alpha \varphi^+ I^\alpha{}_\nu \varphi\right] \tag{2}$$

dans le cas des particules de Dirac ($\beta^\mu \beta^\nu + \beta^\nu \beta^\mu = 2\delta^{\mu\nu}$) et

$$j_\nu = \frac{1}{2\mu}\left[\hbar(\partial_\nu \varphi^+ \varphi - \varphi^+ \partial_\nu \varphi) + 2i\varepsilon A_\nu \varphi^+ \varphi + \hbar \partial_\alpha \varphi^+ I^\alpha{}_\nu \varphi - \frac{i\varepsilon\hbar^2}{\mu} F_{\alpha\rho} \varphi^+ \beta_\alpha \beta_\nu \beta_\rho \varphi\right] \tag{3}$$

dans le cas des particules de Petiau-Kemmer ($\beta^\mu \beta^\nu \beta^\rho + \beta^\rho \beta^\nu \beta^\mu = \beta^\mu \delta^{\nu\rho} + \beta^\rho \delta^{\nu\mu}$).

Dans tous les cas introduisons avec MM. de Broglie et Bohm une fonction auxiliaire S à l'aide des relations

$$\Psi_k = a_k e^{-i\frac{S+\Theta_k}{\hbar}} = e^{-i\frac{S}{\hbar}} \Phi_k \tag{4}$$

où k désigne les composantes des spineurs. Les courants s'écriront alors :

$$j_\nu = 2i\frac{\varphi^+ \varphi}{\mu}\left[\partial_\nu S + \left\{\varepsilon A_\mu + \frac{\hbar}{2i\varphi^+\varphi}(\partial_\nu \Phi^+ \Phi - \Phi^+ \partial_\nu \Phi) + \frac{\hbar}{8i\varphi^+\varphi}\partial_\alpha \varphi^+ I^\alpha{}_\nu \varphi\right\}\right] \tag{5}$$

et

$$j_\nu = \frac{i\varphi^+\varphi}{\mu}\left[\partial_\nu S + \left\{\varepsilon A_\nu + \frac{\hbar}{2i\varphi^+\varphi}(\partial_\nu \Phi^+ \Phi - \Phi^+ \partial_\nu \Phi) + \frac{\hbar}{2i\varphi^+\varphi}\partial_\alpha \varphi^+ I^\alpha{}_\nu \varphi - \frac{\varepsilon\hbar^2}{i\mu\varphi^+\varphi} F_{\alpha\rho}\varphi^+ \beta_\alpha \beta_\nu \beta_\rho \varphi\right\}\right], \tag{6}$$

soit, en introduisant la vitesse d'univers u_ν colinéaire à j_ν ($u^\nu u_\nu = 1$), en posant $P_\nu =$ termes $\{\ \}$ dans (5) et (6) et en écrivant à l'exemple de M. de Broglie

$$M_0 = [(\varphi^+ \beta_\nu \varphi)(\varphi^+ \beta^\nu \varphi)]^{\frac{1}{2}} (2i\varphi^+\varphi)^{-1} \mu'$$

($\mu' = \mu$ pour Dirac et 2μ dans les autres cas) :

$$M_0 u_\nu = \partial_\nu S + P_\nu. \tag{7}$$

([3]) D. Bohm, Communication privée.

On en déduit tout de suite l'équation de Lagrange. En effet :

$$\frac{d}{ds}\mathrm{M}_0 u_\nu = u^i \partial_i \mathrm{M}_0 u_\nu = u^i \partial_i(\partial_\nu \mathrm{S} - \mathrm{P}_\nu) = u^i \partial_\nu(\partial_i \mathrm{S} - \mathrm{P}_\nu) + u^i(\partial_i \mathrm{P}_\nu - \partial_\nu \mathrm{P}_i)$$
$$= \partial_\nu \mathrm{M}_0 + u(\partial_\nu \mathrm{P}_i - \partial_i \mathrm{P}_\nu),$$

compte tenu de la définition des u_ν. Il en résulte que tout se passe comme si la particule était soumise à :

— un potentiel invariant M_0 ;

— un potentiel quadrivecteur P_ν.

Dans le cas de Dirac on retrouve bien l'expression simple de Bohm :

$$\mathrm{M}_0 = [(\varphi^+\varphi)^2 + (\varphi^+\varphi^5\varphi)^2]^{\frac{1}{2}}(2i\varphi^+\varphi)^{-1}\mu,$$

compte tenu des identités de Pauli.

Passons maintenant à l'interprétation de la double solution (4). Introduisons l'onde physique à singularité U qui définit une particule liée aux $g_{\mu\nu}$ de l'espace par la relation :

$$g_{\mu\nu} = \varepsilon_{\mu\nu} + \lambda\theta_{\mu\nu}(u^+, u), \tag{8}$$

où $\varepsilon_{\mu\nu}$ désigne les valeurs galiléennes des $g_{\mu\nu}$, λ une fonction de forme, $\theta_{\mu\nu}$ le tenseur énergie impulsion canonique symétrique de Belinfante-Rosenfeld. Posons

$$\mathrm{U}_k = \left(a_k(r) + \frac{b_k(r)}{r}\right)\exp\left(-i\frac{\mathrm{S}+\theta_k}{\hbar}\right); \qquad \text{où} \quad \varphi_k = a_k \exp\left(-i\frac{\mathrm{S}+\theta_k}{\hbar}\right)$$

satisfait à (1), r désignant la distance d'Univers à une ligne singulière L; les b_k étant déterminés de telle façon que $g_{\mu\nu} = \varepsilon_{\mu\nu} - 2m/r + \lambda\theta_{\mu\nu}(\varphi^+, \varphi)$. Lorsque ces $g_{\mu\nu}$ satisfont aux équations de la relativité, L coïncide avec une géodésique de $\mathring{g}_{\mu\nu} = \varepsilon_{\mu\nu} + \lambda\theta_{\mu\nu}(\varphi^+, \varphi)$ qui se confond avec la ligne de courant $\varphi^+\beta^\nu\varphi$ pourvu que $\lambda(\mathrm{L}) = \mu'(\varphi^+\varphi\mathrm{M}_0)^{-1}$.

De tels $g_{\mu\nu}$ définissant des particules élémentaires conformes aux conceptions de M. de Broglie. On passe au point de vue statistique en désignant par φ_L l'onde physique liée à une trajectoire L et en construisant une onde régulière $\Psi_k = \mathrm{A}_k \exp[-i(\alpha_k/\hbar)]$ telle que

$$\mathrm{A}_k(\mathrm{L}) = a_k(\mathrm{L}), \qquad \partial_\mu \mathrm{A}_k(\mathrm{L}) = \partial_\mu a_k(\mathrm{L}), \qquad \alpha_k(\mathrm{L}) = \mathrm{S} + 0_k \qquad \text{et} \qquad \partial_\mu \alpha_k = \partial_\mu(\mathrm{S} + \theta_k),$$

sur chaque trajectoire L possible. On peut montrer alors que cette onde décrit correctement l'ensemble statistique des particules astreintes à suivre la congruence des trajectoires L.

---

(4) J.-P. Vigier, *Comptes rendus*, 235, 1952, p. 869.

MÉTROLOGIE. — *A propos de la détermination précise de l'accélération due à la pesanteur : rôle complexe de la viscosité des gaz.* Note de M. **Pierre Vernotte**, présentée par M. Albert Pérard.

Pour déterminer g par la méthode de la chute libre en atmosphère raréfiée, il faut, pour tenir compte de la viscosité en mouvement *non* uniforme, introduire deux termes correctifs que l'on élimine, l'un par extrapolation à la pression nulle, et l'autre par divers procédés dont l'emploi d'un deuxième gaz.

M. Charles Volet a présenté au monde scientifique, et expérimenté, une méthode de mesure de g extrêmement remarquable en ce qu'elle ne repose, théoriquement, que sur l'application la plus simple de la loi fondamentale de la dynamique, à savoir la chute d'un solide dans le vide, mesurée avec la perfection que permet aujourd'hui la technique; et il semble bien que ce soit la méthode de l'avenir. Malheureusement, ainsi qu'il est arrivé dans plusieurs cas, lorsque l'on veut obtenir avec la méthode la très haute précision qu'elle paraît pouvoir donner, on se heurte à des phénomènes accessoires qui introduisent alors de graves difficultés. Nous nous proposons d'indiquer dans la présente Note, comment on pourrait y parer.

Le véritable obstacle gît dans la viscosité du gaz où s'opère la chute. On peut bien tenter d'en éliminer l'effet en opérant à pression faible et variable et extrapolant à la pression nulle. En réalité, on n'arrive ainsi qu'à simplifier le problème de la résistance du gaz, car à faible pression le nombre de Reynold ne correspond plus qu'au régime visqueux bien moins complexe (si l'on a pris soin de supprimer toute arête vive), mais la viscosité restant longtemps indépendante de la pression, l'extrapolation n'aboutit pas. Aux pressions extrêmement faibles la résistance prendrait une loi très compliquée et ne deviendrait vraiment négligeable qu'à des pressions que les circonstances expérimentales semblent rendre pratiquement inaccessibles.

En fait, même en régime visqueux, la loi de la résistance n'est pas connue, et quand bien même le corps en chute serait une sphère, la formule de Stokes ne serait pas valable, le mouvement n'étant pas uniforme. A notre connaissance, une telle étude théorique n'a pas été faite et les donnée expérimentales sont maigres. On peut chercher le type de la loi de résistance par des considérations dimensionnelles. Au terme $Al\nu\eta$ du mouvement uniforme ajoutons le « terme d'accélération » $B\nu^{\alpha}\gamma^{\beta}\rho^{\delta}\eta^{\varepsilon}l^{\lambda}$ ayant les dimensions d'une force et où nous pouvons affirmer que α, β, ε sont positifs. Les cinq exposants sont déterminés par les trois équations.

$$\delta+\varepsilon=1, \qquad \alpha+\beta-3\delta+\varepsilon+\lambda=1, \qquad -\alpha-2\beta-\varepsilon=-2.$$

Essayons de compléter par cette double hypothèse : le terme en question représentant des effets d'inertie, γ et ρ interviennent avec le même exposant

($\beta=\delta$) comme dans la loi fondamentale de la dynamique, et la masse de fluide freinant par inertie est proportionnelle à la surface présentée ($\lambda=2$). Cela donne $\alpha=\beta=\delta=\varepsilon=1/2$, et le second terme correctif est de la forme $Bl^2\sqrt{v\gamma\rho\eta}$.

Il en résulte, dans l'équation donnant le déplacement x en fonction du temps t, non seulement le terme en t^3 signalé et évalué par nous et dont les mesures de M. Volet ont confirmé l'ordre de grandeur, mais aussi un terme en $t^{5/2}$ dont nous ne savons rien. Seulement, la théorie faite le rend proportionnel à la racine carrée de la pression p, de sorte qu'il est sans doute négligeable aux pressions très réduites utilisées et qu'à tout le moins il est facile de l'éliminer par *extrapolation* à la pression nulle pourvu qu'on représente les résultats en fonction de $\sqrt{p}$ et *non* de p. Comme seul subsiste alors le terme $Alv\eta$, on peut, soit le calculer *a priori* si, comme l'avait envisagé M. Volet, l'objet qui tombe est une sphère, soit en tenir compte sous la forme d'un terme en t^3 si l'on dispose d'un nombre assez grand de points expérimentaux, soit enfin l'éliminer en répétant la mesure dans un gaz de viscosité nettement différente (hydrogène), et contrôler toutes ces spéculations en usant d'un troisième gaz (argon et même CO_2).

THERMODYNAMIQUE. — *Application de la méthode de fusion des racines à l'étude de la stabilité du réglage automatique d'un échangeur thermique*. Note (*) de M. **Pierre-Louis Dubois-Violette**, présentée par M. Gustave Ribaud.

On règle la température de sortie d'un liquide réchauffé par la condensation de la vapeur d'eau. L'impédance de transfert de l'installation s'exprime au moyen de fonctions entières auxquelles la méthode de fusion des racines s'applique. La discussion de la stabilité du réglage est simple, car seule la plus petite des racines est finalement à considérer. On montre alors l'efficacité du réglage par action proportionnelle qu'une correction dérivée de sens normal peut encore améliorer.

Dans l'échangeur que nous prenons comme exemple, une huile circulant à l'intérieur d'un tube d'acier est réchauffée par la condensation, à l'extérieur du tube, d'un courant de vapeur d'eau, dont le débit Q est utilisé comme grandeur de réglage. La température de sortie du liquide est la grandeur réglée.

I. Notations et hypothèses. — μ et C désignent les masse et chaleur spécifiques du liquide, ρ et γ les grandeurs correspondantes relatives au tube, dont les rayons intérieur et extérieur sont R et R′, la longueur L. Il est en outre commode de considérer le paramètre sans dimension $\alpha=(\rho/\mu)\times(\gamma/C)\times(R'^2-R^2)/R^2$, dont la valeur numérique est habituellement comprise entre 1 et 3. Le débit en masse du liquide est noté Q_0.

(*) Séance du 3 novembre 1952.

Dans les discussions relatives au réglage, nous assimilerons le coefficient de transmission de chaleur h du tube au liquide à sa valeur moyenne. Rappelons que dans le cas d'un liquide visqueux, dont la viscosité varie assez rapidement avec la température, h ne dépend, en régime laminaire, que de la puissance 0,14 du coefficient de viscosité (1).

En régime permanent : Θ_0, $\Theta_{(y)}$ et Θ_L désignent les températures du liquide dans les sections droites du tube, dont les distances à la section d'entrée sont respectivement $y = 0$, y et L. La température Θ_1 du tube est considérée comme uniforme.

En régime transitoire : la partie variable de la grandeur considérée est représentée par la lettre minuscule correspondante, affectée du même indice.

Enfin nous désignerons par A le quotient $Q_0 C/2\pi R h$, homogène à une longueur, et par T la constante de temps $\mu CR/2h$.

II. Impédance de transfert de l'échangeur. — 1° La distribution de la température du liquide est liée à la température du tube par l'équation aux dérivées partielles :

$$(1) \qquad A\frac{\partial(\Theta+\theta)}{\partial y} + T\frac{\partial\theta}{\partial t} + \Theta + \theta = \Theta_1 + \theta_1.$$

En utilisant la transformation de Laplace pour intégrer (1), on obtient l'expression de $\theta_L(p)$ en fonction de $\theta_1(p)$.

2° Négligeant les pertes de l'échangeur et la capacité calorifique de la vapeur devant celle du tube, le bilan des échanges de chaleur s'établit ainsi par unité de temps :

$$(2) \qquad A q - 2\pi R h \int_0^L (\theta_1 - \theta)\, dy = \rho\gamma\pi (R'^2 - R^2) L \frac{d\theta_1}{dt}.$$

L'expression de $\theta_L(p)$ en fonction de $q(p)$ résulte finalement de (1) et (2). On obtient, comme cas particulier, la variation $\Delta\Theta_L$ qui correspond, en régime permanent, à la variation de débit fixe ΔQ.

3° Rapportant $q(p)$ à ΔQ et $\theta_L(p)$ à $\Delta\Theta_L$, l'impédance de transfert de l'installation, égale à l'inverse du rapport de transmission (2), se calcule sans difficulté et se présente sous la forme du quotient $f(p)/g(p)$ de deux fonctions entières appartenant à la classe à laquelle s'applique la méthode de fusion des racines.

III. Discussion de la stabilité du réglage. — 1. *Réglage par action proportionnelle.* — Le critère d'enlacement des racines (2) s'applique ici à la fonction $F(p) = f(p) + rg(p)$, r désignant, suivant une notation déjà utilisée (2), le taux de réaction du réglage. Compte tenu des ordres de

(1) W. H. Mc Adams, *Transmission de la chaleur*, 1950, p. 220, Dunod.
(2) *Comptes rendus*, **230**, 1950, p. 1380.

grandeur habituels de α et de L/Λ (de 0,7 à 1), on montre que la limite critique r_0 (2) de r vérifie sensiblement

$$(3) \qquad r_0 \frac{A}{L}\left(1 - e^{-\frac{L}{\Lambda}}\cos\left(\frac{L}{\Lambda}T\omega\right)\right) = \frac{(1+2\alpha)(T\omega)^2}{1 - T\omega\sin\left(\frac{L}{\Lambda}T\omega\right)} = \alpha(T\omega)^2.$$

ω désigne la pulsation des oscillations qui s'amorcent pour $r = r_0$.

On voit, d'après l'expression (3) de r_0 en fonction de ω, que *seule la plus faible des racines positives ω_0 est à retenir.* On retrouve donc sur cet exemple une circonstance sur laquelle j'ai précédemment attiré l'attention (3) et qui simplifie la méthode de discussion adoptée.

En résolvant (3), on trouve ω_0 compris entre $4,5/T$ et $7/T$ suivant les valeurs de α et L/Λ, et r_0 de l'ordre de 30, T étant couramment de l'ordre de la demi-minute.

2. *Amélioration de la stabilité par une correction dérivée.* — On montre qu'une correction dérivée de taux $k > 0$, donc de sens habituel, déplace la racine ω_0 vers les $\omega > 0$, et par suite améliore la stabilité à un double titre : la période des oscillations est raccourcie et, de plus, la limite critique r_0 devient plus élevée.

Si l'on prévoit plusieurs régimes de débit Q_0, on doit adjoindre au réglage une correction intégrale, mais on conclut de ce qui précède que, pour chacun des régimes, le réglage proportionnel est à lui seul efficace.

ÉLECTRICITÉ. — *Observation des dépôts de précipitation électrique au microscope électronique.* Note de MM. **Marcel Pauthenier** et **René Challande**, présentée par M. Eugène Darmois.

Nous avons montré, dans une précédente Note (1) suivant quelles lois on peut obtenir des dépôts classés de particules observables au microscope optique. Le prolongement de notre étude théorique nous a conduits à penser qu'il existait des dépôts de particules beaucoup plus fines au delà des fronts qui limitent les dépôts observables (2). Une modification de notre appareil de précipitation nous a permis, à l'aide du microscope électronique, de vérifier qu'il en est bien ainsi.

Sur la fente prévue pour recevoir le film de précipitation on applique un couvercle spécialement conçu pour recevoir des porte-objets du microscope électronique. Ces porte-objets sont alignés suivant une génératrice

(3) *Comptes rendus*, **233**, 1951, p. 730.

(1) *Comptes rendus*, **231**, 1950, p. 114.

(2) Nous poursuivons, en liaison avec Henri Heim de Balsac, une série d'études sur les ultrapoussières, tant au point de vue physique qu'au point de vue biologique.

du tube et régulièrement espacés à partir de la limite de précipitation des éléments de 2 μ [la percussion de particules de dimensions supérieures

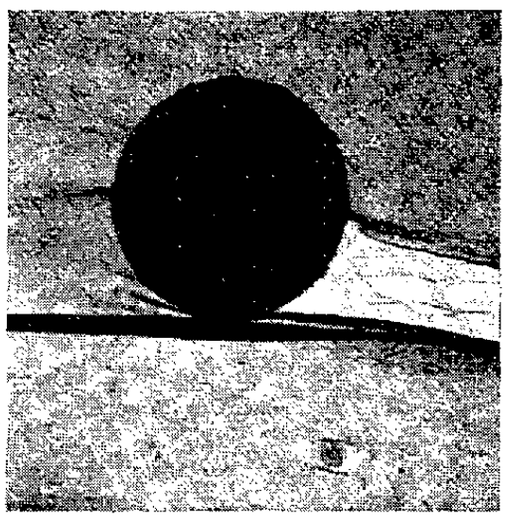


Fig. 1. — Particule de 2,5 μ déchirant une membrane de porte-objet situé à 30 cm de l'origine. (Grossissement : 8000.)

1 μ

sur la membrane provoque des déchirures (*fig.* 1)]. Les préparations sont ensuite ombrées à l'or pour permettre l'écoulement des charges dues au

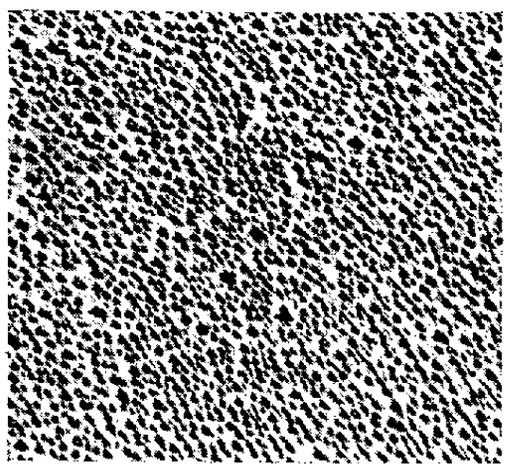


Fig. 2. — Dépôt de particules à 47 cm de l'entrée. (Grossissement : 8000.)

1 μ

flux d'électrons du microscope et une observation meilleure. Les figures 2 et 3 montrent la décroissance des dimensions de sphérules de verre préci-

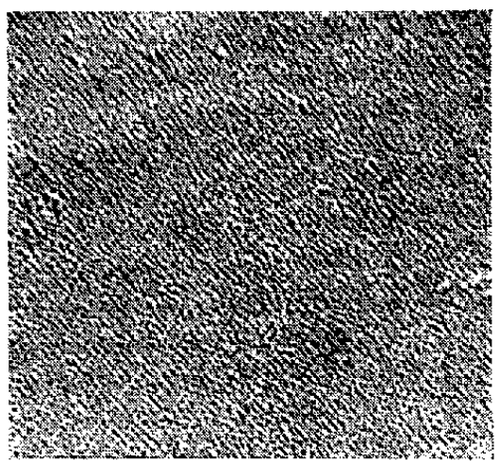


Fig. 3. — Dépôt de particules à 55 cm de l'entrée. (Grossissement : 8000.)

pitées dans un champ électrique ionisé uniforme à mesure que l'on s'éloigne de l'origine. Des auteurs américains ont pu observer, par une méthode différente de la nôtre, des particules de fumée visibles au microscope électronique (de 0,5 à 3 μ), mais non sélectionnées par ordre de grandeur (3). Nous obtenons des dépôts homogènes et uniformément répartis; nous avons pu constater la présence de particules de 2/100 de micron par cette méthode.

OPTIQUE ÉLECTRONIQUE. — *Aberration de sphéricité des lentilles à grilles.* Note (*) de M. **Michel Bernard**, présentée par M. Louis de Broglie.

Nous étudions le coefficient d'aberration de sphéricité des lentilles à grille, dans le cas limite où la grille est assimilable à une membrane continue, transparente aux électrons. Ce coefficient est positif dans les lentilles convergentes, mais il devient négatif pour les lentilles divergentes, ce qui permet d'envisager la synthèse de systèmes stigmatiques.

1. Scherzer (1) a montré qu'il était impossible de corriger l'aberration de sphéricité des lentilles électroniques. Mais ses calculs ne sont valables que si la fonction $\Phi(z)$, représentant le potentiel sur l'axe du système, est continue, ainsi que ses dérivées. Les fonctions qui sortent du signe somme, au cours des intégrations par parties, sont alors nulles pour $z = z_0$ (abscisse de l'objet) et $z = z_i$ (abscisse de l'image) et disparaissent du résultat.

Au contraire, dans le cas des lentilles que nous étudions, la grille percée de trous très fins, se conduit, au point de vue de la répartition du potentiel comme une membrane continue et introduit une discontinuité du champ électrique. Il faut alors refaire les calculs de Scherzer, en conservant les parties toutes intégrées.

La grille introduit une discontinuité, pour $z = 0$; nous allons intégrer de z_0 à $-\varepsilon$, puis de $+\varepsilon$ à z_i et nous ferons tendre ε vers zéro. On constate alors que les parties toutes intégrées ne disparaissent pas du résultat. On obtient, pour le coefficient d'aberration :

$$C_s = \left[\frac{M r^4 \sqrt{\Phi}}{256 \sqrt{\Phi_1}} \left\{ 13 \left(\frac{\Phi'}{\Phi}\right)^3 - 4 \frac{\Phi' \Phi''}{\Phi^2} - 8 \frac{\Phi'''}{\Phi} + \left(\frac{r'}{r}\right) \left[32 \frac{\Phi''}{\Phi} + 20 \frac{\Phi'^2}{\Phi^2} \right] + 64 \left(\frac{r'}{r}\right)^2 \frac{\Phi'}{\Phi} + 128 \left(\frac{r'}{r}\right)^3 \right\}_{+0}^{-0} \right]$$
$$+ \frac{M}{\sqrt{\Phi_1}} \int_{z_0}^{z_i} \frac{r^4 \sqrt{\Phi}}{16} \left\{ \frac{5}{4} \left[\frac{\Phi''}{\Phi} - \left(\frac{\Phi'}{\Phi}\right)^2 + \frac{r'}{r} \frac{\Phi'}{\Phi} \right]^2 + \left(\frac{\Phi'}{\Phi}\right)^2 \left(\frac{r'}{r} + \frac{7}{8} \frac{\Phi'}{\Phi} \right)^2 + \frac{1}{64} \left(\frac{\Phi'}{\Phi}\right)^4 \right\} dz$$

(3) Lipscomb, Rubin et Studivan, *J. Appl. Phys. U. S. A.*, **18**, 1947, p. 7279.

(*) Séance du 3 novembre 1952.

(1) *Z. Physk*, **101**, 1936, p. 565.

$r(z)$ étant une trajectoire de Gauss particulière, définie par les conditions

$$r(z_0) = 0, \qquad r'(z_0) = 1,$$

M est le grandissement, et Φ_1 est le potentiel de l'espace objet.

Plaçons-nous dans le cas d'une lentille de Cartan ([2]), ([3]), que nous supposerons symétrique par rapport à la grille. Le cas d'une lentille dissymétrique conduirait à des calculs plus compliqués, mais ne modifierait pas les conclusions.

La partie intégrée devient :

$$\left[\quad\right]_{+0}^{-0} = (1-\sigma)\frac{r_0'^2\sqrt{\Phi_0}\,\mathrm{th}\,\omega d}{128 d}\left[13(\sigma-1)^2\frac{\mathrm{th}^2\omega d}{d^2} + \frac{16\omega^2}{\mathrm{ch}^2\omega d} + 64\left(\frac{r_0'}{r_0}\right)^2\right],$$

r_0 et r_0' étant les valeurs de r et de r' sur la grille, les autres notations sont données à la référence ([2]). Quant à l'intégrale, son calcul explicite semble impossible, mais elle est toujours positive.

2° Lorsque σ est plus petit que l'unité, la lentille est convergente, comme nous l'avons montré dans l'étude des éléments gaussiens des lentilles à grille ([4]). Le terme intégré est toujours positif, et s'ajoute à l'intégrale; il n'y a pas de possibilité de correction de l'aberration de sphéricité. Au contraire, le cas des lentilles à grille est nettement défavorable par rapport aux lentilles usuelles, puisque le coefficient C_s contient deux termes, dont l'un est commun à toutes les lentilles, et l'autre est spécifique des lentilles à grille. Il faudrait un montage comportant deux grilles parallèles, à des potentiels différents, pour rendre négatif le terme intégré. On retrouve un montage proposé par Gianola ([5]), pour obtenir des lentilles convergentes corrigées; mais la réalisation pratique de tels montages ne semble pas aisée.

3° Par contre, lorsque σ est plus grand que l'unité, le terme complémentaire est négatif; la lentille est alors divergente. Tant que σ est suffisamment voisin de 1 pour que l'on puisse négliger $(\sigma-1)^3$ devant l'unité, le terme intégré est nettement prépondérant.

En effet, il varie comme $(\sigma-1)$ tandis que l'intégrale varie comme $(\sigma-1)^2$ comme on peut s'en assurer par une démonstration analogue à celle donnée par Ramberg ([6]) pour des lentilles à deux cylindres.

On obtient alors une lentille électronique à aberration négative qui peut être associée avec une lentille classique, à aberration positive, pour réaliser des systèmes stigmatiques, à convergence positive.

([2]) Bernard, *Comptes rendus*, 233, 1951, p. 298.
([3]) Cartan, *Ann. Phys.*, 10, 1937, p. 426.
([4]) Bernard, *Comptes rendus*, 233, 1951, p. 1354.
([5]) *Proc. Phys. Soc.*, B, Letter to the Editor, 63, n° 372, 1950.
([6]) *J. App. Phys.*, 13, 1942, p. 582.

Remarquons, en terminant, que la grille n'est pas une membrane continue, mais qu'elle est percée de trous, qui vont perturber le potentiel en leur voisinage. Il en résultera une nouvelle aberration sur laquelle nous reviendrons.

ÉLECTROOPTIQUE. — *Sur l'effet de scintillation des cristaux détecteurs.* Note (*) de M. **Nicolas Nifontoff**, présentée par M. Gustave Ribaud.

On compare, pour des cristaux redresseurs usuels, les variations de résistance et d'effet de scintillation (basses fréquences) en fonction du courant I qui les traverse.

Dans des Notes antérieures (1), (2) j'ai étudié les variations simultanées de la résistance et de l'effet de scintillation de dépôts très minces de carbone en fonction du courant continu I. Je donne ici les résultats d'une étude semblable faite sur une dizaine de cristaux (silicium ou germanium) du type « mélangeur » et sur un redresseur sec à galettes. Tous ces redresseurs ont donné des résultats comparables. Dans chaque cas, les mesures ont été faites, en faisant croître, puis décroître le courant. I a varié, en général, de 1 μA à 10 mA (sens direct) et de 1 à 1000 μA (sens inverse). Les résultats sont identiques pour les intensités croissantes et décroissantes, sauf pour le germanium qui présente un peu d'hystérésis.

La figure 1 donne les caractéristiques résistance-courant d'un cristal pour les deux sens du courant. Les courbes C_1 (traits pleins) donnent la résistance moyenne R_m (quotient de la tension par l'intensité) : $\log R_m = f(\log I)$. Les courbes C_2 (pointillés) donnent la résistance dynamique ou différentielle correspondante : $\log R_d = f(\log I)$, avec $R_d = dV/dI = R_m(I+p)$ où p est la pente de C_1. J'ai obtenu des courbes à peu près identiques, à une translation près, pour tous les redresseurs étudiés. Seul le maximun de la caractéristique inverse est plus ou moins accusé selon l'échantillon.

Divers auteurs ont étudié l'effet de scintillation des cristaux (3), (4). Mais ils ne mesuraient pas simultanément R pour chaque valeur de I. La figure 2 résume mes résultats. Pour déduire, des mesures brutes, les valeurs de la densité spectrale $\overline{e_v^2}$, j'ai conduit les calculs comme si $\overline{e_v^2}$ correspondait à une f. e. m. de fluctuations localisée dans le cristal, en faisant les corrections relatives aux résistances qui, dans le montage, shuntent la résistance R_d de

(*) Séance du 3 novembre 1952.

(1) A. Blanc-Lapierre, M. Perrot et N. Nifontoff, *Comptes rendus*, 233, 1951, p. 141 et 241.

(2) N. Nifontoff, *Comptes rendus*, 234, 1952, p. 1755.

(3) P. M. Miller, *Proc. Inst. Rad. Eng.*, 35, n° 3, 1947, p. 252.

(4) H. C. Torrey et C. A. Whitmer, *Crystal Rectifiers*, Mc Graw-Hill, 1948, p. 186 et 192.

l'échantillon. L'expérience montre que $\overline{e_\nu^2}$ n'est pas proportionnel à I^2. Des écarts par rapport à la « loi en I^2 » ont d'ailleurs été également signalés dans d'autres cas (1), (2), (5), (6). J'ai effectué les mesures de bruit à 6 000 c/s (bande passante : 50 c/s). J'ai vérifié qu'entre 1000 et 10 000 c/s le bruit était proportionnel à l'inverse de la fréquence, et ceci pour diverses régions des caractéristiques de la figure 2.

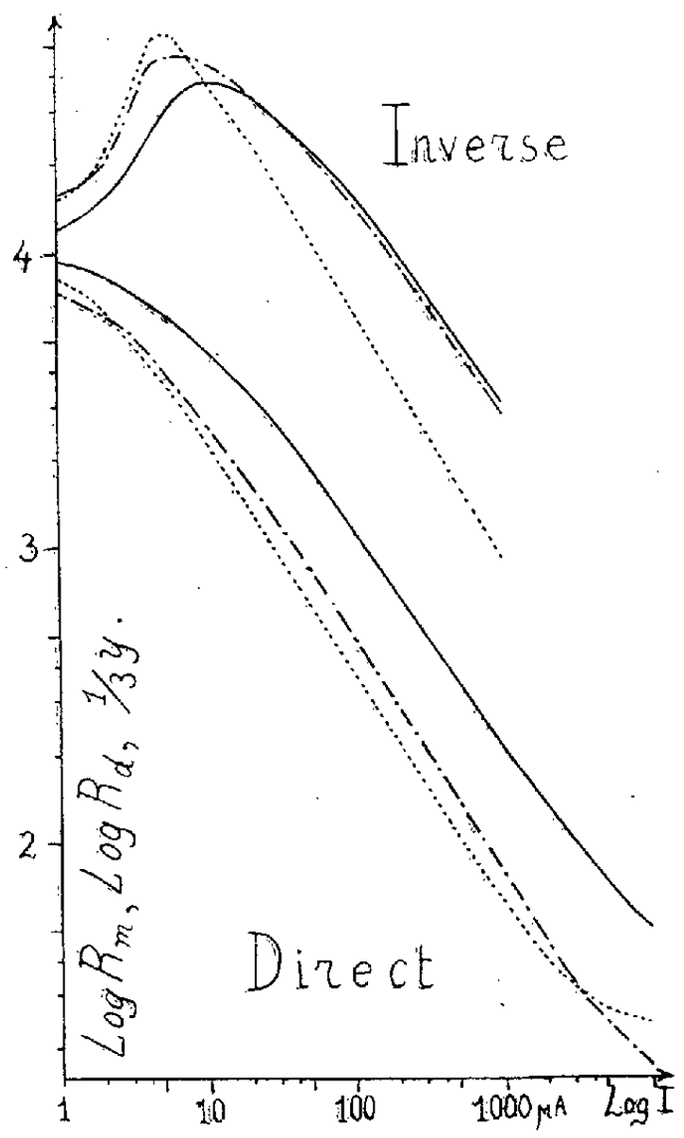


Fig. 1.

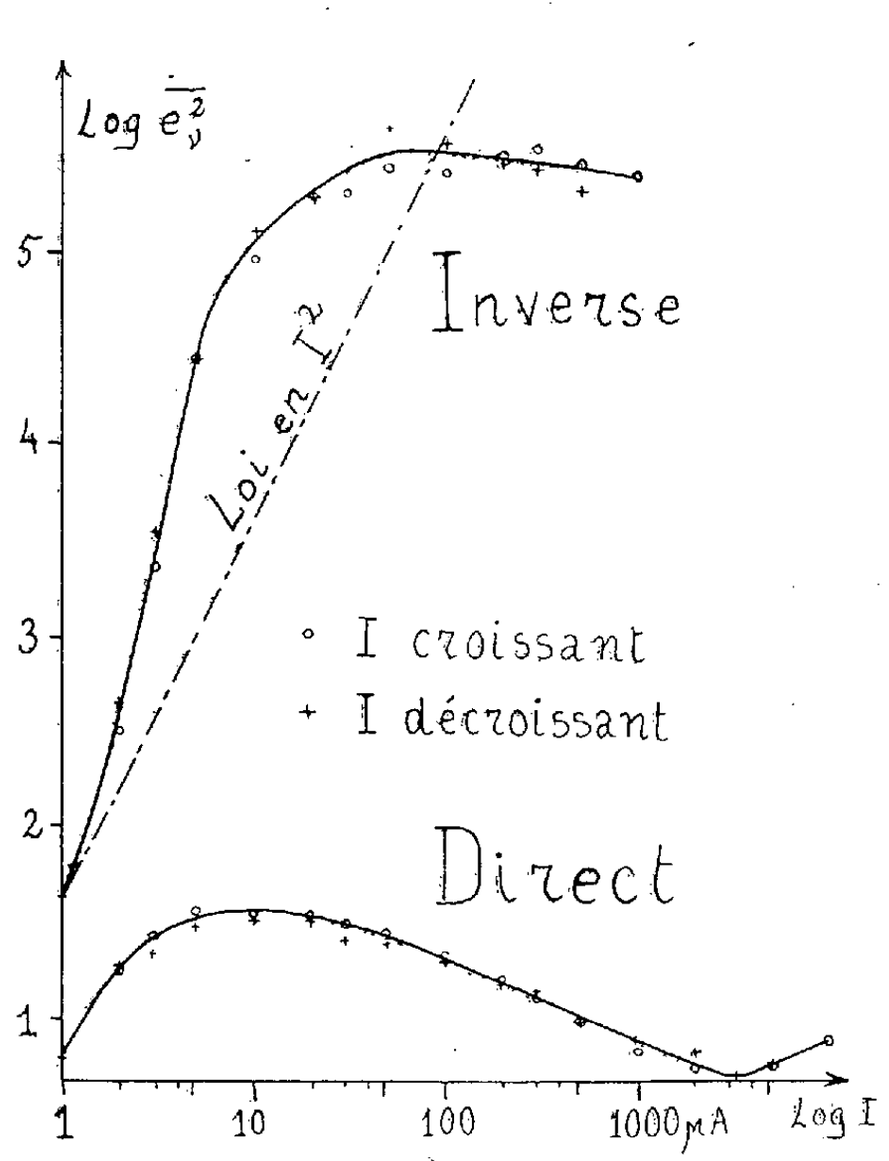


Fig. 2.

L'examen des résultats montre, pour chaque cristal et pour l'ensemble des deux sens du courant, une correspondance étroite entre les courbes

$$y = \log \overline{e_\nu^2} - 2 \log I$$

et les courbes C_2. On peut même superposer approximativement ces deux groupes de courbes en remplaçant y par y/k. On a une bonne superposition pour $k \neq 3$ (*voir* figure 1, courbe $y/3$ en trait mixte), sauf pour la partie descendante des caractéristiques inverses où $k \neq 2$ conviendrait mieux. On obtient une correspondance semblable pour les caractéristiques réversibles de dépôts de carbone déjà étudiés (2) en comparant les courbes $y/3$ et les caractéristiques de résistance dynamique.

(5) M. Surdin, *J. Phys. Rad.*, **12**, 1951, p. 777.

(6) Bernamont, *Ann. Phys.*, **7**, 1937, p. 71.

OPTIQUE. — *La théorie de la photophorèse négative. Complément à deux Notes antérieures.* Note de M. **Pierre Tauzin**, présentée par M. Eugène Darmois.

Nous avons déjà indiqué que, dans les particules photonégatives, les amplitudes diffusées se trouvaient en phase sur la face par laquelle sort le faisceau qui éclaire les particules. Cette circonstance, insuffisante à elle seule à expliquer la photophorèse négative, doit être complétée en tenant compte de la composition de l'amplitude directe arrivant sur la deuxième face avec l'amplitude réfléchie sur cette face.

Résumons d'abord les caractères de la photophorèse. Dans un aérosol de matière *absorbante* éclairé par un faisceau intense de lumière visible, les petites particules sont toujours attirées et les grosses repoussées. La photophorèse disparaît dans le vide; c'est un effet radiométrique dû à des chocs moléculaires sur des particules échauffées de façon non uniforme. La photophorèse positive s'explique par le fait que l'énergie lumineuse est arrêtée dans la particule, au voisinage de la face d'entrée, qui est, dès lors, la plus chaude. Dans la photophorèse négative, c'est la face de sortie qui doit être la plus chaude et c'est cette circonstance qu'il faut justifier.

Dans deux Notes antérieures (1) nous avions cru pouvoir attribuer l'excès d'énergie présent sur la face de sortie des particules photonégatives au seul fait que les amplitudes diffusées par les molécules de la particule s'y trouvaient en phase. En réalité, cette cohérence des amplitudes diffusées dans la direction du faisceau, cohérence due au fait que, dans un solide ou un liquide, les molécules doivent être considérées comme régulièrement distribuées, a, comme contre-partie, une baisse constante de l'amplitude lumineuse du faisceau direct chaque fois que ce faisceau rencontre une nouvelle molécule; en d'autres termes, l'énergie regagnée du fait de la cohérence des amplitudes diffusées compense tout au plus celle perdue par diffusion et la diffusion cohérente ne peut pas être invoquée pour expliquer, à elle seule, la densité d'énergie particulièrement élevée qui se trouve sur la face de sortie de la particule (2). Par contre, les considérations suivantes sont essentielles pour l'explication de la photophorèse négative.

Soit une lame transparente d'indice de réfraction supérieur à un, par exemple une lame de verre, éclairée par un faisceau lumineux parallèle. Une partie de l'énergie se réfléchit sur la face d'entrée, une autre sur la face de sortie et le reste constitue l'énergie transmise. Comme la réflexion verre-air se produit toujours sans changement de phase, l'amplitude

(1) *Comptes rendus*, **231**, 1950, p. 614 et *J. Phys. Rad.*, **13**, 1952, p. 31 S.

(2) Ainsi que me l'ont fait remarquer MM. L. de Broglie, J. Cabannes et E. Durand.

incidente A est en phase, sur la face de sortie, avec l'amplitude a réfléchie sur cette face; l'énergie totale y est, de ce fait, $(A + a)^2$ et cela pour toutes les radiations du faisceau incident. Par exemple, pour le verre, donnons-nous $A^2 = 1$, on a $a^2 = 4/100$, d'où $(A + a)^2 = 1{,}44$. Il faut, toutefois, noter que l'amplitude réfléchie sur la face de sortie revient sur la face d'entrée; là elle peut être en phase avec l'amplitude incidente, mais seulement pour les quelques radiations dont la longueur d'onde λ vérifie la relation

$$e = k\frac{\lambda}{2} \qquad (k = 1, 2, 3, \ldots),$$

e étant l'épaisseur de la lame. Si l'on admet que la lame est suffisamment mince pour que l'énergie perdue lors de sa traversée soit faible par rapport à l'énergie incidente, on voit que l'énergie présente sur la face de sortie sera supérieure à ce qu'elle est sur la face d'entrée. Supposons maintenant que la lame soit un peu absorbante (par exemple lame de verre légèrement teinté), la face de sortie doit être la plus chaude et ainsi s'explique l'effet photonégatif. Cette conclusion se trouve probablement renforcée par le fait que la réflexion sur la face d'entrée se produit avec le changement de phase π; devant cette face, à l'extérieur de la lame, il y a un minimum d'intensité lumineuse $(A - a)^2$; le passage de ce minimum à la valeur présente sur la face d'entrée, mais à l'intérieur, se fait sans doute de façon progressive par une couche très mince; il en résulte que l'énergie existant dans la lame, tout contre la face d'entrée est voisine de $(A - a)^2$, et ceci accentue l'écart entre les densités d'énergie présentes dans la lame sur les deux faces.

Le même effet photonégatif existe encore, au moins qualitativement, si l'on remplace la lame par une particule de forme quelconque; en particulier pour une particule sphérique, l'addition des amplitudes incidente et réfléchie sur la deuxième face n'est rigoureuse que sur une petite calotte sphérique percée par le diamètre parallèle à la direction de la lumière, elle l'est de moins en moins lorsque l'on s'éloigne de cette calotte. Mais c'est justement sur cette calotte que les chocs moléculaires produisant la photophorèse négative sont les plus efficaces.

Les considérations précédentes s'appliquent aux corps peu absorbants qui ont, pour le visible, des indices de réfraction supérieurs à l'unité; elles sont aussi valables, tout au moins qualitativement, pour les particules qui présentent l'absorption métallique; la réflexion sur la deuxième face d'une lame métallique se fait toujours avec un déphasage inférieur à π. Ainsi, pour l'argent, ce déphasage est de 37°; il est plus important que pour le verre; en revanche, l'amplitude réfléchie est plus grande pour l'argent et les particules suffisamment fines sont encore photonégatives. Pour ce métal et pour divers autres qui ont un indice de réfraction infé-

rieur à l'unité, il serait impossible de rendre compte de la photophorèse négative par un effet de lentille qui concentrerait, sur la deuxième face, la lumière tombant sur la première. Une telle explication ne pourrait s'admettre que dans le cas particulier de particules sphériques, grandes par rapport à la longueur d'onde et d'un indice de réfraction supérieur à l'unité.

Dans tous les cas, bien entendu, on passera de l'effet photonégatif à l'effet photopositif, si l'on augmente suffisamment soit l'épaisseur, soit l'absorption des lames ou des particules, car alors l'énergie incidente arrive fortement affaiblie sur la deuxième face.

Il serait intéressant de vérifier l'effet de photophorèse négative sur des plaques homogènes absorbantes suffisamment minces. Mais il faudrait que ces lames fussent d'épaisseur rigoureusement uniforme, pour éviter un mélange des effets positif et négatif. Des lames suffisamment minces et régulières pour donner l'effet radiométrique négatif s'inversant avec le sens de la lumière ne semblent pas avoir été réalisées jusqu'ici.

PHYSIQUE COSMIQUE. — *Sur l'origine des bursts de rayons cosmiques.* Note (*) de Mlle **Geneviève Rochet** et M. **Jean Daudin**, présentée par M. Frédéric Joliot.

A priori les bursts enregistrées avec des compteurs de Geiger noyés dans le plomb peuvent résulter soit d'une interaction nucléaire, soit de l'interaction électromagnétique de mésons μ de grande énergie; la contribution de ces deux phénomènes est discutée. Nous avons donc repris à Bagnères (550 m = 713 mm Hg) un enregistrement identique à celui qui fonctionne au Pic du Midi (1) (2860 m = 540 mm Hg). Nous avons repris la comparaison entre les deux altitudes et étudié de mai 1951 à juin 1952 le coefficient barométrique des bursts à Bagnères.

1. *Résultats.* — Avec l'appareil de Bagnères transporté au Pic on observe une fréquence égale à celle indiquée par l'appareil du Pic (96 % ± 3 % et 98 % ± 2 %).

A Bagnères la valeur moyenne des gerbes est de 0,253 ± 0,003 min^{-1} (12000 gerbes), au Pic 1,38 ± 0,05. Le rapport est 5,4 ± 0,2, égal à celui observé antérieurement (1) en renonçant à une correction probablement non fondée.

Le tableau ci-après donne les coefficients barométriques observés à Bagnères.

(*) Séance du 3 novembre 1952.

(1) A. Daudin, J. Daudin et R. Robley, *Comptes rendus*, **232**, 1951, p. 1197.

Période.	Nombre de gerbes.	Effet barométrique (en % par mm Hg).	Dispersion brute.	Dispersion après correction.	Corrélation gerbes Bagnères tempér. Pic.
Avril-juin 1951...	12 000	$-4,4 \pm 3,0$	1,1	1,0	–
Octobre » ...	6 000	$+0,6 \pm 4$	1,4	0,7	–
Novembre » ...	10 000	$-3,3 \pm 1,2$	1,4	1,1	$-0,01$
Décembre » ...	9 000	$-12,7 \pm 2,6$	1,7	0,6	$-0,26$
Janvier 1952.....	9 000	$-6,3 \pm 1,3$	1,9	0,7	$-0,48$
Février »	5 000	$-9,0 \pm 2,2$	1,5	0,9	$-0,03$
Mars »	7 500	$-5,2 \pm 1,3$	1,4	1,1	$-0,08$
Avril »	8 500	$-5,2 \pm 2,2$	1,1	1,0	$-0,02$
Mai-juin 1952 ...	12 000	$-1,1 \pm 2,0$	0,45	0,4	$-0,28$

La valeur moyenne de l'effet barométrique est $-5\,\%$, $1 \pm 1\,\%$, elle est voisine de celle de $-6,25\,\% \pm 0,7\,\%$ trouvée par Fréon et Tsai Chu (²) pour les gerbes de Rossi sous 18 cm de plomb.

2. *Discussion.* — L'effet barométrique est intermédiaire entre l'effet de la composante N et l'effet des mésons μ de grande énergie (qui doit être voisin de 0) et met en évidence le mélange des primaires à Bagnères. Si l'on adopte un parcours de 120 g/cm² pour la composante nucléaire et un facteur 1,3 pour les mésons rapides entre 560 et 2860 m, on obtient 92 % de composante nucléaire au Pic et un effet barométrique de $-11\,\%$ (contre $-10,7$ observé); à Bagnères, 67 % de composante N et un effet barométrique de 7,7 % (contre $5,1 \pm 1\,\%$ observé), un accroissement de 5,2 entre Bagnères et le Pic (contre 5,4 observé), 55 % de composante nucléaire au niveau de la mer, et 30 % de composante N à Paris sous 50 cm de béton (Laboratoire de l'E. N. S.). Dans ce cas le facteur Pic/Labo. E. N. S. serait de 11 contre 12 observé (²).

Dans l'ensemble ces résultats sont cohérents et confirment la présence d'une composante nucléaire notable au niveau de la mer d'accord avec les auteurs étrangers, et comme le confirment les clichés Wilson de Maze. Dans les premiers mètres de sous-sol, le nombre de gerbes devrait diminuer d'un facteur 2 en accord avec l'observation de Maze (absorption de la composante N). Il n'y a pas de contradiction apparente avec les résultats de Maze et Kessler (³).

3. *Primaires instables.* — Nous avons appliqué la correction barométriques aux moyennes journalières des observations de Bagnères et étudié la corrélation entre les moyennes corrigées barométriquement et les températures moyennes de l'air au Pic du Midi (couche d'air située à 2300 m au-dessus). On voit que ces corrélations quoique faibles sont toutes négatives, en accord avec l'hypo-

(²) *Comptes rendus*, **231**, 1950, p. 850.
(³) *Physica*, **18**, 1952, p. 528.

thèse d'un effet Blackett [avancée par nous (*)], selon laquelle les primaires de ces bursts électroniques seraient instables : une élévation de température de l'air entraînant une diminution de la densité, favorisant la disparition des primaires par désintégration.

Le parcours d'absorption de ces gerbes dans le plomb paraît anormalement élevé, une couche supplémentaire de 10 cm de plomb n'entraînant au Pic du Midi qu'une absorption supplémentaire de 16 ± 2 %

RADIOACTIVITÉ. — *Étude de minerais radioactifs par radiographie électronique par réflexion et autoradiographie combinées.* Note (*) de M. **Jean-Jacques Trillat** et Mme **Léa Tertian**, présentée par M. Louis de Broglie.

La combinaison de la méthode de radiographie électronique (émission superficielle d'électrons secondaires sous l'influence des rayons X) et d'autoradiographie permet de déterminer la répartition des éléments de numéros atomiques différents à la surface d'un échantillon poli de minerai radioactif, et leur corrélation avec les zones de radioactivité.

Les principes de la radiographie électronique par réflexion ont été établis par l'un de nous (1); on sait que cette méthode consiste essentiellement à utiliser l'émission des électrons secondaires qui sont produits lorsque des rayons X durs (de l'ordre de 200 kV) frappent des éléments de numéros atomiques différents. En se plaçant dans des conditions convenables, le nombre d'électrons émis est fonction croissante des numéros atomiques des éléments irradiés; il est alors possible, en impressionnant en retour une émulsion photographique peu sensible aux rayons X, d'obtenir des noircissements dus pratiquement aux seuls électrons et de valeurs différentes suivant le numéro atomique. On peut ainsi différencier, à la surface préalablement polie d'un minerai ou d'un alliage, des plages de constitution chimique différente, à la condition que les éléments à différencier possèdent des numéros atomiques suffisamment éloignés (2).

L'autoradiographie consiste à impressionner une émulsion photogra-

---

(*) A. Daudin et J. Daudin, *Comptes rendus*, 233, 1951, p. 150.

(*) *Note sur épreuves.* — Fany (*Phys. Rev.* 83, 1951, p. 413) aboutit à des conclusions analogues quant au rôle des gerbes de l'air, des mésons μ et de la composante N au moyen d'une chambre d'ionisation; il est donc permis de croire que nos compteurs dans le plomb enregistrent bien des gerbes mixtes d'environ 300 particules (nucléaires et surtout électroniques).

(*) Séance du 27 octobre 1952.

(1) J.-J. Trillat, *Comptes rendus*, 214, 1942, p. 164; *Ibid.*, 216, 1943, p. 179; *Ibid.*, 216, 1943, p. 683; *J. Appl. Phys.*, 19, 1948, p. 844; *Rev. Metall.*, 2, 1949, p. 79.

(2) J.-J. Trillat et Ch. Legrand, *Comptes rendus*, 224, 1947, p. 1000.

phique par les divers rayonnements (α, β, γ) émis par les éléments radioactifs naturels ou artificiels. L'étude de la densité photographique permet de localiser les constituants radioactifs et d'apprécier l'émission relative de plages correspondant à des noircissements différents.

Les deux méthodes peuvent être combinées, en remarquant que, pour une même émulsion et un même échantillon, les temps de pose en radiographie électronique sont très courts (de l'ordre de 1 à 2 m) par rapport aux temps de pose habituels en autoradiographie (plusieurs heures à plusieurs jours). Ainsi la radiographie électronique est-elle indépendante de la radioactivité.

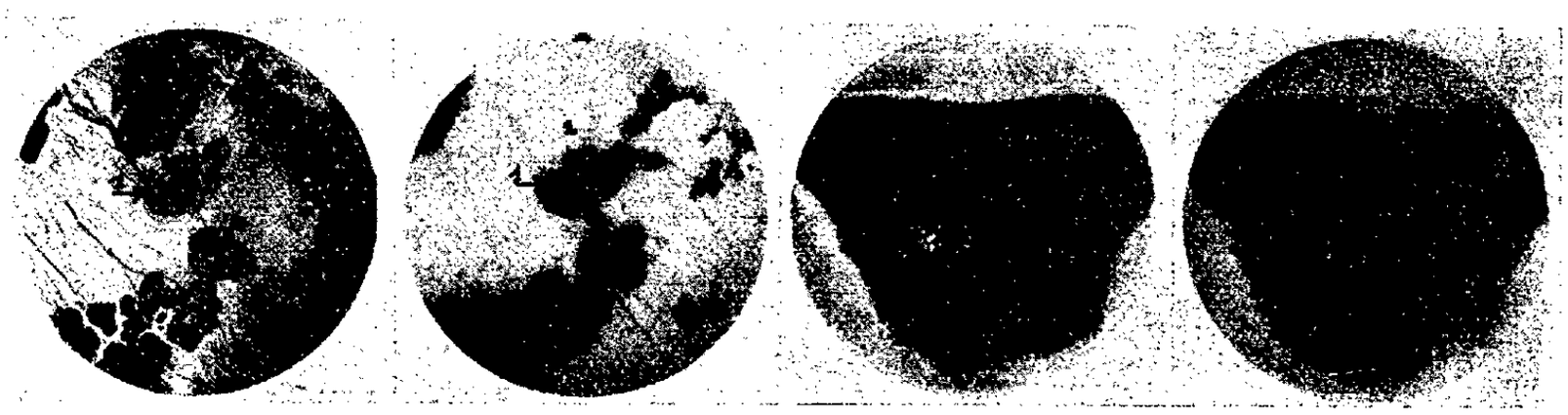


Fig. 1. Fig. 2. Fig. 3. Fig. 4.

Nous avons effectué de nombreux essais sur des minerais plus ou moins radioactifs (pechblendes, samarskites, monazites, thorites), en employant le même dispositif expérimental et le même type d'émulsion photographique (Pathélit ortho). Les minerais étaient préalablement polis et soigneusement nettoyés avant l'application contre le film photographique.

Dans tous les cas, la comparaison des clichés obtenus apporte des renseignements intéressants. Sur la figure 1, relative à une pechblende contenant de la galène et de la silice, la radiographie électronique (pose 2 mn) montre la disposition des plages riches en uranium (en noir), en plomb (en gris) et en silice (en blanc). La figure 2 représente, au même grossissement (1,7), la répartition des zones radioactives (pose 6 jours); on constate en particulier que les régions 1 et 2, de même densité sur la radiographie électronique, ont une activité totalement différente, la région 2 étant pratiquement inactive. On notera le flou des limites des zones radioactives, dues à une émission corpusculaire provenant non seulement de la surface, mais encore des couches sous-jacentes.

Sur un autre échantillon d'origine différente (Congo belge), la radiographie électronique (*fig.* 3, pose 2 mn; $\times$ 2,6) ne donne au contraire que peu de détails; le noircissement sensiblement uniforme montre une homogénéité dans la composition superficielle. Au contraire, l'autoradiographie (*fig.* 4, pose 3 jours) décèle des zones noires, nettement délimitées, correspondant à une forte radioactivité locale.

Les résultats varient suivant les échantillons, et nous n'avons reproduit ces clichés qu'à titre d'exemples; l'interprétation détaillée paraîtra dans un autre recueil. Des renseignements complémentaires peuvent être obtenus en effectuant des autoradiographies sur plaques nucléaires, qui mettent en évidence les trajectoires α et β.

Il est également possible de prévoir des applications aux cas de minerais ou d'alliages dont certains éléments sont rendus radioactifs artificiellement.

CHIMIE PHYSIQUE. — *Sur l'existence de deux causes distinctes d'absorption Debye dans le spectre hertzien. Application aux semi-conducteurs.* Note de Mme **Marie Freymann** et M. **René Freymann**, présentée par M. Jean Cabannes.

L'interprétation des propriétés diélectriques des liquides et des solides a toujours utilisé (avec des améliorations successives) la théorie de Debye de l'orientation dipolaire (1). Il semble que, du point de vue formel, cette théorie doive être conservée, mais qu'*il convient de distinguer désormais nettement deux types* (*au moins*) *de dipôles* de natures différentes : on admettait en effet jusqu'ici que l'orientation dipolaire était liée à *l'orientation de molécules* (liquides, glace) *ou de groupements d'atomes* (sels d'ammonium). Nous voulons souligner ici l'existence d'*une autre cause d'absorption du type Debye : l'absorption liée aux défauts du réseau cristallin.*

Nous avons montré précédemment (2) l'existence d'une forte absorption du type Debye, en ondes kilométriques, pour les oxydes d'uranium. Or la structure de ces oxydes, étudiée aux rayons X par Hering et Perio (3) *exclut totalement toute interprétation de cette absorption hertzienne des oxydes par une orientation de groupements d'atomes*. Breckenridge (4) avait d'ailleurs observé (à une seule fréquence) un phénomène semblable pour divers halogénures. Grâce à la représentation $\mathrm{Log}\,\nu_c - 1/T$ dont nous avions indiqué l'intérêt (2), nous réunissons dans la figure 1 des résultats de Breckenridge (4*a*); en supposant ($\varepsilon_0 = \varepsilon_\infty$), ceux de divers auteurs et des données que nous avons obtenues depuis nos précédentes communications (2). Nous tirons de cet ensemble les conclusions suivantes :

---

(1) H. Frohlich, *Theory of dielectrics*, Oxford, Clarendon Press, 1949; E. Bauer, *Cahiers de Phys.*, 20 et 21, 1944; *Congrès Changements de phase*, Paris 1952 (à paraître *J. Chimie Phys.*); R. A. Sack, *Australian J. Sc. Res.*, 5, 1952, p. 135.

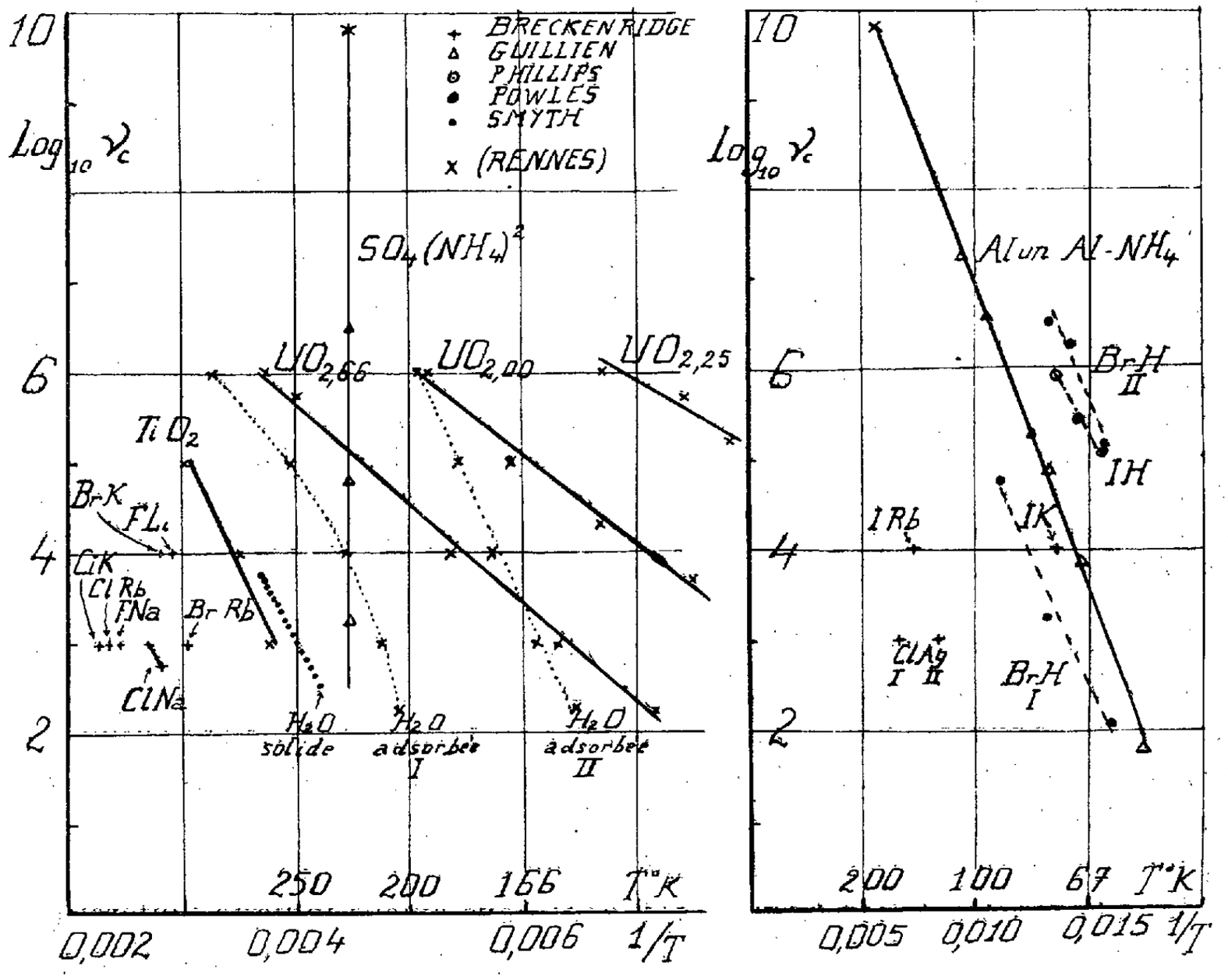
(2) *Comptes rendus*, 229, 1949, p. 1013; 230, 1950, p. 2094; 232, 1951, p. 1096; 232, 1951, p. 2312; 233, 1951, p. 1449. Mlles M. T. Rolland et S. Langevin, MM. R. Bernard et Tiennot, *Diplômes d'Études supérieures*, Rennes, 1951 et 1952.

(3) *Bull. Soc. Chim. France*, **19**, 1952, p. 351.

(4) *J. Chem. Phys.* : *a*. **16**, 1948, p. 959; *b*. **18**, 1950, p. 913.

1° Confirmant la formule $\nu_c = A \exp -U/RT$, la courbe $\mathrm{Log}\,\nu_c - 1/T$ est presque toujours une droite;

2° Étendant l'hypothèse de Breckenridge, on peut admettre que, dans le cas des oxydes comme dans celui des halogénures, *les dipôles résultent de l'association par paires + et — de lacunes ou d'ions intersticiels adjacents dans le réseau cristallin; le champ de haute fréquence extérieur crée une redistribution*



statistique de ces charges + et —. Nous poursuivons des recherches en vue de comparer ce mécanisme dipolaire pour divers semi-conducteurs; signalons dès maintenant que nous avons observé également de *fortes absorptions, en ondes kilométriques ou centimétriques, de* ZnO, TiO_2, V_2O_5 *et de* FeO, Fe_2O_3, ... *convenablement traités;*

3° L'utilisation des courbes $\mathrm{Log}\,\nu_c - 1/T$ permet de déterminer l'*énergie d'activation* U *de diffusion* des défauts du réseau ainsi que $A = \varepsilon_\infty + 2/(\varepsilon_0 + 2)2\pi\tau_0$ (d'où la fréquence $\nu_0 = 1/\tau_0$ de vibration du réseau cristallin);

4° De la valeur ε''_{max} on peut déduire (*a*) *le nombre n de défauts du réseau* par $\varepsilon''_{max} = [4\pi n/18kT](Ze_a)^2(\varepsilon_0 + 2)(\varepsilon_\infty + 2)$.

5° On peut alors se demander si les phénomènes observés pour les

hydracides ([5]) et les sels d'ammonium ([6]) ne correspondent pas aux deux types d'orientation dipolaire distingués ici.

En résumé, il existe deux types de phénomènes dipolaires : 1° *Ceux dus à l'orientation de molécules ou groupements d'atomes.* 2° *Ceux dus à l'existence de défauts dans le réseau cristallin.* Ceci nous conduit à souligner que l'absorption hertzienne constitue un nouveau et *précieux moyen d'étude de la structure des solides* (*défauts de réseau*) et notamment des composés non stœchiométriques.

CHIMIE MACROMOLÉCULAIRE. — *Sur la contraction isotherme du polystyrolène.* Note de M. **André Kovacs**, transmise par M. Jacques Duclaux.

On sait ([1]) que le coefficient de dilatation cubique du polystyrolène, présente une discontinuité de part et d'autre d'une certaine température, désignée souvent comme température de transition du deuxième ordre : T_g (*fig.* 1). Par ailleurs il est connu qu'au-dessous de T_g l'équilibre de volume n'est atteint que longtemps après l'établissement de l'équilibre thermique. Pourtant l'évolution isotherme du volume a été très peu étudiée jusqu'à présent. Nous exposerons ici quelques résultats concernant ce problème, obtenus par des mesures dilatométriques de précision.

1° Si l'on porte rapidement un échantillon de polystyrolène ayant séjourné à la température T_0 à une température T_i telle que $T_0 < T_i < T_g$, on sait ([2]) que la dilatation « instantanée » correspondant à l'établissement de l'équilibre thermique, est suivie d'une dilatation lente, « retardée ». Nous avons observé que si l'on attend suffisamment longtemps, cette dilatation lente est suivie elle-même d'une contraction. Le temps t_M où le volume passe par son maximum dépend aussi bien de la température T_i que de l'histoire thermique antérieure de l'échantillon.

2° Par contre si $T_i > T_g$ on n'observe aucun effet de temps, l'équilibre de volume est atteint en même temps que l'équilibre thermique.

3° Si un échantillon en état d'équilibre à $T_0 > T_g$ est rapidement refroidi à une température $T_i < T_g$, on observe que la contraction « instantanée » est suivie d'une contraction retardée. La figure 2 représente une famille de courbes où l'on a porté la contraction relative $\Delta V/V$ en fonction de $\log t$. On a pris arbitrairement comme origine les volumes au bout de 0,02 h (durée

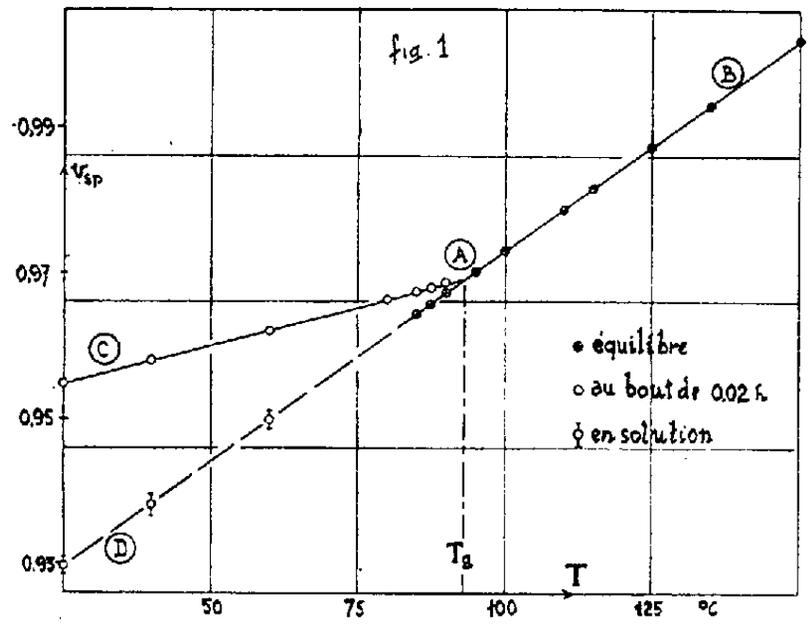
([5]) Smyth et Hitchcock, *J. Amer. Chem. Soc.*, 55, 1933, p. 1830; J. G. Powles, *J. Phys.*, **13**, 1952 p. 121; C. S. E. J. Phillips, *J. Phys.*, **13**, 1952, p. 216.

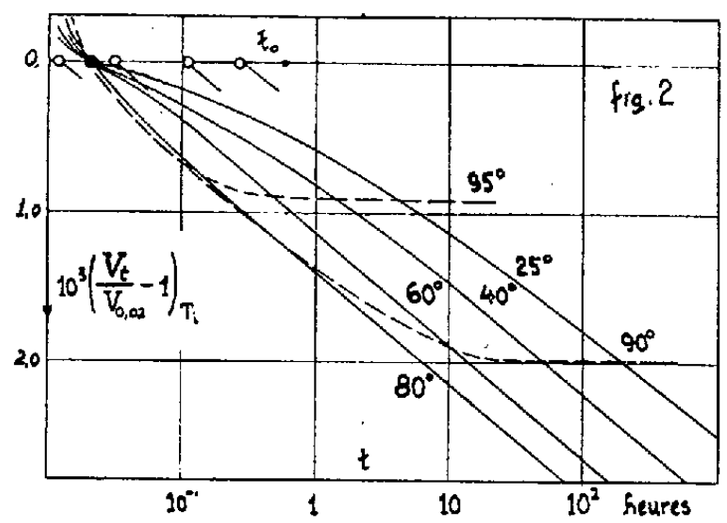
([6]) Mme M. Freymann, *Comptes rendus*, **233**, 1951, p. 1449.

([1]) E. Jenckel et K. Ueberreiter, *Z. Phys. Chem.*, A, **182**, 1938, p. 361.

([2]) R. F. Boyer et R. S. Spencer, *J. Appl. Phys.*, **17**, 1946, p. 398.

approximative de l'établissement de l'équilibre thermique) aux diverses températures T_i. On constate d'une part que dans les limites de durée de nos expériences (de l'ordre de 1000 h) les contractions isothermes tendent toutes vers des droites dont la pente, $\Delta V_t/V : \Delta \log t = \tau$ (taux de contraction), est indépendante de T_i. D'autre part pour des températures voisines de T_g les courbes de contraction, après avoir passé par une droite de pente τ, tendent vers une valeur constante de volume (courbes en pointillé).





Chacune de ces courbes est parfaitement reproductible même si l'on fait varier la température T_0 entre 100 et 150° C. De plus en opérant sur des échantillons de « passé thermique » différent, on obtient toujours les mêmes courbes de contraction. Il en résulte qu'*un court séjour à une température $T_0 > T_g$ efface l'histoire thermique antérieure de l'échantillon*. Par ailleurs pour des polystyrolènes de différentes fabrications on obtient toujours une famille de courbes semblables, en particulier τ garde la même valeur numérique. Il semble donc que *ce coefficient ait une signification réelle et caractérise la configuration moléculaire du polystyrolène.*

Aux températures $T_i \lesssim T_g$ où l'on a pu atteindre l'équilibre de volume on a constaté que ces volumes se placent (*fig.* 1) sur la droite AD, prolongement de AB (représentant les volumes d'équilibre entre 100 et 150° C). Par ailleurs en ajoutant à nos échantillons un volume déterminé d'un mélange de benzène et de phtalate de butyle (1 : 1), nous avons pu suivre à diverses températures T_i la contraction de volume de l'ensemble lors de la dissolution. Cette contraction était identique avec une bonne approximation à l'écart entre les deux droites AC et AD à la température T_i. Si l'on admet que la droite AD représente bien les volumes d'équilibre, on peut calculer, par extrapolation des droites de la figure 2, l'ordre de grandeur du temps nécessaire pour atteindre ces valeurs à diverses températures. Ce temps croît exponentiellement avec $1/T_i$, l'énergie d'activation apparente étant de l'ordre de 260 Kcal/mol.

Il résulte de ces considérations que dans certaines limites de temps et de température on peut exprimer, en première approximation, le volume spécifique du polystyrolène par

$$v_{sp} = v(T_g)\,[1 - \alpha_{inst}(T_g - T_t)]\left(1 - \log\frac{t}{t_0}\right),$$

où $v(T_g)$ est le volume spécifique à T_g, $\alpha_{inst} = (2{,}2 - 2{,}5)\,10^{-4}$, suivant la nature de l'échantillon, $\tau = (7{,}5 \pm 0{,}2)\,10^{-4}$ et t_0 le temps obtenu par extrapolation linéaire (*fig.* 2) pour une contraction égale à zéro. Ce temps croît exponentiellement avec $1/T_t$, et l'énergie d'activation apparente est de l'ordre de 12 Kcal/mol. *Le volume spécifique du polystyrolène est donc fonction de son « âge », c'est-à-dire du temps qui s'est écoulé depuis qu'il a été porté pour la dernière fois au delà de* T_g.

CHIMIE COLLOÏDALE. — *Détermination de la concentration critique des micelles de détergents anioniques par titration colorimétrique au moyen d'un colorant cationique : le chlorure de pinacyanol.* Note de Mlle **Madeleine Raison**, transmise par M. Jacques Duclaux.

On décrit une méthode de titration colorimétrique simple et rapide pour déterminer la concentration critique des micelles de toute une série de composés tensioactifs. On compare les résultats obtenus à ceux que peuvent donner les courbes de tension superficielle.

L'un des intérêts de la détermination de la concentration critique de formation des micelles des solutions de produits tensioactifs (1) réside dans le fait que c'est à partir de cette concentration que tous les « pouvoirs » moussant, mouillant, émulsionnant, détergent, présentent leur maximum d'efficacité.

Les courbes de tension superficielle ne permettent presque jamais de situer cette valeur d'une manière précise : absence de point critique, anomalies dues à des phénomènes d'hydrolyse (2).

La titration colorimétrique au moyen de chlorure de pinacyanol (Eastman Kodak), étudiée par H. B. Klevens (3), est beaucoup plus précise. Les caractéristiques d'attraction et de structure respectives du détergent et du colorant pourraient expliquer leur interaction, d'après S. E. Sheppard et A. L. Geddes (4).

Technique. — On pèse 0,020 g environ du produit dont on veut déterminer

(1) H. S. Hartley, *Act. Sci. Ind.*, 387, 1936, p. 23.

(2) M. Raison, *Mém. Serv. Chim. État*, 37, 1952 (sous presse).

(3) M. L. Corrin, H. B. Klevens et W. Harkins, *J. Chem. Phys.*, 14, 1946, p. 481; H. B. Klevens, *J. Phys. Coll. Chem.*, 51, 1947, p. 1143.

(4) *J. Chem. Phys.*, 13, 1945, p. 63; 14, 1946, p. 216.

la concentration critique et c'est directement sur ce produit pur qu'on ajoute goutte à goutte la solution aqueuse de colorant à 0,03 g/l.

Les micelles étant toujours en équilibre avec la solution moléculaire, le bleu (solution dans la micelle) et le rose se superposent tant que l'on n'a pas atteint la concentration correspondant à une solution moléculaire. Les titrages ont été effectués aux environs de 50°, température au moins égale à celle du point de Krafft des corps étudiés.

Concentration critique des micelles (*C. M. C.*).

Produits (*).	Titration colorimétrique à ≈ 50° (M.10^3).	Tension superficielle (**) à 60° (M.10^3).
Laurate K.....	21,37–21,42–21,46	10 < C. M. C. < 200
Laurate Na.....	18,5–19,7	10 < » < 200
Laurylsulfate Na.....	4,8–5,6–4,6	4 < » < 10
Dodécanol de sulfate Na.....	9,55–12,3–10,6	10 < » < 20
Laurylsulfate Li.....	7–6,8	5 < »
Laurylsulfate K.....	5,6–4,7	4 < »
Laurylsulfonate Li	9,9–10,1	10 < » < 20
Laurylthiosulfate Na.....	3,04–2,9	2 < » < 8
Lauryléthylsulfonate Na.....	4,14–4,16	4 < »
Myristylsulfate Li.....	1,57–1,7	2 < » < 5
Cétylsulfate Li.....	0,33–0,24	0,5 < » < 25
Undécylthiosulfate Na	6,6–7,3	10 < » < 20

(*) Préparés par J. Bolle, laboratoire central des services chimiques de l'état.

(**) Mesurée avec le tensiomètre de Lecomte du Nouÿ; la concentration minima correspond au minimum de tension superficielle, la concentration maxima. à celle où commence le palier horizontal ou oblique (5).

On constate :

1° Un assez bon accord entre les valeurs obtenues par les deux méthodes;

2° une plus grande précision par la méthode de titration colorimétrique;

3° que les concentrations les plus faibles correspondant au minimum de tension superficielle sont généralement inférieures à celles trouvées par titration colorimétrique bien que très proches de ces dernières; ceci peut être dû au fait que pour les mesures de tension superficielle on utilise le *phénomène de surface* et dès que la concentration est suffisante pour former une micelle, elle s'adsorbe à la surface; tandis que pour la titration colorimétrique on fait appel à l'équilibre dans *la masse* entre les micelles et la solution moléculaire.

La méthode de titration colorimétrique exposée ci-dessus est une méthode simple et rapide pour déterminer la concentration critique de formation des micelles, quand le produit à étudier se dissout à une température inférieure à 55°, température limite au-dessus de laquelle le colorant est altéré.

(5) J. Bolle, *Mém. Serv. Chim. État*, 37, 1952 (sous presse).

CHIMIE ORGANIQUE. — *Sur des bis-oxazolidones dérivées de biacides acycliques.* Note de MM. **Raymond Delaby, Pierre Chabrier** et **Henry Najer**, présentée par M. Marcel Delépine.

Ayant indiqué antérieurement (¹) la voie d'accès aux *bis*-iodures d'ammonium quaternaires de formule générale

$$I^-\left[(CH_3)_3\overset{+}{N}-CH_2-CH_2-O-CO-NH-(CH_2)_n-NH-CO-O-CH_2-CH_2-\overset{+}{N}(CH_3)_3\right]I^-,$$
(I)

nous nous proposions, en vue d'une expérimentation pharmacodynamique, de préparer des sels analogues dans lesquels le motif central serait

$$-CO-(CH_2)_n-CO-$$

au lieu de $-(CH_2)_n-$.

Dans ce but, nous pensions condenser en un premier temps les chlorures des diacides $ClCO-(CH_2)_n-COCl$ avec le carbamate de β-chloro ou β-iodo éthyle, ce qui donnerait les *bis*-carbamates de formules respectives :

$$ClCH_2-CH_2-O-CO-NH-CO-(CH_2)_n-CO-NH-CO-O-CH_2-CH_2Cl,$$
(III)

$$ICH_2-CH_2-O-CO-NH-CO-(CH_2)_n-CO-NH-CO-O-CH_2-CH_2I.$$
(IV)

L'action de la triméthylamine sur les dérivés diiodés (IV) conduirait alors aux dérivés ammoniums quaternaires cherchés.

1. En fait, en série acyclique, la condensation initiale s'effectue conformément aux prévisions, au bain-marie bouillant, sans milieu intermédiaire et avec des rendements variant selon le chlorure de diacide mis en œuvre, entre 45 et 75 % pour les *bis*-carbamates chloréthylés (III), entre 45 et 65 % pour les analogues iodéthylés (IV).

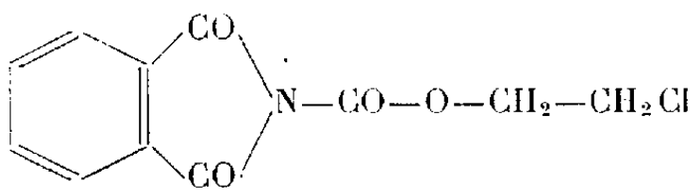
Nous avons de cette manière obtenu les *bis*-carbamates dans lesquels $n = 0$ (oxalyle), $n = 2$ (succinyle), $n = 4$ (adipyle), $n = 8$ (sébacyle) tandis que pour $n = 1$ (malonyle), nous avons substitué l'acide au chlorure d'acide, en nous inspirant de la technique décrite par Conrad et Schulze (²) pour le carbamate d'éthyle. En maintenant au bain-marie bouillant durant 5 à 6 h au sein de l'anhydride acétique, 1 mole d'acide malonique et 2 moles de carbamate de β-chloro (ou iodo) éthyle, nous avons isolé 45 % environ de dérivé chloré (III) et 65 % de dérivé iodé (IV). Cette méthode ne paraît pas applicable aux homologues supérieurs de l'acide malonique; avec l'acide succinique, tout au moins, nous avons simplement récupéré les matières premières inchangées.

(¹) *Comptes rendus*, 235, 1952, p. 376.
(²) *Ber.*, 42, 1909, p. 734.

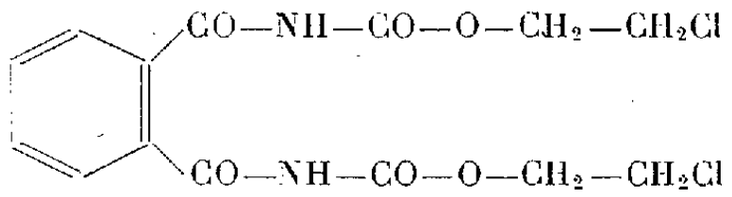
La substitution du chlore par l'iode dans ces dérivés a été également tentée par la méthode classique : ébullition prolongée des dérivés chlorés (III) avec un grand excès d'iodure de sodium dissous dans l'acétone anydre. Résultat inconstant : transformation pour 60% dans le cas du composé succinylé, seulement quelques centièmes, au plus 10, pour le dérivé malonylé.

Les *bis*-carbamates (III) et (IV) sont des corps cristallisés, blancs, peu solubles à froid comme à chaud, dans l'eau, l'alcool, le benzène. Solvant de choix pour la recristallisation : l'acide acétique.

2. La même condensation effectuée avec le chlorure d'*o*-phtalyle aboutit à un monocarbamate (V) et non à un *bis*-carbamate (VI) comme en série acyclique



(V)

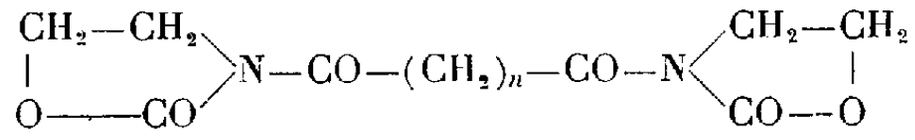


(VI)

N% trouvé : 5,47; calculé pour (V) : 5,53; calculé pour (VI) : 7,43;
Cl% » : 13,77; » : 14,03; » : 18,83.

Basterfield, Woods et Whelen (3) prétendent avoir obtenu le phtalyl-*bis*-carbamate d'éthyle dans l'interaction chlorure d'*o*-phtalyle et carbamate d'éthyle. La répétition de leur expérience nous a donné un monocarbamate : N % : trouvé, 6,31 ; calculé pour mono, 6,39; calculé pour di, 9,09.

3. La triméthylamine ne s'ajoute pas aux dérivés iodés du type (IV) pour conduire aux iodures d'ammoniums quaternaires que nous escomptions ainsi préparer. La mobilité de l'hydrogène dans les groupes —NH— est si grande que l'amine tertiaire élimine les éléments de l'acide iodhydrique, la double cyclisation produisant des *bis*-oxazolidones (VII) :



(VII)

Leurs caractères extérieurs et leurs solubilités sont analogues à ceux des carbamates (III) et (IV). Les points de fusion de ces dérivés sont rapportés ci-dessous :

n.....	= 0.	= 1.	= 2.	= 4.	= 8.
Bis-carbamate (III) (°)...	198–199	168–169	179–180	186–187	170–171
» (IV) (°)....	229	177–178	205–207	217–218	181
Bis-oxazolidones (VII) (°).	238	169	–	138	–

(3) *J. Amer. Chem. Soc.*, **49**, 1927, p. 2945.

CHIMIE ORGANIQUE. — *Sur la désamination des acides o-m-p-aminobenzoïques et de l'acide p-aminosalicylique (2-hydroxy-4-aminobenzoïque) par l'acide nitreux selon D.-D. van Slyke.* Note de MM. **Paul Cristol, Christian Benezech** et **André Crastes de Paulet**, présentée par M. Maurice Javillier.

Au cours de l'étude de la désamination des acides aminés par l'acide nitreux, nous avons constaté que les trois acides ortho, méta et para-aminobenzoïques ne sont pas désaminés dans ces conditions (1). Nous avons par ailleurs montré (2) et (3) que la vitesse de désamination des amino-acides est d'autant plus grande que la constante de dissociation du carboxyle est elle-même plus élevée. La constatation précédente se trouve alors expliquée par la dissociation pratiquement nulle de ces trois acides comme l'indique Edsall (4); les rapports du nombre de molécules dissociées au nombre de molécules non dissociées sont en effet les suivants :

Acide *p*-aminobenzoïque (P. A. B.).....	0,135
» *o*-aminobenzoïque (O. A. B.).....	0,20
» *m*-aminobenzoïque (M. A. B.).....	2,29

Par contre, l'acide *p*-aminosalicylique (P. A. S.) est très rapidement désaminé par l'acide nitreux; la constante de vitesse de réaction à 16°, calculée par la formule habituelle des réactions monomoléculaires irréversibles est 1,31 soit le double de celle de l'alanine *dans les mêmes conditions*. Il était donc intéressant de connaître, pour ce composé, le nombre de molécules dissociées par rapport au nombre de molécules non dissociées, ce qui peut être fait par application de la formule suivante dont le principe est dû à Ebert (5)

$$\text{Log } K_z = \text{Log}\left(\frac{K_1}{K_E} - 1\right),$$

dans laquelle : K_z, rapport cherché; K_1, constante de dissociation du carboxyle de l'acide *p*-aminosalicylique; K_E, constante de dissociation d'un ester de cet acide (2). Les déterminations de K_1 et K_E s'effectuent par des mesures potentiométriques selon Sörensen (6). On trouve dans ces conditions :

$$pK_1 = 1,60 \qquad pK_E = 10,47.$$

(1) Nous avons utilisé, pour ces mesures, l'acide *p*-aminosalicylique et le *p*-aminosalicylate de phényle purs mis à notre disposition par le Professeur Paul et les Établissements Rhône-Poulenc. Nous les avons employés en solution M/10 dans un mélange de 48% d'acétone et 52 % d'eau.

(2) Pierre Cristol, *Thèse Médecine*, Montpellier, 1952.

(3) Paul Cristol, C. Bénezech et S. Lissitzky, *Bull. Soc. Chim. biol.*, **31**, 1949, p. 150.

(4) Cohn and Edsall, *Proteins, Amino-acids and Peptides*, New-York, 1943.

(5) *Z. Physik. Chem.*, **121**, 1926, p. 385.

(6) *Biochem Z.*, **21**, 1909, p. 131.

D'où : $\text{Log}\,K_z = pK_E - pK_1 = 8,87$ (formule simplifiée) et $K_z = 7,38.10^8$.

Le nombre de molécules dissociées est donc extrêmement élevé par rapport au nombre de molécules non dissociées; ce fait explique la facile et rapide désamination de l'acide *p*-aminosalicylique.

Si l'on prend l'alanine comme acide aminé de référence, on peut établir le tableau ci-dessous :

	Alanine.	P. A. S.	P. A. B.	M. A. B.	O. A. B.
pK_1	2,39	1,60	2,32	3,04	2,03
pK_E	7,80	10,47	2,38	3,56	2,09
$\text{Log}\,K_z$	5,41	8,87	—0,87	0,36	—0,70
$\frac{\text{Molécules dissociées}}{\text{Molécules non dissociées}}$	257.10^3	730.10^6	0,135	2,29	0,20
Constante de vitesse de désamination par rapport à l'alanine	1	2	0	0	0

Il en résulte que la valeur de la constante de vitesse de désamination d'un acide aminé dépend du nombre de molécules dissociées par rapport aux molécules non dissociées. Les chiffres sont particulièrement suggestifs avec les acides *o*- *m*- et *p*-aminobenzoïques d'une part, l'acide *p*-aminosalicylique d'autre part.

MINÉRALOGIE. — *Sur le mécanisme de diffusion de l'hélium dans les zircons.* Note de M. **Paul Pellas**, présentée par M. Charles Mauguin.

Dans un article récent (1), P. M. Hurley, étudiant des zircons et des sphènes en vue de déterminer leur âge géologique par une modification de la méthode à l'hélium, attribue en particulier à l'ionisation produite par les rayons α, les dommages observés dans les structures cristallines des zircons. L'ionisation permettrait, en outre, aux atomes d'hélium de diffuser plus facilement dans le réseau cristallin perturbé.

Les dommages produits dans un solide par les rayonnements de particules lourdes chargées dépendent du type de liaison des atomes dans le réseau. S'il est justifié d'admettre que dans les composés moléculaires les effets de l'ionisation suffisent à détruire ou à modifier la structure (2), dans les composés ioniques ou à ionicité prépondérante, l'ionisation, tout en perturbant le système électronique (création de centres F, F′, etc.) n'amène cependant pas un passage à la structure désordonnée décelable aux rayons X.

Le zircon ne possède pas un réseau exclusivement ionique (3), mais

(1) *Trans. Amer. Geophys. Union*, 33, 1952, p. 174.

(2) B. Stech, *Z. Naturforsch.*, 7 *a*, 1952, 2, p. 175.

(3) W. Huckel, *Structural Chemistry of Inorganic Compounds*. II, Elsevier, New-York, 1950, p. 575.

si un rayonnement ionisant peut entraîner un changement de coloration dans le cristal, la transition à l'état amorphe ne s'explique que dans la mesure où la proportion des atomes déplacés *d'une manière permanente* et à la température normale, à la suite des chocs élastiques avec les particules lourdes (rayons α, noyaux de recul) au-dessous de leur seuil d'ionisation, devient importante par rapport au nombre d'atomes encore maintenus en des sites réticulaires normaux (4). Ces atomes interstitiels, et les lacunes qui en résultent, suffisent à expliquer la transition à l'état de désordre et la plus grande perméabilité à la diffusion de l'hélium.

Calculons le nombre d'atomes déplacés dans le cas de trois zircons étudiés par Hurley. Pour faciliter les calculs, nous ferons les hypothèses suivantes :

a. la radioactivité de ces zircons est uniformément répartie dans le réseau (dispersion atomique du thorium);

b. chaque atome du réseau est lié avec une énergie moyenne de 10 eV;

c. le seuil d'ionisation choisi correspond à la vitesse d'un électron ayant une énergie de 1 eV, ce qui signifie implicitement que le premier niveau d'excitation électronique dans $ZrSiO_4$ présente une énergie de 8 eV. Ce n'est là qu'une valeur plausible que l'expérimentation modifiera. Nous considérerons enfin la moyenne des énergies des rayons α et des noyaux de recul associés de la série du thorium, ainsi que le nombre et le poids atomiques moyens des éléments constituant le cristal.

En effectuant le calcul avec ces hypothèses (5), nous trouvons qu'un rayon α et son noyau de recul déplacent adiabatiquement (6) 110 et 781 atomes, c'est-à-dire globalement près de 900 atomes.

En tenant compte de l'activité α par milligramme et par heure mesurée par Hurley, et de l'âge géologique probable du zircon, on peut calculer le flux N de rayons α, émis dans l'angle solide 4π, en considérant d'une part un poids spécifique moyen de 4,5 et une épaisseur efficace de 23,4 μ (équivalente au parcours moyen des rayons α de la série du thorium dans le cristal). Il est facile alors d'évaluer le pourcentage d'atomes déplacés dans le reseau des trois cristaux.

Zircons n°	Age géologique (millions d'années).	N (α/cm^2).	Nombre d'atomes déplacés.	% d'atomes déplacés.
1678.....	1050	$1,4.10^{16}$	$1,2.10^{19}$	5,7
1800.....	920	$5,2.10^{16}$	$4,6.10^{19}$	21,1
1805.....	920	$12,7.10^{16}$	$11,3.10^{19}$	51,6

(4) P. Pellas, *Comptes rendus*, **233**, 1951, p. 1369; **234**, 1952, p. 538.

(5) F. Seitz, *Disc. Farad. Soc.*, **5**, 1949, p. 271.

(6) Les déplacements ne sont pas strictement adiabatiques (*cf.* N. Bohr., *Danske Vidensk. Selsk. Mat. fys. Medd.*, **18**, n° 8, 1948).

Ces résultats ne représentent qu'un ordre de grandeur. En dehors des simplifications admises, nous n'avons pas tenu compte du fait que les atomes déplacés en des positions interstitielles ne sont plus liés dans le réseau avec une énergie de 10 eV, mais par des forces du type Van der Waals. En outre, quand le taux d'irradiation croît, dans la proportion d'atomes déplacés effectivement calculée, une part croissante comprendra des atomes ayant déjà subi des chocs répétés qui peuvent alors réacquérir une position normale ou se placer à nouveau en position d'insertion. De plus, nous ne tenons pas compte du processus spontané de « guérison » qui peut être important dans les composés à ionicité prépondérante. Une erreur par excès intervient donc dans le pourcentage théoriquement calculé d'atomes déplacés et cette erreur est proportionnelle au taux d'irradiation. Néanmoins, l'ordre de grandeur des résultats correspond bien d'une part à la transition ordre-désordre presque complète que l'on constate sur le cliché de rayons X de l'échantillon n° 1800, transition qui est d'autre part totale dans le diagramme du zircon n° 1805.

En définitive, la diffusion de l'hélium s'explique qualitativement par les lacunes ainsi créées. Du temps origine au temps t_1, les vacances sont encore relativement rares et la concentration d'hélium dans le réseau augmente presque uniformément. A la fin de cet intervalle de temps, la perte par diffusion est déjà notable, même si elle n'équilibre pas encore le taux de formation de l'hélium. A partir du temps t_1, et pendant une très courte période, un équilibre se réalise entre les taux de production et de diffusion de l'hélium; mais à mesure que le nombre de vacances continue à croître, le taux de diffusion augmente jusqu'à dépasser le taux de formation de l'hélium. La concentration d'hélium dans le réseau ira alors en décroissant.

C'est bien là le mécanisme observé par Hurley.

RADIOCRISTALLOGRAPHIE. — *Détermination des désorientations réticulaires par diffraction des rayons* X *transmis dans les monocristaux*. Note de MM. **Honoré Lambot** et **Lawrence Vassamillet**, présentée par M. Charles Mauguin.

Un faisceau de rayons X issu d'un foyer fin réalisé par concentration électrostatique sur une anticathode en molybdène est réfléchi sur un monochromateur à quartz courbé. Ce dernier est soigneusement réglé de manière à permettre la séparation nette du doublet Kα. La composante Kα_2 est éliminée à l'aide d'un couteau effilé réglable et disposé à environ 1 cm du point de focalisation. Les échantillons monocristallins placés en cet endroit sont ainsi irradiés par la bande Kα_1 ayant la forme d'une petite droite réglable en hauteur et de 60 μ de largeur.

Le régime du tube est de 2 mA à 40 kV.

1. Les cristaux réels entraînés dans une oscillation continue donnent, en quelques minutes et à une dizaine de centimètres, des taches de Bragg dont la forme et les dimensions aisément prévisibles sont indépendantes de la perfection géométrique du réseau. Par contre, la répartition interne de l'intensité diffractée n'est pratiquement jamais uniforme et est systématiquement caractérisée par une striation bien marquée. L'orientation de ces stries d'intensité variable est celle de la tangente aux hyperboles constituant les rangées de taches obtenues sur film plan.

Cette structure, inobservée à ce jour et pourtant très générale, peut être rattachée aux désorientations des normales réticulaires dans un plan vertical et aux variations du facteur d'extinction dans la région irradiée.

2. Si le cristal est laissé fixe en position de réflexion pour une famille de plans verticaux et si le film est placé à grande distance (1 à 2 m), il est possible de mesurer avec grande précision la désorientation maximum des normales horizontales dans le volume intéressé à partir de la détermination de l'ouverture azimutale du faisceau réfléchi.

Le calcul de la largeur instrumentale en fonction de l'épaisseur traversée et de la largeur du faisceau nous a conduits à la valeur

$$L = \left| E \frac{\sin 2\theta}{\sin(\theta - \alpha)} \right| + \left| \mp \frac{\sin(\theta + \alpha)}{\sin(\theta - \alpha)} \sin(\theta - \alpha + \beta) \right|,$$

où est E, l'épaisseur du cristal; F, la largeur du faisceau à la focalisation; θ, l'angle de Bragg; α, l'angle du plan réflecteur avec la surface du cristal; β, l'angle de la surface du cristal avec le plan perpendiculaire au rayon incident moyen.

Dans cette formule, les angles aigus α et β doivent être comptés positivement vers la surface du cristal à partir respectivement du plan réflecteur et du plan perpendiculaire au rayon incident moyen, dans le sens des aiguilles d'une montre.

Cette expression montre que la largeur instrumentale est la plus faible pour un angle θ minimum et un angle voisin de $(90° - \alpha)$. Dans ces conditions, on voit qu'il est possible de mettre en évidence des écarts angulaires aussi faibles que 10 à 20 s. Bien qu'une telle détermination exige l'adoption d'une grande distance film-échantillon (1 à 2 m), elle n'entraîne pourtant qu'un temps de pose de l'ordre d'une heure avec des cristaux dont l'épaisseur est optimum pour Mo Kα_1.

Mais la forme de la tache et la répartition de l'intensité nous permettent, de plus, de fixer les variations de l'imperfection dans les différentes portions de la tranche cristalline de 60 μ de largeur.

3. Si nous décomposons le domaine de réflexion en une série de positions discrètes pour le cristal et si, entre deux poses successives, nous décalons le film en translation, nous pouvons mesurer des désorientations azimu-

tales supérieures à l'angle d'ouverture du faisceau et également suivre l'évolution de l'intensité diffractée aux différents niveaux de la zone étudiée en relation avec les imperfections citées plus haut.

Nos recherches ont porté sur des cristaux minéraux, organiques et métalliques qui, jusqu'à présent, nous ont toujours permis de confirmer les faits précités. Il nous a été presque impossible de trouver des monocristaux vraiment parfaits et les échantillons les meilleurs à ce point de vue semblent ceux de quartz qui révèlent rarement des décalages angulaires supérieurs à 10 ou 20 s. Ce résultat confirme les observations de Guinier et Tennevin (1) par la méthode du Laue focalisé basée sur l'examen d'une zone beaucoup plus large dans le cristal.

GÉOLOGIE. — *Géologie des collines sous-vosgiennes entre la Thur et le Silbach.* Note de M. **Georges Dubois**, Mlles **Suzette Gillet** et **Thérèse Kolb**, transmise par M. Pierre Pruvost.

Depuis la parution de la carte géologique au 1/80 000 du département du Haut-Rhin dressée par J. Delbos et J. Koechlin-Schlumberger (1865), rien de très précis n'avait été publié sur la cartographie des collines sous-vosgiennes au Sud-Ouest de la Thur, si l'on excepte la région de Lauw entre la Doller et le Silbach affluent de celle-ci. On sait (1) qu'ici un champ de fractures triaso-jurassiques, riche de Saxonien à la base et de Rauracien au sommet, s'étale sur 3 km de large entre la montagne schisto-grauwackeuse viséenne et les coteaux oligocènes essentiellement marneux du palier de Senthein.

Nous avons revu la bande de collines triaso-jurassiques au Nord-Est du Silbach, région d'observation géologique difficile, en raison de l'étroitesse de ses affleurements, et de leur couverture boisée subcontinue.

La montagne schisto-grauwackeuse s'élève au voisinage de la faille vosgienne vers les altitudes 500 à 700 m; les coteaux oligocènes entre 300 et 500 m.

Les masses triaso-jurassiques s'observent vers 350-375 m, aux débouchés des rivières vosgiennes, et jusqu'à 500 m sur les hauteurs entre ces rivières. On peut les localiser en quatre points qui sont successivement du Nord-Est au Sud-Ouest : 1° rive droite du Steinby; 2° au Rigisbourg, face à Leimbach; 3° entre Rammersmatt et le Kaltenbach; 4° en rive gauche du Silbach. Entre ces divers affleurements, l'oligocène marneux s'applique directement contre la montagne grauwackeuse, sur environ 300 m, entre le 1er et le 2e d'entre eux, sur 2 km entre le 2e et le 3e, d'une part, et entre le 3e et le 4e, d'autre part. Si en certains lieux les formations sont en place (nous voulons dire simplement

(1) *Acta Cryst.*, **2**, 1949, p. 133.

(1) S. Gillet et D. Schneegans. *Bull. Serv. Cart. Géol. Als. et Lorr.*, **2**, 3, 1935, p. 163-193, 5 fig., pl. XVI.

dérangées par une tectonique faillée postoligocène), en d'autres elles se présentent en désordre d'éboulement, le dérangement ayant d'ailleurs été de faible étendue.

Les formations suivantes ont été reconnues :

JURASSIQUE-BAJOCIEN SUPÉRIEUR : Grande Oolithe (souvent avec grandes oolithes).

AALÉNIEN SUPÉRIEUR : Argile gréseuse à Bélemnites et *Pecten pumilus*, au Rigisburg.

AALÉNIEN INFÉRIEUR-CHARMOUTIEN-LOTHARINGIEN : Argile livrant le long d'un sentier en pente, sur une longueur de 100 m au Rigisburg, face à Leimbach : *Amaltheus spinatus, A. margaritatus, Arnioceras,* Belemnite charmouthienne, *Trochus subduplicatus, Isastrea Bernardina*. D'une manière générale les fossiles stratigraphiquement élevés se trouvent en bas de la pente, à l'inverse des autres, indication d'une forte inclinaison, avec failles vraisemblablement multiples.

TRIAS. FRANCONIEN (FRÉDÉRICIEN SUPÉRIEUR) : Calcaire coquillier *Cœnothyris vulgaris*, affleurement large de 250 m à Rammersmatt, de 10 m au Silbach.

VOGÉSIEN : affleurement de grès éboulés, vraisemblablement VASLÉNIEN-SAVERNIEN avec poudingue de Sainte-Odile, au Steinby et à Rammersmatt. Grès vosgien savernien au Silbach (affleurement large de 15 m) au bas du coteau de Bergwald.

ANTÉTRIASIQUE : Argiles, grès, arkoses rouges, saxoniens et rhyolithes en blocs, vraisemblablement autuniennes.

Conclusion. — Le Silbach sépare dans le champ de fractures sous-vosgien deux régions bien tranchées : une région au Nord, couronnée stratigraphiquement par le Bajocien, les couches plus élevées ayant été enlevées par l'érosion antéoligocène, comme presque partout en Alsace (faciès vosgien) (2); une région au Sud où la série stratigraphique est pratiquement complète jusqu'au Rauracien inclus (faciès jurassien) (2).

Une opposition si tranchée à 200 m d'éloignement seulement, semble indiquer qu'une tectonique brusque, vraisemblablement faillée, a déjà joué à l'antéoligocène.

GÉOLOGIE. — *Structure géologique de la façade atlantique de la Vendée et plissements posthumes en Aquitaine.* Note de M. **GILBERT MATHIEU**, transmise par M. Pierre Pruvost.

Les cartes marines de la plate-forme continentale au large des côtes du Bas-Poitou attirent l'attention sur le relief très particulier du plateau sous-marin de Rochebonne situé à 56 km au Sud-Ouest des Sables-d'Olonne et 60 km au Sud de l'île d'Yeu. Ce plateau sous-marin comprend un chapelet de pitons rocheux qui s'alignent suivant 10 km en parfaite direction sud-armoricaine avec un parallélisme remarquable par rapport à l'allongement de l'île d'Yeu. Le piton Nord atteint la cote — 4, tandis que le piton Sud s'élève à — 8; cette crête à peine submergée domine du côté

(2) S. GILLET, *Ibid.*, 4, 1937, p. 100.

Ouest un relief de faille qui nous fait passer brusquement à — 60 et puis rapidement à — 90; l'inclinaison de la plate-forme est, au contraire, plus douce vers le continent, c'est-à-dire le littoral des Sables à Jard.

Si l'on compare le haut-fond de Rochebonne à la morphologie de l'île d'Yeu, l'analogie est frappante, car l'île d'Yeu, tout à fait dissymétrique, est abrupte à l'Ouest (côte Sauvage), où l'on passe de 30 m d'altitude au Cap des Degrés à — 30 dans les fonds marins au pied des falaises. C'est donc le même ordre de grandeur dans le relief qu'à Rochebonne avec direction identique. De la structure de l'île d'Yeu (1), anticlinal gneissique soulevé en dôme post miocène (et butant à l'Est par faille contre le Lutétien du Pont d'Yeu), on peut prévoir la constitution géologique de Rochebonne. M. L. Dangeard (2) y a signalé « *des micaschistes à mica noir* » obtenus par dragage, et il est fréquent que les chalutiers du port de La Rochelle ramènent dans leurs filets de gros blocs de tels micaschistes disséminés sans doute autour de ce plateau sous-marin par des phénomènes périglaciaires wurmiens.

Cet affleurement de micaschiste sur la plate-forme de l'Atlantique à 100 km à l'Ouest de La Rochelle élargit singulièrement le domaine armoricain. Déduisons la signification tectonique de ce petit massif primaire intégré dans l'ensemble de la structure vendéenne.

1. La limite Nord de l'Hettangien du Bassin d'Aquitaine remonte de Talmont aux Sables-d'Olonne (Saint-Jean-d'Orbetiers) et il existe ensuite un compartiment effondré d'Infralias entre Olonne et le Havre de la Gachère et évidemment sous la mer. De sorte qu'entre l'anticlinal gneissique d'Yeu passant au large de l'îlot des Barges devant Les Sables et la côte atlantique de Saint-Gilles, on doit admettre une ligne synclinale de Lias. Les micaschistes de La Pointe du Payré constituent le versant Nord-Est de l'anticlinal d'Yeu et dans l'anse de Saint-Nicolas une flexure importante, revue récemment par M. P. Butel (3), conduit à un sous-sol océanique entièrement en Jurassique (Dogger des falaises de Jard, Oxfordien de la Pointe du Grouin du Cou). La suite (Lusitanien et Kimméridgien) constitue l'île de Ré, aussi le plateau submergé de Rochebonne en micaschiste ne peut être qu'un nouvel anticlinal de cristallophyllien rigoureusement parallèle à celui d'Yeu. Entre les axes primaires d'Yeu et de Rochebonne, un large synclinal secondaire est entièrement noyé. Il est d'ailleurs très probable qu'il existe un anticlinal intermédiaire

---

(1) G. Mathieu, *Comptes rendus*, **206**, 1938, p. 849 et 1118; *Bull. Carte géologique*, n° **219**, 1945, p. 1 à 40.

(2) *Cartes lithologiques : Mer de France*, mars 1936 et *Sonderabdruck aus Geologie der Meere*, Bd. 3, Heft. **2**, 1939, p. 129-142.

(3) *Bull. Serv. Carte Géol. France*, n° **232**, **44**, 1951, p. 106.

correspondant au relèvement jusqu'au Primaire de l'axe Oléron, Gémozac, Jonzac. L'architecture générale de la Vendée paléozoïque à l'Ouest du Sillon carbonifère se présente alors harmonieusement composée de trois anticlinaux de gneiss et de micaschistes : 1° l'anticlinal Lac de Grand'Lieu, les Essarts, Mervent, Saint-Pompain; 2° l'anticlinal île d'Yeu, Pointe du Payré; 3° l'anticlinal de Rochebonne. Autre constatation remarquable, l'écartement des trois plis est sensiblement constant, soit environ 60 km. Entre l'anticlinal des Essarts déversé vers le Nord-Est et celui d'Yeu vers le Sud-Ouest, la région côtière de Saint-Gilles est le secteur des mylonites dans le Briovérien.

Entre le sillon houiller du Layon et Rochebonne, situé un peu au Nord-Est du point de coordonnées (lat. 46°, long. 5° W, Paris), le massif vendéen mesure 200 km pris transversalement aux plissements sud-armoricains et le fossé de continuelle subsidence de Chantonnay y occupe une position médiane. Les micaschistes de Rochebonne augmentent l'importance du cristallophyllien de Vendée, aussi on peut dire que les trois grandes régions briovériennes de Cholet, de Chantonnay et de Challans-La Roche sont largement encadrées de granite et de cristallophyllien.

2. Au Tertiaire, il s'est formé trois fossés parallèles remplis de Jurassique : celui de Chantonnay, celui d'Olonne-La Gachère et celui de la plate-forme atlantique.

On sait que le jeu posthume des anticlinaux du Primaire de Vendée est en relation directe avec les dislocations du Poitou et les plis nord-aquitains décrits depuis longtemps par Ph. Glangeaud (4). L'anticlinal des Essarts Mervent est lié au horst de Montalembert (5) et celui de l'île d'Yeu s'aligne avec le dôme de Mareuil-sur-Belle par l'intermédiaire du dôme de la Pointe du Lizay (île de Ré). Le troisième anticlinal, de Rochebonne, s'aligne avec la pointe de Grave. Si son relèvement à été notable à une période post-miocène comme ses voisins, ainsi que le laisse supposer son relief de faille, d'autres dômes anticlinaux en chapelet doivent le prolonger dans le Bassin tertiaire d'Aquitaine noyés sous le Néogène du Médoc. Ceci peut avoir des conséquences fort intéressantes pour la prospection.

Il apparaît de plus en plus que la tectonique superposée du Centre-Ouest (6) de la France consiste en dômes postsidérolithiques placés au croisement des dislocations sud-armoricaines Nord-Ouest-Sud-Est et des plissements andins Est-Ouest dont M. G. Waterlot a été le premier à nous signaler l'importance dans le Jurassique de l'Aunis (7).

---

(4) *Bull. Serv. Carte Géol.*, 8, n° 50.
(5) G. Mathieu, *Thèse*, Lille, 1937, p. 288, *fig.* Planche dépliante B.
(6) G. Mathieu, *Comptes rendus*, 234, 1952, p. 1897.
(7) *Comptes rendus*, 212, 1941, p. 278; *Bull. Carte Géol. France*, n° 231, 48, 1950, p. 91.

Remarquons donc que le dôme de Cristallophyllien de Rochebonne se trouve au croisement d'un relief d'une faille sud-armoricaine et de l'anticlinal andin du Nord de La Rochelle (dit de Bourgneuf) tout récemment décrit par M. G. Waterlot.

GÉOLOGIE. — *Observations sur l'action de la houle de Mistral en quelques points du littoral provençal.* Note de M. **Jean-Joseph Blanc**, transmise par M. Pierre Pruvost.

L'attention est attirée sur l'existence et sur l'action de courants de fond de retour, entraînant au large les sédiments.

En Provence, le Mistral et la Tramontane présentent des sautes brusques, souvent violentes; de plus, l'orientation des baies et des criques conditionne le bilan sédimentaire des plages. On étudie ici *le cas particulier où le Mistral* « *souffle de la mer* ». Son action se traduit par un amaigrissement de la plage. Parmi de nombreuses stations, les plages de La Gorguette (Bandol, Var) et la crique de Port-Issol (Sanary, Var), ont été choisies en raison de leur orientation particulière (N-S), face au Mistral. La première est une baie ouverte, tandis que la deuxième est une crique relativement abritée par les indentations de la côte rocheuse. Une autre étude sera consacrée aux actions de transfert latéral.

I. Exemple de baie largement ouverte : La Gorguette, a Bandol. — A partir du talus littoral, l'on observe un sillon suivi vers le large d'une ride sableuse.

1. *Zone située entre le rivage et la ride littorale.* — Dans cette cuvette allongée à axe parallèle à la côte, l'agitation est particulièrement importante, les ripple-marks sont imbriquées et irrégulières. La densité des suspensions s'accroît vers le rivage. Sur le fond, les sédiments s'éloignent et se rapprochent alternativement du talus, mais le mouvement résultant a pour effet de les en éloigner. Le déferlement des vagues, amorcé dès la crête de la ride, se continue vers le rivage. Cette zone est le siège de tourbillons, surtout le long de la retombée littorale de la ride. Ces derniers sont à axes horizontaux, mais l'on observe aussi des transports ascendants remontant les sables vers la surface. Le transport des sédiments s'effectue surtout le long du fond; une grande quantité est mise en suspension, transportée vers la ride (donc vers le large).

2. *La ride.* — Le déferlement des rouleaux commence là; les frottements contre le talus de la ride déterminent la cessation du régime des ripple-marks régulières. Aux abords de la crête de la ride se manifestent les arrachements de sable. Ce dernier se déplace vers le large par saltation ou par

traction le long du fond, en formant une lame de quelques centimètres d'épaisseur. Au niveau de la ride commence la zone de *turbulence maximum*, les vagues cèdent par frottement une grande partie de leur énergie. La surface d'arrachement est la crête de la ride et le sommet du « versant au large » de cette dernière. Les ripple-marks ne peuvent s'y former ou sont aussitôt arrachées.

3. *Zone située au large de la ride.* — La houle se fait régulièrement sentir jusqu'à une profondeur de quelques mètres. A — 2 m, lors du passage des trains de vagues les plus importants, tous les sédiments, le long du fond, sont remis en mouvement et se déplacent par saltation en suivant les balancements de la houle. Lorsqu'à cet endroit le maximum d'agitation est passé, les sédiments se dirigent vers le large suivant des directions préférentielles perpendiculaires aux ripple-marks, déterminant parfois de légers chenaux. Les troubles suivent le fond et donnent des bandes étirées, rectilignes, perpendiculaires en général à l'axe des trains de vagues. A cet emplacement, les ripple-marks se régularisent, deviennent parallèles; elles s'infléchissent souvent au voisinage des chenaux correspondant au retour des sédiments vers le large.

II. Exemple de crique relativement abritée : Port-Issol (Sanary). — De 1,5 à 3 m de profondeur, les sédiments subissent le balancement de la houle et la résultante de cette action tend à les entraîner vers le large. Sur le fond, ce déplacement s'effectue par des chenaux entaillant de 0,20 m le réseau des ripple-marks. Leur longueur est de plusieurs dizaines de mètres; espacés de 1,5 à 0,40 m, ils forment une suite de vallonnements parallèles. Les chenaux sont orientés obliquement par rapport à la direction des ripple-marks (140°) et, tout en conservant la même orientation, leur axe subit d'incessants déplacements latéraux, alternatifs, du fait de la houle. Ainsi, l'ancien tracé est reconstitué après le passage de deux rouleaux. Vers le large, les chenaux s'observent encore à plusieurs mètres de profondeur, mais leur déplacement latéral s'atténue pour cesser vers — 2 m.

Conclusions. — Ainsi, ces observations directes montrent *la réalité et l'importance de l'action des courants de fond de retour* (undertow), conformément à la théorie classique, battue en brèche il y a quelques années, dont A. Rivière a récemment montré la valeur (1). Ces courants exercent une indéniable action d'entraînement au large des sédiments. Il est remarquable qu'une action localisée, liée aux détails de la topographie littorale, suffise à déclencher le phénomène.

---

(1) A. Rivière, *Proc. of the 3 rd. International Congress of Sedimentology*, Groningen-Wageningen, Netherlands, 1951, p. 211-218.

GÉOGRAPHIE PHYSIQUE. — *Nature et origine du relief de la Dorsale guinéenne* (1). Note (*) de MM. **Maxime Lamotte** et **Gabriel Rougerie**, présentée par M. Charles Jacob.

A l'encontre de la majeure partie de l'Ouest africain, au relief monotone, la région qui s'étend depuis la Guinée portugaise jusqu'à la Côte d'Ivoire réalise, parallèlement à la côte atlantique et à quelques 300 km d'elle, un alignement de massifs montagneux fortement individualisés, dominant parfois de plus de 1000 m les pays subhorizontaux qui les entourent (2). Deux éléments fondamentaux permettent d'élucider le problème de la nature et de l'origine de ces reliefs, qui paraissent aberrants en l'absence de tout mouvement orogénique récent.

Ils se révèlent, en premier lieu, étroitement liés à la nature pétrographique des terrains (3). Parmi les plus hauts d'entre eux, le Nimba et le Simandou correspondent strictement à des affleurements de bancs subverticaux de quartzites à minerai de fer, roches mécaniquement les plus dures de la région et les plus résistantes chimiquement; grâce à leur énorme teneur en fer, elles donnent, en effet, des produits d'altération formant rapidement une couche protectrice très efficace. Les formations géologiques qui environnent ces deux chaînes, moins dures et surtout plus altérables, restent en contrebas; l'amphibolite, roche dont la dureté et la résistance chimique sont inférieures à celles des quartzites, mais supérieures à celles des granito-gneiss, donne précisément des contreforts à mi-hauteur et, plus loin, des collines d'altitude intermédiaire. Dans tous les détails de leur topographie, ces montagnes, dont une étude géologique assez poussée a été faite, traduisent une adaptation étroite à la structure. D'autres reliefs correspondent à des venues doléritiques massives : si, en effet, la dolérite est une roche qui s'altère facilement sous ces climats, ses produits de décomposition conduisent, sous certaines conditions de subhorizontalité de la surface topographique, à la formation d'une cuirasse latéritique dont la dureté, et plus encore l'inaltérabilité, sont tout à fait remarquables.

Un cas plus difficile à expliquer, en apparence, est celui des massifs granitiques, dont les principaux sont ceux de Man et des Touras, du Ziama, et de Kissidougou et Guéckédou. Pourquoi se trouvent-ils ainsi en relief

---

(*) Séance du 3 novembre 1952.

(1) Ces recherches ont été effectuées au cours d'une mission de plusieurs mois en Guinée forestière.

(2) *Voir* les Cartes topographiques au 1/200 000 de Man, Nzénékoré, Macenta et Beyla.

(3) *Voir* Carte géologique de la Guinée forestière, dans Obermuller, *Bull. du Service des Mines*, n° 5, 1941.

au milieu de formations dont la plupart sont de nature granitogneissique et donc très voisines par la dureté et la nature chimique ? Quelques remarques peuvent être faites pour apporter des éléments de solution à ce problème dont aucune étude importante n'a été effectuée jusqu'à ce jour dans l'Ouest africain.

Il apparaît nettement, tout d'abord, que la composition chimique domine toute l'évolution du modelé en milieu intertropical, et que de faibles différences de cet ordre suffisent parfois à entraîner des destinées tout à fait dissemblables. L'abondance des éléments noirs (amphibole, biotite) chez certains granites détermine, par ferruginisation, une tendance au cuirassement, tandis que, chez les granites leucocrates, l'altération conduit à des arènes et à des sables facilement déblayés par les eaux courantes. La structure des roches intervient également de façon indiscutable : les granites intrusifs, post-tectoniques, résistent mieux que des granitoïdes encaissants, hachés de diaclases. Enfin, les conditions topographiques constituent un facteur non négligeable; il peut y avoir, en effet, apport d'éléments ferrugineux, comme c'est le cas au voisinage des massifs quartzitiques du Nimba et du Simandou, où des granites se trouvent ainsi protégés et comme fossilisés sous une cuirasse; et d'autre part, une fois mise en relief, pour l'une ou l'autre de ces raisons, une zone granitique aura beaucoup de chances d'y demeurer, parce que soustraite à l'altération maxima qui se fait au niveau hydrostatique : il se produit une sorte d'« autocatalyse » du relief, qu'il faut voir sans doute à l'origine de nombreux massifs granitiques.

Le second élément qui permet d'éclairer de manière très suggestive la nature de ces reliefs est la présence des surfaces et des niveaux d'érosion. Nous en avons signalé déjà l'existence dans la chaîne du Nimba à 500, 800, 1300 et 1600 m (4). D'une manière plus générale, ils apparaissent avec netteté partout où des dépôts ferrugineux protecteurs sont venus les fossiliser, c'est-à-dire au voisinage ou sur l'emplacement des formations riches en fer : quartzites à magnétite en premier lieu et, dans une moindre mesure, amphibolites et dolérites. On retrouve ainsi des niveaux tout à fait comparables à ceux du Nimba dans la chaîne quartzitique du Simandou et à son pourtour, sur les retombées orientales, doléritiques, du Fouta-Dialon, et sur les nombreux reliefs résiduels, doléritiques ou amphibolitiques, qui parsèment la Haute-Guinée. Leurs altitudes oscillent avec une constance parfaite autour des 500, des 800, des 1600 et, plus rarement des 1300 m.

Là, où le substratum est pauvre en fer, les niveaux sont moins nets dans le détail, mais une vue plus synthétique, sur cartes ou sur le terrain, du haut d'une éminence, permet d'en retrouver les grandes lignes.

(4) J. C. Leclerc, M. Lamotte, J. Richard-Molard, *Comptes rendus*, 228, 1949, p. 1510.

Des niveaux ainsi étagés, à des altitudes et avec des physionomies partout comparables, à travers les pays de la Dorsale guinéenne, sont la preuve d'un exhaussement progressif de la région. De part et d'autre d'une charnière grossièrement orientée NW-SE et jalonnées de venues doléritiques à la faveur des cassures produites, deux panneaux ont basculé. Sur ces panneaux, un relief de nature appalachienne a été dégagé, avec une vigueur plus grande près de la charnière, là où le soulèvement était maximum.

GÉOGRAPHIE PHYSIQUE. — *Sur la morphométrie du massif galiléen.* Note de M. **Étienne de Vaumas**, présentée par M. Emmanuel de Margerie.

Le massif galiléen est limité, au Nord par le Nahr Qasmié, à l'Est par la dépression du Houlé, au Sud par la plaine d'Esdrelon, à l'Ouest par la plaine côtière. La frontière de la République libanaise et de l'État israélien le traverse selon un axe Ouest-Est qui délimite deux régions naturelles : l'une orientée vers le Nord-Ouest, l'autre vers le Sud. Chacune comprend un noyau montagneux (ou Haute-Galilée) et un pays d'altitude réduite (ou Basse-Galilée).

Les caractéristiques morphométriques du massif sont intéressantes à considérer.

1. *Les courbes hypsographiques.* — La Haute-Galilée, prise dans son ensemble ou dans chacune de ses parties, de même que la Galilée libanaise (haut et bas pays réunis), ont des courbes hypsographiques qui montrent une distribution des superficies par tranches d'altitude en un triple compartiment : les altitudes inférieures ne représentent qu'une surface restreinte, les altitudes moyennes un développement beaucoup plus considérable, les altitudes supérieures une superficie à nouveau réduite.

La Galilée palestinienne, au contraire, offre une courbe très différente. Les superficies par tranches d'altitude vont décroissant de la base vers le sommet. L'adjonction de la Basse-Galilée à la Haute-Galilée transforme donc complètement, dans ce secteur, le type de la courbe à la différence de ce qui se passe en Galilée libanaise.

La courbe de la Galilée considérée dans sa totalité est du modèle de celle de la Galilée palestinienne, mettant ainsi en évidence le rôle prédominant de celle-ci dans l'ensemble du massif.

2. *Les coefficients de massivité* (rapport de l'altitude moyenne à l'altitude maximum). — Ils sont élevés, quelquefois même considérables, pour un pays plissé :

Galilée libanaise.....	51%	[Haute-Galilée : 63%; Basse-Galilée : 49%]
Galilée palestinienne.....	30%	[Haute-Galilée : 42%; Basse-Galilée : 36%]
Galilée.....	34%	[Haute-Galilée : 45%]

Ces chiffres confirment les constatations qui se dégagent déjà des courbes hypsographiques, à savoir que la Galilée palestinienne est beaucoup moins massive que la Galilée libanaise, et que la grande étenduc de la Basse-Galilée palestinienne abaisse très nettement le coefficient de l'ensemble du massif.

3. *Relations des caractéristiques morphométriques et du relief.* — Ces relations sont très nettes. Les courbes hypsographiques rendent bien compte de la morphologie du massif. Celui-ci est constitué, en effet, par un noyau montagneux au sommet subhorizontal, qui s'abaisse par des pentes ordinairement très raides vers la Méditerranée, vers la Basse-Galilée palestinienne ou vers la dépression du Houlé; au Nord-Ouest et au Sud, il domine un bas pays, d'altitude nettement moins élevée, dont les formes sont beaucoup plus molles. L'érosion s'est bornée jusqu'ici à décaper légèrement les sommets et à creuser quelques vallées très encaissées.

Les coefficients de massivité confirment, eux aussi, l'observation directe du terrain, c'est-à-dire la faiblesse du démantèlement accompli durant le cycle actuel ainsi que le manque d'aération du massif qui en découle. On est donc très près de la massivité parfaite (massivité du relief à l'origine du cycle). La chose n'a d'ailleurs rien d'étonnant. Nous avons déjà montré antérieurement, au moins pour la Galilée libanaise (1), que le cycle actuel est très récent et que la morphologie en est constituée essentiellement par une surface polycyclique, plissée à nouveau durant la dernière phase orogénique.

4. *Relations des caractéristiques morphométriques et de la structure.* — Les courbes hypsographiques sont tout à fait typiques, non seulement de la morphologie, mais encore de la structure du massif galiléen, la première étant conforme à la seconde, au moins en Haute-Galilée. Le noyau montagneux est formé, en effet, par un large anticlinal affectant le profil d'une anse de panier; alors que les couches sont subhorizontales ou plissées dans le haut, elles plongent rapidement sur les deux bords. Les courbes hypsographiques avec leur distribution des superficies en trois compartiments distincts paraissent calquées sur le profil géologique.

Quant à la déformation que révèle la courbe d'ensemble du massif, elle est due à l'introduction des plissements secondaires, mais largement étalés, qui constituent la Basse-Galilée palestinienne.

---

(1) *Comptes rendus*, 228, 1949, p. 257; et F. DE VAUMAS, *Le Liban, Étude de Géographie physique*.

PHYSIQUE DU GLOBE. — *Sur l'utilisation d'eaux souterraines au-dessus de la température critique*. Note de M. **Georges Claude**, présentée par M. Emmanuel de Margerie.

Dans une Note limitée au cas de Pechelbronn (1), j'ai décrit une manifestation possible de l'eau au-dessus du point critique que, par commodité et souci de correction, j'appellerai ici *fluid*, un tel fluide n'étant pas une vapeur. Je voudrais montrer que ce *fluid* doit intervenir souvent dans l'économie souterraine du Globe, et qu'on pourrait tirer de ce fait des conséquences pratiques importantes.

Nous avons avancé précédemment (2), André G. Claude et moi, que grâce au caractère démesuré dans l'Espace et le Temps des choses de la Géologie, des couches sédimentaires, fracturées et poreuses, pourraient, dans des cas favorables, devenir le siège de circulations d'eau surchauffée capables de gros effets industriels. On a objecté, en particulier, qu'aux profondeurs envisagées, aucun vide ne saurait exister sous la pression des roches. On sait, en effet, que c'est de celle-ci que dépend l'écrasement, bien que la pression manométrique au fond des plus profonds forages ne soit généralement que celle d'une colonne d'eau plus ou moins salée allant de la surface au fond : c'est que la seule manifestation de la gravité capable de se transmettre dans le sous-sol sédimentaire est celle des nappes aquifères qui le baignent souvent jusqu'à des profondeurs indéfinies (3). Cette croyance que la compacité du sous-sol serait totale à une profondeur relativement faible est controuvée par les essais que les craintes d'avenir de l'industrie du pétrole ont provoquées aux États-Unis (4) : tout vide ne disparaîtrait qu'au delà de 15 km, et le pétrole pourrait exister jusqu'à cette profondeur.

Or, ce qui est perméable au pétrole doit *a fortiori*, l'être au fluid en raison de son état gazeux, de sa pression et de sa viscosité moindre. Il pourrait donc pénétrer dans les couches sédimentaires les plus profondes, puisque, même au gradient de 40 m par degré, la température critique de l'eau serait atteinte à 14,5 km.

---

(1) *Comptes rendus*, **234**, 1952, p. 2097.

(2) *Comptes rendus*, **228**, 1949, p. 544, 1209 et 1701.

(3) On sait pourtant que certains gisements de pétrole sont le siege de pressions beaucoup plus élevées, ce que l'on a expliqué en remarquant que de tels gisements s'entourent d'une gaine imperméable dans laquelle se développe une pression capable, à la limite, de soulever tout le terrain au-dessus d'elle, soit donc à peu près double de la pression hydrostatique à ce niveau.

(4) *Voir*, en particulier, J. S Closinger, *World Oil*, april 1950, p. 57-62.

On remarquera que, sauf pour des gradients très petits, la pression hydrostatique *est bien supérieure* à la pression critique à la profondeur où est atteint le point critique : par exemple, pour t_{cr} à — 4 000 m (Pechelbronn), la pression hydrostatique serait de 334 kg/cm^2 > 225; à 11 000 m, elle serait de 870 kg/cm^2 contre 225. Les pressions existant dans le sous-sol à partir de la température critique seraient donc généralement dues à la pesée des nappes aquifères, et non au fluid, lequel, sans se liquéfier, ne ferait qu'égaler sa pression à la pression hydrostatique existant en vertu de la propriété des fluides au-dessus du point critique; il ne pourrait donc surmonter celle-ci. Si, au contraire, par suite d'une proximité exceptionnelle de t_{cr}, on avait $P_{cr} > P_{hydr}$, celle-ci ne pourrait s'opposer à l'écoulement du fluid sous forme de vapeur : on peut se demander si l'on ne pourrait expliquer ainsi le cas de Larderello, où l'on extrait du sol de la vapeur. Le cas $P_{cr} = P_{hydr}$ serait réalisé à — 2 700 m, au gradient supposé constant de 7,70 m par degré, l'eau du sous-sol étant supposée pure.

Les températures nécessaires à l'existence du *fluid* étant ainsi atteintes, en sous-sols sédimentaires aquifères, à des niveaux perméables, on pourrait l'extraire de ces niveaux si l'on pouvait réaliser *avec sécurité* des puits tubés assez profonds pour les atteindre, et en bonne relation avec eux. Or, on atteint déjà 6 km pour des puits à pétrole : ce serait donc plus que suffisant pour la région de Pechelbronn.

Objectera-t-on qu'à ces températures les outils de perforation perdraient leurs qualités ? Rappelons seulement à ce sujet que c'est vers 400° que la résistance à la rupture du fer est maximum, qu'on surchauffe déjà la vapeur à 100 atm jusqu'à 500° dans certaines centrales thermiques, et que, comme toujours, on trouvera encore mieux si le besoin s'en fait sentir.

On objectera aussi l'action chimique puissante de l'eau à ces températures et à ces pressions, mais on peut croire qu'au moins dans certains cas, cette action serait mise en échec par l'absence de l'état liquide à ces températures. Or, les avantages de cette extraction pour la production du travail mécanique seraient très grands;

A puissance mécanique égale, grâce à la haute température et à la haute pression du *fluid*, l'extraction d'eau du sol serait réduite au *vingtième* environ de celle exigée par de l'eau à 125° (5); une extraction si faible pourrait s'accommoder de perméabilités longitudinales bien moindres; une imperméabilité totale des couches surplombantes ne mettrait pas obstacle à cette extraction, la montée du fluid étant provoquée par sa propre pression et non par la pression hydrostatique surplombante; une région illimitée en profondeur et bien supérieure en qualité serait exploitée; des puits de *très petit diamètre*, comparables aux puits à pétrole,

(5) *Comptes rendus*, 228, 1949, p. 1209.

pourraient véhiculer une puissance importante; ils ne risqueraient pas d'être usés par l'érosion de particules solides; leur faible débit permettrait de les multiplier dans les régions favorables; les usines seraient bien plus simples que celles destinées à extraire et traiter la vapeur de l'eau surchauffée; il n'y aurait pas à se débarrasser des eaux usées, etc.

Je signalerai dans une prochaine Note quelques particularités thermodynamiques de cette question, et je pourrai mettre ainsi quelques chiffres sur ces espérances.

BOTANIQUE. — *Sur l'aréole du* Pereskiopsis Diguetii. *Valeur morphologique des aiguillons des Cactées.* Note (*) de M. **Lucien Plantefol**, présentée par M. Roger Heim.

Chez le *Pereskiopsis Diguetii*, l'aréole (poils, aiguillons, glochides, socle de liège) est une production de type stipulaire logée dans une dépression du segment foliaire, où elle enserre un point végétatif sans lien ontogénique direct avec elle.

L'aréole est le fait le plus marquant de l'organisation des *Cactaceæ*. Dépression ménagée au milieu de tissus généralement lisses à cuticule épaisse, elle est bourrée de poils subérifiés, comporte l'insertion des aiguillons, et logeant un point végétatif axillaire; elle peut supporter une ou plusieurs fleurs ou un rameau latéral.

La plupart des auteurs envisagent l'aréole comme une réalisation du point végétatif axillaire. Boke identifie les deux termes : « l'aréole ou bourgeon axillaire » (1). D'où une interprétation inexacte, bien que classique, des aiguillons et par suite de toute l'organisation des Cactées.

Si l'aréole, fait général chez les *Cactaceæ*, y a même valeur, ce n'est pas dans les cas les plus complexes parce que les plus évolués, mais chez les *Pereskieæ*, à feuilles et rameaux presque normaux, que cette valeur doit être recherchée.

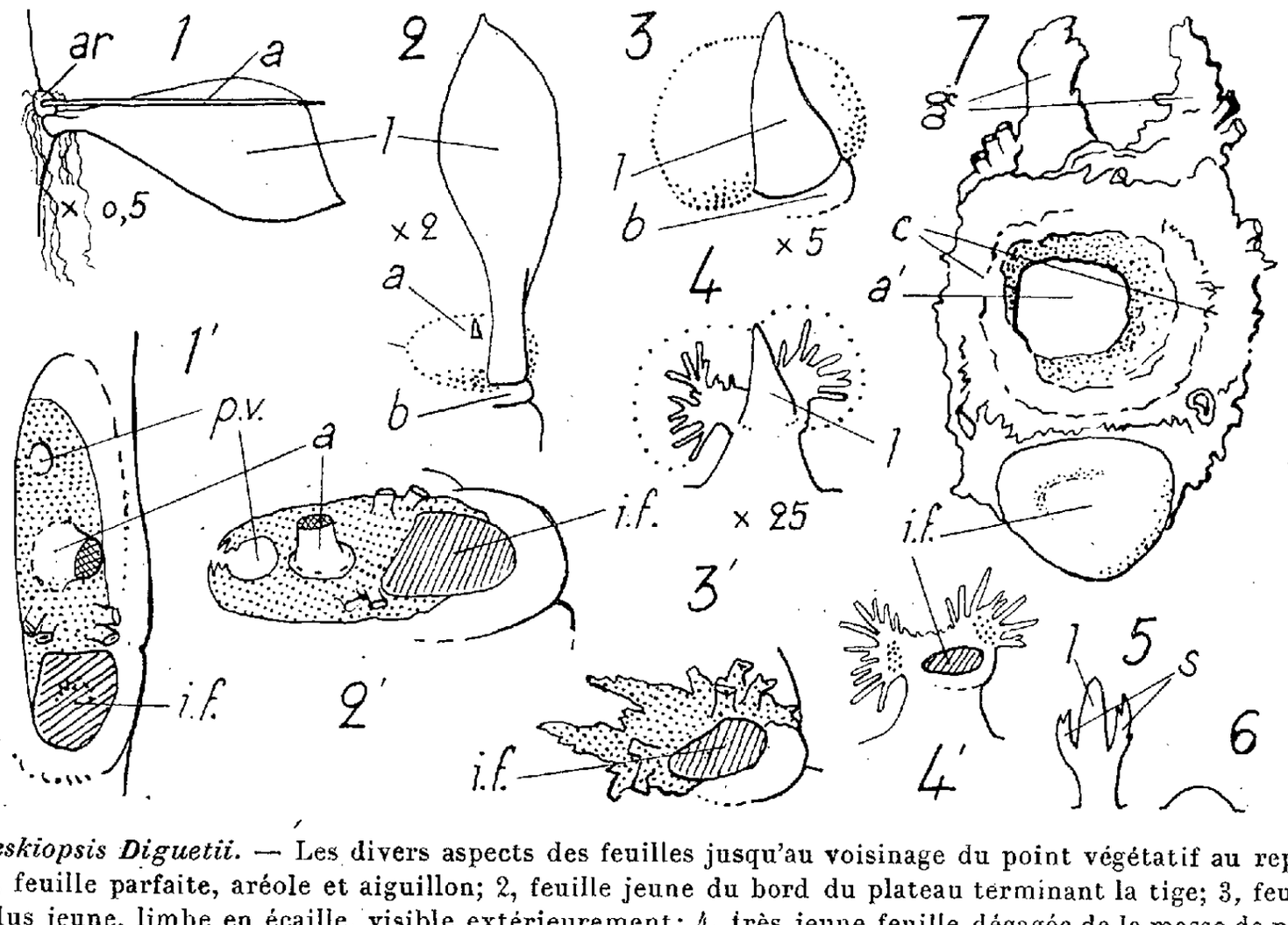
Un rameau de *Pereskiopsis Diguetii* suspend sa croissance à l'automne. Les feuilles d'un tel rameau, lentement développées, puis arrêtées dans leur croissance sous *une forme que ne réalise pas l'ontogénèse accélérée de la feuille normale*, montrent la succession des états qui mènent à la formation de l'aréole.

Le développement d'une feuille parfaite ménage l'aréole (*fig.* 1 et 1′) dans la partie du segment foliaire fusionnée à la tige et la base du pétiole; mais la chute de la feuille attachée par une insertion étroite n'entraîne ni poils ni aiguillons.

(*) Séance du 3 novembre 1952.

(1) *Amer. J. Bot.*, **39**, 1952, p. 134-145.

Une tige de *Pereskiopsis Diguetii* est à son sommet presque tronquée par un plan, sans s'être amincie. Les dernières feuilles à limbe typique (*fig.* 2 et 2′) s'insèrent sur le bord de cette surface. Si le pétiole loge encore une partie de l'aréole, le segment foliaire et la tige ne se creusent pas en avant de l'insertion (*fig.* 2′).



Pereskiopsis Diguetii. — Les divers aspects des feuilles jusqu'au voisinage du point végétatif au repos. 1, feuille parfaite, aréole et aiguillon; 2, feuille jeune du bord du plateau terminant la tige; 3, feuille plus jeune, limbe en écaille, visible extérieurement: 4, très jeune feuille dégagée de la masse de poils terminant la tige; 5, ébauche foliaire commençant à se différencier; 6, primordium; 1′ à 3′, les aréoles des feuilles 1 à 3, poils arrachés; le socle de liège est marqué d'un pointillé; 4′, la jeune feuille 4, limbe tombé; 7, socle de liège d'une feuille parfaite, l'aiguillon, logé en *a′*, étant retiré; *ar*, aréole; *a*, aiguillon; *l*, limbe; *i. f.*, insertion foliaire; *p. v.*, point végétatif; *b*, bourrelet basal.

Un caractère histologique fondamental de ces deux aréoles est la présence d'un *socle de liège* épais qui peut être détaché d'une pièce (*fig.* 7) des tissus chlorophylliens sous-jacents. Ce socle comporte le liège cicatriciel de l'insertion foliaire, *i. f*, la base de l'aiguillon *a*, deux ailes *c* où des crêtes subéreuses portent des bouquets de poils; un liège mince *g*, où se développent des glochides, termine l'aréole du côté axial, ménageant une surface libre où se trouve, caché sous les poils portés par le liège, le point végétatif axillaire *p. v.*

Les plus jeunes feuilles sont vers l'axe de la tige au milieu des poils qui réunissent toutes les jeunes aréoles. La surrection de la feuille marque le premier temps de la croissance. Un *primordium* normal encore surbaissé (*fig.* 6) est précédé sur l'hélice foliaire par une *ébauche* pyramidale (*fig.* 5) dont la base porte *latéralement* deux appendices, *s*. La *feuille* suivante

(*fig.* 4 et 4′) a un limbe plus important qui se détache aisément d'une base surélevée et portant *latéralement* deux masses où la subérification commence et qui s'ornent de bouquets de poils. Une feuille (*fig.* 3 et 3′) en forme d'écaille, insérée sur le plateau supérieur de la tige, montre en avant de l'insertion et s'étalant sur le plateau une *lame de liège* développée latéralement et en direction axiale, épaissie en son milieu et portant des crêtes où s'insèrent des lignes de poils.

On est autorisé à conclure de l'étude de cette série que *deux lames de type stipulaire s*, nées sur la très jeune feuille, se développent en se rejoignant en avant de la feuille et en se fusionnant aux tissus de la tige. Le tissu méristématique qui va donner aiguillons, poils, glochides et la lame de liège sous-jacente, est une partie de la jeune feuille formée par le point végétatif *axial*. Le point végétatif *axillaire* dont la place est ménagée dans le socle de liège, est secondairement juxtaposé à cette aréole. Il n'est pas l'origine de celle-ci. Son activité ne produit ni des aiguillons ni des glochides, qui sont seulement des *parties de la feuille* dont il est axillaire.

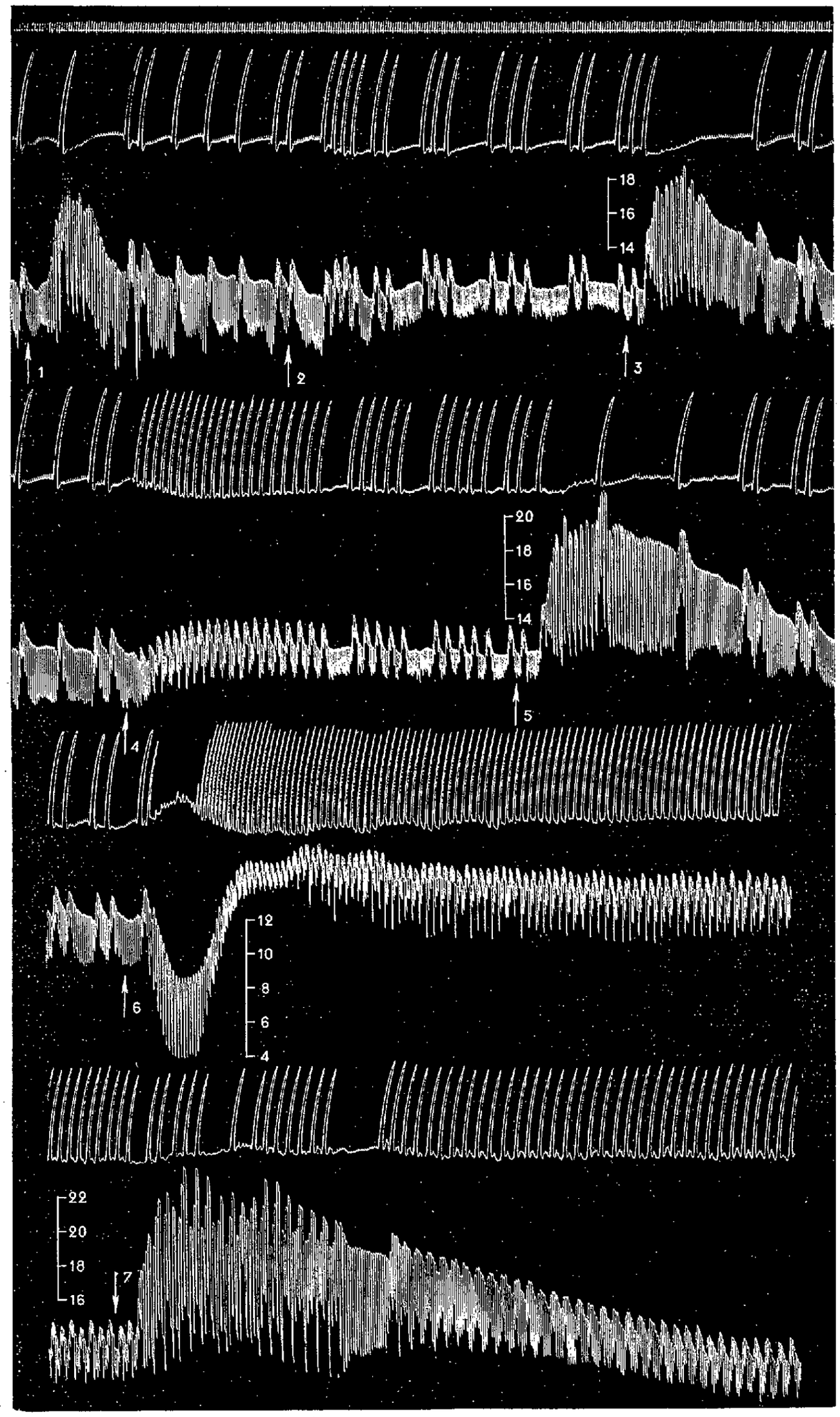
Ces interprétations sont généralisables d'une part à toutes les aréoles des Cactées étudiées, d'autre part à la presque totalité des aiguillons qu'elles produisent.

BOTANIQUE APPLIQUÉE. — *Sur quelques propriétés physiologiques des alcaloïdes totaux de l'écorce d'Angusture.* Note de M. **Raymond-Hamet**, présentée par M. Auguste Chevalier.

Utilisée en raison de son amertume pour la préparation d'apéritifs, l'écorce d'Angusture est généralement considérée comme dépourvue d'activités physiologiques marquées. Cependant, nous avons pu constater que le principal alcaloïde de cette drogue, la cusparine, possède à la fois une action sympathicosthénique et un pouvoir excito-respiratoire. Supposant que cette contradiction ne doit tenir qu'à l'absence d'une étude pharmacologique appropriée de l'écorce d'Angusture, nous avons voulu connaître les effets que produit chez l'animal non plus la cusparine seule, mais l'ensemble des alcaloïdes qui constituent les véritables principes actifs de la drogue.

Extraits d'écorces dont l'étude histologique nous avait montré qu'elles présentent les caractères attribués par Gamper (1) à celles qui proviennent réellement du *Galipea officinalis* Hancock, en particulier les raphides d'oxalate de calcium; ces alcaloïdes, préparés à l'état de chlorhydrates,

(1) *Beiträge zur Kenntnis der Angosturarinden; Inaug. Dissert. Dr. phil.*, Zurich, 1900.



Expérience du 25 octobre 1952. — Chien de 9,900 kg, anesthésié par le chloralose (12 cg/kg).

1re ligne : temps en secondes; 2e, 4e, 6e et 8e lignes : mouvements respiratoires enregistrés au moyen de l'explorateur de la pulsation cardiaque de Marey; 3e, 5e, 7e et 9e lignes : variations de la pression carotidienne enregistrées par le manomètre à mercure. On a injecté dans la saphène, en 1, 3, 5 et 7, 0,02 mg de bitartrate d'adrénaline de Höchst en solution dans 2 cm³ de soluté physiologique de chlorure de sodium; en 2, 10 cm³; en 4, 20 cm³; en 6, 50 cm³ de solution contenant 198 mg de chorhydrates des alcaloïdes totaux de l'écorce d'Angusture dans 100 cm³ de soluté physiologique de chlorure de sodium. Tracés réduits de 55 %.

se présentent sous la forme d'un produit d'un beau jaune vif qui communique au Réactif de Fröhde une coloration violette passant au bleu violet.

Nos expériences nous ont prouvé que ces alcaloïdes totaux possèdent les deux propriétés physiologiques principales de la cusparine : l'action sympathicosthénique et le pouvoir excito-respiratoire.

C'est ainsi que, dans l'expérience dont les tracés sont reproduits ici, l'injection de 0,02 mg d'adrénaline qui avait élevé initialement la pression carotidienne de 132 à 192, soit de 60 mm de Hg, la fit monter de 136 à 215, c'est-à-dire de 79 mm de Hg après que l'animal eut été soumis à l'action de 6 mg de chlorhydrates des alcaloïdes totaux de l'écorce d'Angusture par kilogramme, de 148 à 238, soit de 90 mm de Hg, quand il eut reçu au total 16 mg de ces chlorhydrates par kilogramme.

D'autre part, l'augmentation maximale de la fréquence respiratoire fut de 50 % à la suite de l'injection de 2 mg de ces chlorhydrates par kilogramme. de près de 200 % après celle de 4 mg/kg, enfin de près de 300 % après celle de 10 mg/kg. Les tracés reproduits dans notre Note montrent que l'augmentation de fréquence fut très durable après la seconde et surtout après la troisième de ces injections.

BIOCHIMIE VÉGÉTALE. — *Pigments des chloroplastes et photosynthèse.* Note de M. **Eugène Roux** et Mlle **Christiane Husson**, présentée par M. Albert Demolon.

Dans une précédente Note (1) nous avons montré que l'acide glutamique était un des corps à partir desquels le noyau tétrapyrollique de la molécule de chlorophylle pouvait se former *in vivo* et nous apportions, en même temps, la preuve qu'à la lumière il y avait constamment synthèse et destruction concommitante de la chlorophylle.

L'expérience suivante nous a fourni une nouvelle confirmation de ce fait : six lots identiques de plants adultes de *Physalis* furent exposés, pendant 30 s, à la lumière solaire dans une atmosphère contenant 3/10 000 de $^{14}CO_2$, puis furent laissés, pendant des temps variables, à la lumière dans l'air normal.

Les feuilles (5 g) furent broyées à 4° dans l'acétone à 85 %, les pigments isolés selon la technique de Willstäter et Stoll et l'activité mesurée au compteur de Geiger.

Le tableau ci-dessous donne les variations en fonction du temps de l'activité présente dans les différents pigments en pour-cent de l'activité totale absorbée par la plante.

(1) *Comptes rendus*, **234**, 1952, p. 1573.

Temps écoulé depuis la fin de l'exposition.	15 s.	30 s.	3 m 30 s.	10 m.	20 m.
Chlorophylle *a*.....	0	0,1	0,2	0,45	0,6
Chlorophylle *b*.....	0	0	0,01	0,05	0,1
Carotène.....	0	0,05	0,9	3,2	5

Ces résultats confirment que la fixation primaire du CO_2 ne se fait pas sur les molécules des pigments, mais montrent aussi, et c'est là le fait nouveau, que très rapidement sous l'action de la lumière, les produits du métabolisme provenant de cette fixation primaire interviennent dans l'édification des molécules de chlorophylle et de carotène. Ce dernier, en particulier, manifeste une vitesse de renouvellement (« Turn over number ») exceptionnellement élevée.

Ainsi, il apparaît bien que l'absorption du CO_2 par les plantes vertes à la lumière est liée à l'incessante destruction et synthèse photochimique des pigments des chloroplastes; leur participation au métabolisme général de la plante sera précisée ultérieurement.

ENTOMOLOGIE. — *Apparition récente d'une sous-espèce nouvelle de Coléoptère dans la faune de Madère.* Note de M. **René Jeannel**, présentée par M. Louis Fage.

Les Coléoptères de Madère sont bien connus depuis les explorations de T. V. Wollaston entre 1847 et 1865. L'île est peuplée par une douzaine d'espèces de petits Carabiques du genre *Trechus* Clairv., toutes endémiques et très caractéristiques, que les nombreux entomologistes visitant l'archipel ont toujours régulièrement retrouvées. Or M. G. Pécoud, explorant Madère, après bien d'autres, pendant le printemps de 1952, a lui aussi repris les espèces décrites par Wollaston, mais il a de plus recueilli une espèce bien connue dans la faune continentale, le *T. obtusus* Er. qui n'avait jamais été signalé de Madère et semble bien avoir été introduit dans l'île à une époque récente.

Ce *Trechus obtusus*, humicole et généralement aptère, est très largement répandu dans toute l'Europe occidentale et l'Afrique du Nord, depuis l'Islande jusque dans le Sud du Maroc. C'est un petit carnassier, très euryapte, s'accommodant des conditions climatiques les plus diverses, et dont la facilité d'indigénation est soulignée par le fait qu'il a été accidentellement introduit en Amérique du Nord, à Battle, dans l'État de Washington, où M. Melville Hatch, entomologiste bien connu, le prend en abondance dans son jardin depuis 1932.

A Madère, il serait inconcevable que la présence du *T. obtusus*, si différent des espèces endémiques, ait pu échapper aux très nombreux entomologistes qui en ont minutieusement recueilli la faune. Il faut croire que l'introduction

de cette espèce est récente. Et M. Pécoud l'a trouvée dans les localités classiques et fréquemment explorées des forêts de Bruyères de Cruzinhas, à 1700 m d'altitude, dans le centre de l'île.

Cette indigénation récente à Madère d'une espèce continentale, accidentellement introduite, n'a en réalité qu'un intérêt relatif, car bien d'autres espèces de Carabiques doivent être dans le même cas. Des espèces banales de la faune continentale, comme *Harpalus distinguendus* Dufts., *Amara ænea* De G., *Anchus ruficornis* Goeze, pullulent dans toute l'île et y ont certainement été introduites après l'isolement de l'archipel. Mais le cas du *T. obtusus* est particulièrement intéressant car, d'une part, on peut approximativement dater son introduction qui ne doit pas remonter à plus d'une cinquantaine d'années, et surtout, d'autre part, parce que la population insulaire de ce *Trechus* a produit une mutation forte qui a donné naissance à une sous-espèce très tranchée, tendant à se répandre dans toute l'île.

Cette sous-espèce, *pecoudianus* nov., est de grande taille (4 à 4,5 mm), de forme très large et de coloration noire. Son pronotum est bien plus transverse que chez la forme typique et ses élytres sont bien plus amples. A première vue, son aspect général et sa coloration feraient croire à une espèce nouvelle, bien différente de l'*obtusus*, toujours de forme étroite et plus ou moins dépigmenté sur les élytres. Mais on retrouve chez la sous-espèce nouvelle les caractères particuliers de l'*obtusus* : effacement des angles postérieurs du prothorax, finesse des stries des élytres, position des soies; et d'autre part son organe copulateur mâle, identique à celui des *obtusus* continentaux et de Madère, apporte comme une véritable signature de l'espèce.

Bien entendu ce *T. pecoudianus* n'avait jamais été rencontré à Madère avant les investigations de M. Pécoud. Je suis, d'autre part, en mesure d'affirmer qu'il n'existe pas sur le continent; il n'a rien de commun avec les nombreuses variétés locales du *T. obtusus* dont j'ai sous les yeux des séries provenant d'une multitude de localités européennes ou africaines. Nul doute qu'il soit le produit d'une mutation apparue dans la population des *obtusus* récemment introduits à Madère.

M. Pécoud l'a découvert dans la forêt de Bruyères de Cruzinhas, où il se trouve mêlé à des *obtusus* parfaitement typiques et à plusieurs autres *Trechus*, ceux-ci endémiques. Il l'a de plus trouvé en abondance (50 exemplaires) à Santo da Serra (600 m d'altitude), dans un bois d'Eucalyptus dont la plantation ne remonte sans doute pas à plus d'une vingtaine d'années.

Dans ce bois, le *T. pecoudianus* pullule sous les amas de feuilles mortes très humides, accumulées sur le sol, et est le seul *Trechus* occupant ce biotope. On a bien l'impression que, nouveau venu et particulièrement

vigoureux, ce *Trechus* a trouvé dans ce bois d'Eucalyptus une place vide dont il s'est emparé.

Enfin, il n'est pas inutile de rappeler ici que tous les *Trechus* endémiques de Madère se rattachent à la lignée du *T. tingitanus* Putz., d'origine bético-rifaine, et que leur diversification date de l'époque géologique où l'archipel de Madère s'est séparé de la péninsule ibérique. Le *T. obtusus* représente une autre lignée, bien différente de celle du *tingitanus*, et ce qui précède tend à établir que ce *T. obtusus*, introduit par voie passive à l'époque actuelle, donne naissance à un endémique nouveau, appelé peut-être à concurrencer les endémiques anciens.

Et il y a là un fait qui jette un jour nouveau sur la complexité de la faune des îles Atlantides. Dans l'archipel des Canaries, des *Trechus* endémiques de la lignée du *tingitanus* existent à Ténériffe. Mais d'autres *Trechus* endémiques, localisés dans toutes les îles, appartiennent à la lignée du *T. obtusus*. On peut se demander aujourd'hui si ceux-ci ont la même ancienneté que les autres.

ENTOMOLOGIE. — *Sur la détermination des régions grégarigènes du Criquet marocain* Dociostaurus maroccanus *Thünbg, en Corse.* Note de MM. **Roger Pasquier**, **Xavier Colonna-Césari** et **Jacques Bonfils**, présentée par M. Pierre-P. Grassé.

L'habitat permanent des solitariens (1) de *D. maroccanus* Thünbg s'étend, en Corse, à presque toutes les régions situées entre 0 (plage du Taravo) et 1250 m d'altitude (col de Bavella), sous une tranche d'eau annuelle de 560 mm (Cap de Pertusato, altitude 90 m), à 1480 mm (Vizzavona, altitude 1160 m), dans leurs parties couvertes de prairies ou de pelouses dans lesquelles diverses espèces végétales banales ont des degrés élevés à la fois de fréquence et d'abondance-dominance. Ces plantes sont notamment les thérophytes : *Lagarus ovatus* L., *Festuca Myuros* L., *Medicago hispida* Gærtn., *Anthemis arvensis* L., *Silene gallica* L., *Erodium cicutarium* (L.) L'Hér.; les hémicryptophytes : *Poa bulbosa* L., *Plantago Coronopus* L., *Trifolium subterraneum* L., *Carlina corymbosa* L.; le géophyte : *Cynodon Dactylon* (L.) Pers. Ces prairies ou pelouses sont le plus ordinairement sur arènes granitiques; il en est exceptionnellement sur calcaire (Pertusato). La formation climacique, forêt ou maquis, a été détruite, souvent depuis longtemps et remplacée par des formations herbacées basses ou rases maintenues en leur état par l'action efficace et généralement très intense de l'Homme et de ses troupeaux (Ovins, Caprins,

(1) R. Pasquier, *Bull. Soc. Hist. Nat. Afr. du Nord*, n° 6, 1934, p. 167-200.

Bovins), action à laquelle, en certaines situations élevées, se conjugue celle d'un climat relativement rigoureux.

Les stations corses de *D. maroccanus* appartiennent, en majeure partie, à la catégorie de celles dites par dégradation (2) (l'abandon de culture ne semble, en effet, devoir être mis en cause ici que très rarement, tout au moins actuellement; l'incendie moins encore). D'autre part, ces stations peuvent être distinguées, dans un cadre esquissé par ailleurs (2), d'après leur rôle éventuel dans les processus tendant, soit seulement à amorcer, soit à réaliser, puis à parachever la grégarisation.

A. Stations non grégarigènes (3). — *Type* 1. — Stations à solitariens en densité suffisamment faible pour que leurs interactions soient nulles ou sans conséquence sensible. Exemple : cols de la Vaccia (1188 m), de la Croix (272 m), etc.

Type 2. — Stations à solitariens en densité telle que les actions interindividuelles ne sont plus négligeables, si bien que peuvent parfois se produire des variations dans la coloration (apparition de congrégicolores), mais sans que le comportement semble être affecté. Exemple, Calacuccia (840 m), Lagani (Nord de Ponte Leccia, 480 m); Barchetta (70 m), île de Lavezzi (10 m), Pineto de la Canonica (3 m), etc.

B. Stations grégarigènes. — *Type* 3 (foyers infragrégarigènes). — Les interactions au sein d'agglomérations relativement denses y déterminent des modifications dans la couleur, la taille, la forme et le comportement (apparition de congrégiens); ces dernières se traduisent par l'accomplissement de déplacements, peu importants mais coordonnés, des larves des derniers stades; leurs adultes n'essaiment cependant pas, car la dégrégarisation intervient plus ou moins tôt avant la mue imaginale.

Type 4 (foyers subgrégarigènes). — La grégarisation y aboutit à la formation d'essaims primaires congrégiens ou grégariens qui subissent, peu après leur entrée en mouvement, une dégrégation amorçant et réalisant leur dégrégarisation.

Type 5 (foyers grégarigènes efficaces). — Sur eux ou à leur proximité, une multiplication des congrégiens et des néogrégariens est possible, qui leur permet d'affirmer leur grégarité et leur cohésion et surtout d'accroître la masse de leurs essaims primaires.

Au cours de la campagne 1950-1951, des foyers ont fonctionné selon le type 3 près de Bonifacio (Pertusato) et de Porto-Vecchio (Santa Giulia, 15 m). Cette même campagne a vu débuter une activité grégarigène du type 4 (?5) tant sur la rive droite de la basse vallée du Rizzanèse (altitude moyenne 120 m), que dans les Agriates (altitude moyenne 150 m),

(2) R. Pasquier, *Annales Inst. Agr. Algérie*, 3, fasc. 8, 1950, p. 1-13.

(3) R. Pasquier, *Annales Inst. Agr. Algérie*, 6, fasc. 6, 1952, p. 1-16.

activité qui s'est poursuivie en 1951-1952 pour aboutir à un essaimage à partir de plusieurs foyers, essaimage souvent total, les départs ayant laissé à peu près place nette. Les congrégiens avancés, presque grégariens typiques, formés sur ces stations, n'ont toutefois été observés en essaim dense qu'en une seule circonstance (Mont Iffana, altitude 475 m, 6 juin 1952) alors que la présence de népiogones indiquait que la mue imaginale venait de s'achever. Cet essaim, qui n'a plus été rencontré, s'est vraisemblablement désagrégé. D'ailleurs, des isolés, en nombre souvent important, transportés par les vents dominant dans chacune des deux régions, ont été retrouvés avec les populations solitariennes autochtones (stations type 1 ou 2) dans la totalité des bassins versants, d'une part du Rizzanèse, d'autre part de l'Ostriconi; les limites de ce dernier ont même été largement franchies : la piste des néogrégariens fut suivie jusqu'à 5 km au nord de Francardo (vallée moyenne du Golo), à plus de 30 km des lieux d'origine des Agriates.

Dans les deux régions grégarigènes jusqu'ici déterminées, la lutte rationnelle limitera bientôt la surveillance à celle des terres d'une vingtaine de bergeries n'intéressant, en tout, pas plus de 150 ha. Reste à préciser le rôle de régions telles que : côte de l'Argentelle (Nord de Galeria); bassin de la Lava (Appietto); bassins du Canale et de l'Avena (Sud de Grossa); bassins du San Giovanni (Poggiale) et du Stabiacco (Porto-Vecchio). Le réseau des vallées intérieures (Golo, Tavignano), les hauts pays tel le Niolo, les plaines de la côte orientale, etc., semblent, dès maintenant, hors de cause.

PHYSICOCHIMIE BIOLOGIQUE. — *L'influence du blocage du système réticulo-endothélial sur la fiche réticulo-endothéliale.* Note (*) de Mme **Inès Wesley** et M. **Georges Sandor**, présentée par M. Jacques Tréfouël.

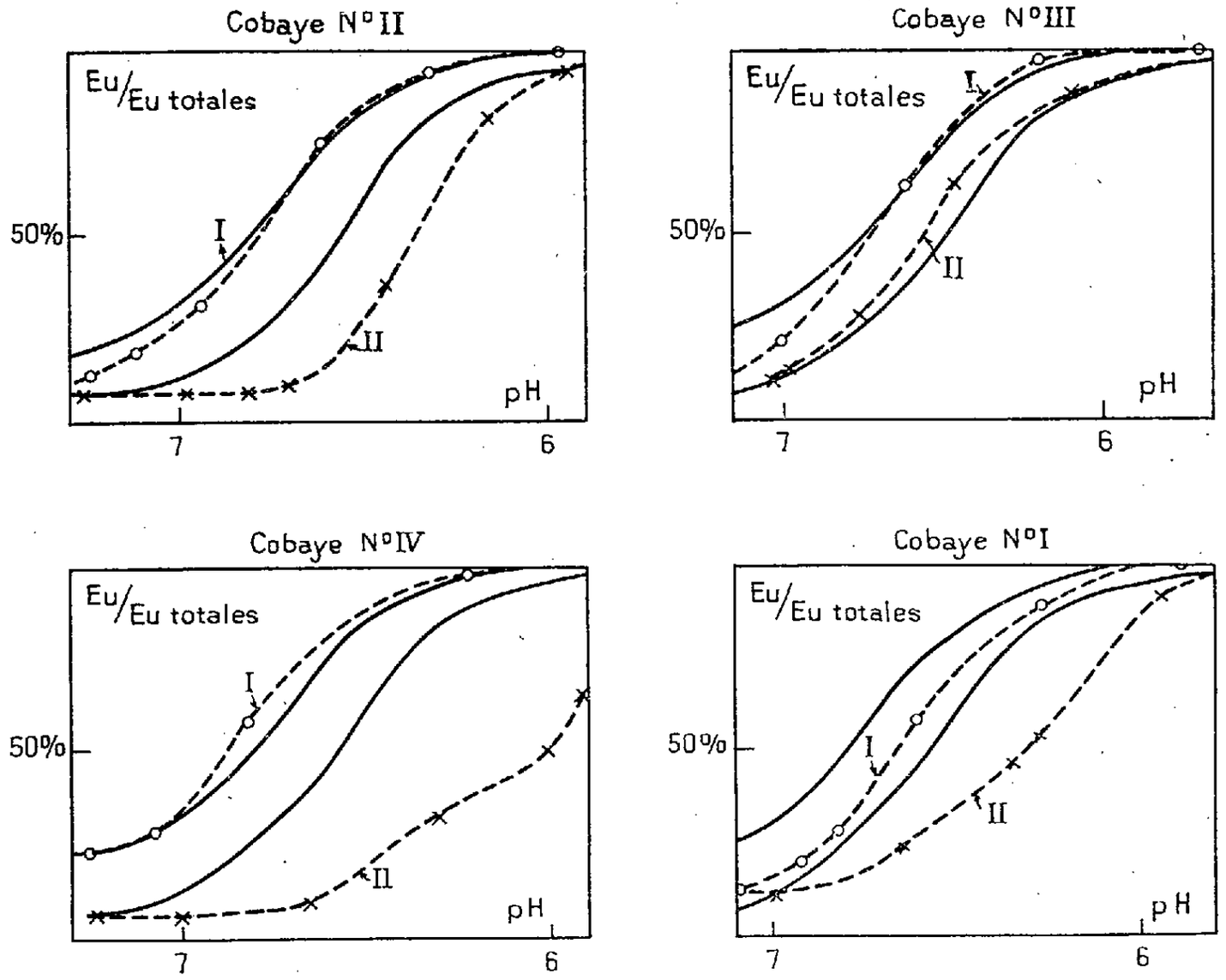
Le blocage du système réticulo-endothélial par le bleu de trypan déplace vers la région acide les courbes représentatives des variations de la solubilité des protéides sériques en fonction du pH.

Nous avons montré antérieurement que le diagramme de précipitabilité des protéides sériques en fonction du pH, remarquablement constant chez l'individu normal, se modifie avec l'état du mésenchyme producteur du plasma. Nous avons tiré d'observations purement cliniques la conclusion que lorsque le diagramme se déplace par rapport à la normale vers la région acide, il y a blocage ou aplasie du mésenchyme actif (1). Présentement, nous apportons la démonstration expérimentale qu'il en est bien ainsi.

(*) Séance du 27 octobre 1952.

(1) Sandor et Weill-Fage, *Ann. Inst. Pasteur*, 79, 1950, p. 130; *La Presse Médicale*, 59, 1951, p. 53.

Nous utilisons des cobayes mâles adultes. La technique de blocage est celle décrite par Gabrieli et Campani (2). On injecte par la voie péritonéale, répartie en deux doses, 1 ml d'une solution à 1 % de bleu de trypan dans l'eau physiologique stérile. Les injections sont répétées le lendemain; 24 à 48 h après la dernière injection on prélève par ponction cardiaque 2,5 à 3 ml de sang. Pour tracer les fiches réticulo-endothéliales, nous utilisons une modification (3) des techniques néphélométriques décrites par Adner (4) et Vargues (5).



Influence du blocage du système réticulo-endothélial sur la fiche réticulo-endothéliale.

I : avant l'injection du bleu de trypan. — II : 24 à 48 heures après la dernière injection.
En *traits pleins* sont figurées les limites des variations chez le Cobaye normal.

Quelques-uns des résultats obtenus sont consignés dans les figures ci-dessus. Nous voyons que le blocage du système réticulo-endothélial déplace la fiche réticulo-endothéliale vers la région acide. Remarquons que nous avons choisi, pour les représentations, deux des cobayes pour

(2) *Experientia*, 8, 1952, p. 19.

(3) Sandor avec la collaboration de Le Bot, *Société française de Microbiologie*, séance d'octobre 1952 (sous presse dans les *Annales de l'Institut Pasteur*).

(4) *Acta Societatis Medicarum Upsaliensis*, 56, 1952, p. 241.

(5) *Algérie Médicale*, 1952, p. 99.

lesquels le déplacement est le plus marqué et deux autres pour lesquels il est le moins marqué. Ainsi sont prouvées la constance et l'évidence des résultats.

Nous avons déjà rapporté que chez le Lapin, lors de la maladie sérique expérimentale, par contre, la fiche se déplace fortement vers la région alcaline (6). Or, la maladie sérique expérimentale du Lapin est caractérisée sur le plan anatomo-pathologique, entre autres, par des granulations disséminées composées de macrophages (7); donc le système réticulo-endothélial est activé. Ces résultats, ajoutés à ceux présentement rapportés, prouvent en définitive que le test décrit par nous est bien une fiche réticulo-endothéliale et confirment intégralement les conclusions déjà étayées sur des observations cliniques.

CHIMIE BIOLOGIQUE. — *Activité biologique sur des rats adultes du dérivé à action antivitaminique* A *obtenu par oxydation de l'axérophtol au moyen de* V_2O_4; *et effet de l'acide ascorbique* (1). Note de MM. **Paul Meunier**, **Georges Zwingelstein** et **Jacques Jouanneteau**, présentée par M. Maurice Javillier.

Le composé obtenu dans l'oxydation de l'axérophtol par V_2O_4 accélère l'évolution de l'avitaminose A chez des rats adultes et provoque parallèlement une carence en vitamine C.

Au cours de recherches chimiques et biologiques sur le dérivé à action antivitaminique A obtenu par oxydation de l'axérophtol au moyen de l'oxyde de vanadium (V_2O_4) (2), nous avons montré que le corps actif Z_1 absorbait dans l'ultraviolet à 340 mμ dans le chloroforme et à 545 mμ dans la solution chloroformique de $SbCl_3$. Ce corps peut être séparé du mélange réactionnel par extraction à l'eau acétique (3). Nous avons entrepris une étude biologique plus approfondie de ce corps ainsi purifié. Les rats blancs mâles utilisés reçoivent une quantité déterminée de vitamine A (1,5 γ par jour pour le groupe I et 3 γ pour le groupe II). Après une période de 60 jours, leur poids moyen se situe aux environs de 170 g. A ce stade, on cesse l'adjonction de vitamine A au régime et l'on donne quotidiennement 7 γ de corps Z_1 à la moitié des rats de chaque groupe, l'autre moitié

(6) Sandor, *Comptes rendus*, **234**, 1952, p. 1326.

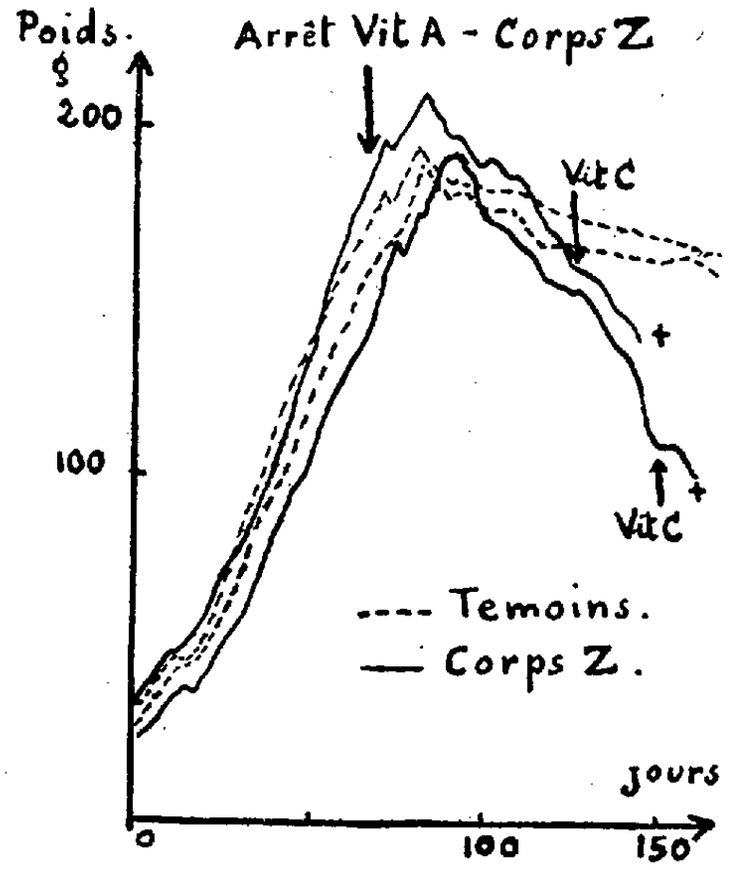
(7) Rich et Gregory, *Bull. Johns Hopkins Hospital*, **89**, 1943, p. 23.

(1) *Voir* P. Meunier, *Fortschritte der Chemie organischer Naturstoffe*, 9, 1952, p. 88-113 (sous presse).

(2) P. Meunier, J. Jouanneteau et R. Ferrando, *Comptes rendus*, **230**, 1950, p. 140.

(3) P. Meunier, G. Zwingelstein, J. Jouanneteau et R. Mallein, *Comptes rendus*, **230**, 1950, p. 1323.

constituant les témoins. Les courbes de croissance présentées par différents animaux du groupe II sont représentées sur la figure. Les rats ayant reçu 90 γ de vitamine A au total (groupe I) présentent des signes caractéristiques de carence 25 jours après l'administration de corps Z_1 ; ceux qui ont reçu 180 γ (groupe II) présentent ces mêmes signes 45 jours après leur mise en expérience. Les rats témoins des deux groupes ne présentent pratiquement pas de signes de carence jusqu'à la fin de l'expérience qui a duré 155 jours.



Courbes de croissance des rats du groupe II.

L'étude des courbes de croissance montre que le corps Z_1 semble avoir, au début, une influence favorable sur la croissance. En effet, les rats traités ont, au cours de la première période, une augmentation de poids supérieure à celle des rats témoins. Mais l'activité antivitaminique de Z_1 se révèle rapidement. La perte de poids devient sensible, puis rapidement importante. Ceci semble montrer que le corps Z_1 déplace lentement la vitamine A du foie permettant ainsi un début de croissance, puis s'accumule et perturbe les processus biologiques où intervient l'axérophtol.

Au cours de l'évolution de la carence, nous avons observé chez les rats traités au corps Z_1 des signes très nets de scorbut. Le 110e jour de l'expérience, un des rats du groupe I présentait des hémorragies très importantes au niveau des gencives ainsi que des pétéchies et des hémorragies périarticulaires (1). L'adjonction au régime de 1 mg d'acide ascorbique pendant 8 jours fait rapidement disparaître ces signes cliniques. Les autres rats du même groupe et du groupe II présentent ces signes de scorbut plus

ou moins accentués les jours suivants. Dans tous les cas, la vitamine C combat efficacement les symptômes et même provoque une légère amélioration du poids, de courte durée, il est vrai.

L'analyse spectrale des extraits obtenus par saponification et extraction à l'éther sans peroxyde des foies des rats traités met en évidence la présence d'un corps absorbant dans l'ultraviolet à 325 mμ dans le chloroforme et à 545 mμ dans le réactif au $SbCl_3$, absorption s'affaiblissant en fonction du temps. Le foie des rats témoins ne présente aucune trace de vitamine A.

Ces résultats suggèrent que le corps Z_1 se fixe dans le foie des rats adultes en provoquant une avitaminose A caractéristique et intensifie les signes de carence en vitamine C qui accompagnent vraisemblablement la carence en axérophtol (4).

CHIMIE BIOLOGIQUE. — *Étude de l'inhibition de* Saccharomyces cerevisiæ *par l'actidione*. Note de M. **Émile Peynaud**, présentée par M. Maurice Javillier.

L'actidione est un antibiotique produit, avec la streptomycine, par *certaines souches* de *Streptomyces griseus*. C'est un antifongique très actif sur de nombreux ascomycètes, mais toléré à forte concentration par les bactéries. Whiffen et ses collaborateurs (1) ont observé que le milieu de culture de *S. griseus* inhibe le développement de certains champignons pathogènes, alors que la streptomycine pure est inactive. La croissance de *Cryptococcus neoformans* est complètement arrêtée par une dilution au centième d'un liquide de culture de *S. griseus* contenant 130 mg de streptomycine par litre, alors que le même organisme n'est pas gêné par 285 mg/l de streptomycine très pure. Ce liquide de culture contient donc encore une substance antifongique; elle s'extrait facilement par le chloroforme ou l'éther, qui ne dissolvent pas la streptomycine. L'actidione a été ainsi isolée sous forme cristallisée (2). Elle est soluble dans l'eau (2 %) et dans l'alcool et elle est relativement thermostable. La solution aqueuse conserve son efficacité plusieurs semaines à pH 3-5, zone d'acidité correspondant à la stabilité maximum du produit.

Sa formule chimique est connue grâce aux travaux de Ford et Leach (3), puis de Kornfeld, Jones et Parke (4). La formule brute est $C_{15}H_{23}NO_4$; elle

---

(4) J. Mayer et W. A. Krehl, *Arch. of Biochem.*, **16**, 1948, p. 313-314.

(1) A. J. Whiffen, N. Bohonos et R. L. Emerson, *J. Bacteriology*, **52**, 1946, p. 610.
(2) B. E. Leach, J. H. Ford et A. J. Whiffen, *J. Amer. Chem. Soc.*, **69**, 1947, p. 474.
(3) *J. Amer. Chem. Soc.*, **70**, 1948, p. 1223.
(4) *J. Amer. Chem. Soc.*, **71**, 1949, p. 150.

est constituée par deux noyaux saturés, l'un du type cyclohexanol, l'autre dérivé de la pyridine et porteur d'une fonction imide; ces deux noyaux sont reliés par une fonction alcool secondaire.

Whiffen (*) a montré que, contrairement à la streptomycine, cet antibiotique a une très grande activité contre certaines levures, mais peu ou pas contre les bactéries. Différents *Saccharomyces* sont inhibés par des doses aussi faibles que 0,17 mg/l; par contre, *Kloeckera apiculata* et les bactéries supportent jusqu'à 1 g/l.

La toxicité de l'actidione a été trouvée très variable suivant l'animal expérimenté. La dose léthale est de 160 mg environ par kilogramme quand on opère par voie intraveineuse ou sous-cutanée pour la Souris, 60 mg pour le Cobaye et 3 mg pour le Rat. Par ailleurs, l'actidione a été utilisée à fortes doses chez l'Homme avec succès, dans certains cas de méningite, et contre certains champignons pathogènes; elle est bien tolérée par voie intraveineuse. Administrée par voie buccale, elle ne présente aucune toxicité apparente. Le produit n'a aucun goût aux doses d'emploi.

Nos essais ont été conduits avec différents moûts de raisin et de nombreuses espèces et races de levures isolées de vins ou de fruits. Les levures du type *Saccharomyces ellipsoïdeus* sont les plus sensibles à l'actidione. Un demi-milligramme par litre de moût retarde de deux jours le départ de la fermentation, et 1 mg de 4 à 5 jours; 5 mg n'empêchent pas complètement la fermentation, qui se déclare avec une dizaine de jours de retard, mais 7,5 mg ont interdit la fermentation dans tous les cas essayés. Les autres levures résistent mieux à l'antibiotique. Il faut 10 mg/l pour bloquer *Torulaspora rosei* et les *Hansenulas*. Par contre, la croissance de *Kloekera apiculata* n'est aucunement influencée par 50 mg/l. On remarque que l'actidione est beaucoup plus efficace sur les *Torulas* et les *Hansenulas* se développant à l'abri de l'air que sur les cultures aérobies, alors que pour les levures elliptiques l'action inhibitrice est pratiquement la même dans les deux conditions. En somme, l'actidione agit essentiellement sur la fermentation alcoolique; elle agit peu sur le processus respiratoire, pas du tout sur la fermentation lactique. Dans les milieux naturels sucrés et pour le genre ascomycète, elle se conduit comme un inhibiteur spécifique de la fermentation alcoolique.

L'actidione pourrait être un bon conservateur des vins sucrés. Les accidents de refermentation sont toujours provoqués par des levures elliptiques, le degré alcoolique des vins ne permettant pas le développement d'autres espèces de levures. D'autre part, les vins sont beaucoup moins fermentescibles que les moûts et des quantités très faibles d'actidione de l'ordre du dixième ou, au plus, de quelques dixièmes de milli-

(*) *J. Bacteriology*, 56, 1948, p. 283.

gramme par litre, se montrent suffisantes pour interdire les refermentations. L'expérience suivante est intéressante à ce sujet. Un vin blanc, pesant 10° et ayant 25 g de sucres réducteurs, désulfité, est placé à l'étuve à 25° en bouteille incomplètement pleine, afin de réaliser des conditions favorables au développement des levures. Une bouteille semblable reçoit 0,1 mg/l d'actidione. On ensemence avec une levure de Sauternes en activité à raison de 500 levures par millimètre cube, quantité de levain faisant paraître le vin légèrement trouble. La fermentation s'est déclarée dans la bouteille témoin au sixième jour; après 15 jours, il ne restait plus que 5,2 g de sucre par litre. Par contre, le vin ayant reçu cette quantité minime d'actidione n'a pas donné trace de fermentation ni de développement des levures depuis plus de trois mois que l'expérience est en cours. L'essai a été refait plusieurs fois avec le même succès sur des volumes différents, avec des vins différents et diverses levures.

L'actidione, antibiotique de la fermentation alcoolique, mais non produit abiotique, aurait son utilité chaque fois qu'il y a lieu d'interdire la fermentation des sucres. Elle pourrait jouer le rôle d'adjuvant de l'anhydride sulfureux dans la conservation des vins sucrés. Elle est dans les vins plus active que la mycosubtiline que nous avons déjà étudiée ([6]). L'acide sulfureux ne serait nécessaire alors que pour ses propriétés antioxygène et il serait possible d'en limiter les doses, pour diminuer sa nocivité et éviter son action désagréable sur le goût et sur l'odeur des vins.

CHIMIE BIOLOGIQUE. — *Étude préliminaire d'un système enzymatique bactérien oxydant le glucose en acide gluconique*. Note de MM. **Jean-Paul Aubert**, **Gérard Milhaud** et **Raymond Gavard**, présentée par M. Maurice Lemoigne.

Un extrait partiellement purifié de *Neisseria winogradskyi* renferme un enzyme oxydant le glucose en acide gluconique qui, par ses propriétés, diffère des deux types de glucose déshydrogénase déjà connus, et semble s'apparenter aux oxydases vraies.

Deux types d'enzymes oxydant le glucose en acide gluconique ont été décrits jusqn'à présent : le glucose déshydrogénase anaérobie de Harrison ([1]) dont le diphosphopyridine nucléotide (DPN) est le coenzyme, et le glucose déshydrogénase aérobie de Francke ([2]) ou notatine ([3]) dont le flavine adénine

([6]) J. Ribéreau-Gayon et E. Peynaud, *C. R. Acad. Agriculture*, 39, 1952, p. 479.

([1]) *Biochem. J.*, 27, 1933, p. 382.

([2]) *Ann.*, 532, 1937, p. 1.

([3]) C. E. Coulthard et coll., *J. Biol. Chem.*, 39, 1945, p. 24.

dinucléotide (FAD) serait le coenzyme. La présente Note concerne un enzyme extrait de *Neisseria winogradskyi* qui semble ne s'appparenter à aucun des deux types connus. Cette bactérie, isolée du sol par Lemoigne et coll. (4), qui est cultivée en milieu synthétique liquide contenant le 2.3-butanediol comme seul aliment carboné, bien qu'elle ne se développe pas dans ce milieu si l'on remplace le butanediol par le glucose, possède cependant un puissant système d'oydation de ce substrat (5).

L'enzyme est extrait par ultrasonation des bactéries, et l'extrait brut est fractionné au SO_4Am_2 à pH 6,7 entre 0,25 et 0,35 de saturation. La solution enzymatique ainsi obtenue, 70 ml environ à partir de 3 g de microbes, a servi de solution de base dans toutes les expériences (1 ml contient 0,8 mg d'azote, et fixe 150 µl de O_2 en 10 m dans les meilleures conditions). Les expériences sont généralement faites à l'appareil de Warburg, dans l'air, à 37°, dans un tampon phosphate 0,05 M à pH 6,0.

1. *Correspondance oxygène absorbé-glucose consommé.* — Chaque cupule contient : 0,3 ml d'extrait, 0,4 ml sol. glucose à 2,5 %, 0,5 ml tampon phosphate 0,2 M à pH 6,0, 0,7 ml d'eau. Les dosages de glucose et d'O_2 conduisent à l'équation globale :

$$C_6H_{12}O_6 + \frac{1}{2}O_2 \rightarrow C_6H_{12}O_7.$$

2. *Spécificité.* — Le *d*-glucose, le *d*-galactose et le *d*-mannose sont attaqués avec la même intensité, mais l'extrait est inactif sur le *d*-fructose, le *d*-arabinose, le *d*-xylose, le maltose, le saccharose et le glucose 6 phosphate, ainsi que sur les antipodes optiques *l*-glucose, *l*-galactose et *l*-mannose. Les trois premiers sucres sont transformés respectivement en acides gluconique, galactonique et mannonique qui ont été caractérisés par les propriétés de leurs sels de Ca et de leurs phénylhydrazides.

3. *Influence du* pH. — Le maximum d'activité en pointe se situe vers pH 6,0.

4. *Influence du phosphate.* — L'activité est inchangée quand la concontration en P varie de 1.10^{-4} M à 0,05 M.

5. *Influence de la pression partielle d'oxygène.* — L'activité est inchangée lorsque l'air est remplacé par l'oxygène pur.

6. *Inhibiteurs.* — A pH 6,0, ajoutés à la concentration 0,005 M, l'éthyluréthane, l'acide monoiodacétique, FNa, et l'arséniate de Na ne provoquent aucune inhibition; en revanche CNK, N_3Na déterminent une inhibition de 80 %, le SNa_2 de 40 %. Dans tous les cas la recherche de H_2O_2 par la réaction au sulfate de titane a été négative.

---

(4) *Ann. Inst. Pasteur*, **82**, 1952, p. 389.

(5) M. Lemoigne et M. Croson, *Comptes rendus*, **235**, 1952, p. 1075.

7. *Recherches sur la nature de l'enzyme.* — En anaérobiose, le système ne peut fonctionner en présence de bleu de méthylène, d'autre part on n'observe pas la réduction du DPN ou du TPN. Il ne nous a pas été possible de résoudre le système actif en deux fractions inactives séparément et actives lorsqu'elles sont réunies. Mais par dialyse à 0° pendant 15 h contre une solution de ClH 0,05 N contenant 7,5 % de SO_4 Am_2, on obtient une solution enzymatique qui n'est active sur glucose que si on lui ajoute du manganèse ou du magnésium. Chaque cupule contient : 0,8 ml sol. enzymatique (1,6 mg d'azote), 0,5 ml tampon phosphate 0,2 M, 0,4 ml. sol. glucose à 2,5 %, 0,2 ml de SO_4 Mn. En 30 m la consommation d'O_2 est la suivante : moins de 6.10^{-6} M de Mn^{++} : 5 µl; $1{,}2.10^{-4}$ M : 11 µl; $1{,}2.10^{-3}$ M : 69 µl; $2{,}5.10^{-3}$ M; 85 µl; 5.10^{-3} M : 92 µl. Mg^{++} active également, à des concentrations moléculaires environ deux fois plus fortes, mais les cations bivalents Fe, Cu, Zn, Ni, Co, Ca ainsi que Fe^{+++} n'activent pas. Enfin la solution supporte sans aucune perte d'activité une dialyse d'une nuit contre un tampon citrate 0, 1M à pH 6,0 suivi d'une dialyse de 4 h contre eau bidistillée.

Conclusion. — Cet enzyme diffère à coup sûr de la glucose déshydrogénase de Harrison, et certaines de ses propriétés sont en opposition avec celles de la glucose déshydrogénase de Francke, en particulier : son insensibilité à la pression partielle d'oxygène, son inhibition par le cyanure et l'azoture, sa réactivation dans certaines conditions par Mn^{++} et Mg^{++}, la réaction négative de l'eau oxygénée dans les cas d'inhibition de la catalase, et sa non-spécificité pour le glucose. Par ces premiers résultats, la place de cet enzyme semble être parmi les oxydases vraies, nous ne pourrons toutefois conclure avec certitude que lorsque les travaux de purification actuellement en cours seront achevés.

CHIMIE BIOLOGIQUE. — *Étude de l'hyaluronidase (facteur de diffusion sur l'Anguille)*. Note de Mme **Andrée Drilhon**, présentée par M. Paul Portier.

La mise en évidence du complexe d'équilibre « Acide hyaluronique-Hyaluronidase » dans l'étude des phénomènes de perméabilité de la peau et du tissu conjonctif des mammifères, nous a incitée à chercher si ces mêmes substances intervenaient chez les Poissons et pouvaient dans une certaine mesure expliquer l'un des mécanismes de l'adaptation aux changements de salinité.

On sait, en effet, que l'acide hyaluronique forme une barrière à la pénétration des solutions salines, tandis que l'hyaluronidase favorise cette pénétration en hydrolisant l'acide hyaluronique en glucosamine; cet équilibre est, de plus, sous la dépendance hormonale.

Les expériences de Paul Bert ont montré qu'une anguille privée de son

mucus ne supporte plus le passage de l'eau douce à l'eau de mer : la privation de celui-ci sur les téguments de l'animal détruit une barrière efficace et nécessaire au maintien de sa concentration moléculaire.

Dans cette Note, nous avons voulu préciser les points suivants :

1° Action de l'hyaluronidase sur le mucus *in vitro*;

2° Action de l'hyaluronidase sur la pénétration des sels à travers la peau de l'Anguille;

3° Action directe de la hyalurodinase sur l'Anguille en eau douce et en eau de mer.

1° *Action de l'hyaluronidase sur le mucus* « in vitro ». — Il est assez aisé de recueillir une quantité appréciable de mucus. La technique de chromatographie de partage sur papier nous a permis d'identifier dans le mucus normal des traces d'acides aminés libres qui sont les suivants : acide aspartique, acide glutamique et valine.

En présence d'une très faible quantité d'hyaluronidase (quelques γ) à pH voisin de la neutralité et dans les conditions aseptiques à 37°, la partie protéique de la mucine subit une hydrolyse importante et libère les acides aminés suivants : acide aspartique, acide glutamique, glycocolle, alanine, tyrosine, valine, histidine et tryptophane, le plus important quantitativement étant la valine.

Parallèlement, nous avons suivi l'action de l'enzyme sur le mucus à la température du laboratoire, soit 20° : nous avons trouvé les mêmes acides aminés mais en quantité moins importante. Enfin une hydrolyse totale du mucus (en boule scellée) par l'HCl 6N nous a permis de déceler les mêmes acides aminés; on peut donc conclure qu'*in vitro* l'enzyme a une action très nette sur le mucus de l'Anguille.

2° *Action de l'hyaluronidase sur la peau d'anguille* « in vitro ». — Sur des manchons de verre sont tendus des fragments de peau d'Anguille fraîchement prélevée et soigneusement garnie de mucus. Cette peau constitue un septum séparant deux solutions salines : à l'intérieur du manchon, le Δ de la solution est égal à celui du sang de l'Anguille, soit — 0°,66 environ, tandis que le Δ de la solution extérieure est égal à celui de l'eau de mer, soit — (2°,02).

On ajoute dans le bain extérieur au manchon quelques milligrammes d'hyaluronidase et une trace de bleu de méthylène pour suivre la pénétration du milieu extérieur; les résultats sont les suivants : 5 h après le début de l'expérience, une grande partie des sels a déjà pénétré vers l'intérieur, alors que les témoins sont inchangés. 12 h après, l'équilibre est complètement atteint.

Il faut 30 h et même davantage pour obtenir un début d'osmose chez les témoins.

La diffusion des sels en présence de traces d'hyaluronidase est donc considérablement accrue.

3° *Action directe de l'hyaluronidase sur l'Anguille en eau douce et en eau de mer.* — Nous avons utilisé dans une première série d'expériences des anguilles jaunes de Brière, très jeunes, dont le rapport gonosomatique ne pouvait pas encore être évalué. Les animaux (sujets et témoins) étaient toujours choisis de poids aussi voisins que possible.

Nous avons suivi d'une part les variations de poids, d'autre part la teneur en eau musculaire des anguilles transportées en eau de mer par passage brusque. Outre le lot des témoins, les unes recevaient l'hyaluronidase en piqûre intramusculaire, les autres directement dans le bain. Nous n'avons pas obtenu des résultats nets par l'injection intramusculaire; par contre, les anguilles de faible poids meurent rapidement dans un bain contenant 50 mg d'enzyme par litre d'eau de mer. Les anguilles de poids plus élevés (80 à 100 g) permettent de suivre leur comportement. Les témoins accusent une courbe semblable à celle de Keys (1), toutefois des variations sensibles s'observent dans un même lot d'anguilles, selon que le poids initial est voisin de 30 ou de 100 g.

Les animaux recevant l'hyaluronidase accusent une chute de poids plus importante que les témoins, chute pouvant atteindre 17 %.

Les teneurs en eau des témoins en eau douce s'échelonnent entre 69 à 74 %. En eau de mer, au bout de trois jours, ces teneurs sont de 62 à 65 %. En présence de l'enzyme mucolytique, le taux d'imbibition musculaire n'est plus que de 55 % en moyenne; un cas exceptionnel est descendu à 48 %.

Il apparaît donc que sous l'influence d'un facteur de diffusion, par l'altération de son mucus, l'Anguille se déshydrate et perd en partie le contrôle de sa concentration moléculaire.

Conclusions. — Les résultats apportés dans cette Note concernent exclusivement les anguilles jeunes n'ayant aucune évolution génitale; il reste donc à préciser le comportement d'autres stades du cycle (mâles et anguilles d'avalaison).

L'étude des teneurs en acide hyaluronique de la peau d'anguille doit être établie aux divers stades évolutifs de l'animal. Ces recherches, en fonction des variations hormonales du cycle permettront de mettre mieux en évidence le rôle des facteurs de diffusion (ou enzymes mucolytiques) et d'expliquer peut-être, dans une certaine mesure, le maintien de la concentration moléculaire au cours des passages de l'animal de l'eau douce à l'eau de mer.

---

(1) *Proc. Roy. Soc.*, B **112**, 1933, p. 184-199.

ENZYMOLOGIE. — *Augmentation de la coagulabilité du sang sous l'action* in vivo *du lysozyme*. Note (*) de M. **Henri Violle**, présentée par M. Jacques Tréfouël.

On sait que le lysozyme n'a d'action lytique que sur des microbes banaux non virulents.

Nous désirions, au point de vue immunologique, connaître ses actions et réactions chez l'animal.

Après quelques expériences d'orientation, nous avons noté que :

1° le lysozyme, injecté chez le Lapin, par voie veineuse, à raison de 0,5 mg/kg, accélère nettement le temps de coagulation;

2° l'action coagulante débute immédiatement et va en progressant pour atteindre son maximum en 2 h environ; puis l'effet s'atténue, pour disparaître en 4 h environ. Ainsi, en 6 h, s'est déroulé ce phénomène. Le temps de coagulation peut être trois à quatre fois plus court que normalement.

En augmentant progressivement, de 0,5 à 10 mg, la dose de lysozyme par kilogramme, l'effet coagulant n'est pas plus prononcé et la vitesse de coagulation ne s'est pas accrue proportionnellement, mais la durée d'action s'est allongée du fait du lent retour au chiffre initial.

Ce fait ne s'expliquerait-il pas par la rétention dans un organe, tel que le foie, à partir d'un certain taux, du lysozyme en excès ou par la facilité avec laquelle ce corps est résorbé et disséminé dans l'organisme ?

De fait, on ne trouve plus trace du lysozyme, injecté à dose très élevée (10 mg) dans le péritoine d'une souris, 1 h après l'inoculation (réaction négative sur le b. lysodeikticus).

On a ainsi une substance très maniable, dont on peut obtenir des effets de durée variable, s'étageant de quelques heures à plusieurs jours.

Le lysozyme agit indirectement sur le sang : *in vitro*, il n'augmente pas sa vitesse de coagulation; l'effet accélérateur ne se produit qu'*in vivo*.

Lorsqu'on inocule cette substance par voie sous-cutanée, on obtient, toutes choses égales d'ailleurs, les mêmes effets que lors d'injections intraveineuses. Il est donc préférable d'utiliser cette voie.

Lorsqu'on fait absorber le lysozyme *per os*, on obtient une courbe plus irrégulière mais, dans son ensemble, analogue aux précédentes; les effets sont plus aléatoires, car on admet que le lysozyme, à l'encontre de la trypsine, est précipité par la pepsine.

On sait qu'un microbe non pathogène est lysé par cet enzyme en deux phases : contact avec le lysozyme d'abord en milieu légèrement acide qui le sensibilise, puis neutralisé, qui le dissout.

(*) Séance du 3 novembre 1952.

Or, nous avons noté que l'effet coagulant est efficace avec le lysozyme à une seule de ces deux phases.

Mais quand l'action lytique a disparu, le pouvoir coagulant cesse. Les deux propriétés relèvent donc d'une même nature enzymatique.

Si cette action coagulante, vraiment prononcée, avait été décrite en même temps que ses propriétés lysantes, d'applications trop restreintes, il est probable qu'un autre vocable eût désigné ce corps.

Le lysozyme paraît dénué de tout pouvoir agressif, à la suite d'injections dermiques, sous-cutanées ou intra-veineuses chez le Lapin. Localement, on ne note aucun phénomène objectif (rougeur, œdème, etc.), ni subjectif (irritation, douleur, etc.).

Il ne provoque, aux doses fortes et superflues, en dehors de son action propre, aucun phénomène immédiat ou ultérieur; 10 mg/kg ont pu être injectés par voie veineuse à un lapin, en toute innocuité. La même quantité de 10 mg peut être injecté dans le péritoine de souris, sans déterminer chez ces petits animaux (30 g) de réactions.

Le lysozyme n'a, chez le Cobaye, et chez le Lapin, aucun effet anaphylactisant. Rappelons pour expliquer ce fait que cette protéine est d'un poids moléculaire relativement faible.

Il n'est pas de nature allergisante : un animal ayant reçu une injection de lysozyme peut, après quelques semaines ou quelques jours, recevoir impunément une nouvelle injection, quelle que soit la voie employée.

Il ne modifie pas la pression artérielle chez le Chien.

Ainsi, et très schématiquement, dans l'organisme, coexistent deux principes essentiels : l'un qui maintient fluide le sang dans toute l'étendue du système vasculaire clos, l'autre qui provoque la coagulation d'une lésion saignante hors de cet appareil. C'est ici l'héparine qui permet de vivre; là, la vitamine K de survivre. Par une action additive, le lysozyme, substance également normale de l'organisme, devient apte à renforcer le pouvoir coagulant de l'un ou à réfréner l'action fluidifiante de l'autre.

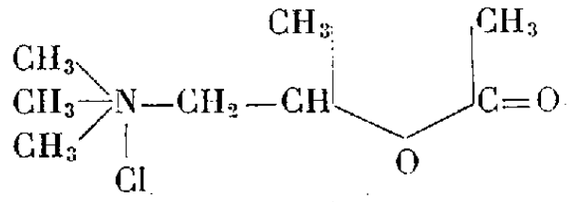
En résumé, le lysozyme, expérimentalement abrége le temps de coagulation du sang. Suivant la quantité injectée, l'effet est plus ou moins long, mais les écarts des temps de coagulation ne sont pas proportionnels à cette durée.

PHARMACODYNAMIE. — *Sur quelques dérivés ammonium quaternaires de la δ-amino-γ-valérolactone*. Note (*) de MM. **Robert Rothstein**, **Kurt Binovic** et Mlle **Jacqueline Delor**, présentée par M. Jacques Tréfouël.

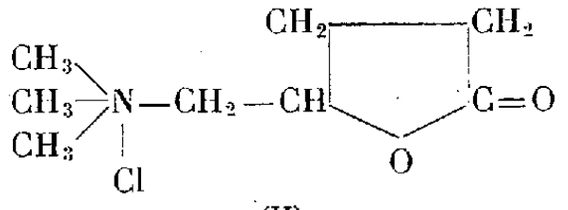
Le chlorure de δ-triméthyl-amino γ-valérolactone possède sur l'organisme animal une action semblable à celle de l'acétylcholine.

(*) Séance du 3 novembre 1952.

Le chlorure de β-méthyl acétylcholine (I), comme le bromure, possède sur l'organisme animal une action semblable à celle de l'acétylcholine (¹). Nous nous sommes demandé si la cyclisation de ce produit conserverait à la nouvelle molécule (II) les mêmes propriétés pharmacodynamiques.



(I)

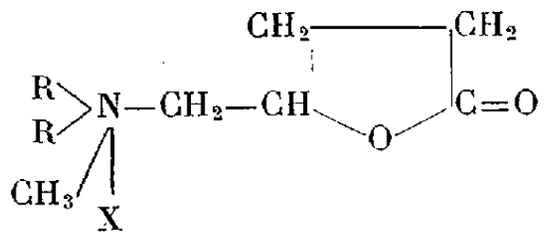


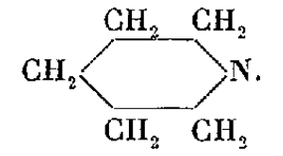
(II)

La synthèse du chlorure de δ-triméthylamino γ-valérolactone (II) a été réalisée en chauffant huit heures en tube scellé, un mélange de δ-chloro γ-valérolactone (1 mol) et de triméthylamine anhydre (1 mol 1/4). Le mélange réactionnel a été repris dans l'alcool absolu et le dérivé ammonium quaternaire précipité par l'éther anhydre. Après recristallisation, le produit se présente sous forme de cristaux blancs très hygroscopiques, F 199°. Le rendement est de 50 %. Toutefois, si l'on tient compte de la chlorovalérolactone récupérée, utilisable dans une nouvelle préparation, le rendement est presque quantitatif.

En faisant agir le chlorure de méthyle sur la δ-diméthylamino γ-valérolactone, suivant la technique que nous avons décrite à propos de la diéthylcholine (²), on obtient un produit qui fond également à 199°. Le point de fusion du mélange des produits obtenus par les deux méthodes, ne présentant aucune dépression, prouve leur identité de structure.

Par cette seconde méthode, en faisant agir les halogénures de méthyl CH_3X (X = Cl, Br ou I) sur différentes δ-dialcoylamino γ-valérolactones, nous avons obtenu un certain nombre de dérivés à fonction ammonium quaternaire, dont les constantes physiques figurent ci-dessous.



R.	CH_3.			C_2H_5.			C_4H_9.					
X...	Cl.	Br.	I.	Cl.	Br.	I.	Cl.	Br.	I.	Cl.	Br.	I.
F...	199	138	108	*	136	101	*	*	*	*	150	86

(¹) Hunt, *J. Pharm. Exp. Ther.*, **6**, 1914, p. 477; **51**, 1933, p. 237; **52**, 1934, p. 61; S. Weiss et Ellis, *J. Pharm. Exp. Ther.*, **52**, 1934, p. 113; H. Wispelaere, *Soc. Biol.*, **124**, 1937, p. 276; Villaret, Justin-Besançon et Cachera, *Ann. de Médecine*, **32**, 1932, p. 385.

(²) R. Rothstein et P. Gley, *Comptes rendus*, **230**, 1950, p. 1188.

Les points de fusion des produits marqués d'une astérisque dans la ligne F n'ont pu être déterminés à cause du caractère par trop hygroscopique de ces substances.

L'examen analytique de l'expérimentation pharmacodynamique du chlorure de triméthylamino γ-valérolactone peut se résumer ainsi :

a. Appareil cardiovasculaire. — L'expérimentation porte sur le Lapin anesthésié au somnifène. La pression artérielle diminue pour des doses de 0,1 mg administrées par voie intraveineuse. Cette chute est brutale et semble caractéristique. Le retour à la normale s'effectue rapidement. Cette diminution de la pression artérielle s'accroît avec des doses plus fortes, sans que cela soit linéairement proportionnel. Il existe parallèlement une action cardiaque caractérisée par une Tachycardie, d'autant plus accentuée que les doses administrées ont été plus élevées. L'atropine possède un effet inhibiteur sur la chute tensionnelle due à ce produit. Toutefois, pour des doses importantes, cette inhibition atropinique disparaît. Aux doses élevées, on remarque une inversion de l'action avec apparition d'effets hypertensifs.

b. Appareil neuromusculaire. — Le pouvoir curarisant a été recherché sur la Grenouille. Pour des doses faibles, inférieures à 0,5 mg, les phénomènes musculaires sont peu apparents. Par contre, ce produit est curarisant à doses élevées. Chez le Lapin, les divers muscles striés semblent touchés presque simultanément, la paralysie diaphragmatique ne succédant à l'atteinte des masses cervicales qu'après un laps de temps très court.

A la lumière de ces résultats, il semble permis de conclure que le chlorure de δ-triméthylamino γ-valérolactone conserve en partie les propriétés pharmacodynamiques du chlorure de β-méthylacétylcholine.

La séance est levée à 16 h 5 m.

R. C.

ERRATA.

(*Comptes rendus* du 13 octobre 1952.)

Note présentée le 21 juillet 1952, de M. *Robert Bouriquet,* Action de la mercaptoéthylamine et de la mercaptothiazoline sur quelques tissus végétaux cultivés *in vitro* :

Page 811, note (*) de bas de page, *au lieu de* Séance du 22 septembre 1952, *lire* Séance du 21 juillet 1952.

BULLETIN BIBLIOGRAPHIQUE.

Ouvrages reçus pendant les séances d'octobre 1952.

Les Eucalyptus dans le Gharb (Maroc occidental), par H. Ménager, in *Revue internationale de Botanique appliquée*, 32e année, juillet-août 1952, nos 357-358. Paris, Muséum national d'histoire naturelle. Laboratoire d'agronomie coloniale; 1 fasc. 24 cm (présenté par M. Auguste Chevalier).

The relations between fellows of the Royal Society and french men of science when France and Britain were at war, by Gavin Rylands de Beer. Tirage à part des *Notes and Records of the Royal Society of London*. Vol. IX, n° 2, 1952. Offert par la Royal Society aux membres de l'Académie des Sciences; 1 fasc. 25 cm.

Le Tabac, par Auguste Chevalier et H. F. Emmanuel in Collection *Que sais-je?* n° 87. (Traduction en langue japonaise). Paris, Presses universitaires et Japon, Léon Prou, 1952; 1 vol. 17,5 cm.

Algues d'eau douce de la Guadeloupe et dépendances recueillies par la Mission P. Allorge en 1936, par Pierre Bourrelly et Émile Manguin. Préface de M. Roger Heim. Paris, Société d'édition d'enseignement supérieur, 1952; 1 vol. 25 cm.

Encyclopédie mycologique. XXI. *La description des champignons supérieurs*, par Marcel Josserand. Paris, Paul Lechevalier, 1952; 1 fasc. 25,5 cm.

Institut des Parcs nationaux du Congo belge. Exploration du Parc national Albert. Mission G. F. de Witte (1933-1935). Fasc. 78. *Psilidæ* (*Diptera cyclorrhapha*, par J. Verbeke (Zurich). Bruxelles, 1952; 1 fasc. 28 cm.

Id. — Exploration du Parc national de l'Upemba. Mission G. F. de Witte, en collaboration avec W. Adam, A. Janssens, L. van Meel et R. Verheyen (1946-1949). Fasc. 8 : 1° *Plecoptera : Perlidæ*, par H. B. N. Hynes (Liverpool); 2° *Coleoptera : Histeridæ*, par J. Théron (Nîmes); 3° Id. *Chrysomelidæ*, par P. Jolivet (Bruxelles); 4° Id. *Scolytoidea*, par R. E. Schedl (Lienz); 5° *Diptera : Bibionidæ and Dorilaidæ*, par D. E. Hardy (Honolulu, Hawaii). Fasc. 12 : *Dolichopodidæ* (*Diptera brachycera orthorrhapha*), par P. Vanschuytbroeck (Bruxelles). Fasc. 13 : *Pselaphidæ*, par R. Jeannel (Paris). Bruxelles, 1952; 3 fasc. 28 cm.

Sveriges geologiska Undersökning. Ser. C Nr 500. Tavla 1. *Markreaktionen hos skånska Jordar på Grundval av Svenska sockerfabriksaktiebolagets markundersökhingar* 1929-1934 (*omfattande samtliga betodlares åkermark*), repprättad av Olof Arrhenius. Stockholm, ab kartografiska Institutet, 1948; 1 carte 95 × 95 cm.

Institut international d'archéocivilisation. 2. *Forces culturelles de l'Europe unie. Étude réalisée par la Commission internationale de sociologie appliquée*, par André Varagnac, avec le concours de Pierre Ducassé, René Dumesnil, Romano Silvain, René Sudre et Veinstein. Paris, 1952; 1 fasc. 10 cm.

Observatoire de Paris. Section d'astrophysique. *Catalogue général des orbites de comètes de l'an 466 à 1952*, par Fernand Baldet et Mlle G. de Obaldia. Paris, Centre national de la recherche scientifique, 1952; 1 fasc. 27 cm (présenté par M. A. Danjon).

Traité de tectonique, par Jean Goguel. Paris, Masson, 1952; 1 vol. 26,5 cm. (présenté par M. Ch. Jacob).

Faune de l'Union française (Ancienne faune de l'Empire français). XIV. *Diptères phlébotomes de la Guyane et des Antilles françaises*, par Hervé Floch et Émile Abonnenc. Paris, Office de la recherche scientifique Outre-Mer, 1952; 1 vol. 28,5 cm (présenté par M. L. Fage).

Traité de paléontologie. T. II. *Problèmes d'adaptation et de phylogénèse. Brachiopodes. Chétognathes. Annélides. Géphyriens. Mollusques.* Ouvrage publié sous la direction de Jean Piveteau. Paris, Masson, 1952 ; 1 vol. 24,5 cm (présenté par M. Ch. Jacob).

ACADÉMIE DES SCIENCES.

SÉANCE DU LUNDI 17 NOVEMBRE 1952.

PRÉSIDENCE DE M. ALBERT CAQUOT.

MEMOIRES ET COMMUNICATIONS

DES MEMBRES ET DES CORRESPONDANTS DE L'ACADÉMIE.

BALISTIQUE. — *Sur les détonations balistiques engendrées par les projectiles et les avions supersoniques.* Note de M. **ERNEST ESCLANGON.**

Les performances réalisées par les avions supersoniques ont attiré vivement l'attention sur les phénomènes sonores qu'ils peuvent engendrer au cours de leurs trajectoires, phénomènes de détonation notamment. En fait, les avions ne diffèrent pas essentiellement des projectiles, sauf qu'ils comportent, en propre, des organes ou dispositifs bruyants, des éjections violentes de gaz, dont l'effet s'ajoute à celui résultant de leur seul mouvement.

Deux sortes d'ébranlements acoustiques doivent être distingués vis-à-vis d'un mobile en mouvement dans l'air.

1° Des ébranlements à évolution *uniforme et continue*, c'est-à-dire qui *se répètent identiques à eux-mêmes* en chaque point de la trajectoire, au moins sur une certaine étendue. Un projectile, par exemple, écarte brusquement les molécules gazeuses de leur position d'équilibre, comme le ferait, sur son passage, une petite explosion; molécules qui reviennent ensuite plus ou moins rapidement à leur position initiale, après une série d'oscillations d'autant plus amples et, par suite, d'autant plus lentes, que le projectile est de plus grandes dimensions. La trajectoire pourrait, en quelque sorte et à ce point de vue, être comparée à celle d'une source mobile et continue d'ondes de bouche. Pour les avions à réaction, il s'y ajoute le jet violent et continu de gaz enflammés qui, réagissant à leur tour sur les masses gazeuses contiguës, amplifient cette sorte d'onde de bouche mobile qu'est la trajectoire. Les mouvements oscillatoires de retour à l'équilibre, consécutifs au passage du mobile, seront, de ce fait, amplifiés mais ralentis.

2° Les ébranlements à *évolution périodique* dont, pour chacun, les périodes se développent et s'étendent sur de petits arcs de trajectoire. Pour les

projectiles, ils sont engendrés principalement, par les mouvements tourbillonnaires de l'arrière et, à un degré beaucoup moindre, par les mouvements de précession et de nutation. Pour les avions, mouvements tourbillonnaires de l'arrière également, particulièrement intenses pour les avions à réaction; en outre, bruits de moteurs, d'hélices, etc. Ces ébranlements sont à l'origine des sifflements pour les projectiles, des ronflements pour les avions.

Occupons-nous du premier genre d'ébranlements et supposons la vitesse du mobile supérieure à celle du son. Soit O une origine choisie sur la trajectoire et, en laquelle, le mobile passe à l'instant $t_0 = 0$. Si M est un point de la trajectoire, le temps t, au bout duquel parviendra, à un observateur P, l'ébranlement engendré en M, sera la somme des temps mis, d'une part, par le mobile pour aller de O en M, d'autre part, par l'ébranlement, pour se propager (avec la vitesse du son) de M en P. Or, comme on sait, il existe sur la trajectoire, un point S (dépendant de la position de l'observateur), pour lequel cette somme t est minimum. L'ébranlement provenant de S, constituera donc, pour l'observateur P, le premier phénomène acoustique perçu. Sous quelle forme ?

Le point S correspondant à un minimum, on peut dire que, sur un arc étendu de la trajectoire, de part et d'autre de S, les ébranlements qui s'y sont produits au passage du projectile, arrivent simultanément en P. Pour les ébranlements à *évolution uniforme*, l'arrivée s'y développera *simultanément* avec *la même succession des phases évolutives*. Il y aura accumulation d'amplitudes, par suite amplification considérable (aux effets de distance près), par addition, des ébranlements transmis. L'ébranlement ainsi perçu en P sera l'*image* approximative et très amplifiée de celui qui s'est manifesté en S, et dans son voisinage, sur la trajectoire. Débutant par une variation brusque de la pression, caractère spécifique de la sensation de détonation, le phénomène sera d'autant plus ample, avec oscillations plus lentes, que le mobile est de plus grandes dimensions, caractère très fortement accentué, au surplus, avec les avions à réaction, en raison de la puissante éjection gazeuse dont ils sont la source. Tandis qu'avec les projectiles d'artillerie, les oscillations consécutives à cette *détonation balistique* sont très rapides (de 1/50 à 1/10 de seconde) et, de ce fait, laissent les vitres intactes; il peut ne plus en être de même avec les avions à réaction dont les détonations balistiques peuvent affecter, d'autre part, pour l'oreille, une sonorité spéciale.

Le lieu des points de l'espace où existent, en même temps, de telles accumulations acoustiques, constitue le *front* de l'onde balistique, sorte de sillage aérien qui se développe et se propage, dans le sens de ses normales, avec la vitesse du son. Contrairement à ce que l'on pourrait penser, la puissance de propagation de telles ondes est considérable. Pour les projectiles

d'artillerie, la détonation balistique, très vive, reste fortement perceptible à des dizaines, des vingtaines de kilomètres, et plus.

Peut-il exister plusieurs détonations balistiques correspondant à un même arc de trajectoire supersonique? Suivant la position de l'observateur, il peut n'y en avoir aucune, mais s'il s'en présente, deux au moins existent, toutes réserves faites sur leurs intensités relatives. L'onde balistique est, en effet, une surface fermée. Si le mobile passe en A, en vitesse *croissante*, par la vitesse du son, l'onde balistique se compose de deux nappes, contenues à l'intérieur d'une sorte de surface conique de sommet A, sur laquelle elles se raccordent, tangentiellement entre elles, mais normalement à la surface. La nappe arrière (correspondant à la deuxième détonation) est d'autant moins éloignée d'une forme sphérique de centre A, que le passage par la vitesse du son est plus rapide. C'est ainsi que dans les projections par canon, les deux nappes de l'onde, se raccordent sur un cône de révolution autour de la tangente initiale et de sommet A; la nappe arrière est formée d'une portion de sphère de centre A, mais est confondue, sur cette portion, avec l'onde de bouche (en avant) dont elle renforce l'intensité. Pour les projectiles d'artillerie, tout au moins, rien de particulier ne semble marquer le passage par la vitesse du son, en vitesse *décroissante*. Pour certaines trajectoires, comportant un minimum de vitesse supérieur à celle du son, plus de deux détonations balistiques peuvent être perçues (1).

Nul doute que, lorsque les avions à réaction pourront dépasser très notablement la vitesse du son, de tels phénomènes prendront, quantitativement, une très grande importance.

M. le **Secrétaire perpétuel** signale que le Conseil International des Unions scientifiques vient de créer un **Bureau des Résumés analytiques** (**I. C. S. U. Abstracting Board**), dans le but de coordonner et de faciliter le travail des journaux spécialisés dans la publication des résumés (Abstracts) d'articles et de Mémoires originaux du domaine scientifique.

En principe, tout journal de ce type peut demander son adhésion au nouvel organisme. Le Bureau des Résumés analytiques est dirigé par une Commission composée d'un Président, d'un Représentant des Unions nationales intéressées, d'un Représentant des journaux admis comme Membres et du Secrétaire Général du Conseil International des Unions Scientifiques agissant *ex officio*.

L'activité du nouvel Organisme vient de débuter dans le domaine de la Physique et des Sciences connexes avec deux journaux membres : *Physics Abstracts* (*Science Abstracts : Section* B) et le *Bulletin analytique du Centre national de la Recherche scientifique* (France).

---

(1) E. Esclangon, *L'acoustique des canons et des projectiles*, Paris, Gauthiers-Villars, 1925.

Le Siège du Bureau est situé à l'Institut d'Optique, 3, boulevard Pasteur, Paris (XVe). Le travail s'y poursuit depuis le 1er juin 1952, grâce à une subvention spéciale de l'UNESCO. Le Secrétaire sera heureux de fournir tous renseignements concernant l'aide et les facilités qui peuvent être accordées par le Bureau des Journaux adhérents.

M. **Louis de Broglie** fait hommage à l'Académie : 1° d'un Ouvrage de M. Jean Barriol intitulé : *Mécanique quantique*, dont il a écrit la *Préface;* 2° d'un fascicule intitulé : *William Ramsay and University College London*, 1852-1952, par Morris W. Travers, publié à l'occasion du Centième anniversaire de la naissance de Sir **William Ramsay**, Associé étranger de l'Académie.

M. **André Danjon** fait hommage à l'Académie d'un Ouvrage qu'il vient de publier intitulé : *Astronomie générale. Astronomie sphérique et éléments de Mécanique céleste.*

DÉSIGNATIONS.

M. **Charles Jacob** est désigné pour représenter l'Académie au **IVe Congrès international de l'Association internationale pour l'étude du Quaternaire** (**INQUA**), qui se réunira à Rome et à Pise, du 10 août au 10 septembre 1953.

CORRESPONDANCE.

M. le **Secrétaire perpétuel** signale parmi les pièces imprimées de la Correspondance :

1° Comité des travaux historiques et scientifiques. *Soixante-dix-huitième Congrès des Sociétés savantes de Paris et des Départements, à Toulouse*, 1953.

2° Documentation mathématique. Textes publiés sous la direction de Paul Belgodère. Fasc. 16 à 21.

3° *The earth's equatorial radius and the distance of the moon*, by John A. O'Keefe and J. Pamelia Anderson.

4° Consiglio Nazionale delle Ricerche. 2^a^ Giornata della scienza indetta dal C. N. R. in occasione della 30 fiera di Milano. *Convegno sulla difesa del suolo e le sistemazioni fluviali e montane.*

5° *Science Reports of the Yokohama National University*. Section II. *Biological and geological Scienecs*, n° 1.

6° New Zealand Department of scientific and industrial research. *Geophysical Memoir* 1.

ANALYSE MATHÉMATIQUE. — *Nouveaux cas d'intégrabilité par quadratures d'une équation différentielle remarquable du premier ordre.* II. Note de M. **Jean Nordon**, présentée par M. Henri Villat.

La présente Note continue les recherches et utilise les notations d'une Note précédente (1) consacrée à la détermination des fonctions $f(x)$ telles que l'équation

$$dy - r\,dx = 0, \qquad r = \sqrt{f(x) - y^2} \tag{1}$$

soit intégrable par quadratures.

3. *Facteur intégrant à dérivée logarithmique rationnelle.* — L'équation

$$\frac{\partial J}{\partial x} + r\frac{\partial J}{\partial y} + J\frac{\partial r}{\partial y} + \frac{\partial^2 r}{\partial y^2} = 0$$

doit avoir une solution J rationnelle. Nous poserons $J = P - (Q/r)$ et l'équation précédente se scinde en deux équations.

L'une $(\partial P/\partial x) = (\partial Q/\partial y)$ qui incite à introduire V telle que

$$\frac{\partial V}{\partial y} = P, \qquad \frac{\partial V}{\partial x} = Q,$$

l'autre devenant

$$(y^2 - f)\frac{\partial^2 V}{\partial x^2} + (y^2 - f)^2\frac{\partial^2 V}{\partial y^2} + y(y^2 - f)\frac{\partial V}{\partial y} + \frac{1}{2}f'\frac{\partial V}{\partial x} - f = 0.$$

La fonction V est du type $V = R + \operatorname{Log} S$ où R est rationnel et S un produit d'expressions $[y - a(x)]^s$ avec s constant.

Cas de V *polynome en* y. — Il suffit de supposer ce polynome pair.

Lorsque V est de degré zéro on trouve aisément la fonction (10) et le facteur intégrant (12).

Lorsque V est de degré deux, le facteur intégrant est

$$\exp\left[y^2\cos 2x - Cx - ry\sin 2x + C\operatorname{Arc}\sin\frac{y}{\sqrt{f}} + \int f(x)\sin 2x\,dx\right], \tag{14}$$

la fonction f étant solution de l'équation (C constante arbitraire)

$$\sin 2x\,ff' + 2f + Cf' = 0 \tag{15}$$

dont la solution générale (2) définit f implicitement par la relation (C et D constantes arbitraires)

$$f + 1 + C\operatorname{tg} x = 2f\frac{\varpi_1' + D\varpi_2'}{\varpi_1 + D\varpi_2}, \tag{16}$$

(1) J. Nordon, *Comptes rendus*, **232**, 1951, p. 140.

(2) Au sujet de cette équation *voir* : J. Nordon, *Sur une équation différentielle du type d'Abel intégrable par quadratures* (*Revue de Mathématiques spéciales*, Vuibert, Paris, mai 1951).

où w_1 et w_2 sont les fonctions de Whittaker

$$w_1(f) \equiv \mathrm{W}_{-\frac{1}{2},\frac{iC}{2}}(f), \qquad w_2(f) \equiv \mathrm{W}_{-\frac{1}{2},-\frac{iC}{2}}(f).$$

Ces fonctions se réduisent à des fonctions élémentaires pour certaines valeurs de C. En particulier pour C nul (16) et (14) se réduisent respectivement à (11) et (13). Plus généralement si $\mathrm{C} = \pm 2ni$ (n entier positif) (16) se réduit à

$$(16') \qquad n\,\mathrm{D}\frac{d^{n-1}}{df^{n-1}}(f^{-n-1}e^{f}) - e^{f}\frac{d^{n}}{df^{n}}(f^{-n}e^{-f})$$
$$\mp i\,\mathrm{tg}\,x\left[\mathrm{D}\frac{d^{n}}{df^{n}}(f^{-n}e^{f}) - n\,e^{f}\frac{d^{n-1}}{df^{n-1}}(f^{-n-1}e^{-f})\right] = 0$$

de la forme

$$\mathrm{D}\,e^{f}\mathrm{K}(-f) + \mathrm{L}(f) \pm i\,\mathrm{tg}\,x\,[\mathrm{D}\,e^{f}\mathrm{L}(-f) + \mathrm{K}(f)] = 0$$

où K et L sont (à une constante multiplicative près) des polynomes généralisés de Laguerre de degrés respectifs $n-1$ et n. *Les relations* (16) *et* (16') *définissent de nouvelles formes de* $f(x)$ *telles que* (1) *soit intégrable par quadratures.*

Cas de V *inverse d'un polynome.* — Ce cas se réduit à $\mathrm{V} = 2a\alpha/(y^2 - \alpha^2)$ qui donne $f = \alpha^2 + \alpha'^2$ avec $\alpha'(\alpha' + \alpha''') = (\alpha + \alpha'')(\alpha + 2\alpha'')$ qui ne semble pas pouvoir s'intégrer à l'aide de fonctions connues.

Il est probable que V ne peut être rationnel en dehors de ce cas et du cas polynome de degré pair.

THÉORIE DES FONCTIONS. — *Conditions suffisantes pour l'inversion de la seconde inégalité fondamentale de la théorie des fonctions méromorphes.* Note de M. **Edward F. Collingwood**, présentée par M. Paul Montel.

1. L'objet de cette Note est d'établir, par la méthode que j'ai employée précédemment dans l'étude des valeurs exceptionnelles des fonctions méromorphes (1), des conditions suffisantes pour l'inversion de la seconde inégalité fondamentale. Ma méthode généralise des travaux antérieurs de Teichmüller et H. L. Selberg (2), et mes résultats contiennent les leurs comme cas particuliers.

2. Nous considérons une fonction $f(z)$, méromorphe dans $|z| < \mathrm{R} \leq \infty$, non rationnelle, et nous utilisons les notations classiques de la théorie de Nevanlinna, ainsi que celle des travaux cités dans la Note (3). Nous désignons par $\sigma(r)$

(1) *Comptes rendus*, **227**, 1948, p. 615, 709, 749, 813. La théorie est développée dans E. F. Collingwood, *Trans. American Math. Soc.* **66**, 1949, p. 308-346.

(2) O. Teichmuller, *Deutsche Mathematik*, **2**, 1937, p. 97-107; H. L. Selberg, *Commentarii Math. Helvet.*, **18**, 1946, p. 309-326.

(3) *Comptes rendus*, **227**, 1948, p. 615.

une fonction réelle non croissante de r, n'ayant que des discontinuités ordinaires dans $0 \leq r < R$. Nous supposons de plus que $\sigma(r) < \pi/2$, et qu'elle est d'indice zéro par rapport à $f(z)$, c'est-à-dire que $\lim_{r \to R} \log[1/\sigma(r)]/T(r, f) = 0$.

Les valeurs $w = f(z)$ sont prises sur la sphère de Riemann K de diamètre 1. Nous appellerons $l(w', w'')$ la longueur du plus petit arc de grand cercle joignant w' à w''. Étant donné un ensemble fini $A = (a_1, a_2, \ldots, a_q)$ de points de K, nous poserons $d(a, A) = \min_{1 \leq i \leq q} l(a, a_i)$ et $\rho(a, r) = \min[\sigma(r), d(a, A)]$.

Nous nous donnons également une fonction $\Phi(t)$ ayant les propriétés suivantes : $\Phi(t)$ est continue, croissante, concave et deux fois différentiable pour $t \geq -\log \pi$, donc $\Phi'(t) \geq 0$ et $\Phi''(t) \leq 0$; $\Phi(t) \geq \log(1+\varepsilon)$, avec $\varepsilon > 0$, pour $t \geq \log 2 - \log \pi$; enfin $\Phi(t) = o(t)$. Nous posons alors $\sigma(a, r) = \rho(a, r) \exp(-\Phi(\log \rho(a, r)))$ et nous voyons que pour $a \in \mathcal{C}A$ (complémentaire de A) $\sigma(a, r)$ est positif, et est un niveau d'indice zéro par rapport à $f(z)$, suivant la terminologie de mes Notes précédentes.

3. Pour r et $a \in \mathcal{C}A$ donnés, l'inégalité $l(f(z), a) < \sigma(a, r)$ est satisfaite dans un ensemble (éventuellement vide) de domaines, dont nous désignerons le domaine-type par $G(r, a, \sigma(a, r))$. Le nombre $\lambda(r)$ des domaines de cet ensemble qui rencontrent la circonférence $|z| = r$ est fini, pour tout $r < R$; nous appellerons un tel domaine $G_\nu(r, a, \sigma(a, r))$ $(1 \leq \nu \leq \lambda(r))$.

4. Nous noterons $p_\nu(r, a, \sigma(a, r))$ la valence de $f(z)$ dans $G_\nu(r, a, \sigma(a, r))$, et nous poserons $P(r, a, \sigma(a, r)) = \max_{1 \leq \nu \leq \lambda(r)} p_\nu(r, a, \sigma(a, r))$. Si, pour r donné, $l(f(z), a) \geq \sigma(a, r)$ sur tout $|z| = r$, c'est-à-dire si $\lambda(r) = 0$, nous écrirons $P(r, a, \sigma(a, r)) = 0$; sinon $0 < P(r, a, \sigma(a, r)) \leq \infty$.

Nous dirons que $\sigma(a, r)$ est un niveau fermé relativement à $f(z)$ et a pour une valeur donnée r si la fermeture de tous les $G_\nu(r, a, \sigma(a, r))$, $1 \leq \nu \leq \lambda(r)$, est contenue dans $|z| < R$.

5. Soit $p(r)$ une fonction uniforme de r, n'ayant que des discontinuités ordinaires dans $0 \leq r < R$, et satisfaisant à $0 \leq p(r) < \infty$. Adaptant nos définitions antérieures, nous appellerons $V(a, \sigma(a, r), (p(r))$ l'ensemble des valeurs de r situées dans l'intervalle $0 \leq r < R$ pour lesquelles $P(r, a, \sigma(a, r)) \leq p(r)$, et $E(a, \sigma(a, r), p(r)) \subseteq V(a, \sigma(a, r), p(r))$ le sous-ensemble des r tels que $P(r, a, \sigma(a, r))$ soit nul, ou que $\sigma(a, r)$ soit un niveau fermé pour $f(z)$ et a. Les ensembles V et E, et leurs complémentaires $\mathcal{C}V$, $\mathcal{C}E$ ont des bornes supérieures au plus égales à R, et que nous noterons sup V, ..., sup $\mathcal{C}E$.

6. Avec les notions précédentes, on a le

THÉORÈME. — *La fonction $f(z)$ étant méromorphe dans $|z| < R \leq \infty$, supposons que $T(r, f)$ ne soit pas bornée, et qu'il existe une fonction $\sigma(r)$ d'indice zéro, une fonction $p(r) = o(T(r, f)/\log r)$ ou $= o(T(r, f))$ selon que $R = \infty$ ou $R < \infty$, et une valeur $B < R$, telles que pour tout $a \in \mathcal{C}A$ où A est un ensemble fini $\{a_i\}$, $1 \leq i \leq q$, la condition sup $\mathcal{C}E(a, \sigma(a, r), p(r)) \leq B$ soit satisfaite. On a*

alors

$$2\,T(r, f) \leq N_1(r) + \sum_{i=1}^{q} m(r, a_i) + \tau(r), \tag{1}$$

où

$$\tau(r) = o(T(r, f)) \quad \text{si } R = \infty, \qquad \tau(r) = \log \frac{1}{R - r} + o(T(r, f)) \quad \text{si } R < \infty.$$

On a posé

$$N_1(r) = N\left(r, \frac{1}{f'}\right) + 2\,N(r, f) - N(r, f').$$

On remarquera ici l'absence des intervalles exceptionnels qui se présentent dans le cas général de la seconde inégalité fondamentale, dont (1) constitue l'inverse.

Le théorème est vrai *a fortiori* lorsqu'on diminue $\sigma(r)$ ou qu'on augmente $p(r)$. Si $\sigma(r) < \pi/\alpha$ et $p(r)$ sont tous deux constants, le théorème précédent se réduit à celui de Selberg, lequel contient lui-même le premier théorême de cette sorte, dû à Teichmüller. La démonstration, qui conduit à de nouveaux résultats concernant la ramification des surfaces de Riemann engendrés par les fonctions méromorphes, sera publiée ailleurs.

GÉOMÉTRIE. — *Les groupes de symétrie des ornements employés par les anciennes civilisations du Mexique.* Note de M. **Jules Garrido**, présentée par M. Charles Mauguin.

Nous avons étudié du point de vue géométrique, spécialement en rapport avec les groupes de symétrie, un grand nombre de motifs d'ornementation employés par les civilisations préhispaniques du Mexique.

Le matériel employé pour notre étude a été puisé dans les nombreuses publications qui s'occupent de l'architecture ancienne du Mexique et dans un grand nombre de photographies et de croquis pris par moi-même directement sur les monuments existant dans le pays.

J'ai fait une étude statistique des groupes de symétrie présentés par les ornements. Cette étude statistique a été faite en considérant comme *différents* les ornements qui indiquent des idées géométriques distinctes. Ceux qui correspondent à de simples modifications de la même conception d'assemblage des éléments géométriques sont comptés comme *égaux*. J'ai pu recueillir au total 115 dessins différents correspondant aux civilisations : téotihuacanne, toltèque, aztèque, totonaque, maya et zapotèque.

Chaque dessin ornemental a été analysé du point de vue de la symétrie; on a recherché les éléments de symétrie, ce qui a permis de déterminer le groupe. Les éléments de pseudosymétrie qui indiquent une symétrie approchée et dont on peut supposer qu'ils correspondent à une idée de régularité existant dans l'imagination de l'artiste, sont comptés comme de vrais éléments de symétrie.

Les ornements peuvent être répartis en trois groupes :

1. Ornements avec un groupe de symétrie *fini;*
2. Ornements avec un groupe de symétrie *simplement infini;*
3. Ornements avec un groupe de symétrie *doublement infini.*

1° Les groupes de symétrie finis que nous avons observés sont au nombre de 8. Leur fréquence exprimée en pourcentages sur le total de figures finies est exprimée dans la liste suivante, où la symétrie a été représentée par les symboles de M. Mauguin qu'on emploie couramment en cristallographie :

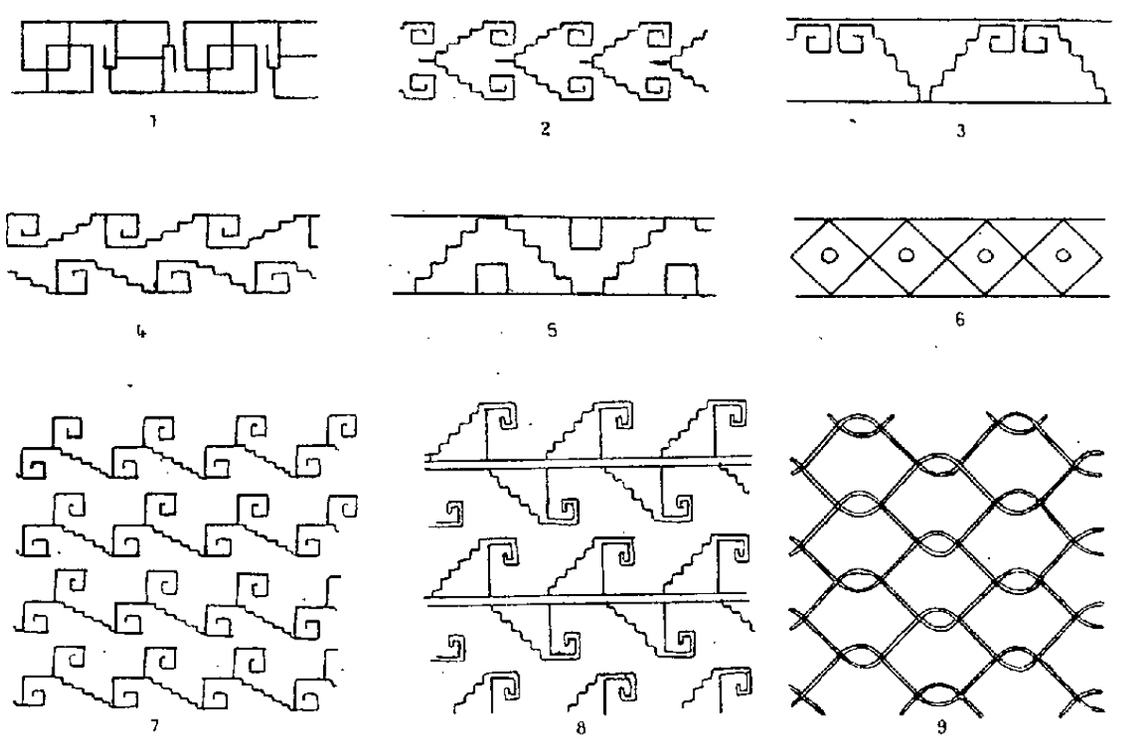
m.....	30%	**4**.....	6%	**6 mm**.....	2%
2.....	14	**4 mm**.....	18	**8 mm**.....	4
mm.....	24	**5 mm**.....	2		

[Les figures ne présentant pas de symétrie (groupe 1) n'ont pas été comptées.]

2° Les groupes de symétrie simplement infinis possibles sont 7 pour l'espace à deux dimensions (1). Les sept groupes possibles ont été retrouvés dans les ornements mexicains. Les fréquences des divers groupes sont données sur le tableau suivant :

t1.....	22 %	**t1m**.....	22 %	**tgm**.....	10 %
t2.....	8 %	**tg**.....	22 %	**tmm**.....	18 %
tm.....	4 %				

(Sur les figures 1 à 6 nous avons représenté des exemples de ces groupes.)



1. Groupe *t2*. — *Teotihuacan* (culture téothihuacane). 2. Groupe *tm*. — *Mitla* (culture zapotèque).
3. Groupe *mm*. — *Tula* (culture toltèque). 4. Groupe *tg*. — *Mitla* (culture zapotèque).
5. Groupe *tgm*. — *Tula* (culture toltèque). 6. Groupe *tmm*. — Téotihuacan (culture téotihuacane).
7. Groupe *p1*. — *Mitla* (culture zapotèque). 8. Groupe *pg*. — *Mitla* (culture zapotèque).
9. Groupe *cmm*. — *Tetelco* (culture téotihuacanne).

(1) SPEISER, *Die Theorie der Gruppen von endlicher Ordnung*, Berlin, 1927, p. 81.

3° Les groupes doublement infinis dans l'espace à deux dimensions sont au nombre de 17 (²). Nous avons trouvé seulement 7 de ces groupes sur les ornements étudiés. Ces groupes et leur fréquence sont les suivants :

pl.....	20 % (*fig.* 7)	**pmm**.....	10 %
p2.....	10 %	**cmm**.....	5 % (*fig.* 9)
pm.....	10 %	**p4mm**.....	20 %
pg.....	25 % (*fig.* 8)		

Nous n'avons pas trouvé d'ornements avec la symétrie des groupes **cm**, **pmg**, **pgg**, **p4**, **p4gm**, **p3**, **p3m1**, **p31m**, **p6** et **p6mm**.

Il est intéressant de constater que les groupes présents sont ceux que l'on obtient par simple accolement parallèle des éléments de symétrie des groupes simplement infinis. En effet, si l'on place parallèlement des ornements simplement infinis des sept groupes possibles, on obtient :

$$\begin{array}{lll} \mathbf{t} \to \mathbf{p1} & \left.\begin{array}{l}\mathbf{tm}\\ \mathbf{t1m}\end{array}\right\} \to \mathbf{pm} & \mathbf{tgm} \to \mathbf{cmm} \\ \mathbf{t2} \to \mathbf{p2} & & \mathbf{tmm} \to \mathbf{pmm} \\ & \mathbf{tg} \to \mathbf{pg} & \end{array}$$

(le groupe **p4mm** se présente quand les *motifs* du groupe **tmm** possèdent la symétrie **4mm**).

La présence des groupes de symétrie obtenus par simple superposition de figures avec des groupes simplement infinis et l'absence des groupes doublement infinis à axes 3 et 6 est le caractère fondamental qui permet de différencier du point de vue symétrique les ornements mexicains des ornements égyptiens et arabes où les axes d'ordre 3 et 6 sont couramment employés (groupes **p3m** et **p6mm**) (³), ce qui donne une idée plus élevée du sens géométrique des symétries dans ces peuples que dans les peuples primitifs du Mexique.

CALCUL DES PROBABILITÉS. — *Loi faible et loi forte des grands nombres.* Note de M. **Paul Lévy**, présentée par M. Paul Montel.

Soient $\{X_\nu\}$ une suite de variables aléatoires indépendantes, à valeurs médianes $m(X_\nu)$ nulles; S_n la somme des n premières; m_n sa médiane; $M_n = \mathrm{Max}|X_\nu|\,(\nu \leq n)$. Les notations $U_n = o_f(V_n)$ et $U_n = o_F(V_n)$ indiqueront respectivement la *convergence faible* (ou en probabilité) et la *convergence forte* (ou presque sûre) du rapport U_n/V_n vers zéro. En introduisant d'autre part une suite monotone $\{a_n\}$ de nombres certains, positifs, et indéfiniment croissants, nous nous proposons de préciser les relations, déjà en partie connues,

(²) G. Polya, *Z. Kristallog.*, **60**, 1924, n°s 3-4, p. 278-282.

(³) P. d'Avennes, *Atlas de l'histoire de l'art égyptien*, Paris, 1878.

entre les formules

$$(1_f) \qquad S_n - m_n = o_f(a_n);$$

$$(1_F) \qquad S_n - m_n = o_F(a_n),$$

qui constituent respectivement la *loi faible* et la *loi forte des grands nombres*, et les formules

$$(2_f) \qquad M_n = o_f(a_n);$$

$$(2_F) \qquad M_n = o_F(a_n).$$

Dans les cas où les formules qui se correspondent sont équivalentes, l'étude des lois des grands nombres se trouve ramenée à un problème trivial.

De la formule

$$\Pr\left\{|S_n - m_n| > \frac{l}{2}\right\} \geq \frac{1}{6}\Pr\{M_n > l\},$$

on déduit simplement que : (2_f) *et* (2_F) *sont respectivement des conditions nécessaires pour la loi faible et pour la loi forte.*

La réciproque implique une distinction essentielle. Nous dirons qu'une variable aléatoire est *presque gaussienne*, si elle est de la forme $\lambda\xi + \mu$, la loi dont dépend ξ étant peu différente de la loi de Gauss réduite. La somme S_n sera dite *presque laplacienne*, si elle est presque gaussienne, et que ce caractère presque gaussien puisse se déduire du théorème de W. Feller et P. Lévy (forme définitive du théorème de Laplace-Liapounoff); cela revient à dire que $M_n/(S_n - m_n)$ est très probablement très petit. Asymptotiquement, qu'il s'agisse ou non des sommes successives d'une série, il y a trois cas à distinguer : le *cas laplacien*, le *cas oscillant*, ou *laplacien par intermittence*, et le cas *uniformément non laplacien* (nous sous-entendrons : *uniformément*).

Dans les deux premiers cas, on peut toujours déterminer les a_n *de manière que* (2_f) *soit vérifié, mais non* (1_f) *et aussi de manière que* (2_F) *soit vérifié, mais non* (1_F). *Dans le cas non laplacien, au contraire,* (2_f) *implique* (1_f) [même si les $m(X_\nu)$ ne sont pas nuls]. *Si alors* $m(X_\nu) = o(a_\nu)$, (1_f) *et* (2_f) *sont équivalents.*

Des exemples simples montrent que l'énoncé relatif au troisième cas ne s'étend pas à la loi forte sans une condition plus restrictive. Mais si tous les $|X_\nu|$ ont la même distribution, c'est-à-dire si

$$F_\nu(x) = \Pr\{|X_\nu| > x\}$$

est indépendant de ν [nous supprimerons alors l'indice], le cas non laplacien est caractérisé par l'existence d'un nombre fini c tel que

$$(3) \qquad \int_0^x y^2 |dF(y)| \leq cx^2 F(x),$$

et : *cette condition, sans aucune restriction relative aux* $m(x_\nu)$, *est nécessaire et suffisante pour que* (1_F) *et* (2_F) *soient équivalents.*

Si $F_\nu(x)$ varie avec ν, nous dirons que les fonctions $F_\nu(x)$ sont *également non laplaciennes* si elles vérifient toutes la condition (3) *pour une constante c indépendante de* ν. Alors il existe une constante $C = \varphi(c)$ telle que

$$\Pr\{|S_n - m_n| > l\} \leq C \Pr\{M_n > l\},$$

et l'on en déduit que :

THÉORÈME FONDAMENTAL. — *Si les fonctions* $F_\nu(x)$ *sont également non laplaciennes, et si* $m(X_\nu) = o(a_\nu)$, *les formules* (1_F) *et* (2_F) *sont équivalentes.*

Le résultat relatif au cas particulier où $F_\nu(x) = F(x)$ est à rapprocher d'un théorème de W. Feller (1), qui fait l'hypothèse un peu plus restrictive que $\Pr\{X_\nu < x\}$ soit indépendant de ν. Il impose aux a_n une condition de régularité qui n'intervient pas dans notre théorème. La notion de l'équivalence de (1_F) et (2_F) devient ainsi moins restrictive, et Feller peut démontrer cette équivalence en n'imposant à $F(x)$ que des conditions un peu moins restrictives que notre condition (3).

MÉCANIQUE. — *Influence du rapport des débits d'air et de liquide sur la finesse des micro-brouillards.* Note (*) de M. **RAYMOND BOUCHER**, présentée par M. Gustave Ribaud.

L'étude granulométrique des micro-brouillards produits par des atomiseurs pneumatiques spéciaux (faible surface de l'orifice de détente de l'air) montre que pour un certain rapport du débit d'air au débit de liquide Q_a/Q_l, la finesse de la suspension peut être inversement proportionnelle à la pression dynamique de l'air à « *vena contracta* ». La loi générale de proportionnalité directe doit se retrouver pour les fortes valeurs de Q_a/Q_l.

Pour créer des micro-brouillards liquides dont la taille moyenne des particules soit située entre 0,1 et 5 μ, on peut utiliser soit la méthode de l'atomisation pneumatique, soit celle de l'injection solide. Dans la première de ces techniques, le jet liquide, émis à faible vitesse, est soumis à l'action d'un courant gazeux de forte vitesse tandis que dans l'injection solide, c'est le jet liquide qui est animé d'une grande vitesse dans une atmosphère quasi immobile. Nukiyama et Tanasawa ont les premiers (1) fourni une équation empirique permettant de relier la finesse d'un micro-brouillard aux caractéristiques de fonctionnement d'un atomiseur pneumatique :

$$(1) \qquad d_{vs} = \frac{585\sqrt{\sigma}}{V\sqrt{\rho}} + 597\left(\frac{\mu}{\sqrt{\sigma\rho}}\right)^{0,45}\left(1000\,\frac{Q_l}{Q_a}\right)^{1,5},$$

(1) *Amer. J. Math.*, 68, 1946, p. 257-262.

(*) Séance du 10 novembre 1952.

(1) *Trans. Soc. Mech. Engrs* (Japan), 6, (22), série 7-série 8, 1940.

où d_{vs} = diamètre « volume-surface » (diamètre d'une goutte ayant le même rapport surface-volume que la somme de toutes les micro-gouttelettes) en microns.

Q_l/Q_a = rapport du débit de liquide et du débit d'air à « *vena contracta* »; V = vitesse relative entre le courant gazeux et l'écoulement liquide (m/sec); ρ = densité du liquide (g/cm^3); μ = viscosité du liquide (poises); σ = tension superficielle (dynes/cm).

Cette équation non dimensionnelle s'applique seulement pour les pulvérisateurs pneumatiques dans lesquels le liquide d'injection a une densité comprise entre 0,7 et 1,2 g/cm^3, une tension superficielle entre 19 et 73 dynes/cm et une viscosité entre 0,003 et 0,5 poise, la vitesse du gaz à « *vena contracta* » étant inférieure à celle du son. La plupart des atomiseurs pneumatiques fonctionnent avec un rapport Q_a/Q_l assez élevé et par conséquent l'augmentation de la pression dynamique (c'est-à-dire de V) dans la veine gazeuse au point où se produit la pulvérisation se traduit par une diminution de la taille moyenne des particules du micro-brouillard. G. Littaye ([2]) a montré en outre que le diamètre des plus grosses gouttes pouvant se trouver en équilibre dans le courant gazeux est inversement proportionnel à la pression dynamique maxima dans la veine.

Ayant eu l'occasion d'étudier les spectres granulométriques de micro-brouillards ([3]) émis par des atomiseurs pneumatiques à faible $Q_a/Q_l(<500)$, nous avons constaté que dans un tel domaine le diamètre moyen des gouttelettes ainsi que celui des plus grosses gouttes suivent une loi de variation exactement inverse de celle indiquée précédemment. Dans le tableau I nous avons rassemblé certaines des données les plus caractéristiques correspondant à une de nos séries d'essais.

N° d'essai	Type de micro-brouillard $n = 100\exp\left(-\frac{\delta}{d}\right)^b$	d_{VS} formule 1	d_{VS} observé	Δ grosses gouttes	Q_A/Q_L	Q_L	V
1	$n = 100\exp\left(-\frac{3,35}{d}\right)^{1,36}$	106 μ	18,5 μ	33,7 μ	482,5	1,9 cm^3/sec	408 m/sec
2	$n = 100\exp\left(-\frac{2,48}{d}\right)^{1,31}$	136 μ	20,9 μ	41,2 μ	398	3,7 cm^3/sec	630 m/sec
3	$n = 100\exp\left(-\frac{2,15}{d}\right)^{1,27}$	147 μ	21,6 μ	43,7 μ	375	5 cm^3/sec	802 m/sec
4	$n = 100\exp\left(-\frac{1,9}{d}\right)^{1,02}$	146 μ	30,6 μ	48,7 μ	375	6,4 cm^3/sec	1041 m/sec
5	$n = 100\exp\left(-\frac{1,9}{d}\right)^{1,01}$	153 μ	28,2 μ	51,2 μ	370	7,6 cm^3/sec	1196 m/sec

TABLEAU 1*

([2]) *Chal. et Ind.*, **238**, 1947, p. 3-7.

([3]) R. Boucher, *Chal. et Ind.* (sous presse).

([*]) La série d'essais du tableau I a été effectuée avec des atomiseurs pneumatiques fonctionnant à l'azote et dispersant une solution à 0,1 % du di-octyl-succylsulfonate de sodium (densité du liquide 1,086 g/cm^3, viscosité 0,01 poise, tension superficielle 36 dynes/cm).

Ces résultats montrent en effet une proportionnalité assez nette entre la vitesse des gaz éjectés pour fractionner le liquide à « *vena contracta* » et la taille des micro-gouttelettes produites. En examinant l'allure des courbes $V = \Phi(Q_l)$ et $V = \Phi'(Q_a/Q_l)$, on trouve une explication possible du phénomène. En effet, lors de l'accroissement de vitesse du gaz dans l'atomiseur, il se produit une succion du liquide à disperser qui est de plus en plus intense; en d'autres termes, l'accroissement de Q_l est plus rapide que celui de Q_a et ceci se traduit par la courbe à allure descendante de la fonction Φ'. Une augmentation ultérieure de la pression de gaz (au delà de 6 kg/cm² par exemple) ne se traduirait sans doute plus par une forte diminution de la taille particulaire, étant donné que Q_l doit atteindre très vite une valeur « critique » difficile à dépasser. On peut donc prévoir en théorie l'apparition d'un « seuil » qui, pour une certaine valeur de Q_a/Q_l (à déterminer pour chaque atomiseur), permettrait de retrouver les lois générales de l'atomisation pneumatique telles qu'elles ont été explicitées par G. Littaye ([4]) et les auteurs japonais.

Remarquons enfin que dans le domaine spécial (vitesses d'air supersoniques à l'éjection) où nous avons appliqué la formule I, celle-ci fournit des d_{vs} croissant dans le même sens, mais beaucoup plus élevés que ceux observés expérimentalement. Le même fait avait d'ailleurs été signalé ([5]) dans le domaine ($Q_a/Q_l > 5\,000$).

Les analyses de micro-brouillards ont été effectuées à 5 m de distance sur l'axe de l'atomiseur avec la technique de captation sur fils de plexigum ([6]) ([7]).

MÉCANIQUE DES FLUIDES. — *Écoulement radial d'un fluide compressible visqueux entre deux plans parallèles.* Note (*) de **M. Raymond Comolet**, présentée par M. Joseph Pérès.

Équations générales du mouvement. — L'écoulement présente une symétrie de révolution dont l'axe sera pris comme axe vertical Oz et le plan médian comme plan xOy. Les deux plans parallèles qui limitent l'écoulement ont les cotes $\pm(d/2)$.

Soient r, θ, z les coordonnées cylindropolaires d'un point M de l'espace, et u, v, w les composantes de la vitesse $\vec{V}$ en ce point (*fig.* 1).

Dans le cas d'un mouvement permanent pour lequel les lignes de courant sont radiales et horizontales nous avons $v = w = 0$ et les dérivées par rapport à t et θ sont nulles.

([4]) *Group. Rech. Aero*, Note technique, n° 19, 1945.

([5]) H. C. Lewis, D. C. Edwards, M. J. Goglia, R. Rice et L. W. Smith, *Ind. Eng. Chem.*, 1947, p. 2424-2427.

([6]) E. Brun, L. Demion et M. Vasseur, *Comptes rendus*, **224**, 1947, p. 1518.

([7]) R. Boucher, *Comptes rendus*, **230**, 1950, p. 1826.

(*) Séance du 3 novembre 1952.

Les équations générales du mouvement se réduisent aux suivantes (en négligeant les forces de volume) :

$$(\mathrm{I})\qquad \begin{cases} u\dfrac{\partial u}{\partial r} = -\dfrac{1}{\rho}\dfrac{\partial p}{\partial r} + \nu\left[\dfrac{1}{3}\dfrac{\partial}{\partial r}\left(\dfrac{1}{r}\dfrac{\partial ru}{\partial r}\right) + \dfrac{\partial^2 u}{\partial r^2} + \dfrac{1}{r}\dfrac{\partial u}{\partial r} + \dfrac{\partial^2 u}{\partial z^2} - \dfrac{u}{r^2}\right], \\ 0 = -\dfrac{1}{\rho}\dfrac{\partial p}{\partial z} + \nu\left[\dfrac{1}{3}\dfrac{\partial}{\partial z}\left(\dfrac{1}{r}\dfrac{\partial ru}{\partial r}\right)\right], \\ \dfrac{\partial}{\partial r}(\rho ru) = 0 \qquad \text{(équation de continuité).} \end{cases}$$

Nous prendrons comme équation d'état celle des gaz parfaits $p/\rho = rT$.

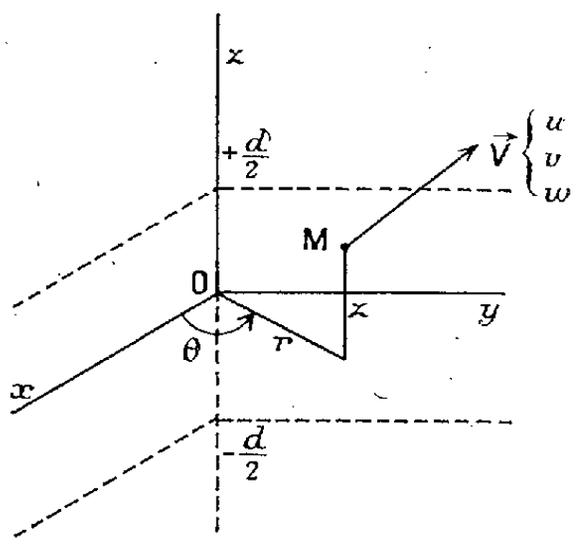


Fig. 1.

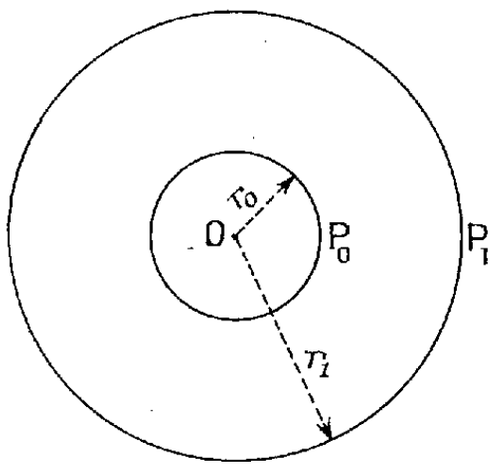


Fig. 2.

Solution approchée dans le cas d'un fluide visqueux compressible. — Nous supposerons que la distance d des deux plans est infiniment petite devant le rayon vecteur r qui est du même ordre de grandeur que u et p.

Dans ces conditions en ne retenant dans les équations du système (I) que les termes d'ordre supérieur, nous obtenons

$$(\mathrm{II})\qquad \begin{cases} u\dfrac{\partial u}{\partial r} = -\dfrac{1}{\rho}\dfrac{dp}{dr} + \nu\dfrac{\partial^2 u}{\partial z^2}, \\ p = p(r), \\ u = \dfrac{g(z)}{\rho r}, \end{cases}$$

$g(z)$ étant une fonction de z seulement.

Nous allons faire maintenant l'hypothèse que *les forces d'inertie sont négligeables devant les forces de viscosité*, hypothèse qui se justifie facilement puisque la faible épaisseur de la canalisation doit provoquer des effets de viscosité considérables. Nous avons donc

$$(\mathrm{III})\qquad \begin{cases} \dfrac{1}{\rho}\dfrac{dp}{dr} = \nu\dfrac{\partial^2 u}{\partial z^2}, \\ u = \dfrac{g(z)}{\rho r}. \end{cases}$$

On en tire

$$u = \frac{ad^2}{4\rho r}\left[1 - \left(\frac{2z}{d}\right)^2\right], \qquad \text{avec} \quad -2a = \frac{d^2 g}{dz^2} = \frac{r}{\nu}\frac{dp}{dr}.$$

La répartition des vitesses est parabolique, mais la courbe se déforme progressivement en fonction de r. Les quantités p et ρ ne dépendent que de r.

Soit M le débit en masse qui s'écoule par la canalisation

$$\mathrm{M} = \int_{-\frac{d}{2}}^{+\frac{d}{2}} 2\pi r u \rho \, dz = \frac{\pi}{3} a d^3 = -\frac{\pi}{6}\frac{d^3}{\mu} r\rho \frac{dp}{dr}.$$

Pour continuer le calcul il faut faire une hypothèse sur la loi de transformation du fluide lors de l'écoulement. Posons la de la forme

$$\frac{p}{\rho^n} = \text{const.} = \frac{p^0}{\rho_0^n} \quad (n \text{ étant une constante}).$$

En exprimant la conservation de la masse M tout le long de la canalisation on obtient

$$r\rho \frac{dp}{dr} = \text{const.} = \mathrm{A}, \qquad \text{avec} \quad \mathrm{A} = -\frac{\mu}{\frac{\pi}{6}\frac{d^3}{\mu}}.$$

Nous admettons ici que μ ne varie pas, ce qui, pour un gaz, n'est rigoureusement exact, que dans une transformation isotherme ($n = 1$). Nous tirons donc l'équation différentielle suivante :

$$p^{\frac{1}{n}} dp = \mathrm{A}\frac{p_0^{\frac{1}{n}}}{\rho_0}\frac{dr}{r}.$$

On peut l'intégrer entre les rayons r_0 et r_1 où règnent les pressions P_0 et P_1 (*fig.* 2)

En posant $\frac{\mathrm{P}_0}{\mathrm{P}_1} = \alpha$ nous obtenons l'équation du débit :

$$\mathrm{M} = \frac{\pi d^3}{6\mu}\frac{n}{n+1}\frac{\mathrm{P}_1^2}{2\mathrm{T}_0}\alpha^2\left(1 - \frac{1}{\alpha\frac{n+1}{n}}\right)\frac{1}{\mathrm{Log}\frac{r_1}{r_0}}.$$

Remarque. — Lorsque la différence $\mathrm{P}_0 - \mathrm{P}_1$ est petite devant P_1 et voisine de 1, l'équation précédente se réduit à

$$\mathrm{M} = \frac{\pi d^3}{6\mu}\frac{\mathrm{P}_1}{r\mathrm{T}_0}(\mathrm{P}_0 - \mathrm{P}_1),$$

on retrouve la loi de proportionnalité entre M et $\mathrm{P}_0 - \mathrm{P}_1$, comme pour un fluide incompressible. Elle ne dépend pas de la loi de transformation donc de n.

On peut, si l'on veut, considérer dans ces conditions, que l'écoulement, aux faibles vitesses a lieu d'une manière isotherme ($n = 1$).

Au contraire, lorsque la différence $P_0 - P_1$ est grande, les phénomènes de compressibilité sont importants, les vitesses d'écoulement également, les échanges de température avec les parois plus difficiles et la loi de transformation doit tendre vers la loi adiabatique ($n = \gamma$).

PHYSIQUE THÉORIQUE. — *Relation entre le principe des potentiels retardés et le second principe de la thermodynamique.* Note de M. **Olivier Costa de Beauregard**, présentée par M. Louis de Broglie.

Variation de l'entropie d'un système *émetteur macroscopique + photons libres* lors d'une émission ou absorption de photons.

Raisonnons sur un exemple volontairement très schématisé. La source macroscopique ($\mathcal{S}$) sera formée de N atomes identiques, susceptibles seulement de deux niveaux d'énergie $h\nu_0$ et $h\nu_1$, et maintenus rassemblés par une énergie potentielle constante à l'intérieur d'un volume indéformable et fini υ. Lors de l'absorption ou de l'émission d'un photon de fréquence $\nu = \nu_1 - \nu_0$, il y a à la fois changement d'état interne et recul de la source; ce dernier n'interviendra pas dans la statistique de notre problème, puisque, dans l'espace vide, tous les états inertiques de $\mathcal{S}$ sont également probables. Négligeant les variations de vitesse de la source $\mathcal{S}$ très lourde, prenons un repère galiléen $\mathcal{G}$ lié à son centre de gravité; compte tenu de l'effet Doppler pour les atomes, les niveaux ν_0 et ν_1 sont supposés fins, et leurs largeurs $\delta\nu_0$ et $\delta\nu_1$ définies de manière à n'exclure que des énergies négligeables; soient g_0 et g_1 les nombres correspondants de degrés de liberté internes de $\mathcal{S}$, qui, d'après nos hypothèses, sont *fixes* et *finis*.

Appelant n le nombre des N atomes situés sur le niveau fondamental ν_0, enfermons idéalement la source $\mathcal{S}$ avec n photons ν dans une enceinte parfaitement réfléchissante pour les photons, de volume très grand V et de contour $\mathcal{C}$ fixe dans $\mathcal{G}$; les desiderata précédents seront satisfaits si l'on suppose idéalement que la paroi $\mathcal{C}$ serait parfaitement transparente au corps macroscopique $\mathcal{S}$. Dans les états où le niveau ν_1 est vide, les N photons libres sont répartis en moyenne autour de la fréquence ν suivant un profil qui est une *donnée physique* de notre problème; soit $\delta\nu$ la largeur de cette raie fine définie comme précédemment, g le nombre de degrés de liberté correspondants, qui est proportionnel à V d'après la loi de Rayleigh-Jeans (modifiée pour tenir compte du spin).

A n photons libres correspondent n atomes sur le niveau ν_0 et $N - n$ sur le niveau ν_1; suivant les règles bien connues de la mécanique statistique (1), il vient alors, pour la variation dS d'entropie liée à l'émission ($dn > 0$) ou à

(1) *Voir* par exemple L. Brillouin, *Les statistiques quantiques*, I, Paris, 1930, p. 134-138.

l'absorption ($dn < 0$) de dn photons :

$$\frac{dS}{dn} = \mathrm{Log}\,\frac{(N-n)(g+n)(g_0+\varepsilon n)}{n^2[g_1+\varepsilon(N-n)]};$$

$\varepsilon = 0, +1, -1$ suivant que les atomes suivent la statistique classique, celle de Bose ou celle de Fermi (la même sur leurs deux états, puisque les photons sont des « bosons »). La valeur $\bar{n}$ de n qui rend S stationnaire est racine de l'équation

$$(N-n)(g+n) = n^2\,\frac{g_1+\varepsilon(N-n)}{g_0+\varepsilon n}.$$

Supposons que la paroi $\mathcal{C}$ soit arbitrairement lointaine dans toutes les directions : alors $g \to \infty$ et, nécessairement, $n \to N$: *tout se passe comme si les* N *photons du système « s'évaporaient » à partir d'une phase condensée, « l'état annihilé »*. Ce résultat, joint au fait évident que, dans le cas où V est fini et $\bar{n} < N$, le signe de dS/dn est le même que celui de $\bar{n} - n$, constitue la *déduction statistique de la règle des potentiels retardés*. Le point important est l'association en un produit des nombres $N - n$ des photons annihilés et g des cases allouées aux photons libres; *cette circonstance se retrouvera dans tous les problèmes de rayonnement macroscopique*, ce qui doit permettre l'extension générale de la présente démonstration, moyennant les précautions mathématiques requises.

Notons bien que les états des systèmes que nous considérons sont *fort éloignés de l'équilibre thermique;* la température n'intervient pas, et ne pourrait pas être définie; en revanche, il est nécessaire de recourir à la définition généralisée de l'entropie propre à la mécanique statistique.

Il ressort de ce qui précède que, si nous partageons avec Wheeler, Feynman, Watanabe, l'idée d'une symétrie temporelle complète du phénomène élémentaire, nous n'adhérons ni à la théorie préquantique de l'élimination statistique des ondes avancées des deux premiers auteurs (²), ni à la théorie quantique purement subjectiviste de leur non-apparition du troisième (³). Nous avons examiné ailleurs les implications épistémologiques de ce genre de problèmes (⁴).

PHYSIQUE THÉORIQUE. — *Sur les solutions de l'équation d'évolution.* Note de M. **Roland Guy**, présentée par M. Louis de Broglie.

Avec des conditions plus faibles pour $\mathcal{F}(t,\tau)$ que celles exigées dans une précédente Note (¹), l'équation (V) ci-dessous a encore des solutions $X(t)$, limites faibles d'itérés par approximations successives.

(²) *Rev. Mod. Phys.*, **17**, 1945, p. 157-181 et **21**, 1949, p. 425-433.

(³) *Phys. Rev.*, **84**, 1951, p. 1008-1025; *Revue de métaphysique et de morale*, n° 2, 1951, p. 128-142.

(⁴) *Revue des questions scientifiques*, 20 avril 1952, p. 171-199.

(¹) R. Guy, *Comptes rendus*, **233**, p. 288, 1951. On désignera cette Note par (NI).

1. Nous avions considéré l'équation

$$(V) \qquad X(q, t) = X^0(q, t) + \int_{t_0}^{t} \mathcal{F}(q; t, \tau)\, X(q, \tau)\, d\tau,$$

où X et X^0 sont des fonctions de l'espace de Hilbert $\mathfrak{h}$, l'une inconnue, l'autre connue, dépendant des variables de l'espace de configuration Ω et des paramètres temporels t et τ et où $\mathcal{F}$ est un opérateur de $\mathfrak{h}$ fortement continu. Nous avions montré que (V) avait une solution $X(t)$ limite forte d'une suite d'itérés par approximations successives.

Mais la condition de continuité forte exigée pour $\mathcal{F}$ est trop restrictive pour les besoins de la physique théorique. Nous voulons montrer alors ici, que sous des conditions plus faibles pour $\mathcal{F}$, il est possible d'obtenir une solution $X(t) \in \mathfrak{h}$ (2) qui soit limite faible d'itérés.

2. Comme dans (NI) l'approximation d'ordre n s'écrit

$$(1) \qquad X^{(n)}(t) = \int_{t_0} \mathcal{F}(t, \tau)\, X^{n-1}(\tau)\, d\tau$$

ou en introduisant des opérateurs itérés

$$(2) \qquad X^{(n)}(t) = \int_{t_0}^{t} \mathcal{F}^{(n)}(t, \tau)\, X^0(\tau)\, d\tau$$

avec

$$(3) \qquad \mathcal{F}^{(n)}(t, \tau) = \int_{\tau}^{t} \mathcal{F}(t, \tau_1)\, \mathcal{F}^{(n-1)}(\tau_1, \tau)\, d\tau_1 = \int_{\tau}^{t} \mathcal{F}^{(n-1)}(t, \tau_1)\, \mathcal{F}(\tau_1, \tau)\, d\tau_1.$$

La solution est donnée par la série

$$(4) \qquad X(t) = \sum_{j=0}^{j=\infty} X^{(j)}(t).$$

Montrons que si *les produits* $\mathcal{F} X^0$, $\mathcal{F} . \mathcal{F} X^0$, ..., $\mathcal{F} \ldots \mathcal{F} X^0$ *sont intégrables par rapport aux q et aux paramètres temporels t et* τ *au sens de Lebesgue, la série* (4) *est faiblement convergente*, ce qui revient à montrer que les suites associées $S_n = \sum_{j=1}^{n} X^{(j)}$ sont faiblement convergentes, c'est-à-dire que si $Y \in \mathfrak{h}$, les produits scalaires (Y, S_n) convergent vers une limite, ou en utilisant le critère de Cauchy pour la convergence des suites numériques

$$(5) \qquad [(Y, S_{n+p}) - (Y, S_n)] = (Y, X^{(n)}) + \ldots + (Y, X^{n+p}) < \varepsilon \qquad \text{si} \quad n, p > N(\varepsilon).$$

---

(2) Il est nécessaire que $X(t) \in \mathfrak{h}$ pour que le principe des interférences puisse être appliqué.

On montre facilement d'après les propriétés des intégrales et du produit scalaire que

$$|(Y, X^{(1)})| < \int_{t_0}^{t} \int_{\Omega} |Y|\,|\mathcal{F}(t, \tau)X^0(\tau)|\,dP.d\tau. \tag{6}$$

Si $\mathcal{F}X^0$ est intégrable, comme on le suppose, Y étant de carré intégrable, on sait que le produit des modules est intégrable et que

$$\mathcal{I} = \int_{\Omega} |Y|\,|\mathcal{F}(t, \tau)X^0(\tau)|\,d\tau$$

existe. Si alors K est un nombre formé par les bornes de $|Y|$ dans Ω et que I_1 est la borne supérieure de $\int_{\Omega} |\mathcal{F}X^0|\,dP$, quels que soient t et τ dans un certain intervalle (t_0, t_1), nous aurons par le théorème de la moyenne :

$$|(Y, X^{(1)})| \leq KI_1 \int_{t_0}^{t} d\tau = KI_1(t - t_0).$$

Si ensuite on pose :

$$I_2 = \text{borne sup de } \int_{\Omega} |\mathcal{F}(t, \tau), \mathcal{F}(\tau, \tau_1)X^0(\tau_1)|\,dP,$$

et si pour plus de simplicité on suppose $t_0 = 0$, ce qui ne restreint pas la généralité, on obtient facilement :

$$|(Y, X^{(2)})| < KI_2 \frac{t^2}{2!} \quad \text{et de même} \quad |(Y, X^{(n)})| \leq KI_n \frac{t^n}{n!}. \tag{7}$$

Puis en utilisant (5), l'inégalité triangulaire et (7), on voit bien que la série (4) est faiblement convergente.

3. Supposons maintenant *que* $\mathcal{F}(t, \tau)$ *est linéaire et faiblement continu*. Soit alors $X^0(t) \in \mathfrak{h}$, que nous supposerons limite faible d'éléments de $\mathfrak{h}$, alors, d'après la définition même d'un opérateur faiblement continu, l'application de $\mathcal{F}$ à cette suite la transforme en une suite faiblement convergente qui a pour limite faible $\mathcal{F}(t, \tau)X^0$. Le même raisonnement est valable pour les produits $\mathcal{F}(t, \tau)\mathcal{F}(\tau, \tau_1)X(\tau_1)$, ..., $\mathcal{F}(t, \tau)\mathcal{F}(\tau, \tau_1)$, ..., $\mathcal{F}(\tau_{n-2}, \tau_{n-1})X^0(\tau_{n-1})$; les éléments limites $\in \mathfrak{h}$, alors $|Y|\,|\mathcal{F}(t, \tau)X^0(\tau)|$, ... sont de carré intégrable et par suite $\int_{\Omega} |Y|\,|\mathcal{F}(t, \tau)X^0(\tau)|dP$, ..., $\int_{\Omega} |Y|\,|\mathcal{F}(t, \tau)$, ..., $\mathcal{F}(\tau_{n-2}, \tau_{n-1})X^0|dP$, ... existent. Les inégalités (7), à partir de ce point de la démonstration s'obtiennent de la même manière que dans le paragraphe 2.

PHYSIQUE THÉORIQUE. — *Sur une possibilité de généralisation covariante de la théorie du couplage intermédiaire.* II. Note de M. **Maurice Jean**, présentée par M. Louis de Broglie.

La possibilité de généraliser l'approximation de Tomonaga, en vue de la résolution de l'équation proposée dans une précédente Note (1) est examinée. Un principe variationnel et des fonctions d'essai possibles sont présentés.

On montre que l'équation (I.4) proposée dans I se déduit du principe variationnel $\delta\mathcal{J} = 0$, avec

$$(1)\qquad \mathcal{J} = \int dp\, \overline{\Psi}(p)[\mathbf{p} - \mathrm{M}_0]\Psi(p) - \iint dp\, dk\, \mathrm{D}_{\mathrm{F}}^{\frac{1}{2}}(k)\, \overline{\psi}(p)\,\mathrm{O}\,\{a(k)\,\Psi(p-k) + a^*(k)\psi(p+k)\}$$

qui devient, en introduisant la représentation (I.5) :

$$(2)\qquad \mathcal{J} = \sum_{m=0}^{\infty} \int dp\, d\mathrm{Q}_m \Big\{ \overline{\psi}(p;\mathrm{Q}_m)[\mathbf{p} - \mathrm{M}_0]\psi(p;\mathrm{Q}_m) - 2\,m^{\frac{1}{2}}\,\mathrm{Re}\,\overline{\psi}(p;\mathrm{Q}_m)\,\mathrm{O}\,\psi(p+q_m;\mathrm{Q}_{m-1})\,\mathrm{D}_{\mathrm{F}}^{\frac{1}{2}}(q_m)\Big\}.$$

Nous effectuerons ensuite le changement de fonctions

$$(3)\qquad \psi_\alpha(p;\mathrm{Q}_m) = \sum_{rs} \mathrm{U}_\alpha^{rs}\Phi_{rs}(p;\mathrm{Q}_m),$$

où les $\mathrm{U}_\alpha^{rs}(p)$ sont les fonctions propres de l'opérateur $\mathbf{p}$ (2). Pour choisir les fonctions $\Phi_{rs}(p;\mathrm{Q}_m)$ il convient de remarquer que le système d'équations (I.7) assure la conservation des quadrimoments, de telle sorte que le quadrimoment total P du « nucléon physique » est une constante du mouvement. Nous écrirons donc l'équation (2) à l'aide de (3) en tenant compte de cette propriété, c'est-à-dire en effectuant dans chacune des intégrales de (2) qui correspond à une valeur donnée de m le changement de variable $p = \mathrm{P} - \sum_{i=1}^{m} q_i$, et en supprimant l'intégration sur P. On obtient ainsi

$$(4)\qquad \mathcal{J} = \sum_m \sum_{rs} \int d\mathrm{Q}_m \Big\{ \Phi_{rs}^*(p_m;\mathrm{Q}_m)[\varpi^r(p_m) - \mathrm{M}_0]\Phi_{rs}(p_m;\mathrm{Q}_m) - 2\,m^{\frac{1}{2}}\,\mathrm{Re}\sum_{r's} \Phi_{rs}^*(p_m;\mathrm{Q}_m)\langle rs, p_m \mid \mathrm{O} \mid r's', p_{m-1}\rangle \times \Phi_{r's'}(p_{m-1};\mathrm{Q}_{m-1})\,\mathrm{D}_{\mathrm{F}}^{\frac{1}{2}}(q_m)\Big\},$$

(1) M. Jean, *Comptes rendus*, **232**, 1952, p. 794, Note désignée par I.

(2) On a

$$\mathbf{p}\,\mathrm{U}^{rs}(p) = \varpi^r(p)\,\mathrm{U}^{rs}(p), \qquad \varpi^r(p) = \pm\varpi(p) = \pm\sqrt{p^2}$$

suivant que $r = 1$ ou 2. L'indice s (valeurs 1 ou 2) correspond à la dégénérescence de spin.

où l'on a posé pour abréger $p_m = \mathrm{P} - \sum_{i=1}^{m} q_i$. L'approximation de Tomonaga repose sur l'hypothèse que les fonctions d'onde peuvent s'écrire sous la forme d'un produit de fonctions individuelles. Nous poserons donc

$$\Phi_{rs}(p_m ; \mathrm{Q}_m) = \mathrm{C}_m \chi_{rs}(p_m) \prod_{i=1}^{m} \varphi(q_i). \tag{5}$$

Les fonctions $\varphi(q)$ sont les fonctions individuelles associées aux mésons et la fonction $\chi_{rs}(p_m)$ est associée au nucléon « nu ». Ces fonctions sont normées suivant

$$\sum_{rs} \int |\chi_{rs}(\mathrm{P}_m)|^2 \prod_{i=1}^{m} \varphi^2(q_i)\, d\mathrm{Q}_m = 1, \tag{6}$$

de façon à ce que l'on ait, pour normer $\Psi(p)$

$$\sum_{m} \mathrm{C}_m^2 = 1. \tag{6'}$$

Dans ces conditions on a

$$\mathcal{J} = \sum_{rs} \left\{ \mathrm{C}_m^2 \alpha_m - 2 m^{\frac{1}{2}} \mathrm{C}_{m-1} \mathrm{C}_m \beta_m \right\} \tag{7}$$

avec (3)

$$\alpha_m = \sum_{rs} \int |\chi_{rs}(p_m)|^2 [\varpi^r(p_m) - \mathrm{M}_0] \prod_{i=1}^{m} \varphi(q_i)\, d\mathrm{Q}_m \tag{8}$$

et

$$\beta_m = \mathrm{R}c \sum_{rs} \sum_{r's'} \int \chi^*_{rs}(p_m) \langle rs,\, p_m \,|\, \mathrm{O} \,|\, r's',\, p_{m-1} \rangle \times \chi_{r's'}(p_{m-1})\, \varphi(q_m)\, \mathrm{D}_{\mathrm{F}}^{\frac{1}{2}}(q_m) \prod_{i=1}^{m} \varphi^2(q_i)\, d\mathrm{Q}_m. \tag{8'}$$

En variant d'abord $\mathcal{J}$ par rapport aux C_m on est conduit au système d'équations linéaires et homogènes

$$\mathrm{C}_m \alpha_m - m^{\frac{1}{2}} \mathrm{C}_{m-1} \beta_m - (m+1)^{\frac{1}{2}} \mathrm{C}_{m+1} \beta_{m+1} = 0. \tag{9}$$

La résolution de ce système permet en principe de déterminer M_0 lorsqu'on se donne P, donc la self-énergie du nucléon physique. Lorsqu'on compare à la méthode de perturbation il semble que des fonctions d'essai convenables soient, dans le cas pseudo-scalaire par exemple :

$$\varphi(q) = \mathrm{D}_{\mathrm{F}}^{\frac{1}{2}}(q), \qquad \chi_{rs}(\mathrm{P}) = \delta_{rr_0}\, \delta_{ss_0};$$

$$\chi_{rs}(p_m) = \mathrm{N}_m^{-\frac{1}{2}} \frac{\langle rs,\, p_m \,|\, a_m \gamma_4 + b_m \,|\, r_0 s_0,\, \mathrm{P} \rangle}{\varpi^r(p_m) - \varpi^{r_0}(\mathrm{P}) + i\delta},$$

(3) Les intégrales α_m et β_m sont divergentes, mais on peut envisager l'emploi d'une coupure relativiste (régularisation).

où N_m est déduit de (6) et les paramètres a_m et b_m sont déduits du principe variationnel (4). L'approximation du couplage faible se retrouve lorsqu'on suppose qu'il y a au plus un méson dans le nuage ($C_m = 0$, $m > 1$). Dans le cas général le système (10) est difficile à résoudre sans effectuer des approximations dont il est difficile de contrôler la validité. Néanmoins la théorie telle qu'elle vient d'être esquissée, peut être d'un usage commode pour traiter d'une manière approchée le cas du couplage faible quand on ne peut limiter à un le nombre de mésons du nuage.

ÉLECTROMAGNÉTISME. — *Constante diélectrique complexe à* 9 500 MHz *de quelques phosphates en fonction de la température*. Note de MM. **Serge Le Montagner**, **Jean Le Bot** et **Yves Allain**, présentée par M. Jean Cabannes.

Des résultats nouveaux ont été trouvés dans la conduite à basse température de la constante diélectrique complexe de PO_4H_2K, $PO_4H_2(NH_4)$, $PO_4(NH_4)^3$. Pour les autres phosphates, nos mesures ont confirmé, à cette fréquence, des résultats déjà obtenus en B. F.

Nous avons mesuré à la fréquence de 9 500 MHz, les constantes diélectriques complexes de neuf phosphates en utilisant la méthode des poudres déjà décrite (1) et nous avons étudié leur variation en fonction de la température dans le domaine de 83 à 293° K. Les points expérimentaux obtenus tant au réchauffement qu'au refroidissement, coïncident dans la limite des erreurs admises. Les densités apparentes des poudres ont été mesurées pour chaque expérience et figurent dans le tableau ci-dessous.

Tableau des densités apparentes.

Phosphates.....	Mono.	Bi.	Tri.
K.....	1,45	1,35	1,42
Na.....	1,31	1,01	1,09
NH_4.....	1,23	1,04	0,96

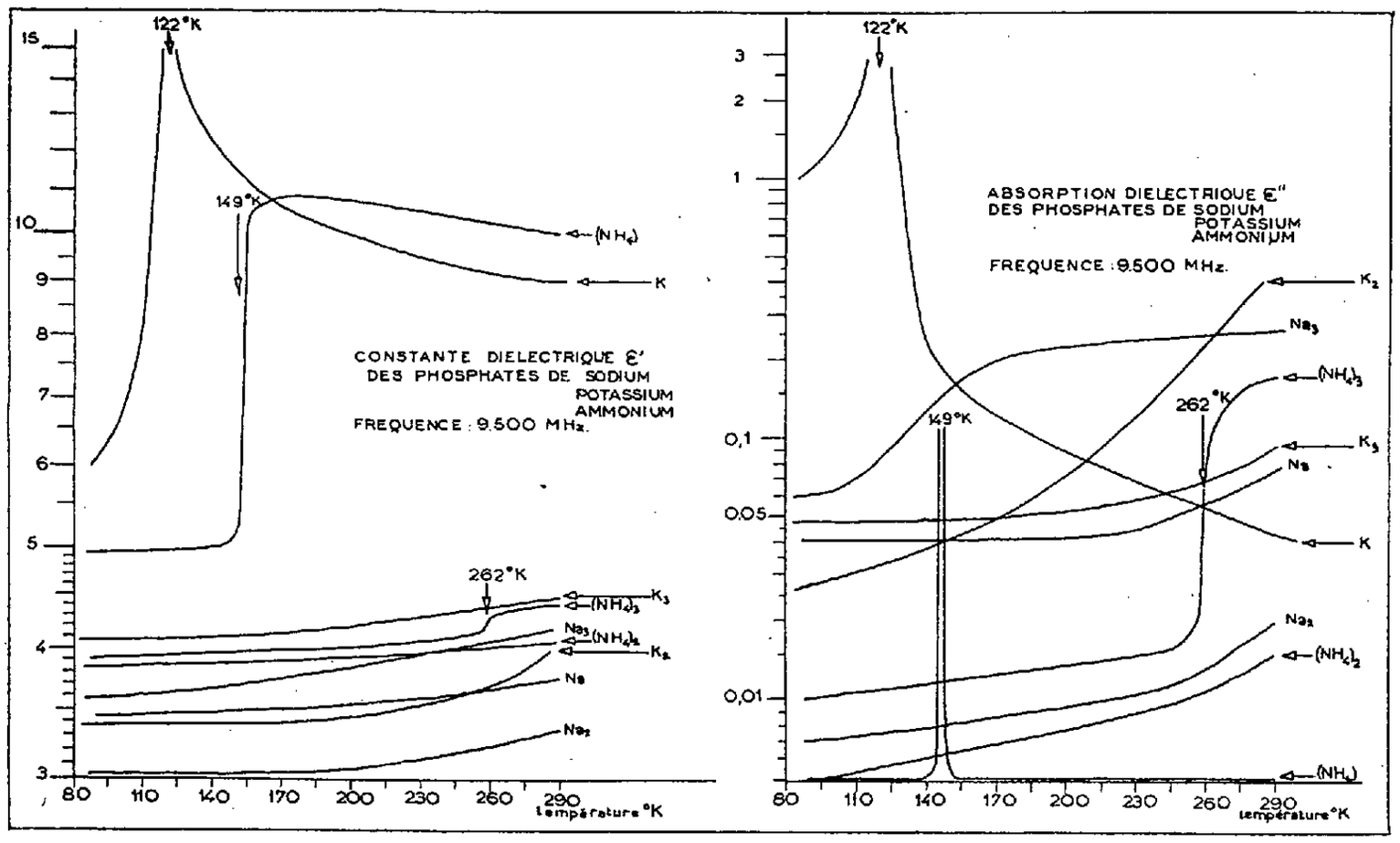
L'étude a porté successivement sur les divers phosphates de potassium, sodium et ammonium qui ont donné les résultats suivants :

1. *Phosphates de potassium.* — Le phosphate monopotassique PO_4H_2K a déjà fait l'objet de nombreuses recherches en radiofréquences (2), (3).

(4) Il semble que les valeurs $a_{2n+1} = 1$, $b_{2n+1} = 0$ et $a_{2n} = 0$, $b_m = 1$ conduisent à des fonctions d'essai convenables.

(1) A. Helaine, S. Le Montagner et J. Le Bot, *Comptes rendus*, **232**, 1951, p. 403.
(2) R. Lion, *Ann. Phys.*, **17**, 1942, p. 324.
(3) H. Baumgartner, *Helv. Phys. Act.*, **23**, 1950, p. 651.

La courbe que nous présentons pour ε' est très voisine de celle publiée par Lion à 69 kHz, mais nous trouvons également, pour ε'', au voisinage du point de Curie (122° K), un pic qui ne semble pas avoir été signalé jusqu'ici.



Les deux autres phosphates PO_4HK_2 et PO_4K_3 présentent une variation très lente de ε en fonction de la température. Il ne semble pas, en particulier, qu'il y ait possibilité d'existence, soit d'un point de transition, soit d'un phénomène type Debye, à moins que ceux-ci ne soient très faibles et inférieurs en tout cas à notre minimum détectable ($\varepsilon'' \simeq 5.10^{-3}$).

2. *Phosphates de sodium.* — On relève expérimentalement des courbes analogues aux précédentes pour les phosphates PO_4H_2Na et PO_4HNa_2, ce qui mène aux mêmes conclusions. Par contre, le phosphate trisodique PO_4Na_3 présente entre 110 et 180° K approximativement, une variation assez rapide de ε''.

3. *Phosphates d'ammonium.* — Le phosphate monoammonique $PO_4H_2NH_4$ possède un point λ vers 227° K et subit une transformation cristalline à 149° K (1). L'incidence de la première transformation sur ε est faible et de l'ordre de nos erreurs d'expérience; par contre, à 149° K, ε' subit une discontinuité et ε'', négligeable par ailleurs, prend une assez forte valeur dans un domaine de température n'excédant pas 1° de part

(1) R. Guillien, *Ann. Phys.*, 17, 1942, p. 334.

et d'autre de la transition. Il ne nous a pas été possible expérimentalement d'évaluer cette absorption qui est, en tout cas, supérieure à 0,1. Aucune anomalie n'a été remarquée dans la conduite du phosphate biammonique $PO_4H(NH_4)_2$. Enfin, le phosphate triammonique présente, vers 262°K une brusque discontinuité, à la fois dans ε' et ε'', qui, à notre connaissance n'a pas encore été signalée. Expérimentalement, nous avons trouvé que les courbes au réchauffement et au refroidissement ne coïncidaient pas au voisinage de la discontinuité, l'écart en température étant environ 5°. Ceci pourrait être, toutefois, non pas la manifestation d'un phénomène d'hystérésis, mais l'indication d'une chaleur latente, liée à la transformation, de telle sorte que le passage des températures élevées aux basses températures soit exothermique.

D'autres mesures sont actuellement en cours sur les phosphates des autres métaux alcalins.

RADIOÉLECTRICITÉ. — *Spectre de puissance d'un oscillateur non linéaire à loi fréquence-amplitude, perturbé par le bruit.* Note de M. **Augustin Blaquière**, présentée par M. Louis de Broglie.

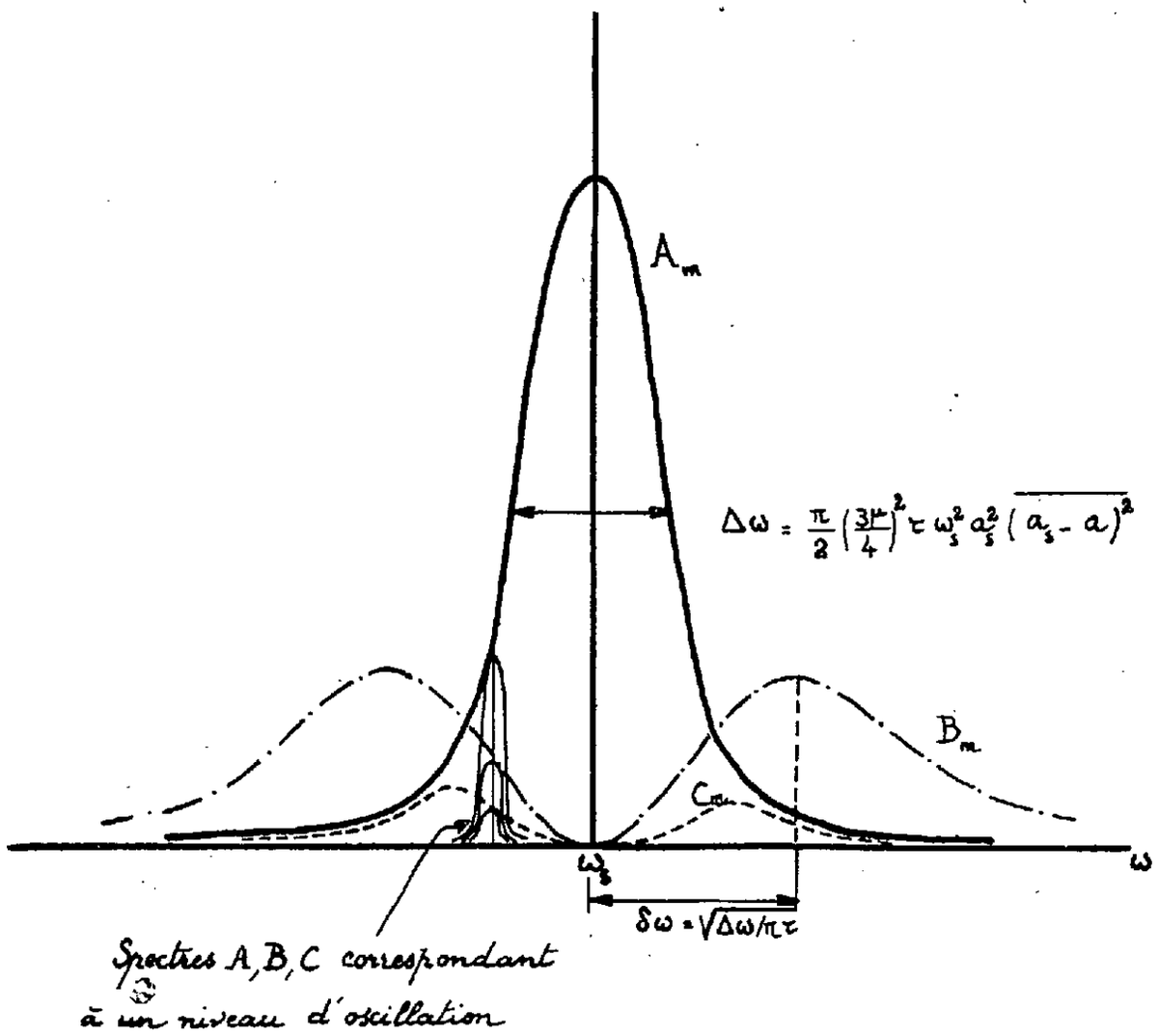
Nous avons déterminé, dans une précédente Note (1), le spectre de puissance et la puissance totale de bruit d'un oscillateur non linéaire simple, dont la fréquence était indépendante de l'amplitude. Supposons maintenant que la fréquence d'un oscillateur soit reliée aux variations de l'amplitude a par une loi de la forme habituelle (2) : $\nu = \nu_0[1 + (3\mu/8)a^2]$, et déterminons le spectre du signal entaché de bruit qu'il émet. Nous admettrons toujours que le système garde assez longtemps la mémoire des chocs électroniques individuels pour que l'état d'oscillation dépende à chaque instant d'un très grand nombre de chocs antérieurs. L'écart δa à l'amplitude stabilisée a_s varie donc lentement, à de petites fluctuations locales près dont la cadence est celle des chocs.

Un état défini par l'amplitude $a_s + \delta a$ (en négligeant les petites irrégularités locales) sera appelé « *niveau d'oscillation,* » et nous voyons qu'à chaque niveau d'oscillation $a_s + \delta a$ correspondra une fréquence $\nu_s + \delta\nu$ différente de la fréquence de régime.

Spectre de puissance d'un niveau d'oscillation. — Les raisonnements qui nous ont conduit au spectre de puissance de l'exemple initial (1) s'appliquent encore ici, tant que l'oscillateur se maintient sur un niveau donné. Il semble donc, au premier abord, que le spectre de puissance lié à ce niveau se réduise encore à une raie monochromatique représentant le signal sinusoïdal d'amplitude a_s,

(1) *Comptes rendus*, 234, 1952, p. 710.
(2) *Comptes rendus*, 234, 1952, p. 1140.

de fréquence $\nu_s + \delta\nu$ (spectre A), et à un spectre de bruit, superposé à cette raie, caractérisant les fluctuations d'amplitude et de phase. Les méthodes développées à propos du premier exemple permettent de décomposer, de même, ce dernier spectre en une bande continue (spectre B) et une raie de composant périodique (spectre C).



On voit cependant tout de suite que la raie du signal et celle du composant périodique ont, ici, une largeur finie liée à la durée de vie du niveau envisagé. Elles doivent, en effet, être remplacées par les spectres de *tronçons* de sinusoïdes dont la durée est limitée à celle de ce niveau. L'évaluation de la durée de vie moyenne d'un niveau montre qu'elle se confond avec la constante de temps τ de réaction de l'oscillateur à un choc. Par suite la raie du signal, celle du composant périodique, et la bande continue sont remplacées par trois spectres de même largeur.

Les spectres A et B sont ceux d'oscillations non corrélées, dont les puissances sont, par suite, additives. Les spectres A et C, au contraire, correspondent à des oscillations corrélées dont les amplitudes sont additives.

PROPRIÉTÉS MOYENNES DU SPECTRE DE PUISSANCE DU SIGNAL PERTURBÉ. — Les temps d'observation sont en pratique très longs devant les différents τ et l'on observe toujours les moyennes des trois spectres précédents.

1° *Moyenne des spectres* A. — Le signal est formé d'une succession de tronçons de sinusoïdes, de même amplitude a_s, de durée moyenne τ, et de pas

aléatoire. On trouve pour fonction de corrélation

$$\overline{\psi(x)} = \frac{1}{2} a_s^2 \, e^{-2\pi^2 \nu_s^2 a_s^2 \left(\frac{3\mu}{4}\right)^2 \overline{(a_s - a)^2} \frac{\tau^2}{3}} e^{-2\pi^2 \nu_s^2 a_s^2 \left(\frac{3\mu}{4}\right)^2 \overline{(a_s - a)^2} \tau x} \cos \omega_s x,$$

d'où l'on déduit la largeur spectrale

$$\Delta\omega = \frac{\pi}{2} \left(\frac{3\mu}{4}\right)^2 \tau \omega_s^2 a_s^2 \overline{(a_s - a)^2}.$$

2° *Moyenne des spectres* B. — Les spectres B, pour différents niveaux, correspondent à des oscillations non corrélées. L'enveloppe moyenne (B_m) de ces spectres est représentée sur le graphique en tenant compte de la loi de distribution des niveaux. Ce spectre moyen (B_m) ajoute sa puissance à celle du spectre (A_m) du signal.

3° *Moyenne des spectres* C. — Le spectre moyen (C_m) est obtenu comme (A_m) en tenant compte, de plus, de la loi de distribution des niveaux. La modification qu'il apporte au spectre (A_m) sera précisée ultérieurement.

L'étalement des spectres introduit par la dépendance fréquence-amplitude ne modifie pas le rapport (signal/bruit) qui est toujours donné par

$$\frac{\text{Signal}}{\text{Puissance totale de bruit}} = \frac{8(\mathrm{MS} + r\mathrm{C})^2}{3\mathrm{M}bk\mathrm{T}r}.$$

M est la mutuelle équivalente au couplage d'entretien, les autres lettres ont été définies précédemment (¹).

OPTIQUE ÉLECTRONIQUE. — *Calcul de la répartition de potentiel* $\Phi(z)$ *sur l'axe d'un objectif électrostatique à immersion à électrodes épaisses.* Note (*) de M. **Albert Septier**, présentée par M. Gustave Ribaud.

Nous avons cherché une représentation de la fonction $\varphi(z)$, potentiel sur l'axe de l'objectif à immersion, suffisamment approchée et maniable, et nous avons construit deux approximations différentes.

1. La première méthode ne s'applique qu'aux objectifs à trous égaux (*fig.* 1), ce qui ne constitue pas une limitation sévère de la méthode, le rayon du trou d'anode qu'ayant qu'une influence secondaire. Selon une méthode d'approximation connue, nous partons d'une répartition fictive simple sur la surface du cylindre de rayon unité, en prenant pour unité de longueur le rayon commun des trous; $\Phi(z, r)$ étant le potentiel en un point quelconque, $\Phi(z, 1)$ sera prise : linéaire entre les électrodes et constante sur celles-ci.

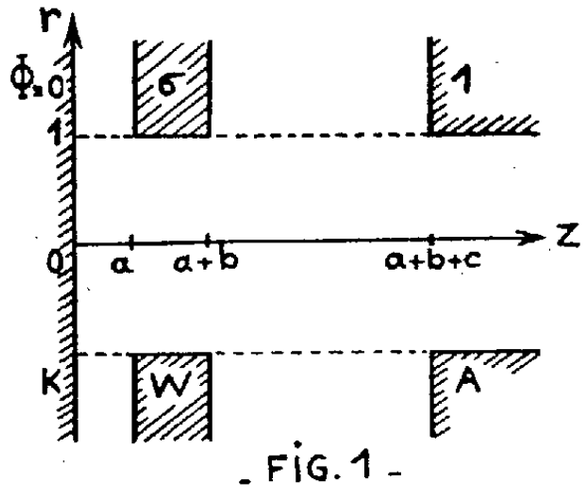
Le développement classique de $\Phi(z, r)$ dans un espace à symétrie de

(*) Séance du 3 novembre 1952.

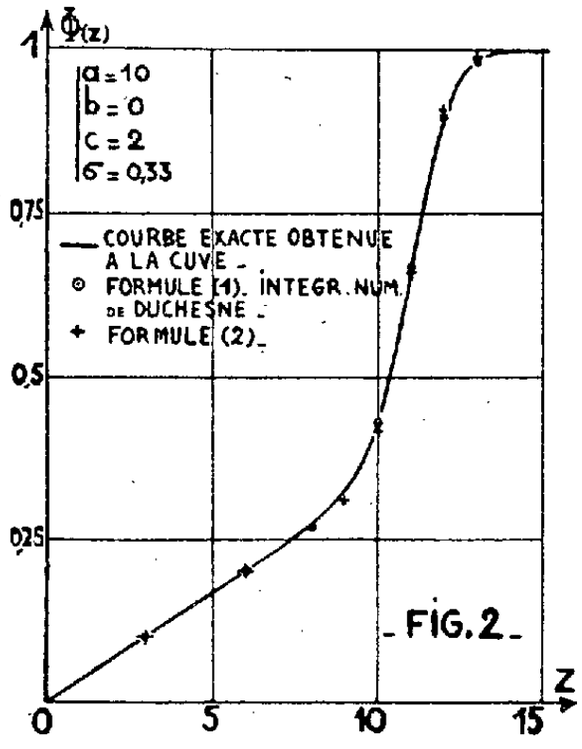
révolution mène alors à

$$(1)\quad \varphi(z)=\Phi(z,0)=\frac{2}{\pi}\left[\frac{\sigma}{a}\int_0^\infty \frac{\sin ka}{k^2 I_0(k)}\sin kz\,dk+\frac{1-\sigma}{c}\int_0^\infty \frac{\sin k(a+b+c)}{k^2 I_0(k)}\sin kz\,dk - \frac{1-\sigma}{c}\int_0^\infty \frac{\sin k(a+b)}{k^2 I_0(k)}\sin kz\,dk\right].$$

On retrouve bien dans le cas particulier du Wehnelt infiniment mince, la représentation établie et exploitée par Duchesne (¹). Toutes les intégrales



- FIG. 1 -



- FIG. 2 -

définies s'expriment à l'aide de la seule fonction $F(z)=\int_0^\infty [\sin kz/kI_0(k)]\,dk$ que l'expression $(\pi/2)\,\mathrm{th}\,\omega z$ où $\omega=1,3184$, représente bien, à 0,01 près environ. On obtient après intégration :

$$(2)\quad \varphi(z)=\frac{\sigma}{2\omega a}\mathrm{Log}\frac{ch\,\omega(z+a)}{ch\,\omega(z-a)}+\frac{1-\sigma}{2\omega c}\mathrm{Log}\frac{ch\,\omega[z+(a+b+c)].ch\,\omega[z-(a+b)]}{ch\,\omega[z-(a+b+c)].ch\,\omega[z+(a+b)]}.$$

Le champ E_0 sur la cathode est donné par l'expression :

$$(3)\qquad \varphi'(0)=E_0=\frac{\sigma}{a}\,\mathrm{th}\,\omega a+\frac{1-\sigma}{c}[\mathrm{th}\,\omega(a+b+c)-\mathrm{th}\,\omega(a+b)].$$

La figure 2 montre sur un exemple l'excellente précision de notre approximation. Il est à remarquer que cette méthode traduit sans restriction l'influence de l'épaisseur des électrodes.

2. La deuxième méthode bien adaptée au cas des trous inégaux, perd un peu de sa précision lorsque les électrodes sont épaisses. Elle consiste à représenter (²) le potentiel $\Phi(z, r)$ comme une combinaison linéaire des

(¹) *Comptes rendus*, **228**, 1949, p. 1407.
(²) BERTEIN, *Comptes rendus*, **234**, 1952, p. 417.

potentiels de chaque électrode considérée seule. L'assimilation est immédiate dans le cas des diaphragmes infiniment minces, et l'on écrit :

$$\Phi(z) = \sum e_i \varphi_i(z) = \sum \left[-\frac{2}{\pi} e^i (z - z_i) \operatorname{arctg} \frac{z - z_i}{R_i} \right]. \tag{4}$$

Les coefficients e_i sont déterminés en écrivant la condition $\Sigma e_i = E_i$, E_i étant le champ uniforme qui règne loin de l'axe dans chacun des espaces interélectrodes [*cf.* (4)], l'existence de la cathode exigeant seulement qu'on tienne

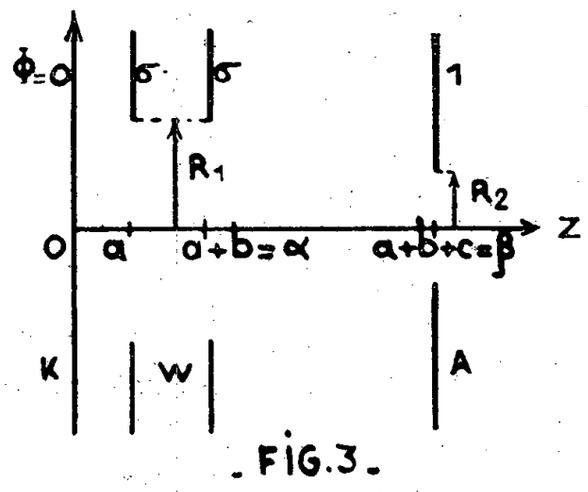


FIG. 3.

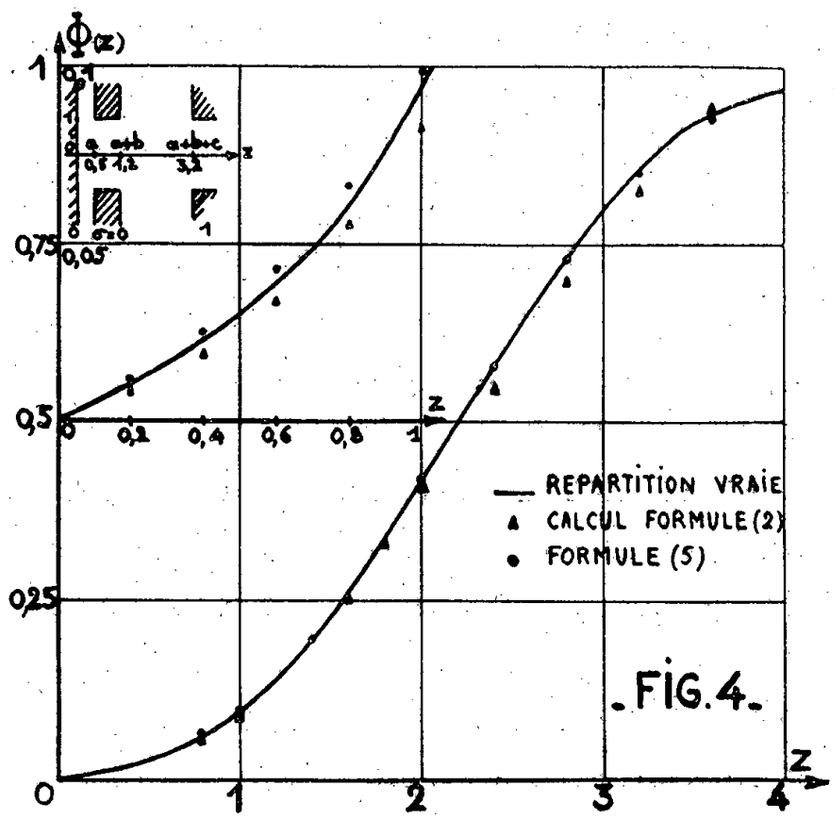


FIG. 4.

compte des images électriques des diaphragmes réels. On peut tenir compte de l'épaisseur du Wehnelt de plusieurs manières : la plus simple consiste à lui substituer deux diaphragmes minces, de même rayon, portés au même potentiel, matérialisant ses faces extérieures.

On obtient pour l'objectif de la figure 3,

$$\begin{aligned}\Phi(z) = {} & \frac{\sigma}{\pi a}\left[(z+a)\operatorname{arctg}\frac{z+a}{R_1} - (z-a)\operatorname{arctg}\frac{z-a}{R_1}\right] \\ & + \frac{1-\sigma}{\pi c}\left[(z+\beta)\operatorname{arctg}\frac{z+\beta}{R_2} - (z-\beta)\operatorname{arctg}\frac{z-\beta}{R_2}\right. \\ & \left. - (z+\alpha)\operatorname{arctg}\frac{z-\alpha}{R_1} + (z-\alpha)\operatorname{arctg}\frac{z+\alpha}{R_2}\right],\end{aligned} \tag{5}$$

$$\begin{aligned}E_0 = {} & \frac{2\sigma}{\pi a}\left[\frac{\frac{a}{R_1}}{1+\left(\frac{a}{R_1}\right)^2} + \operatorname{arctg}\frac{a}{R_1}\right] \\ & + \frac{2(1-\sigma)}{\pi c}\left[\frac{\frac{\beta}{R_2}}{1+\left(\frac{\beta}{R_2}\right)^2} - \frac{\frac{\alpha}{R_1}}{1+\left(\frac{\alpha}{R_1}\right)^2} + \operatorname{arctg}\frac{\beta}{R_2} - \operatorname{arctg}\frac{\alpha}{R_1}\right].\end{aligned} \tag{6}$$

La figure 4 représente un exemple concret de résultats numériques obtenus par ces deux méthodes.

SPECTROSCOPIE INFRAROUGE. — *Vibration de valence* C=O *et constante de Hammett dans une série de benzophénones*. Note (*) de Mlle **Marie-Louise Josien**, MM. **Nelson Fuson** et **Donald E. Pearson**, présentée par M. Paul Pascal.

Au cours de ces dernières années, des recherches se sont multipliées en vue d'étudier théoriquement et expérimentalement, par spectroscopie infrarouge, l'influence de la structure moléculaire sur la vibration de valence C=O dans les quinones et les cétones (1), (2). Pour les acétophénones en particulier, Soloway et Friess (3) ont cherché sans succès à établir l'existence d'une relation linéaire entre les fréquences C=O de ces cétones, fréquences mesurées à l'état solide, et les constantes de Hammett (4) correspondantes.

Des études antérieures (1) ont montré que l'état solide ne convient pas pour l'étude de petites variations de fréquences; seuls l'état gazeux et l'état dissous très dilué dans des solvants non polaires permettent d'éliminer les perturbations relativement importantes causées par les forces intermoléculaires. C'est pourquoi, ayant à notre disposition une série de benzophénones substituées dont le potentiel de réduction a été récemment mesuré avec précision par polarographie (5), nous avons entrepris l'étude de leur vibration de valence C=O.

Les résultats sont donnés dans les deux graphiques suivants. Les conditions expérimentales ont été détaillées précédemment (1); les substances ont été dissoutes dans le tétrachlorure de carbone; la précision est de $\pm$ 1 ou 2 cm^{-1}.

Il ressort nettement de l'examen des figures ci-contre que les fréquences C=O, si l'on excepte le cas de la 4-aminobenzophénone dans le graphique 1, sont, en première approximation, proportionnelles d'une part aux potentiels de réduction et d'autre part aux constantes σ de Hammett. En ce qui concerne le potentiel de réduction, la fonction linéaire

---

(*) Séance du 10 novembre 1952.

(1) Josien et Fuson, *Bull. Soc. Fr.* **19**, 1952, p. 389 (Avec bibliographie antérieure détaillée.)

(2) Josien, Fuson, Lebas et Gregory, *J. Chem. Phys.*, **21**, 1953 (sous presse).

(3) *J. Amer. Chem. Soc.*, 73, 1951, p. 5000.

(4) Branch et Calvin, *The theory of organic chemistry*, Prentice Hall, New-York, 1941, p. 184.

(5) Brockmann et Pearson, *J. Amer. Chem. Soc.*, 74, 1952, p. 4128.

ainsi trouvée étend aux benzophénones un résultat observé déjà pour des quinones substituées (1), (2). Quant aux constantes de Hammett, c'est la

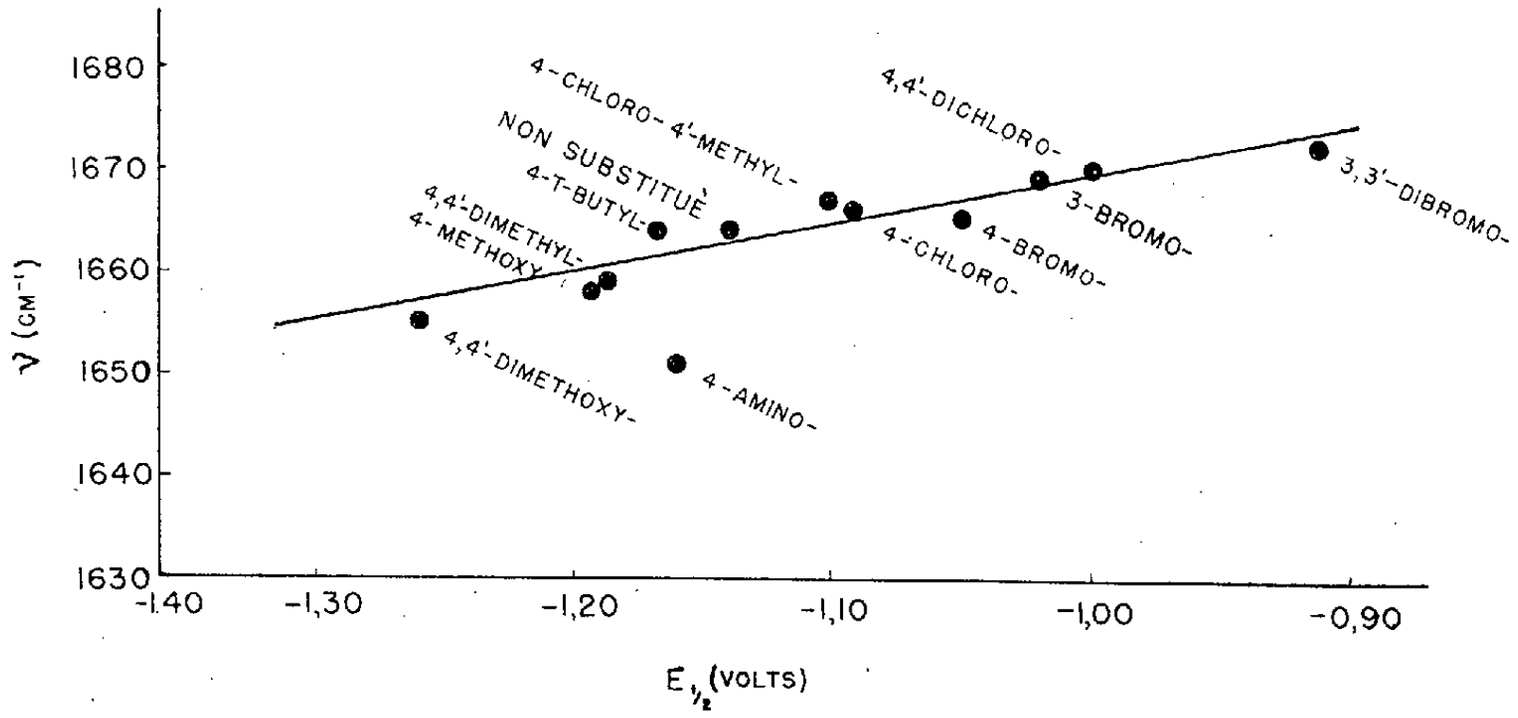


Fig. 1.

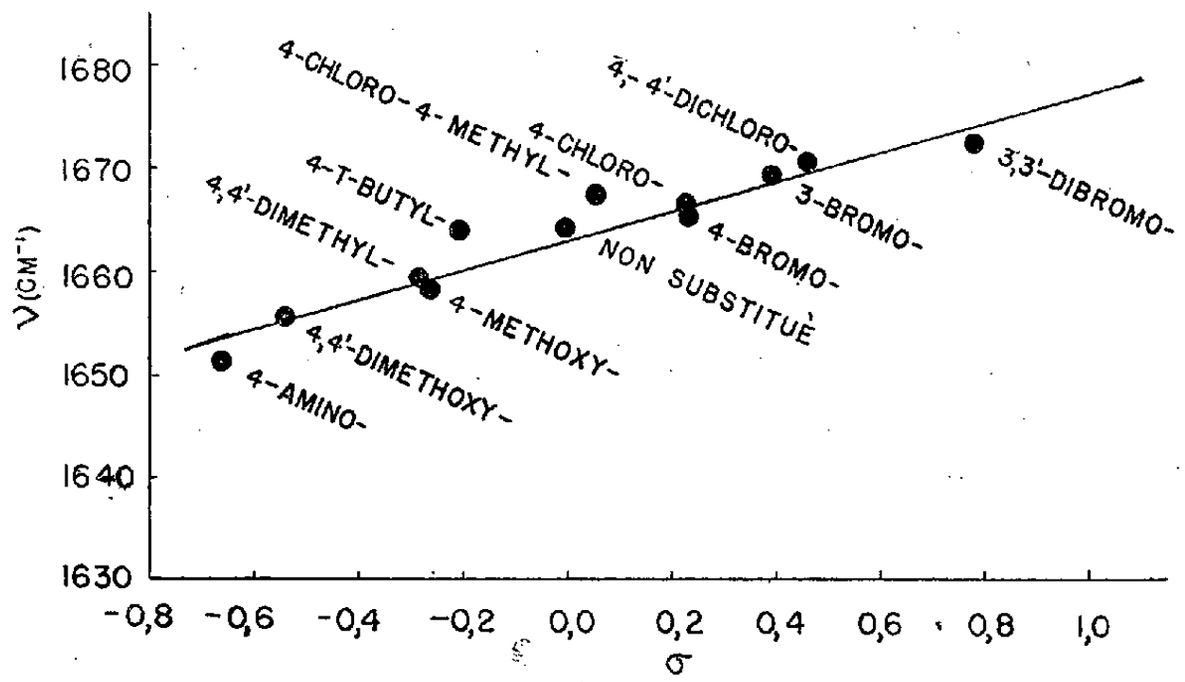


Fig. 2.

première fois, croyons-nous, qu'une relation est établie entre elles et la spectroscopie.

MICROSCOPIE APPLIQUÉE. — *Procédé automatique d'analyse granulométrique.* Note de MM. **Léon Le Bouffant** et **Jean-Louis Soulé**, présentée par M. Albert Policard.

On décrit un procédé automatique d'analyse granulométrique, utilisé pour des particules microscopiques. Ce procédé, opérant par balayage d'une image photographique au moyen d'un pinceau lumineux, permet une classification précise des objets en fonction de leur surface.

1. Le balayage par un pinceau lumineux permet d'effectuer automati-

quement le dénombrement et la granulométrie d'objets dispersés (cellules sanguines, poussières, étoiles, etc.).

Il existe plusieurs méthodes opérant directement sur les objets (1), (2), (3). Au Centre d'Études et de Recherches des Charbonnages de France, dans le but d'étudier spécialement les poussières de mines où les particules les plus fines doivent retenir l'attention, nous avons mis au point une méthode nouvelle étudiée en fonction des trois sortes d'érreurs impliquées dans le principe du balayage, à savoir : le morcellement (balayage d'une particule en plusieurs passages), la confusion (enregistrement simultané de plusieurs particules), le déclassement (mesure erronée de la dimension).

2. Le classement des particules est fait par évaluation vraie de leur surface. Le balayage, réalisé par un pinceau lumineux plat, est fait sur une photomicrographie où les images des particules se détachent en transparence sur fond noir.

Le contour de chaque particule balayée module la largeur du faisceau transmis. Les fluctuations d'intensité lumineuse sont enregistrées par une cellule photoélectrique dont le courant alimente un circuit d'intégration. La tension aux bornes du condensateur commande des circuits numérateurs réglés à des seuils différents. Le classement s'opère donc en fonction de la charge maximum Q_m atteinte pendant le balayage de la particule. La charge du condensateur est annulée automatiquement après le balayage de chaque particule.

3. La charge du condensateur au cours du balayage d'une particule est régie par la loi

$$Q(x) = \int_0^x k y(u)\, e^{-\frac{u}{L}} du,$$

où k, L sont des constantes de l'appareil; x, l'abscisse du pinceau lumineux; y, la largeur de la particule en fonction de la variable u.

On en déduit que lorsque la longueur de la particule est suffisamment faible devant L, on a sensiblement $Q_m = KS$.

Pour les plus grosses particules, cette relation devient moins rigoureuse : Q_m dépend en partie de la forme et de l'orientation et peut fluctuer autour d'une valeur moyenne $KS\left[1 - (P\sqrt{S})/L\right]$, P étant un coefficient de forme.

Il est tenu compte automatiquement de cette relation dans le réglage des seuils.

4. Les erreurs de « déclassement » sont notablement diminuées par rapport aux méthodes de granulométrie par la longueur, pour les raisons suivantes :

---

(1) W. H. Walton, *Nature*, **169**, 1952, p. 518.

(2) F. Roberts et J. Z. Young, *Nature*, **169**, 1952, p. 963.

(3) C. Lagercrantz, *Acta Physiologica Scandinavica*, **26**, suppl. 93, 1952.

la différenciation est plus accusée (elle joue comme le carré de la longueur), l'orientation des particules n'intervient plus. Les mesures des petites surfaces sont particulièrement exactes.

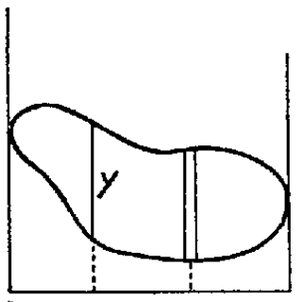


Fig. 1.

Les erreurs de « confusion » dans le sens du balayage sont supprimées par l'utilisation du pinceau plat, ce qui permet de travailler sur des densités de répartition assez élevées.

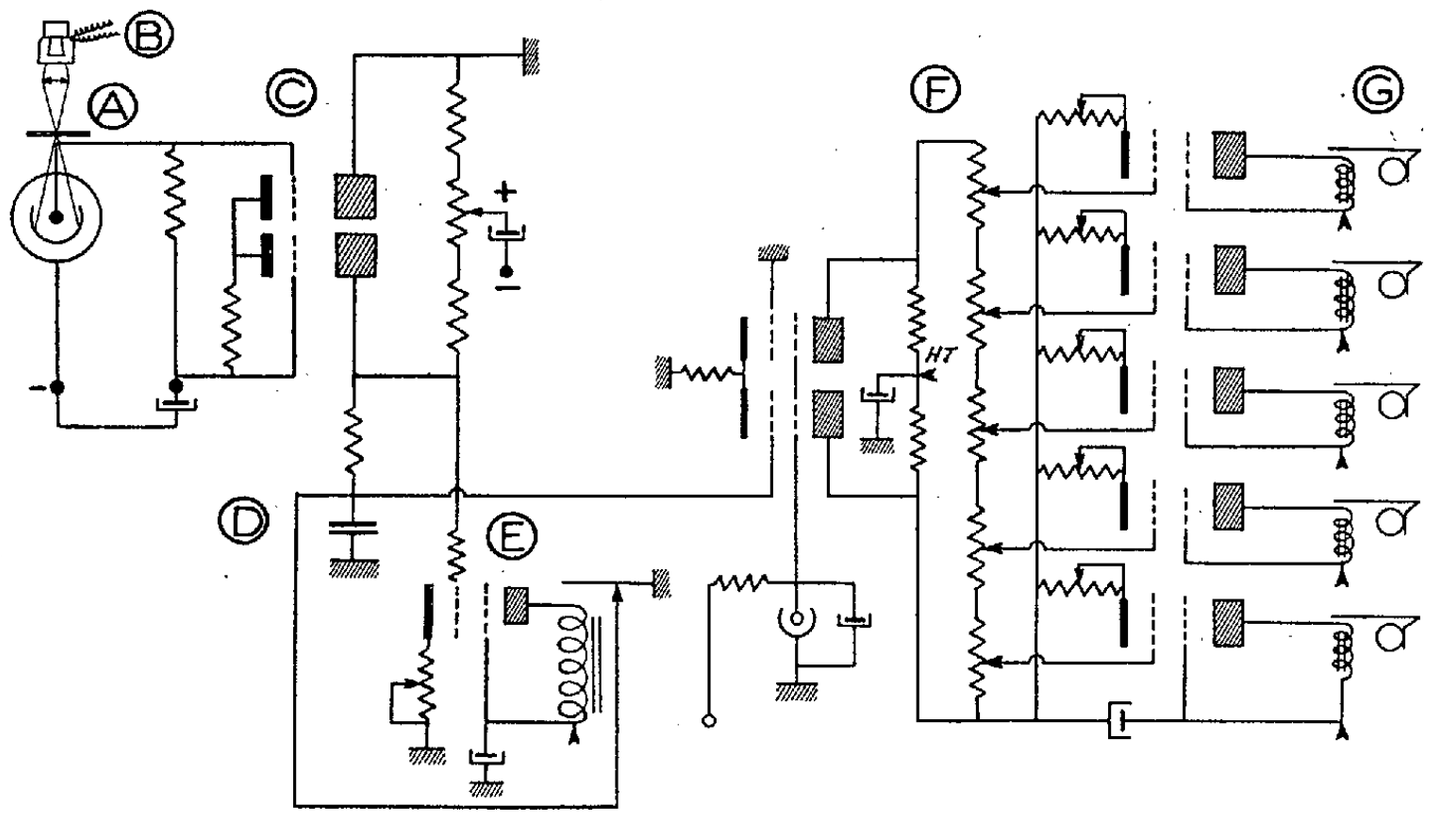


Fig. 2.

La largeur du pinceau conditionne simultanément les erreurs de confusion transversales et les erreurs de morcellement, qui sont antagonistes. Un calcul de probabilités montre que la compensation est la meilleure pour une largeur située vers $1/\sqrt{d}$ (d étant la densité de répartition). Les erreurs relatives, conditionnées alors par la fraction F de la surface totale du cliché occupée par les particules, sont de la forme $A\sqrt{F}$.

5. Un schéma de l'appareil utilisé est représenté sur la figure 2.

L'analyse est faite sur une photomicrographie bien contrastée (A), obtenue au microscope optique ou électronique. La source lumineuse (B) est une lampe à filament rectiligne à fenêtre plane. Le courant de cellule est amplifié par une double triode (C) pour la charge du condensateur (D) et pour la commande du dispositif électronique de décharge (E). La tension aux bornes du condensateur est appliquée aux grilles d'une série de tubes électroniques (F) commandant des compteurs numériques (G). Le montage actuel à cinq compteurs enregistre le nombre d'images de surfaces respectivement supérieures à 0,03, 0,2, 0,8, 3 et 7,2 mm^2 correspondant, au grossissement 1000, à des diamètres équivalents pour les particules de 0,2, 0,5, 1, 2 et 3 μ. Le circuit intégrateur fonctionne avec la constante $L = 12$ mm.

CINÉMATOGRAPHIE SCIENTIFIQUE. — *Dispositif optique pour la réception des images cinématographiques à haute fréquence.* Note de M. **Lucien Bull**, présentée par M. Joseph Pérès.

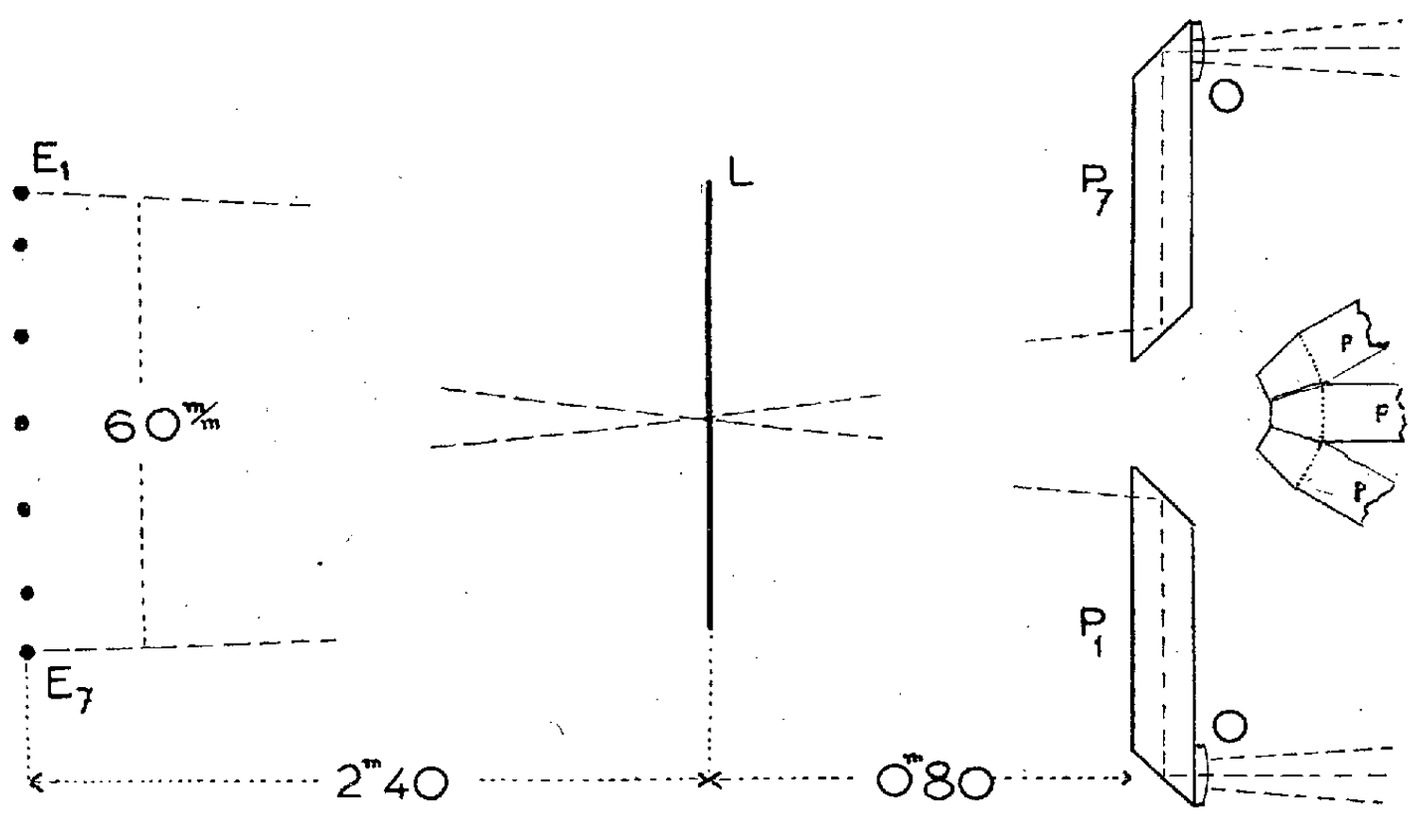
Les hautes fréquences en cinématographie sont obtenues par l'éclairement du champ photographique au moyen d'une série d'étincelles électriques qui se suivent à des intervalles de temps extrêmement brefs. De nombreux procédés sont utilisés dans ce but, tant pour la production d'une telle série d'étincelles que pour la réception sur film des images photographiques. La fréquence de celles-ci est limitée, d'une part par le nombre d'étincelles qu'il est possible de produire par seconde dans un éclateur unique et, d'autre part, par la difficulté de déplacer avec assez de vitesse le film qui doit recevoir les images.

Les fréquences les plus élevées, pouvant atteindre et même dépasser 10^6 images par seconde, exigent l'emploi d'un éclateur séparé pour chaque étincelle. Cette complication indispensable évite d'un autre côté la nécessité de déplacer le film car les images étant projetées suivant des axes différents peuvent être reçues séparément sur une surface sensible fixe.

Le nombre total d'images pouvant être recueillies ainsi est forcément assez réduit, on dépasse difficilement une douzaine, par suite de l'encombrement inévitable des différents éléments de l'installation; ce nombre suffit toutefois pour l'analyse des mouvements les plus rapides. Plus graves sont les erreurs de parallaxe dues à l'angle que font entre eux les différents axes optiques. Nous exposons ici un dispositif optique pour la prise de 12 images qui permet, en même temps, de réduire considérablement l'importance de ces erreurs.

12 éclateurs $E_1 E_7$ (*voir* schéma), sont disposés régulièrement à la circonférence d'un cercle et situés à une distance de 2,40 m de la lentille L qui constitue le champ photographique. De l'autre côté de la lentille, à 80 cm,

se trouve un groupe de 12 petits prismes à double réflexion totale, $P_1 P_7$, régulièrement orientés suivant les rayons d'un cercle. Sur l'extrémité centrale de chaque prisme, la lentille L projette l'image nette d'une des étincelles. Les rayons lumineux après leur deuxième réflexion à l'intérieur



du prisme, traversent en sortant de celui-ci une petite lentille plan-convexe O qui constitue l'un des 12 objectifs donnant chacun sur la plaque photographique une image nette de la lentille de champ L devant laquelle se déroule le phénomène à étudier.

Ce dispositif permet de séparer et de grouper en cercle sur une plaque 13 × 18, 12 images de 25 mm de diamètre avec un angle entre les axes optiques extrêmes inférieur à 2°.

CHALEUR. — *Sur quelques détails de montage du four solaire semi-industriel de Montlouis*. Note de M. **Félix Trombe**, présentée par M. Paul Lebeau.

Nous avons donné précédemment (1) une description schématique du four solaire de 75 kW installé à Montlouis (Pyrénées-Orientales). Rappelons qu'il comporte (*fig.* 1, *à droite*) un orienteur plan de 125 m² et (*à gauche*) un paraboloïde de 90 m². Le but de la présente Note est d'apporter des précisions sur ce dernier appareil. Sa surface réfléchissante est composée de 3 500 glaces de 1,5 mm d'épaisseur, courbées et, en même temps, réglées en position par des guidages latéraux et des dispositifs de poussée avant et arrière. On voit, sur la figure 2, les cinq couronnes coaxiales du para-

(1) *Comptes rendus*, 235, 1952, p. 704.

boloïde et, sur la figure 3, un des plans-supports servant à la construction de ces couronnes et portant lui-même 24 glaces élémentaires.

L'appareil étant de révolution, chaque plan-support d'une même couronne

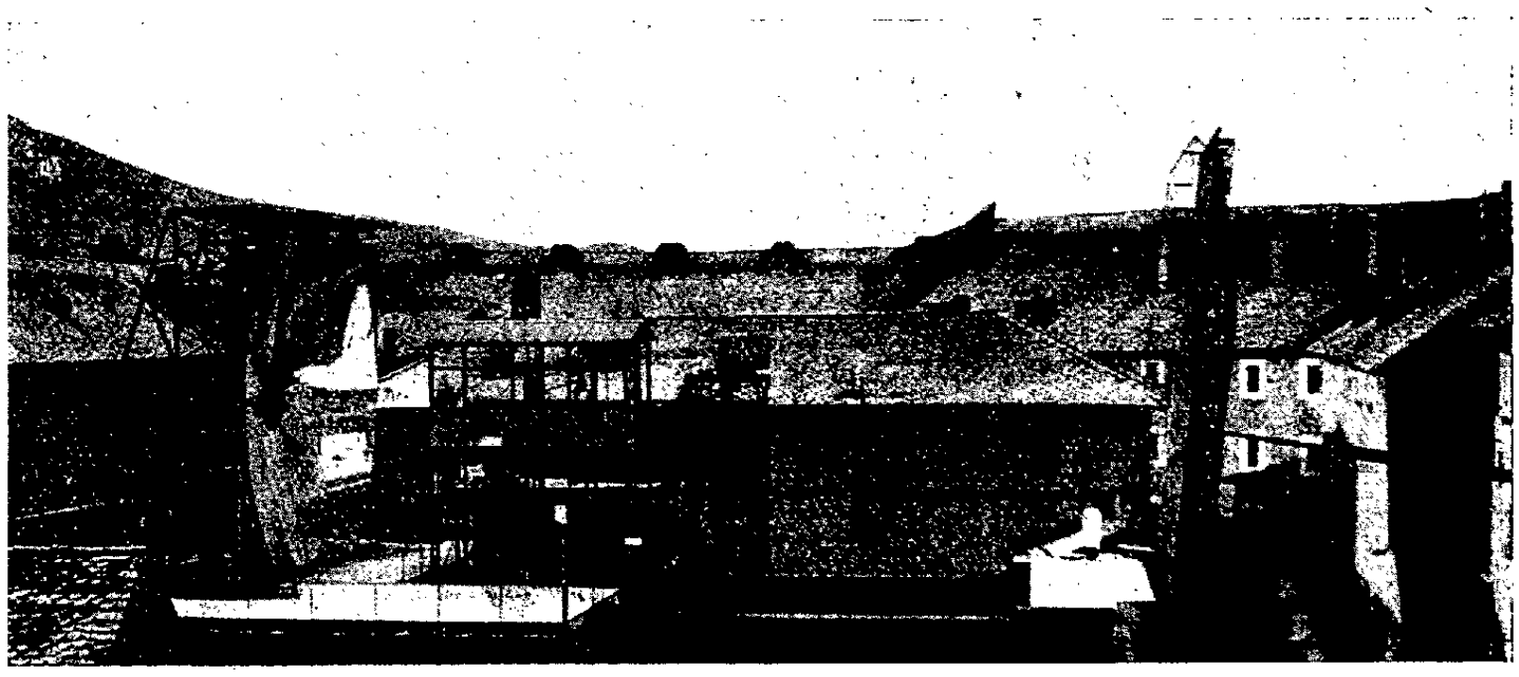


Fig. 1.

occupe, à une rotation près par rapport à l'axe du paraboloïde, la même position; il en est de même pour les glaces qu'il soutient. Il ne sera donc pas nécessaire de faire le réglage des glaces élémentaires sur l'appareil

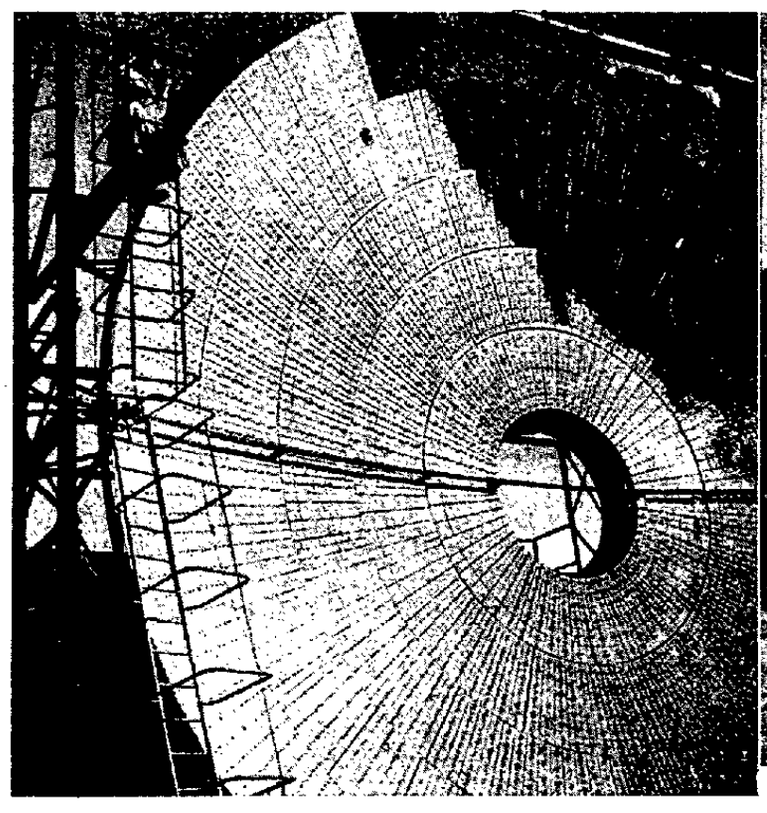


Fig. 2.

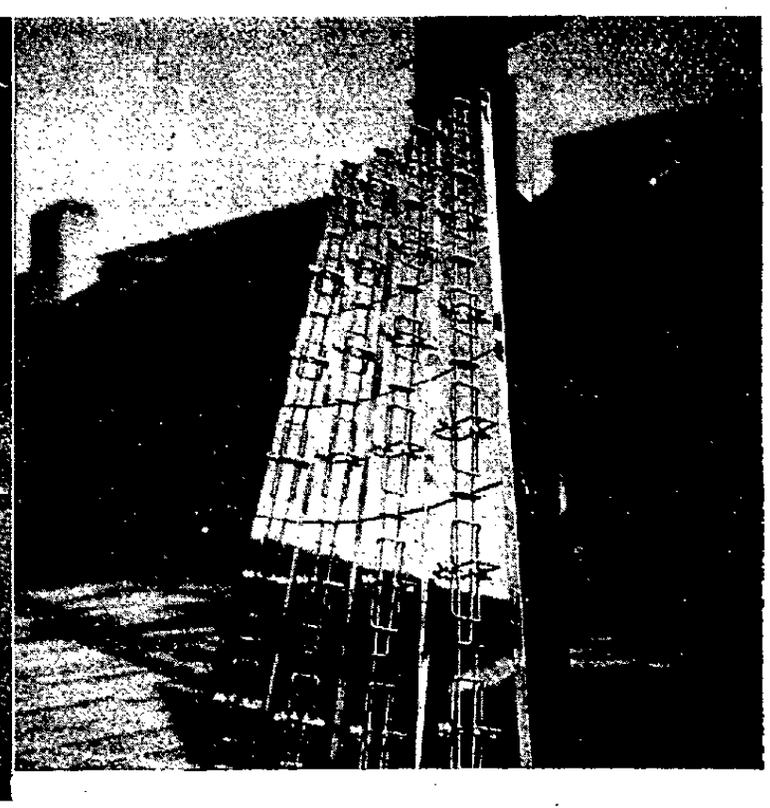


Fig. 3.

lui-même, ce qui serait extrêmement laborieux, mais sur un secteur du paraboloïde, matérialisé au laboratoire et comportant uniquement les supports d'une plaque de chaque couronne.

L'éclairage des plaques étant réalisé par un rayonnement « solaire » artificiel, convenablement orienté, on peut, par la disposition d'écrans, éclairer seulement une glace élémentaire. Celle-ci est courbée et réglée, à l'aide de vis de poussée, par observation directe de la tache lumineuse qu'elle donne sur un écran placé au « foyer ». Chaque « image » doit finalement occuper la même place et être contenue, autant que possible, dans un cercle de dimensions déterminées dont le centre est situé sur l'axe du paraboloïde.

L'appareil de Montlouis est un des plus petits modèles que l'on puisse construire suivant les principes précédents. Sa courte distance focale (6 m) oblige déjà, en effet, en raison des courbures imposées, à employer des miroirs d'assez faible épaisseur (1,5 mm) qui ne sont pas de la véritable glace, mais du verre à vitres argenté, de qualité optique très inférieure. Les aberrations sont, dans ce cas, importantes et il n'a pas toujours été possible de les résoudre par réglage. Un tel inconvénient ne se présenterait pas pour de grands appareils à courbure générale plus faible, car leur surface réfléchissante pourrait être constituée de glaces plus épaisses ayant subi un poli optique. Leur nombre, imposé par des considérations de résistance mécanique et de prix de revient, serait plus élevé que dans l'appareil de Montlouis. Ainsi, l'extrapolation de l'installation actuelle conduirait avec certitude, non seulement à un gain en énergie, mais à un gain en température, les glaces utilisées étant meilleures et leur nombre plus élevé.

CHIMIE PHYSIQUE. — *Étude par diffraction électronique de l'évolution de films minces d'antimoine, arsenic, bismuth, obtenus par vaporisation thermique dans le corps même du diffracteur.* Note de M. **Pierre Conjeaud**, présentée par M. Louis de Broglie.

Les films minces d'antimoine, primitivement amorphes, évoluent lentement à la température ambiante et rapidement sous l'influence du faisceau électronique, vers une structure cristalline orientée. Les films d'arsenic restent amorphes, ceux de bismuth présentent immédiatement une structure cristalline.

J. A. Prins (1), étudiant par diffraction d'électrons, les films minces obtenus en déposant par évaporation thermique dans un vide élevé une mince couche d'antimoine sur un support de nitrocellulose, a observé que ces films présentaient initialement une structure amorphe et que certains d'entre eux évoluaient vers une structure cristalline, l'axe ternaire du réseau rhomboédrique s'orientant perpendiculairement à la surface du support.

(1) *Nature*, 1933, p. 131-760.

Nous avons repris ces expériences en effectuant la vaporisation *dans l'enceinte même du diffracteur*. On évite ainsi les modifications que la préparation est suseeptible de subir lors du transfert de la cloche à pulvérisation au diffracteur, et l'on peut suivre éventuellement l'évolution de l'échantillon immédiatement après la pulvérisation.

Ces travaux ont été effectués avec le diffracteur électronique de J. J. Trillat, convenablement modifié pour permettre la vaporisation thermique *in situ*.

1. Examinées immédiatement après condensation de l'antimoine sur son support de collodion, les préparations présentent uniformément un diagramme de halos diffus, caractéristiques de l'état amorphe. A la température ambiante, la transformation complète de l'échantillon en un film microcristallin nécessite plusieurs semaines.

Par contre, si on laisse agir le faisceau d'électrons au même point de la préparation, on observe, au bout d'un temps variant de quelques secondes à quelques minutes, l'apparition progressive du diagramme de diffraction caractéristique de l'antimoine cristallisé. Le phénomène est *uniquement localisé* au point d'impact du faisceau et peut être répété en chaque point de la préparation.

La majorité des diagrammes obtenus, après évolution lente à la température ambiante ou évolution rapide sous l'influence du faisceau électronique, correspondent à une orientation plus ou moins intense, l'axe ternaire du rhomboèdre élémentaire se disposant toujours perpendiculairement au plan du support.

2. Nous avons étudié également des films minces d'arsenic et de bismuth obtenus dans les mêmes conditions; ces deux éléments se situent dans la même colonne de la classification périodique que l'antimoine et présentent, avec lui, de grandes ressemblances cristallographiques et chimiques.

L'arsenic fraîchement condensé fournit des diagrammes de halos analogues à ceux de l'antimoine. Mais, en aucun cas, par vieillissement à la température ambiante ou par action du faisceau électronique, nous n'avons pu obtenir de diagrammes caractéristiques d'une structure cristallisée. Avec le bismuth, au contraire, nous n'avons jamais pu saisir de passage, si fugitif soit-il, par la phase amorphe; dès condensation sur le support, on observe immédiatement les diagrammes caractéristiques du bismuth cristallisé, généralement orientés avec l'axe ternaire normal au plan du support.

Les précautions que nous avons prises permettent d'affirmer que les anneaux diffus, déjà observés par Prins sur les films d'antimoine, sont bien, ainsi que l'affirme cet auteur, dus à l'antimoine qui se condense sur le support dans un état amorphe. Il paraît vraisemblable que, dans un tel film, voisin de l'état liquide, les atomes sont doués d'une certaine mobilité

qui leur permet de se réarranger en état cristallisé plus stable; ce réarrangement pourrait se faire lentement à la température ambiante (bien que nous n'ayons pas rencontré d'évolutions aussi rapides que celles signalées par Prins), soit, comme nous l'avons montré, plus rapidement sous l'influence du faisceau électronique. Celui-ci produisant localement un certain échauffement, augmenterait ainsi la mobilité des atomes. Dans un article ultérieur (²), Prins signale d'ailleurs avoir obtenu, en chauffant la préparation entre 120 et 150° C, la transformation immédiate de l'antimoine amorphe en antimoine cristallisé.

Il est remarquable de constater que l'évolution, sous l'action du faisceau électronique, de la triade As-Sb-Bi suit l'ordre de la classification périodique et des points de fusion : l'arsenic (fusion instantanée à 1200°) reste à l'état amorphe; l'antimoine (F 630°) passe progressivement de l'état amorphe à l'état cristallisé; le bismuth (F 270°) apparaît immédiatement comme cristallisé.

Nous sommes ainsi amenés à envisager l'hypothèse selon laquelle les vapeurs de ces trois éléments, obtenues par vaporisation thermique, se condenseraient sur le support en un film primitivement amorphe. Seule, une mobilité suffisante des atomes (vraisemblablement liée au point de fusion de l'élément) leur permettrait ultérieurement, spontanément ou sous l'action d'un échauffement, de s'organiser à l'état cristallin.

L'antimoine ne serait alors qu'un cas particulièrement favorable; l'échauffement produit par le faisceau est suffisant pour permettre une organisation assez rapide du réseau cristallin, sans conférer toutefois aux atomes une mobilité telle que cet arrangement se fasse trop rapidement pour échapper à l'observation. Les détails et calculs relatifs à ces expériences seront publiés dans un autre Recueil.

CHIMIE PHYSIQUE. — *Entraînement du sodium dans la cristallisation du nitrate de potassium suivi à l'aide du radiosodium comme indicateur.* Note (*) de M. **Jules Pauly**, présentée par M. Frédéric Joliot.

La distribution du sodium à l'intérieur des cristaux de NO_3K obtenus par voie aqueuse est homogène, et la masse d'impureté fixée varie proportionnellement à la concentration du NO_3Na dans la solution. Cet entraînement est plus fort que celui de Sr^{++} et de Ce^{+++}.

Nous avons montré précédemment que NO_3K au cours de sa cristallisation en présence de $(NO_3)_2Sr$ et $(NO_3)_3Ce$ fixe une faible proportion de ces

(²) J. A. Prins, *Nature*, 1935, p. 136-299.

(*) Séance du 3 novembre 1952.

impuretés suivant la loi (1)

$$e = kR, \qquad \text{avec} \quad k_{(NO_3)_2Sr} = 1,0.10^{-3} \qquad \text{et} \qquad k_{(NO_3)_3Ce} = 0,5.10^{-3}.$$

Dans ce travail nous avons étudié l'entraînement de Na^+ monovalent comme le potassium. La différence de rayons ioniques des deux cations est importante (Na^+ : 0,95 Å, K^+ : 1,33 Å) et les deux nitrates appartiennent à des systèmes cristallins différents. Cependant J.-W. Retgers (2) a montré que pour des fortes concentrations en NO_3Na, NO_3K donne des cristaux mixtes contenant jusqu'à 0,5 % de NO_3Na.

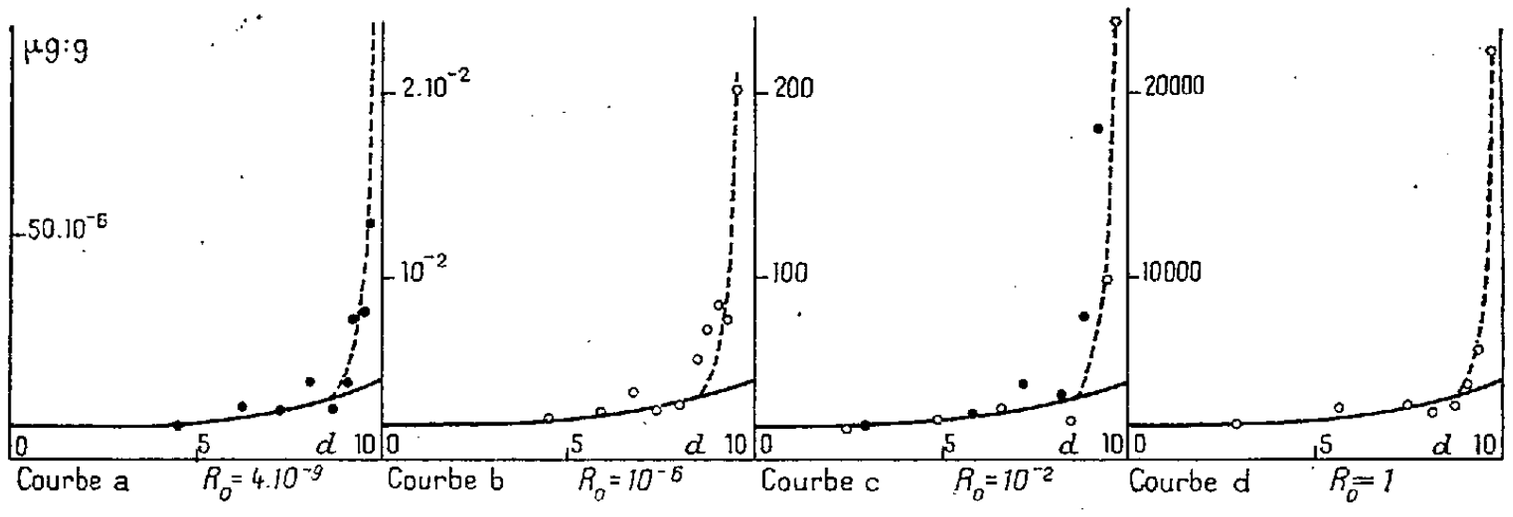


Fig. 1. — Distribution spatiale de NO_3Na.

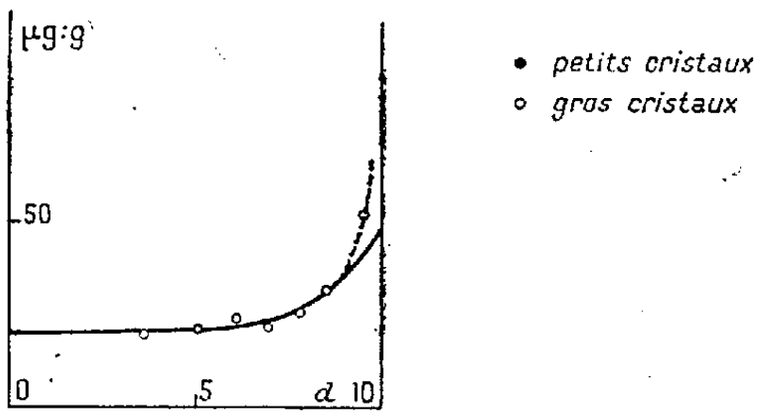


Fig. 2. — Répartition de NO_3Na dans des gros cristaux lavés avec une solution saturée de NO_3K

$$\left(\text{en trait plein la courbe } e = \frac{2,1}{1 - \frac{M}{a}\left(\frac{d}{10}\right)^3}\right).$$

Pour les faibles concentrations en NO_3Na nous employons ^{22}Na comme indicateur radioactif. Cet isotope est produit au cyclotron par la réaction $^{24}Mg(d, \alpha)^{22}Na$. La cible est mise en solution et le magnésium en excès est éliminé par précipitation et filtration du CO_3Mg selon Schaffgott. L'isotope ^{22}Na isolé et transformé en nitrate est additionné de NO_3Na inactif comme

(1) *Comptes rendus*, **232**, 1951, p. 2203; **235**, 1952, p. 40; le coefficient

$$R = \frac{\text{masse impureté}}{\text{masse } NO_3K}.$$

(2) *Z. Phys. Chem.*, 4, 1889, p. 618.

entraîneur, puis il est introduit dans une solution de NO_3K que l'on fait cristalliser.

Les cristaux obtenus sont dissous par couches successives, et la distribution des traces de Na^+ est déterminée (*fig.* 1, *a* et *b*). Comme pour Sr^{++} et Ce^{+++} les courbes montrent que la teneur en impureté est constante dans la zone centrale, mais qu'elle augmente considérablement vers la périphérie. Cet effet peut s'expliquer par l'adsorption superficielle et l'occlusion d'eau-mère entre les cristaux.

Pour les fortes concentrations en sodium nous avons utilisé le ^{24}Na que l'on a pu préparer avec une activité élevée en irradiant NO_3Na aux neutrons lents à la pile atomique de Châtillon. Les courbes (*fig.* 1, *c*, *d*) ont la même allure que celles qui ont été obtenues précédemment. Dans tout le domaine des concentrations étudiées, l'entraînement à l'intérieur des cristaux est proportionnel au rapport R_0 de la solution.

Une valeur précise de k_{NO_3Na} a été déterminée ensuite. Pour cela des gros cristaux sont lavés à plusieurs reprises avec une solution saturée de NO_3K afin d'enlever la couche périphérique perturbée par l'occlusion d'eau-mère. Ils sont ensuite dissous par couches successives dans l'acétone aqueuse, et la courbe de répartition est construite (*fig.* 2). Les points expérimentaux suivent bien la loi que nous avons établie précédemment ([3]).

$$e = \frac{k_{NO_3Na} R_0}{1 - \frac{M}{a}\left(\frac{d}{d_0}\right)^3}, \qquad \text{avec} \quad k_{NO_3Na} = 2,1 . 10^{-3}.$$

En conclusion : l'entraînement de NO_3Na pour NO_3K trouvé égal à $2,1 . 10^{-3} R_0$ et plus élevé que celui de $(NO_3)_2Sr$: $(1,0 . 10^{-3} R_0)$ et celui de $(NO_3)_3Ce$: $(0,5 . 10^{-3} R_0)$.

Il est remarquable que pour ces trois ions dont les charges varient de 1 à 3 l'entraînement dans un même réseau est à peu près du même ordre.

CHIMIE PHYSIQUE. — *Rapports entre la longueur d'onde et l'oxydation de l'iodure de potassium par les ultrasons.* Note (*) de MM. **René-Guy Busnel** et **Daniel Picard**, présentée par M. Maurice Javillier.

L'action oxydante des ultrasons sur l'iodure de potassium en solution a été étudiée en faisant varier, à puissance acoustique égale, la longueur d'onde ultrasonore, entre 192 et 960 kHz. Le rendement de la réaction présente un maximum pour les fréquences de 300 kHz (± 50 kHz). Pour les fréquences plus hautes, le rendement est pratiquement indépendant de la longueur d'onde.

L'étude de l'action oxydante des ultrasons sur l'iodure de potassium a fait

([3]) *Comptes rendus*, **233**, 1951, p. 1599.

(*) Séance du 13 octobre 1952.

l'objet de nombreuses recherches. Cependant, aucune donnée sur le rôle de la longueur d'onde, appliquée avec une puissance égale à une solution d'IK, n'a été encore précisée; c'est ce travail que nous avons entrepris pour la gamme de fréquences 192-960 kHz.

Méthode. — Les dosages ont porté sur 100 cm^3 d'une solution d'IK à 5 %, acidifiée par 4 cm^3 de SO_4H_2 à 50 %. Le titrage de l'iode libéré était effectué à la microburette avec l'hyposulfite $n/10$ ou $n/100$ en présence de 1 cm^3 d'empois d'amidon à 1 %.

Le vase renfermant la solution à soumettre à l'action des ultrasons est une cloche en verre pyrex, cylindrique, de 65 mm de diamètre, dont la face soumise aux vibrations est constituée par une membrane de cellophane imperméable de 2,5/100e de millimètre d'épaisseur. La hauteur de la solution est de 35 mm. Le vase porte à sa partie supérieure un orifice de 15 mm de diamètre et la hauteur de la colonne d'air surmontant le liquide à soumettre à l'action des ultrasons est de 165 mm. Le vase est posé sur un socle qui maintient sa face inférieure à 35 mm de la surface du quartz. Le vase est plongé dans la cuve ultrasonore, remplie d'eau circulante dont la température était de 18° C ($\pm$ 4°C). La hauteur d'eau autour du vase était de 150 mm au-dessus du quartz, arrivant ainsi à une hauteur de 80 mm de la surface libre du liquide à traiter.

Les disques de quartz piézoélectrique ont un diamètre de 60 mm. Le générateur ultrasonore donne une puissance haute-fréquence maxima de 2 kW, et permet d'émettre avec des puissances variables sur les fréquences : 192, 240, 320, 412, 612, 640, 720 et 960 kHz., fréquences contrôlées pour chaque quartz utilisé par la méthode de battements avec un générateur H. F. et un oscillographe.

L'énergie H. F. véhiculée par un câble nu est contrôlée par un voltmètre électrostatique et un milliampèremètre H. F. placé à la sortie du projecteur. Le projecteur est un vase émettant en ondes stationnaires. La puissance acoustique a été mesurée par la méthode calorimétrique, en fonction de l'intensité H. F., pour chaque fréquence particulière, en appliquant le principe de compensation de Rumfort. Dans toutes les fréquences, on s'est toujours placé au-dessus du seuil de cavitation. Le temps d'irradiation a été de 10 mn pour tous les essais.

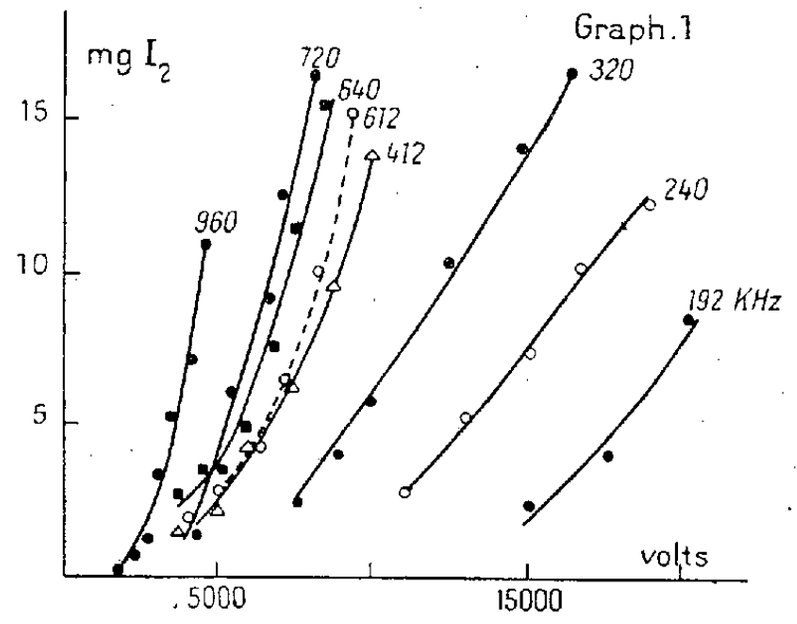
On a vérifié dans ces conditions que les variations de température et de teneur en gaz dissous ne pouvaient intervenir.

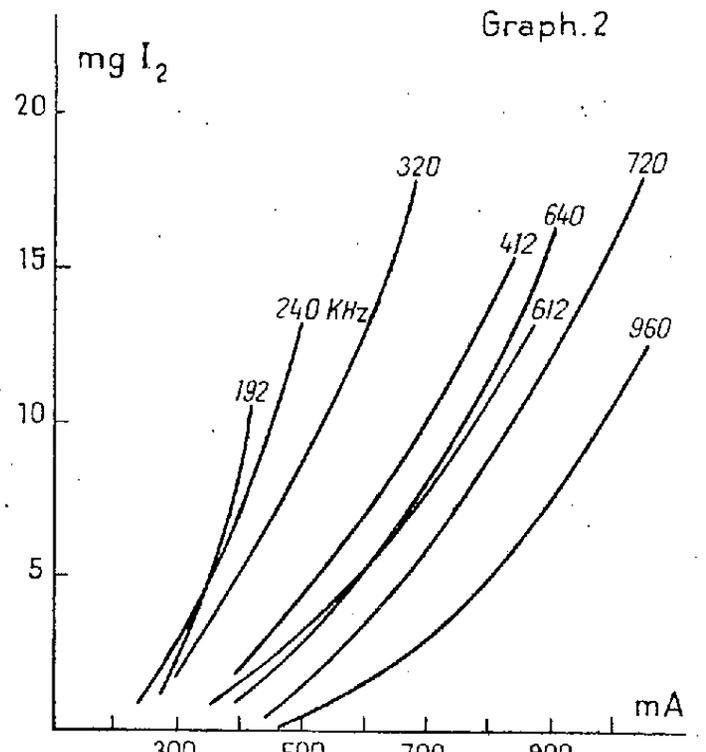
Résultats et conclusions. — 1° En rapportant les quantités d'iode dégagé aux diverses fréquences et en fonction de la tension H. F., on obtient une famille de courbes d'allure parabolique (*graph.* 1). Les résultats exprimés sous cette forme font apparaître que le rendement de la réaction varie en raison inverse de la longueur d'onde.

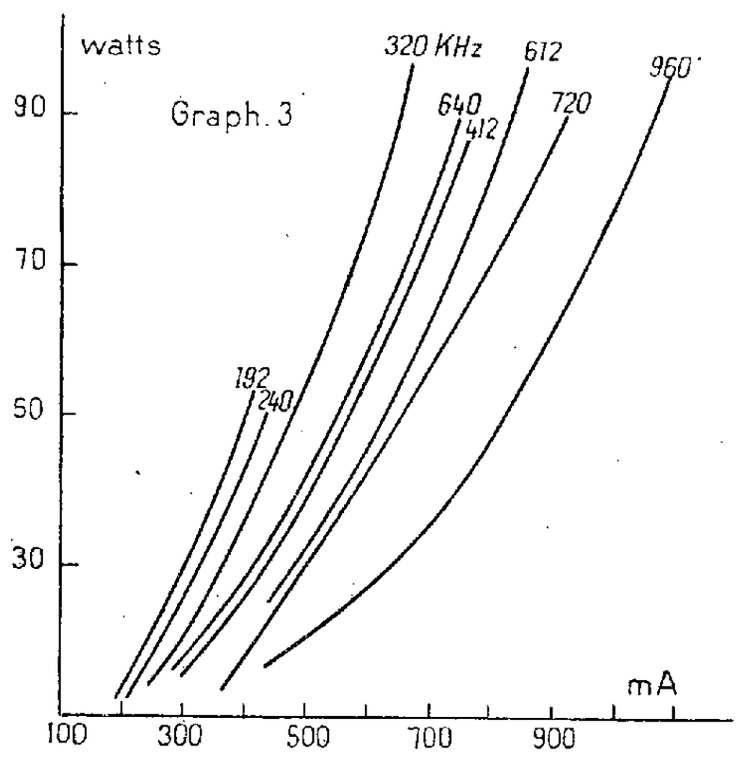
2° Si les résultats sont exprimés en fonction de l'intensité H. F., la famille de courbes s'apparente à celle obtenue en fonction de la tension H. F., et le rendement de la réaction apparaît fonction directe de la longueur d'onde (*graph.* 2).

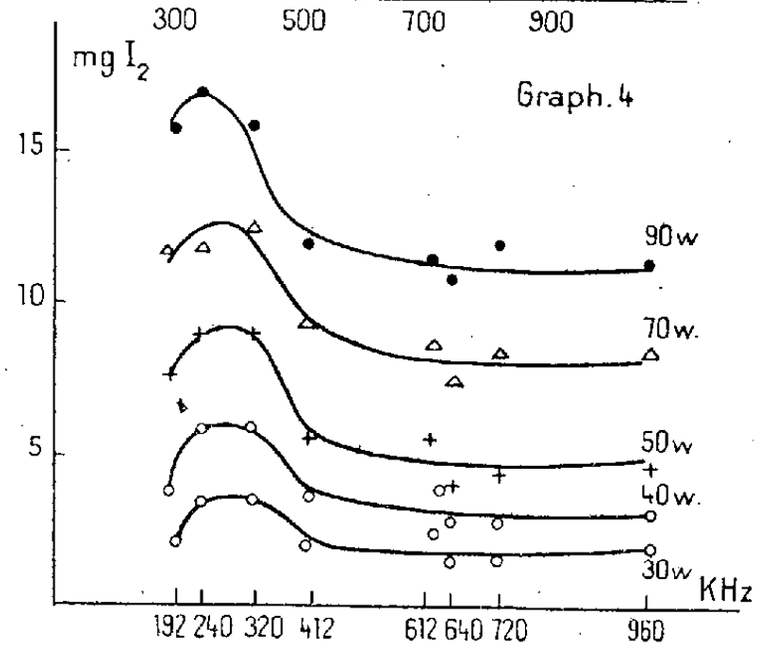
3° Cette relation reste cependant arbitraire et ne peut être utilisable, car le paramètre intensif H. F. n'est qu'un indice qui relie le phénomène ultrasonore d'oxydation à un phénomène électrique, alors que seule la puissance acoustique effective entre en jeu. En effet, la transformation de l'énergie électrique

en énergie acoustique par le quartz varie selon un coefficient qui est fonction de la fréquence et des qualités propres à chaque cristal. Si l'on assimile l'ensemble projecteur-quartz à une résistance R (représentant la résistance de









rayonnement propre à l'ensemble) on peut lui appliquer la relation : $P = R I^2$ dans laquelle P exprime la puissance acoustique émise, et I l'intensité efficace H. F., ceci n'étant valable que pour une fréquence déterminée. Les courbes de puissance (*graph.* 3) sont donc bien des paraboles.

4° Ainsi, le phénomène ultrasonore n'est exprimé correctement qu'en fonction de la puissance acoustique dissipée effectivement. En utilisant les résultats des deux familles de courbes décrites et en rapportant les quantités d'iode dégagées en fonction de la fréquence pour des puissances comparables, il apparaît que *la longueur d'onde a une influence manifeste sur le rendement de la réaction;* les courbes de rendement (*graph.* 4) montrent en effet, que, pour la bande de fréquences 192-320 kHz, on obtient un seuil maximum des valeurs d'oxydation oscillant autour de 300 kHz (± 50 kHz), puis un aplatissement

de 400 à 1 000 kHz permettant de considérer que dans cette bande, le rendement de la réaction est indépendant de la fréquence.

CHIMIE MINÉRALE. — *Propriétés chimiques des alliages titane-aluminium.* Note de MM. **Jean Cueilleron** et **Claude Pascaud**, présentée par M. Louis Hackspill.

Les alliages à moins de 53 % de titane contiennent le composé $TiAl_3$ qu'il est possible d'isoler et dont on donne quelques propriétés. Les alliages titrant 53 à 65% de titane ne contiennent pas de composé intermétallique; il est possible, par attaque sélective de l'aluminium, d'en extraire du titane pulvérulent.

Nous avons décrit dans une Note précédente (1), la préparation par aluminothermie des alliages titane-aluminium contenant de 15 à 65 % de titane. Depuis lors, W. Gruhl (2) en a publié le diagramme thermique; ses résultats s'accordent avec ceux que nous ont indiqués les propriétés chimiques.

L'analyse de ces alliages est délicate; très peu réactifs, ils sont mis en solution par attaque à l'acide fluorhydrique additionné de 1 à 2 % d'acide sulfurique. La séparation de l'aluminium et du titane est faite par le cupferon (3) qui, à froid et en milieu acide, précipite le titane; le dosage, par les méthodes usuelles, du fer et du silicium (4), montre que ces alliages contiennent 0,1 à 0,2 % de chacun de ces éléments; on évalue, à environ 1 %, la teneur en oxygène en pesant le résidu d'oxyde que laisse un échantillon d'alliage après attaque par le chlore à 800° C.

Le comportement chimique des alliages est très variable avec leur teneur en titane; la limite de 37,28 % correspondant à $TiAl_3$ (5).

Si l'on fait réagir sur un alliage à moins de 37,28 % de titane, des réactifs tels que l'acide chlorhydrique dilué ou la soude aqueuse, l'aluminium se dissout et il reste, dans le milieu réactionnel, des cristaux de $TiAl_3$; ceci n'est vrai que si l'alliage obtenu par aluminothermie a été refroidi très lentement (1); si tel n'est pas le cas, la partie du titane qui n'est pas combinée sous forme de $TiAl_3$ passe également en solution.

Les alliages contenant de 37,28 à environ 53 % de titane réagissent sur les réactifs minéraux de façon telle que le titane passe en solution tandis qu'il reste dans le milieu réactionnel des cristaux de $TiAl_3$. Il est

(1) J. Cueilleron et C. Pascaud, *Comptes rendus*, 233, 1951, p. 745.

(2) *Metall.*, mars 1952, p. 134.

(3) Sel d'ammonium de la nitrosophénylhydroxylamine.

(4) Charlot et Béziers, *Méthodes modernes d'analyse quantitative minérale*, Masson, Paris, 1945, p. 312.

(5) Manchot et Leber, *Z. anorg. Chem.*, 150, 1926, p. 29.

donc possible, en première approximation de considérer qu'un alliage à moins de 37,28 % de titane est constitué par des cristaux de $TiAl_3$ dispersés dans de l'aluminium pur et qu'un alliage contenant entre 37,28 et 53 % de titane est constitué par des cristaux de $TiAl_3$ dispersés dans du titane; ceci semble du reste en accord avec le diagramme publié par W. Gruhl (2).

Les alliages contenant de 53 à 65 % de titane sont caractérisés par deux propriétés essentielles :

1° Ils ne contiennent pas de composé intermétallique;

2° Il est possible de procéder au moyen de réactifs convenables, à une élimination sélective de l'aluminium, laissant un résidu de titane. Le chlorure d'aluminium peut réagir sur l'aluminium à 1000° C, sous une pression de 10^{-4} mm de mercure, en l'absence rigoureuse d'humidité, en donnant du monochlorure qui se décompose très facilement en chlorure d'aluminium et aluminium à très haut degré de pureté (6) :

$$AlCl_3 + 2\,Al_{impur} \rightarrow 3\,AlCl \rightarrow AlCl_3 + 2\,Al_{pur}.$$

Cette même réaction effectuée sur des alliages titane-aluminium n'affecte que l'aluminium; elle est délicate à mettre en œuvre.

D'autre part, nous avons étudié systématiquement l'action, sur les alliages titane-aluminium pulvérisés (tamis normalisé n° 100), de solutions aqueuses de soude à des concentrations variées pour des durées d'attaque allant de 1 à 48 h et à la température d'ébullition au reflux. En fin de telles attaques (NaOH à 8 % pendant 8 h, par exemple), on obtient du titane pulvérulent dont les grains sont recouverts d'un film d'oxyde hydraté que l'on peut éliminer par lavage du métal au moyen d'une solution aqueuse sulfurique à 10 % additionnée de 1 % d'acide fluorhydrique. L'introduction dans la solution de soude, d'agents mouillants ou de réducteurs ne modifie ni la réaction, ni les propriétés du titane obtenu : cette poudre retient encore 0,2 à 0,3 % d'oxygène et 1 à 3 % d'aluminium; elle est oxydable et il y a intérêt à la conserver dans un solvant organique inerte.

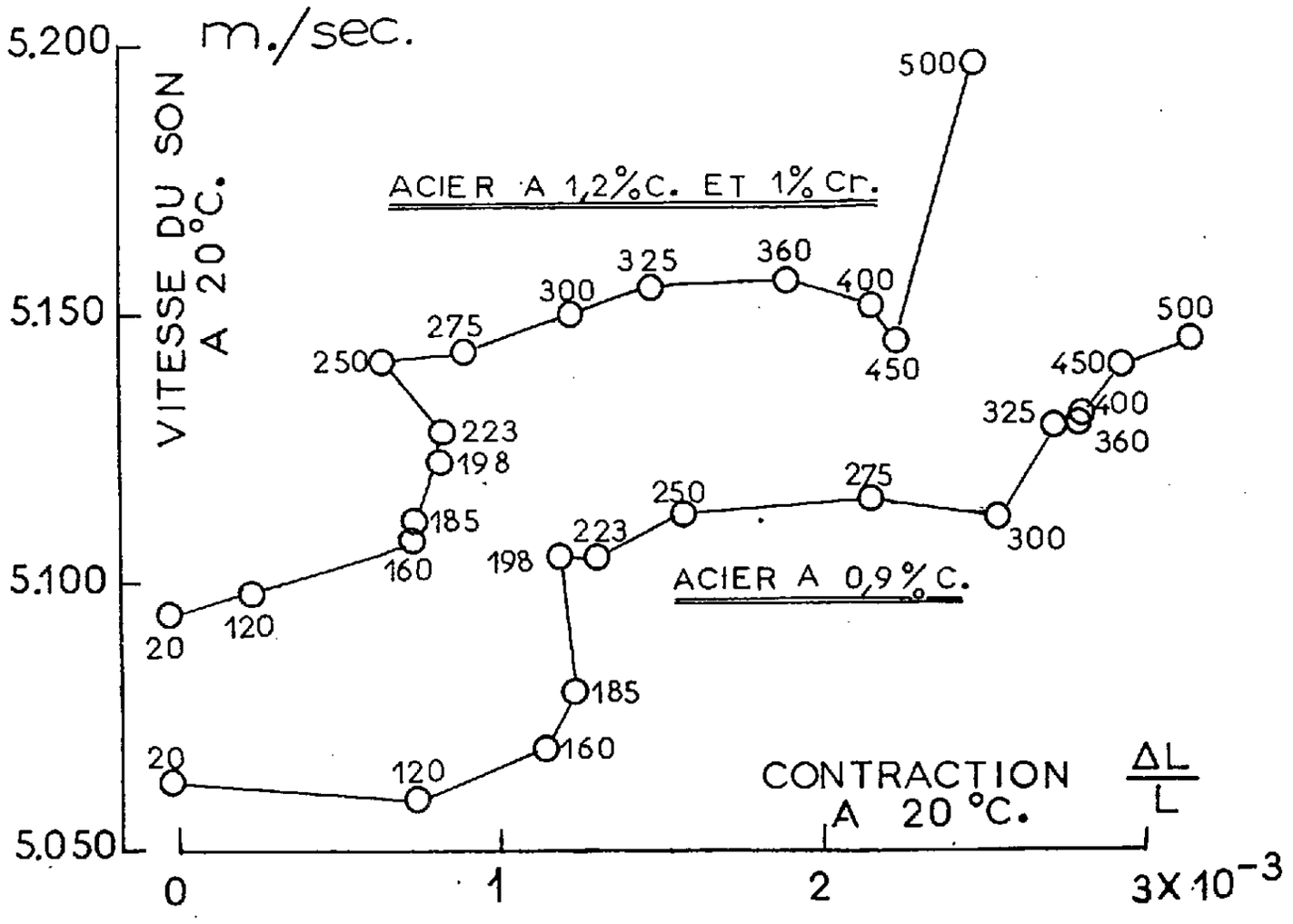
MÉTALLOGRAPHIE. — *Vitesse du son et densité des états de décomposition au chauffage de la martensite des aciers.* Note de MM. **Georges Vidal** et **Pierre Lescop**, présentée par M. Pierre Chevenard.

On sait, que dans un acier à 0,9% de carbone, le passage de l'état recuit à l'état trempé s'accompagne d'une dilatation physicochimique de 1 % en volume qui équivaut à une dilatation élastique égale à celle que produirait

(6) P. Gross, *Trans. A. I. M. E.*, London, 1949, p. 461.

une tension hydrostatique de l'ordre de 200 kg/mm². Inversement, le passage progressif de l'état trempé à l'état recuit s'accompagne d'une contraction physicochimique qui, si elle était d'origine élastique, devrait d'après les lois générales des solides correspondre à une augmentation du module d'Young. Dans ces conditions, il nous a semblé intéressant de déterminer l'allure de la variation de la vitesse du son en fonction des variations physicochimiques de longueur lors de la décomposition au chauffage de la martensite des aciers.

Un acier à 0,9 % de C et un acier à 1,2 % de C et 1 % de Cr ont été préalablement trempés à l'eau, après un maintien de 30 mn à des températures respectives de 800 et 850° C et partiellement épurés en austénite résiduelle par 6 cycles entre 20 et —180° C; sur ces aciers, on a déterminé



à la température ambiante, au moyen de l'appareillage Florisson (1) et d'un palmer au 1/100 de millimètre, la variation de vitesse du son (à 7/10 000 près) et de contraction relative (à 1/10 000 près) des divers états de décomposition qui résultent de revenus isothermes d'une demi-heure effectués, sur le même échantillon à des températures croissantes et échelonnées.

En reportant les valeurs de la vitesse du son, exprimée en mètres par seconde, en fonction de la contraction relative et en indexant chaque

(1) Communication du 2 février 1938 à la *Société française des Mécaniciens*.

point représentatif de la température correspondante de revenu, on obtient des diagrammes caractéristiques qui sont reproduits sur la figure ci-jointe. On constate principalement et conformément aux prévisions, que la vitesse du son s'accroît avec la contraction; mais cette variation est discontinue et détermine les diverses zones suivantes :

1° Une première zone à accroissement prépondérant de la contraction relative qui se termine vers 160° C.

2° Une deuxième zone à accroissement prépondérant de la vitesse du son qui, pour les deux aciers étudiés, se termine respectivement vers 220 et 275° C. La constance de la densité dans cette zone ne semble pas résulter exclusivement de la décomposition de l'austénite résiduelle en raison des trois autres résultats expérimentaux suivants : d'abord la teneur en austénite résiduelle mesurée aux rayons X est inférieure à 3 % dans l'acier au carbone et égale à 5 % dans l'acier au chrome; ensuite l'extrapolation à 20° C des valeurs expérimentales à 800, 700, 250 et 200° C de la vitesse du son dans l'austénite sous-refroidie de l'acier au chrome indique une valeur inférieure de 1,5 % seulement à la vitesse du son à 20° C dans les produits de décomposition de l'austénite vers 200 à 250° C; enfin l'écart entre les densités de l'austénite et de ses produits de décomposition justifie seulement les faibles dilatations parasites qni se manifestent, principalement dans l'acier au chrome dans la portion supérieure de la deuxième zone.

3° Une troisième zone à accroissement prépondérant de la contraction relative qui, pour les deux aciers étudiés, se termine respectivement vers 300 et 450° C.

4° Une quatrième zone où l'accroissement de vitesse du son semble être à nouveau prépondérant, principalement dans l'acier au chrome.

En conformité avec les résultats de Chevenard et Portevin (2), la décomposition de la martensite se poursuit, puisque la vitesse du son s'accroît, même dans les zones où la contraction relative, c'est-à-dire la densité reste constante; par contre, ces arrêts de la variation de la densité ne semblent pas résulter exclusivement de la décomposition de l'austénite résiduelle et pourraient être autrement interprétés d'après l'hypothèse suivante :

L'accroissement continu de la température de revenu de la martensite provoquerait, entre autres effets, un effet banal de relaxation de la tension hydrostatique interne, relaxation qui selon la règle de Gibbs serait interrompue durant la présence d'une phase en surnombre. Dans le cas de l'acier à 0,9 % C, la deuxième zone pourrait correspondre à la coexistence de la cémentite et du carbure hexagonal de fer puisque, d'une part, cette coexistence est possible d'après les résultats d'Austin et Schwartz en diffraction électronique (3) et que, d'autre part, d'après les examens radiocristallographiques de Jack (4), la disparition du carbure hexagonal de fer coïnciderait avec la décomposition de l'austénite résiduelle et, par conséquent, avec la fin de la deuxième zone.

(2) *Revue Universelle des Mines*, 6, 1931, p. 309, 391 et 443.

(3) *Amer. Soc. Test. Mat.*, 1952, Préprint n° 165 B.

(4) *Journal of the Iron and Steel Institute*, 1951, p. 26 à 36.

MÉTALLOGRAPHIE. — *Influence de la fatigue sur les propriétés magnétiques des aciers.* Note de MM. **André Kovacs** et **Pierre Laurent**, présentée par M. Pierre Chevenard.

En adoptant le dispositif déjà décrit (1) et par l'addition d'un enroulement autour de l'éprouvette, nous avons pu observer les modifications de perméabilité magnétique déterminées par la répétition cyclique des contraintes appliquées à un nickel-chrome de construction, traité pour diverses structures.

a. Après arrêt des vibrations, la perméabilité μ mesurée en plaçant la bobine dans un pont d'impédance fonctionnant avec un courant porteur de 8 kHz, évolue progressivement vers une valeur, en général légèrement différente de la valeur initiale. Dans certains cas, nous avons pu suivre cette évolution pendant 15 mn. Parfois, ce *traînage* (2) n'est pas continu, mais accuse nettement des sauts de Barkhausen.

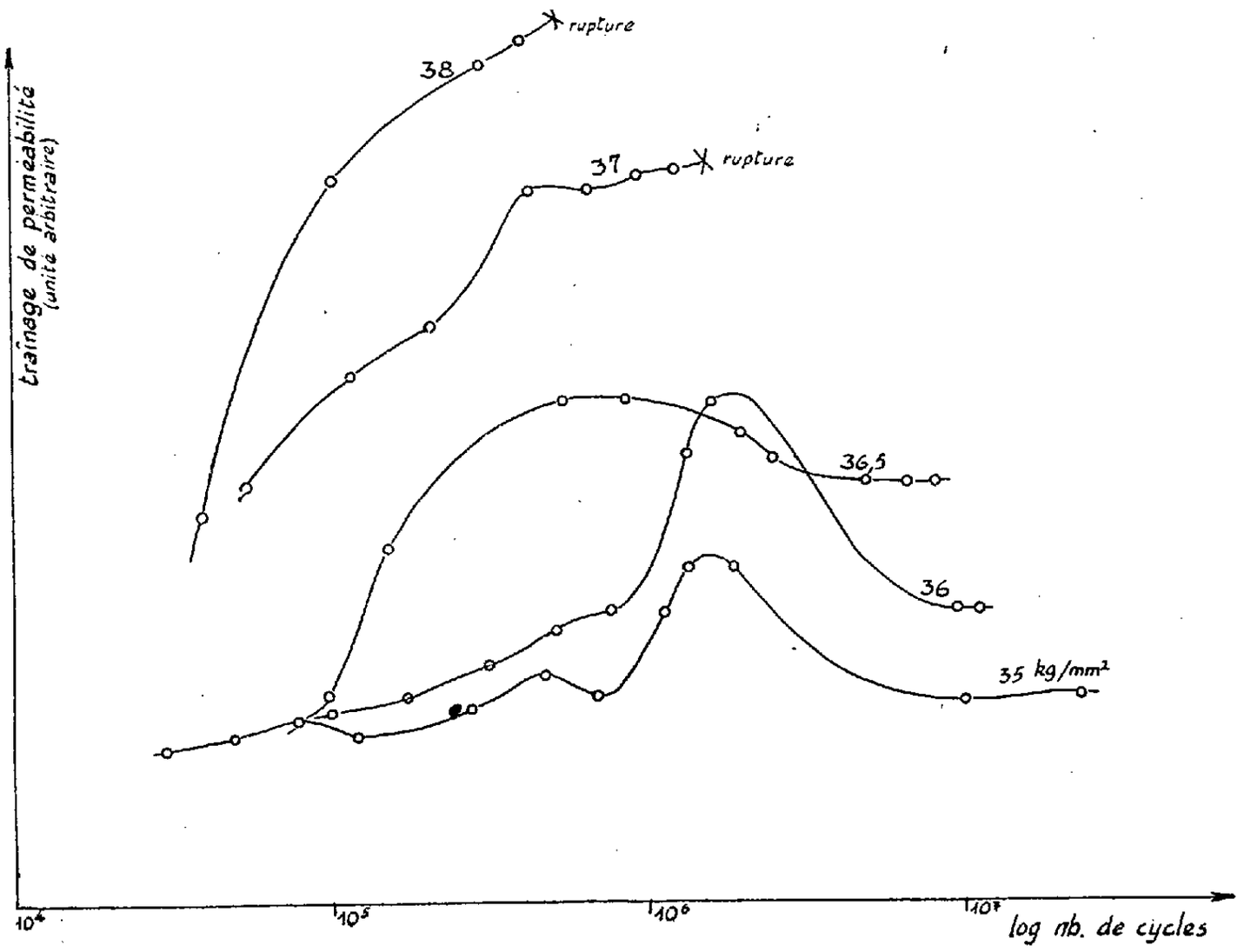


Fig. 1.

De plus, nous avons constaté que, pour une même éprouvette soumise à des vibrations d'amplitude constante, la tangente à l'origine de la courbe

(1) *Comptes rendus*, **235**, 1952, p. 1103.
(2) Néel, *J. Phys. Rad.*, **11**, 1950, p. 49.

« perméabilité-temps » est indépendante du nombre de cycles. La valeur de la contrainte maxima relative à chaque cycle modifie notablement l'amplitude du traînage. Au-dessous de la limite de fatigue, comme le montre la figure 1, il y a, en fonction du nombre de cycles, un maximum caractéristique du traînage; au-dessus de cette limite, l'augmentation se poursuit jusqu'à la rupture.

b. Pendant les vibrations de l'éprouvette, les variations de la perméabilité provoquent, dans un champ magnétique constant, un flux d'induction modulée. La bobine de mesure est reliée à un intégrateur électronique : la tension de sortie, proportionnelle à μ, est envoyée sur les plaques verticales d'un oscillographe cathodique, tandis que les plaques horizontales

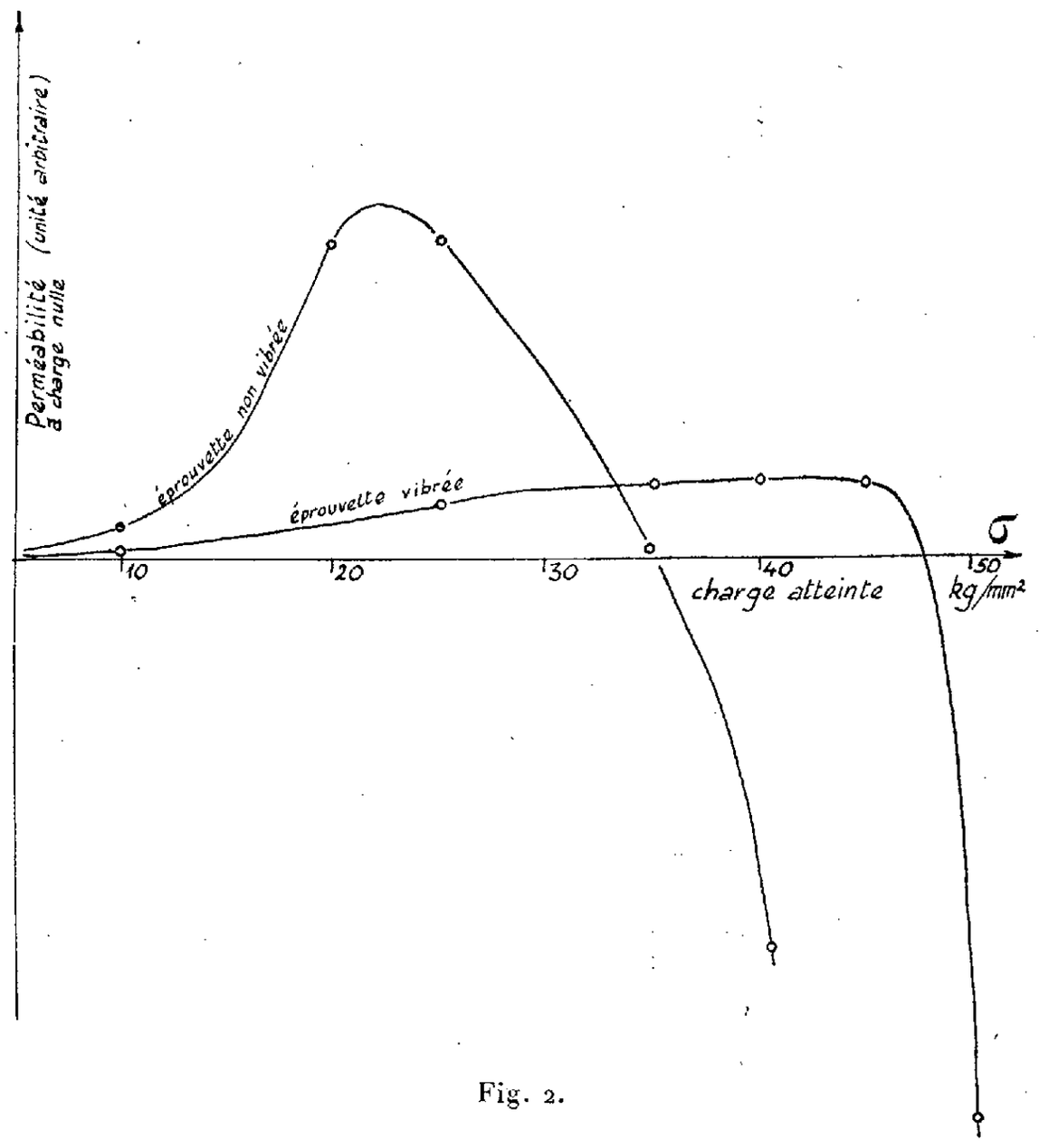


Fig. 2.

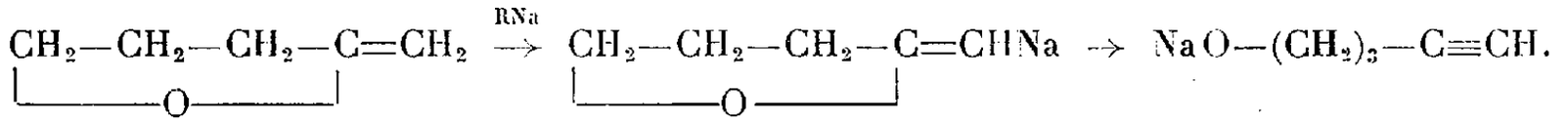
reçoivent une tension proportionnelle à la contrainte. La forme des cycles ainsi observés évolue notablement, au cours du temps, au-dessus de la limite de fatigue, alors qu'elle reste immuable au-dessous. Ces cycles fermés délimitent une aire algébrique qui, dans notre cas particulier, s'annule vers la limite de fatigue.

c. Nous avons étudié la perméabilité en fonction de la contrainte appliquée, au cours de cycles décrits lentement entre o et une charge maxima σ,

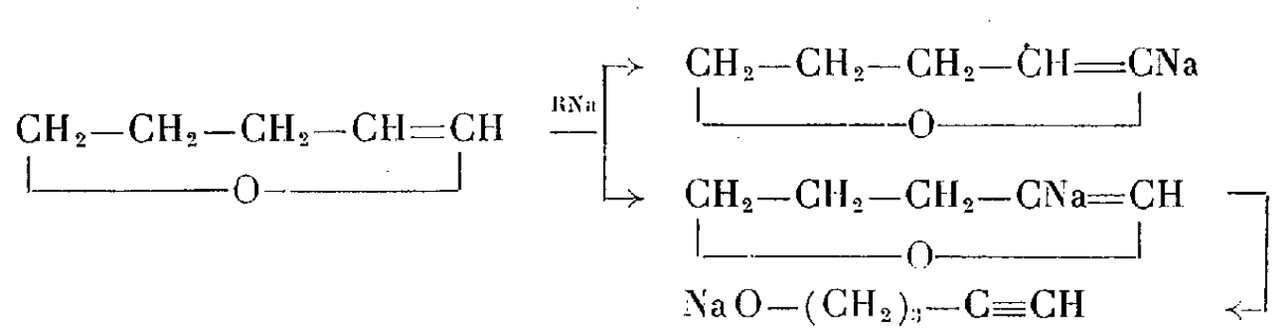
croissant à chaque cycle. Les courbes obtenues ont une forme compliquée présentant des maxima et des minima, sans qu'il y ait superposition d'un cycle à l'autre. Les courbes relatives à des éprouvettes ayant subi 15 millions d'alternances au voisinage de la limite de fatigue sont très proches les unes des autres, contrairement au cas des éprouvettes qui n'ont pas vibré. Par exemple, la perméabilité, pour une contrainte nulle, d'une éprouvette qui n'a pas vibré, passe par un maximum quand la contrainte σ augmente, tandis que celle d'une éprouvette qui a vibré varie peu (*fig.* 2).

CHIMIE ORGANIQUE. — *Action des dérivés organo-sodiques sur les éthers vinyliques*. Note (*) de MM. **Raymond Paul** et **Serge Tchelitcheff**, présentée par M. Marcel Delépine.

L'amylsodium réagissant sur le méthylène-2 tétrahydrofuranne conduit au pentyne-4 ol-1, la sodation ne pouvant se faire qu'en β par rapport à l'oxygène pontal (1) :



Dans les mêmes conditions, le dihydropyranne donne *deux* dérivés sodés, l'un en α, qui est stable, et l'autre en β, qui se réarrange aussitôt en pentyne-4 ol-1 (1) :



D'autres éthers vinyliques cycliques comme le méthoxyméthyl-6 dihydro-5.6 pyranne réagissent de la même façon que le dihydropyranne, en donnant deux dérivés sodés (2).

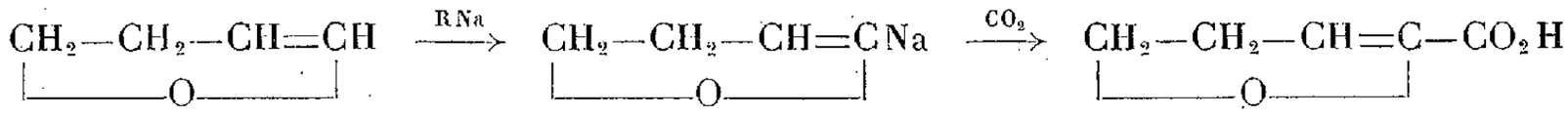
D'autres, comme le dihydro-2.3 furanne, se sodent exclusivement en α. En traitant en effet ce composé par l'amylsodium, puis par l'anhydride carbonique solide (glace carbonique) dans les conditions indiquées pour le dihydropyranne (2), nous n'avons pas obtenu de butyne-3-ol-1, mais seulement l'acide dihydro-4-5 furoïque (F 117°; $C_5H_6O_3$, trouvé %, C 52,6; H 5,85; calculé %,

(*) Séance du 10 novembre 1952.

(1) R. Paul et S. Tchelitcheff, *Comptes rendus*, **232**, 1951, p. 2230.

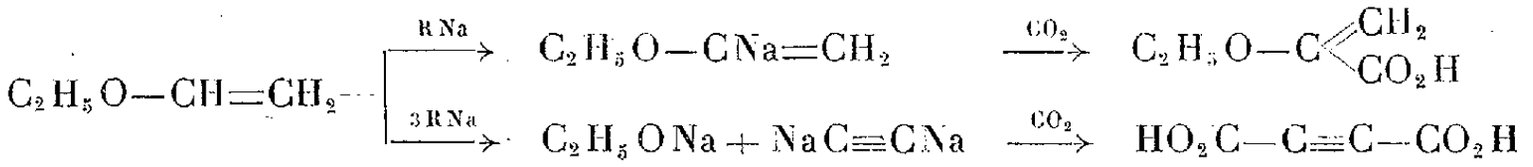
(2) R. Paul et S. Tchelitcheff, *Bull. Soc. Chim.*, 1952, p. 808.

C 52,65; H 5,27) avec un rendement de 58 %



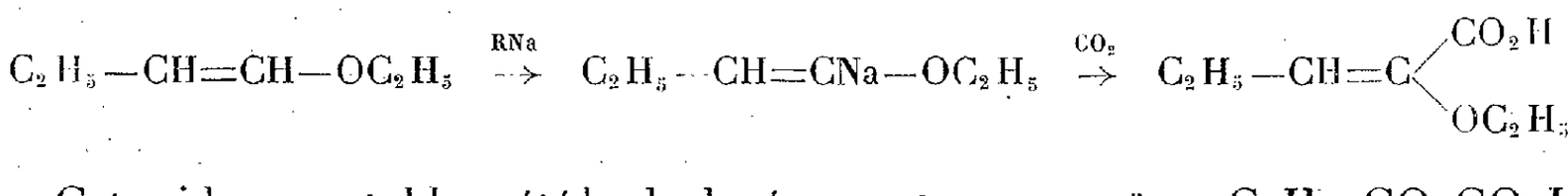
La structure de cet acide est confirmée par son hydrolyse en oxo-2 valérolactone (dinitro-2-4 phénylhydrazone, F 232°; $C_{11}H_{10}O_6N_4$, trouvé %, C 44,95; H 3,58; N 19,2; calculé %, C 44,90; H 3,40, N 19,05), et par son hydrogénation catalytique en acide tétrahydrofuroïque (E_{20} 135°; ester *p*-bromophénacylique F 82°).

Les éthers vinyliques acycliques se comportent d'une façon analogue. En traitant l'oxyde de vinyle et d'éthyle comme le dihydrofuranne, nous avons obtenu finalement de l'acide éthoxy-2 acrylique (caractérisé par son hydrolyse en acide pyruvique) et de l'acide acétylènedicarboxylique (F 178°).



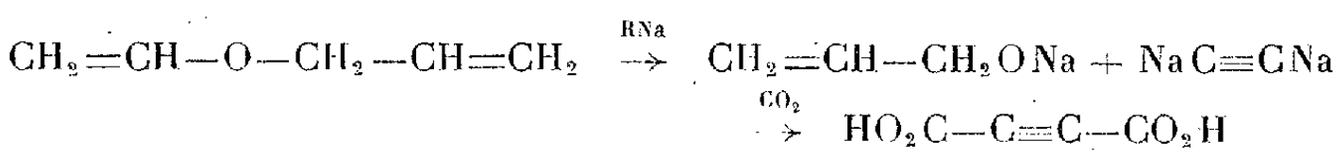
Il y a donc sodation à la fois en α et en β, le dérivé sodé en β se décomposant aussitôt avec formation d'acétylène. Les deux réactions sont sensiblement de même importance.

Avec l'éthoxy-1 butène-1, la sodation ne semble se faire qu'en α : nous n'avons pu déceler la formation de composé acétylénique, et nous avons seulement isolé (Rdt 50 %) l'éthoxy-2 pentène-2-oïque :



Cet acide, peu stable, a été hydrolysé en pentanone-2-oïque C_3H_7–CO–CO_2H (dinitro-2.4 phénylhydrazone, F 168°; $C_{11}H_{12}O_6N_4$, trouvé %, C 44,32; H 4,55; N 19,25; calculé %, C 44,6; H 4,06; N 18,95), et par hydrogénation catalytique, conduit à l'acide éthoxy-2 valérianique (E_{20} 121-122°; n_D^{24} 1,4214; d_4^{24} 1,009; $C_7H_{14}O_3$, trouvé %, C 57,65; H 9,55; calculé %, C 57,55; H 9,58), dont l'amide fond à 91°.

Dans le cas de l'oxyde de vinyle et d'allyle, au contraire, la sodation paraît s'effectuer exclusivement en β : la réaction donne avec un rendement de 88 % l'acide acétylène-dicarboxylique, ce qui est l'indice d'une scission presque complète en acétylène et alcool allylique :



De tout ceci on peut conclure qu'au voisinage de 0° les organo-sodiques

réagissent aisément sur les éthers vinyliques. Selon la nature de l'éther, la sodation peut se faire soit en α soit en β par rapport à la liaison oxydique, sans qu'on puisse prévoir pour l'instant l'importance relative des deux réactions :

$$R{-}CH{=}CH{-}OR' \xrightarrow{R'Na} \begin{cases} \xrightarrow{\beta} R{-}CNa{=}CH{-}OR' \\ \xrightarrow{\alpha} R{-}CH{=}CNa{-}OR' \end{cases}$$

Les dérivés α sodés sont relativement stables, et se prêtent bien, en particulier, à la carbonatation.

Quant aux dérivés β sodés, ils se réarrangent aussitôt (³) avec formation d'un dérivé acétylénique : c'est en somme la réaction inverse de la production des éthers vinyliques par fixation d'un alcool sur une triple liaison :

$$R{-}CH{=}CH{-}OR' \underset{R'ONa}{\overset{R'Na}{\rightleftharpoons}} R{-}C{\equiv}CH + R'OH$$

CHIMIE ORGANIQUE. — *Sur quelques propriétés du β-chloroéthyl-14 dinaphtopyranne.* Note de M. **Robert Damiens**, présentée par M. Marcel Delépine.

La condensation du β-chloropropionacétal avec le β-naphtol conduit au β-chloroéthyl 14-dinaphtopyranne (I) dont les propriétés vis-à-vis de l'ammoniac, des amines primaires ou secondaires, du cyanure de potassium ou du phtalimide potassé sont étudiées et comparées à celles observées avec les halogéno-méthyl-14 dinaphtopyranne [(II) R = X] dans les mêmes conditions.

Les halogénométhyl-14 dinaphtopyranne [(II) R = X] ont montré des propriétés particulières ayant fait l'objet d'un travail de Wizinger (⁴) et de deux Notes préliminaires (²) (³). Alors que ces composés, chauffés avec les amines primaires ou secondaires en solution benzénique, conduisent aux dérivés aminés attendus (²), les réactions avec l'ammoniac ou le cyanure de potassium en milieu alcoolique produisent une rupture de la liaison entre le CH du noyau pyrannique et le méthylène porteur de l'halogène avec formation de dinaphtopyranne (³). Il nous a paru intéressant d'étudier le comportement vis-à-vis des mêmes réactifs d'un composé dans lequel l'halogène serait éloigné du noyau pyrannique par une chaîne aliphatique plus longue.

A cet effet, nous avons réalisé la synthèse du β-chloroéthyl-14 dinaphtopyranne (I) par condensation du β-chloropropionacétal avec le β-naphtol en solution dans l'acide acétique cristallisable et en présence d'acide sulfurique comme agent déshydratant. Le produit, obtenu avec un rendement de 60 %

(³) R. Paul, *Bull. Soc. Chim.*, **18**, 1951, C 109.

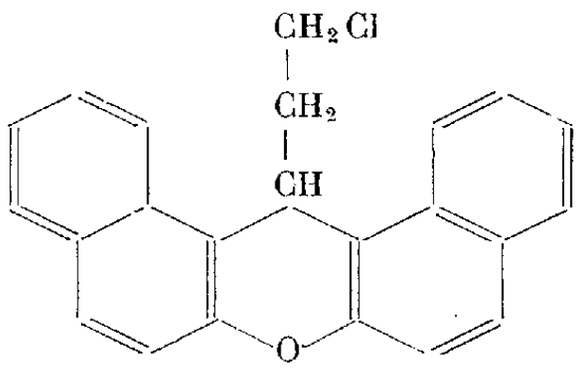
(⁴) *Helv. Chim. Acta*, **30**, 1947, p. 189.

(²) *Comptes rendus*, **232**, 1951, p. 984.

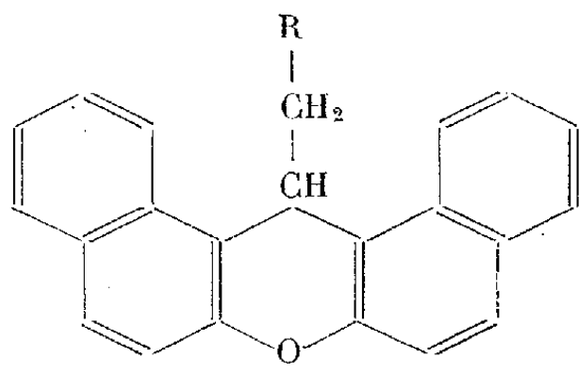
(³) *Comptes rendus*, **233**, 1951, p. 1459.

est recristallisé dans l'isopropanol en petits cristaux blancs, ne se colorant pas sous l'influence de la lumière, F 122°. Calculé pour $C_{23}H_{17}OCl$, C 80,11 : H 4,93; Cl 10,31. Trouvé C 80,45; H 5,11; Cl 10,09.

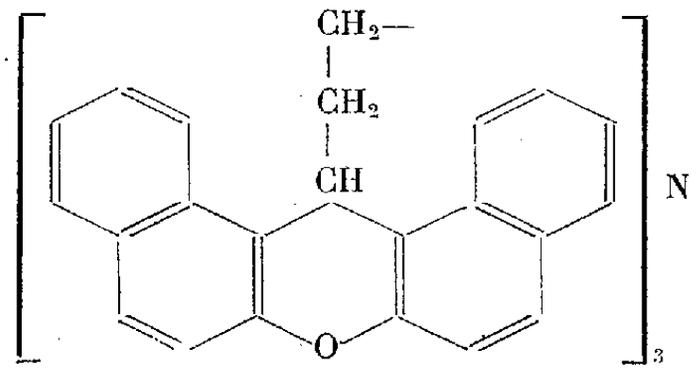
Les réactions de ce type sont aisément effectuées également par utilisation du fluorure de bore comme agent de condensation : les rendements, excellents, atteignent 80 %.



(I)



(II)



(III)

Action de l'ammoniac. — Le chauffage en tube scellé du composé (I) avec un grand excès d'une solution alcoolique d'ammoniac donne, quantitativement, un dérivé azoté, auquel les analyses, la mesure du poids moléculaire et l'absence de la bande NH du spectre infrarouge, permettent d'attribuer la formule (III). Cette amine tertiaire se présente sous forme de petits cristaux blancs, recristallisés dans un mélange éthanol-benzène F 229°. Poids moléculaire (selon Rast) calculé : 941, trouvé : 960. Calculé pour $C_{69}H_{51}O_3N$, C 87,99; H 5,42; N 1,48; trouvé C 87,25; H 5,85; N 1,46.

Action des amines primaires ou secondaires. — Les amines primaires ou secondaires, chauffées en tube scellé avec le composé (I) en solution alcoolique conduisent aux dérivés aminés de formule (II, $R=CH_2NR'R''$), en général cristallins, formant des sels incolores stables, solubles dans l'eau. Les amines suivantes ont été, entre autres, préparées et sont données à titre d'exemples.

					N	
R'.	R''.	Base ou sel.	F (°C).	Recristallisation.	calc.	tr.
CH_3	CH_3	$C_{25}H_{23}ON$	85	(chromatographie)	3,97	3,94
CH_3	CH_3	$C_{25}H_{23}ON.ClH$	232	éthanol	–	–
C_2H_5	C_2H_5	$C_{27}H_{27}ON.ClH$	181	benzène	3,35	3,39
H	$CH_2C_6H_5$	$C_{30}H_{25}ON.ClH$	224	éthanol + benzène	3,10	3,02
$CH_2C_6H_5$	$CH_2CH_2N(C_2H_5)_2$	$C_{36}H_{38}ON_2.2ClH$	200	isobutanol	4,77	4,63
H	C_6H_5	$C_{29}H_{23}ON$	153	éthanol + benzène	3,49	3,41

Action du cyanure de potassium. — Alors que le bromométhyl-14 dinaphtopyranne (II, R=Br) en solution alcoolique se transformait en dinaphtopyranne par chauffage avec CNK, le composé (I) donne, dans les mêmes conditions, le nitrile attendu (II, R=CH_2CN) avec un bon rendement. Recristallisé dans l'éthanol F 180°. Calculé pour $C_{24}H_{17}ON$, N 4,23; trouvé 4,18.

Action du phtalimide potassé. — Le chauffage en tube scellé d'un mélange de (II, R=X) et de phtalimide potassé conduit à un composé coloré en jaune (*) de formule $C_{22}H_{14}O$ (F 203°). Par contre, (I) donne, dans les mêmes conditions, le dérivé phtalimidé

$$\left(\text{II},\quad R=-CH_2N\!<\!\begin{matrix}CO\\CO\end{matrix}\!>C_6H_4\right)$$

blanc, qui est recristallisé dans la butanone F 217°. Calculé pour $C_{31}H_{21}O_3N$; N 3,07; O 10,54; trouvé N 3,03; O 10,48.

Conclusion. — Contrairement au chlorométhyl-14 dinaphtopyranne (II, R=Cl), le β-chloroéthyl-14 dinaphtopyranne (I) forme avec l'ammoniac, ou le cyanure de potassium en solution alcoolique, des dérivés de substitution à l'halogène et, avec le phtalimide potassé un composé phtalimido-(N-éthyl-14 dinaphtopyranne). Avec les amines primaires ou secondaires, les composés (I) et (II, R=X) conduisent aux dérivés aminés semblables. L'éloignement de l'halogène du noyau pyrannique lui redonne donc les propriétés habituelles des halogènes liés à une chaîne aliphatique.

CHIMIE ORGANIQUE. — *Sur l'isolement et quelques propriétés des isomères* cis-trans *de l'*α, β-*diphényl-*β-*méthoxyacrylonitrile*. Note de MM. **Pierre Reynaud** et **Jean Matti**, présentée par M. Jacques Tréfouël.

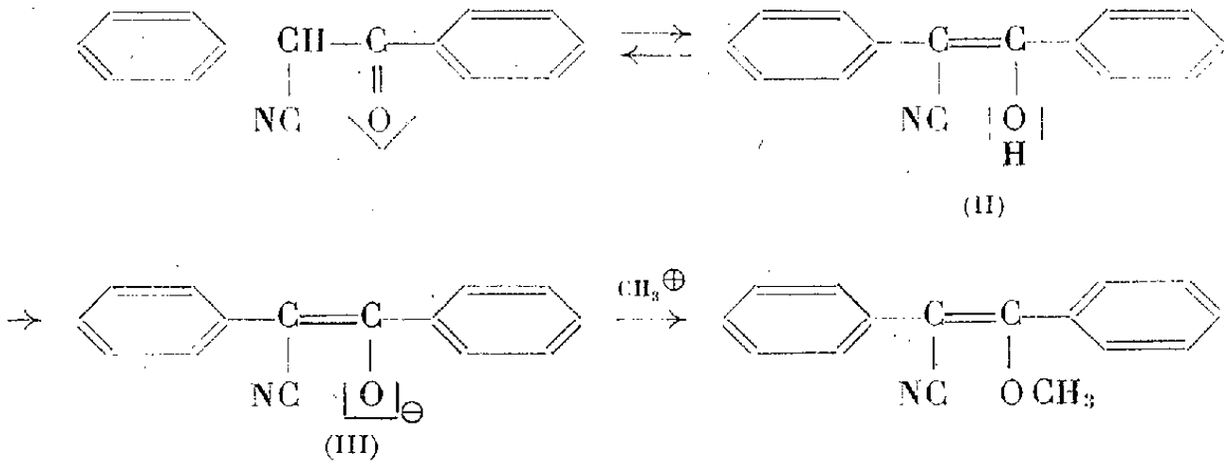
Les auteurs ont étudié la méthylation de l'α-cyanodésoxybenzoïne par le sulfate de méthyle et recherché les conditions de formation des deux α, β-diphényl-β-méthoxyacrylonitriles *cis-trans*. Propriétés et spectres.

La publication de P. R. Russel et N. Whittaker (1) sur les α-aryl-β-alcoxy-acrylonitriles nous engage à faire connaître quelques résultats acquis depuis un certain temps déjà. Ces auteurs décrivent la préparation de l'α, β-diphényl-β-méthoxyacrylonitrile F 106°. Ils ont obtenu cet isomère en faisant agir le diazométhane, ou mieux l'ortho-propionate de méthyle, sur l'α-cyano-désoxybenzoïne et ils notent, sans détails, que les halogénures ou les sulfates d'alcoyles leur ont donné des rendements peu satisfaisants. Ils font remarquer qu'en aucun cas ils n'ont isolé le deuxième isomère prévu par la théorie.

(*) *Bull. Soc. Chim. Fr.*, **19**, 1952 (sous presse).

(1) *J. Amer. Chem. Soc.*, **74**, 1952, p. 1310.

Notre étude, suite d'un travail antérieur (²), a porté précisément sur la méthylation par $SO_4(CH_3)_2$ en milieu alcalin de l'α-cyanodésoxybenzoïne. On pouvait présumer, dans ces conditions, l'obtention d'un éther. En effet, non seulement le groupement nitrile augmente la mobilité de l'atome d'hydrogène, mais il contribue, ainsi que le groupement phényle, également en α par rapport au carbonyle, à stabiliser la forme tautomère (II). Enfin, l'alcalinité du milieu devait favoriser le passage de la forme cétonique à la forme ionique fortement nucléophile (III) :



Nous avons, en effet, obtenu avec d'excellents rendements un produit méthoxylé, mélange de deux isomères, l'un de F 106°, gros prismes, l'autre de F 84°, longues aiguilles, dans la proportion de quatre parties du premier pour une du second. La séparation est réalisée dans l'alcool.

Il suffit d'ajouter au mélange, continuellement agité, de 50 g de β-cétonitrile (²), 57 g de sulfate diméthylique et 47 cm³ d'eau : 26 g de potasse dissoute dans 100 cm³ d'eau. La température s'élève progressivement et l'on règle l'addition de potasse pour qu'elle se maintienne à 53-55°; lorsqu'il n'y a plus d'échauffement spontané, on chauffe encore 40 mn à cette température (intérieur du ballon). Après une nuit de repos, il y a formation d'une masse cristalline, insoluble dans l'eau. On essore sur verre fritté et fait recristalliser dans le minimum d'alcool. On obtient par refroidissement 42 g de cristaux blancs, F 90° environ, qui sont un mélange des deux isomères. On les dissout dans 75 cm³ d'alcool à chaud. Après un repos de 8 h environ à la température du Laboratoire, de gros prismes se sont déposés; il faut essorer (30 g) avant que commencent à cristalliser de longues aiguilles qui remplissent, après une nuit, la solution mère (7,5 g). Ces deux fractions, recristallisées chacune dans l'alcool, fournissent respectivement les deux isomères F 106° et F 84°,5.

Nous avons fait de nombreux essais en faisant varier la quantité de potasse et la température. Dans une de ces opérations, conduite à 85-90°, le β-cétonitrile a été scindé en cyanure de benzyle et benzoate de sodium. Dans plusieurs autres, conduites entre 30 et 40°, nous n'avons jamais pu isoler l'isomère à bas point de fusion. Il semble donc qu'un certain seuil de température soit nécessaire à sa formation.

(²) P. Reynaud et Jean Matti, *Bull. Soc. Chim.*, (5), 18, 1951, p. 612.

Un mélange de ces deux isomères présente un point de fusion nettement abaissé. L'un et l'autre donnent à l'analyse des pourcentages corrects en groupement méthoxylé (Zeisel) et conduisent, par contact avec SO_4H_2 concentré à froid (6 h), au même amide, le benzoylphénylacétamide F 176° (déméthylation). Signalons encore une propriété singulière : l'isomère F 106°, réduit par $LiAlH_4$ (0,5 mol pour 1 mol de nitrile éther) conduit essentiellement au benzylcyanure de benzyle; il y a donc eu déméthylation et réduction de la double liaison. Nystrom, Brown, Hochstein, Karrer et Barnajea (3) ont déjà signalé des réductions de la double liaison cinnamique par ce réactif : nous pouvons y rattacher notre exemple.

Enfin, l'étude des spectres d'absorption ultraviolets confirme entièrement la structure de ces deux isomères : on y retrouve la large bande des composés stilbéniques et l'on peut constater un léger décalage de cette bande vers le visible pour l'isomère F 84°,5, par rapport à l'isomère F 106°. Voici le résultat de ces mesures (l'absorption est exprimée par $\log\varepsilon$: les autres chiffres représentent $\nu . 10^{-12}$)

Isomère F 106° 1060 ($\log\varepsilon = 4,25$) ↘ 1240 ($\log\varepsilon = 3,75$)
Isomère F 84°,5 1034 ($\log\varepsilon = 4,12$) ↘ 1185 ($\log\varepsilon = 3,62$)

RADIOCRISTALLOGRAPHIE. — *Sur la déformation et la polygonisation des monocristaux d'aluminium.* Note (*) de MM. **Honoré Lambot** et **Lawrence Vassamillet**, présentée par M. Charles Mauguin.

Dans un article précédent (1) nous avons proposé une nouvelle technique par transmission des rayons X permettant de mesurer avec précision les faibles désorientations angulaires existant dans une tranche étroite d'un cristal réel. Cette méthode convient particulièrement pour l'étude des modifications réticulaires intervenant dans les métaux subissant divers traitements mécaniques et thermiques.

Nous avons soumis des monocristaux d'aluminium de différentes puretés obtenus par le procédé d'Elam-Carpenter à des allongements allant jusqu'à 10 % suivis de revenus à des températures de plus en plus élevées. La distribution des normales aux plans cristallins dans le volume irradié (60 μ × 0,5 mm × 6 mm) est suivie dans le plan horizontal à partir de la largeur d'une réflexion de Bragg enregistrée avec l'échantillon fixe et dans le plan vertical à partir de la répartition de l'intensité diffractée.

Bien qu'obtenus dans des conditions identiques, les monocristaux de

(3) *Organic Reactions*, J. Wiley, New-York, VI, p. 481.

(*) Séance du 10 novembre 1952.

(1) *Comptes rendus*, **235**, 1952, p. 1136.

départ présentent une perfection variable. Si certains admettent une désorientation azimutale maximum inférieure à 1 mn sur toute la hauteur intéressée par le faisceau, dans d'autres, ce décalage varie progressivement de une à quelques dizaines de minutes suivant les régions; pour d'autres encore, deux zones contiguës d'excellente perfection subissent brusquement l'une par rapport à l'autre une rotation de plusieurs minutes. Enfin, il arrive fréquemment que des portions cristallines de perfection différente sont raccordées par des domaines constitués de petits paquets de plans rigoureusement parallèles séparés par des intervalles angulaires parfois inférieurs à 1 minute.

Un allongement d'environ 1 % a pour résultat de déformer essentiellement les régions les plus parfaites donnant ainsi naissance à une réflexion de largeur un peu plus grande, mais plus uniforme (nous passons, par exemple de 1 à 15 mn). La structure interne de la tache montre clairement que la déformation procède par rotation de groupes de plans gardant individuellement une perfection assez bonne et se décalant les unes par rapport aux autres de quelques minutes d'arc. La dimension moyenne de ces petits domaines peut être estimée à 50 μ au maximum.

Ce processus se poursuit jusqu'à environ 3 % d'allongement, mais la répartition intense de l'intensité dans les taches de Bragg conduit à la conclusion que les paquets de plans à peu près parfaits perdent peu à peu leur individualité et suggère une courbure de plus en plus continue des plans réticulaires.

Lorsque la déformation augmente encore (jusqu'à 10 %), c'est la distribution de l'intensité suivant la hauteur de la tache qui est la plus caractéristique. Celle-ci se décompose en bandes floues dont l'orientation varie avec les plans réflecteurs de notations différentes. Cet aspect peut être mis en relation avec les désorientations des normales dans le plan vertical, indiquant de nouveau une courbure prononcée du réseau dans des régions plus grandes (ordre du millimètre).

Nous nous sommes d'abord limités à une gamme de déformations faibles en vue d'étudier le point de départ de la polygonisation. Guinier et Tennevin ([2]) ont fixé ce dernier à 450° C sur des monocristaux étirés de 5 %. La plus grande sensibilité de notre technique nous a permis de montrer que ce phénomène commence à des températures nettement plus basses. C'est ainsi que des monocristaux d'aluminium raffiné (99,99 %) allongés de 4 % nous ont fourni des stries de polygonisation nette après 12 h à 200° C.

Sur des échantillons à 99,95 %, ce même résultat n'est atteint qu'après 12 h à 550° C, ce qui montre clairement le rôle des impuretés.

([2]) *Progress in Metal Physics*, **11**, Londres, 1950 (Butterworth), **p.** 177.

Actuellement, la méthode décrite nous permet de distinguer des domaines d'environ 20 μ. C'est ainsi que les premiers blocs de polygonisation vraiment bien définis semblent avoir une dimension moyenne de 40 à 50 μ.

Les essais sont en cours en vue d'abaisser encore la limite de sensibilité afin de fixer avec plus de précision encore le début du phénomène de polygonisation.

GÉOLOGIE. — *Probabilités de l'existence de minerais radioactifs dans certaines régions du Maroc français*. Extrait d'une Note (*) de M. **Léon Puzenat** (1), présentée par M. Charles Mauguin.

Le présent « Pli cacheté » a pour but de montrer les facteurs qui militent en faveur de la présence de minerais radioactifs dans certaines régions du Maroc français, qui offrent les mêmes caractéristiques géologiques, tectoniques et métallogéniques que les autres régions du globe où il existe des gisements d'uranium.

Ceux actuellement connus se répartissent dans les trois phases suivantes de Suess :

Phase I. — C'est celle de l'étain avec le béryl et la topaze comme minéraux indicateurs à gangue de quartz.

Phase II. — Caractérisée par les sulfures et les arséniures ou par les arséniosulfures métalliques à gangue de quartz et de calcite.

Phase III. — Représentée par les carbonates, calcite et dolomie. Cette phase est une *phase de profondeur*.

Les phases II et III existent dans les « boutonnières » précambriennes métamorphiques de Bou Azzer et de El Graara à 265 km au Sud de Marrakech.

Contrairement au groupe des métaux : fer, plomb, cuivre, zinc, qui comprennent essentiellement comme forme primitive des sulfures, l'uranium comme le thorium font partie des métaux ayant subi un commencement de départ à la façon du tungstène et de l'étain.

Les gisements de minerais radioactifs se sont formés en présence de vapeur d'eau sous pression, à des températures comprises entre 300 et 700°. Ils sont liés à des sources subgranitiques, par opposition aux fumerolles fluorées de l'étain. On est donc susceptible de rencontrer des minerais radioactifs, non seulement dans les régions offrant des minerais oxydés d'étain (cassitérite) et de tungstène (wolfram) à gangue de quartz, telle que la région d'El Karit-Oulmès dans le Maroc central, mais aussi et plus favorablement dans les zones de la phase III carbonatée.

(*) Séance du 20 octobre 1952.

(1) Document retiré du pli cacheté n° **12259**, déposé le 6 janvier 1947, ouvert à la demande de l'auteur le 16 juillet 1952.

Cette phase existe dans les deux « boutonnières » précambriennes de Bou Azzer et de El Graara, où tous les facteurs concourent, comme je vais le démontrer, à l'*existence en profondeur* de minerais radioactifs (pechblende, pechurane, uraninite, etc.).

Ces « boutonnières » sont comprises entre les deux socles de granite archéen formant le substratum du djebel Siroua à l'Ouest et du djebel Sahro à l'Est.

. . . . . .

Ces deux « boutonnières » cobaltifères et nickelifères sont aussi aberrantes que celle au milieu de laquelle se situe Joachimsthal (actuellement Yashimimos) s'apparentant au massif de Bohême en Tchécoslovaquie, où les mines se trouvent dans la grande zone métallifère de Freiberg, en relation avec des manifestations éruptives et des sources thermales. Les minerais radifères : pechblende, pechurane, uraninite se sont rencontrés dans une gangue de calcite et de dolomie de la phase III carbonatée à plus de 300 m de profondeur.

Les gisements du Katanga se placent également dans le précambrien plissé (mines de Kasolo, de Shincolobwe et de Kalongive) où se rencontrent, toujours en profondeur, les gisements du plomb uranique. Le cobalt y est aussi lié à des dolomies d'origine hydrothermales. Les venues de cuivre et de cobalt reposent en discordance sur le « bouclier » africain comme à Bou Azzer-El Graara. La tectonique du Katanga coïncide avec la chaîne algonkienne et ces associations métallifères s'alignent sur 250 km. Celles de Bou Azzer-El Graara ne représentent que 200 km en y englobant les venues cuprifères du djebel Sahro (mines de l'Issougri). Ce qui complète les analogies de cette région avec celle du Katanga.

J'insiste sur l'âge précambrien de ces formations cobalto-radifères en raison des analogies qu'elles présentent avec les divers autres gisements mondiaux actuellement connus et qui peuvent se mettre en parallèle avec les précédents : Killuney au Canada, Rapakavi en Finlande, Vinddhya dans l'Inde, où les intrusions cobaltifères et uranifères se placent dans le précambrien. Il existe une similitude non seulement constitutive, mais aussi intrusive entre ces divers gisements.

L'exploitation actuelle de Bou Azzer-El Graara se trouve dans la phase II. C'est celle des arséniosulfures métalliques représentés par : l'association smaltite-skutterudite-chloantite, de sulfure : nickeline et les arséniures isotropiques et anisotropiques : safflorite-rammelsbergite-löllingite et mispickel. Leurs gangues sont quartzo-calcitiques. La moyenne des teneurs en cobalt est de 20 %, celle du nickel varie de 4 à 15 %, avec 7 à 12 % de cobalt. L'or se présente dans la smaltite en grains ou en filaments de 1/10 à 1/100 de millimètre, accusant une teneur de 3 à 250 grammes à la tonne. L'argent ne dépasse pas 50 g. C'est un des rares gisements de cobalt

où l'or remplace l'argent. Ce qui complique l'explication de la genèse métallogénique de ces gîtes.

Le minerai se présente en filons, en amas ou en chapelets atteignant parfois une puissance de 1,50 m, au contact serpentine-gabbro.

Au fur et à mesure de l'approfondissement des puits d'exploitation (actuellement à 172 m, décembre 1946), profondeur qui ne cessera de s'accroître par suite des exigences de l'exploitation, la phase III paraît déjà se préciser. La silice disparaît pour faire place à une gangue de calcite et de dolomie.

Le même processus a été observé dans les autres gisements mondiaux précédemment énumérés, où l'apparition des minéraux et des minerais radioactifs débute vers 350-400 m de profondeur et plus, suivant l'intensité des actions dynamométamorphiques locales. Là, où ont joué à plein les facteurs de pression, de température et d'hydrothermalisme. Zone dans laquelle les éléments métalloïdes et métaux se sont combinés et associés suivant leurs affinités chimiques. Leur répartition s'est effectuée d'après leur poids atomique. Celui de l'uranium étant le plus élevé (238,20), ce métal s'est toujours rencontré à la plus grande profondeur.

En conclusion, les facteurs qui permettent d'envisager l'existence *en profondeur* de minerais radioactifs dans les venues cobaltifères des deux « boutonnières » précambriennes de Bou Azzer et El Graara, présentent les mêmes caractéristiques géologiques, tectoniques et métallogéniques que celles observées jusqu'ici dans les gisements cobalto-uranifères déjà connus dans le monde.

Il n'est pas téméraire de prévoir, dans un avenir plus ou moins éloigné, l'apparition des minerais de l'uranium dans les gisements de cobalt de Bou Azzer et El Graara.

MÉTALLOGÉNIE. — *Sur la présence de wolframite en bordure du massif granitique de Tafraout* (*Anti-Atlas occidental, Maroc*). Note de M. **Pierre Leblanc**, présentée par M. Paul Fallot.

La wolframite, jusqu'ici inconnue dans tout le domaine de l'Anti-Atlas, a été découverte dans la partie Nord-Est de l'auréole métamorphique du granite de Tafraout, dans les filons de quartz à muscovite et à rares feldspaths, en relation avec le pointement granitique d'Idikel.

Le massif granitique de Tafraout, situé dans la partie occidentale de l'Anti-Atlas, à une centaine de kilomètres au Sud-Est d'Agadir, constitue le fond d'une dépression d'axe Nord-Est-Sud-Ouest. Il est entré dans une puissante série de schistes et de quartzites qu'il a métamorphisés en schistes à mica et à andalousite; des migmatites sont très développées au Nord-Est et au Sud-Est.

Au Nord de ce massif, dans la zone des migmatites, au voisinage du village d'Idikel, apparaît un petit pointement de granite à biotite et à muscovite, légèrement orienté.

La scheelite a déjà été signalée (1) dans des fonds de batées recueillis, au cours d'une mission dirigée par M. L. Thiébaut, dans les alluvions de l'Asif n'Oulili, qui débute près d'Idikel, puis borde au Nord le massif granitique de Tafraout.

La wolframite a été découverte en place, au voisinage du pointement granitique d'Idikel, dans des filons de quartz recoupant des schistes métamorphiques mouchetés de cristaux de magnétite.

Ces filons, au nombre d'une quinzaine, sont irrégulièrement répartis dans une zone d'environ 1 km². Ils sont subverticaux et, le plus souvent, obliques à la stratification. Les affleurements sont courts, ne dépassant pas une quarantaine de mètres de longueur. Leur puissance varie de quelques centimètres à 40 cm.

La wolframite se présente le plus souvent en grosses lamelles, disposées de préférence près des épontes; parfois, elle se trouve en cristaux individualisés, pouvant atteindre plusieurs centimètres. De la scheelite secondaire se trouve en enduits sur les surfaces et dans les fissures des cristaux de wolframite, permettant de déceler cette dernière avec la lampe de Wood.

La paragénèse comporte : de la pyrite altérée peu abondante, de rares cubes de fluorine violette et de l'hématite; on observe, en outre, quelques enduits de malachite et d'azurite.

La gangue est constituée par du quartz, blanc à gris clair, peu géodique, contenant de la muscovite en quantité notable et de rares feldspaths roses.

La liaison de cette minéralisation avec le pointement granitique d'Idikel apparaît nettement sur le terrain. Par ailleurs, ce dernier n'est sans doute qu'une apophyse du massif de Tafraout. Ce massif est postérieur à la série de schistes et de quartzites, qui est attribuée par MM. G. Choubert et L. Neltner au Précambrien II (2). Par contre, on ne possède actuellement aucun argument décisif permettant de situer sa mise en place dans le temps par rapport au Précambrien III qui, constitué par un conglomérat de base, de tufs et de grès, vient recouvrir en discordance le Précambrien II.

Au Maroc, jusqu'à présent, la wolframite n'était connue en place que dans le domaine atlasique, en liaison avec des granites hercyniens. Sa découverte en bordure du massif de Tafraout constitue un fait nouveau qui

---

(1) J. Agard et F. Permingeat, *Notes et Mém. Serv. Géol. du Maroc*, n° **87**, 1952, chap. 1, p. 37.

(2) *Comptes rendus*, **206**, 1938, p. 1579.

apparaît d'autant plus intéressant que la présence de scheelite a été signalée dans des fonds de batées recueillis dans d'autres boutonnières précambriennes de l'Anti-Atlas, dont la prospection reste à faire.

SÉDIMENTOLOGIE. — *Observations sur le milieu anaérobie de la lagune Ébrié (Côte-d'Ivoire)*. Note de M. **Jacques Debyser**, transmise par M. Pierre Pruvost.

Les observations et les mesures ci-dessous ont été faites dans la lagune Ebrié (1) durant la saison sèche, du 6 février au 6 avril 1950, avant l'ouverture du canal de Vridi. Trois bouées, dans la baie de Cocody, marquaient l'emplacement de stations fixes. Quatre-vingt-quatre stations secondaires ont été faites à bord du « Muddy » dans les divers secteurs de la lagune.

Les mesures de chlorinité ont permis de distinguer quatre zones distinctes :

A. Un secteur localisé à l'embouchure du grau de Grand Bassam où dominent les influences marines.

B. Un secteur s'étendant de l'île Bouet à Abra au Nord-Est, et jusqu'à Eloka au Nord, où il existe encore une marée saline dont l'amplitude est à Mossou de 3 ‰ en chlore.

C. Un secteur compris entre l'île Vitré et l'extrémité Ouest de l'île Boulay où la chlorinité s'abaisse en surface jusqu'à des valeurs de l'ordre de 2 ‰.

D. Une zone à l'Est de l'île Boulay où les conditions sont pratiquement lacustres.

Le secteur C présente, du point de vue sédimentologique, les conditions intéressantes suivantes.

Hydrologie. — La chlorinité, faible en surface, augmente avec la profondeur. Cette stratification des eaux dépend de la topographie sous-marine de la lagune; les eaux salées s'accumulent dans des cuvettes d'où elles ne peuvent s'échapper. La différence de densité des eaux de surface et des eaux du fond, en empêchant les courants de convection, favorise la création de conditions anaérobies.

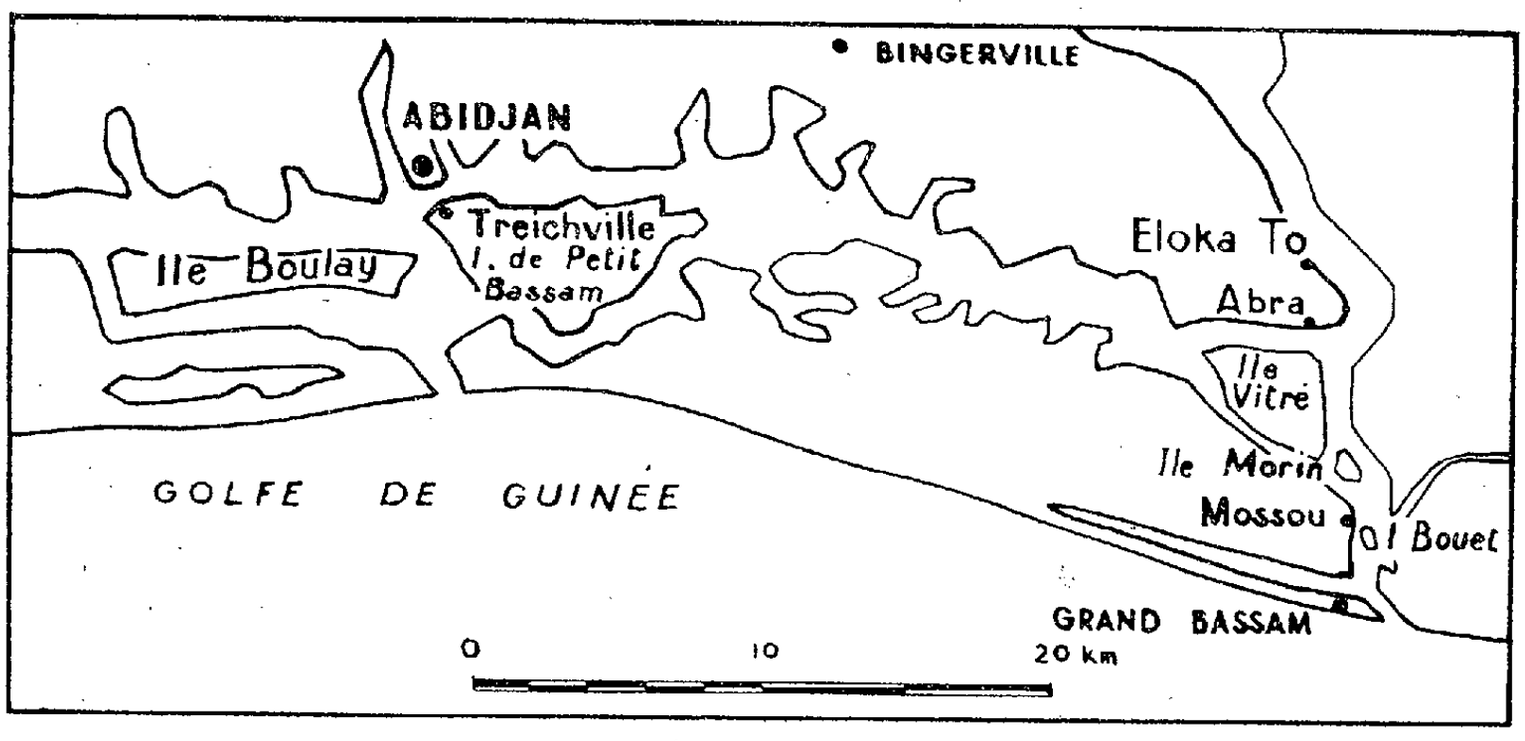
La teneur en oxygène dissous diminue rapidement avec la profondeur : élevée en surface, bien que les eaux soient légèrement sous-saturées, elle s'annule entre 3 ou 4 m. L'activité photosynthétique, mesurée par la méthode de Marshall et Orr 1928 (2), est importante dans les eaux superficielles. La production d'oxygène est sensible jusqu'à 3 m, la profondeur de compensation se trouvant entre 3 et 4 m. Ceci dénote une importante production phytoplanctonique en surface, confirmée d'ailleurs par l'examen direct du plancton.

(1) Mission du Centre de Recherches et d'Études océanographiques et de l'Institut français du Pétrole, exécutée avec la collaboration de l'Institut français d'Afrique Noire et du Service des Câbles Sous-Marins.

(2) *J. Mar. Biol. Ass.*, 15, 1928, p. 321-360.

La teneur en hydrogène sulfuré dissous est liée indirectement à la stratification des eaux; cette dernière permet le développement des conditions anaérobies favorables à la prolifération des germes réduisant les sulfates. Plus la différence de densité entre les eaux de surface et les eaux du fond est grande, plus la teneur en hydrogène sulfuré est élevée. Cette teneur en hydrogène sulfuré, nulle à la profondeur de compensation, croît rapidement vers le fond.

Un tel milieu où des eaux superficielles riches en plancton surmontent directement des eaux réductrices où la matière organique ne peut subir que des transformations anaérobies, est éminemment favorable à l'accumulation d'un sédiment riche en matière organique.



Lagune Ébrié (secteur Est).

Sédimentation. — Dans ce secteur, les sédiments, sables aussi bien que vases, sont réducteurs. La vase est extrêmement riche en sulfures qui se présentent au microscope, soit sous forme de globules de 5 à 20 μ, qui tapissent parfois les débris organiques, soit sous forme de petits cristaux de pyrite. En certains endroits (Baie d'Abou Abou), le sédiment est exclusivement constitué de frustules de Diatomées planctoniques et benthiques qui proviennent de la zone oxygénée.

La vase du fond de la lagune peut avoir une épaisseur supérieure à 10 m (sondage des Ponts et Chaussées). Au-dessous se trouvent des horizons sableux, un niveau latéritique et des vases anciennes indurées, vraisemblablement, elles aussi, lagunaires.

Bactériologie. — L'examen de la flore bactérienne de la vase, entrepris simultanément sur le terrain et à l'Institut Pasteur par B. Callame (3)

(3) *Ann. Inst. Pasteur*, **80**, 1951, n° **1317**, p. 438.

d'une part, Winogradsky et Appert (4) d'autre part, a permis de mettre en évidence les divers groupes physiologiques du cycle du soufre.

Bactéries sulfato et sulfito réductrices : *Vibrio desulfuricans;*
Bactéries sulfito réductrices : dominance de *Clostridium caproicum;*
Thiorhodacées : *Amœbobacter granula, Amœbobacter bacillosus, Rhabdochromatium, Chromatium* sp.
Bactéries productrices d'hydrogène sulfuré par désulfhydrilisation de la matière organique.

En outre, les vases contenaient de nombreux germes glucidolytiques, lipidolytiques, protéolytiques et dénitrifiants.

Ces quelques observations doivent être rapprochées de celles qui ont été faites en d'autres milieux réducteurs, tels que les lagunes du Gulf Coast, la Mer Noire, les limans russes, les fjords norvégiens.

Les caractéristiques hydrologiques, bactériologiques et sédimentologiques de la lagune Ébrié sont comparables à celles qui ont dû régner sur la bordure interne de certains « shœstring » pétrolifères, comme ceux de Bartlesville et de Burbank dans l'Oklahoma et le Kansas (5).

Depuis le canal de Vridi met largement en communication la lagune avec la mer. Il serait souhaitable d'effectuer à nouveau des mesures pour savoir quelle a été l'évolution de ce milieu spécial.

RADIOMÉTÉOROLOGIE. — *Interprétation d'un type particulier d'écho de radar.* Note de Mme **Arlette Vassy** et M. **Étienne Vassy**, présentée par M. Pierre Lejay.

J. Broc (1) a observé au-dessus de la mer à l'aide d'un radar émettant sur une longueur d'onde de 3,2 cm, dans un cône de 3° axé sur l'horizontale, un type d'écho en l'absence de nuages dont aucune explication n'avait été proposée jusqu'à maintenant. Ayant eu la possibilité d'observer ce phénomène au cours de l'été 1952 et d'examiner tous les documents relatifs aux observations de J. Broc s'échelonnant sur les années 1950, 1951, 1952, nous sommes en mesure d'avancer une interprétation possible de ce curieux phénomène.

Le fait que les échos dits sans nuages aient été observés plusieurs fois au moins par vent fort (de l'ordre de 10 m/s) suppose un brassage de

(4) *Ann. Inst. Pasteur*, **81**, 1951, n° **1317**, p. 347.
(5) Bass, Leatherock, Dillard et Kennedy, *Bull. Amer. Ass. Petr. Geol.*, **21**, 1937; **1**; p. 30-66.
(1) *Comptes rendus*, **232**, 1951, p. 2034.

l'atmosphère tel qu'aucune hétérogénéité locale dans l'indice de réfraction de l'air ne puisse exister et donner lieu à une réflexion de l'onde incidente.

De plus, c'est un caractère général que l'observation d'échos dits sans nuages correspond à une mer agitée, donnant au radar des échos de vagues jusqu'à des distances de plusieurs milles marins. On est donc amené à supposer que les échos sans nuages seraient des échos de vagues produits à des distances le plus souvent supérieures à celle de l'horizon géométrique ou radioélectrique par suite de phénomènes de super-réfraction. Cette hypothèse paraît confirmée par l'observation dans des directions voisines de celles des échos sans nuages d'obstacles naturels (montagnes, caps) ou de bateaux n'apparaissant pas normalement à ces distances. Les échos sont donc accompagnés d'une propagation super-normale et en outre on n'observe plus rien au delà des échos.

Il ne peut s'agir de réflexions du signal par les masses montagneuses situées en arrière de l'émetteur, car l'observation en « scope A » montre toujours l'écho de vague à courte distance suivi de l'écho dit sans nuage à distance plus grande.

Nous avons examiné à l'aide du calcul les possibilités de super-réfraction de toute la partie du faisceau située au-dessus de l'horizontale (demi-angle de 1°3o'). En admettant une diminution de l'indice en fonction de l'altitude suivant une loi déterminée, on montre que la moitié supérieure du faisceau peut facilement être courbée jusqu'à venir au contact de la mer au delà de l'horizon géométrique et donner des échos de vagues par mer agitée.

Une difficulté se présente néanmoins, celle de la concentration de l'énergie en certaines régions de façon à compenser la diminution du champ due à la distance pour donner des échos lointains suffisamment intenses. Il nous a été possible de déterminer par le calcul une loi de variation de l'indice avec l'altitude telle que les trajectoires quittant le radar sous des angles avec l'horizontale variant entre o et + 1°3o' viennent converger en un seul point d'impact sur la mer (²). Dans la nature, pareille loi n'est point rigoureusement suivie, mais on peut concevoir des distributions verticales de l'indice suffisamment voisines de cette loi pour donner lieu à une concentration de l'énergie produisant des échos analogues à ceux observés. Comme on doit s'y attendre dans un phénomène naturel, ces échos évoluent dans le temps tandis que se modifient les conditions de pression, de température et surtout d'humidité qui déterminent la valeur de l'indice. La convergence peut également se produire en deçà de l'horizon géométrique.

(²) Le détail des calculs sera publié dans un autre recueil.

La possibilité de convergence explique aussi le fait qu'en faisant varier l'angle de site on n'observe pas de déplacement de l'écho lointain, mais seulement une variation de l'intensité par rapport à celle de l'écho proche.

Ajoutons, en outre, que parmi les deux explications invoquées pour la production d'échos de vagues : réflexion spéculaire ou réflexion par les gouttelettes, nous penchons en faveur de la première, car les sillages de bateaux donnent des échos très intenses et par contre les dimensions des gouttelettes constituant les embruns sont généralement inférieures à celles susceptibles de provoquer des échos avec la longueur d'onde utilisée.

BOTANIQUE. — *La phyllotaxie du* Linum usitatissimum *L.* Note de M. **Lucien Plantefol**, présentée par M. Roger Heim.

Confirmant la phyllotaxie de deux autres espèces de *Linum*, deux types différents d'anomalies établissent l'existence de 3 hélices foliaires chez le *Linum usitatissimum*.

Les réalités phyllotaxiques ne peuvent le plus souvent être reconnues que grâce à l'étude des *anomalies*. On doit se demander quels renseignements apporte l'action du 2.4-D sur la phyllotaxie du *Linum usitatissimum* qui, du fait de ses insertions foliaires étroites, peut fournir un type de plante microphylle.

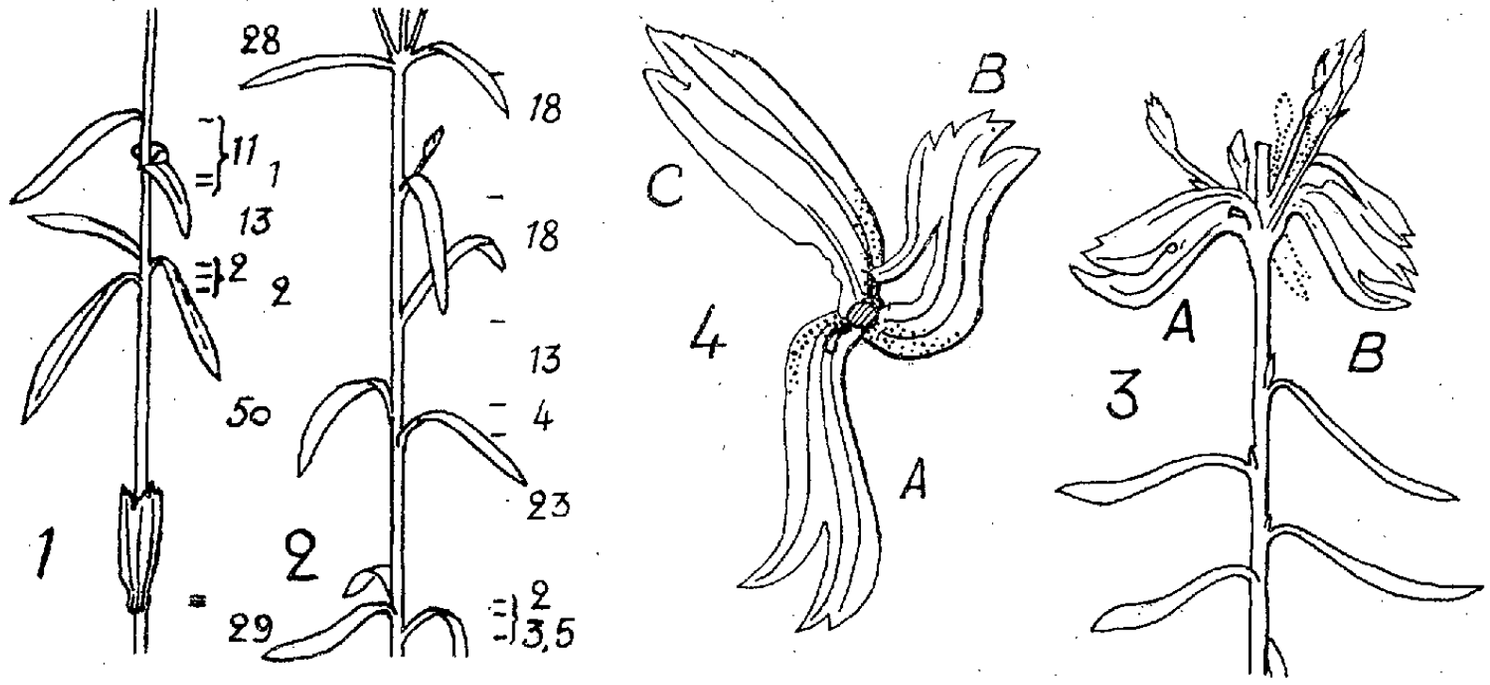
D'après la théorie classique, le *Linum usitatissimum* a une divergence de type 2/5, mais une même plante présente des variations de la disposition foliaire [D. M. Crooks (1), H. E. Hayward (2)]. Une étude phyllotaxique très précise a été faite par Katherine Esau (3) sur l'espèce voisine, *Linum perenne* : suivant les méthodes classiques, elle distingue deux réalisations : divergences 3/8 et 5/13. Mais comme les « orthostiques » choisies sont, en réalité, inclinées sur l'axe de la tige, et de sens quelconque, une telle spécification est en fait arbitraire.

Dans ses études phyllotaxiques sur quelques espèces de *Linum*, A. Carton (4) a montré que, au delà des 2 *hélices foliaires cotylédonaires*, les *Linum perenne* et *grandiflorum* présentaient bientôt 3 *hélices* jusqu'au sommet de leur tige principale. Chez les *Linum usitatissimum* à tige grêle qu'elle a étudiés, le *tracé géométrique* pouvait comporter indifféremment 2 hélices avec contiguïté ou 3 hélices avec chevauchement. Faute d'anomalies à étudier, la question restait pendante.

Les Lins atteints par le 2.4-D montrent deux séries de phénomènes susceptibles de renseigner sur les *réalités phyllotaxiques*.

(1) *Bot. Gaz.*, 95, 1933, p. 209-239.
(2) *The structure of economic plants*, Mac Millan, New-York, 1938.
(3) *Amer. J. Bot.*, 30, 1943, p. 248-255.
(4) *Rev. gén. Bot.*, 55, 1948, p. 137-168.

1° Dans le cas où l'anneau initial tout entier vient d'être activé en donnant un cornet, il se restaure, puis forme *simultanément* 3 feuilles nouvelles qui demeurent libres, presque au même niveau, en un *pseudo-verticille.* Les feuilles suivantes constituent un second groupe de 3, plus disloqué déjà, puis il est fait progressivement retour à la disposition « spiralée » normale. Ce comportement ne peut s'expliquer que par la présence de 3 *centres générateurs de feuilles*, obligés par le 2.4-D à la production foliaire en cornet et revenant peu à peu à leur régime décalé normal.



Linum usitatissimum. — 1 et 2, le haut d'une tige au-dessus d'un cornet foliaire et jusqu'à l'inflorescence (en haut de 2). Sur cet échantillon, trois pseudo-verticilles de trois feuilles sont reconnaissables, marqués à droite par des accolades. Les nombres portés à droite de chaque tige indiquent les longueurs des entre-nœuds. 3 et 4, tige tératologique matérialisant, après action du 2.4-D, trois fragments d'hélices foliaires. En 3, la disposition « spiralée » normale chez le Lin est visible pour les cinq feuilles inférieures. Le sommet de la tige, développé normalement jusqu'à réalisation de l'inflorescence pendait fané contre la tige. Deux ou trois bourgeons à l'aisselle de chaque lame hélicoïdale ont commencé à se développer en rameaux latéraux. En 4, les trois lames hélicoïdales vues par dessus; la partie ombrée est le bas de chaque lame.

2° Un cas de réaction particulièrement aberrante fournit une autre démonstration de la présence de 3 *hélices foliaires*. La tige porte à un niveau donné, insérées en hélice à sa surface, 3 lames présentant 2 bords latéraux réguliers, parallèles aux nervures qui les parcourent, une extrémité libre comportant plusieurs pointes où parviennent les nervures principales. La base de chaque limbe montre en son milieu une déchirure qui y ouvre une fenêtre triangulaire. L'insertion est beaucoup plus longue que dans le cas de feuille isolée activée par le 2.4-D et chaque lame comporte au moins une indentation profonde, suggérant qu'il y a soudure de 2 feuilles au moins. A l'aisselle de chaque lame, 2 ou 3 bourgeons suivant le cas ont donné des rameaux latéraux après chute du bourgeon terminal de la tige.

Les 3 pièces libres à insertion hélicoïdale apparaissent comme 3 *fragments d'hélices foliaires* provenant d'un développement simultané, mais indé-

pendant, de 3 secteurs de l'anneau initial. Elles rappellent, par leur organisation, les feuilles soudées par leurs pétioles suivant les hélices foliaires dans le cas d'une *Beta maritima* décrite par Richards (5).

On peut donc conclure à l'*existence normale de* 3 *hélices foliaires* sur la tige adulte du *Linum usitatissimum*, confirmant les résultats établis par A. Carton sur les plantes normales des 2 espèces voisines : *Linum perenne* et *Linum grandiflorum*.

GÉNÉTIQUE. — *Nouveaux dénombrements chromosomiques chez les Iris.* Note de M. **Marc Simonet**, présentée par M. Louis Blaringhem

Une quarantaine d'espèces d'*Iris* sont étudiées cytologiquement, et les résultats obtenus font ressortir certaines relations d'ordre cytogénétique, notamment la grande homogénéité des *Oncocyclus*. Le nombre chromosomique de base est retrouvé chez une espèce méditerranéenne, et parmi les *Iris bulbeux* un nombre nouveau pour le genre *Iris* est découvert, ce qui porte à 23 les différents nombres connus, soit une série aneuploïde des plus typiques.

Durant ces vingt dernières années nous avons réussi à introduire dans nos collections une quarantaine d'espèces d'*Iris*, devenus très rares dans les jardins; certains, après nos études, ont même complètement disparu, leur culture étant trop délicate, sous le climat de Paris. Des numérations chromosomiques ont été effectuées au fur et à mesure des introductions et sont consignées dans la présente Note; ils font suite aux dénombrements déjà donnés dans l'Appendice de notre Thèse d'Ingénieur-Docteur (1).

Dans notre exposé, l'origine du matériel et l'année de l'étude sont indiquées entre parenthèses à la suite du nom de l'espèce. Les espèces étudiées appartiennent à la plupart des Sections des Iris bulbeux et rhizomateux.

Iris rhizomateux. Apogon : *Syrian Group* Dykes. — $2n = 24$: *I. Aschersoni* Fost. (Lemperg, 1934) et *melanostica* Bornm. (Dinsmore, 1934).

Unguiculares Group Dykes. — $2n = 38$: *I. unguicularis* Poir. var. *speciosa* Hort. (Miss Ellis, 1937); $2n = 32$: *I. lazica* Albow (Sir W. Lawrence, 1933 et V. Tubergen, 1937).

Oncocyclus. — $2n = 20$: *I. antilibanotica* Dinsm., *atrofusca* Bak., *auranitica* Dinsm., *basaltica* Dinsm., *Biggeri* Dinsm., *hauranensis* Dinsm., *Helenæ* Barb., *hermona* Dinsm., *kasruwana* Dinsm., *nazarena* Dinsm., *nigricans* Dinsm., *samariæ* Dinsm. et *Westii* Dinsm. Toutes ces espèces nous ont été envoyées en 1934 par M. Dinsmore de Jérusalem.

Pseudoregelia. — $2n = 22$: *I. kumaonensis* Wall. (J. B. Kew, 1934).

---

(5) Growth (Symposia II), 1948, p. 217-245.

(1) *Ann. Sci. Nat.* (*Botanique*), **16**, 1934, p. 229.

PSAMMIRIS. — $2n = 26$: *I. Bloudowii* Bunge (Vilmorin, 1935).

POGONIRIS NAINS. — $2n = 16$: *I. pseudopumila* Tineo var. *discolor* Fiori et *parnormitana* Todaro (Sentini, 1934); $n = 12$ et $2n = 24$: *I. Reichenbachii* Heuff. (Lemperg, 1933 et J. B. Sofia, 1932) et *balkana* Janka (Lemperg, 1932); $n = 24$ et $2n = 48$: *I. balkana* Janka (J. B. Dahlem, 1938).

POGONIRIS GRANDS. — $2n = 24$: *I. varbosiana* (J. B. Kew, 1933) et *Perrieri* Nobis (Perrier de la Bathie, 1931); $2n = 44$: *I. germanica* L. var. *Fontarabie* Dykes (V. Tubergen, 1930); *Biliotti* Foster (Denis, 1930) et *Bartoni* Foster (Denis, 1930); $2n = 48$: *I. germanica* L. var. *Askabadensis* Dykes (V. Tubergen, 1930), *Belouini* Bois et Cornuault (Meunissier, 1934) et *Junonia* Schott et Kotschy (Denis, 1934).

IRIS BULBEUX. JUNO. — $2n = 21$: *I. Willmottiana* Fost. var. *alba* Hort. (V. Tubergen, 1948); $2n = 26$: *I. vicaria* Uveden (V. Tubergen, 1948); $n = 25$ et $2n = 50$: *I. Græberiana* (V. Tubergen, 1948).

XIPHION. — $2n = 32$: *I. filifolia* Boiss. (Brooks, 1934); $2n = 36$: *I. Boissieri* Henr. (Fernandez, 1950); $2n = 30$: *I. Species* 119 (Brooks, 1934); $2n = 50$: *I. Species* 117 (Brooks, 1934).

BAKERIANA. — $2n = 20$: *I. Bakeriana* Fost. (V. Tubergen, 1934).

Les résultats qui viennent d'être exposés portent à environ 170 le nombre des espèces d'*Iris* qui ont déjà fait l'objet de nos dénombrements chromosomiques. De plus, la presque totalité des possibilités offertes par les collections actuelles pour de nouvelles études cytologiques se trouvent épuisées. La recherche de types disparus et l'introduction en culture d'espèces nouvelles permettra notamment l'obtention de variétés inédites parmi les Iris de jardins.

De ces recherches nouvelles, on peut constater un certain nombre de relations cytogénétiques.

IRIS RHIZOMATEUX. — Ainsi, chez les *Apogon* du groupe *Unguiculares*, l'observation de $2n = 32$ chez l'*I. lazica*, considéré par W. Dykes ([2]) comme une variété de l'*I. unguicularis*, indique que ce dernier *Iris* est une espèce polymorphe possédant plusieurs races caryologiques, puisque $2n = 36$ et 38 y ont déjà été signalés dans quelques-unes de ses formes.

Par contre, la grande homogénéité déjà observée pour les ONCOCYCLUS est confirmée; les 13 espèces examinées ayant toutes le même nombre $2n = 20$ de chromosomes et le même idiogramme; toutefois, chez l'*I. nazarena*, un élément montre un point de constriction (centromère) submédian au lieu d'être terminal ou subterminal.

Une nouvelle Section des *Iris* PSEUDOREGELIA a été étudiée; le nombre chromosomique noté est identique au nombre diploïde trouvé chez les

([2]) *The Genus* Iris, Cambridge University Press, 1913.

Regelia et les Psammiris auxquels l'*I. kumaonensis* est apparenté; l'idiogramme de cette espèce est sensiblement différent.

En ce qui concerne les Pogoniris nains, l'*I. pseudopumila* de Sicile, à $2n = 16$, possède le nombre chromosomique de base des *Iris* tout comme l'*I. attica* de Grèce, ce qui confirme que l'origine des *Iris* paraît bien appartenir au bassin méditerranéen. Signalons encore que les *I. Reichenbachi* à fleurs jaunes et *balkana* à fleurs pourpres que Dykes réunit en une seule et même espèce sont tous deux à $n = 12$ et $2n = 24$; mais, en outre, il existe chez ce dernier une forme autotétraploïde à $n = 24$ et $2n = 48$ caractérisée par du gigantisme floral.

Chez les Pogoniris grands, les *I. Askabadensis*, *Junonia* du proche-Orient et *Belouini* du Maroc qui sont tétraploïdes montrent un même gigantisme par rapport aux types diploïdes auxquels ils sont alliés. Ils mériteraient d'être utilisés comme géniteurs dans l'amélioration des *Pogoniris* horticoles.

Iris bulbeux. — Juno $n = 25$ et $2n = 50$ pour les Xiphion sont de nouveaux nombres chromosomiques, les plus élevés de ces deux Sections et inédits dans le genre *Iris* (3). Les deux *Species* de Xiphion (nos 117 et 119) à $2n = 30$ et 50, des environs de Tanger, et les races caryologiques déjà connues de l'*I. tingitana* semblent indiquer que ce groupe Nord-Africain est en pleine voie d'évolution dans le Nord du Maroc où l'*I. tingitana*, en particulier, est parfois extrêmement abondant dans les plaines humides du littoral atlantique.

CHIMIE DU SOL. — *Agitation permanente des ions phosphoriques retenus par une argile de sol.* Note (*) de M. **Georges Barbier** et Mlle **Edwige Tyskiewzic**, présentée par M. Albert Demolon.

Dans une Note antérieure (1) l'un de nous a étudié la réversibilité de la fixation des phosphates dans le sol : la majeure partie, sinon la totalité, des ions phosphoriques retenus par des argiles, du moins par certains types courants, demeure extractible par des réactifs à action faible (acides et alcalis dilués) et susceptible de participer, dans les conditions naturelles, aux équilibres entre adsorbant et solvant. Nous préciserons ici ces observations, en établissant que les ions phosphoriques retenus par une argile de sol se permutent continuellement entre eux et avec ceux demeurés en solution.

(3) $n = 8, 9, 10, 11, 12, 13, 14, 15, 16, 17, 18, 19, 20, 21, 22, 23, 24, 25, 36, 41$-$42, 42, 43$-$44$ et 54-56.

(*) Séance du 10 novembre 1952.

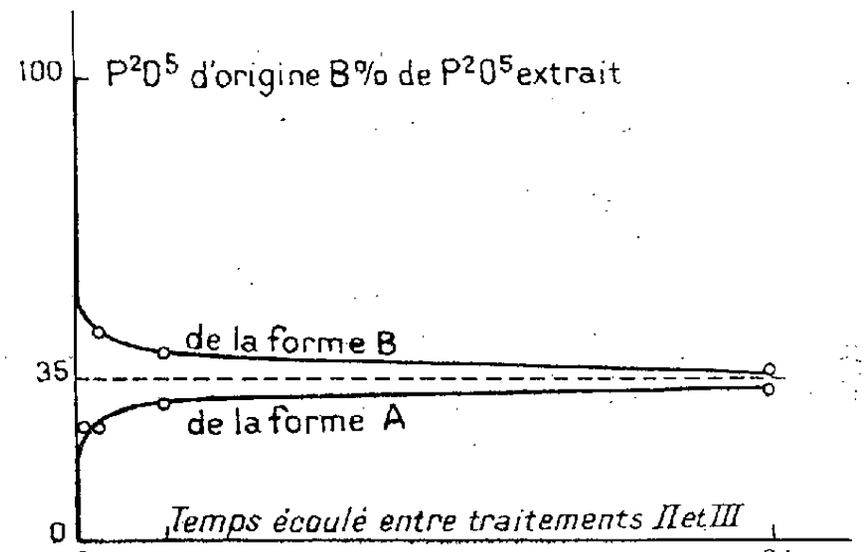
(1) *Comptes rendus*, 225, 1947, p. 1178.

Un sous-sol de limon neutre, non calcaire, a été agité pendant 15 jours avec une solution neutre de phosphate calcique radioactive (P^{32}), renouvelée plusieurs fois. Après séparation du sol et dessiccation à l'air, on a dosé P_2O_5 extractible par un acide dilué (forme A), puis, après épuisement de celui-ci, P_2O_5 extractible par un alcali dilué (forme B).

P_2O_5 extrait par.....		SO_4H_2 0,002 N.	KOH 0,005 N.
En milligramme, par kilogramme de terre.....		430	182
Pour-cent de P_2O_5 extrait.	P_2O_5 ajouté (P_{32}).....	82	80
	P_2O_5 préexistant (P_{31}).....	18	20

P_2O_5 ajouté et P_2O_5 préexistant dans le sol se trouvaient donc sensiblement en même proportion dans les deux formes envisagées.

Plusieurs prises d'essai de cette terre ont été d'abord rapidement lessivées par SO_4H_2 0,002 N (traitement I), puis immédiatement reneutralisées par $Ca(OH)_2$ et additionnées d'une solution de phosphate calcique (traitement II) de telle sorte que la terre absorbe approximativement la même quantité de P_2O_5 (non radioactif) que celle enlevée par le traitement acide précédent.



Puis, après un temps variable d'agitation des suspensions, la terre a été épuisée par SO_4H_2 et KOH dilués comme précédemment (traitement III). La figure représente en fonction du temps la proportion de P_2O_5 d'origine B (radioactif) trouvée dans chacun des deux liquides d'extraction. Elle montre que les ions phosphoriques restés dans le sol après l'épuisement acide, tendent à se mélanger complètement avec ceux ajoutés ensuite : et cela bien qu'il n'y ait pas eu transport d'une masse notable de P_2O_5 d'une forme à l'autre (P_2O_5 acidosoluble et P_2O_5 alcalosoluble sont demeurés sensiblement constants). La limite commune des deux séries de valeurs trouvées pour la répartition, environ 35 %, n'est pas très différente de la proportion obtenue par voie chimique : $182 : (430 + 182) = 30$ %. La légère infériorité de cette valeur sur la limite en question peut tenir à

ce que le mode opératoire adopté pour les extractions ne comporte qu'une courte durée de contact (30 m) et ne parvient pas de ce fait à séparer la totalité de P_2O_5 retenu après l'extraction acide.

Nous avons étudié, par ailleurs, l'allure de la permutation des ions phosphoriques (marqués), ajoutés en solution avec ceux préexistant dans le sol, phénomène qui s'observe même si le système reste en équilibre. D'abord très rapide, elle progresse ensuite lentement, selon une loi analogue à celle des mouvements de masse de P_2O_5 d'une phase à l'autre. Ce fait confirme que, dans le sol étudié, l'absorption lentement croissante de l'acide phosphorique (rétrogradation), ne conduit pas à une fixation irréversible, puisqu'elle s'accompagne d'un passage progressif en solution d'ions phosphoriques préexistant dans le sol.

Conclusion. — Les faits exposés permettent de préciser la notion de fraction mobile ou diffusible (ou assimilable) du stock de P_2O_5 du sol. Cette fraction peut être déterminée, sans modifier l'état naturel des liaisons des ions phosphoriques, d'après l'importance de leur échange contre une quantité connue d'ions phosphoriques marqués ajoutés. Cette technique présente l'avantage, sur la plupart des méthodes chimiques, notamment celles aux acides dilués, de ne pas faire une sélection parmi différentes formes de P_2O_5 en équilibre mutuel dans les conditions naturelles et présentant, en conséquence, la même activité.

CYTOPHYSIOLOGIE. — *Étude de la localisation du système enzymatique acétylant dans la cellule hépatique.* Note (*) de MM. **Jean Chauveau** et **Le van Hung**, présentée par M. Pierre-P. Grassé.

Les auteurs montrent que le système enzymatique d'acétylation est localisé dans le cytoplasme dispersé de la cellule hépatique du Pigeon, les microsomes, mitochondries et noyaux en sont totalement dépourvus.

L'importance des réactions d'acétylation dans le métabolisme cellulaire ressort clairement d'un ensemble de recherches faites ces dix dernières années notamment par Lipmann, Ochoa, Lynen, Novelli, Kornberg, etc.

L'objet de ce travail est de localiser par fractionnement cellulaire le système enzymatique d'acétylation dans la cellule hépatique.

Partie expérimentale. — Nous avons utilisé le foie de Pigeon à cause de sa grande activité (1).

1° *Fractionnement.* — L'animal ayant jeûné une nuit, est tué par décapitation et le foie prélevé immédiatement est soumis au fractionnement suivant

(*) Séance du 10 novembre 1952.

(1) F. Lipmann, *J. Biol. Chem.*, 160, 1945, p. 173.

la technique de Chauveau et Clément (²); le liquide de dispersion utilisé a été soit le saccharose à 8,5 %, soit le Ringer-phosphate (pH 7,4); en conséquence les temps et les vitesses de centrifugation ont été modifiés selon les données de Schneider (³).

Centrifugation initiale.....	90 m à 40 000 g
Noyaux (dépôt et deux lavages).....	10 m à 600 g
Mitochondries (id).....	10 m à 8 500 g
Microsomes (id).....	60 m à 18 000 g

Toutes les manipulations sont conduites aseptiquement et à la température maxima de + 2°.

2° *Dosages.* — On soumet au fractionnement un foie entier. 2 cm³ d'homogénat sont réservés comme témoin. Chaque fraction est reprise dans une quantité de Ringer-phosphate égale au volume de la fraction cytoplasme homogène. Les dosages sont effectués sur 2 cm³ de chaque suspension additionnée de 50 γ d'acide paraaminobenzoïque (PAB). Après incubation (⁴) de 2 h 30 à 3 h à 37°, puis déprotéinisation par l'acide trichloracétique à 20 %, le taux d'acétylation dans le filtrat est déterminé suivant la technique de Bratton et Marshall (⁵).

3° *Résultats.* — *a.* Une étude préliminaire portant sur le culot global de structures d'une part, et sur la phase cytoplasmique homogène de l'autre, nous a permis de comparer l'influence du milieu d'homogénéisation (saccharose 8,5 % ou Ringer-phosphate), ce qui nous permet d'écarter certaines objections théoriques. Les deux milieux nous ont donné des résultats superposables (tableau I), ce qui nous a conduits pour la commodité des dosages à adopter dans toutes les expériences suivantes du Ringer-phosphate (le saccharose donnant après hydrolyse une coloration empêchant de bons dosages colorimétriques).

TABLEAU I.

Taux d'acétylation après 3 h (en %).

		Homogénat.	Totalité des structures.	Cytoplasme.
Saccharose 8,5 %	Pigeon I	38	0	46
	Pigeon II ...	72	0	68
Ringer-phosphate	Pigeon III...	78	0	82
	Pigeon IV...	78	0	82

(²) *Arch. Soc. Phys.*, 5, 1951, p. 277.

(³) *J. Biol. Chem.*, 176, 1948, p. 259.

(⁴) Lorsqu'on a utilisé le saccharose à 8,5 %, les suspensions dans le saccharose sont additionnées de tampon phosphate avant l'incubation.

(⁵) *J. Biol. Chem.*, 128, 1939, p. 537.

Dès l'abord cette étude préliminaire nous a donc montré l'absence complète d'activité des structures *et une activité sensiblement la même pour la phase cytoplasme dispersée et l'homogénat.*

b. L'étude détaillée avec fractionnement complet des structures a confirmé la présence de l'enzyme d'acétylation uniquement dans la phase cytoplasmique homogène (tableau II).

Remarquons que l'emploi d'une solution saline conduit inévitablement à une agglutination des structures et à l'impossibilité de purifier complètement chaque fraction, mais aucun type de structure n'ayant jamais révélé d'activité, cette non-purification se trouve ici être sans inconvénient.

TABLEAU II. — *Taux d'acétylation après* 3 h (en %).

		Homogénat.	Noyau.	Mitochondries.	Microsomes.	Cytoplasme.
Saccharose 8,5 %.	Pigeon V.....	45	0	0	0	43
Ringer-phosphate.	Pigeon VI.....	68	0	0	0	55
	» VII.....	80	0	0	0	82
	» VIII.....	72	0	0	0	85
	» IX.....	81	0	0	0	92

D'autre part nous nous sommes assurés que cette absence d'activité acétylante des différentes structures ne tenait pas au fait que le coenzyme A indispensable à l'acétylation serait passé en totalité dans la phase cytoplasmique. En effet, l'addition de ce Co A préparé suivant la technique de Lipmann (6), aux fractions inactives (noyaux, mitochondries, microsomes), ne modifie pas les résultats. Étant donné que l'activité du broyat total et celle du cytoplasme dépourvu de structures sont tout à fait du même ordre, nous sommes en droit de conclure que :

Dans la cellule hépatique, le système enzymatique d'acétylation est localisé dans la phase cytoplasmique homogène; les structures sont dépourvues de toute activité acétylante.

BIOLOGIE MARINE. — Olpidiopsis Feldmanni *sp. nov.*, *Champignon marin parasite d'Algues de la famille des Bonnemaisoniacées.* Note de M. **ANWAR ABDEL ALEEM**, présentée par M. Roger Heim.

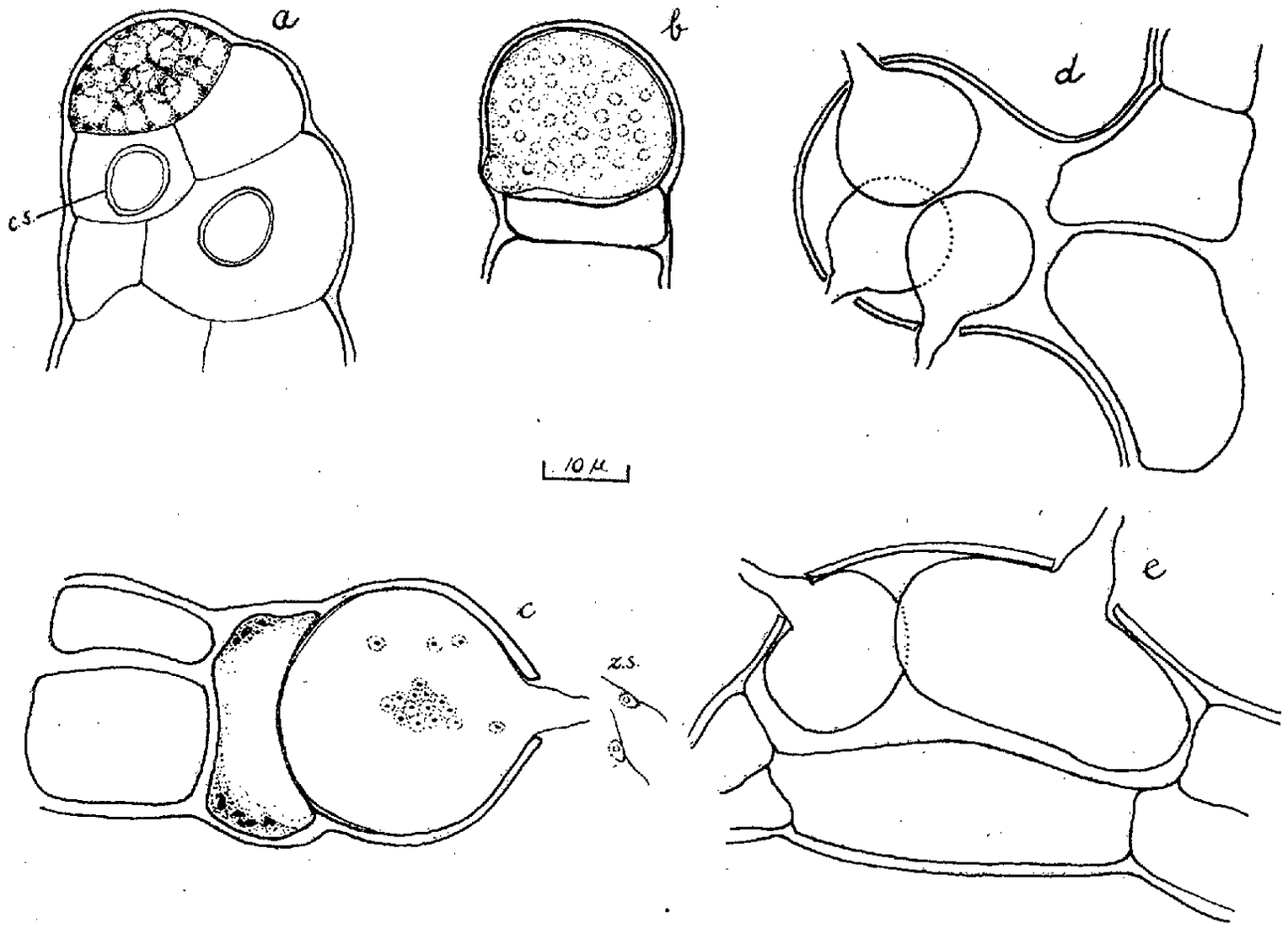
Des dragages effectués pendant le mois de mai, sur fond rocheux à Banyuls, par 25 à 30 m de profondeur, ont rapporté une grande quantité d'une Algue rouge, *Falkenbergia rufolanosa* (Harv.) Schmitz (*Bonnemaisoniaceæ*), épiphyte sur les troncs et les rameaux de *Cystoseira*. Dans

(6) F. LIPMANN, N. O. KAPLAN, G. D. NOVELLI et L. C. TUTLE, *J. Biol. Chem.*, 186. 1950, p. 235.

certains dragages, plus de 70 % des cellules apicales des frondes de *Falkenbergia* étaient attaquées par un Phycomycète que nous rapportons au genre *Olpidiopsis* (Cornu) emend. Sparrow.

Le parasite (*fig. a, e*) envahit également les autres cellules de la plante.

Les premiers symptômes de l'attaque se manifestent par l'apparition de nombreuses vacuoles de tailles différentes dans les cellules malades, puis d'une hypertrophie de ces cellules et la disparition de leur pigment.



a : vacuolisation d'une cellule apicale infectée; *b* : différenciation des zoospores; *c* : sporange mûr émettant les zoospores; *d* : trois sporanges dans un jeune rameau latéral; *e* : deux sporanges dans une cellule péricentrale âgée. Noter l'hypertrophie des cellules parasitées; *cs*, cellules sécrétrices; *zs*, zoospores dessinées à main levée.

Bien qu'en général un seul sporange se développe dans chaque cellule parasitée, dans quelques cas on rencontre deux ou trois sporanges dans une même cellule. Dans les cellules apicales de l'Algue, le sporange est, le plus souvent, de forme sphérique avec un diamètre de 15 à 30 (35) μ; des sporanges subsphériques ou oblongs se rencontrent dans les parties plus âgées de la fronde; ils mesurent alors 30 à 40 (50) μ de long sur 20 à 25 μ de large.

L'émission des zoospores s'effectue par un tube de décharge unique, rarement 2 ou 3, court et conique, mesurant 2 à 4,5 μ de large et environ 5 à 10 μ de long. Les zoospores sont arrondies ou légèrement piriformes et

renferment chacune une gouttelette réfringente. De très petite taille, elles mesurent 2 à 2,5 μ de long sur 1,5 à 2 μ et possèdent deux flagelles égaux et dirigés en sens opposé l'un à l'autre. Elles sortent directement du sporange sans enkystement préalable et présentent un mouvement de balancement caractéristique.

L'infection se fait par un tube ténu et l'enveloppe vide de la cellule infectante ne persiste pas sur la membrane de l'hôte.

Le même parasite, déterminant les mêmes symptômes, a été également observé sur des individus de *Trailliella intricata* Batters, dragués dans le Gullmar Fjord (côte occidentale de la Suède) pendant l'été 1950, mais, à cette époque, nous n'avons pu étudier les zoospores en détail. Chez les *Trailliella*, les cellules apicales sont également très fréquemment attaquées.

Les *Falkenbergia* et les *Trailliella* parasités étaient stériles; dans les deux cas, nous n'avons observé aucun stade de résistance du parasite.

Ce Champignon diffère, en particulier, de l'*Olpidiopsis sphacellarum* (Kny) Sparrow (1), dont il semble se rapprocher beaucoup, par ses zoospores plus petites et ses tubes de décharge coniques et plus étroits. En outre, le contenu cellulaire des hôtes de ces deux espèces étant de nature très différente, cette distinction doit avoir une influence sur le métabolisme de leur parasite.

Il est assez intéressant de constater la présence d'un même parasite sur deux plantes morphologiquement très différentes, mais qui présentent cependant entre elles des affinités systématiques, toutes deux étant des tétrasporophytes de *Bonnemaisoniaceæ* (2).

La naturalisation et l'extension du *Falkenbergia* et du *Trailliella* sur les côtes occidentales d'Europe ont été étudiées par de nombreux auteurs. Leurs tétraspores sont produites à une époque très limitée de l'année et, pendant le reste du temps, elles sont entièrement stériles. Dans ces conditions, une attaque par l'*Olpidiopsis* aussi intense que celle observée à Banyuls, doit entraîner une diminution importante du nombre des individus et peut-être aussi avoir pour effet de limiter l'extension de ces Algues dans le temps et dans l'espace.

CHIMIE BIOLOGIQUE. — *Élimination par échange d'ions d'impuretés indésirables dans l'acide glutamique.* Note de M. **Géza Austerweil** et Mme **Janine Delort-Stachenko**, présentée par M. Maurice Javillier.

L'acide glutamique devient de plus en plus un stimulant fortifiant ajouté à la nutrition générale, notamment à celle des enfants; sa pureté

(1) *Aquatic Phycomycètes* (*Univ. Mich. Public. Ann Arbor*, 1943).

(2) J. et G. Feldmann, *Ann. Sc. Nat., Bot.*, 11e série, 3, 1942, p. 75-175.

a donc de l'importance. Or, il s'avère que la plupart des acides glutamiques vendus, entre autres ceux provenant de certains déchets (gluten, mélasses) contiennent, quoique incolores et cristallisés, une impureté indésirable : le lactame de cet acide, l'acide pyrolidone-carbonique (pyroglutamique). Comme tout lactame, c'est un produit toxique, les lactames étant, en général, les stades intermédiaires du passage des aminoacides en alcaloïdes.

On peut aisément se rendre compte de la présence de ce lactame dans l'acide glutamique cristallisé, en en soumettant les solutions à un test chromatographique, d'après Rutter (1) légèrement modifié. De pareils chromatogrammes présentent toujours deux courbes circulaires parallèles, lorsqu'ils sont obtenus par le phénol saturé d'eau et développés à la ninhydrine; l'une, rosâtre, l'autre violet bleuâtre. Si l'on prépare le chromatogramme avec le lactame seul (que l'on peut obtenir pur en distillant l'ester éthylique de l'acide glutamique, qui se cyclise par perte d'alcool en ester du lactame que l'on saponifie (2) et dont on détermine le R_f (3), on trouve que ce dernier est identique, pour des pH identiques, au R_f du cercle intérieur de couleur rosâtre du chromatogramme obtenu avec de l'acide glutamique du commerce, ce qui indique l'identité de cette impureté avec le lactame produit synthètiquement à partir de l'acide glutamique.

Pour séparer cette impureté, on filtre à chaud les solutions de l'acide glutamique commercial à travers des échangeurs de cations, car, d'une façon inattendue, l'acide glutamique, malgré son caractère acide, se fixe par sa « queue » aminée qui prédomine, sur un échangeur de cations, tandis que le lactame traverse ces échangeurs partiellement sans réagir. Les chromatogrammes de l'effluent du début n'y indiquent, par une courbe circulaire unique, que la présence seule de ce lactame, l'acide glutamique retenu sur l'échangeur ne paraissant dans les effluents que bien plus tard, après qu'il aura saturé l'échangeur. Lorsque le chromatogramme d'une fraction de l'effluent commence à indiquer l'acide glutamique par sa couleur violette obtenue avec la ninhydrine, on arrête le passage du liquide original. On peut alors obtenir l'acide glutamique fixé sur l'échangeur et débarrassé de sa teneur en lactame, soit en lavant la colonne d'échangeur par une solution de soude ou de baryte, ce qui donne des glutamates purs que l'on peut recristalliser tels quels ou les amener au pH 3,2, si l'on désire l'acide, soit en lavant les échangeurs par des solu-

---

(1) *The Analyst*, 1948, p. 435.

(2) E. Fischer et Bochner, *Ber.*, 44, II, 1911, p. 1333.

(3) A cet effet, on photographie le chromatogramme sur papier, à la lumière de Wood, laquelle indique visiblement la périphérie de la courbe due au phénol, qui est fluorescente, tout en éclairant aussi les courbes dues au produit.

tions d'acides plus ou moins forts, même organiques (4) en ramenant ensuite ces solutions au pH 3,2, point isoélectrique de précipitation cristalline de l'acide glutamique. Ce dernier, ainsi obtenu, a toutes les caractéristiques de l'acide pur; son chromatogramme, à une seule courbe bleu-violette, indique toute absence de lactame indésirable.

En procédant lors de la préparation de l'acide glutamique à partir de la glutamine, forme où il se trouve dans ses matières premières, par une hydrolyse ménagée, à l'aide de bases d'alcalinité modérée et de courtes durées d'hydrolyse appropriées, on peut diminuer la formation du lactame, dont la présence est due à une hydrolyse trop poussée.

PHARMACODYNAMIE. — *Activité adrénolytique, noradrénolytique et sympatholytique comparée de quelques β-phénoxyisopropylamines*. Note (*) de MM. **Michel Polonovski, Henri Schmitt** et **André Pelou**, présentée par M. Maurice Javillier.

L'étude des propriétés pharmacodynamiques des β-phénoxyisopropylamines (1) nous a montré que certains dérivés (N-éthyl-, N-éthanol-, NN-diéthyl-, N-pentaméthylène β-phénoxyisopropylamines) sont, à doses relativement fortes, des hypotenseurs adrénolytiques. Il était intéressant de comparer leur action sur les effets des médiateurs chimiques, adrénaline et noradrénaline, et sur l'excitabilité directe ou réflexe des nerfs sympathiques.

Nous avons constaté que tous ces dérivés diminuent, suppriment ou inversent l'action de l'adrénaline (0,001 à 0,005 mg/kg) sur la pression artérielle du Chien chloralosé. Il faut atteindre des doses plus fortes pour diminuer ou supprimer l'action de la noradrénaline (0,001 à 0,005 mg/kg); mais dans aucun cas, il n'y a inversion.

La suppression des effets hypertenseurs de la stimulation du nerf splanchnique nécessite des doses encore plus élevées, en général doubles de celles exigées pour l'abolition des effets de la *d-l*-noradrénaline.

Quant au réflexe hypertenseur provoqué par l'occlusion des carotides, il est encore moins affecté par l'injection de β-phénoxyisopropylamines.

Aux faibles doses (1 à 2 mg/kg), elles augmentent plus ou moins les effets hypertenseurs de l'excitation électrique ou réflexe du sympathique. On n'observe jamais cette potentialisation, ni avec l'adrénaline, ni avec la noradrénaline (*fig.* 1).

---

(4) Austerweil, *Bull. Soc. Chim.*, 1948, p. 951.

(*) Séance du 3 novembre 1952.

(1) H. Schmitt, A. Pelou et M. Pesson, *C. R. Soc. Biol.*, **146**, 1952, p. 214.

L'étude des effets de ces corps sur la contraction de la membrane nictitante du Chat permet de distinguer trois cas :

a. Le dérivé NN-diéthyl- réduit aussi bien les effets de l'adrénaline que ceux de l'excitation de la chaîne sympathique cervicale.

b. Le dérivé N-éthyl- réduit mieux les effets de l'adrénaline que ceux de l'excitation du sympathique.

c. Les dérivés N-pentaméthylénique et N-éthanol- accroissent légèrement, à faibles doses (1 à 2 mg/kg) et abolissent, à fortes doses (10 mg/kg) l'action de l'adrénaline. Cependant les effets de l'excitation des fibres

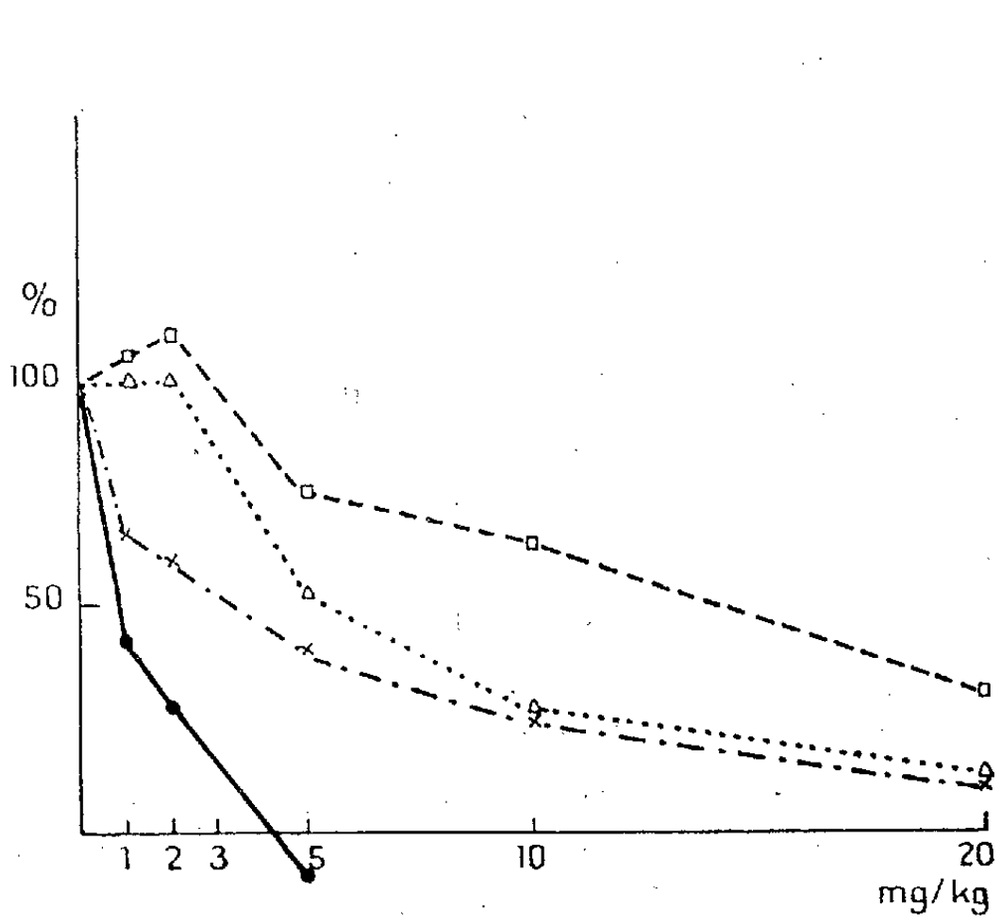


Fig. 1.

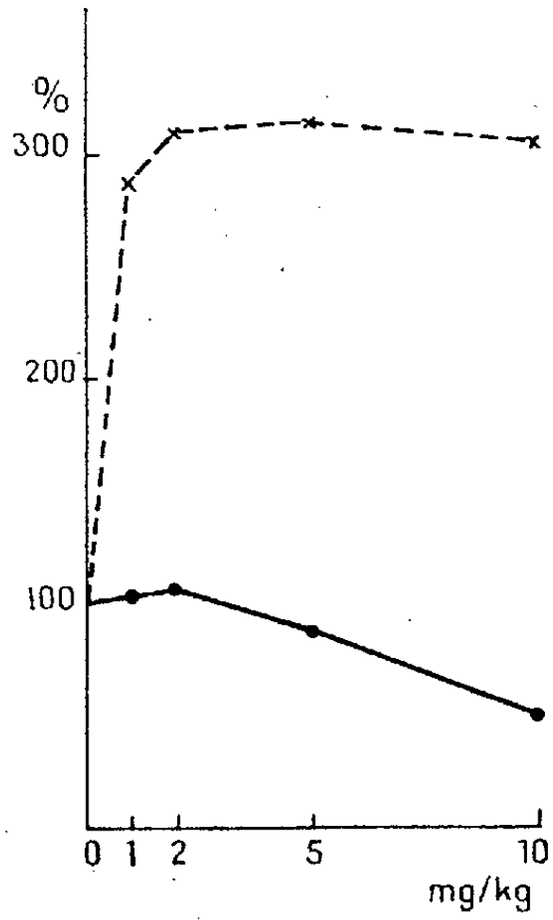


Fig. 2.

Fig. 1. — Chien 7 kg; chloralose : 12 cg/kg, atropine : 2 mg.
Abscisses : dérivé N-pentaméthylènique. *Ordonnées :* 100 % = hypertension initiale.
——— 0,001 mg/kg adrénaline. -·-·-· 0,001 mg/kg noradrénaline.
····· stimulation du splanchnique. – – – – – – occlusion des carotides.

Fig. 2. — Chat 3,500 kg; chloralose : 8 cg/kg.
Abscisses : dérivé N-pentaméthylènique. *Ordonnées :* 100 % = hauteur initiale de la contraction de la membrane nictitante.
——— 20 µg adrénaline. – – – – – – stimulation du sympathique cervical.

pré- ou post-ganglionnaires du sympathique cervical sont fortement accrus (200 à 300 %) (*fig.* 2). La potentialisation des effets de la stimulation nerveuse est d'autant moins importante que la contraction adrénalinique est plus réduite. L'action de la noradrénaline est également augmentée, mais dans des proportions moindres.

Ces faits peuvent être rapprochés des études de Bacq (²), (⁴), de Vleeschhouver (³), différenciant les effets de l'adrénaline de ceux de la stimulation des nerfs sympathiques. Nos corps, et d'une manière générale, tous les sympatholytiques, suppriment les effets de l'adrénaline ou de la noradrénaline plus facilement que ceux de l'excitation des nerfs sympathiques.

La séance est levée à 16 h.

L. B.

(²) Z. M. Bacq et D. Bovet, *Arch. Int. Pharmac.*, 50, 1935, p. 315.
(³) *Arch. Int. Pharmac.*, 50, 1935, p. 251.
(⁴) A. M. Monnier et Z. M. Bacq, *Arch. Int. Physiol.*, 50, 1935, p. 485.

ACADÉMIE DES SCIENCES.

SÉANCE DU LUNDI 24 NOVEMBRE 1952.

PRÉSIDENCE DE M. ALBERT CAQUOT.

MÉMOIRES ET COMMUNICATIONS

DES MEMBRES ET DES CORRESPONDANTS DE L'ACADÉMIE.

BALISTIQUE. — *Sur les sifflements de projectiles et bruits d'avions en vitesse supersonique.* Note de M. **ERNEST ESCLANGON.**

Nous avons distingué (1), dans les ébranlements acoustiques engendrés par un mobile en mouvement dans l'air (projectile ou avion), deux catégories distinctes : ceux à *évolution uniforme*, c'est-à-dire se répétant semblables à eux-mêmes aux divers points de la trajectoire et donnant lieu à l'onde et aux détonations balistiques; ceux à *évolution périodique* (tourbillons de l'arrière, moteurs, hélices, etc.) dont, pour chacun d'eux, la période s'étend sur un petit arc de trajectoire. Que devient, pour un observateur P, la perception acoustique de ces derniers, en vitesse supersonique ?

Soit, sur la trajectoire, S le centre correspondant à la détonation balistique perçue en P, NN′ un petit arc voisin de S, parcouru pendant la période T d'un ébranlement périodique. Les ébranlements engendrés sur l'arc NN′ parviennent bien simultanément en P, mais dans toutes les phases correspondant à la période T. Ils s'y ajoutent algébriquement et, de ce fait, la périodicité est anéantie. Si la moyenne ainsi opérée pendant la période T n'est pas nulle, elle s'intègre dans la formation de l'onde balistique. Au point de vue sonore, le sifflement, ou le bruit d'avion supersonique, débute donc à la détonation balistique, avec une intensité nulle. D'autre part, ces ébranlements périodiques sont, pour l'observateur P, soumis au principe de Doppler-Fizeau, ce qui entraîne que leur début, à la détonation balistique, se fait sur un ton infiniment aigu, pour s'abaisser ensuite; mais le timbre lui-même est modifié, d'une manière variable, au cours de la trajectoire, variable aussi selon la position de l'observateur.

---

(1) ESCLANGON, *Comptes rendus*, 235, 1952, p. 1177.

Deux observateurs différemment placés peuvent entendre un même sifflement de façon très différente. Ces circonstances se trouvent bien vérifiées pour les projectiles; reste à savoir si elles se conservent pour les avions supersoniques, en raison de l'ampleur des ébranlements et de leurs réactions mutuelles qui ne permettent plus d'être assuré de leur indépendance dans leur composition et propagation.

Un effet curieux observé pour les projectiles, et quelque peu inexplicable, demandera à être étudié avec les avions supersoniques.

Soit toujours, sur la trajectoire, S le centre de la détonation balistique perçue en P. Les ébranlements engendrés par le mobile, en *aval* de S sur la trajectoire, parviennent en P dans le même ordre chronologique que leur production et constituent le *sifflement direct*, normalement perçu. Mais les ébranlements engendrés, en *amont* de S, parviennent aussi en P après la détonation balistique et dans un ordre chronologique inverse de celui de leur production. On peut appeler *sifflement rétrograde* l'effet acoustique qui doit en résulter en P. Or, pour les projectiles d'artillerie, et quel que soit leur calibre, ce sifflement reste imperceptible. Nous en avons fait un grand nombre de fois la constatation au polygone d'artillerie navale de Gavre. Une expérience cruciale, consistant à supprimer le sifflement direct pour ne laisser subsister que le sifflement rétrograde, ne laisse aucun doute à ce sujet.

Un canon de 305 tire à 18 000 m, sous un angle de 16°, un projectile, non chargé, de 400 kg avec une vitesse initiale de 815 m/s. La vitesse, de 365 m à la chute, reste, sur toute la trajectoire, supérieure à celle du son. La durée du trajet est de 37 s, celle de la propagation du son, à partir du point de départ, de 54 s. Le poste d'observation est situé au voisinage immédiat du point de chute. Or, après l'arrivée du projectile, qui coïncide ici avec la détonation balistique, silence absolu, alors que pendant 17 s aurait dû exister le sifflement rétrograde.

A quoi tient cette absence, ou tout au moins une si faible perceptibilité du phénomène? L'explication reste difficile. Au surplus, l'application du principe de Doppler-Fizeau, lorsque la source sonore se déplace vers l'observateur, avec une vitesse radiale supérieure à celle de la propagation, est-elle toujours légitime, quelle que soit la période en jeu ou la nature physique du phénomène.

L'étude, à ces divers points de vue, de l'acoustique des avions supersoniques présentera un intérêt spécial, par le fait que les trajectoires pourront comporter une plus grande diversité que celle des projectiles.

Mentionnons, à titre d'exemple, les circonstances suivantes : Le centre S sur la trajectoire, correspondant à la détonation balistique perçue en P, jouit de cette propriété que la vitesse radiale du mobile vers l'observateur (suivant SP), y devient égale à celle du son. Or, on peut imaginer des

trajectoires pour lesquelles, en tous leurs points M, cette condition soit réalisée, trajectoires impossibles avec les projectiles, mais possibles avec les avions. Tous les ébranlements de la trajectoire, ou du moins sur une très large étendue, parviennent alors simultanément au point P qui pourrait être considéré ici comme une sorte de *foyer* de l'onde balistique. Le cas le plus simple serait celui d'un avion se dirigeant, en ligne droite, vers un observateur P, avec la vitesse du son (²). On conçoit que, dans de telles conditions, l'accumulation des effets acoustiques devienne beaucoup plus considérable et donne lieu à des détonations acoustiques particulièrement puissantes.

GÉODÉSIE. — *Contribution à l'établissement des bases du réseau gravimétrique africain.* Note de MM. **Pierre Lejay**, **Jean Martin** et **Claude Blot**.

Extension du réseau de 1951 par 162 stations nouvelles. Comparaison avec les résultats obtenus par d'autres observateurs.

Ces mesures, exécutées du 27 février au 8 juillet 1952 au cours de la deuxième mission gravimétrique africaine de l'Office de la Recherche Scientifique Outre-Mer, étendent et complètent le réseau établi en 1951 (¹).

Le même gravimètre North-American n° 124 a été utilisé; son étalonnage, refait dans les mêmes conditions, a montré une très légère variation du coefficient; sa dérive a toujours été extrêmement faible; les erreurs de fermeture, comprenant la totalité de la dérive, sont en général de quelques centièmes de milligal; une seule fois l'erreur de fermeture atteint 23/100 de milligal.

176 stations ont été faites (dont 84 principales sur les aérodromes et dans les observatoires) : 105 en A. O. F. (réseaux plus serrés au Sénégal et en Mauritanie), 32 en A. E. F., 24 en Afrique du Nord, 9 en territoire étranger, 6 en France.

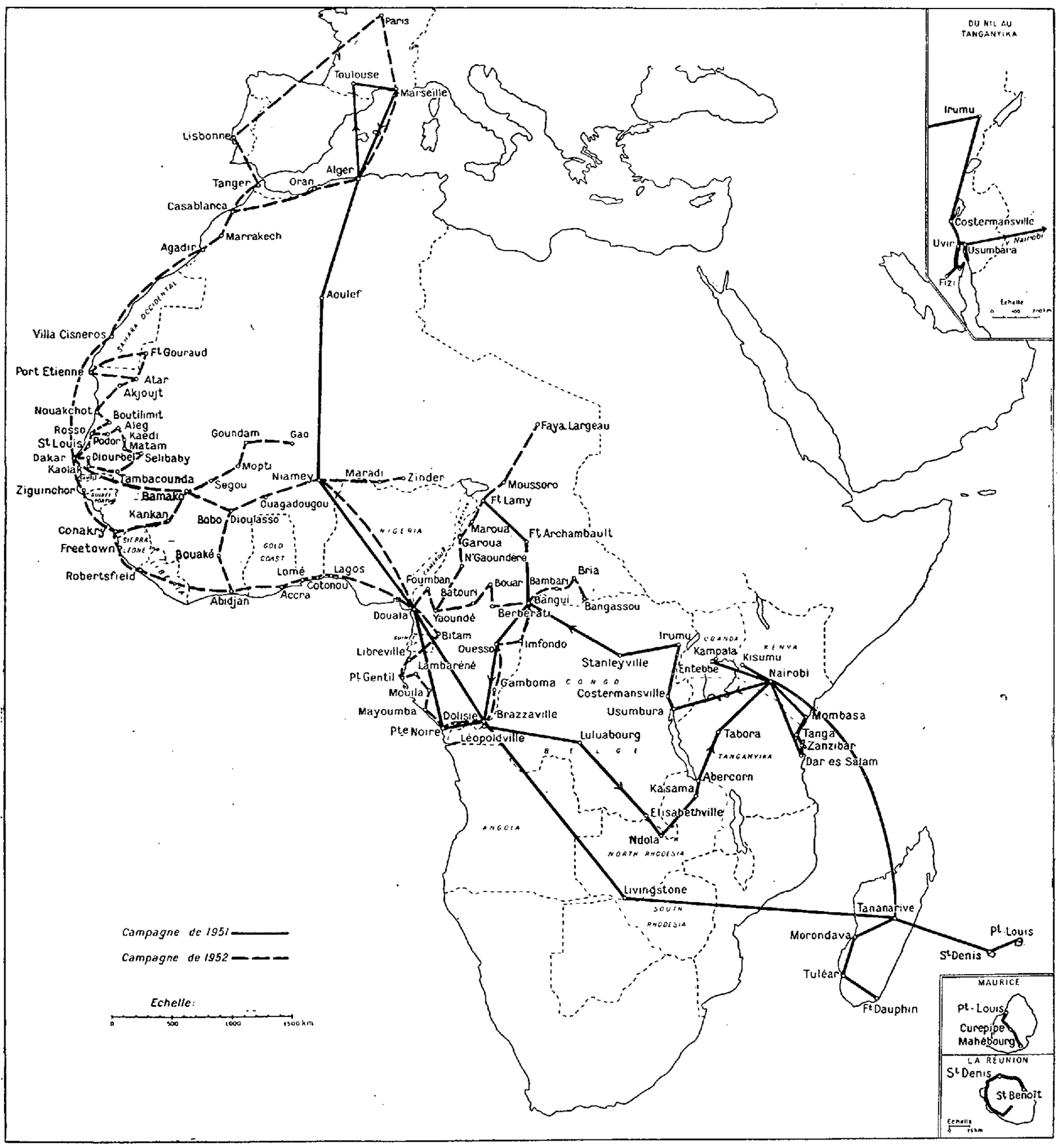
162 stations sont entièrement nouvelles; 14 avaient été déjà faites en 1951, ce qui a permis une comparaison des résultats obtenus au cours des deux campagnes : on retrouve des valeurs de g identiques à Niamey, Douala et Brazzaville; différant de 0,1 milligal à Pointe-Noire, de 0,2 milligal à Bangui et de 0,3 milligal à Fort-Lamy (différence maxima).

Les deux réseaux de 1951 et 1952 peuvent donc être considérés comme

(²) Sans doute, les effets acoustiques sont-ils d'autant plus intenses que la vitesse est plus notablement supersonique. Dans ce cas, avec une vitesse supposée constante, la trajectoire répondant aux conditions ci-dessus, serait une spirale, où portion de spirale (la tangente faisant un angle constant avec le rayon vecteur, issu de P).

(¹) Mme Françoise Duclaux et J. Martin, *Comptes rendus*, **233**, 1951, p. 847.

formant un réseau homogène unique : le réseau Orsom, comprenant au total 283 stations distinctes.



Un travail récent de Woollard (²) donne les valeurs de g en 18 stations

(²) *World Wide Gravity Measurements*, Woods Hole Oceanographic Institution, Réf. n° 52-59, juillet 1952.

communes d'Afrique et de Madagascar; ces valeurs, obtenues avec des gravimètres Worden présentant une forte dérive, sont inférieures à celles du réseau Orsom de 0,6 à 1,0 mgal en 11 stations, et de 1,2 à 2,3 mgal en 7 autres stations, ces dernières toutes groupées dans l'Est africain britannique.

Valeurs de g aux principales stations (campagne 1952).

Base : Piliers de l'ancienne salle de pesanteur de l'Observatoire de Paris
$g = 980\,943,0$ mgal.

Aérodromes d'A. O. F.		*Aérodromes d'A. E. F.*	
Dakar (Yoff)	978 480,1	Douala	978 051,5
Saint-Louis	461,3	Bitam	977 882,6
Rosso	448,7	Libreville	978 041,9
Boutilimit	513,9	Port-Gentil	079,5
Nouakchott	589,6	Lambaréné	010,4
Akjoujt	622,4	Mouila	977 998,2
Atar	619,2	Tchibanga	998,0
Fort-Gouraud	757,4	Mayoumba	978 098,1
Port-Étienne	711,5	Pointe-Noire	031,4
Aleg	528,4	Dolisié	977 964,6
Kaedi	499,4	Brazzaville	946,0
Matam	464,6	Gamboma	927,8
Sélibaby	353,4	Impfondo	930,5
Tambacounda	340,6	Bangui	916,3
Kaolak	371,8	Bambari	922,0
Diourbel	374,2	Bria	927,0
Ziguinchor	313,1	Bangassou	916,9
Conakry	228,7	Berberati	910,2
Kankan	100,9	Bouar	818,1
Abidjan	075,4	Batouri	918,2
Bouaké	072,6	Yaoundé	866,3
Lomé	166,0	N'Gaoundéré	817,2
Cotonou	148,6	Garoua	978 103,4
Bamako	208,3	Maroua	112,5
Ségou	237,8	Fort-Lamy	184,4
Mopti	320,7	Moussoro	234,6
Goundam	395,3	Faya-Largeau	448,8
Gao	368,5		
Bobo-Dioulasso	125,3	*Aérodromes étrangers.*	
Ouagadougou	202,0	Freetown (Sierra Leone)	978 201,8
Niamey	269,2	Robertsfield (Libéria)	112,4
Maradi	204,3	Accra (Gold Coast)	118,8
Zinder	198,1	Lagos (Nigéria)	132,4

Un autre travail récent de Sanders (3) donne le résultat des mesures pendu-

(3) *Mesures gravimétriques pendulaires en Belgique et au Congo belge* (*Commun. de l'Obs. Roy. de Belgique* n° 46, 1952.)

laires effectuées en 3 stations communes du Congo Belge. Les valeurs de Sanders, rapportées à la valeur $g = 981\,132{,}0$ pour Uccle, valeur la plus probable d'après les déterminations modernes (4), (5), s'écartent des valeurs du réseau Orsom de + 1,7 mgal à Léopoldville, de + 2,0 mgal à Elisabethville et de — 2,9 mgal à Costermansville. Compte tenu de la dispersion habituelle des mesures pendulaires, peut-être exagérée un peu ici par un appareillage et une technique peu modernes, ces nouveaux résultats belges n'infirment pas l'exactitude de l'étalonnage employé pour le réseau Orsom.

CHIMIE AGRICOLE. — *A propos de la lutte contre la décadence des cultures du Poivrier en Indochine et en Extrême-Orient.* Note de M. **Gabriel Bertrand.**

En présentant à l'Académie, dans la séance du 3 novembre 1952, une étude de M. Hubert Barat « Sur le dépérissement des Poivrières en Indochine », notre Confrère Auguste Chevalier nous a fait connaître l'état de décadence de plus en plus alarmant auquel la production du poivre menace de succomber si l'on n'y trouve pas sous peu un remède. Il s'est préoccupé depuis longtemps déjà de la question; devant l'échec des moyens mis jusqu'ici à l'essai, il se demande si le Poivrier n'aurait pas besoin de quelque oligoélément devenu inexistant dans les sols épuisés et il s'adresse à moi pour répondre (1).

D'après la description détaillée de notre Confrère, et tenant compte des récentes acquisitions de la Biochimie comparée, je considère au moins comme très vraisemblable l'hypothèse qu'il a émise.

Contre la dégénérescence du Poivrier, on a songé à enrichir le sol par des engrais à base d'azote, d'acide phosphorique et de potasse, on a corrigé aussi la réaction du sol, mais sans succès. Or, les besoins alimentaires du Poivrier comportent, comme pour toutes les plantes, bien d'autres éléments que les trois contenus dans les engrais classiques, ils exigent toute une série de métalloïdes et de métaux, dont le soufre, le bore, l'iode, parmi les premiers, le magnésium, le fer, le zinc, le manganèse, le cuivre, le cobalt, etc. parmi les seconds (2).

Tous ces éléments doivent se trouver réunis dans le milieu de culture

---

(4) Carlo Morelli, *Taratura di due gravimetri Worden e collegamenti europei* (*Annali di geofisica*, IV, n° 4, 1951, p. 511).

(5) Jean Martin, *Liaisons gravimétriques internationales* (*Congrès de l'U. G. G. I.*, Bruxelles, 1951).

(1) *Comptes rendus*, 235, 1952, p. 993.

(2) Tandis que l'azote, le phosphore et le potassium entrent en proportions importantes dans la composition des organismes, les derniers n'y existent qu'en très petites quantités, d'où leur appellation d'*oligoéléments*.

sous des formes assimilables et, de plus, dans certains rapports, variables selon les espèces.

Quand l'un d'eux, quel qu'il soit, vient à diminuer au delà d'une certaine valeur, la composition minérale de la plante cesse d'être normale : la croissance se ralentit, la résistance physiologique s'abaisse, des malformations apparaissent, les organes reproducteurs s'atrophient, souvent même des parasites, bactéries, champignons, insectes, s'installent, qui accélèrent la mort.

Ce tableau, qui résume les affections présentées le plus ordinairement par les plantes à la suite de diminution dans le sol de divers oligoéléments, rappelle celui que nous a décrit notre Confrère pour le Poivrier. Or, on a déjà réussi à lutter très avantageusement contre la maladie du cœur de la betterave, du rutabaga et de plusieurs autres plantes par l'introduction dans le sol de petites quantités d'acide borique (3), contre diverses affections de dégénérescence du citronnier, de l'oranger, du pommier, etc., par des apports, suivant les cas, de manganèse, de zinc, de cuivre, etc.

Des succès de ce genre sont de plus en plus souvent signalés. L'année dernière encore a paru dans les *Comptes rendus de l'Académie* une Note sur la régénération, par un mélange de certains oligoéléments, des plantations de Palmiers à huile du Moyen-Congo français (4).

On est donc en droit d'espérer une restauration prochaine des cultures du Poivrier en Indochine et en Extrême-Orient par une application judicieuse des oligoéléments (5).

MAGNÉTOOPTIQUE. — *Rotativité de la vapeur d'eau.* Note de M. **René de Mallemann.**

La rotativité de l'eau, calculée à partir de la rotation moléculaire du *liquide*, est

$$[\Omega]_M = 60,1\ \mu R \qquad \text{pour} \quad \lambda = 578\ m\mu,$$

valeur certainement exacte à un ou deux millièmes près.

En admettant l'invariance de la rotativité dans le changement d'état, il est possible d'évaluer la constante de Verdet, et par suite l'ordre de grandeur des

(3) *Voir* G. Bertrand : 1° *Chim. et Ind.*, 41, n° 3 *bis*, 1939, p. 27 E; 2° *Sucrerie belge*, 59, 1939, reproduit dans : *Ann. des Fermentations*, 5, 1939, p. 349 ou *Ann. agron.*, 9, 1939, p. 548; 3° *L'emploi du bore contre la maladie du cœur de la betterave et d'autres carences végétales* (*C. R. du* 19e *Congrès de Chim. Industr.*, 1939, dans *Chim. et Ind.*, 45, n° 3 *bis*, 1941, p. 47).

(4) M. Ferrand, A. Bachy et M. Ollagnier, *Comptes rendus*, 233, 1951, p. 1218.

(5) *Voir* G. Bertrand, *Les oligoéléments dans la nutrition des Plantes* (*C. R. du* 9e *Congr. internat. Ind. agric.*, Rome, mai 1951).

rotations pratiquement réalisables pour la vapeur d'eau. On aurait

$$A_0^{760} = 60,1.10^{-6} : 224.10^2 = 2,683.10^{-9} \text{ rad.}$$
$$= 9,22.10^{-6} \text{ minutes} = 9,22\,\mu\text{m.}$$

A supposer que l'on observe la vapeur saturante à 80°, où sa tension vaut 345 mm, sous une différence de potentiel magnétique 700000 C. G. S. (ces nombres sont choisis de manière à correspondre aux possibilités pratiques de notre appareillage actuel), on est conduit à prévoir pour la rotation *simple* ρ

$$\rho = 0,36 \times 9,22.10^{-6} \times 7.10^5 = 2,3 \text{ minutes,}$$

soit une rotation *double* observable qui pourrait atteindre 5 à 6 minutes au plus ; le nombre serait assurément trop faible pour permettre de tirer des conclusions ayant toute la précision désirable.

C'est pourquoi, jusqu'à nouvel ordre, nous avions dû exclure la vapeur d'eau de la liste des substances gazeuses dont l'étude magnétooptique fut poursuivie depuis nombre d'années dans notre laboratoire.

Cette lacune, sensible, vu l'intérêt très spécial du corps en question, vient d'être heureusement comblée par L. H. Ingersoll.

Ayant imaginé un procédé d'analyse *photoélectrique* susceptible d'enregistrer des rotations avec une incertitude ne dépassant pas quelques *secondes* d'arc, Ingersoll entreprit récemment d'utiliser cette méthode extra-sensible pour l'étude magnétooptique de la matière gazeuse.

La valeur de la constante de Verdet ainsi trouvée expérimentalement pour la vapeur d'eau est

$$A_0^{760} = 9,1\,\mu\text{m} \qquad (\lambda = 578\,\text{m}\mu),$$

nombre qui doit être considéré comme *pratiquement égal* à celui que nous avions calculé (les conditions particulières impliquées dans ces mesures ne permettant pas de garantir une précision de 1 %) (1).

L'invariance de la rotativité se trouverait donc très sensiblement vérifiée dans le cas de l'eau, résultat important qui méritait d'être signalé : sa confirmation justifierait entièrement la substitution des rotativités aux rotations spécifiques (autrement dit, à la règle de Verdet) dans l'étude des *solutions* aqueuses (qui ont donné lieu à une multitude de travaux).

Le résultat des mesures d'Ingersoll apparaît comme d'autant plus remarquable qu'il fut obtenu sans que l'auteur ait put être guidé par une idée théorique préconçue. J'ajouterai que nous le considérons pour notre part comme quelque peu inattendu, en raison du caractère *polaire* très fortement marqué des molécules d'eau (2).

---

(1) Pour $\lambda = 589\,\text{m}\mu$, Ingersoll donne $A_0^{760} = 8,8\,\mu\text{m}$.

(2) Au surplus, la *rotation* A_0^{760} est calculée pour la vapeur à partir de la densité théorique ($M/d = 224.10^2$). La concordance avec le nombre mesuré peut s'expliquer en considérant que, dans les conditions expérimentales réalisables ici, la vapeur doit se comporter sensiblement comme un gaz parfait, vu la *très faible* valeur de sa densité.

ALGOLOGIE. — *Sur un genre nouveau d'Ulvacées :* Rhizenteron *nov. gen.* Note de M. **Pierre Dangeard.**

Parmi les algues du Maroc, nous avons décrit (1) une curieuse espèce rattachée au genre *Enteromorpha* et vivant en épiphyte sur le Lichen marin, *Lichina pygmæa*. Cette algue se signale par sa base irrégulière formant un tubercule ou une croûte plus ou moins étendue étroitement appliquée sur le *Lichina* et qui émet, vers l'extérieur, dans tous les sens, des frondes tubuleuses, cylindriques, très courtes. L'importance de la partie basale, tuberculeuse ou crustacée, par rapport aux frondes libres, dressées, à structures d'Entéromorphes typiques, nous a fait donner à cette espèce le nom d'*E. tuberculosa*.

Or, nous avons récolté récemment à Dakar une espèce apparemment voisine, mais vivant directement sur les rochers où elle forme de petites masses vertes, ayant quelques millimètres de diamètre, de consistance ferme et même un peu cartilagineuse. L'examen de ces petites masses montre qu'elles sont constituées par des thalles très irréguliers de forme, mamelonnés et assez souvent ramifiés en arbuscules, d'où s'élèvent des protubérances diverses qui hérissent la surface; certaines de ces protubérances ont les caractères de frondes libres d'*Enteromorpha*, pluriséries ou uniséries très courtes et peu développées, tandis que d'autres apparaissent comme de simples lobes de la masse générale qui, par leur croissance, contribuent à son développement.

Le thalle est plein, formé en grande partie de filaments intriqués à contenu cellulaire étroit et membrane épaisse stratifiée ayant les caractères de rhizoïdes tels qu'on les trouve à la base des frondes des Ulvacées en général. Ces rhizoïdes coalescents et entrelacés, à trajet sinueux, sont pourvus de chlorophylle et ils se terminent vers l'extérieur par des cellules plus vertes à contenu abondant, disposées côte à côte en palissade dont le cloisonnement contribue au développement de la partie tuberculeuse du thalle; d'autre part, certaines de ces cellules se développent en filaments uniséries qui émergent du thalle et peuvent devenir, ensuite, pluriséries.

Cette description montre que l'algue de Dakar a beaucoup de ressemblance avec celle du Maroc. Cependant, en dehors de l'habitat qui n'est pas le même, il apparaît un certain nombre de différences : les frondes libres émises par le tubercule dans l'espèce de Dakar sont, en majorité, plus grêles, filiformes, souvent uniséries; d'autre part, les cellules sont nettement plus grandes que dans l'espèce de Rabat si l'on compare entre

(1) *Le Botaniste*, 34, 1949, p. 113.

eux des éléments similaires du thalle, par exemple les cellules des proliférations; celles-ci ont, en moyenne, 10 à 15 μ de diamètre dans l'espèce de Dakar contre 5 à 6 μ dans l'*E. tuberculosa*. Nous n'avons pas pu préciser la forme du chromatophore qui semble remplir la majeure partie de la cellule, mais nous pensons qu'il existe un seul pyrénoïde comme dans l'*E. tuberculosa*. Il existe beaucoup d'amidon et la solution iodo-iodurée, même faible, colore fortement en bleu noir l'ensemble de la cellule et il en va de même dans la partie vivante des cellules rhizoïdales qui sont donc très riches en amidon.

L'espèce de Dakar semble donc différente de celle de Rabat et mériter un nom spécial. D'autre part, nous sommes conduit à séparer ces deux types d'algues des *Enteromorpha* proprement dites dont elles diffèrent notablement et à envisager la création d'un genre nouveau. Il est à noter, en effet, qu'aucune des espèces connues d'*Enteromorpha* n'a été décrite comme pourvue d'une région basale tuberculeuse ferme et solide. Dans l'*E. fasciculata* nob., la région basale formée par des frondes coalescentes prend une certaine importance, mais elle ne constitue pas un tubercule et son épaisseur est faible. Dans l'*E. minima* Kützing, dont Kylin (1947) a fait le type du genre nouveau *Blidingia*, les plantules se composent d'une sole basilaire unistrate et de frondes dressées. Là encore il n'y a pas de tubercule et les frondes dressées et libres conservent toute leur importance.

Il semble donc bien que la création d'un genre nouveau se justifie pour les deux espèces décrites, l'une à Rabat, l'autre à Dakar. Nous proposons de le nommer *Rhizenteron* : ce genre d'Ulvacées se trouve caractérisé par la grande importance du système rhizoïdal constituant un arbuscule ou un tubercule basal mamelonné irrégulier et le très faible développement, par contre, des frondes libres.

Si l'on fait intervenir, comme cela semble légitime, la notion d'*hétérotrichie* qui s'est montrée jusqu'ici très féconde dans les études sur l'évolution des formes (Fritsch), on dira que le *Rhizenteron* réalise un type d'Ulvacées dans lequel s'est manifesté un développement important du système prostré et une réduction, par contre, du système dressé dominant chez les genres *Ulva* et *Enteromorpha*.

Diagnose du genre *Rhizenteron* nov. gen. — *Thallo tubercula aut crustas vel arbusculas formante, firmo, irregulariter sinuoso aut ramoso, filis numerosis, membranis crassis, intertextis, constituto; ad superficiem, frondes numerosas, liberas, tubulosas, emittente, cum structura Enteromorphæ.*

L'algue de Rabat devient ainsi le *Rhizenteron* (ex *Enteromorpha*) *tuberculosum* comb. nov. et nous proposons d'appeler l'algue de Dakar *Rhizenteron saxatile* nov. sp.

Rhizenteron saxatile nov. sp. — *Thallo arbusculas aut crustas irregulariter tumidas formante, ad saxa basi affixo, frondibus liberis numerosis sœpe uniseriatis, cellulis* 10-15 μ *latis.*

M. **Louis Hackspill** présente à l'Académie le premier Volume, *Chimie générale,* d'un *Précis de Chimie* de M. Raymond Quelet. Cet Ouvrage, destiné aux élèves de l'enseignement propédeutique des Facultés des sciences, est édité par les Presses Universitaires de France, dans la Section de chimie, dirigée par lui, de la collection *Euclide,* publiée sous la direction de MM. **Charles Maurain** et **Maurice Caullery.**

L'Ouvrage suivant est présenté par M. **Pierre Lejay** : *Sur la prolongation du réseau gravimétrique nord-africain au Sahara français. Essai d'interprétation structurale,* par Jean Lagrula.

CORRESPONDANCE.

M. le **Secrétaire perpétuel** signale parmi les pièces imprimées de la Correspondance :

1° Pontificiæ Academiæ scientiarum scripta varia. 10. *Studio fisico dell'aorta normale e patologica,* par Vittorio dal Borgo.

2° Ministerio da Economia. Comissão reguladora di comércio de Arroz. *Bibliografia Orizicola Portuguesa* 1800-1950, por Manuel Vianna e Silva.

3° *Mineria. Organo del Instituto de Ingenieros de minas del Peru,* Ano 1, n° 1.

4° *Revista de Matematicas Elementales,* editada por la Facultad de ciencias de la Universidad nacional de Colombia y por la Universidad de Los Andes. Vol. I, Fasc. 1.

Il signale également deux fascicules polycopiés, les nos 15 et 22 de la Documentation mathématique, textes publiés sous la direction de Paul Belgodère.

THÉORIE DES FONCTIONS. — *Relation entre la distribution des valeurs multiples d'une fonction méromorphe et la ramification de sa surface de Riemann.* Note de M. **Edward F. Collingwood,** présentée par M. Paul Montel.

1. Nous appliquons les méthodes et les résultats de Notes précédentes (1) à l'étude de la ramification de la surface de Riemann S_f sur laquelle le disque ouvert $|z| < R$ ou le plan pointé $z \neq \infty$ est représenté conformément par une

(1) *Comptes rendus,* **227**, 1948, p. 615 (Note I); *ibid,* p. 709 (Note II); *ibid,* p. 749 (Note III); *ibid,* p. 813 (Note IV); *Comptes rendus,* 235, 1952, p. 1182 (Note V).

fonction $w = f(z)$ méromorphe et non rationnelle dans $|z| < R \leq \infty$. Les valeurs w sont prises sur la sphère de diamètre 1, et on note $l(w', w'')$ la longueur du plus petit arc de cercle qui joint w' à w'' sur cette sphère. Les fonctions $\sigma(r)$ (non croissante) et $p(r)$ possédant les propriétés indiquées dans ma Note précédente (²), l'inégalité $l(f(z), a) < \sigma(r)$, pour une valeur donnée de r, définit un ensemble (éventuellement vide) de domaines $G(a, \sigma(r))$ du plan des z. $V(a, \sigma(r), p(r))$ est l'ensemble des valeurs de $r < R$ pour lesquelles la circonférence $|z| = r$ ne rencontre aucun domaine $G(a, \sigma(r))$ où la valence de $f(z)$ soit supérieure à $p(r)$, et $E(a, \sigma(r), p(r)) \subseteq V(a, \sigma(r), p(r))$ est le sous-ensemble de l'ensemble précédent formé par les valeurs de r pour lesquelles $|z| = r$ ne rencontre aucun domaine $G(a, \sigma(r))$ dont la frontière s'étende jusqu'à $|z| = R \leq \infty$. Les bornes supérieures de ces ensembles et de leurs complémentaires $\mathcal{C}V$, $\mathcal{C}E$, seront notées $\sup V, \ldots, \sup \mathcal{C}E$.

2. Les propriétés de $E(a, \sigma(r), p(r))$ et $V(a, \sigma(r), p(r))$ servent à caractériser la ramification de S_f au voisinage d'un point a. En particulier, nous dirons que a est *un centre de ramification de* S_f si l'on a

$$\sup \mathcal{C}E(a, \sigma(r), p(r)) = R \leq \infty \tag{1}$$

pour une fonction $\sigma(r)$ tendant vers zéro quand $r \to R$, et une fonction $p(r) > 1$; nous dirons que a est *un centre de ramification de* S_f *d'ordre non borné si l'on a* (1) *pour une fonction* $\sigma(r)$ *tendant vers zéro et une fonction* $p(r)$ *tendant vers* ∞ *quand* $r \to R$. La connaissance des propriétés de croissance de $\sigma(r)$ et $p(r)$ introduit dans la caractérisation un élément métrique, relatif à l'exhaustion de S_f par les surfaces partielles $S_f(r)$ images par f des disques ouverts $|z| < r < R \leq \infty$.

3. Nous écrirons, avec les notations habituelles,

$$N_1(r) = N\left(r, \frac{1}{f'}\right) + 2N(r, f) - N_1(r, f');$$

$N_1(r)$ mesure la densité des valeurs multiples de $f(z)$, et satisfait à la condition générale

$$\lim_{r \to R} \frac{N_1(r)}{T(r, f)} \leq 2. \tag{2}$$

4. On sait que pour une fonction $f(z)$ telle que $T(r, f)$ ne soit pas bornée, et pour des fonctions $\sigma(r)$ et $p(r)$ satisfaisant aux conditions suivantes :

$$(3)\quad \begin{cases} (a) \quad \lim\limits_{r \to R} \dfrac{\log\left[\dfrac{1}{\sigma(r)}\right]}{T(r, f)} = 0, \\ (b) \quad p(r) = o\left(\dfrac{T(r, f)}{\log r}\right) \quad \text{ou} \quad p(r) = o(T(r, f)), \quad \text{selon que } R = \infty \text{ ou } R < \infty, \end{cases}$$

(²) Note V. Les définitions ici données des ensembles E et V sont équivalentes à celles de la Note I, mais font intervenir la métrique sphérique; elles sont analogues à celles de la Note V pour $E(a, \sigma(a, r), p(r))$, etc.

la condition $\sup \mathcal{C}E(a, \sigma(r), p(r)) < R$ implique $\Delta(a) = 0$ ([3]). On peut prouver plus à condition de supposer les ensembles $\mathcal{C}E(a, \sigma(r), p(r))$ uniformément bornés pour tout a. On a en effet

THÉORÈME 1. — *$f(z)$ étant méromorphe dans $|z| < R \leq \infty$ et vérifiant dans le cas $R < \infty$ la relation*

$$\lim_{r \to R} \frac{T(r, f)}{-\log(R - r)} = \infty, \tag{4}$$

supposons que $\sigma(r)$ et $p(r) > 1$ satisfassent aux conditions (3) et qu'il existe un $B < R$ tel que $\sup \mathcal{C}E(a, \sigma(r), p(r) \leq B$ pour toute valeur de a. Alors $\Delta(a) = 0$ pour tout a, et

$$\lim_{r \to R} \frac{N_1(r)}{T(r, f)} = 2. \tag{5}$$

Ce théorème est une conséquence immédiate de celui de ma dernière Note ([4]). Prenons en effet deux valeurs distinctes a_1 et a_2, qui constitueront l'ensemble A. La fonction $\sigma(a, r)$ et l'ensemble $E(a, \sigma(a, r), p(r))$ étant définis comme dans la Note citée, les ensembles $\mathcal{C}E(a, \sigma(a, r), p(r))$ sont uniformément bornés dans $\mathcal{C}A$, et il résulte du théorème en question que

$$2 \leq \lim_{r \to R} \frac{N_1(r)}{T(r, f)} + \Delta(a_1) + \Delta(a_2).$$

Or $\Delta(a_1) = \Delta(a_2) = 0$, d'où l'égalité (5).

5. Du théorème 1, nous pouvons aisément déduire le suivant :

THÉORÈME 2. — *Supposons que $f(z)$ soit méromorphe dans $|z| < R \leq \infty$, et, dans le cas où $R < \infty$, satisfasse à la condition (4). Alors, si*

$$\lim_{r \to R} \frac{N_1(r)}{T(r, f)} < 2 \tag{6}$$

et si nous nous donnons une fonction $p(r)$ satisfaisant à (3, b), il existe une fonction $\Sigma(r)$ non croissante et tendant vers zéro quand $r \to R$, et une valeur a, telles que

$$\sup \mathcal{C}E(a, \Sigma(r), p(r)) = R. \tag{7}$$

Ce théorème n'assure pas seulement l'existence d'un centre de ramification d'ordre non borné sous les conditions (4) et (6), mais donne en outre une mesure de son ordre. Les points logarithmiques forment une sous-classe de tels centres de ramification. Le théorème 2 peut être comparé au résultat classique selon lequel S_f, lorsqu'elle n'a qu'un nombre fini de points algébriques, doit avoir au moins *deux* points logarithmiques ([5]), et aux résultats récents de

---

([3]) Notes III et IV.

([4]) Note V.

([5]) R. NEVANLINNA, *Eindeutige analytische Funktionen*, p. 278.

M. Dugué ([6]) sur le nombre minimum de valeurs multiples distinctes d'une fonction $f(z)$ pour laquelle S_f n'a pas de points logarithmiques.

Les démonstrations des résultats de cette Note et de la précédente seront publiées ailleurs ([7]).

TOPOLOGIE ALGÉBRIQUE. — *Calcul des variations et cohomologie singulière.* Note de M. **René Deheuvels**, présentée par M. Paul Montel.

Cette Note fait suite à trois Notes, désignées par I, II, III ([1]), dont nous conservons les notations. Nous montrons ici que la cohomologie singulière donne une théorie satisfaisante des valeurs critiques d'une fonction numérique sur un espace topologique quelconque.

1° La théorie des éléments critiques d'une filtration réelle d'un anneau différentiel, esquissée dans I, II, a été appliquée à un cas particulier dans III.

On peut l'employer plus généralement à l'étude des valeurs critiques d'une fonction numérique φ sur un espace topologique X quelconque, en utilisant une théorie de l'homologie ou une théorie de la cohomologie sur X, la filtration étant déterminée par φ.

La théorie choisie sera satisfaisante pour une fontion φ donnée, ou pour une classe de fonctions φ, lorsque (*cf.* II, 1) :

L'homomorphisme $\mathfrak{L} \to \mathfrak{K} = \mathcal{GHA}$ est un homomorphisme sur, ce qui entraîne, puisque $\mathfrak{L} \supset \mathfrak{L}$: l'ensemble des valeurs critiques locales ($r \in \mathrm{R}'$, tels que $\mathfrak{L}_r \neq 0$) contient l'ensemble image de la filtration de l'anneau d'homologie $\mathcal{HA}$ de $\mathcal{A}$.

Dans sa théorie, M. M. Morse a introduit l'hypothèse dite de « φ-accessibilité » ([2]) : c'est une condition suffisante, dans le cas d'une théorie homologique des valeurs critiques, pour que $\mathfrak{L} \to \mathfrak{K}$ soit sur.

La notion de filtration accessible du paragraphe 2 en est une généralisation. Le théorème qui suit est une application remarquable : il montre qu'une théorie des valeurs critiques pour une fonction numérique quelconque, sur un espace topologique quelconque, utilisant la cohomologie singulière est satisfaisante au sens indiqué ci-dessus. Des exemples montrent que la cohomologie de Čech-Alexander ne donne pas de théorie satisfaisante pour la classe des

---

([6]) *Comptes rendus*, 232, 1951, p. 1734.

([7]) Dans le *Journal d'Analyse Mathématique*, Vol. 2.

([1]) *Comptes rendus*, 235, 1952, I, p. 778; II, p. 858; III, p. 929. Lire dans I, II, pour désigner les homomorphismes induits par les relations d'inclusion : ι au lieu de r.

([2]) M. Morse, *Mém. Soc. Math.*, Paris, 1939; *Annales de l'Institut H. Poincaré*, Paris, 1939.

fonctions φ semi-continues inférieurement même lorsque l'on suppose que les ensembles $[\varphi \leq p]$ sont compacts pour tout $p \in \mathrm{R}$ ([3]).

2. Soient dans un anneau $\mathfrak{A}$ des idéaux bilatères $\mathfrak{A}_p$, l'indice p parcourant l'ensemble R des nombres réels, tels que :

$$\text{si } p > q, \quad \mathfrak{A}_p \supset \mathfrak{A}_q, \quad \mathfrak{A} = \bigcup \mathfrak{A}_p.$$

La décomposition de $\mathfrak{A}$ par les $\mathfrak{A}_p$, $p \in \mathrm{R}$, définit une filtration réelle de $\mathfrak{A}$:

$$f(0) = \infty; \qquad \text{si} \quad a \in \mathfrak{A}, \quad a \neq 0, \quad f(a) = \mathrm{Sup}\ p \text{ tel que } a \in \mathfrak{A}_p.$$

La filtration sera dite atteinte par la décomposition $\mathfrak{A}_p$ qui la définit, lorsque pour tout a : $a \in \mathfrak{A}_{f(a)}$, autrement dit : $\mathfrak{A}^{p-0} = \bigcap_{\varepsilon>0} \mathfrak{A}_{p-\varepsilon} = \mathfrak{A}_p$ pour tout $p \in \mathrm{R}'$.

Exemple. — $\mathfrak{I}$ étant un idéal bilatère d'un anneau à filtration réelle $\mathfrak{A}$, l'une ou l'autre des décompositions $(\mathfrak{A}^{p-0} + \mathfrak{I})/\mathfrak{I}$, $p \in \mathrm{R}$, ou $(\mathfrak{A}^{p} + \mathfrak{I})/\mathfrak{I}$, $p \in \mathrm{R}$, définit la filtration f' de $\mathfrak{A}/\mathfrak{I}$. Pour que f' soit atteinte par la première décomposition, il faut et il suffit que dans toute classe h de $\mathfrak{A} \bmod \mathfrak{I}$ la fonction f atteigne son maximum : il existe $a \in h$ tel que $f(a) = f'(h)$.

Application. — $\mathfrak{A}$ est un anneau différentiel à filtration réelle; définissons $\mathfrak{C}_s^{r-0}$ et $\mathfrak{D}_p^{r-0}$: $a \in \mathfrak{C}_s^{r-0}$ si $f(a) \geq r$, $f(\delta a) > s$; $a \in \mathfrak{D}_p^{r-0}$ si $f(a) \geq r$, $a = \delta b$, $f(b) > p$.

L'anneau $\mathfrak{C}_s^p/(\mathfrak{C}_s^s + \mathfrak{D}_p^p)$ est décomposé par les $\mathfrak{C}_s^{q-0}/(\mathfrak{C}_s^s + \mathfrak{D}_p^{q-0})$, $p < q \leq s$. Dire que cette décomposition atteint la filtration qu'elle définit, signifie que :

$$\mathrm{E}(p, q-0, s, s) = \lim_{\varepsilon>0} \mathfrak{C}_s^{q-\varepsilon}/(\mathfrak{C}_s^s + \mathfrak{D}_p^{q-\varepsilon}) = \mathfrak{C}_s^{q-0}/(\mathfrak{C}_s^s + \mathfrak{D}_p^{q-0})$$

Il s'ensuit également que

$$\mathrm{E}(p, q-0, r, s) = \lim_{\varepsilon>0} \mathfrak{C}_s^{q-\varepsilon}/(\mathfrak{C}_s^r + \mathfrak{D}_p^{q-\varepsilon}) = \mathfrak{C}_s^{q-0}/(\mathfrak{C}_s^r + \mathfrak{D}_p^{q-0})$$

Ceci a, entre autres conséquences, la suivante : l'homomorphisme

$$\mathrm{E}(w, q-0, r, s) \to \mathrm{E}(p, q-0, r, s) \qquad (w \in \mathrm{R}', \ w > p) \quad \text{est sur.}$$

Dans le cas particulier où

$$p = -\infty, \qquad r = q, \qquad s = \infty, \qquad w = q - 0 : \mathfrak{X} \to \mathfrak{K} \quad \text{est sur.}$$

La filtration d'un anneau différentiel à filtration réelle sera dite *accessible* lorsque la décomposition $\mathfrak{C}_s^{q-0}/(\mathfrak{C}_s^s + \mathfrak{D}_p^{q-0})$ de $\mathfrak{C}_s^p/(\mathfrak{C}_s^s + \mathfrak{D}_p^p)$ atteint la filtration qu'elle définit, ceci pour tous $p \in (-\infty) \cup \mathrm{R}$, $s \in \mathrm{R} \cup \infty$.

3. Soient X, un espace topologique, φ, une fonction numérique sur X, $\mathfrak{A}$ l'anneau, des cochaînes singulières sur X, à valeurs dans un corps G.

([3]) Avec l'homologie de Čech, on obtient une théorie satisfaisante dans ce cas : *cf.* (2).

Filtrons $\mathfrak{A}$ par

$$f(o)=\infty,$$

si $a\neq o$, $f(a)=\mathrm{Sup}\,p$ tel que a soit nul sur les simplexes singuliers de $\varphi\leq p$.

THÉORÈME. — *La filtration de $\mathfrak{A}$ ainsi définie est accessible.*

TOPOLOGIE ALGÉBRIQUE. — *Sur les anneaux spectraux de certaines classes d'applications.* III. *Fonctions numériques (différentiables).* Note de M. **ISTVÁN FÁRY**, présentée par M. Paul Montel.

Nous étudions la variation du faisceau $\mathfrak{B}$, c'est-à-dire celle de $H(\alpha\leq f\leq\beta)$, en supposant que f a les propriétés énumérées au n° 1. Comme chaque niveau critique contient des points critiques, on peut *estimer* la variation locale de $\mathfrak{B}$, si l'on connaît le comportement de f aux points critiques : EH(IH) est un quotient (un sous-module) d'une somme directe d'anneaux de cohomologie d'hypersurfaces algébriques réelles.

1. X désigne dans cette Note une variété indéfiniment différentiable à n dimensions. f est une fonction indéfiniment différentiable partout définie dans X. Toutes les notations usuelles des Notes I, II (1) sont conservées et se rapportent à cette fonction. Nous supposons que, outre a, b (Note II, n° 2), f a les propriétés suivantes :

c. La différentielle totale $df(x, dx)$ de f ne s'annule identiquement en dx qu'aux points $c_j\in X$, qui constituent un *ensemble discret*. Au voisinage de c_j il existe un système de coordonnées locales (x_i), tel que

$$f(x_1, \ldots, x_n)=\gamma'_k+P_j(x_1, \ldots, x_n), \qquad \gamma'_k=f(c_j) \tag{1}$$

$$\sum_i\left(\frac{\partial P_j}{\partial x_i}\right)^2>0, \qquad \text{si } x\neq c_j, \tag{2}$$

où P_j est un *polynome homogène* de degré ≥ 2 (2). L'hypersurface algébrique réelle $P_j^\alpha : P_j(x)=\alpha-\gamma'_k$ est dite attachée au point c_j.

2. En considérant le gradient de f dans une métrique riemannienne quelconque de X et en utilisant la propriété a de f, on démontre que α est une valeur ordinaire, si F_α ne contient pas de points c_j. Par conséquent, *chaque valeur critique γ_l est un γ'_k* (3).

3. Soit $X=R^n$ un espace euclidien, $f=P$ un polynome homogène de degré ≥ 2 satisfaisant à (2). o est la seule valeur critique de P. $F_\alpha : P(x)=\alpha$

(1) Cette Note fait suite à la Note I, des *Comptes rendus*, 235, 1952, p. 686 et à la Note II, *ibid.*, p. 780.

(2) On peut introduire un tel système de coordonnées (x_i), si f admet un développement limité au voisinage de c_j, qui commence par les termes du second membre de (1), et dont le reste satisfait à certaines conditions. Ces conditions sont remplies en particulier, si f est analytique au voisinge de c_j.

(3) Ces propositions ne sont pas valables si f n'a pas la propriété a.

est une hypersurface algébrique réelle pour $\alpha \neq 0$; F_0 est un cône sans génératrice double. Soit V un voisinage *ouvert* de l'origine de R^n. Si $|\alpha|$ est suffisamment petit

(4) l'injection $H(F_\alpha \cap V) \to H(F_\alpha)$ est un homomorphisme *sur*.

Si V *est convenablement choisi, l'injection* (4) *est un isomorphisme*. Nous avons

$$TH_\alpha = EH_\alpha = H(F_\alpha) \tag{5}$$

$$H(F_0) = H(F_{-\alpha}) + H(F_\alpha) \qquad (\alpha \neq 0). \tag{6}$$

Ces relations montrent que l'origine de R^n est un point critique de P (4). En effet, d'après (4) et (5), o est une valeur critique de la restriction de P à V.

On démontre que la section $H(F_\alpha) \to (F_\alpha \cap \overline{V})$ est nulle, pour chaque petit voisinage compact $\overline{V}$ de $x = o$. L'équation (5) de la Note II est vérifiée.

4. Reprenons les notations du n° 1. Dans un petit voisinage de c_j, $f - \gamma'_k$ est identique à la restriction de P_j à un voisinage de l'origine de R^n. Par conséquent *chaque point* c_j *est un point critique de* f (4).

5. Dans ce qui suit, (α_0, β_0) est un intervalle qui contient la seule valeur critique γ, et $\alpha_0 \leq \alpha < \gamma < \beta \leq \beta_0$. C désigne l'ensemble des points critiques de F_γ. D'après les résultats précédents nous pouvons construire un voisinage *ouvert* V de l'ensemble discret C, tel que

$$H(F_\alpha \cap V) = \Sigma H(P_j^\alpha), \tag{7}$$

où le second membre est la somme directe des anneaux de cohomologie des hypersurfaces attachées aux points critiques de F_γ (5). Dans le diagramme (8), les homomorphismes sont des injections et des sections de $F_I = (\alpha \leq f \leq \beta)$.

$$\left\{\begin{array}{ccccc} H(F_\alpha \cap V) & \leftarrow & H(F_I \cap V) & \rightarrow & H(F_\beta \cap V) \\ \downarrow & & \downarrow & & \downarrow \\ H(F_\alpha) & \leftarrow & H(F_I) & \rightarrow & H(F_\beta) \\ \downarrow & & \downarrow & & \downarrow \\ H(F_\alpha - V) & \leftarrow & H(F_I - V) & \rightarrow & H(F_\beta - V) \end{array}\right. \tag{8}$$

Envisageons un $h_\alpha \in H(F_\alpha)$ contenant un cocycle a_α, tel que, si $\alpha \to \gamma$, le support $S(a_\alpha)$ converge vers un ensemble compris dans C. Dans ce cas h_α provient de $H(F_\alpha \cap V)$, et (4) et (5) montrent que $h_\alpha \in EH_\alpha$ (h_α est une classe *évanouissante*). On démontre la réciproque à l'aide du diagramme (8).

LEMME 1. — $EH_\alpha(\gamma)$ *est l'image de l'injection* $H(F_\alpha \cap V) \to H(F_\alpha)$.

COROLLAIRE 1. — $EH_\alpha(\gamma)$ *est un quotient de la somme directe des anneaux de cohomologie des hypersurfaces attachées aux points critiques de* F_γ.

(4) *Cf.* la définition (10) de la Note I.

(5) Si C est fini, V peut être construit dans un voisinage arbitraire de C.

6. Désignons par $\overline{V}$ l'adhérence de V. En utilisant un diagramme, où l'on fait intervenir $\overline{V}$, on démontre :

LEMME 2. — $TH_\alpha(\gamma)$ *est le noyau de la section* $H(F_\alpha) \to H(F_\alpha \cap \overline{V})$.

En d'autres termes : pour que $h_\alpha \in H(F_\alpha)$ appartienne à TH_α, il faut et il suffit qu'elle contienne un cocycle b_α, tel que, si $\alpha \to \gamma$, $\lim S(b_\alpha) \cap C = \emptyset$.

LEMME 3. — $IH_\alpha(\gamma)$ *est l'image de la section* $H(F_\alpha) \to H(F_\alpha \cap \overline{V})$.

COROLLAIRE 2. — $IH_\alpha(\gamma)$ *est isomorphe à un sous-module de*

$$\text{(9)} \qquad H(F_\alpha \cap \overline{V}) = \Sigma H(P_j^\alpha \cap \overline{V}),$$

où la somme directe est prise sur les hypersurfaces attachées aux points critiques de F_γ (6).

PROPOSITION. — *Si l'anneau de coefficients* A *est un corps, il existe un isomorphisme canonique dans* $IH_\alpha^p(\gamma) \to EH_\alpha^q(\gamma)$ $(p+q=n-1)$. *Si* F_γ *est compact* $IH_\alpha^p(\gamma) = EH_\alpha^q(\gamma)$ (7).

GÉOMÉTRIE MÉTRIQUE. — *Principes de classification dans l'étude des trièdres et des tétraèdres.* Note de Mlle GENEVIÈVE GUITEL, présentée par M. René Garnier.

Classification des trièdres, tétraèdres, angles tétraèdres d'après le nombre de leurs éléments aigus ou obtus. Familles de tétraèdres et figures apparentées. Existence d'une infinité de trièdres, non trirectangles, égaux à leurs trièdres supplémentaires.

Position, par rapport à un tétraèdre, du centre de sa sphère circonscrite.

Ce travail s'inscrit dans le groupe des similitudes.

1. TRIÈDRES. — Nous avons démontré qu'il suffit de connaître le nombre total des éléments obtus d'un trièdre pour savoir comment ces éléments obtus sont disposés dans le trièdre. Nous appelons ce nombre le *genre* du trièdre. Un trièdre ayant 6 éléments, 7 cas seront donc à examiner; on démontre qu'ils sont tous réalisables. Un trièdre peut donc être de genre 0, 1, 2, 3, 4, 5, 6. Les trièdres, de genres 1, 2, 3, ont un dièdre obtus; le trièdre de genre 4, deux dièdres obtus et les trièdres de genres 5 et 6 trois trièdres obtus.

THÉORÈME. — *Si un trièdre a ses trois dièdres aigus, il a ses trois faces aiguës.*

---

(6) Ces anneaux peuvent être exprimés à l'aide de la *cohomologie à supports non compacts de* P_j^α.

(7) Si nous appliquons les résultats de cette Note au cas où tous les P_j sont des formes quadratiques non dégénérées, nous retrouvons certains résultats de M. M. MORSE, *Proc. Nat. Acad. Sci. U. S. A.*, 38, 1952, p. 247.

THÉORÈME. — *Si un trièdre a une face obtuse et une seule, il a un dièdre obtus et un seul.* On peut énoncer les cas corrélatifs. Comme la somme des genres d'un trièdre et de son trièdre supplémentaire est égale à 6, un trièdre de genre 3 a un trièdre supplémentaire de genre 3.

THÉORÈME. — *Il existe une infinité de trièdres, non trirectangles, égaux à leurs propres trièdres supplémentaires*; a, b, c étant les faces du trièdre considéré, il suffira de prendre $a > \pi/2$, b tel que $\operatorname{cotg}(b/2) = \sin a$, $c = \pi - a$.

2. PARALLÉLÉPIPÈDES. — Il n'existe que trois genres de parallélépipèdes, car tout parallélépipède qui possède un trièdre donné, possède aussi tous ceux qu'on en déduit en remplaçant une ou deux des arêtes du trièdre par leurs prolongements.

3. TÉTRAÈDRES. — Un premier examen fait penser que 29 genres sont possibles; 27 seulement sont réalisables. Il existe 1 genre ayant tous ses dièdres aigus, 6 genres ayant 1 dièdre obtus, 11 genres ayant 2 dièdres obtus opposés, 3 genres ayant 2 dièdres obtus concourants, 5 genres ayant 3 dièdres obtus appartenant au même trièdre et 1 genre ayant 3 dièdres obtus deux à deux concourants.

THÉORÈME. — *Il n'existe aucun tétraèdre ayant 4 faces* (1) *obtuses appartenant aux 4 trièdres d'un tétraèdre.* Dans tout tétraèdre, il y a donc toujours un trièdre ayant toutes ses faces aiguës. On peut même constater que sur 27 genres de tétraèdres, il y en a 25 qui ont deux trièdres ayant toutes leurs faces aiguës.

Si l'on connaît le nombre total d'éléments obtus d'un tétraèdre, il est exceptionnel que l'on puisse en déduire son genre. Même si l'on connaît les genres de ses 4 trièdres, il y a encore, dans trois cas, deux structures possibles.

Une simple chaîne linéaire fait passer d'un trièdre de genre o à un trièdre de genre 6 par adjonction, chaque fois, d'un nouvel élément obtus. Avec les tétraèdres, pour passer du genre oooo à n'importe quel autre genre par adjonctions successives d'un élément obtus et d'un seul, il faut se déplacer sur une figure de l'espace que nous proposons d'appeler la *résille des tétraèdres.*

Il y a 27 genres de tétraèdres quelconques et seulement 2 genres de tétraèdres orthocentriques, en se limitant aux cas généraux. C'est une nouvelle raison de comparer les tétraèdres orthocentriques aux triangles quelconques.

Centre de la sphère circonscrite à un tétraèdre. — Pour 22 genres, le centre est extérieur au tétraèdre; il lui est sûrement intérieur dans le cas d'un

(1) Le mot face doit être pris au sens de face pour un trièdre.

tétraèdre ayant comme seuls éléments obtus deux dièdres opposés, et il peut être intérieur ou extérieur pour les 4 derniers genres.

4. Angles tétraèdres. — Il n'existe que trois sortes d'angles tétraèdres : les angles tétraèdres convexes, les *tétracanthes*, les *tétracanthes inversés*. Un tétracanthe est un angle tétraèdre tel que la demi-droite opposée à l'une quelconque de ses arêtes soit intérieure au trièdre déterminé par les trois autres; on déduit un tétracanthe inversé d'un tétracanthe en substituant à l'une quelconque de ses arêtes la demi-droite qui lui est opposée.

Partant d'un tétraèdre et d'un point quelconque de l'espace, on peut construire un angle tétraèdre, ayant ce point comme sommet, et dont les arêtes sont perpendiculaires aux plans des faces du tétraèdre. Si le point donné est intérieur au tétraèdre, on formera ainsi un tétracanthe; s'il est situé à l'intérieur d'un trièdre tronqué ou dans un trièdre symétrique d'un des trièdres du tétraèdre, on obtient un tétracanthe inversé; enfin, s'il est dans les combles, un angle tétraèdre convexe. Les réciproques sont vraies.

L'énumération des genres des angles tétraèdres se fera donc à partir des tétraèdres. Chaque tétraèdre permet de construire un tétracanthe, 3 angles tétraèdres convexes, 4 tétracanthes inversés. Il y a 27 genres de tétraèdres, mais seulement 67 genres d'angles tétraèdres convexes au lieu de 81 et 78 genres de tétracanthes inversés au lieu de 108. Ceci est dû au fait que si un tétraèdre peut présenter un plan de symétrie ou un axe binaire, le nombre des angles tétraèdres convexes et des tétracanthes inversés qui en dérivent se trouve réduit.

Pour représenter les 67 genres d'angles tétraèdres convexes, les 78 genres de tétracanthes inversés, il faudra utiliser 3 résilles dans le premier cas, 4 dans le deuxième. Leurs points communs matérialiseront les symétries possibles du tétraèdre qui occuperait la même place sur la résille.

On peut utiliser, pour représenter les 7 genres de trièdres, des figures symboliques et un tableau à double entrée qui montre comment les *thèmes* de dièdres obtus s'associent avec les thèmes de faces obtuses (²). Nous avons aussi construit un tableau qui montre comment se répartissent les 27 genres de tétraèdres relativement aux 6 thèmes de dièdres et aux 12 thèmes de faces. Enfin, nous avons étendu la représentation symbolique des trièdres aux angles tétraèdres convexes et aux tétracanthes inversés, de sorte que l'on peut suivre, sur les résilles, les possibilités de passage d'une forme à une autre et sur des tableaux à double entrée la richesse de tel thème de dièdres ou de faces.

(²) *Thème :* nombre et disposition des éléments (dièdres ou faces).

MÉCANIQUE. — *Transformations infinitésimales et intégration des équations différentielles de la Mécanique.* Note de M. **François Gallissot**, présentée par M. Henri Villat.

J'utilise les notations et opérateurs $i(x)$ et $\theta(x)$ définis par M. H. Cartan (¹) : x étant un champ de vecteurs sur une variété V_{2n+1} à $(2n+1)$ dimensions, nous désignons : 1° par T l'ensemble de ces champs muni de sa structure de module sur l'anneau K des fonctions numériques; 2° par T′ le module des formes différentielles de degré 1 (module dual de T); 3° par A(T′) l'algèbre extérieure des formes extérieures de tous les degrés (²).

Soit $\Omega \in A(T')$ une forme différentielle de degré 2, de rang $2n$. Notre but est d'étudier les transformations infinitésimales du système d'équations différentielles Σ associé à Ω.

Lemme. — *Si* $X \in T$ *vérifie la relation*

$$\theta(X)\Omega = 0, \tag{1}$$

le système différentiel Σ *admet la transformation infinitésimale définie par* $\theta(X)$.

Théorème I. — *Si* $d\Omega = 0$, *à tout* X *vérifiant* (1) *correspond une intégrale première de* Σ *et réciproquement, en entendant par intégrale première une forme de Pfaff fermée qui s'annule sur les lignes intégrales.*

Ce théorème est une conséquence immédiate de la relation entre opérateurs i, θ, d (³),

$$\theta(x)\Omega = i(x)\, d\Omega + d(i(x)\Omega).$$

Ainsi à $X \in T$, $Y \in T$, correspondent respectivement les formes de Pfaff fermées π et σ et inversement, la correspondance étant définie par $i(X)\Omega = \pi$, $i(Y)\Omega = \sigma$. Au crochet de Lie $[X, Y]$ correspond le crochet $[\pi, \sigma]$ qui est le double de la différentielle de la parenthèse classique de Poisson dans le cas particulier où $\pi = df$, $\sigma = dg$, sont des différentielles exactes. Si $[X, Y] = 0$ (X et Y sont alors dits en involution), $[\pi, \sigma] = 0$, on n'obtient pas une intégrale première nouvelle; si $[X, Y] \neq 0$, $[\pi, \sigma]$ est effectivement égale à la différentielle d'une fonction de l'anneau K. A la structure du module des champs de vecteurs X tels que $\theta(X)\Omega = 0$ correspond par dualité la structure du module des différentielles des intégrales premières.

Théorème II. — *Si* $d\Omega = 0$, *à n champs de vecteurs* $X^\alpha (\alpha : 1 \text{ à } n)$ *vérifiant* (1) *et de plus deux à deux en involution correspondent n formes de Pfaff fermées* π^α.

(¹) *Colloque de Topologie*, Bruxelles, 1950, Masson, Paris, 1951, p. 15 à 27. Les références à cet article seront notées C.

(²) Champs, variétés, fonctions, formes sont supposées indéfiniment différentiables.

(³) C. p. 18, relation III.

La forme $\widetilde{\Omega}$ *induite dans toutes les variétés intégrales du système* $\pi^\alpha = 0$ *est nulle. L'intégration de* Σ *s'achève par quadratures.*

En effet

$$\Omega = \sum_{\alpha=1}^{n} \pi_\alpha \wedge \pi^\alpha, \qquad d\Omega = d\pi_\alpha \wedge \pi^\alpha$$

en multipliant les deux membres de cette dernière relation par $\pi' \wedge \ldots \widehat{\pi^\alpha} \ldots \wedge \pi^n$ (4) *et tenant compte de* $d\Omega = 0$,

$$d\pi_\alpha = 0 \qquad [\operatorname{mod} \pi^\alpha = 0;\ \alpha(1, n)].$$

Ce théorème complète la théorie de E. Cartan (5) pour les caractéristiques des formes de Pfaff.

V_{2n+1} étant rapportée à un système de coordonnées p_i, q^i, t, appelons forme canonique de Ω la forme $\sum_{j=1}^{n} dr_j \wedge ds^j$, r_j, s^j étant $2n$ fonctions de p_i, q^i, t.

Appelons T_c une transformation réduisant Ω à la forme canonique. Intégrer Σ revient à mettre Ω sous forme canonique, c'est-à-dire à déterminer une T_c. Dans le cas des équations de la mécanique $\Omega = dp_i \wedge dq^i - dH \wedge dt$, H fonction de p_i, q^i, t; pour obtenir une T_c on écrit que la forme $\pi = \Omega - \sum_{j=1}^{n} dr_j \wedge ds^j$ définie sur la variété V_{4n+1} est nulle sur les sous-variétés $r_j = r_j(p_i, q^i, t)$ $s^j = s^j(p_i, q^i, t)$.

On obtient ainsi les cas d'intégrabilité classiques : de Stäckel généralisé, Liouville, Delassus. On peut en obtenir d'autres. Exemples :

$$2H(p_i, q^i, t) = \sum_{i=1}^{n-1} [\gamma_j (p^j)^2 - 2\beta_j q^j p_j p_n] + q^n (p_n)^2 + \alpha q^n,$$

$$2H(p_i, q^i, t) = \sum_{i=1}^{n-1} [\gamma_j q^j (p_j)^2 + 2\beta_j q^j p_j p_n] + q^n (p_n)^2 + \alpha q^n;$$

α, β_j, γ^j étant $(2n-1)$ constantes.

MÉCANIQUE DES FLUIDES. — *Un enregistreur de profil de houle pour laboratoire.* Note de MM. **Lucien Santon** et **Clovis Marcou**, présentée par M. Joseph Pérès.

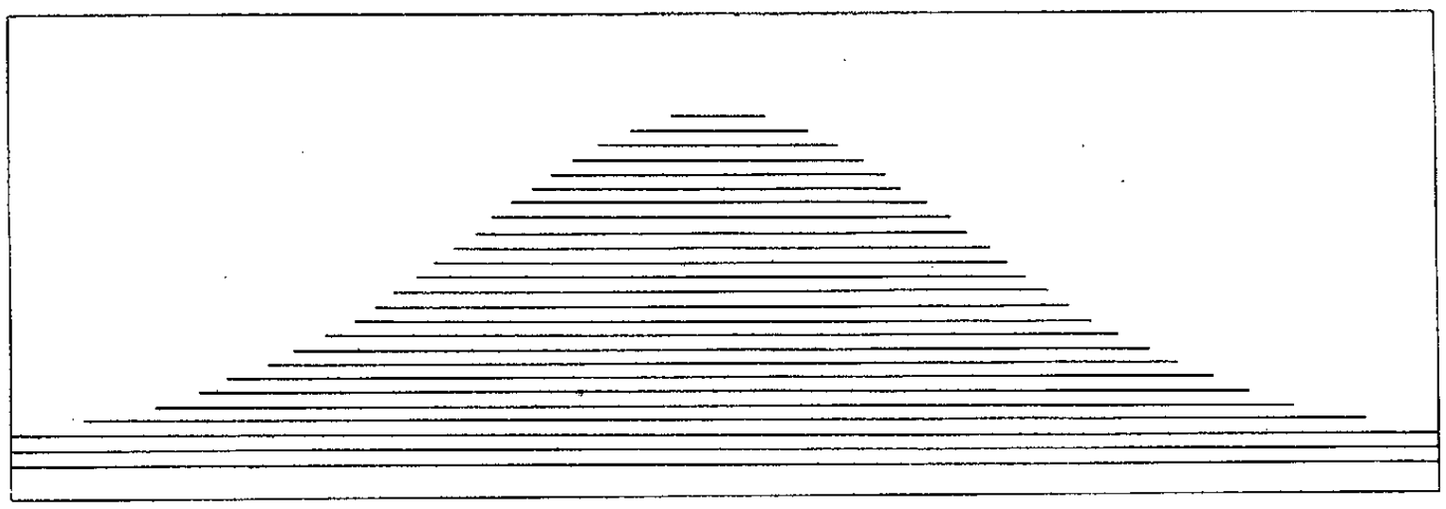
Nous avons réalisé au laboratoire d'Hydraulique de l'Institut Polytechnique de Grenoble un appareil simple permettant de déterminer la

(4) Cette notation signifie qu'on supprime π^α dans le produit $\pi' \wedge \ldots \wedge \pi^n$.

(5) *Cf.* E. Cartan, *Leçons sur les invariants intégraux*, Paris, Hermann, 1922, p. 119 à 121.

longueur d'onde et de tracer le profil d'une houle périodique obtenue en laboratoire, c'est-à-dire douée de périodes rigoureusement définies en temps T et en abscisses λ. La cote de la surface libre est une fonction périodique, de période 1 de la variable sans dimension $(t/T) - (x/\lambda)$. Plusieurs appareils utilisent déjà le rôle symétrique joué par les variables temps et abscisse, nous avons utilisé aussi la périodicité.

Une pointe d'abscisse fixe descend d'un mouvement uniforme et à une vitesse faible (de l'ordre de 1 mm/s). A sa rencontre avec l'eau, elle ferme un circuit électrique alimenté par un oscillateur à 5 000 Hz et qui comprend un stylet inscripteur en contact avec un cylindre enregistreur calé sur l'axe du volant qui entraîne le batteur. Le cylindre est recouvert de papier conducteur à couche superficielle sensible et le stylet est animé parallèlement aux génératrices du cylindre d'un mouvement uniforme. La vitesse de ce mouvement peut être la même que celle de la pointe ou en être un multiple connu si l'on veut accentuer la forme de la houle.



Exemple d'enregistrement de houle. (Pour la clarté du dessin on n'a représenté qu'un trait sur six et leur espacement a été doublé.)

Si la pointe et le stylet sont immobiles, la pointe étant à une cote intermédiaire entre les creux et les crêtes de la houle, au passage de chaque vague le circuit sera fermé pendant un certain temps et le stylet tracera un arc de cercle sur le cylindre. Après développement du papier l'inscription donnera un segment de droite et il y aura le même rapport entre la longueur du segment et celle de la circonférence, d'une part, la durée d'immersion et la période T, d'autre part, et aussi la longueur de la houle à la cote de la pointe et la longueur d'onde.

Si maintenant on déclenche les déplacements simultanés de la pointe et du chariot porte-stylet, on tracera des arcs d'hélice dont chacun aura la propriété précédemment donnée pour l'arc de cercle et qui, après développement, donneront des traits parallèles dessinant en hachures régulières et légèrement inclinées l'image du profil de la houle.

En fait cette image est distordue : les profondeurs sont représentées

à une échelle connue, mais la longueur d'onde, quelle que soit sa valeur, est toujours figurée par la circonférence du cylindre. Cette particularité, très utile pour la comparaison de houles de longueurs d'onde différentes, nécessite la détermination précise de cette grandeur.

L'appareil se prête aisément à cette mesure : il suffit de comparer les enregistrements donnés par deux pointes laissées fixes à la même cote et dont la différence des abscisses est bien connue. Chacun de ces enregistrements, que l'on fera successivement et en déplaçant légèrement le chariot porte-stylet en passant de l'un à l'autre, sera constitué comme on l'a vu plus haut par un arc de cercle. Il y a proportionnalité entre le décalage des origines, ou des extrémités, de ces arcs et la longueur de la circonférence d'une part et la distance des pointes et la longueur d'onde d'autre part.

Une précision satisfaisante est obtenue en plaçant les pointes à une distance l'une de l'autre voisine d'une longueur d'onde et en amenant leurs extrémités à une cote pour laquelle la houle présente la pente maximum. Cette dernière condition est convenablement satisfaite si les pointes affleurent l'eau immobile.

MÉCANIQUE DES FLUIDES. — *Sur le passage par la vitesse du son au cours de la détente d'un gaz en combustion.* Note de M. **Max Serruys**, présentée par M. Armand de Gramont.

Méthode de calcul différentiel simple permettant d'élucider l'influence des différents facteurs qui interviennent dans l'écoulement laminaire varié, dans une tuyère de profil quelconque, d'un mélange gazeux (dénué de viscosité) en cours de combustion; et de préciser la condition à satisfaire pour que les gradients de vitesse et de pression restent finis au passage de la « vitesse du son ».

Prenant pour base des calculs les équations fondamentales et classiques :

1° de la Mécanique des fluides (pour un axe Os tangent à la trajectoires) :

$$\frac{d\mathrm{W}}{dt} = \frac{\partial \mathrm{W}}{\partial t} + \mathrm{W}\frac{\partial \mathrm{W}}{\partial s} = -\frac{1}{\rho}\frac{\partial \mathrm{P}}{\partial s};$$

2° de continuité :

$$\frac{\partial(\rho \Sigma \mathrm{W})}{\partial s} + \frac{\partial(\rho\Sigma)}{\partial t} = 0;$$

3° de conservation de l'énergie :

$$d\left(\frac{1}{2}\mathrm{W}^2\right) + d\mathrm{U} + d\mathrm{E} = d\mathrm{Q} + d\mathfrak{T}$$

(où E représente l'énergie potentielle chimique du mélange gazeux à l'instant t et dans la tranche Σ considérés).

4° d'état du fluide (supposé dénué de viscosité).

$$\frac{\mathrm{P}}{\rho} = \frac{\mathrm{R}}{\mathrm{M}}\mathrm{T}$$

et admettant qu'on a affaire à un écoulement varié, mais laminaire, dans une tuyère quelconque mais de profil invariable, on a obtenu l'équation différentielle suivante définissant le gradient de vitesse :

$$\left(\frac{a^2-W^2}{\gamma-1}\right)\frac{\partial W}{\partial s}=\frac{W}{\gamma-1}\frac{\partial W}{\partial t}+\frac{dQ-dE}{dt}-\frac{a^2}{\gamma-1}\frac{1}{M}\frac{dM}{dt}-a^2\frac{W}{\gamma-1}\frac{1}{\Sigma}\frac{\partial \Sigma}{\partial s}$$

et l'équation relative au gradient de pression

$$-(a^2-W^2)\frac{\partial P}{\partial s}=\rho a^2\frac{\partial W}{\partial t}+\rho W\left[(\gamma-1)\frac{dQ-dE}{dt}-\frac{a^2}{M}\frac{\partial M}{\partial t}\right]-\rho a^2 W^2\frac{1}{\Sigma}\frac{\partial \Sigma}{\partial s}.$$

Ces deux équations mettent en évidence :

1° La possibilité de donner à la divergence de la tuyère $(1/\Sigma)(\partial\Sigma/\partial s)$, au flux d'énergie $(dQ-dE)/dt$, à la variation de masse moléculaire moyenne $(1/M)(dM/dt)$, et même à l'accélération de l'écoulement $(\partial W/\partial t)$, *n'importe quelles valeurs*, pour les vitesses autres que la « vitesse du son » $a=\sqrt{\gamma(R/M)T}$;

2° La possibilité d'assimiler *au point de vue des gradients de vitesse et de pression* l'écoulement avec combustion (ou apport de chaleur) en question, à un écoulement adiabatique réversible, à condition d'admettre pour la divergence de la tuyère la valeur fictive

$$\frac{d\Sigma}{\Sigma}+\frac{dM}{M}-\frac{dQ-dE}{CT};$$

3° la nécessité pour les paramètres cités au 1° d'obéir à la relation

$$W\frac{\partial W}{\partial t}+(\gamma-1)\frac{dQ-dE}{dt}-\frac{a^2}{M}\frac{dM}{dt}-a^2\frac{W}{\Sigma}\frac{\partial \Sigma}{\partial s}=0$$

pour que les gradients de vitesse et de pression restent finis dans la section Σ où la vitesse du fluide devient égale à la « vitesse du son » a;

4° l'apparition nécessaire de deux ondes de choc de sens inverses au voisinage de la section où le fluide atteint la « vitesse du son » a si la relation citée au 3° n'est pas satisfaite.

Les calculs développés sur la base des équations en question permettent en outre de préciser l'influence propre des différents paramètres ci-dessus mentionnés sur la vitesse, la pression, la température, la densité, et même l'exposant de l'évolution polytropique « tangente » à l'évolution réelle du fluide dans la section considérée, et ce, tant dans le cas général que dans les principaux cas particuliers à envisager (régime permanent, détente isentropique, tuyère cylindrique, etc.).

Les conclusions correspondantes et en particulier la séparation des sections correspondant au col et à la « vitesse du son », dans l'écoulement permanent avec apport de chaleur et l'effet accélérateur d'une soustraction de chaleur aux vitesses supersoniques feront l'objet d'une publication très prochaine.

ASTROPHYSIQUE. — *Observation de* AE Aquarii.

Note (*) de M. **François Lenouvel**, présentée par M. André Danjon.

Du 20 juin au 2 juillet 1952, nous avons observé l'étoile variable AE *Aqr* au télescope de 120 cm de l'Observatoire de Haute-Provence avec le photomètre précédemment décrit (1). Les principaux résultats de sept nuits d'observation, représentant un total de 18 h de mesures, sont résumés ici. Cette étude nous a été suggérée par (2), et son intérêt avait déjà été soulevé dans (3) et (4). Le spectre est désigné comme « peculiar » dans la liste (5), qui contient des étoiles à raies H et K en émission. AE *Aqr* est une variable qui présente de brusques explosions, aussi nous avons pensé qu'un enregistrement continu en plusieurs couleurs nous permettrait d'obtenir des détails sur la courbe de lumière. Les trois filtres colorés utilisés ont 1 mm d'épaisseur, ce sont les verres de Schott UG 1, BG 12 et OG 4 A. L'étoile de comparaison choisie a pour coordonnées : 20 h 34 m 40 s, $-1°21'$, (1900,0).

Nous avons consacré le début de la nuit du 22 juin, à rattacher nos mesures photoélectriques aux échelles internationales de magnitude et d'indice de couleur. Sept étoiles de la séquence polaire Nord ont été mesurées ; on en déduit les valeurs suivantes pour l'étoile de comparaison :

m_{pv}..... 11,26 m_{pg}..... 11,73 C_{Int}..... 0,47

Pendant les trois premières nuits, nous avons observé alternativement AE *Aqr* à travers les filtres bleu et jaune. La remarque faite dans (6) nous a incité à effectuer quelques mesures les nuits suivantes en ultraviolet.

La figure 1 donne deux exemples des courbes de lumière où nous avons aussi reporté les mesures faites en ultraviolet. L'examen de l'ensemble des courbes de lumière conduit aux résultats suivants.

L'instant comme l'amplitude de l'explosion sont des phénomènes erratiques. La période moyenne des explosions semble de l'ordre de 50 m. La courbe de lumière montre des ondulations lentes et irrégulières auxquelles se superposent des explosions. Les ondulations lentes ont une amplitude un peu inférieure à celle des explosions, mais elles s'étendent sur une durée de plusieurs heures. Les explosions durent de 5 à 10 m et la pente de la phase montante est toujours supérieure à celle de la phase descendante. Sur les

---

(*) Séance du 1er septembre 1952.

(1) *Comptes rendus*, **232**, 1951, p. 385.

(2) *Sky and Telescope*, juin 1952, p. 204.

(3) *Pop. Astr.*, 55, p. 557.

(4) *Pop. Astr.*, 56, p. 162.

(5) *Ap. J.*, **109**, p. 231.

(6) *The Story of Variable Stars by Campbell and Jacchia*, p. 154.

22 explosions enregistrées, certaines s'imbriquent l'une dans l'autre; on retrouve le 23 juin vers 23 h 50 et le 25 juin vers 0 h 50 (*fig.* 1) des explosions dont l'allure est comparable aux explosions observées sur une étoile analogue AD *Leo* (BD + 20° 2465) ([7]), ([8]).

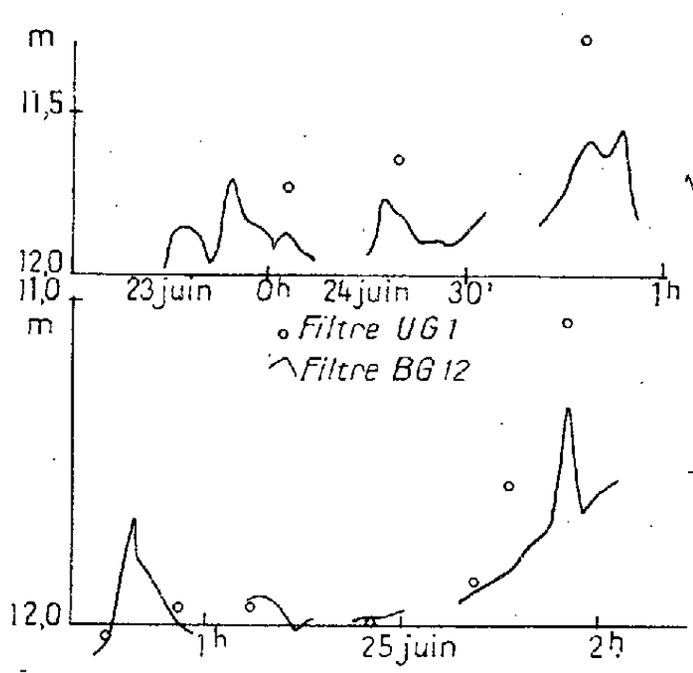


Fig. 1.

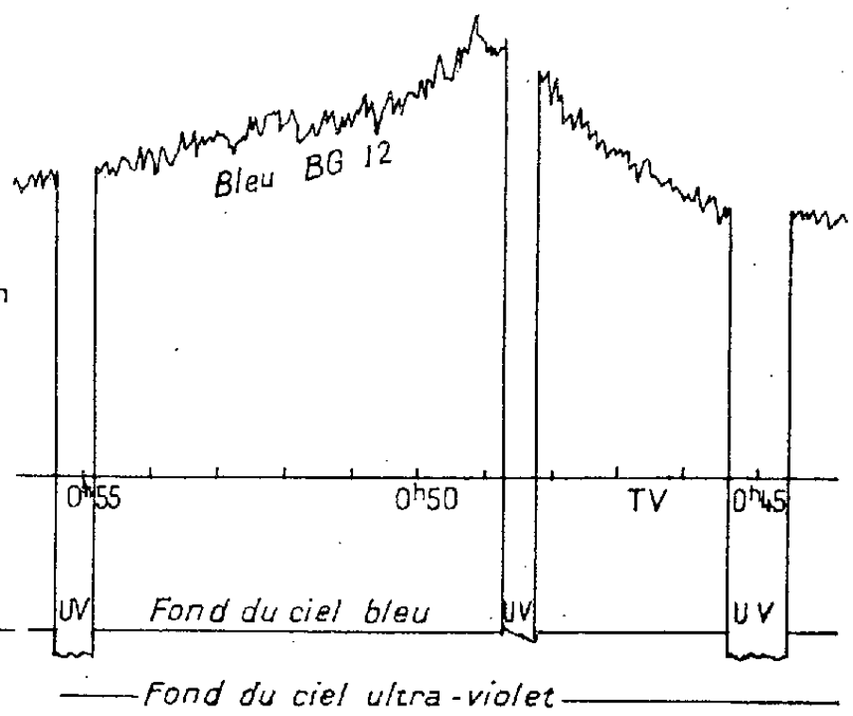


Fig. 2.

La figure 2 reproduit l'enregistrement direct d'une explosion; la vitesse du déroulement était de 2 cm/m. Il n'y avait pas de phase constante au maximum mais un point anguleux. La rapidité des variations rend difficile l'étude

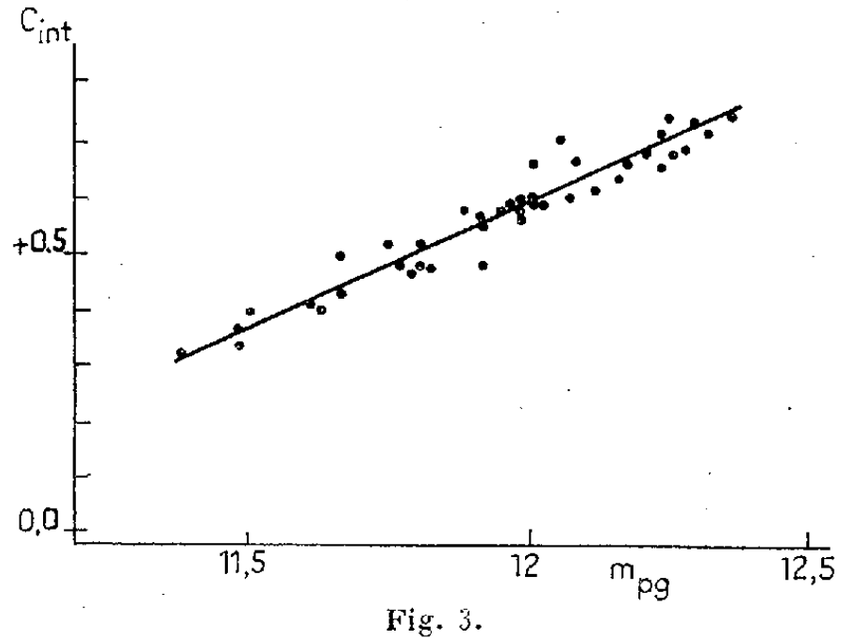


Fig. 3.

simultanée en deux couleurs, car rien ne permet de prévoir l'instant ni l'amplitude de l'explosion.

Nous avons toujours vérifié que l'amplitude de toutes les explosions variait

---

([7]) *P. A. S. P.*, n° **61**, 1949, p. 210.

([8]) *P. A. S. P.*, n° **64**, 1952, p. 129.

en sens inverse de la longueur d'onde effective employée. Il est donc intéressant de considérer la variation de l'indice de couleur et nous avons tracé (*fig.* 3) la courbe qui donne l'indice de couleur en fonction de la magnitude photographique. Les points s'alignent sur une droite et rien n'y distingue les explosions car à certaines magnitudes peut correspondre soit un point d'une phase calme mais lentement variable, soit un point d'une explosion. La même remarque peut être faite en considérant un indice de couleur bleu-ultraviolet.

Au cours de toutes nos observations, nous avons mesuré souvent l'étoile de comparaison au détriment de l'enregistrement continu de la variable. La perte d'une partie des mesures est largement compensée par la précision et la sécurité des résultats. Les mesures sur l'étoile de comparaison nous déterminent la droite de Bouguer de la nuit et la dispersion des points autour de cette droite nous renseigne sur l'ordre de grandeur des fluctuations de la transparence atmosphérique.

ASTROPHYSIQUE. — *Étude et résolution du grand nuage stellaire situé dans la direction du centre de la Voie Lactée.* Note de MM. **Jean Dufay, Joseph-Henri Bigay, Pierre Berthier** et **Jean Texereau**, présentée par M. André Danjon.

Le nuage brillant que les auteurs ont photographié au moyen des radiations du proche infrarouge a été, en grande partie, résolu en étoiles avec le télescope Schmidt de l'Observatoire de Haute-Provence. L'étude photométrique des clichés pris avec un objectif de plus courte longueur focale a permis, moyennant certaines hypothèses plausibles, d'évaluer l'absorption interstellaire totale dans l'infrarouge, le rouge et le bleu.

1. Les observations rapportées dans une Note précédente (1) suggéraient la possibilité de résoudre en étoiles le grand nuage brillant que nous avons photographié dans la direction du centre galactique au moyen des radiations du proche infrarouge. En dépit de sa courte longueur focale (59,4 cm, ouverture relative F/2), le télescope Schmidt de l'Observatoire de Haute-Provence, construit par A. Couder, nous a conduits à des résultats positifs. La résolution n'est sans doute encore que partielle dans la région centrale la plus dense du nuage, mais elle paraît complète dans les régions périphériques.

Désignons par B le nuage visible seulement en lumière infrarouge, par A le grand nuage du Sagittaire, bien visible en bleu, et par C la bande sombre intermédiaire. Des dénombrements d'étoiles effectués sur 1° carré dans les régions B et C nous ont donné :

pour $\lambda \simeq 4260$ Å, 2190 étoiles en B, 1270 en C (rapport 1,72);
pour $\lambda \simeq 8100$ Å, 3850 étoiles en B, 1110 en C (rapport 3,46).

(1) J. Dufay, J. H. Bigay et P. Berthier, *Comptes rendus*, 235, 1952, p. 120.

L'augmentation du nombre d'étoiles dans le proche infrarouge porte essentiellement sur les astres les plus faibles, vraisemblablement situés derrière les masses absorbantes, qui sont près de 5 fois plus nombreux en B qu'en C et seulement 1,5 fois plus nombreux en lumière bleue. Pourtant quelques étoiles à peine visibles en bleu sont proéminentes sur les photographies infrarouges, où leur éclat peut surpasser celui des étoiles de la classe G de 7e magnitude photographique. Il s'agit sans doute de géantes rouges, dont l'indice de couleur est encore fortement accru par l'absorption insterstellaire.

2. L'étude photométrique des clichés obtenus précédemment (1) avec l'objectif de 160mm de longueur focale, où les plages brillantes ne sont pas résolues en étoiles, nous a permis d'autre part d'étudier la répartition de la brillance sur les régions A, B et C, pour des longueurs d'onde effectives voisines de 4260, 6560 et 8300 Å. Les isophotes infrarouges ressemblent à ceux qu'ont tracés Kaliniak, Krassovsky et Nikonov (2) au moyen de leur convertisseur d'images électronique ($\lambda \simeq 9800$ Å), bien que nous trouvions une séparation moins complète des nuages A et B vers le Sud.

3. Admettons provisoirement avec les astronomes russes que les nuages A et B font partie d'un même ensemble et que leur séparation apparente résulte de la superposition d'une bande absorbante plus opaque en C; supposons de plus que les trois régions A, B et C auraient en moyenne, abstraction faite de l'absorption, la même brillance propre N, pour une longueur d'onde déterminée. Soit R_B le rapport entre les brillances moyennes des régions A et B qui résulte de nos mesures. En désignant par L la brillance de la haute atmosphère, uniforme sur toute l'aire étudiée, et par T_A et T_B les facteurs de transmission interstellaires relatifs aux deux régions, nous pouvons écrire

$$(1) \qquad NT_B + L = R_B(NT_A + L).$$

Or la connaissance de l'excès de couleur de l'amas globulaire NGC 6522, englobé dans la région A (3) conduit à une valeur approchée de T_B pour $\lambda \simeq 4260$ Å et l'on peut évaluer les facteurs de transmission relatifs à d'autres longueurs d'onde au moyen de la courbe d'absorption de Whitford (4). La relation (1) permettrait donc de calculer, pour chacune des trois bandes spectrales étudiées, le facteur de transmission T_B, à condition de connaître le rapport L/N.

Mais les mesures relatives à la région C donnent une équation analogue, où figurent le rapport connu R_C des brillances moyennes en C et en A, et le fac-

---

(2) *Izvestia de l'Observatoire de Crimée*, 6, 1951, p. 119.

(3) J. Stebbins et A. E. Whitford, *Astrophysical Journal*, 84, 1936, p. 132.

(4) *Astrophysical Journal*, 107, 1948, p. 102. On suppose qu'il n'y a pas d'absorption neutre, conformément au résultat obtenu par l'un de nous (J. Dufay, *Comptes rendus*, 228, 1949, p. 1277).

teur de transmission T_C. Comme la lumière transmise est très petite en C, en négligeant, dans cette dernière équation, le produit NT_C par rapport à L, on obtient une limite supérieure de L/N, qui, portée dans (1), donne une limite inférieure de T_B, ou, si l'on préfère, une limite supérieure de l'absorption correspondante en magnitude Δm_B. L'approximation ainsi réalisée suffit certainement pour les petites longueurs d'onde, mais elle doit être moins satisfaisante dans l'infrarouge. Les éléments et les résultats des calculs sont rassemblés dans le Tableau ci-dessous :

λ.	T_A.	R_C.	$\frac{L}{N}$.	R_B.	T_B.	Δm_B.
4260 Å	0,092	0,55	0,112	0,59	0,0088	5,14 magn
6560 Å	0,27	0,51	$\leq$0,29	0,64	$\geq$0,069	$\leq$2,90 »
8300 Å	0,47	0,65	$<$0,86	0,77	$>$0,166	$<$1,95 »

Ces résultats sont assez cohérents, car, d'après la courbe d'absorption de Whitford, à $\Delta m_B = 5,14$ magn pour 4260 Å, correspondraient respectivement pour 6560 et 8300 Å $\Delta m_B = 2,80$ et 1,63 magn. On retiendra de cette discussion que l'absorption totale devant le nuage B peut être de l'ordre de 5, 3 et moins de 2 magnitudes dans chacune des bandes spectrales considérées.

4. D'après les étoiles les plus brillantes de l'amas NGC 6522, Baade (5) estime à 9000 parsecs environ (compte tenu de l'absorption) la distance du nuage A, dont la population stellaire appartient au type II. L'ensemble des régions A, B et C, toujours supposées liées entre elles, représenterait alors un nuage d'environ 1600 parsecs de diamètre, qui pourrait constituer ou contenir le noyau central de la Voie Lactée.

PHYSIQUE THÉORIQUE. — *Sur une image simple des phénomènes de fission nucléaire.* Note de M. **Daniel Curie**, présentée par M. Frédéric Joliot.

Pour expliquer l'asymétrie de la fission, on considère le noyau d'uranium comme constitué d'un cœur saturé entouré d'une membrane de nucléons, la fission consistant en l'arrachement de cette membrane. Applications à l'allure de la courbe des rendements de fission et à la loi de variation des vies de fission spontanée en fonction de Z^2/A.

De nombreuses tentatives ont été faites pour expliquer la différence des masses des deux fragments de fission; mais aucune ne donne l'image concrète simple que l'on attendrait devant l'importance du phénomène : la fission de ^{235}U par neutrons lents en deux fragments de masses respectives $\approx$ 95 et 140 étant plusieurs centaines de fois plus probable que la fission symétrique.

(5) *Publications of the Astronomical Society of the Pacific*, 58, 1946, p. 249.

1. Nous avons examiné une première possibilité d'explication : Revenant à la théorie élémentaire de la fission (*voir* Fermi, *Nuclear Physics*), on considère la fission comme le passage d'une particule à travers ou par dessus une barrière coulombienne, dont la hauteur B est proportionnelle au produit des Z des fragments de fission et donc maximum pour la fission symétrique.

Mais l'énergie disponible E (différence des masses) est alors aussi maximum, et le calcul montre que la fission symétrique reste la plus probable. *Il est donc douteux qu'un raffinement des considérations de barrière de potentiel et d'énergie disponible conduise à une asymétrie importante.*

Cependant, on trouve ainsi que la hauteur effective de la barrière $\beta = B - E$ est proportionnelle à $A^{2/3}(x_{lim} - x)$, où $x = Z^2/A$, rendant compte *grosso modo* de la loi empirique récemment mise en évidence de variation des vies de fission spontanée avec x (1). De plus, x_{lim} peut être rendu égal à la valeur expérimentale 47 en calculant la barrière B lorsque les deux fragments de fission sont séparés par une distance de l'ordre du rayon d'action des forces nucléaires.

2. Ainsi l'asymétrie de la fission doit être reliée aux probabilités de préformation des différents couples de noyaux avant expulsion. L'influence de la structure en couches sur ces probabilités a été postulée depuis longtemps. Mais l'émission d'un noyau de nombre magique déterminé ne peut expliquer que le rôle particulier de ce noyau par rapport à ceux immédiatement voisins, et non l'allure générale de la courbe de rendement.

Nous considérons *les couches nucléaires, en première approximation, comme constituant réellement des couronnes concentriques.* Cette idée a un support expérimental dans l'examen détaillé de la loi d'augmentation des rayons nucléaires avec le nombre de masse (2).

Il est alors naturel d'admettre que *le noyau d'uranium est constitué par un cœur central saturé, entouré d'une couronne de nucléons.* Yasaki et Miyatake (3) ont déjà étudié théoriquement la déformation d'une goutte liquide possédant un tel cœur indéformable. Leurs calculs, très complexes, conduisent à l'asymétrie, mais ne peuvent se traduire par une image simple, et de plus le cœur postulé semble peu admissible (excès de protons, masse insuffisante).

Nous proposons d'envisager la fission comme *l'arrachement de la couronne de nucléons*, supposée peu liée au cœur, qui fournira le fragment lourd; la couronne une fois déchirée en un point se rassemblera en un fragment

(1) W. J Whitehouse et W. Galbraith, *Nature*, **169**, 1952, p. 494; G. T. Seaborg, *Phys. Rev.*, 85, 1952, p. 157.

(2) D. Curie, *J. Phys. Rad.*, 12, 1951, p. 941.

(3) *Phys. Rev.*, **79**, 1950, p. 740; *Phys. Rev.*, **80**, 1950, p. 754.

plus léger, l'énergie d'interaction de ses nucléons étant supérieure à leur énergie d'interaction avec les nucléons du cœur.

Nous considérons qu'il y a tendance à la formation d'un cœur doublement magique, comprenant 50 protons et 82 neutrons. Ce noyau (^{132}Sn) n'existe pas dans la nature; mais il est admissible de lui supposer une certaine stabilité dans le noyau d'uranium, de même que le neutron est stable dans un noyau et instable à l'extérieur (les isotopes ^{130}Sn et ^{131}Sn sont connus, avec les périodes respectives 3 jours et 5 h, soit déjà longues devant celle du neutron).

On voit aisément que la couronne extérieure est très mince (épaisseur moyenne un nucléon) et fragile. En général, elle abandonnera quelques nucléons sur le cœur : c'est pourquoi le maximum est à A = 140.

Remarquons qu'il n'est pas nécessaire de postuler l'existence constante d'un cœur à surface bien définie; il suffit d'admettre, entre cœur et couronne, une zone de moindre résistance pour que le noyau se coupe, du moins aux faibles énergies d'excitation, suivant cette zone. Notons qu'une déformation aussi compliquée qu'une déchirure suivie d'un regroupement de la couronne, puis de son arrachement définitif, ne peut certainement pas s'exprimer en fonction d'un nombre restreint de polynomes de Legendre comme dans les théories usuelles. La densité en protons du fragment léger sera de l'ordre de 0,42, ce qui est confirmé par l'expérience.

La déchirure de la couronne peut également se produire spontanément : si un proton s'éloigne du cœur à plus de 2 (potentiel en trou) à 4.10^{-13} cm (potentiel mésique), il n'est plus soumis, de la part du cœur, qu'à la force répulsive coulombienne. Mais les deux noyaux ainsi formés étant encore partiellement réunis, il leur faut quitter le puits de potentiel nucléaire, ce qui fait intervenir la barrière β calculée en 1.

Cette barrière, qui est minimum pour la fission symétrique, provoque une dissymétrie de la courbe des rendements de fission au voisinage des maxima, avantageant la partie centrale par rapport aux bords, ce que l'on observe effectivement.

MÉTROLOGIE. — *Méthode pour comparer une longueur à bouts et une longueur à traits.* Note de M. **Jean Terrien**, présentée par M. André Danjon.

On constitue une longueur à traits en prolongeant chaque extrémité de l'étalon à bouts par des abouts transparents tracés, sans contact matériel.

La méthode préférée pour comparer un étalon à bouts et un étalon à traits est celle utilisée pour la première fois par A. Bonhoure (1) et qui

(1) *Procès-Verbaux, Comité International des Poids et Mesures*, 1935, p. 30.

consiste à appliquer à chaque extrémité du premier une pièce auxiliaire, appelée about, sur laquelle est gravé un trait. L'étalon composite ainsi formé est comparé à un étalon à traits connu. Il faut tenir compte de l'épaisseur des abouts, que l'on détermine par une mesure interférentielle par exemple, mais la position du trait sur chacun d'eux n'intervient pas, car on mesure une deuxième fois l'étalon composite après avoir retourné les abouts.

La principale difficulté est d'assurer le contact des surfaces sans interposition de poussières ni déformation. On a pensé y parvenir avec des surfaces planes d'acier trempé, analogues à celles des calibres Johansson en acier, qui peuvent être mises en adhérence (²). L'épaisseur des films d'adhérence s'élimine en grande partie si elle se reproduit fidèlement; mais les adhérences ne semblent pas se reproduire toujours d'une façon identique (³).

De plus, les traits de l'étalon composite doivent être sur la fibre neutre; or, il n'est pas toujours facile d'effectuer le tracé au fond d'une cavité au centre des abouts. Enfin, la méthode d'adhérence n'est applicable qu'à des étalons à bouts plans, et même pour ces derniers, il est difficile de tenir compte des légers défauts de planéité qui déforment les surfaces lorsqu'elles sont en adhérence.

Dans la méthode nouvelle que je propose, on opère selon des principes analogues, mais les abouts en acier sont remplacés par des abouts transparents formés de blocs plan-parallèles en verre ou en silice fondue dont on mesure l'épaisseur par les interférences. Il en résulte plusieurs avantages :

1° Le contact n'est plus nécessaire, on laisse, entre les surfaces, une mince lame d'air mesurable par les interférences. Les incertitudes du contact sont donc éliminées.

2° Les traits sont tracés sur la face postérieure du bloc et observés par transparence; leur image, vue par réfraction, occupe une position fixe à l'intérieur de l'about, aux aberrations près qui sont négligeables dans les conditions habituelles et peut être amenée sur l'axe de l'étalon à bouts.

3° Les faces terminales de l'étalon à bouts peuvent être planes ou sphériques, elles ne sont déformées par aucun contact mécanique, leurs défauts sont visibles et mesurables par les interférences.

4° Les réglages géométriques nécessaires sont facilement contrôlables par des méthodes optiques.

(²) Pour plus de détails, *voir* A. Pérard, *Comptes rendus*, 206, 1938, p. 497 et aussi J. E. Sears, *Proc. Roy. Soc.*, A 186, 1946, p. 160, qui propose une méthode un peu différente de celle que nous avons indiquée.

(³) C. F. Bruce et W. A. F. Cunningham, *Austral. J. Appl. Science*, 3, 1952, p. 210, signalent des variations atteignant exceptionnellement 0,2 μ sur l'épaisseur du film d'adhérence.

5° Rappelons enfin que les vibrations lumineuses subissent une perte de phase à chaque réflexion. Dans notre méthode, les surfaces sont toujours localisées optiquement. L'étalon à bouts intervient uniquement par sa longueur optique, précisément celle que l'on obtient lorsqu'on le mesure avec une longueur d'onde étalon. La méthode se prêterait donc particulièrement bien à la mesure d'un étalon à traits à partir d'une longueur d'onde étalon, mesure qui deviendrait nécessaire pour connaître la longueur des mètres étalons à traits, si l'unité de longueur était définie, ainsi qu'on le propose, par une longueur d'onde étalon et non plus par le Mètre prototype international en platine iridié.

Cette méthode vient d'être mise à l'épreuve au Bureau International des Poids et Mesures par des expériences préliminaires, sans qu'aucune difficulté imprévue se soit présentée. Il semble que la précision de la comparaison de deux étalons, l'un à bouts et l'autre à traits, puisse ainsi rester celle de la comparaison de deux étalons de même type.

MAGNÉTISME. — *Influence de l'oxygène en solution solide dans les fers de haute pureté sur certaines propriétés magnétiques dans les champs alternatifs faibles.* Note de MM. **Jean Bourrat, Georges Chaudron** et **Israël Epelboin.** présentée par M. Eugène Darmois.

On sait que le champ coercitif et la perméabilité maximum ne sont pas liés directement au degré de pureté du fer (1). Il n'en est pas de même des propriétés magnétiques dans les champs faibles et les auteurs de cette Note ont établi des relations entre certaines caractéristiques magnétiques et la teneur en O_2 en solution solide dans les fers de haute pureté.

Les mesures sont effectuées avec quatre fers (2) longuement recuits dans l'hydrogène électrolytique pur et sec; les principales impuretés sont données dans le tableau ci-dessous.

Nature du fer.	Désignation.	Cu (%).	As (%).	Mn (%).	Ni (%).	Co (%).	S, C, N_2 et O_2 (%).
Fer spectroscopiquement pur	S	0,0003	0,0004	0,0005	0,0081	0,0064	0,001 à 0,002
Fer chimique (Vitry).....	C	0,0001	0,0001	0,0002	0,0007	0,0008	0,001 0,002
Fer obtenu par fusion oxydante et réductrice.....	F	0,0010	0,0000	0,0004	0,0108	0,0042	0,001 0,002
Fer électrolytique (Vitry).....	E	0,0010	0,0001	0,0002	0,0013	0,0200	0,001 0,002

Dans ces fers, nous avons introduit en solution solide une teneur déterminée d'oxygène. Un traitement thermique comportant après saturation un

(1) H. E. Cleveas et J. M. Hiegel, *J. Research Nat. Bureau of Standards*, 28, 1942, p. 643.

(2) J. Talbot et G. Chaudron, *Journées d'Automne de la S. F. M.*, Paris, 1952.

recuit sous vide à 950° suivi d'un refroidissement assez rapide jusqu'à 500°, puis beaucoup plus lent jusqu'à la température ambiante, évite les trop fortes tensions de trempe et permet de conserver intégralement l'oxygène en solution solide; nous avons vérifié ce résultat par micrographie ([3]).

Nos mesures portent sur une quantité de métal assez faible, de l'ordre de 0,3 g (le noyau magnétique ne comporte qu'un seul anneau). Nous relevons en fonction de l'amplitude du champ ($H \leq 21$ mOe) et de la fréquence ($40\,\text{Hz} \leq f \leq 10\,\text{KHz}$) la perméabilité complexe $\overline{\mu} = \mu_1 - j\mu_2$. Tous les échantillons étudiés obéissent à la loi de Rayleigh $\mu_a = \mu_0 + 2bH$, μ_0 et b étant les coefficients de Rayleigh et μ_a la perméabilité d'amplitude mesurée en basse fréquence ou calculée à partir de $\overline{\mu}$ pour $f \to 0$. Avec de faibles pertes

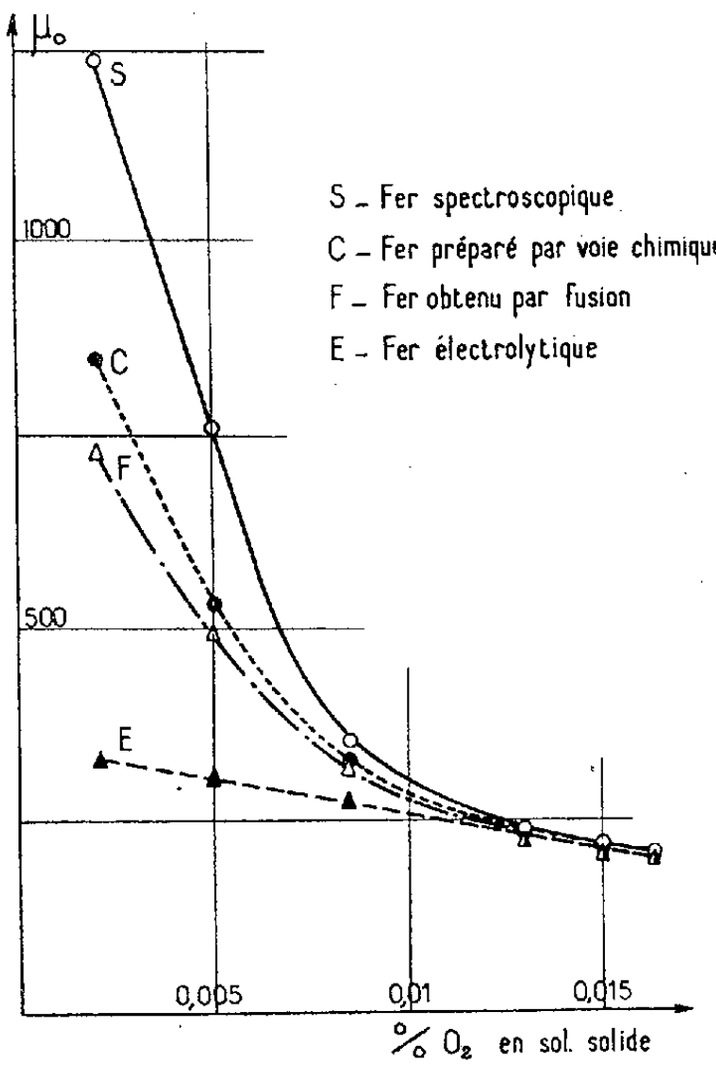


Fig. 1.

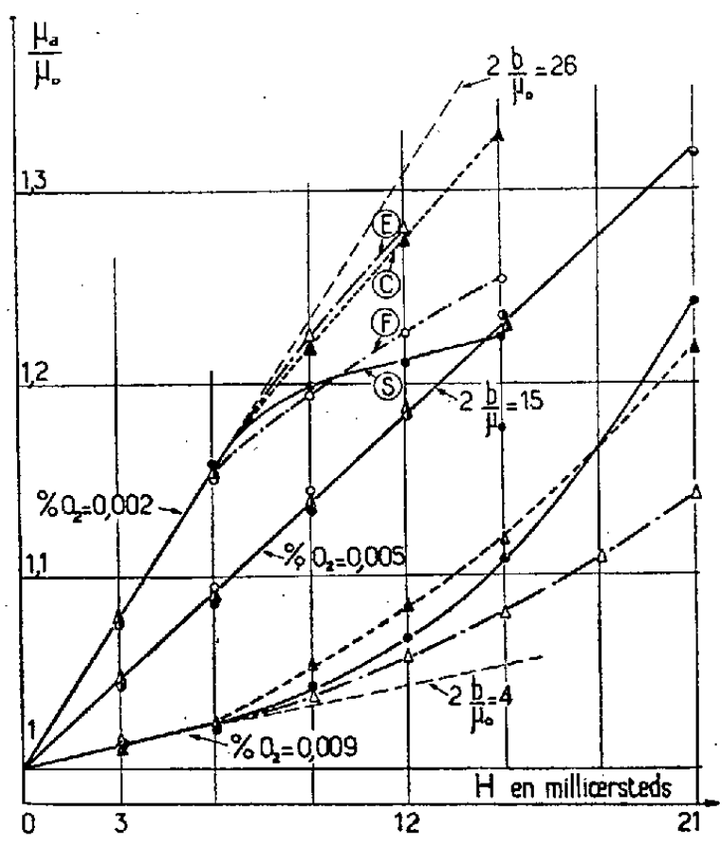


Fig. 2.

magnétiques ($\mu_2/\mu_1 \leq 0,2$), nous avons obtenu $\mu_2/\mu_1 = \varepsilon + 2\pi^2 e^2 \mu_0 (1+\varepsilon^2)/3\rho_a$ e, épaisseur du ruban, ε, constante de traînage de Jordan (toujours inférieure ici à 10^{-3}) et ρ_a résistivité apparente, en général différente de la résistivité électrique ρ. Dans le domaine de fréquences et de champs étudiés, la durée de stabilisation de l'aimantation est négligeable.

Nous avons choisi l'épaisseur du ruban (100 μ), d'une part pour éviter

([3]) J. Bourrat, *Journées d'Automne de la S. F. M.*, Paris, 1952.

l'influence perturbatrice des domaines de Weiss, d'autre part, pour permettre une purification plus complète dans H_2 à la température de 850° pendant un temps de l'ordre de 14 jours (4).

La figure 1 indique les variations de la perméabilité initiale μ_0 en fonction de la teneur en O_2 en solution solide; on constate que l'influence des impuretés métalliques est prépondérante lorsque la quantité de O_2 dissoute est faible. Cette influence s'estompe à mesure que croît la teneur en oxygène et elle s'annule sensiblement pour une teneur voisine de 0,013 %; la seule impureté métalloïdique (O_2) détermine alors les variations de la perméabilité initiale. Signalons que ρ_a croît considérablement quand la teneur en O_2 dissous augmente. On a alors $\rho/\rho_a < 1$.

Lorsque la teneur en O_2 est faible, il semble possible toutefois de la relier à une autre variable qui est l'hystérésis magnétique. Donnons à l'équation de la courbe d'aimantation la forme $\mu_a/\mu_0 = f(H)$ (*fig.* 2). On constate qu'à l'intérieur du domaine de Rayleigh (portion rectiligne de la courbe), la pente est la même pour les quatre fers et dépend uniquement de la teneur en O_2 en solution solide, les impuretés métalliques n'intervenant pas. En effet, le coefficient $2b/\mu_0$ prend des valeurs nettement différentes. Au delà du domaine de Rayleigh, les courbes représentatives s'écartent différemment de la droite et l'écart, négatif aux très faibles teneurs devient positif quand croît la teneur en oxygène.

Dans les fers de haute pureté, le rapport $2b/\mu_0$ entre les déplacements irréversibles et réversibles des parois de Bloch semble dépendre uniquement de la teneur en oxygène. Nos mesures donnent également des renseignements sur la mobilité des impuretés métalloïdiques. Nous les poursuivons en vue d'étudier le comportement d'autres impuretés de plus faibles rayons atomiques susceptibles de modifier sensiblement la durée de stabilisation de l'aimantation (5).

CHIMIE PHYSIQUE. — *Spectres Raman des solutions d'acide acétique dans l'eau.* Note (*) de Mme **Suzanne Fénéant**, présentée par M. Jean Cabannes.

Le schéma (I) suivant représente les spectres Raman des mélanges d'acide acétique et d'eau. Lorsqu'on passe de l'acide pur aux solutions de plus en plus diluées, les modifications spectrales sont les suivantes :

---

(4) I. Epelboin, *Comptes rendus*, **233**, 1951, p. 338.

(5) L. Neel, *J. Phys. Rad.*, **13**, 1952, p. 249.

(*) Séance du 17 novembre 1952.

1° Léger déplacement de la raie 442 cm^{-1}.

2° Augmentation d'intensité de la raie faible 600 cm^{-1} par rapport à la raie voisine intense 617 cm^{-1}.

3° Élargissement de la raie 900 cm^{-1} avec léger déplacement vers les basses fréquences que l'on peut interpréter comme étant dû au renforcement de la raie faible 880 cm^{-1} voisine de 900 cm^{-1} sur le spectre de l'acide pur.

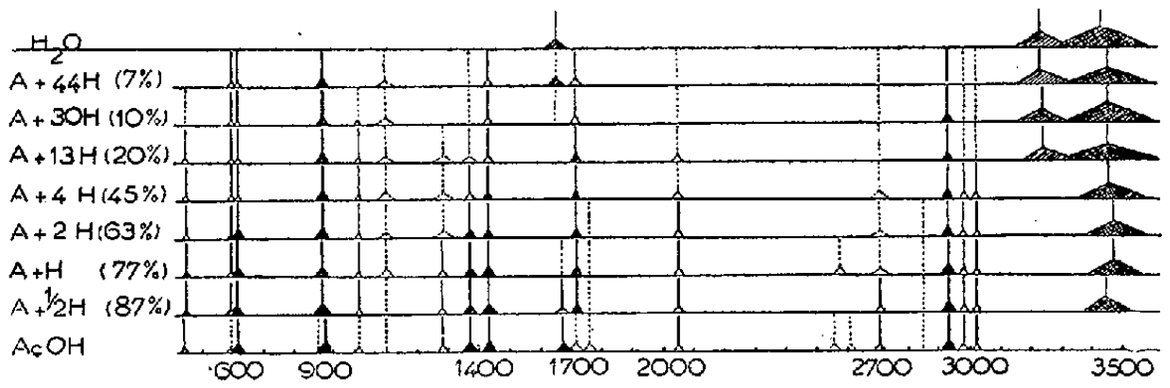


Schéma (I).

4° Renforcement par rapport aux autres raies du spectre de l'acide acétique, de la raie faible 1 020 cm^{-1}.

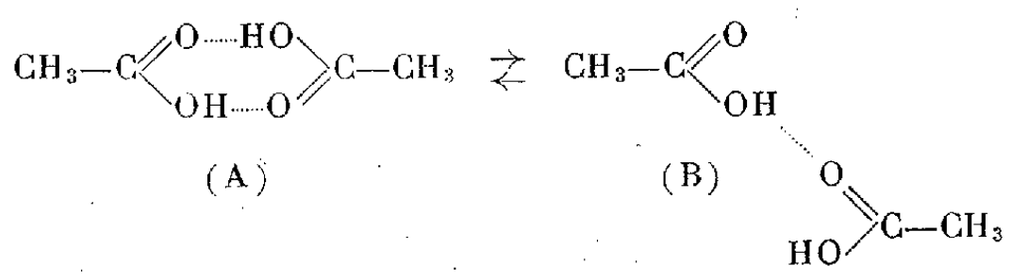
5° En ce qui concerne les raies caractéristiques de la liaison C = O, renforcement de la raie 1715 cm^{-1} et disparition concomitante de la raie 1670 cm^{-1} ainsi que l'avait indiqué Traynard (1). La raie 1760 cm^{-1} subsiste très faible sur les spectres des solutions concentrées et disparaît en même temps que 1 670 cm^{-1}.

6° Pour les solutions assez diluées (moins de 25 % en poids d'acide acétique) la raie 1650 cm^{-1} du spectre de l'eau pure apparaît.

7° On n'observe aucune modification des trois raies : 2937, 2986, 3019 cm^{-1}, contrairement à ce qu'indique Batuev (2).

8° La bande — OH de l'eau (3430 cm^{-1} sur le spectre de l'eau pure) est déplacée vers les fréquences élevées. Le déplacement est maximum (45 cm^{-1}) pour les solutions à 63 et 78 %.

Dans une Note précédente (3), nous avons conclu que dans l'acide acétique pur, les molécules dimères peuvent se présenter, à la température ambiante, sous deux formes en équilibre, la forme (A) étant prédominante [schéma (II)].



(A) (B)

(II)

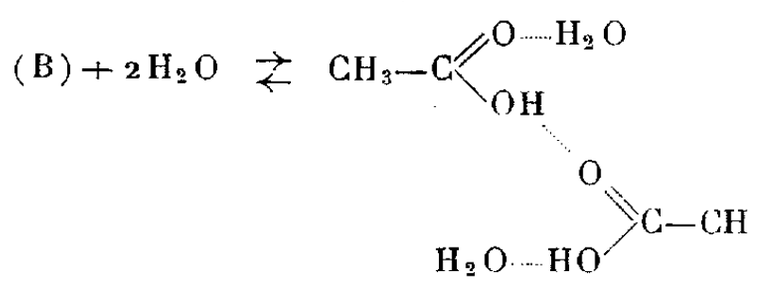
(1) Traynard, *Bull. Soc. Chim.*, 1947, p. 316.

(2) *Doklady Akad. Nauk.* (*S. S. S. R.*), **58**, 1948, p. 1117.

(3) S. Fénéant, *Comptes rendus*, **235**, 1952, p. 240.

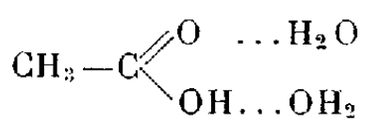
Ces deux formes sont caractérisées entre autres par les raies Raman suivantes : (A) : 617, 900, 1670; (B) : 600, 880, 1715 et 1760 cm^{-1}.

Ceci étant rappelé, nous interprétons les spectres des mélanges aqueux de la façon suivante. La disparition de la raie 1670 cm^{-1} caractéristique de la liaison C=O dans le dimère forme (A) et le renforcement concomitant de la raie 1715 cm^{-1} caractéristique de la liaison C=O... du dimère forme (B) (ainsi que celui des raies 600, 880 cm^{-1} attribuables à ce dernier) sont en liaison avec le déplacement de l'équilibre (II) vers la droite du fait de la fixation d'une molécule d'eau aux deux extrémités du dimère (B). D'ailleurs, l'affaiblissement et la disparition rapide de la raie 1760 cm^{-1} caractéristique d'un groupe C=O libre permettent bien de conclure qu'une molécule d'eau se fixe sur ce groupe, une autre molécule se fixant vraisemblablement sur l'oxhydrile terminal. La forme solvatée (B. $2H_2O$) serait ainsi beaucoup plus stable en solution que (B) [schéma (III)].



(III)

Quand le nombre de molécules d'eau augmente, il y aurait rupture des molécules (B. $2H_2O$), hydratation des groupes —OH et —CO ainsi libérés, par formation de molécules monomères hydratées, comme l'indique l'étude cryoscopique (*) de ces solutions [schéma (IV)]



(IV)

La liaison C=O d'un groupe carbonyle associé à une molécule H_2O ayant assurément une fréquence propre très voisine de celle de la liaison —C=O...HO que l'on trouve dans (B), le spectre des solutions assez diluées ne présente plus comme fréquence —CO que la raie 1715 cm^{-1} (sinon une autre très voisine non discernable de celle-ci).

Le déplacement de la bande —OH des molécules d'eau non engagées dans les hydrates, peut être interprété comme étant dû à la désassociation de ces molécules d'eau par les autres molécules ou hydrates présents dans le mélange. Ce déplacement est évidemment maximum (solutions de concentration voisine de 70 %) quand il n'y a que relativement peu d'eau. Pour des solutions de

(*) Travail non encore publié.

plus en plus diluées, la position de la bande —OH tend vers celle du spectre de l'eau pure.

Les liaisons OH...O qui apparaissent par suite de la formation de l'hydrate ne sont pas mises en évidence sur le spectre. Cela peut tenir à ce que leur fréquence est voisine de celles des fréquences C—H, qui donnent lieu à des raies très intenses capables de masquer toute bande ou raie plus faible susceptible d'apparaître.

CHIMIE PHYSIQUE. — *Étude radiocristallographique de l'hydruration du lanthane*. Note de M. **Bertrand Dreyfus-Alain**, présentée par M. Charles Mauguin.

Il y a lieu dans la Note précédente (1) de remplacer les données de la dernière colonne du tableau par les suivantes :

Rayons relatifs des atomes La.....	1	$0,999_5$	$1,07_2$	$1,10_4$
Volumes relatifs des réseaux métalliques...	1	$0,997_9$	$1,23_7$	$1,35_3$

D'après les déterminations directes des masses spécifiques effectuées par par A. Sieverts et A. Gotta (2), à partir d'un métal de composition suivante:

La.....	84,3 %	(impuretés : Pr, Nd, Yt comprises)	
Ce.....	10,2	»	»
Fe.....	0,9	»	»
Al.....	0,6	»	»
Si.....	0,2	»	»

l'accroissement du volume spécifique dû à l'hydruration du lanthane est de l'ordre de 15 %.

Si cette valeur de l'expansion doit se trouver confirmée par des déterminations effectuées sur du métal de grande pureté et sur son hydrure, il y aura lieu de rechercher quelle est l'origine des écarts constatés entre cette valeur et celles qui correspondent aux expansions précisées par l'étude radiocristallographique.

CHIMIE PHYSIQUE. — *Nouveau procédé de détermination chromatographique sur papier de l'α-tocophérol*. Note de M. **Jean Guerillot**, Mme **Andrée Guerillot-Vinet** et Mlle **Liliane Delmas**, présentée par M. Maurice Javillier.

L'undécylate de fer employé comme phase stationnaire dans la chromatographie de partage sur papier de l'α-tocophérol présente plusieurs avantages : bon développement, séparation nette, réactif de révélation stable, apparition instantanée des taches et fixité des chromatogrammes.

(1) *Comptes rendus*, 235, 1952, p. 540.

(2) *Z. anorg. Allg. Chem.*, 172, 1928, p. 17.

Dans le but d'obtenir une méthode sensible et précise de séparation et de dosage de l'α-tocophérol dans les extraits d'origine biologique, nous avons étudié la chromatographie de partage sur papier de ce composé.

Comme il s'agit d'une vitamine liposoluble, nous avons d'abord utilisé le papier imprégné de vaseline préconisé par Winteringham et ses collaborateurs (1) et déjà utilisé par Brown et Blaxter pour l'étude des tocophérols (2), (3), en remplaçant l'α, α'-dipyridyl par une solution mixte de ferricyanure de potassium et de chlorure ferrique (technique de dosage colorimétrique de Mlle A. Vinet et P. Meunier) (4).

Mais, d'une part, la vaseline est un mélange d'hydrocarbures et de quelques impuretés; d'autre part, l'utilisation du réactif ferricyanhydrique, développateur instable, nécessite sa préparation au moment de chaque essai. De plus, il est difficile d'obtenir ainsi des chromatogrammes fixes.

Aussi avons-nous songé à incorporer le fer dans la phase stationnaire sous forme d'un sel ferrique d'un acide gras saturé à poids moléculaire moyen, ce savon ferrique remplaçant la vaseline. Après libération d'ions ferriques par l'acide chlorhydrique, il se forme des ions ferreux aux zones d'accumulation du tocophérol. Celles-ci sont facilement décelables par pulvérisation du ferricyanure de potassium employé seul (formation du bleu de Turnbull).

Après plusieurs essais, nous avons choisi, pour charger le papier (Whatman n° 1) un sel de fer de l'acide undécylique. Ce corps s'obtient à partir de l'acide undécylique et de l'hydroxyde ferrique; il cristallise en rouge brun et est insoluble dans les alcools méthylique ou éthylique et l'acétone, mais soluble dans l'éther et l'éther de pétrole.

Le papier est plongé dans une solution éthéropétrolique de ce sel à 0,6 g/l. Ce taux assez faible permet cependant un coefficient de partage de l'α-tocophérol qui se dépose avec un R_F de 0,6 à 20° C.

Nous procédons par chromatographie ascendante à l'obscurité en utilisant comme phase mobile un mélange de 80 % d'acétone et 20 % d'eau. Ce solvant donne de meilleures séparations dans les extraits biologiques que l'alcool étendu utilisé par Brown. Après développement (16 à 20 h), le papier est séché à l'air et révélé. Pour cela, on commence par pulvériser une solution alcoolique d'acide chlorhydrique à 2 %. Après nouveau séchage du papier, il suffit de vaporiser sur la feuille une solution aqueuse à 0,05 % de ferricyanure de potassium. Seule, l'apparition des taches bleues dues à la présence du tocophérol est instantanée, ce qui, en dehors

(1) F. P. W. Winteringham, A. Harrison et R. G. Bridges, *Nature*, **166**, 1950, p. 999.
(2) *Chem. Indust.*, 29, 1951, p. 633.
(3) F. Brown, *Biochem. J.*, 51, 1952, p. 237.
(4) *Bull. Soc. Chim. Biol.*, 23, 1941, p. 217.

du R_F, permet une caractérisation plus certaine de la vitamine. Pour fixer le chromatogramme, il suffit de le laver quelques instants à l'eau distillée qui enlève l'excès de réactif et de faire sécher à l'obscurité.

Cette méthode permet de déceler à la limite 1 γ d'α-tocophérol en solution pure.

Pour les extraits végétaux, il est nécessaire, comme l'indiquent Brown et Blaxter, de réaliser une purification déjà très poussée avant la séparation chromatographique sur papier. On part de l'insaponifiable qui est filtré sur une colonne adsorbante, par exemple de jagolite selon la technique de P. Meunier et Mlle A. Vinet ([5]). La majeure partie des stérols est précipitée à — 20° C dans l'alcool méthylique. L'élimination des stérols n'étant pas toujours complète et ceux-ci donnant la même réaction bleue après révélation, nous pouvons cependant les distinguer facilement du tocophérol : sur le chromatogramme, ils n'apparaissent que 5 mn après le tocophérol et le R_F est beaucoup plus élevé, comme nous l'avons vérifié avec des solutions pures.

Ainsi, par l'incorporation à la charge du papier d'une des parties actives du réactif du tocophérol, le fer ferrique, nous disposons d'un procédé qui nous permet de déceler des traces de cette vitamine, d'éliminer les substances étrangères réductrices, de révéler par un réactif stable et d'obtenir des chromatogrammes fixes.

ÉLECTROCHIMIE. — *Sur l'obtention de charges électriques macroscopiques à l'intérieur des solutions.* Note de M. **José Lima-de-Faria**, présentée par M. Louis de Broglie.

On présente des expériences qui semblent mettre en évidence la formation de charges électriques macroscopiques à l'intérieur des solutions dans des régions de très forte discontinuité du champ électrique. On donne une représentation schématique du mécanisme de l'accélération de réactions chimiques sous l'action d'un champ électrique.

D'après le mécanisme sur l'accélération de réactions chimiques entre ions de signes contraires, que nous avons exposé dans une Note précédente ([1]), la cause fondamentale de ce phénomène serait l'augmentation locale de concentration des ions, due à la formation de charges électriques à l'intérieur de la solution. L'idée de la neutralité électrique du point de vue macroscopique à l'intérieur des solutions étant jusqu'à présent presque généralement admise

([5]) *Bull. Soc. Chim. Biol.*, **24**, 1942, p. 365.

([1]) *Comptes rendus*, **234**, 1952, p. 948.

par les électrochimistes (²), il nous paraît important d'insister sur ce point et d'y ajouter quelques résultats expérimentaux.

D'une façon très schématique, on peut représenter par la figure ci-dessous ce qui doit se passer lorsqu'on fait diffuser une goutte d'une solution concentrée de $Pb(NO_3)_2$ dans une solution diluée de NaI, en utilisant un tube de verre en T, placé horizontalement et appliquant un champ électrique de 280 V par 15 cm.

La figure correspond à une coupure du tube par un plan horizontal dont seulement la partie centrale est représentée. Les flèches représentent le sens de la diffusion du $Pb(NO_3)_2$ dans le tube, A et A′ les fronts de diffusion, seuls les ions qui doivent former les charges (Pb^{++} et NO_3^-) et ceux qui s'accumulent autour d'elles (Na^+ et I^-) sont représentés.

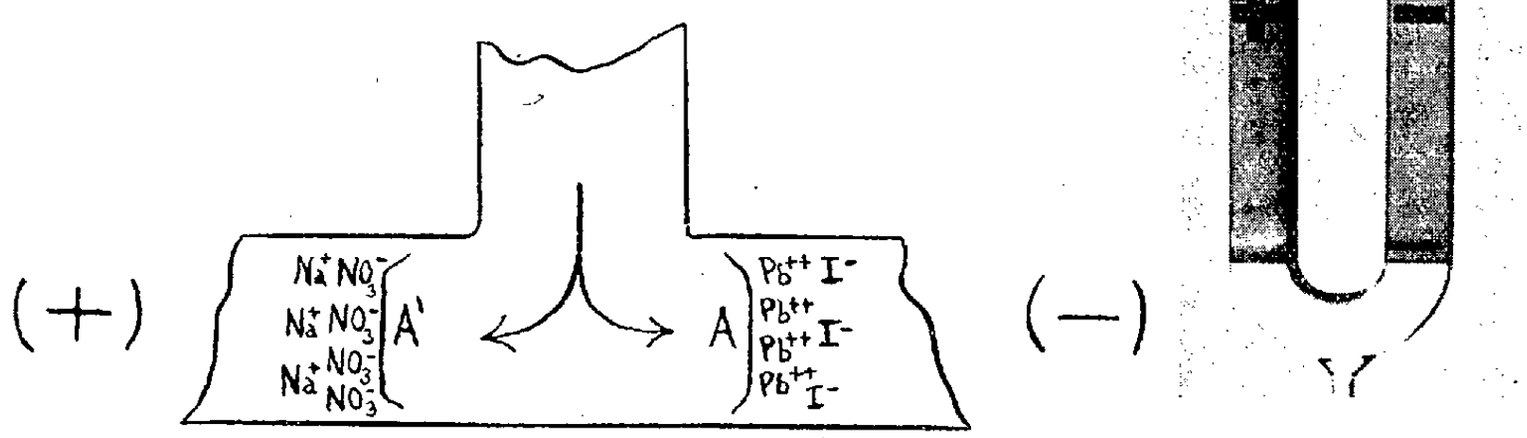


Figure. Photo.

Le mécanisme que nous venons de décrire est bien en accord avec l'équation de Poisson, qui prévoit la formation d'une charge électrique dans la région de discontinuité de deux conducteurs traversés par un courant. Nous verrons en détail dans une autre publication le calcul des charges d'après cette équation.

Pour mieux faire l'étude expérimentale de la formation de ces charges nous avons travaillé avec des tubes placés verticalement, parce que dans ces conditions l'influence de la diffusion devient négligeable. Nous avons rempli partiellement un tube en U placé verticalement, avec une solution diluée de $KMnO_4$ ($1,5 . 10^{-3}$ M/ℓ), nous avons laissé entrer lentement par le fond une solution concentrée de $Pb(NO_3)_2$ (0,2 M/ℓ) et ensuite appliqué un champ de 280 V par 15 cm. Nous avons observé la formation d'un disque violet foncé

(²) *Voir* le Mémoire de Reed et Schriever où ils affirment avoir obtenu des charges électriques macroscopiques pendant l'électrolyse, avec des champs très forts, d'une solution diluée et homogène (*J. Chem. Phys.*, 17, 1949, p. 935).

dans la région de transition du côté cathodique, et d'un disque incolore dans la région de transition du côté anodique (*voir* photo). Il nous semble que l'augmentation de coloration d'un côté et la décoloration de l'autre ne pourront s'expliquer que par une accumulation de ions MnO_4, autour d'une charge positive (ions Pb^{++}) du côté cathodique, et une accumulation de ions K^+ autour d'une charge négative (ions NO_3^-) du côté anodique. Le $KMnO_4$, étant très dilué, ne paraît pas jouer ici d'autre rôle que la mise en évidence des charges électriques.

Lorsque dans cette expérience on remplace le $KMnO_4$ par de l'eau distillée les courbes qui donnent la variation de l'intensité du courant avec le temps (en appliquant au lieu de 280 V, 1500 V) suggèrent une classification des électrolytes en deux groupes. Pour les électrolytes tels que HCl, H_2CrO_4, KOH, $Pb(NO_3)_2$, $CuSO_4$, l'intensité du courant croît rapidement au commencement, puis décroît rapidement, et après commence de nouveau et lentement à croître. Pour les sels tels que le NaCl, $NaNO_3$, KCl, KNO_3, l'intensité du courant croît très rapidement et l'on n'observe pas de décroissance. Cette différence de comportement semble être liée au processus de formation de la charge et à la formation d'ions secondaires aux électrodes, dans le premier cas la formation des ions secondaires s'effectuant seulement à un des électrodes, et dans le second cas aux deux électrodes.

CHIMIE THÉORIQUE. — *Sur la définition des atomes dans la molécule et la systématisation des diagrammes*. Note (*) de M. **Alexandre Laforgue**, présentée par M. Louis de Broglie

Les notions introduites (1) pour les fonctions moléculaires construites à partir d'orbitales atomiques sont généralisées, ce qui exige la définition préalable de ce qu'on doit entendre par atome dans une molécule. Dès que ce découpage est effectué les systèmes d'indices caractérisent liaisons et atomes se ramènent les uns aux autres par des opérations algébriques simples et l'on peut en proposer de nouveaux.

Soit une molécule dans un état stationnaire représenté par une fonction d'onde Γ_q ou dans une transition $\Gamma_p \rightarrow \Gamma_q$, nous dirons qu'elle peut être analysée en atomes relativement à un ensemble de grandeurs Z exprimées par

$$Z_q = \int \Gamma_q z \Gamma_q \, d\tau,$$

$$Z_{pq} = \int \Gamma_p z \Gamma_q \, d\tau,$$

lorsqu'on peut construire des fonctions Γ_a, Γ_c, Γ_b, ... décrivant un noyau et

(*) Séance du 10 novembre 1952.

(1) R. Daudel, A. Laforgue et Cl. Vroelant, *J. Chim. Phys.*, 49, 1952, p. 546.

le nombre d'électrons égal à sa charge, fonctions auxquelles correspondent les grandeurs

$$\mathbf{Z}_{ab} = \int \Gamma_a z \Gamma_b \, d\tau,$$

telles que

$$(\mathcal{R}) \qquad \mathbf{Z} = \sum_{ab} \mathbf{h}_{ab} \mathbf{Z}_{ab}$$

les coefficients $\mathbf{h}_{ab}$ étant indépendants de la nature de la grandeur $\mathbf{Z}$ prise dans l'ensemble (mais dépendant ainsi que Γ_a, Γ_b de l'état ou de la transition envisagée).

Il faut ajouter, moins précisément, qu'une fonction $\Gamma_a \Gamma_b$ ne doit pas trop différer de celle (bien définie) de l'atome libre.

Cette analyse est loin d'être univoque : elle possède d'autant plus d'intérêt que la fonction moléculaire est plus approchée, que l'ensemble des grandeurs choisies est plus étendu et plus significatif du point de vue chimique.

On définirait de même l'analyse en atomes ionisés, ou bien en radicaux ou ions à plusieurs noyaux, ou encore l'analyse d'une partie de la fonction moléculaire : partie électronique, partie antisymétrique par rapport à un plan, etc.

La forme de $(\mathcal{R})$ est celle des systématiques construites empiriquement en même temps que celle introduite par les méthodes usuelles de chimie quantique.

La notion d'orbitale moléculaire est fournie par la description des états stationnaires gf des édifices (rarement connus) à plusieurs noyaux et un seul électron. Si l'on écrit ces orbitales moléculaires (orthonormées) sous forme de combinaisons linéaires d'orbitales atomiques (normées)

$$\psi_g = \sum_a x_g^a \varphi_a,$$

les orbitales φ_a satisfont la définition relativement à l'ensemble de toutes les grandeurs physiques et

$$\mathbf{h}_{ab}^{g \leftrightarrow f} = \frac{1}{2}(x_g^a x_b^f + x_g^b x_f^a).$$

Le résultat se conserve quand on perturbe arbitrairement l'orbitale de l'atome libre.

Un produit de telles orbitales étant pris comme fonction ou partie de fonction moléculaire, et chaque noyau n'introduisant qu'une orbitale, les orbitales atomiques (ou le produit des deux spinorbitales) satisfont à la définition dans une analyse en ions monoélectroniques (ou biélectroniques)

$\mathbf{h}^q = \Sigma \mathbf{h}^g$ la somme portant sur les diverses spinorbitales g figurant dans le produit q;

$\mathbf{h}^{p \leftrightarrow q}$ { $= \mathbf{h}^{g \leftrightarrow f}$ si pq ne diffère que par le changement de g en f;
$= 0$ si pq diffèrent par plus d'un changement.

Si l'on antisymétrise le produit, la propriété se conserve mais seulement relativement aux grandeurs monoélectroniques. Si l'on prend une source pondérée de déterminants il faut pondérer les coefficients **h** (1).

Hors de ces fonctions introduisant des éléments atomiques par construction, il est possible de convenir d'un découpage standard. S'il y a n atomes, il y a $(1/2)\,n(n-1)$ coefficients **h**, on peut en général après un choix arbitraire des fonctions atomiques, se fixer encore $(1/2)\,n(n-1)$ grandeurs. Pour avoir une définition des coefficients de $(\mathcal{R})$ univoque pour toute molécule il suffit de choisir une suite de grandeurs et un type de fonction atomique.

Quelle que soit l'origine de $(\mathcal{R})$ nous appelons l'ensemble des **h** « diagramme zéro ». Ce sont en particulier les charges et les ordres de liaison classiques.

On a discuté d'autres définitions adéquates à un calcul plus élaboré (1). On montre qu'elles s'écrivent sous forme matricielle

$$2\,\|\mathbf{l}\| = \|\mathbf{h}\|.\|\mathbf{T}\| + \|\mathbf{T}\|.\|\mathbf{h}\|,$$

l désigne les nouveaux coefficients; T désigne les recouvrements (ou leur produit par les coordonnées barycentriques du centre de chevauchement correspondant); $\|\,\|$ les matrices carrées obtenues en donnent un rang aux atomes.

Nous proposons d'appeler l'ensemble des **l** « diagramme premier » et « diagramme second » le résultat d'une substitution répétée

$$2\,\|\mathbf{y}\| = \|\mathbf{l}\|.\|\mathbf{T}\| + \|\mathbf{T}\|.\|\mathbf{l}\|.$$

Classiquement

$$\mathbf{y}_a^p = \text{charge} + \text{S}_{\text{moyen}} \times \text{valence-liée}\ (2).$$

$\mathbf{y}_a^p$ est une généralisation de cette quantité dans les calculs plus complexes. Il serait intéressant d'étudier la signification des autres indices de ce système.

Une autre voie ouverte par la définition est l'étude de la perturbation apportée à la fonction d'onde de l'atome libre; elle recouvre les concepts chimiques d'affinité actuelle, de saturation. On prévoit que. lorsque l'analyse s'améliore, elle n'est pas indépendante des éléments du diagramme comme en méthode usuelle et que l'on retrouvera des relations du type de l'effet de charge.

CHIMIE MINÉRALE. — *Recherches sur la structure et la stabilité des oxydes mixtes de cobalt-nickel, cobalt-magnésium et cobalt-zinc.* Note de M. **Jacques Robin**, présentée par M. Paul Pascal.

Nous avons décrit précédemment (1) les structures et les domaines de stabilité de différents oxydes mixtes de cobalt et de fer. Nous avons pu étendre

(2) Total bond number.

(1) J. Robin et J. Bénard, *Comptes rendus*, 234, 1952, p. 734 et 956.

cette étude aux oxydes mixtes de cobalt-nickel, cobalt-magnésium et cobalt-zinc et nous nous proposons d'indiquer ci-dessous les résultats obtenus dans ces nouveaux systèmes.

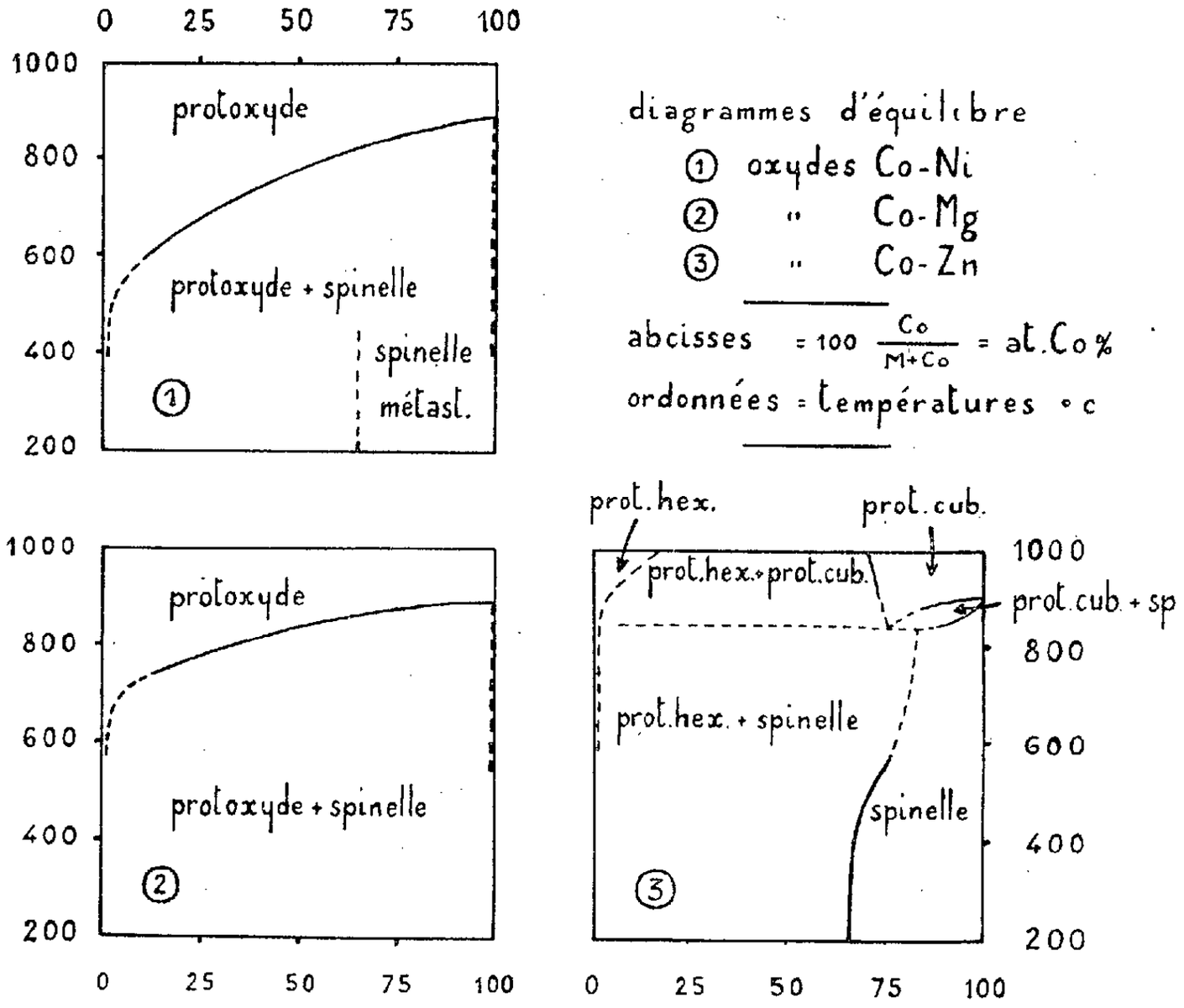
Les oxydes mixtes ont été préparés par décomposition à l'air de mélanges en proportions variables des nitrates correspondants, à des températures échelonnées jusqu'à 1 000°. Les produits obtenus ont été soumis à l'analyse au moyen des rayons X, soit par la méthode du monochromateur à lame courbe pour l'identification des phases, soit par la méthode en retour pour la détermination très précise des paramètres cristallins. Les résultats sont présentés sous forme de diagrammes température-composition, cette dernière variable étant exprimée en Co % par rapport à la totalité des atomes métalliques présents dans le système.

Le protoxyde de cobalt, de structure cubique à faces centrées, peut former vers 950° avec les oxydes de même structure NiO ou MgO des solutions solides sans lacune de miscibilité. Le paramètre cristallin mesuré à $\pm$ 0,002 Å varie linéairement en fonction de la composition cationique depuis $a_{CoO} = 4,252$ Å jusqu'à $a_{NiO} = 4,168$ Å et $a_{MgO} = 4,204$ Å respectivement. Avec ZnO dont la maille est hexagonale, l'oxyde CoO forme vers 950° deux solutions solides possédant chacune la structure d'un des constituants extrêmes et d'étendue limitée (75 % Co pour la phase cubique et un peu moins de 10 % Co pour la phase hexagonale). Dans la limite de précision des mesures il est impossible de déceler une variation des paramètres cristallins de ces deux phases.

Aux températures moins élevées, les solutions solides homogènes des protoxydes s'oxydent réversiblement en donnant naissance à des mélanges biphasés constitués par un oxyde MO dont la composition cationique est différente de celles du protoxyde mixte initial et une phase de type spinelle répondant à la formule M_3O_4. Dans les systèmes Co-Ni et Co-Mg ce spinelle est constitué par de l'oxyde Co_3O_4 sensiblement pur (courbes 1 et 2). Par contre dans le système Co-Zn, la phase spinelle mixte peut être considérée selon la température, soit comme du cobaltite de zinc Co_2ZnO_4, soit comme une solution solide de substitution Co_2 (Zn, Co) O_4 (courbe 3). De plus, lorsque la démixtion des protoxydes mixtes Co-Zn riches en Co s'opère entre 800° et 900°, on observe dans le cas des produits contenant moins de 80 % Co la coexistence des trois phases en équilibre : protoxyde cubique + protoxyde hexagonal + spinelle mixte, ce qui laisse présumer l'existence d'une transformation du type eutectoïde au voisinage de la composition 70 % Co et de la température 850° C.

Cet ensemble de résultats montre que la substitution des ions Ni^{2+}, Mg^{2+} et Zn^{2+} aux ions Co^{2+} dans le réseau de l'oxyde CoO abaisse la température de la transformation $3\,MO + 1/2\,O_2 \rightarrow M_3O_4$ située à 900° dans le cas de l'oxyde pur. Ceci est à rapprocher de l'influence inverse exercée dans le cas de la substitution des ions Fe^{2+} que nous avions observée antérieurement (1).

Au cours des essais précédents nous avons noté d'autre part l'existence d'un spinelle mixte Co-Zn dont le domaine de stabilité s'étend au maximum de Co_3O_4 (100 % Co) au cobaltite de zinc Co_2ZnO_4 (66 % Co). Le spinelle mixte Co-Ni qui n'avait pu être observé ni aux températures élevées ni par réoxydation de phases préparées à haute température, peut s'obtenir au-



dessous de 450° sous une forme métastable dans le domaine de composition 100 — 66,6 % Co avec un paramètre variant de 8,070 à 8,098 ± 0,007 Å en fonction de la composition. La phase limite à 66 % Co qui correspond au cobaltite de nickel Co_2NiO_4 est ferrimagnétique. Enfin, il ne nous a pas été possible de mettre en évidence même sous une forme métastable un spinelle mixte Co-Mg.

Le fait ainsi établi que la substitution de Ni^{2+} et de Zn^{2+} dans l'oxyde Co_3O_4 ne peut s'observer au delà de 66 % Co est en faveur de l'hypothèse selon laquelle la constitution ionique de cet oxyde serait $Co_2^{3+}Co^{2+}O_4$ et non pas $Co^{4+}Co_2^{2+}O_4$.

MÉTALLOGRAPHIE. — *Sur l'emploi du bisulfite de sodium comme réactif micrographique des aciers ferritiques.* Note (*) de M. **Louis Beaujard** et Mlle **Jacqueline Tordeux**, présentée par M. Albert Portevin.

Un réactif micrographique composé de 60 cm³ de solution de bisulfite de sodium ($d = 1{,}32$-$1{,}33$; 35-36° Bé; 35% de SO_3HNa) et 40 cm³ d'eau, révèle à froid la structure des aciers par une attaque sélective des grains de ferrite colorés différemment.

Les réactifs micrographiques agissant sur les métaux par formation d'une pellicule douée des propriétés des lames minces sont parmi les meilleurs pour en révéler les hétérogénéités physiques et chimiques. L'un de nous a déjà décrit un tel réactif pour les aciers (1). Il doit s'employer à chaud; aussi avons-nous cherché à mettre au point un réactif, aussi sensible, mais pouvant être utilisé à la température ambiante pour les examens courants des aciers peu alliés.

Habituellement, des solutions d'acide nitrique dans différents milieux organiques sont utilisées, par exemple : une solution de 4 cm³ d'acide nitrique et de 96 cm³ d'alcool isoamylique (2). Les grains de ferrites sont mis en évidence par l'action corrosive du réactif sur les joints de grains. L'aspect micrographique obtenu est donc celui d'un réseau de joints de grains entourant les grains de ferrite inattaqués (*fig.* 1). Il nous a semblé que la micrographie serait plus lisible si chaque grain de ferrite était révélé par une corrosion plus ou moins importante, suivant l'orientation cristallographique de la face polie, comme l'a montré Portevin (3).

Quelques essais préliminaires nous ayant laissé supposer une action favorable en ce sens des solutions de bisulfite de sodium, nous avons exploré systématiquement leur mode d'attaque en fonction de la concentration, du temps et de la température, sur des échantillons d'acier doux recuits. Les éprouvettes avaient été polies chimiquement (4), pour obtenir une structure nette qu'un polissage mécanique aurait déformée, comme l'ont montré Bénard et Lacombe (5).

Le réactif au bisulfite de sodium ne donnant de bonnes attaques qu'à une température inférieure à 30°, nous avons opéré à la température ambiante. Le diagramme de la figure 2 résume nos observations. Les liqueurs à faible concentration en bisulfite ne donnent des images contras-

---

(*) Séance du 17 novembre 1952.

(1) Beaujard, *Comptes rendus*, **233**, 1951, p. 653.

(2) Kourbatoff, *Revue de Métallurgie*, **2**, 1905, p. 169.

(3) *Revue de Métallurgie*, **20**, 1923, p. 381.

(4) Beaujard, *Comptes rendus*, **234**, 1952, p. 440.

(5) Bénard et Lacombe, *Comptes rendus*, **222**, 1946, p. 182.

tées que pour une durée d'attaque très précise, décroissant avec la concentration. Si cette durée est dépassée, la ferrite se colore en marron uniforme. Par contre, des solutions plus concentrées (30 et 40 %) provoquent la formation de figures de corrosion par attaque prolongée. La concentration

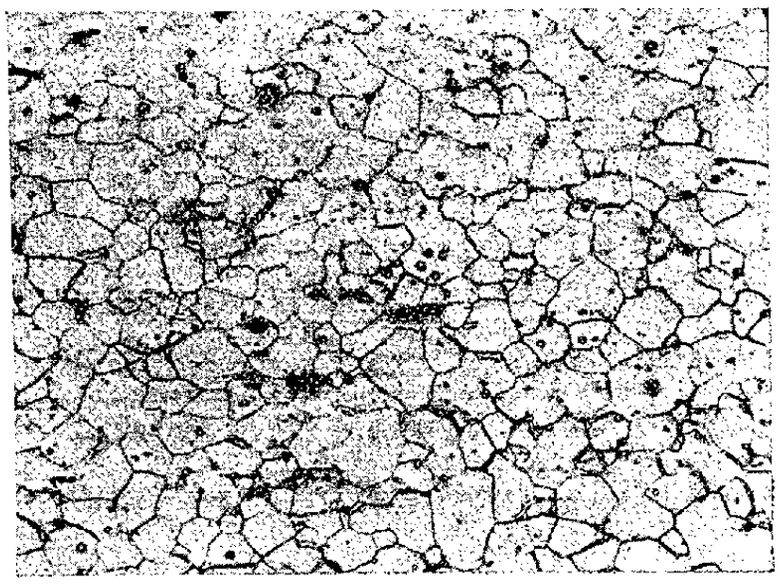


Fig. 1.

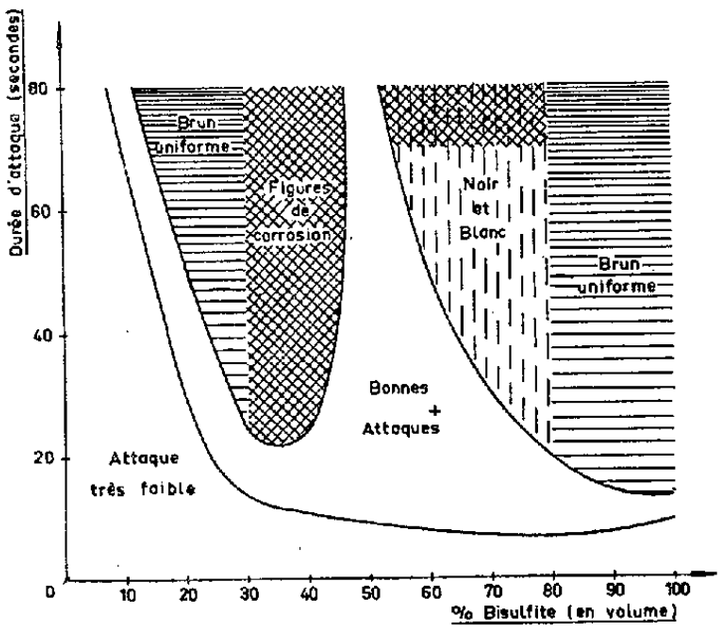


Fig. 2.

Fig. 1. — Ferrite attaquée à l'acide nitrique à 4 % dans l'alcool isoamylique (× 200).

Fig. 2. — Aspect des attaques à la température ambiante en fonction du temps d'attaque et de la concentration en bisulfite.

retenue (60 %) permet une latitude plus grande dans l'appréciation des durées d'attaque (*fig.* 3). Si l'on dépasse une concentration de 60 %, le contraste devient trop grand entre les différents grains attaqués : on ne

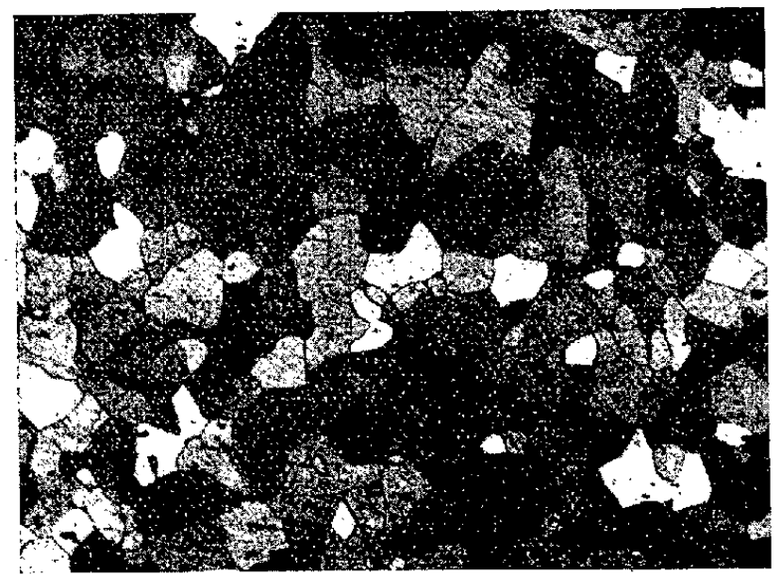


Fig. 3. — Ferrite attaquée par une solution aqueuse, à 60 % de bisulfite de sodium (× 200).

distingue plus que des grains blancs et des grains noirs, sans demi-teintes. Il est intéressant de noter que les grains non attaqués possèdent une face (100) dans le plan de polissage, comme le montre une observation à très fort grossissement, où l'on distingue quelques figures de corrosion

carrées à leur surface. Cette observation est à rapprocher de celle que l'un de nous avait faite avec Lacombe (6) sur la vitesse d'attaque, par l'eau régale fluorée, des grains d'aluminium raffiné.

L'emploi de ce réactif peut être utile toutes les fois que l'on veut compter des grains de ferrite (acier doux, tôles à 4 % de silicium pour transformateurs), que l'on veut mettre en évidence de faibles hétérogénéités de composition dans les solutions solides ferritiques (aciers doux, aciers rapides 18-4-1) et que l'on veut préciser la nature des structures obtenues par trempe isotherme.

MÉTALLOGRAPHIE. — *Étude par diffraction électronique des alliages aluminium-cuivre, obtenus par évaporation thermique dans le vide.* Note (*) de MM. **Jean-Jacques Trillat** et **Noboru Takahashi**, présentée par M. Pierre Chevenard.

En évaporant dans le vide deux métaux et en condensant leurs vapeurs sur des supports de sel gemme portés à des températures différentes, il est possible, grâce à la diffraction électronique, de contrôler la structure des films métalliques ainsi formés et de suivre l'apparition de solutions solides et d'alliages de compositions définies. Un premier exemple en est donné dans le cas de l'aluminium et du cuivre.

L'étude par diffraction électronique de la structure d'alliages obtenus par évaporation thermique sous vide de deux métaux a fait l'objet de quelques travaux récents [L. H. Germer (1), H. Raether (2), Boetcher, S. Ogawa (3), S. Goldsztaub et P. Michel (4)]. Il ne semble pas cependant qu'il ait été fait jusqu'ici une étude systématique des diverses parties d'un diagramme d'équilibre comportant des composés intermétalliques de structure complexe; c'est dans ce but que nous avons cherché à examiner d'une façon complète la structure des divers alliages Al-Cu, en faisant varier les conditions de préparation.

Nous avons utilisé plusieurs techniques différentes, qui seront décrites dans un autre Mémoire; elles consistent essentiellement à évaporer dans le vide les deux métaux en proportion connue, soit à partir de deux sources distinctes, soit à partir d'une seule source; les vapeurs sont condensées sur des supports de sel gemme préalablement clivé, portés à des tempé-

(6) Lacombe et Beaujard, *J. Inst. Metals*, 74, 1947, p. 1 (*fig.* 7).

(*) Séance du 17 novembre 1952.

(1) L. H. Germer, F. G. Haworth et J. J. Lander, *Phys. Rev.*, 61, 1942, p. 614.

(2) *Comptes rendus*, 231, 1950, p. 653.

(3) S. Ogawa, *J. Phys. Soc. Japon*, 7, 1952, p. 37.

(4) *Comptes rendus*, 232, 1951, p. 1843; P. Michel, *Comptes rendus*, 235, 1952, p. 377.

ratures variables. Le film métallique est ensuite étudié par diffraction électronique après dissolution du support dans l'eau distillée.

On ne peut donner ici qu'un bref résumé des très nombreux résultats obtenus lorsqu'on applique ces méthodes au cas de Al + Cu.

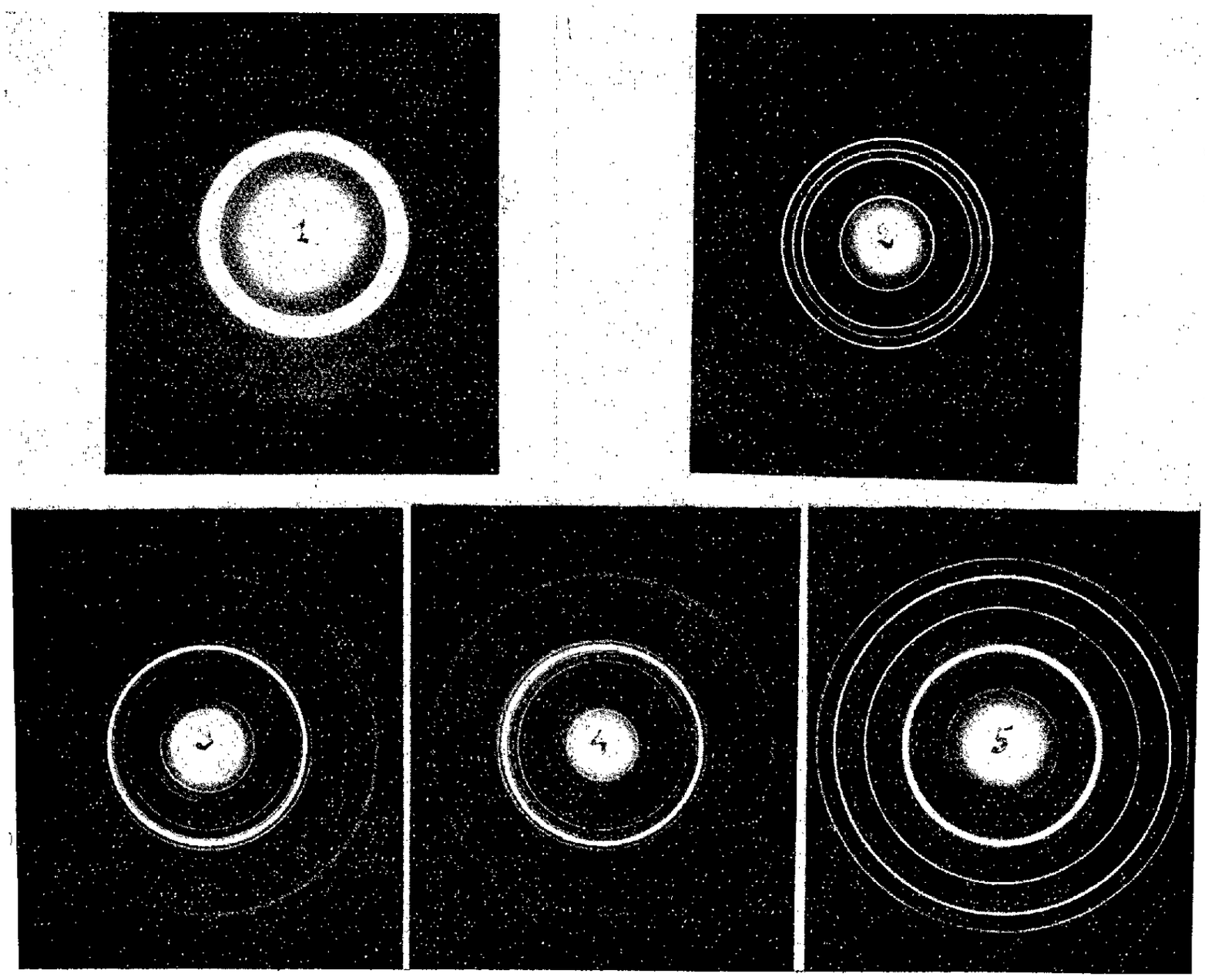


Fig. 1 : Al 50 + Cu 50, support 20° C. — Fig. 2 : Al 50 + Cu 50, support 300° C. — Fig. 3 : Al 40 + Cu 60, support 300° C. — Fig. 4 : Al 38 + Cu 62, support 300° C. — Fig. 5 : Al 20 + Cu 80, support 300° C.

1. En évaporant simultanément l'aluminium et le cuivre à partir de deux sources, et si la condensation s'effectue sur un support froid (20° C), on n'obtient jamais qu'un mélange des deux métaux en proportion variable suivant la position du récepteur par rapport aux deux sources. La mobilité des atomes Al et Cu est donc trop faible à cette température pour permettre la formation d'une combinaison ou d'une solution solide. Si, au contraire, la condensation s'effectue sur un support porté à 300°C, on obtient, suivant la position du récepteur, des diagrammes d'une grande richesse en raies et différant les uns des autres. Il a été possible ainsi d'identifier avec précision de nombreux composés, et notamment le $CuAl_2$, qui se forme donc directement dans ces conditions.

2. En utilisant une seule source et en évaporant sur support froid (20°C) des mélanges connus des deux métaux purs, on n'obtient que des diagrammes diffus (*fig.* 1) indiquant la formation de solutions solides à réseaux fortement déformés et hors d'équilibre, rappelant le « trouble d'homogénéité » signalé autrefois par P. Chevenard et A. Portevin (5). Par vieillissement, ces structures s'affinent et donnent naissance à des phases définies, parmi lesquelles on a pu observer la phase θ orientée. Sur support chaud (300° C), on obtient suivant la composition du mélange, des diagrammes extrêmement nets (*fig.* 2, 3, 4) où l'on retrouve les principales phases du diagramme d'équilibre ($CuAl_2$, Cu_9Al_4, etc.) avec indication de surstructures.

3. En vaporisant l'alliage lui-même, par exemple $CuAl_2$, on obtient sur support froid les mêmes résultats qu'avec le mélange correspondant à cette composition (*fig.* 1); le réseau initial $CuAl_2$ (θ) est ainsi complètement dissocié au cours de la vaporisation, les atomes Al et Cu se disposant au contact du support froid sous forme de solution solide de Cu dans le réseau Al. Par vieillissement (1 mois à 18° C ou 30 mn à 300° C), le composé $CuAl_2$ apparaît avec indication de la phase θ′. Sur support chaud, à partir de 200° C, la structure tétragonale de $CuAl_2$ se reforme immédiatement (*fig.* 2).

Des indications plus détaillées seront données dans d'autres Mémoires. Il apparaît toutefois dès maintenant que ces méthodes paraissent riches de possibilités pour l'étude des diverses phases des alliages et de la cinétique de leur formation et de leurs transformations, que nous nous proposons d'enregistrer d'une façon continue.

CHIMIE ORGANIQUE. — *Spectres d'absorption de quelques corps insaturés appartenant à la série du bis (phényléthyl)-9.10 anthracène.* Note (*) de M. **Guy Rio**, présentée par M. Charles Dufraisse.

Spectres d'hydrocarbures éthyléniques et acétyléniques possédant le squelette du bis (phényléthyl)-9.10 anthracène; structures stéréochimiques d'isomères éthyléniques. On a constaté que l'effet bathochrome de la triple liaison est supérieur à celui de la double liaison.

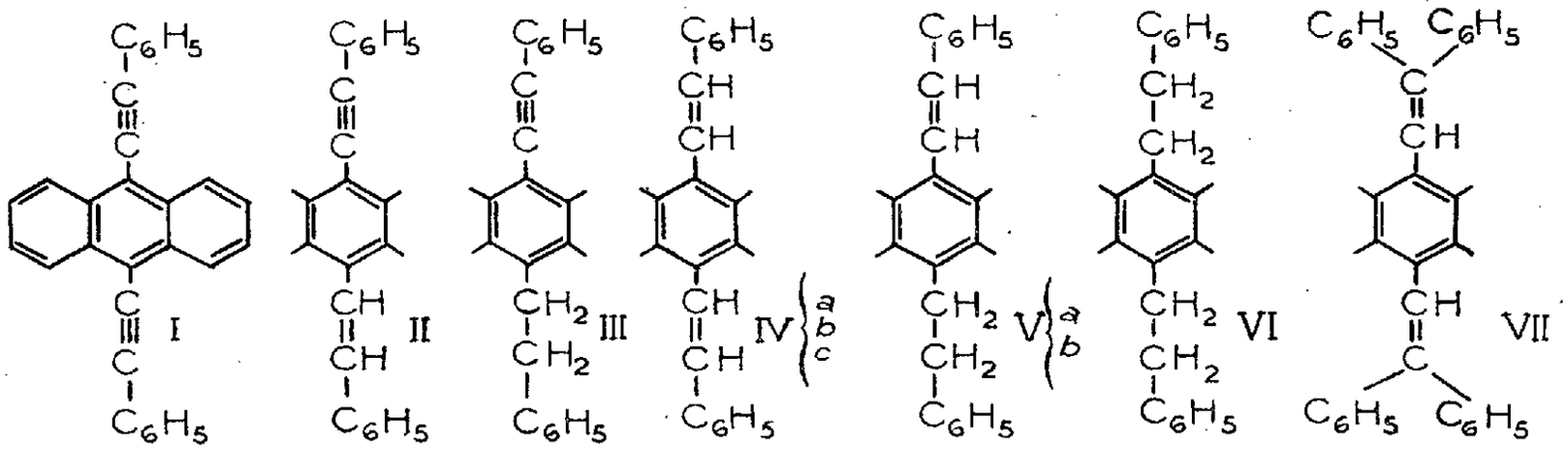
La substitution des deux atomes d'hydrogène en méso du noyau anthracénique (A) par des radicaux phényléthyle (VI) (1) produit un simple effet

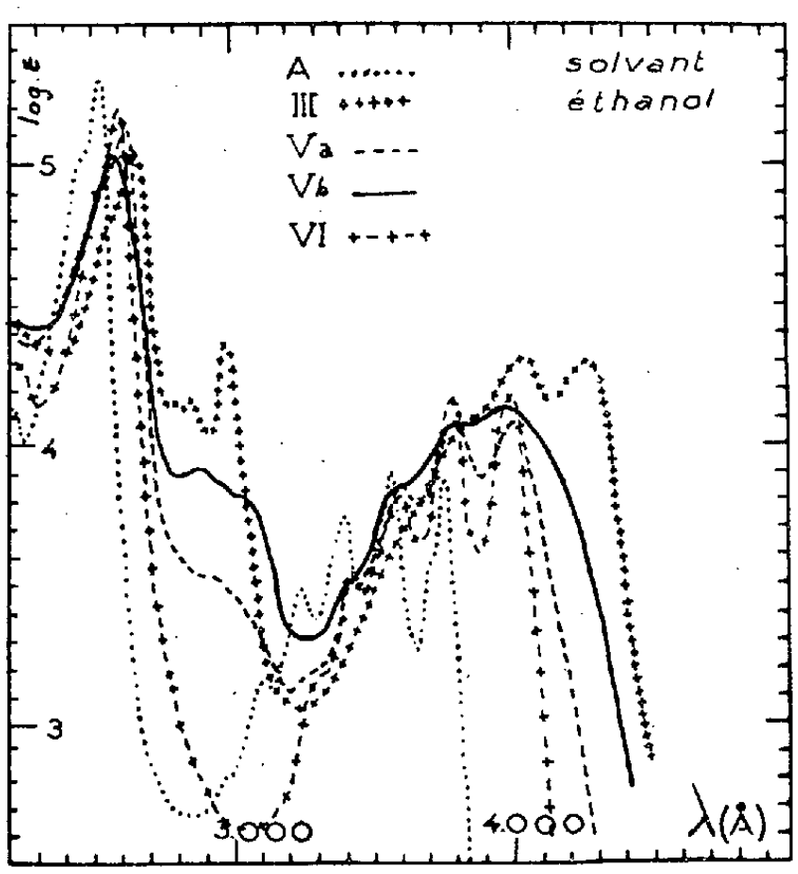
(5) P. Chevenard, *Comptes rendus*, 199, 1934, p. 861; A. Portevin et P. Chevenard, *Rev. Métall.*, 23, 1936, p. 96.

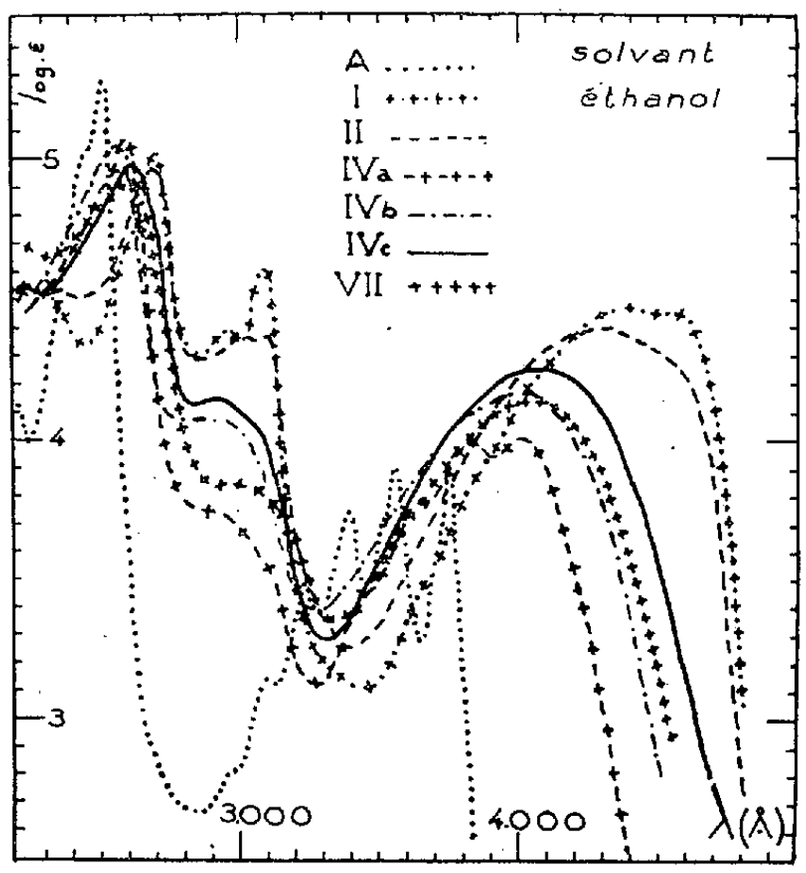
(*) Séance du 17 novembre 1952.

(1) G. Rio, *Comptes rendus*, 232, 1951, p. 1492.

bathochrome de 250 Å. L'introduction d'une double liaison dans une seule chaîne latérale (V) (1) modifie le spectre de manière beaucoup plus importante pour l'isomère V*b* (F_{inst} 195-196°) que pour V*a* F($_{inst}$ 154-155°); la structure fine, dans la partie la plus proche du visible, est moins nette chez V*b*. La présence de deux doubles liaisons (IV) (2) amène des modifications encore plus sensibles, notamment pour deux des trois isomères, IV*b* (F_{inst} 201-202°) et IV*c* (F_{inst} 280-281°); il n'y a alors qu'une bande unique, large et régulière.







Tout ce que l'on connaît des spectres des composés aromatiques fait supposer que les liaisons éthyléniques des hydrocarbures IV et V entrent en résonance avec le noyau anthracénique, surtout chez les isomères de température de fusion élevée. La construction des molécules, avec les modèles de Stuart, indique de plus que la coplanéité des chaînes latérales avec le noyau central (qui est, en principe, une condition de la résonance) est plus empêchée stériquement chez les composés *cis* que chez les *trans*.

(2) G. Rio, *Comptes rendus*, **235**, 1952, p. 964.

La comparaison de ces spectres permet ainsi de déduire, avec toutes les réserves qui s'imposent ([3]), les configurations stéréochimiques de ces hydrocarbures. V*a* serait *cis* et V*b* *trans*; IV*a* (F_{inst} 194-195° et 201-202°) serait *cis-cis*, IV*b* *cis-trans* et IV*c* *trans-trans*. La différence entre les spectres de IV*b* et IV*c* est peut-être faible pour trancher entre les structures *cis-trans* et *trans-trans*, mais les méthodes de préparation et les propriétés respectives s'accordent avec toutes ces constitutions : notamment *cis*-addition de l'hydrogène aux acétyléniques par le couple zinc-cuivre ([4]), ([5]) [III → V*a*; I → IV*a*; II → IV*b*] et photoisomérisation *cis-trans* ([4]), ([5]) [V*a* → V*b*; IV*a* → IV*c*; IV*b* → IV*c*].

Les arguments énoncés plus haut, pourtant cohérents, sont rendus quelque peu fragiles par le fait que le spectre du *bis* (phénylstyryl)-9.10 anthracène, VII [F_{inst} 293-294°; préparé par des méthodes analogues à celles qui ont conduit à IV*c* ([2])] est voisin de celui de IV*c*, et non, comme on devait s'y attendre, de celui de IV*a*. Les configurations stéréochimiques ci-dessus ne peuvent donc pas être considérées comme définitives.

L'introduction d'une triple liaison dans la chaîne latérale de VI modifie moins l'allure du spectre que ne le fait la double liaison *trans* [comparer III ([6]) et V*b*, I ([7]) et IV*c*]. Mais le déplacement bathochromique est assez important chez les acétyléniques (300 Å par triple liaison), alors qu'il est faible chez les éthyléniques; cette propriété, qui semble en contradiction avec la précédente, est néanmoins à rapprocher de ce qui a été constaté en comparant les spectres de colorants triarylallyliques et triarylpropargyliques aminés ([8]).

Dans la partie ultraviolette, on constate un effet hyperchrome, vers 3000 Å, par création de liaisons multiples dans les chaînes latérales de VI. Cet effet est de plus en plus marqué quand on passe du radical *cis*-styryle (IV*a* et V*a*) au *trans*-styryle (IV*c* et V*b*), et surtout au phényléthynyle (I, II et III), auquel correspondent des bandes assez nettes.

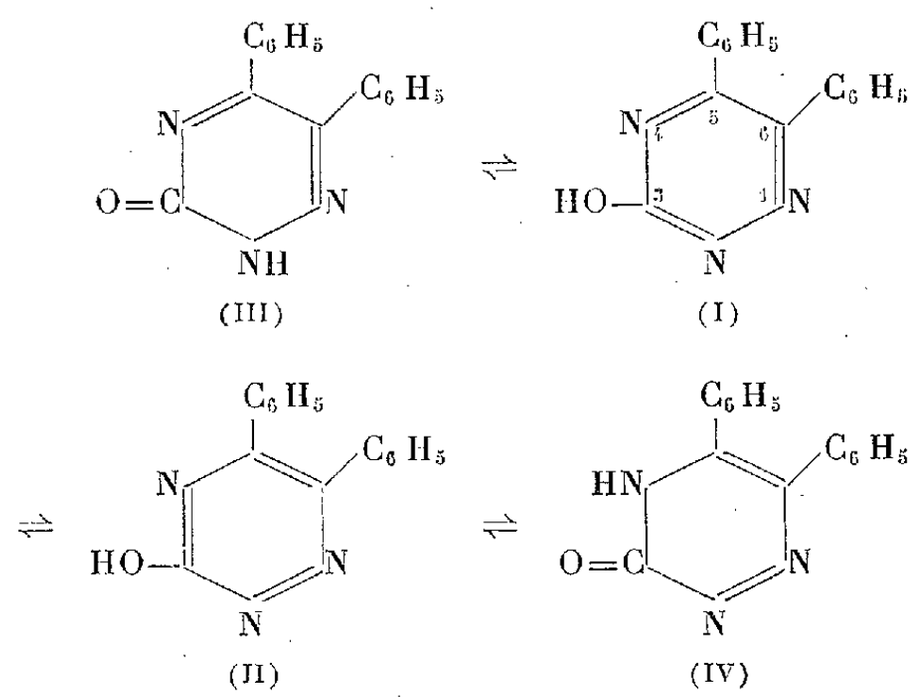
CHIMIE ORGANIQUE. — *Dérivés de l'hydroxy*-3 *diphényl*-5.6 as.-*triazine*. Note de MM. **Michel Polonovski**, **Marcel Pesson** et Mme **Pesia Rajzman**, présentée par M. Marcel Delépine.

L'hydroxy-3 diphényl-5.6 *as*.-triazine, préparée par condensation du benzile et de la semicarbaside peut, en principe, exister sous une forme lactime et sous

---

([3]) Ch. Dufraisse, in V. Grignard, *Traité de Chimie organique*, I, p. 1053.
([4]) F. Straus, *Liebigs Ann. Chem.*, **342**, 1905, p. 238.
([5]) J. H. Pinckard, B. Wille et L. Zechmeister, *Amer. Chem. Soc.*, 70, 1948, p. 1938.
([6]) G. Rio, *Comptes rendus*, **235**, 1952, p. 182.
([7]) Ch. Dufraisse, J. Mathieu et G. Rio, *Comptes rendus*, **227**, 1948, p. 937.
([8]) Ch. Dufraisse, A. Étienne et P. Barbieri, *Comptes rendus*, **232**, 1951, p. 1977.

une forme lactame. A la première répondent les schémas (I) ou (II) auxquels correspondent respectivement les schémas (III) et (IV) de la seconde.

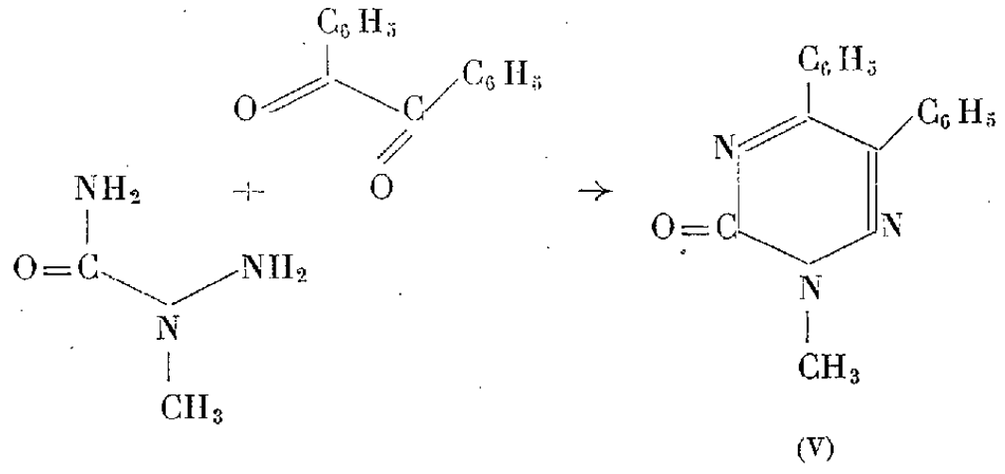


(III) (I)

(II) (IV)

Par alcoylation de cette triazine, Biltz et Arnd (¹), en opérant en milieu méthanolique, par le sulfate de méthyle, en présence de méthylate de sodium, ont obtenu un dérivé méthylé ne comportant pas de fonction méthoxy (F 154°); ces auteurs lui ont attribué la structure (V) (méthyl-2 dihydro-2.3 céto-3 diphényl-5.6 *as.*-triazine), correspondant à la forme lactame écrite selon (III). Cependant, la structure de ce dérivé méthylé n'ayant pas été prouvée avec certitude, on ne pouvait, *a priori*, rejeter une structure correspondant au schéma (IV).

Dans le but de préciser la structure de ce produit d'alcoylation, nous avons réalisé la synthèse de la méthyl-2 dihydro-2.3 céto-3 diphényl-5.6 *as.*-triazine par condensation de la méthyl-2 semicarbazide et du benzile en milieu acétique, selon le schéma :



(V)

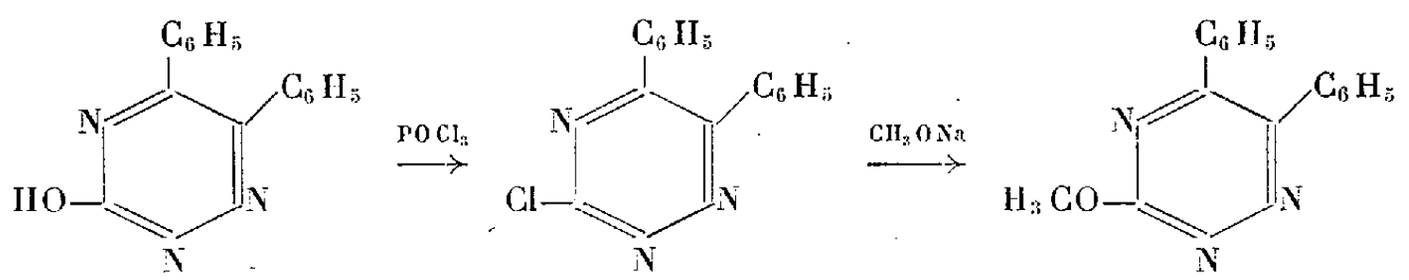
Le produit obtenu dans ces conditions (F 154°) (²) (trouvé %, C 73,42, H 4,85, N 16,04; calculé %, C 72,97, H 4,98, N 15,97) s'est révélé identique

(¹) *Annalen der Chemie*, **339**, 1905, p. 267.

(²) Les points de fusion sont pris au bloc Maquenne.

au produit méthylé préparé selon Biltz et Arnd, ce qui confirme la structure proposée par ces auteurs. Dans le but d'obtenir le dérivé (VII) correspondant à la méthylation de l'hydrogène acide de la forme lactime, nous avons tenté l'alcoylation de la diphénylhydroxytriazine dans différentes conditions : alcoylation du sel de sodium de l'hydroxytriazine en milieu apolaire (acétone), du sel d'argent par l'iodure de méthyle, alcoylation de l'hydroxytriazine elle-même en milieu méthanolique ou benzénique, par le diazométhane. Dans tous les cas, nous n'avons obtenu que la substance (V).

La méthoxy-3 diphényl-5.6 *as.*-triazine (VII) a cependant pu être préparée par la méthode suivante : l'hydroxy-3 diphényl-5.6 *as.*-triazine, traitée à l'ébullition par l'oxychlorure de phosphore, en présence de diméthylaniline conduit à la chloro-3 diphényl-5.6 *as.*-triazine (VI) F 156-157°. (Trouvé %, C 67,1; H 3,52; N 15,78; calculé %, C 67,26; H 3,72; N 15,70). Cette dernière traitée, à température ordinaire, par le méthylate de sodium en solution méthanolique absolue, fournit la méthoxy-3 diphényl-5.6 *as.*-triazine. F 77° (trouvé %, C 73,61; H 4,75; N 16,11; CH_3O 11,8; calculée %, C 72,97; H 4,98; N 15,97; CH_3O 11,78). Masse moléculaire calculée : 263,13; trouvé (Rast) : 267,9.



(VI) (VII)

Par hydrolyse ménagée, en milieu acétique, par l'acide bromhydrique fumant, (VII) conduit à l'hydroxy-3 diphényl-5.6 *as.*-triazine, ce qui confirme la structure du dérivé méthoxylé. Des conditions de réaction plus brutales conduisent au benzile, par hydrolyse de l'hydroxy-3 diphényl-5.6 *as.*-triazine intermédiairement formée, ainsi que nous avons pu le vérifier, en partant directement de cette dernière.

Enfin, par chauffage (2 h) à 200°, la méthoxy-3 diphényl-5.6 *as.*-triazine conduit à la méthyl-2 céto-3 dihydro-2.3 diphényl-5.6 *as.*-triazine (VII → V), par migration du méthyl de l'oxygène sur l'atome d'azote en 2.

CHIMIE ORGANIQUE. — *Réduction des sels d'alcoylquinoléiniums et isoquinoléiniums*. Note de M. **Robert Torossian**, présentée par M. Marcel Delépine.

La réduction par le borohydrure de potassium des sels d'alcoylquinoléiniums et isoquinoléiniums conduit à des dérivés N-alcoylés *o*-dihydrogénés ou 1.2.3.4-tétrahydrogénés; seuls ces derniers peuvent être isolés.

La réduction des sels d'alcoylquinoléiniums et isoquinoléiniums a déjà été

réalisée par Schmid et Karrer (1) au moyen de l'hydrure double de lithium et d'aluminium; ils ont ainsi obtenu, en milieu rigoureusement anhydre, les dérivés *o*-dihydrogénés correspondants, extrêmement instables et difficiles à isoler.

Nous avons pensé que le borohydrure de potassium, plus sélectif et plus facile à employer, permettrait d'obtenir plus aisément ces substances. Ainsi Panouse (2) a pu isoler les *o*-dihydro et tétrahydropyridines N-alcoylées en réduisant les sels de pyridinium par une solution aqueuse de borohydrure de potassium, neutre ou alcaline selon le cas.

En faisant réagir le borohydrure de potassium, en milieu neutre, sur les sels d'alcoylquinoléiniums et isoquinoléiniums, il nous a été imposible d'isoler les dérivés *o*-dihydrogénés. Seul se forme le dérivé 1.2.3.4-tétrahydrogéné, connu depuis longtemps et obtenu soit par réduction au moyen de l'étain et de l'acide chlorhydrique concentré (3), soit par l'éthylate de sodium (4), soit enfin par alcoylation de la tétrahydro-1.2.3.4 quinoléine (5).

La réaction est extrêmement simple à réaliser. On verse par petites fractions une solution aqueuse à 5 % de BH_4K dans une solution aqueuse et neutre du sel à réduire; on chauffe ensuite progressivement jusqu'à complet dégagement de l'hydrogène, on entraîne l'amine formée à la vapeur, on l'extrait à l'éther et on la purifie par distillation sous azote.

Les rendements en produits purs sont en général excellents, comme le montre le tableau ci-dessous (tous les points de fusion ont été pris au bloc de Kofler) :

Dérivés de la tétrahydro-1.2.3.4-quinoléine.

	É	Rdt (%).	Iodo-méthylate F.
N-méthyl.....	132-134°/18 mm	70	170°
			Picrate.
N-éthyl.....	133-136°/18 »	72	126°
N.*n*-propyl.....	146-148°/16 »	62	178°
N.*n*-butyl.....	141-145°/10 »	50	195°

Dérivés de la tétrahydro-1.2.3.4-isoquinoléine.

	É.	Rdt (%)	Picrate F.	Iodo-méthylate F.
N-méthyl..... ..	114-115°/ 28 mm	85	160°	192°
N-éthyl.....	110-112°/ 18 »	91	125°	139°
N.*n*-propyl.....	257-258°/753 »	93	123°	127°
N.*n*-butyl.....	146-148°/ 12 »	73	121°	126°

(1) *Helv. Chim. Acta*, **32**, 1949, p. 960.

(2) *Thèse de Doctorat ès Sciences*, Paris, 1952.

(3) Feer et Koenigs, *Ber. dtsch. Chem. Gesell.*, **18**, 1885, p. 2388.

(4) Decker, *Ber. dtsch. Chem. Gesell.*, 36, 1903, p. 1208 et 2569.

(5) J. V. Braun, *Ber. dtsch. Chem. Gesell.*, 42, 1909, p. 2226.

Ces résultats montrent combien cet agent de réduction est préférable à ceux employés jusqu'ici. Ainsi, Braun (5) ayant synthétisé la N-*n*-propyl-tétrahydro-1.2.3.4-quinoléine par alcoylation, indique pour le point d'ébulllition sous 16 mm : 146° et pour le point de fusion du picrate : 73°. La réduction du bromo-*n*-propylate de la quinoléine par BH_4K donne une amine dont le point d'ébullition est bien de 146° sous 16 mm de pression et correspond donc au produit de Braun, mais le picrate fond à 178° et son analyse est excellente. Pour $C_{18}H_{20}N_4O_7$: N %, calculé, 13,86; trouvé, 13,78.

Si, comme l'a fait Panouse pour les sels de pyridinium, la réduction est faite en milieu alcalin, on obtient alors un mélange de corps *o*-dihydrogénés et tétrahydrogénés, mais duquel nous n'avons pu réussir à isoler le dérivé *o*-dihydrogéné; celui-ci est en effet extrêmement instable, s'oxydant et se polymérisant en quelques minutes.

Cette impossibilité d'isoler les dérivés dihydrogénés en milieu alcalin trouve son explication dans les observations de Decker (4) d'après lequel l'action de la soude sur l'iodométhylate de la quinoléine conduit, sans agent réducteur, à la N-méthyl-tétrahydro-1.2.3.4-quinoléine. Ainsi, si l'alcalinité du milieu réactionnel permet partiellement la réduction par BH_4K en dérivés dihydrogénés, il faut tenir compte qu'elle conduit en même temps aux dérivés tétrahydrogénés.

CHIMIE ORGANIQUE. — *Action des échangeurs d'anions sur les aldéhydes aliphatiques*. Note de M. **Georges Durr**, présentée par M. Marcel Delépine.

Dans cette Note l'auteur étudie quelques exemples qui mettent en évidence l'action des échangeurs d'anions sur les aldéhydes aliphatiques.

Dans une Note précédente (1) nous avons présenté les résultats que nous avions obtenus en traitant l'œnanthol par les échangeurs d'anions. Nous avons étudié trois autres aldéhydes aliphatiques : *n*-butanal, *n*-hexanal et acétaldéhyde.

1. *n-butanal.* — Le *n*-butanal employé est préparé en faisant passer les vapeurs d'alcool butylique avec un courant d'air, dans un tube contenant un catalyseur d'oxydation (cuivre réduit monté sur laine d'amiante) et chauffé à 330-350° C.

Tous nos essais ont été réalisés avec l'Amberlite IR-4B, résine de la famille des polyalkylènes-polyamines, sous sa forme basique et en milieu non aqueux. Nous avons employé l'échangeur d'anions au pourcentage de 5 g pour 100 g de butanal.

(1) *Comptes rendus*, 235, 1952, p. 1038.

Le produit principal obtenu est $CH_3—(CH_2)_2—CH=C(C_2H_5)—CHO$ (éthyl-2, hexène-2 al) résultant de la condensation de deux molécules de *n*-butanal avec élimination d'une molécule d'eau (crotonisation). Une partie du butanal n'est pas entré en réaction; le résidu, peu important, n'a pas été identifié.

Pour nous rendre compte de l'influence de la température, nous avons fait varier celle-ci entre 60 et 125° C. Pour les températures supérieures au point d'ébullition du butanal (74° C), nous avons opéré dans une bombe hermétique en fer. Les principaux résultats obtenus sont les suivants :

Rendement en éthyl-2, hexène-2 al : 14 % à 65° C; 23 % à 75° C; 34 % à 95° C; 47 % à 125° C.

La réaction de condensation est donc grandement favorisée par une élévation de température.

Nous avons essayé par une distillation sous vide, de mettre en évidence la formation de l'aldol du butanal ($CH_3—(CH_2)_2—CHOH—CH(C_2H_5)—CHO$), mais il ne semble pas que ce produit se soit formé comme produit intermédiaire.

Remarque. — Un essai dans les mêmes conditions avec un autre échangeur de basicité plus forte, mais plus résistant à la chaleur (Amberlite IRA-400 : polystyrolène à fonction amine quaternaire) n'a donné aucun résultat appréciable, ce qui semble indiquer que la nature de l'échangeur joue un rôle important et que l'action catalytique de l'échangeur ne dépend pas seulement de sa basicité mais également de sa perméabilité.

2. *n-hexanal.* — L'hexanal employé est celui du commerce fraîchement redistillé. Les essais sont effectués à température constante (120-130° C). On obtient comme produit de condensation le butyl-2 octène-2 al résultant de la crotonisation de l'hexanal.

En faisant varier le temps de réaction nous avons obtenu les résultats suivants : 16 % après 1 h; 60 % après 6 h.

De même que pour le butanal, il n'a pas été possible de mettre en évidence la formation de l'hexanaldol.

3. *Acétaldéhyde.* — L'acétaldéhyde employé est obtenu par dépolymérisation du paraldéhyde.

L'étude de cet aldéhyde présente quelques difficultés à cause de sa grande volatilité (É 20°,8 C) et de la facilité avec laquelle il se polymérise. En particulier par action des alcalis caustiques en solution aqueuse diluée on obtient l'aldol, le crotonaldéhyde et un haut polymère mal défini connu sous le nom de résine d'aldéhyde. De plus, l'aldol se décompose facilement à 83-84° C pour donner le crotonaldéhyde (²).

(²) Grignard et Reif, *Bull. Soc. Chim.*, 1908, p. 116.

Nos essais ont été effectués dans une bombe hermétique en fer chauffée à 120-130° C. On a obtenu un mélange d'aldol, de crotonaldéhyde et de résine d'aldéhyde. Pour éviter la décomposition de l'aldol, on a effectué le fractionnement sous vide.

A température plus basse (vers 90° C), il n'y a plus formation de résine d'aldéhyde, la proportion d'aldol augmente, celle de crotonaldéhyde diminue. Au contraire, pour une température plus élevée (140° C) on obtient uniquement la résine d'aldéhyde.

Enfin, nous avons fait un essai avec l'acétaldéhyde seul chauffé dans les mêmes conditions (125° C) et pendant le même temps. Nous avons obtenu une très faible quantité d'aldol comme produit principal de condensation; il ne se forme ni crotonaldéhyde, ni résine d'aldéhyde; la plus grande partie de l'acétaldéhyde reste inchangée.

Ces divers résultats semblent montrer que certains échangeurs d'anions sous leur forme basique sont des catalyseurs de condensation des aldéhydes aliphatiques conduisant directement jusqu'à la crotonisation. Ces catalyseurs agissent à des températures assez élevées, variable suivant la nature de l'échangeur. L'efficacité d'un échangeur d'anions dépend non seulement de sa basicité, mais aussi de sa nature et de ses qualités physiques telle que sa sensibilité à la chaleur.

CHIMIE ORGANIQUE. — *Préparation, isolement et étude des bromhydrates des isomères* cis-trans *de l'α-carbéthoxy α'-diéthylaminoéthoxy stilbène et du bromhydrate de l'α-carbéthoxy α-diéthylaminoéthyl désoxybenzoïne.* Note de MM. **Jean Matti** et **Pierre Reynaud**, présentée par M. Jacques Tréfouël.

Les auteurs ont préparé, isolé et étudié les deux substances susceptibles de résulter de l'action du diéthylaminochloréthane sur l'α-carbéthoxy désoxybenzoïne. L'une en est l'éther de la forme énolique : c'est l'α-carbéthoxy α'-diéthylaminoéthoxy stilbène (I) dont les deux formes *cis-trans* ont été séparées à l'état de bromhydrates; l'autre est l'α-carbéthoxy α-diéthylaminoéthyl désoxybenzoïne (II) qui possède la forme cétonique.

Cette étude complète certains de nos résultats déjà publiés (1), (2), (3). Lorsque l'on fait agir le diéthylaminochloréthane sur l'α-carbéthoxy désoxybenzoïne on obtient un mélange huileux des bases (I) et (II) :

(I) $C_6H_5-C-(CO_2C_2H_5)=C-[OCH_2-CH_2-N(C_2H_5)_2]-C_6H_5$,

(II) $C_6H_5-C-(CO_2C_2H_5)-[CH_2-CH_2-N(C_2H_5)_2]-CO-C_6H_5$.

(1) *Bull. Soc. Chim.*, (5), **18**, 1951, p. 31, 33 et 459.

(2) *Bull. Soc. Chim.* (5), **18**, 1951, p. 612.

(3) *Comptes rendus*, **235**, 1952, p. 1230.

Les conditions sont les suivantes :

A 28,5 g d'α-carbéthoxy désoxybenzoïne (1 mol) dissous dans 100 cm³ de benzène on ajoute 14,3 g de diéthylaminochloréthane (1 mol), puis, peu à peu en agitant, 4,1 g d'amidure de sodium pur (1 mol) finement pulvérisé en veillant à ce que la température ne dépasse pas 40°. L'addition terminée, on chauffe lentement le mélange jusqu'à 80°. Cette température est maintenue 1 h. Après une nuit de repos, on verse sur 250 cm³ d'eau. On décante et on extrait plusieurs fois la couche benzénique avec de l'acide chlorhydrique N. Les solutions acides sont rapidement alcalinisées et extraites avec de l'éther. On sèche sur du sulfate de sodium, on chasse le solvant et on distille le résidu. Après avoir isolé quelques gouttes de benzoate de diéthylaminoéthanol (picrate F 133°) on recueille la fraction principale : huile $É_{0,1}$ 198°. Rdt 65,3 %.

La séparation des corps est basée sur les différences de solubilité, dans l'alcool isopropylique, de l'un de leurs sels : le bromhydrate, ainsi que sur la grande différence de stabilité, en milieu acide, des éthers *cis* et *trans* de la forme énolique de l'α-carbéthoxy désoxybenzoine (I) et de la cétone (II) : seuls, les éthers sont scindés. Cette dernière propriété nous a permis d'évaluer à 90 % environ la proportion de (I) et à 10 % celle de (II) dans le produit de la réaction.

Produit (I). — L'isolement de l'un des isomères géométriques de l'α-carbétoxy α'-diéthylaminoéthoxy stilbène, celui dont le bromhydrate fond le plus haut F 136°, ne présente aucune difficulté : il est peu soluble dans l'alcool isopropylique. Par contre, la séparation de l'autre isomère, dont le bromhydrate F 106° est plus soluble, est plus délicate : il faut, pour le séparer complètement, ajouter de l'éther à la solution alcoolique-mère de cristallisation. Une fois isolés, ces deux sels recristallisent facilement, même dans l'eau. Ils se présentent alors, l'un (F 136°) sous l'aspect de prismes rectangulaires; l'autre (F 106°) de superbes aiguilles très fines (*). On obtient environ six parties du premier pour quatre du second. Tous deux ont comme composition centésimale $C_{23}H_{30}O_3NBr$ et sont coupés, à froid, par les acides, en solution aqueuse, en un temps inversement proportionnel au pH. Il se forme quantitativement de l'α-carbéthoxy désoxybenzoïne et du sel de diéthylaminoéthanol. Par ébullition dans de l'acide bromhydrique 0,5 N, cette coupure est presque instantanée. L'isomère F 136° est cependant coupé plus rapidement encore que F 106°.

En milieu alcalin alcoolique, ces corps ne sont pas coupés, seule la fonction ester est saponifiée à l'ébullition. L'un et l'autre additionnent instantanément le brome. Cette fixation s'accompagne d'une dislocation complète de la molécule. L'ensemble de ces propriétés, joint aux connaissances que nous avons

(*) La séparation effectuée par l'intermédiaire des chlorhydrates est très délicate. Isolés, ces chlorhydrates fondent, après plusieurs cristallisations, à 142° (plaquettes, alcool éthylique absolu) et à 123° (aiguilles prismatiques, mélange alcool absolu, éther).

déjà (¹), confirme la structure (I) que nous attribuons à chacun de ces deux corps. Leur isomérie géométrique est mise en évidence par l'étude comparative des spectres d'absorption dans l'ultraviolet. L'isomère fondant le plus bas a une courbe d'absorption légèrement plus près du visible que celle de l'isomère fondant le plus haut [à rapprocher de (³)].

Voici le résultat des ces mesures : l'absorption est exprimée par log ε, les autres chiffres représentent $\nu\ 10^{-12}$. Alcool N/1000.

Bromhydrate F 106° : 1091 (log ε 3,95) ↘ 1200 (log ε 3,82);
Bromhydrate F 136° : 1128 (log ε 4,07) ↘ 1265 (log ε 3,83).

Produit (II). — L'α-carbéthoxy α-diéthylaminoéthyl désoxybenzoïne se trouve, après la séparation des éthers de l'énol, sous forme de bromhydrate, dans le produit huileux obtenu en concentrant les alcools isopropyliques de cristallisations. Pour l'isoler, aussi pur que possible, on détruit tout d'abord les éthers, contenus encore dans cette huile, par des ébullitions répétées avec de l'acide bromhydrique dilué; ensuite, après avoir extrait avec de l'éther, on alcalinise, on décante la base insoluble, on la lave abondamment avec de l'eau, et l'on en refait le bromhydrate. Ce sel est hygroscopique; nous n'avons pu l'obtenir cristallisé. Le picrate est insoluble dans l'eau mais également huileux. Ces propriétés, ainsi que le faible rendement en ce produit (6,5 % brut) nous ont empêchés de procéder à des analyses susceptibles d'apporter, par elles-mêmes, une confirmation de la constitution de cette amino-cétone. Aussi, l'avons-nous identifiée par l'étude comparative du spectre d'absorption dans l'ultraviolet de la solution de son bromhydrate avec : *d'une part* le spectre de la solution de l'α-carbéthoxy désoxybenzoïne : les spectres ont une origine très voisine et s'entrelacent [à rapprocher de la figure 2 de notre plublication (¹) p. 31], et, *d'autre part,* avec les spectres des deux isomères géométriques de l'α-carbéthoxy α'-diéthylaminoéthoxy stilbène établis ici.

Cétone étudiée (bromhydrate alcool N/1000) : 1193 (log ε 4,02) ↘;
α-carbéthoxy désoxybenzoïne (alcool N/1000) : 1209 (log ε 4,05) ↘.

Il est donc évident, d'après cette étude, qu'il ne subsiste aucun doute quant à la présence de la cétone (II) dans les produits de la réaction.

GÉOGRAPHIE PHYSIQUE. — *Surfaces d'aplanissement tertiaires de forme alvéolaire dans la partie septentrionale du Massif Central français.* Note de M. **Jean Dautry**, présentée par M. Emmanuel de Margerie.

Les éléments du relief, sa formation, et l'évolution morphologique de l'une d'entre elles.

Au cours de l'époque Tertiaire, les interférences entre plis Hercyniens et Alpins aboutissaient à la création de cuvettes intérieures, d'origine

tectonique, dissymétriques pour la plupart. L'évolution morphologique de chacune d'elles paraît s'être poursuivie d'une manière quasi indépendante des grands niveaux de base extérieurs, en marge des bordures sédimentaires au Nord du Massif Central français.

C'est ainsi que la cuvette dissymétrique ayant conservé les restes Oligocènes du bassin de Gouzon (Creuse) montre un entourage de « *banquettes d'érosion* » formant des plateaux étagés. Ceux-ci paraissent avoir évolué en fonction du seul cadre structural originel et de ses modifications successives. Dans son ensemble, le réseau hydrographique paraît s'adapter aux limites principales de ce cadre : Combrailles à l'Est, plateaux des Marches à l'Ouest, basculement et affaissement Tertiaire Sud-Nord contre la barre granitique et granulitique Est-Ouest allant du Sud-Est de Montluçon jusqu'à la Creuse, directions médidiennes du socle, enfin, qui ont créé une gouttière de convergence empruntée par le Cher. Ce cadre détermine un ensemble hydrographique indépendant et cohérent, celui du « *Haut-Cher* », qui comprend les cours de la Tardes et de la Voueize, s'opposant au cours du Cher lui-même dans le fossé tectonique de Montluçon.

Cependant, dans le détail, les ressauts marqués par les interfluves, aussi bien que les ruptures de pente concomitantes dans les profils longitudinaux des thalwegs montrent également *l'inadaptation totale de ce même réseau aux accidents structuraux internes d'influence secondaire*. La répartition, l'épaisseur, et le faciès des quelques dépôts Oligocène conservés montrent d'autre part, que *remplissage* et *affaissement, remblaiement et érosion ont alterné*, et que l'enfoncement s'est ainsi effectué par à-coups successifs (1).

Ces reprises de mouvements à la suite de périodes de stabilité ont amené la fossilisation de portions importantes de la surface Eogène (2), cependant que d'autres se trouvaient encore en voie d'achèvement. Dans ces conditions, *l'inadaptation du réseau, déjà souvent fort avancée, s'est trouvée accrue dans de notables proportions*. A la fin de l'époque Oligocène (Aquitanien) (3), une surface d'aplanissement a pu ensuite, au cours d'une période de stabilité relative suffisamment longue, *retoucher sur les bords du bassin la surface Eogène*, créant un nouveau replat, et un nouvel étagement très net dans le socle cristallin.

---

(1) *Cf.* A. Perpillou, *Le Limousin. Étude de géographie régionale*, Chartres, Durand, 1940.

(2) H. Baulig, *Le plateau central de la France et sa bordure méditerranéenne*, Colin, 1928 et rééditions.

(3) A. Cholley, *Recherches sur les surfaces d'aplanissement tertiaires dans le Jura méridional et dans le Bourbonnais et le Charolais* (*Cong. Int. de Géographie*, Paris, II, 1931).

Cette « morsure » se distingue parfaitement autour de Gouzon, à des formes topographiques très fraîches :

— Au Centre, larges dépressions où dorment des étangs, vallées aux versants très adoucis alternent avec de molles ondulations : c'est la plaine intérieure de Gouzon.

— Au Sud, à travers une bande régulière de collines qui s'élèvent graduellement, le socle cristallin réapparaît *sous forme de glacis*. On retrouve là, la pente originelle de la surface Eogène affaissée (c'est une région dans laquelle cette surface, fossilisée sous le Stampien, s'individualise comme pénéplaine à peine exhumée). Mais l'attaque du socle par érosion régressive a déterminé deux systèmes hydrographiques : l'un qui consiste en un réseau aux directions rectilignes imposées par la pente, peu ou pas anastomosé, et dont l'enfoncement est peu poussé; l'autre, déjà plus enfoncé, a des versants *resserrés à l'amont qui s'élargissent vers l'aval.* Son écoulement n'est plus en rapport avec la pente de la pénéplaine exhumée.

— Au Nord comme au Sud du bassin de Gouzon, un premier plateau plus élevé, à peu près plat, fait suite au glacis. On le trouve sur tout le pourtour, à une altitude variant entre 500 et 530 m. La totalité des rivières le traversent en gorges qui, contrairement à celles pénétrant le glacis, sont de plus en plus profondes, et de plus en plus resserrées *d'amont vers l'aval.* Puis, plus au Sud, apparaît un nouveau glacis, constitué par des collines de 560 à 630 m d'altitude moyenne, dont la pente graduellement montante vers le Sud est de valeur à peu près similaire à celle du glacis inférieur. C'est la « *pénéplaine Eogène vraie* », attaquée de partout par un réseau beaucoup plus ramifié, aux caractères différents, et qui représente l'amorce d'un nouveau cycle d'érosion.

Les surfaces qui se remarquent à la suite, et sont parfois très nettes, témoignent d'une planation d'âge probable (4) Infra-Crétacé (5). Plus haut encore, de vastes portions semblent appartenir à une surface qui se rattache à celles du Haut-Limousin et serait ainsi dérivée peu à peu de la surface Post-Hercynienne elle-même.

Par la répétition de semblables phénomènes d'érosions et de remblaiements successifs, ayant amené une évolution morphogénétique que l'on peut assimiler à d'autres cuvettes de l'intérieur du Massif Central Nord, telles le bassin de Cosne d'Allier, creusé dans le Permien du Bourbonnais, ou même celle de la Haute-Sioule entre Pontaumur et Pontgibaud, la formation de surfaces alvéolaires prend un caractère de généralité certain

---

(4) Aucun dépôt n'existe sur tous ces plateaux.

(5) A. Perpillou, *Le Limousin. étude de géographie physique régionale* (*Thèse*, Chartres, 1900, Durand).

PHYSIOLOGIE VÉGÉTALE. — *Remarques sur l'emploi du lait de Coco pour la réalisation des cultures de tissus végétaux.* Note de M. **Roger Gautheret**, présentée par M. Roger Heim.

Les milieux additionnés de lait de Coco permettent de cultiver certains tissus plus facilement que les milieux habituels. Mais, dans d'autres cas, les résultats sont décevants, car la prolifération bien que rapide présente des caractères pathologiques et ne peut être entretenue indéfiniment.

On sait que l'albumen liquide contenu dans les jeunes graines de *Cocos nucifera* (lait de coco) stimule puissamment la prolifération cellulaire. Cette découverte fut faite par Van Overbeek, Conklin et Blakeslee (1) au cours de recherches sur la culture des embryons de *Datura*. Par la suite, Caplin et Steward (2) ont obtenu une prolifération intense du parenchyme libérien de Carotte en utilisant des milieux additionnés de doses convenables de lait de Coco. Enfin, Duhamet (3) a démontré que cette substance possède la propriété spécifique de stimuler le développement des tissus tumoraux qui, comme nous l'avions établi antérieurement, sont insensibles aux auxines (4).

A la suite de ces résultats, on pouvait penser que l'emploi du lait de Coco comme agent stimulant deviendrait une pratique absolument courante. Certaines tentatives furent très encourageantes. Signalons, en effet, que c'est grâce à lui que Morel et Wetmore (5) ont réalisé des cultures de tissus de Monocotylédones et qu'Henderson, Durrell et Bonner (6) ont obtenu la culture indéfinie des tissus de Soleil. Duhamet et Goris ont constaté que les colonies de tissus de Carotte et de Crown-Gall de Scorsonère, cultivés en présence de lait de Coco, ne subissent pas d'altération de leurs propriétés générales car, lorsqu'on les ramène ensuite dans un milieu ne contenant que des sels minéraux et du glucose, elles reprennent leur régime de croissance et leur aspect primitif (travaux inédits).

Toutefois, dans des cas également nombreux, l'emploi du lait de Coco a suscité des déboires. Nous avons, par exemple, entrepris des essais infructueux pour améliorer au moyen de cette substance le développement de certains tissus à croissance normalement lente. C'est ainsi que, dans le cas des souches normales de Vigne, de Rutabaga et d'Endive, son addition

(1) *Science*, 94, 1941, p. 350-351.
(2) *Science*, 108, 1948, p. 655-657.
(3) *Comptes rendus*, 230, 1950, p. 770 et *C. R. Soc. Biol.*, 145, 1951, p. 1781.
(4) *C. R. Soc. Biol.*, 142, 1948, p. 807-808.
(5) *Amer. J. Bot.*, 38, 1951, p. 138-140.
(6) *Amer. J. Bot.*, 39, 1952, p. 467-473.

aux milieux de culture a permis une exaltation parfois considérable du développement, mais au bout de six à dix passages selon les espèces, la prolifération s'est ralentie et les cultures furent perdues. Des essais réalisés avec des souches de tissus normaux de Topinambour et de Scorsonère furent plus encourageants, car la croissance s'accéléra d'une manière durable par l'utilisation de milieux à base de lait de Coco. Mais les souches ayant subi ce traitement n'ont pu être ramenées avec succès sur le milieu primitif qui contenait seulement de l'acide naphtalène acétique comme agent stimulant car, chaque fois que l'on supprimait le lait de Coco, les colonies se nécrosaient en quelques semaines.

Nous avons enregistré un échec analogue avec la souche de tissus de Carotte de Levine (7) qui possède la propriété exceptionnelle, pour cette espèce, de produire des bourgeons. La croissance de cette souche sur un milieu contenant de l'acide indole acétique à la dose de 5.10^{-6} était relativement rapide et l'adjonction de lait de Coco permettait d'obtenir une prolifération encore plus intense. Or, après avoir cultivé des colonies pendant à peu près une année en présence d'un mélange des deux substances stimulantes, nous avons constaté qu'elles ne pouvaient plus se passer de lait de Coco, mais se nécrosaient dès que l'on supprimait celui-ci.

Signalons encore que l'emploi du lait de Coco pour la culture des tissus de pommes de terre a probablement fourni des résultats décevants à Steward et Caplin (8), car ils semblent avoir abandonné les études qu'ils poursuivaient sur cette espèce.

Signalons enfin que le lait de Coco provoque parfois une modification de l'aspect des cultures. C'est ainsi que les colonies de tissus normaux de Vigne soumises à son action deviennent spongieuses et s'entourent d'un revêtement brun qui ne se forme pas dans les cultures réalisées en présence d'acide indole acétique. Cette modification morphologique s'accompagne de troubles physiologiques dont Goris a récemment donné un exemple dans le cas des tissus de Carotte (9).

Ainsi, le lait de Coco ne peut être considéré comme une panacée. La prolifération intense qu'il provoque présente souvent un caractère pathologique; elle s'accompagne de modifications des propriétés tissulaires de telle sorte que l'on ne peut espérer entreprendre des études sur la physiologie normale des tissus au moyen de cultures réalisées en présence de cette substance.

---

(7) *Amer. J. Bot.*, **38**, 1951, p. 132-138. La souche utilisée dans ce travail nous fut aimablement adressée par M. Levine.

(8) *Science*, **113**, 1951, p. 518-520.

(9) *Comptes rendus*, **231**, 1950, p. 870.

PHYSIOLOGIE VÉGÉTALE. — *Observations à propos de la Note précédente.* Note de MM. **Roger Heim** et **Roger Cailleux.**

La Note précédente de M. Roger Gautheret nous conduit à ajouter quelques indications provenant d'essais entrepris durant ces derniers mois, au Laboratoire de Cryptogamie du Muséum National, relatifs à l'influence du lait de Coco frais sur la croissance des Champignons Basidiomycètes, en culture pure. Nos propres expériences confirment les déboires que nous signale à ce propos l'auteur de la Note ci-dessus.

Nous avons utilisé des solutions aqueuses de 10, 15 et 20 % de lait de Coco en milieu gélosé. Les espèces suivantes ont servi de matériel cultural vivant (1).

Clitocybe candida (47) et *nebularis* (78); *Collybia fusipes* (221) et *velutipes* (90, 913); *Mucidula mucida* (60) et *radicata* (1); *Termitomyces mammiformis* (627), *Schimperi* (476) et *striatus* (698); *Pholiota adiposa* (55), *aurivella* (360), *ægerita* (2203), *destruens* (51), *heteroclita* (2225), *mutabilis* (26), *præcox* (910), *spectabilis* (160), *squarrosa* (305); *Pleurotus cornucopiæ* (933); *Psalliota augusta* (43) et *arvensis* (44); *Dryodon coralloides* (917), *cirrhatum* (20) et *Erinaceus* (24); *Fistulina hepatica* (948); *Ganoderma lucidum* (340); *Gyrophana lacrymans* (919); *Lentinus tigrinus* (131) et *tuber-regium* (657); *Leucoporus brumalis* (116); *Melanopus varius* (932); *Schizophyllum commune* (262); *Sparassis crispa* (69); *Xanthochrous cuticularis* (45).

Dans l'ensemble, les croissances se sont montrées plus lentes que sur le milieu gélosé témoin, à 2 % de maltea Moser. *Pholiota destruens* et *heteroclita* ont poussé difficilement, les trois *Dryodon* très lentement et incomplètement. *Fistulina hepatica* n'a manifesté aucun développement, malgré plusieurs essais. Cependant, quelques espèces ont produit sur le milieu au lait de Coco des fructifications analogues à celles observées d'autre part sur maltea à 2 % : *Mucidula mucida*, *Lentinus tigrinus*, *Leucoporus brumalis*; les carpophores observés se sont développés avec la même vitesse, quelle que soit la concentration en lait de Coco. D'autres cultures, par contre, qui fructifient aisément sur malt, sont restées stériles sur milieu au lait de Coco : *Collybia velutipes*, *Pholiota ægerita* et *adiposa*. Une seule espèce a fructifié plus aisément sur ce dernier milieu : *Mucidula mucida*. Sur lait de Coco *pur* gélosé, la croissance est apparue généralement très lente et n'a pas conduit à des fructifications.

Par contre, l'utilisation de la pulpe de noix de Coco, en tranches stéri-

(1) Les numéros correspondent aux souches de la Mycothèque du Muséum National d'Histoire Naturelle.

lisées, comme milieu de culture, a produit de remarquables cultures et conduit à des fructifications nettement plus robustes que sur maltea : tel a été le cas notamment de *Mucidula mucida*, *Lentinus tigrinus*, *Leucoporus brumalis*.

PHYSIOLOGIE VÉGÉTALE. — *Guérison de Dahlias atteints d'une maladie à virus*. Note (*) de MM. **Georges Morel** et **Claude Martin**, présentée par M. Raoul Combes.

Les diverses variétés de Dahlias cultivées sont très sensibles à certaines maladies à virus comme la Mosaïque du Dahlia, la Mosaïque du Concombre et le *Tomato spotted wilt*. La plus grave de ces maladies, la Mosaïque du Dahlia, cause de grands ravages dans les cultures. Les plantes atteintes présentent d'abord une panachure des feuilles qui affecte la forme de bandes claires le long des nervures principales, puis de taches jaunâtres sur le limbe. A un état plus avancé de la maladie, la plante présente un nanisme et un rabougrissement très prononcé, ainsi que des déformations du feuillage et des boutons à fleur qui la rendent impropre à la culture.

Cette plante étant fortement hétérozygote, elle n'est propagée que par voie végétative, ce qui a eu pour effet de répandre la maladie à tel point que la plupart des variétés actuellement cultivées sont en train de dépérir.

D'autre part, un certain nombre d'auteurs, parmi lesquels Samuel (1), Bawden et Pirie (2), Limasset et Cornuet (3), ont étudié la répartition de certains virus comme celui de la Mosaïque du Tabac à l'intérieur de la plante. Ils ont constaté que la teneur en virus diminue considérablement lorsqu'on passe d'une feuille adulte à une feuille jeune; à l'intérieur du bourgeon terminal elle est si faible qu'elle ne peut être déterminée par les tests les plus précis. Ceci amène à penser que le méristème apical doit être indemne de virus. S'il en est bien ainsi, il doit être possible, en prélevant aseptiquement le méristème apical de Dahlias malades et, en le cultivant *in vitro*, d'obtenir des plantes saines à partir de plantes malades.

Pour vérifier cette hypothèse, nous avons donc, au début de la végétation, disséqué des bourgeons terminaux de Dahlias de la variété « Rêve rose » fortement attaqués par le virus de la Mosaïque et prélevé aseptiquement les méristèmes apicaux, que nous avons mis en culture sur diverses solutions nutritives. Les fragments ainsi prélevés mesuraient environ 250 μ de long et possédaient ordinairement 2 ébauches de feuilles visibles. Le

(*) Séance du 17 novembre 1952.

(1) *Ann. Appl. Biol.*, 21, 1934, p. 90.

(2) *Brit. J. Exp. Patho.*, 27, 1946, p. 81.

(3) *Comptes rendus*, 228, 1949, p. 1971.

milieu nutritif qui nous a donné les meilleurs résultats était composé de solution de Knop diluée de moitié et renfermait, en outre, 2 % de glucose et de l'extrait de levure Difco à la concentration de 0,5 gramme par litre.

Sur ce milieu, la croissance des méristèmes est très irrégulière. Tous les explantats commencent à s'accroître rapidement et en une semaine atteignent environ 1 mm de long, puis ils restent stationnaires pendant plusieurs semaines et occasionnellement l'un d'eux continue à se développer pour former une tige feuillée de 1 ou 2 cm, mais nous n'avons jamais observé la formation de racines. Pour obtenir des plantes entières, nous avons donc greffé ces pousses feuillées sur de jeunes plantes indemnes de virus cultivées en serre. Quand les greffons eurent atteint une dizaine de centimètres de long, ils furent bouturés et mis en pleine terre sous des cages permettant d'éviter les contaminations par les insectes.

Les plantes se sont développées normalement sans présenter aucun des symptômes du virus de la Mosaïque. A deux reprises, elles ont été testées sérologiquement et, les deux fois, les tests ont été négatifs. Nous pensons donc être parvenus de cette manière à éliminer le virus.

En résumé, ces expériences montrent qu'il est possible d'obtenir des plantes saines à partir de Dahlias atteints du virus de la Mosaïque. Nous cherchons actuellement à étendre cette technique à d'autres plantes, comme la Pomme de terre.

PHYSIOLOGIE VÉGÉTALE. — *La localisation des composés catéchiques phlorogluciques dans les organes végétatifs du Pin maritime*. Note (*) de MM. **Roger David** et **Jack Masquelier**, transmise par M. Henri Devaux.

La présence de tanin a été signalée par divers auteurs, notamment par H. Devaux et A. Bargues (1) dans la région cortico-libérienne de la jeune tige de *Pinus Pinaster* et par P. Dangeard (2) dans les jeunes plantules de cette espèce. Tout récemment, J. Masquelier et G. Sansous (3) ont constaté que « l'écorce » (liber et rhytidome) du tronc contient un flavonol incolore, un leucoanthocyane de couleur jaune pâle à activité vitaminique P et ses produits de condensation : tannoïde et phlobaphène. Ces diverses substances à noyau phloroglucique n'ont été trouvées qu'à l'état

(*) Séance du 17 novembre 1952.

(1) *Procès-verbaux de la Société des Sciences physiques et naturelles de Bordeaux*, 1925-1926, p. 174.

(2) *Le Botaniste*, 15, 1923, p. 118.

(3) *Bull. Trav. Soc. pharm. Bordeaux*, juin 1952.

de traces dans le bois du tronc de l'arbre. Elles ont une structure voisine de celle indiquée par Tayeau et Masquelier (4) pour les substances catéchiques des téguments des graines d'arachides. Nos travaux antérieurs (3), (5) nous ont amenés à préciser la localisation de ces substances dans les tissus des divers organes végétatifs du Pin maritime.

Pour cela, nous avons d'abord recherché leur présence par la vanilline chlorhydrique (6) qui colore tous ces composés en rouge, puis nous avons précisé leur nature (leucoanthocyane, tannoïde ou composés plus condensés) en traitant les coupes des organes par un solvant approprié (7). Dans certains cas, la solubilité de ces composés dans HCl rendant leur localisation difficile, par suite de la diffusion de la coloration rouge, nous les avons insolubilisés en traitant les coupes pendant 24 h par une solution alcoolique d'acétate de plomb (8).

Le leucoanthocyane étant de couleur jaune très pâle ne peut être décelé directement par l'examen histologique (après montage des coupes dans l'éther, le chloroforme ou le benzène dans lesquels il est insoluble) mais on peut l'observer très facilement après traitement par l'acétate de plomb qui accentue fortement la coloration jaune. Le tannoïde de couleur jaune rougeâtre, peut être observé après montage des coupes dans une solution saturée de ClNa qui dissout le leucoanthocyane. Enfin, on peut constater la présence de composés catéchiques plus condensés de couleur brunâtre après traitement des coupes par l'éther ou le chloroforme qui dissolvent le flavonol, puis par l'eau salée qui élimine le leucoanthocyane, et montage dans l'eau qui dissout le tannoïde.

Dans la racine de la jeune plantule, seul, le leucoanthocyane est présent dans la vacuole des cellules de l'assise pilifère ainsi que dans les cellules sécrétrices du cylindre central. Lorsque la racine possède des formations secondaires, la vacuole de certaines cellules du parenchyme cortical contient aussi le leucoanthocyane tandis que d'autres cellules possèdent le tannoïde; on trouve aussi le leucoanthocyane dans les cellules du parenchyme libérien. Le suber et notamment les cellules pierreuses contiennent des composés catéchiques phlorogluciques très condensés brun rougeâtre. Enfin, dans les rayons médullaires du bois, on observe la présence d'inclusions solides

---

(4) *Comptes rendus*, 227, 1948, p. 602.

(5) R. David, *Comptes rendus*, 234, 1952, p. 2637.

(6) Solution à 1 % de vanilline dans HCl pur.

(7) A cause de sa très faible concentration et de sa relative instabilité, il ne nous a pas été possible de déceler le flavonol par une technique histochimique.

(8) Acétate de Pb : 5 g; eau distillée : 50 cm³; alcool à 95° : 50 cm³.
On lave soigneusement les coupes à l'eau avant de les traiter par la vanilline chlorhydrique pour éviter la formation d'aiguilles de $PbCl_2$.

peu colorées, à peu près insolubles dans l'eau salée, l'eau distillée et l'alcool, devenant jaune plus ou moins foncé avec l'acétate de plomb et rouge foncé par la vanilline chlorhydrique; il s'agit donc de composés catéchiques phlorogluciques assez condensés.

Les cellules épidermiques et quelques cellules hypodermiques de l'axe hypocotylé de la plantule ainsi que les cellules sécrétrices du cylindre central contiennent du leucoanthocyane. Cette substance se retrouve dans les cellules corticales de la tige d'un an dont les cellules épidermiques et sous-épidermiques contiennent des composés catéchiques insolubles très condensés. Un an plus tard, on retrouve les mêmes composés localisés de la même manière, mais, de plus, le leucoanthocyane est nettement décelable dans quelques cellules du parenchyme libérien; d'autres cellules corticales ainsi que quelques cellules de la moelle contiennent le leucoanthocyane. Le nombre des cellules corticales contenant cette substance ou du tannoïde augmente encore par la suite; ainsi au bout de 4 ans la plupart des cellules du parenchyme cortical contiennent le leucoanthocyane, d'autres possèdent le tannoïde. A ce moment, dans les cellules libériennes, il existe très peu de tannoïde, mais surtout du leucoanthocyane.

Chez l'arbre d'une quarantaine d'années, les cellules du parenchyme libérien possèdent un peu de leucoanthocyane et beaucoup de tannoïde; elles contiennent seulement un peu de phlobaphène (soluble dans l'alcool bouillant). Il semble bien qu'une même cellule du parenchyme libérien soit capable de synthétiser ces divers composés catéchiques : leucoanthocyane, tannoïde, phlobaphène. Le suber, les rayons médullaires du bois et certaines cellules du parenchyme ligneux entourant les canaux sécréteurs, contiennent des composés catéchiques très condensés.

Dans l'aiguille, nous n'avons décelé que le leucoanthocyane; l'épiderme et l'hypoderme en contiennent; on en trouve aussi dans la vacuole de la plupart des cellules du parenchyme chlorophyllien, dans les cellules de soutien et les cellules sécrétrices des canaux sécréteurs, dans quelques cellules de l'endoderme, dans certaines cellules du tissu de transfusion, dans quelques cellules péridesmiques et enfin dans certaines cellules des rayons médullaires de la méristèle. Nous n'avons donc observé dans aucun tissu la présence de tannoïde ni de composés catéchiques plus condensés.

En résumé, le parenchyme cortical de la tige et les grandes cellules du parenchyme libérien paraissent bien former d'abord le leucoanthocyane puis le tannoïde et il est fort probable que le flavonol soit la substance mère de ces composés. Il en serait de même dans l'écorce de la racine. Le suber et notamment les cellules pierreuses contiennent des composés très condensés. Des inclusions analogues se trouvent aussi dans les rayons médullaires du bois. Enfin, il est curieux de constater que l'aiguille ne contient pas de tannoïde, ni de composés plus condensés.

PHYSIQUE VÉGÉTALE. — *Action prolongée de l'eau et des acides naphthylacétique et indolacétique sur l'appareil stomatique isolé.* Note de M. **Igor Mouravieff**, présentée par M. Roger Heim.

L'action prolongée de l'eau et des acides naphthylacétique et indolacétique sur l'appareil stomatique isolé provoque une courbure anormalement forte des cellules stomatiques traduisant une importante hydratation en rapport avec la lyse de l'amidon et les changements d'élasticité membranaire.

Certaines recherches (1), (2) ont confirmé récemment que l'immersion prolongée de disques de Pomme de terre dans des solutions aérées de composés à action phytohormonale provoque une absorption « non osmotique » de l'eau.

Ces constatations rendent particulièrement intéressante l'étude de l'action de ces substances sur les cellules stomatiques. Les réserves amylacées sont facilement contrôlables et l'absorption ou l'élimination de l'eau se traduit par une variation du diamètre des stomates isolés, ce qui permet de vérifier par des méthodes différentes les résultats obtenus sur les disques de Pomme de terre.

Les stomates fermés et isolés d'*Aponogeton distachyus* et de *Vicia Faba* sont placés à l'obscurité sur des solutions d'acide naphthylacétique (ANA) et d'acide indolacétique (AIA), à la température de 27° C, pour 48 h. On a mesuré la largeur de l'appareil stomatique et de l'ostiole, avant et à la fin de l'expérience. La valeur osmotique a été déterminée par la méthode plasmolytique au début et à la fin de l'expérience. Les résultats sont résumés dans le tableau ci-contre.

Nos recherches montrent que l'ANA comme l'AIA sont toxiques pour les stomates isolés. Mais, à 3 mg, les stomates montrent une notable augmentation du diamètre, qui peut atteindre 40 % chez *Aponogeton distachyus*, et davantage chez *Vicia Faba*. Certains stomates se sont tellement élargis qu'ils ont pris la forme de deux fers à cheval opposés par leurs bouts. En même temps, il se produit une forte réduction de l'amidon dans les stomates et la valeur osmotique a notablement baissé. Le séjour des stomates dans l'eau distillée pendant 48 h provoque également une augmentation du diamètre des stomates, une réduction de l'amidon et un abaissement de la valeur osmotique.

Comme avec les disques de Pomme de terre, l'absorption de l'eau se fait seulement après les premières 24 heures. Si l'expérience est prolongée, les stomates meurent dans les hétéroauxines. Cependant, les cellules sto-

(1) L. Brauner et M. Hasman, *Bull. Fac. Med. Istanbul*, 12, 1949, p. 57-71.
(2) D. P. Hackett, *Plant Physiol.*, 27, 1952, p. 279-284.

matiques meurent « en extension » , ce qui dénote une modification irréversible de l'élasticité de la membrane.

Plante.	Durée de l'expérience (h).	Concentration des solutions (mg/l).	Variations en % du diamètre de l'appareil stomatique.	Variations de la teneur en amidon des cellules stomatiques.	Plasmolyse limite en molécules de glucose. Au début.	Plasmolyse limite en molécules de glucose. A la fin.
Aponogeton distachyus.	16	10	—	—	—	—
	5	10	0	0	0,72	0,72
	16	5	0	0	»	—
	48	5	+ 40 (*)	Disparition ou traces	»	0,25
	48	3	+ 40 (*)	Id.	»	»
	48	Eau distillée	+ 25-30 (**)	Id.	»	»
Vicia Faba.	48	5	—	—	—	—
	16	5	0	0	0,75	0,75
	48	3	+ 60 (*)	Forte diminution	»	0,33
	48	Eau distillée	+ 50-60 (**)	Id.	»	»

(*) Nombreux stomates en « fer à cheval ».
(**) Quelques stomates en « fer à cheval ».

Nos recherches confirment les résultats des expériences sur les tissus de réserve. On pourrait alors représenter théoriquement l'absorption de l'eau provoquée par ces substances, dans le cas des cellules stomatiques, par le même schéma que celui proposé pour les tissus de réserve. Sous l'action des hétéroauxines, qui se manifeste au bout de 24 h, la vitesse de la lyse de l'amidon est activée. Il se produit un appel d'eau de l'extérieur et une augmentation du diamètre des stomates, facilitée par un relâchement de la pression membranaire. Mais les sucres formés sont utilisés rapidement dans le métabolisme respiratoire intensifié ([3]), la valeur osmotique baisse notablement, tandis que l'eau rentrée dans les cellules stomatiques continue à s'y maintenir, n'étant pas attirée vers l'extérieur. Il en résulte que l'augmentation du diamètre et l'abaissement de la valeur osmotique sont retrouvés à la fin de l'expérience.

BIOCHIMIE VÉGÉTALE. — *Sur le flavonoside des fruits du* Paliurus aculeatus *Lamk.* Note de M. **René Paris**, présentée par M. René Souèges.

Des fruits du *Paliurus aculeatus* Lamk a été séparé un hétéroside cristallisé de la série flavonique, donnant par hydrolyse, d'une part, une génine ayant les caractères du quercétol et, d'autre part, des sucres, rhamnose et glucose. Cet hétéroside a été identifié par ses propriétés physiques et chimiques au rutoside.

([3]) L. Anker, *Konink. Nederl. Akad. Weten.*, Sect. Sc., 54, 1951, p. 525.

Au cours de recherches systématiques sur la répartition des dérivés flavoniques chez les végétaux, nous avons pu caractériser ces pigments chez diverses Rhamnacées et notamment chez le Paliure (*Paliurus aculeatus* Lamk = *Rhamnus Paliurus* L.) encore dénommé Épine du Christ. Il s'agit d'un arbrisseau de la région méditerranéenne dont le fruit sec, soudé au réceptacle et entouré d'une aile transversale formée par la base élargie du style, est tout à fait caractéristique. Ces fruits sont utilisés en médecine populaire comme diurétiques.

Peu de travaux chimiques ont été effectués sur cette espèce. Maurin en 1928 (1) signale la présence dans l'écorce de la tige de 0,95 % de dérivés anthracéniques. Cependant dernièrement, notre travail étant en cours, A. Ronchèse et M. Fiquet (2) ont obtenu, à partir des fruits, un glucoside vrai de F 194°, de poids moléculaire voisin de 450 donnant la réaction de la cyanidine, et pour lequel ils ont proposé le nom de paliuroside. Dans une deuxième communication (3), les mêmes auteurs ayant constaté que la génine était identique au quercétol identifient le paliuroside à l'isoquercitroside. Nos conclusions sont différentes.

Nous avons tenté l'extraction des dérivés flavoniques à partir des fruits et des feuilles. Le meilleur procédé consiste à traiter les organes végétaux par l'alcool bouillant (une seule fois et sans broyage ultérieur), à concentrer sous pression réduite et à reprendre immédiatement l'extrait alcoolique par l'eau bouillante après dégraissage au chloroforme. Au bout de quelques jours apparaissent, peu à peu, dans le cas des fruits, des masses cristallines jaune soufre. Le rendement est beaucoup plus élevé chez les fruits verts (0,15 %). Avec les feuilles nous n'avons obtenu qu'un dépôt amorphe jaune brun. Après redissolution dans l'eau bouillante ou l'alcool à 50° on obtient un produit jaune pâle, cristallisé en aiguilles, se ramollissant à 198° et fondant avec décomposition à 208-210° (bloc Maquenne). Cette substance perd 4,7 % d'eau à 100° et 7,34 % à 130°; elle est lévogyre α_D ($c = 1$ %) = $-13° \pm 3$ (alcool à 60°) et $-40° \pm 3$ (pyridine + 10 % d'eau) peu soluble dans l'eau froide, plus soluble à chaud, soluble dans le méthanol, l'alcool isopropylique, la pyridine et les solutions alcalines, insoluble dans le benzène, le chloroforme, l'éther. Elle présente les réactions colorées des dérivés flavoniques : teinte jaune foncée en milieu alcalin disparaissant en milieu acide, fluorescence jaune en milieu sulfurique, coloration verte avec le perchlorure de fer, bleue avec le réactif de Folin et Denis. L'obtention d'une teinte rouge avec le magnésium et l'acide chlorhydrique (réaction de la cyanidine), d'une coloration jaune orangé

(1) *Bull. Sc. pharmacol.*, 35, 1928, p. 236.

(2) *Ann. pharm. fr., C. R. Acad. de Pharm.*, Paris, séance du 2 avril 1952 (à paraître).

(3) *Ann. pharm. fr., C. R. Acad. de Pharm.*, Paris, séance du 5 nov. 1952 (à paraître).

avec le pentachlorure d'antimoine en milieu chloroformique (réactif de Marini), d'une fluorescence jaune verdâtre avec le réactif citroborique de Wilson en milieu acétonique anhydre, montrent qu'il s'agit d'un flavonol. Ce pigment devient réducteur après ébullition avec un acide minéral; il s'agit donc d'un hétéroside. Après chauffage de 4 h au bain-marie bouillant, en solution à 1 % dans de l'acide sulfurique à 3 %, on obtient 43,4 % d'aglycone insoluble de F 310-312°, ne comportant ni groupement méthoxyle, ni groupement méthylène-dioxy. La teneur en hydroxyle acétylable est de 25 % (correspondant à 5 hydroxydes), le dérivé pentaacétylé fond à 192-194°; cet aglycone se colore en vert-brun par le perchlorure de fer : il s'agit du quercétol. Le filtrat d'hydrolyse est réducteur, dextrogyre, présente à la fois la réaction des hexoses et des méthylpentoses; il fournit deux ozasones : l'une cristallise en oursins, soluble dans l'acétone, l'autre en branche de Genêt, insoluble dans l'acétone. La chromatographie sur papier permet de caractériser le glucose et le rhamnose, fait en accord avec la teneur en aglycone, la présence de deux osazones, le faible pouvoir rotatoire du filtrat. Ces sucres existent sous la forme d'un bioside combiné à l'hydroxyle en position 3 du quercétol. En effet, si l'on hydrolyse l'hétéroside préalablement méthylé, on obtient une génine correspondant à un tétraméthylquercétol, présentant une forte fluorescence en lumière de Wood, fluorescence due à l'hydroxyle en 3 non méthylé puisque lié au sucre avant l'hydrolyse. D'après tous ces caractères et surtout d'après la présence non seulement de glucose, mais aussi de rhamnose, nous croyons que le flavonoside du *Paliurus aculeatus* doit être identifié, non à l'isoquercitroside comme l'ont préconisé A. Ronchèse et M. Fiquet, mais au rutoside, hétéroside très répandu dans le règne végétal (1).

BIOCHIMIE VÉGÉTALE. — *Les glucides des semences de Crucifères.* Note de M. **Robert Duperon**, présentée par M. Raoul Combes.

Les semences de Crucifères peuvent contenir des quantités relativement importantes de glucides solubles, constituées le plus souvent (18 sur 20 espèces ou variétés étudiées) par un mélange de saccharose, de stachyose et raffinose. Les hétérosides sulfurés semblent avoir une répartition très générale. L'amidon ne se rencontre qu'exceptionnellement et seulement à l'état de traces.

Les Crucifères forment une famille remarquablement homogène et très caractérisée. Aux particularités morphologiques s'ajoutent des caractéristiques biochimiques telle la présence de nombreuses essences sulfurées. Ces dernières peuvent se trouver combinées au glucose sous forme d'hétérosides (thiohétérosides), généralement accompagnés de l'hydro-

(1) *Ann. pharm. françaises*, 7, 1949, p. 21.

lase correspondante : la myrosinase. En outre, les semences de ces végétaux renferment, en grande quantité, une huile riche en un glycéride particulier : l'érucine. A côté des lipides et des hétérosides sulfurés, elles contiennent aussi des sucres, jusqu'ici peu étudiés. Nous nous proposons ici d'examiner la nature de ces glucides.

Deux sortes de techniques ont été utilisées : 1° Dosage des glucides par les méthodes biochimiques classiques (Bourquelot, Bridel); 2° Chromatographie de partage sur papier (Partridge) des extraits obtenus à partir des semences.

Les dosages bio-chimiques révèlent dans toutes les espèces ou variétés examinées la présence de faibles quantités de sucre réducteur libre. L'invertase, ajoutée aux extraits aqueux, libère une importante quantité de réducteur et provoque un changement dans les propriétés optiques de la solution (déviation polarimétrique gauche). L'indice de réduction enzymolytique est généralement inférieur à celui du saccharose (620). L'action prolongée de l'émulsine, après celle de l'invertine, se traduit par une nouvelle apparition de sucres réducteurs et une accentuation de la déviation polarimétrique vers la gauche. Comme l'ont montré Bourquelot et Bridel (1) et Vintilesco (2), ces phénomènes laissent supposer la présence d'holosides complexes, tels le stachyose et le raffinose. Enfin, l'utilisation de la poudre fermentaire renfermant la myrosinase provoque, dans presque tous les cas étudiés, une libération de sucre réducteur et un retour du pouvoir rotatoire vers la droite montrant ainsi l'existence d'hétérosides sulfurés.

La chromatographie sur papier des extraits aqueux, concentrés, confirme et précise les données précédentes en permettant l'identification des sucres présents.

On obtient ainsi les résultats ci-après.

Toutes les semences des espèces ou variétés étudiées contiennent du saccharose. Dans la presque totalité des cas (18 sur 20 examinés) ce diholoside est accompagné du stachyose (tétraholoside) et du raffinose (triholoside). Bien qu'il soit impossible de doser avec précision chacun des sucres du mélange, les méthodes utilisées permettent néanmoins de les ordonner selon leur abondance relative (de gauche à droite dans le tableau) : le saccharose est toujours le plus abondant, puis viennent, dans l'ordre, le stachyose et le raffinose; ce dernier n'existant parfois qu'à l'état de traces (*Iberis umbellata*, *Erysimum Perofskianum*, *Brassica campestris* (navette), *Lunaria annua*, *Sinapis alba*). Toutefois, chez *Capsella bursa pastoris*, ces deux derniers sucres se présentent dans un ordre inverse : les semences sont

(1) *J. pharm. et chimie*, 30, 1909, p. 162.
(2) *J. pharm. et chimie*, 30, 1909, p. 167.

plus riches en raffinose qu'en stachyose. Enfin deux des espèces étudiées ne possèdent que du saccharose; ce sont *Arabis alpina* et *Diplotaxis tenuifolia*.

	Holosides classés selon leur abondance relative (de gauche à droite). S. = Saccharose. St. = Stachyose. R. = Raffinose.	Teneurs en glucides solubles (exprimées en grammes de glucose pour 100 g de graines).	
		Holosides totaux.	Glucides solubles totaux.
Sisymbrium officinale	S. St. R.	3,6	5,5
Brassica oleracea var. *acephala*	S. St. R.	3,9	5,6
Brassica napus var. *oleifera* (colza)	S. St. R.	3,6–3,9	4,5–5
Brassica napus var. *esculenta*	S. St. R.	4,4	5,7
Brassica campestris var. *navette*	S. St. R.	4,3	6,5
Nasturtium officinale	S. St. R.	4,4	6,3
Lepidium ruderale	S. St. R.	3,4	7,1
Lepidium sativum	S. St. R.	5,3	7,7
Cochlearia armoricia	S. St. R.	4,0	6–7
Sinapis alba	S. St. R.	4,0	7,8
Capsella bursa pastoris	S. St. R.	2,4	4,2
Iberis umbellata	S. St. R.	6,8	10,6
Cheiranthus cheiri var.	S. St. R.	7–7,5	10–12,4
Erysimum Perofskianum	S. St. R.	3,9	6,6
Lunaria annua	S. St. R.	3,9	7,4
Raphanus sativus var.	S. St. R.	4–4,7	5,8–6,8
Arabis bellidifolia	S. St. R.	3,7	7,3
Arabis alpina	S.	–	–
Diplotaxis erucoides	S. St. R.	–	–
Diplotaxis tenuifolia	S.	2,5	3,8

Ainsi, le plus souvent, les glucides solubles des semences de Crucifères comprennent un mélange de trois holosides auquel s'ajoutent de faibles quantités d'hexoses.

D'autre part, les hétérosides sulfurés se rencontrent chez les différentes espèces ou variétés examinées sauf peut-être chez *Diplotaxis tenuifolia* et *Brassica napus* (Colza) où ils doivent s'y trouver, s'ils existent, en quantité infime.

Les résultats des dosages montrent encore que l'ensemble des glucides solubles (sucre réducteur libre, holosides, hétérosides) peut atteindre un pourcentage important du poids de la graine (*Cheiranthus cheiri* de 10 à 12 % selon l'origine des graines, *Iberis umbellata* 10,6 %).

Enfin, l'amidon ne se rencontre qu'exceptionnellement et seulement à l'état de traces.

ANATOMIE COMPARÉE. — *Développement et interprétation de l'*Insula *cérébrale des Singes* (Cercopithecidæ), *au cours de l'ontogénie.* Note de Mlle **Madeleine Friant**, présentée par M. Émile Roubaud.

L'étude, au point de vue cérébral, d'une série de fœtus de Semnopithèque permet à l'auteur de préciser l'étendue de l'*Insula* chez les Singes inférieurs : cette région correspond à la partie du Territoire central située en avant de la *Pseudosylvia*.

Le cerveau (télencéphale) des Primates (le *Chiromys* excepté) et de l'Homme lui-même possède une partie de son manteau néopalléal qui, enfoncée en profondeur, constitue l'*Insula* ou Ile de Reil. L'interprétation de l'*Insula* des Primates et des Singes, en particulier, est extrêmement difficile, parce que le développement de cette région est peu connu, en dépit des travaux de D. J. Pol Hulshoff (1916, 1917), de R. Anthony (1920) et de F. Coupin (1925).

Au *Prosectorium* du Jardin Zoologique de Londres, j'ai étudié, chez M. le Professeur W. C. Osman Hill, une série de stades de l'ontogénie cérébrale du Semnopithèque (*Semnopithecus priamus* Blyth), qui me permettent d'interpréter l'*Insula* des Singes inférieurs de l'Ancien Monde (*Cercopithecidæ*) (1).

Vers le *milieu de la vie fœtale* (durée de la gestation : six mois et demi, environ), le cerveau, sur sa face externe (*fig.* A), présente une indication très nette de la Fosse sylvienne, limitée, en avant, par la *Suprasylvia* (S.) (Circulaire supérieur de Reil), en arrière, par : la *Pseudosylvia* (Ps.) et, au-dessus d'elle, un sillon de néoformation qui rejoint presque le sommet de la *Suprasylvia*; je le nomme *Sulcus reuniens posterior* : il constitue, ici, avec la *Pseudosylvia*, le Circulaire postérieur de Reil, qui n'est pas identifiable, d'ailleurs, à celui de l'Homme.

La région limitée par le Circulaire supérieur et le Circulaire postérieur de Reil constitue l'*Insula*, encore visible en surface, à ce stade.

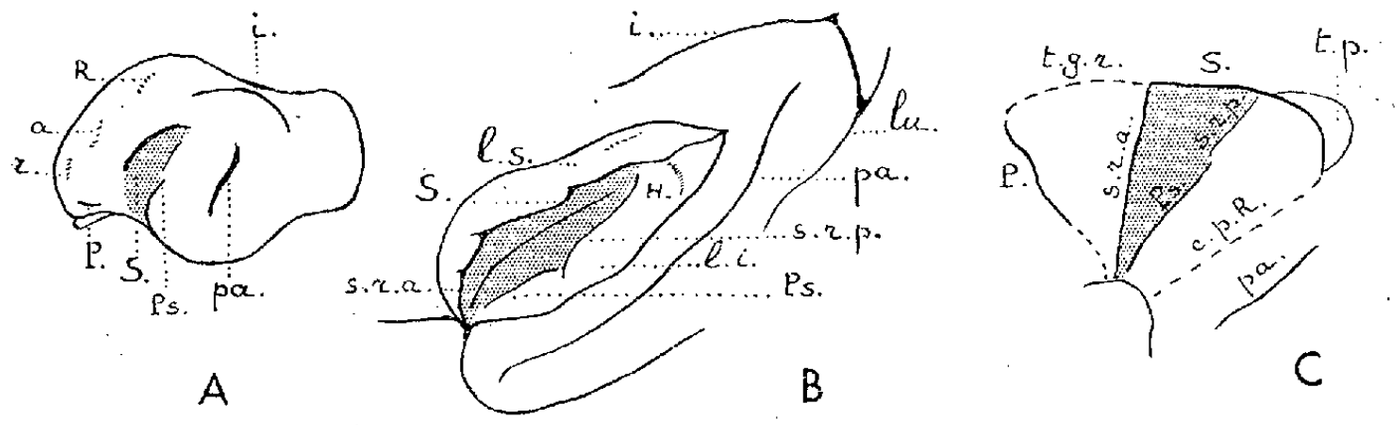
Le Parallèle (pa.) (*Postsylvia*), ébauché, toujours superficiel chez les Primates, limite, avec la *Suprasylvia*, le Territoire central du *Neopallium*.

Dans les stades suivants, la Fosse sylvienne s'accuse, puis se ferme et devient « Scissure de Sylvius » (Complexe sylvien) vers les deux tiers de la gestation : l'*Insula* se trouve, alors, operculisée en entier.

A la naissance, le cerveau est comparable à celui de l'adulte, quant à ses sillons. Après écartement des lèvres de la Scissure de Sylvius (*fig.* B),

(1) Les fœtus étudiés, ici, ont presque tous été décrits, au point de vue de leurs caractères extérieurs, par le Professeur W. C. Osman Hill, *Ceylon J. Sc.* (B), **20**, (2), 1937, p. 211.

l'*Insula* apparaît en profondeur. En avant, elle est encore limitée par la *Suprasylvia* prolongée, maintenant, vers le bas, par un sillon de néoformation que je nomme le *Sulcus reuniens anterior* : avec la *Suprasylvia*, il forme le Circulaire supérieur de Reil. Vers l'arrière, l'*Insula* est limitée, comme dans les stades moins avancés, par le Circulaire postérieur de Reil que constituent la *Pseudosylvia* et, vers le haut, le *Sulcus reuniens posterior*, qui ne la rejoint pas. Sur l'*Insula*, qui affecte une forme d'amande, un faible sillon axial est apparu : il fait partie du groupe des sillons radiaires du *Neopallium*, particuliers aux Primates (2).



A et B. *Semnopithecus priamus* Blyth *thersites* Tennent, de Ceylan. — Collection de M. le Professeur W. C. Osman Hill. *Prosectorium* du Jardin Zoologique de Londres. Cerveaux. L'*Insula* est en grisé. A. Fœtus n° P. E. 21 ♂. Face externe gauche. G. N. — B. Nouveau-né n° P. E. 18 ♂. *Insula* du côté gauche, après écartement des lèvres, supérieure (*l. s.*) et inférieure (*l. i.*), du Complexe sylvien. Un peu plus de G. N. — C. Schéma de la région operculisée du cerveau humain (*Insula* et Territoire temporo-pariétal, *t. p.*), où est figurée, en grisé, l'étendue de l'*Insula* des Singes (*Cercopithecidæ*). *a. Sulcus arcuatus*. — *c. p. R.* Circulaire postérieur de Reil du cerveau humain. — H. *Gyri* de Heschl. — *i.* Intrapariétal = Latéral. — *lu. Sulcus lunatus*. — P. *Præsylvia* = Circulaire antérieur de Reil du cerveau humain. — *pa.* Parallèle = *Postsylvia*. — *Ps. Pseudosylvia*. — *r. Sulcus rectus* = Coronal. — R. Sillon de Rolando. — S. *Suprasylvia*. — *s. r. a. Sulcus reuniens anterior*. — *s. r. p., Sulcus reuniens posterior*. — *t. g. r. Sulcus transversus gyri reunientis* du cerveau humain.

Le développement cérébral montre, en somme, que l'*Insula* du Semnopithèque et des *Cercopithecidæ*, en général, correspond à la région du territoire central située en avant de la *Pseudosylvia*, c'est-à-dire au bras antérieur des *Gyri arcuati* 1 et 2, l'*Ectosylvia* étant effacée, ici, comme chez tous les Primates. L'*Insula* de ces Singes est donc beaucoup moins étendue que celle de l'Homme (3), qui comporte, en outre (*fig.* C) : vers l'avant : le *Gyrus reuniens* tout entier; vers l'arrière : l'*Insula postérieure* de l'Anatomie humaine, formation qui semble constituée par le bras postérieur du *Gyrus arcuatus* 1 et d'une partie du *Gyrus arcuatus* 2.

(2) En 1940, j'avais supposé, d'après l'anatomie cérébrale des adultes, que le sillon axial de l'*Insula* des *Cercopithecidæ* était la *Pseudosylvia* : l'étude de l'évolution ontogénique nous révèle qu'il s'agit seulement d'un sillon radiaire.

(3) M. Friant, *Anatomie comparée du cerveau*, Paris, Prisma, 1947, p. 27 et suiv. ; *pl.* 28 et suiv.

ZOOLOGIE. — Acteon tornatilis *L. et sa « radula »*.
Note de Mme **A. Pruvot-Fol**, présentée par M. Louis Fage.

L'importance systématique de l'Actéon est bien connue de tous les malacologistes, ainsi que les déplacements qu'il a subis dans la classification. Il a été étudié, par conséquent, par les meilleurs spécialistes. Mais il est un de ses organes qui n'avait que peu servi à le situer : c'est son bulbe buccal. Je ne connais que trois figures représentant ses dents, et ces trois figures se ressemblent aussi peu que possible. Pourtant, toutes trois me paraissent exactes, et je tenterai de dire pourquoi elles diffèrent tant.

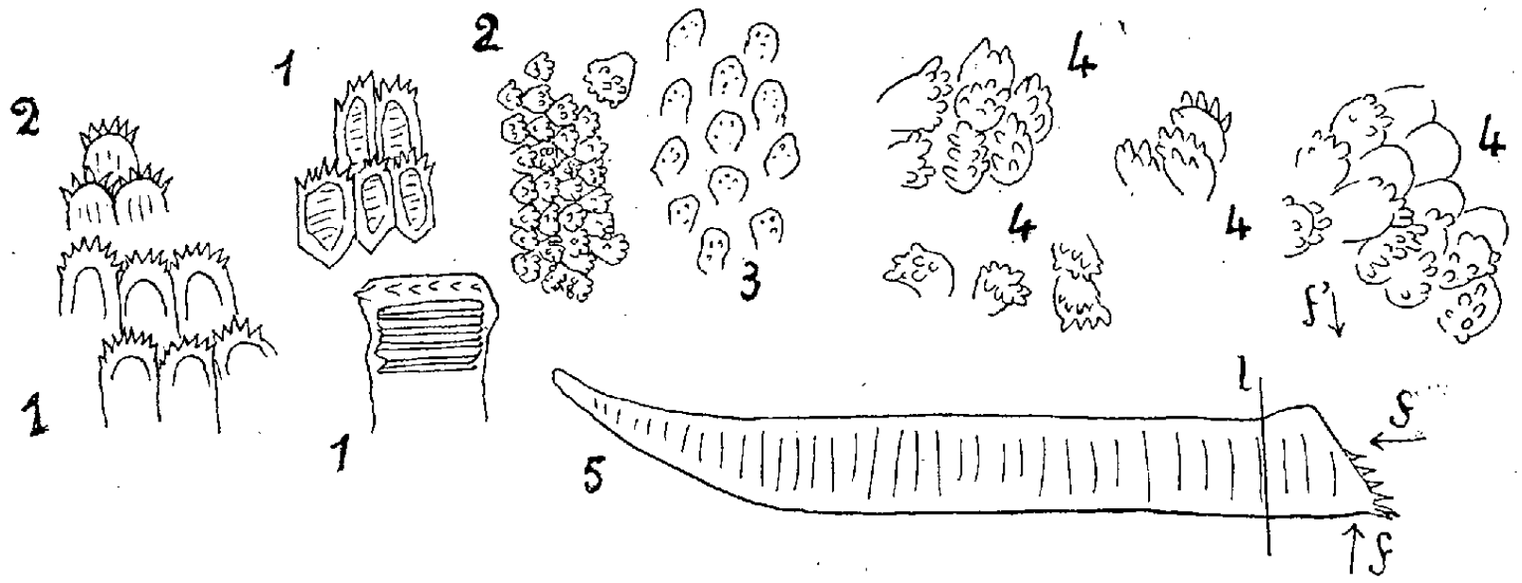
C'est à Miss V. Fretter que je dois d'avoir pu disséquer deux échantillons de ce Mollusque, que jusqu'ici, je n'avais pu étudier, échantillons destinés à ses propres études. Tout ce qui avait été dit sur la « radula », ses dents, excessivement petites, et de caractère tout à fait aberrant, avait attiré mon attention; j'ouvris donc le bulbe buccal dorsalement pour l'étaler et cherchai la radula à sa place habituelle, dans sa partie ventrale postérieure : elle ne s'y trouvait pas. Dans la partie antérieure, ventrale, par contre, se trouvait une zone recouverte d'un pavage de quelques centaines au moins de minuscules écailles contiguës, et dont le nombre est difficile à évaluer, la préparation n'étant pas parfaitement plane, et un assez fort grossissement étant indispensable pour les apercevoir.

Isolés, quelques-uns de ces petits éléments m'ont présenté un aspect familier, rappelant, en miniature, les éléments des mâchoires de *Pleurobranchæa*, les écailles du bord dit « masticateur » de *Scyllæa pelagica*, et d'autres formations analogues; tous éléments appartenant à des mâchoires et non à des « radulas »; et c'est aussi la place d'une mâchoire ventrale qu'occupe ce pavage.

Outre l'emplacement qu'elles occupent, ces deux formations diffèrent essentiellement par le fait que les mâchoires sont produites sur une surface, et que chacun de leurs éléments, qu'ils soient agglomérés en une masse ou qu'ils restent indépendants, est produit par une seule cellule du tégument interne du bulbe. Ces éléments sont en forme d'épines, de bâtonnets, de pavés, de coins, etc., et, vus par leur face libre, ont plus ou moins l'aspect d'écailles, même lorsque l'élément est allongé en forme de coin, comme chez le *Pleurobranchæa*. Ici, chez l'Actéon, la face porte de petits tubercules ou aspérités plus ou moins arrondies ou aiguës, en nombre variable, de trois ou quatre à neuf ou dix; généralement, plus pointus au bord de la face et plus arrondis en tubercules au centre.

Je crois que les différents points de vue auxquels se sont placés les dessinateurs peuvent expliquer les différences d'aspect de leurs dessins. Ils ont vu ces petits objets, dont l'observation est très délicate à cause de leur petitesse, sous des angles divers, comme le montre le schéma joint : (*fig.* 4).

Il ne me semble guère douteux que la prétendue radula de l'Actéon ne soit une mâchoire très rudimentaire. En pourra-t-on tirer quelque conclusion au sujet de la place systématique de ce Mollusque ? Cela n'est



1. Divers aspects des éléments de la mâchoire de *Pleurobranchæa meckeli* Leue. Facettes vues du côté interne du bulbe buccal, d'après des dessins de R. Bergh et de A. Vayssière. — 2. Écailles du « bord masticateur » de la mâchoire de *Scyllæa*. — 3. Écailles de l'anneau labial d'*Acanthodoris Glosa*. — 4. Quelques-uns des éléments de la prétendue radula de l'Actéon. — 5. Un élément de la mâchoire de *Pleurobranchæa*, vu de profil. Une flèche, *f*, montre la manière de représenter la dent d'Actéon, par V. Fretter; la flèche *f'* indique le point de vue de Sars, et la ligne 1, environ le lieu où passe la coupe représentée par M. Prenant et A. Gabe (1952), selon mes suppositions.

pas sûr; cependant peut-être cela le fait-il reculer à une antiquité plus grande que celle qui lui a été parfois assignée. Car nous ne savons pas au juste à quel moment la radula s'est différenciée de mâchoires ventrales, qui ont dû la précéder historiquement, et dont elle est peut-être une partie postérieure détachée produite dans une évagination de la paroi du bulbe. Ici chaque dent est toujours produite par une association de cellules ou odontoblastes. Mais ce sont bien actuellement des formations différentes, qui peuvent coexister chez un même animal, ou se remplacer l'une l'autre, ou manquer toutes les deux, comme nous en connaissons des cas chez les Opisthobranches. Il n'a pas été tenu compte suffisamment jusqu'ici de leur différence, ainsi que je l'ai déjà montré chez la Janthine; il peut être utile d'attirer l'attention sur cette distinction, mais une étude de cette question ne peut faire le sujet d'une très courte Note.

BIOLOGIE EXPÉRIMENTALE. — *Le développement embryonnaire, larvaire et la croissance pondérale du Phasme* (Clonopsis gallica *Charp.*). Note (*) de M. **André Voy**, présentée par M. Pierre-P. Grassé.

La ponte saisonnière de *Clonopsis gallica* Charp. montre, entre son début et sa fin, une variation du simple au double de la durée du développement embryonnaire; celui-ci subit une diapause seulement rompue par le froid. La vie larvaire comporte quatre âges ou intermues dans le cycle desquelles la croissance pondérale permet la distinction de trois phases à taux inégal (post-exuviale, moyenne, pré-exuviale).

Ponte et vie embryonnaire. — La vie de *Clonopsis gallica* Charp. est uniquement saisonnière : les jeunes larves éclosent au début du printemps (mars-avril) et après 4 âges larvaires ou intermues dont la durée totale n'excède pas 2 mois, deviennent adultes 15 jours environ après la 5e mue (imaginale) et pondent ensuite régulièrement pendant près de 4 mois en observant un jour de repos tous les 4 ou 5 jours; les œufs pondus au début de l'été (juin-juillet) éclosent au début du mois d'avril de l'année suivante, tandis que ceux de fin de saison (août-septembre) n'éclosent qu'au printemps de la 2e année. La durée du développement embryonnaire oscille donc entre 10-11 mois pour les premiers et entre 20-22 mois pour les seconds.

Par exemple, une ponte de plus de 400 œufs a été divisée en 4 lots.

Le 1er conservé d'abord à 18°C a été ensuite soumis à une température de 2°-4° pendant 15 jours au début de janvier, puis ramené à la température ambiante.

Le 2e, traité de la même façon a subi l'épreuve du froid fin février.

Le 3e a été abandonné dans une pièce chauffée par intermittence où la température nocturne pouvait descendre jusqu'à 0°C.

Le 4e, enfin, a été maintenu en permanence à 18°C.

Dans les trois premiers lots, le nombre des éclosions a été sensiblement le même : 25 % au début d'avril de la 1re année (œufs du début de l'été), 75 % en mars-avril de la 2e année (œufs de la fin de l'été).

Enfin, le quatrième lot n'a fourni aucune larve, aussi bien la 1re que la 2e année, ce qui montre bien l'action nécessaire du froid pour rompre la diapause.

Vie larvaire. — Elle comporte, quelle que soit la date de l'éclosion, cinq mues délimitant quatre âges ou intermues d'une durée moyenne (1)

(*) Séance du 17 novembre 1952.

(1) Moyenne établie dans chaque cas sur une vingtaine d'individus d'un même élevage dans des conditions bien définies de température, humidité, nourriture qui seront précisées dans un Mémoire ultérieur.

de 17 jours pour les deux premiers âges, 15 jours pour les deux derniers; la durée de la première partie de la vie imaginale (précédant la ponte) ne dépasse pas non plus 15 jours. Au cours de ces différents stades, le poids moyen passe successivement de 2,78 mg à l'éclosion (1re mue) à 9,18 mg (2e mue), à 27 mg (3e mue), à 78 mg (4e mue), à 207 mg (5e mue) pour atteindre finalement 495 mg chez l'adulte. En gros, le poids triple à chaque mue; la croissance est donc beaucoup plus rapide que chez *Carausius morosus* Br. dont la vie larvaire s'étend sur six âges et dont le poids double seulement à chaque mue. La vie adulte de *Clonopsis* dure un peu plus de 100 jours; tous les individus élevés meurent au début de l'automne.

Croissance pondérale. — Étudiée par des pesées quotidiennes, elle a permis d'élucider (comme dans le cas de *Carausius* [2]) les relations susceptibles d'exister entre les diverses parties de la courbe de croissance (log. poids/temps) et les périodes successives de l'intermue.

Les pesées d'individus isolés d'un élevage soumis aux conditions définies plus haut étaient effectuées tous les matins de bonne heure, les individus muant toujours la nuit.Les poids moyens ont été calculés sur des séries d'au moins dix individus de même intermue.

1re, 2e, 3e, 4e *âges larvaires.* — Le graphique log. poids/temps permet de découper une intermue quelconque de la vie larvaire en trois phases successives : la 1re (post-exuviale) définie par un taux d'accroissement pondéral élevé, toujours courte (2 à 4 jours suivant la longueur de l'intermue) paraît correspondre au remplissage du tube digestif vidé lors de l'exuviation.

La 2e (moyenne), avec un taux d'accroissement moindre, la plus longue, oscille entre 10 et 12 jours; elle correspond à la croissance proprement dite; la droite la représentant est parallèle à celle joignant les points figuratifs des mues.

La 3e (pré-exuviale), courte (2 à 4 jours), définie par une diminution régulière de poids précédant la mue correspond au vidage du tube digestif. L'exuviation qui la termine est marquée par une chute brusque de poids.

Les graphiques individuels offrent, malgré quelques irrégularités, une allure comparable à celle des graphiques de moyennes; celles-ci sont d'autant plus faibles que la croissance est plus rapide (intermues courtes), ce qui tendrait à prouver que les intermues longues sont dues à des anomalies dans la croissance. Pour des intermues égales, quel que soit l'âge larvaire considéré, les phases correspondantes montrent des durées identiques.

---

(2) *Comptes rendus*, 231, 1951, p. 377.

Vie imaginale. — Son début est marqué par la 1re phase (post-exuviale) de 2 à 4 jours, à taux de croissance pondéral élevé (remplissage du tube digestif); une 2e à taux de croissance moindre, d'une durée moyenne de 12 jours lui fait suite; elle correspond au développement des ovules. Des pesées quotidiennes comparées du tube digestif d'une part, des ovaires, d'autre part, le montrent. Elle se termine par le début de la période de ponte caractérisant l'âge adulte; celle-ci dure un peu plus de 3 mois; dans sa 1re moitié, le poids reste sensiblement constant, tandis que dans sa 2e partie elle s'accompagne d'une lente chute de poids jusqu'à la mort qui survient peu de jours après la fin de la ponte.

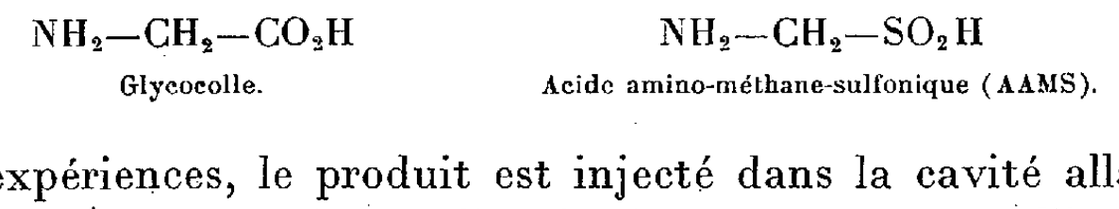
La mise en évidence de tels résultats chez *Clonopsis gallica* concorde parfaitement avec ceux trouvés pour *Carausius morosus*, ce qui tendrait à prouver leur généralité.

VIROLOGIE. — *Action inhibitrice d'analogues du glycocolle et de l'adénine sur la multiplication du virus de la grippe.* Note de M. **Claude Hannoun**, présentée par M. Jacques Tréfouël.

La multiplication du virus grippal dans l'embryon de Poulet est partiellement inhibée en présence d'acide amino-méthane-sulfonique (analogue du glycocolle) ou de benzimidazole (analogue de l'adénine).

Au cours d'une étude d'ensemble sur les inhibiteurs de la multiplication du virus grippal dans la membrane chorioallantoïque de l'embryon de Poulet, nous avons recherché l'action d'un certain nombre de corps connus soit pour inhiber une réaction enzymatique ou un groupe de réactions, soit pour bloquer par effet compétif l'utilisation d'un métabolite important (ces dernières substances étant généralement appelées « analogues »). Nous donnons ici quelques résultats obtenus avec deux de ces substances particulièrement intéressantes.

1° *Acide amino-méthane-sulfonique.* — La substitution dans un amino-acide d'une fonction sulfonée à un groupe carboxyle donne un corps n'ayant pas les propriétés biologiques de l'amino-acide correspondant, mais empêchant son utilisation à condition d'être présent en plus forte proportion que lui. Certains de ces acides ont déjà été signalés pour leur action sur le virus vaccinal. Nous avons étudié l'action de l'analogue du glycocolle : l'acide amino-méthane-sulfonique.



Dans nos expériences, le produit est injecté dans la cavité allantoïque d'embryons de poulet de 11 jours d'incubation avant ou après l'inoculation

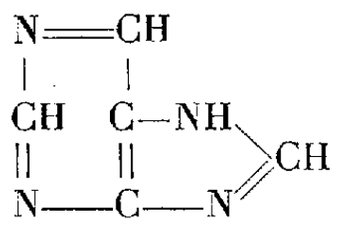
d'environ 100 doses 50 % infectantes de virus grippal A(PR8). Les liquides allantoïques sont prélevés 40 h après l'introduction du virus et l'on titre leur pouvoir hémoagglutinant. On calcule ensuite le nombre de doses minima agglutinantes produites par œuf dans chaque lot et l'on rapporte à la moyenne du lot témoin.

Dès la dose de 1 mg par œuf injectée une demi-heure après le virus, on note une inhibition de la multiplication du virus. La dose réduisant la quantité de virus produite par œuf de 50 % est de l'ordre de 2 mg. Si l'on injecte l'AAMS quelques heures avant le virus, l'effet est encore plus marqué.

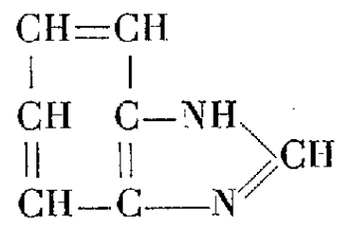
Le glycocolle a d'ailleurs lui-même un pouvoir inhibiteur mais à des doses bien plus élevées. Si l'on injecte des mélanges en proportions différentes des deux corps, on constate que l'inhibition due à l'AAMS est partiellement empêchée par le glycocolle et *vice-versa*.

On peut penser qu'un excès d'AAMS empêche l'utilisation du glycocolle dans une synthèse essentielle à la multiplication du virus alors qu'un gros excès de glycocolle déséquilibre la réaction où celui-ci est utilisé et gêne ainsi la synthèse.

2° *Benzimidazole.* — Dans un autre domaine, un corps dont la formule ressemble à celle de l'adénine est connu pour ses propriétés « antagonistes » vis-à-vis de cette purine : le benzimidazole.



Adénine.



Benzimidazole.

L'utilisation du benzimidazole dans les mêmes conditions que l'AAMS donne des résultats comparables. La dose 50 % inhibitrice est voisine de 2 mg par œuf. Si l'on retarde l'injection jusqu'à la 18e heure après l'inoculation du virus, on peut déceler encore un pouvoir inhibiteur net bien que beaucoup plus faible. Les réactions inhibées doivent donc avoir lieu pendant la phase de multiplication active et non, par exemple, pendant la période de latence.

Si l'on essaye de prévenir l'inhibition par le métabolite correspondant, l'adénine, on s'aperçoit que ce corps a, lui aussi, un fort pouvoir inhibiteur et que son action sur l'inhibition par le benzimidazole est très faible.

Nous donnons ici le résultat d'une expérience typique. Les nombres correspondant au nombre de doses minima agglutinantes produites par œuf, rapporté au nombre de doses produites par œuf dans le lot témoin. Le volume injecté par œuf est de 1,5 cm³.

Témoins (1,5 cm³ d'eau physiologique).....	100 %
3 mg benzimidazole.....	25
2 mg » + 1 mg adénine.....	28
1 mg » + 2 mg »	35
3 mg adénine.....	30

Le phénomène semble ici encore plus complexe; lors de la synthèse des nucléotides l'adénine et la guanine sont utilisées dans des proportions bien définies par rapport aux autres bases et aux autres constituants. Un déséquilibre artificiel de ces éléments provoque des perturbations importantes dans la synthèse du virus.

VIROLOGIE. — *Action du lait de Coco et de l'acide naphtalène acétique sur la multiplication d'un virus en culture de tissus*. Note de M. **Gabriel Segretain**, présentée par M. Jacques Tréfouël.

Le lait de Coco favorise le développement du virus de la mosaïque du Tabac en culture de tissu de « crown-gall ». L'acide naphtalène acétique aurait une action semblable, mais légère. Le mélange du lait de Coco et de l'acide naphtalène acétique n'a pas d'influence sur la prolifération du virus, mais favorise le développement des cultures.

On sait que le virus de la mosaïque du tabac peut se développer sur tissus ou organes de plantes cultivées *in vitro* (1), (2), (3). Une culture de tissus de « crown-gall » de *Nicotiana tabacum* L., variété P 19, a été isolée et est entretenue depuis quatre ans en lumière diffuse sur un milieu mis au point par Gautheret (nitrate de calcium, 0,50 g; nitrate de potassium, 0,125 g; sulfate de magnésium, 0,125 g; phosphate monopotassique, 0,125 g; solution de Berthelot, 10 gouttes; gélose, 13 g; saccharose, 30 g; aneurine, 0,001 g; chlorhydrate de cystéine, 0,01 g; eau, 1000 cm³). L'infection de ces tissus par le virus de la mosaïque du tabac a été obtenue par passage de la souche sur tabac mosaïqué : la greffe sur tabac d'un fragment de culture provoque, en effet, la formation d'une tumeur qui permet de réisoler la souche.

Le tissu est alors cultivé, soit sur milieu normal, additionné ou non d'acide naphtalène acétique aux concentrations 1.10^{-8}, 5.10^{-7} et 1.10^{-5}, soit sur milieu normal contenant en plus 10 % de lait de Coco et additionné ou non d'acide naphtalène acétique aux mêmes concentrations que précédemment. Après deux mois, les cultures sont pesées, broyées au

(1) Ph. R. White, *Phytopath.*, **24**, 1934, p. 1003.

(2) G. Segretain, *Ann. Inst. Past.*, **69**, 1943, p. 61-63.

(3) H. Augier de Montgremier, P. Limasset et G. Morel, *Comptes rendus*, **227**, 1948, p. 606.

mortier et l'on ajoute au broyat un poids d'eau correspondant à deux fois le poids de la culture. La quantité de virus contenue dans chacun des jus filtrés est appréciée par le nombre de lésions nécrotiques locales obtenues en inoculant par frottement au moins cinq demi-feuilles de *N. glutinosa*. L'autre moitié de toutes les feuilles est inoculée avec un même jus de feuilles de tabac mosaïqué; ceci permet de comparer, entre eux, les quantités de virus contenues dans les différentes cultures de tissus.

Après une expérience préliminaire où l'acide naphtalène acétique n'a été utilisé qu'à la concentration de 1.10^{-6}, deux repiquages successifs sont faits sur les milieux précédemment indiqués, la transplantation se faisant d'un milieu sur le même milieu neuf. Pour chacun des milieux, nous avons recherché la concentration en virus de trois cultures, une au premier repiquage et deux au deuxième repiquage.

L'observation des cultures nous fait retrouver certains résultats obtenus par d'autres auteurs. L'acide naphtalène acétique à 1.10^{-8} permet une croissance des cultures très voisine de celle sur milieu témoin : culture étalée à la surface du milieu, nombreux bourgeons peu évolués; à la concentration de 5.10^{-7}, la formation des bourgeons est bloquée et la culture moins développée se bombe, ne reposant sur le milieu que par une faible surface; enfin, pour 1.10^{-5}, le fragment brunit et ne prolifère qu'extrêmement peu. En revanche, le lait de Coco à 10 % (4) seul, montre une action légèrement favorable sur la croissance des cultures qui se développent en tiges feuillées blanchâtres, déformées et contournées. Mais en présence de lait de Coco, l'action de l'acide naphtalène acétique est nettement favorable à la croissance. Au deuxième repiquage, pour la concentration optimum d'auxine, 5.10^{-7}, les cultures pèsent deux fois plus que celles développées sur milieu témoin additionné de lait de Coco. Les cultures peuvent dépasser 2 cm d'épaisseur et garnir toute la surface du tube; un mois et demi après le repiquage, elles brunissent rapidement. En l'absence ou en présence d'une faible concentration d'acide naphtalène acétique, la surface des cultures est tourmentée; elle devient lisse chez les cultures poussées sur forte concentration d'auxine, qui prennent une teinte brun clair et deviennent translucides.

Le milieu normal, additionné de 10 % de lait de Coco, est favorable à la multiplication du virus dans la culture de tissus de tabac. En effet, en comparant les moyennes des séries de lésions données par les cultures sur milieu normal, soit additionné, soit non additionné de lait de Coco, les différences sont ou significatives ou presque significatives (5). L'acide naphtalène acétique seul, à concentration faible ou moyenne (1.10^{-8}

(4) L. Duhamet, *C. R. Soc. Biol.*, 145, 1951, p. 1781-1783.

(5) G. Just in Peterfi, *Methodik der wissenschaftl. Biologie*, 1928.

et 5.10^{-7}) semblent favoriser légèrement la prolifération du virus; les moyennes de lésions et leur erreur standard sont, en effet, les suivantes : témoin, $11 \pm 8{,}4$ et $14 \pm 5{,}7$; acide naphtalène acétique 5.10^{-7}, 26 ± 18 et 25 ± 12; acide naphtalène acétique 1.10^{-8}, 22 ± 7 et $32{,}5 \pm 27$. Pour la concentration 1.10^{-5} d'auxine, la quantité de virus des cultures est la même que celle des témoins. Ces résultats, obtenus avec l'acide naphtalène acétique seul, diffèrent légèrement de ceux de Kutsky et Rawlins (6). Sur les milieux qui renferment à la fois lait de Coco et acide naphtalène acétique, les cultures contiennent la même quantité de virus que les cultures témoins sans lait de Coco.

En conclusion, l'accroissement de la quantité de virus produit en présence de lait de Coco, peut être interprété par une prolifération plus importante du virus dans les tiges feuillées, plus développées sur ce milieu. En revanche, une croissance plus rapide de la culture de tissus empêcherait la prolifération du virus (7), ce qui se produit en présence du mélange lait de Coco et acide naphtalène acétique.

A 16 h, l'Académie se forme en Comité secret.

COMITÉ SECRET.

La Section d'astronomie, par l'organe de son Doyen, présente la liste suivante de candidats à la place vacante par le décès de M. *Bernard Lyot :*

En première ligne.....	M. **Jules Baillaud.**
En seconde ligne, ex æquo, *et par ordre alphabétique*.....	MM. **Lucien d'Azambuja.** **Fernand Baldet.**
En troisième ligne, ex æquo, *et par ordre alphabétique*.....	MM. **Henri Chrétien.** **André Couder.** **Henri Mineur.**

Les titres de ces candidats sont discutés.

L'élection aura lieu en la prochaine séance.

La séance est levée à 17 h 45 m.

R. C.

(6) *J. Bacteriol.*, 60, 1950, p. 763-766.

(7) H. Augier de Montgrenier et G. Morel, *Comptes rendus*, **227**, 1948, p. 688.

ACADÉMIE DES SCIENCES.

SÉANCE DU LUNDI 1er DÉCEMBRE 1952.

PRÉSIDENCE DE M. ALBERT CAQUOT.

MÉMOIRES ET COMMUNICATIONS

DES MEMBRES ET DES CORRESPONDANTS DE L'ACADÉMIE.

M. le **PRÉSIDENT** annonce à l'Académie le décès de M. **SVEN ANDERS HEDIN**, Correspondant pour la Section de Géographie et Navigation, survenu à Stockholm, le 26 novembre 1952.

M. le **PRÉSIDENT** signale que la prochaine séance hebdomadaire aura lieu le mercredi 10 décembre, au lieu du lundi 8, jour de la séance annuelle des prix de l'Académie des Sciences morales et politiques.

PHYSIQUE THÉORIQUE. — *Sur l'interprétation de la Mécanique ondulatoire des systèmes de corpuscules dans l'espace de configuration par la théorie de la double solution.* Note de M. **LOUIS DE BROGLIE**.

Approfondissant un raisonnement indiqué dans un Mémoire de 1927, l'auteur précise comment il paraît possible, dans la théorie de la double solution onde-pilote, de justifier le passage de la Mécanique ondulatoire du corpuscule dans un champ donné à la Mécanique ondulatoire des systèmes de corpuscules dans l'espace de configuration.

L'une des grandes difficultés de l'interprétation de la Mécanique ondulatoire par les idées de double solution et d'onde-pilote est de justifier le passage de la Mécanique ondulatoire du corpuscule dans un champ donné à la Mécanique ondulatoire des systèmes de corpuscules dans l'espace de configuration. Nous avions esquissé une démonstration de la possibilité de ce passage dans notre Mémoire de 1927 sur la double solution (1). Nous allons essayer de préciser certains points de cette démonstration en nous bornant au cas d'un système de deux corpuscules, le passage au cas de plus de deux corpuscules ne paraissant pas comporter de difficultés supplémentaires.

(1) *Journal de Physique*, série VI, 8, 1927, p. 225.

Nous utiliserons le lemme mathématique suivant : Soient deux variables x et y et une certaine fonction u de x et de y. Considérons trois fonctions $F_1(x, u)$, $F_2(y, u)$ et $F(x, y, u)$ et supposons que nous ayons entre ces fonctions les relations

$$\left(\frac{\partial F}{\partial x}\right)_y = \left(\frac{\partial F_1}{\partial x}\right)_y \qquad \left(\frac{\partial F}{\partial y}\right)_x = \left(\frac{\partial F_2}{\partial y}\right)_x$$

Alors on a nécessairement

$$(1) \qquad F_1(x, u) = F_{11}(x) + F_{12}(u) \qquad F_2(y, u) = F_{22}(y) + F_{21}(u),$$

avec $F_{12} = F_{21}$ et

$$(2) \qquad F(x, y, u) = F_{11}(x) + F_{22}(y) + F_{12}(u).$$

Ce lemme dont la démonstration est aisée étant admis, envisageons un système de deux corpuscules de nature différente dans l'espace physique à trois dimensions. Chaque point de cet espace sera repéré par le rayon-vecteur $\vec{R}$ qui le joint à l'origine des coordonnées. $\vec{R}_1(t)$ et $\vec{R}_2(t)$ définissent donc les positions à l'instant t des deux corpuscules. Les vecteurs $\vec{r}_1(t) = \vec{R} - \vec{R}_1(t)$ et $\vec{r}_2(t) = \vec{R} - \vec{R}_2(t)$ définissent de même la position du point $\vec{R}$ par rapport à chacun des deux corpuscules à l'instant t. Enfin nous posons $\vec{r}_{12}(t) = \vec{R}_1(t) - \vec{R}_2(t)$.

Nous supposons valables pour le mouvement de chacun des corpuscules dans un champ donné les idées de la théorie de la double solution. Si donc nous supposons connu le mouvement $\vec{R}_2(t)$ du second corpuscule, nous pourrons écrire pour le premier corpuscule l'équation de Jacobi généralisée au point $\vec{R} = \vec{R}_1$

$$(3) \qquad \frac{\partial \varphi_1}{\partial t} \equiv E_1 = \frac{1}{2m_1}(\mathrm{grad}_1 \varphi_1)^2 + F_1 + F_{12} + Q_1,$$

où Q_1 est le potentiel quantique égal, à l'approximation newtonienne que la Mécanique ondulatoire de l'espace de configuration suppose implicitement valable, à

$$Q_1 = -\frac{h^2}{8\pi^2 m_1}\left(\frac{\Delta a_1}{a_1}\right)_{\vec{R} = \vec{R}_1}.$$

Dans cette équation $\varphi_1\left(\vec{R}, \vec{r}_{12}, t\right)$ est la phase des ondes u_1 et Ψ_1 du premier corpuscule dans le champ de force connu créé par le second, compte tenu s'il y a lieu de la présence d'obstacles provoquant interférences et diffraction. $a_1\left(\vec{R}, \vec{r}_{12}, t\right)$ est l'amplitude de l'onde continue Ψ_1. Le symbole $\mathrm{grad}_1 \varphi_1$ signifie $(\mathrm{grad}\, \varphi_1)_{\vec{R} = \vec{R}_1}$. La fonction $F_1\left(\vec{R}_1, t\right)$ est un potentiel extérieur agissant éventuellement sur le premier corpuscule, $F_{12}\left(\vec{r}_{12}\right)$ est le potentiel représentant

l'action du second corpuscule sur le premier. L'énergie E_1 n'est pas constante en général.

Mais nous pouvons au contraire supposer connu le mouvement $\vec{R}_1(t)$ du premier corpuscule et écrire l'équation de Jacobi généralisée pour le second corpuscule au point $\vec{R} = \vec{R}_2(t)$

$$\frac{\partial \varphi_2}{\partial t} \equiv E_2 = \frac{1}{2m_2}(\mathrm{grad}_2 \varphi_2)^2 + F_2 + F_{21} + Q_2, \tag{4}$$

où Q_2 est le potentiel quantique $Q_2 = -(h^2/8\pi^2 m_2)(\Delta a_2/a_2)_{\vec{R}=\vec{R}_2}$. Le sens des autres symboles figurant dans (4) est évident. Précisons seulement que $F_{21}\left(\vec{r}_{12}\right)$ est le potentiel représentant l'action du premier corpuscule sur le second et que l'on suppose toujours $F_{21} = F_{12}$. L'énergie E_2 n'est pas constante en général.

Passons maintenant au point de vue de l'espace de configuration où les coordonnées x_1, y_1, z_1, x_2, y_2, z_2 deviennent des variables indépendantes. Si nous admettons la validité de l'équation de Schrödinger pour l'onde Ψ dans l'espace de configuration, nous pouvons écrire l'équation de Jacobi au point $\vec{R}_1$, $\vec{R}_2$ de l'espace de configuration

$$\frac{\partial \varphi}{\partial t} \equiv E = \frac{1}{2m_1}(\mathrm{grad}_1 \varphi)^2 + \frac{1}{2m_2}(\mathrm{grad}_2 \varphi)^2 + F_1 + F_{12} + F_2 + Q, \tag{5}$$

où le potentiel quantique Q est donné par

$$Q = -\frac{h^2}{8\pi^2}\left(\frac{1}{m_1}\frac{\Delta_1 a}{a} + \frac{1}{m_2}\frac{\Delta_2 a}{a}\right)_{\vec{R}_1, \vec{R}_2}. \tag{6}$$

Dans (5), $\varphi\left(\vec{R}_1, \vec{R}_2, t\right)$ est la phase de l'onde Ψ dans l'espace de configuration, $a\left(\vec{R}_1, \vec{R}_2, t\right)$ son amplitude; F_1, F_2 et F_{12} ont les mêmes significations que précédemment.

Du point de vue de la théorie de la double solution, la représentation du système dans l'espace physique à trois dimensions est la seule qui représente la réalité physique et la représentation dans l'espace de configuration est purement fictive. Mais, comme elles doivent être compatibles, il faut avoir

$$m_1 \vec{v}_1 = -\mathrm{grad}_1 \varphi_1 = -\mathrm{grad}_1 \varphi, \qquad m_2 \vec{v}_2 = -\mathrm{grad}_2 \varphi_2 = -\mathrm{grad}_2 \varphi. \tag{7}$$

Or, d'après (1) et (2), ceci entraîne pour les phases les formes suivantes :

$$\left.\begin{aligned} \varphi_1\left(\vec{R}_1, \vec{r}_{12}, t\right) &= \varphi_{11}\left(\vec{R}_1, t\right) + \varphi_{12}\left(\vec{r}_{12}, t\right) \\ \varphi_2\left(\vec{R}_2, \vec{r}_{12}, t\right) &= \varphi_{22}\left(\vec{R}_2, t\right) + \varphi_{21}\left(\vec{r}_{12}, t\right) \end{aligned}\right\} \varphi_{12} = \varphi_{21}, \tag{8}$$
$$\varphi\left(\vec{R}_1, \vec{R}_2, t\right) = \varphi_{11}\left(\vec{R}_1, t\right) + \varphi_{22}\left(\vec{R}_2, t\right) + \varphi_{12}\left(\vec{r}_{12}, t\right).$$

Ainsi se trouve précisée, même dans le cas général où il existe des champs extérieurs et des obstacles à la propagation des ondes, la forme générale des phases φ_1 et φ_2 des ondes individuelles (u ou Ψ) et de la phase φ de l'onde fictive Ψ dans l'espace de configuration.

D'autre part, les « forces quantiques » doivent avoir la même valeur qu'on les calcule dans l'espace ordinaire ou dans l'espace de configuration, ce qui nous donne les conditions

$$\text{(9)} \qquad \operatorname{grad}_1 Q_1 = \operatorname{grad}_1 Q, \qquad \operatorname{grad}_2 Q_2 = \operatorname{grad}_2 Q,$$

d'où, par application des formules (1) et (2) :

$$\text{(10)} \qquad \left.\begin{aligned} Q_1\left(\vec{R}_1, \vec{r}_{12}, t\right) &= Q_{11}\left(\vec{R}_1, t\right) + Q_{12}\left(\vec{r}_{12}, t\right) \\ Q_2\left(\vec{R}_2, \vec{r}_{12}, t\right) &= Q_{22}\left(\vec{R}_2, t\right) + Q_{21}\left(\vec{r}_{12}, t\right) \end{aligned}\right\} Q_{12} = Q_{21},$$
$$Q\left(\vec{R}_1, \vec{R}_2, \vec{r}_{12}, t\right) = Q_{11}\left(\vec{R}_1, t\right) + Q_{22}\left(\vec{R}_1, t\right) + Q_{12}\left(\vec{r}_{12}, t\right).$$

Nous voyons ainsi que le passage de Q_1 et Q_2 à Q se fait comme en Mécanique classique le passage de E_1 et E_2 à E, c'est-à-dire en ne prenant qu'une fois le terme d'énergie mutuelle.

Maintenant, en comparant (3), (4) et (5) et en tenant compte de (8), on obtient

$$\text{(11)} \qquad E = E_1 + E_2 - F_{12} + Q - Q_1 - Q_2,$$

puis, d'après (10),

$$\text{(12)} \qquad E = E_1 + E_2 - F_{12} - Q_{12} = \frac{1}{2} m_1 v_1^2 + \frac{1}{2} m_2 v_2^2 + F_1 + F_2 + F_{12} + Q_1 + Q_2 + Q_{12}.$$

La formule (12) paraît satisfaisante parce qu'elle traite symétriquement le potentiel ordinaire d'interaction F_{12} et le potentiel quantique d'interaction Q_{12} (1).

Le raisonnement précédent précise celui que nous avions donné en 1927. Il contient encore, du moins en apparence, une sorte de cercle vicieux parce que nous avons admis la validité de l'équation de Schrödinger dans l'espace de configuration au lieu de la démontrer. M. J. P. Vigier a évité cet inconvénient en démontrant que la validité de l'équation de Schrödinger dans l'espace de configuration découle de la conservation du flux de particules (2).

Ce que nous avons dit dans cette Note s'applique au cas des particules de

---

(1) On peut remarquer que, d'après les formules (8) et (10), φ_{12} et Q_{12} doivent dépendre des composantes du vecteur $\vec{r}_{12}$; mais il ne paraît pas nécessaire qu'elles dépendent seulement de la distance $\left|\vec{r}_{12}\right|$ des deux corpuscules.

(2) *Voir* J. P. Vigier, *Comptes rendus*, 235, 1952, p. 1372.

nature différente ($m_1 \neq m_2$). Nous comptons étudier dans une prochaine communication le cas des particules de même nature qui est, on le sait, très important.

CHIMIE ORGANIQUE. — *Cyclisation indénique de colorants éthyléniques : colorants indaniques résultants.* Note (*) de MM. **Charles Dufraisse, André Étienne** et **Bernard Goffinet.**

Les colorants éthyléniques aminés, antérieurement décrits, ont été cyclisés par les acides en indènes, dont les structures sont fixées par synthèse à partir des indanones correspondantes. On établit, à cette occasion, l'influence désactivante d'un substituant aminé sur la cyclisation indénique. Deux des indènes se transforment en colorants indaniques bleus, par simple action des acides.

Quand on ajoute de l'acide sulfurique aux solutions acétiques des colorants résultant de la salification des alcools triaryl-1.1.3 allyliques aminés, I à V, il se produit, en dehors des changements réversibles de teintes, déjà signalés (1), des transformations, non réversibles, en produits formés par déshydratation des alcools. Ces produits sont de deux sortes : les uns monomoléculaires, les autres bimoléculaires. Les premiers, seuls, font l'objet de la présente Note.

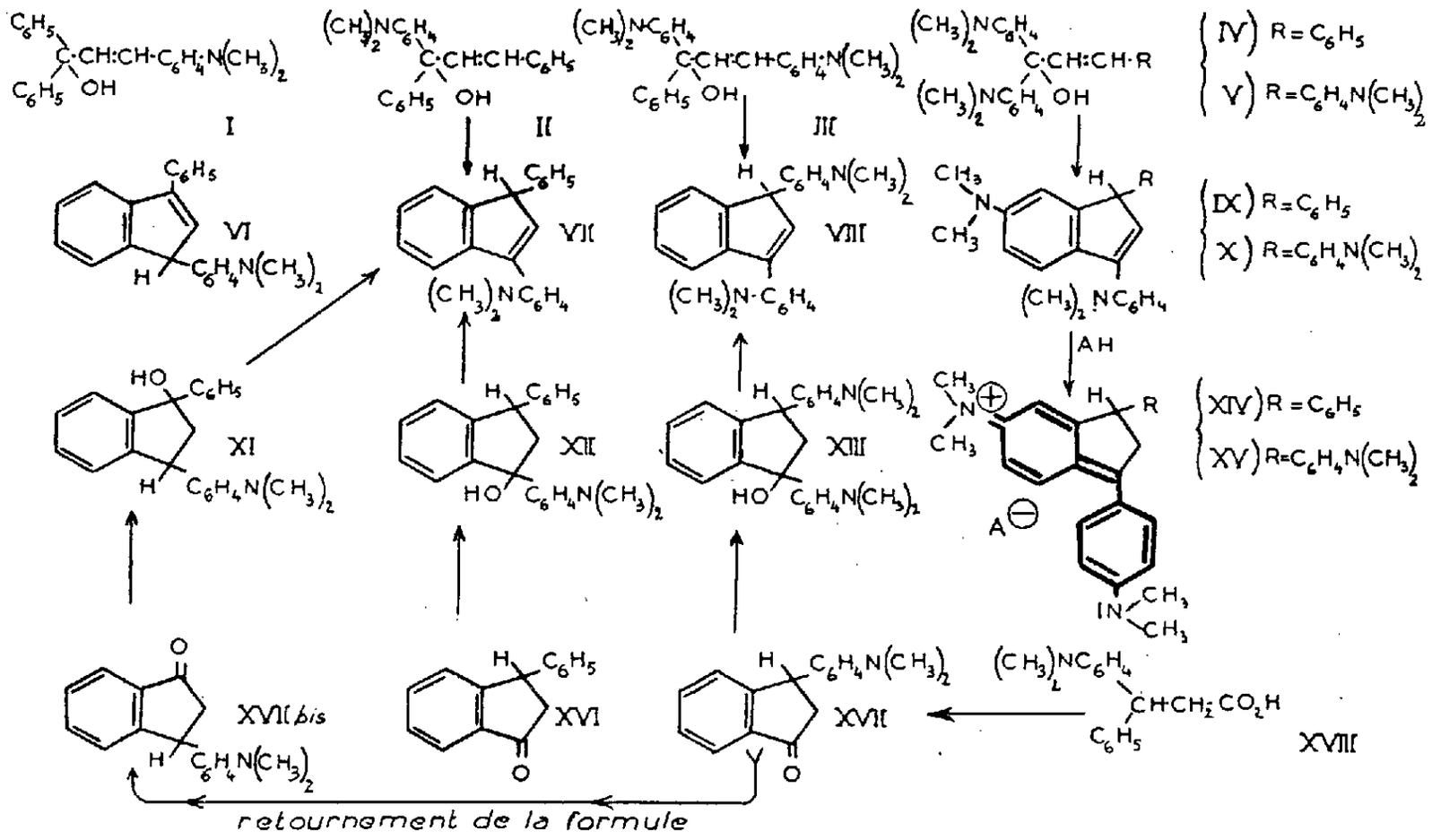
a. Ce sont, comme nous allons le montrer, des indènes issus d'une cyclisation entre le carbone 3 de la chaîne allylique et l'un des aryles géminés en 1. On les obtient par chauffage au reflux des solutions acétiques, additionnées d'acide sulfurique à une teneur d'autant plus élevée que le carbinol est plus basique, c'est-à-dire qu'il porte un plus grand nombre de fonctions aminées.

On a ainsi préparé : à partir de II, le *p*-diméthylaminophényl-3 phényl-1 indène, VII, $C_{23}H_{21}N$, F_{inst} 104-105°; à partir de III, le *bis* (*p*-diméthylaminophényl)-1.3 indène, VIII, $C_{25}H_{26}N_2$, F_{inst} 110-111°; à partir de IV, le phényl-1 *p*-diméthylaminophényl-3 diméthylamino-6 indène, IX, $C_{25}H_{26}N_2$, F_{inst} 118-119°, et, à partir de V, le *bis* (*p*-diméthylaminophényl)-1.3 diméthylamino-6 indène, X, $C_{27}H_{31}N_3$, F_{inst} 149-150°. Il est à noter que le carbinol I n'a pas donné l'indène VI attendu, mais seulement un produit de doublement. D'autre part, les carbinols II et III, qui auraient dû fournir l'un et l'autre deux indènes, suivant celui des aryles géminés soumis à la cyclisation, n'en ont donné qu'un chacun. Les formules VII et VIII ont été attribuées à ces indènes en se basant sur l'hypothèse que la cyclisation devait se faire préférentiellement sur l'aryle simple, l'aryle aminé, en milieu acide, étant, au moins pour la majeure partie, sous la forme quinoïde d'un ion imonium, manifestement inapte à l'attaque cyclisante. Mais, même au cas où la cyclisation ne porterait

(*) Séance du 17 novembre 1952.

(1) Ch. Dufraisse, A. Étienne, P. Barbiéri et B. Goffinet, *Comptes rendus*, 234, 1952, p. 22.

pas sur la fraction des molécules colorées, les deux autres états possibles de la fonction amine, l'état libre et l'état salifié en ion ammonium, ne seraient pas plus favorables à la réaction : le premier, ortho-para-directeur, interdirait le sommet 2 situé en méta par rapport à une fonction amine, et le second, en tant que méta-directeur, agirait comme désensibilisant général du noyau.



b. Ces transformations d'alcools triarylallyliques aminés se rattachent aux résultats déjà obtenus par Meyer et Schuster (²), Ziegler et ses collaborateurs (³), (⁴), (⁵), Straus et Ehrenstein (⁶), dans la production d'indène et de produit doublé par action des acides sur l'alcool triphényl-1.1.3 allylique (ou ses éthers méthylique ou éthylique). La structure indénique a été établie par Ziegler dans le cas du diphényl-1.3 indène, identifié au produit de déshydratation du diphényl-1.3 indanol-1.

A la rigueur, nous aurions pu nous en tenir à cette démonstration de Ziegler pour fixer la constitution de nos composés monomoléculaires, en concluant par analogie et en complétant par l'hypothèse énoncée plus haut. Celle-ci, pourtant, nous a semblé réclamer une justification directe; aussi avons-nous tenu à établir pour notre compte la réalité de la cyclisation

(²) *Ber.*, 55, 1922, p. 815.
(³) K. Ziegler et C. Ochs, *Ber.*, 55, 1922, p. 2257.
(⁴) K. Ziegler, H. Grabbe et F. Ulrich, *Ber.*, 57, 1924, p. 1983.
(⁵) K. Ziegler, K. Richter et B. Schnell, *A.*, 443, 1925, p. 161.
(⁶) *A.*, 442, 1925, p. 93.

indénique chez les corps aminés, en même temps qu'à prouver le bien-fondé de notre raisonnement sur la cyclisation préférentielle des corps II et III.

L'indanol XII, ou phényl-3 *p*-diméthylaminophényl-1 indanol-1, $C_{23}H_{23}ON$, F_{inst} 112-113°, a été obtenu par condensation du *p*-diméthylaminophényllithium sur la phényl-3 indanone-1, XVI, préparée selon Pfeiffer (7). Par déshydratation au moyen de l'acide acétique en présence d'une trace d'acide fort, à froid, on obtient l'indène VII dont la structure est ainsi établie.

L'indanol XIII, ou *bis* (*p*-diméthylaminophényl)-1.3 indanol-1, $C_{25}H_{28}ON_2$, F_{inst} 166-167°, a été obtenu par condensation du *p*-diméthylaminophényllithium sur la *p*-diméthylaminophényl-3 indanone-1, XVII. Cette indanone, $C_{17}H_{17}ON$, F_{inst} 131-132°, qui n'était pas décrite, a été préparée, à cette occasion, à partir de l'acide β-phényl β(*p*-diméthylaminophényl) propionique, XVIII, par action du chlorure de thionyle et cyclisation au chlorure d'aluminium (Oxime, $C_{17}H_{18}ON_2$, F_{inst} 165-166°). L'indanol XIII, déshydraté par l'acide acétique sulfurique à froid, nous a conduit à l'indène VIII.

Pour démontrer la formule de cet indène, il fallait encore prouver que l'acide XVIII se transformait en indanone par cyclisation préférentielle sur le phényle non substitué, en accord avec le raisonnement ci-dessus pour la cyclisation des alcools. Effectivement, en faisant réagir sur l'indanone (voir formule XVII *bis* obtenue par retournement de XVII), au lieu du lithien aminophénylé comme il vient d'être dit, le lithien phénylé simple, on obtient le *p*-diméthylaminophényl-3 phényl-1 indanol-1, XI, $C_{23}H_{23}ON$, F_{inst} 132-133°. Ce corps, déshydraté par l'acide sulfurique en solution acétique, ou mieux par le chlorure de zinc, donne l'indène VII, décrit plus haut, où la position de l'aryle aminé en substituant extérieur au squelette indénique ne laisse aucun doute. Par suite, la cyclisation indénique de l'acide XVIII a bien lieu préférentiellement sur l'aryle non substitué, en accord avec la base de notre hypothèse sur le comportement analogue des carbinols éthyléniques, ce qui entraîne, à son tour, la justification de VIII. Les formules VII et VIII étant ainsi reconnues correctes, c'est la démonstration, directe cette fois-ci, du bien fondé de ladite hypothèse.

Il reste cependant une petite incertitude concernant la structure de l'indène monoaminé, seul produit résultant de la déshydratation des indanols XI et XII, au lieu des deux indènes isomères VI et VII qui étaient à en attendre. Il nous semble néamoins que l'on peut se prononcer pour la formule VII, comme la plus stable en raison de l'attraction plus forte que doit exercer le substituant arylaminé sur la double liaison. Ainsi s'expliquerait également que nous n'ayons pas réussi à isomérer l'indène en question, pas plus par les acides que par les alcalis.

c. Les indènes aminés VII à X sont des corps incolores; mais dans l'acide

(7) P. Pfeiffer et H. L. de Waal, *A.*, 520, 1935, p. 185.

acétique, alors que VII et VIII ne donnent aucune coloration, IX et X développent une couleur bleu intense, stable avec le temps. Le phénomène s'explique facilement par l'interprétation qu'ont proposée Dufraisse, Lefrancq et Barbiéri (8) de l'halochromie des *bis* (aminoaryl) éthylènes dissymétriques $\left[\rangle NC_6H_4\right]_2C{=}C\langle$: il se fixerait une molécule d'acide AH sur la double liaison, puis l'expulsion immédiate de l'ion négatif $A^{\ominus}$ formerait un ion coloré, XIV pour IX et XV pour X, donnant ainsi une halochromie se rattachant à celle de l'hydrol de Michler (partie en traits renforcés des formules XIV et XV).

Ce mécanisme, ne faisant pas intervenir dans la coloration le groupement $-C_6H_5$ ou $-C_6H_4N(CH_3)_2$ porté en 1, rend compte de la quasi-identité des colorations données par les deux indènes; la différence entre ces groupements du sommet 1 se manifeste seulement par une durée d'établissement de la coloration, qui est plus courte pour X que pour IX.

PHYSIOLOGIE. — *Sur la répartition de l'urée dans les liquides de l'organisme après dialyse péritonéale.* Note de MM. **Léon Binet, Pierre Tanret** et Mlle **Madeleine Marquis.**

Nous avons montré précédemment (1) que si l'on administre à un animal de fortes quantités d'urée, la hausse de la concentration uréique dans l'eau du plasma, rapide en cas de perfusion intraveineuse, plus progressive en cas d'administration gastrique, se trouve notablement en avance sur celle qu'on observe dans les muscles. La diffusibilité de l'urée est loin d'être instantanée, et la répartition offre toujours des irrégularités de détail.

Inversement, nous allons montrer que la soustraction à l'organisme d'une certaine quantité d'urée est à même de *provoquer de semblables inégalités entre les concentrations uréiques des différents milieux.*

A cet effet nous avons utilisé la dialyse péritonéale, méthode aujourd'hui assez couramment employée en clinique humaine; elle consiste à irriguer la cavité péritonéale avec une solution dont la composition est très voisine de celle du plasma, en ce qui concerne les sels minéraux, et dont l'isotonie avec le plasma est assurée par l'addition de glucose. Grâce aux phénomènes de diffusion qui s'établissent entre le sang et le liquide péritonéal, à travers les parois vasculaires et les membranes péritonéales, le liquide d'irrigation se charge des cristalloïdes qui lui manquent, l'urée par exemple. Les quantités d'urée que l'on peut ainsi extraire varient d'ailleurs large-

(8) *Rec. Trav. Chim. P. Bas.*, **69**, 1950, p. 380.

(1) *Comptes rendus*, **231**, 1950, p. 1387 et **233**, 1951, p. 1536; *La Presse Médicale*, n° **27**, 1952, p. 569-570.

ment, non seulement selon le débit de l'irrigation, mais d'un sujet à l'autre. C'est ainsi, par exemple, que chez le même malade dont le taux de l'urée sanguine variait entre 4,20 et 4,70 g, nous avons retiré par des dialyses de même durée (16 h environ) des quantités d'urée de 64, 22 et 58 g.

Les expériences qui font l'objet de ce travail ont porté sur des chiens atteints de néphrite uranique grave consécutive à l'injection de nitrate d'urane à la dose de 3 mg/kg de poids corporel. Les dialyses péritonéales, uniques ou répétées, ont été pratiquées aux environs du 10e jour; les irrigations ont été faites avec la solution dite de Abott et Shea, renfermant 20 g de glucose par litre. Elles ont duré de 4 à 6 h.

L'urée a été dosée dans le plasma et dans le muscle par la méthode au xanthydrol, immédiatement avant et après ces interventions. Les concentrations uréiques ont été rapportées, comme dans nos recherches antérieures, non pas au poids de plasma ou de tissu frais analysé, mais au poids d'eau contenue effectivement dans ces milieux, déterminée par le dosage de leur extrait sec.

Les quantités d'urée ainsi extraites par dialyse ont varié de 0,38 à 2,3 g/kg de poids corporel. Chaque fois, nous avons calculé la clearance uréique péritonéale, c'est-à-dire le volume de plasma dont l'épuration uréique correspondrait à la quantité d'urée extraite par minute en prenant pour taux de l'urée plasmatique, pendant la durée de la dialyse, la valeur moyenne entre le taux initial et le taux final de l'urée dans le plasma. A titre de comparaison, nous avons calculé la clearance uréique rénale des animaux en expérience avant qu'ils n'aient été intoxiqués, en nous basant sur les données fournies par H. W. Smith (*The Kidney*, Oxford University press, 1951, p. 543) qui la fixent, chez le Chien, aux environs de 50 cm^3/m^2 de surface corporelle et en calculant cette surface corporelle d'après la formule de Meehr, $S = KP^{2/3}$, où S est la surface en décimètres carrés, P le poids en kilogrammes et K une constante empirique dont la valeur, chez le Chien, est de 11,2.

On trouvera quelques-uns de nos résultats dans le tableau où figurent, en particulier, les valeurs extrêmes des clearances uréiques péritonéales que nous avons observées. Nous désignerons par δ la diminution de l'urée dans les milieux envisagés à la suite des dialyses péritonéales (D. P.) et par δ' la différence, positive ou négative, entre les concentrations uréiques du muscle et du plasma.

On peut constater les faits suivants :

1. La diminution δ de la concentration uréique après dialyse péritonéale est constamment plus marquée dans l'eau du plasma que dans celle des muscles. Le rapport δ dans le plasma/δ dans le muscle est dans l'ensemble de nos expériences voisin de 2.

TABLEAU.

Chiens n°	Nombre de jours après intoxication.		Concentrations uréiques dans l'eau du plasma.	Concentrations uréiques dans l'eau du muscle.	δ′.	Rapport des concentrations uréiques plasma/muscle	Pourcentage de l'eau dans le plasma.	Pourcentage de l'eau dans les muscles.	Poids initial de l'animal (kg).	Poids (*).	Durée des D. P. en minutes (**).	Clearance uréique du péritoine (cm³).	Clearance uréique des reins normaux (cm³).
6.	9ejour.	Avant D. P.	4,80	4,71	−0,09	1	91,16	74,09	12,500	0,65	210	10,9	30,1
		Après D. P.	2,77	3,62	+0,85	0,76	90,95	75,53					
		δ.....	2,03	1,09	–	–	–	–					
7.	9ejour.	Avant D. P.	8,25	7,38	−0,87	1,12	90,73	76,66	13,200	0,75	365	3,9	32
		Après D. P.	5,45	6,15	+0,70	0,88	90,78	75,93					
		δ.....	2,80	1,23	–	–	–	–					
8.	9ejour.	Avant D. P.	6,00	6,11	+0,11	1	86,31	70,54	13	0,38	360	2,1	31
		Après D. P.	4,82	5,64	+0.82	0,85	88,45	72,25					
		δ.....	1,18	0,47	–	–	–	–					
2.	10ejour.	Avant D. P.	8,17	8,51	+0,34	0,96	91,80	76,31	12,700	2,30	390	7,8	30,5
		Après D. P.	6,85	7,89	+1,04	0,87	90,31	75,72					
		δ.....	1,32	0,62	–	–	–	–					
6.	11ejour.	Avant D. P.	3,62	3,61	0	1	91,89	74,52	12,500	0,40	345	8,25	30,1
		Après D. P.	2,21	2,88	+0,67	0,769	90,63	75,20					
		δ.....	1,41	0,73	–	–	–	–					
9.	11ejour.	Avant D. P.	7,75	7,70	−0,05	1	87,72	75,78	12,400	0,66	300	3,5	30
		Après D. P.	6,17	6,79	+0,62	0,91	87,96	75,67					
		δ.....	1,58	0,91	–	–	–	–					

(*) Poids d'urée extrait par kilogramme du sujet, le jour de l'expérience (g).

(**) Après écoulement de tout le liquide injecté dans le péritoine. Au cours de toutes ces dialyses péritonéales le poids des animaux est resté constant à ±100 g près.

2. La différence δ′ entre les concentrations uréiques de l'eau du muscle et du plasma, de sens variable avant dialyse, devient constamment positive après celle-ci. La concentration uréique du plasma est par rapport à celle du muscle dans des proportions comprises entre 0,75 et 0,90; les rapports les plus faibles concernant les cas où l'azotémie de l'animal était initialement la moins élevée.

3. Ces inégalités dans les répartitions de l'urée succèdent chez des animaux anuriques, à des extractions d'urée toujours bien inférieures à celles que les reins de l'animal auraient pu éliminer dans le même temps s'ils étaient restés normaux, à en juger par la comparaison des clearances uréiques péritonéales et rénales normales. Plus rapide que les processus physiques de diffusion, l'élimination aqueuse d'eau par le rein paraît susceptible d'empêcher des écarts importants de la concentration uréique dans les différents milieux de l'organisme.

Ainsi les nouvelles expériences que nous rapportons, poursuivies grâce à la technique de la dialyse péritonéale, nous permettent d'affirmer qu'il existe indiscutablement des variations du taux de l'urée entre les liquides plasmatiques et tissulaires liées à la vitesse propre de la diffusion de l'urée à travers les membranes vivantes.

ZOOLOGIE. — *Variation chez les Rotifères du genre* Brachionus. Note de M. **Paul de Beauchamp**.

Depuis ma précédente Note à ce sujet (1), mes élevages poursuivis sur cultures d'Algues impures, ont mis en évidence quelques faits nouveaux concernant le facteur de production des épines que sécrètent les *Asplanchna* et dont la nature reste à élucider :

1. Il existe des races distinctes de *Brachionus pala* réagissant plus ou moins à ce facteur. Celle dont il a été question, que je désigne par la lettre *b*, donne constamment des « longs » et « très longs » en présence des *Asplanchna* ou de leurs extraits. J'ai mentionné aussi une autre souche, du Jardin du Luxembourg, *l*, qui ne fournit à leur contact que des « assez courts »; réaction d'ailleurs générale et constante aussi et qui n'est pas sans gêner l'ingestion des individus par les *Asplanchna* qui les saisissent toujours par derrière... Mais mes cultures de celle-ci ont péri en juillet quand la température du laboratoire est montée à 30°, tandis que les *b* subsistaient; leurs œufs durables ont éclos depuis à température plus basse et redonné des cultures réagissant comme avant (les *b* conservent aussi leur propriété à travers les œufs fécondés; ceux qui en éclosent sont toujours inermes, mais peuvent être induits immédiatement à produire des longs). Deux autres souches isolées en mars aux Bois de Boulogne et de Vincennes se comportent comme *l* aux différents points de vue; plusieurs autres ont été suivies moins longtemps ou n'ont pas prospéré sur la nourriture employée.

Il en résulte que les *pala* inermes presque constants l'hiver dans mes stations des parcs parisiens ne sont pas, au moins pas tous, l'origine des longs que l'on peut y observer l'été. Chose curieuse d'ailleurs, cette année je n'ai pu en trouver dans celles-ci, où les planctons d'été ne renfermaient que quelques individus isolés, inermes et courts (pas d'*Asplanchna brightwelli* non plus, sauf quelques jours au Luxembourg à un moment où il n'y avait pas de *pala*). Mais deux de ceux-ci, du Bois de Boulogne et du Luxembourg encore, ont fourni des cultures donnant des épines longues avec les *Asplanchna*, peut-être un peu moins que *b*; l'une de ces souches

(1) *Comptes rendus*, 234, 1952, p. 573.

se rapproche de la variété *dorcas* Gosse à épines nucales médianes longues et courbées, caractère qui s'atténue d'ailleurs en culture....

2. Le facteur n'est pas produit exclusivement par les *Asplanchna brightwelli* ♀ dont j'entretiens une souche; j'ai obtenu une réaction quoique moins intense avec leurs ♂ dépourvus de tube digestif et avec leurs œufs durables broyés, une faible aussi avec des *Asplanchna girodi* de Guerne et *priodonta* Gosse qui ne sont pas capables d'ingérer de gros Rotifères (une espèce carnassière mais non pélagique, *Eosphora naïas* Ehrbg., n'a rien donné). Un extrait des Brachions longs eux-mêmes, préparé comme celui des *Asplanchna*, n'a aucune action sur les inermes, qui, d'ailleurs, peuvent coexister avec eux.

3. Comme je l'avais laissé prévoir aussi, un facteur de production des épines peut exister en dehors des *Asplanchna*; dans mes cultures *b* au cours de cette année, j'ai vu apparaître à diverses reprises, en plus ou moins grand nombre, des individus plus ou moins longs mélangés aux courts et inermes; l'aspect reste fort différent de celui des lots avec *Asplanchna*, où tout est long au bout de quelques jours, il évoque plutôt celui des lots où celles-ci ont disparu et où l'atrophie des épines se produit de façon fort lente et irrégulière : si le facteur est le même, il est à plus faible dose.... Je n'ai pu encore découvrir la cause de cette variation spontanée; elle ne se produit pas à la fois dans les tubes de même origine et alimentés des mêmes cultures d'Algues et dans chacun peut montrer une certaine périodicité, l'allongement (moyen) étant suivi d'un raccourcissement, puis d'un nouvel allongement en quelques semaines.... Bien entendu, les expériences se font sur des stocks sans longs et avec témoins. Les échanges de milieu entre des populations de types différents donnent des résultats peu nets : il y a à la fois une certaine action de celui-ci et une certaine hérédité, avec grosse différence de sensibilité individuelle à élucider quand les cultures seront faites en milieu mieux défini. Les souches qui ne donnent pas de longs ont, néanmoins, une certaine variation spontanée, bien entendu moins frappante.

En somme, ces dernières observations, confirmant l'action du facteur produit par les *Asplanchna*, montrent l'existence de nombreuses races réagissant plus ou moins, celles qui le font le moins paraissant des formes d'hiver distinctes des formes d'été. Un facteur plus dilué ou différent peut apparaître indépendamment, mais les individus de même provenance au même instant y sont très inégalement sensibles.

M. le **Secrétaire perpétuel** annonce à l'Académie que le tome 230 des *Comptes rendus* (1er semestre 1950) est en distribution au Secrétariat et dépose sur le Bureau le tome VIII des *Œuvres de Henri Poincaré*, publié sous les

auspices de l'Académie par la Section de Géométrie, avec la collaboration de Pierre Sémirot.

M. **René Garnier** fait hommage à l'Académie du Tome III : *Intégrales simples, multiples et curvilignes,* de la deuxième édition, revue et augmentée, de son *Cours de mathématiques générales* (*Analyse et Géométrie*).

Les Ouvrages suivants sont présentés :

par M. **Roger Heim** : *Le tapis végétal dans ses rapports avec les phénomènes actuels de surface en Basse-Provence* (*de Cassis à Bandol*), par Georges Kuhnholtz-Lordat;

par M. **Louis Fage** : *Faune des nids et des terriers en Basse Côte-d'Ivoire*, par Claude Delamare-Debouteville et Renaud Paulian.

RENOUVELLEMENT ANNUEL
DU BUREAU ET DES COMMISSIONS ADMINISTRATIVES.

M. **Maurice de Broglie** est élu vice-président pour l'année 1953 par la majorité absolue des suffrages exprimés.

MM. **Émile Borel** et **Gabriel Bertrand** sont réélus Membres des Commissions administratives par la majorité absolue des suffrages exprimés.

ÉLECTIONS.

L'Académie procède, par la voie du scrutin, à l'élection d'un Membre de la Section d'Astronomie, en remplacement de M. *Bernard Lyot*, décédé.

Le nombre des votants étant 71, le scrutin donne les résultats suivants :

	1er tour	2e tour
	Nombre de suffrages.	
M. Jules Baillaud	33	39
M. Lucien d'Azambuja	18	27
M. Henri Mineur	11	2
M. Fernand Baldet	5	1
M. André Couder	2	–
M. Pierre Auger	2	–
Bulletins blancs	–	2

M. **Jules Baillaud**, ayant obtenu la majorité absolue des suffrages, est proclamé élu.

Son élection sera soumise à l'approbation du Gouvernement de la République.

DÉSIGNATIONS.

M. **Joseph Pérès** est désigné pour représenter l'Académie à l'inauguration d'un Médaillon à l'effigie de **Guido Castelnuovo**, dans le Salon des séances de l'Académie des « Lincei », à Rome, le 13 décembre 1952.

CORRESPONDANCE.

M. le **Ministre de l'Éducation Nationale** annonce la prochaine ouverture d'une exposition publique sur les activités en Terre Adélie et au Groënland des **Expéditions polaires françaises.**

M. le **Secrétaire perpétuel** signale parmi les pièces imprimées de la Correspondance :

1° *Le Cent-cinquantième anniversaire de la Société d'Encouragement pour l'Industrie Nationale et les problèmes actuels de l'Économie française*, 1801-1951.

2° Société médicale de Vals. *Journées du Diabète. Vals-les-Bains*, 14-18 *septembre* 1952. *Rapports.*

3° Id. *Le diabète et les eaux de Vals.* Plaquette éditée à l'occasion des Journées du Diabète, par les soins de la Société générale des Eaux minérales de Vals-Saint-Jean.

4° National Academy of sciences. National Research Council (Washington). *Development of international cooperation in science.* A Symposium held in conjunction with the Third Annual Meeting of the executive Board International Council of Scientific Unions. October 18, 1951, Washington.

5° Commissie voor Hydrologisch Onderzoek T. N. O. (La Haye). *Verslagen technische bijeenkomsten* (*Comptes rendus des sessions techniques*), 1-6.

THÉORIE DES NOMBRES. — *Sur les congruences du deuxième degré dans les corps algébriques.* Note (*) de M. **Eckford Cohen**, présentée par M. Jacques Hadamard.

Dans une Note (1) antérieure l'auteur a formulé un principe qui s'applique à la détermination du nombre des solutions d'une congruence dans un corps de nombres algébriques. L'objet de la présente Note est de donner une application de cette loi aux congruences quadratiques par rapport à un idéal impair.

Soit F une extension finie du corps rationnel, et soit A un idéal impair

(*) Séance du 10 novembre 1952.

(1) *Comptes rendus*, 234, 1952, p. 787.

entier de F, qui possède la décomposition $A = P_1^{\lambda_1} \dots P_h^{\lambda_h}$, en produit de puissances d'idéaux premiers, $P_1, \dots, P_h$. Soit ρ un entier quelconque de F et soit $\alpha_1, \dots, \alpha_s$ des entiers de F premiers à A. Si l'on désigne par $\Psi_s(\rho, A)$ le nombre des solutions de la congruence

$$(1) \qquad \rho \equiv \alpha_1 \xi_1^2 + \dots + \alpha_s \xi_s^2 \pmod{A},$$

il suit aisément que $\Psi_s(\rho, A) = \Psi_s(\rho, P_1^{\lambda_1}) \dots \Psi_s(\rho, P_h^{\lambda_h})$. Donc il suffit de déterminer $\Psi_s(\rho, P^\lambda) = \Psi_s(\rho)$, c'est-à-dire, le nombre des solutions de

$$(2) \qquad \rho \equiv \alpha_1 \xi_1^2 + \dots + \alpha_s \xi_s^2 \pmod{P^\lambda ;\ P \text{ premier, impair}}.$$

Soit P de degré f, $NP = p^f$, et soit t le plus grand entier $\leq \lambda$ tel que $\rho \equiv 0 \pmod{P^t}$. On peut donc supposer que ρ est de la forme $\rho = \theta^t \mu$, où $\theta \equiv 0 \pmod{P}$, $\theta \not\equiv 0 \pmod{P^2}$, $(\mu, P) = 1$.

Nous nous bornons dans cette Note à l'énoncé des théorèmes principaux concernant la fonction Ψ_s; les démonstrations de ces résultats vont paraître dans un travail plus détaillé (2). Avant d'énoncer nos théorèmes, il faut introduire quelques notations. Posons

$$s = \begin{cases} 2m & (s \text{ pair}), \\ 2m+1 & (s \text{ impair}), \end{cases} \qquad t = \begin{cases} 2g & (t \text{ pair}), \\ 2g+1 & (t \text{ impair}); \end{cases}$$

$$\sigma = \left(\frac{(-1)^m \alpha_1 \dots \alpha_s}{P}\right), \qquad \tau = \left(\frac{\mu}{P}\right)\sigma,$$

où les parenthèses indiquent le symbole de Legendre dans F;

$$L(t) = \begin{cases} 1 & (t \text{ impair}, \lambda > t), \\ 0 & (\text{dans le cas contraire}), \end{cases} \qquad L'(t) = \begin{cases} 1 & (t \text{ pair}, \lambda > t), \\ 0 & (\text{dans le cas contraire}); \end{cases}$$

$$\Gamma(t) = (1 - p^f)\left(\frac{1 - \sigma^t p^{f t(1-m)}}{1 - \sigma p^{f(1-m)}}\right), \qquad \Lambda(g) = (1 - p^f)\left(\frac{1 - p^{fg(2m-1)}}{1 - p^{f(2m-1)}}\right).$$

Posons, en outre, $\nu = \sigma p^{f(2m\lambda - \lambda - m)}$ et $\omega = p^{f(2m\lambda - 2gm + g)}$. Dans le cas où $s = 2m$, on a :

THÉORÈME 1. — *Si* $m > 1$,

$$(3) \qquad \Psi_{2m}(\rho) = p^{f\lambda(2m-1)} - \nu\{\Gamma(t) + \eta(t)\, p^{f t(1-m)}\},$$

où $\eta(t) = \sigma^t$ (*ou* 0) *si* $0 \leq t < \lambda$ (*resp.* $t = \lambda$);

$$(4) \qquad \Psi_2(\rho) = p^{f\lambda} + p^{f(\lambda-1)}\{(p^f - 1)\chi(\sigma, t) - \sigma\eta(t)\},$$

où $\chi(\sigma, t) = t$, 0, *ou* -1, *suivant que* $\sigma = 1$, $\sigma = -1$ (t *pair*), *ou* $\sigma = -1$ (t *impair*).

De même on peut démontrer

THÉORÈME 2. — *Pour tout* $m \geq 1$,

$$(5) \qquad \Psi_{2m+1}(\rho) = p^{2m\lambda f} - \omega\{p^{-f}\Lambda(g) + p^{-2mf} L(t) - p^{-mf}\tau L'(t)\}.$$

---

(2) *Congruence representations in algebraic number fields* (à paraître dans les *Transactions of the American Mathematical Society*).

Ces deux théorèmes se déduisent du principe mentionné ci-dessus avec l'aide des généralisations algébriques des sommes de Gauss et de Ramanujan. Au moyen du théorème 2, on peut vérifier que tout entier ρ est représentable par une somme de trois carrés,

$$\rho \equiv \alpha_1\xi_1^2 + \alpha_2\xi_2^2 + \alpha_3\xi_3^2 \qquad (\mathrm{mod}\,A),$$

où A est un idéal impair quelconque et $(\alpha_1, A) = (\alpha_2, A) = (\alpha_3, A) = 1$.

Remarque. — Si l'on suppose F rationnel, on peut déduire de ce qui précède quelques résultats pour les congruences ordinaires, en posant $f = 1$, $P = p$ et $\rho = p^t\mu$ dans (3), (4), (5), avec $0 < \rho \leq p^\lambda$, $(\mu, p) = 1$.

ALGÈBRE. — *Sur les vecteurs dérivés des quasi-groupes unis.* Note de Mlle **Hélène Popova**, présentée par M. Paul Montel.

Un quasi-groupe Q est uni s'il est simple et n'a pas de sous-quasi-groupes autres que lui-même.

Soit $Q = (1, 2, \ldots, n)$ un quasi-groupe uni d'ordre fini n. Sa logarithmétique L_Q peut être représentée par un ensemble de vecteurs $\{1^x, 2^x, \ldots, n^x\}$ où x est n'importe quelle puissance non associative. Dans une Commuication antérieure (1), les éléments de L_Q ont été nommés *quasi-nombres*, la somme de deux quasi-nombres $\alpha = \{a_1, \ldots, a_n\}$ et $\beta\{b_1, \ldots, b_n\}$ a été définie par $\alpha + \beta = \{a_1b_1, \ldots, a_nb_n\}$, et il a été montré que l'ordre de L_Q est une puissance de n, $N = n^k$. Considérons les sous-vecteurs de L_Q.

Théorème 1. — *L'ensemble* L′ *de tous les sous-vecteurs* $\{1^x, \ldots, r^x\}$ *de quasi-nombres* $\{1^x, \ldots, r^x, \ldots, n^x\}$ *de* L_Q, *où* x *est une puissance non associative, est un quasi-groupe par rapport à l'addition. L'ordre de* L′ *est une puissance de* n.

En effet, puisque L_Q est un quasi-groupe par rapport à l'addition, il en découle immédiatement que L′ est aussi un quasi-groupe par rapport à l'addition. Le fait que l'ordre de L′ est une puissance de n, résulte immédiatement de nos résultats antérieurs (2).

Le quasi-groupe qui se compose de toutes les puissances non associatives $\{1^x, \ldots, r^x\}$ d'un vecteur $\{1, \ldots, r\}$ sera appelé *quasi-groupe engendré* par $\{1, \ldots, r\}$.

Nous appellerons le sous-vecteur $\{1, 2, \ldots, r\}$ d'un vecteur $\{1, 2, \ldots, n\}$ de L_Q, *vecteur dérivé* de Q s'il engendre un quasi-groupe d'ordre n.

Théorème 2. — *Si* Q *est un quasi-groupe uni d'ordre* n, *et si* $Q_n(+)$ *est un quasi-groupe engendré par un vecteur dérivé de* Q, $Q_n(+)$ *est isomorphe à* Q.

En effet, soit $\{1, 2, \ldots, m\}$ le vecteur dérivé. Puisque Q est uni, 1 engendre Q,

(1) H. Popova, *Comptes rendus*, **234**, 1952, p. 1936.

(2) Lemme **2**, Théorèmes **8** et **9** (*Comptes rendus*, **234**, 1952, p. 1936).

et les vecteurs de Q_n sont de la forme

$$\{1, \ldots\}, \quad \{2, \ldots\}, \quad \ldots, \quad \{n, \ldots\}.$$

En conséquence, il résulte de la définition de l'opération $(+)$ ci-dessus, que $i \rightleftharpoons \{i, \ldots\}$ est un isomorphisme, et que $Q_n \cong Q$.

LEMME. — *Si* $\{1, 2, \ldots, m, r\}$ *est un vecteur dérivé de* Q, *il s'ensuit que les vecteurs* $\{1, 2, \ldots, m\}, \ldots, \{1, 2\}$ *sont aussi des vecteurs dérivés de* Q.

Le nombre maximum d'éléments distincts de Q *capables de former un vecteur dérivé de* Q *sera appelé la portée de* Q *et désigné par r.*

THÉORÈME 3. — *Si r est la portée d'un quasi-groupe uni* Q, *tous les vecteurs dérivés de rang* $r\{1^x, \ldots, r^x\}$, *où x parcourt toutes les puissances non-associatives, peuvent être rassemblés en n/r classes deux à deux disjointes; chaque classe se compose de r vecteurs. Les vecteurs appartenant à deux classes distinctes n'ont aucun élément commun et les vecteurs appartenant à la même classe sont formés à partir de r permutations distinctes (les répétitions étant interdites) des mêmes r éléments.*

Puisque, d'après le théorème 1, le quasi-groupe Q_n engendré par $\{1, 2, \ldots, r\}$ est isomorphe à Q, les vecteurs de Q_n sont de la forme

$$(L') \qquad \{1, 2, \ldots, r\}, \quad \{2, d_{22}, \ldots, d_{2r}\}, \quad \ldots, \quad \{n, d_{n2}, \ldots, d_{nr}\}.$$

Leur matrice peut être écrite

$$L_r = \begin{bmatrix} 1 & 2 & i & r & r+1 & & n-k & & n \\ 2 & d_{22} & d_{i2} & d_{r2} & d_{r+1,2} & \ldots & d_{n-k,2} & \ldots & d_{n2} \\ \cdot & \cdots & \cdot\cdot & \cdots & \cdots\cdot & \cdots & \cdots\cdot & \cdots & \cdots \\ r & d_{2r} & d_{ir} & d_{rr} & d_{r+1,r} & & d_{n-k,r} & & d_{nr} \end{bmatrix},$$

Considérons les vecteurs $\{1, 2, \ldots, r\}, \ldots, \{r, d_{r2}, \ldots, d_{rr}\}$ et soit, par exemple, d_{i2} distinct de $1, 2, \ldots, r$. On peut alors montrer que le vecteur $\{1, \ldots, i, i, di_2, i+1, \ldots, r\}$ engendre un quasi-groupe d'ordre n, et par suite qu'il en est de même du vecteur $\{1, \ldots, i, d_{i2}, i+1, \ldots, r\}$, cela contredit la définition de la portée du quasi-groupe. Donc d_{i2} est un des éléments $1, 2, \ldots, r$.

Puisque le vecteur $\{i, d_{i2}, \ldots, d_{ir}\}$ engendre Q_n, il existe une puissance non associative x pour laquelle $\{i^x, d_{i2}^x, \ldots, d_{ir}^x\} = \{1, 2, \ldots, r\}$. Par suite $i, \ldots, d_{ir(i=1,\ldots,n)}$ sont tous distincts. D'autre part, puisque Q est uni, chaque ligne de L_r contient n éléments distincts de Q, et par suite, les éléments j, $dr_j, \ldots, dn_{j(j=1,\ldots,r)}$ sont tous distincts. Donc les r premières colonnes de L_r forment un carré latin des éléments $1, 2, \ldots, r$. Les éléments du vecteur $\{r+1, \ldots, d_{r+1,r}\}$ sont tous distincts de $1, 2, \ldots, r$. Par analogie avec ce qui a été montré plus haut, on peut établir que les r colonnes suivantes de L_r peuvent être disposées de façon à former un carré latin des éléments $r+1, \ldots, d_{r+1,r}$, etc. Procédant de façon analogue nous rassemblons les

éléments de Q en classes deux à deux disjointes

$$(1, 2, \ldots, r), \quad (r+1, \ldots, 2r), \quad \ldots, \quad (n-k, \ldots, n),$$

Chacune de ces classes forme r vecteurs dérivés engendrant Q_n. Comme ci-dessus les éléments du vecteur $\{n-k, \ldots, n\}$ sont tous distincts et doivent être distincts de $1, 2, \ldots, n-k-1$, ce qui n'est possible que si $k=r$. Il s'ensuit que n est un multiple de r.

Corollaire 1. — *Si le quasi-groupe uni* Q *est de portée r et d'ordre n, n est un multiple de r, et tous les éléments de* Q *peuvent être rassemblés en n/r classes, deux à deux disjointes, chacune d'elles consistant en r éléments qui forment des vecteurs dérivés de* Q.

Corollaire 2. — *L'ordre de la logarithmétique d'un quasi-groupe uni d'ordre n et de portée r, ne peut être plus grand que* $n^{n/r}$.

CALCUL DES PROBABILITÉS. — *Quelques remarques sur les processus stochastiques. Le processus stochastique dans une population.* Note (*) de M. **Matthias Matschinski**, présentée par M. Émile Borel.

Dans la présente Note l'auteur établit quelques conditions relatives aux processus stochastiques et les équations générales (★) de ces processus, en se basant uniquement sur la définition classique de la probabilité, rapport entre le nombre des cas « favorables » et le nombre de « tous » les cas.

1. Considérons la « probabilité » $W(x_i;\ \xi_i)$ d'un état « postérieur » x_i « succédant » à un état « antérieur » ξ_i; les états sont caractérisés par une variable x (ou ξ) ou par plusieurs variables $x_1, x_2 \ldots$ (ou $\xi_1, \xi_2 \ldots$) qui peuvent être les coordonnées, le temps ou d'autres indices, plus ou moins arbitraires. Par définition de la probabilité, on a (A) : $W(x_1, x_2, \ldots, x_{k-1};\ \xi_1, \xi_2, \ldots, \xi_{k-1}) = N \int_{v_k} \ldots \int_{v_k} W(x_1, x_2, \ldots, x_{k-1}, x_k; \xi_1, \xi_2, \ldots, \xi_{k-1}, \xi_k)\, dx_k\, d\xi_k$, où N un multiplicateur ne dépendant que de la grandeur v_k, domaine des états considérés. C'est pourquoi, si l'état est déterminé par n variables, on peut parler de la probabilité *différentielle :* $W(x_1, x_2, \ldots, x_n; \xi_1, \xi_2, \ldots, \xi_n)$ et des probabilités *intégrales* ou *moyennes* : $W(x_1, x_2, \ldots, x_{n-1}; \xi_1, \xi_2, \ldots, \xi_{n-1})$, $\ldots$, $W(x_1, x_2, \ldots, x_{n-m}; \xi_1, \xi_2, \ldots, \xi_{n-m})$, $\ldots$, $W(x_1, x_2, x_3; \xi_1, \xi_2, \varsigma_3)$, $W(x_1, x_2; \xi_1, \xi_2)$, $W(x; \xi)$. Commençons par cette dernière.

2. La probabilité $W(x;\ \xi)$ doit évidemment satisfaire à l'équation (B) : $W(x; \xi) = W(x; r).W(r; \xi)$ qui n'est qu'un corrolaire très simple du théorème de multiplication des probabilités. Cette équation peut être également considérée comme l'équation de Chapman-Kolmogoroff dégénérée.

(*) Séance du 24 novembre 1952.

D'autre part, par définition de la probabilité : $W(x;\ \xi) = Q(x) : Q(\xi)$. Les grandeurs Q sont les « nombres des cas » de la définition; ils sont finis, quoique très grands, pour les sciences concrètes, et ils tendent vers l'infini dans les modèles des sciences théoriques où l'on considère des séries infinies de cas ou même un continuum. La condition nécessaire d'existence de la probabilité $W(x;\ \xi)$ est que les grandeurs Q soient de la forme : $Q(x) = \omega . q(x)$, $Q(\xi) = \omega . q(\xi)$ où ω est la seule grandeur tendant vers l'infini, tandis que $q(x)$, $q(\xi)$ — les « nombres relatifs des cas » — sont essentiellement finis. Par définition q est représentée par la fonction unique; seuls les arguments diffèrent dans $q(x)$ et $q(\xi)$. La forme (C) : $W(x;\ \xi) = q(x) : q(\xi)$ est primordiale, elle satisfait à l'équation (B), d'où résulte le théorème suivant : I. *Seules les solutions de* (B) *ayant la forme* (C) *représentent les processus stochastiques*. La probabilité d'un état de n'importe quel processus stochastique satisfait toujours à l'équation (B); mais, si la solution de (B) ayant la forme (C) est trouvée, elle ne représente rien.

3. Voici un exemple. Soit v une population, dont les membres sont caractérisés par leur « état » : l'âge t. Soit $q(t)$ [égal en ce cas à $Q(t)$] le nombre des membres ayant l'âge t définit à une unité près. La probabilité du processus stochastique $W(t,\ \tau)$, probabilité pour un individuum de l'âge τ de survivre jusqu'à l'âge t, est par définition (D) : $W(t;\ \tau) = q(t) : q(\tau)$; elle satisfait nécessairement à l'équation dégénérée de Chapman-Kolmogoroff (B). Mais si l'on trouve une solution de (B) n'ayant pas la forme (D), cette solution n'a pas de sens, elle ne décrit aucune survivance, elle ne détermine aucun processus stochastique dans la population considérée. Pour cette raison il est vain de s'efforcer à résoudre l'équation (B); si l'on obtient la solution rentrant dans (D), cette solution a été toujours donnée d'avance; si l'on obtient la solution sortant des cadres de (D), elle est fausse du point de vue de la théorie de la probabilité.

4. Considérons maintenant $W(x,\ y;\ \xi,\ \eta)$ la probabilité différentielle de l'état dans un processus déterminé par deux variables ou la probabilité moyenne dépendant de deux variables dans un processus déterminé par plus de deux variables. Soit $W(x, y; \xi, \eta)(dy/v_y)$ la probabilité correspondant aux états entre y et $y + dy$; v_y est le « domaine » de la variable (*voir* § 2). A l'aide des théorèmes d'addition et de multiplication on obtient facilement l'équation Chapman-Kolmogoroff dans sa forme normale, non degénérée (E) : $W(x,\ y;\ \xi,\ \eta) = \int_{v_s} W(x,\ y;\ r,\ s)\, W(r,\ s;\ \xi,\ \eta)(ds/v_s)$; chaque $W(x, y; \xi, \eta)$ de la théorie de la probabilité doit y satisfaire. Or, comme nous l'avons fait remarquer plus haut, la fonction $W(x, y; \xi, \eta)$ est par définition $W(x, y; \xi, \eta) = Q(x, y) : Q(\xi, \eta)$, où Q sont de nouveau les « nombres des cas » (« les nombres des membres de la population », *voir* § 3). Si les grandeurs $Q(x,\ y)$ et $Q(\xi,\ \eta)$ ne sont pas finies, on introduit, comme on a fait

dans le paragraphe 2, les auxiliaires : $q(x, y) = Q(x, y) : \omega$ et $q(\xi, \eta) = Q(\xi, \eta) : \omega$. On trouve (F) : $W(x, y; \xi, \eta) = q(x, y) : q(\xi, \eta)$ où les grandeurs $q(x, y)$ et $q(\xi, \eta)$ sont essentiellement finies. Pour la fonction q, la remarque du paragraphe 2 est également valable. Cette forme (F) est primordiale et il existe le théorème : II. *Seules les solutions de* (E) *ayant les formes* (F) *décrivent les processus stochastiques; toutes les autres solutions n'ont aucun sens probabiliste.*

5. Mais, si pour des états dépendant d'une seule variable, chaque fonction q, soumise à certaines conditions, décrit un processus stochastique possible, ce n'est pas le cas, pour des états dépendant de plusieurs variables. En effet, se limitant aux domaines ν finis (le cas des domaines infinis nécessite un calcul spécial) et intercalant (F) dans (A), on trouve

$$(\star) \qquad \int_\nu q(x, y)\, dx \int_\nu \frac{dx}{q(x, y)} = \frac{1}{N}, \qquad \int_\nu q(x, y)\, dy \int_\nu \frac{dy}{q(x, y)} = \frac{1}{N};$$

équations générales des processus stochastiques pour les états dépendant de deux variables. Enfin, pour n variables $W(x_i; \xi_i) = q(x_i) : q(\xi_i)$, on a $2^n - 2$ équations :

$$\int_\nu \cdots \int_\nu q(x_i) \prod_k dx_i \, k \int_\nu \cdots \int_\nu \frac{\prod_k dx_i}{q(x_i)} = \frac{1}{N_k};$$

p. ex. : pour $n = 3$, on a

$$\int_\nu q(x_i)\, dx_k \int_\nu \frac{dx_k}{q(x_i)} = \frac{1}{N_1}, \qquad \ldots,$$

$$\int_\nu \cdots \int_\nu q(x_i)\, dx_k\, dx_m \int_\nu \cdots \int_\nu \frac{dx_k\, dx_m}{q(x_i)} = \frac{1}{N_2}, \qquad \ldots.$$

CALCUL DES PROBABILITÉS. — *Sur une classe de fonctions aléatoires.* Note de M. **Georges Morlat**, présentée par M. Émile Borel.

Dans une Note récente (1) nous avons introduit des processus stochastiques (répartitions d'événements sur la droite) que nous désignerons désormais par « processus A 1 »,

Nous définirons un « processus A 2 » de la façon suivante : étant données deux fonctions de répartition, $F(u)$ et $G(v)$, on construira une fonction $x(t)$ prenant par intervalles, et alternativement, les valeurs 1 et 0, les intervalles sur lesquels $x(t) = 1$ [resp. $x(t) = 0$] ayant pour loi de probabilité $F(u)$ [(resp. $G(v)$]; de plus, les intervalles successifs sont stochastiquement indépendants. Un processus A 2 est une fonction aléatoire variant par sauts

(1) *Comptes rendus*, **235**, 1952, p. 933.

alternativement croissants et décroissants. Remarquons que la répartition de chaque espèce de sauts constitue un processus A 1.

Les processus A 2 pourront trouver des applications directes dans l'étude des pannes de fonctionnement d'un appareil [les intervalles U dans lesquels $x(t) = 1$ représentant les durées de fonctionnement et les intervalles V dans lesquels $x(t) = 0$ représentant les durées d'indisponibilité]. Il pourra être commode d'envisager en particulier des processus A 2 poissonniens, c'est-à-dire définis par des fonctions de répartition $F(u)$ et $G(v)$ telles que la répartition de $U + V$ soit une demi-loi de Laplace. On obtient un tel résultat en prenant par exemple pour F et G des lois III de Pearson dont la somme des indices égale l'unité : la répartition des débuts de pannes est alors poissonnienne.

Cette Note a pour but de montrer comment les processus A 2 permettent de construire une classe de fonctions aléatoires douée de propriétés intéressantes.

La fonction $x(t)$ étant un processus A 2 défini par deux variables aléatoires U et V, nous appellerons « processus réduit associé à $x(t)$ » la fonction

$$\xi(t) = \frac{x(t) - p}{\sqrt{p(1-p)}} \qquad \text{en posant} \qquad p = \frac{E(U)}{E(U) + E(V)}.$$

Envisageons maintenant n réalisations indépendantes de $\xi(t)$, soient

$$\xi_1(t), \quad \xi_2(t), \quad \ldots, \quad \xi_n(t)$$

et considérons la fonction aléatoire

$$\Xi_n(t) = \frac{\xi_1(t) + \xi_2(t) + \ldots + \xi_n(t)}{\sqrt{n}}.$$

Si l'on fait croître n indéfiniment, la fonction aléatoire $\Xi_n(t)$ a pour limite une fonction aléatoire $\Xi(t)$ dont nous nous bornerons à énumérer quelques propriétés.

La valeur de la fonction $\Xi(t)$, à un instant fixé quelconque, est une variable aléatoire normale, de moyenne nulle, d'écart type unité.

Il y a une probabilité égale à 1 que $\Xi(t)$ soit continue pour toute valeur de t.

La covariance de $\Xi(t)$ est toujours positive et peut s'écrire

$$\rho(h) = E[\Xi(t)\,\Xi(t+h)] = \operatorname{cov}[\xi(t)] = \frac{P(h) - p^2}{p(1-p)}$$

avec

$$P(h) = \text{Prob}\{\xi(t) = 1) \qquad \text{et} \qquad \xi(t+h) = 1\}.$$

On a d'ailleurs

$$P(h) = p\{p_0(h) + p_1(h) + \ldots + p_n(h) + \ldots\} \tag{1}$$

la série $\sum_n p_n(h)$ étant toujours convergente, ses termes ayant pour expressions

$$p_0(h) = \frac{1}{u}\int_h^\infty (u-h)\,dF(u),$$

$$\dots\dots\dots\dots\dots\dots\dots\dots\dots\dots,$$

$$p_n(h) = \int_0^h \frac{1-F(u_1)}{u}\,du_1 \int_0^{h-u_1} dG(v_1)\int^{h-u_1-v_1} dF(u_2)$$
$$\times \int\cdots\int_0^{h-u_1-\dots-u_n} dG(v_n)\int_{h-u_1\dots-u_n-v_n}^\infty dF(u_{n+1}),$$

$p_n(h)$ est la probabilité que, $x(t)$ étant égal à 1, $x(t+h)$ soit encore égal à 1 avec, entre t et $t+h$, n intervalles exactement dans lesquels la fonction x s'annule.

Dans le cas particulier où le processus A2 de départ est un processus doublement laplacien symétrique, nous entendons par là que les lois $F(u)$ et $G(v)$ qui le définissent sont des demi-premières lois de Laplace de même valeur moyenne, alors on trouve que la covariance se réduit à

$$\rho(h) = 2\sum_{n=0}^{\infty} \frac{1}{(2n)!}\left(\frac{h}{\tau}\right)^{2n} e^{-\frac{h}{\tau}} - 1 = e^{-2\frac{h}{\tau}}.$$

La fonction $\Xi(t)$ qui dérive de ce processus est donc une chaîne normale simple.

Dans le cas général, on montre sans peine que la partie principale de $\rho(h)$, pour h petit, est obtenue en conservant seulement le premier terme de la série (1), soit

$$\rho(h) \sim \frac{\int_h^\infty (u-h)\,dF(u)}{u(1-p)} - \frac{p}{1-p},$$

et l'on en déduit que $(d\rho/dh)_{h=0} = -[1/Tp(1-p)]\,[T = E(U) + E(V)]$ ce qui montre qu'une fonction de la classe $\Xi(t)$ que nous avons définie ne saurait être dérivable en aucun cas (2).

MÉCANIQUE DES FLUIDES. — *Étude expérimentale d'un écoulement radial de fluide visqueux entre deux plans parallèles*. Note (*) de M. **Raymond Comolet**, présentée par M. Joseph Pérès.

Dans une précédente Note (1) nous avons établi moyennant certaines

(2) *Voir* J. Bass, *Les méthodes modernes du Calcul des Probabilités*, Chap. 8.

(*) Séance du 17 novembre 1952.

(1) *Comptes rendus*, **235**, 1952, p. 1190.

hypothèses simples, la formule théorique suivante :

$$(1) \qquad M : \frac{\pi d^3}{6\mu}\,\frac{n}{n+1}\,\frac{P_1^2}{rT_0}\,\alpha^2\left(1-\frac{1}{\alpha^{\frac{n+1}{n}}}\right)\frac{1}{\operatorname{Log}\frac{r_1}{r_2}}$$

pour le débit.

La comparaison avec les faits expérimentaux implique les démarches suivantes :

1° *Détermination de n.*

Nous avons utilisé un débitmètre associé à un micromanomètre de précision dont l'indication h est proportionnelle au débit M à mesurer. Dans une série d'expériences où seule la pression amont varie nous pouvons écrire :

$$h = K\,\frac{n}{n+1}\left(\alpha^2 - \alpha^{1-\frac{1}{n}}\right);$$

K est un coefficient numérique.

En appelant z la dérivée de h par rapport à α, et z_1 la valeur de z pour $\alpha = 1$, nous avons

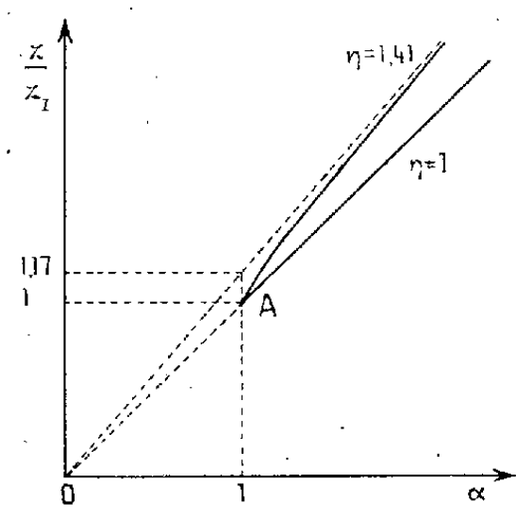
$$\frac{z}{z_1} = \frac{2\alpha n}{n+1}\left(1 - \frac{n-1}{2n}\,\frac{1}{\alpha^{\frac{n+1}{n}}}\right).$$

En écoulement isotherme $n = 1$, nous aurions $z/z_1 = \alpha$.

En écoulement adiabatique ($n = 1{,}41$ pour l'air) :

$$\frac{z}{z_1} = 1{,}17\alpha\left(1 - 0{,}145\,\frac{1}{\alpha^{1{,}71}}\right).$$

La figure donne les courbes représentatives de ces deux écoulements particuliers.



Tant que la distance d reste petite, les points obtenus expérimentalement s'alignent sur la courbe (qui est une droite) correspondant à $n = 1$.

L'écoulement est donc isotherme et la formule du début

$$(2) \qquad M = \frac{\pi d^3}{12\mu}\,\frac{1}{rT_0}\,\frac{P_0^2 - P_1^2}{\operatorname{Log}\frac{r_1}{r_0}}.$$

2° *Proportionnalité de* M *à* d^3. — La distance d séparant les deux plans est mesurée par un procédé interférométrique, le passage d'une frange correspond à une variation d'épaisseur de $\lambda/2 = 0{,}27305$ micron. En appelant N le nombre de franges ayant défilé dans la lunette d'observation à partir du contact mécanique des deux plans, K un nouveau coefficient numérique, nous devons vérifier la loi

$$h = K(N + \beta)^3 \qquad \text{en posant} \quad d = N + \beta.$$

Le coefficient β mesure une épaisseur, exprimée en nombre de franges, il traduit le fait que le contact mécanique ne correspond pas à une distance d nulle des deux plans en raison des défauts de surface inévitables (fines rayures, aspérités, etc.) permettant le passage d'un faible débit d'air mesuré par la dénivellation h_0. La quantité β est l'épaisseur qui correspond au passage de ce débit résiduel.

Quand N et P_0 varient, on constate expérimentalement que le rapport

$$\beta = \frac{N}{\sqrt[3]{\frac{h}{h_0} - 1}}$$

reste sensiblement constant.

On peut alors calculer le rapport $K = (h/d^3)$. Pour une pression amont donnée, l'expérience montre bien qu'il est constant quand d varie. On peut également vérifier que sa valeur est proportionnelle à $P_0^2 - P_1^2$.

Le tableau suivant donne les moyennes de valeurs obtenues sur deux séries d'expériences. L'air arrivait par un trou circulaire de diamètre $2r_0 = 0{,}7$ mm percé au centre de l'une des deux faces en regard. Ces faces étaient circulaires, d'un diamètre $2r_1 = 9{,}4$ mm. Nous avons fait varier N de 0 à 30 franges environ.

	$P_0 - P_1$ (mm Hg).	β (franges).	$K = \frac{h}{d^3}$.	$H = \frac{K}{P_0^2 - P_1^2}$.
$2r_1 = 9{,}4$ mm.....	50,7	68	6,37	8,0
$P_1 = 757$ mm Hg	23,2	70	32,8	8,1
$2r'_1 = 1{,}7$ mm	115	20	42,8	22,8
$P_1 = 757$ mm Hg				

Les nombres indiqués dans les deux dernières colonnes sont exprimés en unités arbitraires.

3° *Proportionnalité de* M *à* $1/\mathrm{Log}(r_1/r_0)$. — La quantité H calculée dans le tableau précédent ne dépend ni de la distance d, ni de $P_2^0 - P_1^2$. Les conditions de température étant les mêmes, H doit être proportionnel à $1/\mathrm{Log}(r_1/r_0)$.

Nous avons donc réalisé une autre série d'expériences avec le même dispositif, mais en réduisant à $2r'_1 = 1{,}7$ mm le diamètre des faces en regard. Nous

avons ainsi

$$\frac{\operatorname{Log}\frac{r_1}{r_0}}{\operatorname{Log}\frac{r'_1}{r_0}} = 2,93 \qquad \text{pour} \quad \frac{r_1}{r'_1} = 5,53.$$

La dernière ligne du tableau précédent donne les résultats obtenus.

En prenant la valeur moyenne $H_1 = 8,05$ dans le premier cas, et la valeur $H_2 = 22,8$ dans le deuxième, le rapport $H_2/H_1 = 2,83$ est très voisin de la valeur théorique 2,93.

Les hypothèses introduites dans les calculs se trouvent donc vérifiées. Sous réserve que l'écoulement visqueux soit laminaire, on peut exprimer le débit en masse par la formule (2).

ASTROPHYSIQUE. — *Ondes de compression dans une atmosphère en équilibre radiatif*. Note de Mme **Perrine Dumézil-Curien**, présentée par M. André Danjon.

Les ondes de compression engendrent une pression de radiation acoustique dont les variations avec la profondeur créent une gravité effective supérieure à la gravité réelle dans une portion appréciable de l'atmosphère.

On reprend les hypothèses de M. E. Schatzman (1); (2) suivant lesquelles :

1° La turbulence régnant dans la zone convective de certaines étoiles engendre des ondes de compression qui se propagent vers la surface dans la zone radiative;

2° le flux d'énergie mécanique est proportionnel au flux total.

On suppose que les ondes de compression sont planes, sinusoïdales et qu'elles se propagent dans la direction du rayon de l'étoile : la vitesse de propagation des ondes décroissant vers la surface, la réfraction des rayons acoustiques tend à les rendre parallèles au rayon de l'étoile, ce qui justifie dans une certaine mesure l'hypothèse précédente, surtout si la zone radiative est épaisse. On a donc

$$F_{méc} = \rho V \overline{u^2} = \xi F; \tag{1}$$

V est la vitesse de propagation du son $= V_0(T/T_0)^{1/2}$ pour des ondes de faible amplitude; u est la vitesse locale du fluide.

Ces ondes de compression entraînent l'existence d'une pression de radiation acoustique croissant vers la surface (du moins tant que l'approximation $u \ll V$

(1) *Comptes rendus*, **228**, 1949, p. 814.

(2) *Comptes rendus*, **234**, 1952, p. 1349.

est légitime) :

$$p_a = \rho\,\overline{u^2} = \frac{\xi F}{V}. \tag{2}$$

Ceci se traduit dans l'équation d'équilibre hydrostatique par l'apparition d'une *gravité effective supérieure à la gravité réelle*

$$\frac{dp}{d\tau} = \frac{g}{\bar{\varkappa}}\left[1 - \frac{\bar{\varkappa}}{g}\frac{dp_a}{d\tau}\right] = \frac{g}{\bar{\varkappa}}\left[1 + \frac{1}{2}\frac{\bar{\varkappa} p_a}{g}\frac{d\log T}{d\tau}\right] = \frac{g_{\text{eff}}}{\bar{\varkappa}}. \tag{3}$$

Si ξ est assez petit, on peut conserver l'équation de l'équilibre radiatif $T^4 = T_0^4(1+\sqrt{3}\tau)$; on trouve

$$g_{\text{eff}} = g\left[1 + \frac{\sqrt{3}}{8}\frac{\xi F}{g V_0}\bar{\varkappa}(1+\sqrt{3}\tau)^{-\frac{9}{8}}\right]. \tag{4}$$

On a calculé ainsi la zone radiative d'une géante rouge ($g = \sqrt{3}.10^2$; $T_0 = 4375°$); on a pris $\xi = (1/25)$ (1) et l'on s'est placé dans le cas où la zone radiative est optiquement très profonde, la zone convective n'apparaissant qu'au début de l'ionisation de l'hélium II.

Pression gazeuse p.	$\frac{g_{\text{eff}}}{g}\left(\xi = \frac{1}{25}\right)$.	$\tau\left(\xi = \frac{1}{25}\right)$.	$\tau(\xi = 0)$.
4.10^3	1,06	0,3	0,3
6 »	1,06	0,6	0,6
8 »	1,09	1,2	1,2
9 »	1,12	1,8	1,9
10^4	1,22	3,1	4,0
$1,03.10^4$	1,31	3,9	6,8
1,05 »	1,43	4,7	24,8
1,07 »	1,67	6,2	67,9
1,08 »	1,88	7,3	80,7
1,09 »	2,19	8,8	91,3
1,1 »	2,62	11,1	100,6
1,12 »	3,73	19,2	116,8
1,15 »	2,33	44,7	137,5
1,2 »	1,23	93,8	166,5
1,3 »	1,07	162,7	214,3
1,5 »	1,03	256,2	292,9

PHYSIQUE MATHÉMATIQUE. — *Sur la conservation de la charge.* Note de M. **André Régnier**, présentée par M. Louis de Broglie.

Les équations de Schrödinger (une ou plusieurs particules), du méson scalaire, de Dirac, du méson vectoriel, possèdent en commun deux propriétés.

1° L'évolution au cours du temps des fonctions d'onde (pour les équations du premier ordre par rapport au temps) ou du système des fonctions d'onde et de leurs dérivées par rapport au temps (pour les équations du second ordre

par rapport au temps) s'exprime par un semi-groupe de transformations linéaires.

2° Pour chacune il existe un courant et une densité entre lesquels l'équation établit la condition de continuité. Ce qu'on appelle généralement « conservation de la charge ».

Cette proposition possède une réciproque, à savoir que si l'on introduit des courants et des densités exprimés à partir des fonctions d'onde suivant les formules usuelles et qu'on cherche des équations possédant la propriété (1) et impliquant la condition de continuité, on retrouve les équations traditionnelles; les termes qui y expriment les forces extérieures demeurant bien entendu arbitraires.

Considérons en effet l'espace multifonctionnel des états ψ de composantes ψ_α ($\alpha = 1, \ldots, p$). Ces ψ_α étant des fonctions de carré sommable de $(x_1, \ldots, x_n)$. La quantité complexe conjuguée de z étant notée z^*, le produit scalaire est défini par :

$$\langle \varphi, \psi \rangle = \sum_\alpha \int \varphi_\alpha^* \psi_\alpha \, dx_1 \ldots dx_n.$$

Soit une fonction $L(\psi, \psi^*)$ des ψ_α, ψ_α^*, $\partial\psi_\alpha/\partial x_k$, $\partial\psi_\alpha^*/\partial x_k$, possédant les propriétés suivantes :

a. Si λ est une constante réelle, on a $L(\psi, \psi^*) = L(e^{i\lambda}\psi, e^{-i\lambda}\psi^*)$ (invariance de jauge de première espèce);

b.
$$\frac{\partial L}{\partial \psi_\alpha^*} = \left(\frac{\partial L}{\partial \psi_\alpha}\right)^*, \qquad \frac{\partial L}{\partial \dfrac{\partial \psi_\alpha^*}{\partial x_k}} = \left(\frac{\partial L}{\partial \dfrac{\partial \psi_\alpha}{\partial x_k}}\right)^*;$$

c. $\partial L/[\partial(\partial\psi_\alpha/\partial x_k)]$, $\partial L/\partial\psi_\alpha$ dépendent linéairement de ψ, ψ^* et de leurs dérivées.

Considérons les quantités

$$S_k = -i\sum_\alpha \left[\psi_\alpha \frac{\partial L}{\partial \dfrac{\partial \psi_\alpha}{\partial x_k}} - \psi_\alpha^* \frac{\partial L}{\partial \dfrac{\partial \psi_\alpha^*}{\partial x_k}} \right].$$

Elles sont réelles d'après (*b*). $\sum_k \partial S_k/\partial x_k$ s'écrit, en ajoutant et en retranchant $\sum_\alpha [\psi_\alpha(\partial L/\partial\psi_\alpha) - \psi_\alpha^*(\partial L/\partial\psi_\alpha^*)]$:

$$i\sum_\alpha \psi_\alpha^* \left[\sum_k \frac{\partial}{\partial x_k} \frac{\partial L}{\partial \dfrac{\partial \psi_\alpha^*}{\partial x_k}} - \frac{\partial L}{\partial \psi_\alpha^*} \right] - i\sum_\alpha \psi_\alpha \left[\sum_k \frac{\partial}{\partial x_k} \frac{\partial L}{\partial \dfrac{\partial \psi_\alpha}{\partial x_k}} - \frac{\partial L}{\partial \psi_\alpha} \right]$$
$$- i\sum_\alpha \sum_k \left[\frac{\partial L}{\partial \dfrac{\partial \psi_\alpha}{\partial x_k}} \frac{\partial \psi_\alpha}{\partial x_k} + \frac{\partial L}{\partial \psi_\alpha}\psi_\alpha - \frac{\partial L}{\partial \dfrac{\partial \psi_\alpha^*}{\partial x_k}} \frac{\partial \psi_\alpha^*}{\partial x_k} - \frac{\partial L}{\partial \psi_\alpha^*}\psi_\alpha^* \right].$$

La dernière somme est la valeur pour $\lambda = 0$ de la dérivée en λ de $L(e^{i\lambda}\psi, e^{-i\lambda}\psi^*)$. Elle est nulle d'après (*a*). Par ailleurs, d'après (*b*) les

crochets des deux premières sommes sont conjugués l'un de l'autre pour chaque k et chaque α. Poser $\sum_k \partial S_k/\partial x_k = 0$ revient donc à écrire que

$$(1) \qquad \sum_\alpha \psi^*_\alpha \left[\sum_k \frac{\partial}{\partial x_k} \frac{\partial L}{\partial \overline{\frac{\partial \psi^*_\alpha}{\partial x_k}}} - \frac{\partial L}{\partial \psi^*_\alpha} \right]$$

est imaginaire pure. D'après (1) et (c) on peut considérer chacun de ces crochets comme la $j^{\text{ième}}$ composante du transformé de ψ par un certain opérateur linéaire A. Considérons alors un ensemble quelconque de l'espace des $(x_1, \ldots, x_n)$. La multiplication de ψ par la fonction caractéristique de cet ensemble définit un projecteur P. En intégrant (1) sur cet ensemble nous obtenons $\langle P\psi, A\psi \rangle$ qui s'écrit aussi bien $\langle \psi, PA\psi \rangle$. $\sum_k \partial S_k/\partial x_n = 0$ s'exprimera donc par le fait que cette dernière quantité est imaginaire pure, c'est-à-dire que A est un opérateur antihermitien « commutant avec les x_k ». Finalement les équations sur la fonction d'onde qui vérifient I et impliquent $\sum_k \partial S_k/\partial x_k = 0$ sont, tenant compte de (b), de la forme

$$\sum_k \frac{\partial}{\partial x_k} \frac{\partial L}{\partial \overline{\frac{\partial \psi^*_\alpha}{\partial x_k}}} - \frac{\partial L}{\partial \psi_\alpha} = i \sum_\beta B_{\alpha\beta} \psi_\beta,$$

où les $B_{\alpha\beta}$ sont des fonctions de $(x_1, \ldots, x_n)$ formant une matrice hermitienne. Les équations correspondantes sur ψ^* étant les complexes conjugués de celles ci-dessus écrites.

Les équations quantiques dérivent de lagrangiens L possédant les propriétés (a), (b), (c), les courants y relatifs étant fournis par les expressions correspondantes des S_k, ce qui démontre notre assertion.

On remarquera que les termes arbitraires peuvent être ensuite considérablement précisés par le théorème d'Ehrenfest dans l'interprétation probabiliste, ou par les hypothèses de la Théorie causale, selon lesquelles les particules suivent réellement les lignes du courant S_k.

PHYSIQUE MATHÉMATIQUE. — *Mécanique ondulatoire dans l'espace de configuration.* Note de M. **Jean-Pierre Vigier**, présentée par M. Louis de Broglie.

L'emploi de la théorie unitaire (1) et du théorème établi par M. Régnier, sur la conservation de la charge (2), permet de justifier les hypothèses introduites par M. Louis de Broglie (3), pour démontrer la validité de l'équation de Schrödinger a plusieurs particules dans la nouvelle interprétation.

(1) J. P. Vigier, *Comptes rendus*, 235, 1952, p. 1107.

(2) A. Régnier, *Comptes rendus*, 235, 1952, p. 1370.

(3) L. de Broglie, *Comptes rendus*, 235, 1952, p. 1345, dont nous utilisons les notations et désignons les formules (n) par les symboles B(n).

L'emploi de la théorie unitaire permet de compléter les considérations développées par M. Louis de Broglie, pour retrouver l'équation de Schrödinger dans la nouvelle interprétation.

Comme M. de Broglie, nous nous limiterons au cas de deux particules chargées, à l'approximation newtonienne, en négligeant les effets de spin.

A. Conformément à cette théorie, nous pouvons lier ces particules (numérotées 1 et 2) à deux ondes à singularité $U_j (j = 1, 2)$

$$U_j = \left(a_j + \frac{b_j}{r_j}\right) e^{+i\frac{\varphi_j}{\hbar}} = \Phi_j + \frac{b_j}{r_j} e^{-i\frac{\varphi_j}{\hbar}}. \tag{1}$$

telles que l'on ait :

$$\begin{cases} g_{\mu\nu} = \overset{\circ}{g}_{\mu\nu}(\Phi_j \Phi_j^+) - \sum_j \varepsilon_{\mu\nu} \cdot \dfrac{e m_j \gamma}{r_j}, \\ \text{avec sur les deux trajectoires singulières } L_j : \\ \overset{\circ}{g}_{\mu\nu}(L_j) = \varepsilon_{\mu\nu} + 2 Q_j U_{j\mu} U_{j\nu} - \varepsilon (A_{j\mu} U_{j\nu} + A_{j\nu} U_{j\mu}), \end{cases} \tag{2}$$

où Q_j désigne les potentiels quantiques appliqués à la particule j, r_j représente la distance d'univers la plus courte entre le point courant et L_j, $A_{j\mu}$ et $U_{j\mu}$ les composantes du champ électromagnétique agissant sur la particule j ($A_1 = F_1 + F_{12}$ par exemple) et de la vitesse d'univers de la particule j.

Ceci entraîne, comme nous l'avons vu, que les lignes du courant $U_{j\mu}$ suivent des géodésiques de la métrique continue $\overset{\circ}{g}_{\mu\nu}$ pourvu que les $g_{\mu\nu}$ satisfassent aux équations relativistes

$$R_{\mu\nu} - \frac{1}{2} g_{\mu\nu} R = -8\pi\gamma T_{\mu\nu}. \tag{3}$$

B. Nous allons ensuite simplifier l'étude de leurs mouvements :

1° En remarquant avec M. de Broglie que si l'on introduit les coordonnées $\vec{R}_1$ et $\vec{R}_2$ des deux lignes singulières on peut admettre, au moins à l'approximation newtonienne, qu'il existe pour chaque particule une fonction de Jacobi φ_j dont le gradient est colinéaire à l'impulsion; ce que nous écrirons

$$m_j \vec{V}_j = -\overrightarrow{\operatorname{grad}}_j \varphi_j. \tag{4}$$

2° En généralisant au cas considéré le procédé utilisé pour décrire l'ensemble des mouvements possibles d'une particule; c'est-à-dire en construisant une onde enveloppe Ψ_{L_2} qui L_2 étant fixe enveloppe dans l'espace réel les ondes Φ_1 attachées à toutes les trajectoires L_1 possibles compatibles avec L_2.

A cause de 1° on admettra que φ_{L_2} existe toujours qui satisfera pour tout R_1 à (4).

On voit de suite qu'il est impossible en général de construire dans l'espace réel une phase unique $\varphi\left(\vec{R}_1, \vec{R}_2, t\right)$ qui satisfasse à (4).

On passe donc obligatoirement à l'espace de configuration construit sur R_1, R_2 et t et nous allons y chercher une solution particulière φ telle que

$$m_j \vec{V}_j = -\overrightarrow{\text{grad}}\,\varphi_j = -\text{grad}_j \varphi. \tag{5}$$

Ceci constitue une nouvelle hypothèse justifiée *a posteriori* par sa réussite. φ permet de décrire simultanément dans l'espace de configuration les deux classes de mouvements considérés.

3° En imposant aux mouvements précédents deux conditions nécessaires :

I. Ils doivent satisfaire séparément à une équation de continuité car ils suivent des trajectoires géodésiques.

II. S'il existe une onde unique $\Psi\left(\vec{R}_1, \vec{R}_2, t\right) = a \exp. + i\varphi/\hbar$ capable de les décrire (donc de calculer des $\overset{\circ}{g}_{\mu\nu}$ satisfaisant à 2° et 3°), elle doit obéir à une équation linéaire puisqu'ils présentent le même caractère.

C. Ces hypothèses jointes au théorème de M. Régnier (²) déterminent l'équation sur Ψ. En effet φ étant supposé existant, on peut toujours introduire une amplitude $a\left(\vec{R}_1, \vec{R}_2\right)$, t satisfaisant à l'équation de continuité

$$\frac{\partial a^2}{\partial t} + \sum_j \sum_\alpha \frac{\hbar}{m_j} \frac{\partial}{\partial x_{j\alpha}}\left(a^2 \frac{\partial \varphi}{\partial x_{j\nu}}\right) = 0, \tag{6}$$

comme

$$a^2 = \Psi^* \Psi \qquad \text{et} \qquad \Psi^* \frac{\partial \Psi}{\partial x_{j\alpha}} - \Psi \frac{\partial \Psi^*}{\partial x_{j\alpha}} = -\frac{2i}{\hbar} a^2 \frac{\partial \varphi}{\partial x_{j\alpha}},$$

on obtient par substitution l'égalité

$$\Psi\left(\frac{\partial \Psi^*}{\partial t} - \frac{\hbar^2}{2i} \sum_j \sum_\alpha \frac{1}{m_j} \frac{\partial^2 \Psi^*}{\partial x_{j\alpha}^2}\right) + \text{conj} = 0$$

qui admet comme solution générale

$$\frac{\partial \Psi}{\partial t} + \frac{\hbar^2}{2i} \sum_i \sum_\alpha \frac{1}{m_j} \frac{\partial^2 \Psi}{\partial x_{j\alpha}^2} = 1\,\mathrm{K}\Psi, \tag{7}$$

où K est une fonction de $\vec{R}_1$, $\vec{R}_2$, t seulement qui multiplie Ψ à cause du caractère nécessairement linéaire de l'équation de champ. Comme par hypothèse les mouvements décrits sont identiques aux mouvements réels, il suffit de couper (7) en parties réelles et imaginaires pour retrouver l'équation (6) d'une part et d'autre part l'équation de Jacobi généralisée B(5). Cette dernière se réduit à l'équation classique lorsque $\hbar \to 0$, ce qui entraîne $\mathrm{K} = \mathrm{F}_1 + \mathrm{F}_2 + \mathrm{F}_{12}$.

D. On précise encore les choses en remarquant que les mouvements décrits dans l'espace de configuration coïncident avec les mouvements réels. (4) redonne alors les relations B(3) et B(4); le potentiel quantique Q est donné par B(6) et B(9) conduit aux égalités B(10). A partir de ces résultats

on peut : 1° calculer les valeurs $g_{\mu\nu}(L_j)$; 2° démontrer comme l'a fait M. D. Bohm (4) que a^2 décrit bien la densité statistique de particules qui suivent les congruences L_j.

PHYSIQUE THÉORIQUE. — *Sur la signification de la notion de couche. Fondement théorique du modèle quasi atomique du noyau.* Note (*) de M. **Raymond Daudel**, présentée par M. Louis de Broglie.

Nous avons récemment (1) insisté sur le fait que les notions usuelles de la Chimie théorique semblent en contradiction avec le principe d'indiscernabilité des électrons et nous avons conclu que l'on peut cependant sauvegarder les principaux résultats de la Chimie théorique, mais qu'il y a intérêt à modifier son langage. Dans une série de remarquables articles, Lennard Jones (2) et ses collaborateurs ont souligné le rôle fondamental de la corrélation entre les positions électroniques.

Ces deux remarques s'appliquent avec encore plus de nécessité dans le problème du modèle quasi atomique du noyau (ou modèle en couche). L'indiscernabilité entre les nucléons est admise et par conséquent ce que nous avons dit des électrons vaut pour les nucléons. Puisque l'interaction entre nucléons est encore plus forte qu'entre électrons, nos arguments ont encore plus de force et il paraît difficile de comprendre comment un modèle « à particules indépendantes » puisse rendre de si éminents services. Nous allons montrer en transposant au cas du noyau le raisonnement de Lennard Jones que l'étude des corrélations entre les positions des nucléons permet de comprendre la nature de cet apparent paradoxe.

On peut représenter en première approximation la fonction d'onde Φ d'un noyau à N nucléons par un déterminant construit sur des orbitales mononucléoniques $\psi_l(x_i)\,\sigma_l(\omega_i)\,\tau_l(\varepsilon_i)$ où ψ, σ et τ représentent respectivement des fonctions d'espace, de spin et de spin isotopique.

Pour un noyau à niveaux complets on aura

$$\Phi \neq \text{dét}\,\{\psi_1(x_1)\,\sigma_+(x_1)\,\tau_+(x_1)\,\psi_1(x_2)\,\sigma_+(x_2)\,\tau_-(x_2)\,\psi_1(x_3) \times \sigma_-(x_3)\,\tau_+(x_3)\,\psi_1(x_4)\,\sigma_-(x_4)\,\tau_-(x_4)\ldots\psi_{\frac{N}{4}}(x_N)\,\sigma_-(x_N)\,\tau_-(x_N)\}.$$

Les ψ pourront être évalués le mieux possible selon la technique du champ self consistant de Fock. On sait que l'on peut sans changer Φ remplacer les ψ

(4) Communication privée à paraître dans *Physical Review*.

(*) Séance du 17 novembre 1952.

(1) R. Daudel, *Comptes rendus*, **235**, 1952, p. 1035.

(2) *Voir* par exemple, *J. Chem. Phys.*, **20**, 1952, p. 1024.

par des φ construits par une relation de la forme

$$\varphi_u = \sum_{\nu} c_{u\nu} \psi_{\nu},$$

à condition de respecter normalisation et orthogonalité.

Rien ne semble s'opposer à ce que l'on choisisse alors dans le domaine nucléaire des groupes d'orbitales φ localisées et équivalentes comme le fait Lennard Jones en chimie théorique.

La fonction de corrélation représentant la probabilité de trouver le $i^{\text{ème}}$ nucléon en $d\tau_i$ et le $i^{\text{ème}}$ en $d\tau_j$ s'écrit alors en admettant les fonctions réelles :

$$d\tau_i\, d\tau_j \mathrm{P}(i,j) = \left\{ \int \Phi\Phi \frac{d\tau}{d\tau_i\, d\tau_j} \right\} d\tau_i\, d\tau_j \simeq \begin{vmatrix} \chi(i,i) & \chi(i,j) \\ \chi(j,i) & \chi(j,j) \end{vmatrix} d\tau_i\, d\tau_j,$$

avec

$$\begin{aligned} \chi(i,j) = {} & \rho^{++}(i,j)\sigma_+(i)\sigma_+(j)\tau_+(i)\tau_+(j) + \rho^{+-}(i,j)\sigma_+(i)\sigma_+(j)\tau_-(i)\tau_-(j) \\ & + \rho^{-+}(i,j)\sigma_-(i)\sigma_-(j)\tau_+(i)\tau_+(j) + \rho^{--}(i,j)\sigma_-(i)\sigma_-(j)\tau_-(i)\tau_-(j). \end{aligned}$$

où un symbole tel que $\rho^{++}(i,j)$ représente la somme de tous les produits $\varphi_l(i)\varphi_l(j)$ associés aux fonctions σ_+ et τ_+.

On voit que *pour deux nucléons de même spin et de même charge*

$$\mathrm{P}(i,j) \simeq \{\rho(i,i)\rho(j,j) - \rho(i,j)^2\}$$

et que par conséquent ladite densité de probabilité dépend de la position relative de i et de j, alors que pour deux nucléons de spin ou de charge différents

$$\mathrm{P}(i,j) \simeq \rho(i,i)\rho(j,j)$$

ne dépend que des quantités $\rho(i,i)$ et $\rho(j,j)$, comme si les deux nucléons étaient indépendants.

Le raisonnement de Lennard Jones se transpose donc bien au noyau avec comme conclusion :

Que les positions relatives les plus probables des nucléons de même spin et de même charge peuvent être déterminées en construisant des orbitales nucléaires équivalentes et localisées dans des régions de l'espace se recouvrant le moins possible.

Puisqu'il n'y a pas (à cette approximation) de corrélation entre les nucléons de spin ou de charge différents, on peut penser que dans un noyau à « niveaux complets » on rencontrera en moyenne deux neutrons et deux protons au voisinage de chacune des positions les plus probables ainsi définies, et le modèle quasi atomique s'apparente alors beaucoup au modèle à particules α préformées.

De plus chacune de ces particules tend à occuper en moyenne un certain volume et constitue si l'on veut une des molécules de la goutte liquide de Bohr

et Wheeler. Ainsi les trois modèles nucléaires classiques trouvent leur point commun dans la corrélation entre position des nucléons.

Donnons un exemple de construction effective des orbitales équivalentes. Prenons la première couche de M. Gœppert Mayer (3) soit 1 *s* et 1 *p*.

Par hybridation on peut former 4 orbitales nucléaires équivalentes localisées vers les 4 sommets d'un tétraèdre. Le noyau à niveaux complets correspondant ($^{16}_{8}O$) aurait donc *comme configuration la plus probable* celle que figurent quatre particules α aux sommets d'un tétraèdre régulier; les protons ayant tendance à se diriger vers l'extérieur en raison de la répulsion coulombienne (on peut bien entendu conserver en moyenne la symétrie sphérique). Cette configuration très symétrique explique la haute stabilité du noyau $^{16}_{8}O$ et l'existence du nombre magique 8. Les autres couches correspondraient à d'autres orbitales localisées se situant probablement plus loin du centre de gravité et déterminant de nouvelles positions probables pour des groupes de nucléons. Une étude détaillée de ces couches est en cours.

PHYSIQUE THÉORIQUE. — *Étude des modifications ordre-désordre dans les alliages* Cu-Pt. Note (*) de M. **Gérard Fournet**, présentée par M. Charles Mauguin.

Le passage de l'état ordonné à l'état désordonné des alliages Cu-Pt s'effectue sans qu'il y ait un changement notable de la répartition des premiers voisins. Nous avons trouvé un bon accord avec l'ensemble des faits expérimentaux en supposant que la différence $W(r_2)$ des énergies des paires semblables et dissemblable relatives aux seconds voisins était plus grande que le terme $W(r_1)$ correspondant aux premiers voisins.

Les modifications ordre-désordre de l'alliage Cu-Pt sont très particulières (1), (2). Dans l'état ordonné (à symétrie rhomboédrique mais très voisin de la structure cubique à faces centrées) un atome d'espèce quelconque est entouré de six premiers voisins semblables et de six premiers voisins dissemblables; pour l'état désordonné (cubique à faces centrées) et à haute température, quand tout effet d'ordre à petite distance aura disparu, la composition de l'alliage étant 1—1, on doit retrouver la même situation (six premiers voisins de chaque espèce). Il n'y a donc pas de changements notables du nombre de couples formés de premiers voisins semblables et les théories simples [*cf.* (3)] sont impuissantes à donner une explication du phénomène.

(3) *Voir Phys. Rev.*, **78**, 1950, p. 16.

(*) Séance du 24 novembre 1952.

(1) C. H. Johansson et J. O. Linde, *Ann. Physik*, **82**, 1927, p. 449.
(2) J. O. Linde, *Ann. Physik*, 30, 1937, p. 151.
(3) C. B. Walker, *J. Appl. Phys.*, 23, 1952, p. 118.

Nous signalons que Slater (4) a proposé un schéma d'explication basé sur un changement de périodicité des zones de Brillouin.

Au cours de nos calculs (5) sur les modifications ordre-désordre nous avons toujours admis que les énergies d'interaction W possèdent la symétrie sphérique, c'est-à-dire que la fonction $W(r_i)$ ne dépend que du module r_i (et non de l'orientation) du vecteur joignant les centres des deux nœuds considérés.

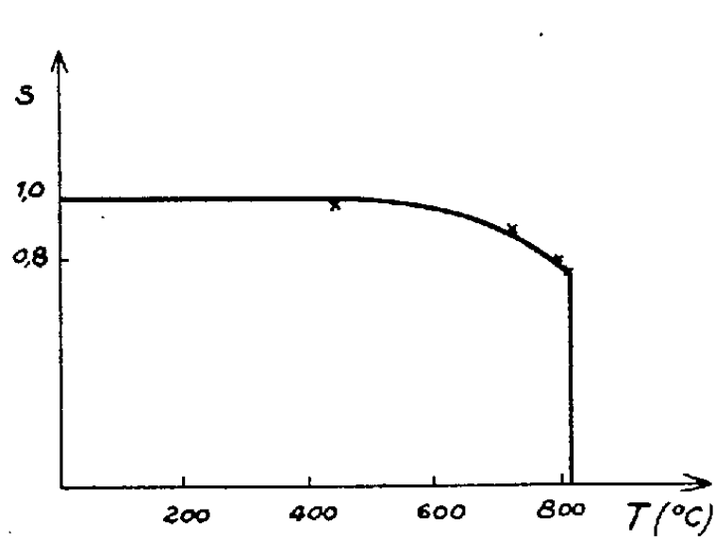


Fig. 1.

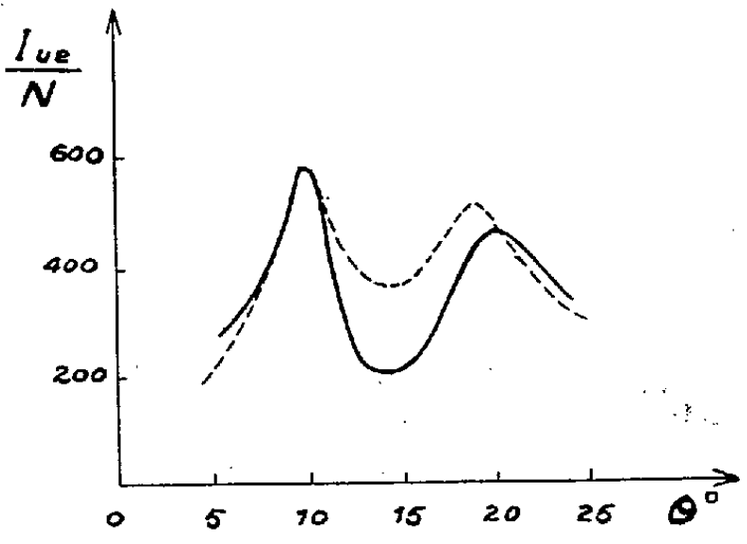


Fig. 2.

Nous pouvons donc obtenir, sans faire aucune hypothèse supplémentaire des « résultats approchés » sur le comportement de l'alliage Cu-Pt en écrivant que les énergies qui interviennent entre premiers voisins, soit d'un même plan (111), soit de deux plans (111) adjacents, sont égales puisque nous savons par ailleurs (3) que le rapport entre les distances l_1 et l_2, relatives aux deux espèces de premiers voisins que nous venons de définir, est toujours compris entre 1,000 et 1,010. Au moyen de la simplification que nous venons de décrire nous avons entrepris l'étude théorique de l'alliage Cu-Pt par la méthode que nous avons déjà employée (5) (nous gardons les mêmes notations), méthode basée sur la théorie d'Yvon (6). Nous nous sommes imposé de trouver des valeurs critiques s_c (*fig.* 1) et T_c du paramètre s d'ordre à grande distance et de la température T conformes aux résultats expérimentaux de Walker(3) : $s_c = 0{,}77$, $T_c = 815°$ C; nous pouvons trouver ces résultats en posant

$$(1)\qquad \begin{cases} W(r_1) = 721 \text{ K degrés C} = 0{,}996.10^{-13} \text{ erg}, \\ W(r_2) = 1206 \text{ K degrés C} = 1{,}665.10^{-13} \text{ erg}. \end{cases}$$

Nous rappelons que $W(r)$ résulte de la différence des énergies entre paires d'atomes semblables et dissemblables à la distance r :

$$W(r) = W_{Cu-Cu}(r) + W_{Pt-Pt}(r) - 2\,W_{Cu-Pt}(r)$$

et que par conséquent il n'est pas interdit de trouver $W(r_2)$ plus grand que

(4) *Phys. Rev.*, **84**, 1951, p. 179.
(5) *Comptes rendus*, **232**, 1951, p. 155 et **234**, 1952, p. 2049.
(6) *Cahiers de Physique*, **28**, 1945, p. 1.

$W(r_1)$. Au moyen des données (1) nous avons pu atteindre les valeurs de la fonction $s = f(T)$; nos résultats sont indiqués par une croix sur la figure 1 où nous avons également représenté la courbe expérimentale de Walker. Pour comparer les conséquences de notre théorie à d'autres résultats expérimentaux nous avons calculé les variations en fonction de l'angle du rayonnement X diffusé par un alliage (polycristallin) dans l'état désordonné et maintenu à 890° C. Nous obtenons ainsi la courbe en trait fort de la figure 2 quand l'intensité diffusée par un atome est exprimée en unité électron; la courbe en pointillé est la courbe expérimentale de Walker.

Nous avons ainsi obtenu un bon accord avec les faits expérimentaux aussi bien pour l'ordre à grande distance que pour l'ordre à petite distance en supposant que la valeur du rapport $W(r_2)$ à $W(r_1)$ est de 1,67.

Un Mémoire détaillé sur ce travail paraîtra dans un autre Recueil.

ÉLECTROMAGNÉTISME. — *Sur le rayonnement longitudinal d'antennes diélectriques*. Note (*) de MM. **Jean-Claude Simon** et **Georges Weill**, présentée par M. Camille Gutton.

Le calcul du champ à l'infini de certaines antennes rayonnant en bout est relié à la variation de vitesse de phase du champ tout le long de l'antenne. Cette Note montre qu'à partir de ce fait on peut trouver le diagramme de l'énergie rayonnée à l'infini, ainsi que l'énergie totale rayonnée. Des vérifications expérimentales ont été effectuées.

Certains types connus d'antennes sont caractérisés par un maximum de rayonnement dans la direction Oz de leur plus grande dimension. Un exemple de ces dernières est le cierge diélectrique. On suppose que cette antenne est équivalente à une ligne de transmission à pertes réparties, sans réflexion à l'extrémité. Ce mode de calcul a le défaut d'admettre qu'une ligne uniforme rayonne. Nous avons tenté au contraire, de relier le rayonnement aux variations des caractéristiques de la ligne résumées par la variation de la vitesse de phase.

Le calcul est effectué pour le cas le plus simple, celui d'une onde plane franchissant une discontinuité d'indice.

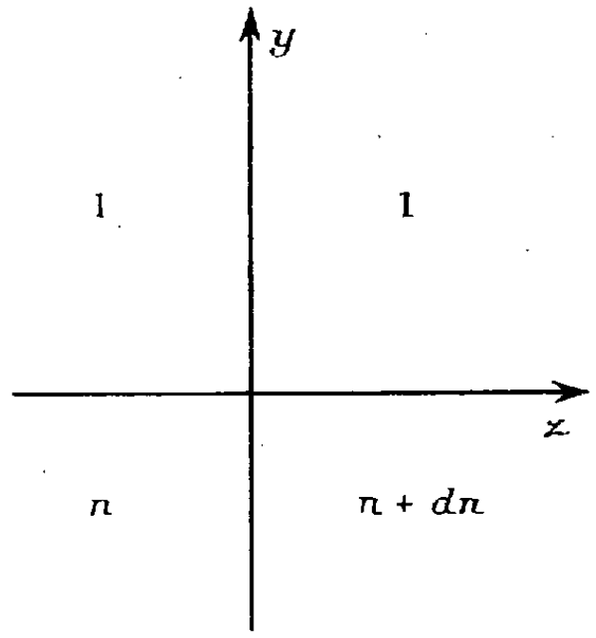
Soient trois axes de coordonnées rectangulaires (Ox, Oy, Oz). Trois milieux d'indices n, $n+dn$ et 1 occupent respectivement les régions ($y<0$, $z<0$), ($y<0$, $z>0$), ($y>0$).

Soit dans le milieu n une onde plane se propageant suivant Oz. Elle est accompagnée dans le milieu 1 par une onde évanescente dite de surface.

Supposons que les ondes transmises et réfléchies aux passages des milieux n et $n+dn$ soient déterminées par les conditions aux limites classiques pour y très grand et négatif.

(*) Séance du 24 novembre 1952.

Nous obtenons dans la région $z > 0$ un régime bien déterminé. Les ondes ($z < 0$) et ($z > 0$) sont raccordées pour $z = 0$ et $y < 0$. Mais elles ne se raccordent pas pour $y < 0$. Pour raccorder ces ondes, nous admettrons qu'il existe des sources fictives qui compensent la différence de ces champs sur le demi-plan $y > 0$, $z = 0$. Ces sources nous permettent de calculer le rayonnement de l'onde dans l'espace $y > 0$ au passage de la discontinuité. L'expérience confirme l'existence d'un tel rayonnement.



Le champ à l'infini se calcule à l'aide des formules classiques d'Huyghens-Kottler. La puissance rayonnée dans la direction faisant l'angle θ avec Oz est donnée par

$$g(\theta) = A\left[\frac{1+\cos\theta}{n^2-\cos^2\theta}\right]^2 \quad (^1),$$

A étant une constante.

La puissance totale rayonnée en fonction du champ incident E_0 est donnée par

$$dw = E_0^2 f(n)\,(dn)^2, \tag{2}$$

avec

$$f(n) = \frac{n(n^4+n^2+2)}{16(n^2-1)^3} \tag{3}$$

ou encore si λ est la longueur d'onde dans le milieu d'indice n ($n\lambda = \lambda_0$)

$$dw = E_0^2 h(\lambda)\,(d\lambda)^2. \tag{2'}$$

Une telle formule nous permet de calculer la résistance de rayonnement d'une onde de surface en fonction de sa variation de vitesse de phase, dans le cas du problème proposé. Nous avons utilisé ces résultats dans le cas d'une variation continue d'indice ou de longueur d'onde. Nous avons ainsi calculé des profils

(1) Le rayonnement est calculé à partir des valeurs du champ à la surface.

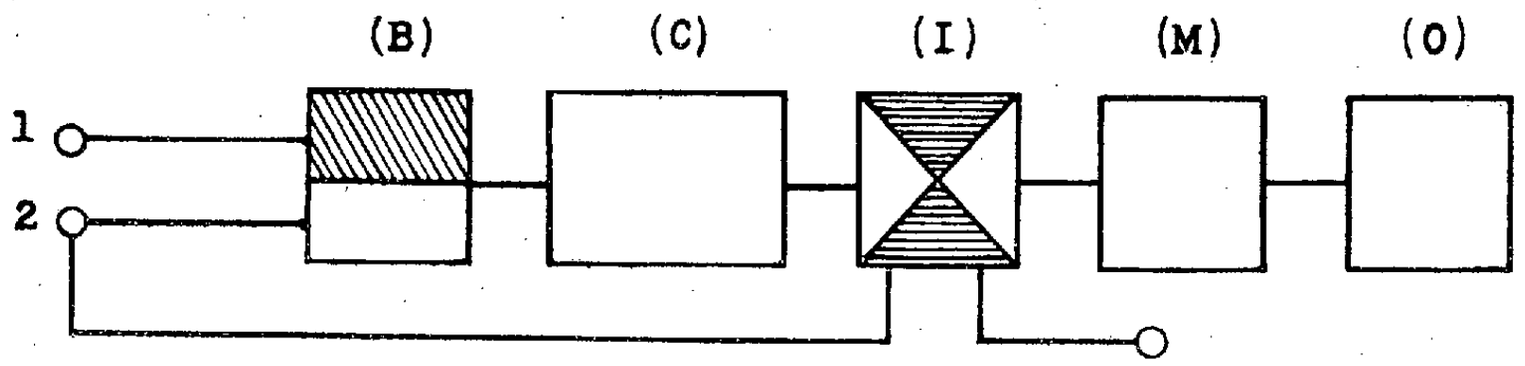
d'antennes diélectriques tels que le champ rayonné soit constant le long de l'antenne. L'expérience vérifie ces calculs.

Le raisonnement peut être étendu au cas où le diélectrique est limité par un cylindre de génératrice parallèle à Oz.

Ces résultats peuvent s'étendre au cas de diélectriques artificiels en considérant la longueur d'onde correspondant à l'onde de surface.

ÉLECTRONIQUE. — *Définition précise d'un intervalle de temps, au moyen d'un dispositif électronique. Remise à zéro automatique. Choix de la fréquence de référence*. Note (*) de M. **André Peuteman**, présentée par M. Gustave Ribaud.

La figure 1 montre la constitution du dispositif : un oscillateur (O), de période T aussi stable que possible (diapason, quartz) fonctionne en permanence, et commande un compteur binaire (C) de n bascules, de capacité 2^n, par l'intermédiaire d'un dispositif de mise en forme (M) et d'un interrupteur électronique à deux voies (I), ouvert au repos. Le compteur (C) est à zéro. L'opérateur provoque la fermeture de (I) à l'aide d'une impulsion, positive (par exemple), appliquée sur la première voie. Quand (C) revient au zéro



après un cycle complet, la dernière bascule de (C) produit le changement d'état d'une bascule auxiliaire (B) qui fournit une impulsion positive à la borne de sortie (1); cette impulsion à front raide marque le départ de l'intervalle de temps avec une grande précision. Simultanément apparaît à la borne de sortie (2) une impulsion négative, sans action sur (I), dont la deuxième voie est connectée à la borne (2). Quand (C) a accompli un deuxième cycle, (B) revient à son état initial : en (2) apparaît une impulsion positive qui définit la fin de l'intervalle de temps τ avec une précision aussi bonne; τ a pour valeur : $\tau = 2^n T$. Cette même impulsion sert à ouvrir (I), qui coupe la connexion de (M) à (C), lequel s'arrête à zéro. L'intervalle de temps est ainsi défini d'une façon purement électronique, *et échappe aux incertitudes d'un contact*. Il n'est d'ailleurs pas nécessaire que (C) parte de zéro.

Choix de la fréquence de référence de l'oscillateur. — Les oscillateurs stables

(*) Séance du 24 novembre 1952.

en fréquence fournissent une tension sinusoïdale $A \sin \omega t$ dont la valeur de pointe est limitée pratiquement à quelques dizaines de volts. La mise en forme (M) fait intervenir un seuil de fonctionnement S (volts), dont la plus grande variation possible au cours du temps τ est ΔS; l'écart correspondant est

$$\Delta\tau_1 = \frac{\Delta S}{A\omega} = T\frac{\Delta S}{2\pi A}.$$

Le fonctionnement discontinu d'une bascule introduit une incertitude $\Delta\theta_1$, soit $n\Delta\theta_1$ pour l'ensemble. L'incertitude relative totale a donc pour valeur

$$\frac{\Delta\tau}{\tau} = \frac{1}{2^n}\left[\frac{\Delta S}{2\pi A} + \frac{n\Delta\theta_1}{T}\right];$$

elle est minima pour la fréquence

$$F_0 = \frac{\operatorname{Log} 2}{2\pi}\,\frac{\Delta S}{A\,\Delta\theta_1}.$$

Pratiquement, on choisira la fréquence $F = 1/2^n\tau$ (n entier) la plus voisine de F_0.

Exemple. — $A = 20$ V, $\Delta S = 0{,}2$ V, $\Delta\theta_1 = 0{,}5$ µs, conduit à $F_0 = 2\,000$ Hz environ, et à une incertitude de 6 µs pour $\tau = 1$ s.

F_0 ne dépend pas de τ. Pour $\tau < 1/2\,000$ s, on sera conduit à supprimer le compteur (C).

SPECTROSCOPIE. — *Les facteurs g spectroscopiques d'alliages ferromagnétiques nickel-cuivre.* Note (*) de M. **A.-Jean-Pierre Meyer**, présentée par M. Gustave Ribaud.

Les expériences de résonance ferromagnétique (1) permettent de mesurer un facteur de Landé spectroscopique des substances étudiées. Les conditions de résonance pour un ellipsoïde de coefficient de champ démagnétisant Nx, Ny, Nz, placé dans un champ statique Hz, et un champ alternatif Hx de fréquence ω, s'écrivent :

$$\omega_0 = g\frac{e}{2mc}\{[Hz + (Ny - Nz)Mz][Hz + (Nx - Nz)Mz]\}^{\frac{1}{2}},$$

formule qui permet de déterminer g, les autres grandeurs étant accessibles à l'expérience. Celle-ci fournit en général des valeurs de g anormalement élevées qui oscillent autour de $g = 2{,}2$. Cependant la facilité des mesures incite à des expériences permettant de reconnaître la dépendance de g d'autres grandeurs. C'est ainsi qu'on a déjà déterminé la variation de g en fonction de la tempéra-

(*) Séance du 24 novembre 1952.

(1) C. Kittel, *Ferromagnétisme et antiferromagnétisme*, 1951, p. 143.

ture pour quelques ferromagnétiques : Fe_3O_4 ([2]), supermalloy et nickel ([3]). Bloembergen indique que le g mesuré de ces deux dernières substances reste constant entre la température ambiante et le point de Curie.

Les alliages nickel-cuivre se prêtent à des expériences du même genre, grâce à la remarquable simplicité de leurs propriétés magnétiques : à teneur croissante en cuivre, moment à saturation et points de Curie décroissent linéairement à zéro pour Cu_3Ni_2, tandis que le coefficient du champ moléculaire reste constant jusqu'à une addition d'environ 50 % Cu (4, 5). Il s'ensuit que la mesure de g effectuée à température ambiante sur des alliages à différents points de Curie devait fournir des résultats semblables à ceux de Bloembergen.

Les expériences ont porté sur une série d'alliages, préparés à partir de nickel du carbonyle et de cuivre électrolytique, laminés en feuilles d'épaisseur 0,05 à 0,1 mm. La résonance est déterminée par la variation d'absorption d'énergie hf de l'échantillon soumis dans son plan à un champ alternatif hf de fréquence fixe et à un champ statique perpendiculaire d'intensité variable. Les échantillons, sous forme de disques plats, sont soudés à un endroit convenablement choisi dans une cavité résonante maintenue entre les pièces polaires d'un électroaimant; l'énergie hf réfléchie par la cavité est mesurée en fonction de Hz. g est calculé à partir de la formule ci-dessus qui dans le cas d'un disque plan devient

$$\omega_0 = \frac{ge}{2mc}\{Hz[Hz + (Ny - Nz)Mz]\}^{\frac{1}{2}}.$$

Les résultats sont rassemblés dans le tableau ci-dessous :

% at.Cu.	Θ° K.	T° K.	$\frac{T}{\Theta}$.	$\frac{\omega_0}{2\pi}$ Mc.	H_r.	$4\pi Mz$.	$\frac{Ny - Nz}{4\pi}$.	g.
0 (Ni).....	631	294	0,47	9293	1270	6000	0,975	2,21
10,0.....	522	295	0,57	9340	1460 1550	4630	0,99 0,98	2,24 2,16
12,6.....	477	295	0,62	9326	1560	4280	0,99	2,22
18,0.....	441	295	0,67	9289	1750	3350	0,975	2,22
24,0.....	409	295	0,72	9337	2050 1970	2480	0,99 0,985	2,20 2,26
28,0.....	336	295	0,88	9335	2400 2400	1470	0,98 0,98	2,20 2,20

A côté de la composition des alliages on indique : les points de Curie, la température à laquelle est effectuée la mesure, le rapport T/Θ, la fréquence

([2]) L. R. Bichford, *Phys. Rev.*, **78**, 1950, p. 449.
([3]) N. Bloembergen, *Phys. Rev.*, **78**, 1950, p. 572.

indiquées de $4\pi M_z$ sont empruntées à Alder (4), $(N_y - N_z)/4\pi$ est calculé d'après des formules données par Osborn (5). Le second chiffre indiqué pour certains alliages dans la colonne des résultats concerne une seconde mesure effectuée sur un autre disque. La précision des mesures est de l'ordre de 3 %, l'incertitude sur la valeur de $4\pi M_z$ étant assez élevée.

L'examen des résultats permet de conclure, à la précision des mesures près, à la constance de g dans le domaine des alliages étudiés. Considérées comme mesures effectuées sur du nickel, à valeur croissante de T/Θ, ce résultat concorde avec celui de Bloembergen : le facteur de Landé du nickel observé par résonance ferromagnétique semble être constant pour un intervalle de T/Θ compris entre 0,5 et 1.

OPTIQUE CRISTALLINE. — *Polarisation de la fluorescence du diphényle et du tétraphényl* 1144-*butadiène* 13. Note de M. **Paul Pesteil**, présentée par M. Jean Cabannes.

L'étude de la fluorescence émise par des cristaux de stilbène, d'anthracène (1) et de naphtalène (2) a montré que l'oscillateur vibre parallèlement au petit axe M de ces molécules. L'objet de cette Note concerne des recherches analogues effectuées sur des monocristaux de diphényle ($C_6H_5—C_6H_5$) et de tétraphényl 1144-butadiène 13 (TPB)[$(C_6H_5)_2=C=CH—CH=C=(C_6H_5)_2$]. Les échantillons ont été préparés et cristallisés par M. L. Pichat.

La molécule de diphényle diffère de celle du naphtalène en ce que les deux noyaux constituants sont reliés par une liaison simple parallèle à la longueur de la molécule. Le spectre d'émission trouvé, situé entre 3050 Å et 3800 Å est voisin de celui du naphtalène; j'ai vérifié, en examinant l'absorption ultraviolette, que le cristal étudié ne contenait pas de trace de cette substance ni de fluorène.

L'orientation de la molécule de diphényle dans le cristal n'a pas été déterminée aussi exactement que pour le cas du naphtalène. Cependant des travaux de Dhar (3) et de Clark (4), on peut conclure que la maille est très voisine de celle du naphtalène et adopter le même tableau des carrés des cosinus directeurs donné par ailleurs (2). J'ai trouvé les rapports suivants entre du champ alternatif, l'intensité du champ statique de résonance. Les valeurs

(4) *Thèse*, Zurich, 1916.
(5) J. A. Osborn, *Phys. Rev.*, 67, 1945, p. 351.

(1) Pesteil, *Comptes rendus*, 234, 1952, p. 2532.
(2) Pesteil, *Comptes rendus*, 235, 1952, p. 150.
(3) *Indian Journ. Phys.*, 7, 1932, p. 43.
(4) *J. Amer. Chem. soc.*, 53, 1931, p. 167.

les intensités des vibrations de fluorescence parallèles aux trois axes de l'ellipsoïde, p, m, g :

$$\frac{I_g}{I_p} = 6,5, \qquad \frac{I_g}{I_m} = 4,0, \qquad \frac{I_m}{I_p} = 1,5.$$

La comparaison de ces rapports avec le tableau des carrés des cosinus directeurs montre que *la vibration est dirigée suivant la longueur* L *de la molécule*.

Il n'existe, à ma connaissance, aucune donnée sur la structure de la maille de TPB. Une étude sommaire des propriétés optiques m'a cependant montré que le cristal est biaxe positif. Un échantillon taillé convenablement m'a donné les résultats suivants :

$$\frac{I_g}{I_m} = 2,36, \qquad \frac{I_g}{I_p} = 3,75, \qquad \frac{I_m}{I_p} = 1,4.$$

La polarisation relativement élevée (*la même pour tout le spectre* qui s'étend de 4000 Å à 4800 Å) montre que pour le TPB, comme pour les autres molécules étudiées, le vibrateur est très anisotrope.

PHYSIQUE CORPUSCULAIRE. — *Sur l'emploi du compteur Rosenblum avec les sélecteurs à coïncidences à temps très courts.* Note (*) de MM. **Théo Muller**, **Raymond Richert** et **Serge Gorodetzky**, présentée par M. Jean Becquerel.

Lorsque l'on cherche à faire fonctionner des sélecteurs à coïncidences à temps très court, on sait que la difficulté ne provient plus uniquement du sélecteur lui-même, mais aussi du dispositif émetteur d'impulsions. Il faut, en particulier, que les impulsions soient suffisamment brèves vis-à-vis du temps de résolution du sélecteur. Lorsque le temps de résolution du sélecteur est très court, soit par exemple 10^{-9} seconde, il devient assez difficile de produire des impulsions assez brèves; pratiquement, on se sert de photomultiplicateurs précédés ou non de dispositifs scintillants. Mais même dans ce cas, la chose n'est pas toujours très facile et l'on peut souvent se demander dans un circuit complet quelle est la part du pouvoir séparateur qui incombe au sélecteur lui-même et quelle est la part qui incombe au producteur d'impulsions. Cela est si vrai que des dispositifs ont été imaginés et réalisés qui permettent d'obtenir électriquement et mécaniquement des impulsions très brèves. Ainsi un dispositif à contact mécanique dans du mercure a été réalisé par Garwin (1). Un tel dispo-

(*) Séance du 24 novembre 1952.

(1) *Rev. Sc. Instr.*, **21**, 1950, p. 903.

sitif est de la plus grande utilité pour l'essai de sélecteurs à coïncidences très rapides.

Nous avons pensé qu'il serait intéressant d'essayer comme producteur d'impulsions, un compteur Rosenblum. En effet, ce compteur est facile à construire et de fonctionnement aisé. On pouvait espérer un temps de montée d'impulsions assez court. Conor (2) indique un temps de montée inférieur à 10^{-7} s. Nous avons placé un compteur Rosenblum devant un sélecteur à coïncidences du type Bay (3) qui, comme on le sait, est parmi les sélecteurs les plus rapides existants à l'heure actuelle. L'ensemble fonctionne parfaitement. Une seule et même impulsion est envoyée, d'une part, dans l'un des canaux du sélecteur, d'autre part, dans un autre canal avec un certain retard. On peut faire varier le retard par le procédé classique des lignes à retard. On obtient ainsi la courbe du nombre d'impulsions de coïncidences en fonction du retard.

La considération de cette courbe indique pour l'ensemble du circuit un temps de résolution de 10^{-10} s.

Le sélecteur du type Bay a un temps de résolution estimé par Bay lui-même à 3.10^{-10} s dans les meilleures conditions.

Nous obtenons pour l'ensemble compteur Rosenblum plus circuit à coïncidence un temps de résolution de 10^{-10} s. On peut dire, par conséquent, que le temps de montée de l'impulsion du compteur Rosenblum est plus court que 10^{-10} s. Ainsi se trouve, grâce à l'emploi du sélecteur de Bay, repoussées de trois ordres de grandeur, les limites fixées par Conor. Il semble aussi que l'excellent circuit de Bay est encore meilleur que ne le pense son auteur. Inversement, on montre que le compteur Rosenblum est un générateur d'impulsions des plus précieux dans l'essai des sélecteurs d'impulsions.

RAYONS COSMIQUES. — *Sur le rapport du nombre de mésons au nombre de particules lourdes enregistrées dans des émulsions nucléaires exposées au Puy-de-Dôme*. Note de Mme **Simone Desprez-Rebaud**, présentée par M. Eugène Darmois.

Dans les plaques exposées au Puy-de-Dôme et en se limitant à une énergie de 120 MeV pour un proton, nous avons pu identifier 909 particules lourdes pour seulement 18 mésons, soit une proportion d'environ 2 %.

Dans une précédente Note (1) nous avons expliqué les conditions expérimentales d'exposition des plaques. Ainsi que nous l'avons indiqué, nous avons

(2) *Proc. Phys. Soc.*, B 64, 1951, p. 30.

(3) *Rev. Sc. Instr.*, 22, 1951, p. 397.

(1) M. Morand et S. Desprez-Rebaud, *Comptes rendus*, 235, 1952, p. 294.

supposé que les traces isolées observées étaient pratiquement dues à des protons. Dans le présent travail nous avons repris les traces nous ayant permis d'obtenir le spectre énergétique des particules enregistrées et déterminé, dans les cas favorables, la nature de ces particules.

Le parcours minimum d'une particule traversant l'émulsion est l'épaisseur de l'émulsion vierge, soit 450 μ. En fait, nous n'avons pu compter les grains que sur les traces faisant avec le plan de l'émulsion un angle inférieur à 65°. Pour de telles traces, le parcours visible est $450/\cos 25° = 496{,}5 \sim 500$ μ.

Pour les traces ayant un parcours dans l'émulsion : $450 < R(\mu) < 500$, il n'est pas possible de déterminer de façon objective la granulation. Les traces sont peu inclinées par rapport à l'axe de visée du microscope et les grains ne peuvent être reconnus individuellement. Suivant l'énergie de la partieule et son parcours dans l'émulsion, la variation de granulation entre les deux extrémités de la trace permettra de reconnaître plus ou moins facilement un méson d'une particule lourde.

1. *Cas des traces noires.* — Les traces noires sont celles qui se présentent dans la plaque comme un trait d'argent continu. D'après les courbes de densité de grains en fonction du parcours résiduel que nous avons pu construire, un méson est comptable à partir de 300 μ de sa fin. Les 131 traces noires observées traversant l'émulsion ont un parcours résiduel d'au moins 500 μ, ce ne sont donc certainement pas des mésons.

2. *Cas des traces comptables.* — Pour ces traces, la variation de la densité de grains permettra de reconnaître facilement la nature de la particule si le parcours visible est long. Il devra être d'autant plus long que la particule sera plus énergique.

Si h est l'épaisseur de l'émission vierge, β l'angle de la particule avec le plan de l'émulsion, son parcours visible est donné par $R = h/\sin\beta$.

En fonction de l'énergie de la particule, nous avons calculé l'angle β de façon que la longueur du parcours visible dans l'émulsion permette de déterminer la nature de la trace observée. Nous avons pris comme critère pour l'identification d'un méson une variation de la granulation de 10 grains sur des sections de 150 μ prises aux deux extrémités de la trace.

Compte tenu de ces observations, nous avons reconnu 18 mésons pour 778 particules lourdes auxquelles il y a lieu d'ajouter les 131 traces noires dont nous avons parlé plus haut, ce qui nous donne : 18 *mésons pour* 909 *particules lourdes, soit environ* 2 %.

Cette proportion est en bon accord avec les résultats classiques. Nous pouvons, en effet, déduire par extrapolation des valeurs de Wilson ([2]) ([4]) confirmées par Whittemore et Shutt ([3]) une valeur maximum de l'intensité,

([2]) *Nature*, **158**, 1946, p. 415.
([3]) *Phys. Rev.*, **86**, 1952, p. 940.
([4]) B. Rossi, *Rev. Mod. Phys.*, **20**, 1948, p. 540.

au niveau de la mer, des mésons d'énergie inférieure à 13 MeV et en effectuant la correction d'altitude, nous obtenons une valeur :

$$I_M \sim 2,99.10^{-6}\ cm^{-2}\ sec^{-1}\ sterad^{-1}.$$

Or, d'après nos résultats expérimentaux, l'intensité des traces isolées détectées est de $1,09.10^{-4}\ cm^{-2}\ sec^{-1}\ sterad^{-1}$, ce qui donne une intensité de particules lourdes de

$$I_P \sim 1,06.10^{-4}\ cm^{-2}\ sec^{-1}\ sterad^{-1},$$

d'où $I_M/I_P =$ *au maximum* 2,8 %.

CHIMIE PHYSIQUE. — *Sur un procédé d'étude des réactions entre gaz et solides. Application au système fer-carbone-hydrogène.* Note (*) de MM. **Louis Beaujard, Gaston Collette** et **Léon Jacqué**, présentée par M. Pierre Chevenard.

Une méthode pour étudier l'équilibre et la vitesse des réactions à température élevée, entre phases solides et gazeuses peut être basée sur la technique de la pesée continue. Appliquée au système fer-carbone-hydrogène, elle a permis de recouper les constantes d'équilibre calculées par Austin et Day.

La technique mise au point pour l'étude de l'équilibre et de la vitesse de réaction intervenant à haute température dans le système fer-carbone-hydrogène est susceptible d'une large généralisation pour l'étude des réactions entre phases solides et gazeuses.

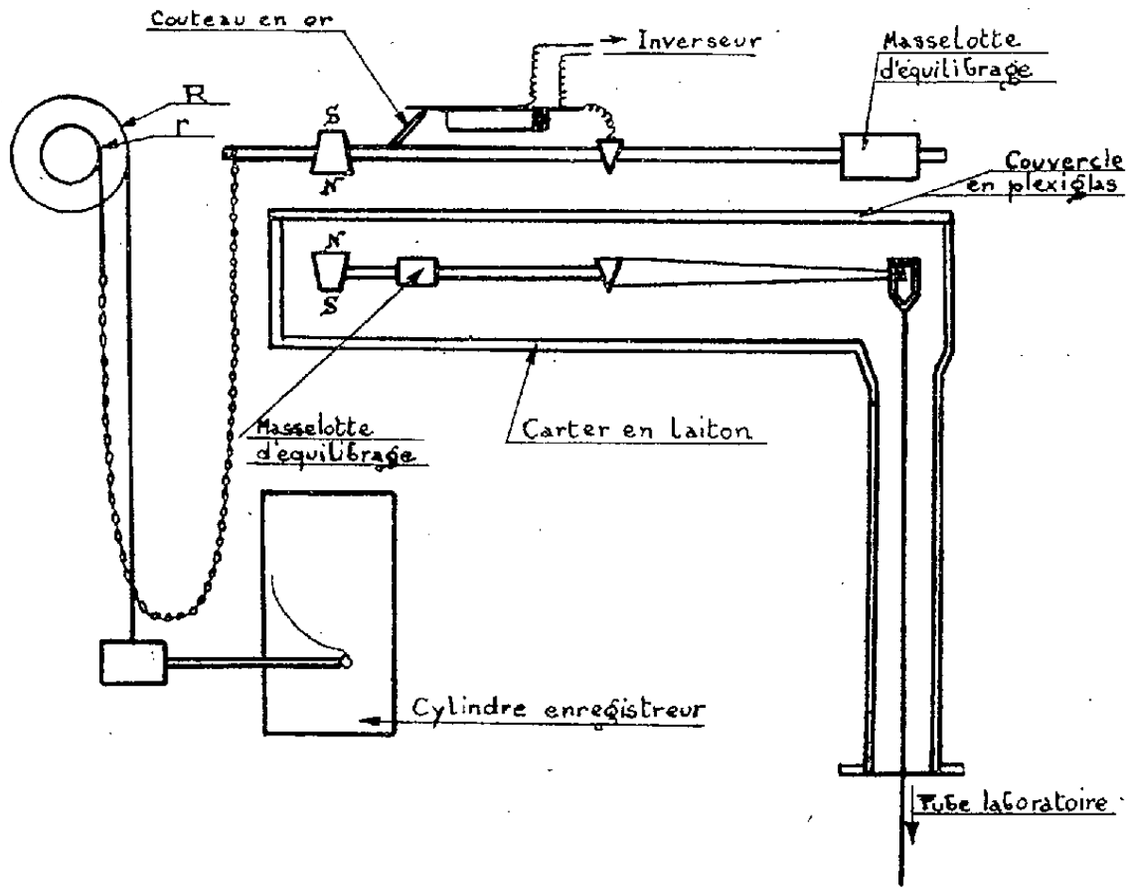
L'échantillon est suspendu dans une enceinte close chauffée extérieurement par un four. Un mélange gazeux connu y circule. Il a une composition déterminée, produite par le mélange des gaz composants, dont le débit est mesuré pour chacun d'eux par des débitmètres à tubes capillaires, immergés dans des thermostats réglés à $30° \pm 0°,2$. La variation de poids de l'échantillon est enregistrée de façon continue grâce à une liaison magnétique entre un fléau interne auquel l'échantillon est accroché et un fléau externe d'une balance enregistreuse (*figure*).

L'étude de l'équilibre fer-carbone-hydrogène a été effectuée sur des plaquettes de fer technique ($115 \times 20 \times 0,5$mm), de composition suivante : C, 0,03 %; Mn, 0,28 %; Si, 0,03 %; S, 0,016 %; P, 0,011 %; Cr, 0,03 %; Cu, 0,069 % dans un mélange d'hydrogène (purifié par un train classique) et de méthane pur à 99 % molécules.

Le passage du point de Curie lors de la montée en température, qui se traduit par un crochet dans l'enregistrement du poids, permet de contrôler la fidélité du couple placé très près de l'échantillon.

(*) Séance du 24 novembre 1952.

Celui-ci est tout d'abord carburé à la teneur voulue en carbone, calculée par son gain de poids, par passage d'un mélange carburant. Nous nous sommes assurés que cette méthode était correcte, et que la variation de poids n'était due qu'au carbone réparti uniformément dans l'échantillon. Le mélange



gazeux est ensuite ajusté jusqu'à constance de poids de l'éprouvette. La sensibilité de la méthode est montrée par une variation de poids décelable lorsque la proportion de méthane dans le mélange gazeux diffère de 0,015 % en valeur absolue de celle qui correspond à l'équilibre.

Le tableau I reproduit quelques valeurs que nous avons obtenues pour la constante d'équilibre K de la réaction

$$\text{C dissous dans Fe}\gamma + 2\,H_2 \rightleftharpoons Fe + CH_4, \qquad K = \frac{P^2_{H_2}}{P_{CH_4}}.$$

L'erreur relative sur ces déterminations est de l'ordre de 5 %.

C_E sont les valeurs expérimentales :

K_a sont les valeurs déduites du diagramme établi par Austin et Day (1).

$E_r = (C_E - K_a)/K_a$ est l'écart relatif de nos mesures par rapport à celles des auteurs précités.

Tube laboratoire en silice.

Carbone (%).	Température (°C).	C_E.	K_a.	E_r %.
0,225	900	292	252	+ 16
0,35	925	205	208	— 1,4
0,475	946	183	191	— 4,3
0,61	1022	276	285	— 12,5
0,85	1008	168	182	— 7,8
1,014	965	91	104	— 6,7

Nos mesures se poursuivent dans le sens d'une exploration plus complète en fonction de la température. Elles apportent dès à présent une confirmation satisfaisante, avec des valeurs cependant un peu inférieures, des constantes calculées par Austin et Day à partir de celles des équilibres :

$$\begin{aligned} \text{C dissous dans le fer } \gamma + CO_2 &\rightleftharpoons 2\,CO + \text{fer } \gamma, \\ 2\,CO &\rightleftharpoons CO_2 + C, \\ C + 2\,H_2 &\rightleftharpoons CH_4. \end{aligned}$$

Elles répondent d'ailleurs au vœu exprimé par ces auteurs qui avaient recouru au calcul, faute d'un nombre suffisant de déterminations directes assez précises (1).

DISTILLATION DE PRÉCISION. — *Contribution à l'étude de l'effet du prélèvement intermittent sur l'efficacité des colonnes à rectifier.* Note (*) de M. **René Romanet**, présentée par M. Paul Pascal.

Les têtes de colonne à rectifier peuvent se classer ainsi :

I. Têtes de colonne à prélèvement continu :

a. sur la phase vapeur : tête de colonne à condensation partielle;

b. sur la phase liquide : tête de colonne à condensation totale.

II. Têtes de colonne à prélèvement discontinu :

a. sur la phase vapeur;

b. sur la phase liquide.

Dans le cas du prélèvement discontinu la totalité de la vapeur parvenant à la tête de colonne est prélevée comme distillat (sous forme de vapeur dans le premier cas, après condensation dans le second cas) pendant un intervalle de temps t; la colonne est ensuite laissée à reflux total pendant le temps T; après quoi le même cycle recommence. Pratiquement les têtes de colonne pour prélèvement intermittent sont toujours à commande électromagnétique.

L'alimentation de la colonne étant supposée constante, le rapport $(T + t)/t$ est théoriquement égal au rapport de rétrogradation $V/D = (L + D)/D$. En fait le rapport de rétrogradation effectif est légèrement différent du rapport $(T + t)/t$, la différence entre les deux valeurs étant fonction de la longueur du parcours effectué par le clapet-vanne (dans le cas du prélèvement sur la phase vapeur) ou par le canal mobile d'écoulement (dans le cas du prélèvement sur la phase liquide), du réglage du solénoïde de commande par rapport à son armature mobile, de la quantité de liquide retenu dans la tête de colonne en fonctionnement normal, de l'importance de la condensation produite à la partie inférieure de la tête de colonne par le reflux liquide refroidi à une température inférieure à celle de la vapeur entrant dans la tête de colonne.

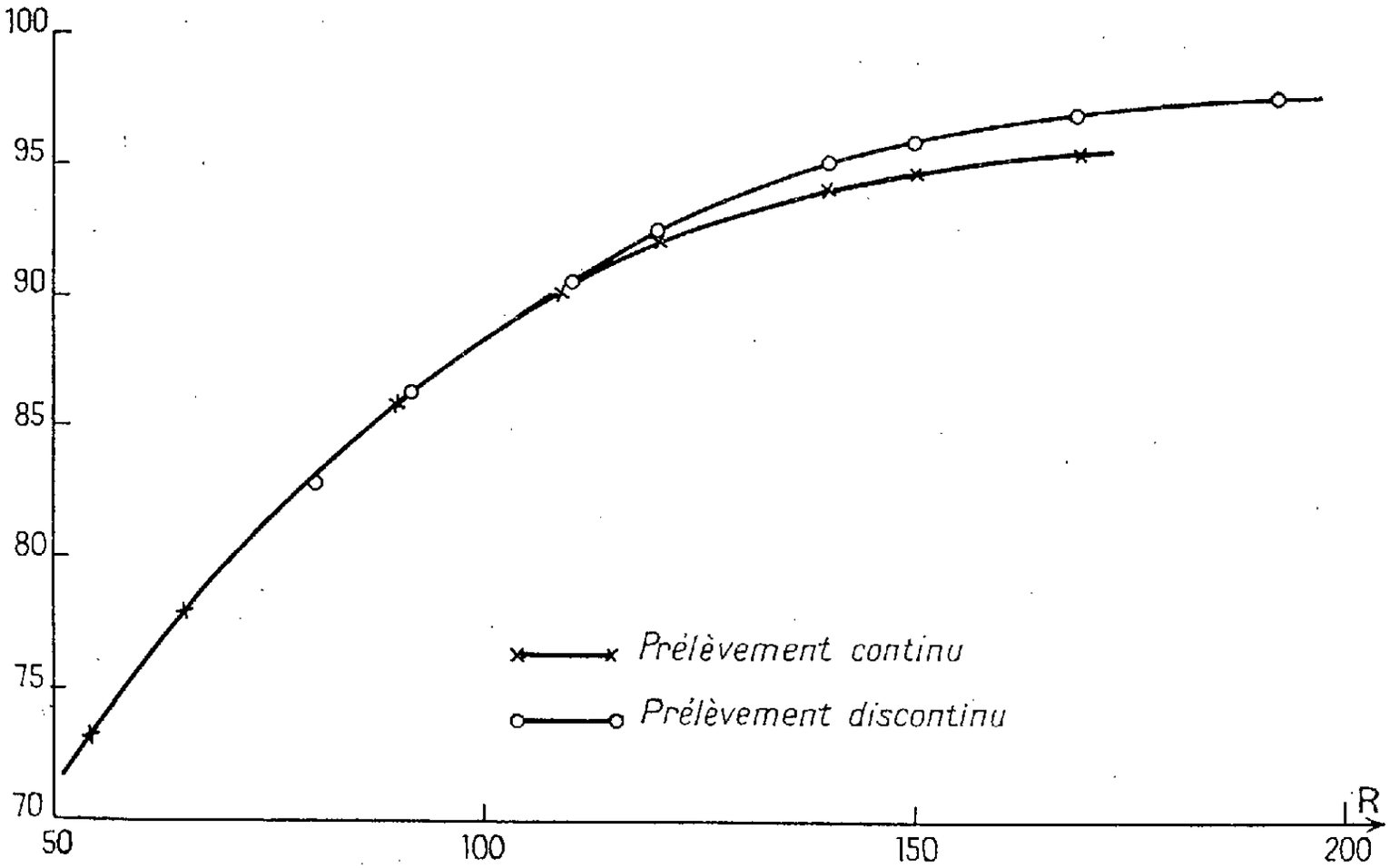
(1) *Controlled Atmospheres,* A. S. M. Édition, 1942, Cleveland, Ohio, U.S.A., p. 20 à 56.

(*) Séance du 24 novembre 1952.

Il a été signalé que dans certains cas le prélèvement intermittent donnait de meilleurs résultats que le prélèvement continu (1), (2), (3), mais aucune étude systématique n'a été faite sur ce sujet.

L'étude théorique de la question se heurte à des difficultés mathématiques considérables, même dans le cas le plus simple d'un mélange binaire se comportant comme une solution idéale; elle n'a jamais été faite.

L'étude expérimentale systématique elle-même n'a pas été entreprise; le présent travail a pour but de combler partiellement cette lacune.



L'installation de distillation de précision utilisée à cet effet est celle précédemment décrite (3), (4). Le mélange utilisé dans toutes les distillations est constitué par 50 % de *d*-citronellol et 50 % de géraniol. La pression en tête de colonne est maintenue constante $P = 1 \pm 1/150$ mm et est la même dans toutes les expériences. La vitesse d'alimentation de la colonne est maintenue constante $V = 0{,}28$ mole/h (section de la colonne 3 cm²) et est la même dans toutes les expériences; ceci correspond à un volume liquide mesuré à 15° de l'ordre de 51 cm³/h. Le fonctionnement de la colonne est adiabatique; l'engorgement de la colonne est systématiquement réalisé au début de toutes les expériences afin de s'assurer que tout le garnissage a été mouillé; puis, la vitesse d'alimentation de la colonne étant ramenée à la valeur

(1) W. J. Podbielniak, *Anal. Chem.*, 13, 1941, p. 639.
(2) D. M. Oldroyd et L. A. Goldblatt, *Anal. Chem.*, 18, 1946, p. 761-763.
(3) R. Romanet, *Comptes rendus*, **230**, 1950, p. 1064.
(4) R. Romanet, *Comptes rendus*, **235**, 1952, p. 412.

ci-dessus, la colonne est laissée 24 h à reflux total, temps au bout duquel elle a pratiquement atteint un régime de fonctionnement stationnaire.

Pour les distillations avec prélèvement continu du distillat on utilise une tête de colonne à condensation totale avec réglage manuel du rapport de rétrogradation (prélèvement sur la phase liquide). Pour les distillations avec prélèvement discontinu, on utilise une tête de colonne à commande électromagnétique, le prélèvement étant effectué sur la phase vapeur; le condenseur est alimenté à vitesse constante avec de l'eau à température constante. Indiquons à titre d'exemple que dans les conditions expérimentales réalisées la valeur moyenne de chaque prélèvement est $a = 1/40$ cm^3 pour $t = 1{,}5$ sec.

L'efficacité de la colonne est déterminée par la concentration en composé le plus volatil (*d*-citronellol) de la fraction distillée comprise entre 40 et 45 % de la quantité totale en distillation (4).

La figure donne l'efficacité de la colonne ainsi définie en fonction du rapport de rétrogradation effectif dans le cas du prélèvement continu et dans le cas du prélèvement discontinu, avec $a = 1/6$ cm^3 dans ce dernier cas.

L'examen de cette figure montre que l'intérêt du prélèvement intermittent n'est certain que pour les colonnes à grande efficacité utilisées avec des rapports de rétrogradation élevés.

ÉLECTROCHIMIE. — *Sur le calcul des charges électriques formées à l'intérieur des solutions dans des régions de très forte discontinuité du champ électrique.* Note (*) de M. **José Lima-de-Faria**, présentée par M. Louis de Broglie.

L'auteur refait le calcul de Kohlrausch sur les valeurs des charges électriques formées à l'intérieur des solutions dans des régions de très forte discontinuité du champ électrique et, en introduisant la constante diélectrique de l'eau, trouve des valeurs beaucoup plus grandes que celles prévues par Kohlrausch. Ce résultat est d'accord avec le mécanisme de l'accélération de réactions chimiques sous l'action d'un champ électrique.

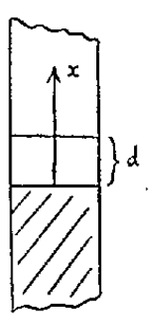
Considérons un tube de verre placé verticalement et contenant deux électrolytes différents séparés par une certaine région de contact d'épaisseur *d* (voir *figure*). Si les deux électrolytes ont des conductivités différentes et si le tube est traversé par un courant, alors, d'après l'équation de Poisson, une charge électrique doit apparaître dans la région de transition des deux électrolytes.

En 1897 Kohlrausch (1) a fait le calcul de cette charge supposant réalisées les conditions optima de discontinuité. Il a admis que l'électrolyte de plus grande conductivité était un électrolyte fort, concentré, et que l'électrolyte mauvais conducteur était de l'eau. D'autre part il a supposé que : *a*. le champ dans la

(*) Séance du 24 novembre 1952.

(1) *Ann. Phys. Chim.*, 62, 1897, p. 209.

région de l'eau était de 30 V/cm; *b*. dans l'électrolyte bon conducteur le champ était nul; *c*. la transition d'un électrolyte à l'autre s'effectuait dans une région de 1 cm d'épaisseur. Si l'on considère l'électrolyte composé par les ions



A^+ et B^-, et représentant par α et ρ les concentrations par unité de volume exprimées en unités électrostatiques de charge, respectivement des ions A^+ et B^-, l'application de l'équation de Poisson telle qu'elle a été utilisée par Kohlrausch nous donne

$$\alpha - \rho = -\frac{1}{4\pi}\frac{\partial^2 V}{\partial x^2}. \tag{1}$$

Comme la variation du champ se fait de 30 V/cm (0,1 en u. e. s.) à 0 V/cm, Kohlrausch a fait $-(\partial^2 V/\partial x^2) = 0,1$, et il vient donc de (1),

$$\alpha - \rho = \frac{0,1}{4\pi} = 0,008 \text{ u. e. s.}$$

par unité de volume. La charge totale qui existerait dans la colonne, si le tube avait la section de 1 cm^2 serait donc de 0,008 u. e. s.. Si la discontinuité se faisait, non dans l'épaisseur de 1 cm mais dans l'épaisseur de 1/1000 mm alors $-(\partial^2 V/\partial x^2) = 10^3$ et $\alpha - \rho = 10^3/4\pi = 80$ u. e. s.. La charge totale serait $80.v = 80.10^{-4} = 0,008$ u. e. s. (v étant le volume). On voit que d'après ce calcul la charge totale ne dépend pas de l'épaisseur de la région de transition.

Voyons maintenant les remarques qu'on doit faire sur le calcul de Kohlrausch. $\alpha - \rho$ étant la différence entre les concentrations des ions par unités de volume exprimées en unités électrostatiques de charge de l'électrolyte concentré, cette différence représente la densité de charge vraie (et non pas la densité de charge libre) et dans ces conditions on doit faire intervenir la constante diélectrique K du milieu et l'équation de Poisson s'écrira

$$\alpha - \rho = \frac{1}{4\pi}\operatorname{div} K\vec{E}. \tag{2}$$

Pour faire le calcul de la charge, admettons que K et $\vec{E}$ (champ électrique) sont des fonctions de point et que par raison de symétrie variant seulement avec la direction x (voir *figure*). La section du tube étant de 1 cm^2, la charge

totale R sera

$$(3)\qquad R=\iiint_{v}(\alpha-\rho)\,dv=\frac{1}{4\pi}\int_{0}^{d}\frac{d}{dx}K(x)E(x)\,dx=\frac{1}{4\pi}[K(x)E(x)]_{0}^{d}$$
$$=\frac{1}{4\pi}[K(d)E(d)-K(o)E(o)].$$

Puisque $E(o)=o$, $K(d)=8o$, et que $E(d)$ en régime stationnaire ou quasi stationnaire est égal à $-(\partial V/\partial x)=o,1$, on obtient pour la charge totale R, $R=o,1/4\pi\times 8o=o,64$ u. e. s. On voit que la charge totale est indépendante non seulement de l'épaisseur de la région de transition mais aussi de la manière dont varient la constante diélectrique et le champ à l'intérieur de cette région de transition.

Dans le cas encore plus favorable et facile à réaliser, d'une discontinuité de 100 V/cm à o V/cm, la charge serait de 2,2 u. e. s. Cette valeur est beaucoup plus grande que celle prévue par Kohlrausch (o,oo8 u. e. s.)([2]) et déjà très proche des densités maxima de charges obtenues par les moyens électrostatiques (environ 8 u. e. s./cm^2).

Les charges ainsi formées correspondent à des quantités d'ions libres très faibles par rapport à la quantité totale des ions dans la solution; mais elles peuvent cependant par ces effets électrostatiques changer localement et d'une façon considérable la concentration de l'électrolyte diluée environnant, dans le cas des expériences où l'on remplace l'eau par une solution très diluée d'un autre électrolyte ([3]).

PHYSIQUE MACROMOLÉCULAIRE. — *Sur la théorie de l'effet Maxwell : effet des fluctuations de forme de la molécule. Application à la détermination de la structure des acides nucléiques en solution.* Note ([*]) de M. **Roger Cerf**, présentée par M. Gustave Ribaud.

On sait qu'il existe deux types simples d'effet Maxwell. *L'effet d'orientation* ([1]) (particules rigides allongées) est dû à une orientation préférentielle de ces molécules sous l'action combinée du champ hydrodynamique et de l'agitation thermique. (Θ' = temps d'établissement de l'orientation préférentielle.) *L'effet de déformation* est dû aux tensions hydrodynamiques qui s'exercent sur une particule déformable. Ce dernier effet se présente à l'*état pur* pour une solution de sphères élastiques (Θ = temps de relaxation de déformation de la

([2]) Kohlrausch a dû ne pas introduire la constante diélectrique de l'eau dans son calcul probablement à cause de l'incertitude qui régnait à l'époque sur sa valeur.

([3]) *Voir* la Note précédente et *Comptes rendus*, **234**, 1952, p. 948.

([*]) **Séance du** 24 novembre 1952.

([1]) A. Péterlin et H. A. Stuart, *Zeits. f. Phys.*, **112**, 1939, p. 1.

sphère) lorsque $\Theta' > 3\Theta$. Dans ce cas, étudié antérieurement par l'auteur (2), l'influence de l'agitation thermique est négligeable en première approximation.

Les deux formules pour $(\mathrm{tg}\alpha)_0$ (lignes neutres) se mettent sous une forme remarquable commune (où l'on pose respectivement $\tau = \Theta'$ et $\tau = \Theta$) :

$$\frac{1}{2(\mathrm{tg}\alpha)_0} = \frac{1}{\tau}. \tag{1}$$

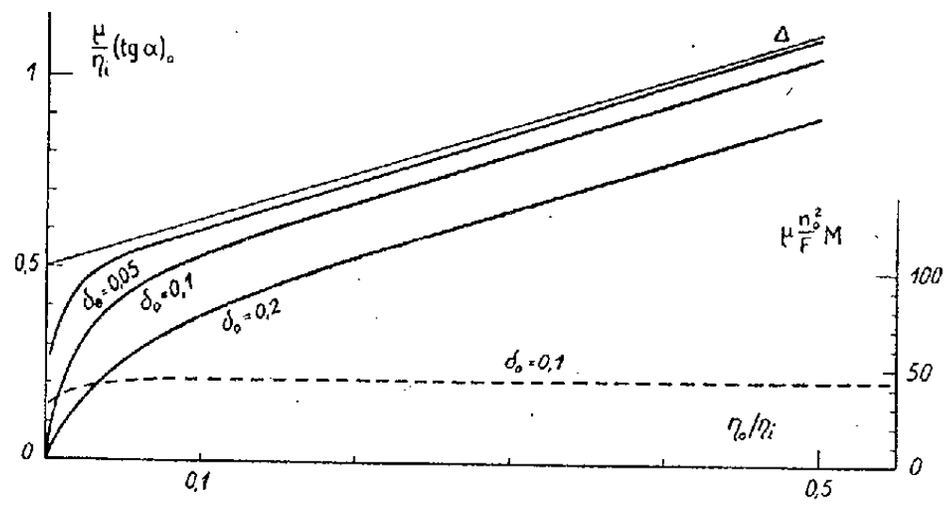
Il suffit pour obtenir ce dernier résultat de porter la valeur de Θ (3) dans l'expression de $(\mathrm{tg}\alpha)_0$ pour la sphère élastique (2).

Appliquant une méthode précédemment décrite (3), j'ai généralisé mes résultats antérieurs (2) et calculé l'effet Maxwell présenté par une solution de sphères élastiques dans le cas général où l'effet des fluctuations de forme de la molécule n'est pas négligeable, Θ et Θ' n'étant plus liés par l'inégalité précédente. Les résultats sont les suivants :

I. Lignes neutres. — On a

$$\frac{1}{2(\mathrm{tg}\alpha)_0} = \frac{1}{\Theta} + \frac{1}{\Theta'}. \tag{2}$$

La figure représente les courbes donnant $\mu(\mathrm{tg}\alpha)_0/\eta_i$ pour différentes valeurs de la déformation quadratique moyenne δ_0^2. Lorsque les conditions de validité de mon premier calcul (2) sont vérifiées, c'est-à-dire lorsque la viscosité η_0 du solvant est suffisamment grande, on retrouve avec une bonne approximation le comportement caractéristique de l'effet de déformation (droite Δ sur la figure).



Lorsque η_0 décroît, l'effet d'orientation (des configurations non sphériques) se substitue graduellemeut à l'effet de déformation et la courbe s'incurve pour passer par l'origine des coordonnées. Récemment Kuhn (4) avait déjà tenté de généraliser mes résultats de 1948; utilisant pour ce calcul un modèle plus rudimentaire que la sphère élastique, il était parvenu à un résultat qui ne s'écarte pas trop de la formule (2).

(2) *Comptes rendus*, **227**, 1948, p. 1352 ; *J. Chim. Phys.*, **48**, 1951, p. 59.

(3) R. Cerf, *Comptes rendus*, 235, 1952, p. 876.

(4) W. Kuhn, H. Kuhn et P. Buchner, *Erg. d. exakten Naturw.*, XXV, 1951, p. 1.

II. *Grandeur de la biréfringence.* — La constante de Maxwell est donnée par la formule suivante (courbe en pointillé sur la figure) où le facteur optique F a la même expression qu'en (2)

$$M = 45 \frac{F}{\mu n_0^2} \frac{\frac{\eta_0}{\eta_i} + \frac{4\delta_0^2}{5}}{\frac{\eta_0}{\eta_i} + \frac{4\delta_0^2}{3}}. \tag{3}$$

Ces résultats permettent de préciser les conditions d'emploi du critérium que j'ai donné (5) pour faire la distinction entre l'effet d'orientation et l'effet de déformation [mesures de $(tg\alpha)_0$ pour différentes valeurs de η_0] et confirment que de telles expériences permettent de décrire la structure de la molécule en solution. *Les valeurs de* η_0 *doivent couvrir un domaine aussi étendu que possible.*

a. Si la courbe (C) donnant $(tg\alpha)_0$ en fonction de η_0 est une droite passant par l'origine des coordonnées, la molécule dissoute est très probablement rigide. [Cas du virus de la mosaïque du tabac (5).]

b. Si la courbe (C) s'écarte de la droite précédente, la molécule est déformable. L'expérience a toujours fourni, jusqu'à présent, un écart représenté de façon qualitative par la formule (2). Ce comportement fut mis en évidence d'abord pour des polystyrènes (5) qui fournissaient des segments de courbe C apparemment voisins de l'asymptote, et par conséquent qualitativement conformes aux résultats (approchés) de mon premier calcul (2). La présente théorie conduit à une interprétation nouvelle des expériences de Schwander et Cerf (6) sur les acides nucléiques, lesquels apparaissent ainsi comme déformables, contrairement à des conclusions antérieures. Dans ces expériences, la courbure de la courbe (C) ne se manifestait toutefois que pour des valeurs élevées de η_0 ($\sim$ 0,07 C. G. S.) et ces molécules étaient sans doute encore relativement allongées et rigides. Pour d'autres acides nucléiques (7) la courbure apparaît plus tôt (pour $\eta_0 \sim$ 0,01 C. G. S.) et la courbe (C) coïncide sur une grande longueur avec son asymptote; ces molécules sont sans doute davantage pelotonnées.

CHIMIE THÉORIQUE. — *Considérations sur l'action de l'ion cobalt dans l'hydrolyse enzymatique des peptides.* Note de Mme **Andrée Goudot**, présentée par M. Louis de Broglie.

Parmi les enzymes un grand nombre contiennent des métaux. Ces métaux ont des caractères communs, facilement dissociables et oxydables, ils sont de plus à l'état bivalent dans l'oligo-élément.

---

(5) *Comptes rendus*, 230, 1950, p. 81; *J. de Chimie Phys.*, 48, 1951, p. 85.

(6) *Helv. Chim. Acta*, 34, 1951, p. 436.

(7) Horn, Leray, Pouyet et Sadron, à paraître au *J. of Polymer Sc.* Depuis l'envoi du manuscrit, Leray a utilement complété ses résultats expérimentaux.

Nous allons, dans cette Note, faire une étude théorique de l'action enzymatique à l'aide de la chimie électronique et voir si la formation du complexe n'a pas pour résultat la baisse de l'énergie de transition. Les faits expérimentaux qui caractérisent l'action enzymatique sont (1) : 1° La chaîne aliphatique du substrat donne un chélate; 2° Les enzymes forment un complexe avec leur substrat.

D'autre part, R. N. Keller dit que d'après ses expériences sur les peptides, trois molécules de substrat sont coordonnées autour du métal, mais il ne donne pas la nature ni la structure de ce composé intermédiaire. L'exemple que nous avons choisi est l'hydrolyse de la glycylglycine aboutissant à la formation de deux molécules de glycine (glycocolle). Le cobalt est le métal de l'enzyme dirigeant cette hydrolyse.

Complexes covalents. — Suivant la théorie de la valence dirigée un atome peut être acceptateur autant de fois qu'il possède une case vide. Dans le cas que nous étudions, le cobalt bivalent a deux orbites $3d$, l'orbite $4s$ et les trois orbites $4p$ disponibles comme orbites de liaison. Partant des résultats expérimentaux et des propriétés de l'ion cobalt, nous pouvons dire que le complexe formé par l'enzyme et trois molécules de substrat ne peut avoir qu'une structure octaédrique. Le type d'hybridation étant sp^3d^2, les six directions de valence sont dirigées vers les six sommets d'un octaèdre régulier dont chacun est occupé par un groupe amino-acide simple.

L'ion cobalt étant acceptateur d'électrons le complexe enzyme-substrat doit se faire aux dépens des électrons de valence du substrat.

Dans les réactions d'hydrolyse il y a réversibilité, c'est-à-dire qu'il peut y avoir synthèse de deux molécules de glycine formées pour redonner une molécule de glycylglycine. Cependant, les cas de synthèse sont rares car le complexe cobalteux est très instable.

Le passage de l'ion bivalent à l'ion trivalent tient au fait que la molécule de substrat se chélatant un H du groupe amine et OH du groupe carboxyl se rapprochent de l'ion métallique

$$(Co\,OH)^{++} + H^+ = Co^{+++} + H_2O \quad \rightarrow \quad (Co\,OH)^{++} + H = Co^{+++} + H_2O + e^-.$$

On peut alors schématiser la réaction d'équilibre hydrolyse-synthèse entre le complexe cobaltique enzyme — trois molécules de glycylglycine et le complexe cobalteux enzyme — six molécules de glycine de la façon suivante :

$$(NH_2-CH_2-CO)_6(OH)_3Co^{+++} + 3e^- - 3H^+ + 3H_2O = (NH_2-CH_2-CO)_6(OH)_6Co^{++}.$$

(1) Smith, *Symposia on quantitative biology*, 14, 1949.

Les trois électrons nécessaires à cette relation d'équilibre devant être les électrons libres des trois liaisons peptidiques.

Énergie d'activation. — Cette énergie est par définition la différence entre l'énergie potentielle de l'état activé et l'énergie potentielle de l'état initial. Dans le cas de l'hydrolyse de la liaison peptidique, cette énergie d'activation a été calculée et trouvée égale à 32 kcal (²).

Nous allons, dans cette Note, essayer de voir si la formation du complexe enzyme-substrat n'a pas pour résultat d'abaisser l'énergie de transition.

Dans l'exemple choisi, nous avons :

à l'état initial en présence : 3 mol de glycylglycine et l'enzyme;

à l'état initial dans la catalyse enzymatique, un complexe covalent enzyme-substrat.

Lamb et Larson ont étudié la chaleur de formation d'un certain nombre de cobaltamines. Ils trouvent des valeurs variant entre —55 et —60 kcal.

On peut supposer que cette énergie nécessaire à la formation du système est également répartie entre les 3 mol du substrat soit : 18 à 20 kcal/mol. D'autre part, la chimie théorique nous apprend que les variations d'énergie de la molécule portent sur les électrons mobiles des liaisons multiples, c'est-à-dire sur la liaison peptidique.

Nous trouvons donc pour l'hydrolyse enzymatique de la liaison peptidique une énergie d'activation variant entre $32 - 20 = 12$ kcal et $32 - 18 = 14$ kcal.

Ce sont bien les valeurs expérimentales (²) trouvées pour l'hydrolyse de la liaison peptidique.

MÉTALLOGRAPHIE. — *Contribution à l'étude du revenu des aciers à coupe rapide.* Note de MM. **André Henri Michel** et **Jean Papier**, présentée par M. Pierre Chevenard.

Il est généralement admis que l'austénite résiduelle, contenue dans un acier à coupe rapide trempé à partir d'une température avoisinant 1300°, est assez stable pour ne pas se décomposer sensiblement avant 500 ou 600° au cours d'un revenu par chauffe continue. Ainsi, Morris Cohen et Koh (¹) n'ont signalé une telle transformation qu'aux températures nettement supérieures à 400°. Or, nos recherches sur les aciers du type W 18 Cr 4V2, dont une récente Note a précisé le but (²), nous ont fait assister à la décomposition de l'austénite résiduelle à des températures nettement plus basses.

(²) R. Wurmser, *Cinétique des réactions biochimiques*, C. D. U., Paris.

(¹) *Trans. Amer. Soc. Metals*, 27, 1939, p. 1015.

(²) *Comptes rendus*, 235, 1952, p. 619.

Dans un tel acier, trempé à 1300° dans l'huile, puis réchauffé à partir de la température ambiante à la vitesse de 250 degrés/h, l'analyse dilatométrique et l'analyse thermomagnétique montrent nettement une transformation $\gamma \rightarrow \alpha$. Les effets de cette réaction sur le volume spécifique et l'aimantation de

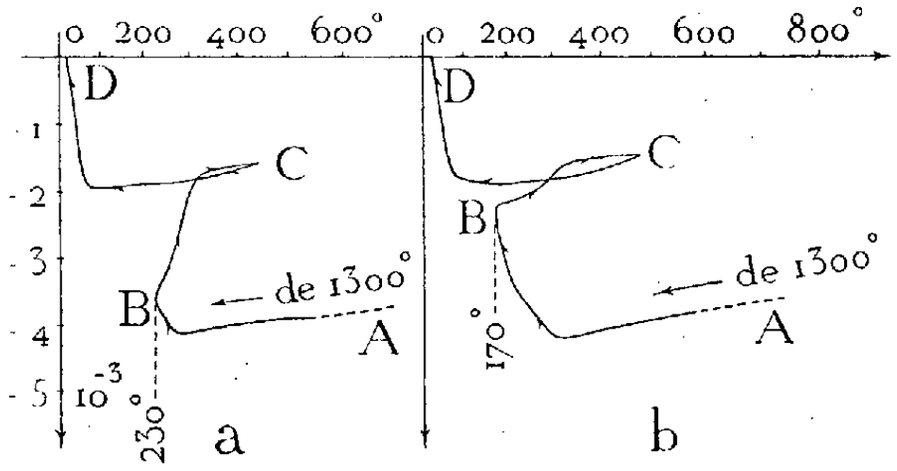


Fig. 1. — Dilatation différentielle. Acier C 0,79; W 18,80; Cr 4,36; V 1,90 %.
AB : refroidissement spontané à l'air. — BC : chauffage à 250 degrés/h.
CD : refroidissement spontané à l'air.

l'alliage, acquièrent une amplitude plus faible quand la trempe est suivie d'un refroidissement dans l'air liquide, dont le résultat est de compléter la transformation austénite → martensite. Enfin, si l'acier brut de trempe est soumis dans le dilatomètre à un revenu isotherme de 7 h, la contraction qui se manifeste au-dessous de 285° se change au-dessus de 330°, en une expansion caractéristique de $\gamma \rightarrow \alpha$.

La technique des refroidissements interrompus par un réchauffage conduit à la même conclusion. Si l'acier, aussitôt refroidi depuis 1300° jusqu'à la température de bain de plomb (*fig.* 1, trajet AB), est réchauffé à la vitesse de 250 degrés/h (trajet BC), une expansion se produit tout aussitôt

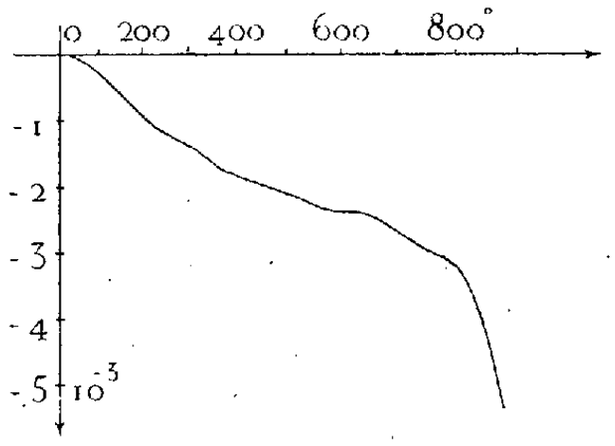


Fig. 2. — Dilatation différentielle du même acier préalablement trempé à 1300° dans l'huile.

quand la température du point B dépasse 225° (courbe 1 *a*) et, quand elle est plus basse, seulement au delà de 225° (courbe 1 *b*). Dans tous les cas, cette expansion s'arrête vers 350°. Ces phénomènes sont qualitativement les mêmes avec l'acier 18. 4. 1. étudié par Morris Cohen et Koh;

mais la transformation bainitique est bien moins intense, ce qui explique qu'elle aît échappé à leur observation.

Au cours d'un revenu par chauffe continue à 250 degrés/h, à partir de la température ambiante (*fig.* 2), le dilatomètre accuse la décomposition de la martensite par deux contractions situées, l'une entre 60 à 270,° l'autre entre 300 et 400°. Ces domaines sont donc chevauchés par l'intervalle où se produit la décomposition de l'austénite résiduelle.

Il nous paraît indispensable de porter l'attention sur cette décomposition, soit qu'elle se borne à surajouter une expansion aux diminutions de volumes caractéristiques du revenu au sein de la martensite, soit qu'elle intervienne pour *modifier la cinétique de ce dernier phénomène.* Nos travaux actuels sont orientés vers la recherche d'une semblable intervention.

En même temps, nous nous efforçons d'élucider les facteurs qui interviennent pour faire varier l'amplitude de l'une ou l'autre des singularités qui traduisent la décomposition de la martensite.

CHIMIE INDUSTRIELLE. — *Sur la variation de la carboxyréactivité des cokes au cours même de sa détermination.* Note de MM. **Henri Guérin** et **Lucien Hosti**, présentée par M. Paul Lebeau.

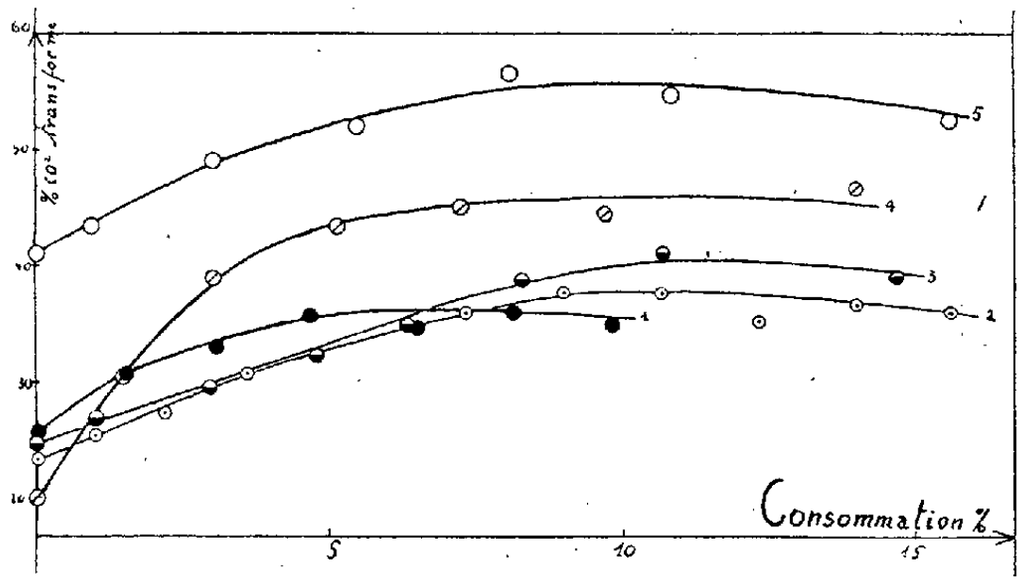
Nous avons déterminé la carboxyréactivité de différents cokes à la température de 1250°, en utilisant une méthode voisine de celle décrite précédemment par l'un de nous (1). On fait passer sur l'échantillon de coke (15 cm^3, granulé 20-40) un volume déterminé de CO_2 en un temps bien précisé, de la façon suivante : Le tube laboratoire contenant l'échantillon est interposé entre deux ballons A et B, A étant rempli de CO_2 sous une certaine pression tandis que le vide règne dans le tube laboratoire et dans B. En mettant en communication les ballons A et B pendant 30 s, on provoque le passage, sur l'échantillon, d'une quantité de CO_2 rigoureusement identique d'une détermination à l'autre. Par un choix judicieux des volumes des deux ballons (A : 3,5 l et B : 6,5 l) et par l'interposition entre A et le tube laboratoire d'un capillaire convenable (diamètre : 0,6 mm et longueur : 50 cm), le gaz s'écoule à un débit moyen de 20 cm^3/s, la variation du débit au cours des 30 s que dure l'essai étant inférieure à 15 %.

Afin d'opérer à 1250°, nous avons utilisé un tube laboratoire en « triangle H » aux extrémités duquel nous avons soudé deux rodages en pyrex. La température du coke, déterminée à l'aide d'un couple thermoélectrique introduit dans le tube sous un protège-couple en alumine, est maintenue constante grâce à un régulateur.

(1) H. Guérin et M. Dupoizat, *Comptes rendus*, **219**, 1944, p. 165.

Le coke, maintenu dans le vide d'une trompe à diffusion, est porté à 1250°, en 2 h 30 mn, puis dégazé durant 15 mn à cette température. On procède au premier passage de l'anhydride carbonique et, après avoir isolé les ballons A et B, on prélève un échantillon des gaz résultants et l'on fait à nouveau le vide dans le tube laboratoire et dans le ballon B, tandis que la pression de CO_2 dans le ballon est ramenée à sa valeur initiale. On est ainsi à même de procéder à une nouvelle mesure après 30 mn.

On peut alors suivre la variation de la carboxyréactivité à une température constante en fonction de l'usure du coke, celle-ci étant évaluée d'après le volume et le taux de transformation du CO_2 ayant passé sur le charbon.



Les résultats correspondant à cinq cokes nous ont permis d'établir les courbes de la figure qui ont toutes la même allure et suggèrent les remarques suivantes :

A. Dans une première phase, correspondant à une usure inférieure à environ 5 %, la carboxyréactivité des cokes augmente très nettement alors que la masse de l'échantillon diminue;

B. Après une consommation de l'ordre de 5 à 10 % selon les cas, l'indice de carboxyréactivité se stabilise à peu près, puis manifeste une lente diminution qui pourrait s'expliquer par la perte de poids de l'échantillon. En effet, certains essais au cours desquels nous avons maintenu plus de 12 h l'échantillon de coke dans le vide à 1250°, montrent que les phénomènes de graphitation auxquels on pourrait attribuer cette diminution ne jouent pas ici un rôle important.

Ces résultats, comparés à ceux que nous avons obtenus précédemment au cours d'essais opérés à 950° d'après la méthode A.F.N.O.R. modifiée (2) et qui montrent qu'à 950° la carboxyréactivité des cokes, après avoir diminué

(2) H. Guérin et L. Hosti, *Communication présentée au IVe Congrès international de Chauffage industriel*, 1952.

plus ou moins, se stabilisait pour une usure du charbon de l'ordre de 1 à 2 %, permettent déjà de tirer les conclusions suivantes.

1° Les essais effectués, d'une part, à 950°, d'autre part, à 1250°, dans des conditions de durée de contact très différentes, fournissent des valeurs de *carboxyréactivité initiale* telles que, compte tenu de la précision de la méthode, les cokes examinés se classent dans le même ordre; il apparaît donc que la grandeur que l'on détermine dans ces conditions constitue bien une caractéristique des cokes, indépendante de l'appareillage.

2° Les variations de carboxyréactivité constatées tant à 950° qu'à 1250° ne sont aucunement parallèles d'un coke à l'autre, de sorte que les classements que l'on pourrait déduire des valeurs stabilisées ainsi obtenues seraient très différents de celui qui correspond aux réactivités initiales.

3° En mettant l'accent sur l'ampleur des variations que peut subir la carboxyréactivité des cokes au cours même de sa détermination, nos résultats expliquent pourquoi la plupart des essais proposés pour déterminer cette grandeur ne permettent pas d'obtenir au laboratoire un classement des cokes qui soit en accord avec leurs comportements pratiques. Ils montrent qu'on ne pourra prétendre atteindre un tel résultat que lorsqu'on aura mis au point un essai de *carboxyréactivité intégrale*, c'est-à-dire faisant intervenir non seulement le combustible dans l'état où il est introduit dans l'appareil d'utilisation, mais les diverses formes par lesquelles il passe entre le moment où il commence à réagir et celui où il est transformé en mâchefers.

CHIMIE ORGANIQUE. — *Action des échangeurs d'anions sur la condensation du furfural avec les aldéhydes ou avec l'acétone*. Note (*) de M. **Pierre Mastagli**, Mlle **Angèle Floc'h** et M. **Georges Durr**, présentée par M. Marcel Delépine.

Dans cette Note, les auteurs montrent que l'on peut obtenir les α-furfurylidènes-aldéhydes et l'α-furfurylidène-acétone, d'une manière sélective au moyen des échangeurs d'anions du type aminopolystyrolène.

On sait que les échangeurs d'anions, par l'alcalinité qu'ils engendrent autour de leurs molécules, peuvent crotoniser les aldéhydes aliphatiques (1). C'est ainsi que l'Amberlite IR-4 B appartenant aux polyalkylènes-polyamines, fournit à partir de l'œnanthol, de l'œnanthylidène-œnanthol. L'Amberlite IRA-400 de la famille des polystyrolènes contenant des groupes aminoquaternaires, semble avoir une influence beaucoup moins nette sur cette crotonisation. En revanche, c'est un agent de condensa-

(*) Séance du 24 novembre 1952.

(1) Durr et Mastagli, *Comptes rendus*, 235, 1952, p. 1038.

tion idéal pour crotoniser les aldéhydes, les cétones aliphatiques sur le furfural.

Tandis que, dans la condensation sodique des aldéhydes avec le furfural, on obtient toujours comme réaction secondaire, des aldéhydes linéaires crotonisées sur eux-mêmes (réaction que l'on évite en partie en faisant réagir une proportion de furfural beaucoup plus grande que la théorie ne le prévoit), au contraire, le IRA-400 fournit sélectivement des α-furfurylidènes-aldéhydes. Non seulement les rendements sont améliorés par cette méthode, mais la pureté des produits y gagne considérablement, puisque les furfurylidènes-aldéhydes ne sont plus souillés par les produits secondaires résultant de la condensation des aldéhydes sur eux-mêmes et possédant des points d'ébullition très proches dans certains cas.

Dans un premier essai, nous avons fait réagir, en chauffant, 100 g d'hexanal sur 120 g de furfural et 30 g d'échangeur Amberlite IRA-400. La réaction se déclenche vers 110° C et devient rapide à 118-120° C. On élimine l'eau à mesure qu'elle se forme. On décante, sépare l'échangeur par filtration et l'on distille.

L'α-furfurylidène-hexanal obtenu a les constantes suivantes :

$É_{760}$ 258-259,5° C; $É_{10}$ 129,5° C; n_D^{16} 1,5689; d_4^{14} 1,019;
PM (par oximation) 179; PM calculé 178.

Le même travail a été effectué avec l'heptanal. 60 g d'heptanal, 100 g de furfural et 20 g d'échangeur Amberlite IRA-400.

On obtient l'α-furfurylidène-heptanal dont voici les constantes :

$É_{17}$ 151,5° C; n_D^{17} 1,5597; d_4^{14} 1,004.
PM (par oximation) 198; PM calculé 192.

D. Ivanoff donne pour le même produit (2) :

$É_{11}$ 135-136,5° C; n_D^{14} 1,534; d_4^{14} 0,9761.

Pour l'acétone, nous avons dû travailler sous pression. Nous avons chauffé : 60 g de furfural, 70 g d'acétone et 15 g d'échangeur.

Nous avons obtenu 30 g de monofurfurylidène-acétone (F 37° C). Le reste est constitué principalement par du difurfurylidène-acétone.

En résumé, il semble que les échangeurs aient une action sélective sur les condensations crotoniques : il est possible de choisir un catalyseur tout à fait adapté à la condensation que l'on désire obtenir, ce qui n'est pas réalisable par les méthodes employant la soude ou la potasse.

(2) *Bull. Soc. Chim.*, **35**, 1924, p. 1665.

CHIMIE ORGANIQUE. — *Réduction de l'oxalate d'éthyle par l'hydrure de lithium-aluminium.* Note de MM. **Roger Barré** et **Léopold Favreau**, présentée par M. Marcel Delépine.

La réduction de l'oxalate d'éthyle en éthylène glycol a été obtenue par réaction avec l'hydrure de lithium-aluminium; le rendement de 78 % a été établi par conversion de l'éthylène glycol en benzoate.

La réduction des esters des diacides aliphatiques en diols correspondants a été faite par plusieurs méthodes qui n'ont pas réussi cependant à réduire l'oxalate d'éthyle en éthylène glycol. On pouvait s'attendre à cette anomalie de réactivité de l'oxalate d'éthyle, anomalie qui est commune aux premiers termes des séries fonctionnelles et accentuée dans ce composé par l'influence réciproque des deux fonctions esters contiguës.

L'adipate d'éthyle ayant été réduit avec succès par l'hydrure de lithium-aluminium (1), ce réactif a été essayé avec l'oxalate d'éthyle, et la réduction en éthylène glycol s'est produite. Comme il était difficile d'évaluer par distillation fractionnée la quantité précise d'éthylène glycol formé, nous avons converti ce dernier en benzoate et, de la quantité de ce dérivé, nous avons établi le rendement de la réaction (78 %). Ainsi donc l'action énergique de l'hydrure de lithium-aluminium a surmonté les difficultés de la réduction de l'oxalate d'éthyle et a permis pour la première fois de le réduire en éthylène-glycol avec un assez bon rendement.

Voici résumés les détails essentiels de cette réduction. 11,3 g d'oxalate d'éthyle dissous dans 150 ml d'éther absolu sont ajoutés par petites quantités à 100 ml d'éther absolu contenant 3,4 g de $LiAlH_4$ préparés suivant la méthode habituelle et contenus dans un ballon à trois ouvertures, muni d'un agitateur mécanique. On agite trente minutes après l'addition et le complexe formé est traité par les méthodes usuelles (acide sulfurique dilué, eau froide, neutralisation par la soude 20 %). Le précipité d'hydroxyde Al-Li est filtré et lavé plusieurs fois par de l'eau. Le filtrat et les eaux de lavage sont concentrés dans le vide à un volume de 150 ml, on ajoute 8 g de NaOH et le tout est additionné graduellement avec agitation mécanique à 24 g de C_6H_5COCl maintenus à 0°C. On obtient 14,5 g de benzoate d'éthylène glycol (F 73°C); le point de fusion de ce composé, mélangé à du benzoate d'éthylène glycol préparé à partir d'un échantillon authentique, ne varie pas. Comme ce dérivé se prépare avec un rendement de 90 %, le calcul donne un rendement de 78 % pour la réduction de l'oxalate d'éthyle en éthylène glycol par l'hydrure de LiAl.

(1) R. F. Nystrom and W. G. Brown, *J. Am. Chem. Soc.*, 69, 1947, p. 1197.

CHIMIE ORGANIQUE. — *Sur les colorants disazoïques dérivés des sels de diméthyl-1.2 benzothiazolium.* Note de M. **Henri Wahl** et Mlle **Marie-Thérèse Lebris**, présentée par M. Marcel Delépine.

Nous avons signalé (1) qu'une molécule d'un sel de diméthyl-1.2 benzothiazolium (I) réagit très facilement avec deux molécules d'un disazoïque pour former des colorants disazoïques auxquels nous avons attribué provisoirement la structure (II).

Cette double copulation a été constatée, même en milieu peu alcalin (pyridine, carbonate ou acétate de sodium) sur plus de vingt sels de diazonium divers. Tous nos efforts pour isoler le terme intermédiaire probable, c'est-à-dire le monoazoïque ont échoué jusqu'ici. Par contre, il a été possible de l'obtenir par des voies détournées.

Ainsi en chauffant une solution alcoolique d'un sel (I) avec le diazoaminobenzène (diphényl triazène) selon le procédé que Knott (2) a utilisé en série quinaldique, il se forme un sel cristallisé dont la composition correspond à celle d'un monoazoïque tautomère de l'hydrazone (IV) et (V).

Nous avons en particulier isolé ainsi le méthylsulfate de méthyl-1 phénylazométhylène-2 benzothiazolium (IV) (X = H) qu'on peut aussi nommer méthylsulfate de méthyl-1 phénylhydrazinométhine-2 benzothiazolium (V) (X = H) en beaux cristaux oranges (aiguilles) F 248° $\lambda m = 450\,m\mu$ (alcool) (analyses : trouvé %, N = 11,08-S 16,88; calculé, 11,09 et 16,40 respectivement).

Le même composé s'obtient également en transformant d'abord (I) en azométhine (VI) (méthylsulfate F 194-195°) par condensation avec la *p*-nitrosodiméthylaniline. Cette azométhine réagit à température ordinaire en milieu chlorhydrique sur la phénylhydrazine (3) en formant un chlorhydrate $C_{15}H_{14}N_3S, HCl$ — F 219°, en aiguilles orangées $\lambda m = 450\,m\mu$ (Analyses : calculé %, N 13,80; S 10,40; Cl 10,95; trouvé % respectivement, 13,45, 10,60 et 10,94). L'identité des produits obtenus par ces deux méthodes a été contrôlée par la comparaison des points de fusion des chlorhydrates et des nitrates F 263°, presque insolubles dans l'eau froide, ainsi que par l'identité des spectres d'absorption dans le visible.

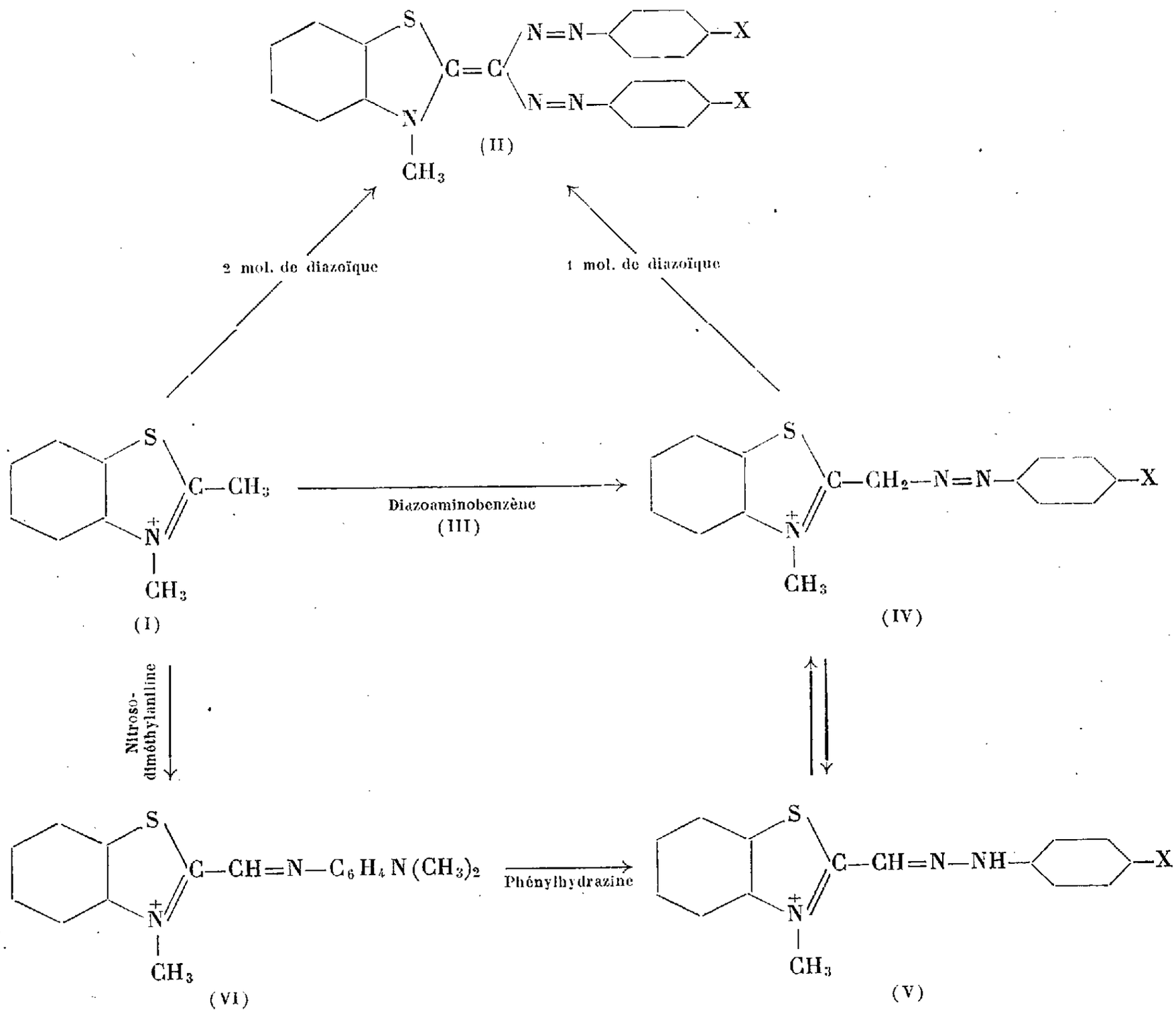
Comme nous le supposions, ce monoazoïque copule en milieu pyridique avec le chlorure de phényldiazonium en formant un disazoïque en aiguilles orangées F 183° (alcool) dont la composition, le point de fusion et le spectre sont

(1) H. Wahl et M. Th. Lebris, *Comptes rendus*, 234, 1952, p. 631.

(2) *J. Chem. Soc. Londres*, 1951, p. 1586.

(3) Humphriess, *J. chem. Soc.*, Londres, 1926, p. 374.

identiques à ceux du produit de la copulation directe du même diazoïque sur (I).



D'une façon semblable, en remplaçant la phénylhydrazine par son dérivé *p*-nitré, nous avons obtenu à partir de l'azométhine (VI) le nitrate de méthyl-1 *p*-nitrophénylazométhylène-2 benzothiazolium ou nitrate de méthyl-1 *p*-nitrophénylhydrazinométhine-2 benzothiazolium, aiguilles brunes à reflets métalliques, F 241-242° (Analyses : calculé %, N 18,67; S 8,55; trouvé %, respectivement 18,57 et 8,75).

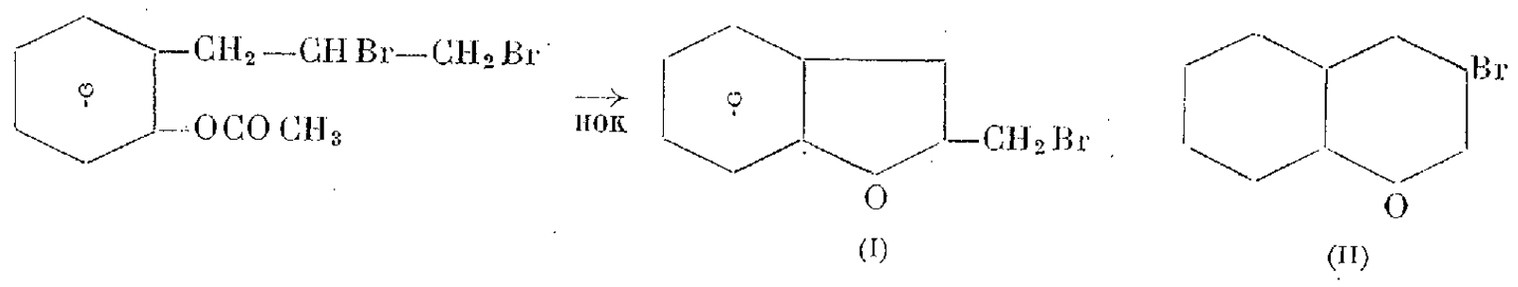
Le chlorure de *p*-nitrophényldiazonium copule en milieu pyridique avec ce composé en donnant des aiguilles vert mordoré (pyridine) F 287° $\lambda m = 490 m\mu$ qui sont identiques au produit de copulation directe du même diazoïque sur I.

Ce mode de préparation montre la parenté des nouveaux produits avec les dérivés formazyliques de von Pechmann. Ils en diffèrent cependant par leur existence, en milieu alcalin, sous forme de disazoïques.

CHIMIE ORGANIQUE. — *Sur la pureté du bromométhylcoumaranne selon le mode de préparation.* Note de Mlle **Angèle Gabert** et M. **Henri Normant**, présentée par M. Marcel Delépine.

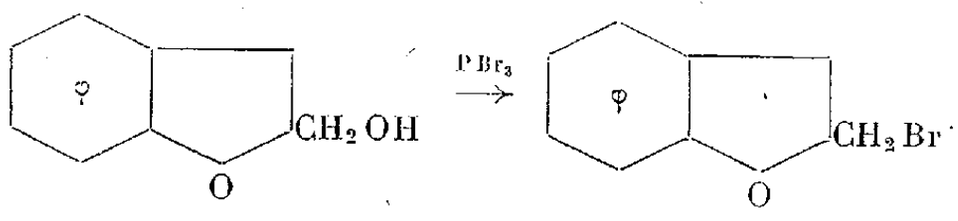
La cyclisation du dibromure de l'acétate de l'*o*-allylphénol, conduit en réalité, à un mélange de 90 % environ de bromométhylcoumaranne et de 10 % de bromo-3 chromanne; on réalise le passage du méthyl-2 bromo-3 benzofuranne à l'*o*-propynylphénol.

Il est admis que l'action de HOK sur le dibromure précédent conduit à un dérivé monobromé unique (1), liquide, considéré comme le *bromométhyl*-2 *coumaranne* (I) :

(A) 

(I) (II)

Or le traitement de l'alcool correspondant à (I) par PBr_3, en présence de pyridine, fournit un bromure cristallisé : $É_{15}$ 138°; F 29-30° (éther de pétrole) (2) :

(B) 

Il paraît donc probable que la réaction (A) engendre, en fait, un mélange des monobromures isomères (I) et (II); ce que l'expérience vérifie.

En effet, l'introduction dans le bromure liquide, préparé suivant (A), d'un germe solide obtenu selon (B), en provoque la prise en masse. Par cristallisations répétées dans l'éther de pétrole, on isole environ 90 % de (I), solide F 29-30°, fondant sans dépression avec un échantillon de provenance (B).

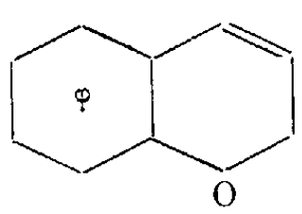
Les eaux-mères fournissent un bromure liquide E_{20} 139-140°; d_{16}^{9} 1,472, qui est le *bromo*-3 *chromanne* (II) (C_9H_9OBr) dont la structure est établie par transformation en Δ_3 chromène (III) au moyen de HOK alcoolique. Ce dernier a fourni un dibromure F 124-125°; l'épreuve du mélange avec un échantillon de provenance différente (3) est concluante.

Au surplus, l'action de $NH(CH_3)_2$ en excès conduit au *diméthylamino*-3 *chromanne* ($C_{11}H_{15}ON$) E_{15} 125-126°, d_{16}^{12} 1,030, chlorhydrate F 202-203°;

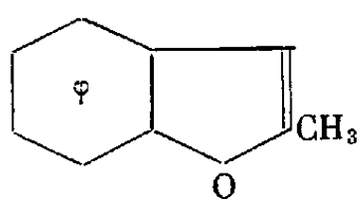
(1) Adams et Rindfusz, *Amer. Chem. Soc.*, 41, 1919, p. 648.
(2) Paul et Normant, *Comptes rendus*, 220, 1945, p. 919.
(3) Normant et Maitte, *Comptes rendus*, 234, 1952, p. 1787.

oxalate acide F 166°, le diméthylaminométhyl-2 coumaranne isomère est connu (4), chlorhydrate F 191-192°; oxalate acide F 176°.

Il résulte des considérations précédentes que l'enlèvement de BrH au bromure de provenance (A) doit donner un mélange de (III) et (IV) que l'on sépare



(III)

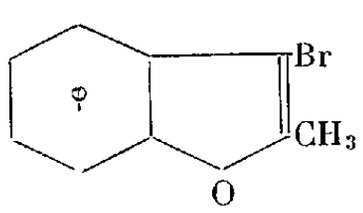


(IV)

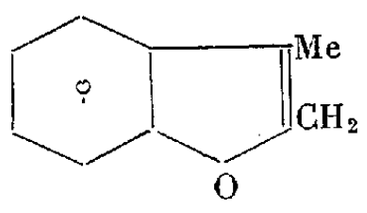
effectivement après de nombreux tours.

Le *méthyl-2 benzofuranne* pur (IV), préparé à partir du bromure (I) soigneusement recristallisé, présente les constantes : E_{14} 78-79°, d_4^{19} 1,058; n_D^{19} 1,5360. Son picrate fond à 74-78° (déc.); Stoermer indique F 72-74° (5).

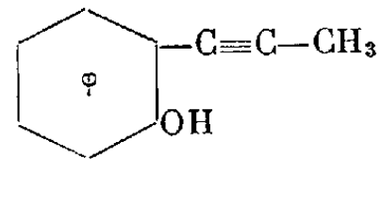
Par action de Br_2 en solution éthérée sur (IV), puis de C_2H_5ONa, on obtient (V) E_{12} 103-105; Rdt 88 %



(V)



(VI)



(VII)

Dans ce composé l'atome de Br, peu mobile, ne se prête pas aux réactions de double décomposition, mais s'échange avec les métaux alcalins (VI) en donnant après réarrangement un phénol acétylénique (VII).

Une réaction analogue a déjà été signalée pour le bromo-3 benzofuranne (6).

Le rendement en phénol (VII) est avec Na : 27 % dans le toluène et 50 % dans l'éther; il s'élève à 80-82 % avec le *n*.butyl-lithium en milieu éthéré.

L'*o-propynylphénol* (VII) (C_9H_8O), $É_{11}$ 102°; $d_4^{19,5}$ 1,062; $n_D^{19,5}$ 1,5917 présente une odeur agréable rappelant celle du gaïacol. On en a préparé la phényluréthane F 87-88° (C_6H_6) et le dérivé oxyacétique F 113-114° (eau). Par hydrogénation catalytique, en présence de Ni Raney, dans les conditions ordinaires, il fixe $2H_2$, et donne l'*o*-propylphénol $É_{12}$ 103-105°; phényluréthane F 110-111° (7); le dérivé oxyacétique, non décrit, fond à 99-100°.

---

(4) Maderni, *Thèse*, Paris, 1934, p. 20.

(5) Stoermer, *Ber.*, 48, 1915, p. 62.

(6) Gilman et Melstrom, *Amer. Chem. Soc.*, 70, 1948, p. 1655.

(7) Claisen, *Annalen*, 418, 1919, p. 88.

CHIMIE ORGANIQUE. — *Recherches sur les amines β, γ et δ acétyléniques.* Note de MM. **Israël Marszak, Roland Epsztein** et **Martin Olomucki**, présentée par M. Jacques Tréfouël.

L'étude des amines tertiaires γ et δ acétyléniques, composés jusqu'à présent inconnus, a été abordée par la synthèse des termes à fonction acétylénique vraie. Quelques réactions de ces composés, ainsi que de leur homologue inférieur β acétylénique ont été étudiées et plusieurs amines et amino-alcools à fonction acétylénique bisubstituée, préparés.

Nous avons récemment décrit la synthèse du diméthyl amino-1 butyne-3, $HC\equiv C(CH_2)_2N(CH_3)_2$ (I) (1), abordant ainsi l'étude des amines contenant la fonction acétylénique en β, série à notre connaissance entièrement nouvelle. Les relations entre la structure et l'activité pharmacologique de quelques dérivés de ces composés ont été étudiées en collaboration avec M. Jacob (2).

Nous nous sommes proposé de continuer nos recherches dans cette série et de les étendre aux amines γ et δ acétyléniques, composés à notre connaissance également inconnus. Les premiers termes de ces séries, amines à fonction acétylénique vraie, nous semblent présenter un grand intérêt par le fait qu'ils peuvent se prêter à de multiples synthèses grâce à leur atome d'hydrogène mobile. Ainsi nous avons préparé les amines suivantes :

(II) $HC\equiv C(CH_2)_3N(CH_3)_2$	$É_{115}$	72-72°,5	n^{15}_D 1,4340
(III) $HC\equiv C(CH_2)_3N(C_2H_5)_2$	$É_{40}$	76°	n^{22}_D 1,4380
(IV) $HC\equiv C(CH_2)_4N(CH_3)_2$	$É_{20}$	53°	n^{19}_D 1,4320
(V) $HC\equiv C(CH_2)_4N(C_2H_5)_2$	$É_{15}$	72°	n^{15}_D 1,4430

Le diméthylamino-1 pentyne-4 (II) a été préparé par deux voies différentes : soit à partir de l'amine éthylénique correspondante, par fixation de brome sur son chlorhydrate et enlèvement d'acide bromhydrique au moyen de l'amidure de sodium dans l'ammoniac liquide, avec un rendement de l'ordre de 25 %, soit, avec un bon rendement, par action de la diméthylamine sur l'iodo-1 pentyne-4 (3), préparé à partir du chloro-1 pentyne-4 par traitement avec l'iodure de sodium, le composé chloré résultant de l'action du chloro-1 bromo-3 propane sur l'acétylure de sodium dans l'ammoniac liquide (4). Avec la diéthylamine, l'iodo-1 pentyne-4 a fourni le diéthylamino-1 pentyne-4 (III). Le diméthyl- et le diéthyl- amino-1 hexyne-5 (IV) et (V) ont été obtenus de

(1) Marszak et Epsztein, *Bull. Soc. Chim.*, 1952, p. 441.

(2) Jacob, Marszak, Epsztein et Guermont, *Comptes rendus*, **234**, 1952, p. 1230.

(3) Eglington et Whiting, *J. Chem. Soc.*, 1950, p. 3650.

(4) Henne et Kenneth, *J. Amer. Chem. Soc.*, **67**, 1945, p. 484.

façon analogue en employant l'iodo-1 hexyne-5 obtenu par l'intermédiaire du dérivé chloré correspondant à partir du chloro-1 bromo-4 butane (5).

Les amines à fonction acétylénique disubstituée, diméthylamino-1 hexyne-4 (VI), -heptyne-4 (VII), -heptyne-5 (VIII) et -octyne-5 (IX) ont été préparées par action des halogénures d'alcoyles sur les dérivés sodés des amines (II) et (IV), suivant la technique décrite par Parcell et Pollard (6) et appliquée par nous dans les séries α (7) et β (1) :

(VI) $CH_3—C\equiv C(CH_2)_3N(CH_3)_2$..... $É_{35}$ 72° n_D^{20} 1,4372

(VII) $CH_3.CH_2.C\equiv C(CH_2)_3N(CH_3)_2$... $É_{18}$ 73° n^{26}_D 1,4410

(VIII) $CH_3—C\equiv C—(CH_2)_4N(CH_3)_2$..... $É_{18}$ 75-76° n_D^{19} 1,4420

(IX) $CH_3—CH_2—C\equiv C(CH_2)_4N(CH_3)_2$. $É_{13}$ 84-84°,5 n^{18}_D 1,4450

Les amines à fonction acétylénique monosubstituée se prêtent également à la préparation de diverses séries d'amino-alcools acétyléniques. Ainsi, en faisant agir le trioxyméthylène sur le dérivé sodé du diméthylamino-1 butyne-3(I) dans l'ammoniac liquide, ou dans l'éther, nous avons obtenu le diméthylamino-1 pentyne-3 ol-5 : $HOCH_2—C\equiv C(CH_2)_2N(CH_3)_2$, $E_{0,05}$ 77°; n_D^{18} 1,4730, contenant la fonction aminée sur un carbone en β et la fonction alcool sur un carbone en α par rapport au groupement —C≡C—. En condensant le même dérivé sodé avec l'oxyde d'éthylène, on obtient le diméthylamino-1 hexyne-3 ol-6 : $HO(CH_2)_2—C\equiv C—(CH_2)_2N(CH_3)_2$, $E_{0,2}$ 72°; n_D^{15} 1,4720, contenant les deux fonctions alcool et amine sur des carbones en β par rapport au groupe —C≡C—.

D'autres réactions sont à l'étude. Dès maintenant, nous pouvons signaler quelques résultats positifs en ce qui concerne la préparation de diamines contenant la fonction acétylénique à des distances variables des fonctions aminées. Les détails de ces travaux seront publiés ailleurs.

GÉOGRAPHIE PHYSIQUE. — *Sur la morphométrie du massif palestinien.* Note de M. **Étienne de Vaumas**, présentée par M. Emmanuel de Margerie.

Le massif palestinien est limité au Nord par la plaine d'Esdrelon, au Sud par le Negeb, à l'Ouest par la plaine côtière, à l'Est par le Ghor. On peut le diviser en trois parties du Nord au Sud : les parties centrale et méridionale comprennent un noyau montagneux et une région de collines plus basses (la Sephela), la partie septentrionale voit disparaître cette opposition et ne forme plus qu'une région d'altitudes moyennes.

Ses caractéristiques morphométriques sont très remarquables.

(5) Newman et Wotiz, *J. Amer. Chem. Soc.*, 71, 1949, p. 1292.

(6) *J. Amer. Chem. Soc.*, 72, 1950, p. 312 et 1378.

(7) Marszak, Guermont, Epsztein et Jacob, *Comptes rendus*, 233, 1951, p. 530.

1° *Les courbes hypsographiques.* — La montagne considérée dans sa partie septentrionale (secteur central du massif), dans sa partie méridionale (secteur méridional du massif) ou dans son ensemble, montre des courbes à distribution des superficies par tranche d'altitude en un triple compartiment : les altitudes inférieures ont une extension très réduite tandis que les altitudes moyennes occupent presque tout le développement de la courbe; quant aux altitudes supérieures, elles sont pratiquement inexistantes.

Les courbes du massif, au contraire, qu'il s'agisse de chacun des trois secteurs ou de sa totalité, sont très différentes : les altitudes inférieures et supérieures sont beaucoup plus développées, et le point d'inflexion entre les altitudes inférieures et les altitudes moyennes n'apparaît plus que très peu.

2° *Les coefficients de massivité.* — Ils représentent des valeurs considérables, extraordinaires même dans la montagne.

Massif.	Partie septentrionale.....	29 %	Montagne.	Partie Nord.....	59 %
»	» centrale.....	44	»	» Sud.....	71
»	» méridionale.....	45	»	Ensemble.....	64
»	Ensemble.....	42			

Ces chiffres montrent que l'adjonction de la Sephela au noyau montagneux réduit beaucoup la massivité du haut pays palestinien. Le fait n'a rien d'étonnant mais ce qui l'est beaucoup plus, c'est l'ordre de grandeur des coefficients, tout à fait inhabituel dans un pays de plissements.

3° *Relations des caractéristiques morphométriques avec le relief et la structure.* — Les relations qui ont été établies précédemment entre morphométrie et relief, morphométrie et structure, à propos du massif galiléen, sont également valables pour le massif palestinien (1).

Certains points cependant méritent d'être particulièrement soulignés.

La quasi-inexistence des altitudes supérieures et la très grande extension des altitudes moyennes dans la montagne s'expliquent par des sommets encore plus tranquilles qu'en Galilée et par un travail de l'érosion encore plus faible qu'il ne l'était dans ce dernier massif; quant à la superficie très réduite des altitudes inférieures, la raideur des pentes qui dominent la Sephela ou leur caractère abrupt du côté du Ghor explique suffisamment le phénomène.

Le massif palestinien est compact et manque totalement d'aération; les coefficients de massivité le font nettement ressortir et confirment parfaitement ce qui est visible sur le terrain. Quant à la structure, courbes et

(1) *Comptes rendus*, **235**, 1952, p. 1146.

coefficients démontrent amplement à eux seuls combien l'anticlinal de Palestine est plus lourd que celui de Galilée. Son profil en anse de panier est, en effet, extrêmement marqué.

4° *Conclusions.* — De l'étude morphométrique de la Galilée et de la Palestine, se dégagent des conclusions très intéressantes.

La massivité de ces pays est extrêmement forte. Elle est sans aucune commune mesure avec celle des Alpes françaises (23 %), elle dépasse celle des chaînes du type « pli de fond » (Pyrénées françaises : 30,5 %) et surclasse même parfois nettement dans leur partie montagneuse celle des pays hercyniens (Auvergne : 45 %). Inhabituelle dans les régions plissées ordinaires, elle caractérise des plis d'un type très lourd au profil très écrasé.

Cette conclusion ressortait déjà de l'étude du Liban et de l'Antiliban. Il est cependant à noter que la Haute-Galilée (45 %) est encore plus massive que le Liban (42 %), et que la Haute-Galilée libanaise (63 %) dépasse même l'Antiliban proprement dit (57 %). Quant au noyau montagneux palestinien, il bat tous les records avec 64 %, sa partie Sud atteignant même 71 %.

Pour ce qui est du manque d'aération de la Galilée et de la Palestine, il est dû essentiellement à trois causes qui sont : le caractère récent du cycle actuel, la constitution karstique des massifs, l'aridité (ou la subaridité) du climat.

GÉOGRAPHIE PHYSIQUE. — *Sur la signification des lacs dans la Morphogenèse des Combrailles.* Note de M. **Jean Dautry**, présentée par M. Emmanuel de Margerie.

Des étendues lacustres relativement importantes, localisées sur le revers Sud-Est des Combrailles, occupent de larges dépressions fermées. Leurs émissaires actuels ne se raccordent aux réseaux de la Sioule et du Chavanon que par une série de ruptures de pente très nettes sur tous leurs profils longitudinaux.

D'autres dépressions aussi vastes, de même origine, occupées par des marais ou des tourbières, résultent d'un comblement local. Ces dépressions ou ces lacs traduisent en fait deux stades successifs de la régularisation en cours, dans le cadre d'une évolution indépendante des principaux niveaux de base locaux. Leur alignement général NNE-SSW correspond au rejeu d'une double faille hercynienne (contact anormal à l'Ouest, faille caractérisée à l'Est) séparant les granites de Guéret de ceux d'Auvergne (1).

(1) E. Raguin, *Géologie du granite*, Paris, Masson, 1946; J. Jung, *Géologie de l'Auvergne et de ses confins bourbonnais et limousins*, Imp. Nat., 1946, Paris (Mémoires

Cependant, ils n'ont aucun rapport direct avec la structure, et jalonnent *deux ensembles morphologiquement très différents, dont la limite recoupe constamment ces failles, nivelées à plusieurs reprises.*

A l'Ouest, le plateau constitué par des hauteurs très surbaissées alternant avec ces dépressions s'étend sans transitions depuis les plus hautes surfaces de la montagne Limousine, dont elles représentent le prolongement (2). Un réseau aux versants à peine modelés, empâté dans des masses de débris; l'incertitude de l'écoulement à travers des fonds mal draînés montrent que les processus d'érosion aussi bien que ceux d'accumulation agissent là en parfaite indépendance vis-à-vis des réseaux hiérarchisés (Sioulet-Chavanon) avec lesquels ils n'ont rien de commun. Cette évolution se rapproche de celle d'une vieille surface d'érosion, dérivée de la pénéplaine Posthercynienne (3). Mais il faut distinguer deux parties sur cette surface :

a. Au Nord-Est, les plateaux de Mérinchal, Montel de Gelat, Biollet, forment un ensemble homogène, aux interfluves très larges, aux dépressions lacustres importantes mais rares.

b. Au Sud-Ouest, le plateau de Giat, caractérisé au contraire par l'extension des croupes, disposées sans ordre (850 à 900 m) encadrant des dépressions beaucoup plus nombreuses. La topographie y est celle, inconnue partout ailleurs dans les Combrailles, du Haut-Limousin. Le réseau est constitué par un fourmillement d'étangs et de dépressions allongées dans deux directions orthogonales (NW-SE et NE-SW). L'enfoncement des thalwegs s'y manifeste, alors que la dissymétrie structurale des Combrailles y disparaît complètement.

A l'Est de ces deux régions, on relève des traces de plus en plus nombreuses (carte géologique d'Ussel) *d'une couverture Oligocène.* Ces dépôts se composent de débris arkosiques renfermant des sables et argiles avec quartz subanguleux et quelques rares concrétions calcaires. Leur épaisseur augmente progressivement vers le SE (4), ce qui correspond dans l'ensemble au maximum de subsidence de la Limagne proche. Or, au Nord de Pontaumur, le plateau de Saint-Gervais-d'Auvergne et celui de Manzat semblent n'en avoir jamais porté, malgré la facilité de conservation sous

---

pour servir à l'explication de la Carte géologique détaillée de la France); J. M. Dautry, *Comptes rendus*, 226, 1948, p. 1458.

(2) A. Perpillou, *Le Limousin, étude de géographie physique régionale* (*Thèse*, Chartres, 1940, Durand).

(3) L'évolution indépendante de portions importantes des hautes surfaces du Limousin et de l'Auvergne est attestée par le manque de cohésion dans les parties supérieures et moyennes des rivières, et par les différences profondes existant entre les modalités de l'érosion de 700 à 900 m d'altitude, entre 560 et 700 m, puis sur les surfaces inférieures.

(4) Confirmation par M. J. Jung lors d'une conversation en 1951.

des basaltes ([5]). Le fait important *est que la limite amont d'enfoncement du réseau hydrographique et la rareté soudaine des sillons d'érosion se confondent avec la limite probable de cette couverture* (*Stampienne* ?) *qui a subi elle-même un début de planation Post-Oligocène.*

Les étendues lacustres et les dépressions précédemment définies se trouvent ainsi à la limite de cette surface d'aplanissement Post-Oligocène ayant tronqué le Tertiaire inférieur et mordu plus ou moins sur le massif ancien [surface alvéolaire ([6])]. La région des lacs n'est donc pas seulement une zone de concentration hydrographique particulière, mais traduit surtout le passage d'une surface dérivée de la pénéplaine post-hercynienne à un aplanissement beaucoup plus récent.

L'interprétation correcte de cette morphogenèse fait ainsi intervenir l'influence des mouvements Tertiaires à l'intérieur même du socle cristallin : postérieurement à la formation d'une surface Eogène ([7]), l'affaissement de la partie Est et Sud-Est, puis un début de planation, montrent dans quelles conditions a dû s'effectuer une banquette d'érosion Aquitanienne ([8]) au cœur du massif ancien cristallin. Les lacs des Combrailles (revers Sud-Est) marquent ainsi le temps d'arrêt imposé à l'hydrographie.

Dans le détail des formes, le plateau des Combrailles porte l'empreinte des climats froids du quaternaire. Dépôts soliflués, niches de nivation, décomposition et écartèlement des granites par les diaclases montrent, surtout vers le Sud, que des influences paléoclimatiques ne sont certainement pas étrangères au modelé définitif de ces régions ([9]).

MÉTÉOROLOGIE. — *Les « bandes supérieures » dans la structure verticale des échos de pluie.* Note de M. **Roger Lhermitte**, présentée par M. Pierre Lejay.

L'étude systématique de la structure verticale des échos de pluie montre que le mécanisme d'apparition des bandes supérieures est dû à des causes multiples et, en faisant intervenir dans certains cas le gradient de vent pour expliquer la forme des échos, renforce l'hypothèse que la bande brillante au voisinage de l'isotherme 0°C a pour origine la fusion partielle de flocons de neige.

([5]) Confirmation pendant l'été 1952. Nos recherches à Sauterre (Puy-de-Dôme) nous ont montré que le contact entre gneiss ou granite et basalte ne comporte pas de couverture meuble, ni même de croûte. La coulée s'est effectuée sur un socle nettoyé, dépourvu de tout dépôt (témoins les gneiss intacts inclus dans la coulée de base).

([6]) *Comptes rendus*, 235, 1952, p. 1318.

([7]) H. Baulig, *Le plateau central de la France et sa bordure méditerrannénne, étude morphologique* (Thèse, Paris, 1928).

([8]) G. Baeckeroot, *Comptes rendus*, 189, 1929, p. 804; A. Cholley, et S. Mathieu *Comptes rendus*, 194, 1932.

([9]) Mme Beaujeu-Garnier, *A propos du modelé péri-glaciaire du Limousin* (A. G. F., séance du 5 juillet 1952).

Divers auteurs ont constaté la présence, dans la structure verticale des échos de pluie, d'une part d'une bande brillante au voisinage de l'isotherme 0°C et d'autre part de bandes situées à une plus grande altitude, dites bandes supérieures. Bowen (1) a étudié le mécanisme d'apparition de ces bandes supérieures et admis qu'elles sont causées par la congélation spontanée, dans les régions du nuage correspondant à une température d'environ — 17° C, de gouttes d'un diamètre égal ou supérieur à 0,4 mm. Wexler (2) a formulé une autre hypothèse de formation qui fait appel à la croissance de « graupel » (cristaux de glace ayant capté et congelé des gouttelettes) au dépend du contenu en eau liquide du nuage.

Nous avons poursuivi, à Magny-les-Hameaux, l'étude systématique de ces échos à l'aide de deux radars fonctionnant simultanément sur la même longueur d'onde (3,2 cm). L'un (panoramique) donne leur structure horizontale, l'autre en balayant un plan vertical, révèle leur structure verticale. Le premier appareillage permet de déterminer la direction de déplacement; on peut alors choisir pour le second un plan d'analyse correspondant à la direction de rapprochement des échos et éliminer ainsi le décalage latéral possible du faisceau dans le nuage. L'enregistrement cinématographique des images est effectué à l'aide d'un dispositif analogue à celui décrit dans une Note précédente (3).

Nous avons étudié plusieurs situations où l'on remarquait la coexistence d'une bande brillante au voisinage de l'isotherme 0° C et de bandes supérieures. Il apparaît que pour les bandes supérieures observées le phénomène n'est pas aussi simple que celui décrit par Bowen et qu'il peut avoir des causes multiples. En effet, nous avons pu distinguer trois types de bandes ayant un aspect et une évolution différents et dont nous avons rassemblé quelques exemple sur la figure.

a. Bande supérieure pouvant être légèrement inclinée et tombant à la vitesse de 2 à 2,5 m/s vers la bande brillante inférieure dont elle augmente l'intensité au moment où elle la rencontre. Il s'agit vraisemblablement d'un phénomène de même nature que ceux que Bowen a étudiés.

b. Bandes parfois aussi légèrement inclinées se déplaçant sans changement d'altitude. De telles bandes peuvent coexister à des niveaux différents, au même instant : les échos présentent alors une structure feuilletée.

c et *c'*. Bandes en général fortement inclinées. Ce type d'écho peut correspondre à la formation, locale dans le plan d'analyse observé, mais continue dans le temps, de particules de glace. La forme de la traînée de précipitation

---

(1) *Journal of Atmospheric and Terrestrial Physics*, (3), 1, 1951, p. 125-140.

(2) *Quarterly Journal of the Royal Meteorological Society*, **78**, n° **337**, 1951, p. 372-376.

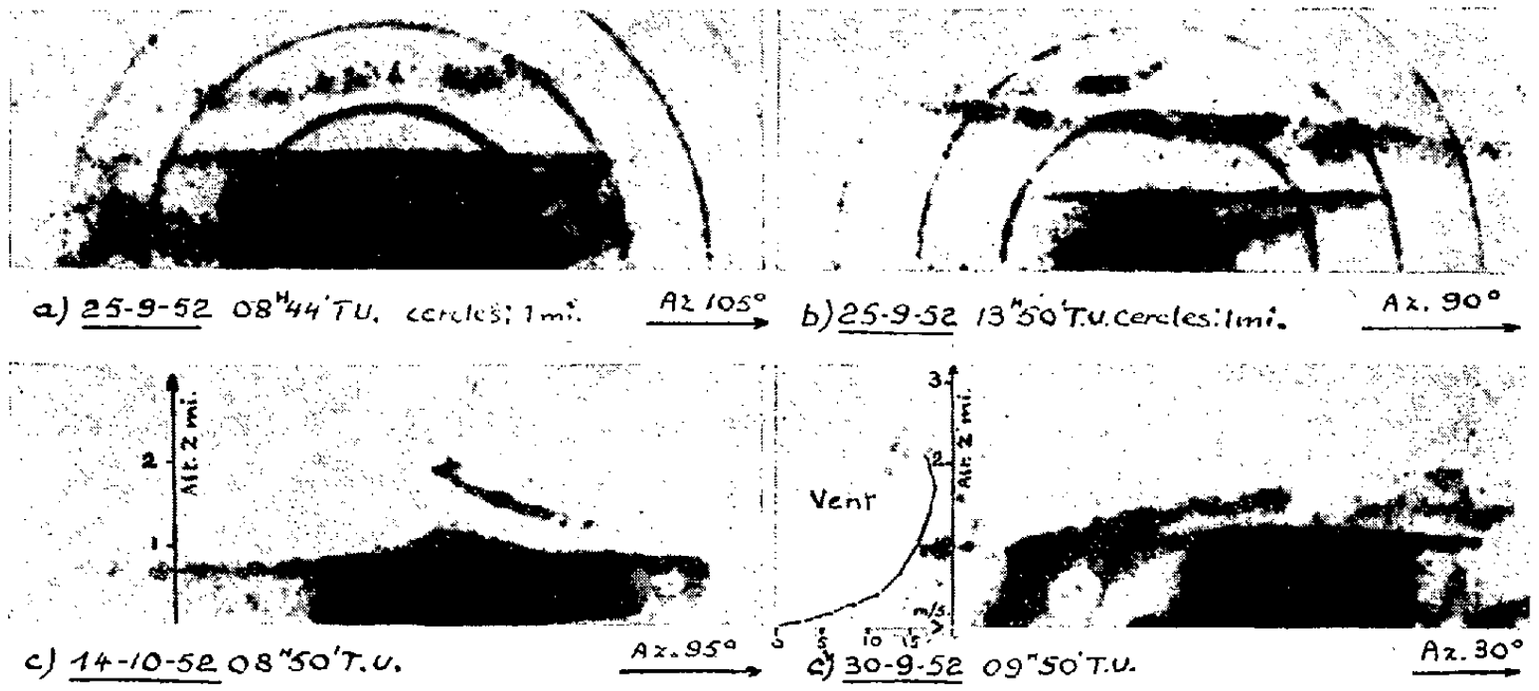
(3) *Comptes rendus*, **233**, 1951, p. 1210.

produite résulte de la vitesse de chute w de ces particules et du gradient vertical de vent.

En effet, si l'on désigne par x la distance horizontale et par z la distance verticale, l'origine étant prise au lieu de fonction, l'axe oz étant dirigé vers le bas, on a

$$x = \frac{1}{w}\int_0^z [V(z)\cos\alpha - V_0]\,dz, \tag{1}$$

V_0 étant la vitesse du vent à l'origine, et $V(z)\cos\alpha$ la vitesse du vent à la distance verticale z, projetée sur le plan d'analyse.



Exemples de types de bandes supérieures apparaissant sur l'écran d'un radar explorant le plan vertical dans l'azimut indiqué.

Dans le cas d'une dispersion des vitesses de chute w, on peut montrer que si

$$\int_0^z [V(z)\cos\alpha - V_0]\,dz < 0$$

(cas le plus général : augmentation du vent avec l'altitude), ce sont les particules qui tombent le plus vite qui sont à l'avant de la précipitation.

Ces considérations nous permettent de calculer la vitesse de chute w des particules en fonction de la forme de l'écho et du gradient de vent. En effet, on a, d'après (1) :

$$w = \frac{dz}{dx}[V(z)\cos\alpha - V_0]. \tag{1}$$

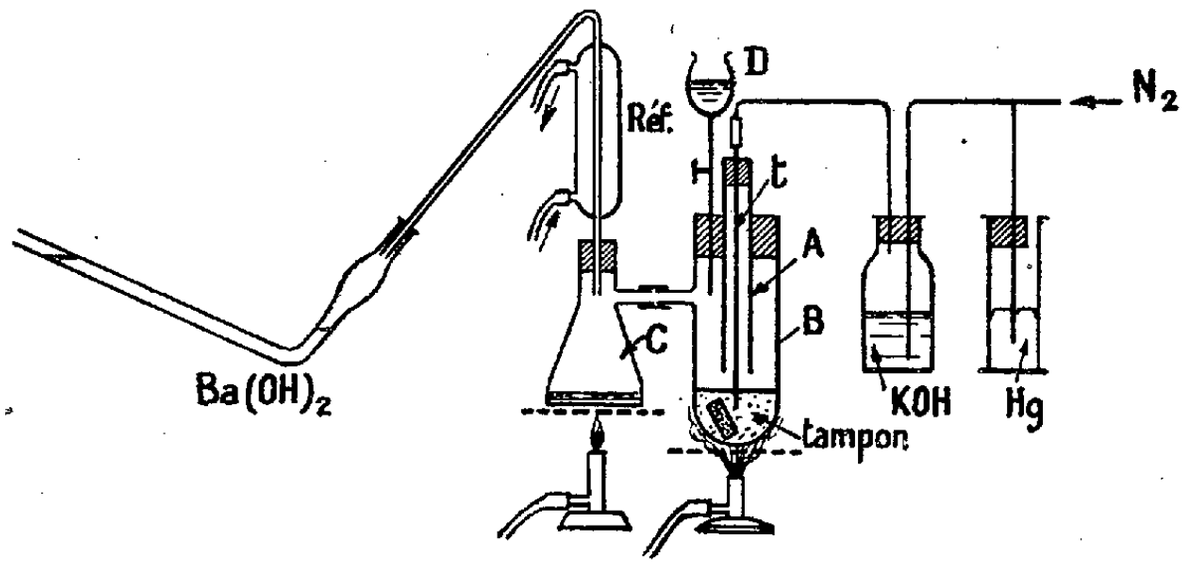
Or sur la figure c' le calcul de cette vitesse donne pour les particules situées au-dessus de la bande brillante 0,5 à 1 m/s et au-dessous 5 à 7 m/s. Ces chiffres qui correspondent bien respectivement à la vitesse de chute d'un flocon de neige et d'une goutte de pluie renforcent l'hypothèse que la bande brillante au voisinage de l'isotherme 0° C est bien causée par la fusion partielle des flocons de neige.

PHYSIOLOGIE VÉGÉTALE. — *Mesure du gaz carbonique total des tissus des fruits. Application à un cas particulier.* Note de M. **Roger Ulrich** et Mlle **Odile Thaler**, présentée par M. Raoul Combes.

Une méthode d'extraction et de dosage du gaz carbonique total des tissus des fruits est décrite et appliquée à des poires Williams. Le gaz carbonique libre des méats est très peu abondant tandis que le gaz carbonique dissous est important par rapport au gaz carbonique total. Il existe un gradient de gaz carbonique de la cellule à l'atmosphère qui entoure les fruits.

En vue de préciser nos connaissances sur les échanges gazeux des fruits, nous avons décrit, il y a quelques années, une technique d'extraction des gaz des méats, appliquée depuis à plusieurs espèces de fruits (1). Pour compléter ces données, nous avons recherché un procédé d'extraction du gaz carbonique total des tissus. Nous sommes partis du même principe que nos prédécesseurs; ceux-ci faisaient bouillir les fragments d'organes dans un liquide : solution saturée de sel (Frémy) ou alcool (Claypool; Wardlaw et Leonard) (2); nous avons par contre jugé utile de changer de liquide et d'appareillage.

Les objets à étudier sont chauffés dans une solution tampon de pH 3 (acide citrique + phosphate disodique) qui offre l'avantage de libérer le gaz carbonique combiné sous forme de bicarbonate.



L'appareil utilisé est figuré ci-dessus schématiquement. On l'utilise de la manière suivante. Les opérations commencent, avant le remplissage des récipients, par un balayage produit par un courant d'azote des parties B et C et des tubes afférents. On remplit ensuite le tube de Pettenkofer et on dispose les objets vivants dans le tube B. Quand on utilise de petits fruits, on les

(1) *Comptes rendus*, 228, 1949, p. 500.
(2) *Ann. Bot.*, N. S., 3, 1939, p. 27-42.

précipite directement en B. Lorsqu'on opère sur des poires ou des pommes, on prélève un cylindre de tissus à l'aide d'un emporte-pièce en acier inoxydable très tranchant A qui fait corps avec le bouchon du récipient B. Le cylindre de fruit est chassé dans le flacon à l'aide du tube *t* pendant qu'un courant d'azote traverse tout l'appareil, entraînant le gaz carbonique dans le tube de Pettenkofer. Au même instant, le tampon est versé de l'ampoule D dans le récipient B et porté rapidement à l'ébullition; celle-ci est maintenue un temps suffisant pour que tout le gaz carbonique soit entraîné.

Il est intéressant de comparer les quantités de gaz carbonique ainsi obtenues à celles qu'on peut extraire des méats, et à la masse de gaz carbonique que le jus de presse renferme aussitôt après son extraction, ou après saturation.

Nous avons groupé ci-dessous, à titre d'exemples, les valeurs correspondant à un lot de poires Williams vertes conservées à + 15°.

Gaz carbonique libre des méats. — Concentration : 2,3 %. Volume des méats (mesuré par pesée après infiltration de liquide) : 4,8 % du volume des tissus, soit pour 10 cm^3 de fruit, 0,48 cm^3. Masse du gaz carbonique des méats de 10 cm^3 de fruit : 0,02 mg.

Gaz carbonique dissous. — Gaz carbonique extrait de 20 cm^3 de jus de presse : 2,8 mg (3). Gaz carbonique soluble à saturation dans 20 cm^3 de jus de presse : 31 mg. Gaz carbonique soluble à + 15° dans 20 cm^3 d'eau : 40 mg.

Teneur en eau de 10 cm^3 de fruits : 8,4 cm^3.

La solubilité dans le jus de presse étant inférieure à la solubilité dans l'eau, il semble qu'il y ait peu de gaz carbonique combiné dans le jus; d'ailleurs, la valeur du pH, inférieure à 4, donne à penser que les bicarbonates sont très peu abondants. La concentration du gaz carbonique dans une atmosphère en équilibre avec le gaz carbonique supposé dissous dans le jus serait de l'ordre de 9 %, valeur supérieure à celle observée réellement dans les méats; cette remarque conduit à l'idée d'un gradient entre la cellule et l'atmosphère intercellulaire.

Gaz carbonique total. — Pour 10 cm^3 de fruit : 3 mg.

On peut tirer de ces valeurs les rapports ci-dessous :

CO_2 total/CO_2 libre gazeux : 150;

CO_2 total/CO_2 dissous dans le jus de presse : 2,4;

CO_2 sol. à saturation/CO_2 normalement dissous dans le jus de presse : 11.

Ces chiffres montrent que, dans le cas particulier considéré ici, le gaz carbonique total des tissus est considérablement plus important que celui des méats, et même deux fois plus abondant que le gaz carbonique dissous.

(3) Valeur par défaut du fait de pertes possibles au cours de l'extraction.

Les diverses fractions paraissent donc se présenter de la manière suivante : *gaz carbonique libre* très peu abondant (faible volume et concentration réduite), *gaz carbonique dissous* assez abondant mais à un taux éloigné de celui qui correspondrait à la saturation, *gaz carbonique combiné* à peu près équivalent au précédent, sous une forme autre que celle de bicarbonate. Le passage du gaz carbonique des cellules à l'atmosphère ambiante serait la conséquence du gradient de concentration suivant : 9 % environ (gaz en équilibre avec le suc cellulaire), 2 % (gaz de l'atmosphère des méats), 0,03 % (gaz carbonique de l'air ambiant).

PHYSIOLOGIE VÉGÉTALE. — *Optimum végétatif et différenciation dans la tige du Blé.* Note de MM. **Jules Carles, Louis Soubiès** et **Roger Gadet**, présentée par M. Albert Demolon.

Le maximum ou le minimum de végétation ne s'accompagnent pas d'une teneur maximum ou minimum de protides ou de glucides, mais d'un écart entre ces teneurs dans les différentes parties de la plante.

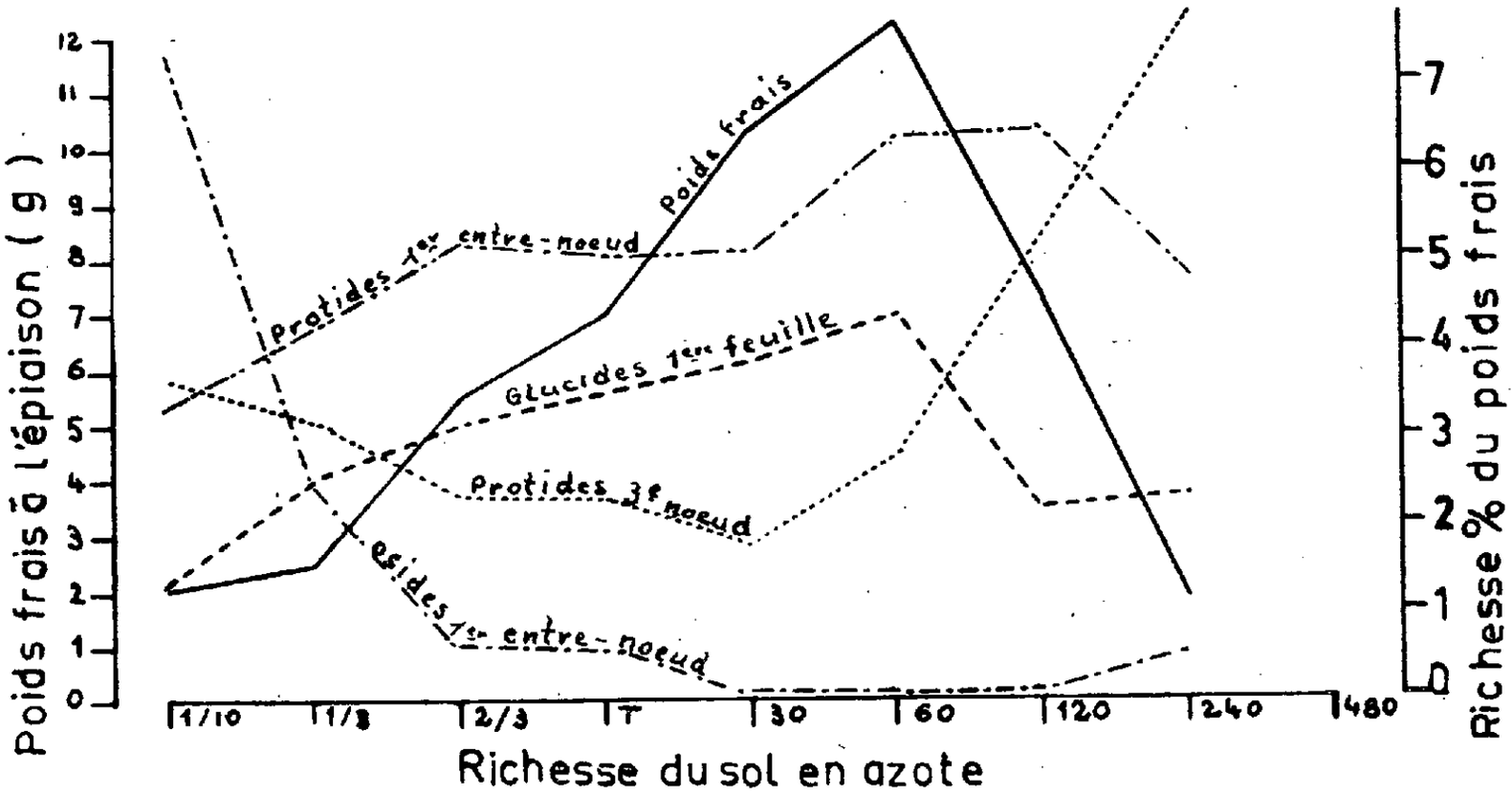
L'analyse détaillée d'un pied de Blé révèle des teneurs inattendues et paradoxales pour certaines de ses parties. La teneur protidique des nœuds surprend par son irrégularité et son indépendance marquée vis-à-vis des parties avoisinantes. Au moment où le grain est au stade laiteux, le deuxième nœud au-dessous de l'épi de la variété Docteur Mazet abondamment pourvue d'azote contient 2,25 % de protides : il est environné par le sommet de l'entre-nœud inférieur qui en contient 1,43 %, la base de l'entre-nœud supérieur 0,81 % et la base de la gaîne 3,32 %. Dans la même variété mal alimentée en azote, la teneur protidique du nœud, au lieu de baisser s'élève à 3,64 %, tandis que les tissus environnants ont baissé de moitié et contiennent respectivement 0,88, 0,74 et 1,67 % de protides.

Une telle anomalie s'intègre dans un ensemble assez surprenant de variations provoquées par l'abondance ou la disette d'azote. Nous avons cultivé du blé de printemps, Fylgia, sur des sols contenant des doses croissantes d'azote minéral. Dans une série de vases nous mélangeons d'abord avec du sable siliceux 1/10, 1/3 et 2/3 de terre (contenant au départ 32 mg d'azote minéral par kilogramme), puis cette terre seule, enrichie ensuite, par kilogramme, de 30, 60, 120, 240 et 460 mg d'azote sous forme de nitrate d'ammoniaque.

Le poids d'un pied de Blé dans ces différents vases localise l'optimum d'azote, optimum qui se déplace avec l'âge, car sur les sols pauvres le départ de la végétation se fait bien : lors du tallage, la plante vivant aux 9/10 sur le sable a un poids supérieur à celle qui a reçu 120 mg d'azote et qui, au moment de l'épiaison, dépassera toutes les plantes sans azote.

Au moment de l'épiaison, cherchons parmi les courbes de teneur en protides

ou glucides établies pour les différentes parties de la plante, celles dont l'allure est la plus typique. Certaines s'apparentent à la courbe des poids : celle des glucides du limbe de la plus haute feuille ou bien celle des protides du haut de l'entre-nœud qui supporte l'épi. Certaines présentent une allure inverse avec un minimum à l'endroit où les précédentes ont leur maximum, et vice-versa : celle des osides du plus haut entre-nœud ou celle des protides du troisième nœud. Voici ces courbes avec les chiffre des dosages ou des pesées, en commençant par les plus pauvres en azote.



	Terre diluée			Terre seule.	Terre enrichie				
	1/10,	1/2.	2/3.		30 mg.	60 mg.	120 mg.	240 mg.	480 mg.
Poids d'un pied en g :									
au tallage.....	0,97	1,55	2,80	3,47	5,27	4,97	0,90	0,45	0,09
à l'épiaison.....	2,02	2,42	5,50	7,00	10,35	12,10	7,13	1,92	–
Teneur en % du poids frais :									
Glucides 1re feuille..	1,30	2,50	3,10	–	3,80	4,34	2,20	2,34	–
Osides 1er entre-nœud.....	7,35	2,50	0,87	0,60	0,11	traces	0,05	0,47	–
Protides 3e nœud...	3,70	3,12	2,27	2,21	1,82	2,70	–	8,70	–
» 1er entre-nœud.....	3,34	4,16	5,15	5,05	5,05	6,35	6,45	4,80	–

La teneur de l'organisme végétal en glucides ou protides ne dépend pas des conditions extérieures, mais de la vie même de la plante qui différencie plus ou moins ses parties. L'opposition des courbes nous fait deviner cette complexité et le rôle divers que certaines des parties de la plante sont susceptibles de jouer dans l'ensemble. Les deux extrémités de ces courbes ne se

retrouvent pas dans l'agriculture, mais elles nous permettront peut-être de diagnostiquer la « bonne santé ».

Considérons des plantes de plein champ : nous y retrouvons les mêmes écarts. Soit la variété Docteur Mazet analysée en détail à la fin de la floraison, F; au state laiteux du grain, L; et au stade pâteux du grain, P. En face du témoin sans engrais sont analysées des plantes poussant dans des parcelles enrichies de 75 et 200 kg d'azote à l'hectare.

	Limbe de 1re feuille				Troisième nœud		Entre-nœuds		
	Oses		Protides		Protides		Osides		
	F.	L.	F.	L.	L.	P.	F.	L.	P.
Témoin	0,80	0,97	7,30	4,16	3,84	2,34	13,0	12,2	0,33
75 kg/ha ...	1,15	1,26	9,75	5,83	3,34	1,78	1,9	9,6	0,18
200 kg/ha ...	–	1,31	–	7,16	2,22	1,23	–	3,3	0,17

Les premières colonnes voient augmenter avec l'abondance d'azote leur richesse en protides et en glucides, tandis qu'elle baisse dans les dernières. La comparaison entre les colonnes 4 et 5, ou entre 2 et 8 illustrent bien cette divergence et cette différenciation.

EMBRYOGÉNIE VÉGÉTALE. — *Embryogénie des Liliacées. Développement de l'embryon chez le* Gasteria verrucosa *Duval.* Note de M. **Pierre Crété**, présentée par M. René Souèges.

Toutes les Liliacées dont les lois de l'embryogénie nous sont actuellement connues sont caractérisées par une tétrade en T. Le *Gasteria verrucosa* présente au contraire une tétrade linéaire filamenteuse de la catégorie C_2 et constitue un type embryonomique nouveau, représentatif du mégarchétype 1 dans le troisième groupe de la classification périodique.

Toutes les Monocotylédones étudiées selon les méthodes modernes de l'embryogénie se rapportent, dans l'état actuel de nos connaissances, aux séries A ou A′ de la classification périodique : les deux cellules supérieures des tétrades, premières pour la série A, secondes pour la série A′, sont séparées par une cloison verticale coïncidant avec l'axe embryonnaire. Des tétrades filamenteuses ont été parfois dessinées ou décrites, notamment chez les Liliacées (1), mais il s'agit d'observations trop incomplètes pour qu'il soit possible d'en tirer utilement parti. Chez le *G. verrucosa*, qui fait l'objet de la présente étude, il existe normalement une tétrade linéaire filamenteuse, formée de quatre cellules superposées, issues de la division transversale des deux éléments *ca* et *cb* du proembryon bicellu-

(1) P. Guérin, *Ann. Sc. nat., Bot.*, 10e série, **19**, 1937, p. 255-265.

laire, tétrade appartenant ainsi à la variante C_2 (²). Chez une espèce indéterminée du même genre *Gasteria*, K. Schnarf et R. Wunderlich (³) ont figuré une tétrade régulière en T; une seule fois, j'ai observé un cas semblable chez le *G. verrucosa*, où la forme normale est incontestablement la tétrade linéaire (*fig.* 6 à 9).

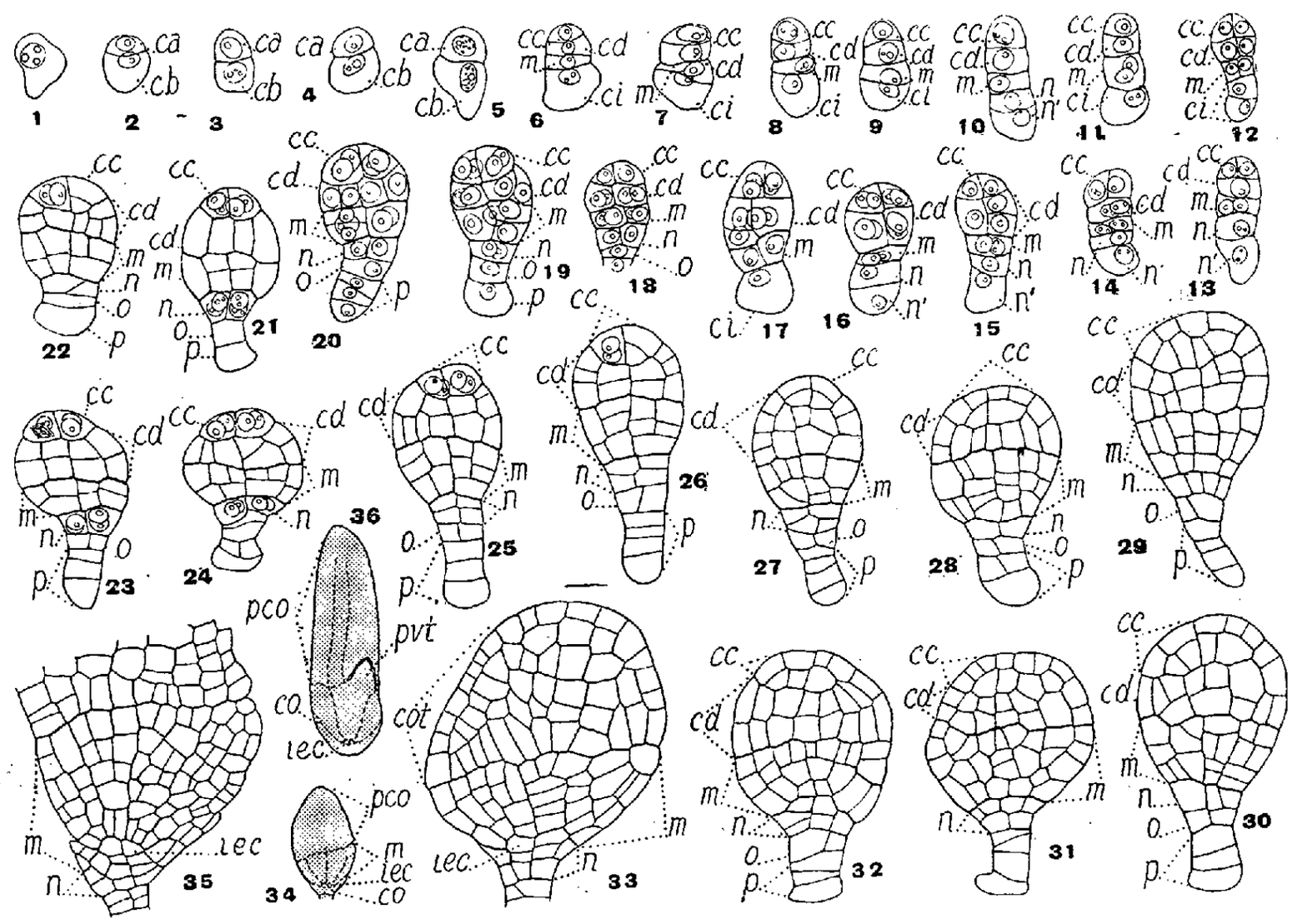


Fig 1 à 36. — *Gasteria verrucosa* Duval. — Les principaux termes du développement de l'embryon. *ca* et *cb*, cellules apicale et basale du proembryon bicellulaire; *cc*, cellule-fille supérieure et *cd*, cellule-fille inférieure de *ca* ou étages leur correspondant; *m*, cellule-fille supérieure de *cb*, ou partie hypocotylée; *ci*, cellule-fille inférieure de *cb*; *n*, cellule-fille supérieure de *cb* ou hypophyse; *n'*, cellule-fille inférieure de *cb*; *o* et *p*, cellules-filles de *n'*; *pvt*, point végétatif de la tige; *iec*, initiales de l'écorce de la racine; *co*, coiffe; *pco*, partie cotylée. G. = 280; 80 pour la fig. 34; 28 pour la fig. 36.

Les blastomères possèdent une puissance égale de division jusqu'au stade hexadécacellulaire (*fig.* 19). La cellule apicale est successivement à l'origine de deux éléments superposés, puis de deux dyades supérieure et inférieure représentant des quadrants (*fig.* 12 et 14), qui, en se divisant longitudinalement, donnent naissance à deux étages de quatre octants (*fig.* 16 à 19). L'ensemble des octants sert uniquement à l'édification de la partie cotylée, si bien que la cellule apicale possède en définitive les mêmes destinées que chez les autres Liliacées (*Muscari*, *Allium*, *Anthe-*

(²) R. Souèges, *Comptes rendus*, **224**, 1947, p. 978.
(³) *Flora*, **133**, 1938, p. 297-327.

ricum, *Scilla*). La partie hypocotylée et le point végétatif de la tige prennent naissance à partir de l'étage subterminal, *m*, provenant de la cellule intermédiaire de la tétrade. Assez rapidement, il se produit une dépression latérale de la surface embryonnaire à la jonction des cellules issues des étages *m* et *ca* (*fig.* 33 et 35), puis il se différencie, à partir de l'axe hypocotylé, un cône végétatif volumineux, qui sera plus tard entouré par la gaine provenant de l'élargissement, à la base, de la feuille cotylédonaire (*fig.* 36).

Le *G. verrucosa* présente une hypophyse véritable, puisque c'est la cellule proembryonnaire *n* qui engendre à la fois les initiales de l'écorce de la racine et la portion médiane de la coiffe. Ce blastomère fournit d'abord deux, puis quatre éléments (*fig.* 18 à 21), qui se cloisonnent verticalement (*fig.* 29), parfois après s'être divisés tout d'abord transversalement (*fig.* 25 à 27).

Au contact de l'étage *m*, les cellules circumaxiales isolent, à l'aide d'une paroi horizontale, les quatre initiales de l'écorce au sommet radiculaire (*fig.* 32 à 35). La coiffe se constitue, dans sa partie médiane, à partir des éléments sous-jacents aux initiales précédentes; en son point le plus éloigné du sommet, elle se détache du périblème dont l'assise externe devient ainsi l'assise pilifère. L'étage o intervient dans la construction du sommet de la coiffe, mais contribue surtout, avec les cellules issues de l'étage *p*, à édifier un suspenseur toujours bien représenté (*fig.* 30 à 32), parfois même volumineux (*fig.* 26 et 28).

Le *G. verrucosa* appartient au 3e groupe embryogénique de la classification périodique, soit à la variante a_1 de la sous-série a dans la série C. Il y représente un type embryonomique nouveau, correspondant au mégarchétype I (4) et (5).

On voit quel précieux instrument de travail constitue le système périodique, qui nous permet de bien préciser les caractères embryogéniques de ce nouveau type de développement, de faire ressortir l'importance des différences vraiment essentielles qui le définissent et, en même temps, de bien déterminer les rapports qu'il offre avec les types du même mégarchétype et du même groupe embryogénique.

---

(4) R. Souèges, *Embryogénie et classification*, 2e fasc., Partie générale, Essai d'un système embryogénique, Paris, 1939.

(5) R. Souèges, *Embryogénie et classification*, 3e fasc., Partie spéciale, p. 62, Paris, 1948.

BIOMÉTRIE VÉGÉTALE. — *Évolution des distributions de fréquences des tailles des plantules d'une population de Blé.* Note de M. **Jacques Ricard**, transmise par M. Louis Emberger.

La distribution de fréquences des tailles des plantules d'une population de Blé résulte de la superposition d'une infinité de courbes primitivement normales.

La population peut cependant être considérée comme approximativement gaussienne, lorsque l'intervalle de temps séparant la première de la dernière germination est très bref.

A la suite de recherches d'ordre biométrique portant sur certains phénomènes d'intoxication, nous avons pu observer et étudier, au cours de la croissance résiduelle (1) des plantules d'une population de Blé (cultivée en étuve sur papier filtre humide), l'évolution présentée par des distributions de fréquences des tailles de ces plantules (2).

Si t représente les temps (comptés à partir de leur moyenne) de la germination des graines de la population, et x les tailles (comptées à partir de leur moyenne) des plantules portées par les graines ayant germé aux temps t, la distribution de la fréquence des couples (t, x), dans le cas de certaines populations à effectif élevé, pourra être assimilée à l'équation d'une « surface normale (3) ». Des variables t et x étant indépendantes, la fréquence élémentaire des couples (t, x) sera définie par la relation de Gauss :

$$dF = \frac{N}{2\pi\sigma_t\sigma_x} e^{-\frac{1}{2}\left(\frac{t^2}{\sigma_t^2}+\frac{x^2}{\sigma_x^2}\right)} dt\,dx.$$

Deux sous-populations peuvent, à chaque instant, être distinguées dans la population : la sous-population A comprenant les graines vivantes mais non germées, la sous-population B comprenant toutes les graines germées à l'instant considéré.

Dans le cas, précédemment envisagé, d'une population dont la distribution de fréquences des temps de germination est gaussienne (4), la fréquence rela-

---

(1) La croissance résiduelle des plantules est celle qui s'effectue uniquement aux dépens des matières de réserve accumulées dans la graine.

(2) Cette étude ne porte que sur la croissance du coléoptile et de la gemmule, mais les conclusions qui en sont tirées semblent pouvoir être étendues à l'ensemble de la plantule.

(3) Dans le cas particulier où les variables t et x sont indépendantes, la « surface normale » est la surface d'équation

$$u(t, x) = \frac{N}{2\pi\sigma_t\sigma_x} e^{-\frac{1}{2}\left(\frac{t^2}{\sigma_t^2}+\frac{x^2}{\sigma_x^2}\right)}$$

dans laquelle σ_t représente l'écart-type de la distribution de fréquences des t, σ_x l'écart-type de la distribution de fréquences des x et N l'effectif de la population.

(4) Une population est dite « gaussienne », lorsque sa courbe de fréquences est une « courbe normale » ou « courbe de Gauss ».

tive de la sous-population A au temps T_0 sera égale à la probabilité que l'on a, de tirer au hasard, dans la population, une graine qui n'ait pas encore germé au temps T_0.

Les distributions des fréquences des tailles des plantules de la sous-population B peuvent donc être considérées, théoriquement, comme résultant de la superposition d'une infinité de courbes qui, au moment de la germination, sont normales.

De telles distributions de fréquences (même si la loi de distribution des temps de germination n'est pas gaussienne), présentent :

1° Un maximum de fréquences (S_1) des plantules dont la taille est réduite, qui décroît parallèlement à la fréquence des germinations.

2° Un deuxième maximum de fréquences (S_2) des plantules dont la taille est élevée, dû à une diminution de la vitesse de croissance résiduelle.

Si l'intervalle de temps séparant la première de la dernière germination est suffisamment étendu, les maxima S_1 et S_2 peuvent coexister (*fig.* 1).

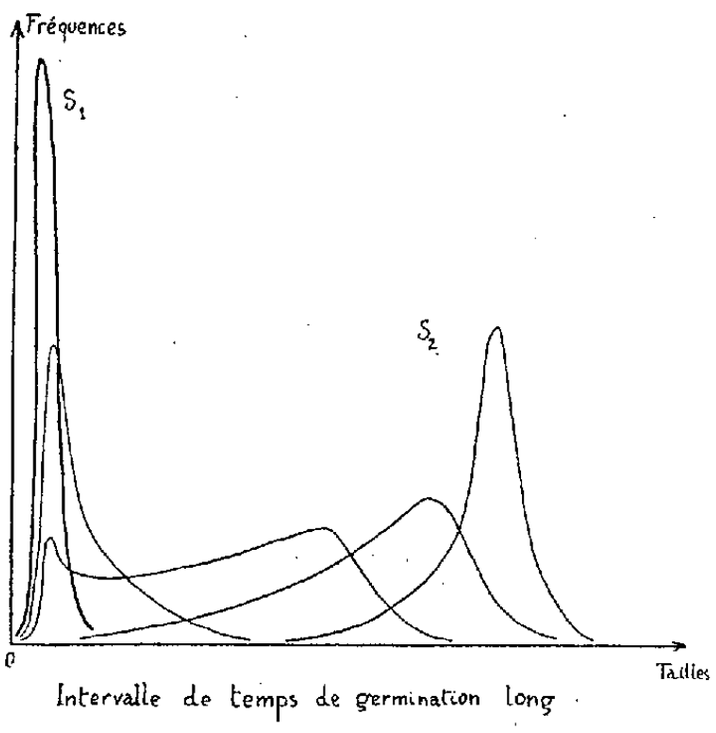


Fig. 1.

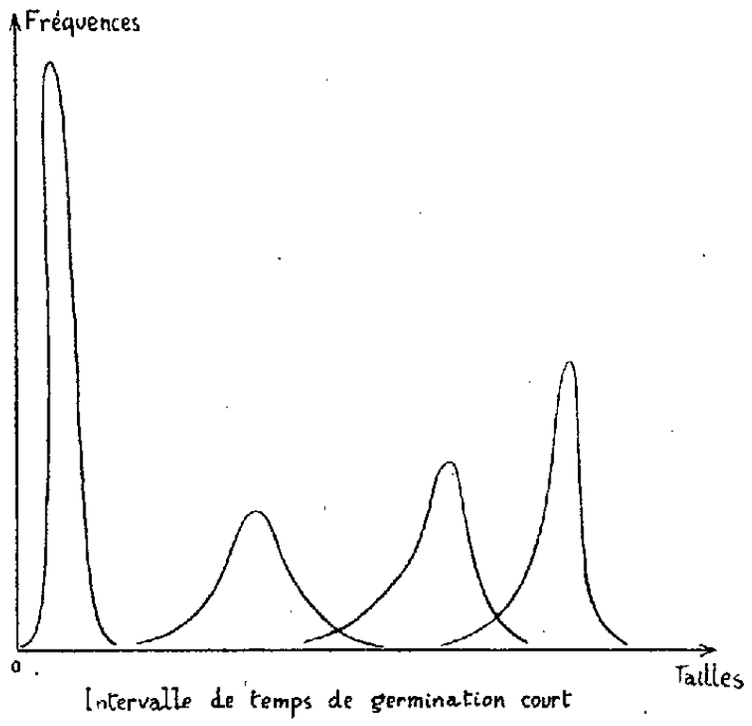


Fig. 2.

Schéma de l'évolution théorique des distributions de fréquences d'une population de Blé.

La « loi normale » ne pourra donc s'appliquer, avec une approximation d'ailleurs médiocre, à la distribution de fréquences, qu'après un temps assez long et après la disparition totale de la sous-population A.

Si l'intervalle de temps séparant la première de la dernière germination est très peu étendu, la distribution de fréquences, testée au moyen de la méthode des « probits » (Gaddum et Hemmingsen 1933, Bliss 1935) peut être assimilée à une loi normale, bien qu'elle ne le soit pas en toute rigueur (*fig.* 2).

La population n'est d'ailleurs gaussienne qu'assez peu de temps après la germination, la normalité de la distribution devenant de moins en moins marquée au fur et à mesure que le temps s'écoule.

GÉNÉTIQUE. — *Sur la méiose de quelques* Iris Pogocyclus. IV. *Hybrides entre* Pogocyclus $2n(2n=22)$ *ou* $4n(n=22)$ *et* Pogoniris grands $4n(n=24)$. Note de M. **Marc Simonet**, présentée par M. Louis Blaringhem.

Parmi les *Pogocyclus* diploïdes ($2n=22$) trois d'entre eux sont anormalement à $2n=46$-47; ils doivent provenir du recroisement d'une F_1 par un *Pogoniris grands* $4n(n=24)$ tandis qu'un doublement chromosomique d'origine ♀ avait lieu ($2n=22\times n=24 : 2n=46$). La méiose de ces hybrides montre la conjugaison des chromosomes *Pogoniris* à l'état triploïde ($12\times 3=2n=36$).

Nous avons montré (¹) que les Iris hybrides *Pogocyclus* diploïdes ($2n=22$) issus du croisement des *Oncocyclus* ($n=10$) et des *Pogoniris grands* diploïdes ($n=12$) ont un comportement méiotique en partie asyndétique; le pollen de ces hybrides est non fonctionnel. On connaît aussi des hybrides entre *Oncocyclus* et *Pogoniris grands* tétraploïdes ($n=24$). Parmi ceux-ci, citons : *Ibmac* (*iberica* × *macrantha*) de V. Tubergen (1906), *Ric-Ib.* (*Ricardi Leverrier* × *iberica*) de Denis (1923) et une demi-douzaine de variétés obtenues par White (1933) à partir de *macrantha purissima* × *susiana*. Seuls les deux premiers ont fait l'objet de recherches cytologiques; nous avons signalé qu'ils étaient aberrants (²); au lieu d'être à $2n=34$ ($n=10+n=24$), *Ibmac* est à $2n=44$, c'est un *Pogocyclus* tétraploïde, amphidiploïde, dont les gamètes sont normaux ($n=22$) et le pollen fertile. Par contre, *Ric-Ib* est à $2n=46$ avec une réduction chromatique irrégulière; *Ibmac* comme *Ric-Ib* résultent d'un doublement chromosomique ♀ : *Oncocyclus* ($n=10\times 2+n=24 : 2n=44$) ou *Pogoniris* ($2n=36+n=10:2n=46$). Signalons aussi qu'un très beau *Pogocyclus* diploïde, *William Mohr* (Mohr, 1922), s'est parfois montré fertile, mais seulement du côté ♀. Aussi, c'est en le recroisant par les *Pogoniris grands* $4n$ que simultanément White, en Californie, et Aylett, en Australie, obtinrent en 1934 les premiers descendants qui, d'après Randolph (³), sont à $2n=46$. En 1940, Reinelt en unissant *William Mohr* à *Ibmac* réussissait une nouvelle combinaison qui donna naissance à *Capitola* à $2n=43$ (Randolph, *loc. cit.*), un nouveau *Pogocyclus* $4n$ (hypotétraploïde). Ces divers hybrides correspondent à l'union d'un ovule diploïde de *William Mohr* avec un gamète ♂ normal ($2n=22+n=24 : 2n=46$). En poursuivant l'étude des *Pogocyclus* de notre collection, nous avons trouvé que les *I. Nazirin*, *Shirin* (*iberica* × *pallida*), *Shushan* (hybride inverse du précédent), *Ibvar* (*iberica* × *variegata*), *Parvar* (*paradoxa* × *variegata*),

(¹) *Comptes rendus*, **231**, 1950, p. 1544.

(²) *Bull. Biol. France-Belgique*, **69**, 1935, p. 178 et *Comptes rendus*, **204**, 1937, p. 894.

(³) *Ann. Iris. Soc.*, n° **107**, 1947, p. 68.

Parsamb (*paradoxa* × *sambucina*), *Dorak* (*iberica* × *cengialti*) de Foster, *Dott. Attilio Ragionieri* (*Peau rouge* × *susiana*) de la Comtesse Senni (1937), sont normalement diploïdes à $2n = 22$, alors que les *I. Ismali* (*iberica* × *pallida*), *Lady Lilford* (*paradoxa* × *pallida*) de Foster sont à $2n = 46$; *Congrès*, un recroisement d'*Ibvar* de Cayeux (1924), est lui à $2n = 47$. Il est vraisemblable qu'*Ismali* et *Lady Lilford* sont en réalité des F_2 d'*Ibpall* et de *Parpall* dont l'hybride F_1, tout comme pour *Congrès*, a été fécondé par un gamète ♂ d'un *Pogoniris grands* $4n$, tandis que les ovules gardaient une constitution diploïde ($2n = 22 + n = 24$: $2n = 46$).

D'après ces divers examens chromosoniques les *Pogocyclus* $2n$ ne semblent fertiles que lorsqu'un doublement chromosomique ♀ a lieu, les ovules étant anormalement diploïdes ($2n = 22$). L'incertitude d'un tel processus, parce qu'assez rare, peut être aisément levée en utilisant directement comme géniteurs les *Pogocyclus* $4n$ dont les gamètes ont précisément cette formule diploïde ($n = 22$). Ainsi, en combinant les *Pogoniris grands* $4n$ à *Ibmac* ($n = 22$), nous avons réussi à obtenir *Antipolis* et *Marjoris* (4) à $2n = 46$; de même, les semeurs californiens ont utilisé avec succès *Capitola* ($n = 43/2$) et Randolph (*loc. cit.*), en étudiant l'un de ces derniers hybrides, a noté $2n = 45$ pour *Lady Mohr* (Salbach, 1943). Nous même avons trouvé $2n = 45$ en examinant la constitution chromosonique de *Blue Elegance*, de *Morning Blue*, créés par Jory (1947) et *Peg Dabagh* de Craig (1948); tous les trois sont issus de *macrantha purissima* × *Capitola* (5).

Des examens méiotiques ont été effectués chez les *I. Ismali* et *Congrès* où la réduction chromatique présente des irrégularités; il y existe notamment des univalents (8-19), des bivalents (4-14) et des multivalents; en particulier des trivalents (1-6). On trouve respectivement, en moyenne, par cellule : 14,8 et 14,3 univalents; 8,5 et 9,4 bivalents; 3,7 et 3,9 trivalents; 0,4 tétravalents; 0,2 et 0,08 pentavalents; 0,06 et 0,03 hexavalents; c'est-à-dire 31,0 et 32,6 éléments conjugués pour 12,8 et 14,5 configurations chromosomiques; leur pollen, comme celui de *Lady Lilford*, renferme 40-50 % de grains bien conformés. Un même comportement a été également observé chez un autre *Pogocyclus*, recroisement d'*Ibmac*, obtenu par Denis : Mme *Savouillan* (*Ibmac* × *kashmiriana* var. *Bartoni*) à $2n = 46$. Nous avons trouvé, en moyenne, par cellule : 15,3 univalents; 10,2 bivalents; 3,2 trivalents; 0,1 tétravalents; 0,06 pentavalents, soit 13,5 configurations pour 30,7 éléments conjugués.

Les résultats de ces analyses méiotiques sont à rapprocher de ceux que nous avons déjà trouvés chez les *I. Ric-Ib* (1937, *loc. cit.*), *Antipolis* et

(4) *Comptes rendus*, **232**, 1951, p. 1581.

(5) Ces hybrides nous ont été envoyés par M. le Professeur Jory.

Marjoris (1951, *loc. cit.*). Tous ces *Pogocyclus* à $2n = 46$ ont, en effet, une garniture *Pogoniris* triploïde et un stock haploïde *Oncocyclus* ($n = 12 \times 3 = 36 + n = 10 : 2n = 46$). Or le mode de conjonction observé correspond, d'une part à une conjugaison des 36 éléments *Pogoniris* comparable à celle des *Pogoniris grands* triploïdes (6), d'autre part à une asyndèse assez fortement accusée des 10 chromosomes *Oncocyclus*. Il est vraisemblable que les descendants à $2n = 46$ de *William Mohr* et à $2n = 45$ de *Capitola*, issus de *Pogoniris* à $4n$, auront une réduction chromatique voisine du schéma méiotique qui vient d'être décrit.

CÉCIDOLOGIE. — *Édification de galles multiples par une même fondatrice et peuplement des galles d'*Eriophyes macrorhynchus *Nal. sur* Acer Pseudoplatanus *L.* Note de M. **Jean Meyer**, présentée par M. Louis Blaringhem.

La fondatrice printanière et mobile d'*Eriophyes macrorhynchus* est l'auteur de galles multiples. Sous l'action de visites cécidogènes répétées, les galles atteignent leur taille adulte antérieurement à l'important peuplement estival.

De nombreux auteurs ont été frappés de l'absence de cécidozoaire dans les jeunes ébauches destinées à se développer en gîtes d'Acariens. Ce fait est si répandu dans la nature qu'il a donné naissance à la théorie des « acarodomaties » de l'école de Lundström (1) selon laquelle, dans un nombre énorme de cas, l'origine des gîtes serait due à une induction uniquement végétale et spécifique. Cette théorie ne peut cependant s'appliquer là où, de toute évidence, ces ébauches n'apparaissent qu'accidentellement, en des points variables du végétal, comme c'est le cas des ébauches vides, destinées à héberger *Eriophyes macrorhynchus* Nal. sur les feuilles d'Érable. C'est à Frank (2) que l'on doit les premières études de ces ébauches sur *Acer campestre* L. En avril-mai, Frank, malgré les observations qu'il affirme minutieuses, ne décèle aucun acarien dans les jeunes stades. Selon lui, les ébauches pourraient être déclenchées par des acariens assez rares et mobiles pour échapper aux investigations. L'abandon des ébauches ne serait que provisoire. Nalepa (3) conteste la valeur technique de ses observations et critique sa théorie. Mes études effectuées sur *Acer Pseudoplatanus* L. sont de nature à apporter quelques éclaircissements sur le problème.

---

(6) *Comptes rendus*, **232**, 1951, p. 650.

(1) *Pflanzen biologische Studien*, II. *Die Anpassungen der Pflanzen an Tiere*, Upsala, 1887.

(2) *Die tierparasitären Krankheiten der Pflanzen*, Breslau, 1896, p. 41-42.

(3) *Marcellia*, **24**, 1927, p. 87-98.

1. *Pouvoir multigalligène des fondatrices.* — Certaines jeunes feuilles d'*Acer Pseudoplatanus* L. présentent, de fin avril au début de mai, de nombreuses et minuscules pustules colorées par de l'anthocyane et correspondant à de légères cuvettes de la face inférieure. Ces cuvettes sont presque toutes vides. Une observation poussée, à la loupe binoculaire, permet cependant de repérer quelques très rares acariens terrés dans les cuvettes ou se promenant sur le limbe. Mais la proportion en est infime. Au total, après des observations répétées en 1950 et 1952, la proportion des acariens détectés était de 8 pour environ 160 cuvettes observées sur quatre feuilles différentes. Le développement ultérieur de ces cuvettes nous apprend qu'il s'agit cependant de jeunes stades des galles typiques d'*Eriophyes macrorhynchus* Nal. L'observation des déplacements des acariens sur des feuilles conservées en boîte de Pétri (le pétiole plongeant dans l'eau) permet de vérifier qu'un même acarien visite plusieurs cuvettes.

Concentrant mes observations sur un secteur de 9 cuvettes bien définies, j'ai pu constater, au cours de 15 observations s'échelonnant du 26 avril au 10 mai, que 8 cavités avaient été visitées avec certitude. J'ai encore remarqué que la cavité le plus souvent visitée au cours de mes observations était en avance sur les autres au point de vue différenciation (apparition plus précoce des poils tecteurs ostiolaires).

L'une des objections de Nalepa à l'hypothèse de Frank était l'impossibilité, pour lui, de concevoir qu'un nombre d'acariens, infime au point d'échapper à l'observation, puisse réaliser le développement complet, jusqu'à la taille adulte, d'une multitude de galles, comme celles qui se présentent sur la feuille d'Érable. Mes observations vérifient cependant l'hypothèse de Frank : le fait que, d'une part, dans un secteur donné, la visite de presque toutes les galles a été observée et que, d'autre part, ces visites, échelonnées sur une assez longue période, étaient répétées, permettent de comprendre comment les ébauches, sous une action cécidogène entretenue à des intervalles plus ou moins réguliers, pouvaient toutes finalement atteindre la taille adulte.

Il est intéressant de rapprocher ces résultats des observations faites sur les énormes déformations que constituent les « Wirrzöpfe » sur les Saules. A la suite de plusieurs auteurs, dont en dernière date Maresquelle (4), j'ai pu me persuader par moi-même de l'extrême rareté des acariens dans ces déformations. Nalepa (5) qui, normalement, admet qu'il doit y avoir autant d'acariens cécidogènes que d'ébauches, reconnaît cependant que, selon toute probabilité, les « Wirrzöpfe » seraient dus à l'action cécidogène d'acariens bien déterminés par lui, mais qui seraient

(4) *Bull. Ass. Philomathique d'Alsace et de Lorraine*, **8**, 1935-1936, p. 213-217.
(5) *Marcellia*, **21**, 1924, p. 31-58.

en si petit nombre dans les jeunes stades qu'ils pourraient échapper aux chercheurs. Mes observations sur la capacité multigalligène extraordinaire d'*Eriophyes macrorhynchus* appuieraient cette hypothèse en ce sens, qu'elles montrent que quelques rares acariens très mobiles sont effectivement capables d'action cécidogène de grande envergure. D'autre part, ces observations sont de nature à remettre en question l'hypothèse de la préformation d'origine végétale de nombreux cas douteux d'acarodomaties, dont l'étude serait à reprendre à la lumière des faits précités.

2. *Ponte des fondatrices et peuplement des galles.* — En 1950, les premières pontes ont été constatées le 5 mai. Mais ces pontes ne sont encore que peu importantes : sur 8 galles, choisies parmi les plus grosses, il n'y avait que trois œufs répartis dans 2 galles. Vers le 10 mai, de nombreuses cavités sont fermées par des poils. En fin mai, la taille adulte des galles est atteinte, encore à peu près dépeuplées; je finis par trouver la période de peuplement intense en fin juillet. A cette date, presque toutes les galles sont littéralement bourrées d'acariens attachés à la paroi intérieure, plus de 25 parasites dans une galle. Si l'on ouvre des galles en octobre, elles présentent déjà un léger feutrage mycélien entremêlé de mues d'acariens. Il n'y a plus que la moitié des galles qui soit habitée par de rares acariens (1 à 3 par cavité), ce qui nous permet d'admettre qu'est déjà commencée la période de migration vers des lieux d'hivernation que je n'ai pu déterminer.

HISTOPHYSIOLOGIE. — *Sur l'emplacement et les connexions des cellules neuro-sécrétrices dans les ganglions cérébroïdes de quelques Chilopodes.* Note de M. **Manfred Gabe**, présentée par M. Louis Fage.

Une « voie neuro-sécrétrice » relie, chez les Chilopodes, des cellules riches en inclusions acidophiles, situées dans les lobes frontaux, à la « glande cérébrale »; comme la glande du sinus des Crustacés et les *corpora cardiaca* des Insectes Ptérygotes, cette glande contient, en outre, un deuxième produit de sécrétion, formé sur place.

L'existence de cellules neurosécrétrices dans les ganglions cérébroïdes des Insectes et des Crustacés Malacostracés est bien établie à l'heure actuelle; les travaux récents mettent en lumière les connexions de ces cellules avec des formations endocrines céphaliques. Par contre, les données relatives aux Myriapodes ne sont représentées que par une notion négative, à savoir l'absence de cellules neurosécrétrices chez deux Iulides non déterminés, récoltés en Afrique (1). Or, l'examen des centres nerveux de *Lithobius forficatus* L. au moyen des techniques topographiques m'a

(1) E. et B. Scharrer, *Biol. Rev.*, 14, 1937, p. 185.

montré la présence de cellules ganglionnaires fortement acidophiles; il y avait donc lieu de rechercher des cellules neurosécrétrices chez d'autres Chilopodes, de préciser leurs particularités histologiques et d'étudier leurs connexions.

L'étude de six espèces indigènes (*Scolopendra cingulata* Latr., *Cryptops anomalans* Newp., *C. hortensis* Leach, *Lithobius forficatus* L., *L. calcaratus* Koch, *Geophilus linearis* Koch) m'a permis de déceler un groupe pair et symétrique de grandes cellules ganglionnaires situées au voisinage immédiat des globuli, dans l'écorce dorsale des lobes frontaux. Le diamètre moyen de ces cellules atteint 20 μ et les caractères nucléaires ne permettent pas de les distinguer des autres neurones plasmatiques; les particularités morphologiques du cytoplasme permettent, au contraire, l'identification immédiate de ces éléments. En effet, les cellules en question sont pauvres en ribonucléines pyroninophiles et la majeure partie du cytoplasme est occupée par des grains régulièrement arrondis, dotés d'une affinité marquée pour tous les colorants acides. L'éosine, la fuchsine acide, anilinée ou non, colorent ce produit de sécrétion en rouge; l'hématoxyline au fer lui confère une teinte noire, l'azocarmin le colore en rouge; il apparaît en bleu foncé sur les préparations colorées par l'hématoxyline chromique-phloxine de Gomori et la réaction de Hotchkiss-Mc Manus prouve la présence d'un glucide différent du glycogène.

L'abondance du produit de sécrétion est variable suivant les cellules. Dans certains cas, le cytoplasme est rempli de grains assez petits et uniformément répartis; d'autres fois, on ne trouve que quelques masses plus volumineuses; d'autres cellules, enfin, apparaissent vidées de leur produit de sécrétion.

Ce produit quitte les cellules sous une forme figurée et chemine le long des axones, dont l'affinité pour tous les colorants acides est telle que l'on peut les suivre sans aucune difficulté sur coupes colorées par les méthodes dites générales. Les axones se dirigent dans le sens aboral, ventral et latéral; ils quittent le *protocerebron* et forment le nerf décrit sous le nom de « nerf de Tömösvary » par Saint-Rémy ([2]), par Haller ([3]), sous celui de « nerf de l'organe frontal » par Holmgren ([4]).

Le nerf en question, dont le trajet intraganglionnaire a été, en partie, suivi par Holmgren au moyen de la technique au bleu de méthylène et dont le trajet a été sommairement décrit par Fahländer ([5]), se rend à une

([2]) *Thèse Doct. Sciences*, Paris, 1890.

([3]) *Arch. mikr. Anat.*, 65, 1905, p. 181.

([4]) *K. Vet.-Akad. Handl.*, **56**, 1916, p. 1.

([5]) *Zool. Bidr. Uppsala*, **17**, 1938, p. 1.

formation découverte chez *Lithobius* par Holmgren (4) et considérée par cet auteur comme un organe sensoriel (*organe frontal*). Fahländer (5), qui décrit succinctement l'emplacement de cet organe chez des représentants des quatre ordres de Chilopodes, estime que ses cellules sont « parfois assez fortement éosinophiles et ressemblent en gros plus à des cellules glandulaires qu'à des cellules nerveuses »; le nom de « glande cérébrale » lui paraît plus conforme à la structure de cette formation que celui d' « organe frontal » et il soulève l'hypothèse de sa nature endocrine, en le rapprochant des *corpora allata* des Insectes et de l'organe X des Crustacés. Hanström (6) envisage, avec réserve et en se fondant sur la description de Fahländer, l'homologie éventuelle de cette « glande cérébrale » et de l'organe X des Crustacés.

L'étude histologique montre que cet organe possède tous les caractères morphologiques d'une glande endocrine. Dépourvu de canal excréteur et appendu au nerf mentionné ci-dessus, qui se termine entre les cellules, il affecte la forme d'une grappe chez *Scolopendra*, celle d'une vésicule chez toutes les autres espèces énumérées. Les cellules sont pourvues de noyaux assez clairs et comportent, à certains stades de leur cycle sécrétoire, un ergastoplasme bien développé. Les colorations trichromes mettent en évidence deux produits de sécrétion, dont l'un, colorable par l'éosine, la fuchsine acide, l'orange G de l'Azan, prend naissance dans les cellules de la glande cérébrale. A côté de ce produit, que la méthode de Gomori permet de colorer en rouge, on trouve des grains ou des traînées cyanophiles, disposées le long des terminaisons du nerf; par la méthode de Gomori on les colore en bleu, tout comme les granulations intracytoplasmiques des cellules neurosécrétrices.

Les données histologiques confirment donc l'hypothèse de la nature glandulaire de cet organe, avancée par Fahländer, mais elles ne sont pas en faveur du rapprochement avec les *corpora allata* et l'organe X, proposé par cet auteur. Il doit paraître plus légitime de rapprocher cette glande des *corpora cardiaca* et de la glande du sinus. En effet, elle est innervée, tout comme ces deux formations endocrines, par des cellules neurosécrétrices, situées dans le *protocerebron* et le produit de sécrétion des péricaryones d'origine du nerf y parvient en cheminant le long des axones. D'autre part, ses cellules élaborent un produit acidophile différent de la substance sécrétée par les cellules neurosécrétrices; la même particularité a été récemment mise en évidence à propos des *corpora cardiaca* et de la glande du sinus.

---

(6) *K. Vet.-Akad. Handl.*, (3), **18**, 1940, p. 1.

HÉMATOLOGIE. — *Examen de la surface des érythrocytes falciformes au microscope électronique*. Note de MM. **Marcel Bessis, Michel Bricka** et Mme **Janine Breton-Gorius**, transmise par M. Albert Policard.

Le microscope électronique montre la présence de formations orientées dans les hématies falciformes. Ces observations fournissent un argument important à la théorie de la cristallisation intra-globulaire de l'hémoglobine.

L'examen par transparence, au microscope électronique, des érythrocytes falciformes n'apporte pas de renseignements précis sur la structure de ces cellules (1). Par contre, l'examen de leur surface montre plusieurs ordres de faits.

Nous avons utilisé la méthode des moulages préombrés d'érythrocytes (2) (3) de malades porteurs de l'anomalie et rendus falciformes par l'adjonction de métabisulfite de sodium.

1° On constate la présence de stries parallèles, orientées suivant les axes principaux de la cellule. L'aspect de ces stries évoque la surface de petits bâtonnets disposés parallèlement. La longueur de ces bâtonnets serait égale ou supérieure au micron, leur largeur, assez constante, de l'ordre de 0,3 μ. Cet aspect ne se voit pas au microscope optique, sans doute à cause de la très faible épaisseur de ces structures.

2° On apprécie particulièrement bien les différences d'épaisseur de la cellule. On constate la présence de plateaux très accusés et de parties basses ayant l'aspect de voiles tendus entre ces différents plateaux, ce qui donne l'impression d'une enveloppe contenant des masses localisées qui ne la rempliraient pas complètement.

3° Souvent les contours de ces plateaux ne sont pas réguliers, mais présentent des dents de scie.

L'ensemble de ces constatations suggère fortement l'idée d'une cristallisation de la masse d'hémoglobine contenue à l'intérieur du globule. Les stries visibles sur la surface pourraient correspondre au relief, apparaissant à travers la membrane du globule, des cristaux internes d'hémoglobine, cristaux constitués très probablement par des amas de petits bâtonnets (4).

---

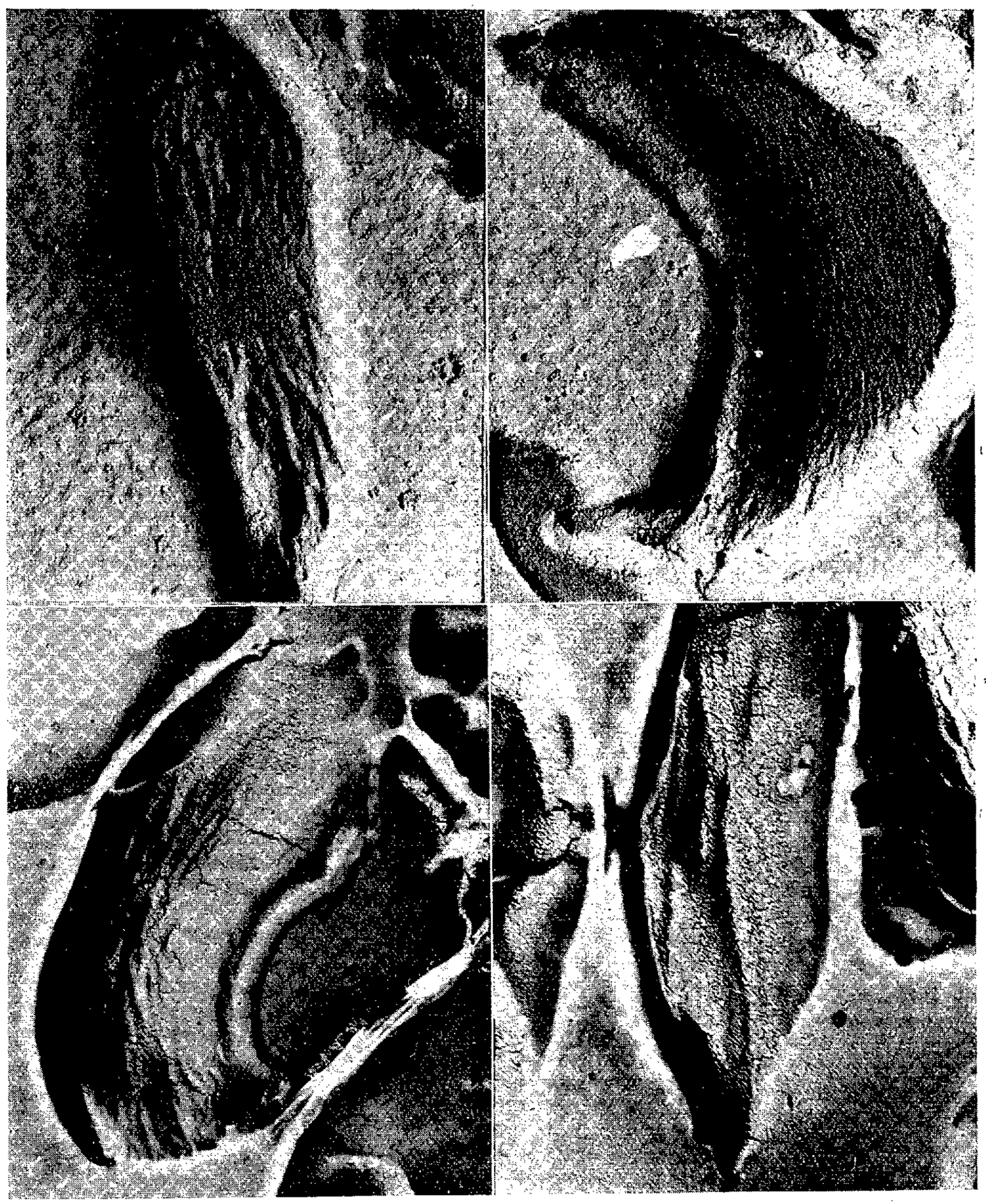
(1) J. W. Rebuck, H. L. Woods et E. A. Monaghan, *Proc. Soc. Exp. Biol. Méd.*, 68, 1948, p. 220-222.

(2) M. Bessis et M. Bricka, *C. R. Soc. Biol.*, 145, 1951, p. 1509.

(3) M. Bessis et M. Bricka, *Rev. Hémat.*, 5, 1950, p. 396-427.

(4) J. W. Harris, *Proc. Soc. Exp. Biol. Med.*, 75, 1950, p. 197-201.

Les observations faites *in vivo* en contraste de phase (5) montrent qu'il ne s'agit nullement d'un effet dû à la dessiccation. On constate, en effet,



Divers aspects de la surface des cellules falciformes (G. = 8000 D). — Noter les stries en forme de bâtonnets et les dents de scie qui bordent la partie surélevée, dans sa concavité (en haut, à droite).

la rigidification de la cellule falciformée, qui perd instantanément son mouvement vibratoire caractéristique et qui n'est plus déformable.

(5) M. Bessis et M. Bricka, *Rev. Hémat.*, 3, 1952, p. 407-435.

ZOOLOGIE. — *Fixation et métamorphoses des larves de* Phylactolémates (Plumatella fungosa, Fredericella sultana). Note de M. **Paul Brien**, présentée par M. Maurice Caullery.

Dès les premiers stades de son développement dans la *Zoécie* maternelle, la larve des *Phylactolémates* édifie un cystide ovoïde ectomésodermique où la pariétopleure délimite une cavité cœlomique se dilatant de plus en plus [Kraepelin (1887-1899), Jullien (1889), Braem (1890-1897-1908)].

Au cours de l'organogénèse, la paroi ectomésodermique du cystide larvaire présente un gradient de basophilie qui va en décroissant de l'avant vers l'arrière. Cette calotte antérieure, très basophile et en prolifération intense, représente la région polypodiale du cystide larvaire. C'est là que se manifeste le bourgeonnement précoce d'un ou de deux polypes, selon qu'il s'agit de *Fredericella sultana* ou de *Plumatella fungosa*.

Autour et à la base de la calotte polypodiale, la paroi du cystide larvaire se dilate et s'élève en un repli circulaire qui s'accentue très vite. Le repli annulaire recouvre bientôt la calotte polypodiale bourgeonnante, l'encapuchonne complètement, la dépasse très fortement par un véritable glissement, d'arrière vers l'avant, de toute la paroi cystidiale.

Par ce mouvement, la région polypodiale en blastogénèse, est refoulée tout au fond du sac cystidial, sous une cloche en forme d'entonnoir, dont le tube étroit et long s'ouvre en avant par un orifice rétréci. Tel est l'aspect de la larve à son éclosion (*fig.* 1).

Pendant que la larve s'édifie, l'ectoderme se différencie. Dans la zone polypodiale très basophile, les cellules ectodermiques prennent bientôt la structure de l'ectoderme des zoécies adultes, elles se chargent de petites inclusions de sécrétion qui confluent entre elles. En prolifération active, elles sont très serrées et l'ectoderme est plissé. Par contre, sur toute l'étendue du cystide larvaire, les cellules ectodermiques deviennent fortement ciliées. Lorsque le repli annulaire se développe, pour entourer la région polypodiale, l'ectoderme de la face externe du repli reste cilié; celui de la face interne qui délimitera la cloche interne et son canal antérieur ne l'est pas, il s'étire, s'amincit, tout en acquerrant les inclusions typiques de l'ectoderme cystidial adulte. Sur toute l'étendue de la paroi se différencient des fibres musculaires longitudinales d'origine pariétopleurale. Pendant la vie libre de la larve, les polypides ne peuvent se nourrir, leurs tentacules étant encore enclos en leur gaine (*fig.* 1).

A sa sortie de la zoécie maternelle, la larve nage en tournant lentement sur son axe antéropostérieur, l'extrémité antérieure en avant; toutefois, le sens de rotation et l'orientation de la larve peuvent se renverser momentanément. Au cours de la vie libre qui peut s'étendre sur près de 24 h,

la paroi ciliée du cystide larvaire se déplisse et subit un déroulement d'ensemble, de l'avant vers l'arrière, précisément dans le sens inverse de celui qui l'avait amené à encapuchonner la région polypodiale. La cloche qui contient cette région polypodiale remonte donc vers l'avant. C'est

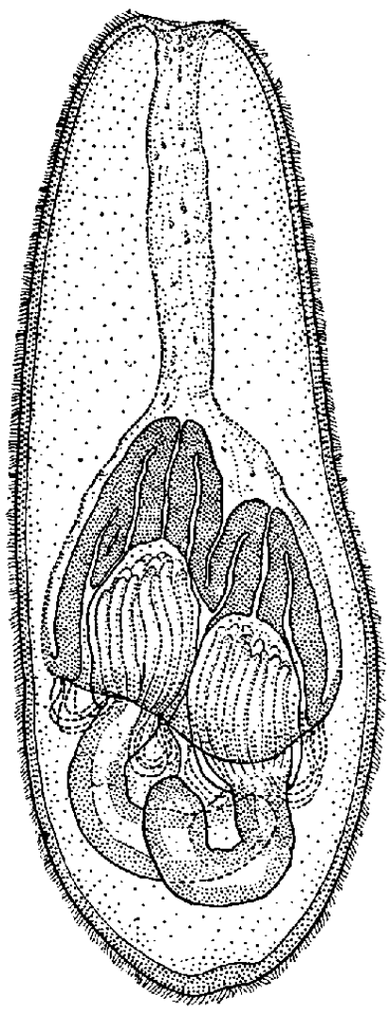


Fig. 1.

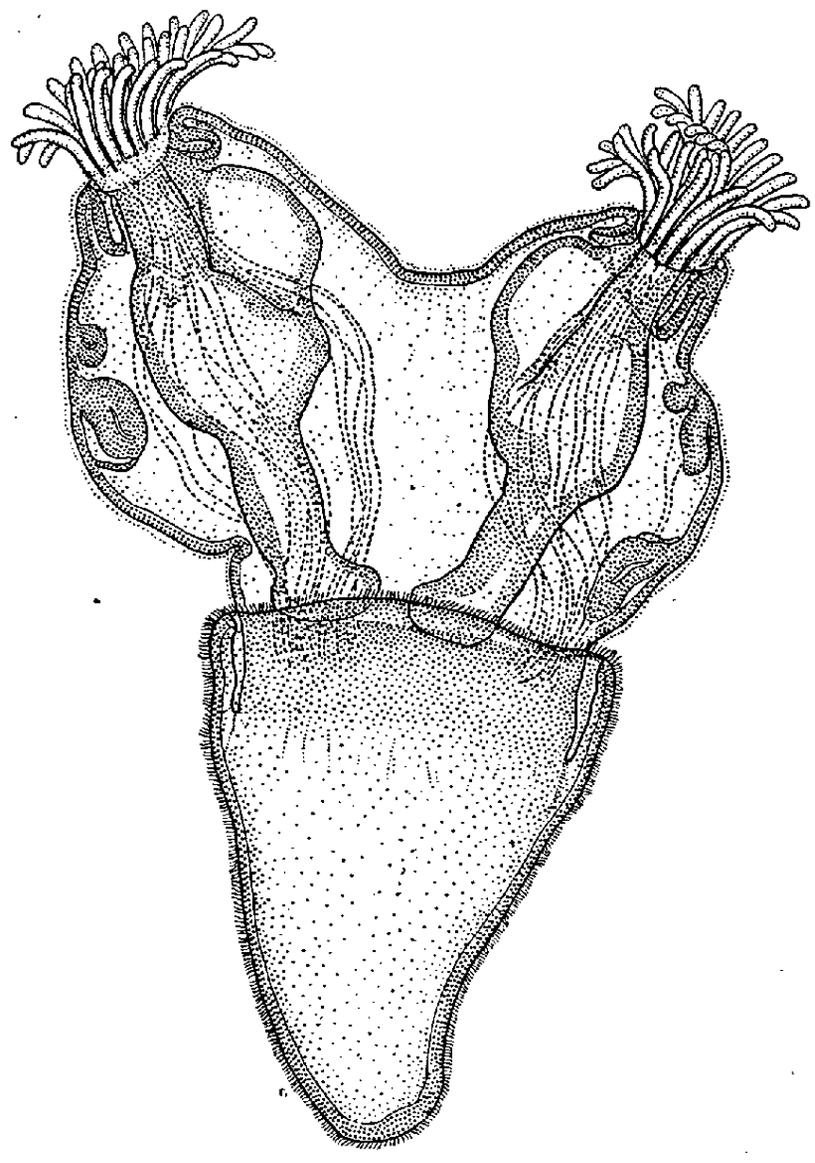


Fig. 2.

alors que la larve prend l'aspect d'une « montgolfière », selon l'expression de Jullien. L'orifice antérieur se dilate; lentement, la paroi de la cloche, initialement interne, s'excurve, devient externe. La région polypodiale se découvre, émerge du sac cystidial larvaire et se déploie. La larve de *Plumatella fungosa*, toujours nageante, présente donc, à ce moment, la forme d'un Y, comme le représente la figure 2.

Les jeunes zoécies se dégagent de plus en plus, divergent diamétralement, tandis que les lophophores s'épanouissent et deviennent fonctionnels. Les polypides sont capables de vivre, de se nourrir, tandis que chacune des zoécies bourgeonne. A ce moment, la larve, tournoyant sur elle-même, prend contact avec le support, non point par le sac cystidial toujours cilié, mais par la paroi même des zoécies. Celles-ci se fixent par la chitine adhésive que leur ectoderme glandulaire sécrète. Pendant ce temps, la paroi du sac cystidial larvaire postérieur se disloque, sa ciliature

s'efface, il entre en désagrégation. *Une partie* sera incorporée dans le cœlome des zoécies où il s'histolysera. Chez *Fredericella sultana*, au moment où le sac cystidial larvaire entre en involution, il s'invagine intégralement dans la zoécie, étant littéralement aspiré par le cœlome où il s'histolyse.

Il n'existe donc pas, dans ces larves de *Phylactolémates*, des « disques adhésifs » homologues à « l'organe de fixation » des larves de *Gymnolémates* marins. Il n'y a point de « rabattement », de « replis palléaux » destinés à fixer la larve au support.

Les larves de *Phylactolémates*, avant d'éclore, atteignent d'emblée le stade *cystide bourgeonnant*, auquel les larves de *Gymnolémates* aboutissent seulement après leur fixation et leur métamorphose, mais le cystide bourgeonnant des *Phylactolémates* est libre; il est pourvu, lui aussi, d'organes larvaires destinés à disparaître par une métamorphose concomitante à la fixation des jeunes zoécies qui en sont issues.

CHIMIE BIOLOGIQUE. — *Métabolisme intermédiaire des Mycobactéries.* III. *Malicodéshydrogénases et coenzyme* I-*cytochrome c réductase dans les bacilles tuberculeux.* Note (*) de MM. **Albert Jean Rosenberg** et **Anatole Andrejew**, présentée par M. Maurice Javillier.

La malicodéshydrogénase et la coenzyme I-cytochrome *c* réductase, isolée des bacilles tuberculeux humains avirulents ($H_{37}Ra$), bovins (BCG) et aviaires (A_{17}) virulents pour les Gallinacés, font partie du système suivant, semblable à celui des tissus animaux :

malate → malicodéshydrogénase → coenzyme I-cytochrome *c* réductase → cytochrome *c* → cytochrome oxydase → oxygène.

Après avoir mis en évidence dans les bacilles tuberculeux humains ($H_{37}Ra$), bovins (BCG) et aviaires (A_{17}), outre les cytochromes *a* et *b*, l'existence du cytochrome *c* (1) et du système succinooxydasique (2), nous nous sommes demandé s'il n'existait pas dans ces bacilles une autre voie de réduction du cytochrome *c*.

On sait que le cytochrome *c* est réduit par une cytochrome *c* réductase dans les tissus animaux [Hass, Hogeboom (3)] et dans les végétaux supérieurs [Lockhardt, Rosenberg et Ducet (4)].

Il résulte des mises au point récentes concernant le métabolisme des Myco-

(*) Séance du 17 novembre 1952.

(1) A. Andrejew et A. J. Rosenberg, *Bull. Soc. Chim. Soc. Biol.*, **34**, 1952, p. 279.

(2) A. Andrejew, *C. R. Soc. Biol.*, **146**, 1952, p. 650.

(3) *J. Biol. Chem.*, **177**, 1949, p. 847.

(4) *Comptes rendus*, **233**, 1951, p. 449.

bactéries ([5]), ([6]), qu'aucune précision n'existe à l'heure actuelle ni en ce qui concerne l'existence dans ces bacilles de la coenzyme I-cytochrome *c* réductase, ni en ce qui concerne les caractéristiques de leur malicodéshydrogénase et de l'ensemble du système correspondant.

Les résultats suivants montrent que les bacilles tuberculeux possèdent le système où interviennent la coenzyme I-cytochrome *c* réductase et la malicodéshydrogénase, qui nécessite le DPN (diphosphopyridine nucléotide, coenzyme I), comme c'est le cas dans les tissus des Mammifères ([7]).

Environ 0,5 à 1 g de bacilles (poids sec), se trouvant dans les limites de la phase logarithmique de croissance en milieu synthétique de Long, sont lavés, homogénéisés dans 50 ml de tampon PO_4 0,03 M, pH 7,4, et soumis aux ultrasons, à froid, pendant 15 mn, à 950 kc/s. Après centrifugation à froid à 16000 tm, ce qui surnage est traité avec 3 vol d'acétone froide. Le précipité, séparé de ce qui surnage par une nouvelle centrifugation à froid, est dissous dans 10 à 15 ml d'eau distillée et la solution est dialysée, d'abord contre l'eau courante pendant 4 h, ensuite contre l'eau distillée pendant 18 h (à la chambre froide).

Par la méthode de Thunberg nous avons obtenu les résultats suivants :

Composition des tubes : 1 ml d'extrait enzymatique dialysé; 1 ml de tampon PO_4 0,1 M, pH 7,4; 0,5 ml de *l*-malate 0,2 M; 0,1 ml de DPN (100 γ); 0,2 ml de CNK 2 M; 0,3 ml de BM 0,0005 M; eau distillée q. s. 3,5 ml.

A 37°, le temps de décoloration complète du BM est de 13,14, 30 et 48 mn, pour $H_{37}Ra$, BCG, A_{17} et M.phlei respectivement. La teneur respective de l'extrait enzymatique en matières sèches est de 4,1, 5,6, 12 et 5 mg. Dans tous les cas les témoins restent colorés plus de 420 mn. En l'absence du DPN, la décoloration ne se produit pas dans les limites indiquées (> 420 mn).

Dans une même fraction, isolée du bacille $H_{37}Ra$ (0,658 g en poids sec, soumis aux ultrasons suivant le procédé décrit) et contenue dans 12 ml d'eau (après dialyse), nous avons pu suivre au spectrophotomètre de Beckman, d'abord la réduction du coenzyme I par la malicodéshydrogénase (à 340 mμ) et ensuite la réduction du cytochrome *c* (à 550 mμ), mettant ainsi en évidence dans les bacilles tuberculeux l'existence de la coenzyme I-cytochrome *c* réductase. Ces résultats sont résumés dans la figure.

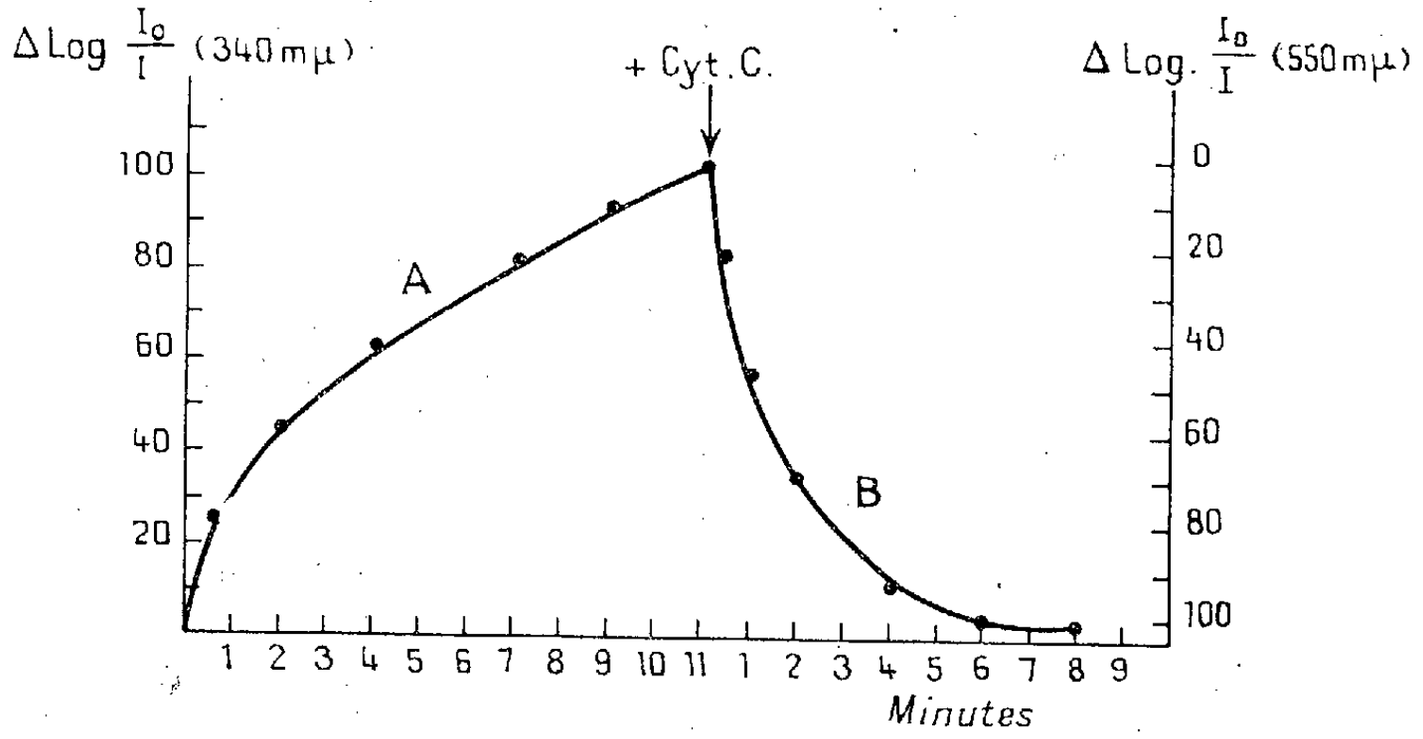
Les courbes correspondantes, obtenues avec les bacilles bovins (BCG), aviaires (A_{17}) et *M. phlei* sont tout à fait semblables à la figure.

([5]) W. F. Drea et A. Andrejew, *The Metabolism of the Tubercle bacillus.* Charles C. Thomas Publ., Springfield, U. S. A., 1952.

([6]) N. L. Edson, *Bact. Rev.*, 15, 1951, p. 147.

([7]) Van R. Potter, *J. Biol. Chem.*, 165, 1946, p. 311.

Dans cette réaction le cyanure peut être remplacé par le glutamate qui indique la présence de transaminases dans ces bacilles.



A : réduction du coenzyme I par la malicodéshydrogénase isolée des bacilles tuberculeux;
B : réduction du cytochrome *c* par la coenzyme I-cytochrome *c* réductase extraite de ces mêmes bacilles

Composition des cuves : 1,7 ml de tampon PO_4 0,1 M, pH 7,4; 0,1 ml de CNK 2N ou 0,1 ml de glutamate 0,5 M; 0,2 ml de DPN (100 γ); 0,1 ml de nicotinamide 0,1 M; 0,1 ml de l-malate 0,2; 0,3 m de solution d'enzymes.

Ces mesures du Q_{O_2} des corps bacillaires ayant subi les ultrasons, effectuées au moyen de l'appareil de Warburg, en présence de *l*-malate, de DPN, de nicotinamide, de glutamate et de l'enzyme isolé, montrent que l'addition du cytochrome *c* augmente la respiration de 20 % environ, en couplant ainsi ce système avec la cytochrome oxydase-O_2.

CHIMIE BIOLOGIQUE. — *Nouvelle chaîne d'activation antirachitique du cholestérol; sa généralité.* Note de M. **Yves Raoul**, Mlle **Noellie Le Boulch**, MM. **Jean Chopin**, **Paul Meunier** et Mme **Andrée Guerillot-Vinet**, présentée par M. Maurice Javillier.

Nos recherches antérieures, complétées par le présent travail, conduisent au schéma suivant de l'activation antirachitique du cholestérol :

1. *Étapes partielles.* — *a.* La préparation du 2.4, 2′.4′-bicholestadiène se fait régulièrement au moyen de la réaction de Salkowski (1) et, exceptionnellement, au cours de la réaction de Liebermann à chaud (2).

b. Après irradiation du 2.4, 2′.4′-bicholestadiène dans le benzène (3), on chromatographie la solution dans le tétrachlorure de carbone et on élue par l'éther sulfurique. La solution concentrée est traitée par le méthanol à froid, qui entraîne la précipitation d'une partie du précurseur P. Ce corps, vraisemblablement oxygéné, présente généralement un maximum d'absorption à 255 mμ dans l'éther (4).

On peut aussi réaliser cette transformation en chauffant le même carbure pendant 15 mn dans un mélange à parties égales de dichloréthane et d'acide acétique. Après évaporation totale sous vide, on reprend dans le tétrachlorure de carbone, on chromatographie et on termine comme précédemment.

c. Le précurseur formé transitoirement dans l'étape *e* est activable en composé A, mais l'isolement de ce dernier n'a pas pu être réalisé de cette façon. Pour l'isoler, il est préférable d'activer le précurseur en milieu alcalin par la potasse méthanolique à 5 % à l'ébullition pendant 1 mn. On étend d'eau du robinet suffisamment calcaire et on extrait par l'éther sulfurique le précurseur non transformé. On acidifie par SO_4H_2 au tournesol et on extrait à nouveau par l'éther sans peroxyde. Après concentration, on précipite le composé A par le méthanol.

d. Ce dernier corps, remis en contact avec une solution de potasse méthanolique étendue d'eau du robinet, passe, après 12 à 24 h, dans l'éther. Le composé actif B est celui qui a été cristallisé et décrit antérieurement (3), (5).

2. *Étapes groupées.* — *e.* Cette étape se réalise comme l'activation alcaline décrite en *c*, mais sans acidifier, de façon à obtenir directement B.

f. Les réactions photochimique et chimique décrites en *b* conduisent à la fois au précurseur P et au composé A (6).

g, *h*, *i*. Ces étapes sont réalisées à partir du cholestérol au cours de son activation directe, notamment par la réaction de Liebermann à chaud (5) que l'on peut arrêter à volonté aux stades P ou B. La préparation du 2.4, 2′.4′-bicholestadiène par la réaction de Salkowski fournit aussi du précurseur. Les premières activations réalisées par Bills (7), Yoder et collabo-

---

(1) *Bull. Soc. Chim.*, 1951, p. 616.
(2) *Comptes rendus*, **229**, 1949, p. 259.
(3) *Comptes rendus*, **234**, 1952, p. 2493.
(4) *Bull. Soc. Chim. Biol.*, **33**, 1951, p. 1223.
(5) *Comptes rendus*, **232**, 1951, p. 1258.
(6) *Comptes rendus*, **229**, 1949, p. 259.
(7) *J. Biol. Chem.*, **67**, 1926, p. 753.

rateurs (8), ou les nôtres à l'aide du dichloréthane et du chlorure d'acétyle (9), correspondent à l'étape *h*.

j. Cette étape peut s'exécuter comme *f* par les voies photochimique ou chimique décrites en *b*, mais en terminant comme en *d*, sans acidification intermédiaire.

Tous les procédés d'activation antirachitique du cholestérol que nous avons réalisés se font, en résumé, par les mêmes intermédiaires et aboutissent aux mêmes corps actifs. Ces composés intermédiaires et les corps actifs sont distincts de ceux comportant le passage par les Δ 5.7-stérols et conduisant aux vitamines D classiques.

Nous avons, de plus, isolé des huiles de foies de morue, de requin et de thon, le précurseur P et les deux formes A et B de notre corps actif et nous les avons identifiés par leurs caractères physiques et chimiques (10). Nous pensons pouvoir, dès maintenant, affirmer la nature vitaminique des corps actifs et nous leur réservons, pour cette raison, le nom de vitamines D 7.

MICROBIOLOGIE. — *Production de cristaux par une souche de* Pasteurella pestis *cultivée sur certains milieux gélosés*. Note de M. **Georges Girard**, présentée par M. Gabriel Bertrand.

Il y a près de 20 ans que J. Robic, associé à nos recherches sur la vaccination contre la peste par un vaccin vivant, remarquait, à la surface de cultures sur gélose inclinée de la souche E. V., des concrétions blanchâtres parsemant la couche microbienne, lesquelles, de prime abord, eussent été prises pour des moisissures. Il n'en était rien et l'examen microscopique montrait qu'il s'agissait de formations dans lesquelles dominaient des aiguilles cristallines au milieu de nombreux bacilles pesteux normaux aisément repiquables à l'état de pureté.

Ces constatations étaient faites à l'Institut Pasteur de Paris dans le laboratoire de E. Dujardin-Beaumetz. Rien de tel ne se produisait à l'Institut Pasteur de Tananarive où nous poursuivions nos travaux sur la même souche vaccinale. Il fallait donc admettre que le milieu utilisé à Paris était le seul favorable à l'apparition d'une anomalie qui, par ailleurs, n'avait jamais attiré l'attention au service de la peste où, depuis longtemps, ce milieu servait à la culture et à la conservation des souches de *P. pestis*.

J. Robic avait noté, à l'époque, que la précipitation des cristaux était liée à un certain degré de dessiccation du milieu, car si les tubes étaient scellés lorsque la culture était suffisamment développée, celle-ci gardait

(8) *Voir* notamment L. Yoder et B. H. Thomas, *J. Biol. Chem.*, 178, 1949, p. 363.
(9) *Comptes rendus*, **228**, 1949, p. 1064.
(10) Contrôles biologiques en cours.

son aspect habituel. Il réunit ainsi une collection de tubes qui présentaient plus ou moins de ces concrétions selon qu'ils avaient été scellés à intervalles divers ou non scellés. Néanmoins, le phénomène était inconstant. Ne pouvant être reproduit en série, il revêtait, sans plus, le caractère d'une curiosité bactériologique; en effet, dans des conditions en apparence identiques, les subcultures en provenance de colonies à cristaux en donnaient ou n'en donnaient pas.

Les circonstances nous ayant conduit ces dernières années à étudier la valeur de milieux très variés pour la croissance et le maintien des propriétés de la souche E. V., il nous est arrivé, et Robic a fait une constatation semblable à Tananarive, de voir, occasionnellement, des cristaux sur des cultures ayant poussé sur plusieurs de ces milieux, mais c'est par hasard que nous avons remarqué que *toutes* les colonies isolées sur un milieu particulier étaient après quelque temps parsemées d'une sorte de givre dans lequel nous retrouvions les aiguilles cristallines au sein d'une masse de bacilles pesteux normaux, colonies offrant un contraste saisissant avec celles isolées au cours d'ensemencements pratiqués simultanément sur les autres milieux.

Ce milieu est une macération à *froid de viande fraîche de bœuf* (le cœur ne convient pas), additionnée de 20 g de peptone commerciale de marque « Uclaf » et de 5 g de NaCl par litre, gélosée à 20 $^{0}/_{00}$; pH final ajusté à 7. Les cristaux se produisent aussi bien sur la surface de la gélose inclinée en tube qu'en boîte de Roux.

Nous sommes désormais en mesure de reproduire régulièrement le phénomène et ainsi d'en poursuivre une étude systématique. Dès à présent, les faits suivants nous semblent acquis :

1° Les néoformations sont composées de cristaux vrais, biréfringents, et de bacilles pesteux. Elles sont, le plus souvent, d'un blanc crayeux, mais parfois jaunâtres. Elles ne se voient jamais sur les tubes témoins, non ensemencés, quel que soit leur degré de dessiccation.

2° Leur transport par repiquage sur un tube de milieu neuf donne toujours une culture normale de *P. pestis* avec toutes les propriétés reconnues à la souche E. V.

3° Les cultures associées à ces cristaux ont une vitalité au moins égale et souvent supérieure, à celles qui ne portent pas de cristaux comme en témoignent les repiquages effectués avec les unes et les autres après plusieurs années de conservation en glacière.

4° Trois clones dérivés de cellules A, B, C, isolées au micromanipulateur par Y. Tchan en 1949 (1), engendrent des cristaux au même titre que l'échantillon original de la souche E. V. dont ils proviennent.

(1) *Bull. Soc. Path. Exot.*, 42, 1949, p. 89.

5° Deux souches avirulentes et une virulente de *P. pestis*, une souche de *P. pseudotuberculosis* cultivées sur le milieu ci-dessus défini, ne montrent aucune cristallisation après plusieurs semaines, alors que la souche E. V. en présente dès le 15e jour.

Les recherches en cours apporteront des précisions sur la nature des cristallisations (2) ainsi que sur les processus qui concourent à leur formation. L'hypothèse d'en voir se produire avec d'autres souches que la souche E. V. n'est, au surplus, pas exclue.

A notre connaissance, et compte tenu de l'avis exprimé par les nombreux microbiologistes français et étrangers qui ont eu l'occasion de voir ces néoformations à notre laboratoire, ce serait la première fois qu'elles sont constatées sur une culture microbienne, sous un tel aspect macroscopique.

MICROBIOLOGIE. — *Relation inverse entre les variations des teneurs en antigènes O et Vi de quelques entérobactériacées suivant la température d'incubation.* Note de MM. **André Jude, Jacques Servant, Pierre Nicolle** et Mlle **Paule Servant**, présentée par M. Jacques Tréfouël.

Les teneurs en antigènes *O* et *Vi*, déterminées par les méthodes sérologique et chimique, dans les cultures *Vi* positives de *Salmonella typhi* et de la souche *Ballerup* incubées à 18°, à 37° et à 41°,5, varient en sens inverse. Dans les formes *Vi* négatives de *S. typhi*, la courbe des variations de l'antigène *O* est analogue à celle de la somme des antigènes *O* et *Vi* des formes *Vi* positives. Ces constatations autorisent à admettre l'existence d'une relation dans la formation de ces facteurs.

Par l'observation de l'irisation des cultures, par la recherche de la sensibilité aux bactériophages *Vi* et par les techniques sérologique (absorption des agglutinines) et chimique (extraction et pesée de l'antigène *Vi*), nous avons constaté antérieurement (1), (2), (3), (4), (5) que la présence et l'abondance de l'antigène *Vi* dans les cultures de diverses Entérobactériacées variaient avec la température d'incubation suivant deux modalités différentes : pour *S. typhi* et *S. paratyphi C.*, la plus grande production se situe autour de 37°, alors que pour *E. coli Vi* et la souche *Ballerup*, l'optimum thermique d'élaboration de ce

(2) M. le Professeur G. Bertrand, sur un très faible échantillon de ces cristaux, avait, en 1936, décelé la présence de phosphore, de magnésium et d'un composé azoté, la triméthylamine. Mais le matériel qui lui avait été remis était insuffisant pour autoriser une analyse plus poussée.

(1) A. Jude et P. Nicolle, *Comptes rendus*, **234**, 1952, p. 1718.
(2) P. Nicolle et A. Jude, *Comptes rendus*, **234**, 1952, p. 1922.
(3) A. Jude et P. Nicolle, *Comptes rendus*, **234**, 1952, p. 2028.
(4) P. Nicolle et A. Jude, *Comptes rendus*, **234**, 1952, p. 2313.
(5) A. Jude, P. Nicolle, J. et P. Servant, *C. R. Soc. Biol.*, **146**, 1952, p. 1011.

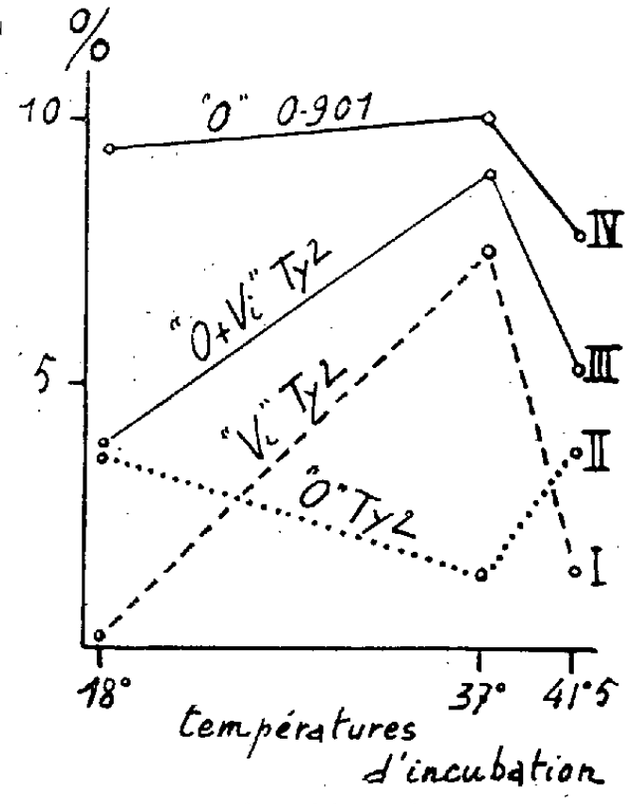
facteur se trouve aux environs de 18°. Nous avons obtenu ainsi deux courbes à allure caractéristique (4).

Dans le présent travail, nous avons étudié les variations de l'antigène *O* chez des souches *Vi* positives et *Vi* négatives de *S. typhi* et chez la souche *Ballerup Vi* positive, cultivées à 18°, à 37° et à 41°,5. Les résultats sont entièrement différents suivant qu'on s'adresse aux souches de forme *Vi* positive ou de forme *Vi* négative.

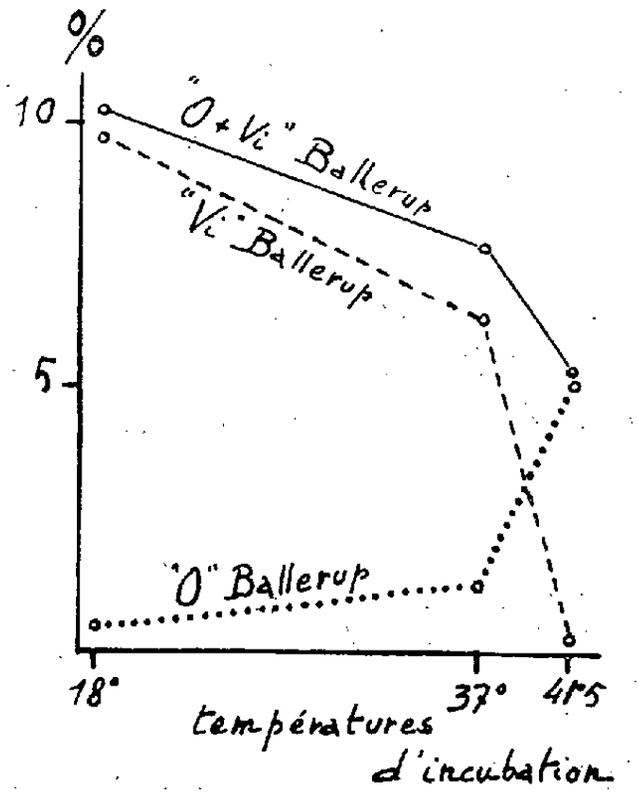
1° *Cas des formes Vi positives* (*S. typhi* Ty 2, Ty 556, Ty 7251, et la souche *Ballerup*). — Chez les souches de *S. typhi Vi* positives, les titrages sérologiques et chimiques montrent que l'antigène *O* est élaboré en plus grande quantité à 18° et à 41°,5 qu'à 37°. Chez la souche *Ballerup*, c'est au contraire à 41°,5 que le maximum de production en antigène *O* est atteint. Dans le tableau suivant sont résumés quelques-uns de nos dosages chimiques, traduits en pourcentage par rapport au poids sec de la récolte.

Température d'incubation.	Formes *Vi* positives.						Formes *Vi* négatives.					
	Ty 2.		Ty 556.		Ballerup.		*O* 901.		H 901.		51 251.	
	O.	*Vi.*	*O.*	*Vi.*	*O.*	*Vi.*	*O.*	*Vi.*	O.	*Vi.*	*O.*	*Vi.*
18°.....	3,70	0,11	7,87	0,06	0,42	9,80	9,50	–	7,18	–	9,51	–
37°.....	1,34	7,73	1,14	5,86	1,35	6,35	10,08	–	11,53	–	10,39	–
41°,5.....	3,80	1,56	6,52	0,46	5,06	0,14	7,95	–	7,96	–	7,54	–

La courbe II du graphique 1 représente les variations de l'antigène *O* chez *S. typhi* Ty 2; la courbe I schématise les variations de l'antigène *Vi* chez cette



Graphique 1.



Graphique 2.

souche. Les deux courbes sont inverses : l'antigène *O* est d'autant plus abondant que l'antigène *Vi* l'est moins, ou *vice versa*. Chez la souche *Ballerup*

(*graphique* 2), il en est de même; mais les courbes *O* et *Vi* ne s'entrecroisent qu'une fois puisque la production de l'antigène *Vi* va en diminuant de 18° à 41°,5.

2° *Cas des formes Vi négatives* (*S. typhi* O 901, H 901 et Ty 51 251). — Ces trois souches n'élaborent d'antigène *Vi* à aucune des températures étudiées. A 37°, la quantité d'antigène *O* élaborée est à son maximum; à 18°, elle est légèrement inférieure; à 41°,5, elle est nettement plus faible (tableau I et courbe IV du graphique 1). Là encore, la production de l'antigène *O* varie quantitativement suivant la température, mais elle affecte une allure entièrement différente de celle constatée pour la production de ce même antigène par les formes *Vi* positives.

Les variations toujours inverses des teneurs en antigènes *O* et *Vi* chez les formes *Vi* positives conduisent à se demander si la production de ces deux facteurs n'est pas étroitement liée : existence d'un matériel commun initial servant à l'élaboration, suivant la température d'incubation soit de l'antigène *O*, soit de l'antigène *Vi*, ou transformation de l'un ou l'autre, ces deux processus pouvant être sous la dépendance d'enzymes à optimum thermique différent, variable d'ailleurs suivant les espèces microbiennes envisagées.

VIROLOGIE. — *Action de certains inhibiteurs enzymatiques sur la multiplication du virus de la grippe.* Note de M. **Claude Hannoun**, présentée par M. Jacques Tréfouël.

Le malonate de soude, l'hydroquinone et l'association fluorures-phosphates inhibent la multiplication du virus de la grippe. Ces trois agents ont en commun la propriété d'inhiber la déshydrogénase succinique.

L'une des méthodes les plus utiles pour comprendre le mécanisme de la synthèse des virus dans les cellules sensibles est l'étude de l'action des inhibiteurs enzymatiques sur la multiplication de ces agents.

1. *Acide malonique.* — Le malonate de soude a la propriété bien connue d'être un inhibiteur (du type compétitif) de la déshydrogénase succinique, enzyme réalisant une des réactions-clé dans la chaîne des oxydations cellulaires. Nous avons recherché son action sur la multiplication du virus grippal dans l'embryon de Poulet. Ackermann (1950) (1) a réalisé une étude analogue sur le virus grippal entretenu sur culture de tissus.

Le malonate est toxique pour l'embryon de Poulet. La dose 50 % toxique est voisine de 1,5 mg par œuf. Cependant, à la dose de 1 mg introduite

(1) *J. Biol. Chem.*, **189**, 1950, p. 421-428.

une heure après l'inoculation du virus, dose qui ne produit pas d'effet toxique, on constate une inhibition nette puisque l'on ne trouve, dans les œufs traités par cette dose, qu'une quantité de virus égale à 55 % du virus produit par les œufs témoins.

Si l'on injecte le malonate plus tardivement, on obtient une réduction d'autant plus marquée que l'intervalle est plus petit entre infection et traitement.

Une injection de malonate à la 20e heure, c'est-à-dire au moment où le virus commence à être décelable par hémoagglutination dans le liquide allantoïque, diminue encore la quantité de virus présente en fin d'expérience, à 40 h.

Le malonate inhibe donc la multiplication du virus grippal. Pour savoir si la déshydrogénase succinique était bien en cause, nous avons cherché l'effet d'autres inhibiteurs de cet enzyme.

2. *Hydroquinone.* — Ce corps, très toxique pour l'œuf puisque, à la dose de 0,5 mg, on observe 50 % de mortalité, a des propriétés inhibitrices vis-à-vis de la succinodéshydrogénase. Aux taux notablement inférieurs aux doses toxiques, on constate déjà un puissant effet inhibiteur vis-à-vis de la multiplication du virus. La dose 50 % inhibitrice se situe autour de 0,25 mg.

3. *Autres inhibiteurs.* — Des travaux tout récents de Slater et Bonner (2) ont montré que si les fluorures d'une part, les phosphates d'autre part, sont de médiocres inhibiteurs de la déshydrogénase succinique, on peut inhiber, de façon très efficace, l'action de cet enzyme par association des deux. Nous avons donc réalisé l'expérience qui consiste à traiter différents lots d'œufs 18 h avant l'injection du virus, par du fluorure de sodium (5 mg), une solution de phosphates de sodium et de potassium M/15 à pH 7 (0,5 cm^3), un mélange des deux ou une égale quantité d'eau physiologique. En prenant 100 pour la quantité de virus produite par œuf dans ce dernier lot, nous avons obtenu les rendements respectifs de 42, 55 et 9 % pour les trois autres lots.

Trois inhibiteurs différents de la déshydrogénase succinique se sont montrés inhibiteurs de la multiplication du virus grippal sur embryon de poulet. La déshydrogénase succinique intervient peut-être dans la synthèse du virus, par exemple en participant à une chaîne de réactions dont les produits ou l'énergie sont nécessaires à cette synthèse.

---

(2) *Bioch. J.*, 52, 1952, p. 185-196.

MÉDECINE. — *Parallèle entre les éléments anatomiques normaux et pathologiques de la maladie rhumatismale.* Note (*) de M. **André Cretin**, présentée par M. Robert Courrier.

1. Le bloc d'os spongieux épiphyso-métaphysaire, divisé en deux par le cartilage de conjugaison, représente, dans l'os long adulte, ce qui reste de l'ébauche primitive enrichie par les apports de l'enfance et de l'adolescence. Il doit être considéré comme un véritable organe. L'épiphyse est extra-diaphysaire, la métaphyse est incluse dans le tube diaphysaire. La circulation épiphyso-métaphysaire est indépendante de celle de la diaphyse. L'absence d'anastomoses affirme la dualité d'origine. Les artères métaphysaires présentent une disposition en hélice ou en accordéon, véritable amortisseur hydraulique, renforcé par une ou plusieurs bagues de cellules myofibrillaires qui étranglent ou dilatent le vaisseau, comme cela existe sur l'artère glomérulaire du rein.

2. La croissance normale par le cartilage de conjugaison est mise en route par de microscopiques suffusions sanguines. Si celles-ci deviennent trop abondantes ou trop fréquentes, le mécanisme normal devient pathologique. Le fer globulaire, activateur en petites quantités, n'est plus qu'un destructeur. Il lyse le tissu spongieux métaphysaire. Or, ce tissu est le lieu où se passent les phénomènes biologiques primordiaux et il fonctionne comme un catalyseur. Tout comme les appareils industriels de ce genre, il peut être « empoisonné ». L'arrêt de son fonctionnement se traduit par la formation locale d'huile (1).

3. La lésion anatomique habituelle est une rupture vasculaire qui coïncide avec une douleur locale extrêmement vive.

Les causes les plus fréquentes de ces hémorragies sont :

1° une infection qui, en augmentant la fluidité du sang, permet des « fuites » dans un système vasculaire altéré;

2° une infection ou une diathèse comme la goutte qui s'attaque directement aux vaisseaux;

3° une hypertension qui peut être générale ou limitée au membre malade;

4° il faut, enfin, tenir compte des variations barométriques brusques

---

(*) Séance du 17 novembre 1952.

(1) Cette huile est le résultat d'un catabolisme anormal des glucides qui nourrissent le tissu métaphysaire. Les échantillons que nous avons recueillis sont un mélange dans lequel les méthodes chimiques d'analyse nous ont permis d'identifier, l'acide oléique, le cholestérol et des protéines diverses parmi lesquelles l'arginine (flavianate d'arginine).

qui peuvent influencer un système capillaire rendu fragile : d'où les douleurs des rhumatisants aux changements de temps.

En définitive, tous ces accidents se résument dans des hémorragies de causes diverses et d'importance variable. Ils s'apparentent à ceux des scaphandres et des caissons qui sont beaucoup plus violents et plus graves (²). Le curage métaphysaire qui soulage immédiatement et parfois définitivement la douleur des rhumatisants, nous paraît indiqué ici.

Conclusions. — La généralisation de l'atteinte vasculaire des valvules du cœur aux capillaires, donne à la maladie rhumatismale un caractère d'unité, malgré le polymorphisme de ses manifestations cliniques. Les dispositions anatomiques expliquent la localisation des lésions et l'immunité de la diaphyse.

A 16 h 15 m l'Académie se forme en Comité secret.

La séance est levée à 16 h 40 m.

L. B.

(²) Un article de Kahestrom, Burton et Phemister, *Surgery, Gynecology and obstetric*, février 1939, p. 129-144, Aseptic nécrosis of Bone, qui a trait à la maladie des Caissons, montre les mêmes images macro et microphotographiques que le rhumatisme déformant.

ACADÉMIE DES SCIENCES.

SÉANCE DU MERCREDI 10 DÉCEMBRE 1952.

PRÉSIDENCE DE M. ALBERT CAQUOT.

MÉMOIRES ET COMMUNICATIONS

DES MEMBRES ET DES CORRESPONDANTS DE L'ACADÉMIE.

M. le **PRÉSIDENT** s'exprime en ces termes :

LOUIS LAPICQUE vient de disparaître laissant derrière lui une œuvre considérable qui lui survivra. Il appartenait à notre Compagnie depuis 1930.

Ce Lorrain naquit à Épinal le 1er août 1866, et son père l'initia, dès son jeune âge, aux sciences de la vie. Il eut, très jeune, cette vocation de naturaliste et, pour satisfaire ses goûts, il voulut se faire médecin.

Venu à Paris pour ses études, la science pure l'attira bien vite : dès 1886, il était licencié ès Sciences naturelles et le laboratoire lui paraissant l'élément d'études le plus puissant; il devient, dans les cinq années qui suivirent, préparateur, puis Chef adjoint du laboratoire de Clinique de la Faculté à l'Hôtel-Dieu.

C'est alors qu'en 1892, il accepta de faire sur la *Sémiramis* un voyage de quinze mois pour l'étude de la morphologie humaine, interrompant provisoirement ses études sur le circuit du fer dans l'organisme.

De sa mission, il rapporte une abondante collection de documents soigneusement analysés et classés, spécialement sur les *Negritos* de l'océan Indien et du Pacifique. Mais il y retourne 10 ans plus tard pour asseoir ses conclusions sur une vue d'ensemble, en étudiant certaines tribus de l'Inde.

Le résultat de cette large étude systématique a été l'éclaircissement de la question. Les *Negritos* sont les témoins d'une race nègre unique, qui s'est étendue de l'Afrique à l'Océanie, témoins diminués par la misère physiologique, ce peuplement ayant reculé devant l'invasion de races plus puissantes et plus évoluées.

Louis Lapicque commença ses études du système nerveux par une comparaison très complète *du poids relatif de l'encéphale* dans l'échelle animale.

Le rôle du système nerveux étant surtout périphérique, il est normal que le poids de l'encéphale croisse seulement comme une puissance fractionnaire du poids total du corps.

Pour les Mammifères, en 1897, Dubois avait trouvé pour l'exposant 0,56 Lapicque étudie avec ses élèves un très grand nombre d'espèces d'oiseaux. L'exposant varie de 0,516 pour les oiseaux de proie à 0,590 pour les perroquets, et entre ces deux extrêmes la moyenne de tous les exposants lui donne cette même valeur de 0,56.

Si l'exposant est ainsi peu variable, par contre le facteur de proportionnalité du poids de l'encéphale à la puissance 0,56 du poids en grammes du corps varie au contraire dans de très larges limites puisqu'il est seulement 0,07 pour le Paon, tandis qu'il atteint 0,27 pour le Geai et 0,30 pour le Perroquet.

Dans un graphique d'ensemble des espèces, l'Homme se classe nettement en tête, et les Crustacés en fin du graphique.

Par ces déterminations expérimentales, Louis Lapicque montrait l'importance des mesures dans les Sciences naturelles, et il revenait sans cesse sur cette question.

Se méfiant des conclusions prématurées, il discutait longuement les résultats et il vérifiait que si la loi précédente est applicable aux espèces sauvages, vivant dans l'état de nature, elle ne peut représenter les modifications de taille et de poids résultant de sélections artificielles. Le Chien représente dans cette évolution l'éventail de poids de beaucoup le plus ouvert entre toutes les espèces, aussi son exposant propre n'est que de 0,25.

Louis Lapicque montre qu'il faut tenir compte, dans la limite d'une même espèce, de l'effet de la domestication, et il retrouve un résultat analogue, mais dans une direction différente, pour les animaux sélectionnés pour leur chair, lapins, ruminants, oiseaux de basse-cour dont le poids du cerveau est loin d'augmenter comme la puissance 0,56 du poids du corps.

Louis Lapicque ne pouvait se contenter de ces résultats d'ensemble et il recherche les variations du poids entre les diverses fractions du cerveau, ainsi que l'effet de la grosseur des fibres nerveuses, enfin l'influence du développement des organes sensoriels comme l'œil, influences qui se révèlent importantes.

Reprenant parallèlement son étude sur les *mutations du fer* et sur les globules rouges, il réalise une méthode de dosage originale et Louis Lapicque détermine la répartition du fer d'une part suivant les organes, d'autre part, suivant le sexe, les différences étant fort nettes. Expérimentalement, il montre comment se font les concentrations de fer dans les différentes parties de l'organisme.

Ses études sur la *ration d'entretien* procèdent des mêmes soins dans

l'expérimentation et du même souci de ne donner des conclusions que lorsque les résultats ne permettent plus le doute.

L'observation des peuples *tropicaux* en 1893, lors de son séjour en Érythrée, lui avait montré qu'il suffisait d'une ration moyenne de 50 g par jour d'albumine et de 2040 calories pour assurer le régime correct, sous ce climat, d'un homme d'un poids moyen de 52 kg.

Quelques mois plus tard, il trouvait les mêmes grandeurs en Malaisie. Recherchant une relation générale, il montra que le point de vue énergétique est le plus important et que seules les données géométriques et physiques conditionnent la perte de chaleur.

Les oiseaux permettent une étude expérimentale précise de la ration d'entretien en fonction du poids de l'animal et de la température du milieu.

Entre le Pigeon et le Bengali le poids passant de 1 à 52 et la surface de 1 à 14 la ration passe de 1 à 6,4.

Elle croît donc moins vite que la surface et beaucoup moins vite que le poids. Pour la température passant de 16 à 28° C dans le milieu ambiant, elle diminue de près de la moitié chez le Bengali.

Louis Lapicque était ainsi bien armé pour répondre à une question pratique posée par la défense nationale. Celle de l'alimentation en temps de guerre. Son étude sur le blutage de la farine et celle sur la possibilité d'utiliser les algues marines pour la nourriture des chevaux ont guidé les pouvoirs publics dans ces périodes difficiles.

Mais l'œuvre capitale de Louis Lapicque, celle qui a eu le plus grand retentissement est relative à la loi d'excitation électrique, liée à la rapidité fonctionnelle du tissu considéré.

Pour caractériser cette rapidité fonctionnelle, Louis Lapicque considère une constante de temps, *la chronaxie* dont la définition purement expérimentale permet, par un nombre, une comparaison précise.

Elle résulte de deux déterminations expérimentales :

1° l'intensité d'un courant à début brusque juste suffisante pour atteindre après une durée pratiquement indéfinie, le seuil de l'excitation;

2° le temps nécessaire pour atteindre ce seuil avec une intensité doublée C'est ce temps auquel Lapicque a donné le nom de Chronaxie.

Il a été trouvé constant à l'approximation des mesures près, mais sa variation est considérable d'un muscle à l'autre, ou comme dans l'électrodiagnostic dans les altérations des tissus. En ce qui concerne l'être humain ce temps physiologique est de l'ordre de quelques dix-millièmes de seconde. Le chronaximètre de Lapicque par décharge de condensateur a une sensibilité d'un 300e de seconde.

La vie universitaire de notre confrère fut très active. Docteur en Médecine en 1895, Docteur ès Sciences en 1897, Maître de conférence à la Sorbonne en 1899, Professeur au Museum en 1911, Professeur de Physiologie générale

à la Sorbonne en 1919, il fut lauréat et président de plusieurs Sociétés savantes, Docteur *Honoris Causa* et Membre honoraire de plusieurs Universités étrangères.

Nous n'avons cité que les traits principaux de l'œuvre de Louis Lapicque, mais ils suffisent pour faire comprendre sa puissance de travail, sa grande imagination et son honnêteté scientifique absolue.

Mais nous aimions également l'homme pour l'indépendance totale de son esprit et sa naturelle bienveillance.

Cet éminent savant concevait la noblesse par le cœur et par la pensée, et non par les signes extérieurs. Ses funérailles furent empreintes de la simplicité qu'il a spécialement demandée. Peu lui importait des fleurs et des discours, car il savait qu'il possédait le bien spirituel le plus précieux : la profonde estime de ses pairs.

J'adresse, en votre nom, à Mme Lapicque et à tous les siens, l'expression émue de toute notre sympathie et l'assurance de notre fidèle souvenir.

Notice nécrologique sur Sven Hedin,

par M. **Emmanuel de Martonne.**

Le Dr **Sven Hedin**, récemment disparu, peut être compté parmi les plus grandes figures d'explorateurs.

Particulièrement attaché au Continent asiatique, il en parcourut, dès sa première traversée, qui dura trois ans, les plateaux neigeux à une altitude moyenne de plus de 6 000 m, où il faillit perdre toute sa caravane. Il releva les ruines du Sud-Est du Pamir et du Takla Makan, ainsi que le cours du Tarim, jusqu'au Lob Nor.

Dans un second, puis un troisième voyage, il explora les bourrelets de chaînes d'où découlent le Bramapoutre, l'Indus, etc.

Il faut insister sur le caractère rigoureusement scientifique des explorations de Sven Hedin. Ses caravanes complètes comportaient diverses sections : astronomique, géodésique, hydrologique.

C'est ainsi qu'il nous a fait connaître les innombrables lacs des plateaux et qu'il a résolu l'énigme du Lob Nor, type du lac de steppe désertique.

Notons enfin que l'énergie indomptable de l'explorateur nous a valu une cartographie désertique comprenant 1149 feuilles, appuyées sur 114 points astronomiques.

PHYSIQUE THÉORIQUE. — *La Mécanique ondulatoire des systèmes de particules de même nature et la théorie de la double solution.* Note (*) de M. **Louis de Broglie.**

Étendant au cas des particules de même nature les résultats obtenus dans une Note précédente, l'Auteur montre qu'en théorie de la double solution le fait que les diverses singularités d'une même onde sont interchangeables doit entraîner le caractère symétrique ou antisymétrique de l'onde Ψ dans l'espace de configuration.

Dans une Note récente (1) nous avons analysé le passage de la Mécanique ondulatoire dans un champ donné à la Mécanique ondulatoire des systèmes de corpuscules dans l'espace de configuration quand on adopte le point de vue de la double solution. Nous avions raisonné sur un système de deux corpuscules de nature différente ($m_1 \neq m_2$). Nous voulons analyser ce qui se passe dans le cas de deux corpuscules de même nature ($m_1 = m_2 = m$).

L'étude d'un tel système en Mécanique ondulatoire usuelle montre que, si les régions de présence possible des deux particules empiètent l'une sur l'autre, il est nécessaire de supposer que l'onde Ψ du système dans l'espace de configuration est soit symétrique, soit antisymétrique (2).

Comme les équations d'ondes des deux particules sont les mêmes, il est naturel de supposer que, si les trains d'ondes u empiètent en partie, les ondes u se superposent et forment finalement une seule onde que l'on peut écrire sous la forme

$$u(x, y, z, t) = f(x, y, z, t)\, e^{\frac{2\pi i}{h}\varphi(x, y, z, t)}$$

l'amplitude f ayant ici deux singularités ponctuelles distinctes. En d'autres termes, les ondes individuelles des deux particules $u_1\left(\vec{R}, \vec{r}_{12}, t\right)$ et $u_2\left(\vec{R}, \vec{r}_{12}, t\right)$ doivent se superposer pour former une onde unique à deux singularités.

Employons les notations de la Note citée au début; supposons l'une des singularités située au point $\vec{R}_i$ et l'autre à la distance $\vec{r}_{12}$ de $\vec{R}_i$. Nous devrons avoir

$$(1) \qquad \varphi_1\left(\vec{R}_i, \vec{r}_{12}, t\right) = \varphi_2\left(\vec{R}_i, \vec{r}_{12}, t\right) \qquad \text{pour} \quad i = 1, 2,$$

d'où d'après les formules (8) de la Note précédente

$$(2) \quad \varphi_{11}\left(\vec{R}_i, t\right) = \varphi_{22}\left(\vec{R}_i, t\right); \qquad \varphi\left(\vec{R}_1, \vec{R}_2, \vec{r}_{12}, t\right) = \varphi_{11}\left(\vec{R}_1, t\right) + \varphi_{11}\left(\vec{R}_2, t\right) + \varphi_{12}\left(\vec{r}_{12}, t\right),$$

(*) Séance du 1er décembre 1952.

(1) *Comptes rendus*, 235, 1952, p. 1345.

(2) Voir *Mécanique ondulatoire des systèmes de corpuscules*, 2e éd., Gauthier-Villars, 1950, p. 131 et suiv.

$\varphi\left(\vec{R}_1, \vec{R}_2, \vec{r}_{12}, t\right)$ désignant la phase de l'onde Ψ du système dans l'espace de configuration

De même pour les amplitudes des ondes Ψ individuelles (définies quand on suppose connu pour chaque corpuscule le mouvement de l'autre corpuscule), on devra avoir

$$a_1\left(\vec{R}_i, \vec{r}_{12}, t\right) = a_2\left(\vec{R}_i, \vec{r}_{12}, t\right) \qquad \text{pour} \quad i = 1, 2 \tag{3}$$

et l'on tire alors de la définition des potentiels quantiques et des formules (10) de la Note précédente

$$Q_{11}\left(\vec{R}_i, t\right) = Q_{22}\left(\vec{R}_i, t\right); \quad Q\left(\vec{R}_1, \vec{R}_2, \vec{r}_{12}, t\right) = Q_{11}\left(\vec{R}_1, t\right) + Q_{11}\left(\vec{R}_2, t\right) + Q_{12}\left(\vec{r}_{12}, t\right). \tag{4}$$

Ces formules, comme les formules (2), résultent d'ailleurs du fait que les deux singularités sont sans individualité et peuvent être échangées sans que rien ne soit modifié dans l'état ondulatoire.

Donc le potentiel quantique dans l'espace de configuration

$$Q\left(\vec{R}_1, \vec{R}_2, \vec{r}_{12}, t\right) = -\frac{h^2}{8\pi^2 m} \frac{(\Delta_1 + \Delta_2)\, a\left(\vec{R}_1, \vec{R}_2, \vec{r}_{12}, t\right)}{a\left(\vec{R}_1, \vec{R}_2, \vec{r}_{12}, t\right)} \tag{5}$$

doit être symétrique en $\vec{R}_1$ et $\vec{R}_2$.

Si $A\left(\vec{R}_1, \vec{R}_2, \vec{r}_{12}, t\right)$ est l'amplitude d'une solution quelconque (non symétrique) de l'équation de propagation des ondes Ψ dans l'espace de configuration, on devra former une combinaison linéaire de la forme

$$a\left(\vec{R}_1, \vec{R}_2, \vec{r}_{12}, t\right) = CA\left(\vec{R}_1, \vec{R}_2, \vec{r}_{12}, t\right) + DA\left(\vec{R}_2, \vec{R}_1, \vec{r}_{12}, t\right) \tag{6}$$

où C et D sont des constantes complexes, telle que la quantité (où $\Delta = \Delta_1 + \Delta_2$)

$$\frac{C\,\Delta A\left(\vec{R}_1, \vec{R}_2, \vec{r}_{12}, t\right) + D\,\Delta A\left(\vec{R}_2, \vec{R}_1, \vec{r}_{12}, t\right)}{CA\left(\vec{R}_1, \vec{R}_2, \vec{r}_{12}, t\right) + DA\left(\vec{R}_2, \vec{R}_1, \vec{r}_{12}, t\right)} \sim Q$$

soit insensible à la permutation de $\vec{R}_1$ et de $\vec{R}_2$, c'est-à-dire à l'échange des positions des deux singularités. En écrivant explicitement cette condition, on trouve aisément $C^2 = D^2$, c'est-à-dire $|C| = |D|$ et $2\arg C = 2\arg D + 2n\pi$, d'où

$$C = |C| e^{i\alpha}, \qquad D = \pm |C| e^{i\alpha} = \pm C. \tag{7}$$

Ces formules expriment qu'on ne doit admettre pour l'onde Ψ dans l'espace de configuration que les formes symétriques ou les formes antisymétriques, conformément au résultat classique de la Mécanique ondulatoire des systèmes formés de particules de même nature. Mais ici, en accord avec l'idée que nous avions développée dans une Note atérieure (1), ce résultat apparaît comme

(1) *Comptes rendus*, **234**, 1952, p. 265.

découlant du fait que les ondes u de corpuscules de même nature, quand elles empiètent dans l'espace, doivent se fondre en une onde unique comportant plusieurs singularités dont les rôles sont interchangeables parce que des singularités appartenant à une même onde ne possèdent pas d'individualité.

CHIMIE ORGANIQUE. — *Sur l'acide homoterpénylique.* Note (*) de MM. **Marcel Delépine** et **Marius Badoche**.

On obtient de l'acide homoterpénylique dextrogyre en oxydant la *d*-nopinone tirée de l'acide *l*-nopinique issu du *l*-nopinène (*l*-pinène β). Ce résultat, confronté avec la formation du même acide par oxydation du *d*-méthoéthylheptanonolide issu du *d*-pinène α, permet quelques déductions sur le mode d'oxydation de la nopinone et sur l'obtention d'antipodes à partir d'une seule substance initiale.

Dans une précédente Note (1) nous avons décrit l'obtention de l'acide *d*-homoterpénylique par oxydation du *d*-méthoéthylheptanonolide issu de l'acide *d*-pinonique, résultant lui-même de l'oxydation du *d*-pinène α. Cet acide, obtenu pour la première fois sous forme active, possède un pouvoir rotatoire relativement élevé, $[\alpha]_D + 60^\circ,5$ (dans l'acétone).

Il était indiqué de rechercher si quelque autre origine permettrait également de l'obtenir actif et de vérifier si nous l'avions eu proche de la pureté.

Parmi les substances signalées comme génératrices de cet acide se trouve la nopinone. Von Baeyer (2), dès 1896, a montré que la nopinone de l'essence de térébenthine conduit nettement à l'acide homoterpénylique, mais bien qu'il fût parti d'une substance active, il s'est contenté d'en donner le point de fusion, soit 102°, sans noter le pouvoir rotatoire. Nous rappelons qu'une nopinone dextrogyre s'obtient par oxydation de l'acide nopinique lévogyre résultant lui-même de celle du *l*-nopinène ou *l*-pinène β.

Nous sommes partis de 2 g d'une nopinone dextrogyre $\rho_D = 18^\circ,5$ sous 1 dm, sans solvant. Attaquée suivant la technique même de Von Baeyer, sans modification spéciale, elle nous a fourni, par rapport à la théorie, un rendement de 50 % en un acide bien cristallisé, fusible à 102° (fusion instantanée), ayant un pouvoir rotatoire $[\alpha]_D + 58^\circ,5$ (acétone, $C = 0,04$), si voisin de $60^\circ,5$ que nous n'avons pas été plus loin, nous contentant de vérifier que mélangé à l'acide issu du *d*-méthoéthylheptanonolide il n'en changeait pas le point de fusion. Les deux acides sont identiques.

En réalité, nous pensions obtenir l'acide *l*-homoterpénylique puisque le nopinène lévogyre est de la série du pinène lévogyre; ce résultat inattendu va nous conduire à des déductions intéressantes sur le processus des réactions.

(*) **Séance du** 1er décembre 1952.

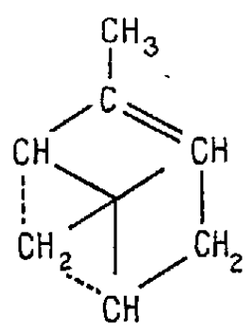
(1) M. Delépine et M. Badoche, *Comptes rendus*, **235**, 1952, p. 1069.

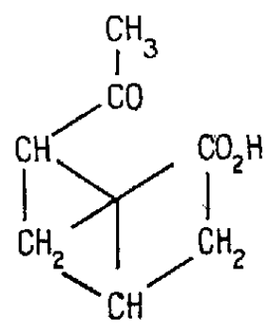
(2) *Ber. d. chem. Gesells.*, **29**, 1896, p. 1923.

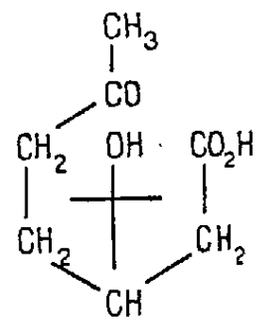
Convenons d'écrire le *d*-pinène selon le schéma (I) dans lequel, comme dans tous ceux où subsiste le noyau tétraméthylénique, il est entendu que si le chaînon $CH_3—C=CH—CH_2$ est dans le plan du papier, le $C(CH_3)_2$ marqué $\nmid$ ou $\top$ est au-dessus, le CH_2, en arrière (en pointillé), les CH étant des charnières d'où émergent trois chaînons inclinés aux environs de 120° l'un sur l'autre.

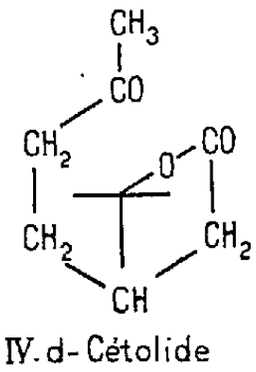
Le *l*-pinène aura la configuration antipode (VI). D'autre part, le *l*-nopinène du fait des réactions avec les acides qui conduisent aux mêmes produits que le *l*-pinène, possédera la configuration (VII) qui conserve la situation du noyau tétraméthylénique de (VI).

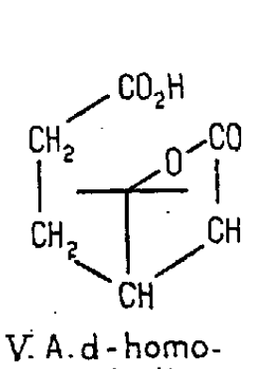
Le passage du *d*-pinène (I) à l'acide *d*-homoterpénylique (V) se suit aisément. L'oxydation donne l'acide pinonique (II); celui-ci, par ouverture de son cycle tétraméthylénique (sous l'influence de SO_4H_2), conduit à l'acide intermédiaire (III), dont la lactonisation fournit le *d*-méthoéthylheptanonolide (IV) (appelé *d*-cétolide). Puis, l'oxydation dont il a été fait état dans la Note antérieure donne enfin l'acide *d*-homoterpénylique (V).

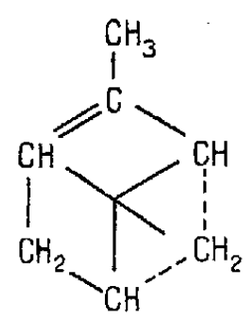

I. d-Pinène

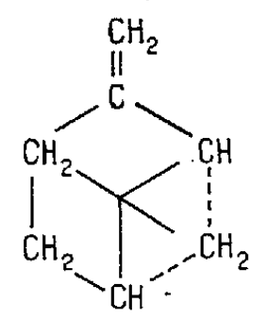

II. Acide pinonique

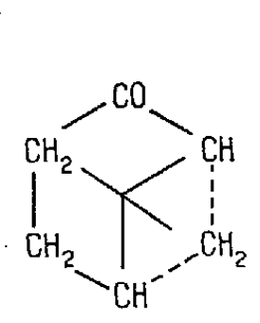

III. Interm.

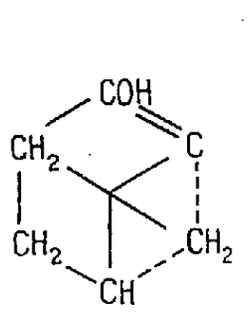

IV. d-Cétolide

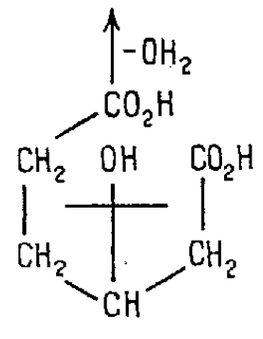

V. A. d-homo-terpénylique


VI. ℓ-Pinène


VII. ℓ-Nopinène


VIII. d-Nopinone


IX

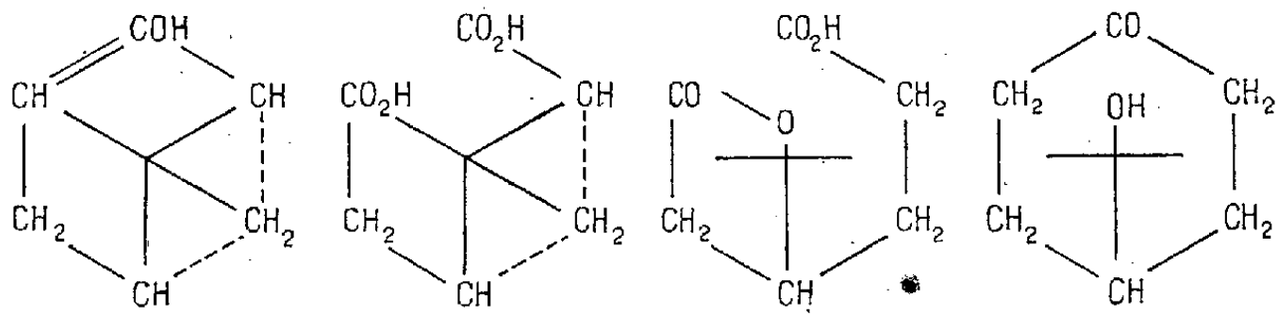

X. Acide dia.

Pour que la nopinone (VIII) conduise au même acide, il faut que la coupure ait lieu entre le CO et le C tétraméthylénique, ce qu'une formule à structure énolique (IX) permet d'entrevoir.

Cela prouve que l'énolisation de la nopinone n'a pas lieu à gauche comme dans le schéma (XI) car son oxydation suivie d'hydratation, puis de lactonisation donnerait successivement (XII et XIII), c'est-à-dire l'acide *l*-homoterpénylique (XIII), antipode de celui que l'on a réellement obtenu.

Il faut, en outre, admettre que la transformation de la nopinone ne commence pas par l'ouverture du noyau tétraméthylénique, puisque cela conduirait au

composé (XIV) à structure symétrique, dont la transformation ultérieure ne saurait aboutir à un acide actif. Il est donc nécessaire de se rallier au schéma (IX) : oxydation de la double liaison imaginée et ce, sans rupture préalable du cycle tétraméthylénique.



XI XII XIII XIV

Une autre conséquence encore. L'un de nous ([3]) a démontré, dès 1924, que le *l*-nopinène au cours de l'action des acides organiques se transformait en partie en *l*-pinène; dès lors, puisque le *d*-pinène aboutit à l'acide *d*-homoterpénylique (I) à (V), le *l*-pinène donnera l'antipode. Le *l*-nopinène engendrera donc, à volonté, les deux antipodes de cet acide suivant le chemin suivi pour les transformations. C'est un exemple de plus sur la difficulté de rattacher une substance active à un chef de file unique. Enfin, Dupont et Zacharewicz ([4]) ont obtenu les nopinènes droit ou gauche à partir des pinènes de même signe; il en découle encore un mode d'obtention des deux acides homoterpényliques antipodes dérivant d'un même pinène.

Les transformations que nous rapportons peuvent se résumer ainsi :

d-pinène*	ac. *d*-pinonique*	→	*d*-cétolide*	→	ac. *d*-homoterpénylique*	(1)
	d-nopinène	→	*l*-nopinone	→	ac. *l* »	(2)
l-nopinène	*d*-nopinone*	→		→	ac. *d** »	(3)
	l-pinène	→	ac. *l*-pinonique	→	ac. *l* »	(4)

A volonté, du *d*-pinène fournira l'un ou l'autre des acides, le *d* par le chemin 1, le *l* par le chemin 2, si on le change préalablement en *d*-nopinène, d'après les expériences de Dupont et Zacharewicz; le *l*-pinène donnerait naturellement les antipodes. Si l'on prend le *l*-nopinène comme point de départ, puisque celui-ci est transformable en *l*-pinène générateur d'acide *l* (chemin 4) et que le *l*-nopinène (chemin 3) donne de l'acide *d*, on aura ici encore les deux acides antipodes. Les astérisques indiquent les expériences relatées au cours de nos recherches.

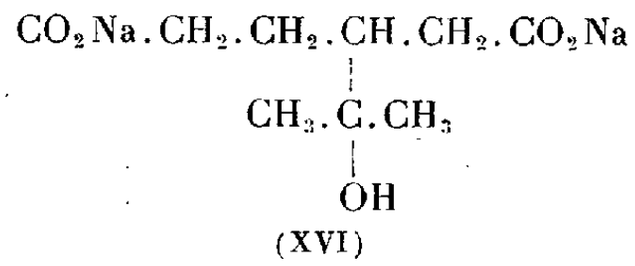
Ajoutons enfin que si l'on transforme l'acide homoterpénylique en diahomo-

---

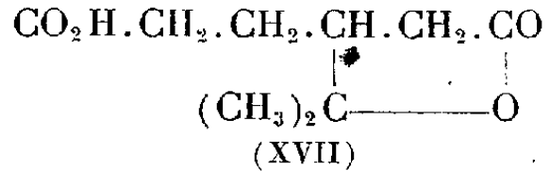
([3]) M. Delépine, *Comptes rendus*, 178, 1924, p. 2087; 179, 1924, p. 175; *Bull. Soc. Chim.*, 4e série, 35, 1924, p. 1463; 39, 1926, p. 1679. M. Delépine et A. Adida, *Ibid.*, 39, 1926, p. 782. G. Austerweil (*Ibid.*, 39, 1926, p. 1639) a indiqué des conditions favorables à cette transformation.

([4]) *Comptes rendus*, 200, 1935, p. 759.

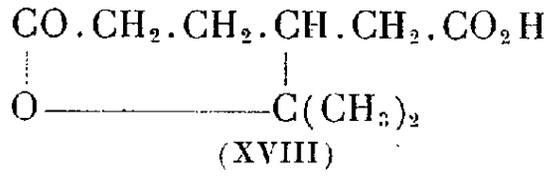
terpénylate disodique (XVI) par ouverture de la fonction olide, puis qu'on acidifie la solution par ClH jusqu'au virage du rouge Congo, et récupère l'acide organique par concentration convenable, ce n'est pas le diacide qui est obtenu, mais un monoacide olide identique au point de départ.



(XVI)



(XVII)



(XVIII)

Autrement dit, des deux acides olides possibles (XVII) et (XVIII), c'est celui (XVII) dans lequel la fonction olide est en γ ou 1.4 qui se forme exclusivement.

CHIMIE BIOLOGIQUE. — *Nouvelles recherches sur la teneur en manganèse des Phanérogames*. Note de MM. **Gabriel Bertrand** et **Lazare Silberstein**.

Nous avons donné les raisons qui nous ont conduits à entreprendre le dosage du manganèse dans un nombre important de plantes entières. Les premiers résultats que nous avons obtenus en opérant sur 150 espèces de Phanérogames (1) ont justifié ces raisons et nous ont engagés à poursuivre l'enquête commencée. Actuellement, nous avons pu récolter et préparer dans de bonnes conditions, puis analyser 420 échantillons provenant de 389 espèces de Phanérogames.

La différence entre le nombre des échantillons et celui des espèces tient soit à ce que certaines plantes étant dioïques, leur analyse a porté séparément sur des individus mâles et des individus femelles et que l'on a pris pour l'espèce la moyenne des résultats obtenus (cas du Compagnon blanc, de la Bryone, de la Mercuriale vivace et de la Grande Ortie), ou bien à ce que la partie aérienne de telle ou telle plante biannuelle étant formée des tiges de l'année portées par des branches de l'année précédente, on a calculé la moyenne proportionnelle des chiffres résultants de l'analyse des unes et des autres (cas de *Satureia montana* et de *Epilobium rosmarinifolium*). Ou bien encore, et ce cas est le plus fréquent, il s'agit de la moyenne des teneurs trouvées en analysant deux échantillons d'une même espèce différant par l'année ou le lieu de la récolte.

Cet ensemble de recherches nous permet de considérer comme très voisines de la vérité, du moins pour la France et les régions limitrophes de l'Angleterre, de l'Italie et de la Suisse, les observations suivantes.

(1) *Comptes rendus*, **232**, 1951, p. 2386.

Tout d'abord, le manganèse est dosable dans toutes les espèces, par la méthode que nous avons utilisée, en opérant sur un gramme au plus de plante sèche.

Les teneurs en métal trouvées varient largement d'une espèce à l'autre : d'environ 10 mg/kg (Orobanche, Aconit tue-loup, Herbe au chat, etc.) à plus de 500 mg et même d'un gramme.

Si l'on inscrit ces teneurs par ordre de grandeur croissante, on peut reconnaître que les plus faibles, jusqu'à 20 mg, sont peu fréquentes (environ 8 %) et que celles dépassant 200 mg le sont encore moins (environ 6,5 %).

Ce sont les espèces contenant entre 20 et 50 mg de métal par kilogramme sec qui existent dans la plus grande proportion (près d'une espèce sur deux). Celles dont la teneur s'élève de 50 à 100 mg ne sont déjà plus que de 20 %. Les teneurs en manganèse que l'on rencontre le plus souvent sont voisines de 20 ($\pm$ 5) mg/kg de matière sèche.

Si l'on considère à présent la teneur en manganèse non plus simplement par rapport aux espèces, quel que soit l'ordre dans lequel on les rencontre au fur et à mesure des récoltes ou des analyses, mais en faisant intervenir la place que ces espèces occupent dans une classification naturelle, basée sur la forme extérieure et l'anatomie des organes, voire sur leur physiologie, on observe l'existence d'une certaine relation entre la teneur moyenne en métal et les groupes plus ou moins importants auxquels les plantes appartiennent.

Nous avons trouvé, pour les familles particulièrement nombreuses ou intéressantes au point de vue économique par certaines de leurs espèces, les nombres suivants :

	Nombre d'espèces analysées.	Manganèse par espèce (mg/kg mat. sèche).
Dicotylédones.		
Renonculacées	23	103,5
Crucifères	26	43,8
Caryophyllées	21	110,4
Légumineuses	25	76,7
Rosacées	13	130,4
Ombellifères	14	64,3
Composées	34	62,3
Boraginées	10	67,9
Solanées	11	65,0
Scrofulariées	12	470,6
Labiées	26	65,0
Salsolacées	11	39,1
Polygonées	11	65,0
Autres familles Dicotylédones	81	109,1
Teneur moyenne en Mn par espèce : 97,7 mg.		
Monocotylédones.		
Graminées	35	77,5
Autres familles de Monocotylédones	36	126,5
Teneur moyenne en Mn par espèce : 98,6 mg.		

Il résulte de ce tableau que des familles entières de plantes, spécialement les Crucifères et les Salsolacées parmi les Dicotylédones, les Graminées parmi les Monocotylédones, sont formées d'espèces contenant le plus souvent des proportions de manganèse très inférieures à la moyenne de celles que l'on rencontre dans les embranchements auxquels elles appartiennent (²).

MÉCANIQUE. — *De la valeur du coefficient de Poisson dans les phénomènes élasto-plastiques.* Note de M. **Gustavo Colonnetti.**

Une objection récemment soulevée par M. Nabarro (¹) à propos de mes Notes « Sur l'équilibre élasto-plastique dans le temps » (²) met en cause la valeur qu'il convient d'attribuer au coefficient de Poisson.

Or, avant de prendre position à ce sujet, il faut bien s'entendre sur les buts et les limites du problème.

Les déformations plastiques commencent à se manifester dans les corps naturels dès que, sous l'action des forces extérieures, la limite élastique vient d'être atteinte.

Cela arrive d'ordinaire autour de certains points ou dans quelque région limitée du corps, où se vérifie une concentration de tensions intérieures.

Par l'intervention des déformations plastiques, des limites se posent à tout accroissement ultérieur de la contrainte locale, et les tensions intérieures tendent à se déplacer vers d'autres régions du corps initialement moins chargées.

Si les forces extérieures continuent de s'accroître, les régions du corps où se produisent des déformations plastiques s'élargissent et se multiplient jusqu'à ce que le corps tout entier soit passé à l'état plastique.

Cet état n'a plus aucun rapport avec l'état d'équilibre élastique initial. Les déformations peuvent s'accroître indéfiniment; par rapport à elles, les déformations élastiques peuvent devenir négligeables.

On croit généralement que dans cet état les déformations se produisent

---

(²) Cette Note est extraite d'un Mémoire qui paraîtra prochainement, où se trouveront d'autres détails et le tableau complet des résultats analytiques.

(¹) *Applied Mechanics Reviews*, April 1952.

(²) *Comptes rendus*, 233, 1951, p. 593, 644, 677, 717.

L'objection est née de l'interprétation que l'on a pu donner aux mots *proportionnelles aux tensions initiales* que, à propos des variations des déformations plastiques, j'ai employés, dans la Note parue dans ces *Comptes rendus* à la pagé 646, lignes 6 et 7.

A la rigueur, j'aurais dû écrire que les variations des déformations plastiques étaient des *fonctions linéaires et homogènes des tensions initiales.*

Après quoi, ma démonstration n'aurait pu donner lieu à d'autres réserves, à l'exception de celle dont il est question dans la présente Note.

à volume constant (ou presque constant); au coefficient de Poisson on devrait donc attribuer la valeur limite 0,50 (3).

La valeur du coefficient reste au contraire très douteuse dans la première phase du phénomène; phase à laquelle se rapportent mes recherches, et à laquelle il faudra toujours se rapporter si l'on veut envisager le problème pratique des constructions où les déformations plastiques sont admises seulement si elles sont localisées et si elles se maintiennent dans l'ordre de grandeur des déformations élastiques.

Il paraît en effet assez peu probable que le passage de la matière de l'état élastique à l'état plastique se réalise d'un seul coup et soit caractérisé par un changement brusque des valeurs des constantes physiques.

Nous parlons toujours de « limite élastique » en l'identifiant avec la valeur au delà de laquelle nos instruments nous révèlent les premières déformations permanentes. Mais nous savons tous que cette valeur dépend de la précision des instruments de mesure, et qu'à chaque accroissement de la sensibilité de ces instruments correspond un abaissement des valeurs de la limite élastique.

Si l'on pouvait disposer d'instruments infiniment sensibles, nous serions vraisemblablement conduits à attribuer à la plupart des matériaux des limites élastiques infiniment petites, et des valeurs des constantes physiques variant avec continuité.

Il est donc raisonnable d'admettre que même le coefficient de Poisson ne passe pas d'un seul coup de la valeur relative aux phénomènes parfaitement élastiques à celle qui caractérise une parfaite plasticité. Il est raisonnable d'admettre que, tant que les déformations plastiques se maintiennent très petites, la valeur du coefficient de Poisson ne diffère pas sensiblement de celle relative aux déformations élastiques.

Il faut d'ailleurs tenir aussi compte du fait que, même dans les limites de l'élasticité soit-disant parfaite, le coefficient de Poisson n'a pas toujours cette valeur constante que Navier et Cauchy avaient cru pouvoir lui attribuer.

Si l'on accepte les résultats des expériences faites par un savant de l'autorité de Schaefer, on peut partir de valeurs très petites telles que 0,06 ou 0,08 pour certaines pierres, passer par des valeurs comprises entre 0,25 et 0,33 pour les métaux comme le cuivre, le fer et les différents types d'acier, et atteindre des valeurs telles que 0,36 pour l'aluminium, 0,43 pour le plomb, et 0,49 pour certains alliages tels que celui de Wood.

Dans cette incertitude et variabilité de valeurs, je ne vois absolument

---

(3) La chose n'est même pas sûre. Sur des échantillons de duraluminium dont les déformations avaient été poussées au delà de 3 %, K. H. Swainger a obtenu pour le coefficient de Poisson des valeurs sensiblement constantes et très proches de 0,37 (*Nature*, **3**, **8**, 1946).

pas quel intérêt il y aurait à introduire dans nos calculs toutes les complications inhérentes à une différentiation des valeurs du coefficient dans les cas où coexistent des déformations élastiques et des déformations plastiques du même ordre de grandeur.

Ici, l'hypothèse de l'invariance du coefficient de Poisson, à laquelle je me suis constamment rapporté dans mes travaux sur l'équilibre élasto-plastique, est, à mon avis, tout aussi justifiée que les autres hypothèses, caractéristiques de la théorie classique de l'élasticité, et dont personne ne songe à contester la légitimité.

Bien entendu, la théorie qui en découle ne pourra être acceptée que comme une « théorie limite ». Mais il ne faut pas oublier que, dans le cas de l'équilibre élasto-plastique comme dans le cas de l'équilibre élastique, ce caractère de « théorie limite » est acquis, une fois pour toutes et indépendamment de toute autre considération, dès qu'on introduit l'hypothèse de la petitesse des déformations.

HISTOPATHOLOGIE EXPÉRIMENTALE. — *Effets du fluorure de calcium naturel (spath fluor) et synthétique sur les tissus conjonctifs et lymphoïdes.* Note de MM. **Albert Policard** et **André Collet.**

Le fluorure de calcium, soit naturel (spath fluor), soit synthétique, possède des propriétés fibrosantes comparables à celles du quartz. Son action sur le tissu lymphoïde des ganglions est par contre plus réduite.

L'observation clinique a montré la fréquence et la gravité des pneumoconioses dans les mines de spath fluor (1) où les mineurs sont exposés à un mélange de poussières de silice et de spath. Pour préciser le rôle respectif de ces deux minéraux dans le développement des lésions, nous avons été amenés à étudier expérimentalement l'action des poussières de spath fluor mélangées ou non avec de la silice.

La technique suivie a été celle de Miller et Sayers (2) appliquée chez le Rat à des particules soigneusement calibrées au-dessous de 2 μ. Les roches examinées avaient été préalablement analysées, chimiquement (analyse chimique proprement dite, analyse thermique différentielle et analyse spectrographique quantitative) et minéralogiquement (diffraction X), au point de vue de leur teneur en quartz.

Divers échantillons ont donné les résultats suivants :

(1) H. Pailiard, G. Petit et J. Champeix, *Société des Sciences médicales de Clermont-Ferrand*, 24 juin 1948; F. Luton et J. Champeix, *Arch. Mal. Profess.*, 12, 1951, p. 505; A. Farjot, E. Balgairies et E. Quinot, *Rev. med. minière*, nos 13-14, 1951, p. 37; K. Nicol, *Die Staublunge der Flusspatharbeiter*, Fischer, Iéna, 1933.

(2) *Public Health Reports*, 49, 1934, p. 80.

1. *Spath fluor naturel d'une mine d'Auvergne, pauvre en quartz* (moins de 1 %). — Dès le 15e jour, au niveau de l'épiploon, forte réaction cellulaire et sclérose très accentuée. Après un et deux mois, la réaction fibreuse est plus accentuée qu'avec le quartz seul, dans les mêmes conditions expérimentales. Par contre, les altérations des ganglions lymphatiques médiastinaux et abdominaux sont beaucoup plus faibles qu'avec le quartz (pas de plages confluentes de cellules momifiées). La contradiction entre l'intensité des lésions épiploïques et ganglionnaires est frappante.

2. *Spath fluor naturel en cristaux cubiques typiques et triés* (quartz, moins de 0,5 %). — Résultats superposables aux précédents, dans les mêmes délais.

3. *Spath fluor naturel de la même mine, mais renfermant de* 6 *à* 50 % *de quartz.* — L'épiploon montre des granulations hyalines sensiblement du même type qu'avec les échantillons pauvres en quartz, mais plus nombreuses. Les ganglions sont plus gros et, après huit mois, présentent les grandes plages cellulaires claires caractéristiques du quartz.

4. *Fluorure de calcium synthétique préparé par action de* HF *sur* CO_3Ca *et purifié par électrodialyse* (moins de 0,35 de Si élément par spectrographie quantitative). — La réaction épiploïque miliaire est aussi intense qu'avec le spath fluor naturel dépourvu de quartz d'accompagnement. Par contre, les ganglions, bien qu'hypertrophiés, ne montrent que de très faibles lésions prolifératives cellulaires.

5. *Fluorure de calcium synthétique additionné de* 1 % *et de* 10 % *de quartz cristallisé pur.* — Des témoins recevant 1 mg de quartz seul, montrent après un et deux mois seulement de rares granulations miliaires et de rares plages prolifératives ganglionnaires; avec 10 mg, on observe dans les mêmes délais des lésions miliaires et des plaques ganglionnaires nettes, mais encore peu de fibrose. Ces mêmes quantités de quartz additionnées de fluorure de calcium provoquent en un et deux mois l'apparition : *a.* avec 1 mg de quartz, des mêmes lésions que le fluorure seul, *b.* avec 10 mg, une superposition des altérations tissulaires du quartz et du fluorure.

Conclusions. — Des échantillons de spath fluor naturel ou de fluorure de calcium synthétique ne renfermant pas ou renfermant seulement des traces de quartz (moins de 1 %) provoquent après un et deux mois, au niveau de l'épiploon, des lésions fibreuses intenses comparables à celles produites par le quartz. Par contre, à la différence de celui-ci, les réactions ganglionnaires sont réduites et non fibreuses même après deux mois. Le fluorure de calcium naturel ou synthétique paraît donc posséder des capacités fibrosantes accentuées au moins égales à celles du quartz. Le mécanisme de cette action reste à déterminer.

M. **Émile Borel**, en sa qualité de Président du Comité National Français de Mathématiques, fait hommage à l'Académie de la première Partie des Œuvres d'Élie Cartan. Cette première Partie, consacrée à la Notice sur les travaux scientifiques et aux Notes et Mémoires se rattachant à la Théorie des Groupes de Lie, comprend deux volumes d'environ 1400 pages. Les deux autres Parties se rapporteront respectivement, la seconde à l'Algèbre, systèmes différentiels et problèmes d'équivalence, et la troisième à la Géométrie différentielle et à divers autres objets.

Le Comité de publication remercie, dans une Note liminaire, tous ceux qui ont contribué à rendre possible cette publication; en nous associant à ces remerciements, nous ne devons pas oublier les Membres de ce Comité. Grâce à leur zèle, un instrument de travail, d'une qualité incomparable, a été mis à la disposition des mathématiciens dans un délai très bref, et tout permet d'espérer que la publication se continuera avec la même rapidité.

M. **Théodore Monod** fait hommage à l'Académie d'un Mémoire, en collaboration avec M. R. Schnell, intitulé : *Mélanges botaniques*, qui constitue le n° 18 des *Mémoires de l'Institut français d'Afrique Noire*.

M. **Gottlieb Fluckiger** adresse à l'Académie deux Notes parues dans les *Schweizer Archiv für Tierheilkunde* : 1° *Über die Bekämpfung der Rindertuberkulose in Europa und die Frage der Schutzimpfung;* 2° *Der Verlauf und die Bekämpfung der Maul-und Klauenseuche* 1951-1952 *in den europäischen Weststaaten.*

L'Ouvrage suivant est présenté par M. **Roger Heim** : Encyclopédie mycologique. XX. *Les Agaricales*. Tome II. *Russulacées, Hygrophoracées Gomphidiacées, Paxillacées, Bolétacées*, par P. Konrad et A. Maublanc.

CORRESPONDANCE.

Le Directeur du **Palais de la Découverte** adresse à l'Académie le Catalogue de l'Exposition *Léonard de Vinci, Homme de science*, 1452-1519.

M. le **Secrétaire perpétuel** signale, parmi les pièces imprimées de la Correspondance :

1° *Tablet Making*, by Arthur Little and K. A. Mitchell.

2° L. Aufrère. *De Thalès à Davis. Le relief et la sculpture de la Terre.* (*Auteurs*,

textes, doctrines, ambiances.) Tome IV. *La fin du XVIIIe siècle.* I. *Soulavie et son secret. Un conflit entre l'actualisme et le créationisme. Le temps géomorphologique.*

ALGÈBRE. — *Sur les groupes analytiques dans les modules filtrés.* Note de M. **Michel Lazard**, présentée par M. Arnaud Denjoy.

Les résultats suivants étendent la théorie de Dynkin (1) au cas où le corps de base est discret. Au moyen d'une axiomatisation convenable de l'analyticité des fonctions, on développe une théorie qui conduit, entre autres, à établir l'universalité de la formule de Campbell-Hausdorff (2), en même temps qu'on retrouve des résultats classiques de Lie, considérés du point de vue des séries formelles.

1. Soit L un espace vectoriel sur le corps Q des nombres rationnels; $\omega(x)$ est une filtration (3) à valeurs entières et $+\infty$, définie sur L et vérifiant : *a.* $\omega(x)=+\infty$ équivaut à $x=0$; *b.* $\omega(x-y)\geqq \mathrm{Inf}(\omega(x),\omega(y))$; *c.* $\omega(\lambda x)\geqq\omega(x)$ (où $x, y\in \mathrm{L}$; $\lambda\in \mathrm{Q}$). L est supposé complet pour la métrique $d(x, y)=2^{-\omega(x-y)}$.

Le lemme suivant est fréquemment utilisé : Si $x_k(0\leqq k<\infty)$ est une suite d'éléments de L tendant vers 0 telle que pour tout entier positif n, $\Sigma_{0\leqq k<\infty} n^k x_k=0$, on a $x_k=0$ pour tout k.

Les fonctions que nous allons considérer ont leurs arguments et leurs valeurs dans L. Une fonction $f(x)$ sera dite homogène de degré k en x si $f(nx)=n^k f(x)$ pour tout entier n (k entier $\geqq 0$). Une fonction de plusieurs arguments sera dite homogène si elle est homogène par rapport à chaque argument; son degré total sera la somme de ses degrés par rapport à chaque argument. Nous supposons donnée une certaine famille de fonctions, que nous appellerons *analytiques*, les axiomes suivants étant vérifiés : 1° les fonctions x, λx, $x+y$ des arguments x et y sont analytiques ($\lambda\in \mathrm{Q}$); 2° si $f(x_1, \ldots, x_r)$ est une fonction analytique des arguments $x_1, \ldots, x_r$ et si $g_1, \ldots, g_r$ sont des fonctions analytiques des arguments $y_1, \ldots, y_s$, $f(g_1, \ldots, g_r)$ est une fonction analytique des arguments $y_1, \ldots, y_s$; 3° une fonction analytique homogène de degré 0 par rapport à un argument ne dépend pas de cet argument; 4° une fonction analytique $f(x_1, \ldots, x_p)$ homogène de degré total $k\geqq 1$ vérifie : $\omega(f(x_1, \ldots, x_r))\geqq(k-1)+\mathrm{Inf}_{1\leqq i\leqq r}(\omega(x_i))$; 5° toute fonction analytique est égale à la somme d'une série de fonctions analytiques homogènes, et toute série de fonctions analytiques homogènes, dont les degrés croissent indéfiniment, converge vers une fonction analytique (au sens de la convergence simple).

(1) *Usp. Mat. Nauk.* V, I, 35, 1950, p. 135-186.

(2) *Bericht. Sachs. Ges.*, 58, 1906, p. 19-48.

(3) *Cf.* J. Leray, *Journ. Mat. P. et Ap.*, 29, 1950, p. 2.

2. Un *groupe analytique* est un groupe G (noté multiplicativement) dont les éléments peuvent être identifiés à ceux de L, de telle sorte que $xy^{-1}=g(x, y)$ soit une fonction analytique. On démontre que si $xy=f(x, y)$ définit dans L une loi de composition analytique, associative, et admettant un élément neutre e qui est une fonction analytique constante, xy est une loi de groupe analytique. Posant $f'(x, y)=f(x+e, y+e)-e$, on se ramène au cas où $e=0$, ce qu'on suppose désormais. On définit x^n, pour tout entier $n=0$ par $x^0=0$, $x^{n+1}=x^n x$. Alors $x^n=\Sigma_{1\leq i<\infty} C_i(x, n)$, où $C(x, n)$ est une fonction analytique de degré i en x; et l'on démontre, par récurrence sur i, que $C_i(x, n)=\Sigma_{1\leq j\leq i} n^j B_{i,j}(x)$ ($B_{i,j}(x)$: fonction analytique de degré i).

Lemme. — *On suppose données pour tous les couples d'entiers i, j vérifiant $1\leq j\leq i<\infty$ des fonctions $H_{i,j}(x)$ telles que : a. $H_{i,j}(x)$ est analytique et homogène de degré i; b. si l'on pose $x^{(n)}=\Sigma_{1\leq j\leq i<\infty} n^j H_{i,j}(x)$, on a $x^{(1)}=x$ et $(x^{(m)})^{(n)}=x^{(mn)}$ pour tout couple d'entiers positifs m et n. Alors, posant $\operatorname{Log} x=\Sigma_{1\leq i<\infty} H_{i,1}(x)$ et $\exp x=\Sigma_{1\leq i<\infty} H_{i,i}(x)$, on a $x=\operatorname{Log}(\exp x)=\exp(\operatorname{Log} x)$; $\operatorname{Log} x^{(n)}=n \operatorname{Log} x$; $(\exp x)^{(n)}=\exp(nx)$.*

Il en résulte qu'on peut, par un changement analytique de coordonnées, se ramener au cas de coordonnées canoniques (c'est-à-dire telles que $x^n=nx$), ce que nous supposerons désormais. Si $A_2(x, y)$ est la composante homogène de degré total 2 de $f(x, y)=xy$, on pose $[x, y]=2A_2(x, y)$, et l'on démontre que la nouvelle opération $[x, y]$ fait de L une algèbre de Lie sur Q. De plus, $x^{-1}yx=\Sigma_{0\leq k<\infty}[yx^k]/k!$ (où l'on a posé $[yx^0]=y$; $[yx^{k+1}]=[[yx^k], x]$).

Théorème. — *En coordonnées canoniques, la loi de groupe xy est entièrement déterminée par le crochet de Lie $[x, y]$, et l'on a, suivant la formule de Campbell-Hausdorff :*

$$xy=x+y+\frac{1}{2}[x, y]+\frac{1}{12}[xy^2]+\frac{1}{12}[yx^2]+\dots.$$

On décompose $xy=x+y+A_2(x, y)+\dots+A_k(x, y)+\dots$ en ses composantes homogènes, et sans rien supposer connu de la formule de Hausdorff, on démontre l'existence d'une formule universelle où les $A_k(x, y)$ peuvent être identifiés à des éléments de l'algèbre de Lie libre sur Q engendrée par x et y. La démonstration procède par récurrence sur k et s'appuie sur l'identité $(xy)^2=x^2y^2y^{-1}(y^{-1}x^{-1}yx)y$. On montre alors que la formule de Campbell-Hausdorff est une spécialisation générique de la formule universelle.

3. Si Q est remplacé par un corps de caractéristique $p\neq 0$, les résultats précédents tombent en défaut. Sur un tel corps, il n'existe pas de formule universelle du type de Hausdorff.

Cependant, soit J_p l'anneau des nombres rationnels λ tels que $((p-1)!)^h\lambda$ soit entier pour un certain entier h. Nous modifierons les axiomes en supposant, toutes choses égales d'ailleurs, *a.* que L est un J_p-module unitaire; *b.* que

toute fonction analytique de degré total $\geq p$ est nulle. Alors les résultats précédents restent vrais la [formule de Campbell-Hausdorff n'est plus utilisée que jusqu'aux termes de degré $(p-1)$].

TOPOLOGIE ALGÉBRIQUE. — *Sur les anneaux spectraux de certaines classes d'applications.* IV. *Cohomologie des hypersurfaces algébriques.* — Note de M. **István Fáry**, présentée par M. Paul Montel.

L'étude de l'anneau spectral de l'application (1) que définit un polynome permet de déterminer les modules de cohomologie d'une hypersurface générique de l'espace affine complexe (théorèmes 2, 3) (1). La théorie de Lefschetz (2) utilise une induction sur la dimension de l'hypersurface que nous pouvons éviter en liant les classes de cohomologie directement aux invariants (4) (théorèmes 1, 4; corollaires 1, 2).

1. C_{n+1} désigne l'espace affine complexe à $n+1$ dimensions, lieu du point $x=(x_1, \ldots, x_{n+1})$ (x_j complexe, $n \geq 1$) (1). Soit P un polynome à $n+1$ variables à coefficients complexes de *degré* m ($m \geq 1$). P définit une application

$$P : C_{n+1} \to C, \tag{1}$$

qui fait correspondre à $x \in C_{n+1}$ la valeur complexe $\xi = P(x_1, \ldots, x_{n+1})$ dans le plan C des nombres complexes. L'image inverse d'un point $\xi \in C$ est une hypersurface algébrique F_ξ, définie par l'équation

$$F_\xi : P(x_1, \ldots, x_{n+1}) = \xi. \tag{2}$$

Dans ce qui suit nous supposons que P a les propriétés suivantes : 1° P est irréductible; 2° le système d'équations

$$\frac{\partial P}{\partial x_1} = 0, \quad \ldots, \quad \frac{\partial P}{\partial x_{n+1}} = 0$$

a pour solutions $\mu = (m-1)^{n+1}$ points $c^1, \ldots, c^\mu$ de C_{n+1}; 3° si nous ordonnons P suivant les puissances des coordonnées de $x - c^j$ ($1 \leq j \leq \mu$), ce développement commence par la constante $P(c^j)$ plus une forme quadratique non dégénérée; 4° $P(c^j) \neq P(c^k)$ $(j \neq k)$.

2. $c^1, \ldots, c^\mu$ sont les points critiques, $\gamma_j = P(c^j)$, $j = 1, \ldots, \mu$ sont les valeurs critiques de l'application (1) au sens des définitions (6)-(10) de la Note I (1). Les autres points et les autres valeurs sont ordinaires.

Soit Γ une courbe différentiable dans le plan C joignant les points ξ, η. Si Γ ne contient pas de valeur critique, elle détermine une homéomorphie

$$F_\xi \approx F_\eta. \tag{3}$$

(1) Cette Note fait suite à : Note I des *Comptes rendus*, **235**, 1952, p. 686; Note II, *ibid.*, p. 780; Note III, *ibid.*, p. 1272.

(2) *L'analysis situs et la géométrie algébrique*, Paris, 1924; *cf.* p. 89, théorèmes.

3. Pour étudier le faisceau $\mathcal{B}$ [*voir* Note I (1), n° 3] défini sur le plan C envisageons une valeur critique $\gamma = P(c)$ (c étant l'un des points $c^1, \ldots, c^\mu$). Si le nombre réel ρ est inférieur à $\min|\gamma_j - \gamma_k|$, le *voisinage fermé* V : $|P(x) - \gamma| \leq \rho$ de F_γ est rétractile sur F_γ. En particulier $H(V) \to H(F_\gamma)$ est un isomorphisme.

Posons

$$(4)\qquad \begin{cases} NH^p(\gamma) = \text{noyau de la section } H^p(V) \to H^p(F_\xi), \\ TH^p_\xi(\gamma) = \text{image de la section } H^p(V) \to H^p(F_\xi) \qquad (0 < |\xi - \gamma| \leq \rho), \\ IH^p_\xi(\gamma) = H^p(F_\xi)/TH^p_\xi(\gamma). \end{cases}$$

Pour exprimer ces modules à l'aide des invariants du point critique c, envisageons une boule B centrée à c, de rayon suffisamment petit, et supposons $\xi \neq \gamma$, et $|\xi - \gamma|$ assez petit.

Lemme 1. — *Si* $p \geq 2$, $NH^p(\gamma)$ *est isomorphe à l'image de l'homomorphisme cobord* d : $H^{p-1}(F_\xi \cap B) \to H^p(F_\xi - B)$.

Lemme 2. — $IH^p_\xi(\gamma)$ *est isomorphe à l'image de la section* $H^p(F_\xi) \to H^p(F_\xi \cap B)$ $(p \geq 1)$.

4. D'après l'hypothèse 3° du n° 1, nous avons $H(F_\xi \cap B) = H(Q_n \cap B')$, où Q_n est la quadrique complexe $x_1^2 + \ldots + x_{n+1}^2 = 1$, et B′, la boule

$$|x_1|^2 + \ldots + |x_{n+1}|^2 \leq 1 + \varepsilon \qquad (\varepsilon > 0).$$

Désignons par S^n la sphère constituée par les $x \in Q_n$ dont les coordonnées sont réelles, et posons $M_n = Q_n \cap B'$. Notons par I l'intervalle $0 \leq t \leq 1$.

Théorème 1. — *Il existe une rétraction* $r : M_n \times I \to M_n$, *telle que :* 1° $r(x, 0) = x$; 2° $r(x, 1) \in S^n$; 3° *si* $x \in S^n$, *alors* $r(x, t) = x$, *pour* $0 \leq t \leq 1$.

Corollaire 1. — $H^p(F_\xi \cap B) = H^p(S^n)$ $(\xi \neq \gamma)$.

Corollaire 2. — $NH^p(\gamma) = 0$ *pour* $p \neq n+1$ *et* $IH^q_\xi(\gamma) = 0$ *pour* $q \neq n$. $NH^{n+1}(\gamma)$ *est un quotient et* $IH^n_\xi(\gamma)$ *est un sous-module de* A (A *est l'anneau de coefficients*).

5. L'anneau spectral de P se réduit aux termes E_1, E_2, E_3 dont l'étude donne les résultats suivants :

Théorème 2. — *Soit* F_ξ *une hypersurface définie par l'équation* (2), *où* P *est un polynome jouissant des propriétés* 1°-4°, *et* $\xi \neq \gamma_j$. *Si* $p \neq n$, $p \neq 2n$, *on a* $H^p(F_\xi, A) = 0$, *pour chaque anneau de coefficients* A. $H^{2n}(F_\xi, A) = A$ (2).

Théorème 3. — F_ξ *désigne la même hypersurface que ci-dessus.* $H^n(F_\xi, A)$ *est un* A*-module libre ayant une base à* $\mu = (m-1)^{n+1}$ *éléments où* m *est le degré de l'hypersurface et* n *sa dimension complexe. En particulier, si* Z *désigne l'anneau des entiers,* $H^n(F_\xi, Z)$ *n'a pas de torsion et a pour nombre de Betti* μ (3).

---

(3) F_ξ étant une variété orientable, le module de cohomologie à supports compacts $H^p(F_\xi, A)$ est isomorphe au module d'homologie ordinaire $H_{2n-p}(F_\xi, A)$. Par conséquent

THÉORÈME 4. — *Choisissons ξ tel que les segments $\xi\gamma_j$ ne soient pas collinéaires. F_ξ possède une base $b_1, \ldots, b_\mu$ de cocycles de degré n telle que, si η tend vers γ_j sur le segment $\xi\gamma_j$, l'homéomorphie (3) associée à ce segment transforme b_j en un cocycle dont le support converge vers le point critique c_j.*

Nous avons déterminé $H^p(F_\xi, A)$ pour $\xi = \gamma_j$ également; ces modules peuvent avoir de la torsion.

6. *Origine de cette Note.* — Au début de cette année, j'avais obtenu des résultats dans la direction de ceux qui sont exposés dans mes Notes II, III, V (1). M. Leray me conseilla alors d'étudier la théorie de M. Lefschetz (2) et le travail de M. Petrowsky (4) à l'aide de la même méthode; il me signala de plus le rôle fondamental de $H(F_\xi \cap B)$ (*cf.* n° 3). En travaillant sur cette question j'ai pu améliorer en même temps mes anciens résultats et unifier leur présentation.

CALCUL NUMÉRIQUE. — *La sommation des séries asymptotiques de seconde espèce.* Note de M. **PIERRE VERNOTTE**, présentée par M. Joseph Pérès.

La sommation des séries asymptotiques, si elles sont de seconde espèce, c'est-à-dire à termes positifs, est beaucoup plus difficile que si elles sont alternées. Là encore des théories particulières ont été données. Prenant comme exemple la progression géométrique, on comprend très bien, dans les cas les plus simples, la différence qui existe entre les deux espèces : si la progression est alternée de raison $-x\,(x>1)$, le reste est la fraction $1/(1+x)<1$ du premier terme négligé, tandis qu'avec la progression de raison positive x de peu supérieure à 1, ce terme serait multiplié par le nombre négatif de valeur absolue très grande $1/(x-1)$. La considération des *séries définissables* permet de formuler quelques résultats généraux sur ce problème très complexe. La série de ce terme général u_n, de signe quelconque, étant donnée, nous lui attachons une fonction y_n d'argument n entier ≥ 0 formée par la sommation d'ordre n des $(-1)^n u_n$; la somme de la série est l'extrapolée y_{-1} calculée par *interpolation idéale*, c'est-à-dire interpolation conservée par les transformations effectuées sur les y.

Supposons la série u_n, à termes positifs, extrêmement divergente. Dans ces conditions les sommées successives y_n sont alternées. Multiplions-les par $(-1)^n$, ce qui conduit à des Y_n tous positifs; y_{-1}, lui, est multiplié par (-1), de sorte

---

le $0^{\text{ième}}$ nombre de Betti de F_ξ est 1, le $n^{\text{ième}}$ est μ, et les autres sont 0; il n'y a pas de torsion.

Si X est une hypersurface algébrique dans l'espace projectif complexe P_{n+1}, P_n un hyperplan de P_{n+1}, et $F_\xi = X - P_n$, les cycles de F_ξ sont, suivant la terminologie de Petrowsky (4), les *cycles finis* de X. On peut démontrer que le sous-module des classes des cycles finis est indépendant du choix de P_n (*cf.* théorème 4 ci-dessus).

(4) *Recueil Mathématique* (Moscou), 17 (59), 1945, p. 289; *cf.* p. 320, 340-344.

que c'est $-Y_{-1}$ qui sera la somme s de la série à termes positifs donnée. Pour accroître la régularité, en général compromise par la sommation des quantités alternées $(-1)^n u_n$, ne retenons que les ordonnées Y de rang impair (ce dont nous avons montré la légitimité dans des cas extrêmement étendus) en posant $Y_{2n+1} = Z_n$. On voit que Y_{-1} est égal à Z_{-1}, c'est-à-dire que la série correspondant aux Z a pour somme Y_{-1}, soit $-s$.

Or la série liée aux Z est une série alternée, *cohérente* si la série u_n est cohérente, de termes très rapidement croissants, le premier terme, positif, étant égal à $u_1 - u_0$. Pratiquement la régularité est suffisante pour que la somme de cette série soit une fraction de son premier terme; Z_{-1} sera donc positif, et la somme s sera négative, et de valeur absolue inférieure à u_1; et ainsi s'explique ce résultat très ordinaire que la somme d'une série à termes positifs, cohérente, et à termes croissant rapidement dès le début, soit *négative*.

Soit maintenant une série asymptotique de seconde espèce, donc à termes ne croissant indéfiniment qu'après avoir décru jusqu'à un minimum. Si cette série est quelconque, les termes décroissants ne permettent pas de rien dire sur sa somme. Par exemple, les termes du développement classique de $[\log 1/(x-1)]/x$, pour $x = 1{,}2$, décroissent de 1 à 0,4147, valeur atteinte pour les rangs 5 et 6 et croissent ensuite indéfiniment avec une certaine lenteur. La série a pour somme 1,3412, alors que la somme des cinq premiers termes vaut 2,9267.

Mais supposons que les termes décroissent d'abord *fortement* et que le minimum ne soit atteint qu'en un rang m assez *élevé*. On peut considérer la série asymptotique comme la somme, terme à terme (la théorie des séries définissables permet l'addition terme à terme) de deux séries cohérentes à termes positifs, l'une, C, très convergente, l'autre, D, très divergente et donc de somme négative. C'est au voisinage du terme minimum T_m que la série D fait pratiquement son apparition, par un terme t_m qui est assez petit parce que borné par la valeur, petite, de T_m. Le rang m étant notable et les termes de D étant fortement croissants, c'est donc que le terme t_1 était très petit, c'est-à-dire que la somme de la série D, bornée par t_1, est un nombre négatif de très faible valeur absolue. La somme s se réduit donc pratiquement à la somme de la composante C convergente. Les premiers termes t de D étant très faibles, les termes de C jusqu'au minimum se confondent sensiblement avec les termes mêmes T donnés; et les termes de C au delà du minimum sont très faibles. Finalement, on aura la somme de la série asymptotique, avec beaucoup d'approximation (erreur de l'ordre de T_m) en en sommant les termes tant qu'ils décroissent.

On peut appliquer ces considérations très générales à la série $\sum \frac{n!}{x^n}$ étudiée par Stieltjes. En opérant comme il a été dit, les conditions exigées étant d'autant mieux remplies que x est plus grand, on trouve pour $x = 4$, la

somme approchée 1,46875, contre la valeur exacte 1,43820, et pour $x = 7$, le nombre 1,22441, contre 1,22242. Le terme minimum vaut deux à trois fois l'erreur.

MÉCANIQUE. — *Sur la discussion des éventualités dans la dynamique des solides en contact ponctuel avec frottement dans le cas où certaines vitesses de glissement sont nulles à l'instant initial.* Note de M. **François Gallissot**, présentée par M. Henri Villat.

Dans une Note précédente (1) nous avons indiqué une méthode générale de discussion des éventualités se présentant dans un système à n degrés de liberté soumis à des liaisons $a^h(p_i, q^i, t) = 0$, $\Omega\, d = \lambda_h l_i^h\, dq^i \wedge dt$ (équivalente à la puissance $P = \lambda_h l_i^h\, \dot{q}^i$) dont les l_i^h sont des fonctions connues d'avance. Dans le cas de solides en contact à l'instant t_0, certaines vitesses de glissement étant nulles, l'expression de la puissance de certaines liaisons n'est pas connue *a priori*, mais dépend de la nature du mouvement commençant. Ainsi, dans le cas d'un solide à plan de symétrie permanent en contact avec une droite, u, w étant les composantes de la vitesse de la molécule en contact, la puissance associée à la liaison $w = 0$ est :

dans le cas du roulement : $P = \lambda w$;

dans le cas du glissement : $P = \lambda(w - fu)$ (f coefficient de frottement au contact).

Pour simplifier nous nous limitons au cas où les forces de contact se réduisent à des vecteurs uniques pour chacun d'entre eux. Mais l'extension, au cas où l'on tiendrait compte d'un couple de résistance au roulement et d'un couple de résistance au pivotement, serait aisée.

Pour discuter les éventualités possibles à l'instant t_0 pour un ensemble de solides dépendant de $2n$ paramètres position, vitesse, ayant p contacts entre eux, on peut procéder ainsi : ayant choisi p trièdres mobiles tri-rectangles ayant respectivement pour sommet chacun des points de contact, l'axe $P_h z^h$ étant orienté suivant la normale commune, les conditions de roulement au h^e contact se traduisent par

$$u^h = 0, \qquad v^h = 0, \qquad w^h = 0.$$

A notre point de vue, ces trois liaisons sont de puissance nulle

$$P_1 = X^h u^h, \qquad P_2 = Y^h v^h, \qquad P_3 = Z^h w^h.$$

Ces $3p$ liaisons sont supposées compatibles (2). Il en résulte qu'on peut toujours choisir pour certains des paramètres les $3p$ quantités u^h, v^h, w^h.

---

(1) *Comptes rendus*, **235**, 1952, p. 937; Note désignée par G² dans la suite,

(2) F. Gallissot, *Comptes rendus*, **234**, 1952, p. 2148. Remarquons que pour un solide en contact par deux de ces points avec un obstacle fixe les deux liaisons de roulement ne sont pas compatibles.

LEMME. — *Les liaisons linéairement non holonomes de puissance nulle étant un cas particulier des liaisons d'Appell, la matrice* z^{hk} (3) *est symétrique et la forme quadratique associée* φ *est définie positive.*

Utilisant la méthode de G², on obtient les $3p$ équations, dont les seconds membres sont indépendants des éventualités.

$$(I)\qquad \begin{cases} \dfrac{du^h}{dt} - \dfrac{\partial\varphi}{\partial X^h} = \alpha^h, \\ \dfrac{dv^h}{dt} - \dfrac{\partial\varphi}{\partial Y^h} = \beta^h \qquad h\ (1 \text{ à } p), \\ \dfrac{dw^h}{dt} - \dfrac{\partial\varphi}{\partial Z^h} = \gamma^h. \end{cases}$$

Ces équations indiquent alors le nombre de contacts avec roulement sans glissement acceptables si $Z^h > 0$, $(X^h)^2 + (Y^h)^2 < (f^h Z^h)^2$ et le nombre de contacts qui se rompent $(dw^h/dt) > 0$.

Pour envisager l'hypothèse de tous les glissements naissants, il suffit dans les équations (I) de remplacer du^h/dt par $(d\rho^h/dt)\cos\sigma_h$, dv^h/dt par $(d\rho^h/dt)\sin\sigma_h$, dw^h/dt par 0, X^h par $-f^h Z^h \cos\sigma_h$, Y^h par $-f^h Z^h \sin\sigma_h$, d'où le système (II)

$$(II)\qquad \begin{cases} 1. \quad \dfrac{d\rho^h}{dt} - \dfrac{\partial\varphi}{\partial X^h}\cos\sigma_h - \dfrac{\partial\varphi}{\partial Y^h}\sin\sigma_h = \alpha^h\cos\sigma_h + \beta^h\sin\sigma_h, \\ 2. \quad -\dfrac{\partial\varphi}{\partial X^h}\sin\sigma_h + \dfrac{\partial\varphi}{\partial Y^h}\cos\sigma_h = \alpha^h\sin\sigma_h - \beta^h\cos\sigma_h, \\ 3. \quad \dfrac{\partial\varphi}{\partial Z^h} = \gamma^h. \end{cases}$$

Les équations (II.3) déterminent les Z^h en fonction des σ_h.

Les équations (II.2) déterminent les σ_h au moyen d'un système d'équations trigonométriques, les équations (II.1), les $d\rho^h/dt$, les valeurs sont acceptables si $Z^h > 0$ $(d\rho^h/dt) > 0$.

Méthode analogue s'il y a glissement naissant en k contacts, roulement sans glissement ou rupture de liaison aux $(p-k)$ autres contacts.

ÉLASTICITÉ. — *Étude photoélastique de la rupture.* Note (*) de M. **FÉLIX ZANDMAN**, présentée par M. Joseph Pérès.

Cette Note a pour objet de présenter les résultats obtenus dans une étude photoélasticimétrique des phénomènes observés dans la rupture d'une éprouvette de méthacrylate de méthyle, de section rectangulaire, posée sur deux appuis et soumise au choc d'un marteau. La synchroni-

(3) *Voir* G².

(*) Séance du 1er décembre 1952.

sation entre la rupture et le train d'étincelles (4 000 éclairs par seconde) se fait au moyen d'un éclateur-pilote disposé en série avec l'éclateur-source de lumière; les électrodes de l'éclateur-pilote se rapprochent quand le marteau touche l'éprouvette, ce qui permet d'amorcer le train d'étincelles au moment opportun. On comparera avec nos résultats antérieurs (1).

Nous avons constaté que :

1° L'ébranlement provoqué par le choc se propage par ondes dont l'effet, au début, est de mettre l'éprouvette dans un état de contraintes analogue à celui observé dans la flexion simple; la ligne neutre, droite, passe par l'axe longitudinal de l'éprouvette. Ce n'est qu'après 1/2 000 de seconde environ que l'éprouvette se trouve soumise à un état de contraintes semblable à celui d'une poutre posée sur appuis et chargée statiquement en son milieu. Bien entendu, on observe quelques anomalies à l'endroit où le marteau est en contact avec l'éprouvette.

2° Pour que la rupture se produise, il faut qu'une certaine contrainte soit atteinte à l'endroit opposé au choc. La vitesse avec laquelle on obtient cette contrainte est fonction de la force d'impact, de la durée du choc et, évidemment, de la nature du matériau employé pour l'essai. La contrainte maximum de traction qui précède la rupture est au moins trois fois plus grande que celle constatée dans le cas de la rupture provoquée par chargement statique (on observe fréquemment l'isochromatique d'ordre 12).

3° La rupture, dans sa première phase, commence du côté de la traction, à l'opposé de l'endroit frappé. Elle suit une isostatique de deuxième espèce, perpendiculaire au côté libre de l'éprouvette. La région de rupture présente, à cet endroit, une zone d'arrachement. La fente est rectiligne jusqu'au tiers de la largeur de l'éprouvette. Les isochromatiques sont distribués symétriquement par rapport à la ligne neutre et partent de deux points singuliers, le premier situé à l'endroit de l'impact et l'autre au sommet de la fente de rupture (photo n° 1).

4° Dans sa deuxième phase, la rupture se propage dans trois directions à partir du deuxième point singulier; deux des fentes, dont les sections sont lisses (rupture par décollement) suivent les deux branches de la nouvelle isostatique; la troisième, dont la section présente des nervures décrites antérieurement (2) (rupture par arrachement) suit l'isostatique primitive.

A la fin de cette phase, il se forme quatre points singuliers, dont l'un est situé à l'endroit du choc et les autres aux extrémités des trois fentes de rupture.

---

(1) F. Zandman, *Comptes rendus*, **234**, 1952, p. 2337.

(2) F. Zandman, *Comptes rendus*, **233**, 1951, p. 20.

Un tiers de l'éprouvette n'est pas encore rompu; les isochromatiques de la partie intacte sont de l'ordre 4 (photo n° 2). Au point d'impact,

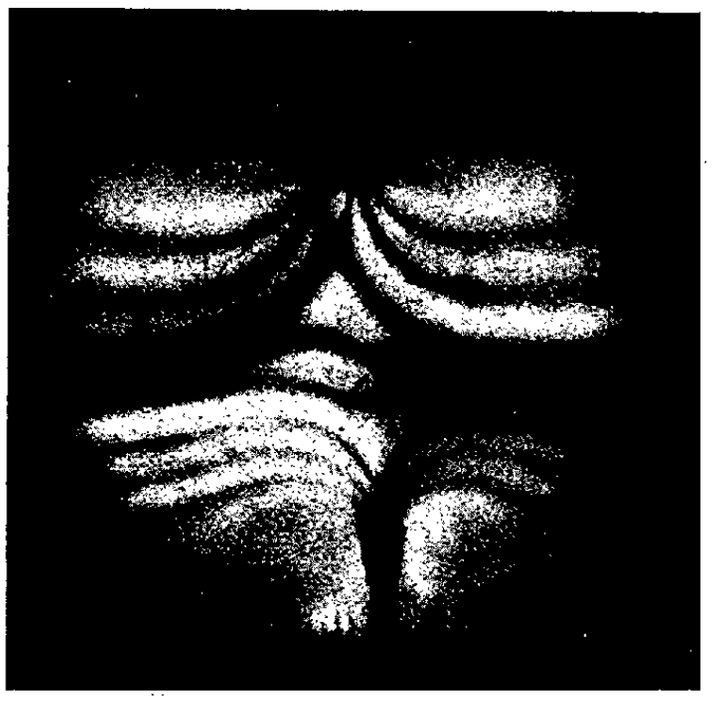


Photo 1.



Photo 2.

on observe un état de contrainte analogue à celui provoqué par un point pressé (deux isochromatiques en œil de Paon dont les centres sont situés sur l'axe du choc).

5° Dans sa troisième phase, la rupture se produit uniquement par décollement. Les fentes partent des trois points singuliers (*fig.* 1).

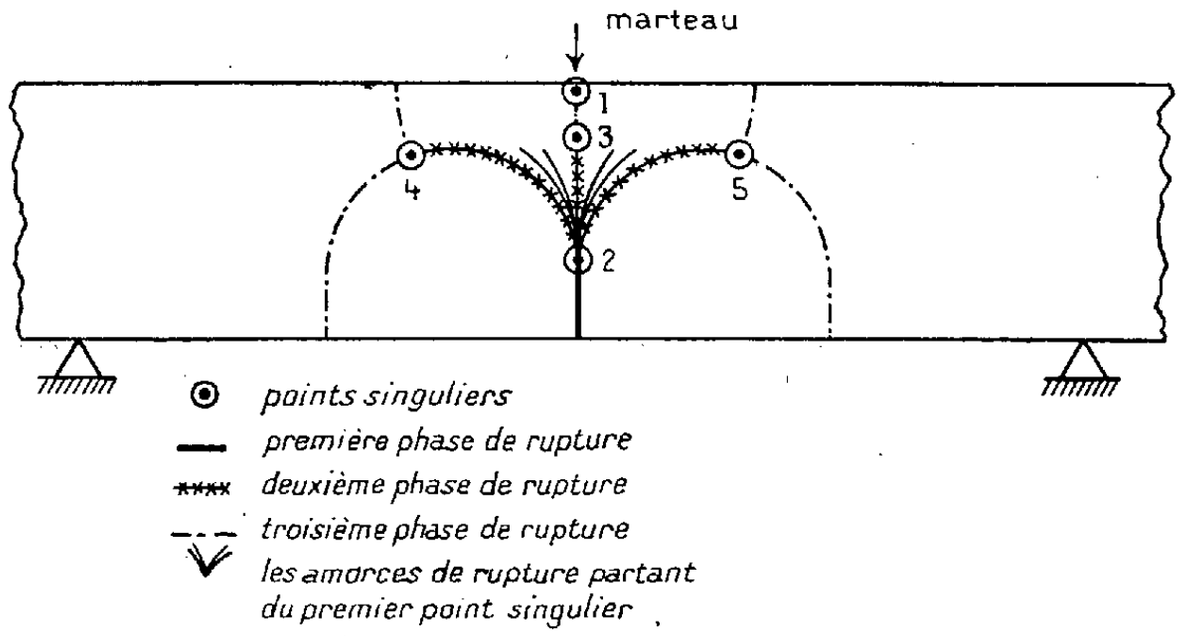


Fig. 1.

Nous indiquerons prochainement les phénomènes observés dans le cas où l'éprouvette présente une entaille.

HYDRAULIQUE EXPÉRIMENTALE. — *Résultats d'études complémentaires relatives à un type particulier d'ouvrage de protection des ports, rades ou estuaires contre les ensablements.* Note de MM. **Jean Laurent** et **André Rivière**, présentée par M. Donatien Cot.

Des essais sur modèle réduit ont prouvé que, dans le cas particulier étudié, des ouvrages antérieurement décrits permettent, non seulement de protéger le port contre l'ensablement résultant du transit littoral pour lequel ils ont été conçus, mais encore de provoquer la dispersion d'accumulations formées antérieurement à leur construction.

Dans une Communication antérieure (1) nous avons défini les principes suivant lesquels il y a lieu, dans certains cas, de concevoir les ouvrages de protection des ports, des rades ou des embouchures, contre l'ensablement.

Rappelons que les tracés de ces ouvrages doivent être établis de manière à satisfaire à deux conditions essentielles :

1° l'ouvrage doit contrarier aussi peu que possible l'effet du courant littoral dû à l'action de la houle; il comportera, en général, une partie courbe;

2° son extrémité rectiligne ou à faible courbure, doit être approximativement normale aux crêtes des houles dominantes.

Différents essais sur modèle réduit ont confirmé les excellents résultats que l'on peut obtenir par l'application de ce procédé. Nous citerons, en particulier, le cas du Port de la Cotinière (Ile d'Oléron) dont la protection contre l'ensablement a pu être obtenue par le prolongement d'un ouvrage existant dit « épi du phare », suivant un tracé, défini comme indiqué ci-dessus, et comportant :

un tronçon rectiligne faiblement incliné sur les crêtes de houle, pour ne pas contrarier la progression des courants littoraux;

un tronçon en arc de cercle de 20 m de rayon;

un dernier tronçon rectiligne sensiblement normal aux crêtes des houles.

Le but de la présente Communication est d'exposer les résultats d'essais complémentaires réalisés sur le modèle réduit du Port de la Cotinière, sur la demande de M. l'Inspecteur général des Ponts et Chaussées Soleil chargé de contrôler les projets des ouvrages à exécuter en nature.

Ces essais ont apporté une confirmation de l'efficacité des ouvrages conçus selon les principes rappelés ci-dessus.

La figure 1 montre le résultat obtenu avec un tel ouvrage, après une violente tempête artificielle, ayant agi au cours de 20 marées consécutives. On voit que la protection réalisée est excellente, l'ouvrage n'ayant pas été contourné. Ce résultat confirme déjà ceux précédemment obtenus.

Les essais complémentaires avaient pour but d'examiner comment agirait

(1) *Comptes rendus*, **232**, 1951, p. 96.

l'ouvrage incurvé, sur des fonds dont un ouvrage classique, de forme rectiligne, et de même longueur développée, aurait préalablement provoqué l'ensablement.

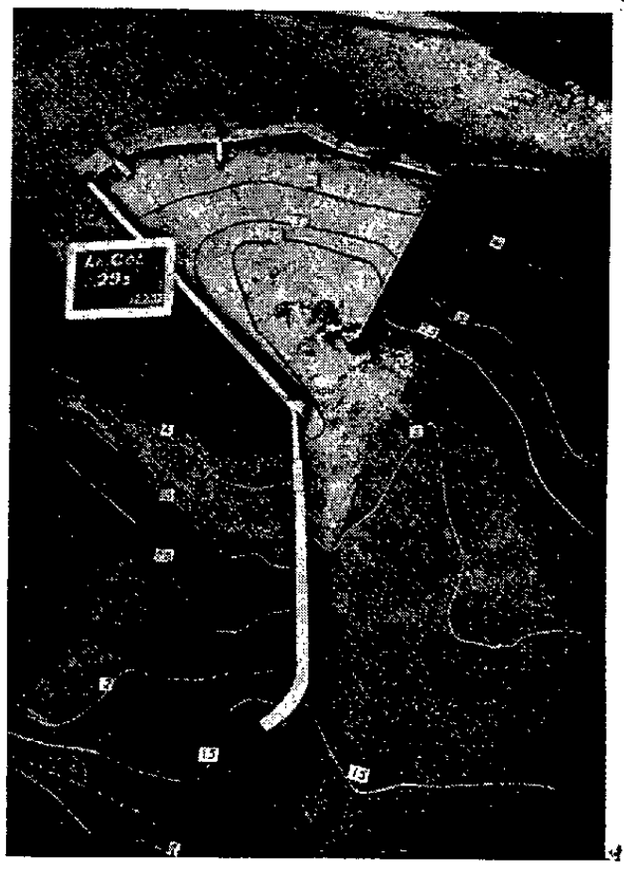


Fig. 1.



Fig. 2.

La figure 2 représente l'état des fonds qui s'est créé avec l'ouvrage rectiligne après une violente tempête artificielle ayant duré pendant 20 marées. On voit que l'accumulation de sable a nettement débordé l'extrémité de l'ouvrage, contrairement à ce qui s'était produit avec l'ouvrage incurvé qui facilite leur dispersion. De plus, tandis qu'avec ce dernier type d'ouvrage on avait atteint un état d'équilibre à la fin des 20 marées représentées, dans le cas présent, d'après les observations faites, on était encore, à la fin d'un cycle de 20 marées, très loin d'un état d'équilibre ; l'accumulation constatée à l'extrémité de l'épi était donc encore en voie d'engraissement.

Sans modifier l'état des fonds représenté sur la figure 2, nous avons remplacé l'ouvrage rectiligne par l'ouvrage incurvé de la figure 1. Notons que, de ce fait, un volume important de sédiments s'est trouvé placé à droite de l'extrémité de l'ouvrage (*fig.* 2, tracé en pointillé). La situation initiale des fonds était donc particulièrement défavorable.

Nous avons alors reproduit à nouveau une violente tempête artificielle, et à la fin d'un cycle de 10 marées seulement, nous avons constaté que l'ouvrage incurvé avait permis de faire disparaître, en grande partie, l'accumulation qui s'était formée à l'extrémité de l'ouvrage rectiligne, ainsi qu'on le constate sur la figure 3 ; les dépôts se sont dispersés, et l'extrémité de l'ouvrage tend à se dégager, les fonds évoluant pour revenir à une situation analogue à celle que l'on voit sur la figure 1.

Les résultats de cet essai complémentaire montre que, non seulement l'ouvrage décrit dans la Communication du 18 décembre 1950 permet de protéger le port contre l'ensablement, mais encore, qu'il tend à faire dispa-

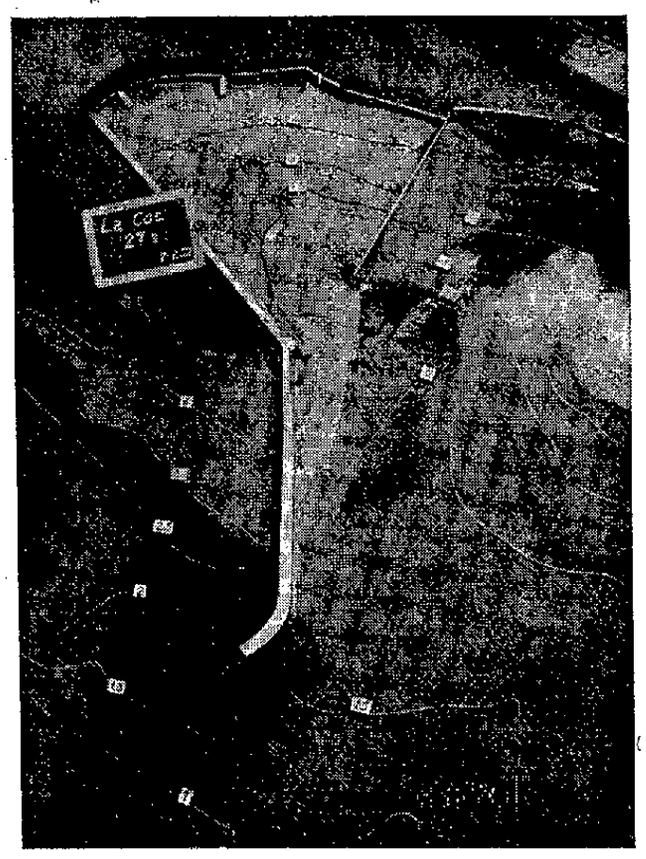


Fig. 3.

raître les accumulations qu'on aurait laissé se former au voisinage de son extrémité.

On peut donc dire, en quelque sorte, qu'il dépasse le but qui lui avait été fixé.

OPTIQUE ASTRONOMIQUE. — *Un micromètre à double image permettant un grand dédoublement.* Note de M. **Audouin Dollfus**, présentée par M. André Danjon.

La lumière traverse un rhomboèdre de spath suivi d'une lame quart d'onde, puis un second bloc symétrique. Elle subit deux dédoublements qui se composent en un seul, variable par rotation des deux blocs. Élimination de l'astigmatisme et d'une partie du chromatisme en combinant quatre rhomboèdres et une demi-onde. Réduction des images parasites par des demi-ondes et quart d'ondes composées. Mesure du diamètre de Mars.

Soit à effectuer des mesures géométriques sur l'image aérienne d'un objet formée par un objectif : le contour de l'image est dégradé en raison de la diffraction, des aberrations, de la turbulence atmosphérique et de l'irradiation. Avec le *micromètre à fil*, le dégradé, masqué par les fils, est bissecté en un point variable selon la brillance, le grossissement et la turbulence; la précision n'est pas supérieure à la largeur même du dégradé. Avec la *plaque*

photographique, ce dégradé est généralement exagéré en raison de la granulation de l'émulsion, de la turbulence et des mouvements de la lunette. Le *micromètre à double image*, au contraire, oppose deux dégradés qui se détruisent; ce critère définit la mesure avec une précision qui atteint le dixième seulement de la largeur du dégradé. Il n'existe pas de micromètre à double image permettant d'obtenir un grand dédoublement sans introduire d'aberrations : l'héliomètre, les micromètres interférentiels perturbent le phénomène de diffraction; les appareils de Rochon (1), de Bigourdan (2) introduisent un astigmatisme qui augmente avec le dédoublement; ceux de Muller (3) et de Lyot sont également destinés à ne mesurer que des distances inférieures à 20 fois le pouvoir séparateur. Par suite, la précision reste limitée au centième.

J'ai réalisé un dispositif permettant d'obtenir, sans aberrations, un dédoublement d'au moins 500 fois le pouvoir séparateur; associé à une lunette suffisante, il peut fournir des mesures avec une précision voisine du millième.

Principe. — Un objet observé à travers un rhomboèdre de spath d'épaisseur e montre deux images, à une distance $\delta = 0,109\,e$ dans le jaune; leurs lumières sont polarisées; à travers deux rhomboèdres, quatre images occupent les sommets d'un losange que l'on peut déformer en tournant les spaths. J'ai supprimé les deux images d'une diagonale en ajoutant sur la face de sortie du premier spath une lame biréfringente quart d'onde dont l'axe est à 45° du plan contenant celui du spath; elle transforme les vibrations lumineuses rectilignes en deux circulaires droites et gauches. Une lame analogue solidaire de la face d'entrée du second spath transforme à nouveau les circulaires en rectilignes convenablement orientées pour subir, dans le deuxième spath, une nouvelle déviation sans dédoublement. Il subsiste deux images, leur distance $\Delta = 2\delta \sin \alpha/2$ varie en faisant tourner les rhomboèdres symétriquement chacun dans un sens (α est l'angle des deux plans contenant les axes cristallographiques et l'axe optique).

Élimination de l'astigmatisme. — Chaque rhomboèdre entache l'image déviée par un astigmatisme de distance 0,063 e. Pour l'éliminer, j'ai remplacé chaque bloc par deux rhomboèdres croisés, entre lesquels une demi-onde est interposée avec l'axe à 45° des plans contenant ceux des spaths. L'image extraordinaire, successivement déviée dans deux directions perpendiculaires, a son astigmatisme détruit.

Élimination du chromatisme transversal. — Le spath étant dispersif,

(1) *Mémoire sur le micromètre de cristal de roche*, Béraud, Paris, 1807.
(2) *Comptes rendus*, **128**, 1896, p. 1048.
(3) *Bull. Astronomique*, **14**, 1949, p. 77.

l'image extraordinaire reçoit un dédoublement qui dépend de la longueur d'onde; après la traversée des deux blocs, les deux images ont un chromatisme symétrique qui comporte une composante proportionnelle au dédoublement Δ et nulle pour $\Delta = 0$, et une autre perpendiculaire, nulle pour $\alpha = \pi$. Cette dernière s'élimine si chacun des deux blocs peut donner séparément deux images affectées par des chromatismes symétriques; pour cela, j'ai constitué ces blocs par deux rhomboèdres croisés, afin que chacune des deux images devienne extraordinaire à son tour. Le chromatisme proportionnel au dédoublement subsiste seul, le dédoublement est légèrement variable avec λ; cette propriété, liée à la dispersion des cristaux, ne pourrait s'éliminer qu'en combinant plusieurs natures de cristaux ou bien en séparant suffisamment les faisceaux pour agir séparément sur chacun d'eux, Dans les applications que je décrirai, un filtre rouge suffit à rendre négligeable cette variation.

Réduction des images parasites. — Les lames ne sont demi-onde et quart d'onde que pour une seule radiation; des images parasites colorées subsistent. On peut les réduire à l'aide de lames composées : chaque demi-onde est associée à une autre, leurs axes font respectivement 22°,5 et 67°,5 avec la direction de la vibration incidente (4); les quarts d'onde sont précédés d'une demi-onde dont l'axe est à 15° de la vibration et à 75° de l'axe du quart d'onde (5).

Réalisation. — J'ai construit un micromètre éliminant l'astigmatisme et le chromatisme perpendiculaire au dédoublement, et réduisant les images parasites : chacun des deux blocs est constitué par quatre rhomboèdres, d'épaisseur 7,4 mm, les plans des axes étant à $+ \pi/2$ les uns des autres, et d'un quart d'onde composé; une demi-onde composée est interposée entre le deuxième et le troisième rhomboèdre. Le dédoublement atteint 4,8 mm, le champ 80 mm^2. J'ai étalonné cet appareil avec une précision voisine du millième et l'ai décrit dans un pli cacheté déposé à l'Académie des Sciences le 25 juin 1951.

Mesure de la planète Mars. — La lunette de 60 cm du Pic du Midi montre souvent les images des planètes dépourvues d'aberrations et de bouillonnement atmosphérique; la sensibilité du micromètre est limitée seulement par la diffraction; l'assombrissement des planètes près de leurs bords peut produire une erreur systématique qui limite la précision au cinquième du pouvoir séparateur. Trois séries de mesures du diamètre polaire de Mars en lumière jaune s'accordent à mieux que trois millièmes près autour de la valeur $9'',25 \pm 0'',03$ à 1 U. A. L'aplatissement polaire apparent

(4) C. Gaudefroy, *Bull. Soc. Fr. Minéral*, 66, 1943, p. 301.

(5) G. Destriau et J. Prouteau, *J. Phys. Rad.*, 8, 1949, p. 53.

est $0{,}013 \pm 0{,}006$. En lumière bleue, le diamètre devient $9'',40$ en raison des nuages violets; leur altitude est donc environ 120 km.

Applications à l'Astronomie. — J'ai mesuré depuis 1948 les calottes polaires de Mars. Le diamètre et l'ellipticité des planètes peuvent être obtenus en plusieurs couleurs avec une précision très supérieure aux déterminations classiques. Un dispositif transforme l'appareil en un photomètre pour comparer les brillances des taches de la surface d'une planète. Un autre permet de mesurer les trajectoires apparentes des satellites. Un autre donnera photoélectriquement la distance de deux étoiles ou bien leur différence de magnitude.

PHYSIQUE MATHÉMATIQUE. — *Sur une généralisation du problème de Schwarzschild à une théorie unitaire.* Note de M. **Yves Thiry**, présentée par M. Joseph Pérès.

Le but de la théorie relativiste de la gravitation est de construire et d'interpréter physiquement des espaces-temps munis de métriques partout régulières et satisfaisant aux équations d'Einstein des différents cas. Dans le cas stationnaire, si l'on suppose qu'à l'intérieur des masses les lignes de courant sont confondues avec les lignes de temps, on sait (1) que la métrique est statique orthogonale partout. C'est dans ces conditions que l'on se trouve placé dans l'hypothèse de la symétrie sphérique, où les ds^2 de Schwarzschild définissent de tels modèles d'Univers pour différents schémas matériels ou électromagnétiques. Nous nous proposons de présenter les équations auxquelles conduit le problème de Schwarzschild généralisé à une théorie unitaire pentadimensionnelle (2).

Nous sommes amené à rechercher une métrique

$$d\sigma^2 = \gamma_{\lambda\mu}\, dx^\lambda\, dx^\mu \qquad (\lambda, \mu = 0, 1, 2, 3, 4),$$

cylindrique et stationnaire, d'un espace $\mathcal{R}_5$, sous la forme

$$d\sigma^2 = -e^\nu (dx^0 - e^{-\nu}\gamma_{40}\, dt)^2 + e^\lambda\, dt^2 - e^\mu\, dr^2 - r^2(d\theta^2 + \sin^2\theta\, d\varphi^2).$$

L'évaluation des composantes non identiquement nulles du tenseur d'Einstein $S_{\lambda\mu}$ de $\mathcal{R}_5$ sur un repère mobile orthonormé conduit au résultat suivant, où ν représente la seule composante non nulle F_{14} du tenseur champ

(1) *Cf.* Lichnerowicz, *Comptes rendus*, **222**, 1946, p. 432.

(2) *Cf.* Yves Thiry, *Étude mathématique d'une théorie unitaire à quinze variables de champ* (Thèse), *J. Math. pures appl.*, (9), **30**, 1951, p. 275-396.

électromagnétique et β une constante

$$S_{11} \equiv -e^{-\mu}\left(\frac{\lambda'}{r}+\frac{1}{r^2}\right)+\frac{1}{r^2}-\frac{\beta^2 e^{\nu}}{2}\frac{\rho^2}{2}-e^{-\mu}\left(\frac{\lambda'\nu'}{4}+\frac{\nu'}{r}\right),$$

$$S_{22}=S_{33}\equiv -e^{-\mu}\left[\frac{\lambda''}{2}+\frac{\lambda'(\lambda'-\mu')}{4}+\frac{\lambda'-\mu'}{2r}\right]+\frac{\beta^2 e^{\nu}}{2}\frac{\rho^2}{2}$$
$$-e^{-\mu}\left[\frac{\nu''}{2}+\frac{\nu'(\lambda'-\mu'+\nu')}{4}+\frac{\nu'}{2r}\right],$$

$$S_{44}\equiv -e^{-\mu}\left(\frac{\mu'}{r}-\frac{1}{r^2}\right)-\frac{1}{r^2}+\frac{\beta^2 e^{\nu}}{2}\frac{\rho^2}{2}+e^{-\mu}\left[\frac{\nu''}{2}+\frac{\nu'(\nu'-\mu')}{2}+\frac{\nu'}{r}\right],$$

$$S_{40}\equiv -\frac{\beta}{2}e^{\frac{\nu-\mu}{2}}\left(\rho'+\frac{2\rho}{r}+3\nu'\rho\right),$$

$$S_{00}\equiv -e^{-\mu}\left[\frac{\lambda''}{2}+\frac{\lambda'(\lambda'-\mu')}{4}+\frac{\lambda'-\mu'}{r}+\frac{1}{r^2}\right]+\frac{1}{r^2}+3\frac{\beta^2 e^{\nu}}{2}\frac{\rho^2}{2}.$$

Les équations du cas intérieur (au sens unitaire) s'écriront d'une manière générale

$$S_{\lambda\mu}\equiv -\frac{\beta^2 e^{\nu}}{2}(\rho u_\lambda u_\mu - p_{\lambda\mu}),$$

les tenseurs $\rho u_\lambda u_\mu$ (caractérisant la présence de matière chargée) et $p_{\lambda\mu}$ (représentant l'état des pressions internes) étant élaborés dans l'hypothèse de la symétrie sphérique. La compatibilité de ce système de cinq équations est assurée par l'équation de conservation, les identités de Bianchi se réduisant ici à une seule.

Ces équations généralisent les équations du problème classique de Schwarzschild dont on retrouve les différents aspects (3) en supposant ν constant et en abandonnant la cinquième équation.

Le cas intérieur (au sens unitaire) fournit deux problèmes indéterminés :

1° Sans autre hypothèse, nos équations sont celles du schéma matière-champ électromagnétique, la quatrième équation étant l'équation de Maxwell.

2° Avec $\rho = 0$, nos équations se réduisent à celles du cas intérieur de la théorie relativiste purement gravitationnelle.

Au contraire le cas extérieur (au sens unitaire) fournit deux problèmes déterminés :

3° Avec $\rho = 0$, nos équations se réduisent à celles du cas extérieur de la théorie relativiste purement gravitationnelle.

4° Avec $\rho \neq 0$, nos équations sont celles du schéma champ électromagnétique pur (sphère électrisée). Dans ce cas, on est conduit à interpréter le résultat

(3) *Cf.* HAAG, *Le problème de Schwarzschild* (*Mém. Sc. Math.*, fasc. 46, 1931).

classique dans la théorie de O. Klein, par la considération du $d\sigma^2$ suivant

$$d\sigma^2 = -\frac{2\chi}{\beta^2}\left[dx^0 - \frac{\beta a\, dt}{4\pi r\sqrt{1-\frac{2b}{r}+\frac{a^2}{4\pi r^2}}}\right]^2 + \left(1-\frac{2b}{r}+\frac{a^2}{4\pi r^2}\right)dt^2 - \frac{dr^2}{1-\frac{2b}{r}+\frac{a^2}{4\pi r^2}} - r^2(d\theta^2+\sin^2\theta\, d\varphi^2),$$

a et b étant des constantes. Cette interprétation pentadimensionnelle d'un résultat de la théorie « provisoire » de l'Électromagnétisme peut avoir quelque intérêt.

Mais le véritable intérêt des équations présentées réside en ce que la cohérence de la théorie unitaire vis-à-vis des problèmes relativistes globaux (4) permet de fonder sur des bases solides les méthodes d'approximation, alors que de telles méthodes sont insuffisamment justifiées dans le cas 1° ci-dessus et que la solution rigoureuse du cas 4° garde son caractère « provisoire ».

PHYSIQUE THÉORIQUE. — *Passage des équations de perturbation aux équations intégrales*. Note de M. **Michel Fabre de la Ripelle**, présentée par M. Louis de Broglie.

Nous utiliserons les mêmes équations que dans notre précédente Note (1), où $\psi_0\left(\vec{r}\right)$ est une fonction normée dont le développement en fonction d'onde propre de H_0 s'écrira :

$$\psi_0\left(\vec{r}\right) = \sum_m a_m^0\, \psi_m\left(\vec{r}\right).$$

Les équations de perturbations s'écriront alors sous la forme

$$ig_n(t) + (\nu_0 - \nu_n)\, a_n^0\, e^{-i\nu_0 t} = -\sum_m H_{nm}(t)\left[a_m^0\, e^{-i\nu_0 t} + a_m(t)\right].$$

Étudions maintenant le cas particulier où $\partial H/\partial t = 0$, l'Hamiltonien de perturbation ne dépend pas explicitement du temps.

Nous prendrons les transformées de Laplace

$$\gamma_n(s) \subset g_n(t), \qquad \alpha_n(s) \subset a_n(t).$$

Les transformées de $\psi\left(\vec{r},\ t\right)$, et de l'équation de perturbation divisée

(4) Y. Thiry, *loc. cit.*, chap. III.

(1) *Comptes rendus*, **234**, 1952, p. 412-414.

par $\nu_n - is$, s'écriront

$$\Phi\left(\vec{r}, s\right) = \sum_m \left[\alpha_m(s) + \frac{a^0 m}{s + i\nu_0}\right] \psi_m\left(\vec{r}\right) \subset \psi\left(\vec{r}, t\right)$$

$$\left(\alpha_n(s) + \frac{a_n^0}{s + i\nu_0}\right) + i\frac{a_n^0}{\nu_n - is} = \sum_m \frac{\mathrm{H}_{nm}}{\nu_n - is}\left[\alpha_m(s) + \frac{a_m^0}{s + i\nu_0}\right].$$

On définit une fonction $\mathrm{G}\left(\vec{r}, \vec{r'}; s\right)$ par la condition

$$\sum_p \frac{\mathrm{A}_{np}\mathrm{B}_{pm}}{\nu_p - is} = \int_{(\vec{r})}\int_{(\vec{r'})} \psi_n^*\left(\vec{r}\right) \mathrm{A}\left(\vec{r}\right) \mathrm{G}\left(\vec{r}, \vec{r'}; s\right) \mathrm{B}\left(\vec{r'}\right) \psi_m\left(\vec{r'}\right) d\vec{r}\, d\vec{r'}.$$

Faisant $\mathrm{A} \equiv 1$, $\mathrm{B} = \mathrm{H}\left(\vec{r}\right)$ on obtient

$$\frac{\mathrm{H}_{nm}}{\nu_n - is}\int_{(\vec{r})}\int_{(\vec{r'})} \psi_n^*\left(\vec{r}\right) \mathrm{G}\left(\vec{r}, \vec{r'}; s\right) \mathrm{H}\left(\vec{r'}\right) \psi_m\left(\vec{r'}\right) d\vec{r}\, d\vec{r'}.$$

Faisant $\mathrm{A} \equiv 1$, $\mathrm{B} \equiv 1$

$$\frac{\delta_{nm}}{\nu_n - is} = \int_{(\vec{r})}\int_{(\vec{r'})} \psi_n^*\left(\vec{r}\right) \mathrm{G}\left(\vec{r}, \vec{r'}, s\right) \psi_m\left(\vec{r'}\right) d\vec{r}\, d\vec{r'}$$

de ces égalités on déduit

$$\sum_m \frac{\mathrm{H}_{nm}}{\nu_n - is}\left[\alpha_m(s) + \frac{a_m^0}{s + i\nu_0}\right] = \int_{(\vec{r})}\int_{(\vec{r'})} \psi_n^*\left(\vec{r}\right) \mathrm{G}\left(\vec{r}, \vec{r'}, s\right) \mathrm{H}\left(\vec{r'}\right) \Phi\left(\vec{r'}, s\right) d\vec{r}\, d\vec{r'},$$

$$\frac{a_n^0}{\nu_n - is} = \sum_m \frac{a_m^0 \delta_{nm}}{\nu_n - is} = \int_{(\vec{r})}\int_{(\vec{r'})} \psi_n^*\left(\vec{r}\right) \mathrm{G}\left(\vec{r}, \vec{r'}; s\right) \psi_0\left(\vec{r'}\right) d\vec{r}\, d\vec{r'},$$

remarquant de plus que

$$\alpha_n(s) + \frac{a_n^0}{s + i\nu_0} = \int_{(\vec{r})} \psi_n^*\left(\vec{r}\right) \Phi\left(\vec{r}, s\right) d\vec{r}.$$

on obtient l'équation intégrale dont $\Phi\left(\vec{r}, s\right)$ est solution

$$\Phi\left(\vec{r}, s\right) = \int_{(\vec{r'})} \mathrm{G}\left(\vec{r}, \vec{r'}; s\right)\left\{\mathrm{H}\left(\vec{r'}\right) \Phi\left(\vec{r'}, s\right) - i\psi_0\left(\vec{r'}\right)\right\} d\vec{r'}.$$

Les états stationnaires s'obtiennent en posant

$$\Phi\left(\vec{r}, s\right) = \frac{\psi_0\left(\vec{r}\right)}{s + i\nu_0},$$

$\psi_0\left(\vec{r}\right)$ doit alors être solution de carré sommable de l'équation intégrale

$$\psi_0\left(\vec{r}\right) = \int_{(\vec{r'})} \mathrm{G}\left(\vec{r}, \vec{r'}; -i\nu_0\right) \mathrm{H}\left(\vec{r'}\right) \psi_0\left(\vec{r'}\right) d\vec{r'},$$

ν_0 étant la valeur propre correspondant à la fonction propre $\psi_0\left(\vec{r}\right)$.

On montre que $G\left(\vec{r}, \vec{r'}; s\right)$ est solution de l'équation

$$H_0\, G\left(\vec{r}, \vec{r'}; s\right) = \delta\left(\vec{r'} - \vec{r}\right) + is\, G\left(\vec{r}, \vec{r'}; s\right).$$

où l'on aura

$$\int_{(\vec{r'})} \delta\left(\vec{r'} - \vec{r}\right) f\left(\vec{r'}\right) d\vec{r'} = f\left(\vec{r}\right),$$

$$\int_{(\vec{r})} \delta\left(\vec{r'} - \vec{r}\right) g\left(\vec{r}\right) d\vec{r} = g^*\left(\vec{r'}\right),$$

H_0 étant hermitique, si l'on appelle H'_0 l'hamiltonien opérant sur les variables primées, on a les relations entre opérateurs

$$G\left(\vec{r}, \vec{r'}; s\right) H'_0 = \delta\left(\vec{r'} - \vec{r}\right) + is\, G\left(\vec{r}, \vec{r'}; s\right)$$

$$G\left(\vec{r}, \vec{r'}; s\right) H'_0 = H_0\, G\left(\vec{r}, \vec{r'}; s\right).$$

Lorsque $H\left(\vec{r}, t\right)$ dépend explicitement du temps et se décompose en série de Fourier sous la forme

$$H\left(\vec{r}, t\right) = \sum_q H\left(\vec{r}, q\right) e^{-i\varepsilon(q)t},$$

où q représente un ensemble de paramètres.

$\Phi\left(\vec{r}, s\right)$ est solution de

$$\Phi\left(\vec{r}, s\right) = \int_{(\vec{r'})} G\left(\vec{r}, \vec{r'}; s\right) \left\{ -i\psi_0\left(\vec{r'}\right) + \sum_q H\left(\vec{r'}, q\right) \Phi\left[\vec{r'}, s + i\varepsilon(q)\right] \right\} d\vec{r'}$$

Pour l'équation de Dirac :

$$\Phi\left(\vec{r}, s\right) = \frac{1}{4\pi}\left(is + \beta\mu + \vec{\alpha}\vec{p}\right) \int_{(\vec{r'})} \frac{e^{-\left|\vec{r'} - \vec{r}\right|\sqrt{\mu^2 + s^2}}}{\left|\vec{r'} - \vec{r}\right|} \times \left\{ H\left(\vec{r'}\right) \Phi\left(\vec{r'}, s\right) - i\psi_0\left(\vec{r'}\right) \right\} d\vec{r'}$$

où

$$\begin{cases} H_0 = \vec{\alpha}\vec{p} + \vec{\beta}\mu \\ \vec{p} = -i \underset{(\vec{r})}{\text{grad.}} \end{cases}$$

ACOUSTIQUE. — *Montages interférométriques de détection des ultrasons.* Note de Mlle **Colette Rossetti**, présentée par M. Jean Cabannes.

Il a été procédé à la réalisation d'interféromètres ultrasoniques, permettant l'étude de la propagation dans les gaz d'ondes ultrasonores de fréquence voisine du mégacycle.

Dans les différents montages, l'émetteur est constitué par un cristal

de quartz piézoélectrique vibrant en épaisseur à sa fréquence de résonance et excité par un oscillateur du type Hartley, stable en amplitude et en fréquence.

On établit dans une colonne gazeuse un système d'ondes stationnaires au moyen d'un réflecteur se déplaçant parallèlement au quartz émetteur. La position du réflecteur est repérée au moyen d'une vis micrométrique solidaire d'un tambour gradué. Une méthode optique (1) utilisant le phénomène de diffraction de la lumière par les ultrasons permet de vérifier l'existence des ondes stationnaires dans la colonne gazeuse.

Deux interféromètres ont été construits afin d'expérimenter trois montages différents qui permettent la détection de ces ondes stationnaires et la détermination de la longueur d'onde des ultrasons par des méthodes électriques.

1° Le réflecteur est métallique.

Dans ce dispositif, qui a fait l'objet de nombreuses études théoriques et expérimentales (2), on détecte les ondes stationnaires produites dans la colonne gazeuse en étudiant les variations de la réaction acoustique du milieu excité sur le quartz émetteur. Quand on déplace le réflecteur, les variations de la réaction acoustique se traduisent par une variation périodique du courant dans le circuit électrique du cristal, les minima se reproduisant pour des déplacements du réflecteur égaux à $(K\lambda/2)$.

2° Le réflecteur est constitué par un second cristal de quartz susceptible de vibrer sur la même fréquence que l'émetteur (3).

Ce cristal « récepteur » joue le rôle de détecteur de la pression acoustique exercée par le milieu gazeux. Il apparaît entre ses deux faces une tension supérieure à 1 V, mesurable, soit directement, soit après amplification et détection.

On observe que la tension détectable dépend de la distance entre l'émetteur et le « récepteur ». Quand cette distance varie, l'amplitude de la tension mesurée présente une succession de minima et de maxima, les minima de tension se reproduisant pour des déplacements du cristal « récepteur » égaux à $K(\lambda/2)$.

3° Le réflecteur est encore un cristal de quartz, mais lui-même excité, à la fréquence de l'émetteur, par induction électrostatique.

Si l'on mesure, alors, la tension aux bornes du cristal dit « récepteur », la courbe de réponse du cristal, quand on fait varier la distance émetteur-réflecteur, diffère très sensiblement de celle obtenue avec le montage précédent. On observe encore une succession de minima et de maxima de

(1) R. Lucas, *Comptes rendus*, 1932, 195, p. 1066.
(2) I. C. Hubbard, *Phys. Rev.*, 38, 1931, p. 1011.
(3) W. J. Fry, *J. of Acoust. Soc. of Amer.*, 21, 1949, p. 17.

tension, correspondant à des distances émetteur-récepteur égales respectivement à $K\lambda$, et à $(2K+1)\lambda/2$.

Il faut donc donner au récepteur un déplacement égal à λ pour passer d'un minimum au minimum suivant.

Entre ces minima et ces maxima, on observe des paliers correspondant à une tension constante et que l'on a trouvée égale à la tension apparaissant par induction.

Si le milieu gazeux est de l'air dont l'absorption est faible, il se produit sur les deux quartz des réflexions multiples des ondes ultrasonores, qui rendent très aigus les maxima et les minima. Si l'air est remplacé par du CO_2, qui possède une très forte absorption, les réflexions multiples ne sont plus possibles, les courbes obtenues présentent une forme sensiblement sinusoïdale, les minima correspondant aux valeurs $r = K\lambda$ de la distance émetteur-réflecteur.

Une étude complète de ce dispositif nouveau sera publiée ultérieurement.

ULTRASONS. — *Photogénèse ultraviolette dans l'eau soumise aux ultrasons.* Note de MM. **Robert Olivier Prudhomme** et **Raoul Henri Busso**, présentée par M. Eugène Darmois.

On savait déjà que le passage d'ondes ultrasonores (U. S.) dans l'eau provoquait une luminescence visible (1). L'un de nous a pensé que ce phénomène s'accompagnait d'une émission ultraviolette (U. V.) et a utilisé sans succès la méthode spectrale pour mettre en évidence l'existence d'une photogénèse U. V. Nous avons alors fait appel à une méthode photoélectrique de détection utilisant les photocompteurs à iodure cuivreux (2) mis au point au laboratoire du Professeur Audubert. La sensibilité spectrale de cet appareil s'étend de 1900 à 2 800 Å avec un maximum très accentué vers 2 300 Å.

L'irradiation ultrasonore de fréquence 800 k.Hz d'une puissance totale de l'ordre de 90 W acoustiques (appareil de la S.C.A.M.) a été contrôlée pendant la durée des expériences par un ampèremètre thermique branché directement sur le quartz.

L'eau ou les solutions soumises au rayonnement sont contenues dans une cloche déjà décrite (3), mais pourvue d'une fenêtre latérale en quartz, qui permet aux photons U. V. de pénétrer dans la cellule du photocompteur jouxtant la cuve d'irradiation.

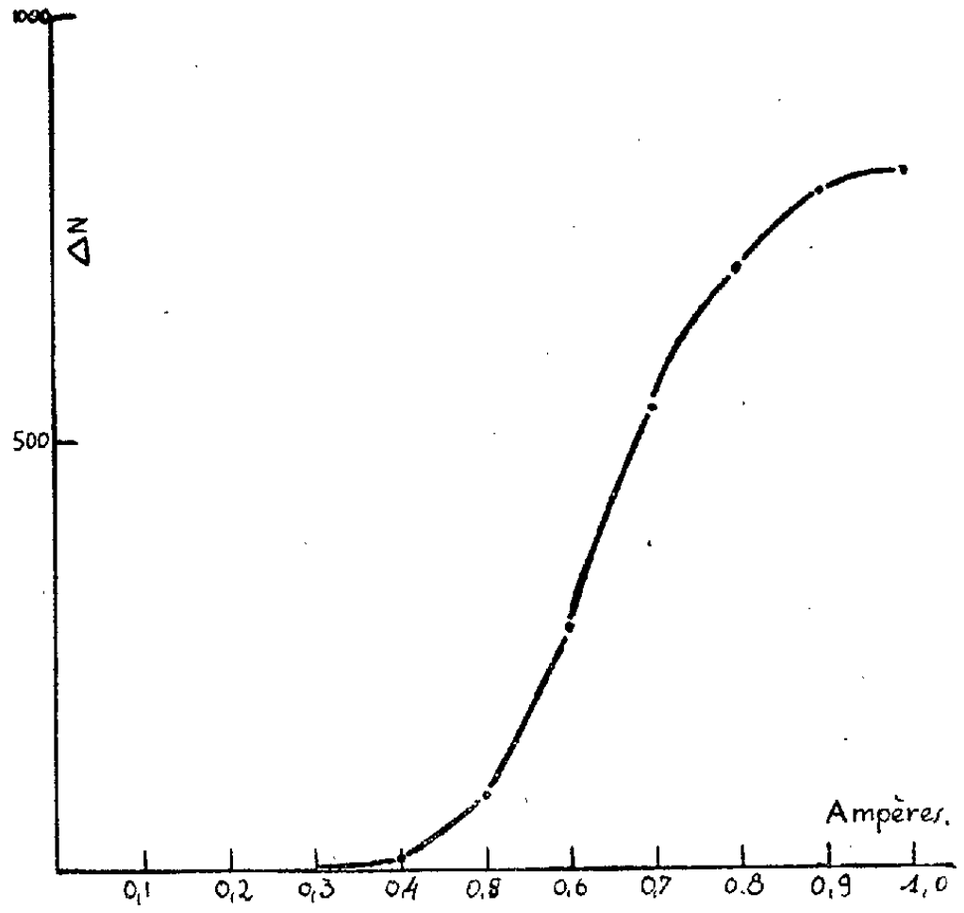
---

(1) R. O. Prudhomme, *J. Chim. Phys.*, 46, nos 7-8, 1949, p. 318.

(2) *Contribution à l'étude de la structure moléculaire*, p. 263, Desoer, Liége, 1948.

(3) R. O. Prudhomme et P. Grabar, *J. Chim. Phys.*, 46, nos 7-8, 1949, p. 323.

Nous nous sommes d'abord assurés que la réponse du photocompteur n'était pas affectée par le champ de haute fréquence, en interposant une lame de verre entre la face de quartz de la cloche à U. S. et celle du photocompteur. Dans ces conditions, ce dernier donne la même réponse, que le générateur de haute fréquence excitant le quartz fonctionne ou non.



L'expérience nous a montré que lors de l'action des ultrasons sur l'eau pure, il y a photogénèse ultraviolette.

Nous avons voulu préciser quelques points de ce phénomène en étudiant le lieu de l'émission, la relation entre l'intensité du courant électrique arrivant au quartz piézo-électrique et l'émission, ainsi que l'influence des gaz dissous ou de substances qui se sont montrées aptes à agir sur la luminescence visible pendant l'action des ultrasons (1).

Nous avons trouvé que la majeure partie de l'émission ultraviolette a pour siège une épaisseur de liquide de l'ordre de 2 cm au-dessous de la base du geyser dû à la pression de radiation. Comme on pouvait le supposer, l'émission U. V. croît avec l'intensité électrique appliquée au quartz. Comme le montre la courbe ci-dessus, l'émission semble atteindre un palier qui est peut-être dû à nos conditions expérimentales. (En ordonnée, nombre de décharges enregistrées au photocompteur. En abscisse, intensité du courant de haute fréquence arrivant au quartz piézo-électrique.)

Nous avons essayé de voir s'il y avait un parallélisme entre l'émission visible et l'émission U. V. Cette dernière semble suivre l'intensité lumineuse visible pour l'argon, l'azote, l'oxygène et l'air. La photogénèse en présence d'argon est dix fois plus intense qu'en présence d'air. L'hydro-

gène, le gaz carbonique, l'éther suppriment complètement le phénomène de même que, comme on le savait (1), ces corps suppriment la luminescence visible ainsi que les actions oxydantes des ultrasons.

Par contre, le sulfure de carbone qui donne dans l'eau une émission visible intense, diminue très fortement la photogénèse U. V. On n'observe pas non plus d'émission U. V. au cours de l'action des ultrasons sur une solution de IK, alors que ce produit se décompose avec libération d'iode et émission de lumière visible. L'absence d'émission U. V. dans le cas d'une solution aqueuse d'IK pourrait s'expliquer par le fait que cette solution absorbe, comme nous l'avons constaté, dans le domaine spectral étudié, absorption qui serait à l'origine de la libération d'iode. On peut penser qu'il en est de même dans le cas du sulfure de carbone.

Dans l'état actuel de nos recherches, on peut tenter de formuler quelques hypothèses explicatives de l'action des gaz sur les luminescences visibles et ultraviolettes et, d'autre part, sur la photogénèse de ces mêmes gaz (O_2, N_2, A, air) soumis au bombardement des particules α du polonium. Nous réserverons ces hypothèses pour une publication ultérieure.

OPTIQUE ÉLECTRONIQUE. — *Interprétation de la structure des images électroniques*. Note de MM. **René Bernard** et **Émile Pernoux** présentée par M. Louis de Broglie.

En microscopie électronique, l'image d'un objet résulte de la concentration sur l'écran des électrons qui traversent la préparation sans perte de vitesse appréciable et sans déviation importante. L'image ainsi fournie par un pinceau étroit d'électrons monocinétiques possède évidemment une très haute définition. Toutefois, si l'objet possède une structure cristalline, certaines de ses parties peuvent se présenter sous une incidence θ telle que $2d\,\theta = n\lambda$ (d étant la distance réticulaire). Les électrons incidents tombant sur ce domaine sont alors diffractés sous l'angle 2θ (quelques 10^{-2} radian).

Une fraction seulement de ce faisceau est diffractée élastiquement et peut atteindre la zone marginale de l'objectif. Elle converge ainsi sur l'écran, en donnant du domaine-objet correspondant une image peu intense et médiocrement définie.

Il est possible de mettre en évidence ces deux composantes de l'image définitive par l'artifice suivant. La mise au point correcte étant obtenue, on réduit progressivement jusqu'à zéro la puissance de l'objectif. L'image à haute définition défocalisée s'étale alors en un fond continu, tandis que les zones d'impact des électrons diffractés régulièrement évoluent d'une manière différente. On les voit s'écarter progressivement de leur position

initiale, suivant des directions normales aux traces des plans diffractants, pour finalement venir former un spot du diagramme classique.

La défocalisation progressive fournit ainsi un moyen rapide pour analyser l'image. Elle permet de préciser l'orientation du réseau cristallin dans chaque domaine et de relier l'intensité de chaque spot à l'étendue du domaine-objet correspondant. La figure 1 montre, après défocalisation,

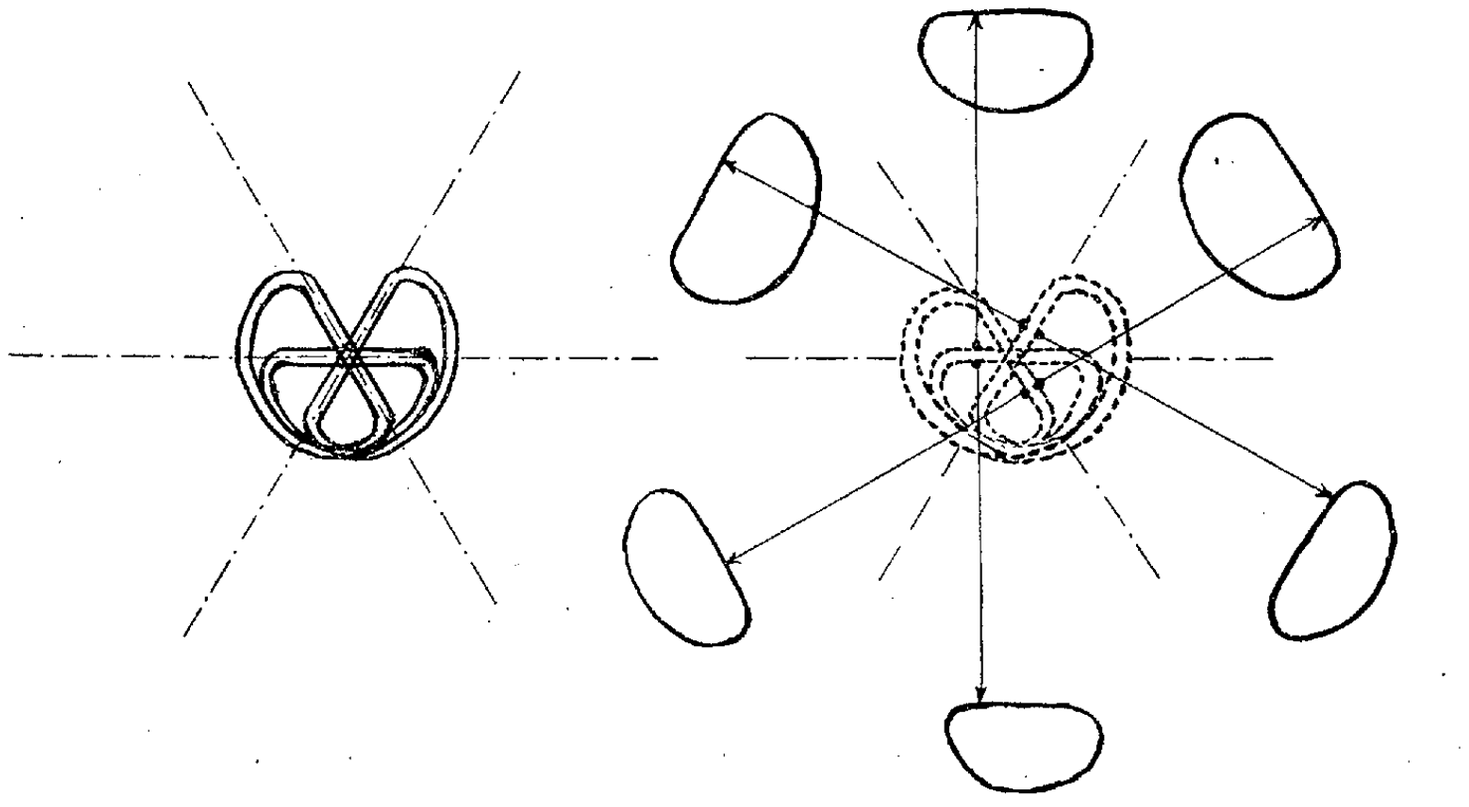


Fig. 1 *a*. Fig. 1 *b*.

Fig. 1 *a*. — Schéma représentant sur une image d'iodure de plomb les domaines recevant le faisceau électronique sous l'angle $\pm\theta$ de Bragg.

Fig. 1 *b*. — Effet d'une défocalisation limitée sur cette structure; le sens des déplacements correspond au signe de l'angle θ.

la décomposition en ses éléments constituants, d'une figure électronique complexe. Il s'agit d'iodure de plomb, les directions de déplacement forment des angles de 120° et sont normales aux plans de forte densité électronique du cristal hexagonal. Le sens du déplacement correspond au signe positif ou négatif de l'angle fait par le domaine-objet et le pinceau électronique incident.

Avec un objectif magnétique, la mise en œuvre de cette méthode est simple puisqu'il suffit de réduire le courant d'alimentation. Avec un système électrostatique il faut disposer d'un potentiomètre haute tension. Dans les deux cas, le passage continu de l'image au diagramme de diffraction nécessite des conditions d'ouverture rarement réalisées. Il n'est cependant pas indispensable de suivre le phénomène de bout en bout; une défocalisation limitée permet tout aussi bien de reconnaître les domaines images atteints par les électrons diffractés, de repérer la direction et le sens de leur déplacement et de retrouver l'orientation cristalline du domaine correspondant de l'objet (*fig.* 1 *b*).

Plus simplement encore cette défocalisation limitée pourra résulter d'un simple déplacement de l'objet de quelques dizaines de μ et l'angle θ se déduira sans peine de la comparaison des déplacements de l'objet, d'une part et des domaines-images, d'autre part, compte tenu du grandissement du microscope.

Nous avons appliqué cette méthode à l'étude des figures électroniques complexes signalées dans nos Notes précédentes (1), (2), elle nous a permis d'en interpréter tous les détails. Le procédé très ingénieux adopté par O. Rang et H. Schluge (3), permet évidemment d'aboutir aux mêmes résultats, mais il nécessite un équipement spécial dont la mise en œuvre est assez longue. Notre méthode simple et rapide permet au contraire de suivre les phénomènes les plus fugaces.

OPTIQUE ÉLECTRONIQUE. — *Microscopie électronique par réflexion.* Note (*) de MM. **Charles Fert** et **Robert Saporte**, présentée par M. Gaston Dupouy.

Pour observer directement les objets opaques au microscope électronique, nous avons repris les essais de Microscopie électronique par réflexion initialement proposés par B. von Borries (1). Cet auteur a montré que, pour éviter une grande dispersion des vitesses des électrons « *réfléchis* »,

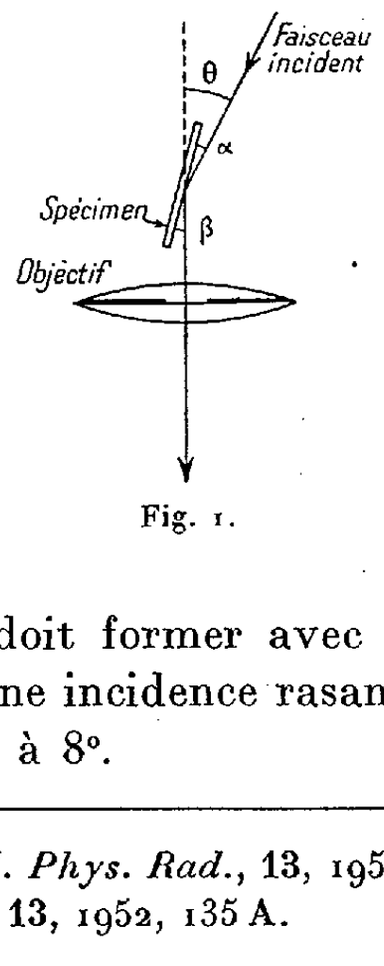


Fig. 1.

la surface de l'échantillon doit former avec l'axe de l'objectif un angle faible et être éclairée sous une incidence rasante : les angles α et β (*fig.* 1) doivent être de l'ordre de 4 à 8°.

(1) R. Bernard et E. Pernoux, *J. Phys. Rad.*, 13, 1952, p. 368.
(2) E. Pernoux, *J. Phys. Rad.*, 13, 1952, 135 A.
(3) *Optik*, 9, 1952, p. 463.

(*) Séance du 1er décembre 1952.
(1) *Z. Phys.*, 116, 1940, p. 370.

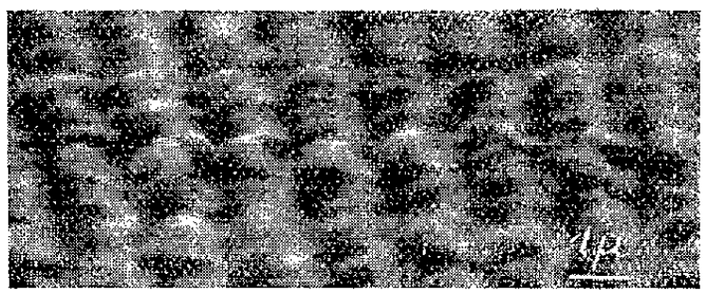


Fig. 2.



Fig. 3.

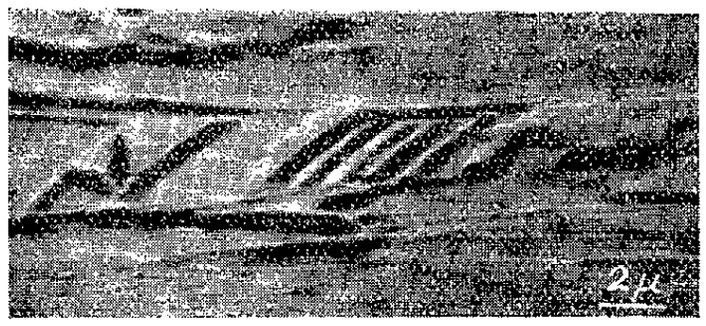


Fig. 4.



Fig. 5.

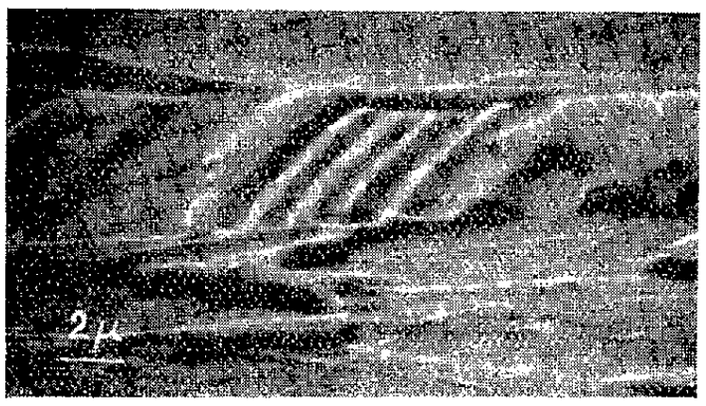


Fig. 6.

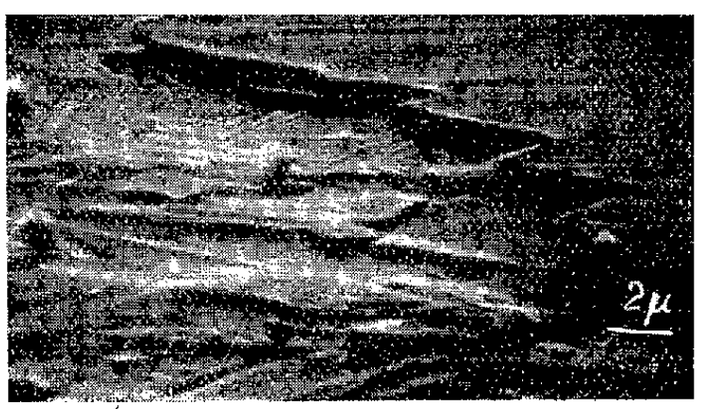


Fig. 7.

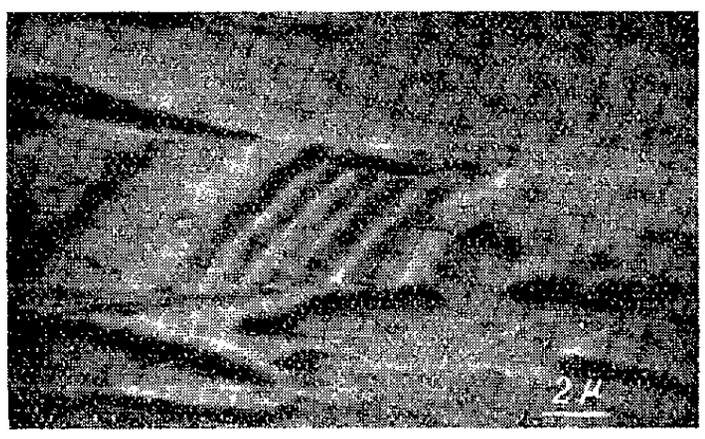


Fig. 8.

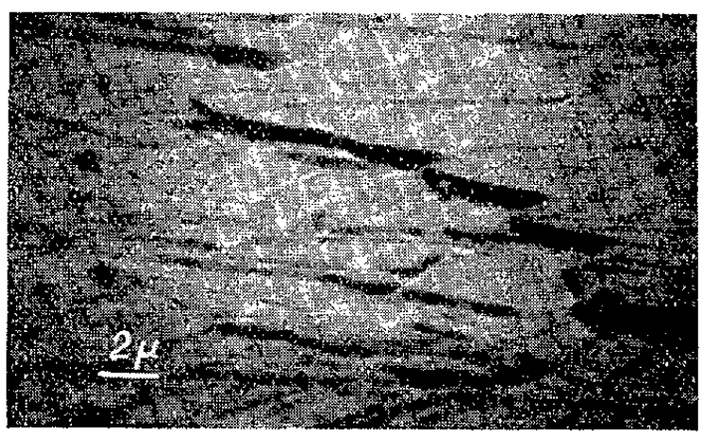


Fig. 9.

Fig. 2. — Réseau original de Rowland ($\beta = 4°$). Fig. 3. — Surface d'aluminium finement polie ($\beta = 3°$). Les particules déposées sur la surface portent une ombre très allongée ($\alpha < \beta$).

Fig. 5. — Cuivre électrolytique corrodé par pulvérisation cathodique. Les photographies 4 à 9 ont été obtenues avec le même échantillon.

Fig. 4, 6 et 8. — Influence de l'angle d'observation : une même région est vue sous $\beta = 4°$ (fig. 4), $\beta = 6°$ (fig. 6), $\beta = 8°$ (fig. 8). La netteté de l'image diminue si l'angle d'observation augmente.

Fig. 7 et 9. — Influence de l'angle d'éclairement : une même région est vue sous $\beta = 4°$, mais avec $\alpha = 3°$ (fig. 7) et $\alpha = 6°$ (fig. 9).

Caractéristiques générales du montage utilisé. — Le microscope électronique expérimental du laboratoire d'Optique électronique de Toulouse a été adapté à ce mode d'observation. L'orientation du faisceau est habituellement obtenue en inclinant le système du canon à électrons et du condenseur. Nous avons préféré introduire un ensemble de bobines déflectrices entre le condenseur et le porte-objet : ce principe conduit à une réalisation plus simple. L'angle d'inclinaison $\theta = \alpha + \beta$ est réglable, d'une manière très souple, en agissant sur le courant des bobines déflectrices, jusqu'à une valeur maximum $\theta = 16°$. Le canon restant vertical, il peut être construit à plusieurs étages pour l'emploi de différences de potentiel accélératrices élevées.

Le porte-objet permet d'assurer sous vide l'exploration du spécimen et son centrage au-dessus de l'objectif, de régler l'angle d'observation β, enfin, de faire tourner le spécimen autour d'un axe normal à sa surface. Ce dernier réglage s'est révélé précieux, l'aspect du spécimen pouvant changer considérablement avec son orientation autour de cet axe.

Le système de lentilles est identique à celui d'un microscope électronique par transmission et l'observation des objets transparents est possible avec le même porte-objet. La distance focale de l'objectif, pour les observations par réflexion, est de l'ordre de 10 mm. Un diaphragme d'objectif limite le demi-angle d'ouverture à 5.10^{-3} r. Il est prévu de rendre ce diaphragme escamotable pour obtenir le diagramme de diffraction électronique du spécimen.

Préparation des spécimens. — La préparation des spécimens est conduite dans les mêmes conditions que pour une étude au microscope métallographique, mais le polissage de l'échantillon doit être très poussé et son attaque peu profonde. L'emploi d'un éclairage rasant fait du microscope électronique par réflexion un appareil d'étude très sensible du poli d'une surface.

Les figures 2 à 9 montrent quelques photographies enregistrées au microscope électronique par réflexion. Elles font apparaître l'influence de différents paramètres sur l'aspect des images. Le pouvoir séparateur perpendiculairement au plan d'incidence est de l'ordre de 250 Å pour un angle d'observation de 4°.

ÉLECTROTECHNIQUE. — *Sur les régimes transitoires.* Note (*) de M. **Paul Poincelot**, présentée par M. Louis de Broglie

J'ai mis sous une forme qui paraît commode un certain nombre de régimes transi oires à partir de l'intégrale de Fourier. Des changements de contours

(*) Séance du 24 novembre 1952.

convenables conduisent à des développements en séries de fonctions de Bessel. J'en ai vérifié la convergence et le caractère pratique en calculant les courbes.

I. Réponse à la tension unité $\Upsilon(\tau)$ d'une chaîne de p cellules passe-bas simples (L, C) :

$$F(\tau) = \{1 - [J_0(\tau) + 2J_2(\tau) + \ldots + 2J_{2p-2}(\tau) + J_{2p}(\tau)]\}\,\Upsilon(\tau),$$

avec $\tau = \omega_c t$, ω_c étant la pulsation de coupure, t le temps.

Dans ce qui suit, nous omettrons la fonction $\Upsilon(\tau)$.

2. Filtre comprenant p cellules simples (L, C) et une cellule (ou deux demi-cellules) dérivées en m; réponse à la tension unité :

$$f(\tau) = 1 - [J_0(\tau) + 2J_2(\tau) + \ldots + 2J_{2p-2}(\tau) + J_{2p}(\tau)] - \frac{2m}{1+m} J_{2p}(\tau) + \frac{4m^2}{1-m^2} \sum_{n=1}^{\infty} (-1)^n \left(\frac{1-m}{1+m}\right)^n J_{2n+2p}(\tau).$$

3. Même filtre. Réponse à la tension $\sin \Omega t\, \Upsilon(t)$, avec

$$\frac{\Omega}{\omega_c} = \sin a < 1,$$

$$f(\tau) = F(\tau) + \sum_{n=1}^{\infty} \sin na\,[J_{2p-n}(\tau) - (-1)^n J_{2p+n}(\tau)],$$

$F(\tau)$ étant le régime permanent.

4. Même cas, mais avec $\Omega > \omega_c$:

$$f(\tau) = \frac{2}{\tau \operatorname{sh} \frac{\alpha}{2}} \left\{ p J_{2p}(\tau) + \sum_{n=1}^{\infty} (-1)^n e^{-n\alpha} [(n+p) J_{2(n+p)}(\tau) - (n-p) J_{2(n-p)}(\tau)] \right\},$$

α étant l'affaiblissement d'une cellule en régime permanent.

5. Même filtre, avec un signal arrondi, de tension :

$$E(t) = e^{i\Omega t}[1 - e^{-\delta t}]\,\Upsilon(t) \qquad (\Omega > \omega_c)$$

$$f(\tau) = \frac{1}{\tau \operatorname{sh} \frac{\alpha}{2}} \left\{ i\, 2p J_{2p}(\tau) + \sum_{n=1}^{\infty} i^{n+1} e^{-n\frac{\alpha}{2}} [(n+2p) J_{n+2p}(\tau) - (n-2p) J_{n-2p}(\tau)] \right\},$$

avec

$$\operatorname{sh} \frac{\alpha}{2} = \sqrt{\left(\frac{\Omega + i\delta}{\omega_c}\right)^2 - 1}.$$

6. Passe-haut (C, L) à une cellule. Réponse à la tension unité :

$$f(\tau) = J_0(\tau) + 2 \sum_{n=1}^{\infty} (-1)^n (n^2+1) J_n(\tau).$$

7. Même cas avec p cellules :

$$f(\tau) = \frac{1}{p} \frac{1}{\tau} \sum_{n=0} \sum_{\substack{q=0 \\ (q \leq n)}}^{2p-1} (-1)^n \frac{(2p+n-q)!}{q!\,(2p-q-1)!\,(n-q)!} (n+1) J_{n+1}(\tau).$$

8. Même passe-haut à une cellule. Réponse à la tension $\sin\Omega t\,\Upsilon(t)$ avec $\Omega/\omega_c = b > 1$ (Ω dans la bande passante) :

$$f(\tau) = -\frac{2}{b}\sqrt{1-\frac{1}{b^2}}\,J_0(\tau) - \frac{4}{b}\sum_{n=1}^{\infty}(-1)^n n J_n(\tau)$$
$$-\frac{4}{b}\sqrt{1-\frac{1}{b^2}}\sum_{n=1}^{\infty}(-1)^n\left(b-\sqrt{b^2-1}\right)^{2n}J_{2n}(\tau).$$

9. Même cas, mais avec $\Omega/\omega_c = \sin a < 1$ (Ω dans la bande atténuée) :

$$f(\tau) = -\sin(\tau\sin a)\left(\frac{1+\cos a}{\sin a}\right)^2 + \sum_{n=1}^{\infty}\left[\frac{4\cos a}{\sin^2 a}\sin na - 4(-1)^n\frac{n}{\sin a}\right]J_n(\tau).$$

10. Ligne homogène (R, C, L, G) réponse à la tension $\Upsilon(t)$.

Posons

$$\rho = \frac{R}{2L} - \frac{G}{2C}, \qquad \sigma = \frac{R}{2L} + \frac{G}{2C}, \qquad a = \frac{\sigma}{\rho}, \qquad u = \sqrt{t^2-\theta^2}.$$

θ étant le temps de propagation ; la tension à l'arrivée est

$$f(t) = \left\{F(t) - e^{-\sigma t}\sum_{n=1}^{\infty}\left(a-\sqrt{a^2-1}\right)^n\frac{(t+\theta)^n-(t-\theta)^n}{u^n}I_n(\rho u)\right\}\Upsilon(t-\theta),$$

$F(t)$ étant le régime permanent.

11. Même ligne. Tension de sortie en réponse à la tension d'entrée

$$e^{i\Omega t}\Upsilon(t).$$

Je trouve la même formule qu'en (10), avec

$$a = \frac{\sigma + i\Omega}{\rho}, \qquad \left(\left|a-\sqrt{a^2-1}\right|<1\right).$$

Remarque. — Toutes les fonctions du temps représentent des tensions, et non des courants. Tous les systèmes sont supposés terminés par leur impédance-image.

RADIOÉLECTRICITÉ. — *Sur la détermination des vibrations propres et les changements de mode d'un magnétron oscillateur à cavités multiples.* Note (*) de MM. **André Leblond**, **Jean Nalot** et **Oskar Dœhler**, présentée par M. Camille Gutton.

Les magnétrons conçus pour servir d'oscillateurs dans les bandes centimétriques et millimétriques comportent en général une anode cylindrique compre-

(*) Séance du 1er décembre 1952.

nant un nombre élevé N de résonateurs couplés entre eux. Un tel circuit peut être considéré comme un tronçon de ligne plane à structure périodique enroulé et fermé sur lui-même.

Un mode de représentation commode des propriétés de lignes planes à structure périodique a été donné dans une Note précédente (1). Si l'on suppose que le fait d'enrouler la ligne plane ne modifie pas sensiblement ses propriétés,

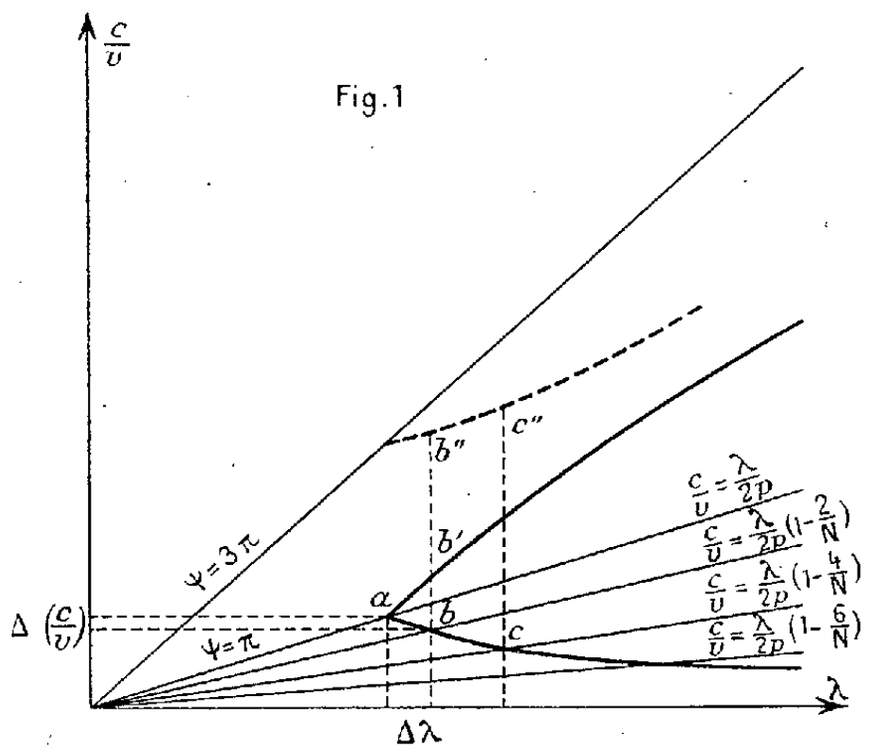


Fig. 1

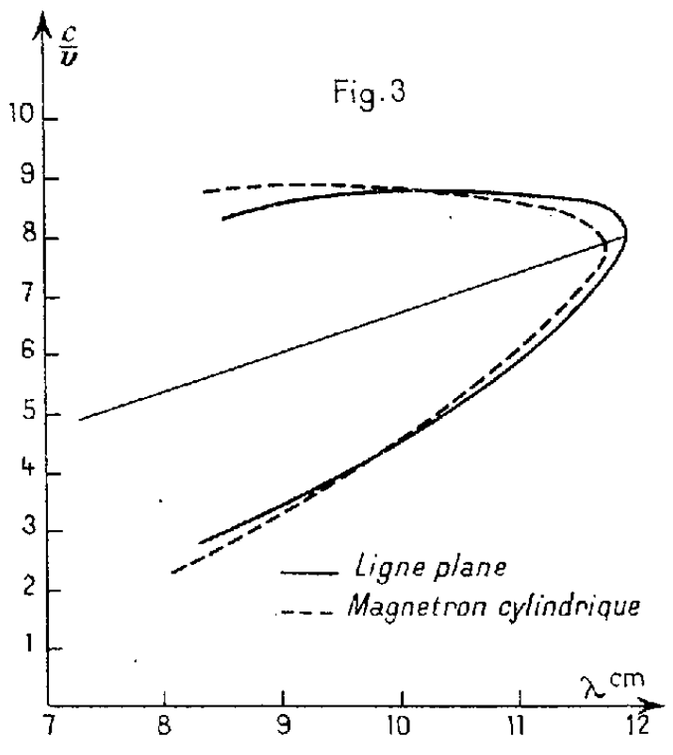


Fig. 3

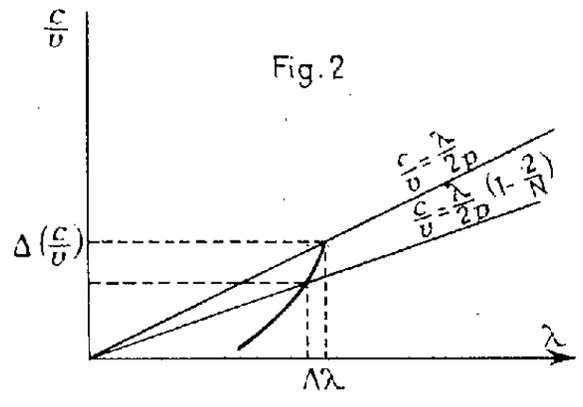


Fig. 2

c'est-à-dire la différence de phase ψ entre deux cellules successives en fonction de la fréquence, les vibrations propres de la cavité du magnétron, définies par

$$N\psi = 2n\pi$$

correspondent aux points d'intersection de la courbe de dispersion de la ligne plane avec les droites

$$\frac{c}{|v|} = \frac{n}{N}\frac{\lambda}{p} \qquad (n = 0, 1, 2, \ldots),$$

$c/|v|$ et p étant le taux de retard et le pas de la ligne et λ la longueur d'onde (*fig.* 1). Chaque branche de la courbe de dispersion donne N/2 points d'intersection $a, b, c, \ldots, a', b', c', \ldots$ dont les abscisses, identiques pour toutes les

(1) P. Guénard, O. Doehler et R. Warnecke, *Comptes rendus*, **235**, 1952, p. 32.

branches, définissent N/2 longueurs d'onde de résonance, et dont les ordonnées définissent les vitesses des faisceaux électroniques susceptibles d'entrer en interaction avec le champ du circuit et permettent de déterminer les conditions d'accrochage des oscillations.

Le saut d'un mode d'oscillation au mode voisin est d'autant plus facile que les conditions d'accrochage sont plus voisines, c'est-à-dire que les taux de retard des deux modes sont plus voisins. C'est ainsi que, le mode π correspondant à l'intersection de la courbe de dispersion avec la droite $c/|v| = \lambda/2p$ étant le mode d'oscillation désiré, le danger d'oscillation peut être plus grand pour un circuit correspondant à la figure 1, que pour un circuit correspondant à la figure 2, bien que dans le deuxième cas l'écart des longueurs d'onde du mode π et du mode voisin soit faible. Le mode d'oscillation parasite le plus facilement excité étant celui qui correspond à $c/|v| = \lambda/2p(1 - 2/N)$, il y a donc intérêt à utiliser un circuit possédant une caractéristique de dispersion analogue à celle de la figure 2, pour laquelle le mode fondamental est un mode inverse (1).

Pour étudier de nouveaux circuits de magnétron, il est commode d'utiliser des modèles plans, d'une réalisation plus facile au stade expérimental, et d'une étude plus aisée. Les modifications qu'apporte à la détermination des modes d'oscillation le passage d'une structure plane à une structure cylindrique sont, dans les cas pratiques, suffisamment peu importantes comme le montre la figure 3, pour que cette méthode puisse être utilisée, au moins dans une première étape de l'étude d'un circuit nouveau.

OPTIQUE. — *Contribution à l'étude théorique de la figure de diffraction donnée par une ouverture circulaire couverte à moitié par une lame à faces parallèles.* Note de M. **Norbert Ségard**, présentée par M. Jean Cabannes.

Dans une Note précédente (1) nous avons décrit l'aspect fondamental de la figure de diffraction obtenue par diffraction et interférence en lumière parallèle monochromatique avec une ouverture circulaire couverte à moitié par une lame de verre L à faces parallèles. Nous avons expliqué cette figure à l'aide de constructions de Fresnel. Une explication complète de toute la figure de diffraction entraîne des difficultés mathématiques et numériques que nous nous sommes proposé d'atténuer.

Le point P, au foyer d'un collimateur, forme son image géométrique P′ au foyer de l'objectif de distance focale f. Entre ces deux lentilles, le diaphragme circulaire D, de rayon R et de centre O, est divisé en deux plages égales par la lame L qui introduit entre elles la différence de marche $2k\pi$ (k quelconque).

(1) Charron et Ségard, *Comptes rendus*, **234**, 1952, p. 610.

Soit xOy un système d'axes de coordonnées dans le plan de D, Oy étant défini par la ligne de séparation des deux plages; $P'\xi$ et $P'\eta$ sont respectivement parallèles à Ox et Oy dans le plan focal de l'objectif. En un point $M(\xi, \eta)$ l'éclairement par tous les éléments $dx\,dy$ de D est proportionnel à $(A\cos k\pi - B\sin k\pi)^2$, avec

$$\left.\begin{matrix} A \\ B \end{matrix}\right\} = \iint \begin{matrix} \cos \\ \sin \end{matrix} \frac{2\pi}{\lambda f}(\xi x + \eta y)\, dx\, dy,$$

ces intégrales étant étendues à un demi-cercle de D.

A peut se ramener à la fonction J_1 de Bessel. B ne peut s'exprimer au moyen de transcendantes élémentaires. Son calcul approché a fait l'objet de nombreux travaux, car B se rencontre aussi dans l'étude de l'héliomètre ainsi que dans celle de la diffraction d'une droite lumineuse par une ouverture circulaire. Plus particulièrement, Everitt (2) a procédé à de longues méthodes d'intégration mécanique, tandis que M. Danjon (3) propose, comme résolvant pratiquement le problème, certains développements en série et valeurs asymptotiques. Les démonstrations rigoureuses de telles formules, ainsi que les calculs numériques résultants, sont longs et délicats. L'étude que nous avons faite de cette fonction B nous a amené, au contraire, à l'établissement simple de deux développements convergents et surtout à un procédé de calcul beaucoup plus rapide.

En désignant par ρ et α les coordonnées polaires de M par rapport à $P'\xi$, par r et u des grandeurs proportionnelles à ρ et x, le calcul de B entraîne celui de

$$I = \int_{\sin\alpha}^{1} \sqrt{1-u^2}\,\sin ru\, du.$$

Pour les faibles valeurs de α et r, le développement alterné suivant est rapidement convergent :

$$I = \sum_{n=1}^{\infty} \frac{(-1)^{n-1} r^{2n-1}}{(2n-1)!} \int_0^{\cos\alpha} v^2 (1-v^2)^{n-1}\, dv \qquad (v^2 = 1-u^2).$$

Pour les plus grandes valeurs de α, la correspondance symbolique de p à r donne

$$I \supset \int_0^{\cos\alpha} \left(-1 + \frac{1+p^2}{1+p^2-v^2}\right) dv = \sum_{n=0}^{\infty} \frac{p}{(1+p^2)^n}\, \frac{\cos^{2n+1}\alpha}{2n+1}.$$

Les originaux des premiers termes se calculent aisément; la formule de Bromwhich permet la détermination du terme général.

(2) *Proc. of the Royal Soc.* Série A, 83, 1910, p. 302.
(3) *Ann. de l'Obs. de Strasbourg*, 3, 1936, p. 240.

Par ailleurs, les calculs numériques de I sont grandement facilités par l'adaptation du procédé de M. Gaston Laville (4) au calcul de I sans construction graphique. L'arc de cercle $y=\sqrt{1-u^2}$ est assimilé à un arc de cubique suivant le procédé qu'il indique, d'où

$$r\int_{\sin\alpha_0}^{\sin\alpha_1}\sqrt{1-u^2}\sin ru\,du = (d_0-b_0)\cos(r\sin\alpha_0)-(d_1-b_1)\cos(r\sin\alpha_1) - (c_0-a_0)\sin(r\sin\alpha_0)+(c_1-a_1)\sin(r\sin\alpha_1)$$

avec

$$a_0=a_1=\frac{a}{r^3},$$

$$b_0=\frac{a\sin\alpha_0+b}{r^2},\qquad c_0=\frac{\frac{a}{2}\sin^2\alpha_0+b\sin\alpha_0+c}{r},\qquad d_0=\cos\alpha_0,$$

b_1, c_1, d_1 se déduisent de a_0, b_0, c_0 en remplaçant α_0 par α_1, a, b, c, d résultent immédiatement des relations de M. Laville.

Pratiquement, la tabulation de B sera faite en calculant

$$\int_{\sin 80^\circ}^{1},\qquad \int_{\sin 70^\circ}^{\sin 80^\circ},\qquad \int_{\sin 60^\circ}^{\sin 70^\circ},\qquad \ldots,$$

d'où, par additions successives, les valeurs correspondantes de I. La précision numérique peut atteindre la quatrième et même la cinquième décimale.

RADIOACTIVITÉ. — *Sur la radioactivité anormale de l'atmosphère.* Note de M. **Hubert Garrigue**, présentée par M. Jean Cabannes.

On met en évidence, en avion, à 1 400 m, des suies non locales et le corps radioactif A ; à 4 000 m, le corps A″ (période 100 à 400 h).

Poursuivant systématiquement les recherches de radioactivité de l'air libre, au sol (sommet du Puy de Dôme, 1500 m), en vol (Avion-laboratoire du S. A. L. S., région de 50 km autour du Puy de Dôme, altitude maximum 5000 m), on a effectué depuis le 11 avril 1952, une série plus serrée d'expériences, en particulier, 22 vols de prospection jusqu'au 1er juillet 1952 inclus.

Il est remarquable de constater que le vol de basse altitude du 25 avril 1952 met en évidence l'existence de suies abondantes non locales (vent du secteur Nord, région explorée : 50 km au Nord de Clermont-Ferrand) et du corps radioactif A de période apparente 25 h environ.

Le vol du 15 juin 1952, vers 4 000 m d'altitude permet de récolter un produit radioactif très tenace, de la classe du corps appelé A″ (1). Les mesures

(4) *Comptes rendus*, **234**, 1952, p. 1728.

(1) Le corps A″, de longue période (10 jours) a été décelé pour la première fois dans la neige fraîche au sommet du Puy de Dôme le 20 novembre 1951. *Comptes rendus*, **233**, 1951, p. 1447.

plus précises montrent une période du début de 100 à 150 h et une période de queue de 400 h environ, toutes corrections faites (radon, thoron, perturbations locales). L'intensité d'ionisation de l'air libre provoqué par ce corps, dans les conditions où il se trouve réparti sur les lieux de prélèvement, vers l'altitude de 4 000 m, a pour ordre de grandeur une fraction de l'intensité d'ionisation provoquée par le radon normalement contenu dans l'air libre à basse altitude (teneur de l'ordre de 10^{-16} curie/cm^3). Aucun résidu à plus longue période n'a pu être décelé.

Date.	Altitude maximum (m).	Température au point culminant (°C).	Durée du prélèvement.	Particules décelées (*).
11 avril 1952.....	4 500	— 11	2 h 15 m	néant
12 »	3 200	–	2 30	»
19 »	1 900	–	1 30	»
24 »	3 400	— 9	1 00	»
25 »	1 400	— 2	1 00	suies A
26 »	mesures au sol, sommet du Puy de Dôme			traces A
26 »	3 400	— 1	1 h 30 m	néant
27 »	3 600	— 4	3 00	»
28 »	3 300	— 2	1 30	traces A
29 »	3 000	— 1	1 00	néant
30 »	4 000	— 4	2 00	traces A
1er mai 1952.....	2 300	givrage abondant	1 00	néant
4 »	2 700	— 2	2 00	»
8 »	3 525	— 5	1 30	»
10 »	3 900	— 7	1 00	»
12 »	4 300	— 8,5	2 00	A
13 »	3 800	— 5	2 00	
18 »	3 150	+ 1	2 00	traces A
25 »	4 000	— 4	1 30	traces A″
1er juin 1952.....	3 800	— 4	1 15	néant
10 »	3 550	— 1	2 00	A″
15 »	4 800	— 7,5	3 00	A″
1er juillet 1952.....	4 500	+ 3	1 00	néant

(*) Particules décelées en plus des particules normales d'origine terrestre, radon et thoron.

A, Corps de période apparente 25 h.

A″, Corps de période apparente longue (100 à 400 h).

Il ne semble malheureusement pas possible de tirer cette fois une conclusion satisfaisante sur la vitesse de propagation et de dissémination, à l'échelle du globe, des nuages radioactifs d'origine « atomique ».

PHYSIQUE CORPUSCULAIRE. — *Vérification expérimentale des théories de l'ionisation produite dans les gaz par des mésons de grande énergie.* Note (*) de MM. **Paul Chanson, Pierre Treille, Terrence Price** et **David West**, présentée par M. Louis Leprince-Ringuet.

L'ionisation spécifique des mésons du rayonnement cosmique a été mesurée par quatre compteurs proportionnels rectangulaires, pour deux bandes d'énergie. Les résultats sont en faveur d'un accroissement de l'ionisation pour les mésons de très grande vitesse.

Dans une précédente Note (1) reprise en détail par la suite (2), nous avons indiqué les résultats obtenus en 1950 sur l'ionisation créée par une particule de grande énergie grâce aux mesures simultanées de l'impulsion et de la perte d'énergie à l'aide d'une chambre de Wilson et de deux compteurs proportionnels.

Nous avons entrepris pendant la campagne 1951 au laboratoire du C. N. R. S. à l'aiguille du Midi de Chamonix (3650 m d'altitude) une nouvelle expérience permettant de comparer l'ionisation spécifique des mésons d'une part au voisinage du minimum théorique (impulsion voisine de 0,4 BeV/c) d'autre part au delà de ce minimum (impulsion supérieure à 1 BeV/c), ceci pour confirmer l'allure générale du phénomène observé dans l'étude précédente.

Le montage expérimental est constitué par un télescope schématisé sur la figure. Les bancs de compteurs Geiger 1, 2, 3 sont en coïncidence et définissent un pinceau étroit de rayons cosmiques au voisinage de la direction verticale, le banc 4 peut être monté en anticoïncidence. Les quatre compteurs proportionnels P ont pour une hauteur utile de 7 cm un remplissage de néon (de 1,6 cm de mercure T P N) argon (20 cm) et méthane (20,5 cm), le coefficient ξ de Landau (3) ayant alors pour valeur 290 eV. Les bancs 5 et 6 placés sur les côtés des compteurs proportionnels utilisés sont reliés à un hodoscope pour indiquer le passage éventuel de rayons d'incidence oblique (en même temps que les rayons verticaux à mesurer) à travers certains des compteurs proportionnels dont les indications seraient faussées.

Première expérience. — Télescope $1+2+3$; écrans $A = 15$ cm de plomb, $B = 60$ cm. 1470 mesures ont été obtenues. Les particules observées sont des mésons μ d'impulsion supérieure à 1 BeV/c; les autres particules lourdes du rayonnement cosmique, protons et mésons π, sont pratiquement toutes arrêtées

---

(*) Séance du 24 novembre 1952.

(1) Becker, Chanson, Nageotte, Treille, Price et Rothwell, *Comptes rendus*, 234, 1952, p. 1155.

(2) Becker et al., *Proc. Phys. Soc.*, A 65, p. 437.

(3) *J. Phys. U. S. S. R.*, 8, p. 201.

dans les écrans A ou B et la probabilité de les détecter indirectement par des secondaires traversant le banc 3 est faible. Étant donnée par ailleurs la faiblesse relative de l'intensité de ces particules N par rapport à celle des mésons μ, la perturbation apportée à la répartition des pertes d'énergie des mésons peut être considérée comme négligeable. Les électrons sont éliminés facilement grâce à la combinaison de l'écran A et des compteurs de l'hodoscope.

Deuxième expérience. — Télescope $1+2+3-4$; écrans $A = 15$ cm, $B = 10$ cm, $C = 8$ cm de plomb. 1310 mesures ont été obtenues. Les ionisations mesurées sont relatives à des mésons μ, de 300 à 400 MeV/c, à des protons de 900 à 1100 MeV/c, à des particules N d'impulsions très variables arrêtées par événements nucléaires dans les écrans B ou C (les primaires ou secondaires traversant les compteurs 3 sans décharger les compteurs 4) en nombre sensiblement égal cette fois à celui des mésons μ, d'après les expériences de 1950.

Interprétation des résultats. — On trace pour chaque compteur P la courbe représentant la variation du nombre des particules en fonction de la mesure de l'ionisation. On observe un net déplacement du maximum et du front avant de la courbe de distribution vers les faibles pertes d'énergie quand on passe de la première à la seconde expérience. La présence des particules N très énergiques, dans la seconde expérience, ne peut pas expliquer l'écart entre les courbes expérimentales, elle ne peut que le diminuer; il faudrait en effet supposer qu'à vitesse égale les mésons μ et les particules N subissent des pertes d'énergie très différentes, ce qu'aucune des théories proposées jusqu'ici ne peut expliquer.

Par contre, le déplacement s'interprète aisément si l'on admet, selon ces mêmes théories, l'accroissement de l'ionisation quand l'impulsion de la particule incidente devient supérieure à 400 MeV/c.

RAYONS COSMIQUES. — *Sur la répartition angulaire, le spectre des moments et la dissymétrie Est-Ouest de la composante nucléaire du rayonnement cosmique étudiée au moyen d'une émulsion sensible.* Note (*) de MM. **Max Morand** et **Tsai-Chü**, présentée par M. Eugène Darmois.

La répartition de l'intensité en direction peut se représenter par $I = I_0 \cos^{\lambda}\alpha$, avec $\lambda = 2,56 \pm 0,28$; le spectre différentiel des moments a été obtenu pour les faibles énergies; l'existence d'une dissymétrie E-W a été confirmée.

1. La répartition de l'intensité totale du rayonnement cosmique a été étudiée (1) dans une plaque Ilford G5, enfermée dans une boîte en aluminium de 300 μ d'épaisseur et exposée verticalement sous 0,2 g/cm^2 de bois à Tamanrasset. Nous avons mesuré 1925 traces non relativistes (granulation moyenne supérieure à 45 grains par 100 μ, correspondant à des protons d'énergie inférieure à 230 MeV). Chaque trace est repérée par l'angle α que sa projection sur le plan de l'émulsion fait avec la verticale et l'angle β que fait la trace avec cette projection. Les grains sont comptés sur plusieurs sections le long de la trajectoire. $(1,25 \pm 0,26)\%$ des traces est éliminé comme dû aux branches d'étoiles produites dans l'émulsion. La répartition de l'intensité en direction, celle-ci étant prise à l'entrée des traces dans l'émulsion, peut se représenter par $I = I_0 \cos^{\lambda}\alpha$, avec $\lambda = 2,56 \pm 0,28$ pour α inférieur à 60°, et $\lambda = 2,20 \pm 0,34$ lorsqu'il s'agit de l'angle β, le nombre des traces non observables devenant important pour β supérieur à 60°. L'intensité verticale j(0), déterminée par un cône de 30° d'angle zénithal, est $(1,625 \pm 0,072).10^{-4}$/cm^2/s. stéradian.

2. Le spectre différentiel, pour les moments des protons d'énergie supérieure à 500 MeV/c, a été obtenu par des expériences (2), (3) faites surtout avec la chambre de Wilson; seules, les plaques photographiques permettent de compléter ce spectre du côté des faibles énergies. Les moments de nos particules sont étalonnés au moyen de la courbe parcours-granulation d'une dizaine de mésons trouvés dans la même plaque. La figure montre le spectre de ces moments exprimés en BeV/c, pour l'intensité verticale absolue, en nombres de protons par cm^2/s.stéradian et par MeV/c. Le point à 640 MeV/c peut coïncider avec celui de Whittemore et Shutt (3), avec un

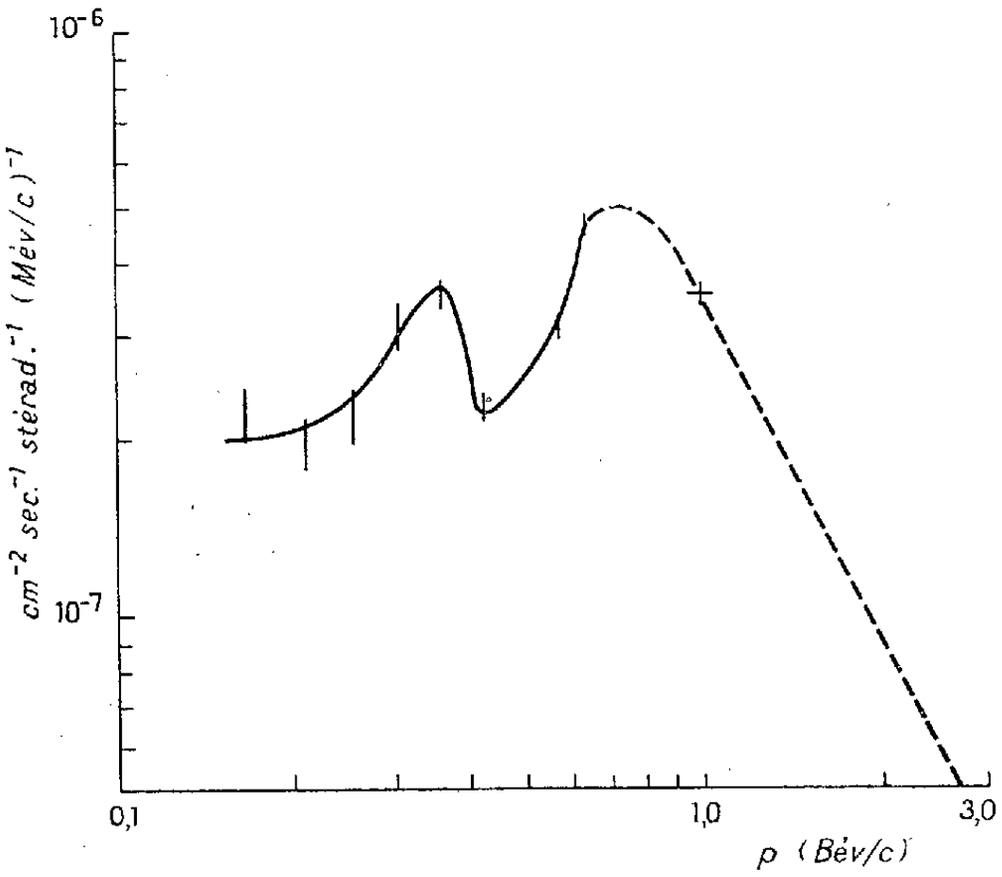
(*) Séance du 1er décembre 1952.

(1) M. Morand et Tsai-Chü, *Comptes rendus*, **234**, 1952, p. 1875.

(2) G. Puppi et N. Dallaporta, *Progress in Cosmic Ray Physics.*

(3) *Phys. Rev.*, **86**, 1952, p. 490.

parcours d'absorption de 150 g/cm² et un effet de latitude de 22,5 %. La partie pointillée a été tracée en faisant passer une droite par deux points : l'un à 1 BeV/c, celui de ces mêmes auteurs corrigé par un parcours (7) de 125 g/cm² et un effet de latitude de 5 %, l'autre à 9,82 BeV/c, calculé au moyen du spectre



primaire de Winkler (4), mais qui n'a pas pu être mis sur la figure. Nous avons complètement identifié 11 mésons et 331 protons parmi ces particules; les mésons représentent donc $(3,2 \pm 1,0)\%$ et leur intensité verticale, sous 8,73 m d'eau, à 25°30′ de latitude géomagnétique, est $(1,04 \pm 0,33).10^{-6}$ par stéradian, par seconde, par gramme, pour les parcours inférieurs à 5 g/cm² d'air. L'intensité de ces mésons très lents, réduite à 45°, semble s'accorder mieux avec les résultats de Wilson (5) qu'avec ceux des autres auteurs (6), (7).

3. L'existence certaine d'une dissymétrie E — W sur les particules lourdes du rayonnement cosmique confirme les résultats publiés antérieurement par l'un de nous (8). Nous avons trouvé une dissymétrie égale à $0,31 \pm 0,11$ pour α compris entre 30 et 45°; mais nous n'avons qu'une dissymétrie égale à $0,059 \pm 0,046$ pour l'ensemble de toutes les particules lourdes non relativistes. Nous continuons encore le dépouillement pour arriver à une valeur plus certaine et étudier la manière dont la dissymétrie varie avec l'énergie et l'angle α.

---

(4) *Phys. Rev.*, 79, 1950, p. 656.
(5) Wilson, *Nature*, 158, 1946, p. 415.
(6) York, *Phys. Rev.*, 85, 1952, p. 998.
(7) Rossi, *Rev. Mod. Phys.*, 20, 1948, p. 537.
(8) M. Morand, *Comptes rendus*, 228, 1949, p. 1488; *Nuovo Cimento*, 1949; Supplemento VI, p. 403.

Il est maintenant bien établi que ces traces isolées ne peuvent provenir uniquement des branches d'étoiles locales; elles correspondent aux branches les plus énergétiques de phénomènes secondaires produits en haute atmosphère. Malgré les interactions nucléaires qu'ils ont subies, les nucléons secondaires ont donc une dissymétrie analogue, et, peut-être, même supérieure, à celle des mésons relativistes. Ce fait peut s'expliquer assez facilement, car la plupart des mésons μ arrivant en basse altitude proviennent de la désintégration en vol de mésons π ou d'autres particules instables, produites dans une collision entre noyaux et protons primaires et atomes de l'air; la perte minimum d'énergie par ionisation à travers l'atmosphère étant de 2 BeV, il faut au moins un π primaire de 4 BeV environ, puisque la moitié de l'énergie totale est dissipée sous forme de neutrino; enfin, si plusieurs particules se partagent l'énergie d'un primaire, son énergie doit être assez élevée pour que le méson π primaire ait une énergie supérieure à 4 BeV.

De sorte que la dissymétrie E — W des mésons relativistes, observée au sol, se trouve limitée par une énergie minimum élevée des primaires qui leur ont donné naissance, Au contraire, grâce aux conversions neutron-proton à la fin des cascades nucléaires, les protons peuvent être les descendants de collisions qui n'ont pas subi cette limite. Il est à remarquer que l'existence de la dissymétrie E — W conduit à des conclusions plus fortes que celles résultant des effets de latitude, puisqu'elle prouve que les nucléons secondaires conservent une direction voisine de la direction des primaires qui leur ont donné naissance.

PHYSIQUE CRISTALLINE. — *Spectre Raman du chlorure de baryum hydraté* ($BaCl_2, 2H_2O$). Note de M. **André Galy**, présentée par M. Jean Cabannes.

Ce cristal est monoclinique. Il appartient au groupe spatial $C_{2h}^5 - P2_1/C$. Les paramètres de la maille élémentaire sont :

a. (OX) = 6,736 Å; *b*. (OY axe binaire) = 10,86 Å; *c*. (OZ) = 7,136 Å (1).

Cette maille contient quatre molécules de chlorure de baryum; chaque ion ou molécule d'eau est en position générale, de sorte qu'il existe une famille d'ions Ba, deux familles d'ions Cl, deux familles de molécules d'eau :

Le spectre Raman d'un monocristal fournit les fréquences indiquées dans le tableau ci-contre.

On constate dans ce tableau que la fréquence de déformation de l'eau n'apparaît pas.

(1) St. v. Karay-Szabo et K. Sasvari, *Z. Krist.*, A, 97, 1937, p. 235.

Fréquence en cm^{-1}.....	33	46	62	77	98	122–127	135	144
Intensité approximative (*)..	F	F	m	F	F	F	F	m
Type (notation de Placzek).	Ag	Ag	?	Ag+Bg	Ag+Bg	Ag+Bg	Ag	?
Fréquence en cm^{-1}.....	167	187	205	250	400–410	560	717	–
Intensité approximative (*)..	m	m	f	f	f	F	f	–
Type (notation de Placzek).	?	?	?	?	Ag+Bg	Bg	?	–
Fréquence en cm^{-1}.....	3285	3345	3376	3456	–	–	–	–
Intensité approximative (*)..	m	F	m	F	–	–	–	–
Type (notation de Placzek).	Ag+Bg	Ag+Bg	Ag+Bg	Ag+Bg	–	–	–	–

(*) F, intense; m, moyenne; f, faible.

Les raies de grandes fréquences, dues aux oscillations de valence, sont étroites et possèdent les tableaux d'intensités suivants (*) :

$$M = 3285\ cm^{-1} \quad \begin{array}{c|ccc} & OX & OY & OZ \\ \hline & m & o & f \\ & o & o & o \\ & f & o & m \end{array} \qquad N = 3345\ cm^{-1} \quad \begin{array}{ccc} F & o & F \\ o & o & o \\ F & o & F \end{array}$$

$$P = 3376\ cm^{-1} \quad \begin{array}{ccc} f & o & o \\ o & m & o \\ o & o & m \end{array} \qquad Q = 3456\ cm^{-1} \quad \begin{array}{ccc} o & o & o \\ o & F & o \\ o & o & F \end{array}$$

(*) F : intense; m : moyenne; f : faible.

Les résultats obtenus permettent d'orienter les molécules d'eau dans le cristal (2).

Le nombre des grandes fréquences observées et leurs intervalles conduisent à penser qu'il n'y a pas de couplage entre les diverses molécules d'eau d'une même famille. Les constantes diélectriques du cristal ne varient, d'ailleurs, sensiblement pas en fonction de la température en-dessous de 60° centigrades. Ce qui montre l'indépendance des molécules d'eau entre elles.

Si l'on admet que les molécules d'eau gardent les éléments de symétrie qu'elles possèdent à l'état de vapeur, la raie Q correspond nécessairement à une vibration antisymétrique des molécules d'eau d'une famille; la raie M a une vibration symétrique.

La seule hypothèse fournissant, pour les vibrations symétriques, un tableau d'intensité vraisemblable est la suivante :

Première famille de molécules d'eau (I)..... { M relatif à la vibration symétrique des molécules d'eau, N relatif à la vibration antisymétrique des molécules d'eau;

Deuxième famille de molécules d'eau (II). { P relatif à la vibration symétrique des molécules d'eau, Q relatif à la vibration antisymétrique des molécules d'eau.

(2) J. Cabannes et R. Aynard, *J. Phys. et Rad.*, (8), 3, 1942, p. 137.

Il résulte des tableaux d'intensité des raies antisymétriques ([3]) que si l'on rapporte les molécules d'eau à trois axes Ox, Oy, Oz :

Ox, bissectrice extérieure de l'angle $\widehat{HOH}$;

Oy, bissectrice intérieure de l'angle $\widehat{HOH}$;

Oz, perpendiculaire à Ox et Oy.

Les tableaux des cosinus directeurs de ces axes par rapport à OX, OY, OZ (rectangulaires à 1° près) sont les suivants :

Famille (I).

	X	Y	Z
x	$\frac{1}{\sqrt{2}}$	0	$\frac{1}{\sqrt{2}}$
y	0	1	0
z	$\pm\frac{1}{\sqrt{2}}$	0	$\mp\frac{1}{\sqrt{2}}$

Famille (II).

	X	Y	Z
x	0	$\frac{1}{\sqrt{2}}$	$\frac{1}{\sqrt{2}}$
y	1	0	0
z	0	$\pm\frac{1}{\sqrt{2}}$	$\mp\frac{1}{\sqrt{2}}$

On constate alors que les tenseurs dérivés des polarisabilités relatifs aux oscillations symétriques des molécules d'eau rapportés aux axes Ox, Oy, Oz sont tous les deux de la forme

$$\begin{vmatrix} a & 0 & 0 \\ 0 & b & 0 \\ 0 & 0 & c \end{vmatrix}$$

avec $a \sim c$ et b très inférieur en valeur absolue à a et c.

CHIMIE PHYSIQUE. — *Sur les phases du système ternaire aluminium-fer-silicium.* Note de M. **Marcel Armand**, présentée par M. Albert Portevin.

L'angle aluminium du diagramme du système ternaire Al-Fe-Si est encore sujet à discussion; les divers auteurs ([1])([2])([3])([4]) ne sont d'accord ni sur le nombre des phases, ni sur leur composition, ni sur leurs domaines de stabilité propres.

La méthode par liquation ([5]) consiste essentiellement a refroidir lentement

([3]) J. Chapelle, *Bulletin de la Société de Minéralogie*, 73, 1950, p. 540.

([1]) Gmelins Handbuch, *Der Anorganischen Chemie*, 8 Aufl. System., n° 35 — A 8, 1950, p. 1334.

([2]) Phragmen, *J. Inst. Met.*, 77, 1950, p. 489,

([3]) Pratt et Raynor, *J. Inst. Met.*, 79, 1951, p. 211.

([4]) Nowotny, Komarek et Kremer, *Berg. u. Huttenmännische Monatshefte*, 96, 1951, p. 161.

([5]) Portevin et Dannenmuller, *J. Inst. Met.*, 75, 1948-1949, p. 949.

les alliages préalablement amenés à l'état liquide et à soutirer le liquide-mère à une température convenablement choisie dans l'intervalle de solidification. Il est possible ainsi d'obtenir les phases de dépôt primaire en gros éléments, ce qui facilite énormément leur examen et la détermination de leurs principales propriétés physiques. L'analyse des liquides-mères peut également fournir des renseignements sur la composition réelle des phases déposées (6). Nous avons appliqué cette méthode à une cinquantaine d'alliages, de compositions comprises entre 0 et 20 % de fer, et 0 et 50 % de silicium.

L'analyse chimique des alliages initiaux et des liquides-mères, jointe à l'examen des ségrégats, nous ont permis en outre de confirmer dans l'ensemble le diagramme de Gwyer et Phillips (7) modifié par Phillips et Varley (8) reproduit schématiquement dans la figure. On doit noter cependant un certain nombre de différences importantes.

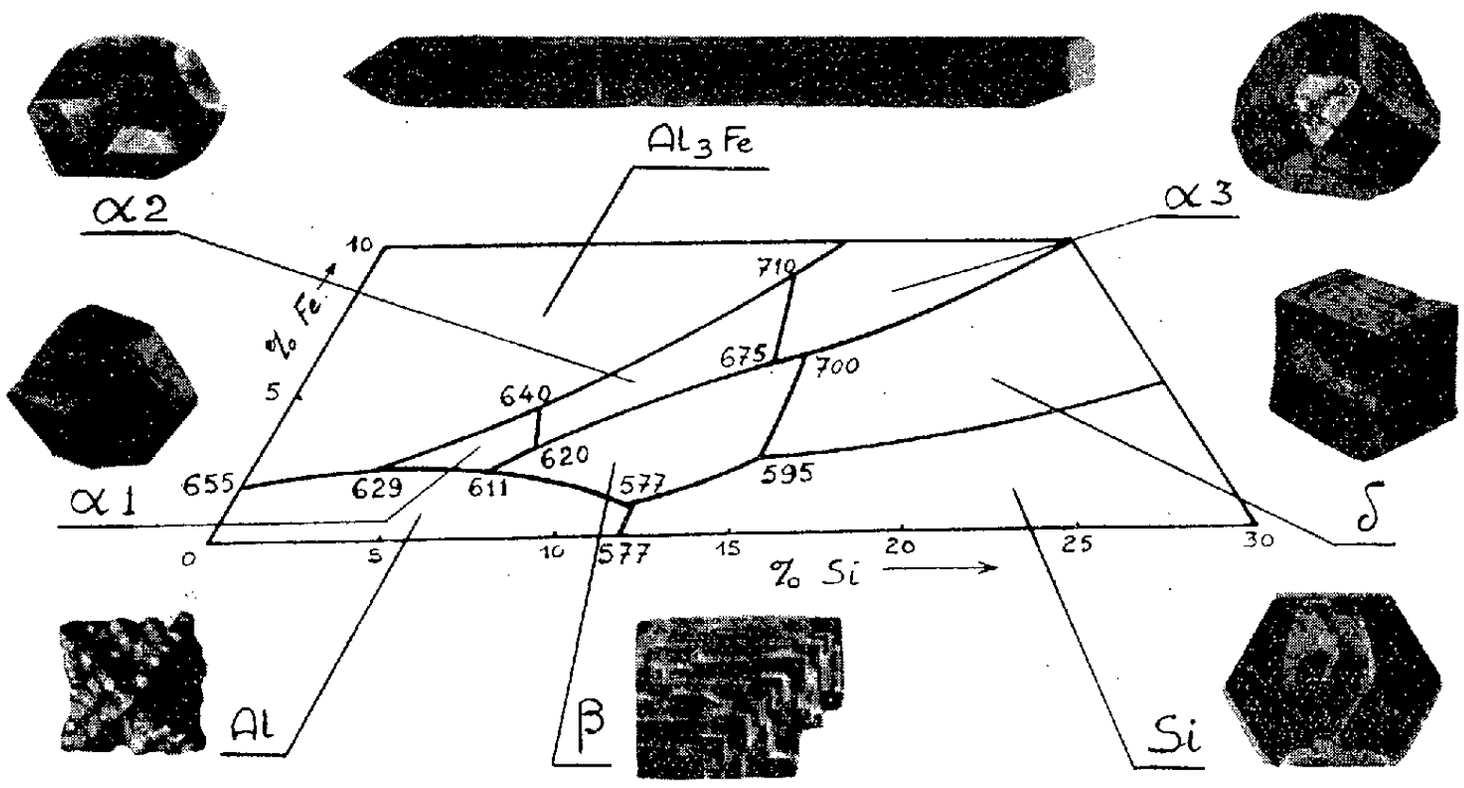


Diagramme ternaire Al.Fe.Si. d'après Gwyer et Philips.

1. Les cristaux obtenus à partir du domaine $FeAl_3$ semblent répondre plutôt à la composition Fe_2Al_7; nous n'avons pu encore établir s'il existe deux phases distinctes comme l'indiquent Nowotny et collaborateurs (4), ou s'il s'agit simplement de cristaux de $FeAl_3$, souillés d'aluminium.

2. Le domaine α doit être divisé en trois nouveaux domaines, que nous avons repérés α_1, α_2, α_3. Comme le montre le tableau suivant, les phases

(6) Jollivet, *Comptes rendus*, **224**, 1947, p. 1822; **226**, 1948, p. 2076; **218**, 1949, p. 1128; **228**, 1949, p. 1495; **228**, 1949, p. 1944.

(7) *J. Inst. Met.*, **38**, 1927, p. 48.

(8) *J. Inst. Met.*, **69**, 1943, p. 318.

correspondantes sont très nettement distinctes. Deux au moins, du reste, ont déjà été observées par certains auteurs, mais isolément.

Phase.	Réseau.		Formes extérieures.	Densité.	Analyse. Fe %.	Si %.
α_1....	Cubique	$a = 12,523$ (*)	Dodécaèdres rhomboïdaux	3,50	27,3	7,0
α_2....	Hexagonal	$a = 4,95$, $b = 7,07$ à un multiple entier près	Aiguilles prismatiques de section hexagonale régulière	3,58	29,2	11,3
α_3....	Cubique	$a = 16,00$	Cubes octaèdres	3,65	35,3	12,8

(*) Donnée de la bibliographie confirmé par le dépouillement des diagrammes.

α_1 est la phase qui donne, avec l'aluminium, l'eutectique caractéristique, généralement connu sous le nom d' « écriture chinoise »; elle a été décrite comme telle par Phragmen (2). α_2 a été isolé, photographié et analysé par Pratt et Raynor (3) qui, à la suite de Fink et Van Horn (9) lui attribuent un diagramme de diffraction aux rayons X, analogue à celui de $FeAl_3$, ce qui est certainement inexact. α_3 enfin, n'a été décrit nulle part à notre connaissance.

Nous n'avons pas cherché à donner de formule stœchiométrique pour ces constituants; il semble cependant qu'il s'agisse de composés définis, car les cristaux de même type provenant d'alliages de compositions différentes, présentent des caractéristiques identiques. L'existence de ces trois phases $\alpha_1, \alpha_2, \alpha_3$, implique évidemment celle de quatre nouveaux équilibres invariants, du type péritectique :

$FeAl_3 + \alpha_3 + liq. \rightleftharpoons \alpha_2$ à 710° environ — $Al_3Fe + \alpha_2 + liq. \rightleftharpoons \alpha_1$ à 640° environ

$\alpha_3 + liq. \rightleftharpoons \alpha_2 + \beta$ à 675° environ — $\alpha_2 + liq. \rightleftharpoons \alpha_1 + \beta$ à 620° environ

Étant données les faibles différences de température existant entre les divers points invariants (11 entre 710 et 577°) dont la plupart sont des points péritectiques de première ou de seconde espèce, il n'est pas étonnant que certains aient échappé jusqu'ici à l'analyse thermique ou aux autres modes d'investigations utilisés généralement (micrographie, rayons X, etc.). Les résultats obtenus ici démontrent, sans qu'il y ait besoin d'insister, l'intérêt des méthodes par liquation pour l'étude des diagrammes.

(9) Fink et Van Horn, *Trans. A. I. M. M. E.*, 1931, p. 383.

CHIMIE ANALYTIQUE. — *Analyse quantitative de l'éponge de fer.* Note de MM. **Jacques Aubry** et **Fernand Marion**, présentée par M. Louis Hackspill.

Le fer métal est attaqué sélectivement par une solution d'argentosulfocyanure d'ammonium dans un mélange eau-dioxane et titré sous forme d'ion ferreux. Après élimination de l'argent, les oxydes de fer sont dissous dans un acide et titrés à l'état ferreux et ferrique.

L'éponge de fer, produit de la réduction directe des minerais, contient, à côté du fer métal, des oxydes de fer non réduits, de la chaux, de la magnésie, de la silice, etc.

La méthode de dosage la plus utilisée est basée sur l'attaque du fer par une solution de chlorure mercurique (1), (2), (3). Cette méthode donne des résultats inexacts par suite de l'attaque incomplète des grains de fer dans un milieu peu conducteur et en raison de l'action des bases alcalinoterreuses sur les sels ferreux libérés. D'autre part le dosage se réduit à la détermination du fer métal et ne permet pas d'étudier le rapport O/Fe dans les oxydes non réduits, qui restent après traitement, mélangés à du mercure et à du chlorure mercureux, difficiles à éliminer sans altération des oxydes. La méthode préconisée utilise le déplacement électrochimique du fer métal dans une solution concentrée d'un sel complexe d'argent : argentosulfocyanure d'ammonium, solution obtenue en dissolvant jusqu'à saturation du sulfocyanure d'argent dans une solution à 25 % de sulfocyanure d'ammonium :

$$2\,Ag(SCN)_4(NH_4)_3 + Fe \rightarrow Fe(SCN)_6(NH_4)_4 + 2\,SCNNH_4 + 2\,Ag.$$

Le milieu est très conducteur (1000 fois plus qu'une solution saturée de chlorure mercurique) et la pile Ag-Fe a un débit intense, ce qui peut provoquer une réduction du sulfocyanure en sulfure. On évite cette perturbation en dissolvant le sel complexe dans un mélange eau (75 %) dioxane (25 %), qui abaisse légèrement la conductivité du milieu et évite une trop grande densité de courant cathodique.

Le fer, à l'état de complexe ferrosulfocyanure d'ammonium forme une solution stable vis-à-vis de l'oxygène de l'air, grâce à la présence de l'argent divisé ce qui permet de prolonger les attaques. D'autre part, ce complexe ferreux est dissimulé vis-à-vis des bases alcalinoterreuses. Enfin la solution d'attaque a un pH 6, et laisse inaltérés les oxydes de fer.

Des grains de fer de diamètre allant jusqu'à 1 mm peuvent être solubilisés après une attaque d'une heure au réfrigérant ascendant.

---

(1) *Bureau of Mines, Reports of investigations,* 3824 US., 1945.

(2) H. Herich, *Archiv. fur Eisen Hütt*, 20, 1949, p. 287.

(3) N. I. Stognii, *Zavods. Lab.*, 8, 1939, p. 391.

Après filtration, le fer ferreux est déplacé de son complexe par une solution de nitrate mercurique qui précipite les sulfocyanures d'argent, et de mercure et l'on dose les ions ferreux avec une solution titrée de bichromate de potasse (4). Le résidu d'oxydes de fer, mélangé d'argent, est traité à 80° C par une solution de brome qui transforme l'argent en bromure sans modifier les oxydes. Une attaque chlorhydrique à l'abri de l'air, solubilise les oxydes, un dosage du fer ferreux et du fer ferrique permet de calculer le rapport O/Fe dans les oxydes coexistants avec le métal.

CHIMIE ORGANIQUE. — *Préparation et transformation réciproque de dérivés* érythro *et* thréo *de la* β-p-*nitrophénylsérine*. III. *Configuration des* β-p-*nitrophénylsérinates d'éthyle optiquement actifs*. Note (*) de Mme **Irène Elphimoff-Felkin**, MM. **Hugh Felkin** et **Zoltan Welvart**, présentée par M. Marcel Delépine.

La transformation des (+) et (—)-*érythro* β-*p*-nitrophénylsérinates d'éthyle respectivement en leurs isomères (+) et (—)-*thréo*, par inversion de la configuration de l'atome de carbone porteur de la fonction hydroxyle, et la synthèse de la chloromycétine à partir de l'isomère (+)-*thréo*, permettent d'établir la filiation configurative (D ou L) des quatre isomères optiquement actifs du β-*p*-nitrophénylsérinate d'éthyle.

La configuration stérique (*érythro* ou *thréo*) des deux diastéréoisomères racémiques du β-*p*-nitrophénylsérinate d'éthyle a été élucidée récemment (1). Dans la présente Note, nous établissons les configurations respectives (D ou L) des quatre isomères optiquement actifs obtenus par dédoublement des deux diastéréoisomères racémiques (2).

En effet, nous avons montré que l'énantiomorphe *thréo* dextrogyre possède la même configuration que la chloromycétine, car il y conduit par une série de réactions (*a*), décrites antérieurement (3), qui ne modifient pas les centres d'asymétrie de la molécule. Or, la configuration stérique (I) (4) de cet anti-

(4) Burriel et Condé, *Anales r. Soc. esp. fis. y quim*, B 44, 1948, p. 95.

(*) Séance du 24 novembre 1952.

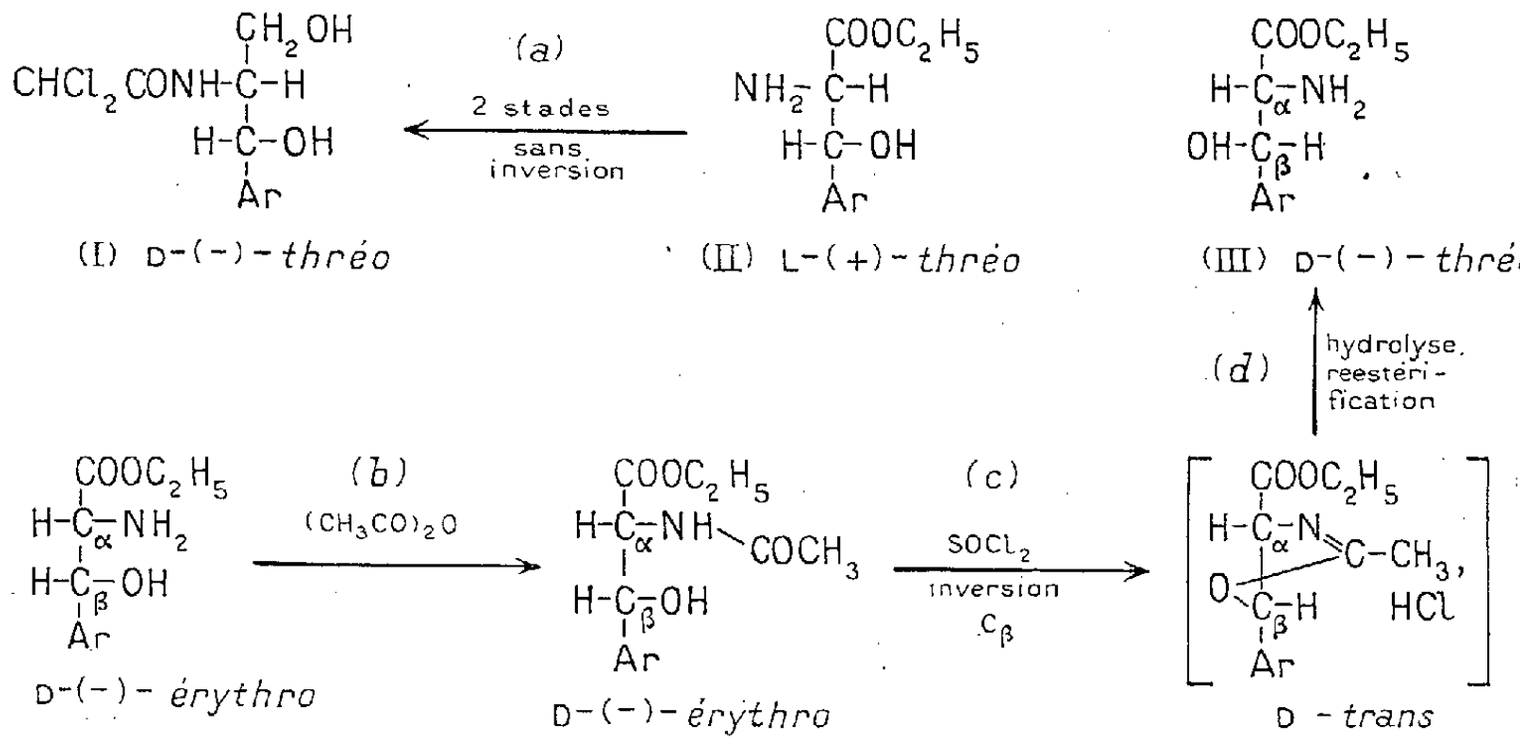
(1) M. Kopp, H. Larramona et Z. Welvart, *Comptes rendus*, **233**, 1951, p. 527; *voir* également (7), (8) et D. O. Holland et P. A. Jenkins, *Chem. and Ind.*, 1951, p. 1092.

(2) Le dédoublement du diastéréoisomère *érythro* a été décrit récemment, mais la configuration des antipodes n'a pas été établie (8); signalons que dans un travail que nous a communiqué le Professeur G. Carrara, et qui vient de paraître (G. Carrara, E. Pace et G. Cristiani, *J. Amer. Chem. Soc.*, 74, 1952, p. 4949), cet auteur mentionne, sans les décrire, les antipodes optiques du diastéréoisomère *thréo*.

(3) I. Elphimoff-Eelkin, H. Felkin et Z. Welvart, *Comptes rendus*, 234, 1952, p. 1789.

(4) Dans toutes les formules, Ar=*p*-NO_2—C_6H_4.

biotique est connue avec certitude (5); l'énantiomorphe de départ est donc le L-(+)-*thréo* β-*p*-nitrophénylsérinate d'éthyle (II) (6) et son antipode optique possède la configuration D-(—)-*thréo* (III).



Les configurations respectives des énantiomorphes *thréo* étant ainsi établies, il était aisé de déterminer celles de leurs isomères *érythro*. En effet, il a été montré récemment (7) qu'il est possible d'inverser la configuration du carbone C_β de l'*érythro* β-*p*-nitrophénylsérinate d'éthyle racémique et d'obtenir ainsi le diastéréoisomère *thréo*. Nous avons montré que l'emploi de la même voie (*b*, *c*, *d*) permet de transformer les énantiomorphes (+) et (—)-*érythro* respectivement en L-(+) et D-(—)-*thréo* β-*p*-nitrophénylsérinate d'éthyle (4).

La configuration du carbone C_α, dont dépend la dénomination (D ou L) des α-aminoacides et leurs dérivés, restant inchangée, il s'ensuit que les énantiomorphes (+) et (—)-*érythro* possèdent la même filiation configurative (L et D respectivement) que les dérivés *thréo* auxquels ils conduisent.

Partie expérimentale. — *L'érythro* β-*p*-nitrophénylsérinate d'éthyle a été dédoublé au moyen de l'acide dibenzoyl tartrique (8). Les D-(—) et L-(+)-

(5) M. C. Rebstock, H. M. Crooks, J. Controulis et Q. R. Bartz, *J. Amer. Chem. Soc.*, 71, 1949, p. 2458; K. Vogler, *Helv. Chim. Acta*, 33, 1950, p. 2111.

(6) La chloromycétine [(—)-*thréo* 1-*p*-nitrophényl 2-dichloracétamido 1.3-propanediol] possède la dénomination conventionnelle D car le groupement —CH_2OH de sa molécule est rapporté au même groupement dans la D-sérine. Au contraire, le *thréo*-β-*p*-nitrophénylsérinate d'éthyle de *même* configuration réelle possède néanmoins la dénomination conventionnelle L, car il est logique dans ce cas de rapporter son groupement —$COOC_2H_5$ à la fonction —COOH de la L-sérine.

(7) G. W. Moersch, M. C. Rebstock, A. C. Moore et D. P. Hylander, *J. Amer. Chem. Soc.*, 74, 1952, p. 565.

(8) G. Carrara, G. F. Cristiani, V. d'Amato, E. Pace et R. Pagani, *Gaz. Chim. Ital.*, 82, 1952, p. 325.

érythro N-acétyl β-*p*-nitrophénylsérinates d'éthyle, $C_{13}H_{16}O_6N_2$, fondent à 85° (bloc), $[\alpha]_D^{20}$ 40° (±2°) ($c = 4$, méthanol). Nous avons rassemblé dans le tableau les constantes des *érythro* et *thréo* β-*p*-nitrophénylsérinates d'éthyle, $C_{11}H_{14}O_5N_2$, ainsi que celles de leurs chlorhydrates, $C_{11}H_{14}O_5N_2$, HCl. Le dédoublement du diastéréoisomère *thréo*, ainsi que la transformation de l'énantiomorphe L-(+)-*thréo* (II) en chloromycétine (I), seront décrits ultérieurement.

β-*p*-nitrophénylsérinate d'éthyle.		Base F (bloc).	Base $[\alpha]_D^{20}$, $c = 2$, dioxane.	Chlorhydrate F.	Chlorhydrate $[\alpha]_D^{20}$, $c = 4$, N HCl.
Érythro...	DL	115° (1)	–	DL 189-190° (1)	–
	D-(—) L-(+)	102° (1)	42° (±4°)	D-(—) L-(+) 167-168°	77° (±2°)
Thréo....	DL	147° (1)	–	DL 159-160° (1)	–
	D-(—) L-(+)	153°	27° (±4°)	D-(+) L-(—) 147-148°	21° (±2°)

CHIMIE ORGANIQUE. — *Réactions d'oxydation et d'halogénation allyliques de cyano-et carbéthoxy-cyclohéxènes.* Note (*) de MM. **Max Mousseron**, **Robert Jacquier** et **André Fontaine**, présentée par M. Marcel Delépine.

L'influence des groupements CN et $CO_2C_2H_5$ dans des réactions d'oxydation et d'halogénation en série alicyclique a été mise en évidence. La nature du milieu réactionnel intervient également dans le cours des oxydations sélénieuses.

A. *Oxydation du cyano-1 cyclohéxène.* — Le cyano-1 cyclohéxène (I) (1) traité par SeO_2 dans l'anhydride acétique à l'ébullition, conduit au cyano-1 acétoxy-3 cyclohéxène, $É_{15}$ 140-145°, donnant par hydrolyse alcaline l'acide-alcool correspondant, $É_{15}$ 130-135°; F 31-32°. L'estérification et l'oxydation acétochromique de ce dernier donnent la carbéthoxy-1 cyclohéxène-1 one-3 (II*a*) $É_{15}$ 115°, Dinitro-2.4 phénylhydrazone (D. N. P.) F 201°. Si l'oxydation de (I) est effectuée dans le xylène à l'ébullition, on sépare la cyano-1 cyclohéxène-1 one-6 (III) $É_4$ 124-125°, D. N. P., F 201-201°,5 et le cyano-1 cyclohéxène-1 ol-3 (IV) $É_4$ 138-140°.

(III) traité par le N-diméthylformamide donne le cyano-1 N-diméthyl amino-6 cyclohéxène, $É_{20}$ 130°; picrate : F 158°, identique à l'amine obtenue en déshalogénant par la diméthylamine le cyano-1 dibromo-1.2 cyclohexane (2).

(1) Ces composés ont déjà été décrits.

(*) Séance du 1er décembre 1952.

(1) Ruzicka, *Helv. Chim. Acta*, 9, 1926, p. 402.

(2) Mousseron et Winternitz, *Bull. Soc. Chim.*, 13, 1946, p. 608.

(III) a été hydrolysé puis estérifié en carbéthoxy-1 cyclohéxène-1 one-6 (II*b*); D. N. P., F 228-229° identique à celle préparée selon Kötz (3).

(IV) est oxydé par le mélange acétochromique en cyano-1 cyclohéxène-1 one-3 (V) $É_4$ 124-125°, D. N. P., F 196°, qu'un traitement au N-diméthyl formamide laisse inaltérée. Par hydrolyse alcaline de (V) et estérification de l'acide, on isole (II*a*).

L'hydrogénation de (IV) au nickel Raney (100 atm, 120°) donne 25 % d'aminométhylcyclohexane et l'aminométhyl-3 cyclohexanol (VI) $É_3$ 135-140°; F 50-52°; picrate : F 145-148°; styphnate : F 181°, conduisant par désamination nitreuse au méthylol-3 cyclohexanol *cis* (4).

L'oxydation acétochromique de (I) dans des conditions ménagées conduit à (III).

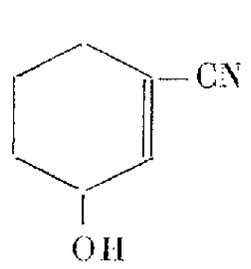
B. *Oxydation du carbéthoxy-1 cyclohéxène* (VII). — Dans l'anhydride acétique, $SéO_2$ transforme (VII) en un mélange d'acétates, $É_{15}$ 135-140°, en positions 3 et 6, identifiés par passage aux deux cétones (II*a*) et (II*b*). Dans le xylène, l'oxydation se produit uniquement en 3.

La cétone (II*a*) est seule obtenue par oxydation acétochromique de (VII)

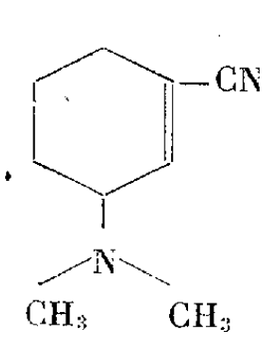
C. *Halogénation des cyanocyclohéxènes.* — Par action de la diméthylamine sur le dérivé monobromé $É_1$ 105° obtenu en traitant (I) par le N-bromo-succinimide (N. B. S.) ou la N-bromodiméthylhydantoïne, on obtient un mélange, $É_{20}$ 120-122° de N-diméthylamino-3 cyano-1 cyclohéxène (VIII), picrate : F 171° et vraisemblablement de N-diméthylamino-3 cyano-3 cyclohéxène-1 (IX) : picrate F 136°.

Le dérivé bromé, obtenu en traitant (IV) par PBr_3, déshalogéné par la diméthylamine, donne (VIII), (IX) et un N-diméthylamino-3 cyano-4 cyclohéxène (X*a*) picrate : F 144°.

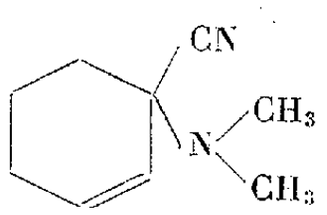
Dans les mêmes conditions que pour (I) le cyano-3 cyclohéxène (5) conduit aux deux N-diméthylamino-3 cyano-6 cyclohéxènes diastéréoisomères, picrates F 155° et 218-219° et le cyano-4 cyclohéxène (6) à la seule amine (X*b*), picrate F 181°, diastéréoisomère de (X*a*).



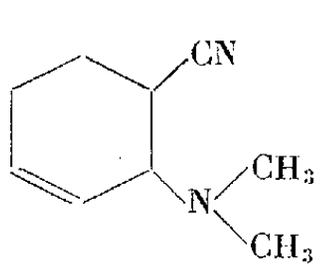
(IV)



(VIII)



(IX)



[(X) *a* et *b*]

(3) *Ann. Chem.*, 338, 1908, p. 199; *J. prakt. Chem.*, **80**, 1909, p. 495.

(4) Clarke et Owen, *J. Chem. Soc.*, 1950, p. 2108.

(5) Mousseron et Winternitz, *Bull. Soc. Chim.*, **15**, 1948, p. 80.

(6) Petrov et Sopov, *Chem. Abstr.*, **42**, 1948, p. 4957.

Le dérivé dihalogéné, provenant de l'addition du brome sur le cyano-3 cyclohéxène, traité par la diméthylamine, donne un mélange de (VIII), (X*a*) et (X*b*).

D. *Halogénation du carbéthoxy-1 cyclohéxène.* — Par actions successives du N. B. S. et de la diméthylamine, on isole le N-diméthylamino-6 carbéthoxy-1 cyclohéxène, $É_{20}$ 124-125°, picrate F 118°, également obtenu par traitement à la diméthylamine du carbéthoxy-1 dibromo-1.2 cyclohéxane.

CHIMIE ORGANIQUE. — *Les esters aromatiques de l'acide hypochloreux.* Note de MM. **Léon Denivelle** et **Roland Fort**, présentée par M. Marcel Delépine.

Modes de préparation et description d'hypochlorites d'aryle.

C'est déjà en 1885 (1) que T. Sandmeyer a signalé l'existence des hypochlorites d'alcoyle qui apparaissent au cours de différentes réactions de chloruration des alcools, et sont préparés par action sur ceux-ci de l'acide hypochloreux. Dans la série aromatique par contre, la préparation des esters de l'acide hypochloreux, ArOCl, n'a pas encore été décrite. C'est par erreur, en effet, que certains auteurs (2) ont attribué la structure d'esters hypochloreux à des dérivés résultant de la perchloruration des phénols. Toutefois, dans un travail récent P. P. Shorigin et M. I. Gostev (3) établissent par l'étude du spectre Raman qu'un composé examiné par eux est l'hypochlorite de pentachlorophényle, mais ils ne donnent pour ce composé ni mode de préparation ni propriétés chimiques.

Ceci nous incite à signaler que nous avons réussi, dès 1948, à préparer des hypochlorites d'aryle en appliquant à des phénols substitués, une technique analogue à celle mise en œuvre par l'un de nous pour préparer les esters aromatiques des acides chlorosulfurique et chlorosulfureux (4).

Cette technique consiste à transformer les phénols en dérivés métalliques que l'on disperse au sein d'un milieu inerte, saturé de chlore à basse température.

Exemple. — *Hypochlorite de pentachlorophényle* : On sature de chlore à 0°, 800 cm³ de tétrachlorure de carbone anhydre et l'on introduit dans cette solution maintenue à 0° et sous agitation, une dispersion de 288,5 g (1 mol-g) de pentachlorophénate de sodium dans

(1) *Ber. Chem. Ges.*, **18**, 1885, p. 1768; **19**, 1886, p. 859-862.

(2) R. Benedikt, *Monatsch.*, **4**, 1883, p. 231; L. Hugounenq, *Bull. Soc. Chim.*, (3), **2**, 1889, p. 806.

(3) *J. Phys. Chim. U. R. S. S.*, **24**, 1950, p. 938.

(4) M. Battegay et L. Denivelle, *Bull. Soc. Chim.*, **50**, 1932, p. 1195; *Comptes rendus*, **192**, 1931, p. 492.

400 cm³ de tétrachlorure de carbone anhydre; un courant de chlore barbote dans la masse en réaction pendant toute la durée de l'opération. Lorsque celle-ci est terminée, on filtre le gel de chlorure de sodium et l'on concentre sous vide jusqu'à consistance sirupeuse; par addition d'éther de pétrole, il précipite une masse solide jaune foncé, qui est purifiée. L'hypochlorite de pentachlorophényle pur se présente sous la forme de cristaux jaune vif, F 51-52°; $É_{0,25}$ 116-118°.

Nous avons constaté par la suite que certaines méthodes utilisées dans la préparation des hypochlorites d'alcoyle permettent également d'obtenir des hypochlorites d'aryle lorsqu'on substitue aux alcools, des phénols ou leurs solutions dans un solvant inerte.

Exemple. — Hypochlorite d'α-chloro β-naphtyle : On secoue énergiquement dans une ampoule à décanter, pendant 2 mn, à une température inférieure à + 10°, 200 cm³ d'une solution aqueuse de 0,06 mol-g d'acide hypochloreux, avec une solution de 0,045 mol-g d'α-chloro β-naphtol pur dans 200 cm³ de tétrachlorure de carbone. Le solvant se colore intensément en jaune; après décantation, séchage et évaporation à basse température sous vide, il abandonne l'hypochlorite (huile jaune non distillable).

Enfin, d'une manière plus générale, il nous est apparu qu'on peut obtenir des hypochlorites d'aryle par action directe sur les phénols, de chlore ou d'agents chlorurants divers : acide hypochloreux, hypochlorites minéraux, hypochlorites d'alcoyle, chloramines.

Exemple. — Hypochlorite de trichloro 2.4.6-dibromo 3.5-phényle : On introduit lentement 18,5 g (0,05 mol-g) de trichloro 2.4.6-dibromo-3.5-phénol, dans une solution de 5,8 g (0,055 mol-g) d'hypochlorite de butyle tertiaire dans 10 cm³ de tétrachlorure de carbone, portée à une température de 40° et agitée. Lorsque le phénol en suspension a complètement disparu, la solution est concentrée sous vide et le résidu est purifié par cristallisation de l'hexane. Cristaux jaunes, F 96-97°.

Les esters hypochloreux sont très instables lorsqu'ils dérivent de phénols dont les positions ortho ou para sont libres, ils se transposent en chlorophénols isomères. Cette transposition devient difficile à partir des dérivés 2.4.6-trisubstitués; c'est grâce à cela que nous avons pu préparer et isoler les hypochlorites correspondant au pentachlorophénol (A), au trichloro 2.4.6-dibromo 3.5-phénol (B), au pentabromophénol (C), au trichloro 2.4.6-xylénol 3.5 (D), au tétrachloro 2.3.4.6-phénol (E), au trichloro 2.4.6-métacrésol (F), au trichloro 2.4.6-phénol (G), au dichloro 2.6-para-amyltertiaire-phénol (H), à l'α-chloro β naphtol (I).

Tous ces hypochlorites aromatiques sont très solubles dans les solvants organiques; ils sont insolubles dans l'eau qui les hydrolyse très lentement; ils sont détruits instantanément par les solutions aqueuses alcalines. En présence d'iodure de potassium en milieu acide, ils libèrent quantitativement de l'iode, ce qui permet leur dosage. En présence de divers composés organiques : homologues du benzène, phénols, amines aromatiques, éthers-oxydes etc., ils manifestent des propriétés chlorurantes.

			Cl actif		Halogènes totaux			
			calculé.	trouvé.	Cl calculé.	Cl trouvé.	Br calculé.	Br trouvé (5)
A.	C_6OCl_6.....	Crist. F 51-52°	23,58	24,08	70,75	70,60	–	–
B.	$C_6OCl_4Br_2$...	» F 96-97°	18,20	18,30	36,40	35,73	41,02	42,16
C.	C_6Br_5OCl...	» F 121-122°	13,56	13,90	6,78	5,34	76,48	78,52
D.	$C_8H_6OCl_4$...	» F 69-70°	27,31	27,50	54,61	53,76	–	–
E.	C_6HOCl_5....	Huile $É_1$ 116°	26,64	25,60	66,60	66,34	–	–
F.	$C_7H_4OCl_4$...	» non distil.	28,86	27,30	57,72	55,63	–	–
G.	$C_6H_2OCl_4$....	» $É_{0,5}$ 103°	30,60	27,62	61,20	60,60	–	–
H.	$C_{11}H_{13}OCl_3$...	» non distil.	26,54	–	39,81	39,74	–	–
I.	$C_{10}H_6OCl_2$....	» non distil.	33,33	33,20	33,33	32,85	–	–

GÉOLOGIE. — *Observations nouvelles lors des sondages récents de Pechelbronn* (Bas-Rhin). Note de M. **Edgar Casel**, transmise par M. Pierre Pruvost.

Les travaux de forage à grande profondeur, à l'Est de l'ancienne concession de Pechelbronn, en direction du Rhin, ont permis de relever de nouvelles observations stratigraphiques et paléogéographiques, qui complètent les données de l'importante Monographie de R. de Schnæbelé, J. O. Haas et C. R. Hoffmann (1). J'en fais connaître ici l'essentiel.

a. Dans la région de Weitbruch, au Nord-Est de Brumath, un sondage a traversé, avant d'atteindre les couches de la Série Grise du Chattien, 94 m d'alluvions quaternaires dans lesquelles on peut distinguer de haut en bas :

11 m : sable ferrifère ;
42 m : sables rouge et jaune, plus clairs vers la base ;
12 m : argile grise et jaune ;
3 m : bois fossile ;
22 m : argile grise ;
4 m : conglomérat.

Le quaternaire de Pechelbronn avait peu attiré l'attention de mes prédécesseurs.

b. Dans la région de Roeschwoog, un sondage a rencontré les *Couches* dites *de Niederrœdern* entre les profondeurs 12 et 995 m. Constituées par des alternances de marnes bariolées et brunes, elles renferment des *Chara* et des Ostracodes d'eau douce. Sus-jacentes aux marnes à Cyrènes, elles représentent le Chatto-Aquitanien. Le sondage ayant été effectué au trépan, il me paraît prématuré de tenter une division stratigraphique dans l'en-

(5) R. Fort, *Chim. analyt.*, 34, 1952, p. 143-147.

(1) *Mém. Serv. Carte Géol. Als. et Lorr.*, n° 7, 1948.

semble de ces couches. Je signale seulement que leur partie moyenne est riche en nodules d'anhydrite et de gypse et que leur partie inférieure montre des interstratifications de bancs gréseux dont l'épaisseur oscille entre 0,5 et 3 m.

c. Dans la partie de l'Oligocène-Éocène, localement désignée *Zone dolomitique*, il a été possible de suivre, de sondage en sondage, un horizon salifère. Les dépôts lagunaires débutent à Rittershoffen par un banc d'anhydrite qui se transforme progressivement, en direction du Sud-Est, c'est-à-dire vers Soufflenheim, en un banc de sel gemme. La puissance de ce banc de sel passe, en allant du Nord-Ouest vers l'Est de Soufflenheim sur une distance de 3 km, de 10 à 60 m, pour atteindre près de 150 m à Roeschwoog. L'augmentation d'épaisseur de cette formation correspond à une subsidence du bassin de sédimentation.

d. Le *Bajocien supérieur*, représenté à l'Ouest de Haguenau par 35 à 40 m de calcaire oolithique (faciès classique d'Alsace), a été trouvé 15 km plus à l'Est, dans les régions de Roeschwoog et au Sud de Soufflenheim sous un faciès marneux. La puissance totale de l'étage, directement situé sous le niveau d'érosion Tertiaire-Secondaire, est de 50 m. De haut en bas, on observe : 3° 15 m de calcaire marneux à *Rhynchonella*; 2° 25 m de marnes calcaires à Belemnites, *Ostrea*, *Pecten*, *Rhynchonella* et Algues pyritisées; 1° 10 m de lumachelle à *Liostrea acuminata* et *Lima duplicata*. On est ici dans la région d'extension maximum occidentale du faciès souabe marneux du Bajocien supérieur.

e. Dans la région d'Ohlungen, un sondage profond situé à environ 8 km à l'Ouest de Haguenau a rencontré, à 1554 m, le socle hercynien représenté par une *diorite quartzique*. Le sondage avait traversé, avant d'atteindre le socle, environ 110 m de *Grès vosgien supérieur* (apparemment diminué d'épaisseur par le passage d'une faille de 250 m de rejet), 165 m de *Grès vosgien inférieur* et 210 m de *Permien* dont les 150 m supérieurs sont constitués par des grès et les 60 derniers mètres par des conglomérats à éléments de quartz, feldspaths et micas blancs et noirs.

LITHOLOGIE. — *Phénomènes de convergence dans la formation des grès anisométriques*, Note de Mme **Marguerite Rech-Frollo**, présentée par M. Paul Fallot.

Les exemples de phénomènes de convergence sont assez nombreux en pétrographie. Un des plus beaux a été décrit par L. Cayeux pour les craies phosphatées du Nord de la France où la structure bréchoïde se réclame de cinq processus différents (1).

(1) *Comptes rendus*, **206**, 1938, p. 392.

Des phénomènes de convergence voisins se retrouvent dans la formation des grès anisométriques, c'est-à-dire dont les grains de quartz n'ont subi aucune sélection mécanique, et présentent des contours anguleux ou subanguleux.

La structure anisométrique est liée à des milieux sédimentaires variés et les grès, ou les sables non consolidés qui les précèdent, ne peuvent servir eux-mêmes de base à un diagnostic; il faut toujours prendre en considération le dépôt tout entier.

L'étude des phénomènes de convergence, dans ce cas, nous conduit ainsi à des considérations paléoocéanographiques du plus grand intérêt.

Actuellement, l'anisométrie des grains de quartz semble être l'exclusivité des alluvions déposées sur le continent ou entraînées à une certaine distance sous la mer.

Pourtant la mer elle-même, dans des conditions déterminées, peut donner naissance à des sédiments quartzeux où la morphologie des grains est identique à celle des alluvions. D'après L. Berthois, ce phénomène peut même être dû à deux causes différentes : soit à une érosion très faible ne se produisant qu'au moment des marées d'équinoxe (2), soit à une très grande jeunesse de matériel (Norvège) (3).

Dans les séries anciennes, trois formations gréseuses importantes sont caractérisées par une structure anisométrique. Ce sont : les grès houillers, le flysch et la molasse.

Chacun de ces dépôts s'est formé dans un milieu différent :

Grès houillers. — Ceux des formations limniques peuvent s'identifier aux grès fluviatiles, mais une partie de ceux des bassins paraliques (comme certains horizons du Stéphanien du bassin franco-belge, par exemple), se réclament d'un régime lagunaire.

Flysch. — Les grès anisométriques se forment dans un bassin marin soumis au régime d'orogenèse.

Molasse. — Ici, les grès anisométriques font suite à ceux du flysch, mais leurs conditions paléoocéanographiques de formation ne sont plus les mêmes; elles rappellent plutôt celles des grès anisométriques de certaines formations houillères paraliques, avec la grande différence, toutefois, que dans le cas de la molasse, les phénomènes postorogéniques jouent un très grand rôle.

Parmi les régimes sédimentaires actuels et anciens qui engendrent une anisométrie du quartz, le milieu continental est le plus homogène, en ce sens qu'il ne donne que des grès anisométriques à quelques exceptions près. C'est la raison pour laquelle d'ailleurs, on est si souvent porté à

---

(2) *Bol. Soc. Geol. Portugal*, VIII, 1949, p. 56.

(3) *Bull. Soc. Géol. Fr.*, VI, 1952, p. 19-27.

attribuer à des apports fluviatiles en milieu marin tout, ou presque tout sédiment gréseux ancien à caractère anisométrique. En réalité, la mer peut, sous l'influence de causes très diverses — marée d'équinoxe, jeunesse du matériel, régime paralique spécial, régime marin d'orogenèse, régime lagunaire postorogénique — avoir une action identique à celle des fleuves sur le matériel détritique. Cette action se traduit par *une ébauche de préparation mécanique seulement.*

On conçoit l'intérêt qu'offre aux pétrographes le problème ainsi posé : un vaste domaine d'exploration s'ouvre devant eux, pour déterminer, dans chaque cas envisagé, quelles ont été les causes qui, à un moment donné, ont créé des conditions fluviatiles en milieu marin.

GÉOGRAPHIE PHYSIQUE. — *Distinction de deux types d'avens sur les Plans de Canjuers* (*Var*). Note de M. **Philippe Renault**, transmise par M. Pierre Pruvost.

Avens de corrosion, creusés par dissolution pure, débouchant accidentellement en surface. Avens d'érosion, anciens avens de corrosion agrandis par érosion mécanique, débouchant toujours en surface.

De 1950 à 1952, l'Électricité de France a organisé plusieurs campagnes de prospection spéléologique pour préciser l'étanchéité de la retenue du futur barrage de Sainte-Croix du Verdon. Au cours des travaux, dirigés par M. Crosnier-Leconte, chef du Service Géologique et en collaboration avec MM. Decelle, Rast, Beranger, Pastor, nous avons été amené à distinguer deux types d'avens.

L'aven du premier type, en principe, ne s'ouvre pas en surface. Les avens du Puits (Coordonnées Lambert : 921,12×164,68) (1) et de la Nouguiére n° 4 (C. L. : 921,82×161,50) furent découverts par élargissement à l'explosif d'une fissure du lapiaz. Les puits présentent une section horizontale anguleuse, avec lames rocheuses retenues par de minuscules pédoncules à des parois couvertes de cupules ou montrant des plaquages de brèches formées d'un ciment argileux contenant en suspension des blocs atteignant 20 cm d'arête.

L'aven du deuxième type s'ouvre toujours en surface. Le Grand Aven de Canjuers (C. L. : 920,24×163,06) commence par un entonnoir de 6×15 m. Les galeries sont accidentées de surcreusements et marmites de géant. Les parois montrent des érosions « en vague » (R. de Joly) attribuables au striage (2).

(1) Carte I. G. N. 1/50 000 en couleur, n° XXXIV-43 de Salernes.

(2) M. Lugeon, *Ann. Géogr.*, **23-24**, 1915, p. 385-393 et R. de Joly, *Rev. Geo. Phys.*, **6**, 1933, p. 66.

La genèse d'un aven du premier type peut être attribuée à un processus de dissolution pure. L'absence d'ouverture en surface et la présence de lames rocheuses et de brèches permettent d'éliminer l'érosion mécanique. La formation de l'aven est due à l'existence d'une zone fracturée à l'intérieur de laquelle le niveau aquifère oscille verticalement, la limite supérieure d'oscillation déterminant le sommet d'une cheminée.

Le deuxième type peut être considéré comme un aven de dissolution agrandi par érosion mécanique. Cette dernière se manifeste par les surcreusements de pied de cascade, par les galeries accidentées de petites marmites de géant, ou profilées en conduite forcée (3). Les grands puits de large section conservent un plan anguleux et leurs parois sont souvent couvertes de cupules.

Cette interprétation s'apparente à la « Two Cycle Theorie » de Davis (4) qui aurait baptisé les avens de corrosion « avens de network » et les avens d'érosions « avens de branchwork ». Nous rejoignons également une interprétation de A. Cavaillé (5), d'après laquelle les avens se forment dans la masse rocheuse et ne s'ouvrent au jour que tardivement. Cet ensemble cohérent d'interprétations nouvelles ne laisse plus qu'un intérêt historique à l'hypothèse d'E.-A. Martel assimilant la majorité des avens à de gigantesques marmites de géant, à l'exception de 10 % d'entre eux résultant simplement d'effondrements.

La nouvelle distinction apportée ici conduit à modifier cette nomenclature et permet de définir les avens d'effondrement, les avens d'érosion et les avens de corrosion. Cette nomenclature « génétique » repose sur des critères descriptifs précis.

Pratiquement, il est quelquefois difficile de classer, à première vue, un gouffre dans l'une de ces catégories. Chacun des types morphologiques définis ci-dessus correspond à la prédominance de l'un des trois mécanismes de creusement d'un aven. Localement, des variations de structure modifient les processus de creusement. Le Grand Aven de Canjuers, aven d'érosion, présente des secteurs où les marques de corrosion sont seules visibles et d'autres où les effondrements prédominent. Dans le cas d'une cavité de quelques mètres, l'interprétation restera hypothétique. Si l'aven est profond, un examen détaillé permettra toujours de déterminer la nature du mécanisme ayant joué un rôle prépondérant dans le creusement de la cavité.

---

(3) P. Chevalier, *Rev. Géogr. Alpine*, **32**, 1944, p. 475.

(4) W. M. Davis, *Bull. Geol. Soc. Amer.*, **41**, 1930, p. 475-628.

(5) A. Cavaillé, *Rev. Géogr. Pyr. et S. O.*, **7**, 1936, p. 392-400.

GÉOPHYSIQUE. — *Effets de l'éclipse solaire du 25 février 1952 sur la région ionosphérique* F2 *en Afrique Équatoriale*. Note (*) de M. **Stéphane Estrabaud**, présentée par M. Pierre Lejay.

Divers documents, relatifs à l'ionosphère équatoriale, amènent à présenter la région F2 comme formée de deux « couches » distinctes, situées à des niveaux assez voisins pour s'interpénétrer largement (nous appelons ici ces deux « couches » composantes « X » et « G »). Le comportement de la région F2 au cours de l'éclipse de Soleil du 25 février 1952, révélé par des sondages effectués à Bangui (A. E. F., 4° Nord, 19° Est), vient confirmer cette façon de voir.

L'éclipse commence au sol à 7 h 3 m (1), est totale de 8 h 20 m à 8 h 23 m, terminée à 9 h 48 m. Elle est presque totale au niveau de F2. L'évolution est la suivante :

1° Vers 5 h, la croissance rapide de la fréquence critique, à mesure que le Soleil monte au-dessus de l'horizon, se ralentit brusquement, bien que les valeurs de fo F 2 ne sortent pas de la normale.

2° Du 1er au 2e contact (7 h-8 h 20 m environ), la fréquence critique décroît légèrement. Cette évolution se poursuit jusqu'à 8 h 30 m et la fréquence critique reste alors presque constante, quoique avec de petites variations, jusqu'à 10 h 20 m. A 8 h 30 m, foF2 est égal à 7,75 Mc/s au lieu de 8,90 (valeur médiane des 10 jours encadrant l'éclipse). La chute de fréquence critique, qui se produit habituellement d'environ 8 h 30 m à 10 h ne se produit pas ce jour-là et même, à 9 h 50 m, fo F2 dépasse légèrement la médiane des jours de contrôle.

3° A 8 h 40 m, une nouvelle couche apparaît dans F1, avec une fréquence critique ordinaire d'environ 3,5 Mc/s. Elle se développe progressivement et, à partir de 10 h 20 m, elle occulte F2, dont elle prend la place *à titre définitif*. A 11 h, elle atteint la valeur habituelle de foF2 (8,5 Mc/s). On doit l'identifier avec la couche analogue (« nouvel F2 ») observée à Huancayo lors de l'éclipse partielle du 25 janvier 1944. Ces deux éclipses se ressemblent d'ailleurs étroitement.

4° La stratification révélatrice de la couche G, visible sur les sondages de 6 h 30 m, 6 h 40 m et 6 h 50 m, disparaît sur celui de 7 h et ne reparaît plus de la journée, alors qu'elle est normalement visible plusieurs heures par jour.

Les courbes donnant, pour diverses valeurs de la densité électronique, les hauteurs vraies en fonction du temps entre 10 h et 11 h prouvent que le

---

(*) Séance du 1er décembre 1952.

(1) Les heures sont exprimées en « Temps universel ».

retour à la normale est beaucoup plus rapide à la base du « nouvel F2 » que dans les régions élevées. Le calcul montre qu'alors la phase d'obscuration doit elle aussi montrer une inertie des régions supérieures, toujours en retard sur les inférieures. Cependant, entre 7 h et 8 h 10 m, la hauteur du maximum d'ionisation n'augmente pas, sans que cette discordance puisse être expliquée par un hypothétique abaissement de température, que les autres caractéristiques des sondages infirment. Il semble donc qu'il faille admettre que la région F2 soit constituée par deux composantes (« X » et « G »), partiellement interpénétrées, la composante inférieure subissant seule un effet d'éclipse appréciable. On assisterait donc aux phases suivantes :

1° État normal : X et G, mélangés, donnent l'apparence d'une couche épaisse, avec parfois une légère stratification.

2° Obscuration : l'ionisation de X décroît et X se fond dans G (7 h-8 h 20 m).

3° Début de la réillumination : l'ionisation de X reparaît et les régions basses de X se confondent avec F1 (8 h 20-8 h 40 m).

4° Fin de la réillumination : X se sépare de F1, et reprend progressivement son allure normale. L'évolution étant toujours plus rapide à la base qu'au sommet, le trou qui sépare X de G (et des résidus de X mélangés à G) ne se comble que lentement et les deux couches apparaissent nettement séparées (8 h 40-11 h).

Le peu de sensibilité de G à l'éclipse est manifeste. Entre le premier et le deuxième contact, fo F2 décroît lentement, de 7 h 20 m jusqu'à environ 8 h 30 m. S'il s'agissait d'un phénomène optique, on devrait assister, entre le troisième et le quatrième contact, à *une remontée* plus ou moins progressive de cette fréquence critique. Or, il n'en est rien, et un effet possible de variation de température, qui masquerait cette remontée, ne cadre pas avec l'évolution de h'X. On est donc amené à admettre que l'effet de l'éclipse sur l'ancien F2, s'il existe, est terminé à 8 h 30 m, et peut être même à 7 h 20 m.

On peut rechercher la cause de cette insensiblité de l'« ancien F2 » à l'éclipse optique dans deux directions :

1° La couche G traduirait la présence d'une réaction chimique à recombinaison très lente, superposée, aux niveaux où G et X s'interpénètrent, à une réaction à recombinaison plus rapide mais à taux de production d'ions plus élevé.

2° L'ionisation « G » serait due soit à un rayonnement coronal, soit à un rayonnement corpusculaire.

Dans le cadre de la deuxième hypothèse, le petit accident de 5 h est peut-être significatif. S'il s'agissait d'une éclipse coronale, la zone active s'étendrait jusqu'à une distance du centre du Soleil égale à 4,5 fois le rayon

solaire, ce qui semble invraisemblable. L'hypothèse corpusculaire, plus satisfaisante, permet d'interpréter clairement certaines ressemblances ou dissemblances entre l'éclipse de Bangui et celle de 1944 à Huancayo. On peut en effet identifier l'accident de 5 h à Bangui avec celui de 7 h à Huancayo. Ceci admis, l'évolution de l'« ancien F2 » peut très bien s'expliquer en invoquant des corpuscules présentant une répartition des vitesses relatives analogue à Huancayo et à Bangui, mais anormalement rapides à Huancayo.

OCÉANOGRAPHIE. — *Coupes transversales de la Mer Rouge. Contribution aux théories de formation des récifs coralliens.* Note de M. **Wladimir Nesteroff**, transmise par M. Pierre Pruvost.

Les coupes transversales continues présentées ici ont été levées au sondeur ultra-sonore R. C. A. entre le 19e et le 25e parallèle Nord, par le bâtiment océanographique *Calypso* durant la campagne d'hiver 1951-1952.

La coupe K. L. M. (1), la plus intéressante, se décompose en deux parties remarquables.

Dans la région E, située à peu près au milieu de la Mer Rouge, un fossé central atteint une profondeur maxima de 2 240 m. Les versants de celui-ci paraissent disposés en marches d'escalier séparées par des abrupts (failles ?). Sur les coupes G. H. et I. J., on retrouve ce même fossé, qui apparaît aussi, au Nord et au Sud, sur les cartes marines.

La région Ouest est un plan incliné dans la partie médiane duquel s'observe un synclinal large de 35 km environ, dont la profondeur maxima atteint 640 m. Un seuil de 380 m de profondeur le sépare du fossé central.

Une telle disposition se conçoit facilement si l'on admet une subsidence du flanc Ouest du fossé central : ancien plateau continental, qui s'approfondit graduellement dans sa partie Ouest et se relève vers l'Est.

Du fond de ce synclinal s'élèvent dix pinacles de largeur variable, mais dont les parois sont absolument verticales.

Par comparaison avec des formes analogues du Sahul Shelf (2) et étant donné qu'on ne peut trouver à ces pinacles aucune autre origine, nous les

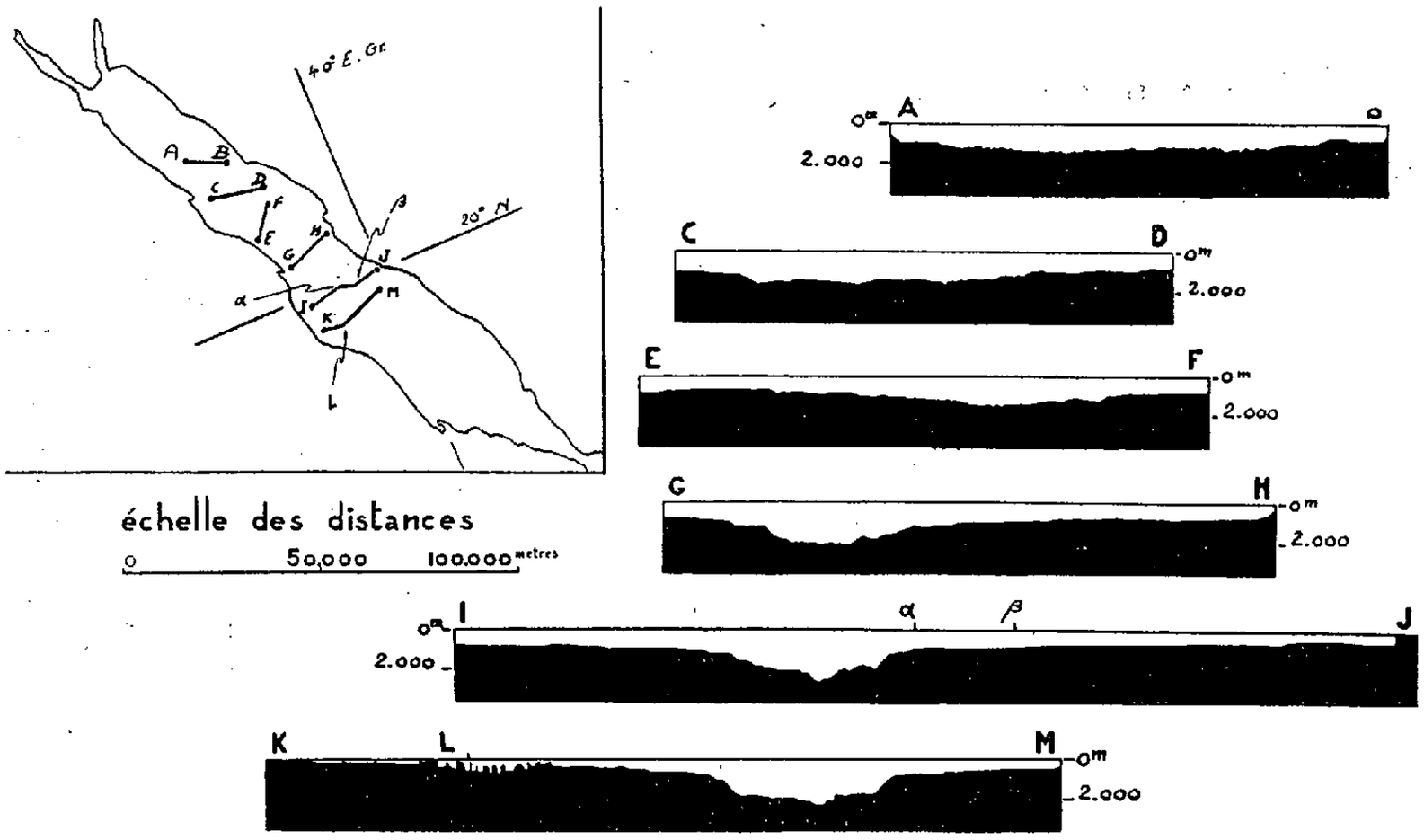
---

(1) *Position des points.* — A : L = 24°25′ N, G = 35°51′E; B (24°29′–37°04′,5); C (23°42′,5-36°11′); D (23°29′-37°27′); E(22°04′-36°55′); F (23°02′-37°43′,5); G (21°02′,5-37°42′); H (21°36′-39°01′,5); I (19°46′,5-37°40′); α (19°54′,5-38°50′,5); β (19°53′-39°06′); J (20°00–40°05′,5); K (18°56′–37°45′); L (18°59′,5–38°14′,5); M (19°29′–39°37′).

(2) Il est intéressant de rapprocher cette coupe du schéma des îles Adèle-Browse-Cartier du Sahul Shelf (C. Teichert, R. W. Fairbridge, *Geog. Rev.*, **38**, n° **2**, 1948, p. 222-249) qui, bien que moins complet et non continu, montre des phénomènes analogues.

avons interprétés comme des constructions madréporiques, bien qu'il nous ait été impossible d'y effectuer des prises d'échantillons.

La largeur de ces édifices varie de 0,4 à 4 km; sur les bords du synclinal, ils atteignent la surface, mais au centre ils s'arrêtent vers — 250 m.



Coupes transversales de la Mer Rouge. — Les profondeurs sont exagérées 5 fois. Le carton indique la position des coupes.

Quelle que soit la cause de la subsidence, elle semble avoir eu pour conséquence un brusque développement des édifices coralliens qui sont bien plus élevés au centre du synclinal et sur ses flancs que sur la pente non déprimée du plateau continental. Les coraux paraissent avoir cherché à atteindre la surface; s'ils y parviennent sur les bords du synclinal, ils ont été gagnés de vitesse dans l'axe de celui-ci où une fois la profondeur vitale dépassée, la mort des madréporaires a figé les pinacles.

Il semble que cette coupe apporte un argument en faveur de la subsidence (3) et de l'instabilité tectonique dans les facteurs de développement des récifs coralliens, quel qu'ait pu être l'effet d'une oscillation du niveau marin dû à la rétention des eaux par les glaces comme l'avait avancé Daly (4).

La stratigraphie, par voie déductive, a souvent invoqué de tels phénomènes dans les mers du passé. Elle fait appel au gauchissement et à l'affais-

(3) Ch. Darwin, *Les récifs de corail, leur structure et leur distribution*, 1876.
(4) *Amer. J. Sc.*, (4), 30, 1915.

sement de certaines portions des plate-formes occupées par les mers épicontinentales, pour y expliquer l'accumulation des sédiments (5). Et, par exemple, au Crétacé inférieur, le mécanisme qu'elle invoque pour rendre compte des puissantes formations récifales (calcaires urgoniens) dans les Chaînes subalpines et le Jura, c'est-à-dire sur la plate-forme qui dominait l'avant-fosse alpine, rappelle de façon frappante ce que nous observons actuellement en Mer Rouge.

PHYSIOLOGIE VÉGÉTALE. — *Variations quantitatives du phosphore total, du phosphore des acides ribo- et désoxyribo-nucléiques dans l'axe hypocotylé de* Phaseolus vulgaris *au cours de la germination normale, du jeûne glucidique après ablation des cotylédons et de la régénération cellulaire* (1). Note de MM. **Maurice Hocquette**, **Jean Montreuil** et **Serge Paul**, présentée par M. Roger Heim.

Maurice Hocquette et Victor Prudhomme ont précédemment décrit des aspects nucléaires dans l'axe hypocotylé de *Phaseolus vulgaris* L., soit pendant la germination normale, soit au cours du jeûne glucidique et des diverses étapes de la régénération cellulaire. Ils ont observé que les noyaux quiescents sont caractérisés, par rapport aux noyaux en interphase des méristèmes, par un enrichissement en substance chromatique, qui se manifeste par la formation des nucléoles et surtout d'amas chromatiques surnuméraires, et qui est en relation avec l'activité trophique des cellules. Ils ont constaté que le nombre de granulations et la masse de substance chromatique se trouvent réduits au minimum à la fin du jeûne glucidique et qu'ils deviennent relativement considérables pendant la croissance, sur un milieu saccharosé, au cours de la régénération cellulaire. Ils ont conclu que dans les axes hypocotylés issus de germination et dans ceux dont les cellules sont en régénération, l'accumulation de substance chromatique en granulations plus nombreuses que les chromocentres normaux marquerait l'hyperactivité de la synthèse protidique et pourrait correspondre à une localisation momentanée d'acide thymonucléique.

Nous avons effectué, par la méthode de W. C. Schneider modifiée pour être adaptée aux tissus végétaux, des analyses de phosphore total, de phosphore d'acide ribo- et d'acide désoxyribonucléique sur des axes hypocotylés aux mêmes stades de développement et placés dans les mêmes conditions que précédemment.

---

(5) M. Gignoux, *Géologie stratigraphique*, 5e édit., p. 4, fig. 1, 1950.

(1) Il est précisé que le « Phosphore total » correspond ici uniquement à l'ensemble du P des acides ribo- et désoxyribonucléiques (méthode de W. C. Schneider).

Chaque résultat d'analyse considéré se rapporte à 100 axes.

On constate d'abord que dans les axes hypocotylés isolés des embryons des graines, le phosphore de l'acide désoxyribonucléique représente le 1/15 environ du phosphore total et de celui de l'acide ribonucléique.

Dans les plantules produites en germination normale, cotylédons non détachés, sur eau distillée, les quantités de phosphore total des axes hypocotylés diminuent progressivement, mais très légèrement; elles ont baissé de 1/6 le 5e jour. Celles de l'acide désoxyribonucléique restent *constantes*, aux petites erreurs de dosage près.

Pour les axes hypocotylés séparés de la plantule, soumis au jeûne sur l'eau distillée pendant 7 jours, puis à une nutrition glucidique sur une solution de saccharose pendant 48 h et, enfin, placés de nouveau pendant 4 jours sur eau distillée, la quantité de phosphore total diminue comme précédemment d'une façon continue, mais beaucoup plus marquée (du tiers en 5 jours) et il ne reste, à la fin de l'expérience, que 1/8 du phosphore existant à l'origine. Cependant, au début de la nutrition glucidique (7e à 8e jour), la quantité de phosphore total semble se stabiliser momentanément. Le phosphore de l'acide ribonucléique subit des fluctuations parallèles à celles du phosphore total. Enfin, la quantité de phosphore de l'acide désoxyribonucléique reste *constante*, avec les mêmes réserves que précédemment.

Par conséquent, quelles que soient les conditions physiologiques envisagées où se trouvent placés les axes hypocotylés, le taux du phosphore total ou du phosphore de l'acide ribonucléique diminue régulièrement alors que celui de l'acide désoxyribonucléique se maintient à la même valeur. L'apport de glucides après le jeûne retarde seulement et provisoirement la diminution du taux du phosphore total et du phosphore ribonucléique.

Les résultats de ces analyses biochimiques font apparaître une consommation rapide de l'acide ribonucléique pendant le jeûne, une destruction de protides phosphorés vivants cytoplasmiques et nucléolaires.

Les phénomènes d'anabolisme et de catabolisme provoqués montrent la grande vulnérabilité de l'acide ribonucléique dans la dénutrition, mais aussi l'invulnérabilité de l'acide désoxyribonucléique. Ils montrent, d'autre part, le maintien du taux de cet acide en période de nutrition. La constance de ce taux en dépit des modifications du métabolisme apparaît ainsi comme un caractère cellulaire fondamental.

Mais si l'on compare ces résultats chimiques aux observations cytologiques, on est amené à opposer la stabilité de l'acide désoxyribonucléique aux phénomènes de lyse et de synthèse protidiques observés morphologiquement et cytologiquement : diminution ou augmentation du nombre et de la masse des amas chromatiques dans le noyau quiescent. En consé-

quence, il faudrait peut-être admettre que l'acide désoxyribonucléique, sans se transformer, interviendrait dans l'élaboration et participerait même momentanément à la constitution de la substance chromatique mise en évidence par les méthodes cytologiques et constituant des masses qui correspondent aux prochromosomes normaux, prochromosomes surnuméraires et globules chromatiques de tailles diverses.

PHYSIOLOGIE VÉGÉTALE. — *Recherches sur la croissance des plantes virosées.* II : *Influence des facteurs d'environnement.* Note de M. **Jean Pavillard**, présentée par M. Raoul Combes.

L'instauration du nanisme se fait en deux temps : un premier, spécifique de l'activité du virus, débute avec la première apparition des symptômes; le second est conditionné par les facteurs d'environnement.

Une Note précédente (1) a montré que, chez des Tomates infectées expérimentalement avec le virus de la Mosaïque du Tabac, *avant que la panachure typique soit décelable*, on enregistrait un ralentissement de la croissance accompagné d'une diminution sensible de la teneur en auxine. La durée de l'incubation et les symptômes étant fonction de la saison, l'âge des plantes lors de l'inoculation pouvant également intervenir (2), il importait de vérifier que dans des conditions expérimentales différentes on obtiendrait les mêmes résultats.

Suivant le mode opératoire décrit (1), j'ai réalisé quatre séries d'expériences avec des plantes issues du même lot de graines de Tomate « *Merveille des Marchés* » et le même stock de virus de la Mosaïque du Tabac :

1 (21 mars-24 avril 1952) : 6 feuilles étalées; inoculation 6e feuille;
2 (22 mars-24 avril 1952) : 3-4 » » » 3e »
3 (5 mai-22 juin 1952) : 7 » » » 7e » [*voir* (1)];
4 (16 juin- 6 juillet 1952) : 4 » » » 4e »

Les séries 1 et 2, *au début du printemps*, présentaient des réductions considérables des limbes néoformés avec production de « feuilles filiformes » (3) et mosaïque peu visible. En *début d'été*, les séries 3 et 4 n'ont montré qu'une faible réduction des surfaces assimilatrices avec, par contre, une panachure très accentuée.

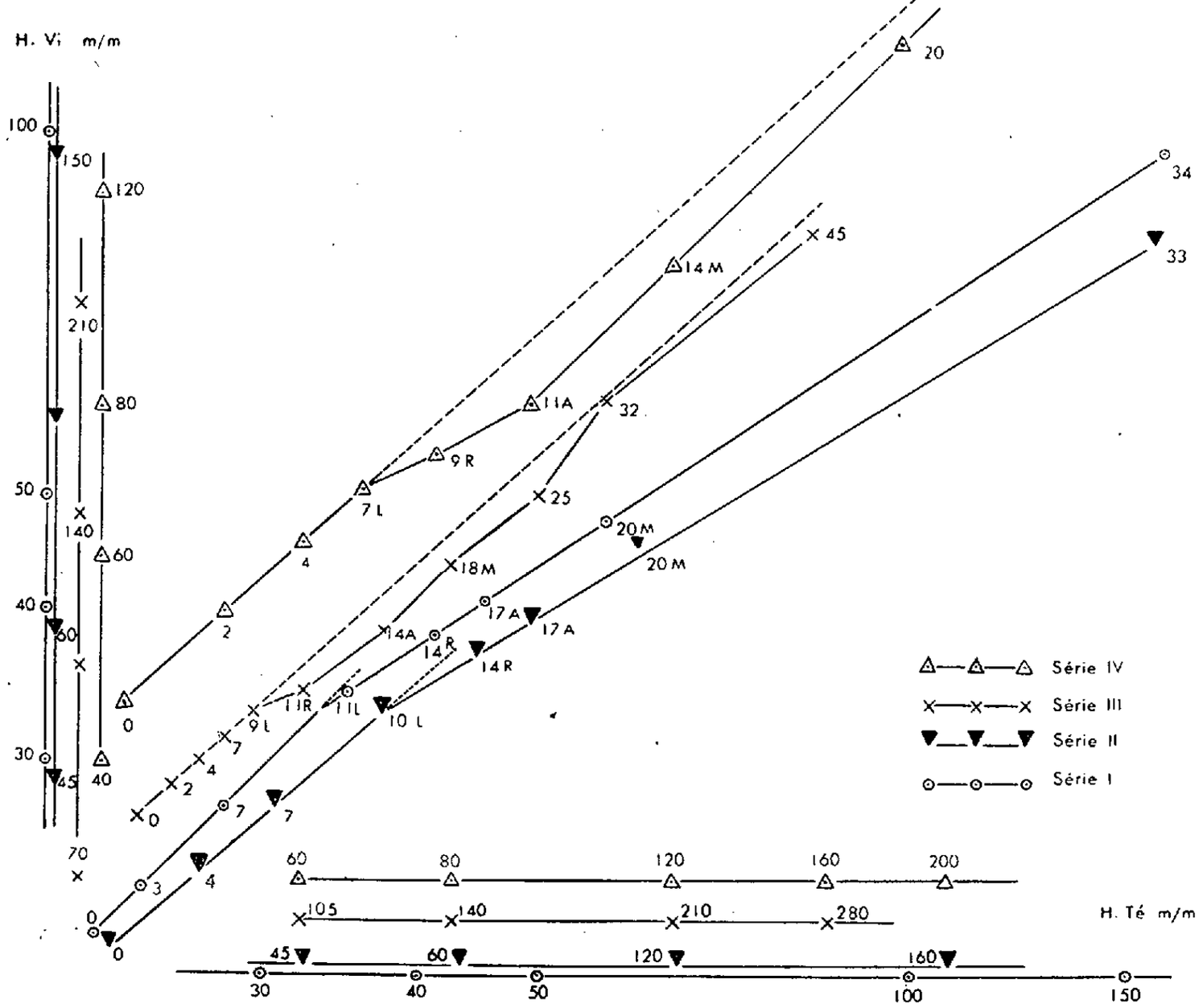
Dans les séries 1 et 2, la différence de taille entre plantes saines et plantes

(1) *Comptes rendus*, **235**, 1952, p. 87.

(2) G. Ainsworth, *Ann. Appl. Biol.*, **20**, 1953, p. 421-428; J. Caldwell, *ibid.*, **21**, 1934, p. 206-224.

(3) Heuberger et Norton, *Univ. Maryland. Agric. Exp. Sta. Bull.*, 345, 1933, p. 447-486.

virosées s'accroît constamment avec le temps; dans les séries 3 et 4, la différence de taille atteint rapidement une valeur maximum, les deux lots croissant ensuite parallèlement.



L : apparence légèrement anormale; R : premiers symptômes typiques = rugosité des jeunes feuilles; A : aggravation, malformations foliaires importantes au printemps; M : panachure mosaïque.

La figure réunit les courbes de croissance comparée, chaque courbe exprimant pour une série déterminée les variations du rapport *hauteur des plantes virosées/hauteur des témoins*, en coordonnées logarithmiques (4). On constate l'existence de *deux groupes* distincts :

a. Séries 1 et 2 : une *seule* rupture de pente en L, premier stade décelable de la maladie, montre qu'à ce moment la vitesse de croissance des plantes virosées change brusquement et définitivement de valeur.

b. Séries 3 et 4 : après un décrochement sensiblement parallèle à celui du premier groupe au même point L, une *restauration* s'effectue plus ou moins totalement en A; la croissance, ralentie à l'apparition des premiers symptômes, retrouve son rythme initial.

(4) Fardy, Schwartz et Cuzin, *Ann. Inst. Exp. Tabac Bergerac*, 1, 1950, p. 63-77.

On doit donc considérer, dans l'instauration du nanisme des plantes virosées, au moins deux phases :

1° *Une phase initiale* très précoce, correspond au moment où, le virus ayant achevé son expansion, les premiers symptômes apparaissent. La vitesse de croissance diminue sensiblement et de façon analogue dans toutes les séries *indépendamment des conditions expérimentales* et de l'âge des plantes inoculées.

2° Par la suite, *en fonction de la réduction de la surface assimilatrice* développée depuis le moment où le virus s'est installé dans le bourgeon terminal, on assiste soit à une *restauration* du rythme normal de croissance (*b*), soit à la persistance du rythme ralenti (*a*). *Cette deuxième phase du nanisme*, qui peut se confondre avec la continuation de la première phase (groupe *a*), est *entièrement conditionnée* par les *facteurs écologiques* tels que lumière et température qui régissent les modalités d'action des virus. Il n'est pas exclu de penser qu'en agissant convenablement sur ces facteurs on puisse, à volonté, passer d'un type de nanisme à l'autre.

CYTOLOGIE VÉGÉTALE. — *Fixation et coloration extemporanée du chondriome à l'aide d'un réactif à l'orcéine trichloracétique*. Note de M. **Guy Deysson**, présentée par M. René Souèges.

Un réactif à l'orcéine trichloracétique permet la coloration directe du chondriome, sans différenciation. Il peut être utilisé pour l'étude du chondriome des cellules méristématiques au moyen d'une technique par dissociation, aussi simple que les techniques d'étude des chromosomes à l'aide de solutions acétiques de colorants.

On connaît le succès des techniques rapides d'étude du noyau et de la mitose par dissociation des cellules, permettant, avec un minimum de manipulations, l'étude des chromosomes dans des cellules entières; ces techniques sont à l'origine de beaucoup de recherches modernes de cytologie expérimentale. Mais, tous les réactifs proposés (réactifs au carmin de Belling, à l'orcéine de La Cour, etc.) renferment une forte proportion d'acide acétique et bouleversent, par conséquent, la structure du cytoplasme, détruisant, en particulier, le chondriome. Pour l'étude de celui-ci, on était donc obligé de continuer à utiliser des techniques longues et ne présentant pas une sécurité absolue (techniques de Regaud, d'Altmann, etc.).

Cherchant à réaliser la fixation et la coloration du chondriome dans des conditions comparables à celles qui permettent l'étude des chromosomes, nous avons pu obtenir des résultats satisfaisants en utilisant l'acide trichloracétique. Les recherches de Mascré (1) ont établi, en effet, qu'une

(1) M. Mascré, *Comptes rendus*, 185, 1927, p. 866 et 188, 1929, p. 811.

solution d'acide trichloracétique à 2 %, employée en même temps que le formol, permet une bonne fixation des chondriosomes, bien que le pH de cette solution soit très acide.

1. Un réactif préparé en dissolvant, par trituration au mortier, 1 % d'orcéine dans une solution d'acide trichloracétique à 20 %, permet, très facilement, de mettre en évidence le chondriome qui, fixant fortement l'orcéine, apparaît presque coloré en noir. La coloration peut être effectuée rapidement, en chauffant modérément; nous avons obtenu aussi d'excellents résultats à froid : dans ce cas, le chondriome, déjà visible après 2 h de coloration, est particulièrement net après 24 h. Bien que nous ajoutions à notre réactif, au moment de l'emploi, 1/10e d'acide chlorhydrique N, la dissociation des cellules est moins aisée qu'avec l'orcéine acétique; elle permet cependant d'obtenir, dans de nombreuses régions de la préparation, un étalement d'épaisseur unicellulaire. Un autre réactif, préparé avec une solution d'acide trichloracétique à 5 %, nous a donné de moins bons résultats.

2. Le réactif précédent, s'il colore parfaitement le chondriome, a l'inconvénient d'altérer le cytoplasme qui apparaît granuleux et assez sombre. Nous avons essayé d'y remédier par une fixation préalable et nous avons obtenu de bons résultats avec le formol neutralisé. La coloration du chondriome est alors identique, mais l'aspect général de la préparation est nettement meilleur : le cytoplasme est moins foncé, moins grossièrement coagulé; les contours du noyau sont beaucoup plus nets et les mitoses sont facilement reconnaissables. La solution officinale de formol doit être utilisée diluée (de 20 à 5 %); un contact de 30 mn est suffisant, mais il peut être prolongé sans inconvénient jusqu'à 24 h. Nous avons aussi obtenu des résultats très satisfaisants avec une solution saturée de chlorure mercurique qui, d'après les travaux récents de Policard, Bessis et Bricka (2), serait un des meilleurs fixateurs du cytoplasme. Enfin, on peut pratiquer également la coloration à l'orcéine trichloracétique après action de fixateurs complexes, par exemple, après fixation de 30 mn dans le mélange 2BE de La Cour (3).

3. Les techniques précédentes, établies sur les méristèmes radiculaires d'*Allium Cepa* L., ont été essayées sur l'Orge, le Chanvre, le Sarrasin, le Lupin, la Lentille, le Pois, le Carthame; dans tous les cas, les colorations ont permis d'observer de nombreux chondriocontes, aussi bien pendant les différents stades de la mitose que dans les cellules en intercinèse. L'orcéine trichloracétique est également utilisable pour la colora-

(2) A. Policard, M. Bessis et M. Bricka, *Bull. Microsc. appl.*, 2, 1952, p. 29.

(3) L. La Cour, *Bot. Rev.*, 3, 1937, New-York, p. 241.

tion sur lames de coupes de méristèmes fixés au formol, mais nous n'avons réussi, jusqu'à présent, à conserver cette coloration qu'en milieu aqueux.

Conclusions. — Il est possible d'étudier le chondriome des méristèmes radiculaires sans effectuer de coupes, de la manière suivante : les extrémités des racines sont fixées pendant 30 mn dans une solution de formol neutralisée diluée à 5 %, ou dans une solution saturée de chlorure mercurique, puis colorées, de préférence à froid, pendant 24 h, dans une petite capsule contenant 1 ml d'orcéine trichloracétique additionnée, au moment de l'emploi, de 0,1 ml de ClH normal. Les méristèmes sont ensuite dissociés entre lame et lamelle dans une goutte de colorant; les préparations, lutées à l'aide du lut de Rondeau du Noyer (colophane 20, lanoline 80) se conservent pendant plusieurs semaines. Nous pensons que, si elle n'est pas destinée à remplacer la méthode de Regaud pour l'étude cytologique fine du chondriome, cette technique pourra rendre de grands services en cytologie expérimentale; elle a l'avantage d'être très simple, rapide et très fidèle.

PALÉOBOTANIQUE. — *La flore interglaciaire à* Rhododendron ponticum *L. de Barraux dans la vallée de l'Isère, entre Grenoble et Chambéry.* Note de MM. **Georges Depape** et **Franck Bourdier**, présentée par M. Roger Heim.

Depuis le lac du Bourget jusqu'à la région de Chapareillan, où la cluse de Chambéry rejoint l'Isère, des banquettes de graviers fluviatiles pouvant atteindre 50 à 60 m d'épaisseur bordent les flancs des vallées.

Ces graviers, inclus entre deux dépôts morainiques, contiennent des charbons feuilletés (tourbes comprimées) dont l'analyse pollinique, faite par MM. Gourc et Lemée, d'après nos échantillons, confirme les données de la stratigraphie. En effet, dans les couches supérieures et inférieures, proches des sédiments glaciaires, apparaît une flore pauvre en espèces sylvatiques, où le pin domine, flore comparable à celle bien connue de la dernière période glaciaire.

Entre les deux couches « froides », des bancs intermédiaires témoignent d'une flore plus variée et certainement plus tempérée, avec l'Aulne, le Chêne, le Tilleul, le Noisetier et le Charme. Cependant, par leur diagramme pollinique, ces couches « tempérées » correspondent aux tourbes qui, dans le massif de Belledonne, sont à une altitude de 5 à 600 m plus élevée (1). La question se pose de savoir si les charbons feuilletés correspondent à un interstade wurmien selon l'interprétation ancienne de Penck (2) où s'ils

(1) G. Lemée, *Trav. Lab. Géol. Univ. Grenoble*, **29**, 1951, p. 165-180; J. Becker, *Comptes rendus*, **228**, 1949, p. 762.

(2) *Trav. Lab. Géol. Univ. Grenoble*, 7, 1907, p. 208.

représentent, selon l'interprétation adoptée par l'un de nous, une formation interglaciaire Riss-Würm (3).

Le Buis, cité en faveur de l'âge interglaciaire des charbons, d'après des empreintes foliaires, n'a jamais été retrouvé dans les analyses polliniques qu'il faut donc compléter par l'étude de documents macroscopiques.

Or, l'un de nous (F. B.), a découvert en 1937 un gisement de feuilles et de fructifications bien conservées, dans le ravin du Furet, au pied du fort de Barraux, dans la vallée de l'Isère, à 5 km en aval de Chapareillan, Les empreintes sont contenues dans une lentille de limon fluviatile interstratifiée dans une nappe de galets roulés. Cette nappe repose sur un dépôt glaciaire typique et elle est ravinée par les moraines du dernier glacier venu dans la vallée.

Les empreintes, étudiées par l'un de nous (G. D.), sommairement en 1939, et de façon plus détaillée maintenant. se rapportent aux espèces suivantes :

Abies pectinata D. C., feuilles et bractées de cône.
Carpinus Betulus L., feuilles.
Alnus incana D. C.; *A. glutinosa* Gaertn.; *A. viridis* D. C., feuilles et fructifications.
Betula sp., fructifications.
Buxus sempervirens L., feuilles.
Acer sp. cf. *pseudoplatanus* L., samare et feuilles.
Tilia sp. cf. *sylvestris* Desf., bractée florale.
Rhododendron ponticum L., feuille.

La flore de Barraux montre indiscutablement la présence du Buis et révèle, pour la première fois en France, l'existence de *Rhododendron ponticum* L. Cette espèce ne se rencontre actuellement que dans des stations très disjointes (nord de l'Asie Mineure, Balkans, sud de l'Espagne et du Portugal).

Les Aulnes et le Charme ont laissé les débris les plus abondants; viennent ensuite le Sapin et le Buis. L'ensemble indique un climat comparable à l'actuel, mais sans doute plus humide, si l'on se réfère aux conditions optimum que demandent le Sapin, les Aulnes, le Charme, le Sycomore, le Tilleul, *Rhododendron ponticum* et le Buis lui-même; de celui-ci, Lenoble et Broyer ont précisé les exigences de sol, de température et d'humidité; le Buis est moins thermophile et xérophile que l'on ne l'admet généralement (4). De son côté, *Rhododendron ponticum* a son optimum de développement à l'Est de la Mer Noire où la moyenne annuelle de pluies atteint 2 356 mm.

---

(3) F. Bourdier, *Études Rhodaniennes*, 15, 1939, p. 101.
(4) *Bull. Soc. Bot. de France*, **92**, 1946, p. 118-131.

L'extension de *Rhododendron ponticum*, avant la dernière glaciation, avait été beaucoup plus grande en Europe. On le connaît dans les dépôts interglaciaires du versant italien des Alpes, à Pianico-Sellere, où il est associé à une faune à *Rhinoceros Mercki*. En Autriche, la célèbre brèche de Hötting près d'Innsbrück, interstratifiée entre deux moraines, contient le *Rhododendron ponticum* associé au buis; elle a été datée, selon les auteurs, du Mindel-Riss ou du Riss-Würm, voire même d'un peu vraisemblable « interstade aurignacien » inter-Würm.

En Suisse, à notre connaissance, le *Rhododendron ponticum* n'a jamais été signalé; mais la très riche flore des charbons feuilletés, où la plupart des espèces de Barraux se retrouvent, indique un climat tempéré. L'*Elephas antiquus* et le *Rhinoceros Mercki*, disparus de France au début du dernier âge du Renne, découverts dans les charbons feuilletés de la Suisse, permettent de dater ceux-ci, et par analogie nos lignites, du dernier interglaciaire.

En conclusion, les charbons feuilletés et les sédiments qui leur sont associés, en Suisse et dans les Alpes françaises, apparaissent comme des formations franchement interglaciaires d'après la flore, la faune et la stratigraphie. Les données de la flore ne permettent pas d'affirmer que le climat était alors plus chaud que l'actuel. Était-il plus continental ou plus océanique ? Certaines analyses polliniques, d'après Lüdi, semblent en faveur d'un climat continental; par contre, l'étude macroscopique des végétaux, soit par Gams ([5]), soit par nous-mêmes, ferait admettre, du moins pour la période optimum de cet interglaciaire, un climat plutôt océanique.

PALÉOBOTANIQUE. — *Sur la signification des structures généralisées chez les Coniférales et la valeur des Protopinacées en tant que groupe*. Note de M. **Louis Grambast**, présentée par M. Roger Heim.

Nous avons eu l'occasion de trouver un bois de *Juniperoxylon* de l'Éocène inférieur du Bassin de Paris dont les ponctuations des trachéides, disposées fréquemment en groupes étoilés ou suivant le mode bisérié opposé écrasé, correspondent au type « généralisé », intermédiaire entre le type araucarioïde écrasé alterné, généralement plurisérié, et le type abiétoïde espacé bisérié opposé.

D'après R. Kräusel, de telles structures caractérisent les bois du groupe des Protopinacées. Pour cet auteur, celles-ci sont toutes d'âge mésozoïque, presque uniquement jurassique et crétacé et « représentent précisément, d'après leur structure anatomique et leur apparition dans le temps, un groupe unique et particulier qui, par conséquent, a une signification importante pour l'histoire des Conifères » ([1]).

([5]) *in* A. Jeannet, *Beitr. z. geol. der Schweiz, Geotechn.*, sér., 7, 1923, p. 331-352.

([1]) *Palæontographica*, 89, B, 1949, p. 102, Stuttgart.

On peut citer d'autres exemples de bois à structure de Protopinacée ne provenant pas du Jurassique ou du Crétacé. Ainsi on ne peut nier que le bois secondaire des Pityacées, de *Callixylon* (Dévonien inférieur) surtout, ne corresponde à la définition, vague d'ailleurs, des structures généralisées. Cette correspondance devient encore plus étroite pour de nombreux genres de Pityacées du Permo-Trias des territoires de Gondwana. Le *Cedroxylon varollense* Renault du Permien inférieur d'Autun se rapproche de certaines formes considérées comme des Protopinacées typiques. De même, le *Cedroxylon salisburioides* du Miocène de Silésie décrit par Kräusel lui-même, qui le considère comme une forme pathologique, présente une structure du type généralisé. De telles dispositions existent chez certains Conifères actuels. I. W. Bailey (²) les a mises en évidence chez les Pinacées (*Cedrus*, *Keteleeria*). Elles sont encore plus fréquentes chez les Podocarpacées (*Dacrydium*, *Acmopyle*, *Podocarpus*) et surtout chez *Saxegothæa*.

Si les Coniférales actuelles dérivent, comme on l'admet, d'ancêtres qui au Paléozoïque ont présenté très généralement une disposition plus ou moins araucarioïde, elles ont dû, avant d'arriver à la structure moderne que l'on trouve réalisée dans presque tous les bois tertiaires, traverser un état intermédiaire généralisé, et cette évolution semble s'être nécessairement déroulée principalement au Mésozoïque pour la plupart des lignées. Cette structure généralisée, pas plus que la répartition dans le temps, ne peut donc permettre de considérer les Protopinacées comme un groupe systématique défini et homogène.

En outre, le fait qu'à une même période on observe côte à côte des bois à structure généralisée et des bois du type moderne ne peut être impliqué comme preuve de l'indépendance des Protopinacées. Il est très évidemment possible qu'à un moment déterminé deux lignées distinctes se trouvent à des degrés d'évolution différents et, de même, que dans une seule lignée certains rameaux soient restés à un état d'évolution inférieur à d'autres. Bien plus, un même individu présentant des parties conservatrices et d'autres évoluées peut fournir des échantillons de bois des deux types. C'est le cas actuellement pour *Cedrus*.

On ne peut donc voir dans les structures généralisées que le témoignage d'un stade d'évolution des Coniférales, certaines formes actuelles conservant des traces de cet état ancien. Les Protopinacées, caractérisées par ces structures, n'appartiennent pas à un groupe phylogénétique spécial et homogène, mais constituent un groupe horizontal, comme chez les Angiospermes les Homoxylées. On doit donc les considérer, comme

(²) *Ann. Bot.*, 47, 1933, p. 145-158, London.

Gothan (3) l'a fait dès qu'il les eut découvertes, comme des « formes de transition ».

En conclusion, on peut dire que si les Protopinacées ont bien une extrême importance dans l'histoire des Coniférales, c'est non pas comme groupe particulier, mais comme ensemble hétérogène correspondant à un stade d'évolution qui renferme, à côté de formes éteintes sans descendance, les souches des Coniférales actuelles.

PHYSIOLOGIE. — *Action des ultrasons de haute fréquence sur le système nerveux.* Note (*) de MM. **René-Guy Busnel, Jovan Gligorijevic, Paul Chauchard** et Mme **Henriette Mazoué**, présentée par M. Robert Courrier.

L'emploi des ultrasons en thérapeutique se répand de plus en plus, alors que la connaissance de leur mode d'action sur l'organisme est encore limitée (1). Il a paru intéressant de rechercher par la chronaximétrie la sensibilité du système nerveux aux ultrasons de haute fréquence.

Techniques. — Sur le Rat normal ou anesthésié, la Grenouille intacte ou à centres détruits, nous avons mesuré par la technique habituelle les chronaxies motrices périphériques d'extension et de flexion des orteils ou des doigts, en excitation percutanée, avant et après application des ultrasons soit au point de mesure, soit à distance sur la peau, le trajet du sciatique ou les centres (moelle et cerveau).

On a utilisé un générateur d'ultrasons de 1 MHz et dont la tête vibrante en forme de tronc de cône avait une surface d'émission de 0,45 cm². Pour déterminer certains seuils d'action, nous avons réduit cette surface à 0,11 cm². La puissance effectivement dissipée sur ces surfaces, mesurée par la méthode calorimétrique, pouvait varier de 0,18 à 14,5 W/cm². Les ultrasons ont été appliqués sur la peau épilée soit dans l'air avec un couplage d'huile de paraffine, soit dans l'eau, l'organe traité baignant dans une cuve à la température de l'animal; dans quelques cas l'application a été faite directement sur le nerf où la moelle mis à nu, le facteur de couplage étant du sérum physiologique.

Résultats. — 1° *Effet direct.* — L'application des ultrasons à doses faibles au point de mesure, que l'animal soit éveillé ou non, les centres intacts ou détruits, le nerf séparé des centres par section ou normal, provoque toujours une diminution de chronaxie, signe d'excitation latente, ne s'accompagnant en général d'aucun signe clinique. La sensibilité est grande : chez le Rat, en application percutanée, le seuil est obtenu pour 1,29 W/cm² pendant 10 à 15 s, chez la Grenouille sur le sciatique à nu, le seuil est de 0,18 W/cm² pendant 3,5 s. La variation de chronaxie, faible et peu durable au seuil, atteint rapi-

(3) *K. Svenska Vet. Akad. Handl.*, 42, n° 10, 1907, p. 27, Stockholm.

(*) Séance du 10 novembre 1952.

(1) R. G. Busnel, *Traité de Pathologie chimique*, Masson, 1952.

dement, quand on augmente la dose, une valeur et une durée caractéristiques; sur le Rat, les chiffres normaux de 20-40 (en capacités chronaxiques mμF) tombent à 10-12, le retour à la normale demandant 15 à 20 mn. Pour des doses plus fortes, amplitude et durée augmentent, mais tendent vers un maximum qui n'est pas dépassé. L'augmentation du temps d'application agit dans le même sens, mais de façon moindre que celle de la puissance.

2° *Effet réflexe*. — La même variation de chronaxie avec le même seuil est obtenue si l'application des ultrasons est faite à distance du point de mesure sur le trajet des fibres sensitives correspondantes : par exemple sur la plante du pied ou à la partie haute de la cuisse, en regard du sciatique, les mesures étant faites au voisinage du genou. Mais alors la section du nerf en amont supprime le phénomène; celui-ci dépendait donc d'une excitation réflexe des fibres sensitives, mettant en jeu, au niveau de la moelle, la régulation de subordination des chronaxies motrices

Ce processus réflexe se manifeste également sur le Rat anesthésié. Il est de même ordre que la métachronose obtenue par L. et M. Lapicque et V. Bonnet par stimulation des nerfs centripètes ([2]).

Au voisinage du seuil, le changement de chronaxie ne porte que sur la patte traitée; pour des doses plus grandes, une action identique est obtenue sur les chronaxies motrices de la patte opposée.

3° *Action sur la moelle*. — Les centres médullaires peuvent aussi manifester leur sensibilité propre : si l'application est faite sur la moelle soit à travers peau et vertèbre, soit à nu, on obtient la même métachronose motrice de subordination, disparaissant après section, mais subsistant sous anesthésie ou après séparation des centres supérieurs. Le phénomène se manifeste également sur les deux côtés. Le seuil est plus bas que pour les nerfs; l'amplitude de la métachronose étant alors maxima (6 mμF); on l'obtient pour la moelle à nu avec 0,18 W/cm^2 $\times$ 15 s (Rat) et 0,18 W/cm^2 $\times$ 10 s (Grenouille). Si l'application a lieu au niveau des origines du sciatique, les pattes antérieures ne sont pas touchées; si elle est faite au niveau de la ceinture scapulaire, le phénomène y prédomine, mais il se manifeste plus faiblement sur les pattes postérieures. Dans les points intermédiaires l'effet augmente sur le membre dont on se rapproche. La galvanisation médullaire ([3]) n'a pas une telle électivité d'action.

4° *Action sur l'encéphale*. — L'application des ultrasons sur le haut du crâne provoque la même métachronose de subordination mais généralisée à toutes les pattes et disparaissant non seulement par section de nerfs ou de la moelle, mais aussi par l'anesthésie. Le seuil (Rat) est de 3 W/cm^2 $\times$ 20 s. Il s'agit ici d'une mise en jeu du centre mésencéphalique de la subordination.

([2]) L. et M. Lapicque et V. Bonnet, *Ann. Physiol.*, **11**, 1935. p. 987.

([3]) P. Chauchard, *Revue Scientifique*, **83**, 1945, p. 89.

On peut donc conclure que le système nerveux (tant les nerfs moteurs que sensitifs, les centres médullaires et encéphaliques), montre une grande sensibilité vis-à-vis des ultrasons ; les modifications fonctionnelles mises en évidence, pour des doses d'ultrasons qui ne produisent apparemment aucune lésion, peuvent entrer en jeu pour l'explication des effets thérapeutiques.

PHYSIOLOGIE. — *L'enzyme catalysant l'oxygénation de l'hémoglobine.* Note de M. **J. André Thomas** et Mme **Annette Alfsen-Blanc**, présentée par M. Pierre-P. Grassé.

Le facteur enzymatique, d'origine pulmonaire, qui catalyse la fixation de l'oxygène sur l'hémoglobine a été relativement purifié et lyophilisé. Son activité est encore notable après un mois. Il s'agit vraisemblablement d'un enzyme agissant sur la globine et comportant peut-être un métal actif. Nous proposons, à titre provisoire, de le nommer *globine-oxydase*.

Le facteur enzymatique qui intervient dans la fixation de l'oxygène sur l'hémoglobine (1) a été obtenu soit à partir du parenchyme pulmonaire, soit du myocarde de Vache, avec la fraction succinodéshydrogénase. Il s'inactivait en quatre jours.

De cette fraction, nous avons isolé une part qui, ajoutée *in vitro* à du sang jugulaire de Cheval, en augmente la saturation en oxygène, par rapport au sang témoin, dans les mêmes conditions de faible oxygénation par barbotage d'oxygène.

1° A un stade de purification peu poussée des extraits agissant sur l'oxygénation de l'hémoglobine, l'activité de l'extrait pulmonaire est légèrement supérieure à celle de l'extrait cardiaque (tableau I). De même, l'inactivation naturelle de l'extrait pulmonaire est un peu moins rapide (une dizaine de jours : 3, 14, 3, 13, 3, 14, 2, 92, 2, 90, 2, 51, 2, 12, 1, 60, 1, 37, 1, 25) que celle de l'extrait cardiaque (une huitaine de jours). Les courbes d'inactivation confirment la nature enzymatique du produit actif.

2° Nous avons préparé des extraits pulmonaires relativement purifiés, obtenus à l'état sec par lyophilisation et conservés sous vide. Ils sont dissous (0,025 g) dans 2 cm^3^ d'eau distillée pour 10 cm^3^ de sang veineux. A cette dose, leur action est équivalente à celle de 0,5 g (poids sec) d'extrait peu purifié (tableau II). L'activité de l'extrait lyophilisé soluble est encore notable après un mois (1er jour : 3, 13 ; 7e jour : 3, 11 ; 26e jour : 2, 60 et 33e jour : 2, 33).

(1) J. André Thomas et Annette Blanc, *Comptes rendus*, **234**, 1952, p. 992 et **235**, 1952, p. 318.

Tableau I.

Prépa.	Sg. T.	Sg + C.	Sg + P.	Aug. O_2 (P—T).
1.....	17,31	20,01	20,26	2,95
	17,34	19,75	20,20	2,86
	16,30	17,54	18,32	2,02
2.....	15,59	17,52	18,06	2,53
	14,47	17,01	17,45	2,98
	14,22	15,96	16,29	2,07
3.....	17,50	19,62	20,03	2,47
	12,28	14,72	15,59	3,31
	12,30	15,33	15,71	3,41
4.....	16,08	19,27	19,54	3,46
	16,20	17,58	18,56	2,36
5.....	13,52	16,38	16,53	3,01
	13,46	16,12	16,42	2,96
	11,20	12,84	13,62	2,42
6.....	—	—	—	—
	—	—	—	—

Tableau II.

Sg. T.	Sg + P ly.	Aug. O_2 (P. ly-T).
13,56	15,92	2,36
13,58	15,96	2,38
12,34	16,30	2,96
11,91	14,12	2,21
11,74	14,77	3,03
11,70	14,80	3,10
12,95	16,75	3,80
12,90	16,02	2,12
11,03	14,01	2,98
11,05	14,36	3,31
11,02	14,25	3,23
14,05	16,89	2,84
11,07	14,12	3.05
16,03	18,44	2,41
11,03	13,58	2,55
13,38	16,01	2,63

Augmentation de la quantité de O_2 (méthode de Van Slyke), fixée par divers sangs veineux héparinés de Cheval (Sg. T.), en présence de différents extraits cardiaque (C) et pulmonaire (P) [0,5 g env. poids sec. pour 10 cm³ de sang) et d'extraits pulmonaires assez purifiés lyophilisés (P. ly) (0,025 g pour 10 cm³)].

3° Tous les résultats sont obtenus avec du sang hépariné. Sur du sang citraté, l'enzyme est inactif : les ions Ca^{++} sont indispensables à son activité. L'extrait est inactivé à la température de 56° pendant 30 mn environ. Il donne la réaction du biuret. Enfin, il contient d'après les analyses spectrographiques préliminaires Fe et Cu en faibles quantités, et quelques autres métaux qui nous paraissent des impuretés. Le fer peut provenir surtout du sang résiduel du poumon servant à la préparation, la présence du cuivre, si elle se confirme, pourrait être significative : il est possible que l'enzyme soit une oxydase ayant un métal actif.

Discussion. — *a.* L'enzyme catalysant la fixation de O_2 sur l'hémoglobine est proche de la succinodéshydrogénase, fraction dont nous sommes partis : comme celle-ci, il est activé par les ions Ca^{++}, inhibé par le coenzyme I (diphosphopyridine nucléotide) et, sur des coupes de poumon, c'est l'addition de succinate qui provoque l'augmentation d'absorption de O_2 la plus importante (²). Enfin, la succinodéshydrogénase, la lacticodéshydrogénase et

(²) E. S. Guzmann Baron, Z. B. Miller et G. R. Barklett, *J. Biol. Chem.*, 171, 1937, p. 791-800.

l'aldéhyde déshydrogénase redonneraient à l'hémoglobine la capacité d'activer l'oxygène (3).

b. Cependant, la présence possible d'un métal dans l'enzyme actif le différencierait de la succinodéshydrogénase. Cet enzyme agirait sur l'hémoglobine du sang lorsqu'il passe dans les capillaires pulmonaires. L'hémoglobine réduite au niveau des tissus deviendrait inapte à fixer l'oxygène, ce qui expliquerait la difficulté croissante d'une oxygénation du sang hors du circuit pulmonaire. D'ailleurs, un profond changement structural est observé lors de la transformation de l'hémoglobine en oxyhémoglobine (4), et il existerait plusieurs constituants de l'hémoglobine ayant des affinités différentes pour l'oxygène et dus à des variations de la fraction protéique de la molécule (5).

c. Il nous semble donc que cet enzyme modifie la structure de la globine et pour cette raison nous lui donnerons à titre provisoire le nom de : *globine-oxydase*. Son rôle serait à rapprocher, dans le globule rouge, de celui de l'acide carbonique-anhydrase qui intervient dans l'élimination du gaz carbonique, sans être cependant la voie unique pour celle-ci. Les variations physiologiques d'affinité de l'hémoglobine pour l'oxygène pourraient être en partie expliquées par les conditions d'action de la globine-oxydase.

Il semble qu'il faille admettre, en plus des mécanismes classiques de fixation de l'oxygène sur l'hémoglobine, l'intervention de la globine oxydase.

HISTOLOGIE. — *Particularités histologiques des centres leucopoiétiques thoraciques chez quelques Lépidoptères*. Note de Mlle **Lucie Arvy**, présentée par M. Louis Fage.

L'examen histologique des stades larvaires chez cinq espèces de Lépidoptères fait apparaître deux paires d'organes leucopoiétiques juxta-alaires, méso et métathoraciques. Ces centres subissent une dissociation chez la chrysalide, et l'imago n'en présente plus de trace.

Les traités actuels d'entomologie ne comportent que peu de données sur l'origine des leucocytes du sang circulant. La plupart des auteurs admettent que ces cellules se forment à partir du corps adipeux ou d'amas cellulaires situés près du cœur, à partir de l'hypoderme ou de « cordons endodermiques » (Snodgrass, 1935) (1). Weber (1951) (2) admet que des foyers mésodermiques leucopoiétiques peuvent persister, dans certains cas,

(3) K. Yamafuji, M. Fujii et T. Tomita, *Biochem. Z.*, 315, 1943, p. 419-428.

(4) M. F. Perutz, *IIe Congrès Intern. Biochim.*, 1952, *Symp. biochim. hématopoïèse*, p. 101-106.

(5) W. Paul et F. J. W. Roughton, *J. Physiol.*, 113, 1951, p. 23-25.

(1) *Principles of insect morphology*, Mc Graw-Hill, London, 1935.

(2) *Grundriss der Insektenkunde*, Fischer, Iéna, 1951.

au cours du développement post-embryonnaire, mais ne fournit aucune indication sur la position et la structure de ces foyers. Schæffer (1889) (3) a pourtant décrit chez la chenille moyennement évoluée d'*Hyponomeuta evonymella* quatre lobes de tissu adipeux, situés au voisinage des disques alaires et caractérisés par une structure particulière; leurs cellules sont plus petites que les adipocytes typiques et elles ne contiennent pas d'enclaves lipidiques. Cet auteur pense qu'il s'agit d'amas formateurs de cellules sanguines et que le « tissu nutritif », signalé au voisinage des disques alaires par Pancritius (1884) (4), chez *Smerinthus populi*, pourraient avoir la même signification. Hufnagel (1918) (5) retrouve chez *Hyponomeuta padella* les amas sanguiformateurs signalés par Schæffer et les considère comme « un corps gras jeune, dont les éléments se différencieront par la suite ». Ces observations faites après mise en œuvre de techniques rudimentaires n'ont pas été retenues. Aussi il me paraît opportun de rapporter les constatations relatives à la structure des centres leucopoiétiques thoraciques chez cinq espèces de Lépidoptères.

Mon étude a porté sur les divers stades du développement post-embryonnaire, chez *Malacosoma neustria* L, *Ephestia kuhniella* Zell., *Hyponomeuta padella* L, *Thaumetopoea processionæ* L. et *Bombyx mori* L. Les centres leucopoiétiques thoraciques sont identifiables dès le premier stade larvaire; il existe quatre amas, situés un peu en arrière du spiracle prothoracique, au niveau de l'hypoderme pleural du méso et métathorax et au voisinage immédiat du champ trachéifère alaire. Les rapports anatomiques de ces amas permettent de classer les Lépidoptères étudiés en deux groupes; en effet, ces amas sont accolés au corps adipeux chez *Hyponomeuta* et *Ephestia* et ils engainent les disques alaires chez les trois autres espèces. L'amas mésothoracique est toujours plus volumineux que le métathoracique.

Chez la larve jeune, chaque amas est formé d'une seule catégorie cellulaire; il s'agit d'éléments assez petits (6 à 8 μ de diamètre), ronds ou ovalaires, le plus souvent déformés par pression réciproque. Le noyau de ces éléments est relativement gros, clair et nucléolé. Le cytoplasme très riche en ribonucléines pyroninophiles est parfaitement homogène. La présence d'une capsule et d'un réticulum fibrillaire intercellulaire, colorables par le bleu d'aniline et le vert solide, démontrent qu'il s'agit bien d'un organe et non d'une accumulation transitoire de leucocytes hyalins. Le réticulum fibrillaire et de très nombreuses trachéoles divisent l'organe leucopoiétique

---

(3) *Zool. Jahrb. Anat.*, 3, 1889, p. 626-650.

(4) *Contribution à la connaissance du développement des ailes chez les insectes* (*Thèse*, Konigsberg, 1884), cité par SCHÄFFER.

(5) *Arch. Zool. exp. gén.*, 57, 1918, p. 47 à 202.

en lobules. Les mitoses sont nombreuses. L'organe augmente progressivement de taille au cours des stades larvaires et à partir du troisième stade les organes leucopoiétiques sont à la fois des centres de multiplication et de différenciation cellulaire; les techniques hématologiques permettent de mettre en évidence tous les stades de la différenciation leucocytaire, depuis le leucoblaste jusqu'au granulocyte éosinophile. La capsule présente des solutions de continuité au niveau desquelles les leucocytes passent dans le sang circulant.

La libération des leucocytes atteint un maximum chez la chrysalide. Elle s'accompagne d'une véritable dissociation de l'organe leucopoiétique dont j'ai pu suivre les étapes avec une netteté particulière chez des chrysalides de *Bombyx mori*, parfaitement fixées, qui m'ont été procurées par M. J. J. Bounhiol.

Toute trace des organes leucopoiétiques thoraciques larvaires a disparu chez l'imago.

CYTOLOGIE. — *Les cellules nerveuses de* Grantia compressa pennigera Haeckel (*Éponge calcaire Hétérocœle*). Note (*) de Mlle **Odette Tuzet** et M. **Max Pavans de Ceccatty**, présentée par M. Pierre-P. Grassé.

Dans une première Note (Tuzet, Loubatières et Pavans de Ceccatty, 1952) (1), nous avions décrit dans le mésenchyme de *Sycon raphanus* des cellules nerveuses bipolaires ou multipolaires. Elles étaient bien caractérisées par leur argentophilie et la présence de corps de Nissl dans le protoplasme.

Chez *Grantia compressa*, l'étude des cellules nerveuses du mésenchyme est plus difficile que chez *Sycon raphanus*, à cause de la faible densité du mésenchyme. On le trouve seulement en plages étroites en bordure de l'atrium, à la périphérie de l'Éponge ou entre les corbeilles.

On peut cependant observer des éléments nerveux du « type classique » exactement semblables à ceux déjà vus chez *Sycon raphanus*, en particulier des cellules fusiformes ou multipolaires à corps de Nissl et noyau peu volumineux. Les prolongements fibrillaires mettent en rapport les corbeilles entre elles, et vont ainsi des choanocytes d'une corbeille à ceux d'une autre corbeille (*fig.* 1). Les prolongements des cellules nerveuses peuvent ainsi relier les corbeilles à la paroi externe ou à celle de l'atrium, joignant alors des choanocytes à des pinacocytes (*fig.* 2).

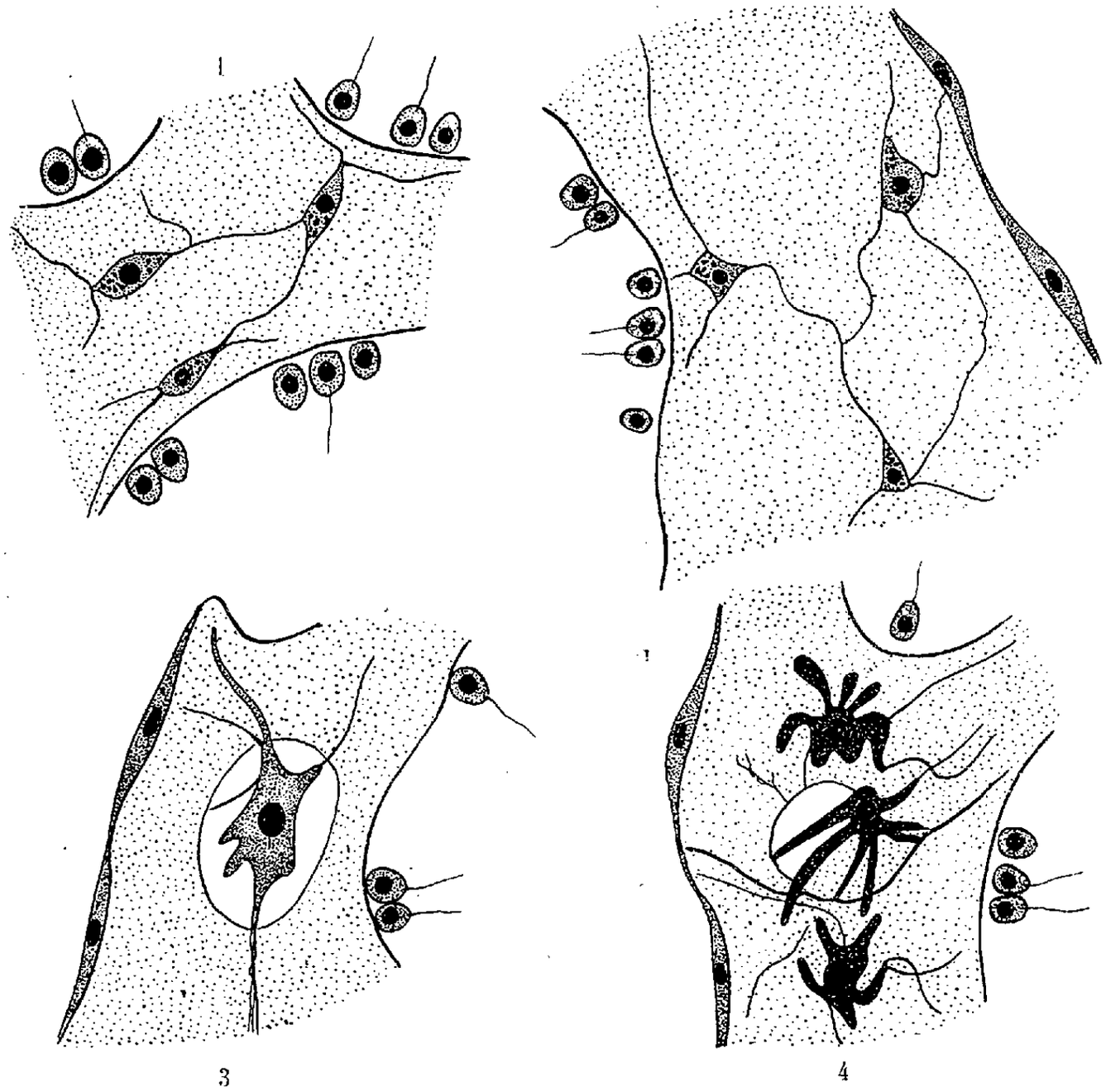
Ces liaisons se font par l'intermédiaire d'un seul neurone ou de plusieurs neurones disposés en réseau.

(*) Séance du 1er décembre 1952.

(1) *Comptes rendus*, **234**, 1952, p. 1394.

Les réactions de ces cellules aux divers colorants des cellules nerveuses qui ont été employés pour les colorer, sont semblables à celles des neurones de *Sycon*.

Nous n'avons pas vu ici de cellule du mésenchyme directement innervées, pas plus que de cellules sensitives en bordure de la surface. Il faut peut-être en chercher la cause dans le faible développement du mésenchyme.



3 4

Par contre, en bordure de l'atrium, nous avons pu observer un certain nombre d'éléments cellulaires que leur structure particulière rend difficilement assimilables aux collencytes, aux scléroblastes ou aux cellules mobiles du mésenchyme (amœbocytes, ovocytes, choanocytes émigrés). De même, la morphologie de ces éléments s'écarte notablement du « type classique » de neurone. Il s'agit de grosses cellules à contours fortement découpés et généralement logées dans des vacuoles du mésenchyme. Ces gros éléments correspondent à deux types distincts.

Le premier type est représenté par des cellules à noyau relativement petit par rapport au volume protoplasmique. Le cytoplasme est assez

clair, argentophile, sans granulations. De nombreux prolongements, la plupart très fins, rayonnent dans tous les sens. Parmi ces prolongements, il en est qui offrent une structure d'apparence fibrillaire très nette (*fig* 3). D'autres, au contraire, semblent être protoplasmiques et se terminent en massue à l'extérieur ou à l'intérieur de la vacuole mésenchymateuse qui abrite toute la cellule. Dans quelques cas, on peut voir dans le protoplasme de telles cellules des granules argentophiles ayant l'aspect de corps de Nissl. Enfin, nous avons pu observer les prolongements issus de ces cellules entrer en rapport avec les fibrilles émises par les cellules nerveuses typiques.

Le deuxième type de ces grosses cellules aberrantes ne diffère guère du premier que par l'affinité très forte de leur protoplasme pour l'argent métallique. Le noyau devient difficilement visible dans la cellule très uniformément colorée en marron foncé, presque noir (*fig.* 4). En outre, ces éléments sont plus irréguliers que les premiers; leurs prolongements compacts et homogènes sont tous identiques et peuvent, du reste, constituer un réseau à filaments réguliers et fins. Nous avons aussi vu les prolongements de cette seconde catégorie de cellules entrer en rapport avec des fibres nerveuses typiques.

Nous ne pouvons préciser ici à quoi correspondent ces deux catégories d'éléments cellulaires. Ils se rapprochent, peut-être, d'autres cellules nerveuses aberrantes que nous avons trouvées chez les Homocœles et que nous décrirons. La présence, chez certains, de corpuscules argentophiles semblables aux corps de Nissl et l'union de leurs prolongements avec ceux de vraies cellules nerveuses allant rejoindre les choanocytes ou les pinacocytes de la surface et de l'atrium, pourrait le faire croire.

ANATOMIE COMPARÉE. — *Le rôle de l'angle palato-vestibulaire dans l'utilisation de la méthode vestibulaire*. Note de MM. **Antoine Delattre** et **Jean Anthony**, présentée par M. Robert Courrier.

Nécessité d'un correctif dans la comparaison des crânes par la méthode vestibulaire.

La méthode vestibulaire d'orientation et de comparaison des crânes a été progressivement élaborée par L. Girard (1911), F. Pérez (1922), puis par A. Delattre et J. M. Daële (1948). Elle adopte trois plans de référence perpendiculaires entre eux, auxquels peuvent être rapportés les différents points anatomiques crâniens. Le premier de ces plans est le plan sagittal médian. Le second, ou plan vestibulaire, se définit par la direction des canaux semi-circulaires externes et représente pratiquement l'horizontalité. Le troisième, frontal, passe par le sommet de ces deux canaux. Le plan sagittal médian reste naturellement invariable par définition. Les deux autres offrent la même propriété, car il a été récemment démontré

[J. Anthony et R. Saban (1951)] que l'arcade formant le canal semi-circulaire externe demeure fixe dans sa moitié antérieure et jusqu'à son sommet au cours des transformations subies par l'arrière-crâne depuis les Mammifères inférieurs jusqu'à l'Homme.

Cependant, malgré la rigueur de ses principes fondamentaux, la méthode vestibulaire ne saurait être utilement employée dans la comparaison des crânes sans une dernière justification théorique. Il est, en effet, à remarquer que des animaux voisins dans la Systématique ainsi que par le degré d'organisation de leur crâne et de leur encéphale, peuvent avoir un profil céphalique différemment disposé dans l'orientation vestibulaire. L. Girard l'avait déjà signalé autrefois à propos du Chameau et du Bœuf. Il avait trouvé l'origine du décalage dans les variations de la position de la tête au repos. La tête du Chameau est pratiquement horizontale au repos; son grand axe correspond au plan vestibulaire. Celle du Bœuf, au contraire, s'incline très fortement sur ce même plan. En conséquence, lorsque l'on mesure un angle donné sur des profils encéphaliques dans la série mammalienne, on trouve, entre de tels animaux, un écart parfois énorme lié au genre de vie de l'animal et qui fausse à l'avance l'interprétation des résultats. Pour éliminer une aussi importante cause d'erreur, nous proposons d'introduire un correctif simple qui, après vérification, s'est montré satisfaisant.

Nous avons noté que la direction générale de la voûte palatine, hormis la courbe qu'elle décrit fréquemment au niveau des prémaxillaires, suivait fidèlement les variations d'orientation de la tête au repos. Cette direction intercepte avec le plan vestibulaire un angle que nous appelons angle palato-vestibulaire et qui, d'après nos recherches sur une trentaine d'espèces mammaliennes, doit être évalué, en moyenne, à 30°. Dans les mesures angulaires prises en *norma lateralis* et destinées à exprimer l'évolution d'une partie du crâne dans la série des Mammifères, si l'on tient compte de cette valeur moyenne, on obtient alors des données directement comparables. C'est ainsi, par exemple, que le pivotement du foramen magnum, traduit par l'amoindrissement progressif de l'angle occipito-vestibulaire, s'établit de la façon suivante, avant et après intervention du correctif palato-vestibulaire :

Spécimens.	Angle palato-vestibulaire.	Angle occipito-vestibulaire	
		avant correction.	après correction.
Bœuf	37°	110°	103°
Chameau	0	70	100
Chien	28	80	82
Chat	32	82	80
Hapalemur	50	72	52
Macaque	31	45	44
Chimpanzé	36	47	41
Homme	25	16	21

Nous nous réservons de présenter ultérieurement l'ensemble de notre statistique avec les applications auxquelles elle donne lieu dans le cadre de la méthode vestibulaire.

CÉCIDOLOGIE. — *Rapports entre l'évolution cytologique du tissu nourricier d'*Eriophyes macrorhynchus *Nal. et la biologie de l'Acarien.* Note de M. **Jean Meyer**, transmise par M. Louis Blaringhem.

Le tissu nourricier d'*Eriophyes macrorhynchus* Nal. présente, pendant le cycle évolutif du parasite, les aspects suivants : 1° dédifférencié dans les ébauches, sous l'influence de la fondatrice, seule morphogène; 2° redifférencié pendant que la galle atteint la taille adulte, en rapport avec la rareté des parasites; 3° dédifférencié à nouveau sous l'action du riche peuplement estival, qui n'est plus morphogène.

Dans une Note précédente (1) j'avais démontré l'existence, au mois d'avril, d'une fondatrice d'*Eriophyes macrorhynchus* Nal. capable d'engendrer des galles multiples sur *Acer pseudoplatanus* L. Sous l'action de la fondatrice mobile, les galles atteignent leur taille adulte à la fin de mai. Par suite de la rareté des fondatrices et malgré une augmentation énorme de la surface offerte à la succion parasitaire, ces galles sont presque toutes vides. Au mois de juillet, au contraire, elles sont abondamment peuplées. L'objet de cette Note est de montrer les rapports existant entre les périodes du cycle évolutif du cécidozoaire et les réactions de son hôte, qui se manifestent surtout dans l'évolution du tissu nourricier.

1. *Cytologie du plastème nourricier des jeunes stades.* — Dans les jeunes stades que nous avons observés, le mésophylle et l'épiderme inférieur commencent à s'hyperplasier. Mais à cette hyperplasie est superposée une croissance différencielle cellulaire : les cellules externes s'hypertrophient beaucoup par rapport aux cellules les plus proches du parasite, d'où la formation de cuvettes qui, bientôt, se hérissent de poils sur les bords.

Au cours de cette hyperplasie, les cellules du mésophylle assimilateur et des épidermes tendent, dans des mesures variables, à se dédifférencier. La dédifférenciation mésophyllienne affecte surtout les chloroplastes dont la taille se réduit de plus en plus et régresse vers un état plus ou moins proche de l'aspect chondriomatique. Les noyaux augmentent de taille et prennent une position plus centrale, tandis que leur nucléole s'hypertrophie. Les nucléoles des tissus externes étant déjà plus volumineux dans les tissus normaux, cette différence de taille nucléolaire se conservera dans le plastème. Le volume nucléolaire ne peut donc pas, comme cela s'impose dans la plupart des plastèmes (2), servir ici de critère pour la délimitation du

(1) *Comptes rendus*, 235, 1952, p. 1428.

(2) *Comptes rendus*, 231, 1950, p. 1333 et bibliographie.

plastème nourricier. Seule, la position interne de ce tissu par rapport aux faisceaux conducteurs et son aspect dédifférencié plus poussé, marqué par l'abondance du cytoplasme qui résulte de la petite taille des vacuoles, nous permettra, dans notre cas, de le reconnaître. Il est formé par l'épiderme inférieur et par une ou deux couches du mésophylle sous-jacent. La dédifférenciation plastidale de ce mésophylle est du type normal, par étirement en altère, comme l'a décrite Buvat (3) dans les cellules chlorophylliennes du parenchyme libérien de la tige de Tomate. Le mésophylle inférieur et l'épiderme qui le coiffe finissent ainsi par former un tissu d'aspect cytologique relativement homogène et jeune, rappelant un plastème nourricier typique de Cécidomyide ou de Cynipide et caractérisé par la richesse cytoplasmique et mitochondriale, la régression du plastidome, la taille et la position centrale du noyau à gros nucléole. Le diamètre nucléolaire moyen est passé de 1,65 μ dans le mésophylle normal à 2,5 μ dans le mésophylle nourricier qui lui correspond.

2. *Cytologie du tissu nourricier des stades avancés antérieurs au peuplement estival.* — A la fin de mai, la galle forme une bourse qui a déjà atteint sa taille définitive. Le tissu nourricier, suivant la croissance cellulaire générale, présente des caractères de vieillissement qui se manifestent surtout par un cytoplasme généralement pariétal, entourant une grande vacuole centrale; le noyau, lui aussi, est le plus souvent pariétal et, comme l'a remarqué Garrigues (4), il est d'aspect normal avec un petit nucléole. Le diamètre nucléolaire a diminué presque de moitié par rapport à celui des premiers stades. Il est passé, en moyenne, de 2,5 à 1,35 μ environ. Il est cependant encore supérieur à celui du tissu normal de la même feuille qui est d'environ 0,8 μ. On admet généralement (2) que l'hypertrophie nucléolaire est en rapport avec des synthèses protéiques accrues. Cette régression nucléolaire au stade adulte ne nous étonnera donc pas, puisque, d'une part, à l'arrêt de croissance de la galle correspond nécessairement un arrêt des synthèses protéiques constructives et que la galle étant à peu près abandonnée, ne nécessite guère de protéine trophique pour le parasite. A cette époque, en effet, il n'y a encore, en plus des rares fondatrices, que quelques œufs dans un nombre relativement restreint de galles. L'absence presque totale de parasites permet donc d'expliquer, dans notre cas, l'état évolué et l'aspect non fonctionnel du tissu nourricier.

3. *Cytologie du tissu nourricier lors du peuplement estival.* — L'hypothèse précédente de l'influence de l'absence ou de la présence des parasites sur la cytologie du tissu nourricier se vérifie d'ailleurs au mois de juillet, période de pullulement des acariens de tous stades. A cette époque, tandis

(3) *Thèse Sciences*, Paris, 1944 (*Ann. Sc. Nat. Bot.*, 11e série, nos 5 et 6, 1944, 1945).
(4) *Thèse Sciences*, Lyon, 1951.

que l'épiderme nourricier est plus ou moins vidé ou nécrosé sous l'attaque massive des parasites, la couche mésophyllienne sous-jacente marque, en beaucoup d'endroits, une recrudescence d'activité. Il y a rajeunissement du tissu vers le type nourricier : les cellules se redivisent et au cours de ces divisions, les chloroplastes, qui avaient grossi pendant la période d'absence des parasites, tendent à se dédifférencier; le cytoplasme augmente aux dépens du vacuome et s'enrichit en chondriome, le noyau reprend sa place centrale et le nucléole subit une nouvelle, mais légère, croissance en passant de 1,3 μ moyenne du stade dépeuplé, à 1,75 μ en plein peuplement. Si nous suivons l'évolution nucléolaire, qui est le seul critère mesurable de l'état d'activité du tissu nourricier, nous remarquerons que le diamètre nucléolaire est toujours supérieur à celui du tissu correspondant normal de la même feuille, mais il passe par un minimum en mai pour reprendre un état plus hypertrophié au moment du peuplement de juillet. Les autres caractères cytologiques d'indifférenciation relative, marquant également l'état d'activité nourricière, présentent une évolution parallèle à celle du nucléole.

BIOLOGIE. — *Influences de lésions hautes et basses de l'infundibulum sur la gonadostimulation chez le Canard domestique*. Note (*) de MM. **Jacques Benoit** et **Ivan Assenmacher**, présentée par M. Robert Courrier.

Seules les sections hautes du faisceau hypothalamo-hypophysaire furent suivies, chez le Canard, d'une atrophie testiculaire, en même temps que la *pars distalis* présentait des signes cytologiques manifestes d'une inactivite sécrétoire, notamment au niveau des cellules β. Ces faits semblent appuyer l'hypothèse d'un relai neuro-humoral au niveau de l'éminence médiane.

De nombreux auteurs ont observé chez les Mammifères une atrophie complète des gonades à la suite de lésions de l'éminence médiane et de sections de la tige infundibulaire (Dott, 1923; Mahoney et Sheehan, 1936; Harris, 1937; Westmann et Jacobsohn, 1937, 1940; Brolin, 1945; Greep et Barrnett, 1950, 1951), ou en tous les cas une abolition de l'activité sexuelle (Hinsey, 1937; Dey, 1943). D'autres ne notent qu'une certaine perturbation de la fonction sexuelle : abolition de l'ovulation chez la Lapine (Brooks, 1938, 1940; Brooks et Lambert, 1939), abolition de la réaction testiculaire au froid (Uotila, 1939, 1940). Richter (1930, 1933), Leininger et Ranson (1943), Breckenridge et Keller (1948) ne décrivent de troubles sexuels que chez certains de leurs opérés; Keller et Hamilton (1937), Dempsey (1939), Dandy (1940), Tang et Patton (1951) par contre n'en observent dans aucun cas.

Nous avons entrepris nos recherches chez l'Oiseau pour des raisons

(*) Séance du 1er décembre 1952.

d'ordre morphologique : l'individualité anatomique dans cette classe des veines portes hypophysaires par rapport à la tige infundibulaire (Benoit et Assenmacher, 1951; Assenmacher, 1951). Nous présentons dans cette Note, les résultats de deux sortes d'interventions sur l'infundibulum. Nous désignons par « lésions hautes » des sections subtotales du faisceau hypothalamo-hypophysaire au niveau de l'éminence médiane, au-dessus du point de départ du tractus porto-tubéral, ces lésions pouvant aller jusqu'à une éventration complète du plancher du troisième ventricule. Les « lésions basses » de l'infundibulum constituent des sections plus ou moins complètes de la tige infundibulaire, au-dessous du tractus porto-tubéral.

Les résultats donnés ci-dessous se rapportent à 12 canards mâles de race Pékin opérés en pleine activité sexuelle et sacrifiés un mois après l'opération. Les testicules furent mesurés, pesés et étudiés histologiquement; la région hypothalamo-hypophysaire fut coupée en série et traitée aux colorants ordinaires et au Bodian pour permettre de contrôler rigoureusement l'état du faisceau hypothalamo-hypophysaire. Ce n'est qu'après un examen approfondi de ces coupes sériées que nous répartîmes les sujets en les quatre groupes suivants :

a. Lésions hautes de l'infundibulum (4 sujets). — Le faisceau hypothalamo-hypophysaire est pratiquement interrompu au niveau de l'éminence médiane. La pars nervosa de l'hypophyse est complètement atrophiée. La pars distalis montre dans tous les cas une zone centrale de dégénérescence; le reste du parenchyme présente des signes cytologiques d'inactivité sécrétoire, les cellules β notamment. Les capillaires sinusoïdes présentent cependant un aspect normal. Le tractus porto-tubéral avec ses veines portes est intact. Les testicules sont macroscopiquement totalement régressés et histologiquement inactifs. (Poids des deux testicules : 2 T = 2,2, 1,5, 1,03 et 0,75 g.)

b. Lésions basses de l'infundibulum (2 sujets). — Section subtotale de la tige infundibulaire. Pars nervosa complètement atrophiée. Pars distalis et tractus porto-tubéral normaux; grande activité sécrétoire des cellules β notamment. Testicules normalement conditionnés (2 T = 85 et 68 g.)

c. Témoins avec simple accès à l'éminence médiane (4 sujets). — Aspect normal de tout le complexe hypothalamo-hypophysaire. Testicules normalement conditionnés (2 T = 72, 72, 50 et 38 g.)

d. Témoins avec lésions superficielles de l'éminence médiane et de la naissance du tractus porto-tubéral (2 sujets). Lésions très superficielles du faisceau hypothalamo-hypophysaire. Tractus porto-tubéral lésé mais fonctionnel. Pars nervosa hypotrophique. Pars distalis : zone hypotrophique centrale; signes cytologiques d'une bonne activité sécrétoire, des cellules β notamment; vascularisation capillaire normale. Testicules conditionnés; spermatogenèse abondante (2T = 48 et 22 g).

Il résulte de ces observations que *seule l'interruption haute du faisceau hypothalamo-hypophysaire abolit la stimulation préhypophysaire du testicule.* Ce résultat peut être dû *a priori* soit à la lésion nerveuse elle-même, soit à la destruction du réseau capillaire sous-tubéral plaqué à la surface de l'éminence médiane. Cependant les lésions de ce réseau capillaire des animaux du groupe *a* se retrouvent chez les témoins du groupe *d* qui présentent pourtant une spermatogenèse abondante, bien que, pondéralement, leurs testicules soient un peu au-dessous de leur développement maximum. Par contre, dans le cas de lésions hautes de l'hypothalamus, les rapports du réseau capillaire sous-tubéral avec l'éminence médiane sont profondément modifiés. En effet, la dégénérescence de la portion distale du faisceau hypothalamo-hypophysaire consécutive à sa section prive le réseau capillaire sous-tubéral de son contact habituel avec les éléments nerveux et névrogliques si caractéristiques de l'éminence médiane, et en particulier avec les « anses nerveuses » (Benoit et Assenmacher, 1951). D'où la suppression certaine d'un éventuel relai neuro-humoral hypothalamo-hypophysaire à ce niveau. Cette explication du bloquage de la gonadostimulation en cas de section haute du faisceau hypothalamo-hypophysaire nous paraît tentante; mais ces faits n'infirment pas non plus l'hypothèse d'un contrôle vaso-moteur de la vascularisation préhypophysaire par l'hypothalamus (Green, 1946; Stutinsky, 1948), encore que la vascularisation capillaire de la pars distalis nous paraisse dans tous les cas sensiblement normale.

BIOLOGIE. — *Les échanges alimentaires entre adultes chez la Fourmi* Ponera eduardi *Forel.* Note de M. **Georges Le Masne**, présentée par M. Pierre-P. Grassé.

On sait la place très importante occupée dans la vie sociale des Fourmis par les dégorgements de nourriture et les échanges d'aliments de bouche à bouche, que pratiquent entre eux les individus adultes. Mais ces échanges stomodéaux, réalisés à coup sûr par toutes les Fourmis supérieures (*Myrmicidæ*, *Camponotidæ*, *Dolichoderidæ*) semblaient jusqu'ici manquer chez les Fourmis inférieures, en particulier chez les *Poneridæ* : dans cette famille le dégorgement de nourriture n'a été observé que chez quelques espèces, et parfois de manière assez incertaine.

C. P. Haskins (1) a montré que les ouvrières d'*Euponera gilva* ne pratiquent que rarement l'échange stomodéal. O. F. Cook (2) a vu celles d'*Ectatomma tuberculatum* échanger des

(1) *J. N. Y. Ent. Soc.*, 39, 1931, p. 507-521.
(2) *Science*, 19-23, 1904-1906.
(3) *Cf.* N. A. Weber, *Proc. Ent. Soc. Wash.*, 48, 1946, p. 1-16.

gouttelettes liquides, mais il ne s'agit peut-être pas là de régurgitation (3). Enfin C. P. et E. F. Haskins (4) pensent que les reines de *Brachyponera lutea* et d'*Odontomachus hæmatoda* sont capables de nourrir leurs larves par régurgitation.

J'ai indiqué déjà (5) que, chez *Ponera eduardi*, les mâles ergatoïdes (aptères) obtiennent des ouvrières la régurgitation. Depuis, j'ai constaté que *les adultes de cette espèce (aussi bien les ouvrières que les sexués, ailés ou aptères) pratiquent l'échange stomodéal de manière régulière, mais sous une forme qui diffère très sensiblement de celle qu'on observe chez les Fourmis supérieures.*

La *fréquence* des échanges est bien moindre que chez les Fourmis supérieures; leur *durée* l'est aussi (quelques secondes, au lieu de plusieurs minutes parfois). Le volume de liquide transmis doit être très minime.

Au cours de l'échange, *la position et les gestes des partenaires* diffèrent de ceux des Fourmis supérieures (6). L'une des ouvrières tient la tête horizontale, l'autre tourne l'un des côtés de sa tête vers le sol. Chaque *Ponera* ouvre largement les mandibules et les entrecroise avec celles de sa partenaire. Les antennes, entrecroisées également, sont presque immobiles chez la « solliciteuse », mais animées de mouvements très vifs chez la « pourvoyeuse ».

Si l'échange est bref, en revanche *les préliminaires de l'acte trophallactique* sont beaucoup plus longs que chez les Fourmis supérieures : parfois durant plusieurs minutes, deux ouvrières restent face à face, dans une attitude déterminée et caractéristique pour chacune. Tantôt l'échange survient de manière brusque, tantôt (et beaucoup plus souvent que chez les Fourmis supérieures), les partenaires se séparent sans qu'il y ait eu dégorgement. La « solliciteuse » s'adresse alors à une autre congénère.

Ces préliminaires sont souvent précédés de *poursuites* qui n'ont pas leur équivalent chez les Fourmis supérieures : il n'est pas rare de voir une *Ponera*, les antennes appliquées contre l'abdomen d'une autre ouvrière, la suivre dans tous ses déplacements. Parfois la poursuite est abandonnée après quelques minutes, ou bien elle se reporte sur un autre individu. Mais souvent la Fourmi suivie se retourne brusquement et adopte aussitôt attitudes et gestes de *l'ouvrière sollicitée*. Il s'agit là, à coup sûr, d'un *acte pré-trophallactique*, mais cet acte n'est pas obligatoire : les préliminaires décrits plus haut peuvent commencer d'emblée, sans être précédés de poursuite. Poursuite et attitude de sollicitation constituent bien des *stimuli*

---

(4) *Psyche*, 57, 1950, p. 1-9.

(5) *Comptes rendus*, 226, 1948, p. 2009.

(6) Chez des *Lasius* ou des *Leptothorax*, les deux partenaires tiennent leurs antennes *au-dessus* de la tête de l'autre Fourmi. Ce sont celles de la « solliciteuse » qui s'agitent le plus vivement. Les mandibules de la « pourvoyeuse » sont largement ouvertes, mais celles de la Fourmi qui absorbe l'aliment stomodéal restent fermées.

significatifs, préparant et déclenchant le dégorgement. Ils ne sont pas toujours suivis de leur réponse spécifique, mais en ce cas la sollicitation est reportée sur un autre membre de la société.

La variabilité de forme et la moindre fréquence des échanges, ainsi que le caractère souvent abortif des actes préliminaires, font apparaître le comportement trophallactique de *Ponera eduardi* comme *archaïque*, comparé à celui des Fourmis supérieures.

Il est probable que les échanges alimentaires de bouche à bouche sont pratiqués par les adultes d'autres espèces de Ponérides, au moins dans les tribus supérieures. Certains auteurs paraissent avoir été témoins de quelques-uns des faits décrits plus haut; mais ils y ont vu un simple léchage de la gula, « signe annonciateur » de la régurgitation ([7]), ou bien des poursuites « sans but » ([8]).

L'étude détaillée des relations inter-individuelles au sein d'autres espèces de *Poneridæ* permettra sans doute de suivre, dans cette famille, souche probable de tous les autres groupes de *Formicoïdea*, la naissance et le début de l'évolution du comportement trophallactique, si important dans la vie sociale du plus grand nombre des Fourmis.

BIOLOGIE EXPÉRIMENTALE. — *Action du propionate de testostérone sur la différenciation sexuelle des embryons de* Scylliorhinus canicula *C.* Note de M. **Jean-Jacques Thiebold**, présentée par M. Maurice Caullery.

Les embryons de Roussette, de taille comprise entre 2 et 2,5 cm (stades *K* et *L* de Balfour), présentent deux ébauches gonadiques équivalentes, indifférenciées, bien individualisées dans la partie antérieure du tronc, de part et d'autre du mésentère dorsal. Elles comportent un stroma mésenchymateux recouvert par l'épithélium cœlomique, épaissi seulement à la partie dorsale pour former l'épithélium germinatif, peuplé de cellules germinales primordiales disséminées en îlots de deux à trois cellules.

Chez les embryons génétiquement ♂ atteignant 2,5 à 3 cm, s'amorce une migration, vers le stroma médullaire de l'ébauche, des cellules germinales qu'accompagnent de petits éléments somatiques. Cette première différenciation ♂ conduit, chez l'embryon de 6 à 7 cm, à la formation de cordons progerminatifs qui sont à l'origine des sacs progerminatifs du testicule immature différencié.

Chez les embryons génétiquement ♀ ayant atteint la taille de 6 à 7 cm, la seule différenciation décelable par rapport aux ébauches indifférentes

---

([7]) C. P. Haskins, *J. N.Y. Ent Soc.*, 38, 1930, p. 121-126, pour *Proceratium croceum.*

([8]) L. G. et R. G. Wesson, *Amer. Midl. Nat.*, 24, 1950, p. 89-103, pour une autre *Proceratiini, Sysphincta pergandei.*

est la régression de l'ébauche gonadique gauche, particulièrement sensible dans sa région caudale; l'ébauche droite, au contraire, s'accroît normalement en conservant, à sa partie dorsale, un épaix cortex quiescent.

L'hormone ♂ (propionate de testostérone), administrée à des embryons n'ayant pas atteint la taille critique de 2 cm, par injection intravitelline à la dose de 1 mg, administrée en deux fois à un mois d'intervalle, ne semble avoir influencé en rien l'évolution des ébauches génitales chez les ♀ génétiques sacrifiées au stade de 7 cm (l'ébauche gauche régresse normalement, la localisation germinale reste corticale dans l'ébauche droite). Par contre, à cette dose, l'évolution des ébauches gonadiques des ♂ génétiques a été fortement influencée : gonades réduites de moitié par rapport aux gonades des ♂ témoins de même âge; retard considérable dans l'évolution de l'épithélium germinatif, quelques cellules germinales seulement ayant amorcé leur migration vers le mésenchyme médullaire; section subcirculaire des ébauches, caractéristique des stades témoins plus jeunes amorçant seulement leur différenciation.

L'hormone ♂, administrée à dose assez forte (1 mg), semble donc exercer sur la différenciation des ébauches gonadiques ♂ une action frénatrice, tendant au maintien de structures ♀ de type cortical. L'examen des résultats obtenus au niveau des gonades pourrait donc faire croire à une action féminisante du propionate de testostérone, qui n'entrave pas le déroulement des différenciations ♀ normales et maintient l'existence d'un cortex important dans les ébauches ♂, sans toutefois provoquer la régression de l'ébauche gauche des ♂. Cette action nous semble le fait d'une inhibition partielle de la différenciation ♂ de la gonade, qui garde tardivement les structures corticales et ne présente que de timides poussées cordonnaires.

Des actions du même ordre, décrites par ailleurs [1], se retrouvent au niveau du tractus génital des embryons traités, qui, à côté d'effets nettement masculinisants (apparition de bourgeons myxiptérygaux et modifications morphologiques dans le sens ♂ des nageoires pelviennes chez les ♀ ; hypertrophie de la partie séminale vésiculaire des canaux de Wolff, chez les ♀ comme chez les ♂), présentent des perturbations du développement normal des ébauches qui peuvent être interprétés, soit comme des effets masculinisants chez la ♀ (persistance du rein antérieur; absence de la partie postérieure du canal de Müller), soit comme un effet féminisant chez le ♂ (persistance d'une partie importante de la région antérieure du canal de Müller au niveau du rein antérieur). Les rapports existant entre les formations müllériennes persistantes et les canaux de Wolff, soulignent

(1) J.-J. Thiebold, *C. R. Soc. Biol.*, séance du 15 novembre 1952 (à l'impression).

le bien-fondé de l'hypothèse d'un blocage des processus du développement normal des ébauches du tractus génital.

La morphologie du tractus génital de tous les embryons traités, présentait une étroite analogie avec un cas d'intersexualité spontanée, décrit par Chapman (1951) (²) sur une Roussette adulte.

BIOLOGIE EXPÉRIMENTALE. — *Régénération de parties du corps chez l'Annélide* Hydroïdes norvegica (*Gunn.*). Note de M. **Jean Cresp**, présentée par M. Louis Fage.

Le corps du Serpulide *Hydroïdes norvegica* (Gunn.) comprend une région thoracique de sept sétigères et une région abdominale séparée de la première par une courte zone achète. Le premier segment du thorax, que j'appellerai *prothoracique*, ne porte que des soies dorsales sans uncini.

A. *Régénération postérieure.* — La régénération postérieure est possible dans toute la région abdominale et dans la région thoracique jusqu'à un niveau très antérieur (section passant derrière le premier thoracique vrai). Elle n'est complète que si la section intéresse la moitié postérieure du thorax et débute toujours par la mise en place du pygidium. Les premiers segments régénérés complètent le thorax amputé et une membrane thoracique nouvelle se raccorde à l'ancienne. Dans la région achète, on obtient souvent des régénérats anormaux.

B. *Régénération antérieure.* — La régénération antérieure n'est possible que dans la région thoracique et, exceptionnellement, dans la région achète.

La cicatrisation est toujours possible, même dans la région abdominale où elle n'est pas suivie de régénération. Elle s'effectue selon deux modes différents : dans la région prothoracique, l'œsophage stomodéal intéressé par la section se soude directement à la paroi du corps; dans la région thoracique proprement dite, l'intestin sectionné finit par se refermer en cæcum tandis, que l'épiderme rétablit sa continuité.

La cicatrisation est suivie par l'établissement d'une vascularisation importante d'où naissent deux vaisseaux destinés à irriguer les deux groupes de bourgeons branchio-operculaires, l'apparition de ces derniers constituant le premier indice de régénération. De chaque côté, les bourgeons branchio-operculaires se disposent suivant un arc de cercle dorso-ventral. Le deuxième de la série, apparu le premier, se différencie très tôt en bourgeon operculaire, les autres évoluant en filaments branchiaux. Ce mode de

(²) *Proc. Zool. Soc. London*, 121, n° 3, 1951, p. 511-513.

différenciation rappelle celui que l'on peut observer dans l'ontogénie normale (¹).

Après les premiers bourgeons, la collerette et la membrane thoracique régénérées apparaissent sous la forme d'ébauches paires respectivement ventrales et latérales. La membrane thoracique régénérée se raccordera ultérieurement à la membrane thoracique ancienne. Toujours après les premiers bourgeons, l'invagination stomodéale se développe plus ou moins précocement. Le cerveau, puis les ocelles qui sont en rapport direct avec lui, n'apparaîtront qu'après la différenciation des quatre premières paires de bourgeons. La néphridie thoracique, lorsqu'elle a été extirpée avec les premiers segments thoraciques, est régénérée. Finalement, trois semaines après l'amputation, il apparaît une paire de soies prothoraciques.

Conformément aux observations de M. La Greca (²), la régénération est toujours limitée à la restitution du prostomium et du segment prothoracique (région céphalique des Annélides). On n'observe jamais, comme chez les Sabellides et le Serpulide *Filograna* (*Salmacina*) de processus tardifs de « morphallaxie » tendant à restituer les segments thoraciques manquants par transformation de segments abdominaux. Les parties restituées, lobe prostomial, trompe, le sont d'ailleurs très incomplètement.

On observe souvent dans la régénération antérieure un défaut de synchronie entre les deux moitiés droite et gauche du régénérat indiquant une certaine indépendance morphogénétique entre ces deux moitiés. Cette asymétrie subsiste après destruction et réparation du régénérat le plus avancé. Lorsque la section est oblique, la régénération antérieure est toujours plus précoce sur la moitié longue, mais le segment prothoracique est toujours seul restitué.

Gradient de régénération. — Le temps qui s'écoule entre la cicatrisation et l'apparition des premiers bourgeons régénérés augmente lorsque la section est déplacée d'avant en arrière; la régénération demande deux jours dans la région prothoracique, de 4 à 6 jours dans les premiers segments thoraciques. A partir du sixième thoracique, elle est encore plus lente et peut demander 20 jours dans la région achète.

D'autre part, dans les derniers segments thoraciques, la régénération est beaucoup moins fréquente et devient, dans la région achète, exceptionnelle et toujours anormale. Des régénérations anormales peuvent s'observer à tous les niveaux, mais surtout à partir du sixième thoracique : formation d'un opercule supplémentaire sur un panache du régénérat; coalescence des deux panaches (dans les niveaux thoraciques postérieurs); développement d'un seul panache dans la zone achète; régénération des

(¹) Zeleny, *J. Exp. Zool.*, 2, 1905.
(²) *Arch. Zool. Ital.*, 37, 1952.

soies prothoraciques en l'absence de régénérat branchio-operculaire. Ces anomalies, dont l'étude détaillée fera l'objet d'une communication ultérieure, offrent donc une série complète reliant une régénération normale à l'absence de régénération.

La disparition totale du pouvoir de régénération antérieure dans la région abdominale ne semble donc pas liée à l'organisation morphologique de cette région, mais à une transformation des propriétés morphogénétiques qui se manifeste déjà dans la région thoracique.

En conclusion, chez *Hydroïdes*, la régénération n'est possible dans les deux directions que si le corps a été sectionné dans la région moyenne du thorax.

Il est assez curieux d'observer que, chez le seul Serpulide capable de multiplication asexuée, *Salmacina*, les bourgeons ne se forment pas dans la région thoracique, seule bipotente chez *Hydroïdes norvegica*, mais dans la région abdominale.

BIOLOGIE EXPÉRIMENTALE. — *Production d'adultoïdes chez* Locusta migratoria *L.* (*Insecte orthoptéroide*). Note (*) de M. **Pierre Joly**, présentée par M. Pierre-P. Grassé.

Des expériences antérieures (1) ont montré que l'implantation à des larves grégaires de *Locusta migratoria* relativement âgées de complexes rétrocérébraux, prélevés sur des imagos également grégaires (*), est susceptible d'introduire chez l'animal récepteur une pigmentation verte qui se manifeste lors de la première mue suivant l'intervention. Cette pigmentation verte ne se rencontre normalement que dans la phase solitaire.

Ces expériences ont été reprises et ont montré, d'une part que la partie active du complexe est le *corpus allatum*, et d'autre part, que si l'on pratique les implantations sur des larves assez jeunes (stades II et III), en plus de l'apparition de la pigmentation verte, on obtient des changements morphologiques pouvant s'interpréter comme une inhibition plus ou moins complète de la métamorphose.

Ces animaux à développement perturbé peuvent être classés en trois catégories : les adultoïdes, les pseudoadultes et les adultes verts.

Les adultoïdes ont, avec la taille de l'imago, une morphologie très voisine de celle des larves du 5e stade, les ailes notamment ont une forme et une structure franchement larvaires. Les pseudoadultes se rapprochent au

(*) Séance du 17 novembre 1952.

(1) *Ann. Sc. Nat. Zool.*, **11**, n° 2, 1949, p. 255; *C. R. Soc. Biol.*, **145**, 1951, p. 1362.

(*) J'entends par grégaire des larves maintenues dès l'éclosion en élevage dense et présentant la pigmentation caractéristique de la phase gregaria.

contraire beaucoup de l'imago, mais conservent quelques traits larvaires; les ailes bien que du type imaginal sont relativement courtes et généralement chiffonnées, le pronotum est le plus souvent lui aussi mal étendu. Chez les adultoïdes comme chez les pseudoadultes la pigmentation verte qui s'était développée à la suite de l'implantation de *corpora allata* peut régresser lors de mues ultérieures et l'animal reprend une pigmentation grégaricolore mais de type franchement larvaire (pigmentation noire et orange) même dans le cas d'un pseudoadulte dont la morphologie est presque celle de l'imago normal qui ne présente jamais ce type de pigmentation.

Les adultes verts sont des imagos normalement constitués mais qui présentent néanmoins, en plus de leur pigmentation verte, quelques caractères particuliers : ailes un peu plus courtes, thorax un peu plus gros que chez l'imago grégaire normal. Ces particularités peuvent être interprétées soit comme de l'infantilisme (légère inhibition de la métamorphose), soit comme une évolution de l'animal dans le sens solitaire. Le tableau suivant donne la valeur des indices biométriques classiques pour les différentes catégories d'individus obtenus.

Les indices sont : les rapports E/F de la longueur de l'élytre à celle du fémur, P/C de la longueur du pronotum, H/C de sa hauteur, M/C de sa largeur à la plus grande largeur de la tête.

	E/F.	P/C.	H/C.	M/C.
Larves au stade III.....	0,22	1,15	1,14	0,88
» » IV.....	0,35	1,39	1,13	0,85
» » V.....	0,61	1,48	1,22	0,90
Adultoïdes.....	0,96	1,53	1,25	0,98
Pseudoadultes.....	1,50	1,42*	1,20*	0,85*
Solitaires d'élevage.....	1,70	1,50	1,30	0,98
» naturels.....	1,79	1,43	1,32	0,93
Adultes grégaires.....	1,87	1,32	1,18	0,91
Grégaires d'élevage.....	1,98	1,24	1,12	0,86

Les valeurs marquées d'un astérisque sont systématiquement fausses par défaut : le pronotum de ces animaux ne s'étant pas déplissé à la dernière mue, les mesures qu'il a fournies sont évidemment trop faibles.

On voit que du point de vue de la valeur des indices biométriques, les adultes verts (obtenus à partir de larves maintenues en élevage dense, mais ayant reçu une implantation de *corpora allata* d'imago) se situent entre la forme grégaire et la forme solitaire et que d'autre part les indices biométriques de la forme solitaire ont pu être encadrés par ceux des adultes verts et des adultoïdes tous obtenus à partir de larves maintenues en élévage dense.

Il ressort de ces résultats que, comme dans le cas de la pigmentation, les indices biométriques d'animaux maintenus en élevage dense ont pu être

troublés par des interventions portant sur les *corpora allata*. La perturbation obtenue rapproche les animaux opérés de la phase *solitaria* sans qu'il nous ait été possible d'obtenir des copies exactes de cette phase.

CHIMIE BIOLOGIQUE. — *Recherches sur la biochimie des composés phosphorés du lait.* VI. *Électrophérographie des protéines du sang de Lapine en lactation.* Note (*) de MM. **Eugène Robillard, Henri Simonnet** et **Joseph Sternberg,** présentée par M. Robert Courrier.

Le problème de la synthèse de la caséine comporte deux aspects : le mécanisme d'intégration du P et l'identification des précurseurs azotés et phosphorés. En ce qui concerne le mode de fixation du P sur la structure peptidique, une hypothèse que nous avons suggérée ailleurs envisageait le transport du P à la mamelle sous forme d'acide phosphopyruvique et sa transamination intramammaire en phosphosérine (1).

Le matériel azoté peut être apporté à la glande sous forme d'acides aminés libres ou engagés dans des peptides ou des protéines. Des recherches récentes ont suggéré l'hypothèse d'une intégration directe des leucines, de la valine et de la lysine dans la molécule de caséine (2), (3). Un glycoprotéide sanguin a été considéré comme étant le précurseur protéique (4). Ce glycoprotéide devrait faire partie de la fraction $\alpha 2$ globulinique, dont le contenu glucidique est connu, mais, jusqu'à présent, la nature des protéines sériques transportent les précurseurs de la caséine n'a pas été élucidée.

La comparaison du spectre protéique du sang afférent et efférent est un moyen d'aborder ce problème que nous avons utilisé en appliquant la technique de la microélectrophorèse sur papier (5), (6).

A cet effet, six lapines en lactation sont anesthésiées au nembutal; des prises de sang sont faites dans le cœur gauche, la jugulaire et la veine mammaire à des intervalles variés. Les protéines totales sont déterminées par la méthode du biuret; les taux relatifs des fractions protéiques sont établis par électrophérographie. Les résultats sont condensés dans le tableau suivant.

L'examen de ce tableau conduit aux remarques suivantes : 1° la différence entre le taux artériel et le taux veineux des protéines totales n'est pas significative; 2° dans le spectre protéique, la variation la plus marquée se voit dans la fraction β, dont la diminution, constante, peut atteindre 50 % après passage

(*) Séance du 24 novembre 1952.

(1) H. Simonnet et J. Sternberg, *Bul. Soc. Chim. Biol.*, 33, 1951, p. 1240.

(2) P. N. Campbell et T. S. Work, *Biochem. J.*, 49, 1951, XLVI.

(3) J. H. Bouckaert, W. Oyaert et G. Peters, *Nature*, 169, 1952, p. 967.

(4) E. P. Reineke, M. B. Williamson et C. W. Turner, *J. Biol. Chem.*, 138, 1941, p. 83.

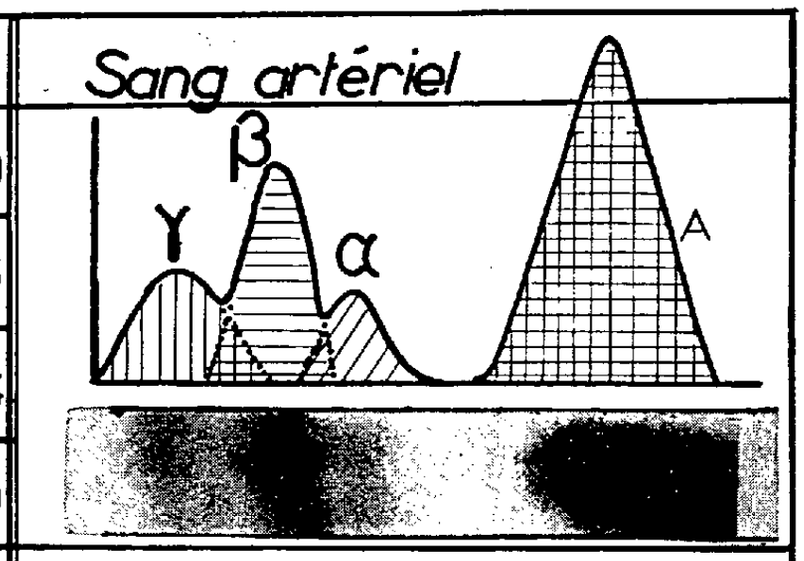
(5) J. Sternberg et J. Tassé, *IIe Congrès International de Biochimie*, 1952, p. 193.

(6) J. Sternberg, R. Boucher et A. Proulx, *Union Méd. Can.*, 81, 1952, p. 908.

à travers la mamelle; 3° les variations de la fraction α sont inconstantes quant à leur valeur et à leur sens; 4° la fraction γ ne varie pas; 5° l'albumine est légèrement augmentée dans le sang efférent mammaire.

		PT	γ	β	α	A
Sang artériel	mg p. cm³	8.360	0.815	1.588	0.739	5.250
	p. 100	100.0	9.7	19.0	8.8	62.5
Sang veineux jugulaire	mg p. cm³	8.260	0.710	1.330	0.685	5.534
	p. 100	100.0	8.6	16.1	8.3	67.0
Sang veineux mammaire	mg p. cm³	8.180	0.646	0.801	0.753	6.056
	p. 100	100.0	7.9	9.8	9.2	73.8

Rapports	γ/α	β/α	α/α	A/α
Sg. artériel	0.25	0.50	0.23	1.64
Sg. jugulaire	0.25	0.49	0.26	2.02
mammaire	0.30	0.37	0.35	2.81



Les différences constatées doivent être interprétées d'après les calculs de rendement. En prenant comme base le fait généralement admis que la circulation de 400 cm³ de sang correspond à l'élaboration de 1 cm³ de lait, la différence du taux des protéines totales, bien que non significative du point de vue analytique, pourrait suffire à l'élaboration de 1,6 cm³ de lait. La différence entre les β globulines, 0,787 mg/cm³, est suffisante pour rendre compte de l'élaboration de 6,6 cm³ de lait.

Le fait que le précurseur de la caséine est transporté dans la fraction β n'implique pas *a priori* qu'il soit de nature protéique. La fraction β est complexe et renferme, entre autres, une lipoprotéine géante contenant seulement 23 % de protéines pour 77 % de phospholipides et stérols (7). Il est possible que le précurseur de la caséine soit transporté dans cette fraction et que les phospholipides soient métabolisés jusqu'à l'étape phosphopyruvique avant ou pendant la traversée mammaire, la transamination se faisant ultérieurement

(7) J. L. Oncley, F. N. R. Gurd et M. J. Melin, *J. Amer. Chem. Soc.*, **72**, 1950, p. 458.

dans la molécule ainsi remaniée. Nos recherches s'orientent vers l'étude de cette hypothèse.

Conclusions. — L'électrophérographie des protéines sériques de la Lapine en lactation révèle une diminution des globulines β après passage du sang à travers la mamelle. La β-globuline qui disparaît du sang pourrait correspondre au matériel protéique utilisé par la glande mammaire pour l'élaboration de la caséine; elle est quantitativement suffisante, même en tenant compte de l'inconnue représentée par la lymphe mammaire.

SÉROLOGIE. — *Le* pH *du sérum : ses variations et leur influence sur le titrage des antibiotiques.* Note de M. **Henri Velu** et Mlle **Marcelle Peyré** (1), présentée par M. Gaston Ramon.

Au cours de mesures de streptomycinémies, nous avions été frappés par les différences des titres obtenus par diffusion linéaire et par dilution avec indicateur de virage.

De nombreux essais nous avaient montré que les erreurs de titrage signalées par H. Penau (2) et H. Velu (3) ne permettaient pas d'expliquer tous les écarts. L'incertitude du virage au seuil et son étalement dans certains cas nous ont amenés à nous demander si le pH du sérum n'était pas également en cause.

Nous avons donc examiné l'évolution du pH du sérum à 37°, pur ou dilué à des taux variables dans la gamme de titrage, ensemencée ou non.

1° *Évolution du* pH *du sérum non chauffé.* — Les mesures effectuées sur divers échantillons avant et après un séjour à 37° en tubes à essais montrent que, dans les conditions des titrages, l'évolution du pH du sérum sanguin vers l'alcalinité est beaucoup plus rapide que ne l'ont signalé H. Plotz et M. Schoen (4) puisque 5 jours ne sont pas nécessaires mais 18 h seulement comme le montre le tableau suivant :

	Échantillons.....	1.	2.	3.	4.
pH	avant étuve.....	7,85	7,75	8,10	8,20
	après étuve.....	8,55	8,65	8,55	8,55

2° *Évolution du* pH *du sérum chauffé.* — Contrairement à E. F. Hirsch et E. C. Peters (4) qui ont constaté que la destruction du complément par

(1) Avec le concours technique de M. J. Rabin, Mlle J. Lacoste et Mme L. Dumas.

(2) H. Penau et collab., *Ann. Pharm. Franç.*, 8, 1950, p. 26.

(3) H. Velu et D. Chabanas, *Ann. I. P.*, 75, 1948, p. 189.

(4) *Comptes rendus*, 178, 1924, p. 126.

(4) *J. Inf. Dis.*, 30, 1922, p. 263.

chauffage à 56° s'accompagne de changements de la concentration ionique qui finit par se stabiliser à valeur constante, nous avons observé que l'évolution du pH se poursuit au cours du séjour ultérieur à 37° comme dans le cas précédent.

Sérum.....	Non chauffé.	Chauffé 30 m à 56°.	Chauffé puis porté 15 h à 37°.
pH.....	8,20	8,40	8,75

3° *Évolution du* pH *des tubes de la gamme non ensemencés.* — Dans les tubes non ensemencés de la gamme de titrage, le pH évolue également au cours du séjour à l'étuve, en fonction de la quantité de sérum mise en jeu (généralement de 6,66 % à 66,6 %), alors que dans la gamme étalon sans sérum, il n'y a pas de variation.

Gammes....	Étalon.	Échantillon sérum.									
% de sérum.	0	6,66	13,3	20	26,6	33,3	40	46,5	53,2	60	66,6
pH initial...	7,60	7,60	7,75	7,80	7,80	7,85	7,85	7,85	7,90	7,90	7,95
pH final....	7,60	7,70	7,90	8,00	8,10	8,15	8,20	8,25	8,30	8,40	8,55

4° *Évolution du* pH *des tubes de la gamme ensemencés.* — Dans les tubes inhibés, et par conséquent ensemencés, le phénomène est identique quoique moins accusé; il se complique du fait que le germe peut encore utiliser les glucides et modifier le pH en sens inverse du sérum.

	% de sérum....	13,3.	20.	26,40.	40.
pH final	Tubes non ensemencés....	7,80	7,90	8,05	8,30
	Tubes correspondants ensemencés, inhibés....	7,70	7,75	7,85	8,00

En somme, le pH des tubes de la gamme échantillon n'évolue pas parallèlement à celui des tubes de la gamme étalon sans sérum. Aucune comparaison n'est donc possible entre ces deux gammes bien que, dans certains cas sur lesquels il serait trop long de s'étendre ici, les divers facteurs d'erreur puissent s'annuler et faire croire alors à la fidélité de la méthode.

Pour bien mettre en évidence les erreurs qui peuvent se rencontrer, il suffit de rechercher la concentration inhibitrice d'un antibiotique donné, la streptomycine par exemple, en présence de concentrations différentes de sérum correspondant aux divers cas qui peuvent se présenter au cours des titrages. Elle a varié par exemple entre 0,4-0,8 et 2-2,4 γ/cm^3 dans le cas ci-dessous :

% de sérum.....	0.	6,6.	33,3.	66,6
Seuil en γ/cm^3	2–2,4	1,2–1,6	0,8–1,2	0,4–0,8

En résumé, pendant les titrages par les méthodes de dilution, des modifications importantes d'activité des antibiotiques, surtout des antibiotiques basiques (streptomycine, streptothricine, néomycine) dont l'activité augmente

avec l'alcalinité ([5]), dues aux variations du pH sérique entraînent parfois par rapport à la gamme étalon, des déplacements tels du seuil d'inhibition qu'ils enlèvent toute précision aux résultats obtenus, même si l'on prend la précaution de chauffer le sérum à 56°. Ces méthodes, très sujettes à caution, doivent donc céder la place, soit à la diffusion linéaire en tubes que nous utilisons avec satisfaction depuis plusieurs années ([6]), soit à la diffusion horizontale codifiée par la F. D. A.

PATHOLOGIE EXPÉRIMENTALE. — *Reproduction expérimentale de l'épilepsie de type « psycho-moteur » chez le Chat.* Note (*) de MM. **Georges Morin**, **Henri Gastaut**, **Robert Vigouroux** et **Robert Naquet**, présentée par M. Léon Binet.

Diverses constatations expérimentales, relatées et discutées par l'un de nous dans un rapport récent ([1]), tendent à montrer que les structures rhinencéphaliques, principalement celles de la région amygdalienne, interviennent dans l'expression des émotions et dans l'orientation du comportement animal. L'expérimentation chronique que nous poursuivons chez le Chat, confirme cette intervention et nous a permis de produire des crises paroxystiques qui nous semblent présenter de très grandes analogies avec les manifestations caractéristiques de l'épilepsie temporale, soit par stimulation électrique de ces structures, soit par réalisation d'un foyer irritatif à leur intérieur.

Pour être efficace, le premier procédé doit être mis en œuvre sur des animaux non narcosés, en parfait état et sortis de la période de choc post-opératoire entraîné obligatoirement par leur préparation. Celle-ci consiste à mettre en place aseptiquement, en les guidant au moyen d'un appareil stéréotaxique, des électrodes filiformes solidarisées avec la paroi crânienne par plasties en acrylique ou par ciment.

Lorsque ces chats, à partir du 3e au 6e jour ont recouvré leur état normal, ils présentent, au cours de la stimulation et pendant la post-décharge qui lui succède :

1° des activités alimentaires associées à des clonies faciales homolatérales, à une salivation abondante, tandis que la pupille se dilate;

2° une modification variable de leur comportement (attention, frayeur, fureur);

([5]) Mlle M. Peyré et H. Velu, *Revue Immunologie*, 16, 1952, p. 142.

([6]) H. Velu et Mme Craipeau, *C. R. Soc. Biol.*, 154, 1950 p. 780.

(*) Séance du 24 novembre 1952.

([1]) H. Gastaut, *J. Physiol.*, 44, 1952, p. 431-470.

3° des troubles particuliers de leur état de vigilance. Le type des crises est, dans l'ensemble, fonction de la situation des électrodes.

Dans une seconde série d'expériences utilisant une technique proche de celle imaginée par Kopeloff, Barrera et Kopeloff (²), nous avons réalisé des lésions irritatives chroniques en pratiquant des inclusions de pâte d'alumine dans de nombreux points de la même région, la pâte étant introduite par la voie d'aiguilles convenablement dirigées au moyen d'un appareil stéréotaxique. Ces inclusions semblent d'abord inopérantes durant 30 à 45 jours, pendant la constitution du foyer. Passé ce délai, un nombre important des animaux ont fait spontanément des crises de type psychomoteur, le plus souvent partielles, mais allant quelque fois jusqu'à la généralisation, tout à fait comparables à celles qui sont déclenchées par le courant électrique dans la série précédente, crises dans l'intervalle desquelles aucun trouble particulier du comportement n'a été noté. En outre, il a été possible, chez tous les chats, de provoquer les mêmes crises en injectant, dans les muscles, des doses faibles de Cardiazol (de l'ordre de 8 mg/kg de poids vifs) inefficaces chez les témoins. L'aspect des crises spontanées ou provoquées dépend du siège et de l'importance des lésions irritatives.

Il nous paraît d'autant plus licite de rapprocher ces paroxysmes expérimentaux de ceux qui caractérisent l'épilepsie psychomotrice humaine, que leur expression électrique (déterminée par électroencéphalographie) est comparable, qu'ils sont affectés de la même façon par les agents considérés comme spécifique de cette épilepsie, qu'enfin la région amygdalienne du Chat est connectée avec le cortex situé en avant et en arrière de la scissure pseudosylvienne et sur la partie inférieure du gyrus ectosylvius, correspondant à la pointe du lobe temporal selon Jasper (³).

THÉRAPEUTIQUE EXPÉRIMENTALE. — *Durée des effets du traitement par l'isonicotinhydrazide* (INH) *des souris tuberculisées*. Note (*) de MM. **Constantin Levaditi, Aron Vaisman** et Mme **Henriette Chaigneau-Erhard**, présentée par M. Gaston Ramon.

Comme suite à notre étude des problèmes posés au sujet de l'activité antituberculeuse de l'isonicotinhydrazide (INH), considérée sous l'angle

---

(²) *Amer. J. Psychiatry*, 101, 1949, p. 201-204.

(³) Ces projections ont été mises en évidence par la méthode des post-décharges sur des chats anesthésiés au Dial ou sur les préparations « encéphale isolé » (H. Gastaut, R. Naquet et A. Roger, *Société d'E. E. G.*, Paris, décembre 1951).

(*) Séance du 1er décembre 1952.

expérimental (1), nous avons envisagé un nouvel aspect de cette question. Soit une série de souris contaminées, par voie intraveineuse, avec 1 mg d'une culture de BK (souche H 37 Rv) sur milieu de Löwenstein, âgée de 15 jours, puis traitées, dès le lendemain de l'infection, par 0,5 mg d'INH *per os* et quotidiennement pendant 30 jours. Quel est le sort de telles souris, si on les conserve durant plusieurs semaines après ce traitement ? Nous avons montré déjà qu'au moment même où elle est suspendue, une semblable cure se révèle efficiente du point de vue lésionnel et microbiologique, attendu que l' « indice » de la bacillose pulmonaire ne dépasse pas 0 à I (2). La présente expérience a été réalisée sur une nouvelle série de 13 sujets, examinés 68 à 121 jours après le début du traitement par l'INH. Évaluation de la surface de tissu pulmonaire restée intègre (3), des altérations bacillaires du poumon, de la rate et du rein, ainsi que du taux de la bacillose de ces mêmes organes. Les résultats sont consignés dans le tableau ci-après :

		Résultats.						
			Altérations microscopiques.			Taux Bacillaire.		
Souris n°	Délai de l'examen (en jours).	Poumon normal (3).	Poumon.	Rate.	Rein.	Poumon.	Rate.	Rein.
9040.....	68	5/5	0	0	0	0	0	0
9042.....	84	5/5	0	0	0	0	0	0
9043.....	87	4/5	I	0	0	I	I	0
9044.....	87	4/5	I	0	0	I	I	0
9050.....	94	4/5	0	0	0	0	0	0
9052.....	114	4/5	I	0	0	I	0	0
9053.....	121	5/5	I	0	0	I	0	0
9054.....	121	5/5	I	0	0	I	0	0
9045.....	121	4/5	I	0	0	II	I	0
9046.....	121	4/5	I	0	0	I	0	0
9047.....	121	3/5	II	0	0	II	0	0
9048.....	121	4/5	I	0	0	II	0	0
9049.....	121	2/5	II	0	0	II	I	0

(1) C. Levaditi, A. Vaisman et H. Chaigneau-Erhard, *Ann. Inst. Pasteur*, **83**, 1952, p. 127; *Comptes rendus*, **234**, 1952, p. 2400; *Ibid.*, **235**, 1952, p. 450; *C. R. Soc. Biol.*, **146**, 1952, p. 873.

(2) *Indice* 0 = absence d'altérations ou de BK; *Indice* I = lésions insignifiantes ou paucibacillose; *Indice* II = altérations ou bacillose moyennes; *Indice* III = lésions ou bacilloses accusées; *Indice* IV = altérations ou bacillose maxima.

(3) Expression sous forme du rapport de la surface pulmonaire demeurée intègre à l'ensemble de cette surface, représenté par le chiffre 5.

De ce tableau, il résulte que :

a. Du point de vue de l'intégrité de la surface pulmonaire : celle-ci a varié entre 4/5 et 5/5 chez tous les animaux, sauf deux (souris 9049 et 9047), chez lesquels elle n'a été que de 2/5 et 3/5.

b. En ce qui concerne les altérations pulmonaires : deux séries d'animaux ont fourni des résultats nettement dissemblables. Une première série, de 6 animaux, examinée entre 68 et 114 jours après l'inoculation infectante, a présenté des lésions dont l'intensité a oscillé entre 0 (3 cas) et 1 (3 cas également), alors que la seconde, de 7 sujets, examinée le 121e jour, a montré des modifications histologiques entre I et II.

c. Pour ce qui a trait au taux bacillaire du poumon, son évaluation a fourni des chiffres identiques aux précédents. La rate a contenu des bacilles (indice I) par quatre fois; le rein a été, dans tous les cas, exempt de BK.

Ces données, comparées à celles qui sont relatives aux souris témoins (mortes entre 19 et 31 jours), dont l'indice des altérations et de la bacillose pulmonaires a été de II à IV dans 100 % des cas, permettent de conclure comme il suit :

Conclusions. — *L'INH assure, chez la Souris tuberculisée, une protection efficace (indice 0 à* I) *pendant un minimum de* 114 *jours après la contamination. Après ce délai, des récidives, aussi bien histopathologiques que bacillaires, se manifestent. En effet, au bout de* 121 *jours, de telles rechutes ont été constatées (indice* II *dans* 4 *cas sur* 7); *elles n'ont, néanmoins, jamais atteint le degré de l'infection pulmonaire présente chez les animaux témoins non traités. Il en résulte que l'effet curatif antituberculeux de l'INH persiste longtemps après la cessation du traitement.*

La séance est levée à 15 h 50 m.

R. C.

ACADÉMIE DES SCIENCES.

SÉANCE ANNUELLE DES PRIX DU LUNDI 15 DÉCEMBRE 1952.

PRÉSIDENCE DE M. ALBERT CAQUOT.

M. **ALBERT CAQUOT** prononce l'allocution suivante :

MES CHERS CONFRÈRES,

L'an qui s'achève a vu disparaître six de nos confrères, et nous conserverons pieusement leur souvenir.

HENRI HARTMANN, Membre de la section de Médecine et Chirurgie, nous quittait en janvier.

Né à Paris en 1860, il appartenait à une de ces nombreuses familles alsaciennes qui ressentirent d'une façon si profonde les malheurs de 1870. En 1881, il réussissait l'internat, devenait aide d'anatomie en 1884, prosecteur en 1886 et chirurgien des Hôpitaux en 1892.

Homme d'action à la fois audacieux et prudent, observateur précis et perspicace il fut rapidement un chef d'école aimé et suivi par de nombreux disciples dont beaucoup devinrent des maîtres.

Il professa de longues années à la Faculté de Paris, et son œuvre écrite de grand chirurgien est originale et profonde. Il revient fréquemment dans son enseignement sur l'anatomie pathologique. L'intervention du chirurgien n'est à ses yeux, pour le malade, qu'un court moment dans une évolution qu'il faut arrêter ou modifier. D'où sa conception de la zone opératoire qui doit s'étendre en suivant la frontière tracée dans les organes par cette modification dans le domaine où elle est devenue irréversible.

Il eut recours, pour préciser les phénomènes correspondants, à l'expérimentation directe sur le Chien, afin d'en bien préciser les caractéristiques.

Universellement connu par sa science, plus de 30 sociétés scientifiques étrangères s'étaient assurées le concours de ce maître de la chirurgie qui fut aussi un grand homme de bien.

Bernard Lyot mourait subitement en avril, en mission officielle près du Caire, en Égypte, en revenant d'observer l'éclipse de Soleil à Khartoum. Il appartenait à la section d'Astronomie et, né en 1897, il n'avait que 42 ans, quand il fut nommé Membre de notre Académie, celle-ci ne faisait alors que consacrer une réputation mondiale.

En 1920 une visite à l'observatoire de Meudon décida de sa carrière, au contact de Pérot et de Deslandres.

Dès 1931, il élucide ce phénomène très discuté de la polarisation partielle de la lumière des planètes, grâce à un polarimètre de son invention, beaucoup plus sensible que les instruments connus.

Par des expériences précises de laboratoire il détermine la proportion de la lumière polarisée dans la lumière diffusée par les différents corps solides, ou par les particules en suspension dans les gaz, et compara ses résultats expérimentaux, aux résultats observés sur les planètes, ce qui permit de pénétrer plus intimement dans leur constitution.

Un autre problème plus difficile encore fut par lui résolu pour la connaissance de la couronne solaire, grâce à l'observation directe en tous temps, en dehors des éclipses.

Son coronographe enregistre les spectres de la couronne et particulièrement les protubérances avec une grande richesse. Lyot reçut alors les plus hautes récompenses de la « Royal astronomical Society » de Londres, et de l'« Astronomical Society of the Pacific ».

D'une activité surprenante, Bernard Lyot mit au point des filtres monochromatiques polarisant très lumineux qui constituent une très difficile réalisation de physique expérimentale, et bien d'autres appareils étaient conçus par lui quand il fut terrassé à la suite du travail exténuant qu'avait nécessité l'observation de l'éclipse à Khartoum.

Sa perte est irréparable pour l'Astronomie physique.

En septembre, nous perdions **Charles Pérez** Membre de la section d'Anatomie et Zoologie.

Il était né à Bordeaux en 1873, fils du professeur de Zoologie à la faculté de cette ville, notre ancien Correspondant.

Entré à l'École Normale en 1895, il était dès 1902 Docteur ès Sciences avec une thèse sur la métamorphose des Fourmis, et il recevait successivement deux prix pour ses travaux et particulièrement ceux qui concernent l'embryologie générale.

En 1921, Charles Pérez fut nommé professeur de la Chaire de Zoologie à la Sorbonne où il poursuivit une carrière d'enseignement particulièrement apprécié, et de recherches scientifiques menées à bien.

En 1935, il était élu Membre de notre Académie.

Dans les divers types d'insectes, il montra l'importance de la phagocytose pour l'élimination des tissus et organes propres à la larve, et il fit des recherches sur la genèse et la résorption physiologique des produits sexuels.

Sa croisière dans le Golfe Persique l'avait très tôt dirigé spécialement sur la faune Marine et il l'étudia avec continuité sur la côte française à Arcachon, à Wimereux et à Roscoff, en élucidant les formes et les fonctions du parasitisme, et en approfondissant les modifications déterminées sur leurs hôtes.

Il clarifia la nature du groupe énigmatique des vers nématoïdes qui seulement à l'âge adulte flottent en surface. La première partie de leur vie s'écoule comme parasites des Pagures et des Crabes.

Ainsi Charles Pérez, par des travaux précis conduits avec une méthode sévère, put élucider un grand nombre de ces faits de parasitisme, qui jouent un si grand rôle dans la faune Marine.

D'une exquise urbanité ce savant ne laisse derrière lui que des regrets.

Ernest Vessiot, grand mathématicien disparut en octobre. Né à Marseille en 1865, il avait dès sa sortie de l'École normale retenu l'attention par la clarté de ses exposés de professeur dans les facultés des Sciences.

En 1902, un Mémoire remarquable sur un sujet proposé par notre Académie relatif à la Théorie des groupes lui valut à l'unanimité le grand prix des Sciences mathématiques.

Dès 1914, il était président de la Société mathématique de France puis fut nommé professeur à la Sorbonne, enfin Directeur de l'École normale supérieure.

De 1902 à 1942, il fut cinq fois lauréat de notre Académie et il fut élu Membre dans la section de Mécanique en 1943.

Ses travaux se rapportent surtout à l'intégration des équations différentielles dans la ligne tracée pour les groupes par Galois et suivie par Sophus Lie.

Ils sont caractérisés par leur profondeur, leur rigueur parfaite et leur lucide élégance, d'après le jugement de Painlevé. Ernest Vessiot a créé la théorie de l'intégration des faisceaux de transformations infinitésimales pour la solution des systèmes d'équations aux dérivées partielles, par une extension de la théorie des groupes de transformation dominée par la notion de structure.

Ses études sur la propagation des ondes permettent de comprendre ce phénomène en physique mathématique, en optique, en hydrodynamique et en élasticité.

Les travaux de Vessiot appliqués à la théorie d'Einstein sur la Relativité générale ont abouti à l'identité des lois des ondes lumineuses, électromagnétiques et de gravitation.

Il fut un maître vénéré pour les nombreuses générations de ses élèves.

Louis Lapicque vient de s'éteindre il y a quelques jours. Il était Membre de notre section d'Économie rurale.

Né à Épinal en 1866, il fit ses études supérieures à la Sorbonne et était licencié ès Sciences naturelles dès 1886. Il se consacra tout d'abord aux recherches de laboratoire, puis fit de 1892 à 1893 une mission scientifique particulièrement fructueuse en Abyssinie, en Malaisie et au Golfe Persique pour l'étude des races humaines.

En 1895, il était docteur en Médecine et en 1897 docteur ès Sciences naturelles.

Plusieurs fois lauréat de notre Académie il fut élu en 1930.

L'œuvre considérable de Louis Lapicque lui a valu une grande réputation parmi les physiologistes. Comme professeur de Physiologie générale à la Sorbonne, il eut un laboratoire très actif où de jeunes savants venaient recueillir de tous pays son enseignement si précis et si varié.

Sa mission de 1892 l'avait conduit à l'étude des races humaines. Dès lors il s'occupa sans cesse, du rapport du poids du cerveau, au poids du corps en cherchant les variations et en analysant les causes multiples de ces variations.

La ration alimentaire retint aussi son attention, et avec sa précision coutumière il reprit les expériences en agissant sur les paramètres du milieu, et en chimie physiologique il étudia les mutations du fer et en fit un examen statistique.

Mais l'œuvre capitale de Louis Lapicque, celle qui eut un immense retentissement fut relative à la détermination de la loi d'excitation électrique du système nerveux, en fonction de l'intensité et du temps, et il aboutit à la notion de *chronaxie* qu'il définit et qui est devenue classique.

Dans ses études tous les éléments sont précisés, et des expériences distinctes, en faisant varier chaque paramètre indépendamment, permettent de remonter aux causes.

Avec Louis Lapicque disparaît une belle figure de savant unanimement respecté pour sa science comme pour l'indépendance de son esprit.

Un de nos Membres associés, le célèbre savant anglais **Sir Charles Sherrington**, prix Nobel et ancien Président de la Société Royale de Londres s'est éteint en mars à Eastbourne dans le Sussex à l'âge de 95 ans.

Ce physiologiste éminent appartenait à notre Compagnie comme Correspondant depuis 1923, puis comme Associé depuis 1945.

Ses travaux d'une importance fondamentale sont classiques dans la Science moderne.

Étant professeur à Oxford, il publia en 1906 son célèbre Mémoire sur les actions et réactions réciproques des circuits nerveux, et il a montré comment l'organisme agissait spontanément pour coordonner les mouvements et assurer leur stabilité.

La pression de contact déterminée par la fonction musculaire est contrôlée par les éléments nerveux subissant cette pression et réagissant à leur tour pour assurer le réglage de l'action du muscle.

Il situa aux synapses, c'est-à-dire aux zones des contacts des neurones, la fonction propre du système nerveux.

Tous ceux qui ont approché ce savant ont décrit sa personnalité pleine de charme et de modestie.

Au mois d'avril de cette année, en moins d'une semaine nous avons perdu trois correspondants.

Le docteur **Theodor Mortensen** décédé à Copenhague, à l'âge de 84 ans, était notre Correspondant depuis 1948, dans la section d'Anatomie et Zoologie.

Ses travaux ont porté essentiellement sur les Echinodermes, ce grand voyageur explorant à maintes reprises l'océan Indien et le Pacifique.

La caractéristique de ses travaux est la constante liaison qu'il établit dans l'étude entre l'animal et le milieu qui l'entoure et il a réussi à terminer son œuvre en publiant les 16 tomes de sa Monographie des Echinides des Mers du Globe.

Ce savant éminent ne comptait dans notre pays que des amis.

Le physicien **Hendrik Anthony Kramers** est mort à Leyde à l'âge de 57 ans. Il était notre Correspondant depuis 1947.

Il eut pour maître Lorenz et Ehrenfest et fut l'assistant de Niels Bohr à Copenhague. Il réussit alors à prévoir et à calculer la répartition des intensités dans le spectre continu des rayons X et ses résultats ont été confirmés par la Mécanique quantique.

Pour la dispersion de la Lumière il fit le passage de la théorie classique à la théorie quantique, ce qui permit à Heisenberg de concevoir sa Mécanique quantique.

Après l'apparition de la Mécanique ondulatoire il en fit pour ses élèves des universités d'Utrecht et de Leyde un puissant instrument de recherches adapté à la solution de nombreux problèmes de physique. Sa grande notoriété lui avait valu d'être président de la Commission de l'énergie atomique de l'O. N. U. et président de l'union internationale de Physique pure et appliquée.

Le mathématicien **Guido Castelnuovo** s'est éteint à Rome à l'âge de 86 ans.

Dès 1886 il était à Turin l'assistant d'Enrico d'Ovidio et en 1891, fut professeur à l'université de Rome.

Ses premiers travaux se rapportent à la théorie des courbes envisagée avec le langage de l'hyperespace.

C'est ensuite la théorie des surfaces dans laquelle il introduit des notions fondamentales, et ouvre la voie d'une Géométrie renaissante développée dans l'école Italienne.

Son activité universitaire fut exceptionnelle, et il sut se rendre compte à l'avance de l'évolution des disciplines nouvelles et de leur importance. Son imagination puissante fut celle d'un créateur. Dès la constitution de la République Italienne après les années d'épreuve dues aux lois raciales, il fut nommé président de l'Académie des « Lincei », Commissaire général au Conseil national de la recherche, et président de la société Européenne de culture.

Il y a quelques jours, l'Académie apprenait la nouvelle perte qu'elle venait de faire en la personne de l'illustre explorateur suédois, **Sven Hedin**, Correspondant pour notre section de Géographie et Navigation.

Particulièrement attaché au Continent asiatique, il parcourut, dès sa première traversée, qui dura trois ans, de 1894 à 1897, les plateaux neigeux à une altitude moyenne de plus de 6 000 m; il faillit y perdre toute sa caravane. Les ruines du Sud-Est du Pamir et du Takla Morkan furent relevées, ainsi que le cours du Tarim, jusqu'au Lob Nor.

Dans un second, puis un troisième voyage, il explora les bourrelets de chaînes d'où découlent le Bramapoutre, l'Indus, etc.

C'est ainsi qu'il nous a fait connaître les innombrables lacs des plateaux et qu'il a résolu l'énigme du Lob Nor, type du lac de steppe désertique.

Il meurt à 87 ans, nous laissant une cartographie désertique comprenant 1149 feuilles, appuyées sur 114 points astronomiques.

* * *

Nous ne pouvons manquer d'être frappés du sens humain et de la modestie de ces grands savants quand nous rappelons leur activité bienfaisante en toutes directions.

Et cependant, le développement prodigieux de la Science et de ses applications depuis un siècle ne semble pas avoir entraîné de progrès sensibles dans la marche de l'humanité vers une vie plus heureuse.

Le Savant apparaît comme ce semeur des gravures anciennes qui lance son grain à la volée sans pouvoir modifier favorablement les conditions de vie du milieu physique et chimique dans lequel la plante va grandir.

Bien plus, il est souvent fort oublié des organismes qui feront la récolte, et qui se constituent parfois autour de personnalités dont le fanatisme intransigeant et aveugle remplace les clartés de l'esprit.

La puissance prodigieuse de la Science pour le bien de tous est à peine utilisée, tandis que des groupements rivaux développent avec frénésie ce qui peut contribuer à accroître leur puissance ou à calmer leurs appréhensions.

Nous voyons de grands peuples développer leur population périodiquement ravagée par la famine, bien que disposant, dans les puissantes condensations de leurs montagnes, des quantités d'eau nécessaires pour décupler la fertilité de leurs terres arables.

La consommation des matières premières se poursuit dangereusement suivant une progression géométrique dans la suite du temps, et les peuples favorisés par leur faible densité et la richesse géologique de leur territoire, consomment près de la moitié de la production mondiale pour moins d'un dixième de la population totale.

Ce manque d'organisation générale n'est pas un fait nouveau et c'est pourquoi les époques de grande civilisation se sont situées dans les nations, grandes ou petites, aux époques où le hasard a placé une autorité dirigeante entourée des meilleurs esprits et conduisant l'activité vers l'intérêt général.

Il en fut ainsi du temps de Périclès, d'Auguste, de Saint-Louis et de Louis XIV. Il en sera de même demain dans toute République qui développera et utilisera les élites pour assurer le mieux être de chacun simultanément avec l'épanouissement de sa liberté.

Les grandes étapes de la vie de ces hommes de science et hommes de bien que nous venons de rappeler en l'année où ils ont disparus nous montrent l'influence maîtresse du cadre où ils ont vécus, influence qui peut être favorable, mais aussi qui est souvent fatale. Les immenses

possibilités de leur esprit ne pouvaient avoir leur plein épanouissement que dans le champ de la pensée contemporaine, mais avec le maximum de liberté individuelle compatible avec les servitudes matérielles de l'organisme humain. Tous ont lutté pour s'assurer cette indépendance intellectuelle sans laquelle la vie ne vaudrait pas d'être vécue et si, en ce jour, nous rappelons leurs vertus, c'est précisément parce qu'ils ont eu le courage et la force nécessaires pour penser pleinement et écarter les tentations comme les obstacles de la route.

Mais combien de leurs contemporains également doués au départ se sont laissés arrêter par ces mêmes obstacles et ont consenti à vivre au ralenti dans un milieu trop lourd pour leur vigueur et ont laissé sans emploi de belles facultés de compréhension et de création qui eussent profité à l'ensemble de leur pays.

Cette formation et ce développement des Élites pour le service de Tous doit être le souci majeur de toute nation moderne.

Quand nous étudions en toutes directions, nous voyons que, par l'application correcte de la notion du rendement, il serait possible de multiplier, par un facteur élevé, l'efficacité en tous domaines. Après avoir supprimé la misère il serait facile d'assurer, à la Nation, une situation beaucoup plus prospère.

Le fils de l'Organisateur de la victoire, lui-même fort illustre comme fondateur de la thermodynamique, Sadi Carnot, termine son célèbre Mémoire sur la puissance motrice du feu, base de notre civilisation économique actuelle, par cette réflexion qui s'applique rigoureusement à notre époque :

« Savoir apprécier, dans chaque cas, à leur juste valeur, les considérations de convenance et d'économie qui peuvent se présenter, savoir discerner les plus importantes de celles qui sont seulement accessoires, les balancer toutes convenablement entre elles, afin de parvenir, par les moyens les plus faciles, au meilleur résultat, tel doit être le principal talent de l'homme appelé à diriger, à coordonner entre eux les travaux de ses semblables, à les faire concourir vers un but utile de quelque genre qu'il soit. »

N'est-ce point là l'œuvre de précision et de vérité qu'entreprend tout savant et que doit entreprendre tout homme d'État.

Et lorsque se pose pour nous un projet quelconque, à l'échelle modeste d'un laboratoire, ou à l'échelle colossale de la nation, ne cherchons-nous pas à atteindre ce meilleur rendement par un calcul poussé en tous ses détails et en se basant sur les caractéristiques expérimentales les plus exactes ? Et combien sont actuellement réalisables et qui ne seront pas même étudiés.

C'est dans la joie de concevoir et de construire, dans l'enthousiasme profond de bien servir que se réalisent les projets consciencieusement prévus.

Alors, le cerveau fonctionne pour utiliser, au seul bien commun des hommes, les forces et les lois de la nature que nous avons pu apprendre à connaître.

Aussi est-ce pour chacun de nous une sensation d'euphorie quand nous nous retrouvons chaque lundi au sein de notre Compagnie entre médecins, naturalistes, ingénieurs, chimistes, physiciens ou géomètres, chacun cherchant avec passion à agrandir le patrimoine de nos connaissances humaines pour mieux aider nos semblables dans la recherche de la vérité.

Et lorsque quelques instants après nous rentrons dans la vie, avec son cortège de tristesses nées d'illusions toujours aussi fausses, quoique toujours renaissantes, nous imaginons ce que pourrait être la grandeur d'une nation qui accepterait de s'appuyer à chaque instant sur les constatations véridiques des faits réels tels que la science permet aujourd'hui de les prévoir.

Sans doute d'aucuns pensent que le mensonge peut être parfois un palliatif contre la désespérance, mais par là leur pensée n'est plus celle de l'homme d'action qui veut la guérison. Il en est du mensonge comme de la morphine, son usage conduit à la mort.

Notre jeunesse est pleine de vie. Dans nos laboratoires, dans nos ateliers, dans nos chantiers elle s'enthousiasme pour son travail dès qu'elle en perçoit l'utilité et l'efficacité.

Ne la berçons point de mensonges et affermissons son caractère pour qu'elle puisse accepter spontanément des sacrifices dans les périodes difficiles et pour qu'elle s'exhalte dans les périodes normales en vue de faciliter le développement des sciences, des lettres et des arts.

Bref, disons-lui, avec Pascal :

« Il faut de l'agréable et du réel, mais il faut que cet agréable soit lui-même pris du vrai. »

Je donne la parole à M. **Louis de Broglie**, Secrétaire perpétuel, pour la lecture des prix et subventions.

PRIX ET SUBVENTIONS ATTRIBUÉS EN 1952.

MATHÉMATIQUES.

Commissaires : MM. J. Hadamard, É. Borel, H. Villat, L. de Broglie, G. Julia, J. Chazy, P. Montel, A. Denjoy, J. Pérès, N...

PRIX CARRIÈRE (10.000fr). — Le prix est décerné à M. **Marcel Brelot**, professeur à la Faculté des sciences de Grenoble, pour ses travaux d'analyse mathématique. *Rapporteur :* M. É. Borel.

PRIX VICTOR THÉBAULT (10.000fr). — Le prix est décerné à M. **Louis Couffignal**, inspecteur général de l'Instruction publique, pour ses travaux sur le calcul numérique. *Rapporteur :* M. L. de Broglie.

PRIX LEONARD EUGENE DICKSON (10.000fr). — Le prix est décerné à M. **Jean Dieudonné**, professeur à la Faculté des sciences de Nancy, pour ses travaux d'algèbre. *Rapporteur :* M. G. Julia.

MÉCANIQUE.

Commissaires : MM. Ém. Borel, A. de Gramont, H. Villat, L. de Broglie, G. Julia, A. Caquot, J. Pérès, E. Vessiot, H. Beghin, M. Roy.

PRIX MONTYON (10.000fr). — Le prix est décerné à M. **Jacques Valensi**, professeur à la Faculté des sciences de Marseille, pour l'ensemble de ses travaux de mécanique des fluides et d'aérotechnique. *Rapporteur :* M. J. Pérès.

PRIX HENRI DE PARVILLE (18.000fr). — Le prix est décerné à M. **Jean Mandel**, professeur à l'École nationale supérieure des mines, pour ses travaux sur la mécanique des solides déformables. *Rapporteur :* M. A. Caquot.

ASTRONOMIE.

Commissaires : MM. E. Esclangon, Ch. Maurain, L. de Broglie, G. Fayet, L. Picart, J. Chazy, P. Montel, B. Lyot, J. Cabannes, A. Danjon.

PRIX DAMOISEAU (10.000fr). — Le prix est décerné à M. **David Belorizky**, astronome-adjoint à l'Observatoire de Marseille, pour l'ensemble de ses travaux de mécanique céleste et notamment sur les séries de Sundman. *Rapporteur :* M. J. Chazy.

PRIX JULES-CÉSAR JANSSEN. — La médaille est décernée à M. **André Couder**, astronome titulaire de l'Observatoire de Paris, président du Bureau des longitudes, pour ses travaux d'optique instrumentale. *Rapporteur :* M. A. Danjon.

GEOGRAPHIE.

Commissaires : MM. Ch. Maurain, J. Tilho, L. de Broglie, G. Durand-Viel, A. Chevalier, É.-G. Barrillon, Em. de Martonne, R. Courrier, D. Cot, G. Poivilliers, H. Humbert.

PRIX BINOUX (16.000fr). — Le prix est décerné à M. **Paul Tchernia**, collaborateur scientifique à l'État-Major général de la Marine, pour l'ensemble de ses travaux sur l'océanographie. *Rapporteur :* M. G. Durand-Viel.

PRIX AIMÉ LAUSSEDAT (10.000fr). — Le prix est décerné à M. **Ermenegildo Santoni**, docteur-ingénieur, pour l'ensemble de son œuvre photogrammétrique et particulièrement pour sa méthode de cheminement par périscope solaire. *Rapporteur :* M. G. Poivilliers.

NAVIGATION.

Commissaires : MM. É. Borel, M. de Broglie, H. Villat, J. Tilho, L. de Broglie, G. Julia, A. Caquot, G. Durand-Viel, É.-G. Barrillon, J. Pérès, Em. de Martonne, E. Vessiot, H. Beghin, D. Cot, G. Poivilliers, M. Roy.

PRIX PLUMEY. — Le prix de 1951 (44.000fr) est décerné à M. **Robert Gibrat**, professeur à l'École nationale supérieure des mines, pour l'ensemble de ses travaux sur le haut rendement des grandes centrales thermiques. *Rapporteur :* M. A. Caquot.

Le prix de 1952 (50.000fr) est partagé entre :

— M. **Robert Legendre**, ingénieur en chef du génie maritime, pour ses travaux sur la mécanique des milieux continus (solides et fluides). *Rapporteur :* M. A. Caquot ;

— M. **Jean Stolz**, ingénieur à l'Électricité de France, pour sa contribution à la Commission de normalisation des mesures de débits fluides. *Rapporteur :* M. É.-G. Barrillon.

PHYSIQUE.

Commissaires : MM. M. de Broglie, Ch. Maurain, A. de Gramont, L. de Broglie, Ch. Mauguin, C. Gutton, F. Joliot, J. Becquerel, J. Cabannes, G. Ribaud, L. Leprince-Ringuet, E. Darmois.

PRIX GASTON PLANTÉ (10.000fr). — Le prix est décerné à M. **Bernard Gregory**, ingénieur en chef des mines, pour ses travaux sur les interactions des protons de grande énergie avec la matière. *Rapporteur :* M. L. Leprince-Ringuet.

PRIX HUGHES (10.000fr). — Le prix est décerné à M. **Michel Soutif**, maître de conférences à la Faculté des sciences de Grenoble, qui a introduit en France l'étude de la résonance magnétique nucléaire. *Rapporteur :* M. J. Cabannes.

PRIX DU GÉNÉRAL FERRIÉ (12.000fr). — Le prix est décerné à M. **Jean-Claude Simon**, ingénieur à la Compagnie de télégraphie sans fil, pour ses études de diffraction des ondes hertziennes. *Rapporteur :* M. C. Gutton.

CHIMIE.

Commissaires : MM. G. Bertrand, M. Delépine, M. Javillier, P. Lebeau, J. Duclaux, P. Jolibois, R. Courrier, L. Hackspill, P. Pascal, Ch. Dufraisse.

PRIX MONTYON DES ARTS INSALUBRES (10.000fr). — Le prix est décerné à M. **Marc Raucourt**, directeur du Laboratoire de phytopharmacie de l'Institut national de la recherche agronomique, pour l'ensemble de ses recherches sur les substances chimiques utilisables en agriculture comme antiparasitaires, et ses travaux de toxicologie et hygiène. *Rapporteur :* M. M. Javillier.

PRIX LA CAZE (35.000fr). — Le prix est décerné à M. **Jean-Lucien Andrieux**, directeur de l'École nationale supérieure d'électrochimie et d'électrométallurgie, professeur à la Faculté des sciences de Grenoble, pour ses travaux d'électrométallurgie. *Rapporteur :* M. P. Lebeau.

PRIX PAUL MARGUERITE DE LA CHARLONIE (40.000fr). — Le prix est partagé entre :

— M. **Albert Tian**, professeur honoraire de la Faculté des sciences de Marseille, pour l'ensemble de ses travaux de chimie minérale et de microthermochimie. *Rapporteur :* M. L. Hackspill ;

— M. **Max Mousseron**, directeur de l'Institut de chimie de Montpellier, professeur à la Faculté des sciences de Montpellier, pour l'ensemble de ses travaux de chimie organique. *Rapporteur :* M. M. Delépine.

MÉDAILLE BERTHELOT. — La médaille est décernée à M. **Albert Tian**, lauréat du prix Paul Marguerite de la Charlonie.

PRIX ÉMILE JUNGFLEISCH (100.000fr). — Le prix est décerné à M. **Marcel Sommelet**, professeur honoraire à la Faculté de pharmacie de Paris, pour l'ensemble de ses travaux de chimie organique. *Rapporteur :* M. M. Delépine.

MINÉRALOGIE ET GÉOLOGIE.

Commissaires : MM. M. Caullery, Ch. Jacob, Ch. Mauguin, F. Grandjean, Em. de Margerie, P. Jolibois, R. Courrier, A. Michel-Lévy, A. Demolon, P. Fallot.

PRIX JOSEPH LABBÉ (15.000fr). — Le prix est décerné à la **Section d'études des gîtes minéraux du Service géologique du Maroc**, et notamment à M. **Jules Agard**, chef de la Section et MM. **Jean Bouladon**, **Georges Jouravsky**, **Philippe Morin**, **François Permingeat**, membres de cette Section, ainsi qu'au Chanoine **Christophe Gaudefroy**, chargé de mission. *Rapporteur :* M. P. Fallot.

PRIX CARRIÈRE (15.000fr). — Le prix est décerné à M. **Germain Sabatier**, chercheur libre au Laboratoire de minéralogie de la Faculté des sciences de Paris, pour ses travaux sur la chimie physique des silicates. *Rapporteur :* M. Ch. Mauguin.

FONDATION LUCIEN CAYEUX. — Deux prix de 10.000fr sont décernés :

— à Mme **Henri Rech**, née **Marguerite Frollo**, attachée de recherches au Centre national de la recherche scientifique, pour sa collaboration à la publication du troisième et dernier volume de Lucien Cayeux sur les phosphates et pour ses recherches de pétrographie sédimentaire dans les Carpathes orientales, puis dans les Pyrénées et le Bassin d'Aquitaine. *Rapporteur :* M. Ch. Jacob ;

— à M. **André Vatan**, chef de laboratoire à l'Institut du pétrole, pour ses études pétrographiques relatives successivement aux alluvions de la Loire, à des formations sédimentaires du Bassin de Paris, du Jura et surtout du Bassin d'Aquitaine. *Rapporteur :* M. A. Michel-Lévy.

BOTANIQUE.

Commissaires : MM. G. Bertrand, L. Blaringhem, A. Chevalier, Em. de Martonne, G. Ramon, R. Souèges, R. Courrier, R. Heim, R. Combes, H. Humbert.

PRIX DESMAZIÈRES (10.000fr). — Le prix est décerné à M. **Pierre Martens**, professeur à l'Université de Louvain, pour l'ensemble de ses études sur la sexualité des champignons supérieurs. *Rapporteur :* M. R. Heim.

PRIX FOULON (15.000fr). — Le prix est décerné à M. **Gilbert Cours**, inspecteur général des Stations agricoles de Madagascar, pour son ouvrage intitulé : *Le manioc à Madagascar. Rapporteur :* M. H. Humbert.

ÉCONOMIE RURALE.

Commissaires : MM. Em. Leclainche, G. Bertrand, L. Blaringhem, L. Lapicque, M. Javillier, A. Chevalier, R. Courrier, A. Demolon, A. Mayer, M. Lemoigne.

PRIX FOULON (15.000fr). — Le prix est décerné à M. **Soleyman Deyhimi**, directeur des laboratoires de recherches scientifiques de l'armée iranienne, pour son étude de la morve du cheval, en Iran. *Rapporteur :* M. E. Leclainche.

PRIX Mme ALBERT DEMOLON (20.000fr). — Le prix est décerné à M. **Stéphane Hénin**, directeur de recherches à l'Institut national de la recherche agronomique, pour ses travaux sur les propriétés physiques des sols, leur structure et l'influence de celle-ci sur le développement des végétaux. *Rapporteur :* M. M. Javillier.

ANATOMIE ET ZOOLOGIE.

Commissaires : MM. M. Caullery, Ch. Pérez, P. Portier, É. Roubaud, P. Wintrebert, L. Fage, L. Binet, G. Ramon, R. Courrier, P.-P. Grassé.

PRIX CUVIER (12.000fr). — Le prix est décerné à M. **Maxime Lamotte**, assistant de génétique à la Sorbonne, pour son travail intitulé : *Recherches sur la structure génétique des populations naturelles de* Cepea Nemoralis *L. Rapporteur :* M. M. Caullery.

PRIX SAVIGNY (10.000fr). — Le prix est décerné à M. **Maxime Vachon**, assistant au Muséum national d'histoire naturelle, pour son travail intitulé : *Études sur les scorpions. Rapporteur :* M. L. Fage.

PRIX FOULON (15.000fr). — Le prix est décerné à M. **André Soulairac**, maître de conférences à la Sorbonne, pour l'ensemble de ses travaux de psychophysiologie. *Rapporteur* : M. P.-P. Grassé.

MEDECINE ET CHIRURGIE.

Commissaires : MM. Em. Leclainche, L. Lapicque, P. Portier, E. Sergent, L. Binet, G. Ramon, R. Courrier, Ch. Laubry, R. Leriche, A. Lacassagne, G. Guillain, N....

PRIX MONTYON (25.000fr). — Le prix est décerné à M. **Jean Terracol**, professeur à la Faculté de médecine de Montpellier, pour son ouvrage intitulé : *Les maladies de l'œsophage. Rapporteur :* M. R. LERICHE

PRIX BRÉANT. — Un prix de 20.000fr est décerné à M. **Paul Durand**, directeur de l'Institut Pasteur de Tunis, pour ses travaux sur le traitement du paludisme. *Rapporteur :* M. A. LACASSAGNE.

PRIX DU BARON LARREY (10.000fr). — Le prix est décerné à MM. les Médecins-Colonels **Charles Jaulmes** et **André Jude**, le Médecin-Général **Jean Quérangal des Essarts**, pour leur ouvrage intitulé : *Pratique du laboratoire. Rapporteur :* M. G. RAMON.

PRIX JEAN DAGNAN-BOUVERET (20.000fr). — Le prix est partagé entre :

— M. **Yves Derrien**, professeur à la Faculté mixte de médecine et de pharmacie de Marseille, pour ses travaux de biochimie et de physicochimie des protéines. *Rapporteur :* M. P. PORTIER;

— Mme **Jean-Marie Mantz**, née **Jeanine Le Coroller**, interne des Hôpitaux, pour ses recherches expérimentales sur la section du nerf optique. *Rapporteur :* M. R. LERICHE.

CANCER ET TUBERCULOSE.

Commissaires : MM. M. Caullery, L. Lapicque, J. Jolly, L. Binet, G. Ramon, R. Courrier, Ch. Laubry, A. Lacassagne.

PRIX ROBERGE (12.000fr). — Le prix est décerné à M. **Maurice Bariéty**, professeur à la Faculté de médecine de Paris, pour ses travaux sur la tuberculose pulmonaire. *Rapporteur :* M. L. BINET.

PRIX BARIOT-FAYNOT (10.000fr). — Le prix est décerné à M. **Jacques Delarue**, professeur à la Faculté de médecine de Paris, pour ses travaux relatifs à la tuberculose. *Rapporteur :* M. L. BINET.

FONDATION ROY-VAUCOULOUX (90.000fr). — Un prix est décerné à M. **Jean Verne**, professeur à la Faculté de médecine de Paris, pour ses travaux sur les pigments, la culture des tissus, la cytochimie. *Rapporteur :* M. L. BINET.

PRIX MARIE LÉON-HOURY (10.000fr). — Le prix est décerné à M. **Ng. Ph. Buu Hoï**, directeur du laboratoire de chimie organique de l'Institut du radium, pour ses travaux sur la cancérisation chimique. *Rapporteur :* M. A. LACASSAGNE.

PHYSIOLOGIE.

Commissaires : MM. M. Caullery. L. Lapicque, P. Portier, J. Jolly, L. Binet, G. Ramon, R. Courrier, P.-P. Grassé.

PRIX MONTYON (10.000fr). — Le prix est décerné à M. **Louis-Paul Dugal**, professeur à la Faculté de médecine de l'Université Laval, à Québec, pour l'ensemble de ses travaux et spécialement pour ses études sur la résistance et l'acclimatation au froid. *Rapporteur :* M. R. COURRIER.

PRIX FANNY EMDEN (12.000fr). — Le prix est décerné à M. **Léon Képinoff**, maître de recherches au Centre national de la recherche scientifique, pour ses études des glandes à sécrétion interne, notamment de la thyroïde et de l'hypophyse et de leur rapport avec l'hyperglycémie et le diabète. *Rapporteur :* M. P. PORTIER.

APPLICATIONS DE LA SCIENCE A L'INDUSTRIE.

Commissaires : MM. L. de Broglie, R. Esnault-Pelterie, É.-G. Barrillon, A. Portevin, A. Pérard, G. Ramon, R. Courrier, P. Chevenard, R. Barthélemy, G. Darrieus, H. Parodi.

PRIX TRÉMONT (10.000fr). — Le prix est décerné à M. **Albert Levasseur**, professeur aux Écoles supérieures d'électricité et de fonderie, pour ses travaux concernant les fours électriques et l'électrochimie. *Rapporteur :* M. A. PORTEVIN.

STATISTIQUE.

Commissaires : MM. É. Borel, L. Blaringhem, Ch. Maurain, H. Villat, L. de Broglie, J. Chazy, P. Montel, A. Denjoy, R. Courrier.

PRIX MONTYON (10.000fr). — Le prix est décerné à M. **Pierre Depoid**, secrétaire général de la Société de statistique de Paris, pour ses travaux de statistique. *Rapporteur :* M. É. BOREL.

OUVRAGES DE SCIENCES.

Commissaires: MM. A. Caquot, A. Chevalier, L. de Broglie, R. Courrier, É. Borel, M. Caullery, M. de Broglie.

PRIX HENRI DE PARVILLE (10.000fr). — Le prix est décerné à M. **Evry Schatzmann**, maître de recherches à l'Institut d'astrophysique, pour son livre sur *Les Planètes*. *Rapporteur :* M. E. BOREL.

PRIX GÉNÉRAUX.

PRIX FONDÉ PAR L'ÉTAT : Grand prix des sciences mathématiques (25.000fr). — Commissaires : MM. Ém. Borel, A. de Gramont, L. de Broglie, G. Julia, J. Chazy, P. Montel, É.-G. Barrillon, A. Pérard.

Le prix est décerné à M. **Paul Dubreil**, professeur à la Faculté des sciences de Paris, pour l'ensemble de ses travaux d'algèbre et d'analyse. *Rapporteur :* M. P. MONTEL.

PRIX BORDIN (16.000fr). — Commissaires : MM. Ém. Borel, Ch. Maurain, A. de Gramont, H. Villat, L. de Broglie, G. Julia, P. Montel, A. Portevin.

Le prix est décerné à M. **Pierre Nicolau**, ingénieur général de 1re classe de l'armement, pour ses travaux de métrologie. *Rapporteur :* M. A. PÉRARD.

PRIX GEGNER (13.000fr). — Commissaires : MM. A. Caquot, A. Chevalier, L. de Broglie, R. Courrier, Ém. Borel, G. Bertrand.

Le prix est décerné à **M. Pierre Cüer**, professeur à la Faculté des sciences de Strasbourg, pour ses études des rayons cosmiques. *Rapporteur :* M. L. DE BROGLIE.

PRIX VAILLANT (25.000fr). — Commissaires : MM. M. Caullery, L. Blaringhem, M. Delépine, P. Lebeau, A. Chevalier, L. Binet, A. Portevin, R. Courrier.

Le prix est décerné à M. **Marc Simonet**, directeur des recherches à la station centrale d'amélioration des plantes de l'Institut national de recherches agronomiques de Versailles du Ministère de l'agriculture, pour ses travaux de génétique sur les Iris. *Rapporteur :* M. L. BLARINGHEM.

PRIX D'AUMALE. — Mêmes Commissaires que pour le prix Gegner.

Deux prix de 20.000fr sont décernés :

— à M. **Georges Nomarski**, attaché de recherches au Centre national de la recherche scientifique, pour ses études d'optique. *Rapporteur :* M. A. DE GRAMONT ;

— à MM. **Robert Warnecke**, directeur du Département électronique du Centre de recherches de la Compagnie générale de télégraphie sans fil, et **Pierre Guénard**, chef de laboratoire au Centre de recherches de la même Compagnie, pour leur ouvrage intitulé : *Les tubes électroniques à commande par modulation de vitesse. Rapporteur :* M. L. DE BROGLIE.

PRIX SAINTOUR (10.000fr). — Commissaires : MM. Ém. Borel, Ch. Maurain. A. de Gramont, H. Villat, L. de Broglie, G. Julia, P. Montel, E.-G. Barrillon.

Le prix est décerné à M. **Henri Dessens**, directeur de l'Observatoire du Puy-de-Dôme, pour ses travaux sur les noyaux de condensation. *Rapporteur :* M. CH. MAURAIN.

PRIX JULES MAHYER (10.000fr). — Commissaires : MM. M. Caullery, L. Blaringhem, A. Chevalier, L. Fage, L. Binet, A. Portevin, R. Courrier, R. Heim.

Le prix est décerné à M. **Lucien Berland**, sous-directeur de laboratoire au Muséum national d'histoire naturelle, pour l'ensemble de ses travaux d'entomologie. *Rapporteur :* M. L. FAGE.

PRIX AIMÉ BERTHÉ (10.000fr). — Commissaires : MM. Ém. Borel, Ch. Maurain, A. de Gramont, H. Villat, L. de Broglie, G. Julia, P. Montel, E.-G. Barrillon.

Le prix est décerné à M. **Robert Fortet**, professeur à la Faculté des sciences de Caen, pour l'ensemble de ses travaux mathématiques. *Rapporteur :* M. ÉM. BOREL.

PRIX LONCHAMPT (15.000fr). — Commissaires : MM. Em. Leclainche, G. Bertrand, M. Caullery, M. Delépine, M. Javillier, A. Chevalier, L. Binet, R. Courrier.

Le prix est décerné à MM. **Georges Schapira**, agrégé de la Faculté de médecine de Paris, et **Jean-Claude Dreyfus**, chargé de recherches à l'Institut national d'hygiène, pour leurs travaux sur le fer musculaire non héminique et ses deux fractions, et pour l'application de leur dosage au diagnostic. *Rapporteur :* M. M. JAVILLIER.

PRIX CHARLES-LOUIS DE SAULSES DE FREYCINET (35.000fr). — Mêmes Commissaires que pour le prix Gegner.

Le prix est décerné à feu **Làszló J. Havas**, biologiste, pour ses travaux sur la colchicine et l'action de cette substance sur la mitose, et pour ses recherches sur le cancer végétal et les influences exercées sur son développement par diverses substances. *Rapporteur :* M. G. BERTRAND.

PRIX Mme VICTOR NOURY (17.000fr). — Mêmes Commissaires que pour le prix Gegner.

Le prix est décerné à M. **Paul Bastien**, professeur à l'École centrale des arts et manufactures, pour l'ensemble de ses travaux de métallographie. *Rapporteur :* M. A. CAQUOT.

PRIX MILLET-RONSSIN (10.000fr). — Commissaires : MM. R. Courrier, Ch. Jacob, Ch. Mauguin, A. Chevalier, R. Souèges, E. Roubaud, L. Fage.

Le prix est décerné à M. **Maurice Lelubre**, docteur ès sciences, attaché au Service de la carte d'Algérie, pour ses travaux sur les terrains anciens du Massif du Hoggar (Sahara algérien), et sa contribution à l'exploration topographique et géologique du Fezzan (Libye). *Rapporteur :* M. Ch. Jacob.

PRIX DU GÉNÉRAL MUTEAU (25.000fr). — Commissaires : MM. Ém. Borel, L. de Broglie, G. Julia, A. Caquot, G. Durand-Viel, J. Chazy, P. Montel, E.-G. Barrillon.

Le prix est décerné à M. l'Inspecteur général **Louis Hurault**, directeur de l'Institut géographique national, pour l'ensemble de son œuvre optique et géographique. *Rapporteur :* M. G. Durand-Viel.

PRIX LAURA MOUNIER DE SARIDAKIS (20.000fr). — Commissaires : MM. A. Caquot, L. de Broglie, R. Courrier, J. Cabannes, G. Ribaud, G. Bertrand, P. Lebeau, P. Portier, L. Binet.

Le prix est décerné à M. **Charles Sannié**, professeur au Muséum national d'histoire naturelle, pour l'ensemble de ses travaux de chimie orientés principalement vers la chimie médicale et la cancérologie. *Rapporteur :* M. P. Lebeau.

PRIX PAUL GALLET (27.000fr). — Mêmes Commissaires que pour le prix Général Muteau.

Le prix est décerné à M. **Maurice Gevrey**, professeur à la Faculté des sciences de Dijon, pour l'ensemble de son œuvre mathématique. *Rapporteur :* M. Ém. Borel.

PRIX ERNEST DECHELLE (45.000fr). — Commissaires : MM. G. Bertrand, M. Caullery, Ch. Jacob, M. Javillier, A. Portevin, G. Ramon, R. Courrier, R. Heim.

Le prix est décerné à M. **Selmar Aschheim**, directeur de recherches au Centre national de la recherche scientifique, pour ses travaux d'anatomopathologie et d'hormonologie. *Rapporteur :* M. M. Javillier.

PRIX DES GRANDES ÉCOLES ET UNIVERSITÉS.

PRIX LAPLACE et LAMB. — Le prix est décerné à M. **Michel Vaillaud**, né à Paris (XVIe), le 23 décembre 1931, sorti premier de l'École polytechnique.

PRIX L.-E. RIVOT et LAMB. — Le prix est partagé entre les quatre élèves dont les noms suivent, sortis en 1952, avec le n° 1 ou 2 de l'École polytechnique, dans les corps des mines et des ponts et chaussées :

— M. **Michel Vaillaud**, entré premier à l'École des mines, reçoit 15.000fr;

— M. **Jean Hardouin**, entré second à l'École des mines, reçoit 10.000fr;

— M. **Georges Pebereau**, entré premier à l'École des ponts et chaussées, reçoit 15.000fr;

— M. **François Ruffier d'Epenoux**, entré second à l'École des ponts et chaussées, reçoit 10.000fr.

FONDATION GIRBAL-BARAL. — Une allocation de 12.000fr est accordée à M. **Jean-Pierre Serre**, docteur ès sciences, pour sa thèse sur l'homologie des espaces fibrés avec applications aux espaces de lacets.

FONDS GÉNÉRAUX DE RECHERCHES SCIENTIFIQUES.

FONDATION LOUTREUIL. — Conseillers : MM. A. Caquot, L. de Broglie, R. Courrier, E. Borel, G. Bertrand, M. de Broglie.

Les subventions suivantes sont accordées :

— 80.000fr à M. **Henri-V. Vallois**, professeur au Muséum national d'histoire naturelle, pour la préparation d'un catalogue des collections du laboratoire d'ethnologie des Hommes actuels et des Hommes fossiles ;

— 60.000fr à M. **Marcel Véron**, professeur au Conservatoire national des arts et métiers, pour ses travaux sur la vitesse de propagation de la combustion dans les lits de charbon et sur la convection vive ;

— 45.000fr à l'**Institut national agronomique**, pour contribuer à l'achat d'un microscope à contraste de phase ;

— 25.000fr à l'**École nationale vétérinaire d'Alfort**, pour sa Bibliothèque ;

— 10.000fr à la **Société d'encouragement pour l'industrie nationale**, pour sa Bibliothèque.

Rapporteur : M. R. Courrier.

LECTURE.

M. Robert Courrier, Secrétaire perpétuel, lit une *Notice sur la vie et les travaux de Lucien Cuénot* (1866-1951). Cette notice sera imprimée dans le recueil des *Notices et Discours*, t. III.

L. B., R. C.

BULLETIN BIBLIOGRAPHIQUE.

Ouvrages reçus pendant les séances de novembre 1952.

Gouvernement général de l'Indochine. Publications de l'agence économique. XII. *Le poivrier et sa culture en Indochine*, par Auguste Chevalier. Paris, Agence économique de l'Indochine, 1925; 1 fasc. 24 cm.

Centre de recherches scientifiques et techniques. Archives des recherches agronomiques au Cambodge, au Laos et au Viêtnam. *Étude sur le dépérissement des poivrières en Indochine*, par Hubert Barat. Saïgon, 1952; 1 vol. 27,5 cm (présenté par M. A. Chevalier).

Understanding Radio. A guide to practical operation and theory, by Herbert M. Watson, Herbert E. Welch, George S. Eby. New York and London, Mc Graw-Hill Book, 1940; 1 vol. 21 cm.

Experiments in Electronics and communication engineering, by E. H. Schulz, L. T. Anderson. New York and London, Harper and Brothers, 1943; 1 vol. 24 cm.

Shop theory. Revised edition, prepared by The Shop Theory department, Henry Ford trade School. New York and London, 1934, 1941, 1942 ; 1 vol. 28 cm.

The mye technical manual, published by P. R. Mallory. Indianapolis, 1942; 1 vol. 28,5 cm.

Watches adjustement and Repair. A practical Handbook on modern Watches, by F. J. Camm. New York, Chemical publishing; 1 vol. s. d., 19 cm.

A texbook of office management, by William Henry Leffingwell. First edition, sixth impression. New York and London, Mc Graw-Hill book Company, 1932 ; 1 vol. 23,5 cm.

Radio Physics course an elementary text book on electricity and radio, by Alfred A. Ghirardi. Second edition. Ninth impression, New York, Radio and Technical publishing Co, 1933; 1 vol. 23,5 cm.

Personal administration its principles and practice, by Ordway Tead, Henry C. Metcalf. New York and London, Mc Graw-Hill book Company, 1933; 1 vol. 23,5 cm.

The cathode ray tube at Work, by John F. Rider. New York, John F. Rider, 1935; 1 vol. 22 cm.

Practical Radio communication. Principles. Systems. Equipment. Operation, including short — wave and ultra-short — wave Radio, by Arthur R. Nilson, J. L. Hornung. First edition. Thirteenth impression. New York and London, Mc Graw-Hill book Company, 1935; 1 vol. 23 cm.

ABC'S of Diesel engines, prepared by The editorial staff of popular science Monthly. New York, Grasset and Dunlop, 1936; 1 vol. 21 cm.

Industrial electricity and wiring, by James A. Moyer, John F. Wostrel. Second edition. Fourth impression. New York and London, Mc Graw-Hill book Company, 1937; 1 vol. 21 cm.

A short course in trigonometry, by JAMES G. HARDY. Revised edition. New York, The Macmillan Company, 1938; 1 vol. 22 cm.

The Watch and Clock makers handbook : Dictionary and guide, by F. J. BRITTEN. Fourteenth edition revised by J. W. PLAYER. Brooklyn, N. Y., Chemical publishing Company, 1938; 1 vol. 22 cm.

Principles and practice of Radio servicing, by H. J. HICKS. First edition. Sixth impression. New York and London, Mc Graw-Hill book Company, 1939; 1 vol. 23,5 cm.

Mathematics for electricians, by MARTIN H. KUEHN. Second édition. Sixth impression. New York and London, Mc Graw-Hill book Company, 1930, 1941; 1 vol. 21 cm.

Principles of electrical engineering series. Applied electronics a first course in electronics, electron tubes, and Associated circuits, by members of the Staff of the *Department of electrical engineering*. New York, John Wiley and Sons. London, Chapman and Hall, 1943; 1 vol. 23,5 cm,

Les mouvements vibratoires, par JULES HAAG. T. I, in Collection *Euclide*. Paris, Presses universitaires de France, 1952; 1 vol. 19,5 cm.

Navigation aérienne astronomique, par MAX DÉVÉ et RAYMOMD FAURE. Paris, Gauthier-Villars, 1952 ; 1 vol. 25 cm.

Union géodésique et géophysique internationale. Association de météorologie. Réunion de Bruxelles, août 1951. *Rapports nationaux*. Bruxelles, 1952; 1 fasc. 25 cm.

Histoire géologique de la biosphère. La vie et les sédiments dans les géographies successives, par HENRI TERMIER et GENEVIÈVE TERMIER. Paris, Masson et Cie, 1952; 1 vol. 26 cm (présenté par M. Pierre-P. Grassé).

Smithsonian Miscellaneous collections. Vol. 118. Research Corporation Fund. *Smithsonian Logarithmic Tables. To base e and base* 10, by GEORGE WELLINGTON SPENCELEY, RHEBA MURRAY SPENCELEY, EUGENE RHODES EPPERSON. Publication 4054. Washington, Smithsonian Institution, 1952; 1 vol. 23,5 cm.

Lipman Hall being an Account of the Proceedings at the Dedication on June 12th 1951, *of a Building named in honor of Jacob Goodale Lipman*. Copyright 1952, by the Trustees of Rutgers College in New Jersey All Rights Reserved. Binghampton, N. Y., The Vail-Ballou Press. 1952; 1 vol. 23,5 cm.

An international bibliography on Atomic energy. Vol. 2. *Scientific aspects*. Supplement n° 1. New York, Atomic energy section Department of security Council Affairs, 1952; 1 vol. 28 cm.

(*A suivre.*)

ACADÉMIE DES SCIENCES.

SÉANCE DU LUNDI 22 DÉCEMBRE 1952.

PRÉSIDENCE DE M. ALBERT CAQUOT.

MÉMOIRES ET COMMUNICATIONS

DES MEMBRES ET DES CORRESPONDANTS DE L'ACADÉMIE.

ANALYSE MATHÉMATIQUE. — *Sur deux familles de fonctions analogues à la famille des fonctions analytiques.* Note de M. **MAURICE FRÉCHET.**

Des recherches récentes ont montré qu'on pouvait former des familles intéressantes de fonctions *comprenant* comme cas particulier la famille des fonctions analytiques, tout en conservant plusieurs des propriétés de ces fonctions analytiques.

Certaines considérations générales (trop longues à développer ici ; mais que nous exposerons ailleurs) m'ont amené, *en particulier*, à une constatation voisine mais cependant *distincte*. Elles m'ont, en effet, permis de former deux familles P et D de fonctions dont aucune ne comprend la famille A des fonctions analytiques mais qui ont en commun avec A plusieurs propriétés importantes.

Par exemple, on constate dans P et D comme dans A l'*invariance* dans l'*addition, la multiplication* et aussi dans la *composition* (par fonction de fonction).

La définition des fonctions analytiques suppose essentiellement une certaine règle de multiplication du nombre complexe qu'on désigne par i

$$1 \times i = i \times 1 = i, \qquad i^2 = -1.$$

Les deux familles D et P supposent l'utilisation de nombres complexes j et k respectivement, *pour lesquels les règles correspondantes de multiplication sont différentes* de la précédente. On pose d'une part

$$1 \times j = j \times 1 = j ; \qquad j \times j = 0.$$

d'autre part

$$1 \times k = k \times 1 = 0 ; \qquad k \times k = k$$

Dans le premier cas, on pourra représenter le couple (x, y) par le nombre « para-complexe » $u = x + jy$ (en relation avec les nombres de Study); et une

fonction de u par

$$U(u) = X(x, y) + jY(x, y).$$

Dans le second cas, on aura la variable

$$v = x + ky,$$

et la fonction

$$V(v) = X(x, y) + kY(x, y).$$

Définitions. — 1° On aura une fonction $U(u)$ « para-analytique » *de la famille* D quand $U(u)$ peut s'écrire sous la forme

$$U(x + jy) = U(u) = A(x) + j[yA'(x) + B'(x)],$$

où

$$A'(x) = \frac{dA(x)}{dx}, \qquad B'(x) = \frac{dB(x)}{dx}$$

sont deux dérivées elles-mêmes dérivables avec des dérivées premières continues dans le domaine de définition de $U(u)$.

2° Une fonction « para-analytique » *de la famille* P est de la forme

$$V(x + ky) = V(v) = P(x) + kQ(y),$$

où $P(x)$, $Q(y)$ ont des dérivées premières continues dans le domaine de définition de $V(v)$.

Ces définitions suffisent à assurer les trois invariances par addition, par multiplication et par substitution.

Si l'on suppose en outre, que $A(x)$, $B(x)$, $P(x)$, $Q(y)$ sont des fonctions *dérivables indéfiniment* dans le domaine de définition de la fonction para-analytique considérée, alors il y aura encore *invariance* de chacune des familles P et D *dans l'opération de dérivation.*

Sous cette hypothèse plus stricte, on a, en effet,

$$U'(u) = \frac{dU}{du} = \frac{dA + j\,d[yA' + B']}{dx + j\,dy} = A'_x + j[yA''_x + B''_x]$$

qui est aussi une fonction de la famille D.

Et de même :

$$V'(v) = \frac{dV}{dv} = \frac{dP(x) + k\,dQ(y)}{dx + k\,dy} = P'(x) + kQ'(y),$$

donc $V'(v)$ appartient aussi à la famille P.

Remarque. — On pourrait encore signaler bien d'autres analogies des familles A, D. P.

Par exemple X et Y vérifient un système de deux équations aux dérivées partielles du premier ordre, linéaires, homogènes et à coefficients constants. On a en effet :

dans la famille A (comme on sait) :

$$\frac{\partial X}{\partial x} - \frac{\partial Y}{\partial y} = 0, \qquad \frac{\partial X}{\partial y} + \frac{\partial Y}{\partial x} = 0;$$

dans la famille D :

$$\frac{\partial X}{\partial x} - \frac{\partial Y}{\partial y} = 0, \qquad \frac{\partial X}{\partial y} = 0;$$

dans la famille P :

$$\frac{\partial Y}{\partial x} = 0, \qquad \frac{\partial X}{\partial y} = 0.$$

Il en résulte que dans chacune des familles A, D, P, les fonctions X et Y vérifient une *même* équation aux dérivées partielles du second ordre, linéaire, homogène et à coefficients constants, savoir :

pour la famille A (comme on sait) :

$$\frac{\partial^2 W}{\partial x^2} + \frac{\partial^2 W}{\partial y^2} = 0;$$

pour la famille D :

$$\frac{\partial^2 W}{\partial y^2} = 0;$$

pour la famille P :

$$\frac{\partial^2 W}{\partial x \partial y} = 0.$$

M. **Louis de Broglie** dépose sur le Bureau de l'Académie l'*Annuaire pour l'an* 1953, publié par le Bureau des Longitudes.

M. **André Mayer** fait hommage à l'Académie d'un Ouvrage intitulé : *Un pionnier de la Physiologie. Léon Fredericq*, volume publié à l'occasion du Centenaire de la naissance de ce Savant qui fut Correspondant pour la Section de médecine et chirurgie.

M. **Gottlieb Fluckiger** adresse un Mémoire qu'il vient de publier dans *La Pathologie générale, Revue de pathologie comparée et d'hygiène*, intitulé : *L'épizootie de fièvre aphteuse de* 1951-1952 *et les moyens utilisés pour la combattre dans les différents pays de l'Europe occidentale*.

M. **Marcel Dehalu** adresse une Notice intitulée : *Augustin Delporte*.

Les Ouvrages suivants sont présentés :

par M. **Gustave Ribaud** : Mémorial des Sciences physiques, fasc. LIV : *Propriétés optiques des lames minces solides*, par M. Pierre Rouard. Fasc. LV : *Applications optiques des lames minces solides*, par le même;

par M. **Gottlieb Fluckiger** : *L'élimination des animaux tuberculeux et la lutte contre la tuberculose bovine sous le régime des arrêtés du Conseil fédéral.* Thèse inaugurale présentée à la Faculté de médecine vétérinaire de Berne, par M. Pierre-Henri Willi.

DÉSIGNATIONS.

M. **Robert Courrier** est désigné pour représenter l'Académie dans le Conseil scientifique de l'**Association Claude-Bernard**, en voie de création, pour le développement des recherches biologiques et médicales dans les établissements hospitaliers de l'Assistance publique.

CORRESPONDANCE.

M. le **Ministre de l'Éducation Nationale** invite l'Académie à lui présenter une liste de deux candidats au poste d'Astronome titulaire à l'Observatoire de Paris, vacant par le décès de M. *Bernard Lyot.*

Le Comité d'Organisation du **Huitième Congrès international du Pacifique** invite l'Académie à se faire représenter à ce Congrès qui aura lieu à l'Université des Philippines, Quezon City, du 16 au 28 novembre 1953.

L'Académie est informée des Cérémonies qui auront lieu à Madrid, du 15 au 21 avril 1953, à l'occasion du Cinquantième anniversaire de la fondation de la **Real Sociedad espanola de Fisica y Quimica.**

Le Secrétaire général de l'**Académie Royale Néerlandaise des sciences et des lettres** communique la résolution adoptée, le 30 août 1952, à Utrecht, par l'**Institut international d'Embryologie**, dans le but d'attirer l'attention des autorités responsables de l'enseignement et de la recherche médicale sur l'importance des notions relatives au développement embryonnaire.

M. **Jean Verne** prie l'Académie de bien vouloir le compter au nombre des candidats à la place vacante, dans la Section d'anatomie et zoologie, par le décès de M. *Charles Pérez.*

Mme Vve **Lásló J. Havas**, adresse des remercîments pour la distinction accordée à son mari, Mme **Jean-Marie Mantz**, MM. **Jules Agard**,

JEAN-LUCIEN ANDRIEUX, MAURICE BARIÉTY, PAUL BASTIEN, DAVID BELORISKY, JEAN BOULADON, MARCEL BRELOT, ANDRÉ COUDER, PIERRE CÜER, JACQUES DELARUE, PIERRE DEPOID, HENRI DESSENS, PAUL DUBREIL, LOUIS-PAUL DUGAL, PAUL DURAND, ROBERT FORTET, MAURICE GEVREY, ROBERT GIBRAT, JEAN HARDOUIN, STÉPHANE HÉNIN, NG. PH. BUU HOÏ, LOUIS HURAULT, CHARLES JAULMES, GEORGES JOURAVSKY, ANDRÉ JUDE, MAURICE LELUBRE, ALBERT LEVASSEUR, JEAN MANDEL, PIERRE MARTENS, MAX MOUSSERON, PIERRE NICOLAU, FRANÇOIS PERMINGEAT, JEAN QUÉRANGAL DES ESSARTS, MARC RAUCOURT, FRANÇOIS RUFFIER D'EPINOUX, GERMAIN SABATIER, CHARLES SANNIÉ, ERMENEGILDO SANTONI, EVRY SCHATZMAN, le Chef de la SECTION D'ÉTUDES DES GÎTES MINÉRAUX DU MAROC, JEAN-CLAUDE SIMON, MARC SIMONET, ANDRÉ SOULAIRAC, JEAN STOLZ, JEAN TERRACOL, ALBERT TIAN, MAX VACHON, MICHEL VAILLAUD, JACQUES VALENSI, ANDRÉ VATAN, ROBERT WARNECKE adressent des rèmercîments pour les distinctions accordées à leurs travaux.

MM. JEAN-PIERRE SERRE, HENRI VALLOIS, le Directeur de l'ÉCOLE NATIONALE VÉTÉRINAIRE D'ALFORT, le Directeur de l'INSTITUT NATIONAL AGRONOMIQUE, le Président de la SOCIÉTÉ D'ENCOURAGEMENT POUR L'INDUSTRIE NATIONALE adressent des remercîments pour les subventions ou allocations qui leur ont été accordées pour leurs recherches ou leurs Bibliothèques.

M. le SECRÉTAIRE PERPÉTUEL signale parmi les pièces imprimées de la Correspondance :

1° *Études des gîtes minéraux de la France. Bassin houiller de la Sarre et de la Lorraine*. I. *Flore fossile*. 4e fascicule. *Pécoptéridées*, par PAUL CORSIN. Texte et Planches.

2° *Proceedings of the Seventh Pacific Science Congress of the Pacific Science Association*, held at Auckland and Christchurch, New Zealand, 2nd February to 4th March 1949. Vol. III. *Meteorology and Oceanography*.

3° *Le Film de recherche*. Bulletin du Comité permanent du Film de Recherche de l'Association internationale du Cinéma scientifique, n° 1.

ALGÈBRE. — *Logarithmétiques réductibles de quasi-groupes*. Note de Mlle **HÉLÈNE POPOVA**, présentée par M. Paul Montel.

Par analogie avec la représentation matricielle des groupes finis, nous proposons une représentation vectorielle des logarithmétiques de quasi-groupes finis, considérés comme des quasi-groupes additifs finis. Rappelons quelques définitions.

L'*ordre* d'un élément d'un quasi-groupe fini est l'ordre du quasi-groupe

engendré par cet élément. Le quasi-groupe est *uni* s'il est simple et n'a pas de sous-quasi-groupes autres que lui-même. Ainsi, chaque élément d'un quasi-groupe uni est générateur du quasi-groupe. La *logarithmétique* L_Q d'un quasi-groupe fini $Q = (1, 2, \ldots, n)$ est un ensemble de vecteurs $\{1^x, 2^x, \ldots, n^x\}$ où x désigne n'importe quelle puissance non associative et où les opérations d'addition et de multiplication sont définies par

$$(1) \qquad \alpha + \beta = \{a_1 b_1, \ldots, a_n b_n\}, \qquad \alpha\beta = \{a_1^\beta, \ldots, a_n^\beta\}, \qquad \beta\alpha = \{b_1^\alpha, \ldots, b_n^\alpha\},$$

où

$$\alpha = \{1^\alpha, 2^\alpha, \ldots, n^\alpha\} = \{a_1, \ldots, a_n\}, \qquad \beta = \{1^\beta, 2^\beta, \ldots, n^\beta\} = \{b_1, \ldots, b_n\},$$

Les éléments de L_Q sont appelés *quasi-nombres*. Par rapport à l'addition, L_Q est un quasi-groupe et l'ordre N de la logarithmétique d'un quasi-groupe uni Q est une puissance de l'ordre n de Q : $N = n^m$. Il est évident que m, dans cette égalité, ne peut être plus grand que n. L'ensemble de tous les sous-vecteurs $\{1^x, \ldots, l^x\}$ de L_Q où x désigne n'importe quelle puissance non associative, forme, par rapport à l'addition, un quasi-groupe *engendré* par $\{1, 2, \ldots, l\}$. Quand Q est uni d'ordre n, l'ordre de ce quasi-groupe est une puissance de n : $N' = n^p$, $p \leq m$. Le sous-vecteur $\{1, \ldots, r\}$ d'un vecteur $\{1, 2, \ldots, n\}$ de L_Q est un vecteur *dérivé* de Q s'il engendre un quasi-groupe d'ordre n. La *portée* de Q est le nombre maximum d'éléments distincts dans un vecteur dérivé de Q.

Nous dirons que la logarithmétique de Q est *réductible* si elle possède des sous-vecteurs $\{j, \ldots, k\}$, engendrant un quasi-groupe d'ordre plus petit que $n_j, \ldots, n_k$ où n_i désigne l'ordre de l'élément i. Si Q est uni, la définition précédente devient plus simple : la logarithmétique est réductible, si le vecteur $\{1, 2, \ldots, n\}$ contient un sous-vecteur de rang s, engendrant un quasi-groupe d'ordre n^p, $p < s$.

Si L_Q ne possède pas de tels vecteurs, nous l'appellerons *irréductible*.

THÉORÈME 1. — *L'ordre* N *d'une logarithmétique irréductible d'un quasi-groupe fini est égal au produit des ordres n_i de ses éléments : $N = n_1 n_2 \ldots n_n$.*

COROLLAIRE. — *L'ordre* N *de la logarithmétique irréductible d'un quasi-groupe uni d'ordre n est n^n.*

THÉORÈME 2. — *La logarithmétique d'un quasi-groupe uni est irréductible si, et seulement si, pour chaque k, $(1 < k < n)$, elle contient un sous-vecteur $\{a_1, \ldots, a_k\}$ dont les éléments $a_1, \ldots, a_k$ contiennent précisément $(k - 1)$ éléments distincts de* Q.

Le théorème est vrai quand Q a des vecteurs dérivés (1). Quand il n'en a pas, on peut prouver le théorème par induction de la manière suivante.

Supposons que Q n'ait pas de vecteurs dérivés et que le sous-vecteur $\{1, 2, 3\}$ de $\{1, 2, \ldots, n\}$ engendre un quasi-groupe L' d'ordre n^2. Nous

(1) *Comptes rendus*, 235, 1952, p. 1360.

pouvons montrer que L′ ne contient pas de vecteurs de la forme $\{a, b, a\}$, $a \neq b$. En effet, si un vecteur $\{a, b, a\}$, $a \neq b$, se trouve dans L′, il a la forme $\{a, b, a\} = \{1^{\gamma}, 2^{\gamma}, 3^{\gamma}\}$. Le quasi-groupe L'_1 engendré par $\{a, b, a\}$ se compose alors de tous les vecteurs $\{1^{\gamma_\alpha}, 2^{\gamma_\alpha}, 3^{\gamma_\alpha}\}$, et par suite, $L'_1 \subset L'$. D'autre part, puisque Q est uni, l'ordre (2) de L′ est une puissance de n, égale, en fait, à n^2, puisque : 1° Q n'a pas de vecteurs dérivés et 2° L'_1 est une partie de L′. Ainsi $L'_1 = L'$. Puisqu'il en est ainsi, il doit exister une puissance non associative Z, telle que $\{a^Z, b^Z, a^Z\} = \{1, 2, 3\}$, $1 = 3$, ce qui est contradictoire. Donc, si $\{a, b, a\}$, $a \neq b$, est dans L′, $\{1, 2, 3\}$ engendre un quasi-groupe d'ordre n^3, etc.

Quand Q est de portée $r > 1$, chacun de ses vecteurs dérivés $\{1, \ldots, r\}$ engendre un quasi-groupe $Q'_n \cong Q$, qui se compose de vecteurs (1)

$$(2) \qquad \{1, \ldots\}, \quad \{2, \ldots\}, \quad \{3, \ldots\}, \quad \ldots, \quad \{n, \ldots\}.$$

Le vecteur $\{1, 2, \ldots, n\}$ peut alors être scindé en n/r vecteurs séparés

$$\{1, \ldots, r\}, \quad \{r+1, \ldots, 2r\}, \quad \ldots, \quad \{n-r, \ldots, n\}$$

et chacun d'eux engendre Q'_n. Il s'ensuit que la représentation vectorielle de L peut être simplifiée, en remplaçant chacun des vecteurs (2) par $1, 2, \ldots, n$ respectivement. Ainsi, la logarithmétique de Q peut être représentée par un ensemble de vecteurs $\{1^x, (r+1)^x, \ldots, (n-r)^x\}$ où x désigne n'importe quelle puissance non-associative. Puisque r est le nombre maximum d'éléments distincts formant un vecteur dérivé de Q, cette nouvelle représentation de L_Q ne possède pas de vecteurs dérivés.

Théorème 3. — *Si la représentation de* L_Q *par les vecteurs dérivés est irréductible, l'ordre de* L_Q *désigne* $n^{n/r}$ *où* r *désigne la portée, et* n, *l'ordre de* Q.

Supposons maintenant la portée de Q égale à 1, et de plus que chaque sous-vecteur d'un quasi-nombre de L_Q, formé de s éléments distincts de Q, engendre un quasi-groupe d'ordre n^s. Soit k, le nombre maximum d'éléments distincts de Q qui peuvent encore engendrer un quasi-groupe L′ d'ordre n^s. Dans ces conditions, on a les trois théorèmes suivants.

Théorème 4. — *Si un vecteur* $\{1, 2, \ldots, s, a_1, \ldots, a_{k-s}\}$ *appartient à* L′, *les* $(k-s)$ *vecteurs* $\{1, 2, \ldots. s, P_i(a_1, \ldots, a_{k-s})\}$ *appartiennent tous à* L′. (P_i *désigne les* $(k-s)$ *permutations circulaires distinctes de* $a_1, \ldots, a_{k-s}$).

Théorème 5. — *Si deux vecteurs de* L′ *ont* s *éléments en commun, ils ont tous leurs éléments en commun.*

Théorème 6. — *L'ordre du quasi-groupe* Q *est de la forme*

$$n = (s-1) + [k-(s-1)]\,q$$

où q *désigne un nombre entier inférieur ou égal à* $[n-(s-1)]/[k-(s-1)]$.

(2) *Comptes rendus*, **234**, 1952, p. 1935.

THÉORIE DES NOMBRES. — *Sur un problème de M. Siegel relatif à un ensemble fermé d'entiers algébriques.* Note de MM. **Jacques Dufresnoy** et **Charles Pisot**, présentée par M. Paul Montel.

Soit $\theta > 1$ un entier algébrique réel, dont tous les conjugués autres que θ ont leurs modules strictement inférieurs à 1. Nous désignerons le polynome irréductible ayant θ pour zéro par

$$P(z) \equiv p_0 + p_1 z + \ldots + p_{s-1} z^{s-1} + \varepsilon z^s, \qquad \text{où} \quad \varepsilon = \pm 1,\ p_0 \geq 1.$$

Soit

$$Q(z) \equiv \varepsilon z^s P\left(\frac{1}{z}\right) \equiv 1 + q_1 z + \ldots + q_{s-1} z^{s-1} + q_s z^s.$$

Par l'étude de la fraction rationnelle $P(z)/Q(z)$, M. Salem (¹) a montré que l'ensemble S de tous les nombres θ est fermé et que le nombre 1 n'appartient pas à son ensemble dérivé S′. M. Siegel (²) a établi ensuite que dans l'intervalle $1 < \theta \leq \sqrt{2}$ il n'y avait que deux nombres θ, à savoir θ_1 racine de $z^3 - z - 1 = 0$ et θ_2 racine de $z^4 - z^3 - 1 = 0$. Il a signalé l'intérêt qui s'attacherait à la détermination du plus petit élément de l'ensemble S′ et il a indiqué qu'il n'avait pas pu décider si ce plus petit élément était $\theta_0 = (1 + \sqrt{5})/2$.

Nous avons démontré que θ_0 est effectivement le plus petit élément de S′. La démonstration, trop longue pour être exposée dans une Note, repose essentiellement sur deux lemmes.

1° Si une suite de nombres θ_n de S tend vers un nombre limite θ, les fractions rationnelles correspondantes $P_n(z)/Q_n(z)$ constituent, dans $|z| < 1$, une famille normale de fonctions méromorphes; on peut en extraire une suite convergente tendant, pour $|z| < 1$, vers une fraction rationnelle présentant $1/\theta$ pour pôle et dont le module est inférieur ou égal à 1 sur $|z| = 1$, l'égalité n'étant satisfaite que pour un nombre fini de valeurs de z. On en déduit que *la condition nécessaire et suffisante pour que θ appartienne à S′ est qu'il existe au moins un polynome $A(z)$ à coefficients entiers tel que $|A(z)| \leq |Q(z)|$ sur $|z| = 1$, l'égalité n'étant satisfaite que pour un nombre fini de valeurs de z.*

2° A partir du lemme de Schwarz, on établit facilement une proposition, fondamentale pour notre étude : *Soit $C(z) \equiv c_0 + c_1 z + \ldots + c_k z^k$ un polynome à coefficients entiers tel que $c_0 \geq 1$ et que $|C(z)| \leq |Q(z)|$ sur $|z| = 1$; si $\theta < 2$, on a $c_0 = 1$; si $\theta < \theta_0$, on a de plus $c_1 = q_1 + 1$ à moins que l'on n'ait $C(z) \equiv Q(z)$.*

Voici alors un rapide aperçu de la suite de la démonstration. Si θ appartient à S′ et si $\theta < \theta_0$, il existe un polynome $A(z) \equiv a_0 + a_1 z + \ldots + a_h z^h$, à coefficients entiers, avec $a_0 \geq 1$, vérifiant les conditions de notre premier lemme;

(¹) *Duke Math. J.*, **11**, 1944, p. 103-108.

(²) *Duke Math. J.*, **11**, 1944, p. 597-602.

il en sera de même du polynome $B(z) \equiv \pm z^h A(1/z) \equiv b_0 + b_1 z + \ldots + b_h z^h$, où $b_0 \geqq 1$. Le second lemme montre alors que

$$a_0 = b_0 = p_0 = 1, \qquad a_1 = b_1 = p_1 = q_1 + 1.$$

Cela conduit à poser

$$(I) \qquad A(z) - Q(z) \equiv zU(z) \qquad \text{et} \qquad B(z) - Q(z) \equiv zV(z).$$

On remarque que $U(0) = V(0) = 1$. Le théorème de Rouché permet alors de montrer que $U(z)$ et $V(z)$ ont tous leurs zéros sur le cercle unité. En changeant z en $1/z$ dans les deux relations (I), on obtient deux autres relations entre A, B, P, U et V. On a donc en tout un système de quatre relations entre A, B, P, Q, U et V. Si $h \neq s$, la compatibilité de ces quatre relations exige $U \equiv V$, d'où $A \equiv B$; on peut alors exprimer simplement A en fonction de P et de Q; la condition $|A| \leqq |Q| = |P|$ sur $|z| = 1$ montre qu'on a nécessairement $h \leqq 0$; une étude détaillée de ces cas restants conduit à une contradiction. Si $h = s$, un raisonnement plus compliqué permet d'établir qu'on a nécessairement $U \equiv V \equiv 1$, ce qui conduit encore à une impossibilité.

Remarque. — Signalons encore les propriétés suivantes de l'ensemble dérivé S′ :

1° Tout nombre θ totalement réel appartient à S′; on le démontre en prenant pour polynome A la constante 1.

2° Tout nombre θ^n, avec n entier au moins égal à 2, appartient à S′; on le démontre en prenant, pour $n = 2$ par exemple,

$$A \equiv \frac{1}{2}[P(\sqrt{z})Q(-\sqrt{z}) + Q(\sqrt{z})P(-\sqrt{z})].$$

THÉORIE DES FONCTIONS. — *Un théorème de représentation conforme.* Note de M. **Heinz Renggli**, présentée par M. Paul Montel.

Dans la représentation conforme d'un domaine sur un autre le module du rectangle de préférence n'atteint son maximum que pour un domaine normal (théor. 2) qui sera défini à l'aide de la longueur extrémale. Si les deux domaines sont normaux, ils sont identiques. Dans la démonstration, on fait appel à un théorème d'unicité relatif aux métriques définissant la longueur extrémale (théor. 1).

1. Soient Ω, un domaine [α.] dans le plan E de la variable complexe z et $\{\gamma\}$ une famille de courbes γ[γ est définie par $z_\gamma(t)$, continue pour $0 < t < 1$] dans Ω. Si $\rho(z) \geqq 0$ définit une métrique conforme telle que

$$0 < \mathcal{F}(\rho) = \iint_\Omega \rho^2 \, dE < \infty \qquad \text{et} \qquad L(\rho) = \inf_\gamma \int_\gamma \rho \, |dz| \leqq \infty,$$

l'invariant conforme $\lambda(\gamma) = \sup_\rho [L^2(\rho)/\mathcal{F}(\rho)] \leqq \infty$ s'appelle longueur extrémale (1) [l. e.] de $\{\gamma\}$.

(1) L. Ahlfors et A. Beurling, *Acta Math.*, 83, 1950, p. 101, *voir* p. 114 et 115.

On peut poser $F(\rho)=1$, d'où résulte $\sup_{\rho} L^2(\rho)=\lambda(\gamma)$.

$P_1(z)$ et $P_2(z)$ sont des métriques extrémales [m. e.], si

$$\frac{L^2(P_i)}{F(P_i)}=\lambda(\gamma)<\infty \quad \text{pour} \quad i=1, 2.$$

THÉORÈME 1. — *S'il existe une m. e., il n'en existe qu'une partout déterminée à un facteur constant près sauf éventuellement sur un ensemble de mesure nulle.*

Démonstration. — Si $\rho_i^*(z)=k_i P_i(z)$ $(i=1, 2)$ sont des métriques telles que $F(\rho_i^*)=1$, on obtient, pour $\rho^*=\rho_1^*+\rho_2^*$,

$$L(\rho^*)\geq\sum_{i=1}^{2}\left[\inf_{\gamma}\int_{\gamma}\rho_i^*\,|dz|\right]=2\lambda^{\frac{1}{2}}(\gamma)$$

et

$$F(\rho^*)=2\left[1+\iint_{\Omega}\rho_1^*\rho_2^*\,dE\right].$$

L'inégalité de Schwarz donne

$$\iint_{\Omega}\rho_1^*\rho_2^*\,dE\leq 1 \qquad \text{et par suite} \quad \frac{L^2(\rho^*)}{F(\rho^*)}\geq\lambda(\gamma).$$

Du fait que seules les égalités sont possibles, découle la propriété énoncée.

2. Soit R le rectangle $\{0<x<a,\ 0<y<b\}(z=x+iy)$. Soient D un domaine de R et $\{\gamma_D\}$ la famille de courbes situées dans D qui relient $y=0$ à $y=b$, c'est-à-dire telles que $Jz_{\gamma_D}(t)\to 0$ pour $t\to 0$ et $Jz_{\gamma_D}(t)\to b$ pour $t\to 1$. Si $\{\gamma_D\}$ n'est pas vide, on a $\lambda(\gamma_D)\geq b/a$, car $\{\gamma_D\}\leq\{\gamma_R\}$ et $\lambda(\gamma_R)=b/a$ (1). Dans le cas de l'égalité, nous dirons que D est normal par rapport à R et nous le désignerons par N. On montre que la frontière de N est de mesure nulle. Pour tout point $p\in N$ et tout voisinage $V_{\varepsilon/2}(p)\subset N$, il existe une courbe γ_N telle que γ_N traverse $V_{\varepsilon/2}(p)$ et que $\int_{\gamma_N}|dz|<b+\varepsilon$. En outre, $\rho(z)=\text{const.}$ est la m. e. Si l'on représente R conformément sur une couronne circulaire, on obtient, par identification appropriée des bords, des domaines normaux [d. n.] à fentes radiales ou circulaires. Par passage à la limite on définit des d. n. dans le cercle et dans le plan (2).

Soit $w(z)$ une application conforme de $N\subset R$ dans la bande $0<Rw<a$ telle que

$$\sup_{\gamma_N}\left[\overline{\lim_{t\to 0}}\,Jw\left(z_{\gamma_N}(t)\right)\right]=0<B=\inf_{\gamma_N}\left[\underline{\lim_{t\to 1}}\,Jw\left(z_{\gamma_N}(t)\right)\right].$$

THÉORÈME 2. — *Pour tout $w(z)$, on a $B\leq b$ et l'égalité n'a lieu que pour $w=z$.*

(2) *Cf.* L. AHLFORS et A. BEURLING, *loc. cit.*, *voir* p. 118-120; H. GRÖTZSCH, *Ber. Leipzig*, **83**, 1931, p. 185; P. KŒBE, *Gött. Nachr.*, 1918, p. 60.

En effet, l'inégalité découle des propriétés de la l. e. (1). L'égalité montre que la partie de $\{\gamma_N\}$ située dans le rectangle $\{0 < \mathrm{R}w < a, 0 < \mathrm{J}w < b\}$ est normale. En se référant à la définition de la l. e. et au théorème 1, on obtient le résultat que la m. e. $\rho(z) = \text{const.}$ correspond à la m. e. $\rho(w) = \text{const.}$ dans l'application inverse $w^{-1}(z)$. Puisque $ds = \rho\,|dz|$ est une différentielle invariante (1), on a presque partout $|dw/dz| = \text{const.}$ Dans notre cas enfin, l'application linéaire se réduit à l'identité. Par représentation conforme et passage à la limite, on peut étendre le théorème 2 au cas des d. n. dans une couronne circulaire, dans un cercle et dans le plan (3).

THÉORIE DES FONCTIONS. — *Lignes de Green et problème de Dirichlet.* Note de M. **Marcel Brelot**, présentée par M. Arnaud Denjoy.

L'auteur poursuit l'étude des lignes de Green dans les espaces de Green et l'utilisation de la notion de radiale introduite dans une Note précédente. En particulier, dans le cas de deux dimensions, il existe une fonction harmonique de radiale donnée (et une seule sous une condition d'« indifférence »).

1. Reprenons les espaces $\mathcal{E}$(1) (comprenant en particulier les surfaces de Riemann classiques et les espaces localement euclidiens) qui, s'ils admettent une fonction de Green G_P deviennent des « espaces de Green ». On y a étudié et utilisé les lignes de Green (trajectoires orthogonales des lieux Σ_P^λ définis par $G_P = \lambda > 0$), et dans une Note récente (2) à laquelle il est renvoyé, on a prolongé les applications de ces lignes, grâce à la notion de radiale, ce que nous allons poursuivre ici.

2. On se placera dans un espace de Green Ω (pourvu d'un point d'Alexandroff $\mathcal{A}$ qui donne un compact Ω'). Une fonction u harmonique sera dite *indifférente* si dans tout domaine $D_P^\lambda (G_P > \lambda)$, elle vaut $H_u^{D_P^\lambda}$ (solution supposée existante du problème de Dirichlet dans $D_P^\lambda \subset \Omega'$, la donnée frontière étant quelconque en $\mathcal{A}$). Il suffit que cela ait lieu pour un P. u sera *fortement indifférente* si elle est comprise entre deux fonctions indifférentes $\geqq 0$ et $\leqq 0$, c'est-à-dire égale à la différence de deux fonctions indifférentes $\geqq 0$.

u sousharmonique sera dite *mineure* si elle est majorée par une fonction harmonique indifférente. Cela équivaut à dire que (pour un ou tout P) $u \leqq H_u^{D_P^\lambda}$ et

(3) *Cf.* H. Grötzsch, *Ber. Leipzig*, 80, 1928, p. 367; P. Koebe, *loc. cit.*; E. Rengel, *Schr. Math. Sem. u. Inst.*, Berlin, 1, 1933, p. 141.

(1) Brelot et Choquet, *Ann. Inst. Fourier*, 3, 1951, p. 199-263, (Mémoire noté ultérieurement BC). Précisons que, contrairement à ce qui a été explicité là malencontreusement dans la définition des espaces $\mathcal{E}$, il faut supposer la séparation de $\mathcal{E}$ qui n'est pas conséquence des autres hypothèses.

(2) Brelot, *Comptes rendus*, 235, 1952, p. 598.

que cette majorante (décroissante de λ) admet quand $\lambda \to 0$ une limite finie. Cette limite, indépendante de P, est la plus petite majorante harmonique indifférente appelée *meilleure majorante harmonique* $\bar{u}$. (Lorsque Ω est relativement compact dans un espace $\mathfrak{E}$ où u se prolonge sousharmoniquement, $\bar{u}$ vaut H'_u déjà appelée meilleure majorante harmonique dans les cas classiques).

u sousharmonique sera dite *faiblement mineure* si l'on a seulement (pour un P donc pour tous) $u \leq \underline{H}_u^{D_P^\lambda} \left(= \overline{H}_u^{D_P^\lambda} \text{ fini ou } +\infty\right)$; elle sera dite *fortement mineure* si u^+ est mineure, c'est-à-dire si u est majorée par une fonction harmonique fortement indifférente; $\bar{u}$ est alors fortement indifférente.

Exemples. — u sousharmonique bornée supérieurement ou d'intégrale de Dirichlet finie est fortement mineure. Une fonction linéaire non constante dans R^3 est indifférente mais non fortement indifférente.

3. *Fonctions mineures et radiales.* — A côté de la radiale, qui est une fonction sur $\mathfrak{L}'$ (ensemble des lignes de Green régulières issues d'un pôle fixé P) sommable pour la mesure de Green dg (correspondant à la mesure harmonique sur Σ_P^λ en P), on va introduire la *majorante radiale :* pour u par exemple sous-harmonique dans Ω, φ quelconque réelle sur $\mathfrak{L}'$ sera dite majorante radiale si l'intégrale supérieure $\overline{\int} (u_l^\lambda - \varphi)^+ dg(l) \to 0$ avec λ (u_l^λ valeur de u sur la ligne de Green l au point $G = \lambda$).

Théorème 1. — *Si u faiblement mineure a une radiale (ou une majorante radiale sommable) u est fortement mineure et $\bar{u}$ admet la même radiale (resp. majorante radiale). Supposons u mineure, $\bar{u} - u$ a la radiale 0 donc si $\bar{u}$ a une radiale, u admet cette même radiale.*

Principe de maximum. — *Soit u faiblement mineure; si 0 est majorante radiale, $u \leq 0$; si φ est majorante radiale, $u(P) \leq \int \varphi\, dg$.*

Donc pour φ sommable sur $\mathfrak{L}'$, il y a au plus une fonction harmonique indifférente admettant φ pour radiale. On va chercher s'il en existe.

4. *Radiales et problème de Dirichlet.* — Théorème 2. — *Pour les problèmes de Dirichlet particuliers connus (ordinaire, ramifié, géodésique) et même pour le problème général de* (BC) n°s 27-28 *lorsque presque toutes les lignes de $\mathfrak{L}'$ convergent dans la topologie correspondante (pour $G_P \to 0$), toute solution existante est fortement indifférente et admet une radiale* (de pôle P).

Théorème 3. — *Soit φ quelconque sur $\mathfrak{L}'$. Considérons pour les fonctions sousharmoniques u les conditions suivantes :*

a_1. u est bornée supérieurement;

a_2. u est faiblement mineure;

b_1. u admet une radiale $\leq \varphi$;

b_2. u admet φ comme majorante radiale.

Les fonctions égales à $-\infty$ ou sousharmoniques et satisfaisant à une a_i et une

b_j admettent une enveloppe supérieure $-\infty$, $+\infty$ ou harmonique indifférente. On considère aussi les opposées des enveloppes analogues correspondant à $-\varphi$; elles majorent les premières enveloppes.

Si φ est radiale d'une fonction harmonique indifférente U (*par exemple la solution d'un problème du théorème* 2), *les huit fonctions précédentes valent* U. *Si et seulement si φ est sommable et si Ω est à deux dimensions, les huit fonctions coïncident avec une fonction harmonique d'ailleurs fortement indifférente et de radiale φ* (ce qui n'aurait pas toujours lieu dans R^3).

ANALYSE SYMBOLIQUE. — *Application de la transformation de Laplace à deux variables, à la résolution d'équations fonctionnelles.* Note de M. **Maurice Parodi**, présentée par M. Henri Villat.

Nous nous proposons de montrer sur un exemple l'intérêt de l'emploi du calcul symbolique à deux variables pour la résolution d'équations fonctionnelles.

Considérons l'équation d'inconnue $\varphi(s)$

$$\begin{aligned}\frac{u^n\varphi(u)-v^n\varphi(v)}{u-v}+\frac{u\varphi(u)-v\varphi(v)}{u-v}=&\,A_0[u^{n-2}+u^{n-3}v+\ldots+uv^{n-3}+v^{n-2}]\\&+A_2[u^{n-3}+u^{n-4}v\ldots+uv^{n-4}+v^{n-3}]\\&+\ldots\ldots\ldots\ldots\ldots\ldots\ldots\ldots\\&+A_{n-3}[u+v]+A_{n-2},\end{aligned}$$

où les $A_0, A_1, \ldots, A_{n-2}$ sont des constantes.

Considérons une fonction $\Phi(z)$ admettant, au sens de Laplace, une transformée $\varphi(s)$ dans une transformation à une variable; on sait que dans l'analyse symbolique à deux variables, on a les correspondances

$$\begin{aligned}&\frac{u\varphi(u)-v\varphi(v)}{u-v}\subset-\Phi(x+y),\\ \frac{u^n\varphi(u)-v^n\varphi(v)}{u-v}\subset&-\Phi(o)[u^{n-2}+u^{n-3}v+\ldots+v^{n-2}]\\&-\Phi'(o)[u^{n-3}+u^{n-4}v+\ldots+v^{n-3}]\\&-\ldots\ldots\ldots\ldots\ldots\ldots\ldots\\&-\Phi^{(n-3)}(o)[u+v]-\Phi^{(n-2)}(o)\subset-\Phi^{(n)}(x+y).\end{aligned}$$

Dans ces conditions, en posant

$$\Phi(o)=A_0,\qquad \Phi'(o)=A_2,\qquad \ldots,\qquad \Phi^{(n-2)}(o)=A_{n-2},$$

il apparaît que l'équation fonctionnelle envisagée est la transformée, dans une correspondance à deux variables, de l'équation

$$\Phi^{(n)}(x+y)+\Phi(x+y)=o,$$

il en résulte

$$\Phi(z)=\sum_{k=1}^{n}\alpha_k e^{r_k z},$$

expression dans laquelle les $r_k (k = 1, 2, \ldots, n)$ représentent les racines $n^{\text{ièmes}}$ de -1 et où les α_k sont des constantes, au nombre de n, qui doivent satisfaire aux relations

$$\begin{aligned} A_0 &= \Phi(0) &&= \sum_{k=1}^{n} \alpha_k, \\ A_1 &= \Phi'(0) &&= \sum_{k=1}^{n} \alpha_k r'_k, \\ &\cdots\cdots\cdots\cdots\cdots\cdots \\ A_{n-2} &= \Phi^{(n-2)}(0) &&= \sum_{k=1}^{n} \alpha_k r_k^{n-2}. \end{aligned}$$

Nous possédons ainsi un système de $(n-1)$ équations, d'inconnues α_1, $\alpha_2, \ldots, \alpha_n$; on pourra le résoudre en donnant à α_n, par exemple, une valeur arbitraire, les solutions existeront toujours car le déterminant du système est du type de Vandermonde.

En définitive, après détermination des a_k, la solution de l'équation fonctionnelle envisagée s'écrira

$$\varphi(s) = \sum_{k=1}^{n} \frac{\alpha_k}{s - r_k}$$

et elle dépendra d'une constante arbitraire.

STATISTIQUE MATHÉMATIQUE. — *Intervalles de contrôle pour l'extrapolation des plus grandes valeurs*. Note de M. **E. J. Gumbel**, présentée par M. Maurice Fréchet.

La probabilité d'une plus grande valeur réduite d'être inférieure à y est

$$\Phi(y) = \exp[-e^{-y}], \tag{1}$$

pourvu que la distribution initiale soit du type exponentiel. Soit

$$T(y) = \frac{1}{1 - \Phi(y)} \tag{2}$$

la durée de retour; alors nous affirmons : pour de grandes valeurs de T la probabilité pour que la plus grande valeur correspondant à T arrive pendant l'intervalle 0,32 T jusqu'à 3,13 T est à peu près 2/3. Pour la preuve considérons deux valeurs réduites $y \pm \Delta$ dont les durées de retour sont d'après (1) et (2) et pour de grandes valeurs de T

$$T(y \pm \Delta) = T(y)\, e^{\pm\Delta} + \frac{1 - e^{\pm\Delta}}{2}. \tag{3}$$

Nous choisissons Δ de sorte que la probabilité pour une valeur réduite d'être contenue dans l'intervalle $y \pm \Delta$ soit $P = 0{,}68\,269$, ce qui correspond à l'intervalle formé par l'addition et la soustraction de l'écart type à la valeur moyenne dans la distribution normale. Puisque la plus grande valeur y correspondant à T est la plus grande valeur la plus probable et puisque la distribution de la plus grande valeur pour n observations obtenues pour la distribution (1) est la distribution (1) transformée vers la droite, on obtient d'après (3)

$$\Delta = 1{,}14\,078.$$

Il en résulte

$$(4) \qquad \begin{cases} T(y+\Delta) = 3{,}12\,918\,T - 1{,}06\,459, \\ T(y-\Delta) = 0{,}31\,957\,T + 0{,}34\,021, \end{cases}$$

ce qui prouve le théorème énoncé. L'intervalle est indépendant des paramètres qui existent dans la formule (1), si au lieu de la plus grande valeur réduite y nous introduisons la plus grande valeur x elle-même et peut servir comme contrôle pour la plus grande valeur de $n (\geqq 27)$ observations et pour l'extrapolation. Par exemple, le débit de crue correspondant à une durée de retour de 200 années arrivera dans l'intervalle de 64 à 625 années avec une probabilité de 2/3. Le fait remarquable que l'intervalle de contrôle ne dépend pas du nombre d'observations est dû à la stabilité de la distribution initiale (1). Il en résulte que cet intervalle ne peut pas être amoindri par l'augmentation du nombre d'observations.

MÉCANIQUE. — *Transformations infinitésimales et intégration des équations différentielles de la mécanique*. Note (1) de M. **François Gallissot**, présentée par M. Henri Villat.

Notre but est de montrer que l'étude de l'intégration du système différentiel Σ associé à une forme Ω de degré deux de rang $2n$ définie sur une variété V_{2n+1} à $(2n+1)$ dimensions, dans le cas où $d\Omega \neq 0$ peut s'effectuer au moyen des opérateurs θ, i, d, définis par M. H. Cartan (2).

Le champ caractéristique associé à Σ sera noté E et on a : $i(E)\Omega = 0$.

Théorème I. — *A tout $x \in T$ correspond une forme de Pfaff π nulle sur les lignes intégrales de Σ; réciproquement, à toute forme de Pfaff π, nulle sur les lignes intégrales de Σ correspond un élément $x \in T$ modulo E.*

Intégrale première de Σ. — On appelle intégrale première de Σ toute forme

(1) Cette Note fait suite à ma Note *Comptes rendus*, 235, 1952, p. 1277, dont je reprends les notations.

(2) *Colloque de topologie*, Bruxelles, Masson, Paris, 1951, p. 15 à 27, référence notée C dans la suite.

de Pfaff $\bar{\pi}$ fermée nulle sur les lignes intégrales de Σ. A toute forme $\bar{\pi}$ correspond au sens du théorème précédent un $\bar{x}$.

Transformation infinitésimale. — Une forme $\Omega \in A(T')$ est dite admettre une transformation infinitésimale définie par l'opératenr $\theta(X)$ si $\theta(X)\Omega = 0$. Il en résulte que le système Σ admet la transformation infinitésimale définie par le même opérateur.

Théorème II. — *Si à* $X \in T$ *correspond une transformation infinitésimale de* Σ, *si à* $\bar{x} \in T$ *correspond une intégrale première de* Σ, *au crochet de Lie* $[X, \bar{x}] \neq 0$ *correspond une nouvelle intégrale première de* Σ *dont l'expression est* $i(X \wedge \bar{x})\Omega$.

Ce théorème est une conséquence immédiate de la relation entre opérateurs établie par M. H. Cartan (3).

$$\iota([x, y]) = \theta(x)\, i(y) - i(y)\, \theta(x).$$

Théorème III. — *Sur l'algèbre* $A(T')$ *on a entre les opérateurs définis ci-dessous la relation* (4)

$$\theta(x)\iota(y) - \theta(y)\, i(x) = i([x, y]) - i(x \wedge y)\, d + d(\iota(x \wedge y)).$$

Définition. — Nous dirons que r éléments $X^1, X^2, \ldots, X^r$ appartenant à T, générateurs de transformations infinitésimales pour Ω, forment un système complet si $[X^\rho, X^\sigma] = \gamma_\tau^{\rho\sigma} X^\tau$, $\gamma_\tau^{\rho\sigma}$ étant des fonctions.

Lemme. — *On peut choisir d'une infinité de manières* $2n$ *éléments* $x^1, \ldots, x^{2n}$, *tels que la valeur de* $i(X^\iota)\, i(x^j)\Omega = i(X^\iota \wedge x^j)\Omega$ *soit égale à* 1 *pour* $j = i$, *et à* 0 *pour* i *différent de* j.

Soient $\pi^\iota = i(x^\iota)\Omega$, i (1 à $2n$) les formes de Pfaff correspondantes.

Théorème IV. — *Le système des* $(2n - r)$ *formes de Pfaff* $\pi^{r+1}, \ldots, \pi^{2n}$ *est complètement intégrable, et les* r *formes* $\pi^1, \ldots, \pi^2$ *sont des formes invariantes.*

Il suffit pour cela d'appliquer le théorème III aux $2n$ formes et de tenir compte de leur définition. Ce résultat constitue une mise au point définitive des résultats de M. E. Cartan (5).

En combinant le théorème IV avec la notion de liaison introduite dans ma Note (6), nous pouvons former des cas d'intégrabilité nouveaux pour les systèmes matériels à un nombre fini de degrés de liberté, pour les systèmes avec frottement, et avec asservissement. Ces applications font l'objet d'une publication ultérieure.

---

(3) *Cf.* C, p. 18, formule (II).

(4) Signalons que M. J.-L. Koszul a, dans sa thèse, *Bulletin de la Société mathématique de France*, 78, 1950, p. 71, considéré des endomorphismes analogues, sans les appliquer aux problèmes envisagés.

(5) E. Cartan, *Leçons sur les invariants intégraux*, Paris, Hermann, 1922, p. 163.

(6) *Cf.* Gallissot, *Comptes rendus*, 234, 1952, p. 2148.

MÉCANIQUE DES FLUIDES. — *Sur l'existence des écoulements plans, permanents, irrotationnels, uniformes à l'infini, des liquides incompressibles.* Note de M. **Robert Gerber**, présentée par M. Henri Villat.

Dans le plan vertical du mouvement $z = x + iy$, on définit au moyen de son équation intrinsèque $\theta = \theta(l)$, une courbe (S), douée d'asymptotes horizontales; θ est l'angle orienté de la demi-tangente à (S), au point d'abscisse curviligne $l(-\infty \leq l \leq +\infty)$, orientée dans le sens des l croissants; $-\pi/2 < \theta(l) \leq o(-\infty \leq l \leq +\infty)$; $d\theta/dl$ existe et est bornée.

Nous nous proposons de construire dans le plan z un écoulement irrotationnel, permanent, d'un liquide parfait pesant, uniforme aux infinis aval et amont (de vitesse V_0 donnée à l'infini amont) de débit ψ_0 donné; le domaine $\mathcal{A}$ du liquide en mouvement est limité par (S) et par la ligne libre (L), de forme *a priori* inconnue. Le problème revient à déterminer, dans la bande indéfinie $\mathcal{D}$, $o \leq \psi \leq \psi_0$, du plan du potentiel complexe $f = \varphi + i\psi$, la fonction holomorphe et univalente $z(f)$ qui réalise la représentation conforme de $\mathcal{D}$ sur $\mathcal{A}$; l'axe $\psi = o$ a (S) pour image; les points à l'infini se correspondent. De plus, en posant

$$\frac{df}{dz} = V_0 e^{-i\omega(f)}; \qquad \omega = U + iT,$$

on doit avoir (1)

$$\omega(-\infty + i\psi) = o; \qquad \omega(+\infty + i\psi) = \text{limite finie, inconnue } a \text{ priori},$$

$$e^{3T}\frac{dT}{d\varphi} + \frac{g}{V_0^3}\sin U = o; \qquad U \leq o \qquad \text{pour} \quad \psi = \psi_0, \quad -\infty < \varphi < +\infty.$$

Supposons le problème résolu. Posons $F(\varphi) = \hat{T}(\varphi + i\psi_0)$ et soit $l(\varphi)$ la correspondance entre (S) et son image. Les formules de M. Villat permettent de former le système intégro-différentiel Σ vérifié par ces inconnues; une fois $F(\varphi)$ et $l(\varphi)$ déterminées, $z(f)$ est connue. Un lemme de M. J. Leray, précisé par M. J. Kravtchenko (2) fournit *a priori* pour $l(\varphi)$ et $\theta[l(\varphi)]$ des modules de continuité si $\mathcal{A}$ est simplement connexe. Moyennant des artifices convenables, Σ est remplacé par une équation fonctionnelle unique $\Sigma^*: x = F(x)$, où x est un élément d'un espace de Banach $\mathcal{E}$, et F une transformation complètement continue opérant sur $\mathcal{E}$; toute solution de Σ est une solution de Σ^*. Cette réduction de Σ et Σ^* constitue la partie la plus délicate de la théorie. Cela étant :

---

(1) Les écoulements de l'espèce ci-après ont été étudiés par M. Poncin, qui a formé la solution indéterminée correspondante (*Publ. Scient. et Techn. Minist. Air*, 16, 1932, p. 43-86). La condition $U \leq o$ élimine *a priori* toute une classe d'écoulements possibles.

(2) *J. Math. pures et appl.*, 20, 1941, p. 151.

1° Les solutions éventuelles de Σ^* sont bornées dans leur ensemble; la fonction $z(f)$ correspondante est univalente si

$$\text{Max}\,|\,\theta(l)\,| + \frac{g\psi_0}{V_0^2} < 1. \tag{1}$$

Les critères de J. Schauder et de M. J. Leray permettent alors d'affirmer l'existence d'au moins une solution de Σ^*.

2° Si les données vérifient les conditions :

$$|\,\theta(l)\,| \leq A\,e^{-\alpha|l|}; \tag{2}$$

$$\frac{g\psi_0}{V_0^2} < 1, \tag{3}$$

où α et A sont des constantes positives, toute solution de Σ^* est solution de Σ. On conclut de là que le problème posé admet au moins une solution chaque fois que les données vérifient (1), (2), (3).

HYDRAULIQUE. — *Résultats de recherches concernant les origines des mouvements à longue période observés dans les ports maritimes.* Note de M. **Jean Laurent**, présentée par M. Henri Villat.

Des résultats concordants d'études théoriques, d'essais sur modèle réduit et d'observations en nature ont démontré que les mouvements horizontaux à longue période constatés dans certains ports, rades, etc. sont des phénomènes de résonance de la masse d'eau intéressée sous l'effet des trains d'ondes de la houle.

Des procédés simples ont été définis, qui permettent de supprimer ou d'atténuer ces phénomènes.

Nous résumons ici nos études sur les mouvements horizontaux à longue période, constatés dans certains ports maritimes, rades, etc., et qui occasionnent fréquemment, comme on le sait, des ruptures d'amarres.

Ces études ont été conduites en associant étroitement la théorie, les observations sur place (1) et les essais sur maquette (2).

Ainsi qu'on le verra, nous sommes parvenu, d'une part, à établir que, suivant une hypothèse que nous avions émise depuis longtemps, les phénomènes en question sont dus au fait que la houle se propage par trains d'ondes — et, d'autre part, à trouver un moyen pratique permettant de les supprimer ou, tout au moins, de les atténuer.

Nos premiers essais ont eu pour objet de reproduire des mouvements horizontaux à longue période dans un bassin rectangulaire, représenté sur la figure 1. On remarque, à droite, une jetée poreuse séparant le bassin proprement dit du large, disposition fréquemment rencontrée. Ayant engendré dans le modèle des houles fluctuantes comportant des trains

(1) J. Laurent, *Comptes rendus*, **229**, 1949, p. 1203.

(2) Les essais ont été entrepris, depuis douze ans, au Laboratoire Central d'Hydraulique.

d'ondes analogues à ceux que nous avions observés en nature, nous avons obtenu, dans le bassin, des mouvements horizontaux, décelés par le déplacement de petits flotteurs peints en blanc (*fig.* 1).



Fig. 1.

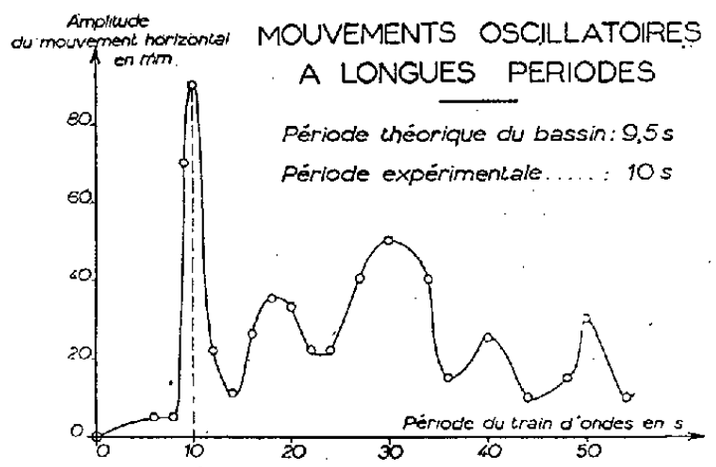


Fig. 2.

Précisons que, pour une hauteur moyenne des vagues, au large, de 4 m, l'amplitude du mouvement correspondant est de 14 m en nature, environ, ce qui correspond bien à l'ordre de grandeur du phénomène observé dans certains cas.

On constate, par ailleurs (*fig.* 2), que l'amplitude du mouvement passe par un maximum lorsque la période des trains d'ondes est un multiple de 10 s. Or le calcul montre que la période propre du bassin est de 9,5 s. Cette concordance montre que les phénomènes étudiés sont dus à la résonance du bassin, dont la période propre est égale à la période des trains d'ondes excitateurs.

Signalons que des observations en nature de H. Munk (U. S. A.) et J. Tucker (G.-B.) sont venues confirmer notre théorie d'une manière concluante : il existe, dans la réalité, des mouvements lents d'oscillation horizontale de certains plans d'eau côtiers dont la période concorde avec celle des trains de vagues arrivant du large.

Poursuivant nos recherches en associant les considérations théoriques et l'expérience, nous avons trouvé des procédés permettant de réduire, de façon importante, l'amplitude de ces mouvements horizontaux.

Pour un bassin rectangulaire, de longueur L et de profondeur moyenne H, les différentes périodes de résonance sont données par la formule

$$T = \frac{2L}{k\sqrt{gH}}, \tag{1}$$

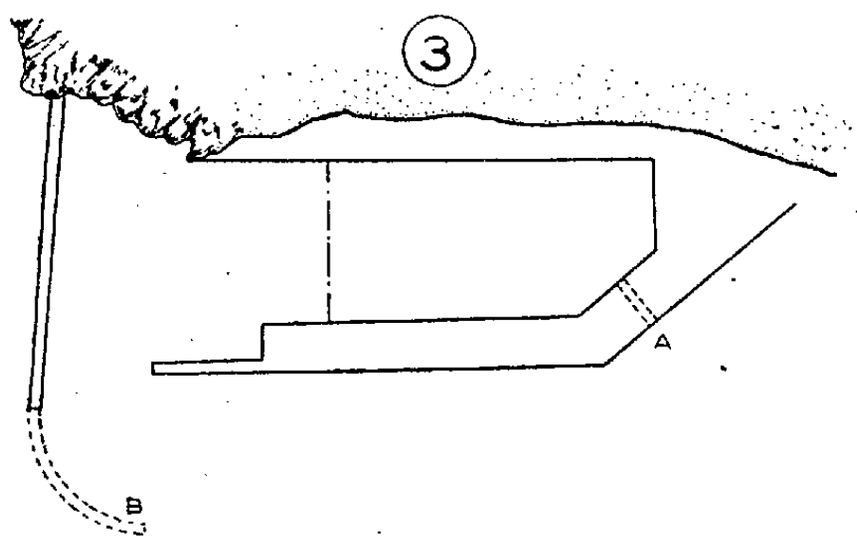
et l'amplitude maximum du mouvement horizontal est de la forme

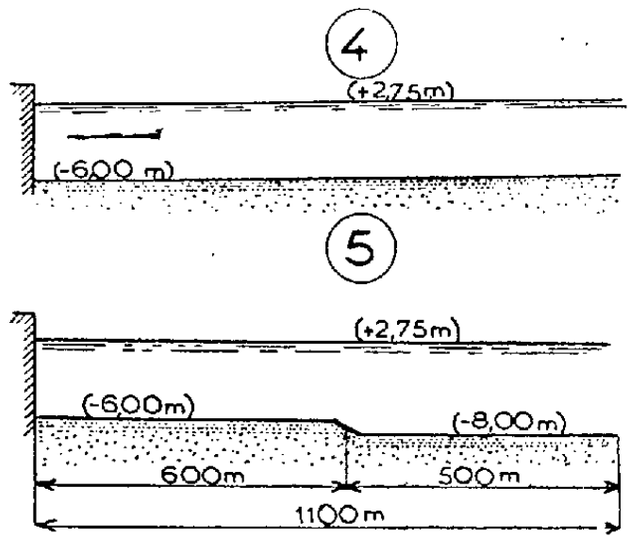
$$\lambda = \frac{2aL}{\pi H}, \tag{2}$$

a étant l'amplitude moyenne de la houle.

La formule (2) suggère d'accroître H, c'est-à-dire de réaliser un approfondissement de l'ensemble du bassin pour atténuer les mouvements à longue période. Cet effet s'obtient, non seulement par l'augmentation de profondeur [form. (2)], mais, aussi, par le fait que la période propre du bassin est changée, et ne coïncide plus avec celle des trains d'ondes [form. (1)].

Ce procédé étant généralement d'application coûteuse, nous avons recherché une solution plus pratique, en particulier par un approfondissement du bassin, limité à certaines régions convenablement choisies. Nos travaux ont montré que l'on obtient ainsi un résultat équivalent à celui donné par un approfondissement de l'ensemble du bassin, à condition que les régions approfondies soient celles coïncidant avec les « ventres » des mouvements horizontaux.





Par exemple, un bassin rectangulaire de 1100 m de longueur, 300 m de largeur et 6 m de profondeur sous basse-mer (*fig.* 3 et 4) peut être le siège d'une oscillation horizontale en quart d'onde, uninodale, de période égale à 228 s, et dont l'amplitude peut atteindre 40 m, le ventre du mouvement se trouvant au voisinage de la passe d'entrée, Un approfondissement de 2 m environ de cette région (*fig.* 3 et 5) réduit l'amplitude des mouvements, dans une proportion variant de 56 à 80 %.

Dans d'autres cas, nous avons réussi, par la création d'ouvertures dans certains ouvrages du bassin (*fig.* 3 A), ou bien par l'aménagement d'ouvrages appropriés au voisinage de son entrée (*fig.* 3 B), à réduire très sensiblement l'amplitude des mouvements horizontaux à longue période.

Les ports maritimes peuvent donc être protégés efficacement contre ces phénomènes, par des moyens aussi simples que possible. Dans chaque cas, des essais sur modèle réduit, appuyés sur le calcul et sur les observations en nature sont indispensables pour déterminer le procédé le meilleur, ainsi que les caractéristiques optima des travaux à réaliser.

ASTRONOMIE GÉODÉSIQUE. — *Sur l'emploi de l'astrolabe à pendule en astronomie géodésique.* Note de M. **Bertrand Imbert**, présentée par M. André Danjon.

L'astrolabe à pendule, construit aux Etats-Unis pour la détermination des positions géographiques a été employé pour la première fois dans l'Union Française par l'Expédition en Terre Adélie. Des expériences préalables exécutées en France ont montré que sa précision était très satisfaisante pour les travaux en campagne.

L'Expédition française en Terre Adélie a utilisé en 1950-1951, un astrolabe à pendule pour déterminer la position géographique du point fondamental de la triangulation locale et celle d'un certain nombre de points de contrôle du levé photogrammétrique aérien.

L'instrument imaginé en 1942 par l'astronome américain John E. Willis pour appliquer la méthode des hauteurs égales à la détermination des positions géographiques est assez répandu aux États-Unis où il prend la place des astrolabes à prisme (1). L'appareil utilisé en Terre Adélie est, à notre connaissance, le premier exemplaire acquis par une nation européenne.

L'appareil dérive directement de la lunette coudée de La Baume Pluvinel (2), mais le bain de mercure de ce dernier instrument a été remplacé par un miroir plan, disposé horizontalement dans une suspension pendulaire.

On démontre que, même si le nivellement n'est pas rigoureux, la hauteur instrumentale d'observation reste la même (environ 60°) si les réglages optiques sont corrects, bien que le miroir éprouve alors une légère inclinaison résiduelle en raison de l'élasticité des lames de suspension. Le grossissement de la lunette est de 80, ce qui permet d'observer les étoiles jusqu'à la magnitude 6; le réticule comporte 5 fils curvilignes dessinant des cercles de hauteur; on note la moyenne des 5 pointés obtenus. L'appareil est particulièrement léger, peu encombrant et d'un maniement très simple, qualités qui l'ont fait choisir pour les travaux dans l'Antarctique.

Il a paru utile de s'assurer par des expériences préalables en France que l'instrument conduisait à une précision suffisante et qu'en particulier il ne s'introduisait aucune erreur systématique dans la définition de la verticale locale. Les séries d'observations portaient sur une dizaine d'étoiles bien réparties en azimut. Elles eurent lieu au Service Hydrographique de la Marine à Paris et au séminaire d'astronomie de l'Institut Géographique National à Goult (Vaucluse). Les pointés étaient généralement effectués par la « méthode de l'œil et de l'oreille » qui consiste à interpoler le passage de

(1) J. E. Willis, *Trans. Am. Geoph. Un.*, 27, n° 1, 1946, p. 1-7.

(2) *Comptes rendus*, 174, 1922, p. 535; Mme E. Chandon et A. Gougenheim, *Revue hydrographique*, 12, n° 1, 1935.

l'étoile derrière un fil entre les secondes du garde-temps écoutées au casque téléphonique. Pour la réduction des observations, on s'est servi de la résolution graphique habituelle des observations de hauteurs égales. Les positions géographiques des deux stations étaient connues avec précision en raison de nombreuses déterminations antérieures avec des appareils sensiblement plus précis. Les écarts en latitude fournis par l'astrolabe à pendule par rapport à ces positions n'ont pas dépassé o″,5. En outre, il a été effectué dans la région de Goult un ensemble d'observations avec des instruments de campagne qui a donné les résultats suivants, ramenés à un même point :

Instrument.	Mode observation.	Latitude N.	Longitude E.
Théodolite Wild « T 3 » à niveau décalé.....	Chronographe imprimant	44° 00′ 15″,77	20ᵐ 9ˢ,02
Théodolite Wild « T 3 » à niveau décalé.....	« œil et oreille »	44 00 15 ,96	20 8 ,81
Astrolabe à pendule....	»	44 00 16 ,00	20 9 ,00

Le tableau suivant fournit quelques indications sur la précision obtenue dans les déterminations effectuées à l'astrolabe à pendule tant en France qu'en Antarctique. En outre, les deux dernières colonnes donnent à titre de comparaison les mêmes éléments résultant de deux séries d'observations effectuées avec des astrolabes à prisme de modèle géodésique. La première de ces séries qui date de 1906, figure en exemple dans l'ouvrage de Claude et Driencourt (³); les observations y ont été faites également à l'œil et à l'oreille, et il a seulement été tenu compte des observations notées « très bonnes » par l'opérateur, soit 17 sur un total de 48 pointés. La seconde série a été faite avec un appareil plus moderne en 1933 à San Diégo, lors de la deuxième révision des longitudes mondiales (⁴); les pointés étaient inscrits sur un chronographe enregistreur.

		Astrolabe à pendule.			Astrolabe à prisme.	
Lieu d'observation.....		Paris.	Goult.	Terre Adélie.	Montsouris.	San-Diego.
Nombre d'étoiles observées.....		18	29	75	17	56
» de séries.....		2	3	5	1	1
Écarts entre les droites de hauteur et le cercle enveloppe	Écart maximum....	o″,7	1″,5	2″,1	2″,4	2″,1
	Moyenne des valeurs absolues des écarts.	o″,30	o″,55	o″,66	1″,08	o″,77
	Pourcentage d'écarts > o″,3.....	45	57	69	76	70

Pour faire une comparaison équitable entre les observations à l'astrolabe à prisme et à l'astrolabe à pendule, il convient de ne pas oublier que les premières

(³) *Description et usage de l'astrolabe à prisme*, Paris, 1910, p. 360.
(⁴) Observations de M. A. Gouhenheim, Service hydrographique de la Marine.

résultent de pointés uniques sur les étoiles tandis que les secondes correspondent à la moyenne de cinq pointés.

Ces résultats permettent de classer l'astrobale à pendule dans la série des instruments de campagne de bonne précision. Ils sont à rapprocher de résultats analogues obtenus aux États-Unis par les soins du Coast and Geodetic Survey, au cours d'une série de comparaisons systématiques avec un instrument universel de Bamberg ([5]).

Il convient d'ajouter que la commodité d'emploi du nouvel instrument a permis d'exécuter en Terre Adélie des déterminations de positions géographiques dans des conditions de vent et de température qui auraient certainement prohibé l'emploi d'appareils à bain de mercure.

ASTRONOMIE STELLAIRE. — *Sur les zéros des relations période-luminosité des Céphéides et des R R Lyræ*. Note de M. **Henri Mineur**, présentée par M. Jean Chazy.

Dans une réunion de la Commission des nébuleuses extragalactiques tenue en septembre dernier au congrès de Rome de l'Union astronomique internationale, Baade, astronome aux observatoires du Mont Wilson et du Mon-Palomar, exposa le principal résultat de ses recherches sur la nébuleuse extragalactique M 31 observée au moyen du grand télescope du Mont Palomar. Le zéro de la relation période-luminosité des Céphéides diffère considérablement de celui des R R Lyræ; les deux courbes ne se raccordent donc pas, les Céphéides étant considérablement plus brillantes qu'on ne le croyait jusqu'à présent.

Dans cette Note je désire souligner que j'avais déjà obtenu ce résultat il y a une dizaine d'années ([1]).

J'étais parti du zéro (+ 0,3) proposé par Emden et supposé commun aux deux courbes. J'avais apporté à ce zéro des corrections prises comme inconnues, ainsi par ailleurs que des corrections à la constante d'absorption interstellaire, et j'avais apporté également des corrections inconnues aux constantes de la translation solaire et de la rotation galactique. La comparaison des vitesses radiales et des mouvements propres m'avait permis de déterminer ces corrections, et j'avais trouvé pour zéro :

$$\text{R R Lyræ } M_0 = -0,32, \qquad \text{Céphéides } M_0 = -1,54,$$

c'est-à-dire presque exactement ce que Baade confirme maintenant.

([5]) F. R. Gossett et A. D. Sollins, *Trans. Am. Geoph. Un.*, **27**, n° v, 1946, p. 629-631.

([1]) *Comptes rendus*, **220**, 1945, p. 445 et *Annales d'Astrophysique*, 7, 1944, p. 160.

Le résultat relatif aux Céphéides a pour principal effet de doubler les distances des étoiles lointaines, ainsi que celles des nébuleuses extragalactiques et leurs dimensions.

Par ailleurs Mme Henri Berthod-Zaborowski, partant des zéros que je venais d'obtenir, a vérifié (2) qu'avec ces nouvelles constantes l'observation était correctement représentée sans corrections complémentaires.

PHYSIQUE SOLAIRE. — *Les conditions physiques dans les grandes taches solaires déduites de leur spectre.* Note de M. **Raymond Michard**, présentée par M. André Danjon.

La température, la pression électronique et la pression gazeuse au centre d'une grande tache ont été déterminées en fonction des profondeurs optique puis géométrique, à partir des observations du spectre continu publiées par l'auteur (1) et des observations du spectre de raies dues à Ten Bruggencate et Von Klüber (2).

Observations et calculs s'appliquent à une grande tache, dont *l'ombre* a une aire de l'ordre de 80 millionièmes d'hémisphère et un champ magnétique d'environ 3000 gauss (3).

a. Modèle de la photosphère normale. — Les données sur les taches étant obtenues par comparaison avec la photosphère, il importe de disposer d'un bon modèle pour celle-ci. Le nôtre a été calculé à partir des observations du spectre continu visible et infrarouge (4) par des méthodes connues (5); nous avons admis une teneur en hélium négligeable, et une teneur en métaux aisément ionisables $1/A = 10^{-4}$ de la teneur en hydrogène. Les coefficients d'absorption sont ceux de H^- (Chandrasekhar et Breen) avec une contribution de H_2^+ (6) aux grandes profondeurs. Au voisinage de la surface le modèle initial a subi une petite correction de manière a obtenir un parfait accord entre les températures d'excitation calculées et observées pour Ti et Fe.

b. Étude du continu de la tache-type. — Les fonctions-sources et les relations $\tau_\lambda(T)$ ont été déduites de nos observations. Nous avons montré qu'au moins pour le visible et l'infrarouge, l'absorption dans la tache est due à H^-.

---

(2) *Annales d'Astrophysique*, 9, 1946, p. 123

(1) R. Michard, *Comptes rendus*, **235**, 1952, p. 791.

(2) *Z. Astrophys.*, **18**, 1938, p. 284; *Veröff. Univ. Sternw. Göttingen*, **78**, 1944.

(3) Les quantités relatives à la tache sont affectées du signe ′.

(4) D. Chalonge et R. Canavaggia, *Ann. Astrophys.*, **9**, 1946, p. 143; *ibid.*, **13**, 1950, p. 355; R. Peyturaux, *Thèse*, Paris, 1952 (sous presse aux *Ann. Astrophys.*).

(5) *Cf.* D. Chalonge et V. Kourganoff, *Ann. Astrophys.*, **9**, 1946, p. 69; B. Strömgren; *Physica*, **12**, 1946, p. 701; R. Peyturaux, *loc. cit.*

(6) D. R. Bates, *Month. Not. Roy. Astr. Soc.*, **112**, 1952, p. 40.

En particulier, le spectre continu infrarouge entre 1 et 2,5 μ calculé à l'aide de nos observations du visible et des coefficients d'absorption de H^-, concorde parfaitement avec les observations de Pettit et Nicholson (7).

c. Étude du spectre de raies. — L'interprétation des raies faibles peut se faire en toute rigueur au moyen de la théorie de Minnaert. L'intensité d'une raie faible d'un atome ionisé n fois ($n = 0$ ou 1) est

$$(1) \qquad W(m\text{Å}) = 5,28.10^{-6}\, g_i f \lambda^2 A_{el} \int_0^\infty \frac{\psi.10^{-\chi_i\theta}}{u_{n+1} + u_n p_e \psi} \frac{G}{\chi_\lambda/p_e}\, d\tau_\lambda,$$

avec $\psi = 10^{-9,09}\theta^{5/2}.10^{\chi_n\theta}$; $\theta = 5040/T$; χ_i, χ_n, potentiels d'excitation, d'ionisation; G, fonction de poids.

Avec l'absorbant H^-, χ_λ/p_e est indépendant de p_e de sorte que W ne dépend de p_e que par le terme $u_n p_e \psi$ au dénominateur. Deux cas peuvent alors se présenter :

raies d'un élément presque entièrement ionisé $n+1$ fois : $u_n p_e \psi$ est négligeable; W est indépendant de p_e : cas de Fe, Ti dans la photosphère, de Ti dans la tache;

raies d'un élément presque pas ionisé $n+1$ fois : $u_n p_e \psi$ est prépondérant et W dépend de p_e; cas de Fe dans la tache, de Ti^+ dans tache et photosphère.

Les raies observées dans (2) ne sont pas faibles, mais divers auteurs (8) ont indiqué que l'on pouvait réduire la largeur équivalente W d'une raie forte à la valeur w qu'elle aurait en l'absence de saturation, au moyen de la courbe de croissance (CC). Pour cela, il est nécessaire que la CC soit très bien déterminée, surtout la position de la partie à 45° par rapport au reste de la courbe. Nous avons amélioré à ce point de vue les CC données dans (2) : les CC *relatives à* Ti ont été reconstruites en portant en abscisses la quantité w calculée au moyen de la formule (1) (pratiquement indépendante de p_e !) et en ordonnées la largeur W observée. Les CC obtenues ont en gros la même forme que celles de (2) sauf dans la partie « raies faibles » où elles s'en écartent notablement.

A l'aide des courbes de croissance ainsi tracées, nous avons déterminé les quantités $(w'/w)_{obs}$ pour Ti^+ et Fe. Portant en abscisses le potentiel d'excitation et en ordonnées $\log(w'/w)$, on obtient une droite dont la pente indique la différence des températures d'excitation dans la tache et la photosphère. Pour les spectres de Fe et Ti^+ nous trouvons $\theta'_e - \theta_e = 0,27$ en bon accord avec (2). D'autre part, on peut calculer w par la formule (1), et aussi w' en faisant diverses hypothèses sur la valeur du rapport p'_e/p_e dans les couches « optiques » étudiées. En comparant $(w'/w)_{calc}$ à $(w'/w)_{obs}$, on trouve p'_e/p_e.

Pour une grande tache assez bien observée, nous avons mesuré une discon-

(7) *Contr. Mount Wilson Obs.*, 18, 1929-1930, p. 121.

(8) W. J. Claas, *Rech. Astr. Obs. Utrecht*, 12, 1951, p. 1; J. C. Pecker et H. Van Regemorter, *Comptes rendus*, 234, 1952, p. 1850.

tinuité de Balmer D = 0,015. Une si faible perturbation du spectre continu peut se calculer comme l'aile d'une raie large, par la méthode des fonctions de poids, et l'on peut en déduire une valeur du rapport p'_e/p_e aux très grandes profondeurs optiques.

On a finalement obtenu les résultats suivants, chacun se rapportant à la profondeur « effective » indiquée :

Spectre.	Fe ($\chi_i = 0$).	Fe ($\chi_i = 3^{eV}$).	Ti^+ ($\chi_i = 1^{eV}$).	H (disc. Balmer).
τ^{eff}_{5000}.....	0,08	0,15	0,15	4
$\frac{p'_e}{p_e}$.....	— 1,10	— 0,70	— 0,69	— 2,10

Ces données et les valeurs connues de p_e dans la photosphère ont été combinées pour trouver la loi $p'_e(T)$. On calcule alors immédiatement la pression gazeuse dans la tache par la théorie de l'ionisation ; puis la profondeur géométrique h peut être calculée par la relation $d\tau_\lambda = \varkappa_\lambda \rho\, dh$. Le modèle ainsi obtenu pour la tache-type, de manière purement empirique et sans faire appel à l'équation d'équilibre hydrostatique, est donné dans le tableau, avec le modèle photosphérique utilisé comme terme de comparaison.

τ_{5000}.	0.	log p.	log p_e.	h.	0'.	log p'.	log p'_e.	h.
0,02.....	1,117	4,105	—0,05	0	1,353	3,79	—0,88	0
0,05.....	1,060	4,37	0,23	77	1,300	3,955	—0,61	413
0,15.....	0,971	4,64	0,62	167	1,204	4,195	—0,20	927
0,50.....	0,851	4,885	1,28	256	1,098	4,395	0,20	1 620
1,0.....	0,782	4,985	1,765	300	1,035	4,545	0,43	2 120
3,0.....	0,662	5,085	2,75	345	0,918	4,79	0,92	2 975

Quelques conséquences de ces résultats seront discutées ultérieurement.

PHYSIQUE THÉORIQUE. — *Sur la vie moyenne de la particule* V^0_1. Note de M. **Bernard d'Espagnat**, présentée par M. Louis de Broglie.

Il est possible d'expliquer les vies moyennes de V^0_1 et de π au moyen d'une seule constante de couplage, à condition que ce couplage soit pseudovectoriel et non pseudoscalaire.

La particule neutre V^0_1 est celle, plus lourde que le proton, qui paraît se désintégrer suivant le schéma

$$V^0_1 \rightarrow P + \pi^- . \qquad (1)$$

Nous admettrons que le schéma (1) est correct.

L'hypothèse suivant laquelle V^0_1 serait un état excité du neutron se heurte comme on sait à deux difficultés, d'une part la vie moyenne de cette particule est trop longue (2 à $5 . 10^{-10}$s), d'autre part la résonance à laquelle on devrait

s'attendre dans la diffusion des mésons π^- par l'hydrogène fait défaut. Nous nous rallierons donc à l'hypothèse, déjà considérée par Pais (1), suivant laquelle V_1^0 est une particule fondamentale. D'après (1) V_1^0 est alors un fermion.

On sait que pour expliquer la désintégration

$$\pi^{\pm} \rightarrow \mu^{\pm} + \nu, \tag{2}$$

plusieurs schémas d'interaction sont possibles : on peut par exemple considérer (2) comme résultant d'une interaction directe, s'exprimant par la densité de lagrangien :

$$L = g_{PS} \Psi_{\mu}^{+} \gamma_5 \varphi_{\pi} \Psi_{\nu} + \frac{g_{PV}}{m_{\pi}} \Psi_{\mu}^{+} \gamma_5 \gamma_{\lambda} \frac{\partial \varphi_{\pi}}{\partial x_{\lambda}} \Psi_{\nu}. \tag{3}$$

On peut aussi considérer (2) comme dû au passage par une paire de nucléons virtuelle et à une interaction universelle entre fermions (2). Il en va de même dans notre problème : on peut expliquer (1) soit par une interaction directe

$$L = g'_{PS} \Psi_{P}^{+} \gamma_5 \varphi_{\pi} \Psi_{V} + \frac{g'_{PV}}{m_{\pi}} \Psi_{P}^{+} \gamma_5 \gamma_{\lambda} \frac{\partial \varphi_{\pi}}{\partial x_{\lambda}} \Psi_{V}, \tag{4}$$

soit en faisant appel à des processus plus compliqués. Sans vouloir aborder ici la discussion générale des schémas d'interaction (3) nous admettrons par hypothèse que les interactions directes (3) et (4) existent réellement.

Ceci étant dit, l'objet de la présente Note est d'attirer l'attention sur le point suivant.

Alors qu'il est impossible de rendre compte simultanément des vies moyennes de π *et* V_1^0 *observées en choisissant* $g_{PS} = g'_{PS}$; $g_{PV} = g'_{PV} = 0$, *la chose est possible si l'on fait le choix* $g_{PS} = g'_{PS} = 0$, $g_{PV} = g'_{PV}$. Autrement dit il suffit d'une seule constante pour rendre compte de ces deux vies moyennes, à condition que les couplages soient pseudovectoriels. Rappelons que cette même constante g_{PV} permet également d'expliquer l'interaction μ-nucléons (4).

Nous n'expliciterons pas les calculs, qui se font très simplement par les méthodes habituelles. Remarquons simplement que le fait signalé s'explique bien aisément si l'on fait appel au théorème d'équivalence de Nelson-Dyson. Ce théorème dit que dans les applications de (3) et (4) on peut supprimer g_{PV}, g'_{PV} à condition de remplacer g_{PS}, g'_{PS} par

$$g_{PS\,\text{équiv}} = g_{PS} + g_{PV} m_{\mu} m_{\pi}^{-1} ; \qquad g'_{PS\,\text{équiv}} = g'_{PS} + g'_{PV} (M_V + M_P) m_{\pi}^{-1}. \tag{5}$$

C'est un résultat connu que les vies moyennes observées conduisent à

---

(1) A. Païs, *Phys. Rev.*, 86, 1952, p. 663.

(2) Ruderman-Finkelstein, *Phys. Rev.*, 76, 1949, p. 1458.

(3) *Cf.* par exemple Friedmann-Rainwater, *Phys. Rev.*, 84, 1951, p. 684; L. Michel, *Prog. Cosmic Rays*, 1952, où l'on trouvera des références.

(4) B. d'Espagnat, *Comptes rendus*, **228**, 1949, p. 744; Caianiello, *Phys. Rev.*, **81**, 1951, p. 625.

prendre $g'_{PS\,équiv} \gg g_{PS\,équiv}$, il n'est donc pas possible de choisir $g_{PV} = g'_{PV} = 0$, $g_{PS} = g'_{PS}$, par contre il est possible d'adopter $g_{PS} = g'_{PS} = 0$, $g_{PV} = g'_{PV}$ parce que $(M_V + M_P)\, m_\pi^{-1} \gg m_\mu m_\pi^{-1}$.

Dans cette théorie il est possible de calculer exactement le rapport des vies moyennes $\tau_{V\to P+\pi}$ et $\tau_{\pi\to\mu+\nu}$. Le tableau donne ce rapport pour différentes valeurs de la masse M_V de V_1^0 (Q est la valeur correspondante de l'énergie libérée). Noter que le processus (1) peut entrer en compétition avec le processus $V_1^0 \to N + \pi^0$, difficilement observable. S'il en est bien ainsi et si les probabilités des deux effets sont égales, les vies moyennes observées ne doivent être que la *moitié* des vies moyennes données par le tableau. L'accord avec l'expérience paraît alors possible : ainsi pour $Q = 45$ MeV, $\tau_\pi = 1,8 . 10^{-8}$, on trouve $\tau_{V\,observ.} = 4,5 . 10^{-10}$ sec.

$\frac{M_V}{m_e}$	2180	2200	2230	2260
Q_{MeV}	35	45	60	75
$\frac{\tau_V}{\tau_\pi}$	0,075	0,05	0,032	0,0215

PHYSIQUE THÉORIQUE. — *Sur l'évaluation de la section efficace de diffusion coulombienne dans le choc de deux corpuscules élémentaires de spins $n\hbar/2$ et $m\hbar/2$ (m et n entiers)*. Note de M. **Gérard Petiau**, présentée par M. Louis de Broglie.

Calcul covariant de la section efficace de diffusion électromagnétique coulombienne dans le choc de deux corpuscules libres, discernables, de spin total $n\hbar/2$ et $m\hbar/2$ représentés par des systèmes d'équations d'ondes irréductibles.

Dans une Note précédente (1) dont nous reprenons ici les notations, nous avons indiqué les principes généraux d'une nouvelle théorie des corpuscules de spin quelconque. Dans celle-ci, le corpuscule possédant l'état de masse propre unique m_0 et le spin total $n\hbar/2$ est représenté par les $(n+1)(n+2)(n+3)/6$ fonctions d'ondes $\psi_{(i_1,\ldots,i_n)}(i_1, \ldots, i_n = 1, 2, 3, 4)$ complètement symétriques par rapport aux n indices de Dirac $i_1, \ldots, i_n$.

Nous nous proposons ici d'évaluer, dans le cadre de cette théorie, la section efficace de diffusion électromagnétique coulombienne correspondant au choc de deux corpuscules (A) et (B), discernables, de charges e_A, e_B, de masses propres m_A, m_B, de spins total $S_A = n\hbar/2$, $S_B = m\hbar/2$, libres et représentés par des ondes planes à énergie positive dans l'état initial et dans l'état final.

Les corpuscules (A) et (B), initialement dans les états (A_0), (B_0), d'énergies, impulsions et masses propres réduites $(K_{A_0}, \mathbf{K}_{A_0}, \mu_A)$, $(K_{B_0}, \mathbf{K}_{B_0}, \mu_B)$, sont repré-

(1) *Comptes rendus*, **234**, 1952, p. 1955.

sentés par des ondes planes à énergies positives normées dans le volume unité, d'amplitudes $u^{+A_0}_{(i_1,\ldots,i_n)}$, $u^{+B_0}_{(i_1,\ldots,i_m)}$. Dans le choc, (A) et (B) échangent la quantité de mouvement $\mathbf{k}=\mathbf{K}_{A_0}-\mathbf{K}_{A_1}=\mathbf{K}_{B_1}-\mathbf{K}_{B_0}$ par l'intermédiaire d'un corpuscule de champ vectoriel de spin $\hbar(k, \mathbf{k}, \mu_0)$, μ_0 étant très petit et négligeable lorsque ce corpuscule est un photon, ce que nous supposons ici. Dans l'état final (A) et (B) se trouvent dans les états $(A_1)(K_{A_1}, \mathbf{K}_{A_1}, \mu_A)$ et (B_1) $(K_{B_1}, \mathbf{K}_{B_1}, \mu_B)$ d'amplitudes $u^{+A_1}_{(i_1,\ldots,i_n)}$, $u^{+B_1}_{(i_1,\ldots,i_m)}$.

Suivant des notations introduites précédemment, nous écrivons

$$K_{ij}=-K_iK_j+(\mathbf{K}_i\mathbf{K}_j),\qquad q_{ij}=K_{ij}+\mu_i\mu_j\qquad (i,j=A_0, A_1, B_0, B_1);$$
$$q_{\bar{i}\bar{j}}=K_{ij}-\mu_i\mu_j=q_{ij}-2\mu_i\mu_j,\qquad q_{ii}=0,\qquad K_{\bar{i}\bar{i}}=-\mu_i^2,\qquad q_{\bar{i}\bar{i}}=-2\mu_i^2.$$

La conservation globale de l'énergie et de la quantité de mouvement nous donne $q_{A_0B_0}=q_{A_1B_1}$; $q_{A_0A_1}=q_{B_0B_1}$; $q_{A_0B_1}=q_{B_0A_1}$; $q_{A_0A_1}=K_{A_0B_0}-K_{A_0B_1}$.

L'élément de matrice de diffusion généralisant l'élément de matrice de Møller a pour expression

$$H'^{(1)}_{A_0B_0;A_1B_1}=\frac{e_Ae_B}{2q_{A_0A_1}}(u^{+*}_{A_0}A^{(n)\lambda}u^{+}_{A_1})(u^{+*}_{B_0}A^{(m)}{}_{\lambda}u^{+}_{B_1}),\qquad \text{avec}\quad \lambda=0,\quad p,\quad p=1,2,3;$$

$$A^{(n)}{}_0=-A^{(n)0}=\frac{1}{n}\sum_{r=1}^{n}(\alpha_4)_{i_1l_1}\ldots(\alpha_0)_{i_rl_r}\ldots(\alpha_4)_{i_nl_n};$$

$$A^{(n)}{}_p=A^{(n)p}=\frac{1}{n}\sum_{r=1}^{n}(\alpha_4)_{i_1l_1}\ldots(\alpha_p)_{i_rl_r}\ldots(\alpha_4)_{i_nl_n}.$$

La section efficace de diffusion du corpuscule (A) dans l'angle solide $d\Omega_{\mathbf{K}_{A_1}}$ autour de la direction $\mathbf{K}_{A_1}$ tandis que (B) recule dans la direction $\mathbf{K}_{B_1}$ s'écrit

$$d\sigma=\frac{1}{4\pi^2\hbar^2c^2}\frac{(\mathbf{K}_{A_1})^3K_{A_0}K_{B_0}K_{A_1}K_{B_1}d\Omega_{\mathbf{K}A_1}\overline{|H'^{(1)}_{(n)(m)}|^2}}{[(K_{A_0B_0})^2-\mu_A^2\mu_B^2]^{\frac{1}{2}}[\mathbf{K}_{A_1}(K_{B_1}\mathbf{K}_{A_1}-K_{A_1}\mathbf{K}_{B_1})},$$

$\overline{|H'^{(1)}_{(n)(m)}|^2}$ représente le carré de l'élément de matrice $H^{(1)}_{(n)(m)}$ sur lequel on a effectué une sommation sur les états de spin de l'état final et une moyenne sur les états de spin de l'état initial, d'où

$$4(q_{A_0A_1})^2(n+1)(m+1)\overline{|H'^{(1)}_{(n)(m)}|^2}$$
$$=e_A^2e_B^2\sum_{u_{A_0}}\sum_{u_{A_1}}\sum_{u_{B_0}}\sum_{u_{B_1}}(u^{+*}_{A_0}A^{(n)\lambda}u^{+}_{A_1})(u^{+*}_{A_1}A^{(n)\varkappa}u^{+}_{A_0})(u^{+*}_{B_0}A^{(m)}_{\lambda}u^{+}_{B_1})(u^{+*}_{B_1}A^{(m)}_{\varkappa}u^{+}_{B_0}).$$

Pour effectuer la sommation, on introduit les projecteurs

$$\left(\frac{1}{2K}\right)^nA^{(n)}_{i_1,\ldots,i_n;\,l_1,\ldots,l_n}=\left(\frac{1}{2K}\right)^n\prod_{r=1}^{n}[K-(\mathbf{K}.\sigma)-\mu\alpha_4]_{i_rl_r}.$$

D'autre part, tenant compte du fait que dans notre théorie, la normalisation est assurée au moyen de l'intégrale $\int\psi^*_{(i_1,\ldots,i_n)}A^{(n(}_0\psi_{(i_1,\ldots,i_n)}d\tau$,

on a

$$\sum_{u'} (u_1^* \mathrm{A}\, u')\,(u'^* \mathrm{B}\, u_2) = \left(\frac{\mathrm{K}}{\mu}\right)^{n-1} u_1^* (\mathrm{AB})\, u_2.$$

Nous obtenons donc

$$\overline{|\mathrm{H}'^{(j)}_{(n)(m)}|^2} = \frac{e_\mathrm{A}^2 e_\mathrm{B}^2 \mathrm{S}^{(n)}_{\mathrm{A}_0\mathrm{A}_1;\,\lambda\chi}\mathrm{S}^{(m)}_{\mathrm{B}_0\mathrm{B}_1;\,\lambda\chi}}{4(q_{\mathrm{A}_0\mathrm{A}_1})^2(n+1)(m+1)\,16\,\mathrm{K}_{\mathrm{A}_0}\mathrm{K}_{\mathrm{B}_0}\mathrm{K}_{\mathrm{A}_1}\mathrm{K}_{\mathrm{B}_1}(2\mu_\mathrm{A})^{2(n-1)}(2\mu_\mathrm{B})^{2(m-1)}},$$

$$\mathrm{S}^{(n)}_{\mathrm{A}_0\mathrm{A}_1;\,\lambda\chi} = \mathrm{Tr}.\,[\Lambda^{(n)}_{\mathrm{A}_0}\mathrm{A}^{(n)\lambda}\Lambda^{(n)}_{\mathrm{A}_1}\mathrm{A}^{(n)\chi}\eta^{(n)}]; \qquad \mathrm{S}^{(m)}_{\mathrm{B}_0\mathrm{B}_1;\,\lambda\chi} = \mathrm{Tr}.\,[\Lambda^{(m)}_{\mathrm{B}_0}\mathrm{A}^{(m)}_{\lambda}\Lambda^{(m)}_{\mathrm{B}_1}\mathrm{A}^{(m)}_{\chi}\eta^{(m)}].$$

Ces traces s'évaluent par récurrence, d'où

$$\mathrm{S}^{(n)}_{\mathrm{A}_0\mathrm{A}_1;\,\lambda\chi} = (-1)^n \frac{4(n+1)}{3n}(2q^{-}_{\mathrm{A}_0\mathrm{A}_1})^{n-2}$$
$$\times\{2(n-1)\mu_\mathrm{A}^2[\mathrm{K}^{\lambda}_{\mathrm{A}_0}+\mathrm{K}^{\lambda}_{\mathrm{A}_1}][\mathrm{K}^{\chi}_{\mathrm{A}_0}+\mathrm{K}^{\chi}_{\mathrm{A}_1}] - (n+2)q^{-}_{\mathrm{A}_0\mathrm{A}_1}[\mathrm{K}^{\lambda}_{\mathrm{A}_0}\mathrm{K}^{\chi}_{\mathrm{A}_1}+\mathrm{K}^{\lambda}_{\mathrm{A}_1}\mathrm{K}^{\chi_0}_{\mathrm{A}}-q_{\mathrm{A}_0\mathrm{A}_1}\delta^{\lambda\chi}]\}$$

$$\overline{|\mathrm{H}'^{(1)}_{(n)(m)}|^2} = \frac{e_\mathrm{A}^2 e_\mathrm{B}^2}{4(q_{\mathrm{A}_0\mathrm{A}_1})^2\,16\,\mathrm{K}_{\mathrm{A}_0}\mathrm{K}_{\mathrm{B}_0}\mathrm{K}_{\mathrm{A}_1}\mathrm{K}_{\mathrm{B}_1}}\frac{(-1)^{n+m}}{9mn}\left(\frac{q^{-}_{\mathrm{A}_0\mathrm{A}_1}}{2\mu_\mathrm{A}^2}\right)^{n-2}\left(\frac{q^{-}_{\mathrm{B}_0\mathrm{B}_1}}{2\mu_\mathrm{B}^2}\right)^{m-2}$$
$$\times\Big\{16(n-1)(m-1)[\mathrm{K}_{\mathrm{A}_0\mathrm{B}_0}+\mathrm{K}_{\mathrm{A}_0\mathrm{B}_1}]^2$$
$$+8(n+2)(m+2)\left(\frac{q^{-}_{\mathrm{A}_0\mathrm{A}_1}}{2\mu_\mathrm{A}^2}\right)\left(\frac{q^{-}_{\mathrm{B}_0\mathrm{B}_1}}{2\mu_\mathrm{B}^2}\right)[(\mathrm{K}_{\mathrm{A}_0\mathrm{B}_0})^2+(\mathrm{K}_{\mathrm{A}_0\mathrm{B}_1})^2+q_{\mathrm{A}_0\mathrm{A}_1}(\mu_\mathrm{A}^2+\mu_\mathrm{B}^2)]$$
$$-8(n-1)(m+2)\frac{q^{-}_{\mathrm{B}_0\mathrm{B}_1}}{2\mu_\mathrm{B}^2}[(\mathrm{K}_{\mathrm{A}_0\mathrm{B}_0}+\mathrm{K}_{\mathrm{A}_0\mathrm{B}_1})^2-q_{\mathrm{A}_0\mathrm{A}_1}q^{-}_{\mathrm{A}_0\mathrm{A}_1}]$$
$$-8(m-1)(n+2)\frac{q^{-}_{\mathrm{A}_0\mathrm{A}_1}}{2\mu_\mathrm{A}^2}[(\mathrm{K}_{\mathrm{A}_0\mathrm{B}_0}+\mathrm{K}_{\mathrm{A}_0\mathrm{B}_1})^2-q_{\mathrm{A}_0\mathrm{A}_1}q^{-}_{\mathrm{B}_0\mathrm{B}_1}[\Big\}.$$

$$\overline{|\mathrm{H}'^{(1)}_{(n)(m)}|^2} = \frac{(-1)^{n+m}}{9mn}\left(\frac{q^{-}_{\mathrm{A}_0\mathrm{A}_1}}{2\mu_\mathrm{A}^2}\right)^{n-2}\left(\frac{q^{-}_{\mathrm{B}_0\mathrm{B}_1}}{2\mu_\mathrm{B}^2}\right)^{m-2}$$
$$\times\Big\{4(n-1)(m-1)\,\overline{|\mathrm{H}'^{(1)}_{(0)(0)}|^2}+(n+2)(m+2)\frac{q^{-}_{\mathrm{A}_0\mathrm{A}_1}}{2\mu_\mathrm{A}^2}\frac{q^{-}_{\mathrm{B}_0\mathrm{B}_1}}{2\mu_\mathrm{B}^2}\overline{|\mathrm{H}'^{(1)}_{(1)(1)}|^2}$$
$$-2(n-1)(m+2)\frac{q^{-}_{\mathrm{B}_0\mathrm{B}_1}}{2\mu_\mathrm{B}^2}\overline{|\mathrm{H}'^{(1)}_{(0)(1)}|^2}-2(m-1)(n+2)\frac{q^{-}_{\mathrm{A}_0\mathrm{A}_1}}{2\mu_\mathrm{A}^2}\overline{|\mathrm{H}'^{(1)}_{(1)(0)}|^2}\Big\}.$$

Cette dernière expression montre notamment que la section efficace de diffusion d'un corpuscule de spin $n\hbar/2$ par un corpuscule de spin $m\hbar/2$ soit $d\sigma_{(n)(m)}$ s'exprime simplement au moyen des sections efficaces $d\sigma_{(0)(0)}$, $d\sigma_{(0)(1)}$, $d\sigma_{(1)(0)}$ et $d\sigma_{(1)(1)}$.

CYBERNÉTIQUE. — *Perturbations des oscillateurs filtrés.* Note de M. **Gilbert Cahen**, présentée par M. Louis de Broglie.

Le fait de supposer que l'amplificateur d'un oscillateur est filtré, de manière à répondre à une excitation sinusoïdale par une oscillation sinusoïdale synchrone. permet d'établir, en fonction des dérivées partielles du gain et de la phase, une équation aux perturbations; celle-ci permet de montrer, dans ce cas très général, l'existence du seuil de synchronisation et, lorsque la perturbation est inférieure à ce seuil, du traînage de fréquence.

Tout oscillateur est non linéaire, puisque l'amplitude de l'oscillation est limitée. Sans faire d'hypothèse sur le degré ni la forme de l'équation qui le

régit, nous admettrons avec Dutilh (1), Kochenburger (2) et Loeb (3) qu'un filtrage coupe les harmoniques de la fondamentale, de telle sorte que la réponse du circuit ouvert à une excitation

$$X = x\cos\omega t \tag{1}$$

ait la forme

$$Y = y\cos(\omega t + \varphi) \tag{2}$$

lorsque x et ω sont assez voisins des amplitudes x_0 et pulsation ω_0 du régime d'oscillation spontané.

Si l'amplificateur était linéaire, $(y/x)\exp(j\varphi)$ serait une fonction analytique de $(\dot{x}/x)+j\omega$. Ici, admettant que y/x et φ sont fonctions de $\dot{x}/x$, ω et x, cette dernière dépendance traduisant la non-linéarité, nous posons, au voisinage de x_0 et ω_0 :

$$(3)\qquad \begin{cases} \dfrac{\partial\varphi}{\partial x} = a\cos\alpha, & \dfrac{\partial\varphi}{\partial\omega} = b\cos\beta, & \dfrac{\partial\varphi}{\partial\tau} = cx_0\cos\gamma; \\ \dfrac{\partial y}{\partial x} - 1 = ax_0\sin\alpha, & \dfrac{\partial y}{\partial\omega} = bx_0\sin\beta, & \dfrac{\partial y}{\partial\tau} = cx_0^2\sin\gamma. \end{cases}$$

Appliquons au circuit bouclé une oscillation perturbatrice,

$$Z = \omega x_0\cos[(\omega_0+\varepsilon)t] \qquad (\text{avec } \varepsilon \ll \omega_0). \tag{4}$$

La méthode proposée consiste à considérer l'oscillation à l'entrée de l'amplificateur, compte tenu de la perturbation, comme une oscillation fictive de pulsation $\omega_0+\varepsilon$ mais de phase variable θ, de telle sorte que la valeur effective de la pulsation est en réalité $\omega_0+\varepsilon+\dot{\theta}$. L'équation du bouclage est alors

$$(5)\qquad y\cos[(\omega_0+\varepsilon)t+\theta+\varphi] - ux_0\cos(\omega_0+\varepsilon)t + x\cos[(\omega_0+\varepsilon)t+\theta] = 0,$$

y et φ étant évalués au moyen des équations (3).

Comme $\tau = \dot{x}/x_0$, on obtient deux équations en x et $\dot{x}$. Une différentiation permet d'éliminer x, et l'on a finalement l'équation

$$m\ddot{\psi} + [1 + k\sin(\psi-\delta)]\dot{\psi} + \varepsilon(1 - h\cos\psi) = 0 \tag{6}$$

avec les changements de notation suivants :

$$(7)\qquad \begin{cases} \psi = \theta - \alpha, & m = \dfrac{c\sin(\gamma-\beta)}{a\sin(\alpha-\beta)}, \\ h = \dfrac{u}{b\varepsilon\sin(\alpha-\beta)}, & k = \dfrac{\varepsilon hc}{a}, \qquad \delta = \gamma - \alpha. \end{cases}$$

---

(1) *Radio*, mai 1950.

(2) *Electrical Engineering*, août 1950.

(3) *Comptes rendus*, **231**, 1950; **233**, 1951, p. 733.

L'équation (6) donne la phase de l'oscillation fictive. Si ψ est constant, il y a synchronisation de l'oscillateur sur la perturbation; pour cela, il faut que $h > 1$. On étudie ce qui se passe, lorsque cette condition n'est pas réalisée, par la méthode décrite dans une précédente Note (*). On trouve aisément que le régime asymptotique est un cycle limite de seconde espèce, la phase ψ variant séculairement, de manière à retrouver les mêmes valeurs, à 2π près, après une durée T qui, si k est petit devant l'unité, peut s'écrire

$$(8) \qquad T = \int_0^{2\pi} \frac{d\psi}{\dot{\psi}} \neq - \frac{2\pi\left[1 + \frac{\varepsilon c}{a}\left(1 - \sqrt{1-h^2}\right)\sin(\alpha - \gamma)\right]}{\varepsilon\sqrt{1-h^2}}.$$

De ce fait, la pulsation effective n'est égale ni à la pulsation $\omega_0 + \varepsilon$ de la perturbation, ni à la pulsation ω_0 de l'oscillation non perturbée : par rapport à cette dernière, il y a « traînage », nul avec h, puis croissant avec h jusqu'à l' « accrochage » obtenu par $h = 1$.

Nota. — Si la perturbation disparaît ($u = h = k = 0$) l'équation (6) devient

$$m\ddot{\Psi} + \dot{\Psi} + \varepsilon = 0.$$

Remarquant que $\dot{\Psi} + \varepsilon$ n'est autre que l'écart effectif de pulsation, $\omega - \omega_0$, on trouve

$$m\dot{\omega} + \omega = \omega_0.$$

La pulsation ω_0 sera stable ou instable selon que m est positif ou négatif, autrement dit, selon que $\sin(\alpha - \beta)$ et $\sin(\gamma - \alpha)$ sont de même signe ou de signes contraires.

2. Les mêmes méthodes permettent d'étudier le couplage de deux oscillateurs : si λ est un paramètre de bouclage, les équations des oscillateurs seront du type

$$(13) \qquad \begin{cases} X_1 + Y_1 - \lambda p_2 X_2 = 0, \\ X_2 + Y_2 - \lambda p_1 X_1 = 0. \end{cases}$$

Appelons $\varepsilon = \omega_1 - \omega_2$ la différence, supposée petite, des pulsations naturelles des oscillateurs découplés; si θ_1 et θ_2 sont les phases des oscillations à l'entrée des amplificateurs respectifs, la phase de X_2 par rapport à X_1, est

$$(14) \qquad \zeta = \theta_1 - \theta_2 + \varepsilon t.$$

Réciproquement, la phase de X_2 par rapport à X_1 est à la pulsation $\omega_2 - \zeta$. On aboutit dès lors, en traitant chaque équation (13) par la méthode ci-dessus décrite, à deux équations différentielles en θ_1 et θ_2,

$$(15) \qquad \begin{cases} c_1 \sin(\gamma_1 - \beta_1)\ddot{\theta}_1 + \alpha_1 \sin(\alpha_1 - \beta_1)\dot{\theta}_1 = \lambda\left(\frac{p_2 x_2}{b_1 x_1}\right)\left[c_1 \cos(\zeta - \gamma_1) - \alpha_1 \dot{\zeta} \sin(\zeta - \alpha_1)\right], \\ c_2 \sin(\gamma_2 - \beta_2)\ddot{\theta}_2 + \alpha_2 \sin(\alpha_2 - \beta_2)\dot{\theta}_2 = \lambda\left(\frac{p_1 x_1}{b_2 x_2}\right)\left[c_2 \cos(\zeta - \gamma_2) - \alpha_2 \dot{\zeta} \sin(\zeta - \alpha_2)\right], \end{cases}$$

(*) *Comptes rendus*, 235, 1952, p. 1003.

qui jointes à (14) permettent de trouver la valeur minimum de λ qui assure la synchronisation, et, par une méthode d'approximation, les traînages mutuels des fréquences des oscillateurs, lorsqu'on est en deçà du seuil de synchronisation.

THERMODYNAMIQUE. — *Sur la variation de la célérité des ondes explosives avec le diamètre des tubes*. Note (*) de MM. **Henri Guénoche** et **Numa Manson**, présentée par M. Gustave Ribaud.

1. L'influence du rayon r sur la célérité D des ondes explosives a déjà été constatée, mais un doute pouvait subsister tant à cause de la précision des mesures (1), (2) qu'à cause de la nature des mélanges utilisés (3). Cependant, le comportement des explosifs solides (4), les conclusions théoriques de Zeldovitch (5) et de Döring (6) confirmaient qualitativement ces résultats. Récemment, Kistiakowsky, Knight et Malin (7) ont effectué des mesures de D dans des mélanges C_2N_2/O_2 et C_2H_2/O_2 enregistrant avec des détecteurs à quartz le passage des ondes en divers points de tubes de 1,2 à 10 cm de diamètre. Ils ont abouti à la conclusion que D varie avec r suivant une loi de la forme $D = D_\infty - (C/r)$, où C est une constante qui dépend de la nature et de la composition du mélange et où D_∞ représente la valeur de D pour un diamètre infini.

Toutefois, avec le mélange $C_2H_2 + O_2$, dans des ballons sphériques (8), et surtout dans des tubes capillaires (jusqu'à $r = 0{,}3$ mm) (9), les valeurs de D trouvées concordent aux erreurs des mesures près (3 à 5 %) alors que, d'après la relation précédente, il devrait exister un écart de 10 % entre les mesures dans les ballons et celles effectuées dans des tubes de 3 mm de diamètre par exemple.

2. Nous avons donc repris les expériences dans les tubes en éliminant un certain nombre d'erreurs de mesures inhérentes à la méthode de Mallard et Le Chatelier. Nous avons procédé à des mesures relatives de célérités en comparant les pentes de deux droites obtenues simultanément sur le même enregistrement avec un tube de diamètre fixe et avec un tube de diamètre

(*) Séance du 10 décembre 1952.

(1) Berthelot et Vieille, *Comptes rendus*, **94**, 1882, p. 101.

(2) Campbell, *J. Chem. Soc.*, **121**, 1922, p. 2483.

(3) Bone et Fraser, *Proc. Roy. Soc.* A **130**, 1931, p. 342.

(4) Voir par exemple J. Taylor, *Détonation in condensed explosives*, Clarendon Press, Oxford, 1952.

(5) *J. Phys. Theor. et Exper. U. R. S. S.*, **10**, 1940, p. 542.

(6) *Ann. der Phys.*, 5, n° **43**, 1943, p. 421.

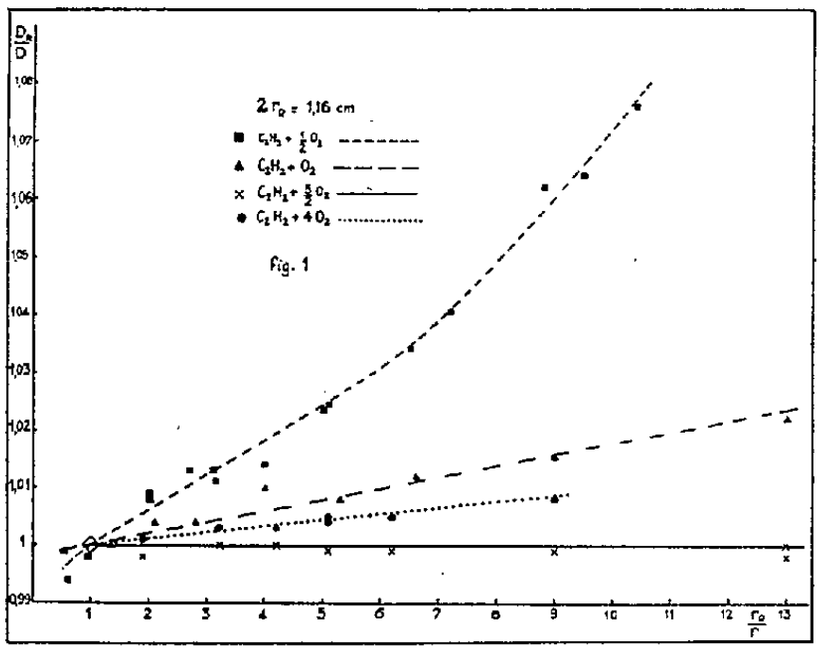
(7) *J. Chem. Phys.*, **20**, 1952, p. 876 et 889.

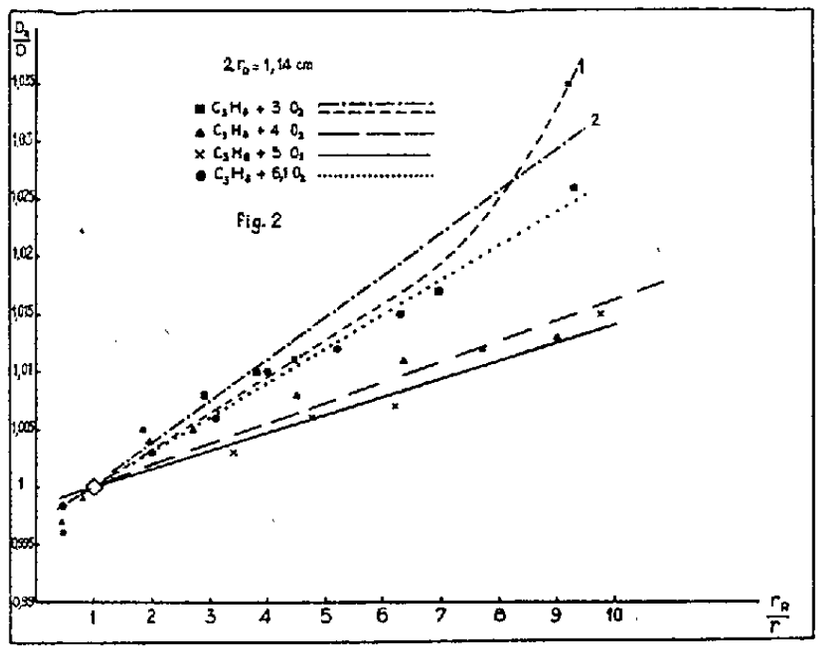
(8) N. Manson et F. Ferrié, *Comptes rendus*, **235**, 1952, p. 139.

(9) H. Guénoche, *Revue Inst. Fr. du Pétrole*, janvier-février 1949.

quelconque maintenu parallèle au premier. L'onde explosive s'y propage dans le même sens, provenant d'un troisième tube de diamètre égal à celui du tube de référence. Le mélange gazeux stocké dans une réserve est envoyé dans les trois tubes préalablement vidés.

Le calcul des pentes est fait sur des photographies agrandies en 18×24 cm. $\Delta (D_R/D)$ est égale à $\pm 0{,}01$ (l'indice R se rapporte au tube de référence). Toutefois, la répétition des mesures, la comparaison des pentes pour deux tubes identiques, les valeurs obtenues sur des agrandissements différents par chacun de nous montrent qu'en fait $D_R/D \leq 0{,}005$.





Les tubes de référence et les tubes étudiés ne présentent pas en leurs extrémités une variation supérieure à 0,2 mm pour les premiers, à 0,1 mm pour les seconds. Donc, lorsque le rapport des rayons $\rho = r_R/r$ varie de 1 à 13, $\Delta\rho$ passe de $\pm 0{,}01$ à 0,86. Les valeurs limites de ρ ont été imposées par le manque de luminosité des ondes d'une part, par l'établissement des ondes, d'autre part.

3. Nous avons utilisé divers mélanges oxyacétyléniques et oxypropanes. Les variations de D_R/D en fonction de ρ sont données sur les figures 1 et 2. Les courbes sont, pour la plupart, des droites dont la pente a varie avec la composition du mélange. a est minimum pour le mélange stœchiométrique ou pour un mélange voisin. Quand on s'éloigne de cette composition et lorsque ρ prend une certaine valeur, la fonction cesse d'être linéaire (10).

On peut penser que toutes les courbes ont même allure que celle relative au mélange $C_2H_2 + 0{,}5\,O_2$, α et la longueur de la partie linéaire dépendant de la composition du mélange. La relation liant D et r serait de la

(10) Nous avons donné deux allures de courbes pour le mélange $C_3H_8 + 3O_2$ car, si la droite est à la limite acceptable suivant notre procédé de mesure, la courbe semble plus probable.

forme $D = D_i \exp\{-f(c, r)/r\}$ où D_i représenterait une célérité idéale indépendante du diamètre du tube et $f(c, r)$ une quantité ayant les dimensions d'une longueur dépendant de la composition du mélange et du diamètre du tube. Cependant, nous ne pouvons actuellement conclure tant sur cette variable que sur les raisons pour lesquelles se manifeste l'influence du diamètre.

ÉLECTROMAGNÉTISME. — *Sur l'équation différentielle des rayons électromagnétiques dans un milieu ionisé absorbant hétérogène de paramètres lentement variables.* Note (*) de M. **Henri Arzelies**, transmise par M. Jean Cabannes.

Nous utilisons les notations et les résultats d'une Note précédente (1). Rappelons, en particulier, que les formules concernent seulement les ondes planes permanentes.

Équations fondamentales pour les lignes de phase. — En raisonnant comme on le fait dans le cas des milieux non absorbants, l'angle i correspondant à une altitude quelconque est donné, en fonction de l'angle i_0 d'entrée dans le milieu, par

$$\frac{\sin i_0}{\sin i} = \frac{V_0}{V}.$$

Pour le voir il suffit de diviser le milieu en tranches parallèles aux plans de stratification. Cette formule ne fait intervenir que l'hypothèse des ondes planes; elle est valable pour tous les milieux. Mais, alors que dans les milieux transparents le rapport de Descartes est une constante, pour les milieux absorbants nous devons poser

$$\frac{\sin i_0}{\sin i} = \nu = \text{fonction de } i \text{ (ou de } i_0).$$

Pour connaître explicitement i, remplaçons ν par son expression en fonction de p, q et i; nous obtenons ainsi l'équation bicarrée en $\sin i$

$$(4p \sin^2 i_0 - q^2) \sin^4 i - 4 \sin^2 i_0 (p + \sin^2 i_0) \sin^2 i + 4 \sin^4 i_0 = 0.$$

D'où après résolution

$$\frac{\sin^2 i_0}{\sin^2 i} = \frac{1}{2}\left[p + \sin^2 i_0 + \sqrt{(p - \sin^2 i_0)^2 + q^2}\right].$$

Cette formule donne l'équation différentielle générale des lignes de phase en milieu absorbant stratifié

$$\boxed{\left(\frac{dx}{ds}\right)^2 = \frac{2 \sin^2 i_0}{p(z) + \sin^2 i_0 + \sqrt{[p(z) - \sin^2 i_0]^2 + q^2(z)}}.}$$

(*) Séance du 17 novembre 1952.

(1) *Comptes rendus*, **235**, 1952, p. 421.

Les fonctions $p(z)$ et $q(z)$ caractérisent le modèle de milieu absorbant considéré.

L'équation ci-dessus permet d'attaquer sous un angle nouveau le problème, déjà étudié par Epstein et Bremmer (²), de l'influence de l'absorption sur les trajectoires de phase. Bien entendu, dans ce qui précède, il n'est question que d'angles i et i_0 réels; les trajectoires considérées sont donc naturellement les trajectoires de phase réelles ou physiques. La précision n'est pas superflue car certains auteurs, utilisant la loi de Descartes sous forme complexe (formule de Cauchy), considèrent des « trajectoires complexes ».

Surfaces des indices. — On peut aussi relier les lignes de phase à la notion de surface des indices. En un point quelconque du milieu, cette surface a pour équation polaire :

$$v^2 = \frac{1}{2}\left(p + \frac{1}{2\cos i}\sqrt{p^2\cos^2 i + q^2}\right) = f(i),$$

p et q étant les *constantes* relatives au point considéré. Ce n'est pas une sphère. Le milieu absorbant stratifié se conduit donc, pour les ondes considérées, comme un milieu anisotrope monoréfringent. Le tracé de la direction de la ligne de phase, pour une altitude donnée, s'effectuerait à l'aide de la construction bien connue. Le tracé d'une ligne de phase se ferait de proche en proche à partir de l'entrée dans le milieu absorbant.

Le résultat à mettre en évidence est que *les lignes de phase ne sont pas normales aux surfaces des indices.*

Rayon électromagnétique. — On désigne généralement ainsi la direction moyenne de propagation de l'énergie; le rayon est donc, par définition, tangent en tout point à la vitesse $\overline{V}_e$. En utilisant les résultats de la Note (¹), on montre alors sans difficultés que *les lignes de phase et les rayons sont identiques.*

Cet énoncé serait évident pour des ondes transversales.

Il l'est beaucoup pour les ondes du type plus général considérées dans la Note (¹). En rapprochant ce résultat de celui relatif aux lignes de phase, nous voyons que le rayon n'est pas normal aux surfaces des indices. *Il n'est donc pas possible de généraliser aux milieux absorbants la définition usuelle du rayon* très utile pour l'étude des milieux anisotropes transparents [travaux de Booker, Poeverlein, Argence (³), etc.]. Si l'on veut tenir rigoureusement compte de l'absorption, le rayon ne peut être défini que par le vecteur de Poynting.

Application à la propagation ionosphérique. — Il convient de noter que, dans ce cas, il ne s'agit en général que de faibles corrections, en raison de

---

(²) *Terrestrial radio waves*, Elsevier New-York, 1949, p. 174.

(³) *Mémoires Soc. Roy. Sc. Liége*, **12**, fasc. **1**, **2**, 1952, p. 253-267. Ce texte comporte un point de départ bibliographique avec, en particulier, des références aux mémoires de Booker et Poeverlein.

la petitesse du coefficient d'absorption. L'équation précédente permet d'évaluer ces corrections ou plutôt, dans l'état actuel de la technique des prévisions, de vérifier si, dans les conditions de calcul, elles sont effectivement négligeables. Il serait en effet prématuré de les introduire effectivement dans le calcul puisque l'on n'a pas encore une méthode *pratique* pour tenir compte du champ magnétique dont l'influence sur les trajectoires est autrement importante que celle de l'absorption.

OPTIQUE ÉLECTRONIQUE. — *Étude expérimentale de l'objectif électrostatique à immersion à électrodes planes : courbes de focalisation et distance focale.* Note (*) de M. **Albert Septier**, présentée par M. Gustave Ribaud.

Dans l'objectif à immersion classique (*fig.* 1), les paramètres pouvant agir sur les propriétés optiques sont les suivants : a et σ, R_1, R_2, b et c. σ est la polarisation relative du Wehnelt W lorsqu'on prend $V_K = 0$ et $V_A = 1$.

1. Courbe de focalisation et distance focale (*fig.* 2). — Tous les paramètres de construction (R_1, R_2, c) étant fixés, on obtiendra la mise au point de l'image à une distance D constante pour une infinité de couples de valeurs ($a - \sigma$). La courbe

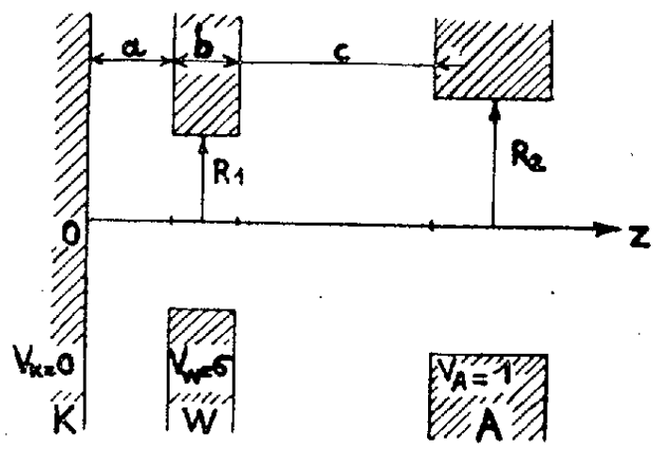


Fig. 1.

représentative $a = f(\sigma)$ est dite courbe de focalisation, caractéristique de l'objectif. On la trace en fixant a à des valeurs connues, et en mettant au point l'image (examinée avec une lunette de fort grossissement) par réglage de σ. Pour chaque couple ($a - \sigma$) le grandissement G est mesuré soit photographiquement, soit par lecture directe des déplacements latéraux de l'objet correspondant à un déplacement connu de l'image. La distance objectif-écran étant grande ($D \gg a + b + c$), on peut en tirer la distance focale image f, dans les conditions de focalisation, par la relation $f = D/G$. La figure 2 donne les valeurs de a et de f pour un exemple d'objectif défini par ($R_1 = R_2 = 1$, $c = 2$, $b = 0{,}7$). Pour tous les objectifs étudiés, f est une fonction croissante de σ.

(*) Séance du 10 décembre 1952.

Dans la région de fonctionnement normal ($-0{,}05 < \sigma < 0{,}05$), cette fonction est assimilable à une hyperbole $f = A/(\sigma - B)$. Corrélativement G varie linéairement avec σ. Pour $\sigma = 0$, l'objectif à immersion est fortement convergent ($3\text{ mm} < f < 4{,}5\text{ mm}$).

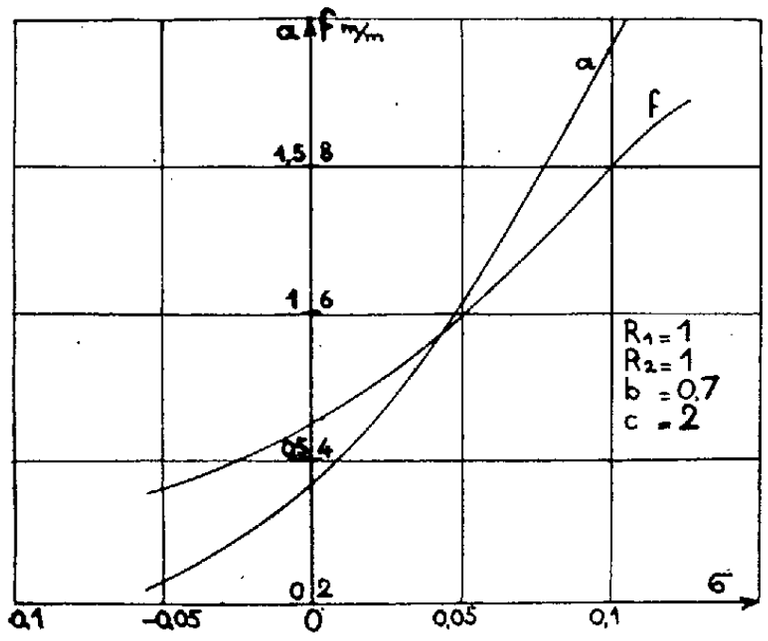


Fig. 2.

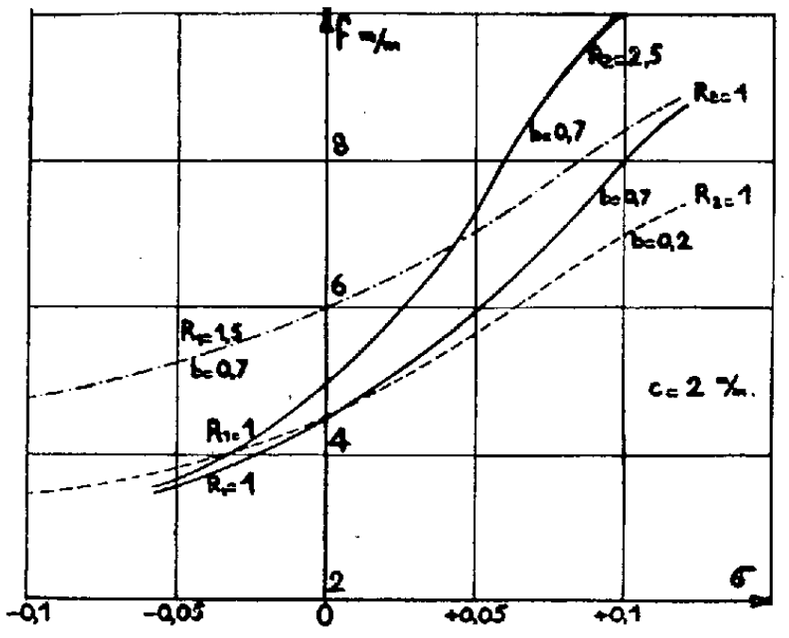


Fig. 3.

2. Influence des paramètres géométriques de construction. — Distance Wehnelt-anode : c doit être maintenu entre des limites assez étroites aux environs de $c = 2\text{ mm}$. On ne peut aller au-dessous sous peine de claquages pour $V_A = 25 - 30\text{ kV}$, ni beaucoup au-dessus car le champ électrostatique serait insuffisant. Un accroissement de c est équivalent à une diminution de V_A. La courbe de focalisation se déduit, par affinité parallèle à l'axe des σ, de la courbe correspondant à $c = 2\text{ mm}$.

Rayon d'anode. — Une variation de R_2 seul a la même influence. Son accroissement correspond à une diminution de V_A. [Exemple : on passe de la courbe de focalisation de l'objectif ($R_2 = 1$) à celle de l'objectif ($R_2 = 2{,}5$) en multipliant les abscisses σ par 0,8.] La distance focale augmente avec R_2 ; on peut voir ici l'influence croissante de l'action divergente du trou de A. Mais cette variation est faible pour les polarisations négatives : quelques pour-cent seulement lorsque les rayons sont dans le rapport de 2,5 à 1.

Épaisseur du Wehnelt. — Un accroissement Δb de b provoque un glissement des courbes de focalisation le long de l'axe des ordonnées a, vers l'origine. Si l'on définit une ouverture angulaire mécanique du Wehnelt α par la relation $\operatorname{tg}\alpha = R_1/(a+b)$, on a toujours sensiblement, lorsque b varie seul, $\alpha = \text{const.}$ au voisinage de $\sigma = 0$. La distance focale f reste à peu près constante pour $\sigma = 0$; pour $\sigma < 0$ elle croît légèrement lorsque b décroît, sans que cette variation dépasse 3 % pour des variations de b de 0,2 à 0,4 mm. Pour $\sigma > 0$, la variation est de sens contraire.

Rayon du Wehnelt. — Le paramètre R_1 provoque également une translation des courbes de focalisation parallèlement à Oa, mais plus accentuée, et de

sens opposé : un accroissement de R_1 correspond à un accroissement de a_0. Pour toutes les polarisations, *l'ouverture de* W *décroît* quant R_1 augmente. La distance focale varie rapidement avec R_1 qui se révèle être le paramètre essentiel de l'objectif [$f_{(\sigma=0)}$ passe de 4 à 6 mm lorsque R_1 croît de 1 à 1,5 mm dans l'objectif ($R_2 = 1$, $b = 0{,}7$, $c = 2$)].

La figure 3 résume par quelques exemples numériques les variations de f en fonction des divers paramètres.

MICROSCOPIE ÉLECTRONIQUE. — *Procédé d'empreinte à grand pouvoir de résolution.* Note (*) de MM. **Charles Fert** et **Roger Dargent**, présentée par M. Gaston Dupouy.

De nombreuses techniques ont été proposées pour l'observation de la topographie de la surface des objets opaques au microscope électronique. Le procédé qui permet de prendre l'empreinte d'une surface d'aluminium, ou d'un alliage léger, par formation d'une pellicule d'oxyde (1) est l'un des plus intéressants : *il donne une reproduction dont la finesse est plus grande que celle de la plupart des autres techniques, et des pellicules extrêmement résistantes au faisceau d'électrons.*

Différents artifices ont été décrits pour généraliser ce procédé à des surfaces autres que celle d'aluminium (2), (3).

Nous proposons une méthode qui se rapproche de celle de G. Hass et M. E. Mc Farland (3), mais qui en diffère par une mise en œuvre plus simple, tout en donnant d'excellents résultats.

Une couche d'aluminium dont l'épaisseur est supérieure à 1 μ est déposée sur l'échantillon par évaporation dans le vide. Le film d'aluminium est alors détaché du spécimen à l'aide d'une bande de Cello-Tape. Cette opération se fait sans difficulté pour les échantillons variés que nous avons déjà examinés, métaux ou cristaux.

La face du film d'aluminium qui était en contact de la surface de l'échantillon reproduit la topographie de cette surface : Cette face est oxydée anodiquement comme s'il s'agissait d'un échantillon d'aluminium : une pince spéciale permet d'assurer un bon contact entre le film métallique et l'amenée de courant. Nous utilisons pour cette oxydation une solution de phosphate biammonique en solution saturée, et une tension à vide de 16 V environ. La pellicule se forme en 1 ou 2 mn. Cette pellicule d'oxyde est alors rayée d'un quadrillage, et le film composite,

(*) Séance du 1er décembre 1952.

(1) H. Mahl, *Metallwirtschaft*, **19**, 1940, p. 488.

(2) J. Hunger et R. Seeliger, *Metallforsch*, 2, 1947, p. 65.

(3) *J. Appl. Phys.*, 21, 1950, p. 435-436.

aluminium et oxyde d'aluminium, est libéré du Cello-Tape par immersion dans l'eau, ou, dans certains cas, dans l'acide nitrique à 50 %, puis

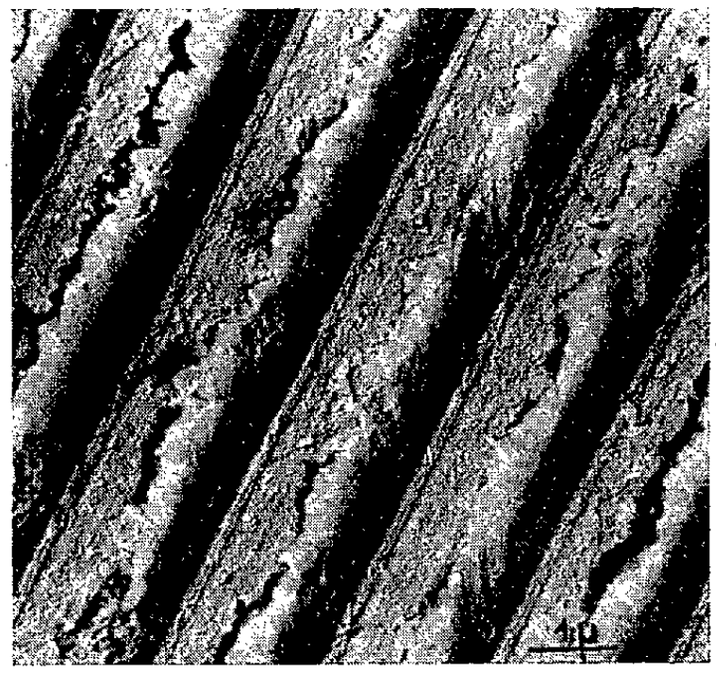


Fig. 1.



Fig. 2.

Fig. 1. — Réseau original de Rowland tracé sur métal.
Fig. 2. — Face *p* de calcite corrodée par l'acide chlorhydrique.

porté dans une solution saturée de bichlorure de mercure. L'aluminium est dissous, et, au bout de quelques minutes, les carrés de la réplique d'aluminium viennent flotter à la surface du bain. On les recueille avec un



Fig. 3.

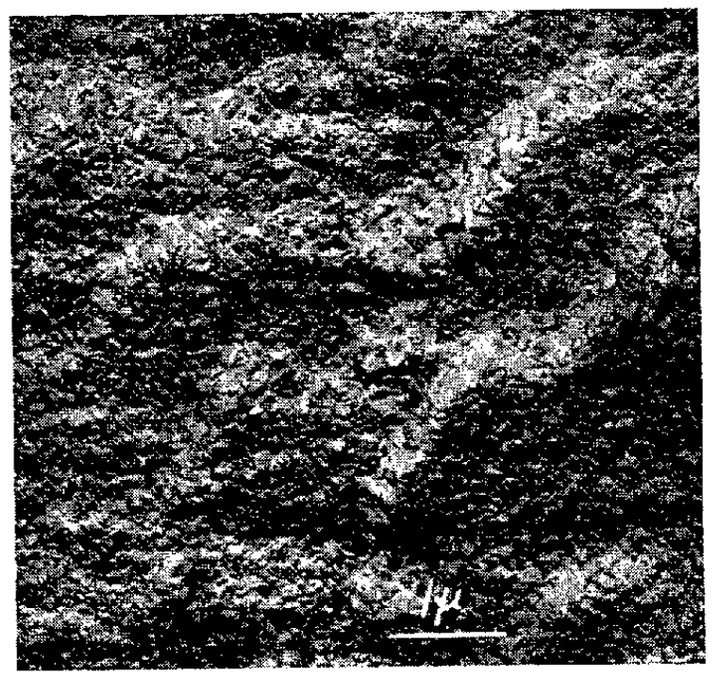


Fig. 4.

Fig. 3. — Cuivre électrolytique attaqué par pulvérisation cathodique.
Fig. 4. — Cuivre électrolytique; attaque brutale par l'acide nitrique.

agitateur en verre, on les lave dans l'eau, l'acide chlorhydrique dilué, puis à nouveau dans l'eau. Il suffit alors de les déposer sur une grille support : après un séjour de quelques instants dans un dessiccateur, ils peuvent être

examinés au microscope électronique. S'il y a lieu, les contrastes seront augmentés par un ombrage suivant la méthode ordinaire.

Notons enfin que, si la surface de l'échantillon est une surface polie, une glace de verre par exemple, les pellicules obtenues peuvent avanta-

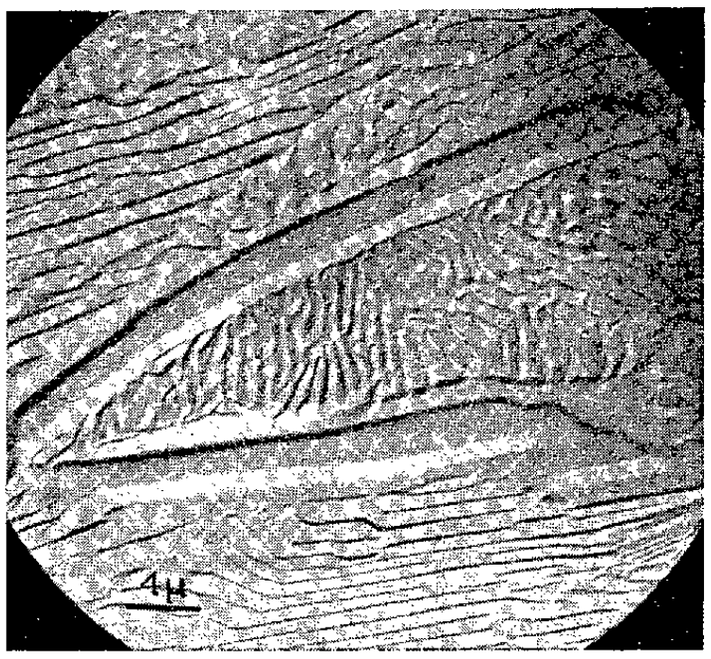


Fig. 5.



Fig. 6.

Fig. 5. — Fonte blanche; attaque par pulvérisation cathodique.
Fig. 6. — Fonte blanche; empreinte observée avec un grossissement élevé.

geusement être utilisées comme supports d'objets très résistants et sans structure propre à la place des pellicules de collodion.

Les figures 1 à 6 représentent les photographies de quelques empreintes prises par cette méthode (toutes les empreintes ont été ombrées, sous 20° environ à l'alliage Au-Pd).

OPTIQUE. — *Lampe à cathode creuse alimentée en impulsions; obtention de raies d'étincelle.* Note (*) de MM. **Jean Roig** et **Maurice Bécart**, présentée par M. Jean Cabannes.

La lampe est montée directement sur les bornes du condensateur de filtrage du poste d'alimentation, sans résistance additive; il se produit un régime de relaxations; la nature du spectre dépend de la valeur d'une self placée en série avec la lampe.

1. Dans des Notes antérieures (1) nous avons donné les caractéristiques de fonctionnement d'une lampe Schüler, à cathode creuse, à refroidissement par eau. La lampe, en série avec une résistance de 10 000 Ω environ, est alimentée

(*) Séance du 10 décembre 1952.
(1) *Comptes rendus*, **234**, 1952, p. 1262 et 1606.

par un montage redresseur à deux alternances, qui charge un condensateur de filtrage C de 2 μF. On observe principalement des raies d'arc.

Une légère modification du montage permet d'obtenir très commodément des raies d'étincelle (*fig.* 1).

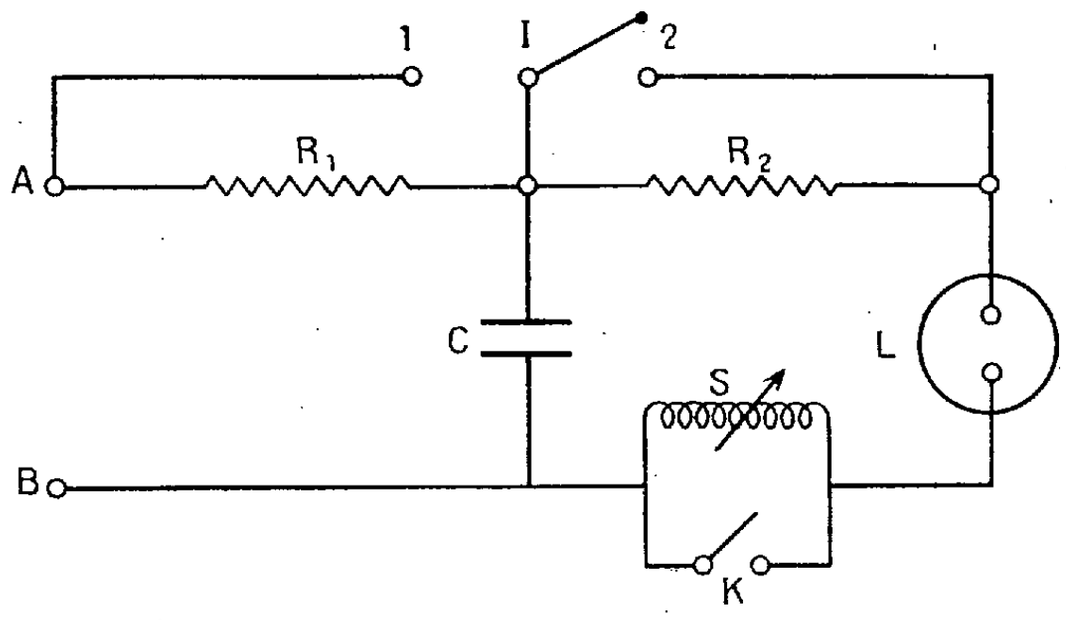


Fig. 2. — 1 : décharge continue; 5 : décharge en impulsions sans self; 2, 3 et 4 : régimes intermédiaires.

R_1 est une simple résistance de protection de 2 500 Ω; R_2 une résistance de 8 000 Ω; S une self variable formée de 130 spires de 4,5 cm de diamètre enroulées sur 10 cm ; elle est très simplement réalisée par un rhéostat à curseur de faible résistance.

Quand l'inverseur I est sur la position 1, on a le fonctionnement habituel et une décharge permanente. Quand I est sur la position 2, un régime de relaxations s'établit; la fréquence des décharges est d'une dizaine par seconde; la durée de chaque éclair est de l'ordre de 10^{-3}. Le potentiel moyen et le courant moyen de la lampe restent du même ordre que pour le régime continu.

2. Pour une pression de l'ordre du millimètre de mercure, le régime d'impulsions concentre encore la décharge au centre de la cathode qui subit un bombardemcnt ionique intense.

Ce fonctionnement s'obtient très facilement en atmosphère d'air ou d'hélium; il ne se maintient que quelques instants dans l'argon; on peut, pour une lampe à argon, en diminuant la tension, faire tendre très progressivement le courant vers zéro sans décrochage; la suppression de R_2 donne alors un régime permanent, sans relaxations. Nous avons cependant obtenu les relaxations pour l'argon en mettant en série avec la lampe un tube rempli d'air à base pression, pratiquement le tube témoin de notre installation à vide. Le tube à air commande les relaxations ; le condensateur se charge à un potentiel plus élevé et restitue à chaque décharge une quantité d'électricité plus forte; on obtient une excitation plus énergique.

3. L'aspect de la décharge est entièrement conditionné par le réglage de la self S. En atmosphère d'air la lumière négative passe du rose au bleu quand

S est court-circuitée par le jeu de l'interrupteur K. La figure 2 montre une série de spectres posés pendant le même temps; la cathode d'aluminium est chargée de titane, renfermant un peu d'oxyde, et travaille en atmosphère d'argon; le circuit de purification du gaz n'a pas été mis en route. Le spectre de référence est celui d'une lampe à mercure. Le spectre 1 correspond au régime continu; tous les autres sont obtenus en impulsions.

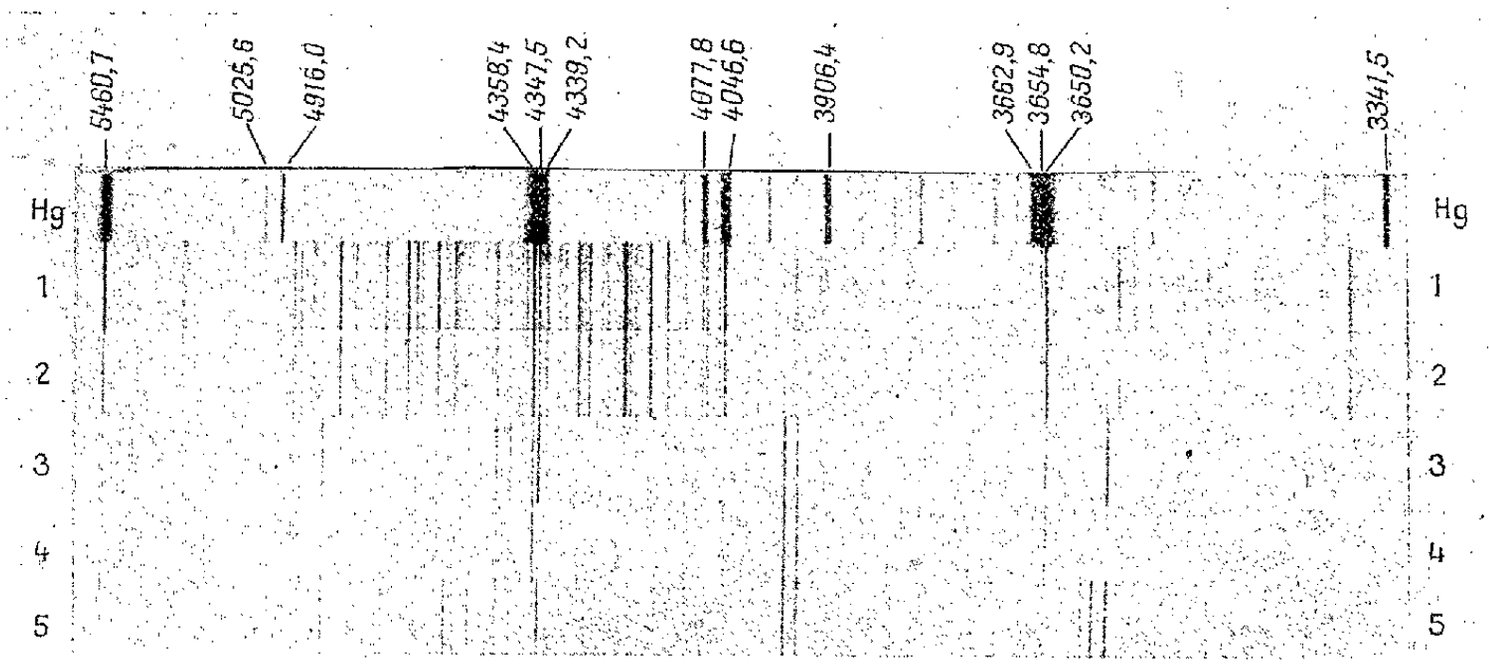


Fig. 2.

Le spectre 2, pratiquement identique à 1, est donné par δ maximum, 3 correspond à $\delta/2$, 4 à $\delta/4$, 5 à δ nul.

1° On constate la disparition progressive du fonds continu et des bandes.

2° Simultanément on observe l'apparition progressive des raies d'étincelle.

Ces résultats sont à rapprocher de ceux signalés par M. Brucelle pour des sources d'un type différent (²).

Le montage permet donc l'obtention facile de raies d'étincelle dans la cathode creuse en conservant la décharge rassemblée dans le trou cathodique; on peut ainsi étudier de faibles quantités de matière. Les inconvénients d'un éclateur dans l'air sont évités. L'importance relative des raies d'arc et d'étincelle est réglable. Nous nous proposons d'examiner si le régime d'impulsions ne donne pas d'effet Stark, ce qui limiterait l'emploi de la lampe pour l'étude des structures hyperfines.

OPTIQUE. — *Méthode directe de mesure des caractéristiques d'un système interférentiel de Fabry-Perot.* Note de M. **Pierre Giacomo**, présentée par M. Jean Cabannes.

Dans une Note récente (¹) MM. J. Roig et E. Collet ont décrit une méthode

(²) *XIe Congrès G. A. M. S.*, Paris, 1949, p. 29.

(¹) *Comptes rendus*, 234, 1952, p. 2179.

de mesure des pouvoirs réflecteurs voisins de l'unité. Cette méthode est probablement la mieux adaptée à la mesure des pouvoirs réflecteurs élevés et nous utilisons une méthode fondée sur le même principe pour l'étude des couches semi-transparentes de l'interféromètre Fabry-Perot.

L'obtention de luminosités élevées grâce aux couches multiples réfléchissantes du type « haut indice - bas indice » rendait en effet nécessaire une méthode de mesure rapide et *directe* des caractéristiques liées aux qualités des couches d'un ensemble de deux lames de Fabry-Perot.

Ces caractéristiques sont (²), pour deux lames de pouvoirs réflecteurs R_1 et R_2 et de transmission T_1 et T_2, en posant $T = \sqrt{T_1 T_2}$ et $R = \sqrt{R_1 R_2}$:

la transparence au sommet d'un anneau :

$$\mathcal{T} = \left(\frac{T}{1-R}\right)^2;$$

la finesse relative des anneaux :

$$\mathcal{F} = \frac{\pi\sqrt{R}}{1-R} \simeq \frac{3}{1-R};$$

le contraste :

$$\mathcal{C} = \left(\frac{1+R}{1-R}\right)^2 \simeq \frac{4}{(1-R)^2}.$$

Pour obtenir une grande finesse et un grand contraste on doit prendre R très voisin de l'unité; les mesures directes de R ne donnent plus alors une précision suffisante sur les quantités précédentes qui font intervenir $1-R$.

Or il est une grandeur fonction de $1-R$ très facile à mesurer directement; c'est la « transparence moyenne » τ de l'étalon dans le cas d'une raie spectrale, de longueur d'onde λ, de largeur $\Delta\lambda$ assez grande pour couvrir plusieurs ordres successifs (soit e l'écartement des lames, on doit avoir $2e\Delta\lambda \gg \lambda^2$). Faisant, dans ce cas, la somme des intensités des rayons réfléchis successifs (au lieu des amplitudes) on obtient

$$\tau = \frac{T^2}{1-R^2} = \frac{T^2}{(1-R)(1+R)} \simeq \frac{T^2}{2(1-R)}.$$

On dispose d'un système photométrique à cellule permettant d'interposer les lames, ensemble ou séparément; K étant la réponse de la cellule en l'absence de lames, on fait les mesures :

$$a = K, \qquad b = KT_1, \qquad c = KT_2, \qquad d = K\tau,$$

ce qui donne

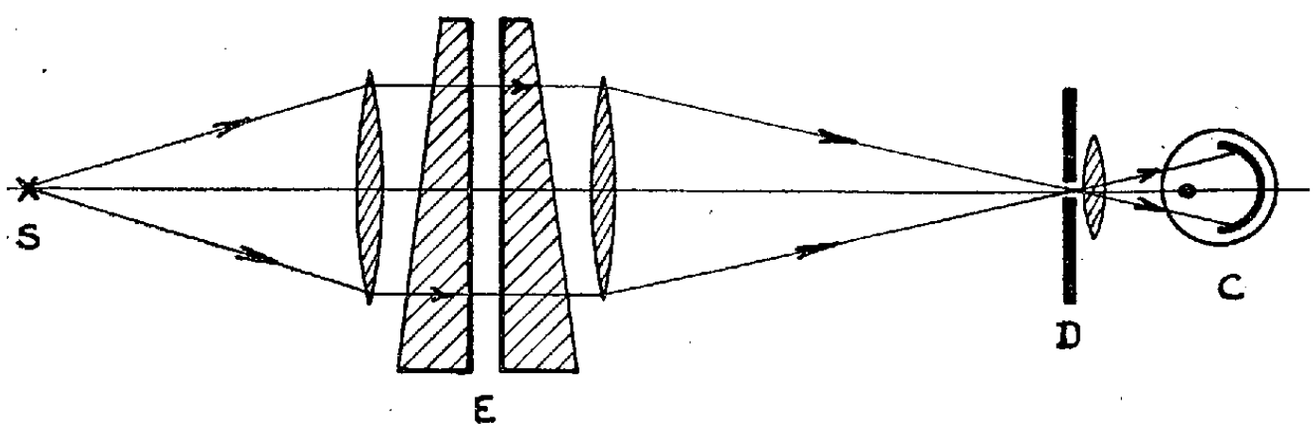
$$\mathcal{T} \simeq 4\frac{d^2}{bc}, \qquad \mathcal{F} \simeq 6\frac{da}{bc}, \qquad \mathcal{C} \simeq 16\frac{d^2a^2}{b^2c^2}.$$

(²) P. Jacquinot et Ch. Dufour, *J. Phys. Rad.*, **11**, n° 7, juillet 1950, p. 427.

Pour les couches couramment utilisées, d/b et d/c sont de l'ordre de 0,3 ; la mesure de $\mathcal{T}$ est donc facilement précise; par contre les mesures de $\mathcal{F}$ et $\mathcal{C}$, faisant intervenir c/a ou b/a qui sont de l'ordre de 0,05, sont plus délicates.

Le montage est le suivant :

En raison de la sélectivité des couches, la lumière doit être grossièrement monochromatique (par exemple, lampe philora + filtre). Le diaphragme D, réglable, élimine les images parasites données par les faces externes de l'étalon. La cellule C est conjuguée de l'étalon E pour qu'on puisse introduire



les lames (prismatiques) sans modifier la région éclairée sur la cellule. Un réglage suffisant du parallélisme est obtenu à l'aide de deux vis. Pour un calcul précis, il y a lieu de tenir compte des traversées des faces externes, qui multiplient b et c par 0,96 et d par $(0,96)^2$, et éventuellement de l'absorption du verre.

Notons qu'on obtient ainsi les caractéristiques maxima qu'aurait l'étalon considéré avec des surfaces parfaitement planes et parallèles. La comparaison de ces caractéristiques avec celles qu'on obtient avec l'interféromètre permet de faire la part des défauts des surfaces et du réglage.

La méthode, appliquée à des couches multiples « cryolithe $\lambda/4$-sulfure de zinc $\lambda/4$ » préparées suivant une méthode décrite par ailleurs [3] donne les résultats suivants (pour $\lambda = 5460$ Å).

	$\mathcal{T}$.	$\mathcal{F}$.	$\mathcal{C}$.	R.	R_{th}.	$\mathcal{F}_{th}$.	$\mathcal{C}_{th}$.
5 couches.....	0,93	22	180	86,5	87,5	23,5	225
7 »	0,85	54	1 200	94,5	95,5	68	1 900
9 »	0,49	105	4 300	97	98,3	183	13 600

On a donné, à titre indicatif, les valeurs de R déduites de $\mathcal{F}$; R_{th}, $\mathcal{F}_{th}$ et $\mathcal{C}_{th}$ ont été calculés en admettant les indices 1,52 pour le verre, 1,35 pour la cryolithe, 2,3 pour le sulfure de zinc ZnS, en couches rigoureusement $\lambda/4$, et en supposant une absorption nulle, ce qui donnerait $\mathcal{T}_{th} = 1$.

([3]) P. Giacomo et P. Jacquinot, *ibid.*, 13, n° 2, 1952, p. 59 A.

OPTIQUE. — *Sur le choix des mesures à effectuer pour déterminer simultanément les constantes optiques et l'épaisseur des lames minces absorbantes.* Note de M. **Damien Malé**, présentée par M. Jean Cabannes.

Le problème de la détermination des constantes optiques des corps absorbants en lame mince a été jusqu'ici le plus souvent abordé par une méthode photométrique. La lame mince du corps étudié étant déposée sur une lame prismatique de verre, on mesure, en incidence normale, ses facteurs de réflexion dans l'air R et dans le verre R′ ainsi que son facteur de transmission T. Connaissant l'épaisseur, déterminée le plus souvent par pesée, on en déduit l'indice de réfraction n et l'indice d'extinction $\varkappa$ de la lame.

J'ai montré récemment (1) qu'il était possible, à partir de ces mesures de R, R′ et T de déterminer *simultanément* les constantes optiques et l'épaisseur. Comme il est possible aussi de mesurer les changements de phase à la réflexion normale dans l'air et dans le verre ainsi que le changement de phase à la transmission, on peut évidemment remplacer R, R′ ou T par l'un des changements de phase ci-dessus. On a ainsi des vérifications possibles et l'on peut contrôler la validité des hypothèses servant de base à la théorie des lames minces (lame homogène et isotrope, limitée par deux surfaces planes et parallèles).

Toutefois il est des cas où, pour la détermination des constantes optiques et de l'épaisseur par cette méthode, un choix entre ces diverses grandeurs s'avère nécessaire, parce que des relations approchées apparaissent entre elles, ce qui les rend dépendantes les unes des autres. En particulier, lorsque les lames ont une trés faible épaisseur, H. Wolter (2) a établi qu'il existe une relation approchée entre R, R′ et T. Si l'on désigne par $A = 1 - T - R$ le facteur d'absorption de la lame mince lorsque la lumière vient du côté air et par $A' = 1 - T - R'$ le facteur d'absorption lorsque la lumière vient du côté verre, cette relation est $nA = A'$, n étant l'indice de réfraction du verre.

H. Wolter admet qu'au degré de précision des mesures, cette relation est satisfaite lorsque $d/\lambda < 0{,}027$; d représentant l'épaisseur de la lame et λ la longueur d'onde dans le vide de la radiation utilisée.

Pour déterminer le degré d'approximation de cette relation, j'ai tracé les courbes donnant, pour différentes valeurs des indices, les variations, avec l'épaisseur de la lame, du facteur d'absorption A′ et du produit nA. Si l'on admet que, par suite des erreurs expérimentales, les mesures de R, R′ et T sont faites avec une erreur absolue de l'ordre de 0,005, on obtient pour les épaisseurs limites au-dessous desquelles la relation de Wolter est pratiquement vérifiée, les valeurs données par le tableau suivant. (Les épaisseurs limites sont

(1) D. Malé, *Comptes rendus*, 230, 1950, p. 1349.
(2) *Z. Phys.*, 105, 1937, p. 269.

exprimées en fractions de la longueur d'onde dans le vide de la radiation utilisée).

ν	0,2.	0,5.	1.	2.	4.
$\varkappa$.					
0,5.....	0,062	0,050	0,047	0,037	0,015
1.....	0,062	0,037	0,041	0,037	0,031
2.....	0,047	0,025	0,029	0,031	0,023
4.....	∞	0,088	0,037	0,034	0,027

On constate qu'effectivement la relation de Wolter est toujours vérifiée pour les épaisseurs telles que $d/\lambda < 0{,}027$. Mais, de plus, la relation de Wolter peut très bien être aussi vérifiée pour des épaisseurs beaucoup plus grandes. En particulier, pour $\nu = 0{,}2$ et $\varkappa = 4$ (constantes optiques voisines de celles de l'argent pour les radiations du spectre visible) la relation est toujours vérifiée quelle que soit l'épaisseur. En effet, les facteurs de réflexion d'une lame suffisamment épaisse pour être opaque sont

$$R = \frac{(1-\nu)^2+\varkappa^2}{(1+\nu)^2+\varkappa^2}, \qquad R' = \frac{(n-\nu)^2+\varkappa^2}{(n+\nu)^2+\varkappa^2},$$

d'où l'on déduit

$$\frac{A'}{nA} = \frac{(1-\nu)^2+\varkappa^2}{(n+\nu)^2+\varkappa^2};$$

ce rapport tend vers un lorsque $\varkappa$ augmente indéfiniment ou lorsque ν tend vers zéro. Par exemple, en prenant $n = 1{,}5$, $\nu = 0{,}2$ et $\varkappa = 4$, on obtient

$$R = 0{,}955, \qquad R' = 0{,}937, \qquad A' = 0{,}062, \qquad nA = 0{,}067, \qquad nA - A' = 0{,}005,$$

la relation de Wolter est donc pratiquement toujours vérifiée dans ce cas. Des mesures faites sur des lames d'argent confirment cette conclusion.

D'une manière plus générale la relation de Wolter est d'autant mieux vérifiée que le coefficient d'absorption $k = \varkappa/\nu$ est plus grand, c'est-à-dire pour les métaux à faible indice de réfraction et à fort indice d'extinction. Nous l'avons observé, en particulier, pour l'argent et les radiations du spectre visible; et avec une approximation plus faible pour l'or et les longueurs d'onde supérieures à 5000 Å. Dans ces cas, pour déterminer simultanément les indices et l'épaisseur d'une lame, il faut utiliser une mesure de changement de phase.

Tout récemment H. Schopper ([3]) a mis au point une méthode intéressante utilisant à la fois six mesures : trois mesures d'intensité et trois mesures de changement de phase. La question du choix ne se pose alors plus. La méthode que j'ai exposée ([1]) permet d'arriver au même résultat avec trois mesures seulement, mais il faut convenablement choisir ces mesures, comme nous venons de le montrer.

([3]) *Z. Phys.*, **131**, 1952, p. 215.

OPTIQUE. — *Comparaison des énergies lumineuses présentes sur les deux faces, à l'intérieur d'une lame éclairée, sous l'incidence normale par un faisceau parallèle.* Note de M. **Pierre Tauzin**, présentée par M. Eugène Darmois.

On calcule les énergies présentes sur les deux faces, à l'intérieur d'une lame absorbante à faces parallèles, éclairée, sous l'incidence normale, par un faisceau parallèle. On a tenu compte des réflexions multiples qui se produisent dans la lame. On montre que, si le coefficient d'absorption de la lame est inférieur à une certaine limite, il y a un excès d'énergie sur la face de sortie

Soit, dans l'air, une lame matérielle absorbante, d'épaisseur quelconque, à faces parallèles, (coefficient d'absorption $k = 4\pi\varkappa/\lambda$, épaisseur l, facteur de réflexion k'^2, déphasage à la réflexion matière-air φ') éclairée par un faisceau lumineux parallèle, sous l'incidence normale. Posons $4\pi l/\lambda = \varphi$ et $e^{-kl}k' = k_1$. Pour compléter une Note précédente (1), proposons-nous de calculer l'énergie présente à l'intérieur de la lame, sur ses deux faces, en tenant compte des réflexions multiples intérieures à la lame.

A l'entrée, dans la lame, le faisceau apporte l'amplitude A dont la phase est prise pour origine; l'amplitude A se propage jusqu'à la deuxième face, s'y réfléchit et revient sur la première face pour donner l'amplitude $Ae^{-kl}k' = k_1 A$, avec l'augmentation de phase $\varphi + \varphi'$; là, $k_1 A$ se réfléchit pour donner l'amplitude $k_1 k' A$ avec une nouvelle augmentation de phase φ'; il y a propagation de cette amplitude vers la deuxième face, réflexion et ainsi de suite.

Finalement, on doit composer, sur la face d'entrée les vibrations suivantes :

Amplitude.....	A	$k_1 A$	$k_1 k' A$	$k_1^2 k' A$	$k_1^2 k'^2 A$	...
Phase.....	o	$\varphi + \varphi'$	$\varphi + 2\varphi'$	$2\varphi + 3\varphi'$	$2\varphi + 4\varphi'$	...

Composons ces vibrations comme des vecteurs représentant des nombres complexes; nous calculerons ensuite le module de la résultante. Les termes de rang 1, 3, 5, etc., forment une progression géométrique convergente de raison $k_1 k' e^{i(\varphi+2\varphi')}$; il en est de même des termes de rang 2, 4, 6, etc. En tenant compte de cette remarque, le nombre complexe Z_1, somme de tous les nombres complexes du tableau précédent est

$$Z_1 = A\,\frac{1 + k_1 e^{i(\varphi+\varphi')}}{1 - k_1 k' e^{i(\varphi+2\varphi')}}.$$

On calcule de même le nombre Z_2 qui correspond à la face de sortie

$$Z_2 = A\,e^{-\frac{kl}{2}}\,\frac{1 + k' e^{i\varphi'}}{1 - k_1 k' e^{i(\varphi+2\varphi')}}.$$

Les énergies que l'on cherche sont représentées par les carrés des modules

(1) *Comptes rendus*, 235, 1952, p. 1119.

de Z_1 et Z_2. Les dénominateurs de Z_1 et Z_2 étant les mêmes, il suffit de comparer les modules des numérateurs. Pour qu'il y ait davantage d'énergie sur la face de sortie, on doit donc avoir

$$(1) \qquad A^2 e^{-kl}[1 + k'^2 + 2k' \cos\varphi'] > A^2\left[1 + k_1^2 + 2k_1 \cos\left(\varphi' + 4\pi\frac{l}{\lambda}\right)\right],$$

qui s'écrit encore

$$(2) \qquad k'\left[\cos\varphi' - \cos\left(\varphi' + 4\pi\frac{l}{\lambda}\right)\right] > \frac{1}{2}(e^{kl} - 1)(1 - k'^2 e^{-kl}).$$

Étudions les trois cas *a*, *b*, *c* suivants :

a. Lame transparente : $k = 0$, *c'est-à-dire* $k_1 = k'$, *et* $\varphi' = 0$. — L'inégalité (1) devient

$$1 + k'^2 + 2k' > 1 + k'^2 + 2k' \cos 4\pi\frac{l}{\lambda}.$$

Elle est toujours vérifiée, sauf dans le cas particulier $l = k\lambda/2$.

Dans une lame transparente d'épaisseur quelconque, éclairée par un faisceau parallèle de lumière naturelle dont la direction est perpendiculaire aux faces de la lame, il y a donc toujours un excès d'énergie sur la face de sortie, mais aucun échauffement de la lame; il n'y a pas de photophorèse.

b. Lame pas trop absorbante. — Donnons-nous une valeur de l quelconque et faisons croître k depuis 0. D'après le paragraphe *a*, l'inégalité 2 est vérifiée pour $k = 0$; par continuité, elle l'est encore pour des valeurs de k comprises entre 0 et une valeur limite k_l fonction de l et solution de l'équation obtenue en remplaçant l'inégalité 2 par l'égalité correspondante (k' et φ' sont des fonctions continues de k). Dans ces lames ($k < k_l$), l'énergie lumineuse présente sur la face de sortie est supérieure à ce qu'elle est sur la face d'entrée. Ceci implique que l'énergie absorbée est plus grande sur la face de sortie, qui doit être la plus chaude (cas de la photophorèse négative). Toujours pour la même valeur de l, le phénomène s'inverse si $k > k_l$ (cas de la photophorèse positive).

Ces circonstances, associées à l'existence de chocs moléculaires intenses sur la face la plus chaude, rendent compte des phénomènes de photophorèse observés sur les particules des substances pas trop absorbantes en suspension dans l'air.

c. Lame fortement absorbante. — Nous avions admis précédemment [1] que la théorie du paragraphe *b* s'appliquait aux lames minces métalliques. Ce serait inexact si l'on adoptait pour ces lames les constantes du métal massif. Prenons en effet l'argent et la raie D ($\varphi' = -37\pi/180$, $\varkappa = 3,67$, $k'^2 = 0,95$), et considérons l'inégalité 2. Le premier membre est négatif lorsque l croît de 0 à $\lambda/10$, alors que le deuxième, toujours positif est croissant avec l, a déjà pour $l = (\lambda/10)$ la valeur 49,5. L'inégalité 2 n'est jamais vérifiée. Mais les récents travaux sur les lames métalliques minces ont montré que lorsque

l'épaisseur diminue, les constantes optiques de ces lames varient et se rapprochent de plus en plus de celles des corps transparents. La théorie du paragraphe *b* doit donc pouvoir expliquer la photophorèse négative que présentent les très fines particules des métaux; les particules plus grosses sont photopositives.

SPECTROSCOPIE. — *Nouvelles mesures des intervalles spectraux qui séparent les composantes hyperfines de la raie du mercure* λ 2537. Note de MM. **Robert Lennuier** et **Jean-Louis Cojan**, présentée par M. Jean Cabannes.

Une étude interférométrique de la réflexion sélective sur la vapeur de mercure (1) nous a donné de nombreux clichés et enregistrements de la structure hyperfine de la raie de résonance λ 2537. L'appareil interférentiel est un étalon de Fabry et Perot à glaces de quartz recouvertes d'aluminium par évaporation dans le vide; les épaisseurs utilisées ont été 4 et 5 mm (on est limité par l'étendue du domaine spectral qu'occupe la raie, soit environ 50 mÅ). Le récepteur est soit la plaque photographique, au foyer d'un objectif de quartz de 141 cm de distance focale, soit une cellule multiplicatrice d'électrons (RCA, 1 P 28); dans ce dernier cas l'étalon fonctionne comme un monochromateur de haute résolution (environ 500 000) suivant une méthode décrite et réalisée dans le domaine visible par P. Jacquinot et Ch. Dufour (2) : le rayonnement reçu par la cellule est celui que laisse passer une petite ouverture circulaire exactement centrée sur le système des anneaux, dans le plan focal de l'objectif; l'étalon est placé sous une cloche dans laquelle on peut faire un vide progressif, faisant ainsi varier corrélativement la longueur d'onde du rayonnement reçu par la cellule.

La source est un arc Gallois à basse pression, énergiquement refroidi par un jet d'air comprimé; la raie λ 2537 qu'elle émet présente une structure hyperfine parfaitement nette, les composantes ayant une largeur qui est de l'ordre de la largeur Doppler à la température ordinaire (3). Des précautions très sévères doivent être prises pour éviter la présence de traces de vapeur de mercure dans l'atmosphère du laboratoire : l'absorption que produisent celles-ci, même si elle est très faible, déforme la structure hyperfine parce qu'elle croît rapidement lorsqu'on passe de la composante de plus courte longueur d'onde à la composante de plus grande longueur d'onde (ce phénomène s'explique par l'effet Lorentz dû à l'azote et à l'oxygène).

La détermination des positions des centres de gravité des composantes

(1) Les résultats de cette étude feront l'objet d'une prochaine publication.

(2) *Journal de recherches du C. N. R. S.*, n° 6, 1948, p. 101.

(3) J. L. Cojan et R. Lennuier, *Comptes rendus*, 228, 1949, p. 670.

hyperfines a été faite sur le spectre *d'émission* de la source d'une part, sur le spectre *d'absorption* fourni par une cellule de 5 cm d'épaisseur remplie uniquement de vapeur de mercure à la pression de $1,85.10^{-4}$ mm Hg, d'autre part.

Résultats. — Désignant par les notations habituelles (4) les contributions des divers isotopes à chacune des cinq composantes séparées de la raie et prenant pour origine la position de la composante de l'isotope 200, on obtient, dans l'ordre des λ croissants, les intervalles suivants exprimés en milliangtröms (10^{-3} Å):

I.	II.	III.	IV.	V.
(B, *c*)	(X 198, *b*)	(X 200)	(X 202)	(X 204, A, *a*)
—24,80	—9,80	0	11,50	22,25

L'incertitude sur ces valeurs est probablement inférieure à ± 0,05 mÅ. Ces distances entre composantes hyperfines sont *les mêmes* dans le spectre d'émission de la source et dans le spectre d'absorption de la vapeur pure. Mais les centres des composantes observées en émission sont décalées du côté des grands λ de 0,15 à 0,20 mÅ par rapport aux centres correspondants du spectre d'absorption. Ce déplacement est attribuable à l'effet Lorentz dû à la présence d'argon, sous une pression de 16 mm environ, dans la source (ce gaz est destiné à l'amorçage de l'arc). La grandeur de ce déplacement est celle que l'on doit attendre d'une extrapolation vers les basses pressions de la loi établie pour les fortes pressions de gaz étranger (5) (8,0 mÅ par atmosphère pour l'argon).

Discussion des résultats. — Les intervalles généralement admis (4) depuis le mémoire de Shüler et Keyston (6) sont :

I.	II.	III.	IV.	V.
	—10,35 —8,50			
—25,4	—9,75	0	11,5	21,5

Nos propres mesures attribuent des positions nettement différentes aux deux composantes extrêmes. Mais Shüler et Keyston n'ont pas observé directement la structure hyperfine de la raie λ 2537: ils ont déterminé, à partir de raies du domaine visible, les intervalles de la décomposition (due au spin nucléaire) du niveau $6\,^3P_1$ des isotopes 199 et 201, mais n'ont pas pu contrôler les positions des centres de gravité des cinq composantes hyperfines de

(4) A. Mitchell et M.-Zemansky, *Resonance Radiation and excited Atoms*, Cambridge, 1934, p. 38.
(5) C. Füchtbauer, G. Joos et O. Dinkelacker, *Ann der Phys.*, **71**, 1923, p. 224.
(6) *Z. Phys.*, **72**, 1931, p. 423.

l'ensemble de la raie indiquées par les anciennes mesures (7), effectuées avec une lame de Lummer dont l'épaisseur (4,24mm) était un peu trop grande (chevauchement des ailes des composantes extrêmes de deux ordres voisins).

Si l'on admet, avec les intensités respectives classiques (4) :

a. les positions des centres de gravité fournies par nos mesures;

b. la loi de régularité des déplacements isotopiques des isotopes pairs établie récemment par K. Murakawa et S. Suwa (8);

c. les décompositions par effet de spin nucléaire données par Shüler et Keyston pour les isotopes impairs, on aboutit à la structure ci-dessous pour la raie λ 2537 (distance à X 200 en mÅ) :

I.		II.		III.	IV.	V.		
−24,80		−9,80		0	11,50	22,25		
–	–	(X 198)	–	(X 200)	(X 202)	–	–	(X 204)
–	–	−10,20	–	0	11,50	–	–	23,10
(*c* 201)	–	–	(*b* 201)	–	–	(*a* 201)	–	–
−25,70	–	–	−8,95	–	–	21,15	–	–
–	(B 199)	–	–	–	–	–	(A 199)	–
–	−24,60	–	–	–	–	–	22,40	–

SPECTROSCOPIE. — *Contribution à l'étude du spectre de vibration de l'oxyde azoteux*. Note de Mme **Marie-Louise Grenier-Besson**, MM. **Gilbert Amat** et **Pierre Barchewitz**, présentée par M. Jean Cabannes.

L'absorption infrarouge de l'oxyde azoteux (N_2O) a été étudiée entre 1,5 μ et 2,5 μ au moyen d'un spectrographe à réseau-échelette (15 000 traits/25,4 mm) et à cellule au sulfure de plomb évaporé non refroidie. En utilisant une cuve d'absorption de 150 cm contenant le gaz sous la pression atmosphérique, nous avons observé outre les deux bandes parallèles intenses signalées par E. K. Plyler et E. F. Barker (1) à 4734,7 et 4419,5 cm^{-1}, sept bandes parallèles et deux bandes perpendiculaires dont l'interprétation et les caractéristiques sont rassemblées dans le tableau ci-après.

Les longueurs d'onde et les fréquences observées, exprimées respectivement en microns et en cm^{-1} et rapportées au vide sont inscrites dans la troisième et la quatrième colonne. La précision est supérieure ou égale à 1 cm^{-1}. Les fréquences inscrites dans les deux dernières colonnes ont été calculées en utilisant pour les niveaux d'énergie de la molécule N_2O la formule

$$G_0(v_1, v_2, v_3) = \omega_1^0 v_1 + \omega_2^0 v_2 + \omega_3^0 v_3 + x_{11} v_1^2 + x_{22} v_2^2 + x_{33} v_3^2 + x_{12} v_1 v_2 + x_{13} v_1 v_3 + x_{23} v_2 v_3 + g_{22} l_2^2.$$

(7) R. W. Wood, *Phil. Mag.*, 50, 1925, p. 761; M. Nair et A. Ellett, *Proc. Nat. Acad.*, 13, 1927, p. 430, A. Ellett et M. Nair, *Phys. Rev.*, 31, 1928, p. 180 et 986.

(8) *J. of the Phys. Soc. of Japan*, 5, 1950, p. 429.

(1) E. K. Plyler et E. F. Barker, *Phys. Rev.*, 38, 1931, p. 1827.

G. et L. Herzberg (²) ont proposé, pour les constantes figurant dans cette formule, deux séries de valeurs déduites des fréquences observées dans l'infrarouge moyen et dans l'infrarouge photographique et qui conduisent respectivement aux fréquences théoriques inscrites dans la sixième et la septième colonne. Ces calculs ne tiennent pas compte du phénomène de résonance de Fermi intervenant entre les niveaux $(v_1, v_2^{l_2}, v_3)$ de la forme (n, o^0, v_3), $(n-1, 2^0, v_3)$, $(n-2, 4^0, v_3)$, ..., $(o, 2n^0, v_3)$.

Pour toutes les transitions observées, le niveau d'énergie inférieur est le niveau (o, o⁰, o). La première colonne du tableau renferme les valeurs des nombres quantiques v_1, v_2, l_2, v_3 définissant le niveau supérieur. Celui-ci est du type Σ^+ si $l_2 = o$, la transition correspondante donnant lieu à une bande parallèle. Il est du type Π si $l_2 = 1$, la transition correspondante donnant lieu à une bande perpendiculaire. Les évaluations d'intensités figurant dans la troisième colonne (très faible, faible, moyenne, forte, très forte) ont une signification essentiellement relative.

						ν vide obs.	ν vide calculé (cm^{-1}).	
v_1.	$v_2^{l_2}$.	v_3.	Type.	Int.	λ vide obs. (μ).	(cm^{-1}).	1.	2.
o	o⁰	3	∥	f	$1,517_7$	6589	6588,0	6582,3
3	o⁰	1 }	∥	f	$1,673_1$	5977	5980,5	5980,3
2	2⁰	1 }	∥	tf	$1,697_1$	5892	5895,8	5886,9
1	o⁰	2	∥	f	$1,769_6$	5651	5652,2	5649,1
4	o⁰	o }	∥	m	$1,957_0$	5110	5101,0	5105,0
3	2⁰	o }	∥	m	$1,989_8$	5026	5031,0	5024,2
o	1¹	2	⊥	f	$2,008_4$	4979	4983,4	4980,5
2	o⁰	1 }	∥	TF	2,1121	4734,7	–	–
1	2⁰	1 }	∥	F	$2,158_7$	4632	4633,9	4631,6
o	o⁰	2	∥	TF	2,2627	4419,5	–	–
1	1¹	1	⊥	m	$2,461_1$	4063	4063,4	4061,0

(Les niveaux réunis par une accolade sont ceux entre lesquels une résonance de Fermi est possible.)

PHYSIQUE NUCLÉAIRE. — *La dissymétrie de la fission et le modèle de la goutte.* Note de M. **Pierre Demers**, présentée par M. Jean Cabannes.

On explique la dissymétrie de la fission nucléaire par une inégalisation due aux forces capillaires dans le noyau en cours de séparation.

Bohr et Wheeler (¹), dans leur application du modèle de la goutte à la fission, supposaient la fission symétrique. Cependant, les courbes de ren-

(²) G. Herzberg, *Molecular Spectra and Molecular Structure*, II; p. 278; G. Herzberg et L. Herzberg, *J. Chem. Phys.*, 18, 1950, p. 1551.

(¹) *Phys. Rev.*, 56, 1939, p. 426.

dement établies par radiochimie montrent deux sommets, caractérisant une dissymétrie de A et de Z très marquée pour la fission de ^{235}U, ^{238}U, ^{239}Pu, ^{237}Np, ^{231}Pa, ^{232}Th par les neutrons lents ou d'énergie inférieure à 45 MeV. Aux grandes énergies d'excitation comme avec n 90 MeV, D 200 MeV, α 380 MeV, ces éléments et aussi Bi, Tl, Au, Ta montrent une fission symétrique. Or, si l'on considère la diminution d'énergie potentielle dans la formation de deux fragments sphériques se touchant, la fission devrait être symétrique dans tous les cas. La dissymétrie ne peut s'expliquer que par la dynamique des oscillations de la goutte.

L'analyse des défauts de masse, indépendante du modèle de la goutte, montre, selon Beck et Havas (2), Flügge (3) et Von Droste (4), cités par Turner (5), selon Wick (6) et Kingdon (7), au contraire de Dempster (8), un minimum d'énergie potentielle favorisant la fission dissymétrique.

Frankel et Metropolis (9) ont conclu que l'explication n'est pas possible dans le modèle de la goutte, au contraire de Hill (10). Deux modifications favorisent la dissymétrie : le modèle de Wigner (11), utilisé par Présent (12), Yasaki et Miyatake (13) et Jungerman (14), où la densité des protons est plus grande à la surface du noyau, et celle de Swiatecki (15) où la matière nucléaire est compressible.

Nous proposons une explication basée sur les propriétés des bulles de savon : selon Boys (16), si on les allonge, elles se séparent en deux parties inégales. En général, deux bulles de savon, deux gouttes, deux cristaux capables d'échanger leur matière, tendent à devenir inégaux, la tension superficielle accroissant la solubilité et la pression des éléments plus petits.

La condition du minimum d'énergie potentielle électrostatique favorise la symétrie des fragments naissants tant qu'ils sont proches et l'apparition d'une forme instable et d'un étranglement symétriques. Cependant, au moment de la séparation, le noyau doit être très allongé et, surtout

(2) *Comptes rendus*, 208, 1939, p. 1084.
(3) *Naturwiss*, 27, 1939, p. 402.
(4) *Naturwiss*, 27, 1939, p. 198.
(5) *Rev. Mod. Phys.*, 12, 1940, p. 1.
(6) *Phys. Rev.*, 76, 1949, p. 181.
(7) *Phys. Rev.*, 76, 1947, p. 136.
(8) *Phys. Rev.*, 72, 1947, p. 431.
(9) *Phys. Rev.*, 72, 1947, p. 914.
(10) *Phys. Rev.*, 78, 1950, p. 330.
(11) *Voir* Feenberg, *Phys. Rev.*, 59, 1941, p. 593.
(12) *Phys. Rev.*, 72, 1947, p. 7.
(13) *Phys. Rev.*, 80, 1950, p. 754.
(14) *Phys. Rev.*, 80, 1950, p. 285.
(15) *Phys. Rev.*, 83, 1951, p. 178.
(16) *Bulles de savon*, Trad. Guillaume, Gauthier-Villars, Paris, 1892.

si les charges positives sont disposées à ce moment de préférence en deux groupes aux extrémités de cette forme allongée, c'est la condition du minimum d'énergie de surface qui régit son évolution. A moins d'une excitation considérable, le noyau dans l'état instable possède une énergie cinétique faible en plus de l'énergie cinétique d'agitation thermique des nucléons.

Au cours de l'éloignement final des fragments naissants, nous avons donc peut-être le droit d'assimiler le système à celui de deux bulles de savon capables d'échanger leur matière, tant qu'un filet étranglé subsiste entre les extrémités grossies. Cet échange est limité par l'accélération des fragments due à la réduction de l'énergie de surface. La concurrence entre l'inégalisation par échange de nucléons et leur accélération donne une base théorique pour évaluer une courbe de rendement. On explique ainsi que l'on doive obtenir à peu près la même courbe de rendement dissymétrique pour des noyaux de masses voisines et pour toutes les excitations, sauf si celles-ci sont très fortes : alors les vitesses des fragments naissants sont très grandes et l'inégalisation n'a pas le temps de s'opérer.

On peut facilement admettre que l'échange de matière intéresse au moins un disque de matière nucléaire de rayon 6 à 8.10^{-13} cm, ce qui est une dimension raisonnable pour la section droite centrale dans le noyau au lieu de l'étranglement et d'épaisseur 10^{-13} cm, ce qui est l'incertitude sur la position d'un nucléon ayant 10 MeV d'énergie thermique, selon Blatt et Weisskopf ([17]), c'est-à-dire une vingtaine de nucléons. Ce nombre est très voisin de la différence entre la masse la plus probable d'un fragment et la moitié de la masse totale dans la fission dissymétrique. On explique facilement, dans cette théorie, que la charge se divise plus également que la masse, de sorte que le fragment lourd contient une proportion plus grande de neutrons.

La théorie prête à des expériences avec des bulles de savon et avec des gouttes.

RAYONS COSMIQUES. — *Effet de latitude sur l'intensité du rayonnement cosmique déterminé au moyen des émulsions nucléaires.* Note de M. **Max Morand**, Mlle **Yvette Avignon**, MM. **Lud van Rossum** et **Roger Desprez**, présentée par M. Eugène Darmois.

L'intensité totale de la composante lourde du rayonnement a été étudiée dans des conditions identiques au Kebnekaise (latitude géomagnétique 65°40′) et au Mont Ventoux (latitude géomagnétique 46°10′). On a constaté un rapport d'intensité $1{,}060 \pm 0{,}026$.

([17]) *Théor. Nucl. Physics*, Wiley, New-York, 1952.

La variation de l'intensité du rayonnement cosmique avec la latitude a été étudiée au moyen des compteurs à neutrons (1) et de la chambre d'ionisation (2). Pour l'étude des étoiles (3) et des traces isolées (4) on a utilisé des plaques photographiques. Dans le cas des traces isolées, on peut étudier en plus de l'intensité, les répartitions, les énergies et la nature des particules. Des plaques Ilford G_5, d'épaisseur 400 μ ont été exposées simultanément et dans des conditions identiques au Mont Ventoux (altitude 1920 m) pendant 48,4 jours et au Kebnekaise en Suède (altitude 1920 m) pendant 44,2 jours.

Ces plaques ont été étudiées au voisinage de la surface de gélatine touchant le verre en pointant les traces dont la granulation vaut plus de 1,5 fois celle du minimum d'ionisation. On a 3374 traces pour 25 bandes de 5 cm sur 143 μ dans les plaques exposées au Mont Ventoux et 3575 pour 28 bandes identiques dans les plaques exposées au Kebnekaise. Le rapport de la densité de traces par centimètre carré et par seconde est de $1{,}060 \pm 0{,}026$. La granulation indique que l'excès en faveur du Kebnekaise porte sur des traces dont la densité de granulation est supérieure à 1,5 fois le minimum; la différence est négligeable au-dessous de ce chiffre. Les traces sont essentiellement des traces de protons avec quelques pour-cent de mésons et une très faible partie de particules lourdes. La valeur du minimum d'ionisation obtenue sur des traces très fines réparties dans les plaques est de 20 grains sur 100 μ.

On peut étendre la méthode de Morand et Tsai-Chü (5) au calcul de l'intensité verticale absolue et de la répartition zénithale. L'intensité $J(\theta)$ pour l'angle zénithal θ est définie par le nombre d^2N de traces par unité de temps (t), par unité de surface perpendiculaire aux traces ($S \sin\beta$) et par unité d'angle solide ($\cos\beta\, d\alpha\, d\beta$), S étant la surface étudiée sur la plaque, α l'angle de la projection de la trace sur le plan du verre avec la verticale, β l'angle de la trace avec sa projection sur le plan du verre

$$J(\theta) = J(o)\cos^\lambda\theta - J(o)\cos^\lambda\alpha\cos^\lambda\beta = \frac{d^2N}{St\sin\beta\cos\beta\, d\alpha\, d\beta}$$

d'où

$$(1)\qquad dN = 2StJ(o)\cos^\lambda\alpha\, d\alpha \int_0^{\frac{\pi}{2}} \cos^{\lambda+1}\beta\sin\beta\, d\beta,$$

$$(2)\qquad N = 2StJ(o)\int_{-\frac{\pi}{2}}^{\frac{\pi}{2}} \cos^\lambda\alpha\, d\alpha \int_0^{\frac{\pi}{2}} \cos^{\lambda+1}\beta\sin\beta\, d\beta.$$

L'équation (1) nous montre que la répartition zénithale est donnée par celle

(1) J. A. Simpson, *Phys. Rev.*, **83**, 1951, p. 1175.
(2) J. A. Simpson, H. W. Baldwin et R. B. Uretz, *Phys. Rev.*, **84**, 1951, p. 332.
(3) M. Morand, C. Beets et L. Winand, *Comptes rendus*, **229**, 1949, p. 227.
(4) K. R. Dixit, *Indian J. Phys.*, **24**, 1950, p. 501.
(5) *Comptes rendus*, **234**, 1952, p. 1875.

de l'angle α. L'intensité absolue verticale J(o) est calculée au moyen de l'équation (2). La valeur de λ est $1,43 \pm 0,85$ pour le Mont Ventoux et $1,41 \pm 0,35$ pour le Kebnekaise. Ceci est sensiblement égal à la valeur $1,66 \pm 0,33$ pour les nucléons de moyenne énergie ([6]) mais inférieure à la valeur $2,56 \pm 0,28$ trouvée pour les plaques exposées à Tamanrasset ([7]) (altitude 1400 m, latitude 25°30′ N). Pour le Mont Ventoux (8,19 m d'eau), l'intensité absolue J(o) est de $(3,26 \pm 0,10).10^{-4}$ par cm²/s.stérad. (jusqu'à 230 MeV). Si l'on compare la valeur trouvée pour Tamanrasset (8,73 m d'eau) de $(1,625 \pm 0,072).10^{-4}$ à l'intensité du Mont Ventoux réduite à 1400 m (en tenant compte d'un parcours d'absorption de 160 g/cm², on trouve un effet de latitude de $30,9 \pm 4,8$ % en bon accord avec Dixit ([4]).

La première expérience de Pomerantz ([8]), confirmée par les expériences récentes, a démontré que l'intensité du rayonnement cosmique augmente avec la latitude ($> 45°$) en haute atmosphère. En avion, Simpson ([1]) a trouvé une augmentation d'environ 10 à 30 % pour les neutrons rapides entre 45° et 60°. Il n'y a pas de variation ([9]) pour les particules pénétrantes ayant un parcours supérieur à 10 et à 20 cm de plomb. Morand et Tsai-Chü ([7]) ont remarqué que les mésons arrivant à basse altitude nécessitent des nucléons primaires de très grande énergie et ne sont pas influencés par le champ magnétique terrestre, tandis que les secondaires des cascades nucléaires de quelques Bév seulement prolongées par les neutrons-protons peuvent arriver à basse altitude. Adams et Braddick ([10]) ont trouvé une différence de 2 % pour les neutrons entre 54°5 et 56°5 de latitude géomagnétique.

CHIMIE PHYSIQUE. — *Sur l'application du permanganate de potassium à la mise en évidence, d'une façon visible, des charges électriques engendrées pendant la diffusion.* Note de M. **José Lima-de-Faria**, présentée par M. Eugène Darmois.

Avec l'aide de $KMnO_4$ on met en évidence, d'une façon visible, les charges électriques engendrées pendant la diffusion soit par différence de mobilité des ions, soit par adsorption.

Dans la préparation du tube pour les expériences d'obtention de charges électriques à l'intérieur des solutions ([1]), nous avons rempli partiellement un tube en U, placé verticalement, avec une solution diluée

([6]) P. Bassi, C. Manduchi et P. Veronesi, *Nuovo Cimento*, **9**, 1952, p. 722.
([7]) *Comptés rendus*, **235**, 1952, p. 1502.
([8]) *Phys. Rev.*, **77**, 1950, p. 830.
([9]) H. V. Neher, *Progress in Cosmic Ray Physics*, 1952, p. 305.
([10]) *Z. Naturforsch J.*, 6*a*, 1951, p. 592.

([1]) *Comptes rendus*, 235, 1952, p. 1297.

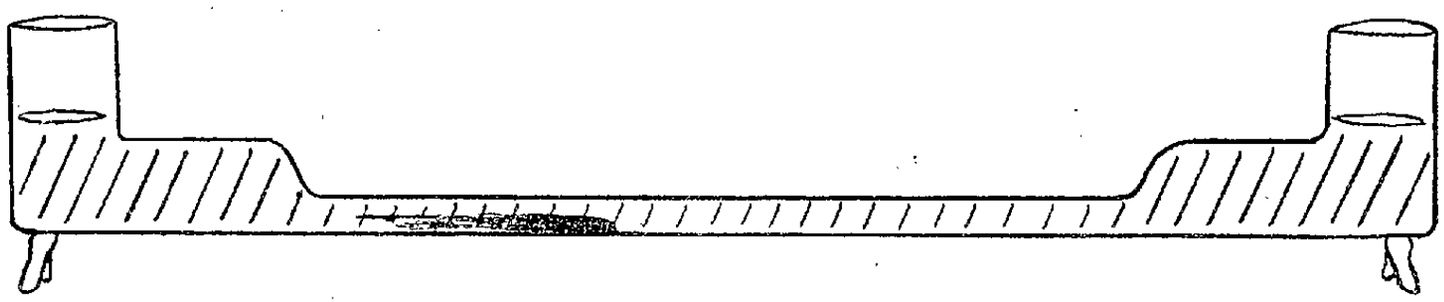
de $KMnO_4$ (3.10^{-4} M) et introduit après par le fond et très lentement, une solution concentrée de HCl. La solution concentrée de HCl pousse la solution diluée de $KMnO_4$, mais il se forme cependant une région d'interpénétration. Si l'on observe de près cette région de transition (en absence de tout champ électrique), on y voit deux zones : un disque violet foncé suivi d'une région décolorée. Nous avons pensé que ces effets de différente coloration pourraient être liés à la formation de charges électriques pendant la diffusion; les ions H^+ étant plus mobiles que les ions Cl^-, il se formerait un front de diffusion avec deux charges de signes opposés, la plus avancée étant positive (excès de H^+) et l'autre négative (excès de Cl^-). Il doit se former une atmosphère ionique macroscopique dans laquelle l'un des ions se trouve en excès et non pas une région dans laquelle il n'y aurait qu'une seule espèce d'ions. Les ions MnO_4^- seraient attirés par la charge positive plus avancée, d'où l'augmentation de la coloration violette; dans la région voisine négative, il s'accumulerait des ions K^+, donc décoloration.

Si l'on répète cette expérience en substituant à HCl la soude NaOH, on observe précisément le contraire : une zone incolore se forme en avant suivie d'une région plus foncée. Les ions OH^- sont maintenant les plus mobiles, la charge en avant sera donc négative et il y aura accumulation d'ions K^+, donc décoloration. Autour de la charge positive moins avancée viendront se placer les MnO_4^-. Si maintenant on fait cette expérience avec un électrolyte dont les ions possèdent à peu près les mêmes mobilités, comme par exemple KCl, on n'observe rien, ce qui s'accorde bien avec les idées exposées. D'une façon générale, ce phénomène est bien visible pour les acides et les bases et peu net pour les sels.

En introduisant des électrodes sondes dans le tube, nous avons pu construire les courbes qui donnent la variation du potentiel entre deux points du tube en fonction du temps. Nous avons constaté que les effets produits par le passage du front de diffusion dans les électrodes, pendant la préparation du tube, accusaient son caractère de double signe, c'est-à-dire deux charges de signes opposés.

Nous avons aussi étudié la diffusion dans des tubes horizontaux, mais pour ralentir le processus de la diffusion nous avons utilisé des tubes minces (2 mm de diamètre intérieur) comme celui représenté par la figure. Nous avons rempli initialement le tube avec une solution diluée de $KMnO_4$ ($2{,}2.10^{-3}$ M) et, ensuite, versé dans une des extrémités une goutte d'une solution concentrée de l'électrolyte à étudier. Avec les acides, lorsque la diffusion pénètre dans le tube mince, il se forme un petit front violet foncé suivi d'une zone décolorée, étendue et très nette. Quand la diffusion est déjà avancée, le petit front foncé devient imperceptible, mais la zone décolorée reste nette. Avec les bases, on observe le contraire :

petit front décoloré suivi d'une zone étendue violette foncée très nette; quand la diffusion est déjà avancée, le petit front incolore disparaît et la zone foncée reste nette (voir *figure*). Avec les sels, ou bien on n'observe rien, ou alors il se forme, déjà dans un stade avancé de la diffusion, un front légèrement foncé.



La disparition du petit front dans ces expériences pourrait être liée à un phénomène d'adsorption par les parois du tube. Les ions H^+ et OH^- étant les plus adsorbés, cela expliquerait la disparition progressive des petits fronts (H^+ et OH^-).

ANALYSE PHYSICO-CHIMIQUE. — *Fractionnement des lipides par chromatographie de partage à contre-courant sur papier.* Note de MM. **Louis Douste-Blazy**, **Jacques Polonovski** et **Paul Valdiguie**, présentée par M. Gabriel Bertrand.

Malgré le très grand développement des techniques de fractionnement fondées sur le partage entre deux solvants (chromatographie sur papier et distribution à contre-courant), le domaine des composés lipidiques est encore peu exploré (1). La raison en est que les lipides sont insolubles dans l'eau qui sert ordinairement de phase fixe dans ces méthodes d'analyse.

Nous avons cherché des couples de solvants non miscibles, dans lesquels les lipides sont solubles; puis nous avons mis au point une nouvelle méthode de chromatographie de partage sur papier, à contre-courant, à deux phases organiques.

Couples de solvants. — Nous avons spécialement étudié les couples suivants :

Méthanol aqueux (1 à 20 % d'eau), éther de pétrole (É 40) ou heptane;

(1) Chromatographie sur papier : J. Boldingh, *Rec. Trav. Chim. Pays-Bas*, 69, 1950, p. 247; T. H. Bevand, G. I. Gregory, T. Malkin et A. G. Poole, *J. Chem. Soc.*, 1951, p. 841; E. Hecht et C. Mink, *Bioch. Bioph. Acta*, 8, 1952, p. 641; M. Barbier et E. Lederer, *Bioch. Bioph. Acta*, 8, 1952, p. 590; H. P. Kaufmann et J. Budwig, *Fette u. Seifen*, 54, 1952, p. 156; *cf.* Revue in J. Asselineau, *Bull. Soc. Chim.*, 1952, p. 884.

Distribution à contre-courant : C. R. Sholfield, T. A. Mc Guire et H. J. Dutton, *J. Amer. Oil. Chem. Soc.*, 27, 1950, p. 352; T. A. Mc Guire et F. R. Earle, *id.*, 28, 1951, p. 328; J. A. Lavern, *J. Biochem.*, 51, 1952, p. 464.

Méthanol aq. (1 à 20 %), éther de pétrole + chloroforme (0 à 50 %);
Méthanol aq. + acétone, éther de pétrole + chloroforme (0 à 50)%;
Acide acétique aq. (1 à 20 %), éther de pétrole + chloroforme (0 à 50 %);
Acide acétique + méthanol + eau, éther de pétrole + chloroforme (proportions variées);
Pyridine + méthanol + eau, heptane ou éther de pétrole + chloroforme.

Les couples utilisables sont uniformément variables par addition d'eau ou de chloroforme qui diminuent la solubilité de certains lipides dans la phase hydrophile et l'augmentent dans la phase éthérée; il est donc possible de trouver le couple optimum pour la séparation cherchée.

On peut ainsi séparer les stérols et les stérides des phospholipides, les lécithines des céphalines et fractionner les lécithines ou les céphalines elles-mêmes.

Chromatographie de partage entre deux phases organiques à contre-courant. — La méthode que nous avons mise au point diffère des méthodes habituelles en ce que le papier trempe par chacune de ses extrémités dans un solvant différent; le solvant léger ascendant s'arrête au moment de la rencontre avec le solvant descendant. La tache initiale est déposée dans la partie supérieure du papier et l'on s'arrange pour amener la rencontre des solvants juste au-dessus de la tache.

La chromatographie a lieu dans une cuve comportant une nacelle pour le solvant supérieur; un dispositif plus simple peut même être réalisé avec deux tubes de diamètre différent emboîtés et une bande de papier étroite (1 à 4 cm) (papier Whatman ou Arches). Durée, 8 à 12 h à 18° C.

Après séchage du papier, les bandes sont révélées de différentes manières :

Le Soudan III ou, mieux, le noir Soudan (0,5 % dans l'éthanol à 60°) colorent les glycérides, stérides et céphalines.

L'immersion dans l'acide phosphomolybdique (sol. aq. à 1 %) suivie d'un lavage à l'eau et d'une réduction par le chlorure stanneux (sol. à 1 % dans l'eau ou ClH_3N), colore les composés choliniques (lécithines et sphingomyélines).

La pulvérisation de ninhydrine (0,2 % dans le butanol) colore les céphalines et les acides aminés qui peuvent les accompagner.

La pulvérisation d'acide silicotungstique (ou phosphotungstique) (10 % dans l'éthanol), suivie d'un bref passage à l'étuve, colore en pourpre le cholestérol.

A titre d'exemple, nous décrirons les résultats obtenus pour un extrait alcooloéthéré de sérum sanguin humain, une ovolécithine et une céphaline de cervelle de mouton avec les couples suivants : éther de pétrole, 75 cm^3; chloroforme, 10 cm^3; acide acétique, 60 cm^3; méthanol, 30 cm^3; eau, 5 cm^3

ou éther de pétrole, 75 cm³; chloroforme, 15 cm³; acide acétique, 25 cm³; méthanol, 25 cm³; eau, 2,5 cm³.

A. Sérum : une, deux ou trois taches bleu molybdiques (lipides choliniques) entraînées par la phase acétique [Rf (²) 0,8 à 0,6]. Deux taches colorables à la ninhydrine dont une seule retient le noir Soudan (Rf entre 0,3 et 0,6). Une tache colorable au Soudan correspondant aux lipides éthérosolubles (Rf 0 à 0,1).

B. Lécithine : une tache colorable au bleu molybdique (Rf 0,8 environ).

C. Céphalines : une tache éthérosoluble non entraînée par la phase acétique colorable au Soudan, mais non à la ninhydrine et quatre taches colorables à la ninhydrine. Aucune n'est colorable au bleu molybdique.

L'utilisation des mêmes couples de solvants dans un appareil de distribution à contre-courant de type Craig nous a donné des résultats comparables, nous permettant une séparation des mêmes fractions.

DISTILLATION DE PRÉCISION. — *Contribution à l'étude de l'effet du prélèvement intermittent sur l'efficacité des colonnes à rectifier.* Note (*) de M. **René Romanet**, présentée par M. Paul Pascal.

Dans une précédente Note (¹) j'ai montré que pour des colonnes à rectifier de grande efficacité utilisées avec des rapports de rétrogradation élevés le prélèvement intermittent donnait une meilleure séparation que le prélèvement continu.

Mais il importe de remarquer que le rapport de rétrogradation est défini dans le cas du prélèvement discontinu par analogie avec le cas du prélèvement continu. En fait, sa signification dans le premier cas est loin d'être aussi simple que dans le second cas. En particulier, les deux durées t et T du cycle de prélèvement intermittent étant indépendantes l'une de l'autre, un même rapport de rétrogradation peut théoriquement être obtenu d'une infinité de façons.

Dans le présent travail j'ai cherché quelle était, pour un même rapport de rétrogradation, l'influence de la valeur du prélèvement unitaire a sur l'efficacité de la colonne, toutes les autres caractéristiques de fonctionnement restant inchangées (¹).

La figure traduit les résultats obtenus pour un rapport de rétrogradation

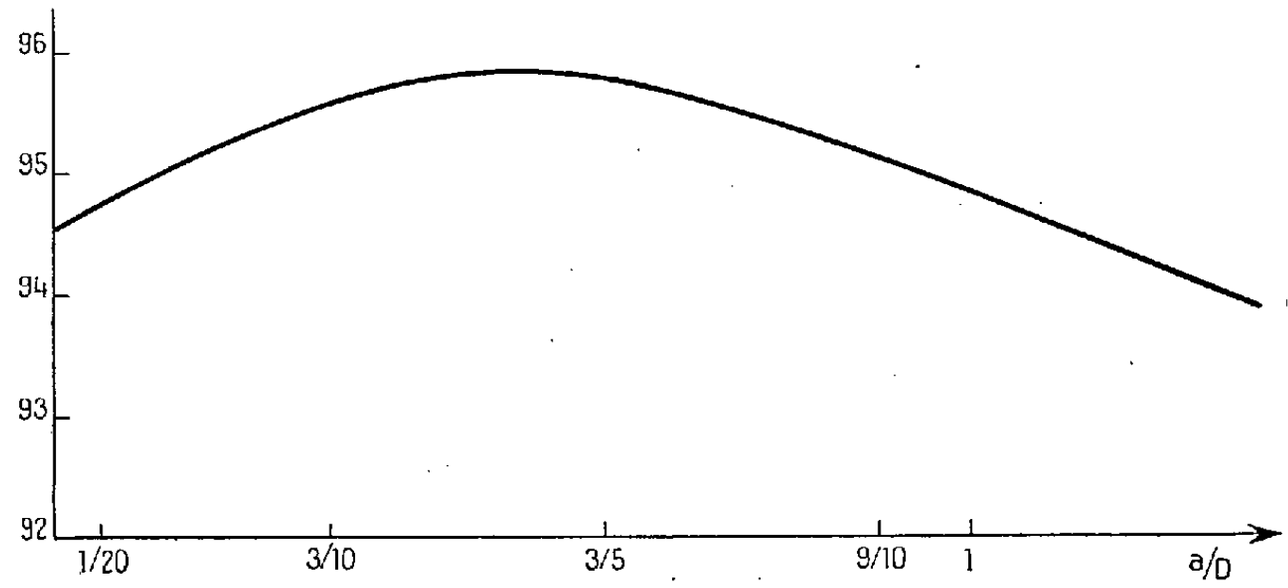
---

(²) Le calcul des Rf est arbitraire, car nous prenons pour origine le point de rencontre des solvants. Il ne correspond pas exactement au coefficient de partage, car l'adsorption sur le papier joue un rôle, et les volumes des phases en présence ne sont pas absolument constants au voisinage des fronts des solvants.

(*) Séance du 10 décembre 1952.

(¹) *Comptes rendus*, 235, 1952, p. 1390.

R = 150. En abscisse on a porté le rapport a/D [a, valeur du prélèvement unitaire; D, valeur moyenne de la quantité de distillat prélevée par heure; cette valeur est constante dans toutes les expériences (le rapport a/D est homogène à un temps)].



En ordonnée on a porté l'efficacité de la colonne définie comme précédemment (²)

A la valeur $a/D = o$ correspond l'efficacité de la colonne en prélèvement continu.

On voit que si l'on fait croître la valeur de a l'efficacité de la colonne passe par un maximum, puis décroît régulièrement et peut prendre des valeurs inférieures à celle correspondant au prélèvement continu. Autrement dit, l'augmentation d'efficacité entraînée par le fonctionnement avec prélèvement discontinu n'est obtenue, pour un rapport de rétrogradation donné, que par un choix convenable du cycle de prélèvement.

THERMODYNAMIQUE CHIMIQUE. — *De l'influence des phénomènes de surface sur la cinétique d'inflammation des propergols liquides.* Note (*) de M. **Michel Bernard**, présentée par M. Eugène Darmois.

Des résultats sont rapportés qui dégagent l'influence de la surface sur les phénomènes d'inflammation de deux jets de liquides autoréagissants et pulvérisés l'un contre l'autre.

Cette influence trouve son application dans les systèmes d'injection des propergols utilisés en autopropulsion thermique.

L'étude des réactions d'inflammation de l'acide nitrique à haute concentra-

(²) R. Romanet, *Comptes rendus*, 235, 1952, p. 412.

(*) Séance du 10 décembre 1952.

tion avec différentes substances organiques, nous a permis de faire les remarques suivantes :

On a trouvé que des corps susceptibles d'abaisser la tension interfaciale d'un système de deux jets autoréagissant l'un contre l'autre, favorisaient l'auto-inflammation de ce système.

Pour mettre en évidence ce phénomène, on a utilisé tout d'abord le dispositif suivant : une quantité d'acide nitrique d'un volume de 1 cm^3 (97-98 %) tombe d'une hauteur de 15 cm dans une coupelle contenant 1 cm^3 de substance organique liquide auto-inflammable. Le phénomène est enregistré par une caméra à déroulement rapide (64 images seconde par exemple).

Le « retard à l'inflammation » en présence d'acide nitrique de la substance organique considérée, est le temps qui s'écoule entre le contact de la goutte avec la surface du liquide de la coupelle, et l'apparition de la flamme. La lecture du film donne le résultat en images, que l'on traduit en temps.

Cette méthode est désignée dans ce qui suit par le terme de « méthode au bain ».

Les combustibles utilisés étaient l'alcool furfurylique et des solutions huileuses de dicyclopentadiène à 83 % et 37 % (1).

Voici pour deux de ces couples auto-inflammateurs et différents corps tensio-actifs les retards d'inflammation obtenus, en 10^{-2} s en présence d'acide nitrique 97 %.

Combustible.	Alcool furfurylique.	Dicyclopentadiène à 83 %.
Normal	3,1	7
+ 0,5 % oléylamide	2,3	3,9
+ 0,5 % oléate de triéthanolamine	2,3	3,1
+ 0,5 % oléate de glycérol	2,3	3,9
+ 0,5 % oléate de propylène-glycol	2,3	3,1
+ 0,5 % bromure de cétyl-pyridinium	3,1	4,7
+ 0,5 % sulforicinolate de sodium	1,6	4,7
+ 0,5 % alcoyl-arylsulfate de sodium	2,3	4,7
+ 0,5 % alcoylsulfate de sodium	2,3	3,1

L'abaissement du retard d'inflammation est beaucoup plus accusé, si l'on part de deux jets de ces liquides, qu'on pulvérise l'un contre l'autre. La méthode utilisée pour la mesure du retard d'inflammation de tels systèmes, a été développée par Stanley V. Gunn (2).

Les résultats qui suivent sont relatifs à ce procédé de mesure appliqué à l'inflammation des couples mentionnés plus haut, à partir d'acide nitrique à 98 %. Pour comparaison, on a également porté les retards d'inflammation correspondants obtenus par la méthode au bain :

(1) *J. Amer. Rocket Soc.*, **21**, 1951, p. 129-131.
(2) *J. Amer. Rocket Soc.*, **22**, 1952, p. 33-38.

Couple considéré.		Injecteur.	Bain.
Alcool furfurylique	+ acide nitrique.....	2,99	2,3
»	à 0,5 % d'alcoylsulfate de Na + acide nitrique.	1,44	2,3
»	+ acide nitrique à 0,5 % d'alcoylsulfate de Na.	2,27	2,3
Dicyclopentadiène	à 37 % + acide nitrique.....	–	1,6
»	à 37 % + acide nitrique à 0,5 % d'alcoylsulfate de Na.....	1,25	1,6

Des mesures de tension superficielle de chaque substance par rapport à sa vapeur, montrent que ces corps n'agissent pas comme abaisseurs de tension superficielle. L'expérience montre d'autre part que les faibles quantités de substances ajoutées ne permettent pas une si grande variation du retard d'inflammation du couple par leurs propriétés internes. Ces substances étant d'autre part connues pour leurs propriétés tensioactives à l'interface de deux liquides, l'un aqueux, l'autre organique, elles agissent certainement comme abaisseur de tension interfaciale entre les composants du système hétérogène : acide nitrique-combustible.

On peut prévoir dans ce cas que l'effet optimum sera obtenu avec des hypotenseurs à anion actif (oléates, alcoylsulfates...), lequel a tendance à être adsorbé de façon intense à la surface du combustible au moment du contact. Les résultats portés plus haut justifient bien cette interprétation.

Indépendamment de l'action des hypotenseurs, les résultats mentionnés plus haut et concernant un couple donné, montrent que le retard d'inflammation est une fonction croissante de la quantité de mouvement des jets, c'est-à-dire : de la pulvérisation du système liquide.

Ils permettent également de constater que l'action des hypotenseurs est d'autant plus grande que la pulvérisation du liquide est plus élevée.

Ces résultats trouvent leur application dans l'initiation de la combustion dans les engins autopropulsés à propergols liquides utilisant l'acide nitrique pour comburant, l'inflammation du mélange devant se réaliser, pour des raisons de sécurité, sans retard appréciable.

L'étude des phénomènes de surface accompagnant l'inflammation et la combustion des jets liquides, se poursuit tant du point de vue théorique que du point de vue expérimental.

CHIMIE MACROMOLÉCULAIRE. — *L'influence de l'histoire thermique sur la variation isotherme du volume spécifique du polystyrolène.* Note de M. **André Kovacs**, transmise par M. Jacques Duclaux.

Dans une Note récente (1) nous avons montré qu'au-dessous de la tempé-

(1) A. Kovacs, *Comptes rendus*, 235, 1952, p. 1127. Dans la formule, p. 1129, *il faut lire* $[1 - \tau \log(t/t_0)]$.

rature apparente de transition, T_g, l'évolution isotherme du volume spécifique d'un échantillon de polystyrolène dépend non seulement de la température T_i, mais aussi de son « passé thermique ». Nous avons mis en évidence d'autre part qu'il suffisait de porter l'échantillon à une température $T_0 > T_g$ pour « effacer » son histoire thermique antérieure. En effet, c'est seulement après avoir fait subir à nos éprouvettes un tel traitement que nous avons pu reproduire à volonté les résultats concernant la contraction isotherme du volume à une température $T_i < T_g$ en fonction du temps.

Nous examinerons ici l'évolution isotherme à une température T_2 du volume d'un échantillon qui a été refroidi au préalable à partir d'une température de référence $T_0 > T_g$ à une température T_1, où il a été maintenu pendant des durées variables t_1 ; T_1 et T_2 étant inférieures à T_g.

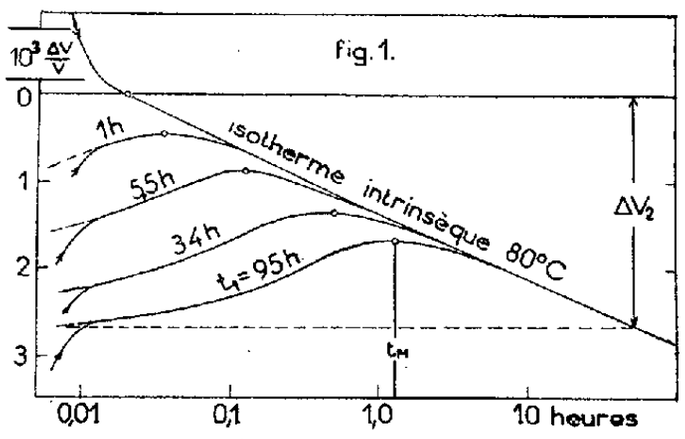
Deux possibilités peuvent se présenter.

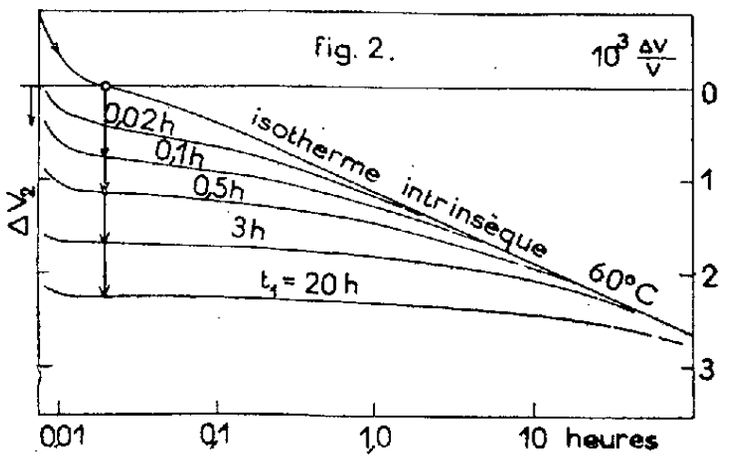
a. $T_0 > T_g > T_2 > T_1$; *réchauffement partiel.* — La figure 1 représente une famille de courbes relatives à la variation isotherme du volume d'un échantillon en fonction de $\log t$ à 80°C après des séjours de durée variable (t_1) à 60°C. On constate que toutes les courbes après avoir passé par un maximum au bout d'un temps t_M tendent vers la courbe de contraction obtenue par refroidissement direct à partir de T_0 ($t_1 = 0$) que nous appellerons « isotherme intrinsèque » à T_2.

On peut déduire de l'examen de cette famille d'isothermes la relation suivante :

$$\log t_M = a \log t_1 - \log C_{1,2},$$

dans laquelle a est un facteur voisin de 1, mais plus petit et $C_{1,2}$ une constante qui croît rapidement avec $(T_2 - T_1)$.





D'autre part, si Δv_1 est la contraction isotherme du volume au bout d'un temps t_1 à la température T_1, on a (*fig.* 1) $\Delta v_1 = \Delta v_2$ (dans le cas où t_1 est suffisamment grand pour que les débuts de courbes de dilatation isotherme soient facilement observables à T_2) autrement dit la *contraction isotherme se conserve au cours d'une élévation rapide de température.*

b. $T_o > T_g > T_1 > T_2$; *refroidissement par étape*. — La figure 2 représente une famille de courbes de contraction isotherme obtenues avec le même échantillon à la température de 60° C après des séjours de durée variable (t_1) à 80° C. Les différentes isothermes ainsi obtenues débutent par un palier (d'autant plus accusé que t_1 est plus grand) et tendent comme précédemment vers l'isotherme intrinsèque obtenue par refroidissement direct ($t_1 = 0$) de T_o à 60° C. Là encore on peut déduire de l'examen de ces courbes que la *contraction isotherme se conserve au cours d'un abaissement rapide de la température*.

On peut considérer la variation de volume comme une « déformation » se composant d'une déformation instantanée (élastique) et d'une déformation retardée (élasto-visqueuse), et essayer d'y appliquer le principe de superposition de Boltzmann (2). Nous reviendrons ultérieurement sur cette question.

CÉRAMIQUE. — *Propriétés caractéristiques des matériaux céramiques obtenus par frittage*. Note de M. **René Lecuir**, présentée par M. Paul Pascal.

Les variations de densité apparente dans l'échantillon cru, modifient l'orientation moyenne de l'échantillon et entraînent des variations locales de retrait, origine de la plupart des défauts de fabrication. L'expérience démontre le caractère local et souvent incomplet des réactions dans le matériau céramique.

Il est bien connu que le retrait d'un échantillon céramique n'est pas le même, en général, dans toutes ses dimensions. Nous avons montré la formation d'une structure feuilletée au sein de l'aggloméré dans une direction perpendiculaire à la pression aussi bien pour des produits lamellaires que pour des oxydes additionnés de liants organiques (1).

Nous avons constaté que la mise en forme d'un produit céramique dans une filière nécessite que les pressions développées par les frottements de la matière sur l'embout de la filière soient plus élevés que la pression exercée par le piston dans la chambre de filage. L'orientation, toujours dans une direction perpendiculaire à la pression maximum, est ici parallèle à la direction de l'écoulement. Le départ des liants volatils, pendant le traitement thermique, s'effectue principalement suivant des plans parallèles à la direction de l'orientation; le rapprochement de ces plans entraîne un retrait plus élevé dans la direction où s'est exercée la pression de mise en forme.

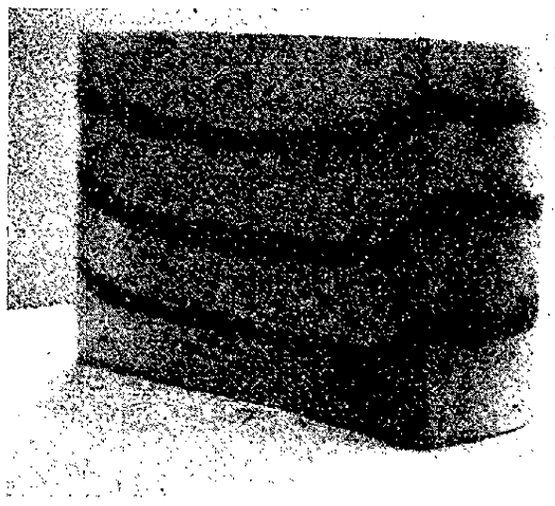
L'expérience montre que la différence des retraits mesurés dans une direction perpendiculaire à l'orientation et dans la direction de l'orientation est, toutes conditions égales d'ailleurs, d'autant plus élevée que la

(2) *Pogg. Ann. Phys.*, 7, 1876, p. 624.

(1) R. Lecuir, *Comptes rendus*, 226, 1948, p. 191.

matière pressée est moins plastique et, par suite, présente une orientation plus marquée.

Inversement, une teneur en liant plus élevée tend à réduire l'écart des retraits mesurés dans les deux dimensions. Les variations des retraits linéaires, résultant de ce phénomène peuvent être importantes, par exemple de 5 %. Les phénomènes physico-chimiques du traitement thermique conduisent alors à un matériau homogène. Les conditions de mise en forme initiale déterminent alors un échantillon cuit, dont la forme est rarement homothétique de l'échantillon cru.



Nous avons montré précédemment qu'il existe une relation entre les déformations, les ruptures des pièces céramiques après cuisson, et les variations locales de la densité apparente des constituants minéraux au sein de l'échantillon. La mise en forme de la pièce crue détermine ces variations, les tensions internes correspondantes entraînant la déformation ou la rupture de l'échantillon (²).

Les différences locales des forces de tassement et du tassement lui-même de la poudre modifient l'orientation générale de l'aggloméré et, par suite, la direction dans laquelle se produit le retrait maximum. Il n'est jamais possible, en pratique, d'éviter au cours de la mise en forme, ce phénomène parasite qui est à l'origine de la majeure partie de défauts de fabrication. Ce phénomène doit déterminer dans un échantillon sans déformation, ni rupture, l'existence de tensions provenant de la mise en forme et subsistant après cuisson, à condition que les réactions physico-chimiques qui donnent naissance au matériau céramique, même étanche, gardent un caractère local.

Nous avons utilisé un dispositif déjà décrit pour l'étude des échantillons crus moulés sous pression, caractérisé par la présence de couches colorées équidistantes avant moulage. Nous avons substitué au colorant organique utilisé dans ces expériences, de faibles quantités d'oxydes, déter-

(²) R. Lecuir, *Ann. Radioélectricité*, 6, n° 23, 1951.

minant après cuisson une coloration de la masse. Après cuisson jusqu'à l'étanchéité, les couches colorées conservent la même allure que dans l'échantillon cru, comme le montre la photographie ci-devant.

Cette expérience montre, qu'au cours du frittage céramique (sauf dans des cas très particuliers), la diffusion reste assez faible et ne détruit pas l'hétérogénéité apportée par la mise en forme dans un matériau céramique. Les différences de densité au sein de la masse crue introduisent donc alors des tensions après cuisson, même dans un échantillon sans défaut apparent.

Les matériaux préparés par frittage se différencient ainsi des produits préparés par fusion, en raison du caractère local et souvent incomplet des réactions physico-chimiques qui leur donnent naissance, et du rôle important que jouent les conditions de mise en forme sur l'homogénéité et les variations de retrait du produit fini.

CHIMIE ORGANIQUE. — *Structure et absorption des dérivés hydroxylés du xanthène (résorcine-benzéines)*. Note de Mme **Pauline Ramart-Lucas**, présentée par M. Gabriel Bertrand.

L'analyse spectrale a, pour la première fois, permis d'établir que les dérivés hydroxylés du triphénylméthane (benzaurines, phénolphtalènes, etc.) sont susceptibles, en milieu neutre, d'exister sous plusieurs formes transformables les unes en les autres réversiblement : une forme incolore (carbinolique ou lactonique selon les cas) et trois formes colorées [(soient (A), (B), (B′)]. L'équilibre entre ces diverses formes est déplacé, en faveur de B en milieu basique et de B′ en présence d'acide. [Voir *fig.* 1, les courbes de la benzaurine dans $CHCl_3$) (courbe 1) forme (A), dans $CHCl_3 + ClH$ (courbe 2) forme (B′) et dans KOH alcoolique (courbe 3) forme (B)].

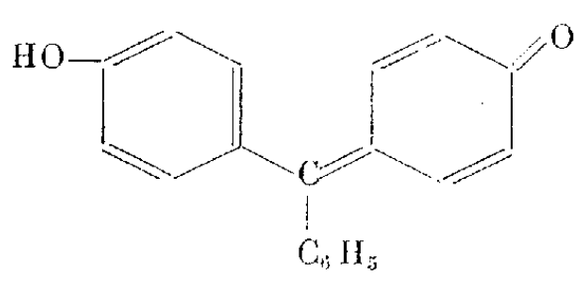
Alors que la forme (A) peut être représentée, d'après son spectre, par la formule quinoïde (1), nos schémas sont impuissants à expliquer l'absorption des formes (B) et (B′). L'analyse des phénomènes m'avait conduite à admettre que l'apparition de ces deux formes était conditionnée par la structure électronique du carbone central. Récemment, M. Sandorfy (2) utilisant les méthodes de la mécanique ondulatoire, a confirmé cette hypothèse et précisé la structure électronique de (B) et (B′) de la benzaurine.

Il était à penser que l'introduction d'un oxygène pontal entre deux des noyaux de la benzaurine [ce qui conduit à la résorcine-benzéine (II)]

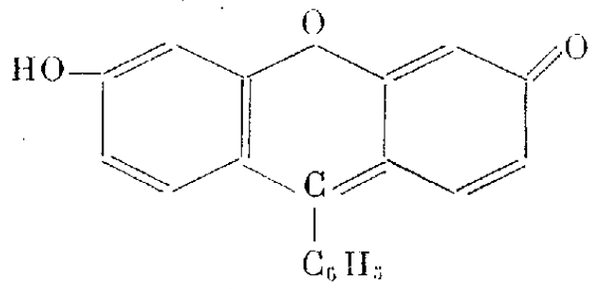
(1) Mme Ramart, *Bull. Soc. Chim.*, 12, 1945, p. 477.

(2) *Comptes rendus*, 7, 1951, p. 633.

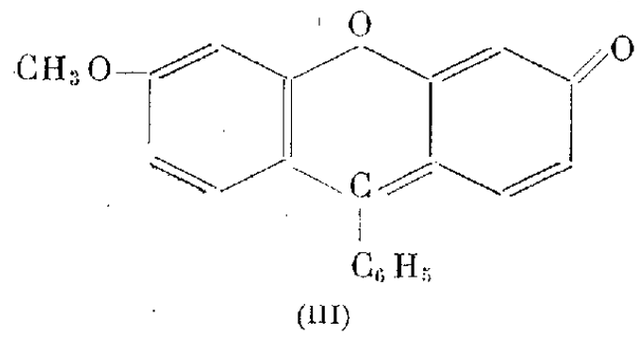
entraînerait un changement plus ou moins profond dans l'allure des phénomènes.



(I)



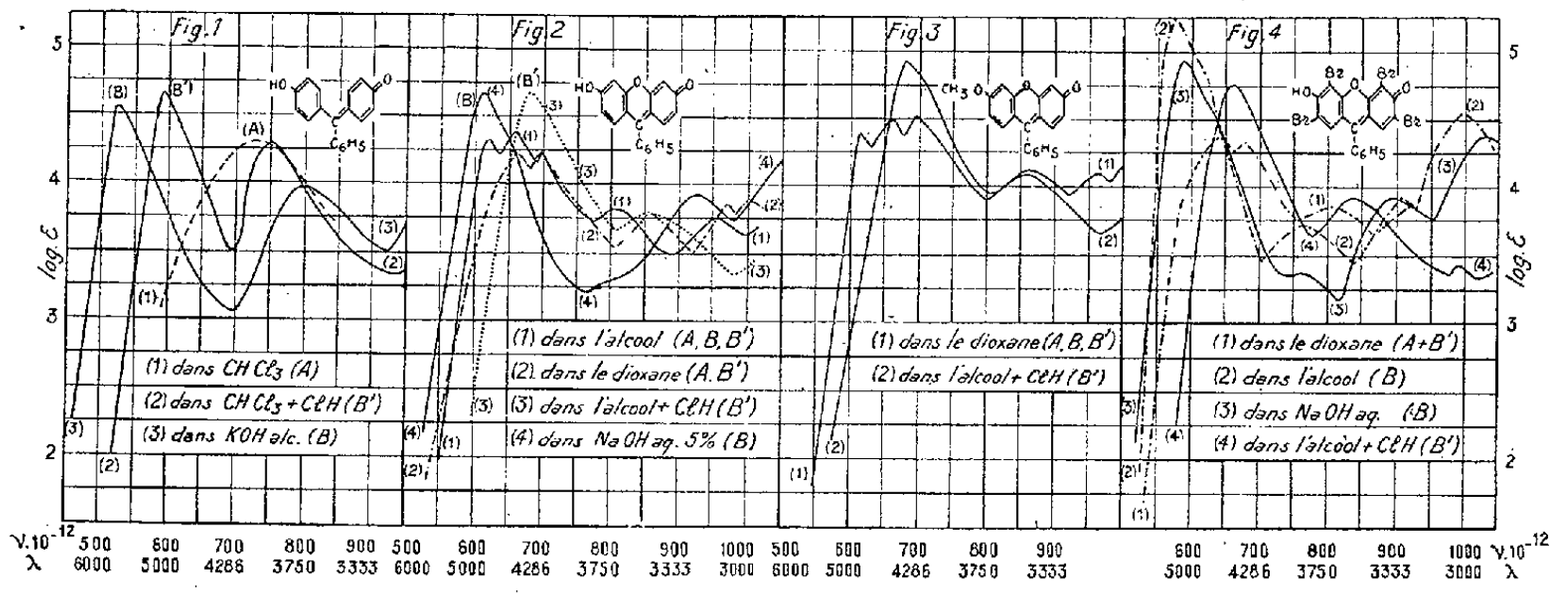
(II)



(III)

En effet, alors que dans la série du triphénylméthane ,les noyaux aromatiques sont seulement liés au carbone central et peuvent ainsi prendre les positions représentées dans les schémas de M. Sandorfy, le degré de liberté de ces noyaux se trouve limité par la présence de l'hétérocycle dans les dérivés du xanthène.

L'expérience a effectivement montré que, dans cette série, si le phénomène essentiel, c'est-à-dire l'existence des formes (A), (B) et (B′) se manifeste comme dans le cas des dérivés du triphénylméthane, la présence de l'oxygène pontal provoque des changements importants à la fois dans la position des bandes (qui gardent sensiblement la même allure) et dans l'équilibre des formes présentes.



Alors que la bande visible de chacune des variétés de la benzaurine et de ses dérivés se succèdent vers le rouge dans l'ordre : (A), (B′), (B) (*voir fig.* 1), cet ordre devient (B′), (A), (B) dans la série du xanthène (*fig.* 2

et 4). En ce qui concerne l'équilibre, contrairement à ce qui se passe dans la série du triphénylméthane, le spectre de (A) n'apparaît à l'état pur dans celui d'aucune des solutions des résorcine-benzéines étudiées. C'est ainsi que dans les spectres des solutions alcooliques ou chloroformiques de ces composés, la bande visiblede chacune des trois formes apparaît (*fig.* 2) et que l'absorption des solutions dioxaniques correspond à la présence des formes (A) et (B′) (*fig.* 2 et 4).

L'éthérification de l'hydroxyle phénolique ne provoque aucun phénomène nouveau si ce n'est que, dans les spectres de toutes les solutions neutres de méthylbenzaurine (III) (y compris le dioxane), on peut déceler ceux des trois formes (*fig.* 3). Enfin, l'introduction de quatre atomes de brome, soit dans la benzaurine, soit dans la résorcine-benzéine, provoque dans l'un et l'autre cas, un déplacement de l'équilibre en faveur de (B). Le spectre de la tétrabromorésorcine-benzéine dans l'alcool neutre est voisin de celui de sa solution alcaline (*fig.* 4).

En définitive, l'étude des spectres d'absorption de la résorcine-benzéine et de ses dérivés a permis d'établir que, comme dans la série du triphénylméthane, ces composés peuvent exister sous les trois formes colorées (A), (B), (B′), transformables les unes en les autres réversiblement. Ici encore, (A) peut être, d'après son spectre, représentée par le schéma quinoïde habituel. En ce qui concerne les formes (B) et (B′) qui ne peuvent être représentées par nos formules, on doit admettre que le passage de (A) en (B) ou (B′) est accompagné d'un changement profond dans l'état électronique du carbone central (passage d'un carbone tétraédrique en carbone graphitique).

CHIMIE ORGANIQUE. — *Sur le nitrile chloro-4 pentène-3 oïque et quelques composés apparentés.* Note de MM. **Marcel Fétizon** et **Marc Julia**, présentée par M. Marcel Delépine.

La cyanuration du dichloro-1.3 butène conduisit au nitrile chloro-4 pentène-3 oïque. Celui-ci a été hydrolysé en l'acide correspondant puis en acide lévulique. La réduction de l'acide chloro-4 pentène-3 oïque donna le chloro-4 pentène-3 ol-1, qui fut transformé par la potasse en pentyne-3 ol-1.

L'un de nous a étudié récemment (1), (2) des composés obtenus à partir du dichloro-1.3 butène-2. Nous avons maintenant préparé, avec le même produit de départ un certain nombre de composés à cinq atomes de carbone. L'intérêt de ces composés, inconnus jusqu'à présent, vient du fait qu'ils contiennent le

(1) M. Julia, *Comptes rendus*, **234**, 1952, p. 2615.
(2) M. Julia, *Comptes rendus*, **235**, 1952, p. 662.

groupement $CH_3—CCl=CH—CH_2—$ qui peut servir à diverses synthèses : composés acétyléniques, cétones, etc.

En faisant réagir le dichloro-1.3 butène-2 sur le cyanure cuivreux suivant la technique habituelle pour les halogénures allyliques, on obtient avec un rendement de 78 % le *nitrile chloro-4 pentène-3 oïque* (cyanure de β-chlorocrotyle) (I) : liquide incolore qu'on distille directement, sous vide, du milieu réactionnel. Il brunit assez rapidement, l'hydroquinone le stabilise très bien. $É_{12}$ 76° ; $É_{760}$ 160° ; $n_D^{15,6}$ 1,4620 (C_5H_6NCl ; trouvé %, C 52,36 ; H 5,45 ; N 12,16 ; calculé %, C 51,96 ; H 5,19 ; N 12,12).

(I) $CH_3—CCl=CH—CH_2—CN$,

(II) $CH_3—CCl=CH—CH_2—COOH$.

Par ébullition (2 h) avec deux fois son volume d'acide chlorhydrique concentré, ce nitrile est hydrolysé en *chloro-4 pentène-3 oïque* (II) (56 %) : liquide incolore d'odeur désagréable, $É_{11}$ 122° ; $n_D^{15,6}$ 1,4710 ($C_5H_7O_2Cl$; trouvé, C 44,66 ; H 5,42 ; calculé %, C 44,70 ; H 5,24).

Le sel de sodium de l'acide (II), obtenu par dissolution dans le bicarbonate de soude sans excès (la soude risquerait de déplacer la double liaison), donna facilement le *sel de* S-*benzyl-isothio-uronium* de (II) qu'on recristallise dans l'alcool dilué. F 145° ($C_{13}H_{17}O_2N_2SCl$; trouvé %, N 9,32 ; calculé %, N 9,3).

Par action du chlorure de thionyle sur l'acide (II), on obtient le *chlorure d'acide :* $É_{35}$ 82° (80 %).

A partir de ce chlorure d'acide nous avons préparé l'*amide* F 83° (recristallisée dans l'eau) (C_5H_8ONCl, trouvé % ; N 10,43 ; calculé %, N 10,25) ; et l'*anilide* correspondants F 95° (recristallisé dans la ligroïne) ($C_{11}H_{12}ONCl$, trouvé %, N 6,72 ; calculé %, N 6,68).

Par distillation azéotropique d'un mélange de chloro-4 pentène-3 oïque, d'alcool absolu et de benzène en présence d'acide sulfurique concentré, on obtient avec un rendement de 72 % l'ester éthylique de (II) : liquide incolore, $É_{25}$ 90° ; $n_D^{21,7}$ 1,4495.

Pinner et Klein (3) ont attribué la formule (II) à un produit fondant à 103-104° qu'ils ont obtenu en plusieurs étapes à partir du butyl-chloral.

La structure de notre produit nous semble toutefois être établie par :

1° son mode de préparation qui met en jeu des réactions simples et bien connues ;

2° son hydrolyse, par dissolution dans l'acide sulfurique concentré (dégagement de gaz chlorhydrique) et dilution par l'eau, en acide lévulique (III), identifié par sa dinitrophénylhydrazone, sa phénylhydrazone, et la pyridazinone que donne celle-ci par cyclisation ;

(3) *Ber.*, **11**, 1878, p. 1498.

3° son hydrogénation facile dans l'acétate d'éthyle, en présence de palladium sur carbonate de calcium, en acide γ-chlorovalérique $É_2$ 94°; n_D^{17} 1,4342; amide, F 79°. Wohlgemuth (4) indique pour ce composé : $É_{10}$ 115-116°; amide, F 79°. Nous avons aussi préparé son *sel de* S-*benzyl isothio-uronium*, recristallisé dans l'alcool dilué, F 147° ($C_{13}H_{19}O_2N_2SCl$, trouvé %, N 9,38; calculé %, N 9,25).

(III) $CH_3—CO—CH_2—CH_2—COOH$.

La réduction de l'acide (II) par l'hydrure de lithium-aluminium dans l'éther donne avec un rendement de 88 % le *chloro-4 pentène-3 ol-1*, (IV) : liquide incolore, $É_{35}$ 98°; $n_D^{18,2}$ 1,4702 (C_5H_9OCl, trouvé %, C 49,42; H 7,65; calculé %, C 49,80; H 8,25). L'*α-naphtyluréthanne* de cet alcool fut cristallisée dans la ligroïne; F 67° ($C_{16}H_{16}O_2NCl$; trouvé %, N 4,94; calculé %, N 4,83)

(IV) $CH_3—CCl=CH—CH_2—CH_2OH$,

(V) $CH_3—C\equiv C—CH_2—CH_2OH$.

Par ébullition avec un excès de potasse aqueuse à 40 % pendant trois heures d'après la méthode employée récemment par Schechter, Green et La Forge (5) pour le butyne-2 ol-1, on obtient l'alcool acétylénique (V) : pentyne-3 ol-1; liquide d'odeur forte $É_{35}$ 81-83°; n_D^{17} 1,4607 (Rdt 72 %); α-naphtyluréthanne, F 119°. Crombie et Harper (6) ont récemment préparé cet alcool par une autre méthode; ils indiquent : É 154-157°; n_D^{20} 1,4554; α-naphtyluréthanne, F 119°.

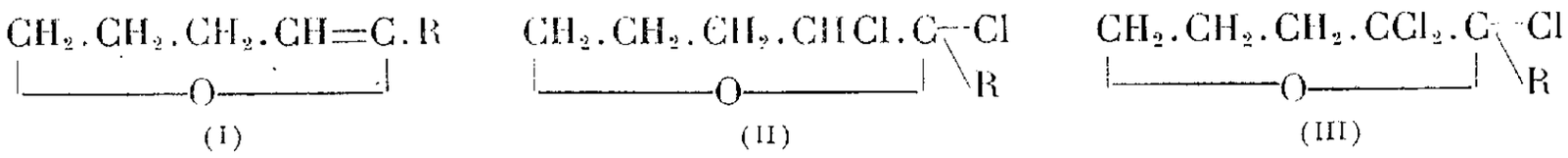
CHIMIE ORGANIQUE. — *Recherches sur les dihydropyrannes; passage aux alcools γ éthyléniques ramifiés.* Note de MM. **Henri Normant** et **Jean-Claude Montaigne**, présentée par M. Marcel Delépine.

Les dihydropyrannes α substitués fixent Cl_2. Les dichlorés 2.3 obtenus permettent la synthèse d'acétals chlorés et le passage aux alcools γ éthyléniques ramifiés ainsi qu'à l'hexyne-4 ol-1.

Les dihydropyrannes α alcoylés (I) ne sont aisément accessibles, à l'heure actuelle, que dans le cas où $R=CH_3$ (1) et $R=C_6H_5$; ce dernier a été préparé selon la technique indiquée par l'un de nous (2). Ces composés additionnent Cl_2 avec facilité; à froid il se forme principalement des dichlorés (II). Mais la

(4) *Comptes rendus*, **158**, 1914, p. 1577.
(5) *J. Amer. Chem. Soc.*, **74**, 1952, p. 4902.
(6) *J. Chem. Soc.*, 1950, p. 873.
(1) Perkin, *J. Chem. Soc.*, **51**, 1887. p. 702.
(2) H. Normant, *Comptes rendus*, **231**, 1950, p. 909.

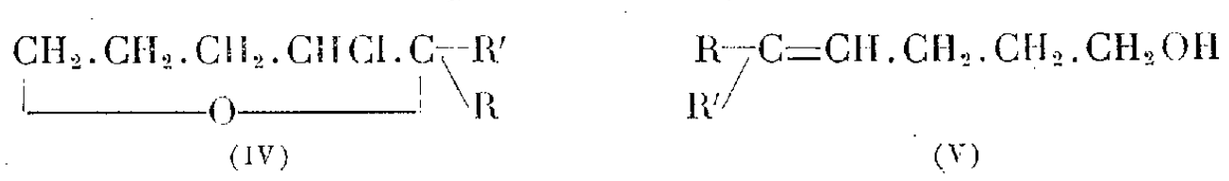
grande mobilité de l'halogène α fait qu'il est difficile d'arrêter la chloration à ce stade.



(I) (II) (III)

On a pu isoler (III) (R=CH_3), F 111-112°, qui, à l'air humide, se transforme en *dichloro-4.4 hexanol-1 one-5* ($C_6H_{10}O_2Cl_2$), F 92° (CCl_4).

La condensation des dichlorés bruts (II) avec R'MgX conduit aux *dialcoyl-2.2 chloro-3 tétrahydropyrannes* (IV) (Rdt 65 % environ)



(IV) (V)

qui sont transformés en alcools γ éthyléniques ramifiés (V), par Na divisé, dans de bonnes conditions.

Alcools éthyléniques (V).

R.	R'.	Formule.	E.	N_D.	D_4.	Rdt %.
CH_3	C_2H_5	$C_8H_{16}O$	87/13	1,4548/16	0,864/16	90
CH_3	C_4H_9	$C_{10}H_{20}O$	108/11	1,4575/18	0,862/18	90
CH_3	C_6H_5	$C_{12}H_{16}O$	101-102/0,6	1,5412/21	0,987/21	77
C_6H_5	C_2H_5	$C_{13}H_{18}O$	111-112/0,6	1,5469/21	0,988/21	66

Le traitement de (II) (R = CH_3) par $C_6H_5N(C_2H_5)_2$, fournit le *méthyl-2 chloro-3* Δ_2 *dihydropyranne* (VI) (C_6H_9OCl), E_{10} 44° n_D^{17} 1,4760 D_{17}^{17} 1,115.



(VI) (VII)

d'où l'on passe à l'*hexyne-4* ol-1 (VII) (Rdt 79 %) par Na en poudre. Ses constantes physiques sont en bon accord avec les déterminations récentes (3). Il en a été préparé les dérivés nouveaux suivants :

Phényluréthane F 55° (cyclohexane);

3.5-dinitrobenzoate F 68° (éther);

Acétate E_{12} 82-83°; n_D^{16} 1,4475; d_{16}^{16} 0,952.

La pyrolyse de ce dernier, à 480° sur coton de verre, donne l'*hexène-5 yne-2*, E_{753} 87°; n_D^{14} 1,4460; D_{14}^{14} 0,767.

Spectre Raman : raie éthylénique 1643 cm^{-1}; raies acétyléniques 2241 cm^{-1} (T. F.) et 2303 cm^{-1} (*m*).

Le composé (VI) accompagne aussi les acétals chlorés obtenus par action des alcoolates sur (II).

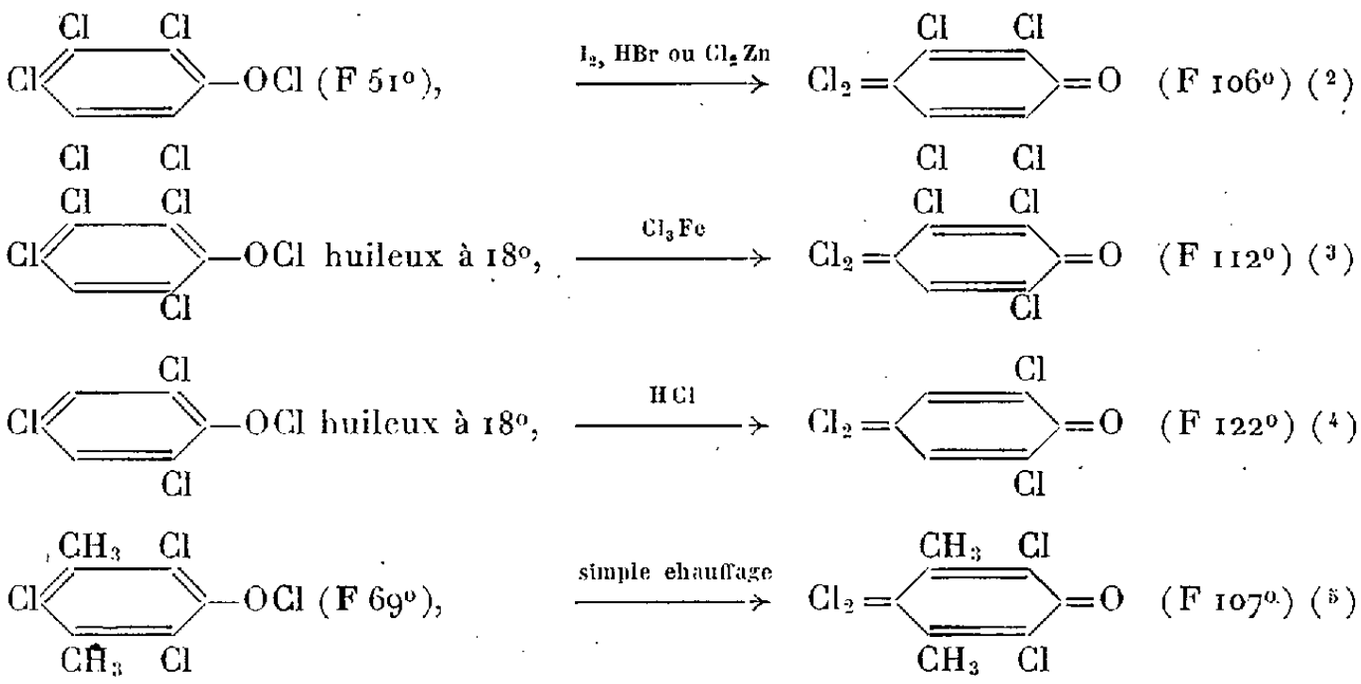
(3) R. Paul et Tchélitcheff, *Bull. Soc. Chim.*, **19**, 1952, p. 808.

CHIMIE ORGANIQUE. — *Hypochlorites d'aryle et chlorocyclohexadiène-*1.4 *ones-*3. Note de MM. **Léon Denivelle** et **Roland Fort**, présentée par M. Marcel Delépine.

Etude de l'isomérisation des hypochlorites d'aryle en chlorocyclohexadiénones. Mécanisme de la chloruration des phénols.

Les hypochlorites d'aryle, dont nous avons donné les modes de préparation et la description dans une Communication précédente (1), peuvent se transformer en leurs isomères paraquinoniques, les chlorocyclohexadiènes-1.4 ones-3, dont la structure est thermodynamiquement plus stable.

La transformation, qui se produit pour certains hypochlorites au cours du vieillissement, nécessite le plus souvent l'intervention de solvants polaires ou de catalyseurs tels que l'iode, les chlorures métalliques ou les hydracides halogénés :



Cette isomérisation permet d'accéder à des chlorocyclohexadiénones encore inconnues, comme la tétrachloro-2.4.6.6 méthyl-1 cyclohexadiène-1,4 one-3, qui n'a pu être préparée par perchloruration directe du méta-crésol (6).

---

(1) L. Denivelle et R. Fort, *Comptes rendus*, **235**, 1952, p. 1514.

(2) E. Barral, *Thèse*, Paris, 1895.

(3) G. Agnini et L. Casale, *Chim. Ind.*, 1951, p. 490-491.

(4) R. Benedikt, *Monatsheft*, 4, 1883, p. 233; Th. Zincke et C. Schaum, *Ber.*, **27**, 1894, p. 545; G. King et H. Mc Combie, *J. Chem. Soc.*, **103**, 1913, p. 225.

(5) K. Auwers, *Fortschr. Chem. Phys.*, **18**, 1924, p. 39-52; C. H. R. Elston, A. T. Peters et F. M. Rowe, *J. Chem. Soc.*, 1948, p. 367.

(6) R. von Walther et W. Zipper, *J. Prakt. Chem.*, (2), **91**, 1915, p. 373; E. Bures, *Chemicke Listy*, **21**, 1927, p. 221-227, 261-265.

Transposition de l'hypochlorite de trichloro-2.4.6 métacrésyle. — On maintient à 80° pendant une demi-heure, une solution de 24,6 g d'hypochlorite (0,1 mol-g) dans 25 cm³ d'acide acétique en présence de 0,5 g de chlorure ferrique anhydre. Après 24 h de repos, on sépare par filtration quelques cristaux jaune vif de trichlorotoluquinone et l'on précipite du filtrat la tétrachloro-2.4.6.6 méthyl-1 cyclohexadiène-1.4, one-3, par addition de méthanol. Après cristallisation de l'acide acétique à 60%, on obtient des cristaux incolores fondant à 87-88°.

Analyse. — Cl actif calculé pour $C_7H_4OCl_4$: 28,86%; trouvé 29,3%; Cl total calculé pour $C_7H_4OCl_4$: 57,72%; trouvé 57,63%.

Les chlorocyclohexadiénones, décrites jusqu'à maintenant dans la bibliographie, ont toutes été obtenues par chloruration poussée des phénols, et leur constitution a fait l'objet de nombreuses controverses (7). Comme on leur a donné parfois la structure d'hypochlorites d'aryle, que nous connaissons bien actuellement, nous avons repris l'étude de la perchloruration des phénols en nous plaçant exactement dans les conditions de travail signalées par les divers auteurs qui se sont occupés de ce problème. Nous avons constaté dans tous les cas, en chlorant tant en milieu aqueux qu'en milieu anhydre, la formation intermédiaire d'hypochlorites d'aryle que nous avons toujours réussi à isoler. Mais, conformément à ce que nous avons indiqué plus haut, ces hypochlorites s'isomérisent plus ou moins rapidement en cyclohexadiénones en cours d'opération et c'est la raison pour laquelle ils ont échappé aux divers investigateurs. Ceux-ci ont décrit des composés chlorés et oxygénés, isolés en fin de réaction, dont les propriétés sont bien celles des cyclohexadiènones.

Les propriétés physiques des chlorocyclohexadiénones les distinguent nettement des hypochlorites isomères; alors que ces derniers sont des corps jaunes à bas point de fusion, à odeur douçâtre, très solubles à froid dans les solvants organiques courants, les chlorocyclohexadiénones sont des corps incolores, à points de fusion nettement plus élevés, à odeur terpénique, difficilement solubles à froid dans le méthanol et l'acide acétique.

Par contre, les hypochlorites d'aryle et les chlorocyclohexadiénones se comportent de manière identique dans de nombreuses réactions chimiques; c'est ainsi qu'ils manifestent en présence de divers composés organiques, les mêmes propriétés chlorurantes et qu'ils sont les uns et les autres dosables par iodométrie en donnant naissance aux mêmes phénols chlorés :

(7) L. Hugounenq, *Bull. Soc. Chim.*, (3), 2, 1889, p. 806; Th. Zincke et C. Schaum, *loc. cit.*; W. M. Lauer, *J. Amer. Chem. Soc.*, 48, 1926, p. 442-451; C. H. R. Elston, A. T. Peters et F. M. Rowe, *loc. cit.*

CHIMIE ORGANIQUE. — *Sur quelques acides ortho-toluiques substitués et leurs esters méthyliques.* Note de M. **Daniel Peltier**, présentée par M. Marcel Delépine.

Dans le but d'étudier systématiquement l'influence de la nature et de la position du substituant sur la constante de dissociation des acides orthotoluiques substitués et sur la vitesse d'hydrolyse de leurs esters méthyliques, nous avons préparé les corps suivants, pour la plupart inconnus.

1° *Dérivés nitrés.* — Les acides nitro-3 méthyl-2 benzoïque et nitro-5 méthyl-2 benzoïque sont obtenus conjointement par nitration de l'acide orthotoluique par le procédé indiqué par A. Giacalone (1). Cet auteur extrait à l'eau bouillante une partie de l'acide nitro-5 ($C_8H_7O_4N$, F 179°) et sépare l'acide nitro-3 ($C_8H_7O_4N$, F 184°) par transformation du mélange résiduel (F 145°) en chlorures d'acides, cristallisation fractionnée des chlorures, et retour à l'acide par la soude. Nous avons réussi à isoler les deux acides nitrés à partir de leur mélange (F 145°) par précipitation fractionnée, avec un rendement presque quantitatif. La nitration de l'acide orthotoluique par le procédé indiqué conduit finalement à trois parties d'acides nitro-5 pour une partie d'acide nitro-3.

Le nitro-4 méthyl-2 benzonitrile ($C_8H_6O_2N_2$, F 100°) préparé par la méthode de S. Gabriel et A. Thieme (2) est transformé par l'acide sulfurique aux deux tiers, à 140°, en une heure et demie, en nitro-4 méthyl-2 benzamide ($C_8H_8O_3N_2$, F 167°) qui n'avait pas encore été isolé. La méthode de Bouveault à l'acide nitreux permet d'obtenir aisément l'acide nitro-4 méthyl-2 benzoïque ($C_8H_7O_4N$, F 153°) (2). Par chauffage de cet acide avec l'alcool méthylique légèrement sulfurique on obtient son ester méthylique ($C_9H_9O_4N$, F 76°) inconnu à ce jour.

L'ester méthylique de l'acide nitro-6 méthyl-2 benzoïque, préparé par Gabriel et Thieme (2) par l'intermédiaire du chlorure d'acide, s'obtient avec un meilleur rendement par action de sulfate neutre de méthyle sur la solution sodique de l'acide correspondant ($C_9H_9O_4N$, F 50°).

2° *Dérivés aminés.* — Les acides ortho-toluiques substitués dans les positions 3, 4 et 5, par un groupement NH_2 ont été préparés par Jacobsen (3), (4) par réduction des acides nitrés correspondants par le zinc et l'acide chlorhydrique. Nous avons préféré utiliser la réduction par un courant d'acide sulfhydrique des solutions ammoniacales tièdes de ces dérivés nitrés, ce qui

(1) *Gazz. Chem. Ital.*, 65, 1935, p. 840-844.
(2) *Ber. d. Chem. Gesells.*, **52**, 1919, p. 1079-1092.
(3) O. Jacobsen et F. Wierss, *Ber. d. Chem. Gesells.*, **16**, 1883, p. 1959.
(4) O. Jacobsen, *Ber. d. Chem. Gesells.*, **17**, 1884, p. 164.

évite l'élimination laborieuse des sels de zinc; les rendements sont excellents.

L'acide amino-3 méthyl-2 benzoïque ($C_8H_9O_2N$) fond à 187°. Jacobsen (3), (4) donne F 191°, mais la pureté de son produit est douteuse puisqu'il l'obtient par réduction du mélange (F 145°), déjà cité, des acides nitro-3 et nitro-5 où prédomine l'acide nitro-5. Il semble plutôt que le corps (F 191°) de Jacobsen soit l'acide amino-5 impur, cet acide ($C_8H_9O_2N$) fondant à 196° [Jacobsen (3), (4), Teppema (5)].

L'acide amino-4 méthyl-2 benzoïque ($C_8H_9O_2N$) fond à 165° (4). La réduction par l'acide sulfhydrique gazeux de la solution alcoolique ammoniacale de l'ester méthylique de l'acide nitro-4 conduit à l'ester méthylique de l'acide amino-4 méthyl-2 benzoïque ($C_9H_{11}O_2N$, F 70°) qui n'avait pas été préparé.

L'acide amino-6 méthyl-2 benzoïque ($C_8H_9O_2N$) préparé par la méthode de Gabriel et Thieme (2) fond, non à 125-126° comme l'indiquent ces auteurs, mais à 128° (6). L'ester méthylique, non encore signalé, de cet acide s'obtient par réduction de l'ester nitré correspondant au chlorure stanneux; c'est une huile incolore qui cristallise très difficilement ($C_9H_{11}O_2N$, F 15°5).

3° *Dérivés acétaminés.* — Aucun des dérivés acétaminés n'était connu jusqu'à présent. Nous avons préparé : l'acide acétamino-3 méthyl-2 benzoïque ($C_{10}H_{11}O_3N$, F 213°), l'acide acétamino-4 méthyl-2 benzoïque ($C_{10}H_{11}O_3N$, F 247°), l'acide acétamino-5 méthyl-2 benzoïque ($C_{10}H_{11}O_3N$, F 223°), l'acide acétamino-6 méthyl-2 benzoïque ($C_{10}H_{11}O_3N$, F 189°), tous par action de l'anhydride acétique au bain-marie sur les acides aminés correspondants.

De la même façon, à partir de l'ester amino-6, on obtient l'ester méthylique de l'acide acétamino-6 méthyl-2 benzoïque ($C_{11}H_{13}O_3N$, F 80°).

4° *Dérivés cyanés.* — La méthode au cyanure cuivreux, appliquée aux acides aminés correspondants, nous a conduit aux acides cyanés suivants, tous inconnus à ce jour : acide cyano-3 méthyl-2 benzoïque ($C_9H_7O_2N$, F 209°) acide cyano-4 méthyl-2 benzoïque ($C_9H_7O_2N$, F 195°), acide cyano-5 méthyl-2 benzoïque ($C_9H_7O_2N$, F 149°). Par contre, les différents essais que nous avons tentés pour obtenir de la même façon l'acide cyano-6 nous ont toujours conduit à un acide fondant à 173° que nous avons identifié à l'acide hydroxy-6 méthyl-2 benzoïque ($C_8H_8O_3$), préparé comme l'indiquent F. Mayer et R. Schulze (6) encore que le point de fusion signalé par ces auteurs (F 168°) semble devoir être plus élevé.

L'action de l'alcool méthylique légèrement sulfurique sur les acides cyano-4 et cyano-5 conduit respectivement à l'ester méthylique de l'acide cyano-4 méthyl-2 benzoïque ($C_{10}H_9O_2N$, F 91°) et à l'ester méthylique de l'acide cyano-5 méthyl-2 benzoïque ($C_{10}H_9O_2N$, F 45°).

La méthode au cyanure cuivreux, appliquée à l'ester amino-6, fournit,

(5) J. Teppema, *Rec. d. Trav. Chem. d. Pays-Bas*, **42**, 1923, p. 44.

(6) F. Mayer et R. Schulze, *Ber. d. Chem. Gesells.*, 58, 1925, p. 1467.

avec un rendement très faible, l'ester méthylique de l'acide cyano-6 méthyl-2 benzoïque ($C_{10}H_9O_2N$) très difficile à purifier. Après sublimation, F 42°.

Nous continuons nos recherches en préparant les dérivés encore manquants dans les séries étudiées ici, puis les dérivés à groupement substituant halogène, hydroxy, méthoxy ou éthoxy.

MINÉRALOGIE. — *Étude minéralogique de quelques argiles dévoniennes de l'Uruguay central.* Note de Mlle **Simonne Caillère** et M. **Juan Goñi**, transmise par M. Charles Mauguin.

Par l'intermédiaire de M. Tosi (1), nous avons eu à notre disposition dix échantillons d'argile provenant de Blanquillos, Saint-Ramon de Cañas, Sarandi del Yi, de la section 6 et de la section 13 dans le département de Durazno (Uruguay central). Ils appartiennent à la transgression marine du Dévonien inférieur, probablement à l'horizon de base gréseux et feldspathique.

L'étude de ces matériaux comporte l'identification des fractions phylliteuses ainsi que l'examen des sables.

La phyllite a pu être déterminée directement sur les échantillons initiaux, grâce aux courbes thermiques différentielles obtenues à l'aide du dispositif Saladin-Le Chatelier, en utilisant, pour le chauffage, un four Chévenard à cycle thermique imposé (2).

Toutes les courbes présentent les mêmes accidents. Elles ne mettent en évidence, en dehors du départ de l'eau hygroscopique, qu'un crochet endothermique vers 500° et un exothermique vers 950°. Ces deux inflexions caractérisent nettement la kaolinite. Si les courbes thermiques montrent que la phyllite est de même nature, dans tous les prélèvements, elles mettent en évidence une variation notable de la teneur en constituant phylliteux. C'est ainsi que l'argile de la section 6 apparaît comme une kaolinite presque pure, tandis que l'échantillon n° 10 de la section 13 n'en renferme que très peu.

La quantité de silicate argileux a été précisée à l'aide des courbes thermopondérales. Les pertes de poids subies entre 450 et 700° étant attribuées à la déshydratation de la phyllite. Ci-après sont réunies, pour chaque échantillon, les pertes d'eau de constitution, la teneur en phyllite et la valeur du pH.

---

(1) Professeur à l'Université de Montevideo.

(2) J. Goni, Résumé des communications du XIXe *Congrès géologique international*, Alger, 1952, p. 166.

		Phyllite		
N°s	Provenances.	eau % entre 450 et 700°.	% kaolinite.	pH.
1.....	Blanquillos	6,8	48,2	6,1
2.....	»	9,2	67	6,2
3.....	»	7	51,5	7,2
4.....	Saint-Ramon de Cañas	7,2	52,8	6,8
5.....	»	9,4	67,1	6,4
6.....	Sarandi del Yi	8,2	60	6,6
7.....	»	9,6	70	6,7
8.....	Section 6	12,8	91,4	6,2
9.....	Section 13	12,2	90	6,2
10.....	»	0,6	10	6,4

Étant donnée l'analogie du constituant phylliteux, nous avons cherché à établir des différences d'après la nature minéralogique des sables.

Dans chaque échantillon, la fraction sableuse supérieure à 20 μ a été isolée par sédimentation. Les lots grossiers ainsi recueillis sont formés de minéraux transparents et de couleur claire. Ils ont été utilisés pour confectionner des préparations qui ont été examinées au microscope polarisant en lumière transmise. Les caractères optiques ont permis d'identifier leurs constituants.

D'après la composition minéralogique, on peut distinguer deux types de sables : les uns essentiellement quartzeux comme ceux provenant des argiles des sections 13 et 6, ainsi que celui du n° 7 de Sarandi del Yi. Les six autres sont à zircon avec ou sans tourmaline. Les minéraux accessoires sont peu nombreux, sauf dans le n° 13 où l'on rencontre la staurotide, la fluorine, l'apatite et la sillimanite.

Les minéraux lourds, zircon et tourmaline, se présentent en cristaux dont les arêtes sont émoussées, tandis que le quartz forme des fragments anguleux. L'étude microscopique indique encore que la granulométrie des sables est assez régulière. Sept d'entre eux sont essentiellement formés d'éléments de taille moyenne (0,06 mm); cependant, le sable de l'échantillon n° 1 est très fin (0,02 mm), tandis que celui du n° 2 est grossier (0,1 mm).

Les éléments détritiques d'un même gisement présentent donc des différences, soit de taille comme à Blanquillos, soit de composition comme à Sarandi del Yi, ce qui traduit des perturbations locales au cours du dépôt.

En résumé, les argiles du Dévonien inférieur de la région de Durazno sont caractérisées par une grande uniformité de leurs constituants phylliteux : la kaolinite.

La nature des éléments détritiques associés à l'argile, quartz, zircon et tourmaline, révèle que cette formation provient essentiellement de la

destruction de roches éruptives acides; la participation de roches métamorphiques ne peut être soupçonnée que dans le gîte de Blanquillos (n° 3).

Les roches-mères de ces argiles ont subi une altération chimique et mécanique. La première a affecté les feldspaths qui ont donné naissance à la kaolinite, tandis que, seule, la seconde s'est exercée sur le quartz et les minéraux lourds. Le quartz peu résistant a probablement été brisé et il se présente en fragments anguleux, tandis que les seconds ont conservé leurs formes cristallines initiales en subissant une modification de leurs arêtes.

Si l'agent principal de l'altération mécanique paraît bien avoir été le milieu marin, il est plus difficile de lui attribuer la formation de l'argile kaolinique (3). Il semble plus probable d'admettre que les poches d'argile du Dévonien inférieur de l'Uruguay se sont formées postérieurement au dépôt, par l'altération *in situ* des feldspaths. Cette décomposition a sans doute été possible par l'existence d'une nappe d'eau maintenue dans les pores du grès, grâce à la présence au toit de celui-ci, d'une puissante couche de nature argileuse.

GÉOLOGIE. — *Utilisation possible des Polypiers pour la stratigraphie du Malm jurassien.* Note de M. **Marcel Pelletier**, transmise par M. Charles Jacob.

Des recherches récentes ont montré que les Polypiers, correctement déterminés, pouvaient être utilisés comme indices de zone dans le Malm jurassien. La découverte de quelques Ammonites fait prévoir une synchronisation avec l'échelle classique.

Depuis les recherches de l'Abbé Bourgeat sur les formations coralligènes du Jura méridional, on sait que les faciès à Polypiers et les formations oolithiques associées paraissent se déplacer régulièrement du Nord-Ouest au Sud-Est, à mesure qu'on s'élève dans le Jurassique supérieur. C'est ainsi que les récifs atteignent leur apogée au sommet de l'Argovien et au Rauracien dans le Jura franc-comtois, au Séquanien supérieur-Kimmeridgien inférieur à Valfin, au Kimmeridgien supérieur dans le département de l'Ain, au Portlandien inférieur au Salève et, enfin, au Portlandien supérieur dans la région de l'Échaillon. Mais l'Abbé Bourgeat s'est occupé uniquement des faciès coralligènes et s'est contenté de donner en vrac une liste des espèces de Polypiers provenant des diverses lentilles oolithiques de la région de Valfin. Il était permis de penser, à la suite de ses

(3) G. Millot, *Relation entre la constitution et la genèse des roches sédimentaires argileuses* (*Thèse*, Nancy, 1949, p. 332).

travaux, que l'on pouvait trouver les mêmes espèces à tous les niveaux; de là, vient, sans aucun doute, le discrédit porté par les géologues sur la valeur stratigraphique de ce groupe d'Invertébrés.

Nos recherches, conformément aux vues de J. Alloiteau déduites de ses remarquables résultats sur les Zoanthaires du Crétacé, nous ont montré que les Polypiers, bien déterminés, étaient d'excellents fossiles de zone. Nous avons déjà pu établir une échelle stratigraphique pour le Bajocien (1) et le Bathonien. Il en est de même maintenant pour le Jurassique supérieur, où les lentilles récifales superposées, dans une même localité, renferment des espèces différentes, utilisables localement comme indices de zone. De plus, dans les divers gisements jurassiens qui s'échelonnent dans le temps et dans l'espace, les espèces sont également différentes et, étant donné leur grande répartition, j'ai tenté d'établir une première échelle stratigraphique générale fondée sur les Polypiers.

Parmi les espèces caractéristiques, nous retiendrons, dès maintenant :

1° dans le Rauracien (terrain à chailles) : *Stylina girodi* Et., *St. tubulifera* Phill., *Comoseris irradians* M. E. et J. H., *Dermosmilia divergens* Koby, *Thecosmilia annularis* M. E. et J. H., *Clausastræa parva* M. E et J. H., etc.;

2° dans le Séquanien : *Convexastrea minima* Et., *Stylina tenax* Et., *St. stellata* Et., *Complexastrea rustica* Defr., *Montlivaultia alsatica* de Fr. et Ferry, *Thecosmilia magna* Thurm., etc.;

3° dans le Ptérocérien : *Phytogyra magnifica* d'Orb., *Thecosmilia maxima* Koby, *Diplocœnia cæspitosa* Et., *Dipl. lobata* Et., *Stylina valfinensis* Et., *St. excelsa* Et., *Microphyllia contejani* Et., *Calamophyllia étaloni* Koby, etc.;

4° dans le Virgulien : *Latomeandra plicata* Goldf.. *Microphyllia sœmmeringii* Goldf., *Actinaræa granulata* Münst., *Ovalastrea caryophylloides* Goldf., *Stylosmilia suevica* Beck., etc.

Ainsi, beaucoup d'espèces de Polypiers ont une évolution rapide au cours du Jurassique supérieur et peuvent servir à caractériser des niveaux définis du Malm. Toutefois, de nouvelles études paléontologiques s'imposent, car les déterminations basées uniquement sur les caractères morphologiques s'avèrent insuffisantes; seuls, les caractères tirés de la microstructure fournissent des critères sûrs (2).

Enfin, il paraît possible de synchroniser l'échelle stratigraphique des Polypiers avec l'échelle classique des Ammonites, car on en a découvert quelques-unes, d'une part dans les calcaires oolithiques associés aux récifs, d'autre part dans les couches marno-calcaires qui encadrent les lentilles récifales. C'est ainsi que, dans le Jura franc-comtois, les faciès coralligènes appartiennent aux zones à *Peltoceras transversarium* (Argovien)

(1) *Bull. Soc. géol. France*, 6e série, **1**, 1951, p. 221-232, pl. VII.

(2) Dans la liste ci-dessus, seuls ont été mentionnés des génotypes dont la détermination est certaine.

et à *P. bimammatum* (Rauracien). Dans la région de Saint-Claude, on trouve des *Perisphinctes* du gr. *lothari* dans les calcaires oolithiques associés aux récifs, ce qui indiquerait que le maximum de développement de ces derniers se situerait au Séquanien supérieur et au Kimméridgien inférieur. Dans la région de Saint-Germain de Joux, deux masses récifales principales sont séparées par des calcaires marneux renfermant des *Perisphinctes* de la zone à *Streblites tenuilobatus*. Enfin, à l'Échantillon, les Ammonites récoltées dans les calcaires oolithiques sont du Portlandien supérieur.

GÉOLOGIE. — *Le soulèvement du Djebel Mansourah (département de Constantine).* Note de M. **André Caire**, transmise par M. Pierre Pruvost.

Le Djebel Mansourah est un important chaînon des Monts du Hodna *s. l.*, qui s'allonge d'Ouest en Est entre le méridien des Portes de Fer et la route de Bordj-bou-Arréridj, à Msila. Il est constitué en majeure partie de Burdigalien (1) discordant sur une série crétacée monoclinale à plongement Sud. Le Burdigalien, formé d'une alternance de marnes et de puissants bancs gréseux, est ployé en un large bombement compliqué de flexures et de failles. Certains de ces accidents s'ordonnent dans une direction approximativement E-W, d'autres sont franchement obliques à l'axe du bombement et témoignent de structures anciennes. Cependant, ces accidents ne rompent pas l'unité de structure du massif.

Celui-ci est recouvert sur une grande partie de sa bordure septentrionale par les nappes de glissement de la zone sub-bibanique (2). Près de Mansourah-les-Biban, le contact du Miocène autochtone avec les unités de recouvrement se fait par faille verticale. J'ai admis (3) que l'évolution tectonique du Djebel Mansourah était comparable à celle du bombement Dj. Choukchot-Forêt de Batite : peut-être ébauché lors du glissement des unités de recouvrement inférieures A et B (2), le soulèvement des deux massifs ne s'est achevé qu'après la mise en place de ces unités, ces dernières ayant d'ailleurs pu se remettre en marche sous l'effet des déformations de l'autochtone (4).

Il faut rappeler qu'après leur décollement, les nappes de glissement

---

(1) L. Glangeaud, A. Aymé, A. Caire, M. Mattauer et P. Muraour, XIXe *Congrès géologique international*, *Mon. rég.*, 1re série, n° 25, 1952, p. 96.

(2) A. Caire, *Bull. Soc. Géol. Fr.* (6), 1, 1951, p. 721.

(3) *Bull. Serv. Carte géol. Algérie* : « *Travaux récents des collaborateurs* », fasc. III, 1952, p. 17.

(4) Les unités A et B se résolvent elles-mêmes en de multiples écailles qui seront décrites dans : Les unités tectoniques de la zone sub-bibanique, *Soc. Hist. Nat. Doubs*, 56, 1952.

s'étaient empilées dans la partie méridionale de la zone sub-bibanique et s'étaient étalées plus ou moins loin vers le Sud. Lors du glissement de l'unité C (Medjanien) dont les lambeaux sont actuellement cantonnés dans la zone sub-bibanique, la partie Nord occidentale des Monts du Hodna devait jouer le rôle de seuil tectonique. Des masses de sédiments plastiques ont pu déborder le seuil et progresser sur leur avant-pays, recouvrant un talus dont la topographie de détail reste à préciser, mais qui, dans son ensemble, s'inclinait vers le Hodna. Par la suite, le seuil s'est accentué; les divers chaînons occidentaux des Monts du Hodna se sont progressivement soulevés; leur couverture allochtone a glissé dans les dépressions tectoniques et l'on observe actuellement, entre certains de ces chaînons, des klippes qui doivent être rattachées aux nappes de glissement de la zone sub-bibanique.

Les beaux travaux des géologues de la S.N.R.E.P.A.L. ont permis de découvrir une nouvelle unité de recouvrement affleurant entre le barrage de l'Oued Ksob et Msila (5). Il est permis d'admettre, avec les auteurs de la découverte, que cette unité est un lambeau des nappes de glissement sud-telliennes. Vient-elle de la région des Monts du Hodna ou de la zone sub-bibanique ? Il est encore difficile de répondre. Mais il faut noter que ces nappes descendent, au Sud-Est de Si-Aïssa, jusqu'à la latitude du barrage de l'Oued Ksob. On peut donc considérer la partie occidentale des Monts du Hodna comme une demi-fenêtre. Le soulèvement du Djebel Mansourah et des Monts du Hodna est en partie contemporain de la mise en place des nappes sud-telliennes, mais il a certainement pris fin après la phase de glissement généralisé qui caractérise la partie méridionale du Tell, au Nord du Hodna.

GÉOLOGIE. — *Sur quelques points de la stratigraphie et de la structure de l'Anthracolithique dans la zone maritime du Nord Vietnam.* Note de M. **Edmond Saurin**, transmise par M. Charles Jacob.

Si l'on excepte la mention de calcaires ouraliens à *Pseudostaffela quadrata* découverts par E. Patte aux abords de la Cat-Ba (1), aucun repère paléontologique précis n'a jusqu'ici été signalé dans les îles calcaires des baies d'Along et de Faï-Si-Long et dans les collines analogues situées sur le rivage. La présence de Fusulines y a bien été citée (2), mais celles-ci n'ont jamais été déterminées ni localisées. Mes recherches actuelles apportent quelques précisions à ce sujet.

---

(5) S. N. Repal, XIXe *Congrès géologique international. Livret guide des excursions* A 14 et C 13, 1952, p. 25-27 et 33.

(1) E. Patte, *Bull. Serv. Géol. Indochine*, 16, I, Hanoï, 1927.

(2) J. Deprat, *Comptes rendus*, 165, 1917, p. 638; F. Blondel, *Bull. du Bureau d'Études Géol. et Min. coloniales*, Paris, 1933, p. 108.

Dans le groupe des Iles Norway, celle qui porte le phare est formée de calcaires à Polypiers et de calcaires à *Millerella* sp., *Pseudostaffela* sp., *Nankinella* sp. Le premier de ces genres de Fusulinidés, non encore signalé en Indochine, se trouve du Moscovien supérieur à l'Ouralien supérieur; le dernier a une grande extension (de l'Ouralien inférieur au Permien moyen); mais le second paraît cantonné dans l'Ouralien moyen, à quoi peuvent donc se rapporter les calcaires précités.

A 4 km à l'Ouest des Mines de Campha, la colline calcaire, située à la bordure Nord de la route n° 18 et dernier témoin oriental de la masse du Déo But, montre des bancs qui, plongeant vers le Nord, s'enfoncent sous le Mésozoïque à charbon. Les bancs inférieurs contiennent : *Schuchertella Giraudi*, *S. minima*, *Triticites parvulus*, *T. minimus*, *Rugofusulina prisca*, *Pseudofusulina alpina*, *Schwagerina tschernyschewi*, *Pseudoschwagerina* (*Zellia*) *herritschi*. Il s'agit donc du niveau à *Zellia*, placé dans le Permien nférieur. Au-dessus, les Pseudoschwagerines disparaissent et l'on trouve *S. tchernyschewi*, *Triticites truncatus*. Les bancs terminaux enfin, au contact des conglomérats noriens renferment *Quasifusulina longissima* var. *compacta*.

Le rocher de Hongay est formé de calcaires contenant, avec des Gastropodes, Brachiopodes et Bryozoaires, des Foraminifères appartenant aux genres *Glomospira*, *Padangia*, *Geinitzina*. Mais un banc assez réduit, charbonneux, à Fusulinidés, s'intercale vers la base de cette masse et contient presque exclusivement *Staffela inflata*, caractéristique du Permien moyen et supérieur.

L'existence de dépôts « gréseux » permiens à *Productus graciosus*, entre les calcaires anthracolithiques et les terrains à charbon, a été signalée à Hongay, dès 1917 par J. Deprat (3). Les fossiles en provenant ont été décrits par Mlle Colani (4) qui, sans plus de précision, concluait, à leur âge « ouralopermien ». En fait, ces « grès » ne sont qu'un faciès de décomposition de phtanites, couches siliceuses, supérieures aux calcaires de la Baie d'Along, qui surmontent, à Hongay même, le Permien calcaire à *Staffela inflata* et appartiennent au Permien supérieur. Elles sont bien développées à Hongay et dans l'Ile aux Buissons. Sur tout le littoral Sud de cette dernière, on observe en effet, des phtanites fins, gris clairs, parfois altérés et prenant alors le faciès gréseux. Formés de grains très fins de silice, de silice amorphe et de matière charbonneuse, ils sont parfois entièrement constitués de spicules d'Éponges et contiennent, en outre, des restes de Bryozoaires, d'Oursins, de Crinoïdes et de rares Gastropodes (*Trochonema* sp.).

---

(3) J. Deprat, *loc. cit.*

(4) *Bull. Serv. Géol. Indochine*, 6, V, Hanoï, 1919.

A l'Est de la baie de Port Courbet, à Hongay, ces phtanites, les couches décomposées fossilifères mentionnées par Deprat, se suivent au pied du rocher de Hongay et sur le mamelon de l'hôpital; ils y contiennent des Foraminifères (*Nodosinella* sp.), puis disparaissent peu à l'Est sous les grès à charbon. On les retrouve près de Campha Mines à l'état de débris entre calcaires du Permien inférieur et conglomérats triasiques et également à l'état de fragments emballés dans la brèche calcaire visible à ce contact. Ces phtanites, généralement lités en petits bancs, mais hachés de cassures et de plans de schistosité subverticaux sont dirigés Nord-Est, ils plongent vers le Nord-Ouest. Ils sont donc concordants avec les calcaires anthracolithiques qu'ils surmontent et dont témoigne à leur abord le rocher de Hongay. Mais ils sont toutefois moins inclinés que les bancs calcaires et leurs nombreuses cassures montrent qu'ils se sont comportés d'une façon plus rigide lors des mouvements qui ont plissé l'ensemble. Ces mouvements ont amené à la colline du kilomètre 4 de Campha, la déformation de brèches calcaires tectoniques avec débris de phtanites et l'affaissement probable, par faille, du niveau à *Staffela inflata*, qui, là, n'affleure pas. Ces phtanites sont surmontés en discordance par les grès et conglomérats du Norien.

Dans l'Ile aux Buissons, on peut observer, notamment sous la grande caserne qui domine Va Chaï, que ce contact se fait là par l'intermédiaire d'une couche de minerai de fer, intercalée entre phtanites à tiges de Crinoïdes et conglomérats triasiques. Ce fer, oligiste et limonite, tenant de 34 à 80 % de Fe_2O_3, contient aussi de 6 à 12 % d'alumine, c'est donc un fer bauxitique témoignant d'une surface d'émersion. Et l'on relève ainsi l'analogie stratigraphique avec la région de Langson où des phtanites permiens à Foraminifères et spicules d'Éponges surmontent des calcaires du Permien inférieur (5) et où les bauxites représentent un équivalent du fer de l'Ile aux Buissons.

On peut en déduire la constance du niveau siliceux terminal du Permien dans l'Est du Tonkin ainsi que la généralité d'une émersion post-permienne ayant suivi des mouvements post-permiens et anté-noriens, mouvements qui, par endroits, ont pu rejouer au Norien.

GÉOGRAPHIE PHYSIQUE. — *Dépôt actuel de varves lacustres en Normandie.* Note de M. **André Journaux**, présentée par M. Emmanuel de Margerie.

L'Électricité de France a procédé cette année à la vérification de deux barrages situés sur la Sélune, à la Roche-qui-Boit et à Vézins (10 km au

(5) E. Saurin, *C. R. Somm. Soc. Géol.*, Paris, 1949.

Sud-Est d'Avranches). Ces deux réservoirs mis en eau en 1920 et 1932 ont été vidés pour la première fois en 1952, ce qui nous a permis d'y étudier la sédimentation.

La Sélune a un bassin-versant de 725 km², établi principalement dans les Phyllades de Saint-Lô (Briovérien), métamorphisées ou non, et dans le granite. Le débit moyen naturel a été de 11 m³ sec pour la période 1920-1942 (¹). Le réservoir de Vézins, le plus important, a 14 km de long, une capacité totale de 19 millions de mètres cubes, et une hauteur d'eau maximum de 31 m. C'est dans les environs du barrage qu'il nous a été donné d'observer de très belles varves dans la vase déposée sur les versants ayant une pente de 40°, et sur le fond. L'épaisseur de la couche de vase varie de 1 à 30 cm suivant la pente et la topographie antérieure au remplissage, le maximum étant atteint dans les anciens chemins creux et à l'abri de contre-pentes. L'épaisseur de la vase est facile à mesurer, car elle repose sur le tapis végétal de 1932 non encore disparu ou sur des dalles de pierre.

La stratification est, généralement, la suivante : deux échantillons prélevés près du lit de la rivière à 50 m du barrage ont montré chacun 20 varves, correspondant aux 20 années, d'une épaisseur totale de 68,4 et 82,5 mm. Les varves sont donc annuelles. Chacune d'elles est composée d'un lit clair et d'un lit foncé, ce dernier montrant à la base une concentration en fer importante. Les sédiments des lits clairs sont formés d'éléments organiques et minéraux un peu plus grossiers que les fines argiles humifères et ferruginisées des lits foncés. L'analyse chimique est en cours.

En portant sur un graphique en abscisse le temps, et en ordonnée l'épaisseur de chaque lit, les courbes obtenues montrent une série en dents de scie parfaitement concordantes entre plusieurs échantillons. Nous avons voulu comparer ces variations avec celles des pluies dans la région, grâce aux relevés opérés chaque jour au barrage depuis sa construction (²). Nous avons porté en ordonnée le total des pluies de chaque année (du 1er mars à la fin de février, afin de comprendre en entier la saison pluvieuse), et l'épaisseur totale de chaque varve : les variations des deux courbes sont rigoureusement parallèles pour l'échantillon le mieux situé (dans l'axe de la vallée, sur un replat horizontal, à l'abri de toute perturbation dans la sédimentation).

La formation des varves est assez localisée. En remontant les pentes,

---

(¹) D'après l'*Atlas hydroélectrique de France*, édit. Chambre Syndicale des Forces hydrauliques, Paris.

(²) D'après les relevés faits au barrage de Vézins par la Société des Forces Motrices de la Sélune, puis l'E. D. F.

elles disparaissent rapidement vers la cote — 12 m (par rapport au niveau moyen du réservoir), et elles font place à une vase homogène contenant de nombreux débris végétaux. Il semble donc qu'une profondeur de 12 m au moins soit nécessaire pour faire apparaître la stratification varvée.

En remontant le cours de la Sélune, près des ponts des Biards, ce minimum est à peine atteint dans l'axe de la vallée : aussi n'y a-t-il aucune varve sur les versants, et seulement un début de stratification sur le fond recouvert par 30 cm de vase noirâtre, où se distinguent quelques nodules ferrugineux en voie de formation.

Quant au second réservoir, le plus ancien, celui de la Roche-qui-Boit, la hauteur d'eau n'atteint que 11 m au maximum : il n'y a aucune varve.

En conclusion, la formation actuelle en Normandie de varves annuelles, qui ont pu être très exactement datées et mesurées, pose à nouveau le problème de leurs relations avec l'origine de certains sédiments. Après une étude sur les varves récentes du lac de Genève et les varves anciennes et tillites de Cobalt et de Squantum, Léon W. Collet affirmait : « La présence de varves indiscutables peut grandement faciliter la solution du problème de l'origine glaciaire de certains conglomérats même en l'absence de cailloux striés et de bedrock cannelé ou strié ». Pour cet auteur, les varves actuelles ne pouvaient qu'être liées à des fleuves à régime glaciaire. Cependant, W. H. Bradley (4) a étudié des argiles laminées d'âge éocène dans le bassin du Wyoming, aux États-Unis; et des cas semblables ne sont pas rares dans les fossés de la Limagne (L. Dangeard), de la Bresse (J. Goguel), ou de l'Alsace (M. Gignoux et C. Hoffmann) : preuve que l'alternance des lits n'est pas liée à un climat particulier. Malgré tout, les varves lacustres régulières sont rapportées par les auteurs à une origine glaciaire. W. A. Johnston (5) précise que les sédiments fins doivent rester en suspension tout au long du printemps et de l'été avant de se déposer et que seules les différences de densité permettent la diffusion sur toute la surface du lac de l'eau du tributaire plus légère que l'eau du lac. Il en conclut que, généralement, seule la proximité d'un glacier favorise la réunion de ces conditions.

Or, on peut affirmer, d'une part, que de véritables varves peuvent se déposer actuellement, sans aucune liaison avec des glaciers ou des rivières à régime glaciaire. D'autre part, il s'agit bien de varves litées, litage direct, au sens de M. Bourcart (6), dû au mécanisme même de la sédimentation,

---

(3) *C. R. Congrès Int. de Géogr.*, Paris, 1931, p. 374-377.

(4) *U. S. Geol. Survey, Prof. Papers*, 158, 1929, p. 87-110.

(5) *Am. Journal Sci.*, 4, 1922, (5), p. 391.

(6) *C. R. somm. Soc. Géol. Fr.*, 1944, p. 75-77.

avec non pas interruption totale de celle-ci, mais influence des variations granulométriques, dont les différences de densité des eaux peuvent rendre compte en partie, et des pressions exercées sur des fonds supérieurs à 12 m.

GÉOGRAPHIE PHYSIQUE. — *Influence du sens des circulations aquifères sur le creusement des avens des Plans de Canjuers* (*Var*). Note (*) de M. **Philippe Renault**, transmise par M. Pierre Pruvost.

Rôle primordial des crues et du relèvement de la surface aquifère dans le creusement des avens de corrosion et d'érosion. Rôle de l'érosion remontante dans les avens d'érosion. Fonctionnement hydrologique du polje.

Dans une Note précédente (1) nous avons distingué des avens d'érosion et des avens de corrosion sur les Plans de Canjuers (Var). Une observation nouvelle nous permet de compléter la théorie de Cvijic (2) sur l'importance des mouvements aquifères verticaux dans le sous-sol des poljes.

1° Dans les *avens de corrosion*, dus aux oscillations lentes de la surface aquifère, le creusement principal s'est effectué lors des fortes précipitations déterminant les crues souterraines. L'eau acide venue de la surface possède alors une agressivité importante. Au stade de décrue, l'eau saturée de bicarbonates dépose les résidus argileux de décalcification.

2° Dans les *avens d'érosion*, le creusement mécanique s'effectue également lors des crues. Nous avons noté au Grand Aven de Canjuers, à — 90 m et à — 250 m, des « vagues d'érosion » indiquant une *érosion remontante*. Cette dernière a effectué les principaux creusements mécaniques. L'érosion descendante se marque uniquement par quelques surcreusements et marmites de géant locales.

Le fonctionnement de certaines résurgences remontantes (3) avait déjà montré l'existence de ce mécanisme. Mais, jusqu'ici, on n'avait pu suivre par les marques de striage la marche remontante des eaux dans le sous-sol d'un polje.

Il s'agit là d'un processus difficile à concevoir pour qui a été nourri de la conception classique de l'aven évacuant sous terre le ruissellement aérien du bassin fermé. Il faut considérer le pouvoir absorbant de la bordure du polje de Canjuers. Latéralement, de belles dolines en baquet s'observent 200 et 400 m au-dessus du fond de la dépression. Les avens de corrosion connus s'échelonnent sur 50 m au-dessus de l'unique aven d'éro-

---

(*) Séance du 10 décembre 1952.

(1) *Comptes rendus*, 235, 1952, p. 1519.

(2) *Trav. Inst. Géogr. Alpine* (Grenoble), 6, 1918, p. 376.

(3) A. Bourgin, *Ann. Spéléo.*, 1, 1946, p. 31-42 et P. Ageron, *Bull. Com. Nat. Spéléo.*, 1, 1951, n° 4, p. 62-65.

sion. En outre, les premières galeries horizontales d'écoulement se rencontrent à la profondeur de 250 m. Il est facile de voir que, sur la bordure du plan, le ruissellement rapidement souterrain alimentera d'abord le réseau d'évacuation profond. La résurgence étant rapidement engorgée, l'eau viendra ressortir au point le plus bas du polje. L'importance des charges latérales explique la rapidité de l'eau impliquée par la vitesse d'écoulement nécessaire au striage. Dans les élargissements, l'écoulement sera moins rapide, mais les coups de béliers et oscillations en masse détermineront des effondrements. En surface, les eaux s'épancheront amenant la formation d'un lac temporaire. A la décrue, les charges étant plus faibles, l'érosion sera moins importante.

En développant cette théorie, on peut se demander si le creusement d'un polje exige une résurgence importante. A titre d'hypothèse, nous admettrons que sous-jacent au réseau de circulation en galerie, un réseau de fentes alimente les résurgences de bordure d'un débit plus faible que les possibilités d'absorption du polje. Ces résurgences se développeront si l'alimentation et la structure le permettent. En attendant, elles évacueront lentement les réserves accumulées lors des crues, le creusement principal s'effectuant sous le polje lors des mises en charge.

Cette théorie complique le schéma de la rivière souterraine tel qu'il a été défini par Martel. La rivière souterraine analogue à la rivière aérienne se rencontre dans les « percées hydrogéologiques » réunissant une perte alimentée par un cours allochtone et une résurgence. L'exsurgence (Fournier) constitue un type mixte où la rivière souterraine est alimentée par un réseau de fentes amont. L'hydrographie du polje est encore plus complexe. Sous le polje, à l'amont du réseau karstique, le réseau de fentes a été transformé en réseau d'écoulement fonctionnant *per ascensum* lors des crues. A l'aval du polje, le réseau fonctionne en exsurgence normale.

PHYSIQUE DE L'ATMOSPHÈRE. — *La stratification* $F_{1,5}$ *à Dakar et le mouvement du Soleil.* Note (*) de M. **François Delobeau**, présentée par M. Jean Cabannes.

Au cours de la journée, la région F de l'ionosphère comporte normalement deux couches distinctes F_1 et F_2. La couche F_1 existe dès que le Soleil culmine à plus de 45°. Une stratification supplémentaire fait très souvent son apparition dans les régions subtropicales. Elle a été dénommée $F_{1,5}$ dans la nomenclature du Service de Prévision ionosphérique militaire, afin de conserver la terminologie des couches habituelles (1).

(*) Séance du 10 décembre 1952.

(1) F. Delobeau, E. Harnischmacher et F. Oboril, *Revue Scientifique*, n° 3305, 1950, p. 17.

La répartition de cette stratification dans le temps ne possède pas la régularité de celle de F_1. Ses heures de présence et son importance varient considérablement, d'une heure, d'un jour à l'autre au cours de l'année. Son existence entraîne un abaissement notable du degré d'ionisation maximum de la couche F_2 et même de celui de F_1.

Nous nous proposons de mettre en évidence pour Dakar, l'influence des périodicités diurne et saisonnière du Soleil sur sa loi de fréquence dans le temps.

Des difficultés surgissent dès que l'on veut établir cette loi, la séparation en altitude des trois couches étant très rarement complète. Il en résulte une impossibilité presque permanente de mesurer la fréquence critique, et la hauteur virtuelle minimum de $F_{1,5}$. Pendant le développement de cette couche, la région F s'épaissit donnant lieu à de très forts retards sur les enregistrements $h'(f)$ en sondages verticaux. $F_{1,5}$ a été considérée comme formée dès que ces enregistrements présentent un léger changement de concavité, toujours lié à un épaississement décelable de la trace, indice de parcours suffisamment différents pour les composantes ordinaire et extra-ordinaire.

Les graphiques sont établis pour la période comprise entre juillet 1949 et juillet 1952.

La figure 1 donne le nombre d'apparitions de $F_{1,5}$ pour chaque heure T. L. M. On a décompté séparément les mois d'été, d'hiver et d'équinoxes. Les diagrammes sont très sensiblement homothétiques avec un maximum à 12 h. La couche se maintient plus longtemps l'après-midi que le matin.

La figure 2 reproduit la variation annuelle. On a déterminé pour chaque mois le nombre de jours de présence de $F_{1,5}$, nombre qui, divisé par le nombre des jours du mois, fournit un rapport caractéristique (courbe A). On a tracé les courbes limites B et C, indiquant la marge maximum d'erreur possible du fait des pertes de mesures inévitables pendant les trois années. Leur écart mesure le rendement de la station de ce point de vue.

Aux environs du solstice d'été les apparitions sont quotidiennes. Elles sont minima au solstice d'hiver. La période est encore insuffisamment longue pour donner une idée de l'influence du cycle solaire, par l'introduction des moyennes glissantes qui paraissent suivre jusqu'ici la décroissance des nombres R. On note également une séparation en altitude de moins en moins accentuée. La variation de la hauteur méridienne à Dakar, est représentée conjointement. La courbe A semble reproduire avec un léger retard les deux maxima de cette hauteur méridienne de 15 mai et du 15 août.

Des aperçus du même ordre ont déjà été donnés pour Singapour (1949) ([2]). L'évolution saisonnière du phénomène (thick layer) montre deux maxima en

([2]) B. W. Osborne, *J. Astra. Terr. Phys.*, **12**, n° 1, 1951, p. 70.

janvier et juillet, et deux minima peu après les équinoxes. Ce fait se reproduit en 1951. Singapour étant sensiblement sur l'équateur géographique il est normal d'obtenir une variation biannuelle. Celle-ci est toutefois en opposition

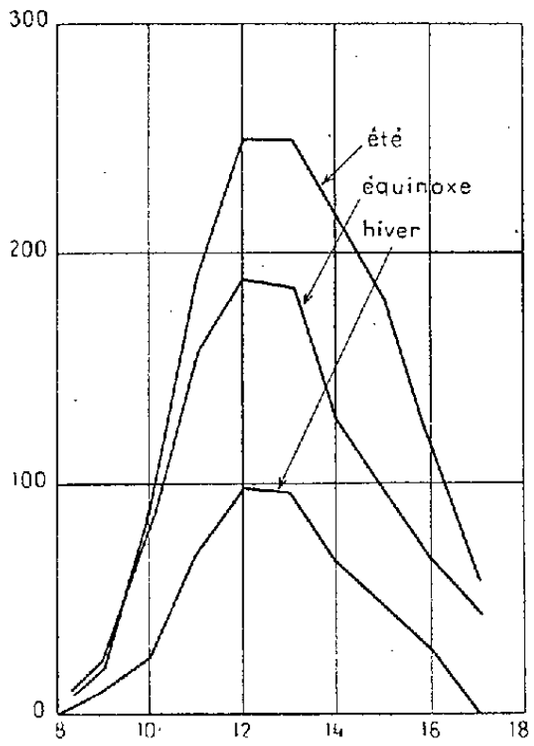


Fig. 1.

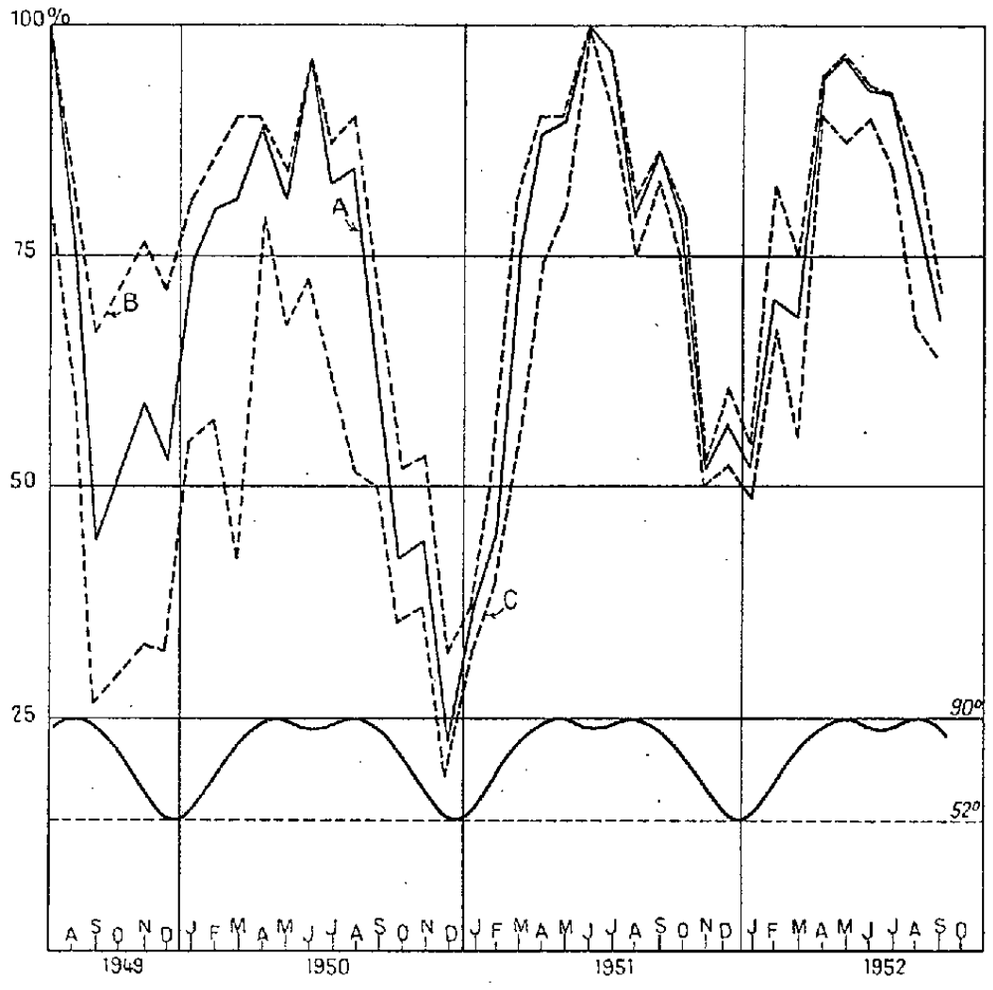


Fig. 2.

Fig. 1. — Répartition horaire de $F_{1,5}$ (Heures TLM).
Fig. 2. — Présence mensuelle de la couche $F_{1,5}$ à Dakar.

de phase avec celle que l'on pouvait espérer par comparaison avec Dakar, où la fréquence des apparitions suit bien le mouvement du Soleil. Si l'existence de $F_{1,5}$ peut s'expliquer par d'importants mouvements d'ions au-dessus de la zone équatoriale ([3]), il apparaît que leur régime diffère selon les régions et qu'il y a lieu de faire intervenir les caractéristiques magnétiques. Des résultats semblables pour de nombreuses stations, permettraient de juger de l'effet de ces caractéristiques.

MÉTÉOROLOGIE. — *Sur la microstructure et la précipitation artificielle d'un brouillard surfondu.* Note de M. **Henri Dessens**, présentée par M. Charles Maurain.

De rares aiguilles de glace se forment naturellement dans un brouillard urbain surfondu dont la température est de l'ordre de — 5° sans altérer sa stabilité. Par contre, la précipitation d'un tel brouillard a été obtenue sur 2 km² en dispersant 100 g d'iodure d'argent; description de la précipitation et données quantitatives sur l'expérience.

([3]) A. G. Mc Nish, *Proceedings of the Conference on Ionospheric Physics*, **2**, State College, Pensylvanis, 1950.

L'expérience porte sur un brouillard d'inversion s'étendant sur la Limagne, du 9 au 10 décembre 1952, dans les conditions suivantes :

	le 9 (21 h).	le 10 (7 h).
Température, Puy de Dôme, altitude 1 465 m....	+ 1°	— 1°
Les Landais (Clermont), altitude 400 m.....	— 5°	— 7°
Humidité relative mesurée, Les Landais.....	0,95	0,98
Visibilité, Les Landais.....	400 m	50 m
Niveau supérieur du stratus.....	800 m	600 m

L'analyse du brouillard, en vision ultramicroscopique, révèle la présence constante de quelques rares particules glacées : aiguilles de glace (*fig.* 1 *a*) ou cristaux asymétriques (1). Ces particules abandonnent, après sublimation, des résidus variés assez gros. Au-dessus du stratus (observations au Puy de Dôme par P. Roche), l'atmosphère est limpide, sans nuages; les cristaux se sont donc formés dans un brouillard dont la température ne s'abaisse guère au-dessous de — 5°. Ce fait est en contradiction avec plusieurs études de laboratoire et le mécanisme de ces congélations précoces est inconnu (2).

Le 10 décembre, au lever du jour, l'épaisseur du stratus est comprise entre 200 et 250 m. L'air est toujours très limpide au-dessus de lui (Mont Blanc visible du Puy de Dôme, à 300 km). Le vent au sol est nul, mais des fumées provenant de foyers situés vers 1000 m d'altitude sont entraînées vers l'Est-Sud-Est. Les observations et opérations suivantes ont été effectuées :

7 h 18-8 h 15 : station des Landais, dispersion de 100 g d'iodure d'argent par un générateur au sol, suivant la technique décrite par B. Vonnegut (3);

7 h 30 : apparition dans le brouillard de nombreux petits cristaux de glace aux environs de la station;

7 h 50 : début d'une précipitation dont la densité augmente rapidement; en 15 m le sol devient blanc;

8 h : le brouillard se dissipe, le Soleil apparaît par instants;

9 h : le brouillard se rétablit par le Nord-Ouest.

La précipitation est constituée par des cristaux d'apparence rectangulaire (*fig.* 1 *b*), de 0,08 mm de rayon moyen, à rapprocher des colonnes hexagonales (1). Les associations entre cristaux ou cristaux et gouttelettes n'apparaissent pas.

Les limites de l'aire de précipitation (sol complètement recouvert) étant extrêmement nettes (discontinuité sur 10 à 25 m), la carte a pu en être établie avec précision grâce à l'aide de A. Roche et R. Soulage (*fig.* 3).

(1) *Final Report, Project Cirrus*, 1948, p. 31.

(2) C. Lafargue, *C. R. Soc. Sc. Nat. Maroc*, 3, 1952, p. 69.

(3) B. Vonnegut, *Final Report, Project Cirrus*, 1951, p. 36.

Les données suivantes ont été mesurées directement :
Aire de pleine précipitation, 2 km^2;
Volume du stratus au-dessus de cette aire, 0,5 km^2;
Nombre approximatif de particules précipitées, 100 par millimètre carré;
Rayon moyen des noyaux d'iodure (microscope électronique), 0,10 μ.
Ces données permettent les évaluations suivantes :
Hauteur moyenne d'eau précipitée, 0,2 mm;
Poids total d'eau précipitée, 400 t;
Poids d'eau précipitée par mètre cube de nuage supposé immobile, 1 g;
Nombre de noyaux d'iodure pour 100 g de produit, 10^{15} à 10^{16};
Nombre total de cristaux précipités, 2.10^{14}.

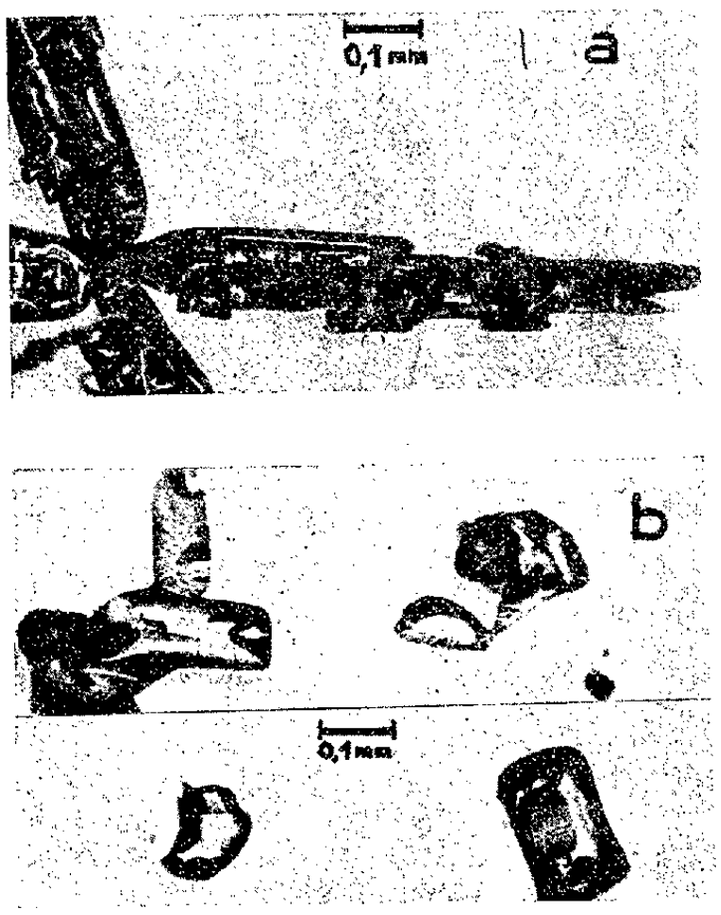


Fig. 1.

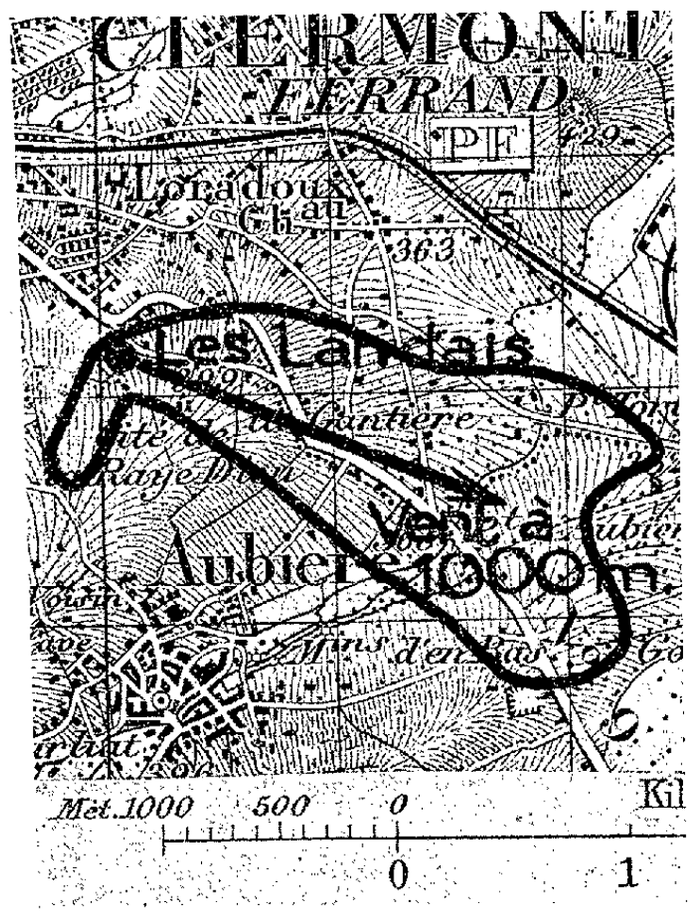


Fig. 2.

L'évaluation du nombre des noyaux d'iodure est la plus incertaine, la mesure des dimensions n'ayant pas été effectuée au moment de l'expérience. Les limites indiquées étant douteuses, il n'est pas impossible que tous les noyaux émis aient participé à la formation des cristaux. Comme le brouillard semblait continu au delà des frontières de l'aire de précipitation, nous pensons que ces frontières constituent la limite d'action des noyaux; les petites dimensions de cette aire s'expliquent par le fait que l'émission a eu lieu dans le sein même du nuage. Enfin, les effets prévus d'une surinsémination (4) n'ont pas été observés.

(4) *Tellus*, **1**, n° **1**, 1949, p. 1.

L'ensemble de ces contrôles ne laisse aucun doute sur la cause du phénomène : les noyaux d'iodure ont réagi comme dans nos cuves à nuages; le processus de Bergeron (4) (transfert de l'eau des gouttelettes surfondues aux cristaux formés sur les noyaux par l'intermédiaire de la vapeur) semble avoir joué un rôle essentiel.

Bien que les techniques d'insémination des nuages soient encore au stade expérimental, nous estimons qu'il serait déjà possible de dissiper sur une aire réduite (aérodrome) tout brouillard dense par vent faible et température inférieure à — 5°.

PALÉONTOLOGIE. — *Sur la présence d'une nouvelle espèce d'Hyracoïde dans le Pliocène de Montpellier.* Note de MM. **Jean Viret** et **Erich Thenius**, transmise par M. Charles Jacob.

L'ordre des Hyracoïdes, d'origine africaine, aujourd'hui encore essentiellement limité à ce continent, a envahi l'Eurasie au Pontien. Deux découvertes de documents fossiles, bien que fragmentaires, prouvent que le genre *Pliohyrax* a vécu en France du Pontien au Pliocène.

L'un de nous (J. V.) a eu l'occasion de signaler ici même (1) la rencontre inattendue d'un représentant de l'ordre des Hyracoïdes, *Pliohyrax rossignoli*, dans le gisement de lignites de Soblay (Ain), ce qui accentuait le « cachet africain » de cette faune pontienne. En même temps, il soulignait les ressemblances dentaires entre ce *Pliohyrax* et une forme du Quaternaire ancien de Chine, précédemment classée parmi les Ancylopodes, *Postschizotherium*. Dans sa conclusion, il supposait que les Hyracoïdes venus d'Afrique au Pontien, avaient gagné l'Asie mineure, d'où ils avaient « poussé des incursions, probablement assez brèves, non pas seulement en Grèce, mais jusqu'aux extrémités occidentales du continent eurasiatique ».

Un document nouveau (*figure* ci-contre) nous oblige à rectifier et à compléter la phrase précédente.

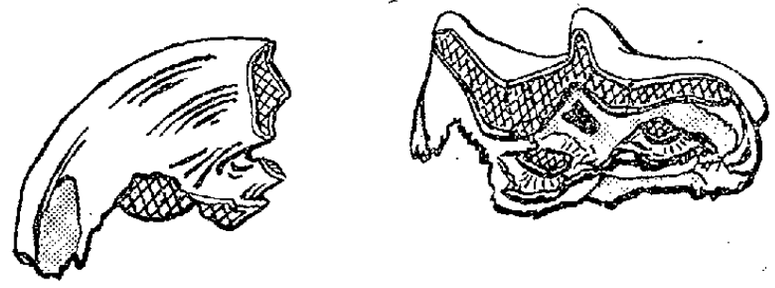
En effet, de passage à l'Université de Lyon, M. E. Thenius, examinant attentivement un tiroir d'échantillons des Sables de Montpellier, y a trouvé une dent qu'il n'eut pas de peine à reconnaître pour une arrière-molaire supérieure de *Pliohyrax*.

L'authenticité de cette pièce n'est pas douteuse, avec une étiquette de la main de Gennevaux. La patine de l'émail est conforme à celle des dents de Rhinocéros du même gisement. L'étiquette portant la mention *Paleotherium?* exprime la surprise de Gennevaux de rencontrer dans un gisement pliocène une telle dent. Cet amateur a été trompé par la convergence entre deux structures de molaires de « pachydermes ». La forme de la muraille externe avec ses paracône et métacône en V, ses plis para et mésostylaires aigus, peut prêter à confusion. La convergence est également frappante avec les molaires de certains

(1) *Comptes rendus*, **224**, 1947, p. 353.

Ancylopodes, comme *Phyllotillon*. Toutefois nulle part le contraste n'est aussi marqué que chez l'Hyracoïde entre le bord interne brachyodonte, avec ses deux tubercules coniques, petits et grêles, et le bord externe dont l'hypsodontie est si poussée que la muraille s'incurve fortement en arc de cercle. Bien que la base de la dent de la collection Gennevaux ne soit pas entièrement conservée, on note l'absence des petites racines connues chez les formes pontiennes, la cavité pulpaire largement ouverte.

La dent du *Pliohyrax* de Montpellier est fraîche, modérément usée, un peu moins que la dent de Chine attribuée à un Chalicothéridé (²). Chez ce dernier, l'usure de la couronne est assez profonde pour atteindre des crêtes de liaison



Pliohyrax occidentalis n. sp. — Arrière-molaire supérieure gauche, vue de profil par la face antérieure et vue par la face occlusale. Sables de Montpellier. Coll. Univ. Lyon 3156. Gr. nat. × 2/3.

(L'émail en blanc, le cément en grisé, l'ivoire en quadrillé; en noir, la fossette centrale de la dent.)

entre les croissants externes et les denticules internes. Aussi bien ces crêtes paraissent se développer seulement dans les fins de rameaux. Du point de vue de l'évolution dentaire, la molaire de Montpellier se situe assez exactement entre les formes pontiennes et celle du Villefranchien.

Sa longueur maximum, mesurée près de la base, atteint 48 mm; sa largeur entre le protocône et l'arête mésostylaire est 30,5. Nous notons que la taille est un peu inférieure à celle du *P. græcus*, aux caractères dentaires cependant plus archaïques. Les fossettes entre les tubercules sont comblées par du cément, toutefois ce dernier n'était pas développé de façon massive sur la face interne de la dent comme sur la forme du Nihowan. L'hypsodontie du bord externe était bien plus poussée que chez *P. rossignoli*, mais un peu moins que chez l'espèce de Chine.

Bien que notre documentation se réduise à une molaire unique (la plus expressive de toutes il est vrai), nous pouvons affirmer :

1° Qu'un *Pliohyrax* a vécu en France méridionale au Pliocène vrai;

2° Que cette espèce peut être distinguée de celles déjà connues, c'est pourquoi nous proposons pour elle le nom de *Pliohyrax occidentalis* n. sp.;

3° Qu'elle dérive problablement de l'évolution sur place des formes arrivées au Pontien;

4° Qu'à en juger par ses caractères dentaires, elle semble apparentée aux *Pliohyrax* qui se sont perpétués en Chine jusqu'au début du Quaternaire.

(²) P. Teilhard et J. Piveteau, *Ann. Paléont.*, 19, 1930, p. 23, *fig.* 9.

Ainsi les *Pliohyrax* avaient parfaitement réussi à s'acclimater en Europe. A quel moment ont-ils disparu? Vu la rareté considérable de ces animaux, il est pour le moment difficile de se prononcer.

PRÉHISTOIRE. — *Découverte d'Industries du groupe de la « Pebble Culture » sur le reg ancien des plaines du Dra (Sud marocain)*. Note de MM. **Georges Mortelmans**, **Georges Choubert** et **Henri Hollard**, présentée par M. Paul Fallot.

Au cours de l'excursion A 36 du XIX[e] Congrès géologique international dans l'Anti-Atlas occidental, un certain nombre de sites préhistoriques, dont les industries s'échelonnent de l'Acheuléen au Néolithique, ont été reconnus tant sur la côte qu'à l'intérieur du pays. De telles découvertes, si elles apportent une confirmation de l'importance du Maroc au point de vue préhistorique, rentrent cependant dans le cadre des faits connus jusqu'ici.

Plus importante est la découverte faite sur le « reg ancien » (1) du réseau hydrographique du Dra, d'industries rentrant dans le groupe de la « Pebble Culture » pré-abbevillienne. En effet, si l'on excepte quelques galets taillés, fortement roulés, recueillis par l'Abbé H. Breuil dans les graviers de la plage sicilienne de la carrière de Sidi Abderrahmane près de Casablanca (2), ces industries, si bien représentées en Afrique Centre-Orientale et Australe, étaient encore inconnues au Maroc. Le lieu de la découverte se place à quelques 30 km à l'Est de Foum el Hassane (piste d'Akka). Là s'étale un beau plateau de reg ancien, couvert de galets roulés. Au milieu de ceux-ci se rencontrent des restes nombreux d'industries préhistoriques que des différences d'usure, de patines, de techniques, permettent de diviser en plusieurs séries d'âge différent :

Série A. — Comporte des pièces plus ou moins usées, lustrées et éolisées, à forte patine brune vernissée. Elle comprend 24 pièces se répartissant de la façon suivante : 2 galets allongés, dont une extrémité a été abattue par une ou deux tailles remontantes; 8 galets subcirculaires épais, dont un bord a été transformé en arête tranchante par une série de tailles alternes; 1 galet à taille analogue, mais de forme irrégulière; 4 galets à tailles variables, n'ayant pas donné d'instruments de type défini; 1 fragment de galet taillé; 8 éclats protoclactoniens assez volumineux, à retaille élémentaire; certains sont des galets fendus en long.

(1) Dans le Dra supérieur et la région d'Ouarzazate le « reg ancien » n'a fourni jusqu'à ce jour que des industries abbevilliennes classiques (découvertes par M. Antoine et décrites par A. Ruhlman) : G. Choubert, *Comptes rendus*, **223**, 1946, p. 911.

(2) H. Breuil, *S. Afr. J. Sc.*, 44, 1948, p. 61-74.

Par ses galets taillés, cette industrie est fort analogue à celle que l'un de nous a fait connaître du Katanga, sous le nom de *Kafilien* (3); par ses éclats, elle s'apparente, d'autre part, à l'*industrie pré-abbevillienne à prédominance d'éclats* de la terrasse de 100 pieds du Vaal de Vereeniging (Transvaal) (4). On peut y voir une *expression évoluée du groupe de la Pebble Culture,* jouant ici le rôle de l'*Oldowayen* en Afrique Orientale.

Série B. — Comporte 15 pièces faiblement usées, à patine moins forte et moins colorée. Ce matériel comprend : 1 galet à arête longitudinale abattue par des tailles alternes (technique oldowayenne); 2 galets taillés de la série A fendus en long; 1 secteur épais de galet, à arête tranchante, retaillée (pièces analogues dans le Kafilien); 1 proto-coup de poing de forme assez régulière dont un bord latéral a subi une taille alterne de technique abbevillienne; 1 proto-coup de poing très élémentaire, de forme trièdre; 2 éclats épais, en dièdres tranchants à retaille élémentaire; 1 gros éclat provenant d'un nucleus; 5 éclats provenant de galets, de technique proto-clactonienne; 1 fragment sans grande signification.

Cette série réunit des pièces dont les unes trouvent leurs homologues exacts dans les industries pré-abbevilliennes à galets taillés ou à éclats, citées plus haut, tandis que d'autres, tels les proto-coups de poing et les éclats provenant de nuclei, évoquent davantage un *Abbevillien très primitif.* Cette association de caractères fait penser à une industrie *transitionnelle entre la Pebble Culture et les cultures abbevilliennes à coup de poing*; il faudra de nouvelles récoltes pour préciser ce point.

Série C. — Comporte des pièces à peine usées, à patine faible. Elle consiste en coups de poing réguliers, nuclei et éclats de technique levalloisienne. Par ses caractères, elle paraît l'homologue du Stellenbosch IV ou Proto-Levallois II (Victoria West II) d'Afrique sud-saharienne (= Acheuléen évolué africain).

Série D. — Représentée surtout dans nos récoltes par des reprises et des retailles de pièces anciennes : ces reprises sont fraîches et sans patine.

Conclusions. — Les récoltes qui viennent d'être sommairement décrites peuvent se diviser en deux groupes, l'un dont les éléments ne sont pas roulés (séries C et D), l'autre à usure fluviatile (séries A et B). Seul, ce dernier groupe est contemporain de la formation des nappes de galets du reg ancien et apporte donc un élément pour dater celui-ci.

En Afrique sud-saharienne, les cultures oldowayenne et abbevillienne sont associées aux couches de base du deuxième pluvial ou pluvial kama-

(3) G. Mortelmans, *Session extraord. des Soc. Belges de Géol.*, Bruxelles, 1946, p. 215-244; II° *Congrès Pan-Afr. de Préhistoire*, Alger, 1952 (sous presse).

(4) H. Breuil et C. van Riet Lowe, *Un. S. Afr. Arch. S.*, n° 6, 1948, p. 1-35.

sien (5). Au Maroc, par contre, les regs anciens sont parallélisés avec les terrasses de + 55-60 et correspondraient donc au premier interpluvial. Cela inciterait à vieillir quelque peu nos industries par rapport à l'Afrique sud-saharienne ou, si l'on admet la contemporanéité approchée de celles-ci à travers l'Afrique, montrer la transgressivité de l'interpluvial à travers le temps, de l'Équateur au Maroc.

Ces problèmes, actuellement insolubles, montrent tout l'intérêt d'une étude poussée du Quaternaire saharien, où les données préhistoriques viennent compléter, d'une façon particulièrement heureuse, celles de la géologie.

PHYSIOLOGIE VÉGÉTALE. — *Sur la pérennité des propriétés tumorales des tissus de Crown-Gall et des tissus ayant subi le phénomène d'accoutumance aux auxines*. Note de MM. **Claude Lance** et **Roger Gautheret**, présentée par M. Roger Heim.

Des cultures de tissus de Crown-Gall de Tabac et des cultures de tissus normaux ayant subi le phénomène d'accoutumance aux auxines produisent des tumeurs, si on les greffe sur des plantes saines. Si l'on réalise des greffages successifs d'un même fragment de tissu tumoral sur plusieurs plantes afin de le maintenir longtemps au contact d'un tissu normal, on constate que son pouvoir de former des tumeurs ne s'atténue pas.

Le caractère tumoral d'un tissu est mis en évidence par le fait qu'il produit une tumeur si on le greffe sur un organisme sain. C'est en appliquant ce critère que Braun et White (1) ont établi que les tissus de Crown-Gall conservent leurs propriétés tumorales même après l'élimination de la Bactérie spécifique qu'ils renferment initialement.

L'un de nous, avec la collaboration de M. P. Limasset, démontra de la même façon que les tissus de Tabac ayant subi le phénomène d'accoutumance aux auxines fournissent par greffage des tumeurs analogues à celles qu'on obtient en greffant des tissus de Crown-Gall (2).

Les propriétés tumorales de ces deux types de tissus se conservent intactes au cours de la culture *in vitro*, car même au bout de plusieurs années de développement en dehors de l'organisme, ils demeurent capables de produire des tumeurs par greffage sur des plantes saines.

Braun a affirmé qu'il est pourtant possible d'obtenir le retour de cellules tumorales à l'état normal. Il s'est appuyé pour cela sur des expériences consistant à inoculer la Bactérie du Crown-Gall à des tiges décapitées

(5) L. S. B. Leakey, *Museu do Dundo*, Lisboa, 1949, p. 1-82.

(1) *Cancer Research*, 2, 1942, p. 597-617.

(2) P. Limasset et R. J. Gautheret, *Comptes rendus*, **230**, 1950, p. 2043.

de Tabac (3). Cette inoculation provoquait le développement de tumeurs sur lesquelles apparaissaient des pousses feuillées dont les tissus présentaient des caractères anatomiques et physiologiques normaux. Toutefois, ces expériences n'étaient pas irréprochables car on pouvait imaginer que les tumeurs obtenues par Braun étaient formées d'un mélange d'éléments normaux et tumoraux pouvant être sélectionnés au cours de la prolifération ultérieure.

Ces diverses considérations nous ont suggéré de rechercher si le contact prolongé d'un tissu normal et d'un tissu de Crown-Gall ou d'un tissu accoutumé pourrait déterminer une régression des propriétés tumorales de ces derniers.

Pour cela, nous avons greffé suivant la méthode de White (4) des fragments de colonies de tissus de Crown-Gall et de tissus accoutumés de Tabac sur des plantes saines de la variété White-Burley. Un grand nombre de greffons ont proliféré pour donner des tumeurs. Au bout de 50 jours, des fragments isolés de ces tumeurs furent greffés sur des pieds sains de la variété Samsun. On observa également la production de tumeurs, et celles-ci furent utilisées de nouveau pour réaliser de nouvelles greffes sur des plantes de la même variété. Des tumeurs se développèrent encore une fois et nous avons enfin réalisé un quatrième greffage en opérant de la même manière. En définitive, les tissus tumoraux furent maintenus pendant 219 jours au contact des tissus normaux. Le tableau ci-joint, qui résume nos résultats, montre que les tissus de Crown-Gall et les tissus accoutumés avaient conservé leur pouvoir tumoral jusqu'à la fin de l'expérience.

Résultats fournis par des greffages successifs de tissus de Crown-Gall et de tissus accoutumés sur des tiges de Tabac.

		1er greffage (variété White-Burley).	2e greffage (variété Samsun).	3e greffage (variété Samsun).	4e greffage (variété Samsun).
	Dates des greffages.....	20 nov. 1951.	9 janv. 1951.	15 mars 1952.	3 mai 1952.
Tissus de Crown-Gall.	Nombre des greffes réalisées..	17	14	10	10
	Nombre des greffes ayant fourni des tumeurs.....	7	11	5	3
Tissus accoutumés.	Nombre des greffes réalisées..	18	16	8	8
	Nombre des greffes ayant fourni des tumeurs.....	13	5	2	4

On constate, en outre, que la proportion des réussites a varié d'une manière incohérente au cours des greffages successifs, et que dans l'ensemble

(3) *Cancer Research*, **11**, 1951, p. 839-844.
(4) *Cancer Research*, 4, 1944, p. 791-794.

il n'existe pas de différence entre le comportement des tissus de Crown-Gall et celui des tissus accoutumés. Dans les deux cas le pouvoir tumoral s'est maintenu au cours des greffages successifs. Ces essais doivent être complétés par une étude morphologique et physiologique des tumeurs obtenues par greffage.

PHYSIOLOGIE. — *Mise en évidence d'effets spécifiques non thermiques dans l'action nerveuse des ultrasons.* Note (*) de MM. **René-Guy Busnel, Jovan Gligorijevic, Paul Chauchard** et Mme **Henriette Mazoue**, présentée par M. Robert Courrier.

Nous avons montré, par la chonaximétrie (1), la grande sensibilité des nerfs sensitifs et moteurs ainsi que des centres nerveux vis-à-vis des ultrasons de 1 MHz. Le mécanisme intime de l'action des ultrasons sur les tissus nerveux reste cependant à définir. Thérapeutes et expérimentateurs tendent souvent à penser que les ultrasons ne sont qu'une forme de diathermie, le facteur agissant étant la chaleur dégagée par l'absorption de l'énergie acoustique des tissus. Quelques auteurs, par exemple Fry et ses collaborateurs (2), apportent cependant des preuves d'une action spécifique indépendante de l'action thermique.

La comparaison de nos résultats avec ceux qui avaient été obtenus par A. B. et P. Chauchard (3) lors de l'analyse chronaximétrique des actions thermiques périphériques sur le système nerveux, laissait entrevoir de notables différences. Nous avons donc entrepris de nouvelles expériences pour comparer l'effet nerveux spécifique des ultrasons à celui d'un facteur thermique pur appliqué dans des conditions analogues de pénétration tissulaire (ondes courtes de 6 m en monopolaire et infrarouge) chez le Rat et la Grenouille, au niveau de la plante du pied, du trajet du sciatique, de la colonne vertébrale et du crâne. Les mesures thermiques étaient effectuées à l'aide de microthermocouples introduits *in situ* et l'on comparaît les modifications chronaxiques produites pour une même variation de température par les facteurs thermiques et les ultrasons sur l'animal éveillé ou anesthésié.

Résultats. — 1° *Effet direct.* — Si les facteurs thermiques purs et les ultrasons agissent dans le même sens en provoquant une diminution des chronaxies quand on les applique au point de mesure des chronaxies motrices, les conditions des deux métachronoses sont différentes. Tout d'abord le seuil d'action

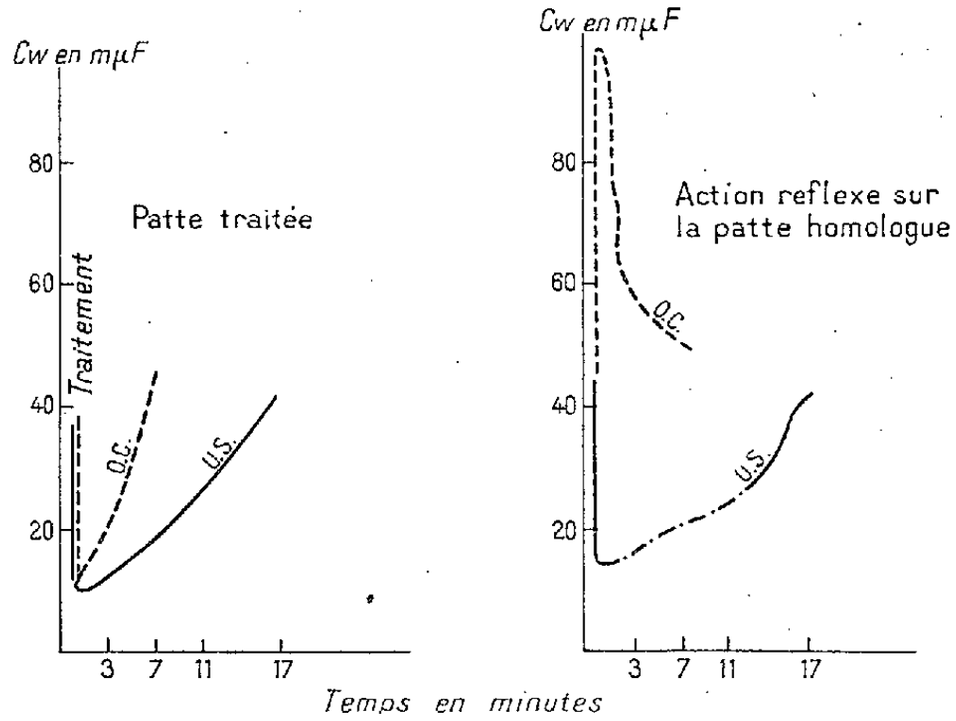
(*) Séance du 10 novembre 1952.

(1) *Comptes rendus*, 235, 1952, p. 1535.

(2) W. J. Fry, D. Tucker, E. J. Fry et V. J. Wulff, *J. Acoustic. Soc. Amer.*, 22, 1950, p. 867; et 23, 1951, p. 364.

(3) *C. R. Soc. Biol.*, 135, 1941, p. 1021.

des ultrasons est très inférieur à celui des facteurs thermiques; on obtient une diminution de chronaxie importante alors que la température du tissu n'a pas sensiblement varié et, pour enregistrer par les facteurs thermiques purs une métachronose analogue à celle que donne une dose d'ultrasons, il faudra toujours une augmentation de température plus grande ou plus durable. D'autre part, pour une même amplitude, la métachronose par ultrasons est toujours plus durable que la métachronose thermique : chez le Rat, pour une augmentation de 3° C consécutive à une application d'ultrasons, le retour à la normale demande 17 m; il en faut seulement 7 avec les facteurs thermiques.



Rat éveillé : chronaxies motrices CW de la patte traitée et de son homologue non traitée, par les U-S et les ondes courtes (O. C.). Application au niveau du genou. Facteur de couplage eau. Puissance U-S = 3,13 W pendant 2 mn. Élévation de température par les deux procédés de 3°C.

2° *Effet réflexe.* — Avec les ultrasons on trouve du côté de l'application ou du côté opposé un effet reflexe identique à l'effet direct subsistant sur l'animal anesthésié; l'action réflexe homolatérale se manifeste avec les mêmes doses que l'effet direct. Avec les facteurs thermiques, on constate que le seuil de l'action réflexe est plus élevé que celui de l'action directe. D'autre part, en accord avec les résultats antérieurs de A., B. et P. Chauchard, la métachronose réflexe est inverse; on observe une importante augmentation des chronaxies au-dessus des valeurs normales, tant du côté de l'application que du côté opposé; ce phénomène disparaît sur l'animal anesthésié; il ne s'agit donc pas d'une action sur les centres médullaires, mais d'une influence réflexe s'exerçant au niveau du centre encéphalique de la subordination que l'anesthésie met hors de cause; ce phénomène est donc différent de celui qui est provoqué par les ultrasons.

3° *Effets centraux.* — L'application d'ultrasons sur la moelle, à un niveau moyen de celle-ci, provoque une diminution des chronaxies sur les pattes

antérieures comme sur les postérieures, l'amplitude étant maxima sur les pattes les plus proches de l'application. Avec les facteurs thermiques, on ne note la diminution de chronaxie que si l'application est faite au niveau des noyaux d'origine du nerf interrogé; à distance, c'est l'augmentation de chronaxie d'origine réflexe encéphalique qui est obtenue. Après anesthésie, ce réflexe disparaît et, sur les pattes distantes, apparaît une légère action des facteurs thermiques (faible diminution des chronaxies) masquée sur l'animal éveillé par l'effet réflexe. L'action directe des facteurs thermiques sur les centres encéphaliques provoque, comme celle des ultrasons, une diminution généralisée des chronaxies, disparaissant par l'anesthésie; ici encore les conditions des deux phénomènes établissent le non-parallélisme entre ultrasons et chaleur.

On peut donc conclure de ces réactions différentes du système nerveux soumis aux ultrasons ou à une élévation thermique pure qu'un facteur autre que la température intervient dans la réaction. Nous tendons à penser que cet effet spécifique pourrait être d'ordre mécanique. En effet, l'application de vibrations à l'aide d'un diapason donne un tableau chronaxique analogue à celui des ultrasons.

PHYSIOLOGIE. — *Sur les modalités de la thermolyse par perspiration et par transpiration.* Note de M. **Joseph Sivadjian**, présentée par M. André Mayer.

La transpiration et la perspiration, en tant que causes de la thermolyse, sont liées l'une à l'autre, mais il ne semble pas que l'on soit fixé encore, d'une façon certaine, sur le degré de cette relation.

D'après Jürgensen (1), la sécrétion sudorale est un phénomène continu, même lorsque la peau se trouve à l'état absolument sec et, en dehors de cette élimination d'eau par voie sudorale, il n'existe pas, à proprement parler, une *perspiratio insensibilis*.

Selon Lœwy (2) et Richardson (3), la perspiration insensible est aussi importante chez les personnes normales pourvues de glandes sudoripares que chez celles qui en sont congénitalement dépourvues. Les glandes sudoripares ne sont pas constamment en activité; elles ne sont actives que par intermittence et ne participent pas à la perspiration (Lœwy) (4).

Par contre, Moog et Buchheister (5), tout en confirmant les constatations de Jürgensen relatives à la sécrétion continue des glandes sudoripares, admettent que l'excrétion insensible d'eau par l'organisme humain

(1) *Deutsche Arch. klin Med.*, 144, 1924, p. 193.
(2) *Virchows Arch.*, 206, 1911, p. 79.
(3) *J. Biol. Chem.*, 67, 1926, p. 397.
(4) *Biochem. Z.*, 67, 1914, p. 243.
(5) *Münch. med. Woch.*, 73, 1926, p. 895.

se compose de deux parties, bien que d'importances inégales, c'est-à-dire de la transpiration et de la perspiration insensibles.

D'autre part, pour certains auteurs, la perspiration n'est pas du tout un phénomène actif, mais elle est un processus purement physique d'évaporation due à la diffusion ou à l'osmose de l'eau à travers la couche kératinisée de la peau (4), (6); elle a la même importance pour la peau vivante que pour la peau morte. En chauffant la peau vivante, on augmente la perspiration dans la même proportion qu'en chauffant la peau morte (7), (8). Le processus est probablement celui d'une diffusion physique, dit Richardson (3), mais on peut concevoir aussi qu'il s'agit d'une excrétion active d'eau par l'épithélium cutané.

Au contraire, pour Moog et Buchheister (5), la perspiration est un processus physiologique et vital, soumis aux exigences et aux besoins physiologiques et non pas purement aux lois physiques.

Gasnier et Mayer (9) ont d'ailleurs montré que la perspiration dépend, non seulement des conditions externes, mais aussi des conditions internes et que, dans une certaine mesure, elle est influencée par le métabolisme de l'eau.

Or, la méthode hygrophotographique que nous avons mise au point (10) permet d'apporter une nouvelle confirmation à ces résultats; elle montre, en particulier, que les glandes sudoripares rejettent constamment de l'eau et que, de plus, ce dégagement de la vapeur d'eau a lieu non pas sous forme de diffusion lente et progressive, mais sous la forme d'une émission moléculaire active, pouvant impressionner la plaque hygrophotographique à 10 mm de distance.

Lorsque nous appliquons la main sur une *pellicule* hygrophotographique la perspiration insensible arrive à y imprimer une image de celle-ci tellement fidèle qu'on l'aurait pu confondre avec une image photographique réelle et sur laquelle on voit cependant, groupés dans certaines régions. des points noirs correspondant à l'activité des glandes. Si l'on pose la main sur la pellicule après l'avoir chauffée d'abord sur une plaque métallique bien chaude, l'image hygrophotographique se renforce davantage et l'on y voit les glandes sudoripares en nombre bien plus considérable, Quand on pose les extrémités des doigts, à l'exclusion du pouce, sur la plaque en donnant à la main une inclinaison de 45° sur celle-ci, et le pouce

---

(6) A. G. R. Whitehouse, W. Hancock et J. S. Haldane, *Proc. Roy. Soc.*, **111** B, 1932, p. 412.

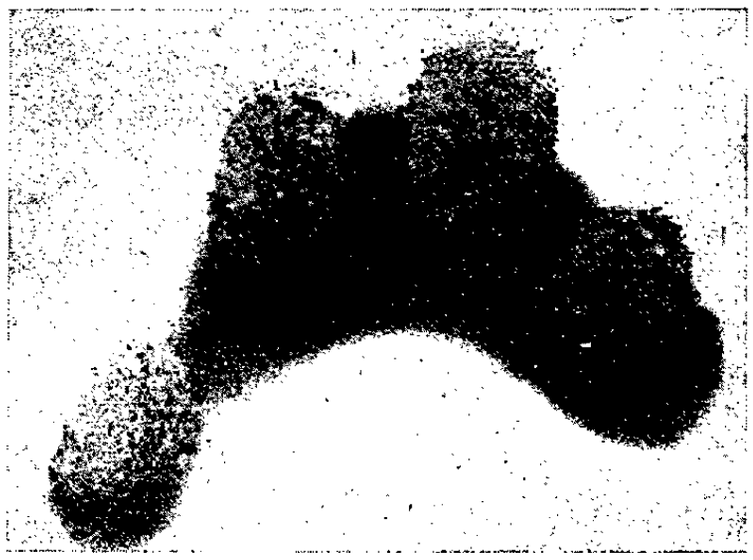
(7) T. Winsor et G. E. Burch, *Arch. intern. Med.*, 74, 1944, p. 428.

(8) G. E. Burch et T. Winsor, *Arch. intern. Med.*, 74, 1944, p. 437.

(9) *Ann. Physiol.*, 13, 1937, p. 131.

(10) J. Sivadjian, *Comptes rendus*, 234, 1952, p. 1911.

étant bien dégagé, afin d'éviter la formation d'un espace clos à l'arrière, on voit les empreintes des doigts s'inscrire normalement sur la plaque, Mais, en même temps, derrière ces empreintes, se dessine une « ombre » qui, suivant les conditions de l'expérience, peut atteindre jusqu'à 1 cm



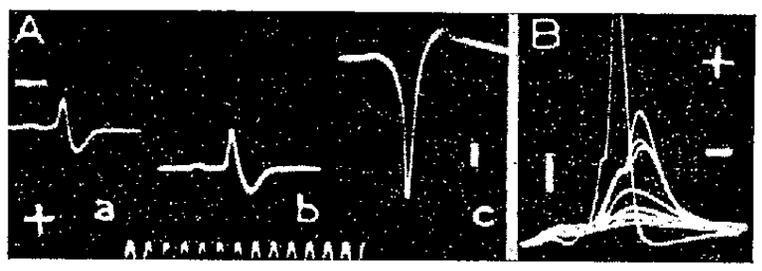
de longueur et qui est uniquement due à la perspiration insensible (voir *figure*). Si, au lieu d'appuyer la main sur la plaque on la maintient horizontalement au-dessus de celle-ci, sur une hauteur de 10 mm au maximum, on voit également « l'ombre » se projeter sur la plaque et les contours très nets de cette « ombre » indiquent clairement que la vapeur dégagée dont elle provient, n'est pas le résultat d'une simple diffusion lente, mais qu'elle doit être attribuée à une sorte de rayonnement, à un jet, en rapport évidemment avec le rayonnement calorifique cutané et lié, par conséquent, à la vie active des tissus sous-jacents. Lorsque l'on enduit l'un des doigts d'un produit imperméable à l'eau, comme la vaseline, on remarque alors l'absence du doigt imperméabilisé dans l'ombre projetée.

NEUROPHYSIOLOGIE. — *Réception intracellulaire de l'activité d'un neurone des lobes électriques de* Torpedo marmorata. Note de Mme **Denise Albe-Fessard** et M. **Pierre Buser**, présentée par M. Robert Courrier.

Les lobes électriques, noyaux bulbaires qui sont, chez la Torpille, les centres moteurs des organes électriques, sont constitués de neurones dont les corps cellulaires, tous semblables et de grande taille (environ 70 μ chez une Torpille moyenne), se prêtent bien à une exploration intrasomatique. Pour y parvenir, on réalise avec la microforge de De Fonbrune, des micropipettes dont l'extrémité effilée ne dépasse pas 1-1,5 μ de diamètre extérieur. Ces microélectrodes, remplies de KCl 3 M [modèle déjà utilisé par Fessard et Tauc (1)] sont implantées dans un lobe mis à nu,

(1) *Comptes rendus*, 233, 1951, p. 1228.

à l'aide du micromanipulateur de De Fonbrune (²). Les différences de potentiel présentées entre la microélectrode et une électrode de référence impolarisable placée sur une région inactive sont appliquées à l'entrée d'un dispositif changeur d'impédance et, après une amplification à liaison directe, aux plaques d'un oscillographe cathodique. La position du spot sur l'écran de l'oscillographe permet donc de s'apercevoir de la pénétration de la microélectrode à l'intérieur d'un neurone, par suite de son passage de l'autre côté de la couche polarisée qui entoure toute cellule. Le potentiel de repos peut être ainsi mesuré. Nous l'avons trouvé compris entre 40 et 60 mV.



Potentiels d'action provenant d'un lobe électrique de *Torpedo marmorata*, en réponse à la stimulation des voies afférentes spinales :

A, au cours d'un enfoncement progressif d'une microélectrode : *a*, *b*, activités extra-cellulaires; *c*, activité intra-cellulaire. Trait vertical : 10 mV. Temps en millisecondes.

B, la microélectrode étant immobile à l'intérieur d'une cellule, on enregistre, superposées, une série de réponses à des stimulations successives d'intensité croissante. Trait vertical : 10 mV. Même échelle de temps qu'en A.

Pour étudier la réponse normale d'un neurone, le lobe est mis en activité par voie réflexe, en stimulant les voies ascendantes spinales par un choc électrique bref donné une fois toutes les 2 secondes. Entre chaque stimulation, la microélectrode, d'abord enfoncée dans le lobe mais encore extra-cellulaire, est déplacée verticalement de quelques microns. La figure montre, en A, l'exemple de trois enregistrements successifs ainsi obtenus. En *a*, la microélectrode recueille, environ 1 ms après une très faible déflexion négative signalant l'arrivée des influx afférents, une onde diphasique, d'abord négative, qui traduit la naissance puis le départ des potentiels d'action des structures nerveuses voisines. En *b*, le déplacement de la ligne de base vers les potentiels positifs nous indique la proximité d'une cellule; en même temps, l'amplitude de la réponse est accrue. Entre *b* et *c*, une barrière cellulaire a été franchie; le déplacement du spot nous permet de mesurer le potentiel de repos (50 mV); la réponse, comme on doit s'y attendre, change de sens; elle augmente brusquement de grandeur, atteint 65 mV, et apparaît greffée sur une onde de base, d'évolution plus lente, dont l'existence est plus accusée dans les tracés B.

(²) *Technique de micromanipulation*, 1949, p. 203, Masson, Paris.

Cette seconde partie de notre figure où, pour revenir aux conventions habituelles, nous avons inversé le sens des déflexions, rend compte d'une expérience dans laquelle nous avons superposé plusieurs réponses de la même cellule (microélectrode fixe) correspondant à des stimuli successifs d'intensité croissante. Il apparaît d'abord une onde de 4-5 ms, dont l'amplitude croît avec l'intensité de la stimulation, c'est-à-dire avec l'augmentation du nombre des fibres afférentes actives qui ont des connexions avec ce neurone. Lorsque cette onde atteint une certaine valeur, ici 15 mV, un potentiel d'action en émerge, qui peut être de faible amplitude et rester local, mais croît en général rapidement jusqu'à un maximum (70-80 mV), et prend alors les caractères d'un potentiel d'action propagé.

Ainsi, nous avons pu prouver que les somas neuroniques étudiés sont capables de fournir une réponse brève propagée ou « spike », et que cette réponse est liée au développement d'une dépolarisation locale, certainement identique aux potentiels des régions synaptiques qui ont été enregistrés par voie extra-somatique sur d'autres préparations [notamment par Bullock (3)]. Nos résultats présentent une grande analogie avec ceux fournis récemment (1951) par Brock, Coombs et Eccles (4) qui étudièrent avec des microélectrodes les cellules motrices de la moelle du Chat.

PSYCHOPHYSIOLOGIE. — *Réactions à la lumière de* Lineus ruber (*Némertien*) *en éclairage ventral.* Note de Mlle **Marie Gontcharoff**, présentée par M. Pierre-P. Grassé.

Les réactions des animaux à la lumière sont un des chapitres les plus confus de la Biologie. Les classifications des phototropismes ou phototaxies sont nombreuses, mais aucune ne permet d'envisager le sujet d'un point de vue vraiment biologique. Les animaux se dirigent vers la lumière ou en sens inverse, mais sous l'apparente simplicité de la réaction se cachent bien des problèmes qui attendent leur solution.

Les *Lineus ruber* présentent un phototropisme négatif. Il nous a semblé intéressant d'étudier leurs réactions phototropiques en fonction de la régénération du système nerveux et de l'appareil oculaire. Mais cela ne pouvait constituer que la seconde partie de l'étude, le comportement des animaux normaux étant à la base de tout travail de recherche. Je ne voudrais, aujourd'hui, décrire que le comportement en éclairage ventral.

Les expériences ont lieu en chambre noire; les animaux étant introduits dans une cuve de 1 m de côté, contenant 10 l d'eau de mer. Une cuve

(3) *J. Neurophysiol.*, **11**, 1948, p. 343-364.
(4) *J. Physiol.*, London, **117**, 1952, p. 431-460.

spacieuse est indispensable. Dans une cuve de faibles dimensions, les expériences sont faussées par l'intervention du thygmotropisme; arrivés au bord de la cuve ou du cristallisoir, les animaux suivent le bord et les réactions à la lumière sont perturbées. La température et la salinité interviennent également; nous étudierons leur rôle dans une Note ultérieure.

Les expériences s'effectuent en lumière blanche d'intensité variable : 200-2 700 lx, à une température de 18-20°.

Je rappelle que chez *Lineus ruber*, les yeux sont disposés sur la face dorsale en deux rangées parallèles de 4-6 éléments.

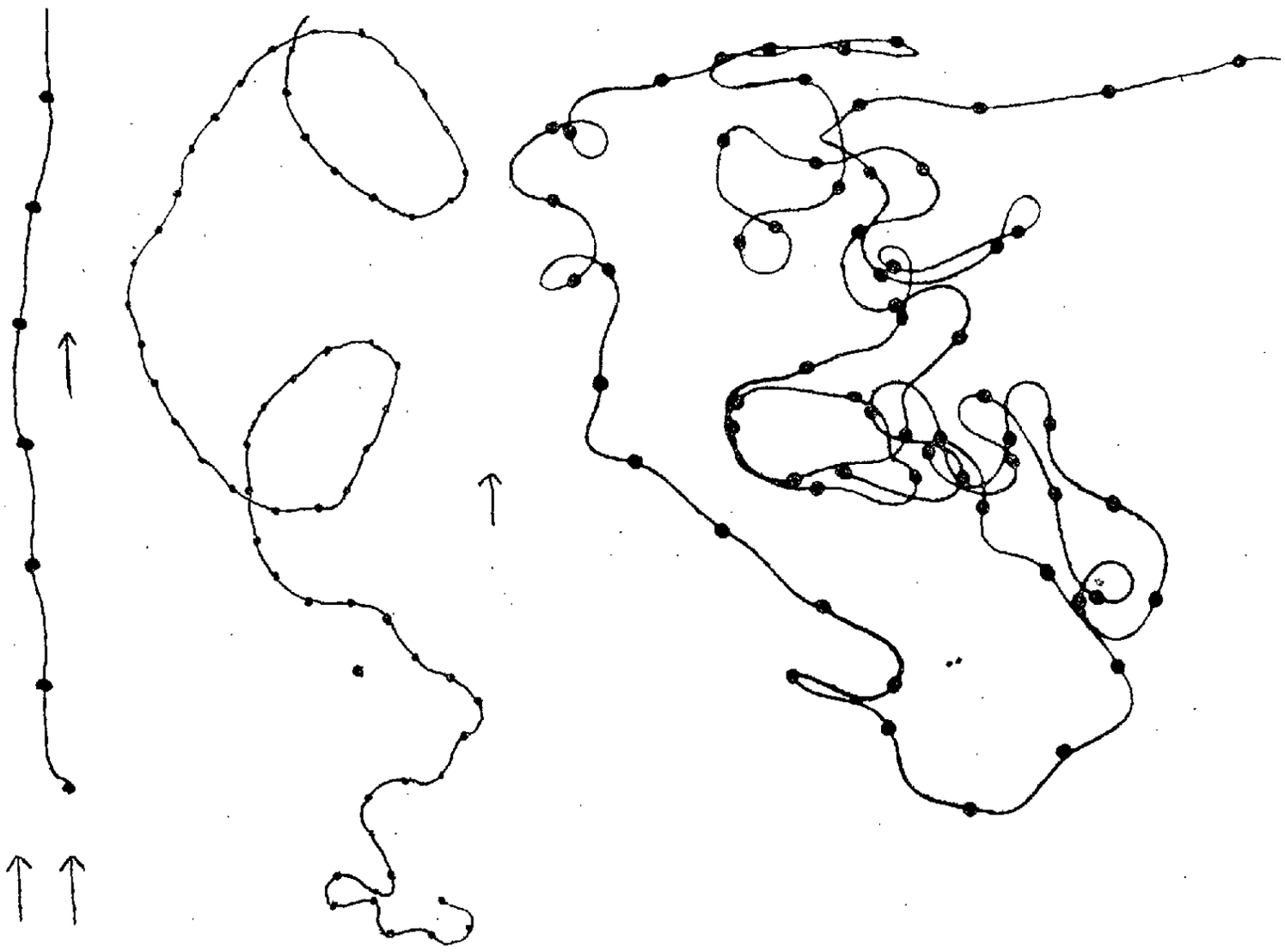


Fig. 1. Fig. 2. Fig. 3.

Fig. 1 : Fragments de pistes; éclairage par un faisceau de rayons parallèles; deux flèches indiquent la direction des rayons lumineux; une flèche indique la direction dans laquelle l'animal se déplace. Fig. 2 : Piste en éclairage dorsal (réduit au 1/3). Fig.3 : Piste en éclairage ventral (photogr. M. Gontcharoff).

Éclairons la cuve par un faisceau rasant de rayons parallèles. Après un court temps de latence, les animaux s'orientent en sens inverse des rayons lumineux et s'éloignent de la source d'un glissement lent et continu sans presque dévier de la ligne droite (la figure 1 représente un fragment d'une telle piste).

Plaçons la source lumineuse au-dessus de la cuve, de sorte que les rayons lumineux frappent les animaux par la face dorsale; il n'y a plus, à pro-

prement parler, d'orientation, les *Lineus* décrivent de larges cercles, d'un même glissement lent et continu (*fig.* 2).

Par contre, si les rayons lumineux (la source étant placée au-dessous de la cuve) atteignent les animaux par la face ventrale, le comportement des Némertes devient très différent et c'est sur ce net changement que je voudrais attirer l'attention.

Le glissement lent disparaît; on note de brusques et fréquents changements de direction; les animaux paraissent complètement désorientés et la piste est enchevêtrée et complexe. Le mode de progression est aussi très différent; la tête ne repose plus sur le fond de la cuve, mais est constamment soulevée, animée d'oscillations irrégulières à droite et à gauche; toute la partie antérieure du corps, en général, ne repose plus sur le verre, mais soulevée, demeure entre deux eaux et, dans les cas extrêmes, l'animal tout entier quitte le fond et flotte en surface, ce qui est un comportement très inhabituel, car dans des conditions normales, les *Lineus* ne nagent pas et se déplacent, sur le fond, par glissement ou ondes musculaires péristaltiques.

On pourrait supposer que la position dorsale de l'appareil oculaire serait à l'origine de ce comportement particulier; la question est à l'étude (examen des animaux après ablation uni ou bilatérale des yeux). Mais il apparaît, dès maintenant, que ce comportement donne un argument en faveur de l'existence d'un gradient physiologique dorso-ventral, dont nous avons indiqué l'existence dans un travail antérieur (1). En tout état de cause, il paraît clair qu'un même stimulus provoque un très net changement de comportement selon qu'il est reçu soit par la face ventrale, soit par la face dorsale.

CYTOLOGIE. — *Quelques formules chromosomiques chez les* Lycænidæ (*Lépidoptères Rhopalocères*). Note de M. **Hubert de Lesse**, présentée par M. Louis Fage.

Les formules chromosomiques actuellement connues chez les *Lycænidæ* ont été établies par H. Federley (1) et surtout par Z. Lorkovic (2). Leurs travaux font ressortir, dans cette famille, la fréquence du nombre haploïde $n = 23$ ou 24, les nombres 25 et 26 n'ayant été comptés que rarement. En 1941, Lorkovic a signalé $n = 45$ chez *Lysandra bellargus* Rott. et $n = 90$ chez *L. coridon* Poda. L'auteur a donné de ces nombres élevés une explica-

(1) *Ann. des Sc. Nat. Zool.*, 11e série, 13, 1951.

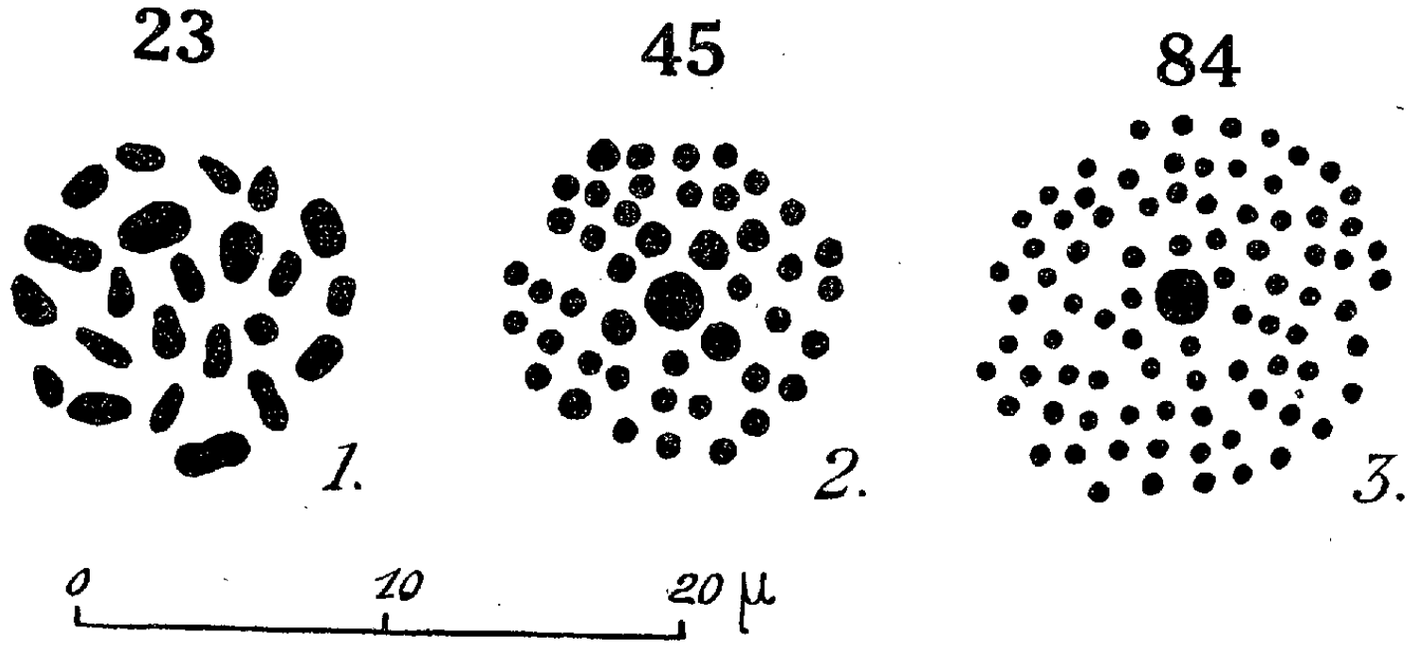
(1) *Hereditas*, 24, 1938, p. 397-464.

(2) *Chromosoma*, II, 2, 1941, p. 155-191.

tion basée sur la fragmentation successive d'un stock chromosomique fondamental égal à $n = 23$. Il m'a paru utile de rechercher si une telle hypothèse pouvait être confirmée sur d'autres espèces de *Lycænidæ*, et de préciser, en même temps, certains nombres établis sur un matériel ne provenant pas de France.

Matériel et techniques. — Les différentes espèces de *Lycænidæ* étudiées ont été capturées à l'état d'imago dans l'Ariège, l'Ardèche, la Lozère, le Puy-de-Dôme, les Basses-Alpes, le Var et la région parisienne. Les testicules ont été prélevés à l'état vivant quelques heures après la capture et fixés au Bouin, en moyenne 24 h. Après lavage à l'alcool à 70°, les pièces ont été conservées dans l'alcool à 80°, environ quatre mois. Les testicules des Lépidoptères capturés dans le Var ont été fixés au Carnoy pendant 5 mn et conservés dans les mêmes conditions pendant une semaine. Après inclusion à la paraffine, les coupes (7 μ) ont été colorées par la méthode de Feulgen. La comparaison du matériel conservé dans l'alcool et de celui qui est inclus immédiatement après les fixations (insectes de la région parisienne, de l'Ardèche et de la Lozère) n'a pas fait apparaître de différences.

Observations. — Au stade de l'imago, la spermatogénèse, déjà très avancée, ne montre que très peu de figures de métaphases spermatogoniales.



Plaques équatoriales de la première division de maturation (spermatogénèse).

Fig. 1. — *Aricia nicias* Meig. ($n = 23$), Larche (B.-A.), 27 juillet 1952. Fig. 2. — *Lysandra* (*Agrodiætus*) *damon* Schiff. et D. ($n = 45$), 27 juillet 1952. Fig. 3. — *Lysandra albicans* H. S. ($n = 84$), Aubenas (Ardèche), 28 août 1952.

Les métaphases de spermatocytes de deuxième ordre sont également rares et surtout peu lisibles. Les numérations ont donc été effectuées sur les plaques équatoriales de la première division de maturation. Les chromosomes sont d'aspect plus ou moins massif et l'on observe souvent un chromosome plus volumineux au centre de la plaque.

Espèces.	Localité et date.	Nombre haploïde.	Nombre d'individus.
Palæochrysophanus hippothoë L. ♂	Forez (Puy-de-Dôme) 1200 m 26 juin 1952	$n = 24$ (3)	3
Strymonidia pruni L. ♂	Saint-Germain (Seine-et-Oise) 1er juin 1952	$n = 23$	1
Aricia nicias Meig. (= *donzelii* Bsdv.) ♂	Larche (Basses-Alpes) 1900 m 27 juillet 1952	$n = 23$ (*fig.* 1)	1
Lysandra (*Agrodiætus*) *damon* Schiff. et D. ♂	Larche (Basses-Alpes) 1900 m 27 juillet 1952	$n = 45$ (*fig.* 2)	4
Lysandra albicans H. S. (= *hispana* H. S.) ♂	Croix-Valmer (Var) 21-22 avril 1952	$n = 84$	12
Lysandra albicans H. S. (= *hispana* H. S.) ♂	Croix-Valmer (Var) 21-22 avril 1952	$n = 85$	2
Lysandra albicans H. S. (= *hispana* H. S.) ♂	Aubenas (Ardèche) 21 mai 1952	$n = 84$	1
Lysandra albicans H. S. (= *hispana* H. S.) ♂	Aubenas (Ardèche) 28 août 1952	$n = 84$ (*fig.* 3)	1
Lysendra coridon Poda ♂	Salau (Ariège) 800 m 7 juillet 1952	$n = 88$	7
Lysandra coridon Poda ♂	Pont-de-Monvert (Lozère) 22 août 1952	$n = 88$	1

Conclusion. — La validité spécifique de *L. albicans*, espèce bivoltine, parfois difficilement séparable de *L. coridon*, espèce monovoltine avec laquelle elle coexiste dans la région méditerranéenne, se trouve confirmée par l'étude cytologique. Toutefois, j'ai compté sur deux individus de *L. albicans* $n = 85$, et non $n = 84$ comme dans la majorité des cas, et d'autre part, je n'ai trouvé que $n = 88$ chez les *L. coridon* de l'Ariège et de la Lozère, alors que Lorkovic a compté $n = 90$ chez ceux de Yougoslavie. La difficulté à préciser des nombres aussi élevés ne permet pas d'affirmer qu'il s'agit d'une variation individuelle dans le premier cas et géographique dans le second. De telles variations furent, cependant, déjà observées chez d'autres espèces par Lorkovic (*op. cit.*). Enfin, bien qu'on puisse constater une diminution de la taille des chromosomes parallèlement à l'accroissement de leur nombre, le cas de *L. albicans* ($n = 84$) ne paraît pas susceptible de s'expliquer par une fragmentation régulière à partir du nombre $n = 45$.

(3) Cette espèce a été étudiée par Federley (*op. cit.*). Le nombre chromosomique de *P. hippothoë* n'était cependant connu que chez la ♀.

BIOLOGIE. — *Pénétration, variable selon la longueur d'onde, des radiations visibles jusqu'à l'hypothalamus et au rhinencéphale, à travers la région orbitaire, chez le Canard.* Note (*) de MM. **Jacques Benoit, Ivan Assenmacher** et Mlle **Simone Manuel**, présentée par M. Robert Courrier.

La gonadostimulation par la lumière s'opère, chez le Canard, par la double action de certaines radiations visibles, sur la rétine et, à travers les tissus, directement sur les régions hypothalamique et rhinencéphalique du cerveau. Celles-ci sont fonctionnellement reliées à l'hypophyse et leur excitation lumineuse directe induit la sécrétion par cette glande d'hormones qui stimulent les glandes génitales (Benoit, 1937, 1938; Benoit et Kehl, 1939; Benoit, Walter et Assenmacher, 1950). On peut d'ailleurs facilement se rendre compte de cette pénétration profonde des rayons lumineux en observant par l'intérieur une tête de Canard débarrassée de son cerveau et éclairée latéralement : la face endocranienne de l'orbite est tout particulièrement éclairée, à travers l'os et la dure-mère. On observe même dans ces conditions que l'œil fait office de lentille et concentre les rayons lumineux sur la paroi osseuse en une plage restreinte vivement illuminée.

Nous avons entrepris de mesurer l' « opacité » (inverse de la « transmission ») de la région orbitaire d'une tête de Canard, à des radiations de différentes longueurs d'onde, par un procédé photographique : deux fragments d'un même film panchromatique sont exposés aux radiations d'une petite ampoule électrique filtrées par des verres colorés (bleu-indigo, vert et jaune) ou interférentiels (orangé et rouge) dans les deux conditions suivantes : 1° derrière la région orbitaire d'une tête de Canard et le filtre à 20 cm de la source lumineuse; 2° sans interposition autre que celle du filtre, mais à 4,50 m de cette même source. Les temps de pose sont établis par tâtonnements pour que les densités des plages impressionnées, mesurées avec une cellule photoélectrique et un galvanomètre, se situent dans la partie rectiligne de la courbe caractéristique logarithmique du film, préalablement établie. Dans ces conditions, la comparaison des opacités des deux fragments de film, obtenues avec un même filtre, permet, après les corrections nécessaires relatives aux différences de distance, de temps de pose et de développement (malgré les précautions prises : même température et même durée de révélation), d'obtenir la valeur de l'« opacité » de la région orbitaire pour la radiation considérée. Le film utilisé (Eastman panchromatique « supersensitive » du type 52 C) fut employé sous la forme de languettes larges de 5 mm, successivement introduites dans

(*) Séance du 10 décembre 1952.

un tube de verre aplati fixé derrière la paroi osseuse, entre la dure-mère et le cerveau. La source lumineuse (ampoule électrique de 6 V, 30 W, alimentée par accumulateurs) était elle-même placée de telle sorte que ses rayons, concentrés par l'œil, formaient une plage lumineuse sur la partie basse du tube où s'impressionnaient les languettes. Ces conditions étaient réalisées lorsque la direction de la source lumineuse formait un angle de 32° environ, ouvert en avant, avec le plan sagittal médian de la tête posée horizontalement, et un angle de 10° au-dessous du plan horizontal passant par l'œil. Les filtres utilisés, assez sélectifs, avaient déjà été utilisés dans une expérience de gonadostimulation (1).

Les résultats obtenus furent les suivants :

Filtre.	λ au max. de la transmission (mμ).	Opacités région orbitaire de cinq différents canards.					Opacités moy.	Opacité à λ... / Opacité au rouge
Bleu indigo B 1...	436	900	3420	785	2520	2310	2000	36,5
Vert V 7.....	546	208	1000	–	592	500	575	10,5
Jaune J 2.....	577	128	354	144	176	322	225	4,1
Orangé O 1.....	617	104	136	111	142	178	134	2,44
Rouge D 1.....	647	49	70	39	52	66	55	1

1° *L'opacité de la région orbitaire* au bleu indigo est de 2 000 en moyenne : pour cette couleur la 2 000e partie seulement de l'énergie lumineuse incidente traverse la région orbitaire et impressionne le film photographique. Les autres radiations sont de plus en plus pénétrantes à mesure que leur λ augmente. L'opacité au rouge D 1 est de 55 seulement. Si l'on prend pour unité cette opacité au rouge, on constate que la région orbitaire est approximativement 2,5 fois plus opaque à l'orangé, 4 fois plus au jaune, 10 fois plus au vert et près de 40 fois plus au bleu indigo.

2° Le tube destiné à recevoir les languettes photographiques étant laissé à sa place dans la tête, la source lumineuse est disposée de telle sorte que ses rayons frappent, non plus obliquement, mais *perpendiculairement*, et toujours à 20 cm, la face latérale de cette tête. Dans ces conditions, l'œil ne fait plus office de lentille sur le film et d'autres tissus, plus opaques, sont traversés. Nous trouvâmes chez divers sujets des opacités de 46 500 au lieu de 2 520 pour le bleu indigo, 5 060 au lieu de 540 et 2 765 au lieu de 176 pour le jaune, 237 au lieu de 52 pour le rouge.

En définitive, les radiations lumineuses visibles qui frappent latéralement la tête du Canard :

1° pénètrent d'autant plus les tissus que leur *longueur d'onde* est *plus grande*. Cette notion s'accorde avec les résultats antérieurement établis

(1) Benoit, Walter et Assenmacher, *J. Physiol.*, 42, 1950, p. 537.

sur divers tissus animaux (Guthmann, 1927; Pauli et Dennig, 1927; Cartwright, 1930; Danforth, 1930; Bachem et Reed, 1931, etc.);

2° trouvent, lorsqu'elles sont obliques, une voie de pénétration particulièrement favorable au niveau de l'orbite, grâce à l'œil qui fait office de *lentille*;

3° parviennent en quantité non négligeable par cette voie au cerveau et notamment à la *région de l'hypothalamus*, qui commande la fonction gonadostimulante de l'hypophyse.

BIOLOGIE EXPÉRIMENTALE. — *Sur l'existence de caractères sexuels secondaires* ♀ *et sur le déterminisme de leur différenciation chez* Xiphophorus helleri H. O. Note de M. **Jean Vivien**, transmise par M. Maurice Caullery.

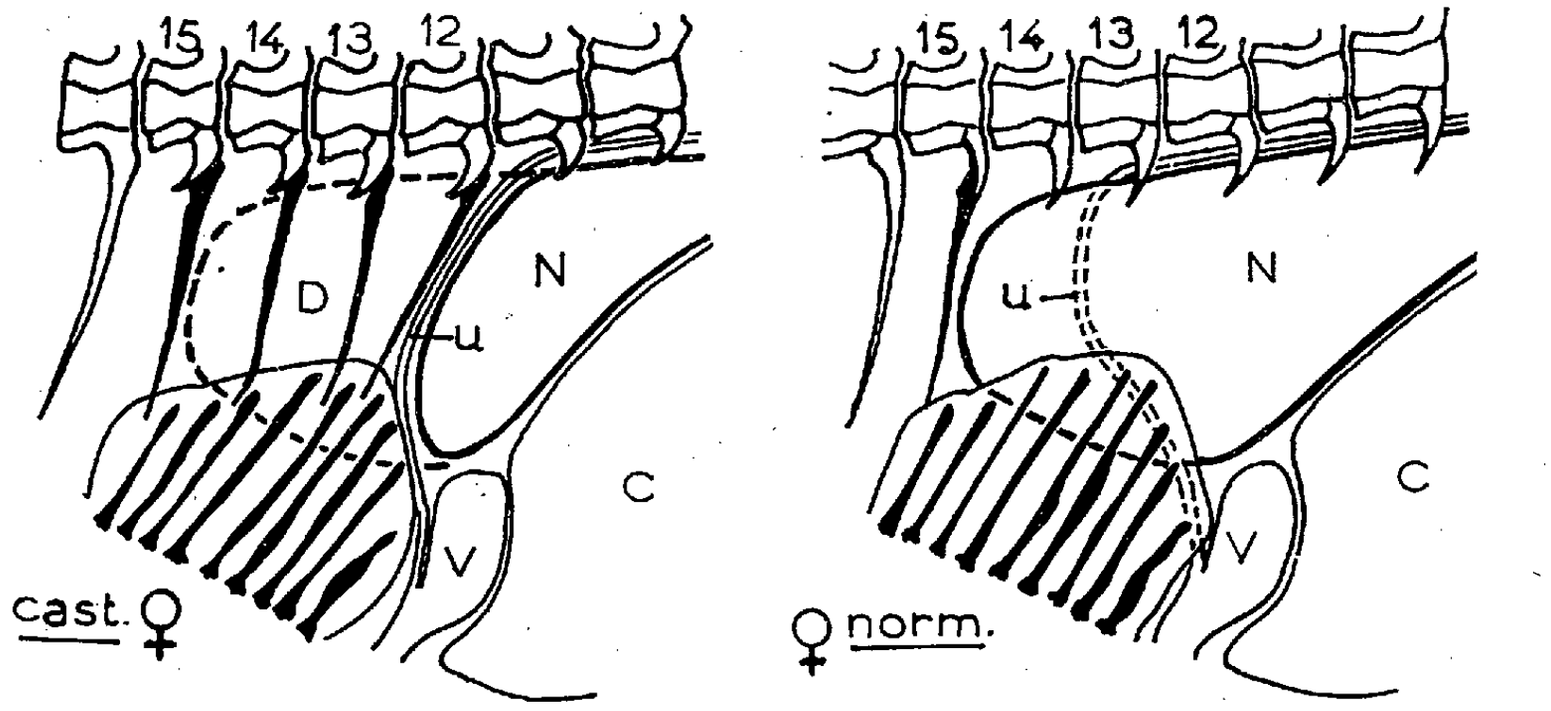
Nous avons montré (1) que l'anatomie de la région postviscérale des ♀ de Xiphophores se distinguait nettement de celle des ♂ et se différenciait très tôt, à partir d'un type d'organisation indifférent rencontré chez les jeunes dont les indices corporels sont inférieurs à 150/55. Ces caractères anatomiques portent sur : la structure du squelette interne axial, qui subit, parallèlement à l'entrée en maturation de la gonade, des modifications importantes (régression progressive des hémapophyses et hémépines correspondant aux 12e, 13e et 14e corps vertébraux chez les ♀); la morphologie de la vessie natatoire, qui, chez les ♀, s'étend vers l'arrière en un lobe unique, alors qu'elle est bilobée chez les ♂; la position des uretères, qui, chez les ♀, sont rejetés latéralement au lieu de rester dans le plan sagittal du corps; le maintien au stade indifférencié des pièces interhémales supportant la nageoire anale restée, elle aussi, indifférenciée; le faible développement de la musculature motrice de la nageoire anale.

Après avoir précisé (1) les conditions dans lesquelles s'effectue cette différenciation, nous avons été amené à en rechercher le déterminisme.

La *castration*, pratiquée sur des jeunes, n'ayant pas dépassé les indices 120/30, montre, qu'après 7 et 8 mois de survie (limites normales de la différenciation), tous les castrats conservent une structure de la région postviscérale comparable à celle des jeunes ♂ immatures (persistance des hémapophyses et hémépines indifférenciées : indifférenciation des épines interhémales et des rayons de la nageoire anale; maintien des uretères en position sagittale; massif musculaire moteur de la nageoire peu développé; extension postérieure, bilobée, de la vessie natatoire, de part et d'autre d'un septum formé autour des hémépines persistantes) (voir *figure*).

(1) J. Vivien, *C. R. Soc. Biol.*, 145, 1951, p. 1551; J. Vivien et T. Mohsen, *C. R. Soc. Biol.*, 145, 1951, p. 1364.

La castration pratiquée sur des jeunes, d'indices compris entre 120/30 et 150/55, permet d'obtenir des castrats ♂ qui conservent tous le type décrit ci-dessus, tandis qu'un assez grand nombre de castrats ♀ présentent des types transitoires de régression des hémépines d'autant plus accusés que la castration est plus tardive. Ces formes intermédiaires correspondent à des phases de la différenciation normale que nous avons décrites antérieurement (1).



Schémas comparatifs des structures rencontrées chez une ♀ castrée et chez une ♀ normale témoin. C, cavité viscérale; D, diverticule postérieur de la vessie natatoire N; *u*, uretères; *v*, vessie urinaire.

Il semble donc que les phénomènes régressifs observés chez les ♀ soient sous le contrôle de la gonade; les régressions observées s'amorcent très précocement, dès le début de l'entrée en petit accroissement de l'ovaire.

L'étude expérimentale de l'*action des hormones* sexuelles ainsi que des *implants de gonades fraîches*, nous a montré que : le *propionate de testostérone* ou l'*anhydrooxyprogestérone* provoquaient, chez les jeunes ♀ traitées avant la phase de différenciation (indice 150/55), le maintien des hémépines et leur différenciation en gonapophyses, ainsi que la différenciation en gonactines des épines interhémales et l'apparition d'un gonopode plus ou moins typique (2); les mêmes traitements, appliqués tardivement, ne maintiennent et ne masculinisent que les formations non encore régressées lors de l'intervention; même en présence de l'ovaire intact, les hormones masculinisantes, appliquées à doses pharmacologiques, inhibent toute régression et provoquent une différenciation ♂ des éléments squelettiques du suspensonium gonopodial, présents au moment de l'intervention; la *déhydrofolliculine* ainsi que l'*acide diméthyléthylallénolique* (3).

(2) J. Vivien et T. Mohsen, *C. R. Soc. Biol.*, **146**, 1952, p. 773.

(3) Novestrine Cremy G. C.

nous ont donné des résultats inconstants, provoquant, dans quelques cas seulement (17/26 survivants), la régression des hémépines chez les jeunes ♂ castrés ou entiers : l'*implantation répétée d'ovaires jeunes* à des ♂ infantiles castrés provoque l'apparition d'une morphologie ♀ plus ou moins complète.

Il existe donc, chez les Xiphophores, une différenciation morphologique postviscérale, spécifique du sexe ♀ qui met en jeu des processus régressifs contrôlés par l'ovaire, vraisemblablement par une sécrétion de nature hormonale œstrogène. Cette action est très précoce. Le type ♀ n'est pas le type neutre de l'espèce, comme l'avaient signalé tous les auteurs n'ayant pris en considération que la morphologie externe, mais un type sexuellement différencié, qui s'oppose au type infantile et au type ♂. Le type neutre manifesté chez les castrats, ne peut être rencontré que chez les ♂ en différenciation tardive, pendant une courte période qui précède l'entrée en prématuration du testicule.

BIOLOGIE EXPÉRIMENTALE. — *Régénération et métamorphose chez un Batracien anoure*, Alytes obstetricans. Note de M. **Maurice Lecamp**, présentée par M. Pierre-P. Grassé.

Chez les Batraciens anoures, en général, le pouvoir de régénération disparaît, au cours du développement larvaire, à l'approche de la métamorphose. Pour certains auteurs, c'est l'hormone thyroïdienne qui est considérée comme responsable de cette inhibition, soit en modifiant les tissus en général de l'organisme, soit en agissant plus particulièrement sur ceux de régénération. Ces opinions sont énoncées, pour la plupart, à la suite d'expérimentations utilisant des substances, provoquant ou inhibant la métamorphose, en solution dans le liquide d'élevage des animaux. Par cette technique opératoire, les organes en régénération sont en contact avec ces substances et celles-ci peuvent agir directement sur les régénérats, surtout au début du processus. Pour cette raison, il nous a semblé préférable de rechercher les rapports de la régénération et de la métamorphose en laissant celle-ci se dérouler normalement.

Environ 15 jours avant la métamorphose, à 21 têtards d'*Alytes* au stade III (1), la presque totalité d'un des membres postérieurs est supprimée par une section pratiquée dans le milieu de la cuisse. De l'ensemble des opérés, 4 restent à l'état de têtard; pour les autres métamorphosés normalement : 7 ne régénèrent pas, 2 donnent des membres normaux et 8 développent des régénérats atypiques. Chez ces derniers, les appendices

(1) *Comptes rendus*, **220**, 1950, p. 1110.

régénérés sont très différents entre eux soit par le nombre de doigts, l'absence d'une partie du membre ou d'une articulation soit, enfin, par la production de protubérances plus ou moins importantes. Les régénérats ont la forme d'une palette aux premiers signes de la métamorphose, au cours de celle-ci et jusqu'à sa fin leur croissance et leur différenciation se poursuivent mais les formations n'en restent pas moins, en général, imparfaites. Il en est différemment si la régénération est provoquée par amputation du membre au même stade, mais à une époque très éloignée de la métamorphose, 6 à 7 mois. Dans une expérience précédente, réalisée sous cette condition (²), les régénérats normaux obtenus le sont dans une proportion beaucoup plus importante. Si les amputations sont faites à la même époque d'éloignement de la métamorphose, mais sur des membres d'un stade plus évolué, les régénérations sont de plus en plus déficientes et même absentes. Chez les Anoures, habituellement étudiés, les membres postérieurs acquièrent leur développement définitif près de la métamorphose.

La relation chronologique des deux phénomènes a fait considérer celle-ci responsable de la perte du pouvoir de régénération de ceux-là. En fait, les deux processus ne sont pas nécessairement liés; chez le Têtard d'*Alytes*, par exemple, les membres postérieurs peuvent être à un stade où ils ne régénèrent plus ou presque plus, tout en étant à une époque éloignée de la métamorphose. C'est ainsi que dans les deux dernières expériences précitées, les régénérats sont plus ou moins normaux selon l'état d'évolution des membres au moment de l'amputation; il y a un stade limite de possibilité de régénération sans, pour cela, que la métamorphose entre en jeu.

Dans la première expérience, à l'encontre des deux autres la régénération est provoquée très près de la métamorphose. Malgré que les membres soient amputés à un stade où ils peuvent régénérer normalement, en raison de la rapidité du développement, les moignons de régénération atteignent très vite le stade limite où ils peuvent difficilement régénérer — les régénérats en sont d'autant atypiques — en même temps que la métamorphose se déclenche. Il y a apparence de relation entre les deux processus.

La métamorphose s'effectuant naturellement n'est pas la cause de la perte du pouvoir de régénération chez le Têtard d'*Alytes*. Elle n'est pas non plus inhibitrice d'un processus de régénération préalablement provoqué et en cours d'évolution au moment où elle se manifeste.

(²) *Loc. cit.*, 1950.

RADIOBIOLOGIE. — *Action restauratrice de la peroxydase sur des bactéries irradiées.* Note de M. **Raymond Latarjet**, présentée par M. Antoine Lacassagne.

La peroxydase, comme la catalase, restaure certaines bactéries vouées à la stérilité par de fortes doses de rayons ultraviolets. Cette restauration semble résulter de ce que l'enzyme catalyse l'oxydation de substrats organiques par certains peroxydes radio-formés, et détourne ainsi ces derniers du processus d'altération cellulaire.

Certaines bactéries, stérilisées par de fortes doses de rayons ultraviolets, sont restaurées par la catalase (1), en ce sens que le nombre des cellules irradiées capables de donner une colonie sur gélose est augmenté de 100 à 1000 fois par l'adjonction de cet enzyme *après* l'irradiation. L'action restauratrice intéresse des composés relativement stables qui sont probablement des peroxydes organiques produits par l'irradiation du protoplasme bactérien, et qui constituent des intermédiaires dans le processus de la radiolésion léthale (2). Lors d'un chauffage progressif, la catalase voit décroître, puis disparaître son pouvoir de restauration en même temps que son activité enzymatique (3). La restauration est donc liée à une manifestation enzymatique de la catalase, c'est-à-dire soit à la décomposition d'hydroperoxydes (effet catalasique), soit à l'engagement de ces substances dans l'oxydation de substrats voisins (effet péroxydasique). L'effet catalasique apparaît peu probable du fait que le pyruvate de sodium et la réductose, qui décomposent l'eau oxygénée, ne restaurent pas. Les expériences suivantes démontrent qu'il s'agit bien d'un effet peroxydasique, en révélant que la peroxydase, qui n'assure que cet effet, restaure également.

Un échantillon de peroxydase, extrait du raifort et procuré par B. C. Saunders (4), a été essayé comparativement à la catalase sur *E. coli*, souche K. 12 S, selon la technique de restauration déjà décrite (2). Le tableau ci-après donne les détails et les résultats d'une expérience.

L'échantillon, dont l'activité était environ le quart de celle des préparations les plus actives connues, donnait la restauration maximum à la concentration de 50 γ par centimètre cube de gélose. Tout comme avec la catalase, la restauration était augmentée par une illumination modérée du mélange bactéries irradiées-enzyme avant l'incubation.

---

(1) J. Monod, A. M. Torriani et M. Jolit, *Comptes rendus*, 229, 1949, p. 557.
(2) R. Latarjet et L. R. Caldas, *J. gen. Physiol.*, 35, 1952, p. 455.
(3) B. Miletic et P. Morenne, *Ann. Inst. Pasteur*, 83, 1952, p. 515.
(4) B. C. Saunders et G. H. Watson, *Biochem. J.*, 46, 1950, p. 629.

TABLEAU.

K. 12 S en suspension dans un tampon minéral : (1.10^7 cellules par centimètre cube).
U. V. : 2 200 ergs mm^{-2} (λ : 2 537 Å).
Étalement sur gélose : 0,1 cm^3 (10^6 cellules) par boîte.

	Nombres de colonies après incubation			
	témoin (sans enzyme).	avec catalase.	avec peroxydase.	avec catalase et éthanol.
Obscurité.....	0	461	409	822
Lumière.....	3	748	799	1537

Dans tous les cas, peroxydase et catalase donnèrent des taux de restauration si voisins que l'on peut considérer qu'elles restauraient la même catégorie de cellules. Il est donc légitime d'admettre que ces deux enzymes agissent ici selon le même mécanisme, c'est-à-dire par effet peroxydasique : des hydroperoxydes radio-formés doivent être déviés du processus léthal par l'oxydation de substrats organiques, réaction catalysée par l'enzyme, et connue comme étant favorisée par la lumière (5). D'ailleurs, conformément à une suggestion orale de M. A. Rosenberg, on double la restauration en joignant à l'enzyme un excès de substrat oxydable, sous forme d'éthanol (tableau).

La formation d'hydroperoxydes stables par l'irradiation de systèmes organiques a été reconnue, et le rôle de ces substances démontré dans la production de maintes radio-lésions telles que l'effet léthal (6), l'effet mutagène (7), l'induction de la croissance de certains virus (8), (9), la fission des acides nucléiques (10). Les expériences présentes semblent démontrer que le rôle de ces substances dans l'effet léthal des rayons ultraviolets peut, dans certains cas (11), être déjoué par des enzymes qui les réduisent dans des réactions peroxydasiques.

---

(5) J. L. PHILPOT (Communication personnelle).

(6) O. WYSS, F. HAAS, J. B. CLARK et W. S. STONE, *J. cell. comp. Physiol.*, 35, (suppl.), 1950, p. 133.

(7) F. H. DICKEY, G. H. CLELAND et C. LOTZ, *Proc. Nat. Acad. Sc.*, 35 1949, p. 581.

(8) A. LWOFF et F. JACOB, *Comptes rendus*, 234, 1952, p. 2308.

(9) M. OSAWA (Communication personnelle de K. Yamafuji).

(10) B. E. CONWAY et J. A. BUTLER, *J. Chem. Soc.*, 1952, p. 834.

(11) Ce traitement chimique n'a jamais restauré plus de 1 % des cellules irradiées, soit que la réaction restauratrice ait un faible rendement, soit, plus probablement, que le processus lésionnel intéressé ne joue qu'un rôle mineur parmi les processus initiés par l'irradiation et aboutissant à la stérilisation des bactéries.

CHIMIE BIOLOGIQUE. — *Sur la pluralité des ptérines des écailles des cyprinidés et des œufs de* Bombyx Mori. Note de MM. **Michel Polonovski**, **Carlos Alcantara** et **René-Guy Busnel**, présentée par M. Maurice Javillier.

La similitude des propriétés physiques, chimiques et physiologiques nous avait conduits à admettre l'identité de structure d'un certain nombre de substances à fluorescence bleue de nature ptérinique et isolées par nous, soit de l'écaille de carpe, soit des œufs de ver à soie. Nous avions dénommé ce pigment *fluorescyanine* (1) et l'avions considéré comme identique aussi à la ptérine des écailles de poisson extraite par Huttel et Sprengling (2) sous le nom d'ichtyoptérine. Par la suite, Tschesche et Korte (3) attribuèrent à ce dernier dérivé la même constitution que celle de l'acide 2-amino 4.7-dihydroxyptéridine 6-acétique (ou isoxanthoptérineacétique) préparé par synthèse. Mais en chromatographiant à l'aide d'une solution de $ClNH_4$, Hirata, Nawa, Matsuura et Kakizawa (4) obtinrent une différenciation de la fluorescyanine et du pigment du ver à soie. De notre côté, nous avons été également amenés, lors d'une étude comparée de toutes ces ptérines d'origine différentes, à revenir sur nos conclusions initiales et à reconnaître la dualité certaine des pigments fluorescents des écailles de *Cyprinus carpio* et des œufs de *Bombyx Mori*.

De même, l'identité de l'acide isoxanthoptérineacétique avec notre fluorescyanine nous paraissait improbable du fait de la différence de stabilité du carboxyle du produit de synthèse, ce dernier se transformant facilement en méthylisoxanthoptérine sous l'effet d'une élévation de température.

Lorsque nous utilisons la même technique de chromatographie sur papier que Tschesche, si nous partons de 3 gouttes d'une solution contenant 1 mg de ptérine dans 100 cm^3 de NH_3, 3N, sur papier Watman n° 1, nous obtenons, en développant, à l'aide d'une solution aqueuse de $ClNH_4$ à 3 %, les R_F suivants, révélés par fluorescence en ultraviolet.

Ptérine de l'écaille de carpe.....	0,64
» des œufs de *Bombyx Mori*.....	0,32
Acide isoxanthoptérineacétique.....	0,64 et 0,30
Méthylisoxanthoptérine.....	0,30

La deuxième tache de R_F 0,30, obtenue à partir de l'acide isoxanthoptérineacétique, correspond au dérivé décarboxylé qui se forme au cours des

(1) M. Polonovski, R.-G. Busnel et M. Pesson, *Comptes rendus*, 217, 1943, p. 163.
(2) *Ann. Chem.*, 554, 1943, p. 69.
(3) *Ber. Dtsch. Chem. Ges.*, 84, 1951, p. 801.
(4) *Experientia*, 8, 1952, p. 339.

manipulations. Ainsi, la ptérine des œufs de ver à soie est bien distincte de celle que l'on trouve dans les écailles de Carpe (malgré la similitude de leur chromatogramme sur papier effectué à l'aide de solvants organiques divers ou de la chromatographie sur colonne d'alumine).

D'autre part, l'acide isoxanthoptérineacétique se décarboxyle très facilement et donne toujours une tache parasite sur le chromatogramme correspondant à la méthylisoxanthoptérine situé à un niveau très voisin de celui qui provient de la ptérine des œufs de *Bombyx Mori*. Cependant, un extrait méthanolique et ammoniacal de ces œufs, convenablement purifié, se comporte d'une manière très différente au cours d'une chromatographie sur colonne d'alumine du comportement de la méthylisoxanthoptérine de synthèse. Cette dernière se situe nettement plus bas, la plage fluorescente restant en surface de la colonne d'adsorption.

Nous arrivons donc à la conclusion que la fluorescyanine (des écailles de Carpe) est distincte à la fois de la ptérine des œufs de *B. Mori* (pour laquelle nous proposons le nom de fluorescyanine B ou, encore, d'*isofluorescyanine*) et de l'ichtyoptérine, si celle-ci répond bien à la formule de l'acide 2-amino 4.7-dihydroxyptéridine 6-acétique. Il n'est pas non plus encore démontré que la fluorescyanine B soit identique à la méthylisoxanthoptérine.

CHIMIE BIOLOGIQUE. — *Présence dans les huiles de foies de poissons d'un nouveau composé antirachitique et de son précurseur.* Note de M. **Yves Raoul**, Mlle **Noellie Le Boulch**, MM. **Jean Chopin**, **Paul Meunier** et Mme **Andrée Guérillot-Vinet**, présentée par M. Maurice Javillier.

Nous avons précisé dans une Note récente (¹) les méthodes de synthèse de notre vitamine D_7 à partir du cholestérol. Nous exposons comment on peut l'extraire des huiles de foies de poissons.

1° *Extraction du composé antirachitique préformé.* — Dans une petite ampoule à décanter renfermant 20 cm³ d'eau du robinet (suffisamment calcaire), on ajoute 5 cm³ de potasse méthanolique à 5 % récemment préparée à chaud et refroidie. On verse 5 cm³ d'huile de foie de morue et l'on procède à des extractions rapides et répétées par l'éther sulfurique sans peroxyde jusqu'à ce que l'extrait éthéré évaporé et repris par le réactif de Carr et Price en présence d'une goutte d'anhydride acétique ne donne plus de coloration sensible. On laisse finalement la phase hydro-alcoolique en présence de 20 cm³ d'éther sulfurique jusqu'au lendemain. L'extrait éthéré présente alors un spectre ultra-

(¹) *Comptes rendus*, 235, 1952, p. 1439.

violet simple avec maximum à 265 mμ. On concentre sous vide ou sous courant d'azote à 2 ou 3 cm³, on filtre rapidemant sur une petite colonne renfermant 1 g d'alumine à chromatographie Prolabo, on achève de concentrer à tout petit volume et on précipite par le méthanol refroidi à — 20°. On obtient un fin précipité que l'on peut purifier, à partir de plusieurs opérations, par redissolution dans l'éther et précipitation dans le méthanol.

Le corps obtenu ne peut être distingué de celui qui est préparé par synthèse (²). $E^{1\%}_{1\,cm}$ à 265 mμ : 110 à 120 (éther sulfurique), rapport C/H = 7,3 environ. Un résidu calcique de 15 à 20 % s'observe après combustion. L'activité antirachitique sur le Rat est de 20 000 U.I./mg.

Cette extraction reproduit le dernier stade de la préparation synthétique du même corps à partir du cholestérol tel que nous l'avons décrit récemment (¹). On remarquera que le principe de l'extraction repose sur *le passage très lent du corps actif calcique dans l'éther sulfurique*.

Le corps actif isolé est le composé dit « actif en milieu alcalin » (²), mais il se présente sous la forme « active en milieu acide » dans l'huile naturelle en raison de la réaction acide de celle-ci. L'alcoolisation *à froid* en présence de traces de chaux assure la transformation en forme « alcaline » calcique sans toutefois activer le précurseur.

On peut répéter l'expérience avec des huiles de foies d'autres espèces de poissons, de requin par exemple, mais les extractions préliminaires pour éliminer la vitamine A et divers stérols sont plus laborieuses.

2° *Extraction et activation du précurseur.* — On filtre sur une petite colonne renfermant environ 3 g d'alumine à chromatographier Prolabo, une solution de 1 cm³ d'huile de foie de Requin concentrée par distillation moléculaire à 500 000 U. I. de vitamine A par gramme, dans 5 cm³ de tétrachlorure de carbone. On lave avec du tétrachlorure de carbone jusqu'à non-coloration du filtrat évaporé par le réactif de Carr et Price. On élimine ainsi notamment les esters de la vitamine A et le corps actif préformé. Le précurseur, accompagné de la vitamine A alcool, est élué par l'éther sulfurique. On évapore sous vide et l'on reprend par 5 cm³ de potasse méthanolique à 5 %. On chauffe une minute à l'ébullition et l'on verse dans une ampoule à décantation renfermant 20 cm³ d'eau du robinet suffisamment calcaire. Les extractions immédiates par l'éther sans peroxyde éliminent notamment la vitamine A alcool. Après 12 h, on extrait le même produit « actif en milieu alcalin » que précédemment. On peut aussi isoler de façon intermédiaire le précurseur en concentrant l'éluat éthéré et en précipitant par le méthanol à froid. Le traitement alcalin *à chaud* est ici indispensable pour activer le précurseur. On peut aussi extraire de même et activer le précurseur de l'huile de foie de Morue.

(²) *Comptes rendus*, **232**, 1951, p. 1258 et **234**, 1952, p. 2493.

Par gramme d'huiles de foies, on obtient les rendements suivants de produit final exprimés en microgrammes (3) :

	Préformé.	Précurseur.
Morue.....	16,2	8,6
Thon.....	67	—
Requin (DM).....	36	220

L'activation facile du précurseur en milieu alcalin rend compte des excédents d'activité observés par saponification des huiles naturelles (4). Le fait que l'activité antirachitique des huiles soit en majeure partie due à notre produit, qui n'a pas de fonction alcool libre, explique les échecs (4), (5) ou les anomalies (6) d'isolement de la vitamine D_3. Enfin, la présence de cette dernière dans les huiles (7) n'est pas inconciliable avec les conclusions du présent travail en raison des relations de structure entre vitamines D_3 et D_7 que nous exposerons prochainement.

En résumé, les derniers stades de l'activation du cholestérol en milieu acide se retrouvent dans les huiles de foies de divers poissons. Une partie importante, sinon la totalité de leur activité antirachitique, doit être rapportée au corps actif dont nous avons décrit la synthèse (1), (2).

CHIMIE BIOLOGIQUE. — *Analogues structuraux de la chloromycétine.* VI. *Action bactériostatique de bases de Schiff apparentées au chloramphénicol.* Note de Mlles **Denise Billet** et **Christiane Marnay**, présentée par M. Maurice Javillier.

Les relations entre la structure chimique et l'activité bactériostatique dans la série du chloramphénicol ont été étudiées par de nombreux auteurs. Nous avons limité nos investigations à la série des *p*-nitrophénylsérines et de leurs dérivés (1).

La préparation de la *p*-nitrophénylsérine sous ses deux configurations érythro et thréo, nous a conduites à effectuer des condensations au cours desquelles nous avons isolé les bases de Schiff de l'érythro (I), et du

(3) On obtient les activités correspondantes en U. I. en multipliant ces chiffres par 20.

(4) O. Neracher et T. Reichstein, *Helv. Chim. Acta*, 19, 1936, p. 1382.

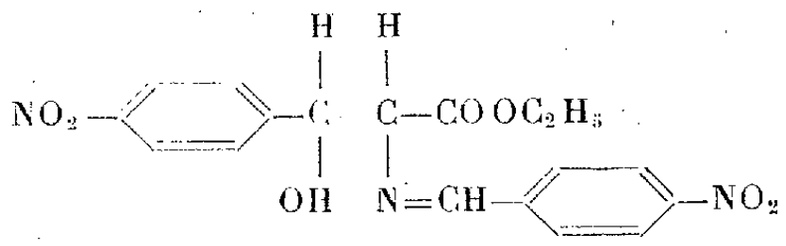
(5) G. A. D. Haslewood et J. C. Drummond, *J. Soc. Chem. Ind.*, 55, 1936, p. 598.

(6) C. E. Bills, O. N. Massengale, K. C. D. Hickman et E. L. Gray, *J. Biol. Chem.*, 126, 1938, p. 241.

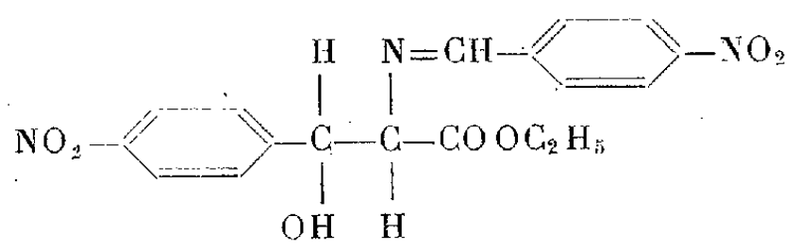
(7) H. Brockmann, *Z. Physiol. Chem.*, 241 1936, p. 105; 256. 1938, p. 252.

(1) D. Billet, *Bull. Soc. Chim. Fr.*, 1952, p. 33 D-38 D.

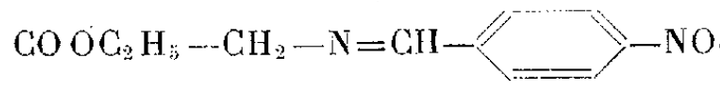
thréo (II)-*p*-nitrophénylsérinate d'éthyle et du glycocollate d'éthyle (III) (²).



(I) (F 148°)



(II) (F 121°)



(III) (F 83°)

L'activité bactériostatique (sur *E. coli* cultivé sur milieu synthétique) de ces trois composés est représentée dans le tableau I, parallèlement à celle de la chloromycétine et de l'aldéhyde *p*-nitrobenzoïque (A-*p*-NB) (inhibiteur déjà connu) (³).

TABLEAU I.

Substances étudiées.	Concentrations.	Croissance de *E. coli*: 16 h.	40 h.
Témoin	–	+++	+++
Chloromycétine	10^{-5}	0	0
	10^{-6}	+	++
Corps (I)	2.10^{-4}	0	0
	5.10^{-5}	0	++
	10^{-5}	+	++
Corps (II)	3.10^{-4}	0	+++
	10^{-4}	+++	+++
Corps (III)	5.10^{-5}	0	+
	10^{-5}	+	++
Acide *p*-nitrobenzoïque	3.10^{-5}	0	+
	10^{-5}	+++	+++

Les trois bases de Schiff sont bactériostatiques à des concentrations diverses,

(²) D. BILLET (sous presse).

(³) S. M. ROSENTHAL, HUGO BAUER et E. ELVOVE, *U. S. Pub. Health Repts*, 54, 1939, p. 1317-1336.

mais, dans tous les cas, l'inhibition est du même type que celle de la chloromycétine ou de l'A-*p*-N B : en effet entre les concentrations inactives et celles entraînant une inhibition totale et durable, *la zone permettant une faible croissance de* E. coli *est très étroite*. Cette similitude de mode d'action entre ces bases de Schiff et l'A-*p*-N B nous a amenées à faire l'hypothèse suivante : l'activité bactériostatique de ces composés serait due à une libération d'aldéhyde *p*-nitrobenzoïque.

Le tableau II représente, pour chaque composé étudié, la quantité d'A-*p*-N B de la molécule, correspondant à la concentration bactériostatique limite (croissance O en 16 h et ++ en 40 h).

TABLEAU II.

	Concentration bactériostatique limite.	Aldéhyde *p*-nitrobenzoïque correspondant.
Chloromycétine	5.10^{-6}	$2,5.10^{-6}$
A-*p*-N B	3.10^{-5}	3.10^{-5}
(I)	5.10^{-5}	2.10^{-5}
(III)	5.10^{-5}	$3,2.10^{-5}$
(II)	3.10^{-4}	$1,2.10^{-4}$

Ces chiffres sont favorables à l'hypothèse ci-dessus pour les dérivés (I) et (III) dont l'activité correspond à celle de l'A*p*-NB qu'ils renferment. Dans le cas des stéréoisomères (I) et (II), le dérivé érythro est le plus actif et c'est justement celui dans lequel l'A*p*-NB peut être libéré le plus facilement *in vitro*.

Cependant l'activité de la chloromycétine est environ dix fois supérieure à celle que l'on pourrait déduire de sa teneur en A*p*-NB. Celui-ci, quoique engagé sous forme aldol, chimiquement plus stable que la liaison anile des dérivés (I), (II), (III), apparaît néanmoins au cours de la dégradation de la chloromycétine ajoutée aux milieux de culture de la plupart des bactéries étudiées ([4]). L'action exceptionnellement antibiotique de ce composé doit donc être rapportée à un mécanisme particulier dont le plus simple serait une pénétration intracellulaire élective pour laquelle interviendrait la configuration générale de la molécule, suivie d'une libération d'A*p*-NB. Par ailleurs, parmi les nombreux analogues structuraux synthétisés, la présence du groupement nitré en para paraît être une condition importante pour l'obtention de substances notablement actives ([5]).

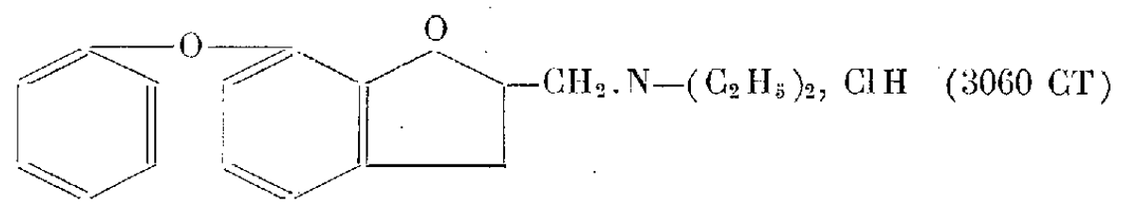
([4]) G. N. SMITH et C. S. WORREL, *Arch. f. Biochem.*, **28**, 1950, p. 232.

([5]) O. DANN et M. ULRICH, *Z. für Naturforschung*, 7 *b*, 1952, p. 6.

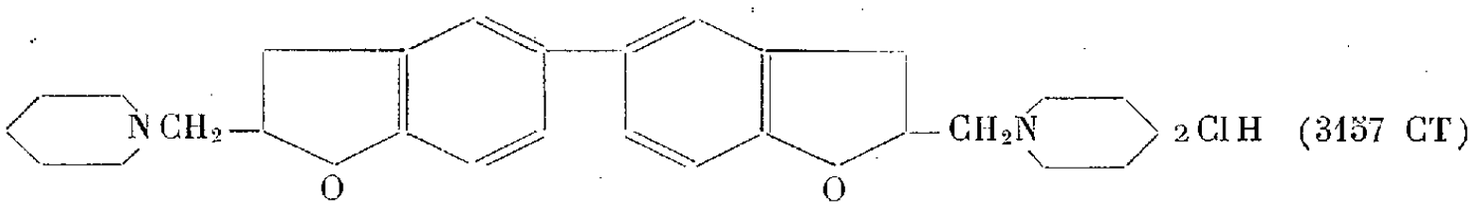
PHARMACOLOGIE. — *Activités cardiaques de deux dérivés aminométhyl-coumaraniques.* Note de MM. **Albert Funke, Joseph Jacob** et **Karl von Däniken**, présentée par M. Jacques Tréfouël.

Deux dérivés d'aminométhylcoumaranes sont étudiés. L'un deux, le chlorhydrate de diéthylaminométhyl-2 phénoxy-7 coumarane est un antifibrillant puissant, tandis que l'autre, le dichlorhydrate de dipipéridinométhyl-2.2′-dicoumaranyl semble s'apparenter, par ses propriétés, aux corps digitaliques.

Les aminométhylcoumaranes synthétisés jusqu'à ce jour n'ont présenté que des propriétés pharmacologiques relativement peu développées. Cependant, ils peuvent être rattachés aux phénoxyalcoylamines, dont ils ne diffèrent que par la cyclisation de la chaîne latérale aminée. Or, la synthèse et l'étude de diverses séries de phénoxyalcoylamines ont permis de constater que plusieurs d'entre elles sont douées d'activités pharmacologiques intenses. Il nous a paru souhaitable de préparer de nouveaux aminométhylcoumaranes ayant un poids moléculaire relativement élevé, dérivant du diphényle, de l'oxyde de phényle, du diphénylméthane et de la benzophénone, et porteurs d'un cycle aminométhyldihydrofuranique, soit sur l'un des deux, soit sur les deux noyaux aromatiques. Les corps synthétisés ainsi et la suite des réactions permettant leur préparation seront décrits dans une publication ultérieure. Nous étudions, dans cette Note, les propriétés cardiaques de deux de ces produits, dont l'un est un dérivé de l'oxyde de phényle (I) et l'autre du diphényle (II) :



(I)



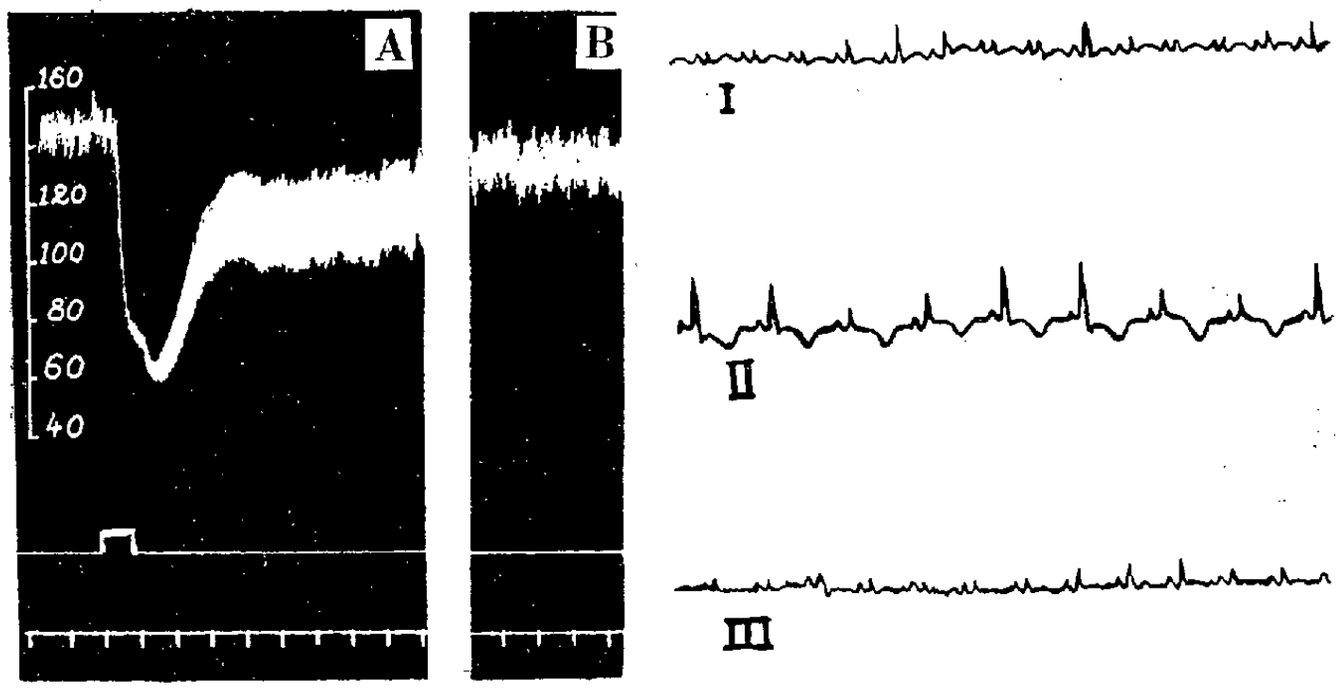
(II)

Le 3060 CT est surtout caractérisé par ses propriétés antiarythmiques. Chez le Chien chloralosé, il interrompt, avec 1-2 mg/kg, l'arythmie préfibrillatoire provoquée par le 2489 F (4-diéthylaminopropylamino-4′-amino-diphénylsulfone) (1) et il prévient cette arythmie à la dose de 5 mg/kg.

(1) D. Bovet, F. Bovet, T. Tréfouël et N. Beaugard, *Comptes rendus*, **222**, 1946, p. 1510; J. Jacob, G. Montézin et D. Bovet, *Arch. Int. Pharmacodyn.*, **80**, 1949, p. 420.

Il s'avère ainsi, avec ce test, au moins aussi actif que le Dacorène (1262 F) connu pour ses propriétés antifibrillantes (²).

Les principaux effets du 3157 CT (II) chez le Chien sont illustrés par la figure ci-après. On y voit que cette substance provoque une nette bradycardie avec inversion de l'onde T de l'électrocardiogramme. Ces phénomènes sont très reproductibles; ils durent, avec 10 à 20 mg/kg, pendant 10 à 20 mn. Classiquement, ces deux effets sont considérés comme assez caractéristiques de l'action des corps digitaliques aux doses thérapeutiques.



Expérience du 20 août 1952. — Chien chloralosé. *A gauche*, tracés tensionnels : A, en ⊓ 20 mg/kg i.v. de 3157 CT; B, 18 m plus tard. *A droite*, électrocardiogrammes : I, témoin (fréquence 130/m). II, 4 m après l'injection de 3157 CT (fréquence 80/m). III, 18 m plus tard (fréquence 100/m).

Le 3157 CT présente d'autres analogies avec les cardiotoniques digitaliques; il accroît, mais de façon modérée et transitoire, l'amplitude des contractions du cœur isolé de Lapin; à dose toxique, il provoque, sur cet organe, des arythmies diverses et parfois des systoles dont la phase de décontraction est anormalement longue. Le 3157 CT, par contre, diffère des corps digitaliques par plusieurs caractéristiques : action hypotensive transitoire (voir *figure*), persistance de la bradycardie et de l'inversion de l'onde T après section des vagues et (ou) atropinisation, absence d'effet tonique sur l'oreillette isolée du Lapin et le cœur de Grenouille, arrêt en diastole de ce dernier organe.

Il serait donc prématuré de considérer le 3157 CT comme un corps digitalique de synthèse; toutefois, sa parenté pharmacologique avec les glucosides cardiotoniques ne nous paraît pas être plus éloignée que celles d'autres substances pour lesquelles des actions à allure digitalique ont

(²) D. Bovet, E. Fourneau, J. Tréfouël et H. Strickler, *Arch. Int. Pharmacodyn.*, 52, 1939, p. 234.

été décrites [lactones (3), acétamidine (4), 2489 F (4)]; en tout cas, le 3157 CT nous semble mériter une étude plus approfondie.

PHARMACODYNAMIE. — *Étude pharmacodynamique de quelques dérivés de la carbamoylcholine.* Note de MM. **Jean Cheymol, Raymond Delaby, Henri Najer** et Mlle **Yvonne Gay**, transmise par M. Léon Binet.

A la suite des travaux de Kreitmair (1) montrant en 1932 la grande activité de la carbamoylcholine, un nombre important de carbamates de la choline a été étudié.

P. Chabrier et deux d'entre nous ayant préparé les iodures des dicarbamates de bischoline du type I (2) ainsi que des analogues du type II qu'ils n'ont pas encore décrits, diverses actions pharmacodynamiques de ces sels d'ammonium quaternaire ont été déterminés.

(I) $$I[(CH_3)_3NCH_2CH_2OCONH-(CH_2)_n-NHCOOCH_2CH_2N(CH_3)_3]I,$$

(II) $$I[(CH_3)_3NCH_2CH_2OCONH-\underset{\displaystyle R}{\underset{|}{CH}}-NH-COOCH_2CH_2N(CH_3)_3]I.$$

Celles-ci sont résumées dans le tableau ci-après en les comparant à l'iodure correspondant au *Doryl* désigné par l'abréviation CC1.

Action curarisante. — Cinq substances sont nettement moins actives que les autres. Ce sont le 600 dont la contiguïté des 2-NH-centraux paraît défavorable et les 621-622-623-631 à chaîne intermédiaire ramifiée. L'activité diminue lorsque croît le nombre d'atomes de carbone de la chaîne ramifiée (622-623).

Pour les corps à chaîne linéaire (600 à 610), l'activité croît lorsque *n* passe de o à 6, puis elle décroît.

Les rapports des doses entraînant la chute de la tête, l'arrêt respiratoire et l'arrêt cardiaque sont assez favorables. Le 606 H. C. est un des curarisants les plus actifs, actuellement connus, parmi les dérivés de la choline. Curarisant

---

(3) N. J. Giarman, *J. Pharmacol.*, 94, 1948, p. 32; 96, 1949, p. 119; F. W. Schueler et C. Hanna, *Arch. Int. Pharmacodyn.*, 86, 1951, p. 91.

(4) B. N. Craver et coll., *J. Pharmacol.*, 99, 1950, p. 353; 101, 1951, p. 353.

(1) H. Kreitmair, *Arch. exper. pathol.*, 164, 1932, p. 346-356.

(2) R. Delaby, P. Chabrier et H. Najer, *Comptes rendus*, 234, 1952, p. 2374; 235, 1952, p. 376.

A notre connaissance, seuls deux de ces corps ont été préparés avant nous, le dérivé dichloré correspondant au 601 *H. C.* (*Voir* tableau), A. Ercoli, *Ann. chimica applicata*, 25, 1935, p. 263-273 et le corps correspondant au 602 *H. C.* (Bovet et coll., *Arch. int. pharmacodyn.*, 88, 1951, p. 1-50, dont les caractéristiques chimiques annoncées par V. Rosnati et D. Bovet, *Gazz. chim. ital.*, 1951, n'ont pas encore paru).

N°.	Constitution.	Toxicité. D. L. 50 Souris i/v (mg/kg).	Action sur P. A. Chien chloralosé. ↘ Par rapport à acétylcholine = 1.	↗ Par rapport à adrénaline = 1.	Action curarisante. Lapin. Chute de la tête (mg/kg).	Arrêt respiratoire (mg/kg).	Arrêt cardiaque (mg/kg).	Action myotique œil. Lapin (sol. à 1 %).	Salivation lapin.
C. C. 1.	$NH_2-COO-CH_2-CH_2-N\equiv(CH_3)_3$ (I)	0,28	— 0,25		0,10	0,33	0,40	+	+++
600 *H. C.*	—NH—NH—	30	— 0,0001		33,5	193	204	0	++
601 *H. C.*	—NH—CH_2—NH—	1,15	— 0,0005		0,67	1,34	2,09	0	
602 *H. C.*	—NH—$(CH_2)_2$—NH—	1,45	— 0,001		1,15	2,36	3,35	0	
604 *H. C.*	—NH—$(CH_2)_4$—NH—	0,5		— 0,006	0,32	0,95	1,22	0	+
605 *H. C.*	—NH—$(CH_2)_5$—NH—	0,27		— 0,008	0,14	0,35	0,40	0	
606 *H. C.*	—NH—$(CH_2)_6$—NH—	0,13		— 0,01	0,034	0,08	0,12	0	
610 *H. C.*	—NH—$(CH_2)_{10}$—NH—	0,5		— 0,005	0,09	0,23	0,33	0	
621 *H. C.*	—NH—CH(CH_3)—NH—	10	— 0,015		8,4	28,8	32,8	0	++
622 *H. C.*	—NH—CH(CH_2—CH_3)—NH—	60	— 0,002		35	89,2	114,7	+	+++
623 *H. C.*	—NH—CH(CH_2—NH—)—CH_3	7,5		— 0,0007	6,70	23,7	27,2	0	
631 *H. C.*	—NH—CH(C_6H_5)—NH—	4	— 0,05		2,6	5,02	5,88	+	++

chez les Mammifères, injecté à l'oiseau il entraîne une contracture. C'est un *leptocurare* au sens de Bovet (²). Ses effets curarisants ne sont pas supprimés par l'ésérine, le moranyl ou le rouge congo.

Action vasculaire. — Les premiers termes ont une action muscarinique supprimée par l'atropine ou la section des vagues.

D'autres sont hypertenseurs d'emblée, mais à action nicotinique supprimée par l'yohimbine, diminuée par surrénalectomie.

Action sécrétoire. — Six des 12 corps étudiés entraînent une exagération des sécrétions salivaire et bronchique.

Action sur l'œil. — Trois des six corps précédents ont une action myotique nette sur l'œil du Lapin.

L'étude pharmacodynamique détaillée de ces corps sera donnée par ailleurs.

MICROBIOLOGIE. — *Étude sur la toxinogenèse diphtérique. Suppression de l'action inhibitrice du fer par l'aération et l'agitation des cultures.* Note (*) de M. **Marcel Raynaud**, Mlle **Renée Saissac** et M. **Raymond Mangalo**, présentée par M. Jacques Tréfouël.

La formation de toxine diphtérique est inhibée, pour des doses relativement faibles de fer, en milieu synthétique, en culture non agitée. Si les cultures sont effectuées avec agitation et aération, l'inhibition par le fer est presque entièrement supprimée. On peut obtenir 60 UF par ml en présence de 1 mg de fer par litre, 36 UF par ml en présence de 4 mg de fer par litre.

Le fer inhibe la formation de la toxine diphtérique en milieu complexe ou synthétique. L'optimum de fer pour la toxinogenèse est bien défini et un excès relativement faible au delà de cet optimum supprime presque totalement la formation de toxine en culture non agitée (¹), (²), (³). Nous l'avons vérifié dans le cas du milieu de Drew et Mueller (⁴). (Nous adressons nos remercimeats au professeur Mueller qui nous a fait parvenir la souche Toronto).

Fer (μg/l).....	0	20	40	50	100	150	200	250	400	500	1000
Toxine (UF/ml).....	22,5	37,5	45	48	48	60	60	45	30	22,5	<6

Milieu Drew et Mueller : 20 ml en Erlenmeyer de 150 ml.
Culture à 33° *non agitée*. Prélèvement au 5e jour. Souche Toronto.

Par contre, l'action inhibitrice du fer cesse presque complètement, même pour des taux très élevés de fer (4 mg/l) si les cultures sont faites en milieu

(*) Séance du 10 décembre 1952.
(¹) J. W. Mueller, *J. Immun.*, **37**, 1939, p. 103.
(²) J. W. Mueller, *J. Immun.*, 42, 1941, p. 343.
(³) A. M. Pappenheimer et S. J. Johnson, *Brit. J. Exp. Path.*, 17, 1936, p. 335.
(⁴) *J. Bact.*, 52, 1951, p. 549.

agité et aéré. L'aération et l'agitation ont été réalisées par emploi de tubes analogues à ceux proposés par Monod (5). Le milieu et la souche étaient les mêmes que dans l'expérience précédente. La croissance a été mesurée par lecture au photomètre Klett-Summerson (écran 540). Dans les expériences effectuées en tubes en T (expériences 3, 8, 9), chaque série à la même concentration en fer, comportait 5 à 10 tubes. A certaines périodes, un tube était prélevé pour la détermination de la toxine par floculation.

Étant donné les fluctuations observées de récipient à récipient dans la toxinogénèse, les expériences de caractère statistique ainsi réalisées, présentent toujours des variations inattendues. Si l'on veut obtenir une vue plus exacte du phénomène, il faut opérer les prélèvements en fonction du temps dans le même ballon (6). C'est pourquoi l'expérience a été répétée en ballons de Fernbach de 1 l contenant 100 ml *de milieu* (*a*) et en Erlenmeyer de 1 l contenant 50 ml *de milieu* (*b*).

Expérience 3 :

Fer ajouté (*).	24 h.	41 h.	65 h.	4 j.	8 j.
0.....	< 6 (**)	18	36	51	42
50.....	< 6	23	60	48	75
175.....	< 6	18	63	54	75
1000.....	< 6	< 6	30	–	60

Expérience 9 :

Fer ajouté (*).	21 h.	40 h.	3 j.	5 j.	6 j.	7 j.
0.....	< 6	20	38	55	45	48
175.....	< 6	20	39	39	44	45
1000.....	< 6	20	–	36	36	36
4000.....	< 6	20	24	35	36	36

Expérience 8 :

Fer ajouté (*).	47 h.	3 j.	4 j.	6 j.	8 j.
0.....	< 6	29	30	21	18
175.....	< 6	36	33	28	33
1000.....	< 6	30	33	30	30
4000.....	< 6	33	32	30	30

Expérience 11 :

Fer ajouté (*).				
a (***).	39 h.	3 j.	4 j.	7 j.
0.....	< 6	12	12	< 6
175.....	12	24	27	24
1000.....	24	36	36	42
4000.....	12	18	18	18
b (***).				
0.....	18	42	54	42
175.....	12	36	45	48
1000.....	24	60	68	48
4000.....	< 6	18	18	24

Nota. — Toutes les cultures ont été faites à 33° et agitées.
(*) Fer ajouté : microgramme par litre.
(**) Les chiffres rapportés correspondent au nombre d'unités de floculation par millilitre.
(***) *a*. Ballons de Fernbach; *b*. Erlenmeyers.

En conclusion, l'inhibition de la toxinogénèse diphtérique par le fer en excès peut être supprimée ou considérablement réduite par certaines conditions de culture (agitation et aération). L'optimum de fer pour la toxinogénèse augmente lorsque l'apport (ou l'accessibilité) de l'oxygène est augmenté.

(5) *Bioch. et Biophys. Acta*, 7, 1951, p. 585.
(6) M. Raynaud, R. Saissac, A. Turpin et M. Rouyer, *Ann. I. P.*, 1952, (sous presse).

L'évolution de la toxinogénèse en fonction du temps montre que dans ces conditions particulières de culture, la formation de toxine en présence d'un excès de fer est retardée par rapport à la toxinogénèse observée avec le taux optimum de fer. Si l'on arrêtait les cultures assez tôt, ce retard simulerait une inhibition totale (expérience 3, 41 h). L'inhibition classique observée en culture non agitée n'est pas de ce type car la prolongation de la culture jusqu'à 21 jours ne permet pas de faire apparaître de toxine en présence d'un excès de fer.

Divers auteurs (7), (8) avaient noté que l'aération augmentait la tolérance en fer du bacille diphtérique pour la toxinogénèse en milieu complexe. Mais pour des taux élevés de fer dans le milieu, ils retrouvaient toujours une inhibition totale. La suppression de l'inhibition que nous avons observée constitue un fait nouveau dont l'importance tient aux hypothèses qui ont été formulées ponr expliquer l'action du fer sur la formation de la toxine diphtérique.

PATHOLOGIE DES INSECTES. — *L'effet de l'alcalinité du milieu de culture sur la virulence de* Bacillus cereus *var.* alesti *Toum. et Vago, pour les Vers à soie.* Note de (*) MM. **Constantin Toumanoff** et **Constantin Vago**, présentée par M. Émile Roubaud.

Bacillus cereus var. *alesti* Toum. et Vago, très pathogène pour les Vers à soie en milieu de culture à réaction neutre (pH 7), perd sa virulence après plusieurs passages sur la gélose ordinaire alcaline (pH 9).

Le pH de culture peut ainsi être considéré comme un des facteurs entravant ou favorisant l'effet pathogène sur les insectes des bacilles entomophytes.

Nous avons décrit, sous le nom de *Bacillus cereus* var. *alesti* Toum. et Vago, un bacille, agent d'une flacherie infectieuse, très virulent *per os* pour les Vers à soie et dont nous avons défini les modalités d'action sur ces Insectes. Il fut établi que ce bacille exerce sur les Vers un double effet mortel, toxique et septicémique (1), (2).

La mort rapide est très constante, aussi bien avec des germes provenant de l'hémolymphe des individus malades, des tissus lysés des chenilles mortes, de la poudre provenant des cadavres desséchés, qu'avec ceux qui ont été maintenus en cultures, même pendant trois ans, sur milieu ordinaire, neutre.

---

(7) F. V. Lingwood et E. L. Fenton, *Brit. J. Exp. Path.*, 28, 1947, p. 354.

(8) S. Mitsuaki, M. Kurokawa et Y. C. Kojima, *Jap. J. Exp. Med.*, 21, 1951, p. 25.

(*) Séance du 10 décembre 1952.

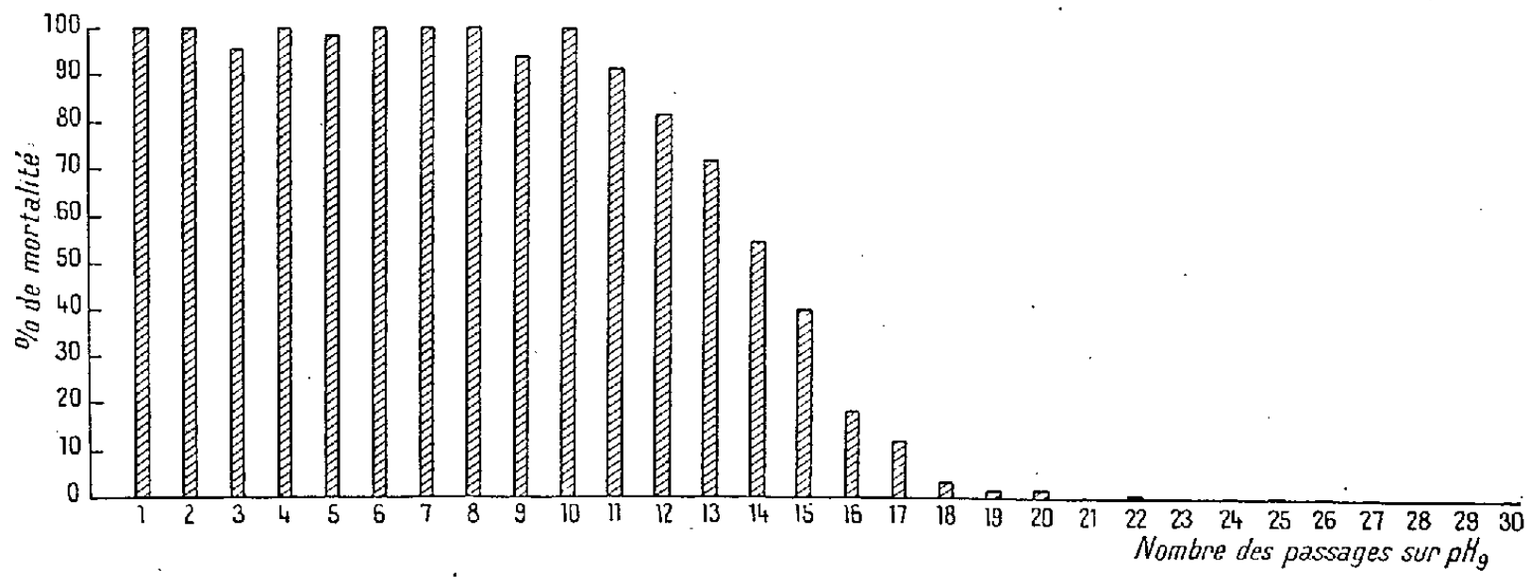
(1) *Comptes rendus*, 233, 1951, p. 1504.

(2) *Ann. Inst. Pasteur*, 83, n° 3, 1952, p. 421.

Nous avons observé, par contre, qu'une action toxique lente ou une septicémie retardée survient non seulement quand la dose des microbes ingérés est faible (²), mais souvent aussi quand le microbe a été transporté d'un milieu neutre sur un autre plus alcalin. Nous avons alors recherché un rapport éventuel entre l'alcalinité du milieu et la virulence de *Bacillus cereus* var. *alesti*.

A cet effet, nous avons utilisé comparativement pour l'infection de nos chenilles des cultures ayant subi de 1 à 30 passages sur gélose nutritive de pH 9.

Les chenilles expérimentées étaient au 4ᵉ âge. Les essais avec les cultures correspondant à chaque passage ont été effectués sur 100 vers, provenant d'un élevage spécial d'automne.



Le graphique ci-contre montre la mortalité survenue dans les 24 h qui ont suivi le repas infectant, ce dernier étant constitué, dans ce cas particulier, par une anse de culture de *B. cereus* var. *alesti* dans 1 cm³ d'eau physiologique, dose invariablement fatale pour les vers.

Nous voyons que, dans le cas d'infection par cultures n'ayant subi que de 1 à 8 passages sur milieu de pH 9, la mortalité se maintient à 100 % comme avec les cultures en pH neutre.

A partir du 10ᵉ passage, la mortalité diminue progressivement, de telle sorte qu'après 14-15 passages elle n'atteint plus que 50 %.

On observe une atténuation de la toxicité : la mort ne survient plus qu'après plusieurs heures, quelquefois en 24 h, sans présence de bacilles dans l'hémolymphe, mais avec pullulation de ces derniers dans la partie moyenne du tube digestif.

Bien que nous observions des septicémies tardives au cours des infections avec les cultures du 8ᵉ au 20ᵉ passage sur pH 9 [pouvant, comme il a déjà été signalé, se produire également, sous certaines conditions, chez les insectes contaminés par le bacille cultivé en milieu normal (²)], ce type pathologique se montre de moins en moins effectif. Après 22 passages,

le bacille a non seulement perdu sa toxicité, mais s'avère également inapte à provoquer la mort par voie septicémique. Une absence totale de mortalité est constatée qui se maintient pour tous les passages suivants.

La virulence de *Bacillus cereus* var. *alesti* pour les Vers à soie est donc subordonnée à sa croissance sur un milieu neutre. Le passage prolongé de ce microbe sur un milieu à réaction alcaline supprime totalement toute son activité pathogène.

Il est possible que la perte de virulence des microbes entomophytes en milieu de culture et aussi la difficulté de contamination *per os* signalées chez de nombreux insectes par divers auteurs, dans le passé [Krassiltchik (3), Chatton (4), Paillot (5), etc.], puissent trouver là une explication. Ce phénomène a pu contribuer également à la constatation faite en 1915 (époque à laquelle le pH des milieux ne pouvait être contrôlé rigoureusement) par Aoki et Chigasaki (6), (7) de souches toxigènes et de souches atoxigènes de *Bacillus sotto* (Ishiwata).

La séance est levée à 16 h.

L. B.

ERRATA.

(*Comptes rendus* du 20 octobre 1952.)

Note présentée le même jour, de M. *Roger Husson*, A propos du rôle des gastrolithes chez les Écrevisses :

Page 905, 2e ligne du titre, *au lieu de* Raoul Husson, *lire* Roger Husson.

(*Comptes rendus* du 27 octobre 1952.)

Note présentée le 20 octobre 1952, de MM. *Charles Dufraisse*, *André Étienne* et *Edmond Toromanoff*, Études sur les phénazhydrines. Observations sur la composition de la chlororaphine :

Page 921, 6e ligne, *au lieu de* 16 g/l, *lire* 12 g/l.

---

(3) *Mém. Soc. Zool. de France*, 6, 1893, p. 245.
(4) *Ann. des Épiph.*, 1, 1912, p. 379.
(5) *L'infection chez les Insectes*, Imp. Trevoux, Patissier, 1933, p. 535.
(6) *Mitt. der Med. Fak. d. Kaiser. Univ.*, Tokyo, 13, 1915, p. 3.
(7) *Bull. Imp. Ser. Exp. Station*, Tokyo, 1, 1916.

(*Comptes rendus* du 10 novembre 1952.)

Note présentée le même jour, de M. *Pierre Tauzin*, La théorie de la photophorèse négative. Complément à deux Notes antérieures :

Page 1120, 5e ligne en remontant, *au lieu de* π, *lire* $\frac{\pi}{2}$.

(*Comptes rendus* du 24 novembre 1952.)

Note présentée le même jour, de M. *Robert Dupéron*, Les glucides des semences de Crucifères :

Page 1333, tableau, 9e et 10e lignes, *au lieu de*

Cochlearia armoricia.....	Glucides solubles totaux :			6–7
Sinapis alba.....	»	»	»	7,8

lire

Cochlearia armoracia.....	Glucides solubles totaux :			7,8
Sinapis alba.....	»	»	»	6–7

Page 1333, tableau, 11e ligne (*Capsella bursa pastoris*), *au lieu de* S. St. R., *lire* S. R. St.

(*Comptes rendus* du 1er décembre 1952.)

Note présentée le 24 novembre 1952, de M. *Matthias Matschinski*, Quelques remarques sur les processus stochastiques. Le processus stochastique dans une population :

Page 1363, 14e ligne, *au lieu de* ayant la forme, *lire* n'ayant la forme.

BULLETIN BIBLIOGRAPHIQUE.

Ouvrages reçus pendant les séances de novembre 1952.
(*suite et fin*).

Extraits des *Comptes rendus de l'Association des Anatomistes*. Strasbourg, 1948 : *Rôle de la thyroïde dans l'ostéogénèse folliculinique chez les Oiseaux*, par J. Benoit et J. Clavert. Lyon 1949 : *Étude de la formation de l'os folliculinique chez le canard préhypophysectomisé*, par J. Clavert et J. Benoit. Louvain, 1950 : *Ostéogenèse folliculinique chez les oiseaux. Influence des diverses glandes endocrines*, par J. Benoit et J. Clavert. Nancy 1951 : *Modification d'une coloration trichrome de Masson pour la mise en évi-*

dence supplémentaire du chondriome, par J. BENOIT et Mlle ALINE STAUBB. Nancy 1951 : *La pars tuberalis de l'hypophyse du canard. Ses rapports avec l'éminence médiane et la préhypophyse*, par J. BENOIT et I. ASSENMACHER; 5 feuillets 24 cm.

Extraits des *Comptes rendus des séances de la Société de biologie*. T. 141, 1947 *Action de la thyroïdectomie sur l'ossification folliculinique chez le canard*, par JACQUES BENOIT et J. CLAVERT. T. 144. Séance du 21 janvier 1950 : *Réponses du mécanisme gonadostimulant à l'éclairement artificiel et de la préhypophyse aux castrations bilatérale et unilatérale, chez le canard domestique mâle, au cours de la période de régression testiculaire saisonnière*, par JACQUES BENOIT, I. ASSENMACHER et F. X. WALTER. Séance du 25 février 1950 : *La radiographie appliquée à l'étude macroscopiqae de l'évolution des testicules d'Oiseaux*, par I. ASSENMACHER, CH. GROS, JACQUES BENOIT et F. X. WALTER. Séance du 29 avril 1950 : *Nouvelles recherches relatives à l'action de lumières de différentes longueurs d'onde sur la gonadostimulation du canard mâle impubère*, par JACQUES BENOIT, F. X. WALTER et I. ASSENMACHER. Séance du 8 juillet 1950 : *Sensibilité testiculaire aux hormones gonadotropes hypophysaires, chez le canard domestique au cours de la période de régression testiculaire saisonnière* par JACQUES BENOIT, P. MANDEL, F. X. WALTER et I. ASSENMACHER. Id. *Activité gonadotrope de l'hypophyse du canard domestique au cours de la régression testiculaire saisonnière et de la prépuberté*, par JACQUES BENOIT, I. ASSENMACHER et F. X. WALTER. T. 145. Séance du 10 mars 1951 : *Circulation porte tubéro-préhypophysaire chez le canard domestique*, par JACQUES BENOIT et I. ASSENMACHER. Séance du 6 juillet 1951 : *Dispositifs nerveux de l'éminence médiane; leurs rapports avec la vascularisation hypophysaire chez le canard domestique*, par JACQUES BENOIT et I. ASSENMACHER; 7 fasc. 24,5 cm.

Extraits du *Journal de physiologie*, T. 42, 1950 : *Contribution à l'étude du réflexe opto-hypophysaire gonadostimulant chez le canard soumis à des radiations lumineuses de diverses longueurs d'onde*, par JACQUES BENOIT, F. X. WALTER et I. ASSENMACHER. T. 43, 1951 : *Contribution à l'étude des relations hypothalamo-hypophysaires et de leur rôle dans la gonadostimulation chez le canard domestique*, par JACQUES BENOIT et I. ASSENMACHER. Id. *Sur l'existence de deux types d'ossification nettement distincts chez les oiseaux*, par JACQUES BENOIT et J. CLAVERT; 3 feuillets 26 cm.

Extraits des *Archives d'anatomie microscopique et de morphologie expérimentale*. T. 39, n° 3, 1950 : *Différenciation sexuelle chez les Oiseaux au cours du développement normal et de l'intersexualité expérimentale par ovariectomie*, par JACQUES BENOIT. T. 40, n° 1, 1951 : *Étude préliminaire de la vascularisation de l'appareil hypophysaire du canard domestique*, par JACQUES BENOIT et I. ASSENMACHER; 2 fasc. 24 cm.

Extrait des *Archives d'anatomie, d'histologie et d'embryologie*. T. 34. Fasc. 1/8 : *Différenciation et comportement des ostéoclastes chez les oiseaux*, par JACQUES BENOIT et J. CLAVERT; 1 fasc. 24,5 cm.

Carte géologique internationale de l'Afrique. Légende stratigraphique. Feuille n° 7, exécutée conformément aux vœux du Congrès géologique international (XIIIe session, Bruxelles, 1952). Dressée et publiée par le BUREAU D'ÉTUDES GÉOLOGIQUES ET MINIÈRES COLONIALES; 1 planche 73 cm × 69,5 cm.

Id. — Feuilles n° 5, 6, 8, à l'échelle de 1/5 000 000e; 3 planches 100 cm × 79 cm.

Mécanique quantique, par JEAN BARRIOL. Préface de LOUIS DE BROGLIE, in collection *Euclide*. Paris, Presses universitaires de France, 1952; 1 vol. 19,5 cm (présenté par M. Louis de Broglie).

Astronomie générale. Astronomie sphérique et Éléments de mécanique céleste, par André Danjon. Paris, J. et R. Sennac, 1952-1953; 1 vol. 27 cm.

Consiglio nazionale delle ricerche 2ª giornata della scienza indetta dal e μR in occasione della 3o fiera de Milano. *Convegno sulla difesa del suolo e le sistemazioni fluviali e montane Milano* 16-19*aprile* 1952; Roma, Consiglio nazionale delle ricerche, 1952; 1 vol. 25 cm.

William Ramsay and University college London 1852-1952, by Morris W. Travers. Privately issued by University college London in connection with the William Ramsay contenery appeal, 1 fasc. 25 cm.

The earth's equatorial radius and the distance of the Moon, by John A. O' Keefe and Pamelia Anderson. Extrait de *Astronomical Journal,* 57, nº 4, 1952; 1 fasc. 26,5 cm.

Ministère de l'Éducation nationale. Comité des travaux historiques et scientifiques. *Soixante-dix-huitième Congrès des Sociétés savantes de Paris et des départements à Toulouse,* 1953; 1 fasc. 21 cm.

Documentation mathématique. Listes provisoires dressées par Paul Belgodère. Fasc. **16.** *Adresses d'expédition des échanges et services du Bulletin de la Société mathématique de France,* T. **80**, année 1952. Fasc. **17** : *Adresses d'expédition, pour affichage, des convocations et informations de la Société mathématique de France.* Fasc. **18** : *Liste géographique des membres de la Société mathématique de France.* Fasc. **19** : *Liste des titres des périodiques régulièrement reçus par la Bibliothèque mathématique de l'Institut Henri Poincaré.* Fasc. **20** : *Id. par la Bibliothèque des sciences mathématiques de l'École normale supérieure.* Fasc. **21** : *Id. par la Société mathématique de France.* Paris, 1952; 6 fasc. 28 cm.

Id. — Fasc. **22** ; *Glossaire de mathématiques élémentaires.* Première partie : *arithmétique et algèbre élémentaire,* par Armand Buquet; 1 fasc. 28 cm.

Id. — Fasc. **15** : *État des périodiques figurant à la Bibliothèque des sciences mathématiques de l'École normale supérieure,* par Colette Martin; 1 fasc. 28 cm.

Précis de chimie. T. I. *Chimie générale,* par Raymond Quelet, in Collection *Euclide.* Paris, Presses universitaires de France, 1952; 1 vol. 19 cm.

Ministerio da economia. Comissão reguladora do comércio de Arroz. *Bibliografia orizicola portuguesa* 1800-1950, por Manuel Vianna e Silva. Lisboa, 1951; 1 vol. 24 cm.

Pontificiæ academiæ scientiarum scripta varia. **10.** *Studio fisico dell' aorta normale e patologica,* par Vittorio dal Borgo. Ex ædibus academicis in civitate Vaticana, 1952; 1 vol. 24,5 cm.

FIN DU TOME DEUX-CENT-TRENTE-CINQUIÈME.

COMPTES RENDUS

DES SÉANCES DE L'ACADÉMIE DES SCIENCES.

TABLES ALPHABÉTIQUES.

JUILLET-DÉCEMBRE 1952.

TABLE DES MATIÈRES DU TOME 235.

I. — PARTIE SCIENTIFIQUE.

A

Pages.

ABEILLES. — Régulation sociale et écartement des rayons chez les Abeilles, par M. *Roger Darchen*... 820

ABSORPTION. — Spectre d'absorption de l'oxyde azoteux solide dans la région de Schumann, par M. *Jacques Romand* et Mme *Janine Granier-Mayence* 1023

— Voir *Anthracènes, Chimie organique, Composés aminoazoïques, Lames minces, Optique, Optique moléculaire, Semi-conductibilité, Spectrophotométrie.*

ABSORPTION DES RAYONS X. — Voir *Océanographie.*

ABSORPTION INTERSTELLAIRE. — Voir *Astronomie stellaire.*

ABSORPTION MONOCHROMATIQUE. — Voir *Optique.*

ACARIENS. — Voir *Biologie, Cécidologie.*

ACÉTONE. — Voir *Échangeurs d'ions.*

ACIDES. — Voir *Organomagnésiens (Dérivés).*

ACIDE ACÉTIQUE. — Voir *Effet Raman et chimie.*

ACIDES ACYCLIQUES. — Voir *Chimie organique.*

ACIDE ADÉNOTRIPHOSPHORIQUE. — Voir *Ostéologie.*

Pages.

ACIDES ALIPHATIQUES. — Sur la réaction de Willgerodt en série aliphatique, par MM. *René Heilmann, Gabriel de Gaudemaris* et *Rudolf Heindl*.. 544

ACIDES AMINÉS. — Synthèses dans la série des α-aminoacides aromatiques, par M. *Jésus Anatol*..... 249

— Les produits de désamination des acides diaminés par la L-diaminoacide-déshydrogénase du foie de Dindon, par MM. *Paul Boulanger* et *Roger Osteux*..... 524

— Sur la désamination des acides *o-m-p*-aminobenzoïques et de l'acide *p*-aminosalicylique (2-hydroxy-4-aminobenzoïque) par l'acide nitreux selon D.-D. van Slyke, par MM. *Paul Cristol, Christian Benezech* et *André Crastes de Paulet*... 1133

— Voir *Chimie biologique.*

ACIDE ASCORBIQUE. — Voir *Complexes (Chimie des), Vitamines.*

ACIDE CHLORHYDRIQUE. — Voir *Cinétique chimique.*

ACIDE CITRIQUE. — Voir *Biologie végétale.*

ACIDE GLUCONIQUE. — Voir *Chimie biologique.*

Pages.

ACIDE GLUTAMIQUE. — Voir *Chimie biologique.*

ACIDES GRAS. — Voir *Physique des surfaces.*

ACIDE HYPOCHLOREUX. — Voir *Hypochlorites.*

ACIDE LINOLÉIQUE. — Sur la polymérisation de l'acide linoléique, par M. *Bertrand de Surville*..... 724

ACIDE MYCOLIQUE. — Voir *Mycobacterium tuberculosis.*

ACIDE NITREUX. — Voir *Acides aminés.*

ACIDE NITRIQUE. — Voir *Chimie organique.*

ACIDES NUCLÉIQUES. — Voir *Ovogenèse, Physique macromoléculaire.*

ACIDES ORGANIQUES. — Synthèse et hydrogénation des acides dibenzylidène et dianisylidène succiniques, par MM. *Roger Cluzel* et *Paul Cordier*..... 622

— Hydrogénation catalytique des acides furylacrylique et furylacryliques substitués en α au moyen du nickel de Raney, par Mlle *Paulette Lambert* et M. *Pierre Mastagli*..... 626

— Synthèse de quelques acides phénylcyclopentylacétiques, par MM. *Max Mousseron, François Winternitz* et *Georges Rouzier*..... 660

— Sur quelques acides ortho-toluiques substitués et leurs esters méthyliques, par M. *Daniel Peltier*..... 1660

— Voir *Chimie organique, Cinétique chimique, Physique végétale.*

ACIDE PYRUVIQUE. — Voir *Vitamines.*

ACIDE RIBONUCLÉIQUE. — Variations quantitatives du phosphore total, du phosphore des acides ribo- et désoxyribonucléiques dans l'axe hypocotylé de *Phaseolus vulgaris* au cours de la germination normale, du jeûne glucidique après ablation des cotylédons et de la régénération cellulaire, par MM. *Maurice Hocquette, Jean Montreuil* et *Serge Paul*..... 1525

— Voir *Chimie biologique.*

ACIDE TARTRIQUE. — Voir *Complexes (Chimie des).*

ACIERS. — Voir *Corrosion, Lithium, Mécanique, Métallographie, Physique nucléaire.*

ACOUSTIQUE. — Procédé de mesure absolue de la puissance acoustique d'un flux d'ultrasons dans un liquide, mettant en œuvre la pression de radiation s'exerçant sur une interface liquide-gaz, par M. *Charles Florisson*..... 27

— Voir *Ultrasons.*

ACTION CURARISANTE. — Voir *Pharmacologie.*

ADRÉNALINE. — Voir *Pharmacodynamie.*

ADSORPTION. — Voir *Physique des surfaces.*

ADSORPTION MOLÉCULAIRE. — M. *G. Ribaud* présente un Ouvrage: Condensation et adsorption des molécules sur une surface en atmosphère raréfiée », par *F. Marcel Devienne, in* Mémorial des Sciences physiques. fascicule LIII..... 566

AÉRODYNAMIQUE. — Pertes de charge à travers une colonne de sphères, par Mlle *Anne-Marie Saulgeot*... 343

— Sur les moments de roulis et de giration de quelques ailes d'avion munies de gouvernes à arêtes vives, par MM. *Jean Chaffois, André Fauquet* et *André Martinot-Lagarde*..... 345

— Résultats expérimentaux obtenus au voisinage de la vitesse du son sur une maquette d'aile à profil losangique, par MM. *Maurice Sirieix, Paul Golaz* et *Pierre Rebuffet*..... 459

— Étude de la courbure au sommet d'une onde de choc attachée dans un écoulement plan non stationnaire, par M. *Henri Cabannes*.... 698

— A propos du gong sonique, par M. *Maurice Roy*..... 756

— Essai d'interprétation de quelques phénomènes observés dans l'écoulement supersonique autour d'un dièdre, par M. *Roger Depassel*.... 786

— Détermination en soufflerie des dérivées aérodynamiques (stabilité latérale), par MM. *Jacques Valensi, Henri Parigi* et *Jean Rebont*..... 865

— Voir *Balistique, Mécanique des fluides.*

AÉROTECHNIQUE. — Applications nouvelles de l'anémomètre à fil chaud, par M. *Gottfried Dätwyler*..... 1101

AFRIQUE. — Voir *Cartographie, Éclipses.*

AGARICUS CAMPESTRIS. — Voir *Métabolisme glucidique.*

ALBUMINE. — Voir *Sérologie.*

ALCALOÏDES. — Passage de la sempervirine à l'alloyohimbane, par MM. *Alain Le Hir, Robert Goutarel* et *Maurice-Marie Janot*..... 63

Pages.

— Gelsémine, gelsémicine, strychnine et formosanine, par M. *Raymond-Hamet*..... 84
— Sur l'alcaloïde principal d'une Rubiacée des régions tropicales de l'Amérique du Sud : l'*Ourouparia guianensis* Aublet, par M. *Raymond-Hamet*..... 547
— Sur quelques propriétés physiologiques des alcaloïdes totaux de l'écorce d'Angusture, par M. *Raymond-Hamet*..... 1152

Alcools. — Sur les dialcoyl (γ)-chloro propynylcarbinols, par MM. *Jean Colonge* et *René Gelin*..... 577
— Voir *Radiochimie*.

Alcool alicyclique. — Voir *Cyclohexane et dérivés*.

Alcools éthyléniques. — Voir *Pyranne*.

Aldéhydes. — Action du brome sur la β-dicloracroléine, par M. et Mme *Émile Levas*..... 61
— Voir *Chimie organique, Échangeurs d'ions, Spectrophotométrie*.

Algèbre. — Théorie relative des chaînes. Conformisme et correspondance, par M. *Julian Petresco*..... 226
— Id. Isocorrespondance, par M. *Julian Petresco*..... 1087
— Sur les systèmes de polynomes différentiels, par M. *Jean-Claude Herz*. 1085
— Sur les groupes analytiques, dans les modules filtrés, par M. *Michel Lazard*..... 1465
— Voir *Ensembles (Théorie des)*, *Groupes (Théorie des)*, *Nombres (Théorie des)*, *Treillis [Lattice]*.

Algérie. — Voir *Géologie*, *Gravimétrie*.

Algologie. — M. *Roger Heim* dépose sur le Bureau un volume de MM. *Pierre Bourrelly* et *Émile Manguin* : « Algues d'eau douce de la Guadeloupe et dépendances recueillies par la Mission P. Allorge en 1936 », dont il a écrit la Préface. 767
— Sur un genre nouveau d'Ulvacées : *Rhizenteron* nov. gen., par M. *Pierre Dangeard*..... 1265
— Voir *Biochimie végétale, Biologie marine*.

Alimentation. — Sur la consommation alimentaire dans la lutte contre la chaleur, par M. *Alexandre Giaja*..... 818
— Voir *Biologie, Magnésium*.

Alliages. — Formation d'alliages en couches minces par évaporation dans le vide des constituants purs, par M. *Pierre Michel*..... 377
— Étude par diffraction électronique des alliages aluminium-cuivre, obtenus par évaporation thermique dans le vide, par MM. *Jean-Jacques Trillat* et *Noboru Takahashi*..... 1306
— Propriétés chimiques des alliages titane-aluminium, par MM. *Jean Cueilleron* et *Claude Pascaud*..... 1220
— Voir *Magnétisme, Métallographie, Physique théorique, Spectroscopie*.

Alpes. — Voir *Géologie*.

Aluminium. — Voir *Alliages, Aryloxyamines, Cristallographie, Cyclohexane et dérivés, Métallographie, Radiocristallographie, Systèmes chimiques*.

Amanites phalloïdes. — Voir *Toxicologie*.

Amines. — Voir *Aryloxyamines, Carbures acétyléniques, Cétones, Chimie organique, Cyclohexane et dérivés, Histologie végétale, Nitration, Organomagnésiens, Pharmacodynamie, Pharmacologie, Pyranne*.

Amino-acides. — Voir *Acides aminés*..

Ammoniaque. — Voir *Chimie biologique, Complexes (Chimie des)*.

Anaérobiose. — Voir *Enzymologie*.

Analyse dimensionnelle. — Dimensions et unités, par M. *Maurice Berger*..... 872

Analyse granulométrique. — Voir *Microscopie appliquée*.

Analyse mathématique. — Sur un problème extrémal relatif aux figures inscrites dans les figures convexes, par M. *Constantin Radziszewski*... 771
— Application de la relation qui donne l'original d'un déterminant à la résolution d'un type d'équations intégrales, par M. *Maurice Parodi*. 1002
— Sur le rôle des domaines symétriques dans le calcul de certaines grandeurs physiques, par M. *Georges Polya*..... 1079
— M. *René Garnier* fait hommage du tome 3 : « Intégrales simples, multiples et curvilignes », de la deuxième édition, de son « Cours de mathématiques générales (Analyse et Géométrie) »..... 1357

Analyse symbolique. — Application de la transformation de Laplace à deux variables, à la résolution d'équations fonctionnelles, par M. *Maurice Parodi*..... 1597

Pages.

— Voir *Équations, Équations différentielles, Équations intégrales, Fonctions (Théorie des). Polynomes orthogonaux, Séries, Topologie cartésienne.*

ANALYSE PHYSICO-CHIMIQUE. — Voir *Chromatographie.*

ANATOMIE COMPARÉE. — Les caractéristiques fondamentales du cerveau des *Giraffidæ*, par Mlle *Madeleine Friant*..... 978

— Développement et interprétation de l'*Insula* cérébrale des Singes (*Cercopithecidæ*), au cours de l'ontogénie. par Mlle *Madeleine Friant.* 1334

— Le rôle de l'angle palatovestibulaire dans l'utilisation de la méthode vestibulaire, par MM. *Antoine Delattre* et *Jean Anthony*..... 1543

ANÉMOMÈTRE. — Voir *Aérotechnique.*

ANGIOSPERMES. — Voir *Biochimie végétale.*

ANNÉLIDES. — Archiannélides des mers indochinoises, par M. *Constantin Dawydoff*..... 5

— Régénération de parties du corps chez l'Annélide *Hydroïdes norvegica* (Gunn.). par M. *Jean Cresp*.. 1553

ANTHRACÈNES ET DÉRIVÉS. — Les deux céto-bis (phényl-éthyl-)9.10 anthracènes, par M. *Guy Rio*..... 182

— Les distyryl-9.10 anthracènes, par M. *Guy Rio*..... 964

— Spectres d'absorption de quelques corps insaturés appartenant à la série du *bis* (phényl-éthyl)-9.10 anthracène, par M. *Guy Rio*..... 1308

— L'anthracène étudié par la méthode des orbitales moléculaires, compte tenu des interactions entre configurations. La configuration fondamentale, par M. *José Santos Lucas*..... 656

— Voir *Composés anthracéniques, Quinols.*

ANTIBIOTIQUES. — Action inhibitrice de l'auréomycine sur la respiration bactérienne et l'oxydation des acides du cycle citrique, par MM. *Roger Osteux. Jean Laturaze* et Mlle *Janine Bürck*..... 554

— M. *Selman A. Waksman* adresse quelques fascicules relatifs à ses travaux sur les antibiotiques... 593

— Sur un nouvel antibiotique, la Chlamydosporine, isolé d'un fusarium, par MM. *Albert Faivre-Amiot, Hermon Darpoux* et *Louis Roux*..... 912

— Sur la production, l'extraction et les propriétés physico-chimiques de la chlamydosporine, par MM. *Albert Faivre-Amiot, Hermon Darpoux* et *Louis Roux*..... 982

— Étude de l'inhibition de *Saccharomyces cerevisiæ* par l'actidione, par M. *Émile Peynaud*..... 1163

— Voir *Chloromycétine, Sérologie.*

ANTICYCLONES. — Voir *Météorologie.*

ANTIMOINE. — Voir *Chimie physique, Complexes (Chimie des).*

AQUICULTURE. — Voir *Ichtyologie.*

ARBORICULTURE. — Voir *Botanique appliquée, Histoire des Sciences.*

ARGENT. — Voir *Rayons X.*

ARGILE. — Voir *Mécanique des sols, Minéralogie.*

ARGININE. — Voir *Chimie biologique, Complexes (Chimie des).*

ARSENIC. — Voir *Chimie physique, Chromatographie.*

ART VÉTÉRINAIRE. — M. *Gottlieb Flückiger* adresse deux Notes parues dans les « Schweizer Archiv für Tierheilkunde » : 1° Uber die Bekämpfung der Rindertuberkulose in Europa und die Frage der Schutzimpfung; 2° Der Verlauf und die Bäkämpfung der Maul-und Klauenseuche 1951-1952 in den europäischen Weststaaten. 1464

ARYLOXYAMINES. — Sur une méthode générale de préparation des aryloxyamines de formule générale $R'—CHNH_2—CHOAr—R''$, par Mme *Marianne Kopp*..... 247

ASTROLABE. — Voir *Astronomie géodésique.*

ASTRONOMIE. — M. *André Danjon* fait hommage de son Ouvrage : Astronomie générale. Astronomie sphérique et éléments de Mécanique céleste..... 1180

— Sur la cosmogonie du système solaire, par M. *Alexandre Dauvillier.* 1081

ASTRONOMIE GÉODÉSIQUE. — Sur l'emploi de l'astrolabe à pendule en astronomie géodésique, par M. *Bertrand Imbert*..... 1605

ASTRONOMIE STELLAIRE. — Photographie directe du centre de la Voie Lactée dans le proche infrarouge, par MM. *Jean Dufay. Joseph-Henri Bigay* et *Pierre Berthier*..... 120

— Étude et résolution du grand nuage stellaire situé dans la direction du centre de la Voie Lactée, par MM. *Jean Dufay. Joseph-Henri Bigay, Pierre Berthier* et *Jean Texereau*.. 1284

Pages.

— Sur le champ magnétique variable des étoiles, par M. *Nicolas Stoyko*. 122
— Sur la répartition de l'énergie dans les spectres continus des étoiles des premiers types spectraux, par MM. *Daniel Chalonge, Pierre Guérin* et *Salvatore Taffara*..... 124
— Étude de deux étoiles très rougies dans le Sagittaire, par Mlle *Lucienne Divan*..... 126
— Étude du spectre continu de quelques étoiles à atmosphère étendue, par Mlle *Anne-Marie Fringant*..... 128
— Sur la classification de quelques groupes stellaires, par M. *Jacques Berger*..... 234
— Mesure spectrophotométrique des rayons stellaires. Application à deux naines blanches, par MM. *Jacques Berger, Daniel Chalonge*, Mlles *Lucienne Divan* et *Anne-Marie Fringant*..... 348
— Comparaison des lois de variation de l'absorption interstellaire avec la longueur d'onde dans trois régions différentes de la Galaxie, par Mlle *Lucienne Divan*..... 410
— Observation de *AE Aquarii*, par M. *François Lenouvel*..... 1282
— Sur les zéros des relations période-luminosité des Céphéides et des R R Lyræ, par M. *Henri Mineur*... 1607
Astrophysique. — Insuffisance d'une preuve statistique de l'influence de la Lune sur les précipitations atmosphériques, par M. *Willem van der Bijl*..... 22
— Observations de la lumière zodiacale au cours des hivers 1946-1947 et 1947-1948 à Tamanrasset (Hoggar), par M. *Nicolas Donitch*..... 412
— Application à l'Astronomie d'un récepteur idéal de photons, par MM. *André Lallemand* et *Maurice Duchesne*..... 503
— M. *André Danjon* présente un Ouvrage : Observatoire de Paris. Section d'astrophysique de Meudon. Catalogue général des orbites de comètes de l'an — 466 à 1952, par *Fernand Baldet* et Mlle *G. de Obaldia*..... 857
— Relation entre période type spectral moyen et déphasage chez les Céphéides, par Mme *Perrine Dumézil-Curien*..... 1011
— Ondes de compression dans une atmosphère en équilibre radiatif, par Mme *Perrine Dumézil-Curien*. 1369
— La courbe de polarisation de la Terre et la nature du sol lunaire, par M. *Audouin Dollfus*..... 1013
— Voir *Astronomie stellaire, Physique solaire, Rayons cosmiques.*
Atlas. — Voir *Métallogénie.*
Atmosphère. — Voir *Mécanique de l'atmosphère, Photométrie, Physique atmosphérique, Radioactivité.*
Atomistique. — Voir *Chimie théorique.*
Auréomycine. — Voir *Antibiotiques.*
Auxines. — Voir *Pathologie végétale, Physiologie végétale.*
Avens. — Voir *Géographie physique.*
Aviation. — Voir *Aérodynamique.*
Avions supersoniques. — Voir *Balistique.*
Azotobacter. — Voir *Pédologie.*

B

Bacillus megatherium. — Modifications biochimiques accompagnant la sporulation de *Bacillus megatherium*, par Mlle *Régina Tinelli*.. 836
— Sur le glycogène de *Bacillus megatherium*, par MM. *Cormac Barry, Raymond Gavard, Gérard Milhaud* et *Jean-Paul Aubert*..... 1062
Bactériologie. — Voir *Antibiotiques, Chimie biologique, Radiobiologie.*
Bactériophages. — Voir *Microbiologie.*
Balistique. — Quelques considérations sur les canons sans recul et les projectiles à charge creuse, par M. *Dimitri Riabouchinsky*..... 677
— Sur une nouvelle méthode pour déterminer en soufflerie les caractéristiques aérodynamiques des projectiles, par M. *André Auriol*.... 701
— Sur les détonations balistiques engendrées par les projectiles et les avions supersoniques, par M. *Ernest Esclangon*..... 1177
— Sur les sifflements de projectiles et

Pages.

bruits d'avions en vitesse supersonique, par M. *Ernest Esclangon*. 1257
BARYUM. — Voir *Chimie physique*.
BASSES TEMPÉRATURES. — Voir *Décomposition catalytique*.
BASSIN DE PARIS. — Voir *Géologie*.
BATRACIENS. — Voir *Biologie, Biologie expérimentale*.
β-PHENOXISOPROPYLAMINES. — Voir *Pharmacodynamie*.
BETTERAVE. — Voir *Métabolisme glucidique*.
BIACIDES. — Voir *Chimie organique*.
BIOCHIMIE. — Sur la cyclisation du β-hydroxyfarnésylacétate d'éthyle, par Mme *Cécile Collin-Asselineau*. 634
— Voir *Bacillus megatherium, Chimie biologique, Embryologie chimique, Lait, Tuberculose*.
BIOCHIMIE BACTÉRIENNE. — Voir *Radiobiologie*.
BIOCHIMIE VÉGÉTALE. — L'équilibre protidique du Blé, par MM. *Jules Carles, Louis Soubiès, Roger Gadet* et *Pierre Maury*..... 80
— Optimum végétatif et différenciation dans la tige du Blé, par MM. *Jules Carles, Louis Soubiès* et *Roger Gadet*..... 1419
— La présence des mannanes dans le bois des arbres appartenant au sous-embranchement des Angiospermes, par MM. *Adrien Roudier* et *Lucien Eberhard*..... 207
— Sur la présence d'acide citrique dans les Algues marines, par M. *Paul Creac'h*..... 1043
— Pigments des chloroplastes et photosynthèse, par M. *Eugène Roux* et Mlle *Christiane Husson*..... 1154
— Sur le flavonoside des fruits du *Paliurus aculeatus* Lamk, par M. *René Paris*..... 1329
— Voir *Alcaloïdes, Chimie végétale, Phytochimie*.
BIOGÉOGRAPHIE. — Les zones d'organismes littoraux de l'Indochine et des côtes indo-pacifiques, par M. *Paul-H. Fischer*..... 840
— La répartition du complexe trichoniscoïde (Isopodes terrestres) et les théories géologiques, par M. *Albert Vandel*..... 997
BIOLOGIE. — Action mélanophoro-dilatatrice des lobes antérieurs et postérieurs d'hypophyses de Rat et de Bœuf, par Mme *Cécile Mialhe-Voloss*..... 211
— Induction mitogénétique dans la thyroïde du Rat. Ajustement statistique des données par les distributions de Poisson et de Polya, par M. *Ivan Bertrand* et Mme *Thérèse Gayet-Hallion*..... 214
— Polydactylie, polypodie et polymélie chez les têtards de *Rana esculanta* L., par M. *Jean Rostand*.... 322
— Sur la variété d'expression d'une certaine anomalie (P) chez la Grenouille verte (*Rana esculenta* L.), par M. *Jean Rostand*..... 583
— Sur les articles des appendices chez les Acariens actinochitineux, par M. *François Grandjean*..... 560
— Sur les variations individuelles. Vertitions (écarts) et anomalies, par M. *François Grandjean*..... 640
— Sur la mesure du temps d'imprégnation post-toxique (acide acétylsalicylique, alcool, plomb, benzol) de l'organisme par la chronaximétrie vestibulaire, par M. *Georges Mouriquand*, Mmes *Violette Edel* et *Renée Chighizola*..... 855
— Influences de lésions hautes et basses de l'infundibulum sur la gonadostimulation chez le Canard domestique, par MM. *Jacques Benoit* et *Ivan Assenmacher*..... 1547
— Pénétration, variable selon la longueur d'onde, des radiations visibles jusqu'à l'hypothalamus et au rhinencéphale, à travers la région orbitaire, chez le Canard, par MM. *Jacques Benoit, Ivan Assenmacher* et Mlle *Simone Manuel*..... 1695
— Les échanges alimentaires entre adultes chez la Fourmi *Ponera eduardi* Forel, par M. *Georges Le Masne*..... 1549
— Voir *Annélides, Cécidologie, Entomologie, Hématologie, Ichtyologie, Néréidiens, Parthénogénèse, Psychophysiologie*.
BIOLOGIE EXPÉRIMENTALE. — Réactions sanguines après stimulation lumineuse intermittente, par M. *Jacques Faure*..... 326
— Le développement embryonnaire, larvaire et la croissance pondérale du Phasme (*Clonopsis gallica* Charp.), par M. *André Voy*..... 1338
— Action du propionate de testostérone sur la différenciation sexuelle des embryons de *Scylliorhinus canicula* C., par M. *Jean-Jacques Thiebold*. 1551
— Sur l'existence de caractères sexuels

Pages.

secondaires ♀ et sur le déterminisme de leur différenciation chez *Xiphophorus helleri* H. O., par M. *Jean Vivien*..... 1697

— Régénération et métamorphose chez un Batracien anoure, *Alytes obstetricans*, par M. *Maurice Lecamp*.. 1699

— Voir *Annélides, Bombyx Mori, Épiphysectomie, Fièvre aphteuse, Virologie.*

Biologie marine. — *Olpidiopsis Feldmanni* sp. nov. Champignon marin parasite d'Algues de la famille des Bonnemaisoniacées, par M. *Anwar Abdel Aleem*..... 1250

Biologie végétale. — Les mesures à prendre pour réagir contre la décadence de la culture du Poivrier en Indochine (au Cambodge et dans la Cochinchine austro-occidentale), par M. *Auguste Chevalier*..... 993

— M. *Auguste Chevalier* fait hommage d'un Mémoire : « Le Poivrier et sa culture en Indochine », paru en 1925 dans le tome 12 des Publications de l'Agence économique du Gouvernement général de l'Indochine et présente un Ouvrage : « Étude sur le dépérissement des poivrières en Indochine », par *Hubert Barat, in* Archives des Recherches agronomiques au Cambodge, au Laos et au Viet-Nam, n° 13..... 999

— Voir *Chimie agricole, Morphologie causale.*

Biométrie végétale. — Évolution des distributions de fréquences des tailles des plantules d'une population de Blé, par M. *Jacques Ricard*..... 1424

Biophysique. — Influence des très hautes pressions sur l'évolution des solutions de gelatine en présence de trypsine, par MM. *Gursaran Parshad Talwar, Jacques Basset* et *Michel Machebœuf*.... 393

— Variation de la vitesse de dégradation des γ-globulines sériques avec la durée de leur présence dans l'organisme, par MM. *Jean Coursaget, Pierre Gros* et *Michel Machebœuf*..... 448

Biosphère. — M. *Pierre-Paul Grassé* présente un Ouvrage : Histoire géologique de la Biosphère. La vie et les sédiments dans les géographies successives, par *Henri Termier* et Mme *Geneviève Termier*... 1084

Bioxyde. — Voir *Électrochimie.*

Bioxyde de chlore. — Voir *Laine.*

Bismuth. — Voir *Chimie physique.*

Blattes. — Voir *Psychophysiologie.*

Blé. — Voir *Biochimie végétale, Biométrie végétale.*

Bois. — Voir *Angiospermes.*

Bombyx mori. — L'achèvement de la métamorphose et la mue imaginale seraient commandés par le cerveau à la fin de la vie larvaire chez *Bombyx mori* L. par M. *Jean-Jacques Bounhiol*..... 671

— Nature probablement secrétoire du facteur cérébral conditionnant la mue imaginale de *Bombyx mori* L., par M. *Jean-Jacques Bounhiol*... 747

— Voir *Chimie biologique.*

Boragacées. — Voir *Embryogénie végétale.*

Borates. — Voir *Complexes (Chimie des).*

Bore. — Voir *Physique nucléaire.*

Botanique. — Action des substances de croissance sur le bouturage de l'*Hibiscus rosa sinensis* L., Malvacée ornementale, par Mme *José Mattei*..... 205

— M. *Roger Heim* présente un Ouvrage : Le tapis végétal dans ses rapports avec les phénomènes actuels de surface en Basse-Provence (de Cassis à Bandol), par *Georges Kuhnholtz-Lordat*..... 1357

— Voir *Flore Marocaine, Génétique, Paléobotanique, Physiologie végétale, Tératologie végétale.*

Botanique appliquée. — La situation des cultures fruitières au Maroc en 1952, par M. *Auguste Chevalier.* 109

— Voir *Alcaloïdes.*

Botanique coloniale. — M. *Théodore Monod* fait hommage d'un Mémoire, avec M. *R. Schnell* : « Mélanges botaniques »..... 1464

— Voir *Biologie végétale.*

Bouturage. — Voir *Botanique.*

Bretagne. — Voir *Fossiles.*

Briovérien. — Voir *Fossiles.*

Brome. — Voir *Dosage.*

Bromures. — Voir *Chimie physique. Organomagnésiens, (Dérivés).*

Brouillard. — Voir *Météorologie.*

C

Pages.

CALCAIRE DEVONIEN. — Sur l'âge du « Calcaire des Vaux » (Orne), par MM. *Louis Dangeard* et *André Letullier*..... 481

CALCIUM. — Voir *Histopathologie expérimentale.*

CALCUL DIFFÉRENTIEL. — Voir *Mécanique des fluides.*

CALCUL EXPÉRIMENTAL ANALOGIQUE. — Étude rhéoélectrique de problèmes d'infiltration, par M. *Pierre Huard de la Marre*..... 602

CALCUL FONCTIONNEL. — Sur les ensembles convexes dans les espaces linéaires réels abstraits ou aucune topologie n'est admise, par MM. *William D. Berg* et *Otton Martin Nikodym*..... 1005

— Id. Corps convexes, par MM. *William D. Berg.* et *Otton Martin Nikodym*..... 1096

CALCUL NUMÉRIQUE. — Sur une interprétation de la méthode des différences finies qui peut fournir des bornes supérieures ou inférieures, par M. *George Polya*..... 995

— La sommation des séries asymptotiques de seconde espèce, par M. *Pierre Vernotte*..... 1469

CALCUL SYMBOLIQUE. — Voir *Analyse mathématique, Analyse symbolique.*

CAMBRIEN. — Voir *Géologie.*

CARBAMATES. — Voir *Chimie organique.*

CARBONATES DE CALCIUM. — Voir *Physique moléculaire.*

CARBONE. — Voir *Chimie physique.*

CARBONE TERTIAIRE. — Voir *Cétones.*

CARBURES. — Voir *Métallographie.*

CARBURES ACÉTYLÉNIQUES. — Action du chlorure de nitrosyle sur les hydrocarbures acétyléniques, par MM. *Roger Perrot* et *Raoul Berger.* 185

— Contribution à l'étude des éthers diacétyléniques, par MM. *Jean-Pierre Guermont* et *Israël Marszak*..... 252

— Recherches sur les amines β, γ et δ acétyléniques, par MM. *Israël Marszak, Roland Epsztein* et *Martin Olomucki*..... 1409

CARBURES CYCLIQUES. — Voir *Acides organiques.*

CARBURES D'HYDROGÈNE. — Voir *Acides aliphatiques, Chimie théorique, Colorants, Polarisation rotatoire, Radiochimie.*

CARTOGRAPHIE. — M. *Emmanuel de Margerie* présente à l'Académie « La Carte géologique Internationale de l'Afrique »..... 591

— Voir *Géologie.*

CASTRATION. — Voir *Biologie expérimentale, Épiphysectomie.*

CATALYSE. — Sur la promotion en catalyse hétérogène, par MM. *Louis d'Or* et *Adam Orzechowski*..... 368

— Recherches complémentaires sur la promotion en catalyse hétérogène, par MM. *Louis d'Or* et *Adam Orzechowski*..... 430

CÉCIDOLOGIE. — Réduction plastidale et dédifférenciation au cours de l'hyperplasie du tissu palissadique de la feuille de hêtre sous l'action cécidogène d'*Oligotrophus annulipes* Htg., pár M. *Jean Meyer*... 391

— Édification de galles multiples par une même fondatrice et peuplement des galles d'*Eriophyes macrorhynchus* Nal. sur *Acer Pseudoplatanus* L., par M. *Jean Meyer*.. 1428

— Rapports entre l'évolution cytologique du tissu nourricier d'*Eriophyes macrorhynchus* Nal. et la biologie de l'Acarien, par M. *Jean Meyer*..... 1545

CEPHEIDES. — Voir *Astronomie stellaire, Astrophysique.*

CÉRAMIQUE. — Propriétés caractéristiques des matériaux céramiques obtenus par frittage, par M. *René Lecuir*..... 1650

CÉRIUM. — Voir *Chimie physique.*

CERVEAU. — Voir *Anatomie comparée, chimie biologique.*

CÉTOLISATION. — Voir *Organomagnésiens (Dérivés).*

CÉTONES. — Action de la diéthylamine sur les cétones α-chlorés sur un carbone tertiaire, par Mlle *Henriette Larramona*..... 66

— Sur le mécanisme de la déshalogénation argentique des cétones α-halogénées

Pages.

énolisables et non énolisables, par Mlle *Bianca Tchoubar*..... 720
— Voir *Alcools, Organomagnésiens (Dérivés), Physique moléculaire.*
Chaleur. — Application du théorème de Thévenin aux problèmes de transmission de chaleur, par M. *André Blanc*..... 136
— Voir *Chimie macromoléculaire, Chimie théorique, Électromagnétisme, Explosifs, Four solaire, Physiologie, Thermochimie, Thermodynamique.*
Chaleur spécifique des gaz. — Voir *Thermodynamique.*
Champ électrique. — Voir *Spectroscopie.*
Champignons. — Voir *Toxicologie.*
Charbon. — Voir *Cytologie pathologique.*
Charbons activés. — M. *Jacques Duclaux* présente un Ouvrage de M. *Clément Courty* : « Charbons activés (Adsorption des gaz et des vapeurs) » dont il a écrit la Préface..... 645
Chilopodes. — Voir *Histophysiologie.*
Chimie agricole. — A propos de la lutte contre la décadence des cultures du Poivrier en Indochine et en Extrême-Orient, par M. *Gabriel Bertrand*..... 1262
— Voir *Biologie agricole.*
Chimie analytique. — Méthode de dosage analytique de l'eau, par MM. *Jacques Aubry* et *Gilbert Monnier*..... 1037
— Analyse quantitative de l'éponge de fer, par MM. *Jacques Aubry* et *Fernand Marion*..... 1509
— Voir *Dosage, Germanium.*
Chimie biologique. — Sur la teneur comparée en arginine et en acide désoxyribonucléique des noyaux d'érythrocytes de quelques espèces de Poissons, par M. *Roger Vendrely* et Mme *Colette Vendrely*.... 395
— Sur la teneur individuelle en arginine des spermatozoïdes, comparée à la teneur individuelle en arginine des noyaux d'érythrocytes chez quelques espèces de Poissons, par M. *Roger Vendrely* et Mme *Colette Vendrely*..... 444
— Étude comparée du développement biochimique du cerveau chez quelques espèces de Mammifères, par MM. *Paul Mandel* et *Robert Bieth.* 485
— Étude quantitative des composés

Pages.

phosphorés acidosolubles du cristallin de Mammifères jeunes et âgés, par MM. *Jean Nordmann* et *Paul Mandel*..... 834
— Sur l'oxydation de la L(+) arginine par une L-amino-acideoxydase présente chez des Invertébrés marins (étapes de la réaction et produits formés), par MM. *Nguyen-van Thoai, Jean Roche* et Mme *Yvonne Robin*..... 832
— Dosage à froid de l'ammoniaque dans les milieux riches en urée, par M. *Maurice Rangier* et Mlle *Monique Krebs*..... 984
— Sur une bactérie productrice d'acide gluconique, par M. *Maurice Lemoigne* et Mme *Madeleine Croson.* 1075
— Étude préliminaire d'un système enzymatique bactérien oxydant le glucose en acide gluconique, par MM. *Jean-Paul Aubert, Gérard Milhaud* et *Raymond Gavard*.... 1165
— Étude de l'hyaluronidase (facteur de diffusion) sur l'Anguille, par Mme *Andrée Drilhon*..... 1167
— Élimination par échange d'ions d'impuretés indésirables dans l'acide glutamique, par M. *Géza Austerweil* et Mme *Janine Delort-Stachtchenko*..... 1252
— Métabolisme intermédiaire des Mycobactéries. III. Malicodéshydrogénases et coenzyme I-cytochrome *c* réductase dans les bacilles tuberculeux, par MM. *Albert-Jean Rosenberg* et *Anatole Andrejew*..... 1437
— Nouvelles recherches sur la teneur en manganèse des Phanérogames, par MM. *Gabriel Bertrand* et *Lazare Silberstein*..... 1458
— Sur la pluralité des ptérines des écailles des cyprinidés et des œufs de *Bombyx Mori*, par MM. *Michel Polonovski, Carlos Alcantara* et *René-Guy Busnel*..... 1703
— Voir *Acides aminés, Antibiotiques, Bacillus megatherium, Choline, Chromatographie, Complexes (Chimie des), Enzymologie, Fourmis, Ichtyologie, Lait, Mycobaterium tuberculosis, Protéines, Sels d'aluminium, Sucres, Vitamines.*
Chimie colloïdale. — Détermination de la conception critique des micelles de détergents anioniques par titration colorimétrique au moyen d'un colorant cationique : le chlorure de pinacyanol, par Mlle *Made-*

Pages.

leine Raison..... 1129
CHIMIE DES COMPLEXES. — Voir *Complexes (Chimie des)*.
CHIMIE DU SOL. — Agitation permanente des ions phosphoriques retenus par une argile de sol, par M. *Georges Barbier* et Mlle *Edwige Tyskiewzci*..... 1246
CHIMIE GÉNÉRALE. — M. *Louis Hackspill* présente à l'Académie le premier Volume, « Chimie générale », d'un « Précis de chimie » de M. *Raymond Quelet*..... 1267
— Voir *Complexes (Chimie des)*.
CHIMIE INDUSTRIELLE. — Sur la variation de la carboxyréactivité des cokes au cours même de sa détermination, par MM. *Henri Guérin* et *Lucien Hosti*..... 1400
CHIMIE MACROMOLÉCULAIRE. — Sur la contraction isotherme du polystyrolène, par M. *André Kovacs*..... 1127
— L'influence de l'histoire thermique sur la variation isotherme du volume spécifique du polystyrolène, par M. *André Kovacs*..... 1648
— Voir *Électrochimie*.
CHIMIE MINÉRALE. — Voir *Alliages, Chromatographie, Complexes (Chimie des), Décomposition catalytique, Lithium, Oxydes métalliques, Systèmes chimiques*.
CHIMIE MOLÉCULAIRE. — Voir *Chimie macromoléculaire*.
CHIMIE ORGANIQUE. — Les constituants triterpéniques de la résine d'*Andryala canariensis* : taraxastérol et hétérolupéol, par M. *Michel Vilkas*. 179
— Sur les polyméthylène *bis*-carbamates de β-hydroxyéthyle et leurs dérivés, par MM. *Raymond Delaby, Pierre Chabrier* et *Henry Najer*... 376
— Sur des *bis*-oxazolidones dérivées de biacides acycliques, par MM. *Raymond Delaby, Pierre Chabrier* et *Henry Najer*..... 1131
— Sur un mode inédit de cyclisation des pseudoirones (méthyl-3-pseudoionones), par MM. *Yves-René Naves* et *Pierre Ardizio*..... 579
— *Errata*..... 842
— Sur quelques réactions de l'aldéhyde β-chlorocrotonique et de corps apparentés, par M. *Marc Julia*... 662
— Réactivité des alcoylhalogénosilanes en présence de base tertiaire, par M. *Yves Étienne*..... 966
— Oxydation du *d*-méthoéthylheptanonolide par l'acide nitrique, par

Pages.

MM. *Marcel Delépine* et *Marius Badoche*..... 1069
— Sur l'acide homoterpénylique, par MM. *Marcel Delépine* et *Marius Badoche*..... 1455
— Sur l'isolement et quelques propriétés des isomères *cis-trans* de l'α, β-diphényl-β-méthoxyacrylonitrile, par MM. *Pierre Reynaud* et *Jean Matti*..... 1230
— Préparation, isolement et étude des bromhydrates des isomères *cis-trans* de l'α-carbéthoxy α'-diéthylaminoéthoxy stilbène et du bromhydrate de l'α-carbéthoxy α-diéthylaminoéthyl désoxybenzoïne, par MM. *Jean Matti* et *Pierre Reynaud*..... 1316
— Dérivés de l'hydroxy-3 diphényl-5.6 *as*.-triazine, par MM. *Michel Polonovski, Marcel Pesson* et Mme *Pesia Rajzman*..... 1310
— Réduction de l'oxalate d'éthyle par l'hydrure de lithium-aluminium, par MM. *Roger Barré* et *Léopold Favreau*..... 1404
— Sur la pureté du bromométhylcoumaranne selon le mode de préparation, par Mlle *Angèle Gabert* et M. *Henri Normant*..... 1407
— Structure et absorption des dérivés hydroxylés du xanthène (résorcine-benzéines), par Mme *Pauline Ramart-Lucas*..... 1652
— Sur le nitrile, chloro-4 pentène-3 oïque et quelques composés apparentés, par MM. *Marcel Fétizon* et *Marc Julia*..... 1654
— Voir *Acides aminés, Acides aliphatiques, Acides linoléiques, Acides organiques Alcaloïdes, Aldéhydes, Alcools, Anthracènes et dérivés, Aryloxyamines, Carbures acétyléniques, Cétones, Chloromycétine, Cinétique chimique, Colorants, Composés aminoazoïques, Composés anthracéniques, Cyclohexane et dérivés, Diméthylaminopropyl, Échangeurs d'ions, Ethers, Huiles végétales, Hypochlorites, Laine, Nitrophénylsérine, Organomagnésiens (Dérivés), Polymérisation, Pyranne, Quinones, Thiodiformamidine, Thiosemicarbazones*.
CHIMIE PHYSIOLOGIQUE. — Voir *Ostéologie, Vitamines*.
CHIMIE PHYSIQUE. — Entraînement du cérium par le nitrate de potassium suivi à l'aide de $^{144}Ce^{*}$ comme

Pages.

indicateur, par M. *Jules Pauly*... 40
— Entraînement du sodium dans la cristallisation du nitrate de potassium suivi à l'aide du radiosodium comme indicateur, par M. *Jules Pauly*..... 1215
— Étude dilatométrique du gadolinium métallique, par MM. *Félix Trombe* et *Marc Foëx*..... 42
— Étude dilatométrique du dysprosium métallique, par MM. *Félix Trombe* et *Marc Foëx*..... 163
— Détermination de l'isotherme de solubilité (13°) pour le système bromure mercurique, bromure de baryum et eau. Étude de l'indice de réfraction et de la dispersion des solutions, par Mlle *Marie-Louise Delwaulle* et M. *Jacques Van Heems*..... 161
— Expériences sur la vitesse de diffusion d'une vapeur dans un gaz, par M. *Jean-Michel Dunoyer*..... 1027
— Déterminations cryoscopiques précises relatives aux méta- et polyphosphates alcalins, par MM. *André Boullé* et *Robert Jary*..... 1029
— Étude par diffraction électronique de l'évolution de films minces d'antimoine, arsenic, bismuth, obtenus par vaporisation thermique dans le corps même du diffracteur, par M. *Pierre Conjeaud*..... 1213
— Sur un procédé d'étude des réactions entre gaz et solides. Application au système fer-carbone-hydrogène, par MM. *Louis Beaujard*, *Gaston Collette* et *Léon Jacqué*..... 1388
— Voir *Catalyse, Corrosion, Dialyseurs, Ébullition, Effet Raman et chimie, Électrochimie, Nitration, Précipités au sein de la gélatine, Radiocristallographie, Rayons γ, Rayons X, Semi-conductibilité, Spectrophotométrie, Systèmes physiques, Thermochimie, Ultrasons (Théorie des)*.

Chimie théorique. — Remarques sur quelques notions de chimie théorique envisagées du point de vue géométrique, par M. *Raymond Daudel*..... 50
— Remarque sur le rôle de l'indiscernabilité des électrons en chimie théorique, par M. *Raymond Daudel*. 886
— Calcul de l'énergie de l'état fondamental et du potentiel d'ionisation de certains ions, radicaux libres et molécules par la méthode des interactions de configuration. Évaluation de chaleurs d'activation de certaines réactions que donnent ces mêmes corps, par MM. *Odilon Chalvet* et *Raymond Daudel*..... 960
— Sur la classification géométrique des liaisons chimiques. Définition géométrique des fonctions chimiques, par M. *Raymond Daudel*..... 1035
— Sur la signification de la notion de couche. Fondement théorique du modèle quasi atomique du noyau, par M. *Raymond Daudel*..... 1375
— Étude d'un ion fondamental dans la série des oxazines, par M. *Jean-Léon Masse*..... 575
— Calcul approché en orbitales moléculaires des grandeurs associées aux hydrocarbures polyéthyléniques conjugués ou aromatiques, par M. *Claude Vroelant*..... 958
— Sur la définition des atomes dans la molécule et la systématisation des diagrammes, par M. *Alexandre Laforgue*..... 1299
— Considérations sur l'action de l'ion cobalt dans l'hydrolyse enzymatique des peptides, par Mme *Andrée Goudot*..... 1396
— Voir *Anthracènes*.

Chimie végétale. — Sur quelques constituants des semences de *Raphanus sativus* L., par MM. *Antoine Sosa* et *Robert Dupéron*..... 82
— Étude de quelques constituants chimiques du pollen de *Corylus avellana* L., par M. *Antoine Sosa* et Mme *Cécile Sosa-Bourdouil*..... 971
— Recherches sur quelques constituants des fleurs de *Forsythia*, par MM. *Antoine Sosa* et *Victor Plouvier*.. 1045
— Les glucides des semences de Crucifères, par M. *Robert Duperon*..... 1331
— *Errata*..... 1718
— Contribution à l'étude des substances insaponifiables des huiles de graines de Crucifères, par M. *Émile André* et Mlle *Monique Maille*... 665
— Contribution à l'étude des substances sulfurées volatiles de quelques graines de Crucifères (choux fourragers), par M. *Émile André* et Mlle *Marie Carbouères*..... 816
— Voir *Alcaloïdes*.

Chimiotératogenèse. — Essai de classification des substances chimiques électivement tératogènes, par M. *Paul Ancel*..... 764

Chirurgie. — De l'influence du milieu sur la résistance mécanique des

Pages.

liens chirurgicaux, par Mlle *Édith Couillaud*..... 331

Chlamydosporine. — Voir *Antibiotiques.*

Chlore. — Voir *Dosage, Laine.*

Chloromycétine. — Dérivés N-alcoylés du phényl-1 amino-2 propanediol-1.3. Application à la synthèse d'une chloromycétine N-méthylée, par MM. *Albert Funke* et *Pierre Kornmann*..... 726

— Analogues structuraux de la chloromycétine. VI. Action bactériostatique de bases de Schiff apparentées au chloramphénicol, par Mlles *Denise Billet* et *Christiane Marnay.* 1706

Chlorophylle. — Voir *Physiologie végétale.*

Chlorures. — Voir *Carbures acétyléniques.*

Chlorure de baryum. — Voir *Physique cristalline.*

Chlorure de cobalt. — Voir *Optique électronique.*

Chlorure de lithium. — Voir *Embryologie chimique.*

Chlorure de pinacyanol. — Voir *Chimie colloïdale.*

Cholestérol. — Voir *Vitamines.*

Choline. — Sur les esters hydrosolubles de la choline. La glycérylphosphorylcholine, par Mme *Marthe Diament*, M. *Ernest Kahane* et Mlle *Jeanne Lévy*..... 1058

— Voir *Histochimie, Pharmacodynamie, Sels d'aluminium.*

Chondriome. — Voir *Cytologie végétale.*

Chromatographie. — Chromatographie sur papier des oxyacides du phosphore et de l'arsenic, par MM. *Yves Volmar, Jean-Pierre Ebel* et *Fawzi Bassili Yacoub*..... 372

— Chromatographie de partage sur papier de l'héparine en solution aqueuse et plasmatique, par M. *Darius Molho* et Mme *Lucie Molho-Lacroix*..... 522

— Nouveau procédé de détermination chromatographique sur papier de l'α-tocophérol, par M. *Jean Guerillot*, Mme *Andrée Guerillot-Vinet* et Mlle *Liliane Delmas*..... 1295

— Fractionnement des lipides par chromatographie de partage à contre-courant sur papier, par MM. *Louis Douste-Blazy, Jacques Polonovski* et *Paul Valdiguie*..... 1643

— Voir *Phytochimie.*

Pages.

Chromosphère. — Voir *Physique solaire.*

Chronaxie. — Voir *Biologie.*

Ciel nocturne. — Voir *Photométrie.*

Ciliés. — Voir *Protistologie.*

Cinématographe. — Voir *Physique solaire.*

Cinématographie scientifique. — Dispositif optique pour la réception des images cinématographiques à haute fréquence, par M. *Lucien Bull*..... 1210

Cinétique chimique. — Hydrolyse de l'anhydride acétique dans l'acide acétique, en présence d'acide chlorhydrique, par M. *Théophile Yvernault*..... 167

— Échange d'iode entre l'iodure de sodium et l'iodure d'éthyle dans l'acétonitrile comme solvant. Comparaison avec divers résultats dans l'éthanol, par MM. *Serge May* et *Bernard Giraudel*..... 953

— Cinétique de la lactonisation des acides orthométhylolbenzoïques substitués, par M. *Jean Tirouflet*.. 962

— Voir *Optique électronique, Thermodynamique chimique.*

Coagulation. — Voir *Enzymologie.*

Cobalt. — Voir *Chimie théorique, Complexes (Chimie des), Magnétostriction, Oxydes métalliques.*

Cœur. — Voir *Enzymologie.*

Cokes. — Voir *Chimie industrielle.*

Coléoptères. — Voir *Entomologie.*

Colorants. — Voir *Chimie colloïdale, Chimie théorique, Cytologie végétale.*

Colorants chimiques. — Sur quelques colorants azoïques dérivés de l'hydroxy-4 quinaldine, par M. *Jean Décombe* et Mlle *Geneviève Bouchet.* 68

— Sur les colorants disazoïques dérivés des sels de diméthyl-1.2 benzothiazolium, par M. *Henri Wahl* et Mlle *Marie-Thérèse Lebris*..... 1405

— Hydruration photochimique de la phénazine, par MM. *Charles Dufraisse, André Étienne* et *Edmond Toromanoff*..... 759

— Études sur les phénazhydrines. Observations sur la composition de la chlororaphine, par MM. *Charles Dufraisse, André Étienne* et *Edmond Toromanoff*..... 920

— *Errata*..... 177

— Cyclisation indénique de colorants éthyléniques : colorants indaniques résultants, par MM. *Charles Du-*

Pages.

fraisse, André Étienne et *Bernard Goffinet*..... 1349
Colorimètrie. — Voir *Chimie colloïdale.*
Combustibles. — Voir *Chimie industrielle.*
Complexes (Chimie des). — Sur un nouveau complexe borotartrique isolable, par MM. *Jean-Albert Gautier* et *Pierre Pignard*..... 242
— Réactions comparatives de l'arginine et de l'ammoniaque sur le chlorure cobalteux, par Mlle *Jeanne Brigando*..... 370
— Sur les anticatalyseurs de l'oxydation de l'acide L.-ascorbique. Un nouveau complexe cuivreux de la thiamine, par M. *Étienne Géro*..... 397
— Activité et stabilité du complexe antimoniotartrate de potassium, par M. *Yves Doucet*..... 475
Complexes linéaires. — Formules matricielles relatives aux complexes linéaires et aux faisceaux de complexes linéaires, par M. *André Charrueau*..... 860, 931
— *Errata* relatifs à la première de ces communications..... 1068
Composés aminoazoïques. — Spectres d'absorption et structure des composés aminoazoïques. I. Les trois aminoazobenzènes isomériques et leurs sels monoacides, par M. *Modeste Martynoff*..... 54
Composés anthracéniques. — Action des sels de diazonium sur l'hydroxy-2 diphényl-9.10 anthracène et sur le dihydroxy-2.6 diphényl-9.10 anthracène, par MM. *André Étienne* et *Jean Salmon*..... 244
Compteurs a étincelles. — Voir *Physique nucléaire.*
Compteur Rosenblum. — Voir *Physique corpusculaire.*
Conductibilité électrique. — Voir *Électrochimie.*
Congruences. — Voir *Nombres (Théorie des).*
Conifères. — Voir *Paléobotanique.*
Constantes diélectriques. — Voir *Électromagnétisme.*
Corpuscules de spin. — Voir *Physique théorique.*
Corrosion. — Mécanisme de l'action des solutions ionisées d'hydrogène sulfuré sur le fer et l'acier, par MM. *Paul Bastien* et *Pierre Amiot.* 1031
Cortisone. — Démonstration chimique de l'action anti-inflammatoire de la cortisone : inhibition de la production de l'Euglobuline I_1 de Sandor, par M. *Robert Vargues*... 838
Cosmogonie. — Voir *Astronomie.*
Cotylédons. — Voir *Embryologie végétale.*
Couches métalliques minces. — Conduction électrique de films minces de platine recouverts d'une couche diélectrique par évaporation dans le vide, par MM. *Charles Feldman* et *Boris Vodar*..... 414
— Sur la protection de dépôts minces de molybdène par une couche de SiO obtenue par évaporation sous vide, par M. *Charles Feldman*..... 706
— Voir *Alliages.*
Coumaranne. — Voir *Chimie organique, Pharmacologie.*
Courants telluriques. — Variations rapides dans les courants telluriques et le champ magnétique terrestre, par Mlle *Yvonne Beaufils*, MM. *Gaston Gibault* et *Geza Kunetz*..... 198
Covellite. — Voir *Minéralogie.*
Craking. — Voir *Optique.*
Crétacé. — Voir *Géologie.*
Criquet marocain. — Voir *Entomologie.*
Cristallin. — Voir *Chimie biologique.*
Cristallographie. — Observation de figures de croissance en spirale sur des cristaux de quartz naturel et d'alumine fondue, par Mme *Adrienne R. Weill*..... 256
— Voir *Électrooptique, Magnétisme, Radiocristallographie.*
Croissance. — Voir *Biologie expérimentale, Biométrie végétale, Botanique, Embryologie végétale.*
Crown-gall. — Voir *Physiologie végétale, Virologie.*
Crucifères. — Voir *Chimie végétale.*
Crustacés. — A propos du rôle des gastrolithes chez les Écrevisses, par M. *Raoul Husson*..... 905
— *Errata*..... 1717
— Voir *Histophysiologie.*
Cryoscopie. — Voir *Chimie physique.*
Cuivre. — Voir *Alliages, Physique théorique, Spectroscopie.*
Cyanamide. — Voir *Thiodiformamidine.*
Cybernétique. — Sur la stabilité d'un asservissement linéaire multiple, par M. *François-Henri Raymond.* 508
— Perturbations des oscillateurs filtrés, par M. *Gilbert Cahen*..... 1614
Cyclisation. — Voir *Biochimie, Chimie organique, Colorants.*
Cyclohexane et dérivés. — Réac-

Pages.

tions de réarrangement moléculaire dans la préparation d'amines à partir d'alcools alicycliques, par MM. *Max Mousseron, Robert Jacquier* et *Henri Christol*..... 57
— Quelques réactions de réduction par l'hydrure d'aluminium et de lithium en série alicyclique, par MM. *Max Mousseron, Robert Jacquier,* Mme *Magdeleine Mousseron-Canet* et M. *Robert Zagdoun*..... 177
— Quelques réactions d'hétérocyclisation d'amino-2 cyclanols stéréoisomères, par MM. *Max Mousseron, François Winternitz* et Mme *Magdeleine Mousseron-Canet*..... 373
— Réactions d'oxydation et d'halogénation allyliques de cyano- et carbéthoxy-cyclohexènes, par MM. *Max Mousseron, Robert Jacquier* et *André Fontaine*..... 1512
— Voir *Hypochlorites, Physique moléculaire.*
Cyprinidés. — Voir *Chimie biologique.*
Cytochimie. — Voir *Embryologie chimique.*
Cytochrome. — Voir *Chimie biologique.*
Cytologie. — Les cellules nerveuses de *Grantia compressa pennigera Haeckel* (Éponge calcaire Hétérocœle), par Mlle *Odette Tuzet* et M. *Max Pavans de Ceccatty*..... 1541
— Quelques formules chromosomiques chez les *Lycænidæ* (Lépidoptères Rhopalocères), par M. *Hubert de Lesse*..... 1692
— Voir *Histologie, Néréidiens, Ovogenèse, Protéines.*
Cytologie expérimentale. — Nouvelle méthode d'isolement des noyaux cellulaires, par M. *Jean Chauveau*..... 902
Cytologie pathologique. — Étude au microscope électronique des poussières minérales renfermées dans les scléroses pulmonaires silicotiques, par MM. *Albert Policard, André Collet* et Mlle *Lucette Ralyte.* 224
— Étude par microcinématographie en contraste de phase de l'action des particules de charbon et de quartz sur le comportement des phagocytes, par MM. *Albert Policard* et *André Collet*..... 680
Cytologie végétale. — Étude de la fécondation chez quelques Graminées de type nucléaire euréticulé ou réticulé, par M. *Bernard Vazart.* 76
— Fixation et coloration extemporanée du chondriome à l'aide d'un réactif à l'orcéine trichloracétique, par M. *Guy Deysson*..... 1529
— Voir *Cécidologie, Fougères.*
Cytophysiologie. — Étude de la localisation du système enzymatique acétylant dans la cellule hépatique, par MM. *Jean Chauveau* et *Le van Hung*..... 1248

D

Dakar. — Voir *Physique de l'atmosphère.*
Décomposition catalytique. — Sur la décomposition catalytique de l'oxyde de carbone par le fer réduit électrolytiquement à basse température, par MM. *Bernard Fleureau* et *André Sancelme*..... 801
Détection. — Voir *Ultrasons.*
Détonation (Théorie de la). — Détonation des explosifs liquides et solides, par M. *Eugen Saenger*... 461
Dévonien. — Voir *Minéralogie.*
Diabète. — Voir *Physiologie.*
Diagrammes Debye-Scherrer. — Voir *Radiocristallographie.*
Dialyseurs. — Un dialyseur sous pression contrôlée, par M. *Boris Rybak.* 617
Dichloroacroléine. — Voir *Aldéhydes.*
Diélectriques. — Voir *Couches métalliques minces, Électromagnétisme.*
Diffraction. — Voir *Alliages, Optique, Radiocristallographie.*
Diffraction électronique. — Voir *Chimie physique, Optique électronique.*
Diffusion. — Voir *Électrochimie, Optique.*
Diffusion magnétique. — Diffusion magnétique multiple, par M. *Érik Alfsen*..... 535
Dilatométrie. — Voir *Chimie physique.*
Diméthylaminopropyl. — Recherches sur les diméthylaminopropyl-N phénothiazines substituées, par MM. *Paul Charpentier, Paul Gail-*

Pages.

liot, Robert Jacob, Jacques Gaudechon et *Paul Buisson*..... 59
Diphtérie. — Voir *Microbiologie.*
Dirac (Algèbre de). — Voir *Physique théorique.*
Dirac (Théorie de). — Voir *Théorie de l'onde pilote.*
Dirichlet (Problème de). — Principe et problème de Dirichlet dans les espaces de Green, par M. *Marcel Brelot*..... 598
— Lignes de Green et problème de Dirichlet, par M. *Marcel Brelot*..... 1595
Distillation de précision. — Sur le fonctionnement adiabatique des colonnes à rectifier, par M. *René Romanet*..... 412
— Contribution à l'étude de l'effet du prélèvement intermittent sur l'efficacité des colonnes à rectifier, par M. *René Romanet*..... 1390, 1645
Dosage. — Sur le microdosage des ions chlore et brome en présence l'un de l'autre. Application de l'argentométrie potentiométrique par potentiels repérés, par M. *Roger Lévy*..... 882
— Voir *Chimie analytique, Chimie biologique, Rayons* γ.
Drosophiles. — Voir *Génétique évolutive.*
Dynamique des fluides. — Voir *Mécanique des fluides.*
Dynamique des solides. — Voir *Mécanique.*
Dysprosium. — Voir *Chimie physique.*

E

Eau. — Voir *Chimie analytique, Radiochimie.*
Eau de mer. — Voir *Océanographie.*
Eaux souterraines. — Voir *Physique du globe.*
Ébullition. — Courbes d'ébullition et de rosée du mélange azéotrope nitrique-acide à 100 % sous 760 mm Hg, par Mme *Jacqueline Potier*..... 432
— *Errata*..... 751
Échangeurs d'ions. — Action des échangeurs d'anions sur les aldéhydes aliphatiques, par MM. *Georges Durr* et *Pierre Mastagli*..... 1038
— Id., par M. *Georges Durr*..... 1314
— Action des échangeurs d'anions sur la condensation du furfural avec les aldéhydes ou avec l'acétone, par M. *Pierre Mastagli*, Mlle *Angèle Floc'h* et M. *Georges Durr*..... 1402
Échos de pluie. — Voir *Météorologie.*
Éclipse. — Effets de l'éclipse solaire du 25 février 1952 sur la région ionosphérique F 2 en Afrique Équatoriale, par M. *Stéphane Estrabaud*..... 1521
— Observation du champ électrique atmosphérique à Khartoum durant l'éclipse totale de Soleil du 25 février 1952, par M. *Alexandre Dauvillier*..... 852
Écologie. — Caractéristiques et évolution de la végétation d'un étang des Pyrénées-Orientales, par MM. *Georges Petit* et *Anwar Abbel Aleem*..... 632
Économie rurale. — Sur la capacité de production des sols, par MM. *Albert Demolon* et *Stéphane Hénin*... 847
— Voir *Fièvre aphteuse.*
Effet Maxwell. — Voir *Physique macromoléculaire.*
Effet Raman et chimie. — Étude par effet Raman de l'acide acétique en solution dans divers solvants organiques, par Mme *Suzanne Fénéant*..... 240
— Spectres Raman des solutions d'acide acétique dans l'eau, par Mme *Suzanne Fénéant*..... 1292
— Voir *Physique cristalline.*
Élasticité. — Étude photoélastique de la rupture, par M. *Félix Zandman*..... 1472
— Voir *Métallographie.*
Électricité. — Comportement des ions dans les champs électriques forts, par MM. *Marcel Pauthenier* et *René Challande*..... 28
— Observation des dépôts de précipitation électrique au microscope électronique, par MM. *Marcel Pauthenier* et *René Challande*..... 1113
— Contribution à l'étude de la conductibilité du silicium, par MM. *Mar-*

Pages.

cel Perrot et *Jean Tortosa*..... 143
— Sur le mécanisme physique des phénomènes dans les complexes de semi-conducteurs électroniques, par M. *Jean Martinet*..... 874
— Sur la résistance apparente en haute fréquence d'une couche conductrice de largeur finie parallèle à un plan conducteur indéfini. Champ antagoniste et courants induits, par MM. *Antoine Colombani* et *Marcel Gourceaux*..... 605
— Sur les courants induits produits dans une plaque conductrice de grande largeur par une nappe plane de *faible largeur* parcourue par un courant de haute fréquence. Formules approchées donnant les variations de résistance et de self de l'inducteur, par MM. *Marcel Gourceaux* et *Antoine Colombani*.. 650
— Voir *Couches métalliques minces, Émission chimique, Optique.*
Électrochimie. — Relation entre les caractéristiques électriques et géométriques d'une cellule électrochimique au bioxyde de manganèse, par M. *Jean Brenet*..... 615
— Sur les changements dans la conductibilité électrique des métaux lors de la fusion (II), par Mlle *Geneviève Sutra*..... 707
— Sur l'ion hydrogène en solution dans l'eau, par Mlle *Geneviève Sutra*.. 957
— Contribution à l'étude de la diffusion des ions à travers les revêtements métalliques, par MM. *Maurice Bonnemay, Helmy Makram* et *Jean Royon*..... 955
— Sur l'existence d'une discontinuité de polarisation cathodique du platine dans l'électrolyse des solutions acides diluées, par M. *Luc-Henry Collet* et Mlle *Marie-Christine Pommier*..... 1033
— Sur l'obtention de charges électriques macroscopiques à l'intérieur des solutions, par M. *José Lima-de-Faria*..... 1297
— Sur le calcul des charges électriques formées à l'intérieur des solutions dans des régions de très forte discontinuité du champ électrique, par M. *José Lima-de-Faria*..... 1392
— Sur l'application du permanganate de potassium à la mise en évidence, d'une façon visible, des charges électriques engendrées pendant la diffusion, par M. *José Lima-de-Faria*..... 1641
Électroencéphalogramme. — Analyse d'un électroencéphalogramme par la méthode Labrouste, par Mme *Yvonne Labrouste* et M. *Benjamin Bladier*..... 898
Électrolyse. — Voir *Minéralogie.*
Électromagnétisme. — Sur la vitesse moyenne de l'énergie dans un milieu ionisé absorbant hétérogène de paramètres lentement variables, par M. *Henri Arzeliès*..... 421
— Sur l'équation différentielle des rayons électromagnétiques dans un milieu ionisé absorbant hétérogène de paramètres lentement variables, par M. *Henri Arzeliès*.. 1619
— Constante diélectrique complexe à 9500 MHz de quelques phosphates en fonction de la température, par MM. *Serge Le Montagner, Jean Le Bot* et *Yves Allain*..... 1199
— Sur le rayonnement longitudinal d'antennes diélectriques, par MM. *Jean-Claude Simon* et *Georges Weill*..... 1379
Électronique. — Nouveaux tubes oscillateurs à large bande d'accord électronique pour hyperfréquences, par MM. *Pierre Guénard, Oskar Dœhler, Bernard Epsztein* et *Robert Warnecke*..... 236
— Nouveau dispositif bistable à grande vitesse et à combinaisons multiples, par M. *Yves Druet*..... 494
— Le magnétron en régime statique de coupure : étude expérimentale. II. Influence de l'inclinaison du champ magnétique sur l'axe du magnétron, par M. *Jean-Loup Delcroix*..... 1018
— Définition précise d'un intervalle de temps, au moyen d'un dispositif électronique. Remise à zéro automatique. Choix de la fréquence de référence, par M. *André Peuteman*. 1381
— Voir *Alliages, Chimie théorique, Électronique, Physique corpusculaire, Physique nucléaire, Radioactivité, Radioélectricité.*
Électrooptique. — Sur l'effet de scintillation des cristaux détecteurs, par M. *Nicolas Nifontoff*..... 1117
Électrotechnique. — La détermination de l'inductance des fuites totales des machines à courant alternatif et la méthode de résonance, par MM. *Max Teissié-Solier* et *Jean Lagasse*..... 146

Pages.

— Sur les régimes transitoires, par M. *Paul Poincelot*..... 1492

EMBRYOGÉNIE VÉGÉTALE. — Embryogénie des Boragacées. Développement de l'embryon chez le *Lithospermum officinale* L., par M. *René Souèges*..... 217

— L'albumen et l'embryon chez le *Callitriche vernalis* Kuetz. (*C. verna* L.), par M. *René Souèges*..... 453

— Embryogénie des Ombellifères. Développement de l'embryon chez l'*Astrantia major* L., par M. *René Souèges*..... 674

— Embryogénie des Liliacées. Développement de l'embryon chez le *Scilla autumnalis* L., par M. *Pierre Crété*..... 313

— Id. Développement de l'embryon chez le *Gasteria verrucosa* Duval, par M. *Pierre Crété*..... 1421

— Voir *Embryologie végétale.*

EMBRYOLOGIE. — Le Secrétaire général de l'Académie Royale Néerlandaise des sciences et des lettres communique la résolution adoptée, par l'Institut international d'embryologie, dans le but d'attirer l'attention des autorités responsables de l'enseignement et de la recherche médicale sur l'importance des notions relatives au développement embryonnaire..... 1588

— Voir *Biologie expérimentale.*

EMBRYOLOGIE CHIMIQUE. — Chlorure de lithium et biochimie du développement embryonnaire, par M. *Roger Lallier*..... 98

— Chlorure de lithium et développement embryonnaire (aspects cytochimiques et morphologiques), par M. *Roger Lallier*..... 260

EMBRYOLOGIE VÉGÉTALE. — Culture aseptique d'embryons de *Ginkgo biloba* : Rôle des cotylédons dans l'absorption du sucre et la croissance de la tige, par Mlle *Camille Bulard*..... 739

ÉMISSION ÉLECTRONIQUE. — L'émission électronique secondaire de quelques métaux sous l'impact d'ions positifs de lithium, par M. *Georges Couchet*..... 944

ENDOCRINOLOGIE. — Sur l'existence de l'hormone hyperglycémiante du pancréas, par M. *Pierre Mialhe*... 94

— Sur la présence d'une substance cortico-stimulante du placenta humain, par MM. *Herbert Tuchmann-Duplessis, Maurice Mayer, Jean Quelet* et *André Sahy*..... 209

— Action corticotrope des lobes antérieur et postérieur de l'hypophyse du Bœuf, par Mme *Cécile Mialhe-Voloss*..... 743

— Voir *Biologie, Épiphysectomie.*

ENSABLEMENTS. — Voir *Hydraulique.*

ENSEMBLES (THÉORIE DES). — Sur les types d'ordre distincts dont les carrés sont égaux, par Mme *Anne C. Davis* et M. *Waclaw Sierpinski*. 850

— Sur l'équation $\xi^n = \alpha$ pour des types d'ordre, par Mme *Anne C. Davis*.. 924

— Voir *Calcul fonctionnel, Nombres (Théorie des).*

ENTOMOLOGIE. — Sur la possibilité de transmission de virus par le Phylloxéra de la Vigne, par M. *Pierre Maillet*..... 907

— Apparition récente d'une sous-espèce nouvelle de Coléoptère dans la faune de Madère, par M. *René Jeannel*..... 1155

— Sur la détermination des régions grégarigènes du Criquet marocain *Dociostaurus maroccanus* Thünbg, en Corse, par MM. *Roger Pasquier, Xavier Colonna-Césari* et *Jacques Bonfils*..... 1157

— Déterminisme de la pigmentation chez *Acrida turrita* L. (Insecte orthoptéroïde), par M. *Pierre Joly*..... 1054

— Production d'adultoïdes chez *Locusta migratoria* L., (Insecte orthoptéroïde), par M. *Pierre Joly*..... 1555

— Voir *Fourmis, Histologie, Psychophysiologie.*

ENZYMOLOGIE. — Le rôle de facteurs enzymatiques extraits du poumon ou du cœur sur l'oxygénation de l'hémoglobine, par M. *J.-André Thomas* et Mlle *Annette Blanc*.... 318

— L'enzyme catalysant l'oxygénation de l'hémoglobine, par M. *J.-André Thomas* et Mme *Annette Alfsen-Blanc*..... 1537

— Nouvelles données sur la constitution enzymatique du mutant « petite colonie » de Saccharomyces cerevisiæ, par MM. *Piotr P. Slonimski* et *Herbert M. Hirsch*..... 741

— Rôle de l'oxygène dans le déterminisme de la constitution enzymatique de la levure, par MM. *Piotr P. Slonimski* et *Herbert* M. *Hirsch*. 914

— Excrétion de porphyrines par la levure en anaérobiose, par *M. Piotr*

Pages.

P. Slonismki..... 1064
— Augmentation de la coagulabilité du sang sous l'action *in vivo* du lysozyme, par M. *Henri Violle*... 1170
— Voir *Biophysique, Chimie biologique, Chimie théorique, Cytophysiologie, Histologie végétale, Ostéologie, Sucres, Virologie.*
ÉOCÈNE. — Voir *Géologie, Paléographie.*
ÉPILEPSIE. — Voir *Pathologie expérimentale.*
ÉPIPHYSECTOMIE. — Influence de l'hypophysectomie sur l'hyperactivité réactionnelle de l'ovaire restant chez le Cobaye, par MM. *Max Aron, Claude Aron* et *Jean Marescaux*..... 320
— A propos de l'épiphysectomie chez *Gallus domesticus* L., par MM. *René Patay* et *André du Chalard*..... 498
ÉPONGES. — Voir *Cytologie.*
ÉQUATIONS. — Sur la construction des équations $s + f(x, y, z, p, q, r) = 0$ qui possèdent un invariant du second ordre, par M. *Georges Heilbronn*..... 1090
ÉQUATIONS DES ONDES. — Voir *Physique mathématique.*
ÉQUATIONS DIFFÉRENTIELLES. — Étude topologique de certaines équations différentielles non linéaires, par M. *Gilbert Cahen*..... 1003
— Nouveaux cas d'intégrabilité par quadratures d'une équation différentielle remarquable du premier ordre. II., par M. *Jean Nordon*... 1181
— Voir *Algèbre, Mécanique.*
ÉQUATIONS DIFFÉRENTIELLES LINÉAIRES. — Sur une application de l'intégrale d'Hadamard à la théorie des équations différentielles linéaires, par M. *Félix Pollaczek*.. 681
ÉQUATIONS FONCTIONNELLES. — Voir *Analyse symbolique.*
ÉQUATIONS INTÉGRALES. — Sur une équation intégrodifférentielle non linéaire, par M. *Serge Colombo*... 857
— Sur les équations intégrales de Volterra à noyaux logarithmiques, par M. *Serge Colombo*..... 928
— Voir *Analyse mathématique, Fonctions spéciales, Physique théorique.*
ÉQUATIONS LINÉAIRES. — Voir *Physique mathématique.*
ÉQUILIBRE FER-CARBONE-HYDROGÈNE. — Voir *Chimie physique.*
ÉQUILIBRE PROTIDIQUE. — Voir *Biochimie végétale.*
ÉQUILIBRE RADIOACTIF. — Voir *Astrophysique.*
ÉRIOPHYCES MACRORHYNCHUS. — Voir *Cécidologie.*
ESPACES. — Voir *Dirichlet (Problème de).*
ESPACES LINÉAIRES. — Voir *Calcul fonctionnel.*
ÉTHANE. — Voir *Polarisation rotatoire magnétique.*
ÉTHANOL. — Voir *Cinétique chimique.*
ÉTHERS. — Action des dérivés organosodiques sur les éthers vinyliques, par MM. *Raymond Paul* et *Serge Tchelitcheff*..... 1226
— Voir *Acides organiques, Biochimie, Carbures acétyléniques, Chimie organique, Hypochlorites, Ostéologie.*
ÉTOILES. — Voir *Astronomie stellaire.*
ÉTOILE POLAIRE. — Voir *Rayons cosmiques.*
EUGLOBULINE. — Voir *Cortisone.*
ÉVOLUTION. — Voir *Physique théorique.*
EXCITABILITÉ CELLULAIRE. — Voir *Physicochimie biologique.*
EXPÉDITION POLAIRE. — M. le Ministre de l'Éducation Nationale annonce la prochaine ouverture d'une exposition publique sur les activités en Terre Adélie et au Groenland des Expéditions polaires françaises..... 1358
EXPLOSIFS. — Note sur les ondes explosives sphériques dans les mélanges gazeux, par MM. *Numa Manson* et *Frank Ferrié*..... 139
— Sur la variation de la célérité des ondes explosives avec le diamètre des tubes, par MM. *Henri Guénoche* et *Numa Manson*..... 1617
— Voir *Détonation (Théorie de la).*

F

FAUNE. — M. *Louis Fage* présente un Ouvrage : « Faune de l'Union française. XIV. Diptères phlébotomes de la Guyane et des Antilles

Pages.

françaises », par *Hervé Floch* et *Émile Abonnenc*. Préface de M. *Émile Roubaud*..... 923
— Voir *Géologie*.
Faune coloniale. — M. *Louis Fage* présente un Ouvrage : « Faune des nids et des terriers en Basse-Côte-d'Ivoire », par *Claude Delamarre-Debouteville* et *Renaud Paulian*.. 1357
Fécondation. — Voir *Cytologie végétale, Fougères*.
Fer. — Voir *Chimie analytique, Chimie physique, Corrosion, Systèmes chimiques*.
Fer oolithique. — Voir *Minéralogie*.
Ferrites. — Voir *Ferromagnétisme, Magnétostriction*.
Ferromagnétisme. — Ferrites de terres rares à double point de Curie ferromagnétique, par MM. *Hubert Forestier* et *Georges Guiot-Guillain*..... 48
— Voir *Magnétisme, Spectroscopie*.
Fièvre aphteuse. — M. *Emmanuel Leclainche* demande qu'une Commission de l'Académie soit nommée qui se rendrait auprès de M. le Ministre de l'Agriculture, afin d'étudier avec lui et ses services les mesures à prendre pour lutter avec efficacité contre le fléau..... 277
— A propos de la fièvre aphteuse, par M. *Gaston Ramon*..... 333
— Sur la proposition de M. *Ramon*, l'Académie adopte un vœu qui sera adressé à M. le Président du Conseil des Ministres et à M. le Ministre de l'Agriculture..... 403
— La culture du virus de la fièvre aphteuse en très grande quantité sur embryome spécifique géant, chez la Vache, par MM. *J.-André Thomas, J.-Pierre Thiéry, Louis Salomon* et Mme *Léone Salomon*..... 520
Fièvre boutonneuse. — Voir *Médecine expérimentale*.
Films minces. — Voir *Chimie physique*.
Flavonoside. — Voir *Biochimie végétale*.
Flore. — Voir *Paléobotanique*.
Flore marocaine. — Les Eucalyptus par *H. Ménager, in* « La Revue internationale de botanique appliquée et d'agriculture tropicale » (imp.)..... 674
Fluides visqueux. — Voir *Ultrasons (Théorie des)*.

Pages.

Fluor. — Voir *Histopathologie expérimentale*.
Fluorescence. — Voir *Chimie biologique, Optique cristalline, Optique moléculaire*.
Fonctions (Théorie des). — Sur certaines classes de fonctions indéfiniment dérivables, par M. *Pierre Lalaguë*..... 114
— Longueurs extrémales, mesure harmonique et distance hyperbolique, par M. *Joseph Hersch*..... 569
— Équivalence de certaines propriétés de pseudo-convexité, par M. *Pierre Lelong*..... 594
— Sur quelques généralisations du théorème de Picard, par M. *Robert Finn*..... 596
— Sur le lien entre les notions « champ réel autonome » et « cellule d'harmonicité », par M. *François Teissier du Cros*..... 600
— Sur une famille de fonctions, par M. *Étienne Halphen*..... 684
— Sur la sommation des séries divergentes, par M. *Marc Zamansky*.. 1094
— Conditions suffisantes pour l'inversion de la seconde inégalité fondamentale de la théorie des fonctions méromorphes, par M. *Edward F. Collingwood*..... 1182
— Relation entre la distribution des valeurs multiples d'une fonction méromorphe et la ramification de sa surface de Riemann, par M. *Edward F. Collingwood*..... 1267
— Un théorème de représentation conforme, par M. *Heinz Renggli*..... 1593
— Voir *Dirichlet (Problème de)*.
Fonctions aléatoires. — Voir *Probabilités (Calcul des)*.
Fonctions analytiques. — Sur une généralisation des fonctions analytiques et des familles normales, par M. *Renato Caccioppoli*..... 116
— Sur une généralisation des fonctions analytiques, par M. *Renato Caccioppoli*..... 228
— Sur la somme des classes quasi analytiques, par M. *Ricardo San Juan*..... 118
— Une propriété générale des classes quasi analytiques et des développements asymptotiques dans des demi-plans, par M. *Ricardo San Juan*..... 282
— Sur deux familles de fonctions analogues à la famille des fonctions

Pages.

analytiques, par M. *Maurice Fréchet*..... 1585
Fonctions spéciales. — Équations intégrales et fonctions de Lamé, par M. *Robert Campbell*..... 8
Formosamine. — Voir *Alcaloïdes*.
Fossiles. — Sur la présence d'Éponges réticulées (Dictyospongidés, Lyssacines) dans le Briovérien de Bretagne, par M. *André Philippot*. 438
Fougères. — Différenciation et structure des anthérozoïdes de certains Ptéridophytes, par Mme *Jacqueline Vazart*..... 78
— Structure de l'archégone et déroulement de la fécondation chez quelques Polypodiacées, par Mme *Jacqueline Vazart*..... 316
Fourmis. — Sur les sécrétions odorantes de quelques fourmis, par M. *Robert Stumper*..... 526
— Voir *Biologie*.
Four solaire. — Fours centrifuges à accumulation d'énergie solaire, par MM. *Félix Trombe* et *Marc Foëx*. 571
— Sur la réalisation d'un four solaire semi-industriel au Laboratoire de Mont-Louis (Pyrénées-Orientales), par M. *Félix Trombe*..... 704
— Sur quelques détails de montage du four solaire semi-industriel de Mont-Louis, par M. *Félix Trombe*. 1211
Frittage. — Voir *Métallurgie*.
Fructose. — Voir *Physiologie végétale*.
Fruits. — Voir *Biochimie végétale, Physiologie végétale*.
Furfural. — Voir *Échangeurs d'ions*.
Fusion. — Voir *Électrochimie*.

G

Gadolinium. — Voir *Chimie physique, Magnétisme*.
Galactose. — Voir *Sucres*.
Gaz carbonique. — Voir *Physiologie végétale*.
Gel. — Voir *Précipités au sein de la gélatine*.
Gélatine. — Voir *Biophysique*.
Gelsemine. — Voir *Alcaloïdes*.
Génétique. — Observation de l'incompatibilité dans *Œnothera fruticosa* L., par M. *Robert Linder*..... 516
— Influence de l'effectif des populations sur la diversité des fréquences du gène « absence de bande » chez *Cepæa nemoralis* L., par M. *Maxime Lamotte*..... 826
— Sur le polychromatisme de populations de *Sphæroma serratum* le long des côtes d'Irlande, par M. *Henri Hoestlandt*..... 1052
— Nouveaux dénombrements chromosomiques chez les Iris, par M. *Marc Simonet*..... 1244
— Sur la méiose de quelques *Iris Pogocyclus*. IV. Hybrides entre *Pogocyclus* $2n$ ($2n = 22$) ou $4n$($n = 22$) et *Pogoniris grands* $4n$($n = 24$), par M. *Marc Simonet*..... 1426
— Voir *Biologie expérimentale, Enzymologie*.
Génétique évolutive. — Un cas de haute mutabilité chez *Drosophila melanogaster*, par Mme *Claudine Petit*..... 745
Génétique mathématique. — Analogie entre une loi d'union sélective et une loi de fécondité ou de survivance différentielles, par M. *Henri Marchand*..... 863
Géodésie. — Contribution à l'établissement des bases du réseau gravimétrique africain, par MM. *Pierre Lejay, Jean Martin* et *Claude Blot*. 1259
— M. *Pierre Lejay* présente un Ouvrage : « Sur la prolongation du réseau gravimétrique nord-africain au Sahara français. Essai d'interprétation structurale », par *Jean Lagrula*..... 1267
— Voir *Astronomie géodésique*.
Géodésiques. — M. *Georges Poivilliers* présente un Ouvrage : « Publications techniques de l'Institut géographique national. Note sur le calcul des grandes géodésiques avec 11 tables annexes », par MM. *Jean-Jacques Levallois* et *Michel Dupuy*..... 281
Géographie. — Voir *Géodésiques, Stratigraphie*.
Géographie physique. — Nature et origine du relief de la Dorsale guinéenne, par MM. *Maxime La-*

Pages.

motte et *Gabriel Rougerie*..... 1144
— Sur la morphométrie du massif galiléen, par M. *Étienne de Vaumas*... 1146
— Id. du massif palestinien, par M. *Étienne de Vaumas*..... 1410
— Surfaces d'aplanissement tertiaires de forme alvéolaire dans la partie septentrionale du Massif Central français, par M. *Jean Dautry*.... 1318
— Sur la signification des lacs dans la morphogenèse des Combrailles, par M. *Jean Dautry*..... 1412
— Distinction de deux types d'avens sur les Plans de Canjuers (Var), par M. *Philippe Renault*..... 1519
— Influence du sens des circulations aquifères sur le creusement des avens des Plans de Canjuers (Var), par M. *Philippe Renault*..... 1672
— Dépôt actuel de varves lacustres en Normandie, par M. *André Journaux*..... 1669
Géologie. — Sur une faune de mammifères miocènes découverte à Beni-Mellal (Atlas Marocain), par M. *René Lavocat*..... 189
— Sur l'hydrogéologie des sables thanétiens du Bassin de Paris, par Mlle *Armelle Rouvillois*..... 305
— L'évolution des éboulis littoraux de la Provence métamorphique (du Cap Sicié au Cap Nègre), par M. *Jean-Joseph Blanc*..... 383
— Lithologie des formations marécageuses côtières du littoral provençal, par M. *Jean-Joseph Blanc*. 730
— Observations sur l'action de la houle de Mistral en quelques points du littoral provençal, par M. *Jean-Joseph Blanc*..... 1142
— Le Trias et le Jurassique des collines sous-vosgiennes entre la Fecht et la Weiss, par MM. *Georges Dubois* et *Michel Ruhland*..... 436
— Géologie des collines sous-vosgiennes entre la Thur et le Silbach, par M. *Georges Dubois*, Mlles *Suzette Gillet* et *Thérèse Kolb*..... 1138
— Sur le Trias silicifié et barytinifère de La Pernelle (Manche), par MM. *Louis Dangeard, Léopold Berthois* et *Claude Pareyn*..... 440
— Sur la constitution du socle cristallin de Madagascar, par M. *Henri Besairie*..... 456
— Sur les zones de Trilobites du Cambrien inférieur marocain, par M. *Pierre Hupé*..... 480
— L'Éocène marin de la vallée du Sous (Sud Marocain), par M. *Robert Ambroggi*..... 482
— Essais de synthèses en relation avec des roches volcaniques d'Algérie, par M. *Gérard Sadran*..... 512
— Évolution tectonique de la fosse de Chantonnay et extension de la mer des faluns dans le Nord de la Vendée, par M. *Gilbert Mathieu*..... 728
— Structure géologique de la façade atlantique de la Vendée et plissements posthumes en Aquitaine, par M. *Gilbert Mathieu*..... 1139
— Curieuses cristallisations de calcite, attribuées à tort à des Algues (*Microcodium*), dans la partie terminale du Crétacé supérieur alpin et pyrénéen, par M. *Léon Moret*.... 762
— Sur la nature et la signification des *Collenia* précambriennes, par M. *Pierre Teilhard de Chardin*..... 845
— Probabilités de l'existence de minerais radioactifs dans certaines régions du Maroc français, par M. *Léon Puzenat*..... 1234
— Observations nouvelles lors des sondages récents de Pechelbronn (Bas-Rhin), par M. *Edgar Casel*.. 1516
— Voir *Calcaire dévonien, Cartographie, Fossiles, Géographie physique, Granites, Gravimétrie, Paléographie, Paléontologie, Préhistoire, Stratigraphie, Tectonique.*
Géologie stratigraphique. — Voir *Océanographie.*
Géométrie. — Les groupes de symétrie des ornements employés par les anciennes civilisations du Mexique, par M. *Jules Garrido*..... 1184
— Voir *Chimie théorique, Complexes linéaires.*
Géométrie différentielle globale. — Variétés pseudokählériennes à courbure de Ricci non nulle; application aux domaines bornés homogènes de C^n, par M. *André Lichnerowicz*..... 12
Géométrie métrique. — Principes de classification dans l'étude des trièdres et des tétraèdres, par Mlle *Geneviève Guitel*..... 1274
Géophysique. — Phénomènes dynamiques dans les couches ionosphériques, par M. *Klaus Bibl*..... 734
— Une influence lunaire sur l'altitude du centre de la couche ionosphérique F 2, par M. *Rudolf Eyfrig*.. 736
— Voir *Éclipses.*
Germanium. — Les réactions du ger-

Pages.

manium, par M. *Pierre Bévillard.* 880
GERMINATION. — Voir *Acide ribonucléique, Biométrie végétale.*
GINKO BILOBA. — Voir *Embryologie végétale.*
GIRAFFE. — Voir *Anatomie comparée.*
GLUCIDES. — Voir *Chimie végétale, Histologie végétale, Métabolisme glucidique.*
GLUCOSE. — Voir *Chimie biologique, Sucres.*
GLYCOGÈNE. — Voir *Bacillus megatherium.*
GONADES. — Voir *Biologie.*
GRAINES. — Voir *Chimie végétale.*
GRAMINÉES. — Voir *Cytologie végétale.*
GRANITES. — Observations en Bretagne sur des granites à enclaves de schistosités discordantes, dites enclaves déplacées, par MM. *René Perrin* et *Marcel Roubault*..... 196
— Sur l'origine des granites tertiaires de la Kabylie de Collo (Département de Constantine), par M. *Marcel Roubault*..... 307
— Voir *Métallogénie.*
GRANULOMÉTRIE. — Voir *Pédologie.*

Pages.

GRAVIMÉTRIE. — Corrélations entre les données gravimétriques et structurales dans le Nord de la province d'Alger, par MM. *Louis Glangeaud* et *Jean Lagrula*..... 193
— Voir *Géodésie.*
GRAVITATION. — Mesure de l'accélération due à la pesanteur, au Pavillon de Breteuil, par M. *Charles Volet*..... 442
— Voir *Théorie unitaire.*
GRÈS. — Voir *Lithologie.*
GRIPPE. — Voir *Virologie.*
GROUPES (THÉORIE DES). — Sur quelques propriétés des idéaux dans les demi-groupes, par Mlle *Marianne Teissier*..... 767
— Sur les vecteurs dérivés des quasi-groupes unis, par Mlle *Hélène Popova*..... 1360
— Logarithmétiques réductibles de quasi-groupes, par Mlle *Hélène Popova*..... 1589
— Voir *Algèbre.*
GRYLLIDÉS. — Voir *Ovogenèse.*
GUINÉE. — Voir *Géographie physique.*

H

HALOGÈNES. — Voir *Alcools, Cétones, Chimie organique, Pharmacologie.*
HAUTES FRÉQUENCES. — Voir *Cinématographie scientifique, Électricité.*
HAUTES TEMPÉRATURES. — Voir *Chimie physique, Four solaire.*
HÉLIUM. — Voir *Minéralogie.*
HÉMATOLOGIE. — Répartition de l'hémoglobine en fonction de la forme disque ou sphère des érythrocites, par MM. *Éric Ponder, Marcel Bessis* et *Michel Bricka*..... 96
— Organisation submicroscopique des hématies contenant des hémoglobines anormales, par MM. *Dikran G. Dervichian, Gérard Fournet, André Guinier* et *Eric Ponder*... 324
— Examen de la surface des érythrocytes falciformes au microscope électronique, par MM. *Marcel Bessis, Michel Bricka* et Mme *Janine Breton-Gorius*..... 1433
— Voir *Enzymologie.*
HÉMOGLOBINE. — Voir *Enzymologie.*
HÉPARINE. — Voir *Chromatographie.*
HÉTÉROAUXINES. — Voir *Pédologie.*
HÉTÉROSIDES. — Voir *Biochimie végétale.*
HISTOCHIMIE. — Distribution de l'activité cholinestérasique au niveau de la synapse myoneurale, par MM. *René Couteaux* et *Jacques Taxi*..... 434
HISTOIRE DE L'ART. — Voir *Géométrie.*
HISTOLOGIE. — Particularités histologiques des centres leucopoiétiques thoraciques chez quelques Lépidoptères, par Mlle *Lucie Arvy*.... 1539
— Sur les différentes fibres conjonctives et sur la formation des basocytes, par MM. *René Hissard, Louis Moncourier* et *Jean Jacquet.* 822
— Voir *Épiphysectomie, Histopathologie expérimentale, Histophysiologie, Virologie.*
HISTOLOGIE VÉGÉTALE. — Action de l'hydrazide maléique sur la teneur en substances glucidiques du tissu

Pages.

libérien de racine de Carotte cultivé *in vitro*, par M. *Chryssanthos Phouphas*..... 808

— Action de la mercaptoéthylamine et de la mercaptothiazoline sur quelques tissus végétaux cultivés *in vitro*, par M. *Robert Bouriquet*.... 811

— *Errata*..... 1174

— Nature des éléments sclérenchymateux de la tige du *Lactoris fernandeziana* Philippi et position systématique des Lactoridacées, par M. *Robert Lemesle*..... 814

— Trachéides à face interne striée dans le bois de deux Ombellifères Apioïdées à port arbustif, par M. *Robert Lemesle*..... 896

— Voir *Physiologie végétale, Virologie.*

HISTOPATHOLOGIE EXPÉRIMENTALE. — Effets du fluorure de calcium naturel (spath fluor) et synthétique sur les tissus conjonctifs et lymphoïdes, par MM. *Albert Policard* et *André Collet*..... 1462

HISTOPHYSIOLOGIE. — Particularités histochimiques de l'organe de Hanström (organe X) et de la glande du sinus chez quelques Crustacés décapodes, par M. *Manfred Gabe*..... 90

— Sur l'existence d'un cycle sécrétoire dans la glande du sinus (organe pseudofrontal) chez *Oniscus asellus* L., par M. *Manfred Gabe*..... 900

— Particularités histologiques de la glande du sinus et de l'organe X (organe de Bellonci) chez *Sphæroma serratum* Fabr., par M. *Manfred Gabe*..... 973

— Sur le rôle des odontoblastes dans l'élaboration des dents radulaires, par MM. *Manfred Gabe* et *Marcel Prenant*..... 1059

— Sur l'emplacement et les connexions des cellules neuro-sécrétrices dans les ganglions cérébroïdes de quelques Chilopodes, par M. *Manfred Gabe*..... 1430

HOMOLOGIE. — Voir *Topologie algébrique.*

HORMONES. — Voir *Endocrinologie.*

HUILES VÉGÉTALES. — Étude des constituants non glycéridiques des huiles de pulpes d'olives, par M. *Robert Fuhrmann*..... 722

— Voir *Chimie végétale.*

Pages.

HYDRATATION. — Voir *Spectrophotométrie.*

HYDRAULIQUE. — Méthode graphique pour le calcul des ondes de translation dans les canaux découverts, par M. *Jean Nougaro*..... 341

— Recherches expérimentales sur les intumescences dans les canaux découverts, par M. *Jean Nougaro.* 788

— Méthode analytique de calcul des chambres d'équilibre déversantes, par M. *Léopold Escande*..... 338

— Résultats d'études complémentaires relatives à un type particulier d'ouvrage de protection des ports, rades ou estuaires contre les ensablements, par MM. *Jean Laurent* et *André Rivière*..... 1475

— Résultats de recherches concernant les origines des mouvements à longue période observés dans les ports maritimes, par M. *Jean Laurent*..... 1602

— Voir *Mécanique des fluides, Mécanique des sols.*

HYDRAZIDE. — Voir *Histologie végétale, Tuberculose.*

HYDRODYNAMIQUE. — Voir *Physique macromoléculaire.*

HYDROÉLECTRICITÉ. — Voir *Géographie physique.*

HYDROGÉNATION CATALYTIQUE. — Voir *Acides organiques.*

HYDROGÈNE. — Voir *Chimie physique, Corrosion, Électrochimie.*

HYDROGÉOLOGIE. — Voir *Géologie.*

HYDROLOGIE. — Voir *Sédimentologie.*

HYDROLYSE. — Voir *Chimie théorique, Cinétique chimique.*

HYDROSOLS. — Voir *Physicochimie biologique.*

HYDROXYÉTHYLURÉTHANNES. — Voir *Chimie organique.*

HYDRURATION. — Voir *Colorants, Cyclohexane et dérivés, Radiocristallographie.*

HYDRURES DE LITHIUM-ALUMINIUM. — Voir *Chimie organique.*

HYPOCHLORITES. — Les esters aromatiques de l'acide hypochloreux, par MM. *Léon Denivelle* et *Roland Fort*..... 1514

— Hypochlorites d'aryle et chlorocyclohexadiène-1.4 ones-3, par MM. *Léon Denivelle* et *Roland Fort*.... 1658

HYPOXIE. — Voir *Physiologie.*

HYRACOÏDE. — Voir *Paléontologie.*

I

Pages.

ICHTYOLOGIE. — Saumonisation de *Salmo irideus* Gibb. par administration d'astaxanthine, par MM. *René Grangaud, René Dieuzeide*, Mlles *Renée Massonet* et *Thérèse Douard*..... 213
— Mise en évidence de l'astaxanthine chez *Triton nodifer* Lamarck, par M. *René Grangaud*, Mlles *Isabelle Garcia* et *Renée Massonet*..... 446
— Voir *Chimie biologique.*
IMMUNOLOGIE. — Le nucléinate de soude, substance adjuvante et stimulante de l'immunité, par MM. *Gaston Ramon, André Chassigneux, Rémy Richou* et *Claude Gerbeaux*..... 111
— Vaccination préventive du Cobaye contre la brucellose expérimentale (*Br. Melitensis*) par l'association de la souche 19 aux anacultures, par M. *Gérard Renoux*.. 986
— Voir *Microbiologie, Paludisme.*
INDOCHINE. — Voir *Annélides, Biogéographie, Biologie végétale.*

Pages.

INFRAROUGE. — Voir *Astronomie stellaire.*
INHALATION D'OXYGÈNE. — Voir *Physiologie.*
INTERFÉROMÈTRES. — Voir *Ultrasons.*
INTOXICATION. — Voir *Biologie, Toxicologie.*
INVERTÉBRÉS. — Voir *Chimie biologique.*
IODE. — Voir *Cinétique chimique.*
IODURE DE POTASSIUM. — Voir *Ultrasons.*
IONISATION. — Voir *Électromagnétisme, Physique corpusculaire.*
IONOSPHÈRE. — Voir *Éclipses, Géophysique.*
IONS. — Voir *Chimie théorique, Électricité, Électrochimie.*
IRIS. — Voir *Génétique.*
IRONES. — Voir *Chimie organique.*
ISOMÉRISATION. — Voir *Chimie organique.*
ISONICOTINHYDRAZIDE. — Voir *Tuberculose.*
ISOPODES. — Voir *Biogéographie, Physique nucléaire.*

J

JEÛNE. — Voir *Acide ribonucléique.*
JURASSIQUE. — Voir *Géologie, Stratigraphie.*

K

KRYPTON. — Voir *Physique nucléaire.*

L

LACTONES. — Voir *Cinétique chimique.*
LACTORIDACÉES. — Voir *Histologie végétale.*

LAINE. — Étude de l'action du chlorite et du bioxyde de chlore sur la laine, par MM. *Charles Schirlé* et

Pages.

Jean Meybeck..... 298

LAIT. — Recherches sur la biochimie des composés phosphorés du lait. VI. Électrophérographie des protéines du sang de lapine en lactation, par MM. *Eugène Robillard, Henri Simonnet* et *Joseph Sternberg*..... 1557

LAIT DE COCO. — Voir *Physiologie végétale.*

LAMES MINCES. — M. *Gustave Ribaud* présente deux fascicules du Mémorial des Sciences physiques « Propriétés optiques des lames minces solides » et « Applications optiques des lames minces solides », par M. *Pierre Rouard*..... 1587

— Sur le choix des mesures à effectuer pour déterminer simultanément les constantes optiques et l'épaisseur des lames minces absorbantes, par M *Damien Malé* 1630

LAMPES. — Voir *Optique*

LANTHANE. — Voir *Radiocristallographie.*

LATITUDES. — Voir *Physique atmosphérique.*

LENTILLE MAGNÉTIQUE. — Voir *Optique électronique.*

LÉPIDOPTÈRES. — Voir *Cytologie, Histologie.*

LEVURES. — Voir *Enzymologie.*

LILIACÉES. — Voir *Embryologie végétale.*

LIMNOLOGIE. — Influence du Rhône sur l'état thermique du lac Léman, par M. *Bernard Dussart* et Mlle *Marysette Suchet*..... 806

— Voir *Écologie.*

LINUM USITATISSIMUM. — Voir *Physiologie végétale.*

LIPIDES. — Voir *Physicochimie biologique.*

LITHIUM. — Sur la perméabilité de l'acier pour le lithium, par MM. *Albert Hérold, Pierre Muller* et *Pierre Albrecht* 658

— Voir *Chimie organique, Cyclohexane et dérivés, Embryologie chimique, Émission électronique.*

LITHOLOGIE. — Phénomènes de convergence dans la formation des grès anisométriques, par Mme *Marguerite Rech-Frollo* 1517

— Voir *Géologie.*

LITHOLOGIE SÉDIMENTAIRE. — Voir *Géologie.*

LOGIQUE MATHÉMATIQUE. — Le degré de saturation du calcul propositionnel implicatif à trois valeurs de Sobocinski, par M. *Alan Rose* ... 1000

LUBRIFICATION. — Voir *Mécanique.*

LUMIÈRE. — Voir *Biologie expérimentale.*

LUMINESCENCE. — Voir *Ultrasons.*

LUNE. — Voir *Astrophysique, Géophysique.*

LYSOZYME. — Voir *Enzymologie.*

M

MACHINES ÉLECTRIQUES. — Voir *Électrotechnique.*

MADAGASCAR. — Voir *Géologie.*

MADÈRE. — Voir *Entomologie.*

MAGNÉSIUM. — M. *Maurice Javillier* fait hommage de la brochure suivante : « Les exigences en magnésium des plantes, des animaux et de l'homme »..... 593

— Voir *Magnétisme, Oxydes métalliques.*

MAGNÉTISME. — Courbe thermomagnétique caractéristique du tétroxyde de vanadium entre 81 et 680° K, par MM. *Nicolas Perakis* et *Jules Wucher*..... 354

— Sur le comportement magnétique du rhénium associé au palladium, par MM. *Jules Wucher* et *Nicolas Perakis*..... 419

— Sur le ferromagnétisme de certains alliages gadolinium-magnésium, par Mme *Françoise Gaume-Mahn.* 352

— L'antiferromagnétisme d'atomes placés sur des sites cristallographiques différents, par M. *Charles Guillaud*..... 468

— Influence de l'oxygène en solution solide dans les fers de haute pureté sur certaines propriétés magnétiques dans les champs alternatifs faibles, par MM. *Jean Bourrat, Georges Chaudron* et *Israël Epel-*

Pages.

boin..... 1290
— Voir *Magnétostriction.*
MAGNÉTISME TERRESTRE. — Sur la susceptibilité magnétique du sol, par M. *Eugène Le Borgne*..... 1042
— Voir *Courants telluriques.*
MAGNÉTO-OPTIQUE. — Voir *Polarisation rotatoire magnétique.*
MAGNÉTOSTRICTION. — Magnétostriction des ferrites de cobalt en fonction de la composition, par M. *Roger Vautier*..... 356
— Variation thermique de la magnétostriction d'un ferrite de cobalt, par M. *Roger Vautier*..... 417
MAGNÉTRON. — Voir *Électronique, Radioélectricité.*
MALVACÉES. — Voir *Botanique.*
MAMMIFÈRES. — Voir *Chimie biologique, Géologie.*
MANGANÈSE. — Voir *Chimie biologique, Électrochimie.*
MAROC. — Voir *Botanique appliquée, Géologie, Paléographie, Préhistoire.*
MASSIF CENTRAL. — Voir *Géographie physique.*
MASSIF GALILÉEN. — Voir *Géographie physique.*
MATHÉMATIQUES APPLIQUÉES. — Mise en équation des résultats d'expériences. Lois empiriques linéarisées, par M. *Louis A. Sackmann*.. 689
— Id. Nouvelles formules d'utilisation, par M. *Louis A. Sackmann*..... 783
MÉCANIQUE. — Lubrification des surfaces d'acier traitées par un bain sulfureux, par M. *Frédéric Morel*.. 284
— Sur des systèmes oscillatoires contenant des paramètres à inertie, par M. *Nicolas Minorsky*..... 604
— Sur la stabilité et la courbe intrinsèque, par M. *Marcel Davin*..... 691
— Sur l'origine des impossibilités et des indéterminations dues aux liaisons, par M. *François Gallissot*... 937
— Transformations infinitésimales et intégration des équations différentielles de la Mécanique, par M. *François Gallissot*..... 1277, 1599
— Sur la discussion des éventualités dans la dynamique des solides en contact ponctuel avec frottement dans le cas où certaines vitesses de glissement sont nulles à l'instant initial, par M. *François Gallissot*.. 1471
— La vitesse, grandeur qualitative et la mécanique relativiste, par M. *Jean Abelé*..... 1007

Pages.

— Recherche d'une loi intrinsèque de composition des vitesses, par M. *Pierre Malvaux*..... 1009
— Influence du rapport des débits d'air et de liquide sur la finesse des micro-brouillards, par M. *Raymond Boucher*..... 1188
— M. *Jean Chazy* présente de la part de M. *Jules Haag*, son livre « Les mouvements vibratoires à un degré de liberté »..... 1084
— De la valeur du coefficient de Poisson dans les phénomènes élasto-plastiques, par M. *Gustavo Colonnetti*.. 1460
— Voir *Thermodynamique.*
MÉCANIQUE ANALYTIQUE. — Sur des équations se ramenant à la forme canonique, par M. *Marcel Mendès*. 408
MÉCANIQUE CÉLESTE. — Étude numérique du mouvement séculaire de l'axe terrestre, par Mme *Henri Berthod-Zaborowski*, MM. *Marcel Mayot* et *Henri Mineur*..... 232
MÉCANIQUE DE L'ATMOSPHÈRE. — Mesure de la turbulence atmosphérique, par M. *Marc Pélegrin*..... 19
MÉCANIQUE DES FLUIDES. — Régime transitoire dans une conduite forcée munie d'une cheminée d'équilibre, après la fermeture rapide, d'une vanne placée immédiatement à l'aval de la cheminée, par Mlle *Claire Clarion*..... 17
— Oscillations amorties d'une sphère dans un fluide visqueux, par M. *Jacques Valensi* et Mlle *Claire Clarion*..... 1097
— Sur les ondes de pesanteur à deux dimensions d'énergie finie, par MM. *Joseph Kampé de Fériet* et *Jack Kotik*..... 230
— Sur la théorie tourbillonnaire du profil portant en régime non stationnaire, par M. *Jean-Jacques Moreau*..... 695
— Nouvelle conception du tracé des tuyères supersoniques pour souffleries, par M. *Pierre Carrière*..... 697
— Un théorème d'unicité pour les écoulements d'un liquide parfait, pesant, par M. *Robert Gerber*..... 693
— Sur l'existence des écoulements plans, permanents, irrotationnels, uniformes à l'infini, des liquides incompressibles, par M. *Robert Gerber*..... 1601
— Sur l'influence d'un noyau partiel imperméable sur l'écoulement plan à travers une digue, par M. *Mladen*

Pages.

Boreli..... 646
— Sur l'utilisation d'un drain en amont d'un noyau imperméable dans une digue, par M. *Mladen Boreli*,... 785
— Sur une méthode de construction de profils par combinaison de deux ou plusieurs profils analytiques, par M. *André Papon*..... 939
— Limitation des gradients et de leur dérivée logarithmique dans les ondes de choc, par les formules de Chapman, par M. *Serge Travers*.. 1099
— Écoulement radial d'un fluide compressible visqueux entre deux plans parallèles, par M. *Raymond Comolet*..... 1190
— Étude expérimentale d'un écoulement radial de fluide visqueux entre deux plans parallèles, par M. *Raymond Comolet*..... 1366
— Un enregistreur de profil de houle pour laboratoire, par MM. *Lucien Santon* et *Clovis Marcou*..... 1278
— Sur le passage par la vitesse du son au cours de la détente d'un gaz en combustion, par M. *Max Serruys*. 1280
— Voir *Aérodynamique, Balistique, Ultrasons* (*Théorie des*).

Mécanique des sols. — Étude expérimentale du siphonnage dans des corps granulaires, par M. *Enzo Oscar Macagno*..... 866
— Sur le tassement d'une couche d'argile sous l'effet d'une force concentrée, par M. *Jean Mandel*..... 1104

Mécanique ondulatoire. — Mécanique ondulatoire dans l'espace de configuration, par M. *Jean-Pierre Vigier*..... 1372
— Voir *Théorie de l'onde pilote*.

Mécanique quantique. — M. *Louis de Broglie* fait hommage d'un Ouvrage de M. *Jean Barriol*: « Mécanique quantique », dont il a écrit la Préface..... 1180

Mécanique rationnelle. — M. *Jean Chazy* fait hommage de la quatrième édition de son Ouvrage : « Cours de Mécanique rationnelle ». Tome I. « Dynamique du point matériel »..... 645

Médecine. — Parallèle entre les éléments anatomiques normaux et pathologiques de la maladie rhumatismale, par M. *André Cretin*.. 1447

Médecine expérimentale. — Les mutants au cours des rickettsioses expérimentales : évolution vers des caractères murins de souches sélectionnées de *Rickettsia conori*, par MM. *Paul Giroud, Jean-A. Gaillard* et *Francis Roger*..... 988

Médecine vétérinaire. — M. *Gottlieb Flückiger* présente un Ouvrage : « L'élimination des animaux tuberculeux et la lutte contre la tuberculose bovine sous le régime des arrêtés du Conseil fédéral ». Thèse inaugurale présentée à la Faculté de médecine vétérinaire de Berne, par M. *Pierre-Henri Willi*..... 1588

Méningite. — Voir *Ultra-virus*.

Mercure. — Voir *Spectroscopie*.

Mésons. — Voir *Physique corpusculaire, Rayons cosmiques*.

Métabolisme. — Voir *Chimie biologique*.

Métabolisme glucidique. — Sur le métabolisme glucidique des champignons supérieurs. II. Relation entre le glycogène et le mannitol chez *Agaricus campester* (Fr.) variété bispora, par MM. *Marcel Quillet* et Mlle *Gilberte Legrand*.. 311
— Id. III. Le fructose, glucide intermédiaire du métabolisme du mannitol chez *Agaricus campester* (Fr.) variété *bispora*, par M. *Marcel Quillet* et Mlle *Gilberte Legrand*.. 628
— Action des variations quotidiennes de température sur le métabolisme glucidique et le cycle de développement de la Betterave cultivée à haute altitude, par M. *Georges Lascombes*..... 894

Métallogénie. — Sur la présence de wolframite en bordure du massif granitique de Tafraout (Anti-Atlas occidental, Maroc), par M. *Pierre Leblanc*..... 1236

Métallographie. — Étude du comportement des aciers lors du soudage par la méthode des gradients croisés, par M. *Henri Granjon*..... 173
— Étude par irradiation à la pile atomique de la ségrégation intergranulaire et interdendritique des traces d'impuretés dans l'aluminium très pur, par MM. *Frédéric Montariol, Philippe Albert* et *Georges Chaudron*..... 477
— Contribution à l'extraction électrolytique des carbures d'un acier rapide trempé, par M. *Jean Papier*. 619
— Contribution à l'étude du revenu des aciers à coupe rapide, par MM. *André-Henri Michel* et *Jean Papier*.. 1398
— Détermination métallographique des températures subies en service par

Pages.

des pièces de machines thermiques, par M. *Jean Poulignier*, Mme *Charlotte Buckle* et M. *Pierre Jacquet* .. 718
— Sur un réactif d'attaque révélant les hétérogénéités de concentration dans les alliages d'aluminium, par Mme *Charlotte Buckle*, Mlle *Christiane Changarnier* et M. *Jean Calvet*..... 1040
— Sur un procédé permettant de s'affranchir des ondes parasites dans le sondage ultrasonoscopique des pièces métalliques, par M. *Louis Beaujard*..... 804
— Sur l'emploi du bisulfite de sodium comme réactif micrographique des aciers ferritiques, par M. *Louis Beaujard* et Mlle *Jacqueline Tordeux*..... 1304
— Rupture intercristalline des alliages aluminium-zinc, par M. *Eric-Charles Perryman*..... 884
— Influence des phénomènes de fatigue sur le module d'élasticité des aciers par MM. *André Kovacs* et *Pierre Laurent*..... 1103
— Influence de la fatigue sur les propriétés magnétiques des aciers, par MM. *André Kovacs* et *Pierre Laurent*..... 1224
— Vitesse du son et densité des états de décomposition au chauffage de la martensite des aciers, par MM. *Georges Vidal* et *Pierre Lescop*... 1221
— Voir *Alliages, Corrosion, Physique nucléaire.*

Métallurgie. — Sur quelques matériaux poreux réalisés par frittage sans pression, par M. *Maurice Claude*..... 172
— Voir *Magnétisme.*

Météorologie. — Sur le rôle de la vapeur d'eau dans l'alimentation des anticyclones, par M. *Jean Roulleau*..... 664
— La circulation générale dans le Sud-Ouest de l'Océan Indien méridional, par MM. *Raymond Jalu* et *André Viaut*..... 968
— Les « bandes supérieures » dans la structure verticale des échos de pluie, par M. *Roger Lhermitte*.... 1414
— Sur la microstructure et la précipitation artificielle d'un brouillard surfondu, par M. *Henri Dessens*.. 1675

Métrologie. — A propos de la détermination précise de l'accélération due à la pesanteur : rôle complexe de la viscosité des gaz, par

Pages.

M. *Pierre Vernotte*..... 1110
— Méthode pour comparer une longueur à bouts et une longueur à traits, par M. *Jean Terrien*..... 1288

Mexique. — Voir *Géométrie.*

Microbiologie. — Étude de certains caractères immunologiques chez une souche sensible et des souches résistant à la dihydrostreptomycine de *Salmonella enteritidis var. Danysz*, par M. *Jacques Servant*.. 106
— Relation inverse entre les variations des teneurs en antigènes *O* et *Vi* de quelques entérobactériacées suivant la température d'incubation, par MM. *André Jude, Jacques Servant, Pierre Nicolle* et Mlle *Paule Servant*..... 1443
— Production de cristaux par une souche de *Pasteurella pestis* cultivée sur certains milieux gélosés, par M. *Georges Girard*..... 1441
— Étude sur la toxinogenèse diphtérique. Suppression de l'action inhibitrice du fer par l'aération et l'agitation des cultures, par M. *Marcel Raynaud*, Mlle *Renée Saissac* et M. *Raymond Mangalo*.... 1713
— Voir *Ultra-virus.*

Micro-brouillards. — Voir *Mécanique.*

Microcinématographie. — Voir *Cytologie pathologique.*

Micrographie. — Voir *Métallographie.*

Micromètre. — Voir *Optique astronomique.*

Microscopie appliquée. — Procédé automatique d'analyse granulométrique, par MM. *Léon Le Bouffant* et *Jean-Louis Soulé*..... 1207

Microscopie électronique. — Interprétation de la structure des images électroniques, par MM. *René Bernard* et *Émile Pernoux*.... 1488
— Microscopie électronique par réflexion, par MM. *Charles Fert* et *Robert Saporte*..... 1490
— Procédé d'empreinte à grand pouvoir de résolution, par MM. *Charles Fert* et *Roger Dargent*..... 1623
— Voir *Cytologie pathologique, Électricité, Hématologie.*

Minéralogie. — Sur les phosphates alumineux de la région de Thiès (Sénégal), par M. *Léon Capdecomme*..... 187
— Sur la transformation de la covellite, sous l'action du courant, dans un électrolyte unique, par M. *Jean Prouvost*..... 379

Pages.

— Sur la genèse des minerais oolithiques de Lorraine en rapport avec l'état du fer et sur l'utilité chronologique et spatiale de leur évolution, par Mlle *Simonne Caillère* et M. *François Kraut*..... 510

— Étude minéralogique de quelques argiles dévoniennes de l'Uruguay central, par Mlle *Simonne Caillère* et M. *Juan Goñi*..... 1662

— Sur le mécanisme de diffusion de l'hélium dans les zircons, par M. *Paul Pellas*..... 1134

— Voir *Physique du globe.*

Miocène. Voir *Géologie.*

Mistral. — Voir *Géologie.*

Molybdénite. — Voir *Semi-conductibilité.*

Morphogenèse. — Voir *Géographie physique, Physiologie végétale.*

Morphologie causale. — Les départs de bourgeons axillaires sur la partie moyenne des pousses. Étude d'une plante herbacée : *Cicer arietinum* L. Comparaison avec les « rameaux anticipés » des végétaux ligneux, par M. *Paul Champagnat.* 389

Pages.

— Les levées d'inhibition de la base des pousses de *Cicer arietinum* L., par M. *Paul Champagnat*..... 630

Morphologie végétale. — Voir *Physiologie végétale.*

Morphométrie. — Voir *Géographie physique.*

Mycobactéries. — Voir *Chimie biologique.*

Mycobacterium tuberculosis. — Sur un acide mycolonique (nouveau type d'acide mycolique) isolé d'une souche bovine de *Mycobacterium tuberculosis*, par Mlle *Hélène Demarteau* et M. *Edgar Lederer*.... 265

Mycologie. — M. *Roger Heim* présente : La description des Champignons supérieurs, par *Marcel Josserand in* Encyclopédie Mycologique, t. 21..... 767

— Id. Les Agaricales, t. 2. Russulacées. Hygrophoracées, Gomphidiacées, Paxillacées, Bolétacées, par *P. Konrad* et *A. Maublanc*.. 1464

— Voir *Biologie marine, Métabolisme glucidique.*

N

Naphtalène. — Voir *Optique cristalline.*

Néréidiens. — Aspects de neurosécrétion chez *Nereis irrorata* Malmgren, par M. *René Defretin*..... 100

Neurologie. — Les lésions du système nerveux central dans l'intoxication par le phosphate tri-*o*-crésylique, par MM. *Georges Guillain, Ivan Bertrand* et Mme *Jean Godet-Guillain*..... 1073

— Voir *Néréidiens.*

Neurophysiologie. — Réception intracellulaire de l'activité d'un neurone des lobes électriques de *Torpedo marmorata*, par Mme *Denise Albe-Fessard* et M. *Pierre Buser*..... 1688

Neutrons. — Voir *Physique nucléaire, Rayons* γ.

Nickel. — Voir *Catalyse, Oxydes métalliques, Physique nucléaire, Spectroscopie.*

Nickel Raney. — Voir *Acides organiques.*

Nitrate de potassium. — Voir *Chimie physique.*

Nitration. — Du rôle de l'acide nitreux dans la formation des dérivés nitrés des amines et des phénols en milieu nitrique étendu, par M. *François-Michel Lang*..... 165

Nitriles. — Voir *Chimie organique.*

Nitrophénylsérine. — Préparation et transformation réciproque de dérivés *érythro* et *thréo* de la β-*p*-nitrophénylsérine. III. Configuration des β-*p*-nitrophénylsérinates d'éthyle optiquement actifs, par Mme *Irène Elphimoff-Felkin*, MM. *Hugh Felkin* et *Zoltan Welvart*... 1510

Nombres transfinis. — Les nodales des suites régulières, par M. *Arnaud Denjoy*..... 501

— Empilement de sphères égales dans R^n et valeur asymptotique de la constante γ_n d'Hermite, par M. *Claude Chabauty*..... 529

— Nouveaux résultats de Géométrie des

Pages.

nombres, par M. *Claude Chabauty*. 567
— Sur une formule donnant tous les nombres premiers, par M. *Waclaw Sierpinski*..... 1078
— Sur les congruences du deuxième degré dans les corps algébriques, par M. *Eckford Cohen*..... 1358
— Sur un problème de M. Siegel relatif à un ensemble fermé d'entiers algébriques, par MM. *Jacques Dufresnoy* et *Charles Pisot*..... 1592
Nutrition. — Voir *Alimentation*.

O

Obésité. — Voir *Physiologie*.
Océanographie. — Différences des coefficients d'absorption de l'eau pure et de l'eau de mer, prévues par la théorie dans le domaine des rayons X, par M. *Bernard Saint-Guily*..... 893
— Coupes transversales de la Mer Rouge. Contribution aux théories de formation des récifs coralliens, par M. *Wladimir Nesteroff*..... 1523
— Voir *Hydraulique, Sédimentologie*.
Œnothera fructicosa. — Voir *Génétique*.
Oestrogènes. — Voir *Radiobiologie*.
Ombellifères. — Voir *Embryogénie végétale, Histologie végétale*.
Ondes de choc. — Voir *Aérodynamique, Mécanique des fluides*.
Ondes de surfaces. — Voir *Physique théorique*.
Ontogénie. — Voir *Anatomie comparée*.
Optique. — Influence de l'apodisation sur la structure des images d'objets étendus, par M. *Alberto Saez*..... 148
— Détermination du coefficient local d'absorption monochromatique dans les flammes de craking, par M. *François Guyomard*..... 358
— Constance des produits Aλ et Dλ dans l'absorption et la diffusion des photons, par M. *Lev Akobjanoff*..... 612
— La théorie de la photophorèse négative. Complément à deux Notes antérieures, par M. *Pierre Tauzin*..... 1119
— *Errata*..... 1718
— Contribution à l'étude théorique de la figure de diffraction donnée par une ouverture circulaire couverte à moitié par une lame à faces parallèles, par M. *Norbert Ségard*. 1496
— Lampe à cathode creuse alimentée en impulsions; obtention de raies d'étincelle, par MM. *Jean Roig* et *Maurice Bécart*..... 1625
— Méthode directe de mesure des caractéristiques d'un système interférentiel de Fabry-Perot, par M. *Pierre Giacomo*..... 1627
— Comparaison des énergies lumineuses présentes sur les deux faces, à l'intérieur d'une lame éclairée, sous l'incidence normale par un faisceau parallèle, par M. *Pierre Tauzin*..... 1632
— Voir *Lames minces*.
Optique astronomique. — Application d'une déformation thermique intentionnelle à l'exécution d'une surface parabolique, par M. *André Couder*..... 491
— Un micromètre à double image permettant un grand dédoublement, par M. *Audouin Dollfus*..... 1477
Optique cristalline. — Fluorescence du naphtalène cristallisé à 20° C, par M. *Paul Pesteil*..... 150
— Polarisation de la fluorescence du diphényle et du tétraphényle 1144-butadiène 13, par M. *Paul Pesteil*..... 1384
Optique électronique. — Mesure de la dérivée première et de la dérivée seconde de l'induction sur l'axe de révolution d'une lentille magnétique puissante, par M. *Pierre Gautier*..... 361
— Sur le pouvoir séparateur de l'objectif électrostatique à immersion, par M. *Albert Septier*..... 609
— Objectif à immersion électrostatique à haut pouvoir séparateur d'un type nouveau, par M. *Albert Septier*..... 652
— Calcul de la répartition de potentiel Φ (z) sur l'axe d'un objectif électrostatique à immersion à électrodes épaisses, par M. *Albert*

Pages.
Septier..... 1203
— Étude expérimentale de l'objectif électrostatique à immersion à électrodes planes : courbes de focalisation et distance focale, par M. *Albert Septier*..... 1621
— Contrôle de l'action chimique du faisceau pendant la prise des clichés de diffraction électronique. Cas du chlorure de cobalt hydraté, par Mme *René Lecuir* et M. *René Lecuir*..... 946
— Aberration de sphéricité des lentilles à grilles, par M. *Michel Bernard*.. 1115
— Voir *Microscopie électronique.*
Optique instrumentale. — Voir *Optique astronomique.*
Optique moléculaire. — Application du modèle métallique à l'absorption et à la fluorescence de quelques colorants, par Mlle *Élisabeth Laffitte*..... 36
Orbitales atomiques. — Voir *Chimie théorique.*
Orbitales moléculaires. — Voir *Anthracènes et dérivés, Chimie théorique.*
Organomagnésiens (Dérivés). — Méthodes générales de cétolisation mixte par les chlorures d'organomagnésiens, par M. *Jacques-Émile Dubois*..... 296
— Sur une prétendue transposition des acides dérivés de l'acide bromo-5 salicylique. Action d'un excès de bromure d'éthyle-magnésium sur l'acide méthoxy-2 bromo-5 benzoïque, par MM. *Raymond Quelet* et *Robert Pineau*..... 496
— Action des organomagnésiens mixtes sur les aminobenzonitriles (*o*, *m* et *p*) et sur les aminobenzamides (*o*, *m* et *p*). Préparation des aminoacétophénones et aminobenzophénones isomères, par M. *Panos Grammaticakis*..... 546
Oscillateurs filtrés. — Voir *Cybernétique.*
Ostéologie. — Action des phosphates et des esters phosphoriques sur la minéralisation du cartilage ossifiable par l'acide adénosinetriphosphorique, par MM. *Michel Polonovski* et *Jacques Picard*..... 669
Ovogenèse. — Remarque sur l'évolution des acides nucléiques dans l'ovogénèse de *Gryllus bimaculatus*, par M. *Michel Charles Durand*. 824
Oxalate d'éthyle. — Voir *Chimie organique.*
Oxazines. — Voir *Chimie théorique.*
Oxyde azoteux. — Voir *Absorption.*
Oxyde de carbone. — Voir *Décomposition catalytique.*
Oxydes métalliques. — Recherches sur la structure et la stabilité des oxydes mixtes de cobalt-nickel, cobalt-magnésium et cobalt-zinc, par M. *Jacques Robin*..... 1301
Oxygénation. — Voir *Enzymologie.*
Ozone. — Voir *Spectrophotométrie.*

P

Paléobotanique. — La flore interglaciaire à *Rhododendron ponticum* L. de Barraux dans la vallée de l'Isère, entre Grenoble et Chambéry, par MM. *Georges Depape* et *Franck Bourdier*..... 1531
— Sur la signification des structures généralisées chez les Coniférales et la valeur des Protopinacées en tant que groupe, par M. *Louis Grambast*..... 1533
Paléographie. — Sur la paléogéographie de l'Éocène de la bordure Sud-Atlasique, par MM. *Henri Gauthier* et *Henri Salvan*..... 484
— Voir *Géologie.*
Paléontologie. — Présence du Renne dans des alluvions antéwürmiennes de la basse vallée de l'Isère, par MM. *Franck Bourdier, Jean Combier* et *Henri Gauthier*..... 514
— M. *Charles Jacob* présente un Ouvrage : « Traité de Paléontologie », publié sous la direction de *Jean Piveteau*, Secrétaire de rédaction : Mlle *Colette Dechaseaux*. Tome 2. « Problèmes d'adaptation et de phylogenèse (Brachiopodes, Chétognathes, Annélides, Géphyriens, Mollusques) »..... 923
— Sur la présence d'une nouvelle espèce d'Hyracoïde dans le Pliocène de

Pages.

Montpellier, par MM. *Jean Viret* et *Erich Thenius*..... 1678

PALESTINE. — Voir *Géographie physique.*

PALIURES. — Voir *Biochimie végétale.*

PALLADIUM. — Voir *Magnétisme.*

PALUDISME. — Étude expérimentale de la durée de l'infection latente et de la prémunition corrélative dans le paludisme, par MM. *Edmond Sergent* et *Étienne Sergent*..... 222

— Voir *Pathologie expérimentale.*

PANCRÉAS. — Voir *Endocrinologie.*

PARAFFINE. — Voir *Physique des surfaces.*

PARASITOLOGIE. — Voir *Biologie marine.*

PARASITOLOGIE VÉGÉTALE. — Voir *Pathologie végétale.*

PARTHÉNOGENÈSE. — Déterminisme du sexe et parthénogenèse facultative chez *Dinophilus apatris* Korsch., par Mlle *Jeanne Renaud*..... 908

PARTICULES DE SPIN. — Sur la forme spinorielle des densités de valeur moyenne des grandeurs physiques attachées aux particules de spin 1/2, par Mme *Judith Winogradzki*..... 463

— Sur huit familles d'opérateurs associés aux observables des particules de spin 1/2, par Mme *Judith Winogradzki*..... 505

— Sur les relations entre les densités de valeur moyenne des grandeurs, physiques attachées aux particules de spin 1/2, par Mme *Judith Winogradzki*..... 533

— Voir *Physique théorique, Théorie de l'onde pilote.*

PARTICULES V_1^0. — Voir *Physique théorique.*

P. A. S. — Voir *Acides aminés.*

PASTEURELLA PESTIS. — Voir *Microbiologie.*

PATHOLOGIE. — M. *Gottlieb Flückiger* adresse un Mémoire : « L'épizootie de fièvre aphteuse de 1951-1952 et les moyens utilisés pour la combattre dans les différents pays de l'Europe occidentale »..... 1587

— Voir *Médecine.*

PATHOLOGIE DES INSECTES. — Voir *Vers à soie.*

PATHOLOGIE EXPÉRIMENTALE. — Intérêt de la réticulocytose sanguine dans le paludisme expérimental du Rat blanc à *Plasmodium berghei*, par MM. *Georges Fabiani, Josanne Clausse* et *Georges Fulchiron*..... 274

Pages.

— Reproduction expérimentale de l'épilepsie de type « psycho-moteur » chez le Chat, par MM. *Georges Morin, Henri Gastaut, Robert Vigouroux* et *Robert Naquet*..... 1561

PATHOLOGIE VÉGÉTALE. — Recherches sur la croissance des plantes virosées : virus et auxines, par M. *Jean Pavillard*..... 87

— Id. Influence des facteurs d'environnement, par M. *Jean Pavillard*.. 1527

— Le rôle de l'acide indol-β-acétique dans la formation des chancres parasitaires chez les végétaux, par Mlle *Jeanne Berducou*..... 309

— Voir *Physiologie végétale, Virologie.*

PECHELBRONN. — Voir *Géologie.*

PÉDOLOGIE. — Observations sur la méthode densimétrique dans l'analyse granulométrique, par Mme *Suzanne Mériaux*..... 381

— Action comparée du 2-méthyl 4-chlorophénoxyacétate de sodium (M. C. P. A.) sur le développement de l'*Azotobacter* dans divers sols, par Mlle *Georgette Vindard*, MM. *Philippe Daste* et *Robert Longchamp*. 1048

— « Fifty Years of Soil Microbiology at Rutgers », *in* « Lipman Hall. Being an Account of the Proccedings at the Dedication on June 12 th, 1951, of a Building Named in Honor of Jacob Goodale Lipman », par *Selman Waksman*..... 1084

— Voir *Chimie du sol, Économie rurale.*

PENTÈNE. — Voir *Chimie organique.*

PEPTIDES. — Contribution à l'étude des peptides de la dl-valine (II), par M. *Jefferson W. Davis*..... ... 180

PÉRIDINIENS. — Voir *Protistologie.*

PERSPIRATION. — Voir *Physiologie.*

PESANTEUR. — Voir *Gravitation, Métrologie.*

PH. — Voir *Sérologie.*

PHANÉROGAMES. — Voir *Chimie biologique.*

PHARMACODYNAMIE. — Sur quelques dérivés ammonium quaternaires de la δ-amino-γ-valérolactone, par MM. *Robert Rothstein, Kurt Binovic* et Mlle *Jacqueline Delor*..... 1171

— Activité adrénolytique, noradrénolytique et sympatholytique comparée de quelques β-phénoxyisopropylamines, par MM. *Michel Polonovski, Henri Schmitt* et *André Pelou*..... 1254

— Étude pharmacodynamique de quelques dérivés de la carbamoylcho-

Pages.

line, par MM. *Jean Cheymol, Raymond Delaby, Henri Najer* et Mlle *Yvonne Gay*..... 1711
— Voir *Biologie, cortisone.*
PHARMACOLOGIE. — Relations entre la structure des dihalogénométhylates de *bis*-(aminophénoxy) alcanes et arylalcanes et leur action sur la transmission neuromusculaire, par Mlle *France Depierre* et M. *Albert Funke*..... 267
— Activités cardiaques de deux dérivés aminométhylcoumaraniques, par MM. *Albert Funke, Joseph Jacob* et *Karl von Däniken*..... 1709
— Voir *Aryloxyamines.*
PHASEOLUS VULGARIS. — Voir *Acide ribonucléique.*
PHASMES. — Voir *Biologie expérimentale.*
PHÉNAZINE. — Voir *Colorants.*
PHÉNOLS. — Voir *Nitration.*
PHÉNONES. — Voir *Organomagnésiens (Dérivés).*
PHOSPHATES. — Voir *Électromagnétisme, Minéralogie.*
PHOSPHATES ALCALINS. — Voir *Chimie physique.*
PHOSPHATES DE CUIVRE. — Voir *Systèmes chimiques.*
PHOSPHORE. — Voir *Acide ribonucléique, Chromatographie.*
PHOTOCHIMIE. — Voir *Colorants.*
PHOTOÉLASTICITÉ. — Voir *Élasticité.*
PHOTOÉLECTRICITÉ. — Voir *Astrophysique.*
PHOTOGRAPHIE. — Voir *Astronomie stellaire.*
HOTOMÉTRIE. — Nouveau photomètre visuel pour le ciel nocturne, par M. *Hubert Garrigue*..... 34
PHOTONS. — Voir *Astrophysique, Optique.*
PHOTO-OXYDATION. — Voir *Quinols.*
PHOTOPHORÈSE. — Voir *Optique.*
PHOTOSYNTHÈSE. — Voir *Physiologie végétale.*
PHYLLITES. — Voir *Minéralogie.*
PHYLLOTAXIE. — Voir *Botanique.*
PHYLLOXERA. — Voir *Entomologie.*
PHYLOGÉNIE. — Voir *Tératologie végétale.*
PHYSICO-CHIMIE. — Voir *Chromatographie.*
PHYSICOCHIMIE BIOLOGIQUE. — Le passage des hydrosols à travers les couches lipidiques et la nature du support, par M. *Wladislas Kopaczewski*..... 102

Pages.

— Sur une théorie physicochimique de l'excitabilité cellulaire, par M. *René Gibert*..... 748, 831
— L'influence du blocage du système réticulo-endothélial sur la fiche réticulo-endothéliale, par Mme *Inès Wesley* et M. *Georges Sandor*..... 1159
— Voir *Antibiotiques, Biophysique, Sérologie.*
PHYSIOLOGIE. — L'action des protides sur les échanges de l'organisme refroidi, par MM. *Jean Giaja* et *Vojin Popovic*..... 89
— Effets d'une hypoxie modérée sur les facultés intellectuelles de l'Homme, par MM. *Léon Binet, Maurice V. Strumza* et *Jacques Lévy*..... 219
— Sur la répartition de l'urée dans les liquides de l'organisme après dialyse péritonéale, par MM. *Léon Binet, Pierre Tanret* et Mlle *Madeleine Marquis*..... 1352
— Le « Syndrome héréditaire d'obésité-diabète » de la Souris, par M. *Jean Mayer*..... 667
— Sur les modalités de la thermolyse par perspiration et par transpiration, par M. *Joseph Sivadjian*..... 1686
— Voir *Alimentation, Électroencéphalogramme, Enzymologie, Ultrasons (Théorie des).*
PHYSIOLOGIE VÉGÉTALE. — Sur les « feuilles soudées en cornet » du *Linum usitatissimum* L., par M. *Lucien Plantefol*..... 386
— Variations des « cornets foliaires » tératologiques du *Linum usitatissimum* L., par M. *Lucien Plantefol*.. 812
— Sur l'aréole du *Pereskiopsis Diguetii.* Valeur morphologique des aiguillons des Cactées, par M. *Lucien Plantefol*..... 1150
— La phyllotaxie du *Linum usitatissimum* L., par M. *Lucien Plantefol*.. 1242
— Remarques sur l'emploi du lait de coco pour la réalisation des cultures de tissus végétaux, par M. *Roger Gautheret*..... 1321
— Observations à propos de la Note précédente, par MM. *Roger Heim* et *Roger Cailleux*..... 1323
— Sur la pérennité des propriétés tumorales des tissus de Crown-Gall et des tissus ayant subi le phénomène d'accoutumance aux auxines, par MM. *Claude Lance* et *Roger Gautheret*..... 1682
— Mesure du gaz carbonique total des tissus des fruits. Application à un

Pages.

cas particulier, par M. *Roger Ulrich* et Mlle *Odile Thaler*..... 1417
— Guérison de Dahlias atteints d'une maladie à virus, par MM. *Georges Morel* et *Claude Martin*..... 1324
— La localisation des composés catéchiques phlorogluciques dans les organes végétatifs du Pin maritime, par MM. *Roger David* et *Jack Masquelier*..... 1325
— Voir *Acide ribonucléique, Biochimie végétale, Embryologie végétale, Histologie végétale, Métabolisme glucidique, Pathologie végétale, Virologie.*

Physique. — Voir *Chaleur.*

Physique atmosphérique. — Variation diurne de l'épaisseur réduite et de la température moyenne de l'ozone atmosphérique aux basses latitudes, par M. *Abdul Khaleq* et Mme *Arlette Vassy*..... 737

Physique atomique. — Rayons δ de faible énergie dus aux rayons α et aux protons, par M. *Pierre Demers* et Mlle *Zofia Lechno Wasiutynska* 474

Physique corpusculaire. — Sur une corrélation angulaire électron-électron, par M. *Jacques-Marcel Blum.* 948
— Sur l'emploi du compteur Rosenblum avec les sélecteurs à coïncidences à temps très courts, par MM. *Théo Muller, Raymond Richert* et *Serge Gorodetzky*..... 1385
— Vérification expérimentale des théories de l'ionisation produite dans les gaz par des mésons de grande énergie, par MM. *Paul Chanson, Pierre Treille, Terrence Price* et *David West*..... 1500

Physique cosmique. — Sur l'origine des bursts de rayons cosmiques, par Mlle *Geneviève Rochet* et M. *Jean Daudin*..... 1121

Physique cristalline — Spectre Raman du chlorure de baryum hydraté ($BaCl_2, 2H_2O$), par M. *André Galy*..... 1504

Physique de l'atmosphère. — La stratification $F_{1,5}$ à Dakar et le mouvement du Soleil, par M. *François Delobeau*..... 1673

Physique des solides — Mise en évidence des hétérogénéités d'une solution solide en équilibre, par MM. *Christopher B. Walker, Jean Blin* et *André Guinier*..... 254

Physique des surfaces. — Extension de la loi de Traube-Duclaux à

Pages.

l'adsorption des acides gras saturés sur la paraffine, par Mme *Lina Guastalla*..... 941

Physique du globe. — Utilisation de trous forés dans les roches pour l'étude de leur rayonnement pénétrant, par Mme *Arlette Hée* et M. *René Lecolazet*..... 201
— Sur l'utilisation d'eaux souterraines au-dessus de la température critique, par M. *Georges Claude*..... 1148

Physique instrumentale. — Voir *Dialyseurs.*

Physique macromoléculaire. — Sur la théorie de la déformation brownienne, par M. *Roger Cerf*..... 876
— Sur la théorie de l'effet Maxwell : effet des fluctuations de forme de la molécule. Application à la détermination de la structure des acides nucléiques en solution, par M. *Roger Cerf*..... 1394
— Voir *Astronomie stellaire, Courants telluriques.*

Physique mathématique. — Sur un variant intégral associé à l'équation des ondes, par M. *Frans H. van den Dungen*..... 532
— Variants intégraux associés aux équations hyperboliques linéaires, par M. *Frans H. van den Dungen*.. 1106
— Sur la conservation de la charge, par M. *André Régnier*..... 1370
— Voir *Analyse mathématique, Mécanique ondulatoire, Particules de spin, Théorie unitaire.*

Physique moléculaire. — Étude de l'influence de divers solvants sur la vibration fondamentale de valence du groupement carbonyle de cétones, par MM. *Élie Gray* et *Antonio Hidalgo*..... 152
— Isomérie des dérivés monosubstitués du cyclohexane, par M. *Marcel Larnaudie*..... 154
— Différenciation, au moyen des spectres d'absorption infrarouges, des carbonates de calcium, par Mlles *Jeannine Louisfert* et *Thérèse Pobeguin*..... 287

Physique nucléaire. — Étude des spectres β^- de $^{90}_{39}Y$, $^{91}_{39}Y$, $^{142}_{59}Pr$, $^{86}_{37}Rb$, par MM. *Jean Moreau* et *Jean Perez y Jorba*..... 38
— Utilisation du compteur à étincelles pour l'étude de la fission de l'uranium, par M. *Pierre Savel*..... 156
— Mesure du rapport des sections efficaces de fission par neutrons ther-

Pages.

miques de ^{239}Pu et de l'uranium naturel. II., par MM. *René Cohen, Eugène Cotton* et *Antoine Lévêque*. 159
— Sur les produits radioactifs artificiels existant dans l'atmosphère de la région parisienne, par MM. *Marcel Abribat, Jacques Pouradier* et Mlle *Anne-Marie Venet*..... 157
— Mesure du rapport d'embranchement capture K/émission β^+ de ^{79}Kr, par M. *Pierre Radvanyi*.. 289
— Mesure du rapport capture L/capture K de ^{79}Kr, par M. *Pierre Radvanyi*..... 428
— Spectre d'électrons de conversion interne émis dans la transmutation radiothorium → thorium X, par MM. *Salomon Rosenblum, Manuel Valadares* et *Marcel Guillot*.. 238
— Sur les niveaux nucléaires A (premiers états excités), par MM. *Salomon Rosenblum* et *Manuel Valadares*..... 711
— Une remarque relative aux niveaux énergétiques des noyaux légers, par M. *Félix Joachim Wisniewski*.... 364
— Sur le rapport d'embranchement K/β^+ de ^{65}Zn, par Mlle *Tosiko Yuasa*... 366
— Sur les réactions (n, α) provoquées par les neutrons lents sur les isotopes séparés du zinc, ainsi que sur le nickel, par Mme *Henriette Faraggi*, M. *René Bernas* et Mlle *Arlette Bonnet*..... 425
— Sur une technique autoradiographique par irradiation neutronique de mise en évidence du constituant boré dans les aciers au bore, par Mme *Henriette Faraggi*, MM. *André Kohn* et *Jean Doumerc*..... 714
— Sur le spin de certains noyaux impair-impair, par MM. *Claude Marty* et *Jacques Prentki*..... 654
— Étude des électrons de conversion du $^{231}_{91}Pa$, par M. *Paul Falk-Vairant*..... 796
— Analyse de l'émission α dans la région des terres rares, par M. *Charles Martin*..... 878, 950
— La dissymétrie de la fission et le modèle de la goutte, par M. *Pierre Demers*..... 1637
— Voir *Physique théorique, Rayons cosmiques.*

Physique solaire. — Nouvelles observations photométriques des taches solaires, par M. *Raymond Michard*. 791
— Les conditions physiques dans les grandes taches solaires déduites de leur spectre, par M. *Raymond Michard*..... 1608
— Sur la vie moyenne des granules faculaires et des plages lumineuses dans la pénombre des taches, par M. *Constantin Macris*..... 868
— Étude des films cinématographiques de la chromosphère solaire au bord du disque, par M. *Muammer Dizer*. 1016

Physique théorique. — Sur l'hypothèse d'un intervalle fondamental et les théories de Darling et Born, par M. *Hans Freistadt*..... 23
— Sur l'état supraconducteur, par M. *Jean-G. Valatin*..... 132
— Sur une correspondance symbolique approchée, par M. *Maurice Cotte*. 134
— Sur l'inexistence de l'onde de surface (Oberflächenwelle) de A. Sommerfeld, par M. *Paul Poincelot*..... 350
— Tenseurs, dont les éléments sont des matrices de Dirac, par M. *Friedrich L. Bauer*..... 793
— Sur une possibilité de généralisation covariante de la théorie du couplage intermédiaire, par M. *Maurice Jean*..... 794, 1197
— Relation entre le principe des potentiels retardés et le second principe de la thermodynamique, par M. *Olivier Costa de Beauregard*..... 1193
— Sur les solutions de l'équation d'évolution, par M. *Roland Guy*..... 1194
— Sur une image simple des phénomènes de fission nucléaire, par M. *Daniel Curie*..... 1286
— Étude des modifications ordre-désordre dans les alliages Cu-Pt, par M. *Gérard Fournet*..... 1377
— Passage des équations de perturbation aux équations intégrales, par M. *Michel Fabre de la Ripelle*... 1482
— Sur la vie moyenne de la particule V_1^0, par M. *Bernard d'Espagnat*..... 1610
— Sur l'évaluation de la section efficace de diffusion coulombienne dans le choc de deux corpuscules élémentaires de spins $n\hbar/2$ et $m\hbar/2$ (m et n entiers), par M. *Gérard Petiau*..... 1612
— Voir *Chimie théorique, Diffusion magnétique, Théorie de l'onde pilote.*

Physique végétale. — Action prolongée de l'eau et des acides naphthylacétiques et indolacétiques sur l'appareil stomatique isolé, par M. *Igor Mouravieff*..... 1328
Phytochimie. — Structure des sapogé-

Pages.

nines stéroliques et chromatographie de partage sur papier, par MM. *Charles Sannié* et *Henri Lapin*. 581

Phytopathologie. — Influence de la lumière sur la résistance de plantules de *Lepidium sativum* L. à *Botrytis cinerea* Pers., par M. *Claude Schmitt*..... 258

Picard (Théorème de). — Voir *Fonctions (Théorie des)*.

Pigmentation. — Voir *Entomologie*.

Pile atomique. — Voir *Métallographie*, *Radiobiologie*.

Pin maritime. — Voir *Physiologie végétale*.

Placenta. — Voir *Endocrinologie*.

Platine. — Voir *Électrochimie*, *Physique théorique*.

Pliocène. — Voir *Paléontologie*.

Poisson (Coefficient de). — Voir *Mécanique*.

Poisson (Loi de). — Voir *Probabilités (Calcul des)*.

Poivrier. — Voir *Biologie végétale*, *Chimie agricole*.

Polarisation. — Voir *Optique cristalline*.

Polarisation cathodique. — Voir *Électrochimie*.

Polarisation rotatoire magnétique. — Rotativités de l'éthane et des carbures d'hydrogène saturés, par MM. *René de Mallemann* et *François Suhner*..... 643

— Rotativité de la vapeur d'eau, par M. *René de Mallemann*..... 1263

Polonium. — Voir *Radiochimie*.

Polydactylie. — Voir *Biologie*.

Polymélie. — Voir *Biologie*.

Polymérisation. — Polymérisation des dérivés polyéthyléniques provenant de la réduction de l'oxyde de mésityle, par M. *Joseph Wiemann* et Mlle *Le Thi Thuan*..... 623

— Voir *Acides linoléiques*.

Polyméthylène. — Voir *Chimie organique*.

Polynomes orthogonaux. — Sommes de Fejer et moyennes de Césaro pour les développements d'une fonction en série de polynomes orthogonaux usuels, par M. *Robert Campbell*..... 773

— Séries de polynomes orthogonaux se prêtant au calcul explicite des sommes de Fejer, par M. *Robert Campbell*..... 1092

Polypodiacées. — Voir *Fougères*, *Tératologie végétale*.

Pages.

Polypodie. — Voir *Biologie*.

Potassium. — Voir *Complexes chimiques*.

Potentiomètre. — Voir *Dosage*.

Poumons. — Voir *Cytologie pathologique*, *Enzymologie*.

Précambrien. — Voir *Géologie*.

Précipités au sein de la gélatine. — Régimes permanents de diffusion déterminés, dans un gel, par la précipitation mutuelle de deux réactifs, par MM. *Jean Salvinien*, *Jean-Jacques Moreau* et *Robert Gaufrès*..... 46

Préhistoire. — Age des gravures de la station rupestre de Marhouma (Sahara occidental), par Mlle *Henriette Alimen*..... 191

— Découverte d'industries du groupe de la « Pebble Culture » sur le reg ancien des plaines du Dra (Sud marocain), par MM. *Georges Mortelmans*, *Georges Choubert* et *Henri Hollard*..... 1680

Probabilités (Calcul des). — Sur la probabilité de l'hypothèse de périodicité, par M. *Matthias Matschinski*..... 14

— Quelques remarques sur les processus stochastiques. Le processus stochastique dans une population, par M. *Matthias Matschinski*. 1362

— *Errata*..... 1718

— Sur une classe de lois de probabilité indécomposables, par M. *Paul Lévy*..... 489

— Loi faible et loi forte des grands nombres, par M. *Paul Lévy*..... 1186

— Sur une généralisation de la loi de Poisson, par M. *Georges Morlat*.. 933

— Sur une classe de fonctions aléatoires, par M. *Georges Morlat*..... 1364

— Voir *Statistique mathématique*.

Propane. — Voir *Chloromycétine*.

Protéines. — Sur la structure des protéines en solution et dans les cellules vivantes, par M. *Henri Lenormant*..... 104

— Voir *Lait*.

Protides. — Voir *Physiologie*.

Protistologie. — Symbiontes bactériens des ciliés du genre *Euplotes*, par M. *Emmanuel Fauré-Frémiet*. 402

— Le cycle autogamique de *Tetrahymena rostrata*, par M. *John O. Corliss*..... 399

— Un parasite des œufs de Sardine : l'*Ichthyodinium chabelardi*, nov.

Pages.

gen., nov. sp. (Péridinien parasite), par MM. *André Hollande* et *Jean Cachon*..... 976

PROTONS. — Voir *Physique atomique.*

PROTOPINACÉES. — Voir *Paléobotanique.*

PROVENCE. — Voir *Géologie.*

PSYCHOPHYSIOLOGIE. — Sur certains caractères d'une rétention d'habitudes par *Blatella germanica*, par MM. *Michel Goustard* et *Louis-Pierre Le Bigot*..... 93

— Réactions à la lumière de *Lineus ruber* (Némertien) en éclairage

Pages.

ventral, par Mlle *Marie Gontcharoff*..... 1690

— Voir *Abeilles.*

PTÉRIDOPHYTES. — Voir *Fougères.*

PTÉRINES. — Voir *Chimie biologique.*

PYRANNE. — Sur quelques propriétés du β-chloroéthyl-14 dinaphtopyranne, par M. *Robert Damiens*.... 1228

— Recherches sur les dihydropyrannes; passage aux alcools γ éthyléniques, ramifiés, par MM. *Henri Normant* et *Jean-Claude Montaigne*..... 1656

PYRÉNÉES. — Voir *Géologie.*

Q

QUARTZ. — Voir *Cristallographie.*

QUINOLS. — Action des acides sur le quinol du dihydroxy-2.6 diphényl-9.10 anthracène, par MM. *André Étienne* et *Jean Salmon*..... 70

— Sur quelques dérivés de la diphényl-9.10 anthraquinone-1.2, par MM. *André Étienne* et *Jean Weill-Raynal*..... 301

— Dérivés méthoxylés et méthoxychlorés de la benzo [6.7] quinazoline, par MM. *Maurice Legrand* et *Yves Lepage*..... 303

— Réduction des sels d'alcoylquinoléiniums et isoquinoléiniums, par M. *Robert Torossian*..... 1312

R

RACHITISME. — Voir *Vitamines.*

RADAR. — Voir *Radiométéorologie.*

RADIOACTIVITÉ. — Étude de minerais radioactifs par radiographie électronique par réflexion et autoradiographie combinées, par M. *Jean-Jacques Trillat* et Mme *Léa Tertian*. 1123

— Sur la radioactivité anormale de l'atmosphère, par M. *Hubert Garrigue*..... 1498

— Voir *Géologie, Physique nucléaire.*

RADIOACTIVITÉ ARTIFICIELLE. — Voir *Physique nucléaire.*

RADIOASTRONOMIE. — Mesures du rayonnement de la Voie Lactée sur 255 Mc/s, par M. *Ivan Atanasijevic*..... 130

RADIOBIOLOGIE. — Synthèse d'un hexœstrol marqué par deux atomes de tritium, par MM. *Antoine Lacassagne, N. P. Buu-Hoï, Ng. Dat Xuong, François Zajdela* et *Bernard Eckert*..... 589

— Les effets mortels du rayonnement total de la Pile Zoé sur la Souris, par MM. *Paul Bonét-Maury* et *André Ertaud*..... 828

— Les composantes de l'action léthale sur la Souris, du rayonnement total d'une pile à uranium, par MM. *André Ertaud* et *Paul Bonét-Maury*..... 909

— Action restauratrice de la peroxydase sur des bactéries irradiées, par M. *Raymond Latarjet*..... 1701

RADIOCHIMIE. — Formation et décomposition de l'eau oxygénée dans l'eau irradiée aux rayons α du polonium, par Mme *Maria do Carmo Anta* et M. *Moïse Haïssinsky*.. 170

— Oxydation radiochimique du sulfate ferreux en présence d'hydrocarbures et d'alcools, par MM. *Maurice Cottin, Moïse Haïssinsky* et

Pages.

Mme *Catherine Vermeil*..... 542
— Voir *Charbons activés.*
RADIOCRISTALLOGRAPHIE. — Anticathodes filiformes : application à la diffraction des rayons X par les cristaux, par M. *Jean Barraud* et Mlle *Claire Pierrée*..... 72
— *Errata*..... 1068
— Réalisation de demi-diagrammes symétriques Debye-Scherrer, par transmission, en rayonnement filtré, par M. *Adolphe-Jean Rose*... 74
— Étude radiocristallographique de l'hydruration du lanthane, par M. *Bertrand Dreyfus-Alain*... 540, 1295
— Montage achromatique pour la détermination du profil des raies de diffraction des rayons X, par MM. *André Guinier* et *François Sébilleau*..... 888
— Détermination des désorientations réticulaires par diffraction des rayons X transmis dans les monocristaux, par MM. *Honoré Lambot* et *Lawrence Vassamillet*..... 1136
— Sur la déformation et la polygonisation des monocristaux d'aluminium, par MM. *Honoré Lambot* et *Lawrence Vassamillet*..... 1232
RADIOÉLECTRICITÉ. — Sur les propriétés des lignes à structure périodique, par MM. *Pierre Guénard, Oskar Dœhler* et *Robert Warnecke*..... 32
— Amplification par ondes de charge d'espace dans un faisceau électronique se déplaçant dans des champs électrique et magnétique croisés, par MM. *Robert Warnecke, Harry Huber, Pierre Guénard* et *Oskar Dœhler*..... 470
— *Errata*..... 751
— Oscillations d'un magnétron sans fente liées à l'amplification par ondes de charge d'espace, par MM. *Robert Warnecke, Harry Huber, Pierre Guénard* et *Oskar Dœhler*..... 493
— Sur la détermination des vibrations propres et les changements de mode d'un magnétron oscillateur à cavités multiples, par MM. *André Leblond, Jean Nalot* et *Oskar Dœhler*..... 1494
— Correspondance entre le niveau moyen des atmosphériques et le degré d'intelligibilité d'une liaison radioélectrique sur onde kilométrique, par M. *Fernand Carbonnay*..... 423, 652
— Tracé d'un diagramme circulaire universel, applicable à certains systèmes radioélectriques. par M. *Jean Coulon*..... 608
— Liaisons radioélectriques à très grande distance, par MM. *Ewald Harnischmacher* et *Karl Rawer*... 709
— Spectre de puissance d'un oscillateur non linéaire à loi fréquence-amplitude, perturbé par le bruit, par M. *Augustin Blaquière*..... 1201
RADIOGRAPHIE. — Voir *Physique nucléaire, Radioactivité.*
RADIOMÉTÉOROLOGIE. — Interprétation d'un type particulier d'écho de radar, par Mme *Arlette Vassy* et M. *Étienne Vassy*..... 1240
RADIOSODIUM. — Voir *Chimie physique.*
RADIOTHORIUM. — Voir *Physique nucléaire.*
RAIES SPECTRALES. — Voir *Spectroscopie.*
RAYONNEMENT. — Voir *Radioastronomie, Radiocristallographie.*
RAYONNEMENT α. — Voir *Physique atomique, Physique nucléaire Radiochimie.*
RAYONS COSMIQUES. — Sur la répartition de l'intensité des traces isolées produites par le rayonnement cosmique dans des émulsions nucléaires tournantes, axées sur l'étoile polaire et conservant une orientation fixe par rapport au Soleil, par M. *Max Morand* et Mme *Simone Desprez-Rebaud*.... 294
— Sur le rapport du nombre de mésons au nombre de particules lourdes enregistrées dans des émulsions nucléaires exposées au Puy-de-Dôme, par Mme *Simone Desprez-Rebaud*..... 1386
— Sur la répartition angulaire, le spectre des moments et la dissymétrie Est-Ouest de la composante nucléaire du rayonnement cosmique étudiée au moyen d'une émulsion sensible, par MM. *Max Morand* et *Tsai-Chü*..... 1502
— Effet de latitude sur l'intensité du rayonnement cosmique déterminé au moyen des émulsions nucléaires, par M. *Max Morand*, Mlle *Yvette Avignon*, MM. *Lud van Rossum* et *Roger Desprez*..... 1639
— Voir *Physique corpusculaire.*
RAYONS δ. — Voir *Physique atomique.*

Pages.

Rayons γ. — Sur une méthode de dosage chimique des rayons γ en présence de neutrons lents, par Mme *Madeleine Corval*, MM. *Adolphe Chapiro* et *Charles Cousin*..... 799

Rayons pénétrants. — Voir *Physique du globe.*

Rayons X. — Remarques préliminaires sur le spectre L, la bande de conductibilité et la couleur de l'argent, par Mlle *Yvette Cauchois*.. 613

— Monochromateur pour rayons X à foyer ponctuel, par M. *Jacques Despujols*..... 716

— Voir *Océanographie, Radiologie, Radiocristallographie.*

Récifs coralliens. — Voir *Océanographie.*

Régénération. — Voir *Annélides, Biologie expérimentale.*

Pages

Relativité. — Le rôle des liaisons de solidité en relativité générale, par M. *Théophile de Donder*..... 347

— Voir *Mécanique, Théorie unitaire.*

Représentation conforme. — Voir *Fonctions (Théorie des).*

Résonance nucléaire. — Dispositif de détection de la résonance quadripolaire électrique, par M. *Maurice Buyle-Bodin*..... 292

Rhénium. — Voir *Magnétisme.*

Rhumatismes. — Voir *Médecine.*

Rickettsioses. — Voir *Médecine expérimentale.*

Riemann (Surfaces de). — Voir *Fonctions (Théorie des).*

Rotifères. — Voir *Zoologie.*

Rupture. — Voir *Élasticité.*

S

Saccharomyces cerevisiæ. — Voir *Enzymologie.*

Saccharose. — Voir *Sucres.*

Sahara. — Voir *Géodésie, Préhistoire.*

Sang. — Voir *Biologie expérimentale.*

Sapogénines. — Voir *Phytochimie.*

Saumon. — Voir *Ichtyologie.*

Sédimentologie. — Observations sur le milieu anaérobie de la lagune Ébrié (Côte-d'Ivoire), par M. *Jacques Debyser*..... 1238

Sels d'ammonium. — Comportement de divers sels d'ammonium quaternaire acétyléniques vis-à-vis des cholinestérases sérique et globulaire, par M. *Joseph Jacob* et Mme *Anna Olomucki*..... 263

Semences. — Voir *Chimie végétale.*

Semi-conductibilité. — Sur les propriétés semi-conductrices de la molybdénite, par Mlle *Fernande Regnault*, MM. *Pierre Aigrain, Claude Dugas* et *Bernard Jancovici*..... 31

— Id. du tellure, par MM. *Pierre Aigran, Claude Dugas, Jacques Legrand des Cloizeaux* et *Bernard Jancovici*..... 145

— Sur l'existence de deux causes distinctes d'absorption Debye dans le spectre hertzien. Application aux semi-conducteurs, par Mme *Marie Freymann* et M. *René Freymann*..... 1125

Sempervirine. — Voir *Alcaloïdes.*

Séries. — Sur une transformation généralisée de série en série, par M. *Michaël Maschler*..... 769

— Voir *Fonctions (Théorie des).*

Sérologie. — Solubilité de la sérum-albumine de cheval préparée par cristallisation en milieu neutre ou alcalin, par M. *Jean-Jacques Pérez.* 980

— Nature de la sérum-albumine de Cheval préparée par cristallisation en milieu alcalin, par M. *Jean-Jacques Pérez*..... 1056

— Le pH du sérum : ses variations et leur influence sur le titrage des antibiotiques, par M. *Henri Velu* et Mlle *Marcelle Peyré*..... 1559

— Voir *Physicochimie biologique.*

Sexualité. — Voir *Biologie expérimentale, Parthénogenèse.*

Silicium. — Voir *Électricité, Systèmes chimiques, Thermoélectricité.*

Singes. — Voir *Anatomie comparée.*

Soleil. — Voir *Physique solaire, Rayons cosmiques.*

Son. — Voir *Mécanique des fluides.*

Spectres d'absorption. — Voir *Composés aminoazoïques.*

Pages.

SPECTRES D'ABSORPTION INFRAROUGES. — Voir *Physique moléculaire.*

SPECTROGRAPHIE. — Sur l'application de quelques méthodes spectrographiques, par Mlle *Marie Théodoresco*..... 472

— *Errata*..... 842

SPECTROGRAPHIE MAGNÉTIQUE. — Voir *Physique nucléaire.*

SPECTROPHOTOMÉTRIE. — Étude spectrophotométrique de l'hydratation des aldéhydes α-halogénés, par M. *Paul Federlin*..... 44

— Absorption de l'ozone dans le spectre visible, par M. *Ernest Vigroux*... 149

SPECTROSCOPIE. — Théorie statistique de l'effet de la pression sur les raies spectrales, par MM. *René Bergeon, Stéphane Robin* et *Boris Vodar*... 360

— Analyse de certaines bandes de vibration-rotation de la molécule OH, par MM. *Georges Déjardin, Joseph Janin* et *Maurice Peyron*..... 538

— Effet du champ électrique sur le contour des raies HI(2^2P^o—n^2D) émises dans une recombinaison radiative par MM. *Charles Weniger* et *Louis Herman*..... 1020

— Étude spectroscopique de la liaison hydrogène chez les acides trifluoroacétiques et trichloroacétiques légers et lourds, par Mlle *Marie-Louise Josien* et M. *Nelson Fuson.* 1025

— Vibration de valence C=O et constante de Hammett dans une série de benzophénones, par Mlle *Marie-Louise Josien*, MM. *Nelson Fuson* et *Donald E. Pearson*..... 1206

— Les facteurs *g* spectroscopiques d'alliages ferromagnétiques nickel-cuivre, par M. *A.-Jean-Pierre Meyer*..... 1382

— Nouvelles mesures des intervalles spectraux qui séparent les composantes hyperfines de la raie du mercure λ 2537, par MM. *Robert Lennuier* et *Jean-Louis Cojan*.... 1634

— Contribution à l'étude du spectre de vibration de l'oxyde azoteux, par Mme *Marie-Louise Grenier-Besson* MM. *Gilbert Amat* et *Pierre Barchewitz*..... 1636

— Voir *Absorption, Anthracènes, Physique nucléaire, Rayons X.*

SPÉLÉOLOGIE. — Voir *Géographie physique.*

SPERMATOGÉNÈSE. — Voir *Fougères.*

SPERMATOZOÏDES. — Voir *Chimie biologique.*

Pages.

SPHÉROMES. — Voir *Génétique, Histophysiologie.*

SPIN. — Voir *Particules de spin, Physique nucléaire, Physique théorique.*

STATISTIQUE. — Voir *Géométrie.*

STATISTIQUE MATHÉMATIQUE. — Contrôle statistique par calibres modifiés d'efficacité optima, par M. *René Cavé*..... 935

— Intervalles de contrôle pour l'extrapolation des plus grandes valeurs, par M. *E. J. Gumbel*..... 1598

STÉRÉOCHIMIE. — M. *Paul Niggli* adresse son Ouvrage : « Les bases de la Stéréochimie », traduit en français par MM. *J. Vialle* et *T. Katz*..... 114

STÉRÉOISOMÈRES. — Voir *Cyclohexane et dérivés.*

STRATIGRAPHIE. — Structure et stratigraphie du Nord du Fezzan (Libye), par MM. *Jean-Michel Freulon* et *Jean Philippe Lefranc*..... 385

— Existence d'une importante lacune stratigraphique, de vaste extension géographique, dans le Jurassique moyen haut-marnais, par M. *Pierre-L. Maubeuge*..... 891

— Utilisation possible des Polypiers pour la stratigraphie du Malm jurassien, par M. *Marcel Pelletier.* 1664

— Sur quelques points de la stratigraphie et de la structure de l'Anthracolithique dans la zone maritime du Nord Vietnam, par M. *Edmond Saurin*..... 1667

— Voir *Géologie.*

STREPTOMYCINE. — Voir *Microbiologie.*

STRYCHNINE. — Voir *Alcaloïdes.*

STYROLÈNE. — Voir *Chimie macromoléculaire.*

SUCRES. — Sur l'hydrolyse diastasique du saccharose : influence du glucose, du galactose, du fructose sur la vitesse d'inversion, par Mme *Andrée de Grandchamp-Chaudun* et Mlle *Marie-Thérèse Moreau*..... 552

— Sur l'action inhibitrice du galactose dans l'analyse du saccharose par la saccharase de la levure, par Mme *Andrée de Grandchamp-Chaudun*..... 1060

— Voir *Embryologie végétale.*

SULFATES FERREUX. — Voir *Radiochimie.*

SUPRACONDUCTEURS. — Voir *Physique théorique.*

SYNTHÈSES CHIMIQUES. — Voir *Acides aminés, Acides organiques.*

Pages.

SYSTÈME BROMURE-EAU. — Voir *Chimie physique.*

SYSTÈMES CHIMIQUES. — Sur les phases du système ternaire aluminium-fer-silicium, par M. *Marcel Armand*..... 1506

— Sur les orthophosphates de cuivre. Étude du système P_2O_5—OCu—OH_2 à 60 et 18°, par MM. *Henri Guérin* et *Henri Kozicki*..... 52

SYSTÈME RÉTICULO-ENDOTHÉLIAL. — Voir *Physicochimie biologique.*

SYSTÈME SOLAIRE. — Voir *Astronomie.*

T

TABAC. — Le Tabac, par M. *Auguste Chevalier* en collaboration avec M. *H. F. Emmanuel* (imp.)..... 674

TARTRATE. — Voir *Complexes (Chimie (des).*

TECTONIQUE. — Sur l'interprétation, comme diapirs descendants, de certaines des bandes de terrains secondaires pincées dans les massifs cristallins externes des Alpes, par M. *Claude Bordet*..... 732

— M. *Charles Jacob* présente un Ouvrage : « Traité de tectonique », par *Jean Goguel*..... 857

— Le soulèvement du Djebel Mansourah (département de Constantine), par M. *André Caire*..... 1666

— Voir *Géologie.*

TELLURE. — Voir *Semi-conductibilité.*

TERATOGENÈSE. — Voir *Chimiothérapie.*

TERATOLOGIE VÉGÉTALE. — Interprétation phylogénétique des formes anthéridiennes tératologiques chez les Polypodiacées, par M. *Jean Motte*..... 203

— Voir *Pathologie végétale, Physiologie végétale.*

TERPÈNE. — Voir *Chimie organique.*

TERRE. — Voir *Astrophysique, Mécanique céleste.*

TERRES RARES. — Voir *Chimie physique, Ferromagnétisme, Physique nucléaire.*

TESTOSTÉRONE. — Voir *Biologie expémentale.*

TÉTARDS. — Voir *Biologie.*

THÉORIE CINÉTIQUE DES GAZ. — Voir *Chimie physique.*

THÉORIE DE L'ONDE PILOTE. — Sur l'introduction des idées d'onde-pilote et de double solution dans la théorie de l'électron de Dirac, par M. *Louis de Broglie*..... 557

— Sur l'interprétation de la Mécanique ondulatoire des systèmes de corpuscules dans l'espace de configuration par la théorie de la double solution, par M. *Louis de Broglie.* 1345

— La Mécanique ondulatoire des systèmes de particules de même nature et la théorie de la double solution, par M. *Louis de Broglie.* 1453

— Sur la relation entre l'onde à singularité et l'onde statistique en théorie unitaire relativiste, par M. *Jean-Pierre Vigier*..... 869

— Forces s'exerçant sur les lignes de courant usuelles des particules de spin 0,1 /2 et 1 en théorie de l'onde-pilote, par M. *Jean-Pierre Vigier*.. 1107

THÉORIE UNITAIRE RELATIVISTE. — Sur une généralisation du problème de Schwarzschild à une théorie unitaire, par M. *Yves Thiry*..... 1480

— Voir *Mécanique ondulatoire, Théorie de l'onde pilote.*

THÉRAPEUTIQUE EXPÉRIMENTALE. — Voir *Tuberculose.*

THERMOCHIMIE. — La mesure des chaleurs de transformation à l'aide de l'analyse thermique différentielle, par M. *Germain Sabatier*..... 574

THERMODYNAMIQUE. — Sur la réalisation d'une mesure du rapport des chaleurs spécifiques des gaz, par Mme *Madeleine Aubert-Huetz*.... 25

— Sur une nouvelle méthode de mesure du rapport des chaleurs spécifiques des gaz, par Mme *Madeleine Aubert-Huetz*..... 141

— Sur les relations phénoménologiques d'Onsager, par M. *Kyrille Popoff.* 648

— Application de la méthode de fusion des racines à l'étude de la stabilité du réglage automatique d'un échangeur thermique, par M. *Pierre Louis Dubois-Violette*..... 1111

— Voir *Explosifs, Physique théorique.*

THERMODYNAMIQUE CHIMIQUE. — De l'influence des phénomènes de

Pages.

surface sur la cinétique d'inflammation des propergols liquides, par M. *Michel Bernard*..... 1646

THERMOÉLECTRICITÉ. — Mesures thermoélectriques sur le silicium P, par M. *Jean Savornin* et Mme *France Savornin*..... 465

THERMOMAGNÉTISME. — Voir *Magnétisme.*

THIAMIDES. — Voir *Thiodiformamidine.*

THIAMINE. — Voir *Complexes (Chimie des).*

THIAZOLS. — Voir *Colorants.*

THIODIFORMAMIDINE. — Action de la cyanamide sur les thiamides et la thiourée, par M. *Pierre Chabrier*, Mlle *Simone-Hélène Renard* et M. *Edgard Renier*..... 64

THIOSEMICARBAZONES. — Sur quelques nouvelles thiosemicarbazones, par M. *Georges Tsatsas*..... 175

THIOURÉE. — Voir *Thiodiformamidine.*

THORIUM X. — Voir *Physique nucléaire.*

THYROÏDE. — Voir *Biologie.*

TITANE. — Voir *Alliages.*

TOCOPHÉROL. — Voir *Chromatographie.*

TOPOLOGIE. — Variétés symplectiques, variétés presque complexes et systèmes dynamiques, par M *Georges Reeb*..... 776

— Voir *Calcul fonctionnel, Équations différentielles.*

TOPOLOGIE ALGÉBRIQUE. — Sur les anneaux spectraux de certaines classes d'applications. I. Généralités, par M. *Istvan Fary*..... 686

— Id. II. Fonctions numériques continues, par M. *Istvan Fary*..... 780

— Id. III. Fonctions numériques (différentiables), par M. *Istvan Fary*.. 1272

— Id. IV. Cohomologie des hypersurfaces algébriques, par M. *Istvan Fary*..... 1467

— Anneau différentiel à filtration réelle, par M. *René Deheuvels*..... 778

— L'anneau local d'un anneau différentiel à filtration réelle; ses relations avec l'anneau d'homologie, par M. *René Deheuvels*..... 858

— Invariants topologiques d'une fonctionnelle semi-continue inférieurement sur un espace localement compact, par M. *René Deheuvels*.. 929

— Calcul des variations et cohomologie singulière, par M. *René Deheuvels.* 1270

Pages.

TOPOLOGIE CARTÉSIENNE. — Domaines réguliers et domaines normaux, par M. *Tullio Viola*..... 10

TOXICOLOGIE. — Le syndrome humoral de l'intoxication par l'amanite phalloïde, par M. *Léon Binet* et Mlle *Michèle Leblanc*..... 279

— Étude histologique des organes glycorégulateurs après intoxication par l'Amanite phalloïde chez le Lapin, par MM. *Léon Binet, Pierre Desclaux, Henri Chaneac* et Mlle *Michèle Leblanc*..... 405

— Altérations histologiques encéphaliques chez le Lapin au cours de l'intoxication par l'Amanite phalloïde, par MM. *Léon Binet, Pierre Desclaux, Henri Chanéac* et Mlle *Jacqueline Teysseyre*..... 564

— Voir *Biologie, Neurologie, Vitamines.*

TOXINES. — Voir *Microbiologie.*

TRANSFORMATION DE LAPLACE. — Voir *Analyse symbolique.*

TRANSPIRATION. — Voir *Physiologie.*

TREILLIS (LATTICE). — Construction du treillis modulaire engendré par deux éléments et une chaîne finie discrète, par M. *Marcel-Paul Schützenberger*..... 926

TRIAS. — Voir *Géologie.*

TRIAZINE. — Voir *Chimie organique.*

TRILOBITES. — Voir *Géologie.*

TRYPSINE. — Voir *Biophysique.*

TUBERCULOSE. — Sur le mécanisme d'action des hydrazides tuberculostatiques, par MM. *N. P. Buu-Hoï, Ng Dat Xuong, Fernand Binon* et *Ng Hoang Nam*..... 329

— Mécanisme de l'action antituberculeuse de l'isonicotinhydrazide (I. N. H.), par MM. *Constantin Levaditi, Aron Vaisman* et Mlle *Henriette Chaigneau-Erhard*..... 450

— Durée des effets du traitement par l'isonicotinhydrazide (INH) des souris tuberculisées, par MM. *Constantin Levaditi, Aron Vaisman* et Mme *Henriette Chaigneau-Erhard.* 1562

— Voir *Antibiotiques, Chimie biologique, Mycobacterium tuberculosis.*

TURBULENCE ATMOSPHÉRIQUE. — Voir *Mécanique de l'atmosphère.*

U

Pages.

Ultrasons (Théorie des). — Longueur critique pour la propagation des ondes libres dans un fluide visqueux, par M. *Clifford Truesdell*.. 702
— Rapports entre la longueur d'onde et l'oxydation de l'iodure de potassium par les ultrasons, par MM. *René-Guy Busnel* et *Daniel Picard*... 1217
— Action des ultrasons de haute fréquence sur le système nerveux, par MM. *René-Guy Busnel, Jovan Gligorijevic, Paul Chauchard* et Mme *Henriette Mazoué*..... 1535
— Mise en évidence d'effets spécifiques non thermiques dans l'action nerveuse des ultrasons, par MM. *René-Guy Busnel, Jovan Gligorijevic, Paul Chauchard* et Mme *Henriette Mazoué*..... 1684
— Photogenèse ultraviolette dans l'eau soumise aux ultrasons, par MM. *Robert-Olivier Prudhomme* et *Raoul Henri Busso*..... 1486
— Montages interférométriques de détection des ultrasons, par Mlle *Colette Rossetti*..... 1484
— Voir *Métallographie.*

Ultraviolet. — Voir *Ultrasons.*

Ultra-virus. — Isolement d'un ultravirus dans un cas de méningite endothélio-leucocytaire multirécurrente bénigne, par M. *Pierre Mollaret* et Mlle *Geneviève Cateigne*. 269

Ulvacées. — Voir *Algologie.*

Uranium. — Voir *Physique nucléaire, Radiobiologie.*

Urée. — Voir *Chimie biologique, Physiologie.*

Uruguay. — Voir *Minéralogie.*

V

Vaccination. — Voir *Immunologie.*
Valine. — Voir *Peptides.*
Vanadium. — Voir *Magnétisme.*
Variations (Calcul des). — Voir *Topologie algébrique.*
Variétés kählériennes. — Voir *Géométrie différentielle globale.*
Vers a soie. — L'effet de l'alcalinité du milieu de culture sur la virulence de *Bacillus cereus* var. *alesti* Toum et Vago pour les vers à soie, par MM. *Constantin Toumanoff* et *Constantin Vago*..... 1715
— Voir *Pathologie des insectes.*
Vietnam. — Voir *Stratigraphie.*
Vigne. — Voir *Entomologie.*
Virologie. — Sur l'extraction et l'inoculation par voie mécanique de certains virus affectant les Fraisiers, par M. *Pierre Cornuet*..... 271
— Procédé général de culture des virus, en très grande abondance chez l'animal, par M. *J.-André Thomas*. 518
— Action inhibitrice d'analogues du glycocolle et de l'adénine sur la multiplication du virus de la grippe, par M. *Claude Hannoun*.. 1340
— Action de certains inhibiteurs enzymatiques sur la multiplication du virus de la grippe, par M. *Claude Hannoun*..... 1445
— Action du lait de Coco et de l'acide naphtalène acétique sur la multiplication d'un virus en culture de tissus, par M. *Gabriel Segretain*.. 1342
— Voir *Fièvre aphteuse, Pathologie végétale, Physiologie végétale.*
Viscosité. — Voir *Mécanique des fluides.*
Vitamines. — Potentialisation des effets toxiques de l'acide pyruvique par une substance voisine complémentaire, par M. *Raoul Lecoq*..... 550
— A propos de la notion de vitamine P. La fragilité vasculaire avitaminique, par M. *Raoul Lecoq*..... 585
— Activité biologique sur des rats adultes du dérivé à action antivita-

Pages.

minique A obtenu par oxydation de l'axérophtol au moyen de V_2O_4; et effet de l'acide ascorbique, par MM. *Paul Meunier, Georges Zwingelstein* et *Jacques Jouanneteau*.. 1161
— Nouvelle chaîne d'activation antirachitique du cholestérol, sa généralité, par M. *Yves Raoul*, Mlle *Noellie Le Boulch*, MM. *Jean Chopin, Paul Meunier* et Mme *Andrée Guérillot-Vinet* 1439

Pages.

— Présence dans les huiles de foies de poissons d'un nouveau composé antirachitique et de son précurseur, par M. *Yves Raoul*, Mlle *Noellie Le Boulch*, MM. *Jean Chopin, Paul Meunier* et Mme *Andrée Guérillot-Vinet*..... 1704
Voie Lactée. — Voir *Astronomie stellaire, Radioastronomie.*
Volcanologie. — Voir *Géologie.*
Vosges. — Voir *Géologie.*

W

Wolframite. — Voir *Métallogénie.*

X

Xanthène. — Voir *Chimie organique.*
Xiphophores. — Voir *Biologie expérimentale.*

Z

Zinc. — Voir *Métallographie, Physique nucléaire.*
Zircons. — Voir *Minéralogie.*
Zoologie. — *Acteon tornatilis* L. et sa « radula », par Mme *A. Pruvot-Fol.* 1336
— Variation chez les Rotifères du genre *Brachionus*, par M. *Paul de Beauchamp*..... 1355
— Fixation et métamorphoses des larves de *Phylactolemates* (*Plumatella fungosa, Fredericella sultana*), par M. *Paul Brien*..... 1435
— Voir *Crustacés.*

II. — PARTIE ACADÉMIQUE.

A

Pages.

ACADÉMIE. — M. le *Président* signale un déplacement de séance à l'occasion de la Fête Nationale..... 5
— M. le *Président* souhaite la bienvenue à M. *Arne Tiselius*..... 277
— Id. à M. *Linus Pauling*..... 333
— Id. à MM. *Manne Siegbahn*, *E. T. Jones* et *A. S. Hartshorn*..... 673
— Id. à M. *Baptista Vinelli*..... 753
— Id. à MM. *G. V. Bogomolov*, *N. P. Semenenko*, *I. P. Guerassimov* et *K. A. Vlasov*..... 845
— M. *Léon Binet* est délégué à la Cérémonie du Souvenir, organisée par la Fédération Nationale des Médecins du Front, à la Faculté de médecine de Paris, le 11 novembre 1952..... 923
— M. le *Président* signale un déplacement de séance en raison de la séance annuelle des prix de l'Académie des sciences morales et politiques..... 1345
— M. le *Secrétaire perpétuel* annonce que le tome 230 des « Comptes rendus » (1er semestre 1950) est en distribution au Secrétariat.... 1357
— M. *Maurice de Broglie* est élu vice-président pour l'année 1953..... 1357
— Allocution de M. *Albert Caquot* en la séance annuelle des prix..... 1565

B

BIBLIOTHÈQUES. — La *Library of Congress*, de Washington, adresse une collection d'Ouvrages scientifiques. 1000
BIOGRAPHIES. — William Ramsay and University College London 1852-1952, par *Morris W. Travers* (imp.). 1180
BULLETIN BIBLIOGRAPHIQUE. — 587, 751, 843, 991, 1175, 1583, 1718
BUREAU DES LONGITUDES. — Ephémérides nautiques ou Extrait de la connaissance des temps pour l'an 1953 (imp.)..... 529
— M. *Louis de Broglie* dépose sur le Bureau l'Annuaire pour l'an 1953. 1587

C

CANDIDATURES. — M. *Jules Baillaud* pose sa candidature à la place vacante, dans la Section d'astronomie, par la mort de M. *Bernard Lyot*..... 489
— M. *Fernand Baldet* fait de même... 857
— M. *Lucien d'Azambuja* fait de même. 924
— Liste de candidats à cette place : 1° M. *Jules Baillaud*; 2° MM. *Lucien d'Azambuja*, *Fernand Baldet*; 3° MM. *Henri Chrétien*, *André Couder* et *Henri Mineur*..... 1344
— M. *Jean Verne* pose sa candidature à la place vacante, dans la Section d'anatomie et zoologie, par la mort de M. *Charles Pérez*..... 1588
COMITÉ INTERNATIONAL DU CHAUFFAGE INDUSTRIEL. — M. le *Président* est délégué, ès qualité, dans ce Comité. 408
COMITÉ NATIONAL POUR LA PRÉPARATION

Pages.

DE L'ANNÉE INTERNATIONALE GÉOPHYSIQUE ET DE L'OPÉRATION INTERNATIONALE DES LONGITUDES. — Voir *Conseil international des Unions scientifiques.*

COMMISSIONS ADMINISTRATIVES. — MM. *Émile Borel* et *Gabriel Bertrand*, sont réélus Membres des Commissions administratives..... 1357

COMMISSION DE LA FIÈVRE APHTEUSE. — MM. *Leclainche Lapicque*, *Javillier*, *Ramon*, *Demolon*, *Mayer et Lemoigne* en sont membres..... 404

CONGRÈS. — M. *Gabriel Bertrand* est délégué à la séance solennelle d'ouverture du IIe Congrès international de Biochimie, à la Sorbonne, le 21 juillet 1952..... 7

— L'Académie est informée de la réunion à Rome, du 6 au 12 septembre 1953, du VIe Congrès international de Microbiologie..... 114

— Le XIIIe Congrès international de Chimie pure et appliquée et la XVIIe Conférence de l'Union internationale de Chimie pure et appliquée, auront lieu à Stockhom du 21 juillet au 4 août 1953, et à Uppsala, du 5 au 7 août 1953..... 225

— Compte rendu général du XIIIe Congrès international de médecine et pharmacie militaires, tome 2 (imp.). 489

— L'Académie est invitée au VIIe Congrès international de radiologie à Copenhague, du 10 au 25 juillet 1953..... 566

— M. *Antoine Lacassagne* y est délégué. 645

— L'Académie est informée de la réunion du VIe « International Grassland Congress », au « Pennsylvania State College », du 17 au 23 août 1952..... 924

— M. *Charles Jacob* est délégué au IVe Congrès international de l'Association internationale pour l'étude du Quaternaire (INQUA), à Rome et à Pise, du 10 août au 10 septembre 1953..... 1180

— L'Académie est invitée au VIIIe Congrès international du Pacifique à l'Université des Philippines, Quezon City, du 16 au 28 novembre 1953..... 1588

— Voir *Solennités scientifiques.*

CONSEIL INTERNATIONAL DES UNIONS SCIENTIFIQUES. — M. *Émile Borel* rend compte de l'Assemblée générale, à Amsterdam, du 1er au 3 octobre 1952. La France sera représentée dorénavant dans le Bureau par M. *Joseph Pérès*..... 673

— *Erratum*..... 990

— M. *Pierre Lejay*, informe l'Académie qu'au cours de l'Assemblée générale tenue à Amsterdam, le Conseil a exprimé le vœu que soit constitué, dans chaque pays adhérent, un Comité national pour la préparation de l'année internationale géophysique et de l'opération internationale des Longitudes de 1957-1958. Sont nommés pour faire partie de ce Conseil MM. *Charles Maurain*, *Louis de Broglie*, *Gaston Fayet*, *Georges Durand-Viel*, *Pierre Lejay*, *Donatien Cot*, *Raoul Combes*, *André Danjon*, *Gaston Dupouy*... 1067

CONSEILS SCIENTIFIQUES. — M. *Robert Courrier* est délégué dans le Conseil scientifique de l'Association Claude Bernard, en voie de création, pour le développement des recherches biologiques et médicales dans les établissements hospitaliers de l'Assistance publique..... 1588

D

DÉCÈS DE MEMBRES ET DE CORRESPONDANTS. — De M. *Charles Pérez*... 637

— De M. *Ernest Vessiot*..... 845

— De M. *Sven Anders Hedin*..... 1345

— De M. *Louis Lapicque* 1449

DÉCRETS. — Approuvant l'élection de M. *Paul Karrer*, en remplacement de Sir *Charles Sherrington*..... 405

— Id. de M. *Louis Bazy* en remplacement de M. *Henri Hartmann*..... 557

— Modifiant le règlement du 10 juin 1913, en ce qui concerne la nomination des Membres non résidants. 502

DOCUMENTATION. — M. *Wallace Atwood*, comme représentant de l'« Academy of sciences » de Washington et du « National Research Council » des États-Unis d'Amérique, écrit que le Service des Relations internationales qu'il dirige est prêt à échanger avec l'Académie des sciences et ses Membres, toute

Pages.

correspondance utile au progrès des sciences..... 767
— Création par le Conseil International des Unions scientifiques d'un Bureau des Résumés analytiques (I.C.S.U. Abstracting Board), pour coordonner et faciliter le travail des journaux spécialisés dans la publication des résumés d'articles et de Mémoires originaux du domaine scientifique.... 1179

E

École polytechnique. — M. le *Secrétaire d'État à la guerre* invite l'Académie à désigner l'un de ses Membres qui fera partie du Conseil de perfectionnement de cette École, en remplacement de M. *Pierre Jolibois* dont les pouvoirs sont expirés et qui est rééligible..... 566
— M. *Pierre Jolibois* est réélu..... 681
École supérieure d'électricité. — MM. *Louis de Broglie, Georges Darrieus* et *Hippolyte Parodi* sont délégués à la remise de la Croix de guerre 1939-1945 à cette École, le 21 octobre 1952..... 767
Élections de membres et de correspondants. — De M. *Gavin Rylands De Beer*, en remplacement de M. *Théodor Mortensen* décédé... 1084
— De M. *Jules Baillaud*, en remplacement de M. *Bernard Lyot*, décédé. 1357
Errata. — 108, 488, 751, 842, 990, 1068, 1174..... 1717
Expositions. — L'Académie est informée de l'ouverture, le jeudi 2 octobre 1952, de la IVe Exposition du chauffage industriel..... 645
— M. le *Ministre de l'Éducation Nationale*, annonce la prochaine ouverture d'une exposition sur les activités des Expéditions polaires françaises..... 1358
— Le Directeur du Palais de la Découverte adresse le Catalogue de l'Exposition *Léonard de Vinci*, Homme de science, 1452-1519.. 1464

H

Histoire des sciences. — L'abbé Antoine Le Gendre (1590-1665) est-il l'inventeur de la culture des arbres fruitiers en espalier ?, par M. *Auguste Chevalier*..... 277
— L'abbé Nollet, biologiste et électrothérapeute au XVIIe, par M. *Jean Torlais* (imp.)..... 282
— Célébrités médicales, par *Edgar Goldschmid* (imp.)..... 458
— La « Royal Society » adresse un certain nombre d'exemplaires d'un fascicule : « The relations between fellows of the Royal Society and french men of science when France and Britain were at war », par *Gavin Rylands De Beer*..... 681

N

Notices biographiques. — M. *Georges Guillain* dépose sur le Bureau une Notice sur la vie et l'œuvre de *Hyacinthe Vincent*..... 857
— Notice sur la vie et les travaux de *Lucien Cuénot* (1866-1951), par M. *Robert Courrier*..... 1582
— M. *André Mayer* fait hommage d'un Ouvrage : « Un pionnier de la Physiologie : *Léon Frédéricq* ». publié à l'occasion du Centenaire de la naissance de ce Savant..... 1587
— M. *Marcel Dehalu* adresse une Notice sur : *Augustin Delporte*..... 1587
— Voir *Biographies*.
Notices nécrologiques. — Sur *Charles Pérez*, par M. *Maurice Caullery*... 637
— Sur *Ernest Vessiot*, par M. *Albert Caquot*..... 917
— Sur *Louis Lapicque*, par M. *Albert Caquot*..... 1449
— Sur *Sven Hedin*, par M. *Emmanuel de Martonne*..... 1452

O

Pages.

OBSERVATOIRE DE PARIS. — M. *le Ministre de l'Éducation Nationale* invite l'Académie à lui présenter une liste de deux candidats au poste d'Astronome titulaire vacant par la mort de M. *Bernard Lyot*... 1588

ŒUVRES SCIENTIFIQUES. — M. le *Secrétaire perpétuel* dépose sur le Bureau le tome VIII des Œuvres de *Henri Poincaré* publié sous les auspices de l'Académie par la Section de Géométrie avec la collaboration de *Pierre Sémirot*..... 1356

— M. *Émile Borel*, fait hommage de la première partie des Œuvres d'*Élie Cartan*..... 1464

ORGANISATION INTERNATIONALE DE STANDARDISATION. — M. *Albert Pérard* délégué dans le Comité technique de cette Organisation, donne quelques renseignements sur les discussions et les résolutions prises dans les réunions tenues du 20 au 25 octobre, à Copenhague.. 919

P

PLIS CACHETÉS. — Ouverture du pli cacheté n° 12259.....114, 1234

— Id. du n° 12970..... 502

— Id. du n° 10867..... 52

PRIX ET SUBVENTIONS. — Prix et subventions attribués en 1952..... 1574

R

RECHERCHE SCIENTIFIQUE. — Le Secrétaire général de l'*Académie Royale Néerlandaise des sciences et des lettres* communique la résolution adoptée par l'Institut international d'Embryologie dans le but d'attirer l'attention des autorités responsables sur l'importance des des notions relatives au développement embryonnaire..... 1588

— Voir *Documentation*.

S

SOLENNITÉS SCIENTIFIQUES. — MM. *Jean Chazy* et *Gustave Ribaud* sont délégués à l'inauguration d'un médaillon à l'effigie de *Joseph Fourier*, à Auxerre..... 7

— M. *Arnaud Denjoy* également..... 502

— Il rend compte de la Cérémonie... 1069

— M. *Auguste Chevalier* est délégué au Centenaire de la fondation de la Société des sciences naturelles et mathématiques de Cherbourg, les 25, 26, 27 octobre 1952..... 529

— L'Académie est invitée à prendre part aux cérémonies du 70e Anniversaire de la fondation de l'Université Waseda, à Tokyo, en octobre 1952..... 566

— Le Président de la « Gesellschaft Deutscher Chemiker » invite l'Académie à se faire représenter au Centième anniversaire de la naissance de *Jacobus Henricus Van't Hoff*, le 26 septembre à Braunschweig et de *Emil Fischer*, le 9 octobre à Euskirschen..... 593

— M. le *Maire d'Avignon* invite l'Académie à se faire représenter à l'inauguration de l'Institut méditerranéen du Palais du Roure, le 4 novembre 1952. M. *Charles Dugas*, membre de l'Académie des inscriptions et belles-lettres,

Pages.

représentera l'Académie..... 857
— L'Académie est informée de l'inauguration d'une plaque commémorative apposée sur la maison où mourut *Pierre Duhem*, à Cabrespine, Aude, le 27 octobre 1952... 924
— M. le *Maire de Noisy-le-Sec* donne communication d'une délibération du Conseil municipal de cette ville qui a décidé de donner le nom de *Henri Moissan* à l'une des voies de cette localité, à l'occasion du Centenaire de sa naissance..... 1085

Pages.

— M. *Joseph Pérès* est délégué à l'inauguration d'un Médaillon à l'effigie de *Guido Castelnuovo*, à Rome, le 13 décembre 1952..... 1358
— L'Académie est informée des Cérémonies du Cinquantième anniversaire de la fondation de la « Real Sociedad espanola de Fisica y Quimica », à Madrid, du 15 au 21 avril 1953..... 1588
— Voir *École supérieure d'électricité, Expositions*

U

UNION ASTRONOMIQUE INTERNATIONALE. — M. *André Danjon* rend compte de la VIIIe Assemblée générale de cette Union, à Rome, du 4 au 13 septembre 1952..... 673
UNION INTERNATIONALE POUR LA PROTION DE LA NATURE. — M. *François de Maublanc* est adjoint à la délégation de la France à l'Assemblée générale de cette Union.... 216
— M. *Roger Heim* rend compte de la troisième Assemblée à Caracas du 3 au 9 septembre 1952..... 755
UNION RADIOSCIENTIFIQUE INTERNATIONALE. — M. le *Président* informe l'Académie de l'élection de M. *Pierre Lejay* à la présidence de cette Union..... 753
— M. *Pierre Lejay* rend compte des principaux résultats obtenus à la Xe Assemblée générale à Sydney, du 11 au 23 août 1952..... 753

V

Vœux. — Relatif à l'épizootie aphteuse. 403

TABLE DES AUTEURS.

A

MM. — Pages.

ABELÉ (Jean). — La vitesse, grandeur qualitative et la mécanique relativiste..... 1007

ABONNENC (Émile). — Voir *Floch (Hervé)* et *Émile Abonnenc*..... 923

ABRIBAT (Marcel), Jacques POURADIER et Mlle Anne-Marie VENET. — Sur les produits radioactifs artificiels existant dans l'atmosphère de la région parisienne..... 157

ACADÉMIE DES SCIENCES DE L'U.R.S.S. — Travaux de l'Institut d'astronomie théorique, n° 1 (en langue russe) (imp.)..... 593

ACADÉMIE ROYALE NÉERLANDAISE DES SCIENCES ET DES LETTRES. — Le Secrétaire général communique la résolution adoptée, par l'Institut international d'Embryologie, dans le but d'attirer l'attention des autorités responsables de l'enseignement et de la recherche médicale sur l'importance des notions relatives au développement embryonnaire..... 1588

ACADEMY OF SCIENCES [Washington]. — Voir *Atwood (Wallace)*.. 767

ADAM (W.). — Voir *Institut des Parcs nationaux du Congo Belge*..... 767

AGARD (Jules). — Voir *Section d'Études des gîtes minéraux du Service géologique du Maroc*..... 1576, 1588

AIGRAIN (Pierre). — Voir *Regnault* (Mlle *Fernande*) et *divers*..... 31

AIGRAIN (Pierre), Claude DUGAS, Jacques LEGRAND DES CLOIZEAUX et Bernard JANCOVICI. — Sur les propriétés semiconductrices du tellure..... 145

AKOBJANOFF (Lev). — Constance des produits Aλ et Dλ dans l'absorption et la diffusion des photons..... 612

ALBE-FESSARD (Mme Denise) [Mme Alfred FESSARD] et M. Pierre BUSER. — Réception intracellulaire de l'activité d'un neurone des lobes électriques de *Torpedo marmorata*..... 1688

ALBERT (Philippe). — Voir *Montariol (Frédéric)* et *divers*..... 477

ALBRECHT (Pierre). — Voir *Hérold (Albert)* et *divers*..... 658

ALCANTARA (Carlos). — Voir *Polonovski (Michel)* et *divers*..... 1703

ALEEM (Anwar Abdel). — *Olpidiopsis Feldmanni* sp. nov. Champignon marin parasite d'Algues de la famille des Bonnemaisoniacées.... 1250

— Voir *Petit (Georges)* et *Anwar Abdel Aleem*..... 632

ALFSEN (Érik). — Diffusion magnétique multiple..... 535

ALFSEN (Mme Érik), née Annette BLANC. — Voir *Thomas (J. André)* et Mme *Annette Alfsen-Blanc*..... 1537

— Voir *Blanc* (Mlle *Annette*).

ALIMEN (Mlle Henriette). — Age des gravures de la station rupestre de Marhouma (Sahara occidental). 191

ALLAIN (Yves). — Voir *Le Montagner (Serge)* et *divers*..... 1199

ALLIANCE FRANÇAISE. — Rapport du Secrétaire général sur la situation d'ensemble. Année 1951-1952 (imp.)..... 593

AMAT (Gilbert). — Voir *Grenier-Besson* (Mme *Marie-Louise*) et *divers*..... 1636

AMBROGGI (Robert). — L'Éocène marin de la vallée du Sous (Sud Marocain)..... 482

AMIOT (Pierre). — Voir *Bastien*

MM. Pages.

(*Paul*) et *Pierre Amiot*..... 1031
ANATOL (Jésus). — Synthèses dans la série des α-aminoacides aromatiques..... 249
ANCEL (Paul). — Essai de classification des substances chimiques électivement tératogènes..... 764
ANDERSON (J. Pamelia). — Voir *O'Keefe* (*John A.*) et *J. Pamelia Anderson*..... 1180
ANDRÉ (Émile) et Mlle Monique MAILLE. — Contribution à l'étude des substances insaponifiables des huiles de graines de Crucifères. 665
ANDRÉ (Émile) et Mlle Marie CARBOUÈRES. — Contribution à l'étude des substances sulfurées volatiles de quelques graines de Crucifères (choux fourragers).... 816
ANDREJEW (Anatole). — Voir *Rosenberg* (*Albert-Jean*) et *Anatole Andrejew*..... 1437
ANDRIEUX (Jean-Lucien). — Le prix L. La Caze de chimie lui est décerné..... 1576
— Adresse des remercîments..... 1589
ANTA (Mme Maria do Carmo) [Mme José SOUZA] et M. Moïse HAISSINSKY. — Formation et décomposition de l'eau oxygénée dans l'eau irradiée aux rayons α du polonium..... 170
ANTHONY (Jean). — Voir *Delattre* (*Antoine*) et *Jean Anthony*..... 1543
ARDIZIO (Pierre). — Voir *Naves* (*Yves-René*) et *Pierre Ardizio*... 579, 842
ARMAND (Marcel). — Sur les phases du système ternaire aluminium-fer-silicium..... 1506
ARON (Claude). — Voir *Aron* (*Max*) et *divers*..... 320
ARON (Max). Claude ARON et Jean MARESCAUX. — Influence de l'hypophysectomie sur l'hyperactivité réactionnelle de l'ovaire restant chez le Cobaye..... 320
ARRHENIUS (Olof). — Voir *Sveriges geologiska Undersökning*..... 767
ARVY (Mlle Lucie). — Particularités histologiques des centres leucopoiétiques thoraciques chez quelques Lépidoptères..... 1539
ARZELIÈS (Henri). — Sur la vitesse moyenne de l'énergie dans un milieu ionisé absorbant hétérogène de paramètres lentement variables. 421
— Sur l'équation différentielle des rayons électromagnétiques dans un milieu ionisé absorbant hétérogène de paramètres lentement variables. 1619
ASCHHEIM (Selmar). — Le prix Ernest Dechelle des sciences physiques lui est décerné..... 1581
ASSELINEAU (Mme Jean), née Cécile COLLIN. — Voir *Collin Asselineau* (Mme *Cécile*).
ASSENMACHER (Ivan). — Voir *Benoit* (*Jacques*) et *divers*.... 1547, 1695
ASSOCIATION CLAUDE BERNARD. — M. *Robert Courrier* est délégué dans le Conseil scientifique de cette Association..... 1588
ASSOCIATION INTERNATIONALE DU CINÉMA SCIENTIFIQUE. — Le film de recherche. Bulletin du Comité permanent du Film de Recherches, nº 1 (imp.)..... 1589
ASSOCIATION INTERNATIONALE POUR L'ÉTUDE DU QUATERNAIRE. — Voir *Congrès international de l'Association internationale pour l'étude du quaternaire*..... 1180
ATANASIJEVIĆ (Ivan). — Mesures du rayonnement de la Voie Lactée sur 255 Mc/s..... 130
ATOMIC ENERGY COMMISSION [U.S.A.]. — Neutron Cross Sections. A compilation of the AEC Neutron Cross Section Advisory group (imp.)..... 408
ATOMIC ENERGY SECTION (New York). — An international Bibliography on atomic energy. vol. 2. Scientific aspects. Supplément nº 1 (imp.)..... 1085
ATWOOD (Wallace). — Comme représentant de l'« Academy of sciences» de Washington et du « National Research Council » des États-Unis, écrit que le Service des Relations internationales est prêt à échanger avec l'Académie. toute correspondance utile au progrès des sciences..... 767
AUBERT (Jean-Paul). — Voir *Barry* (*Cormac*) et *divers*..... 1062
AUBERT (Jean-Paul), Gérard MILHAUD et Raymond GAVARD. — Étude préliminaire d'un système enzymatique bactérien oxydant le glucose en acide gluconique..... 1165
AUBERT-HUETZ (Mme Madeleine) [Mme Jacques HUETZ]. — Sur la réalisation d'une mesure du rapport des chaleurs spécifiques des gaz..... 25

MM. Pages.
— Sur une nouvelle méthode de mesure du rapport des chaleurs spécifiques des gaz..... 141
AUBRY (Jacques) et Gilbert MONNIER. — Méthode de dosage analytique de l'eau..... 1037
AUBRY (Jacques) et Fernand MARION. — Analyse quantitative de l'éponge de fer..... 1509
AUFRÈRE (L.). — De Thalès à Davis. Le relief et la sculpture de la Terre. (Auteurs, textes. doctrines, ambiances.) Tome IV. La fin du XVIIIe siècle. I. Soulavie et son secret. Un conflit entre l'actualisme et le créationisme. Le temps géomorphologique (imp.). 1464
AUGER (Pierre). — Obtient des suffrages au scrutin pour l'élection d'un Membre de la Section d'Astronomie, en remplacement de M. *Bernard Lyot*, décédé..... 1357
AURIOL (André). — Sur une nouvelle méthode pour déterminer en soufflerie les caractéristiques aérodynamiques des projectiles..... 701
AUSTERWEIL (Géza) et Mme Janine DELORT-STACHTCHENKO. — Élimination par échange d'ions d'impuretés indésirables dans l'acide glutamique..... 1252
AVIGNON (Mlle Yvette). — Voir *Morand* (*Max*) et *divers*..... 1639
AZAMBUJA (Lucien d'). — Pose sa candidature à la place vacante, dans la Section d'Astronomie, par la mort de M. *Bernard Lyot*..... 924
— Présenté en seconde ligne..... 1344
— Obtient des suffrages..... 1357

B

BADOCHE (Marius). — Voir *Delépine* (*Marcel*) et *Marius Badoche*. 1069, 1455
BAILLAUD (Jules). — Pose sa candidature à la place vacante, dans la Section d'Astronomie, par la mort de M. *Bernard Lyot*..... 489
— Présenté en première ligne..... 1344
— Élu..... 1357
BALDET (Fernand). — Pose sa candidature à la place vacante, dans la Section d'Astronomie, par la mort de M. *Bernard Lyot*..... 857
— Présenté en seconde ligne..... 1344
— Obtient des suffrages..... 1357
BALDET (Fernand) et Mlle G. de OBALDIA. — Observatoire de Paris. Section d'Astrophysique de Meudon : Catalogue général des orbites de comètes de l'an — 466 à 1952 (imp.)..... 857
BARAT (Hubert). — Étude sur le dépérissement des poivrières en Indochine (imp.)..... 999
BARBIER (Georges) et Mlle Edwige TYSKIEWICZ. — Agitation permanente des ions phosphoriques retenus par une argile de sol..... 1246
BARCHEWITZ (Pierre). — Voir *Grenier-Besson* (Mme *Marie-Louise*) et *divers*..... 1636
BARIÉTY (Maurice). — Le prix Roberge lui est décerné..... 1578
— Adresse des remercîments..... 1589
BARRAUD (Jean) et Mlle Claire PIERRÉE. — Anticathodes filiformes : application à la diffraction des rayons X par les cristaux.... 72
— *Erratum*..... 1068
BARRÉ (Roger) et Léopold FAVREAU. — Réduction de l'oxalate d'éthyle par l'hydrure de lithium-aluminium..... 1404
BARRILLON (Émile-Georges). — Rapport du prix Plumey..... 1575
BARRIOL (Jean). — Mécanique quantique. Préface de M. *Louis de Broglie* (imp.)..... 1180
BARRY (Cormac), Raymond GAVARD, Gérard MILHAUD et Jean-Paul AUBERT. — Sur le glycogène de *Bacillus megatherium*..... 1062
BARRY (Jean-P.). — Essai de cartographie parcellaire de la Commune de Boissières (Gard). (Introduction à l'étude de la Vaunage.) (imp.)..... 225
BASSET (Jacques). — Voir *Talwar* (*Gursaran Parshad*) et *divers*.... 393
BASTIEN (Paul). — Le prix Mme Victor Noury lui est décerné..... 1580
— Adresse des remercîments..... 1589
BASTIEN (Paul) et Pierre AMIOT.

MM. Pages.

— Mécanisme de l'action des solutions ionisées d'hydrogène sulfuré sur le fer et l'acier..... 1031

BAUER (Friedrich L.). — Tenseurs, dont les éléments sont des matrices de Dirac..... 793

BAYERISCHE AKADEMIE DER WISSENSCHAFTEN. — Deutsche geodätische Kommission. Reihe A : Höhere Geodäsie. Veröffentlichung, n° 1 (imp.)..... 7

BAZY (Louis). — Son élection est approuvée..... 557

BEAUCHAMP (Paul de). — Variation chez les Rotifères du genre *Brachionus*..... 1355

BEAUFILS (Mlle Yvonne), MM. Gaston GIBAULT et Geza KUNETZ. — Variations rapides dans les courants telluriques et le champ magnétique terrestre..... 198

BEAUJARD (Louis). — Sur un procédé permettant de s'affranchir des ondes parasites dans le sondage ultrasonoscopique des pièces métalliques..... 804

BEAUJARD (Louis) et Mlle Jacqueline TORDEUX. — Sur l'emploi du bisulfite de sodium comme réactif micrographique des aciers ferritiques..... 1304

BEAUJARD (Louis), Gaston COLLETTE et Léon JACQUÉ. — Sur un procédé d'étude des réactions entre gaz et solides. Application au système fer-carbone-hydrogène..... 1388

BÉCART (Maurice). — Voir *Roig (Jean)* et *Maurice Bécart*..... 1625

BEER (Gavin Rylands de). — Voir *De Beer (Sir Gavin Rylands)*.

BELGODÈRE (Paul). — Documentation mathématique, fascicules 16 à 21 (polycopie)..... 1180

— Id. n° 15 et 22 (polycopie)..... 1267

BELORIZKY (David). — Le prix Damoiseau lui est décerné..... 1574

— Adresse des remercîments..... 1589

BENEZECH (Christian). — Voir *Cristol (Paul)* et *divers*..... 1133

BENOIT (Jacques). — Une série de tirages à part concernant ses travaux d'histophysiologie (imp.)... 1085

BENOIT (Jacques) et Ivan ASSENMACHER. — Influences de lésions hautes et basses de l'infundibulum sur la gonadostimulation chez le Canard domestique..... 1547

MM. Pages.

BENOIT (Jacques), Ivan ASSENMACHER et Mlle Simone MANUEL. — Pénétration, variable selon la longueur d'onde, des radiations visibles jusqu'à l'hypothalamus et au rhinencéphale, à travers la région orbitaire, chez le Canard... 1695

BERDUCOU (Mlle Jeanne). — Le rôle de l'acide indol-β-acétique dans la formation des chancres parasitaires chez les végétaux..... 309

BERG (William D.) et Otton Martin NIKODYM. — Sur les ensembles convexes dans les espaces linéaires réels abstraits où aucune topologie n'est admise. I..... 1005

— Id. Corps convexes. II..... 1096

BERGEON (René), Stéphane ROBIN et Boris VODAR. — Théorie statistique de l'effet de la pression sur les raies spectrales..... 360

BERGER (Jacques). — Sur la classification de quelques groupes stellaires..... 234

BERGER (Jacques), Daniel CHALONGE, Mlles Lucienne DIVAN et Anne-Marie FRINGANT. — Mesure spectrophotométrique des rayons stellaires. Application à deux naines blanches..... 348

BERGER (Maurice). — Dimensions et unités..... 872

BERGER (Raoul). — Voir *Perrot (Roger)* et *Raoul Berger*..... 185

BERLAND (Lucien). — Le prix Jules Mahyer des sciences physiques lui est décerné..... 1580

BERNARD (Claude). — Voir *Association Claude Bernard.*

BERNARD (Michel). — De l'influence des phénomènes de surface sur la cinétique d'inflammation des propergols liquides..... 1646

BERNARD (Michel-Yves). — Aberration de sphéricité des lentilles à grilles..... 1115

BERNARD (René) et Émile PERNOUX. — Interprétation de la structure des images électroniques. 1488

BERNAS (René). — Voir *Faraggi* (Mme *Henriette*) et *divers*..... 425

BERTHIER (Pierre). — Voir *Dufay (Jean)* et *divers*..... 120, 1284

BERTHOD (Mme Henri), née Hélène ZABOROWSKI, MM. Marcel MAYOT et Henri MINEUR. — Étude numérique du mouvement séculaire de l'axe terrestre..... 232

MM. Pages.

BERTHOIS (Léopold). — Voir *Dangeard* (*Louis*) et *divers*..... 440

BERTRAND (Gabriel). — A propos de la lutte contre la décadence des cultures du Poivrier en Indochine et en Extrême-Orient..... 1262

— Délégué à la séance d'ouverture du deuxième Congrès international de Biochimie, à la Sorbonne, le 21 juillet 1952..... 7

— Réélu Membre des Commissions administratives..... 1357

— Rapport du prix Charles-Louis de Saulses de Freycinet..... 1580

BERTRAND (Gabriel) et Lazare SILBERSTEIN. — Nouvelles recherches sur la teneur en manganèse des Phanérogames..... 1458

BERTRAND (Ivan). — Voir *Guillain* (*Georges*) et *divers*..... 1073

BERTRAND (Ivan) et Mme Thérèse GAYET-HALLION. — Induction mitogénétique dans la thyroïde du Rat. Ajustement statistique des données par les distributions de Poisson et de Polya..... 214

BESAIRIE (Henri). — Sur la constitution du socle cristallin de Madagascar..... 456

BESSIS (Marcel). — Voir *Ponder* (*Éric*) et *divers*..... 96

BESSIS (Marcel), Michel BRICKA et Mme Janine BRETON-GORIUS. — Examen de la surface des érythrocytes falciformes au microscope électronique..... 1433

BÉVILLARD (Pierre). — Les réactions du germanium..... 880

BIBL (Klaus). — Phénomènes dynamiques dans les couches ionosphériques..... 734

BIETH (Robert). — Voir *Mandel* (*Paul*) et *Robert Bieth*..... 485

BIGAY (Joseph-Henri). — Voir *Dufay* (*Jean*) et *divers*..... 120, 1284

BILLET (Mlle Denise) et Mlle Christiane MARNAY. — Analogues structuraux de la chloromycétine. VI. Action bactériostatique de bases de Schiff apparentées au chloramphénicol..... 1706

BINET (Léon). — Délégué à la Cérémonie du Souvenir, organisée par la Fédération Nationale des Médecins du Front, à la Faculté de médecine de Paris, le 11 novembre 1952..... 923

— Rapports des prix Roberge, Bariot-Faynot, fondation Roy-Vaucouloux..... 1578

BINET (Léon), Maurice V. STRUMZA et Jacques LÉVY. — Effets d'une hypoxie modérée sur les facultés intellectuelles de l'Homme..... 219

BINET (Léon) et Mlle Michèle LEBLANC. — Le syndrome humoral de l'intoxication par l'amanite phalloïde..... 279

BINET (Léon), Pierre DESCLAUX, Henri CHANEAC et Mlle Michèle LEBLANC. — Étude histologique des organes glycorégulateurs après intoxication par l'Amanite phalloïde chez le Lapin. 405

BINET (Léon), Pierre DESCLAUX, Henri CHANÉAC et Mlle Jacqueline TEYSSEYRE. — Altérations histologiques encéphaliques chez le Lapin au cours de l'intoxication par l'Amanite phalloïde... 564

BINET (Léon), Pierre TANRET et Mlle Madeleine MARQUIS. — Sur la répartition de l'urée dans les liquides de l'organisme après dialyse péritonéale..... 1352

BINON (Fernand). — Voir *Hoi* (*N. P. Buu*) et *divers*..... 329

BINOVIC (Kurt). — Voir *Rothstein* (*Robert*) et *divers*..... 1171

BLADIER (Benjamin). — Voir *Labrouste* (Mme *Yvonne*) et M. *Benjamin Bladier*..... 898

BLANC (André). — Application du théorème de Thévenin aux problèmes de transmission de chaleur..... 136

BLANC (Mlle Annette). — Voir *Thomas* (*J.-André*) et Mlle *Annette Blanc*..... 318

— Voir *Alfsen-Blanc* (Mme *Annette*).

BLANC (Jean-Joseph). — L'évolution des éboulis littoraux de la Provence métamorphique (du Cap Sicié au Cap Nègre)..... 383

— Lithologie des formations marécageuses côtières du littoral provençal..... 730

— Observations sur l'action de la houle de Mistral en quelques points du littoral provençal..... 1142

BLAQUIÈRE (Augustin). — Spectre de puissance d'un oscillateur non linéaire à loi fréquence-amplitude, perturbé par le bruit..... 1201

BLARINGHEM (Louis). — Rapport du prix Vaillant des sciences physiques..... 1580

MM. Pages.

BLIN (Jean). — Voir *Walker (Christopher B.)* et *divers*..... 254
BLOT (Claude). — Voir *Lejay (Pierre)* et *divers*..... 1259
BLUM (Jacques-Marcel). — Sur une corrélation angulaire électron-électron..... 948
BOGOMOLOV (G. V.). — Assiste à une séance..... 845
BONÉT-MAURY (Paul) et André ERTAUD. — Les effets mortels du rayonnement total de la Pile Zoe sur la Souris..... 828
— Les composantes de l'action léthale sur la Souris, du rayonnement total d'une pile à uranium..... 909
BONFILS (Jacques). — Voir *Pasquier (Roger)* et *divers*..... 1157
BONNEMAY (Maurice), Helmy MAKRAM et Jean ROYON. — Contribution à l'étude de la diffusion des ions à travers les revêtements métalliques..... 955
BONNET (Mlle Arlette). — Voir *Faraggi* (Mme *Henriette*) et *divers*... 425
BORDET (Claude). — Sur l'interprétation, comme diapirs descendants, de certaines des bandes de terrains secondaires pincées dans les massifs cristallins externes des Alpes..... 732
BOREL (Émile). — Réélu Membre des Commissions administratives.... 1357
— Fait hommage de la première Partie des Œuvres d'*Élie Cartan*..... 1464
— Rapport du prix Carrière de mathématiques..... 1574
— Id. des prix Montyon de statistique, Henri de Parville d'ouvrages de sciences..... 1579
— Id. du prix Aimé Berthé des sciences mathématiques..... 1580
— Id. du prix Paul Gallet des sciences mathématiques..... 1581
— Voir *Conseil international des Unions scientifiques*..... 673, 990
BORELI (Mladen). — Sur l'influence d'un noyau partiel imperméable sur l'écoulement plan à travers une digue..... 646
— Sur l'utilisation d'un drain en amont d'un noyau imperméable dans une digue..... 785
BORGO (Vittorio dal). — Studio fisico dell' aorta normale e patologica, *in* Pontificiae Academiae scientiarum scripta varia, 10 (imp.) 1267
BOUCHER (Raymond). — Influence du rapport des débits d'air et de liquide sur la finesse des microbrouillards..... 1188
BOUCHET (Mlle Geneviève). — Voir *Décombe (Jean)* et Mlle *Geneviève Bouchet*..... 68
BOULADON (Jean). — Voir *Section d'études des gîtes minéraux du Service géologique du Maroc*.. 1576 1589
BOULANGER (Paul) et Roger OSTEUX. — Les produits de désamination des acides diaminés par la L-diamino-acide-déshydrogénase du foie de Dindon..... 524
BOULLÉ (André) et Robert JARY. — Déterminations cryoscopiques précises relatives aux méta- et polyphosphates alcalins..... 1029
BOUNHIOL (Jean-Jacques). — L'achèvement de la métamorphose et la mue imaginale seraient commandés par le cerveau à la fin de la vie larvaire chez *Bombyx mori* L..... 671
— Nature probablement sécrétoire du facteur cérébral conditionnant la mue imaginale de *Bombyx mori* L. 747
BOURDIER (Franck). — Voir *Depape (Georges)* et *Franck Bourdier*.... 1531
BOURDIER (Franck), Jean COMBIER et Henri GAUTHIER. — Présence du Renne dans des alluvions antéwürmiennes de la basse vallée de l'Isère..... 514
BOURIQUET (Robert). — Action de la mercaptoéthylamine et de la mercaptothiazoline sur quelques tissus végétaux cultivés *in vitro*.. 811
— *Erratum*..... 1174
BOURRAT (Jean), Georges CHAUDRON et Israël EPELBOIN. — Influence de l'oxygène en solution solide dans les fers de haute pureté sur certaines propriétés magnétiques dans les champs alternatifs faibles..... 1290
BOURRELLY (Pierre) et Émile MANGUIN. — Algues d'eau douce de la Guadeloupe et dépendances recueillies par la mission P. Allorge en 1936. Préface de M. *Roger Heim* (imp.)..... 767
BRELOT (Marcel). — Principe et problème de Dirichlet dans les espaces de Green..... 598
— Lignes de Green et problème de Dirichlet..... 1595
— Le prix Carrière de mathématiques

MM. Pages.

lui est décerné..... 1574
— Adresse des remercîments..... 1589
BRENET (JEAN). — Relation entre les caractéristiques électriques et géométriques d'une cellule électrochimique au bioxyde de manganèse..... 615
BRETON (Mme CLAUDE), née JANINE GORIUS. — Voir *Bessis (Marcel)* et *divers*..... 1433
BRICKA (MICHEL). — Voir *Bessis (Marcel)* et *divers*..... 1433
— Voir *Ponder (Éric)* et *divers*..... 96
BRIEN (PAUL). — Fixation et métamorphoses des larves de *Phylactolemates (Plumatella fungosa, Fredericella sultana)*..... 1435
BRIGANDO (Mlle JEANNE). — Réactions comparatives de l'arginine et de l'ammoniaque sur le chlorure cobalteux..... 370
BROGLIE (LOUIS DE). — Sur l'introduction des idées d'onde-pilote et de double solution dans la théorie de l'électron de Dirac..... 557
— Fait hommage : 1° d'un Ouvrage de M. *Jean Barriol* : « Mécanique quantique », dont il a écrit la Préface; 2° d'un fascicule : « William Ramsay and University College London », 1852-1952, par *Morris W. Travers*, publié à l'occasion du Centième anniversaire de la naissance de Sir *William Ramsay*. 1180
— Sur l'interprétation de la Mécanique ondulatoire des systèmes de corpuscules dans l'espace de configuration par la théorie de la double solution..... 1345
— La Mécanique ondulatoire des systèmes de particules de même nature et la théorie de la double solution..... 1453
— Délégué à la Remise de la Croix de guerre 1939-1945 à l'École Supérieure d'Électricité..... 767
— Membre du Conseil chargé de former le Comité national pour la préparation de l'année internationale géophysique et de l'opération internationale des Longitudes..... 1067
— Signale que le Conseil International des Unions scientifiques vient de créer un Bureau des Résumés analytiques (I. C. S. U. Abstracting Board)..... 1179
— Annonce que le tome 230 des « Comptes rendus » (1er semestre 1950) est en distribution au Secrétariat et dépose sur le Bureau le tome VIII des Œuvres de *Henri Poincaré*..... 1356
— Lecture des prix et subventions attribués en 1952..... 1574
— Rapport du prix Victor Thébault... 1574
— Id. des prix Gegner, d'Aumale..... 1580
— Dépose sur le Bureau l' « Annuaire pour l'an 1953 », publié par le *Bureau des Longitudes*..... 1587
BROGLIE (MAURICE DE). — Élu vice-président pour l'année 1953..... 1357
BUCKLE (Mme HELMUT), née CHARLOTTE BEILFUSS. — Voir *Poulignier (Jean)* et *divers*..... 718
BUCKLE (Mme CHARLOTTE), Mlle CHRISTIANE CHANGARNIER et M. JEAN CALVET. — Sur un réactif d'attaque révélant les hétérogénéités de concentration dans les alliages d'aluminium..... 1040
BUISSON (PAUL). — Voir *Charpentier (Paul)* et *divers*..... 59
BULARD (Mlle CAMILLE). — Culture aseptique d'embryons de *Ginkgo biloba* : Rôle des cotylédons dans l'absorption du sucre et la croissance de la tige..... 739
BULL (LUCIEN). — Dispositif optique pour la réception des images cinématographiques à haute fréquence. 1210
BÜRCK (Mlle JANINE). — Voir *Osteux (Roger)* et *divers*..... 554
BUREAU DES LONGITUDES. — Éphémérides nautiques ou Extraits de la Connaissance des Temps pour l'an 1953 (imp.).... 529
— Annuaire pour l'an 1953 (imp.).... 1587
BUREAU DES RÉSUMÉS ANALYTIQUES. — Voir *Broglie (Louis de)*..... 1179
BUREAU D'ÉTUDES GÉOLOGIQUES ET MINIÈRES COLONIALES. — Carte géologique internationale de l'Afrique. Feuilles 5, 6, 7, 8 et Notice explicative, par *Raymond Furon* et *G. Daumain* (imp.)..... 1085
BUSER (PIERRE). — Voir *Albe-Fessard* (Mme *Denise*) et M. *Pierre Buser*. 1688
BUSNEL (RENÉ-GUY). — Voir *Polonovski (Michel)* et *divers*..... 1703
BUSNEL (RENÉ-GUY) et DANIEL PICARD. — Rapports entre la longueur d'onde et l'oxydation de l'iodure de potassium par les ultrasons..... 1217
BUSNEL (RENÉ-GUY), JOVAN GLI-

MM. Pages.

GORIJEVIC, PAUL CHAUCHARD et Mme HENRIETTE MAZOUÉ. — Action des ultrasons de haute fréquence sur le système nerveux..... 1535
— Mise en évidence d'effets spécifiques non thermiques dans l'action nerveuse des ultrasons..... 1684
BUSSO (RAOUL-HENRI). — Voir *Prudhomme (Robert-Olivier)* et *Raoul-Henri Busso*..... 1486
BUYLE-BODIN (MAURICE). — Dispositif de détection de la résonance quadripolaire électrique... 292

C

CABANNES (HENRI). — Étude de la courbure au sommet d'une onde de choc attachée dans un écoulement plan non stationnaire..... 698
CABANNES (JEAN). — Rapport du prix Hughes..... 1575
CACCIOPPOLI (RENATO). — Sur une généralisation des fonctions analytiques et des familles normales. 116
— Sur une généralisation des fonctions analytiques..... 228
CACHON (JEAN). — Voir *Rose (Maurice)* et *Jean Cachon*..... 488
— Voir *Hollande (André)* et *Jean Cachon*..... 976
CAGLAR (KERIM ÖMER). — Les eaux minérales et les sources thermales de Turquie (en langue turque) (imp.)..... 408
CAHEN (GILBERT). — Étude topologique de certaines équations différentielles non linéaires..... 1003
— Perturbations des oscillateurs filtres. 1614
CAILLÈRE (Mlle SIMONNE) et M. FRANÇOIS KRAUT. — Sur la genèse des minerais oolithiques de Lorraine en rapport avec l'état du fer et sur l'utilité chronologique et spatiale de leur évolution..... 510
CAILLÈRE (Mlle SIMONNE) et M. JUAN GOÑI. — Étude minéralogique de quelques argiles dévoniennes de l'Uruguay central..... 1662
CAILLEUX (ROGER). — Voir *Heim (Roger)* et *Roger Cailleux*..... 1323
CAIRE (ANDRÉ). — Le soulèvement du Djebel Mansourah (département de Constantine)..... 1666
CALVET (JEAN). — Voir *Buckle* (Mme *Charlotte*) et *divers*..... 1040
CAMPBELL (ROBERT). — Équations intégrales et fonctions de Lamé.. 8
— Sommes de Fejer et moyennes de Césaro pour les développements d'une fonction en série de polynomes orthogonaux usuels..... 773
— Séries de polynomes orthogonaux se prêtant au calcul explicite des sommes de Fejer..... 1092
CAPDECOMME (LÉON). — Sur les phosphates alumineux de la région de Thiès (Sénégal)..... 187
CAQUOT (ALBERT). — Notice nécrologique sur M. *Ernest Vessiot*.... 917
— Id. sur M. *Louis Lapicque*..... 144
— Signale un déplacement de séance à l'occasion de la Fête Nationale. 5
— Souhaite la bienvenue à M. *Arne Tiselius*..... 277
— Id. à MM. *G. V. Bogomolov, N. P. Semenenko, I. P. Guerassimov* et *K. A. Vlasov*..... 845
— Annonce la mort de M. *Ernest Vessiot*..... 845
— Id. de M. *Sven Anders Hedin*..... 1345
— Signale un déplacement de séance en raison de la séance annuelle des prix de l'Académie des sciences morales et politiques..... 1345
— Annonce la mort de M. *Louis Lapicque*..... 1449
— Allocution prononcée en la séance annuelle des prix..... 1565
— Rapport du prix Henri de Parville de mécanique..... 1574
— Id. du prix Plumey..... 1575
— Id. du prix Mme Victor Noury..... 1580
CARBENAY (FERNAND). — Correspondance entre le niveau moyen des atmosphériques et le degré d'intelligibilité d'une liaison radioélectrique sur onde kilométrique. 423, 652
CARBOUÈRES (Mlle MARIE). — Voir *André (Émile)* et Mlle *Marie Carbouères*..... 816
CARLES (JULES), LOUIS SOUBIÈS,

MM. Pages.

ROGER GADET et PIERRE MAURY. — L'équilibre protidique du Blé..... 80

CARLES (JULES), LOUIS SOUBIÈS et ROGER GADET. — Optimum végétatif et différenciation dans la tige du Blé..... 1419

CARRIÈRE (PIERRE). — Nouvelle conception du tracé des tuyères supersoniques pour souffleries.... 697

CARTAN (ÉLIE). — Œuvres, 1re partie, vol. 1 et 2 (imp.)..... 1464

CASEL (EDGAR). — Observations nouvelles lors des sondages récents de Pechelbronn (Bas-Rhin)..... 1516

CASTELNUOVO (GUIDO). — M. *Joseph Pérès* est délégué à l'inauguration d'un médaillon à son effigie, à Rome, le 13 décembre 1952..... 1358

CATEIGNE (Mlle GENEVIÈVE). — Voir *Mollaret (Pierre)* et Mlle *Geneviève Cateigne*..... 269

CAUCHOIS (Mlle YVETTE). — Remarques préliminaires sur le spectre L, la bande de conductibilité et la couleur de l'argent..... 613

CAULLERY (MAURICE). — Annonce la mort de M. *Charles Pérez*..... 637

— Notice nécrologique sur *Charles Pérez*..... 637

— Rapport du prix Cuvier d'anatomie et zoologie..... 1577

— Voir *Hackspill (Louis)*..... 1267

CAVÉ (RENÉ). — Contrôle statistique par calibres modifiés d'efficacité optima..... 935

CERF (ROGER). — Sur la théorie de la déformation brownienne..... 876

— Sur la théorie de l'effet Maxwell : effet des fluctuations de forme de la molécule. Application à la détermination de la structure des acides nucléiques en solution..... 1394

CHABAUTY (CLAUDE). — Empilement de sphères égales dans R^n et valeur asymptotique de la constante γ_n d'Hermite..... 529

— Nouveaux résultats de Géométrie des nombres..... 567

CHABRIER (PIERRE). — Voir *Delaby (Raymond)* et *divers*..... 376, 1131

CHABRIER (PIERRE), Mlle SIMONE-HÉLÈNE RENARD et M. EDGARD RENIER. — Action de la cyanamide sur les thiamides et la thiourée..... 64

CHAFFOIS (JEAN), ANDRÉ FAUQUET et ANDRÉ MARTINOT-LA-

MM. Pages.

GARDE. — Sur les moments de roulis et de giration de quelques ailes d'avion munies de gouvernes à arêtes vives..... 345

CHAIGNEAU (Mme ROGER), née HENRIETTE ERHARD. — Voir *Levaditi (Constantin)* et *divers*... 450, 1562

CHALLANDE (RENÉ). — Voir *Pauthenier (Marcel)* et *René Challande*. 28, 1113

CHALONGE (DANIEL). — Voir *Berger (Jacques)* et *divers*..... 348

CHALONGE (DANIEL), PIERRE GUÉRIN et SALVATORE TAFFARA. — Sur la répartition de l'énergie dans les spectres continus des étoiles des premiers types spectraux..... 124

CHALVET (ODILON) et RAYMOND DAUDEL. — Calcul de l'énergie de l'état fondamental et du potentiel d'ionisation de certains ions, radicaux libres et molécules par la méthode des interactions de configuration. Évaluation de chaleurs d'activation de certaines réactions que donnent ces mêmes corps..... 960

CHAMBRE SYNDICALE DES CONSTRUCTEURS DE COMPTEURS. — Compteurs et appareils électriques et électroniques de mesure de fabrication française (imp.)... 646

CHAMPAGNAT (PAUL). — Les départs de bourgeons axillaires sur la partie moyenne des pousses. Étude d'une plante herbacée : *Cicer arietinum* L. Comparaison avec les « rameaux anticipés » des végétaux ligneux.. 389

— Les levées d'inhibition de la base des pousses de *Cicer arietinum* L. 630

CHANEAC (HENRI). — Voir *Binet (Léon)* et *divers*..... 405, 564

CHANGARNIER (Mlle CHRISTIANE). — Voir *Buckle* (Mme *Charlotte*) et *divers*..... 1040

CHANSON (PAUL), PIERRE TREILLE, TERRENCE PRICE et DAVID WEST. — Vérification expérimentale des théories de l'ionisation produite dans les gaz par des mésons de grande énergie..... 1500

CHAPIRO (ADOLPHE). — Voir *Corval* (Mme *Madeleine*) et *divers*..... 799

CHARPENTIER (PAUL), PAUL GAILLIOT, ROBERT JACOB, JACQUES GAUDECHON et PAUL BUISSON. — Recherches sur les diméthylaminopropyl-N phénothiazines

MM. Pages.

substituées..... 59
CHARRUEAU (André). — Formules matricielles relatives aux complexes linéaires et aux faisceaux de complexes linéaires..... 860, 931
— *Erratum* relatif à la première de ces communications..... 1068
CHASSIGNEUX (André). — Voir *Ramon* (*Gaston*) et *divers*..... 111
CHAUCHARD (Paul). — Voir *Busnel* (*René-Guy*) et *divers*..... 1535, 1684
CHAUDRON (Georges). — Voir *Bourrat* (*Jean*) et *divers*..... 1290
— Voir *Montariol* (*Frédéric*) et *divers*.. 477
CHAUVEAU (Jean). — Nouvelle méthode d'isolement des noyaux cellulaires..... 902
CHAUVEAU (Jean) et LE VAN HUNG. — Étude de la localisation du système enzymatique acétylant dans la cellule hépatique..... 1248
CHAZY (Jean). — Fait hommage de la quatrième édition de son Ouvrage : « Cours de Mécanique rationnelle. Tome I. Dynamique du point matériel »..... 645
— Délégué à l'inauguration d'un médaillon de *Joseph Fourier*, à Auxerre..... 7, 502
— Présente de la part de M. *Jules Haag*, un livre qu'il vient de publier sur les « Mouvements vibratoires » à un degré de liberté. 1084
— Rapport du prix Damoiseau..... 1574
CHEVALIER (Auguste). — La situation des cultures fruitières au Maroc en 1952..... 109
— L'abbé Antoine Le Gendre (1590-1665) est-il l'inventeur de la culture des arbres fruitiers en espalier. 277
— Fait hommage de deux publications : 1° « Le Tabac », avec *H. F. Emmanuel*, traduction en japonais; 2° « La Revue internationale de botanique appliquée et d'agriculture tropicale », n° 357-358..... 674
— Les mesures à prendre pour réagir contre la décadence de la culture du Poivrier en Indochine (au Cambodge et dans la Cochinchine austro-occidentale)..... 993
— Fait hommage d'un Mémoire : « Le Poivrier et sa culture en Indochine », paru en 1925 et présente un Ouvrage de M. *Hubert Barat*.. 999
— Délégué au Centenaire de la Société des Sciences naturelles et mathématiques de Cherbourg, en octobre 1952..... 529
— Souhaite la bienvenue à MM. *Manne Siegbahn*, *E. T. Jones* et *A. S. Hartshorn*..... 673
— Id. à M. *Baptista Vinelli*..... 753
— Voir *Union Radioscientifique internationale*..... 753
CHEYMOL (Jean), Raymond DELABY, Henri NAJER et Mlle Yvonne GAY. — Étude pharmacodynamique de quelques dérivés de la carbamoylcholine..... 1711
CHIGHIZOLA (Mlle Renée). — Voir *Mouriquand* (*Georges*) et *divers*.. 855
CHOPIN (Jean). — Voir *Raoul* (*Yves*) et *divers*..... 1439, 1704
CHOUBERT (Georges). — Voir *Mortelmans* (*Georges*) et *divers*..... 1680
CHRÉTIEN (Henri). — Présenté en troisième ligne pour la place vacante, dans la Section d'Astronomie, par la mort de M. *Bernard Lyot*..... 1344
CHRISTOL (Henri). — Voir *Mousseron* (*Max*) et *divers*..... 57
CIRCOLO MATEMATICO DI PALERMO. — Rendiconti. Série II. Tomo I. Anno 1952, fasc. 1 (imp.)..... 225
CLARION (Mlle Claire). — Régime transitoire dans une conduite forcée munie d'une cheminée d'équilibre, après la fermeture rapide, d'une vanne placée immédiatement à l'aval de la cheminée. 17
— Voir *Valensi* (*Jacques*) et Mlle *Claire Clarion*..... 1097
CLAUDE (Georges). — Sur l'utilisation d'eaux souterraines au-dessus de la température critique. 1148
CLAUDE (Maurice). — Sur quelques matériaux poreux réalisés par frittage sans pression..... 172
CLAUSSE (Josanne). — Voir *Fabiani* (*Georges*) et *divers*..... 274
CLUZEL (Roger) et Paul CORDIER. — Synthèse et hydrogénation des acides dibenzylidène et dianisylidène succiniques..... 622
COHEN (Eckford). — Sur les congruences du deuxième degré dans les corps algébriques..... 1358
COHEN (René), Eugène COTTON et Antoine LÉVÊQUE. — Mesure du rapport des sections efficaces de fission par neutrons thermiques de ^{239}Pu et de l'uranium naturel. II..... 159

MM. Pages.

COJAN (Jean-Louis). — Voir *Lennuier (Robert)* et *Jean-Louis Cojan*.... 1634

COLLET (André). — Voir *Policard (Albert)* et *divers*..... 224, 680, 1462

COLLET (Luc-Henry) et Mlle Marie-Christine POMMIER. — Sur l'existence d'une discontinuité de polarisation cathodique du platine dans l'électrolyse des solutions acides diluées..... 1033

COLLETTE (Gaston). — Voir *Beaujard (Louis)* et *divers*..... 1388

COLLIN-ASSELINEAU (Mme Cécile) [Mme Jean ASSELINEAU]. — Sur la cyclisation du β-hydroxy-farnésyl-acétate d'éthyle..... 634

COLLINGWOOD (Edward F.). — Conditions suffisantes pour l'inversion de la seconde inégalité fondamentale de la théorie des fonctions méromorphes..... 1182

— Relation entre la distribution des valeurs multiples d'une fonction méromorphe et la ramification de sa surface de Riemann..... 1267

COLOMBANI (Antoine) et Marcel GOURCEAUX. — Sur la résistance apparente en haute fréquence d'une couche conductrice de largeur finie parallèle à un plan conducteur indéfini. Champ antagoniste et courants induits..... 605

— Sur les courants induits produits dans une plaque conductrice de grande largeur par une nappe plane de *faible largeur* parcourue par un courant de haute fréquence. Formules approchées donnant les variations de résistance et de self de l'inducteur..... 650

COLOMBO (Serge). — Sur une équation intégrodifférentielle non linéaire..... 857

— Sur les équations intégrales de Volterra à noyaux logarithmiques... 928

COLONGE (Jean) et René GELIN. — Sur les dialcoyl (γ) chloro-propynylcarbinols..... 577

COLONNA-CÉSARI (Xavier). — Voir *Pasquier (Roger)* et *divers*..... 1157

COLONNETTI (Gustavo). — De la valeur du coefficient de Poisson dans les phénomènes élasto-plastiques..... 1460

COMBES (Raoul). — Membre du Conseil chargé de former le Comité national pour la préparation de l'année internationale géophysique et de l'opération internationale des Longitudes..... 1067

COMBIER (Jean). — Voir *Bourdier (Franck)* et *divers*..... 514

COMITÉ DES TRAVAUX HISTORIQUES ET SCIENTIFIQUES. — Soixante-dix-huitième Congrès des Sociétés Savantes de Paris et des Départements, à Toulouse, 1953 (imp.)..... 1180

COMITÉ INTERNATIONAL DU CHAUFFAGE INDUSTRIEL. — M. le Président est délégué, ès qualité, dans ce Comité..... 408

COMITÉ NATIONAL POUR LA PRÉPARATION DE L'ANNÉE INTERNATIONALE GÉOPHYSIQUE ET DE L'OPÉRATION INTERNATIONALE DES LONGITUDES DE 1957-1958. — M. *Pierre Lejay* informe l'Académie que le Conseil international des Unions scientifiques a exprimé le vœu que ce Comité soit constitué, dans chaque pays adhérent. Sur sa proposition, l'Académie constitue un Conseil qui formera ce Comité. Sont nommés MM. *Charles Maurain, Louis de Broglie, Gaston Fayet, Georges Durand-Viel, Pierre Lejay, Donatien Cot, Raoul Combes, André Danjon, Gaston Dupouy*... 1067

COMMISSIE VOOR HYDROLOGISCH ONDERZOEK T. N. O. (La Haye). — Verslagen technische bijeenkomsten, 1-6 (imp.)..... 1358

COMOLET (Raymond). — Écoulement radial d'un fluide compressible visqueux entre deux plans parallèles..... 1190

— Étude expérimentale d'un écoulement radial de fluide visqueux entre deux plans parallèles..... 1369

CONGRÈS DES SOCIÉTÉS SAVANTES. — Voir *Comité des travaux historiques et scientifiques*. 1180

CONGRÈS INTERNATIONAL DE BIOCHIMIE. — M. *Gabriel Bertrand* est délégué à la séance d'ouverture du deuxième Congrès, à la Sorbonne, le 21 juillet 1952... 7

CONGRÈS INTERNATIONAL DE CHIMIE PURE ET APPLIQUÉE. — L'Académie est informée de la réunion du treizième Congrès et de la dix-septième Conférence de l'Union internationale de Chimie pure et appliquée, à Stockholm, du 21 juillet

MM. Pages.

au 4 août 1953, et à Uppsala, du 5 au 7 août 1953..... 225

CONGRÈS INTERNATIONAL DE L'ASSOCIATION INTERNATIONALE POUR L'ÉTUDE DU QUATERNAIRE. — M. *Charles Jacob* est délégué au quatrième Congrès, à Rome et à Pise, du 10 août au 10 septembre 1953... 1180

CONGRÈS INTERNATIONAL DE MÉDECINE ET DE PHARMACIE MILITAIRES. — Treizième Congrès, Paris, 17-23 juin 1951. Tome II. Compte rendu général. Discussion des Rapports. Communications (imp.)..... 489

CONGRÈS INTERNATIONAL DE MICROBIOLOGIE. — L'Académie est informée de la réunion à Rome, du 6 au 12 septembre 1953, du sixième Congrès..... 114

CONGRÈS INTERNATIONAL DE RADIOLOGIE. — L'Académie est invitée au septième Congrès à Copenhague, du 19 au 25 juillet 1953..... 566

— M. *Antoine Lacassagne* y est délégué. 645

CONGRÈS SCIENTIFIQUE DU PACIFIQUE. — Le Comité d'Organisation du huitième Congrès invite l'Académie à se faire représenter à ce Congrès, à l'Université des Philippines, Quezon City, du 16 au 28 novembre 1953..... 1588

— Proceedings of the Seventh Pacific Science Congress of the Pacific Science Association. Vol. 3. Meteorology and Oceanography (imp.)..... 1589

CONGRÈS SÉRICICOLES INTERNATIONAUX [Commission permanente]. — Revue du Ver à Soie, vol. I, t. 1, 2; vol. II, t. 1, 3; vol. III, t. 1, 4, supplément; vol. IV, t. 1 (imp.)..... 338

CONJEAUD (Pierre). — Étude par diffraction électronique de l'évolution de films minces d'antimoine, arsenic, bismuth, obtenus par vaporisation thermique dans le corps même du diffracteur.... 1213

CONSEIL INTERNATIONAL DES UNIONS SCIENTIFIQUES. — Commission mixte de l'Ionosphère. Compte rendu de la deuxième réunion tenue à Bruxelles, du 4 au 6 septembre 1950 (imp.)..... 593

— Report of the executive Committee, 1951 (imp.)..... 646

MM. Pages.

— M. *Émile Borel* rend compte de l'Assemblée général de ce Conseil à Amsterdam en octobre 1952. La France sera représentée dorénavant dans le Bureau par M. *Joseph Pérès*..... 673

— *Erratum*..... 990

— Voir *Broglie (Louis de)*..... 1179

— Voir *Comité national pour la préparation de l'année internationale géophysique*..... 1067

— Voir *National Academy of sciences* et *National Research Council*..... 1358

CONSIGLIO NAZIONALE DELLE RICERCHE. — 2ª giornata della scienza indetta dal C. N. R. in occasione della 30 fiera di Milano. Convegno sulle difese del Suolo e le sistemazioni fluviali e montane (imp.)..... 1180

CORDIER (Paul). — Voir *Cluzel (Roger)* et *Paul Cordier*..... 622

CORLISS (John O.). — Le cycle autogamique de *Tetrahymena rostrata*. 399

CORNUET (Pierre). — Sur l'extraction et l'inoculation par voie mécanique de certains virus affectant les Fraisiers..... 271

CORSIN (Paul). — Études des gîtes minéraux de la France. Bassin houiller de la Sarre et de la Lorraine. I. Flore fossile. 4e fascicule. Pécoptéridées. Texte et planches (imp.)..... 1589

CORVAL (Mme Jacques), née Madeleine LAURENT, MM. Adolphe CHAPIRO et Charles COUSIN. — Sur une méthode de dosage chimique des rayons γ en présence de neutrons lents..... 799

COSTA DE BEAUREGARD (Olivier). — Relation entre le principe des potentiels retardés et le second principe de la thermodynamique. 1193

COT (Donatien). — Membre du Conseil chargé de former le Comité national pour la préparation de l'année internationale géophysique et de l'opération internationale des Longitudes..... 1067

COTTE (Maurice). — Sur une correspondance symbolique approchée. 134

COTTIN (Maurice), Moïse HAÏSSINSKY et Mme Catherine VERMEIL. — Oxydation radiochimique du sulfate ferreux en présence d'hydrocarbures et d'alcools. 542

COTTON (Eugène). — Voir *Cohen (René)* et *divers*..... 159

MM. Pages.

COUCHET (Georges). — L'émission électronique secondaire de quelques métaux sous l'impact d'ions positifs de lithium..... 944
COUDER (André). — Application d'une déformation thermique intentionnelle à l'exécution d'une surface parabolique..... 491
— La médaille Janssen lui est décernée. 1574
— Adresse des remercîments..... 1589

— Présenté en troisième ligne pour la place vacante, dans la Section d'Astronomie, par la mort de M. *Bernard Lyot*..... 1344
— Obtient des suffrages..... 1357
COUFFIGNAL (Louis). — Le prix Victor Thébault lui est décerné... 1574
COUILLAUD (Mlle Édith). — De l'influence du milieu sur la résistance mécanique des liens chirurgicaux..... 331
COULON (Jean). — Tracé d'un diagramme circulaire universel, applicable à certains systèmes radioélectriques..... 608
COURRIER (Robert). — Lit une Notice sur la vie et les travaux de *Lucien Cuénot* (1866-1951).... 1582

— Rapport du prix Montyon de physiologie..... 1578
— Id. de la fondation Loutreuil..... 1582
— Délégué dans le Conseil scientifique de l'Association Claude Bernard. 1588
COURS (Gilbert). — Le prix Foulon de botanique lui est décerné..... 1577
COURSAGET (Jean), Pierre GROS et Michel MACHEBŒUF. — Variation de la vitesse de dégradation des γ-globulines sériques avec la durée de leur présence dans l'organisme..... 448
COURTY (Clément). — Charbons activés (adsorption des gaz et des vapeurs). Préface de M. *Jacques Duclaux* (imp.)..... 645
COUSIN (Charles). — Voir *Corval* (Mme *Madeleine*) et *divers*..... 799

MM. Pages.

COUTEAUX (René) et Jacques TAXI. — Distribution de l'activité cholinestérasique au niveau de la synapse myoneurale..... 434
CRASTES DE PAULET (André). — Voir *Cristol* (*Paul*) et *divers*..... 1133
CREAC'H (Paul). — Sur la présence d'acide citrique dans les Algues marines..... 1043
CRESP (Jean). — Régénération de parties du corps chez l'Annélide *Hydroïdes norvegica* (Gunn.)..... 1553
CRÉTÉ (Pierre). — Embryogénie des Liliacées. Développement de l'embryon chez le *Scilla autumnalis* L. 313
— Id. chez le *Gasteria verrucosa* Duval. 1421
CRETIN (André). — Parallèle entre les éléments anatomiques normaux et pathologiques de la maladie rhumatismale..... 1447
CRISTOL (Paul), Christian BENEZECH et André CRASTES DE PAULET. — Sur la désamination des acides *o*-*m*-*p*-aminobenzoïques et de l'acide *p*-aminosalicylique (2-hydroxy-4-aminobenzoïque) par l'acide nitreux selon D.-D. van Slyke..... 1133
CROSON (Mme François), née Madeleine GIRARDOT. — Voir *Lemoigne* (*Maurice*) et Mme *Madeleine Croson*..... 1075
CUEILLERON (Jean) et Claude PASCAUD. — Propriétés chimiques des alliages titane-aluminium.... 1220
CUÉNOT (Lucien). — M. *Robert Courrier* lit une notice sur sa vie et ses travaux..... 1582
CÜER (Pierre). — Le prix Gegner lui est décerné..... 1580
— Adresse des remercîments..... 1589
CURIE (Daniel). — Sur une image simple des phénomènes de fission nucléaire..... 1286
CURIEN (Mme Hubert), née Perrine DUMÉZIL. — Voir *Dumézil-Curien* (Mme *Perrine*).

D

DAMIENS (Robert). — Sur quelques propriétés du β-chloroéthyl-14 dinaphtopyranne..... 1228
DANGEARD (Louis), Léopold BERTHOIS et Claude PAREYN. — Sur le Trias silicifié et barytinifère de La Pernelle (Manche)..... 440
DANGEARD (Louis) et André LETULLIER. — Sur l'âge du « Calcaire des Vaux » (Orne)..... 481

MM. Pages.

DANGEARD (Pierre). — Sur un genre nouveau d'Ulvacées : *Rhizenteron* nov. gen..... 1265

DÄNIKEN (Karl von). — Voir *Funke* (*Albert*) et *divers*..... 1709

DANJON (André). — Fait hommage d'un Ouvrage : « Astronomie générale. Astronomie sphérique et éléments de Mécanique céleste ».. 1180

— Présente un Ouvrage de *Fernand Baldet* et Mlle *G. de Obaldia*..... 857

— Membre du Conseil chargé de former le Comité national pour la préparation de l'année internationale géophysique et de l'opération internationale des Longitudes..... 1067

— Rapport du prix J.-C. Janssen..... 1574

— Voir *Union astronomique internationale*..... 673

DARCHEN (Roger). — Régulation sociale et écartement des rayons chez les Abeilles..... 820

DARGENT (Roger). — Voir *Fert* (*Charles*) et *Roger Dargent*..... 1623

DARPOUX (Hermon). — Voir *Faivre-Amiot* (*Albert*) et *divers*.... 912, 982

DARRIEUS (Georges). — Délégué à la Remise de la Croix de guerre 1939-1945 à l'École Supérieure d'Électricité..... 767

DASTE (Philippe). — Voir *Vindard* (Mlle *Georgette*) et *divers*..... 1048

DÄTWYLER (Gottfried). — Applications nouvelles de l'anémomètre à fil chaud..... 1101

DAT XUONG (Nguyen). — Voir *Xuong* (*Nguyen Dat*).

DAUDEL (Raymond). — Remarques sur quelques notions de chimie théorique envisagées du point de vue géométrique..... 50

— Remarque sur le rôle de l'indiscernabilité des électrons en chimie théorique..... 886

— Sur la classification géométrique des liaisons chimiques. Définition géométrique des fonctions chimiques. 1035

— Sur la signification de la notion de couche. Fondement théorique du modèle quasi atomique du noyau. 1375

— Voir *Chalvet* (*Odilon*) et *Raymond Daudel*..... 960

DAUDIN (Jean). — Voir *Rochet* (Mlle *Geneviève*) et M. *Jean Daudin*.... 1121

DAUMAIN (G.). — Voir *Furon* (*Raymond*) et *G. Daumain*..... 1085

DAUTRY (Jean). — Surfaces d'aplanissement tertiaires de forme alvéolaire dans la partie septentrionale du Massif Central français..... 1318

— Sur la signification des lacs dans la morphogenèse des Combrailles... 1412

DAUVILLIER (Alexandre). — Observation du champ électrique atmosphérique à Khartoum durant l'éclipse totale de Soleil du 25 février 1952..... 852

— Sur la cosmogonie du système solaire..... 1081

DAVID (Pierre). — Les filtres électriques. Généralités. 3e édition (imp.)..... 646

DAVID (Roger) et Jack MASQUELIER. — La localisation des composés catéchiques phloroglucidiques dans les organes végétatifs du Pin maritime..... 1325

DAVIN (Marcel). — Sur la stabilité et la courbe intrinsèque..... 691

DAVIS (Mme E. Allan), née Anne C. DAVIS. — Sur l'équation $\xi^n = \alpha$ pour des types d'ordre..... 924

DAVIS (Mme Anne C.) et M. Waclaw SIERPIŃSKI. — Sur les types d'ordre distincts dont les carrés sont égaux..... 850

DAVIS (Jefferson W.). — Contribution à l'étude des peptides de la dl-valine (II)..... 180

DAWYDOFF (Constantin). — Archiannélides des mers indochinoises..... 5

DE BEER (Gavin Rylands). — Élu Correspondant pour la Section d'Anatomie et Zoologie, en remplacement de M. *Theodor Mortensen*, décédé..... 1084

— Voir *Royal Society*..... 681

DEBYSER (Jacques). — Observations sur le milieu anaérobie de la lagune Ébrié (Côte-d'Ivoire).... 1238

DECAUX (Bernard). — Récents progrès au département « fréquences » du Laboratoire national de Radioélectricité (imp.)..... 282

DECHASEAUX (Mlle Colette). — Voir *Jacob* (*Charles*)..... 923

DÉCOMBE (Jean) et Mlle Geneviève BOUCHET. — Sur quelques colorants azoïques dérivés de l'hydroxy-4 quinaldine..... 68

DE DONDER (Théophile). — Le rôle des liaisons de solidité en relativité générale..... 347

DEFRETIN (René). — Aspects de neurosécrétion chez *Nereis irro-*

MM. Pages.

rata Malmgren..... 100

DEHALU (Marcel). — Adresse une Notice : « Augustin Delporte »... 1587

DEHEUVELS (René). — Anneau différentiel à filtration réelle..... 778

— L'anneau local d'un anneau différentiel à filtration réelle; ses relations avec l'anneau d'homologie.. 858

— Invariants topologiques d'une fonctionnelle semi-continue inférieurement sur un espace localement compact..... 929

— Calcul des variations et cohomologie singulière..... 1270

DÉJARDIN (Georges), Joseph JANIN et Maurice PEYRON. — Analyse de certaines bandes de vibration-rotation de la molécule OH..... 538

DELABY (Raymond). — Voir *Cheymol (Jean)* et *divers*..... 1711

DELABY (Raymond), Pierre CHABRIER et Henry NAJER. — Sur les polyméthylène *bis*-carbamates de β-hydroxyéthyle et leurs dérivés..... 376

— Sur des *bis*-oxazolidones dérivées de biacides acycliques..... 1131

DELAMARE-DEBOUTTEVILLE (Claude) et Renaud PAULIAN. — Faune des nids et des terriers en Basse Côte-d'Ivoire (imp.).... 1357

DELARUE (Jacques). — Le prix Bariot-Faynot lui est décerné... 1578

— Adresse des remercîments..... 1589

DELATTRE (Antoine) et Jean ANTHONY. — Le rôle de l'angle palato-vestibulaire dans l'utilisation de la méthode vestibulaire.. 1543

DELCROIX (Jean-Loup). — Le magnétron en régime statique de coupure : étude expérimentale. II. Influence de l'inclinaison du champ magnétique sur l'axe du magnétron..... 1018

DELÉPINE (Marcel). — Rapports des prix Marguerite de La Charlonie de chimie, Émile Jungfleisch..... 1576

DELÉPINE (Marcel) et Marius BADOCHE. — Oxydation du *d*-méthoéthylheptanonolide par l'acide nitrique..... 1069

— Sur l'acide homoterpénylique..... 1455

DELMAS (Mlle Liliane). — Voir *Guérillot (Jean)* et *divers*..... 1295

DELOBEAU (François). — La stratification $F_{1,5}$ à Dakar et le mouvement du Soleil..... 1673

MM. Pages.

DELOR (Mlle Jacqueline). — Voir *Rothstein (Robert)* et *divers*..... 1171

DELORT-STACHTCHENKO (Mme Janine) [Mme Stéphane STACHTCHENKO]. — Voir *Austerweil (Géza)* et Mme *Janine Delort-Stachtchenko*..... 1252

DELPORTE (Augustin). — Augustin Delporte, par *Marcel Dehalu* (imp.)..... 1587

DELWAULLE (Mlle Marie-Louise) et M. Jacques VAN HEEMS. — Détermination de l'isotherme de solubilité (13°) pour le système bromure mercurique, bromure de baryum et eau. Étude de l'indice de réfraction et de la dispersion des solutions..... 161

DEMARTEAU (Mlle Hélène) et M. Edgar LEDERER. — Sur un acide mycolonique (nouveau type d'acide mycolique) isolé d'une souche bovine de *Mycobacterium tuberculosis*..... 265

DEMERS (Pierre). — La dissymétrie de la fission et le modèle de la goutte..... 1637

DEMERS (Pierre) et Mlle Zofia LECHNO WASIUTYNSKA. — Rayons δ de faible énergie dus aux rayons α et aux protons..... 474

DEMOLON (Albert). — Membre de la Commission de la fièvre aphteuse..... 404

DEMOLON (Albert) et Stéphane HÉNIN. — Sur la capacité de production des sols..... 847

DENIVELLE (Léon) et Roland FORT. — Les esters aromatiques de l'acide hypochloreux..... 1514

— Hypochlorites d'aryle et chlorocyclohexadiène-1.4 ones-3..... 1658

DENJOY (Arnaud). — Les nodales des suites régulières..... 501

— Délégué à l'inauguration d'un médaillon de *Joseph Fourier* à Auxerre, le 9 novembre 1952.... 502

— Rend compte de cette cérémonie... 1069

DEPAPE (Georges) et Franck BOURDIER. — La flore interglaciaire à *Rhododendron ponticum* L. de Barraux dans la vallée de l'Isère, entre Grenoble et Chambéry..... 1531

DEPASSEL (Roger). — Essai d'interprétation de quelques phénomènes observés dans l'écoulement supersonique autour d'un dièdre. 786

DEPIERRE (Mlle France) et M. Al-

MM. Pages.

BERT FUNKE. — Relations entre la structure des dihalogénométhylates de *bis*-(aminophénoxy) alcanes et arylalcanes et leur action sur la transmission neuromusculaire..... 267

DEPOID (PIERRE). — Le prix Montyon de statistique lui est décerné. 1579

— Adresse des remercîments..... 1589

DERRIEN (YVES). — Un prix Jean Dagnan-Bouveret lui est décerné. 1578

DERVICHIAN (DIKRAN G.), GÉRARD FOURNET, ANDRÉ GUINIER et ÉRIC PONDER. — Organisation submicroscopique des hématies contenant des hémoglobines anormales..... 324

DESCLAUX (PIERRE). — Voir *Binet (Léon)* et *divers*..... 405, 564

DES CLOIZEAUX (JACQUES LEGRAND). — Voir *Aigrain (Pierre)* et *divers*..... 145

DESPREZ (ROGER). — Voir *Morand (Max)* et *divers*..... 1639

DESPREZ (Mme ROGER), née SIMONE REBAUD. — Sur le rapport du nombre de mésons au nombre de particules lourdes enregistrées dans des émulsions nucléaires exposées au Puy-de-Dôme..... 1386

— Voir *Morand (Max)* et Mme *Simone Desprez-Rebaud*..... 294

DESPUJOLS (JACQUES). — Monochromateur pour rayons X à foyer ponctuel..... 716

DESSENS (HENRI). — Le prix Saintour des sciences mathématiques lui est décerné..... 1580

— Adresse des remercîments..... 1589

— Sur la microstructure et la précipitation artificielle d'un brouillard surfondu..... 1675

DÉVÉ (MAX) et RAYMOND FAURE. — Navigation aérienne astronomique (imp.)..... 1085

DEVIENNE (F. MARCEL). — Condensation et adsorption des molécules sur une surface en atmosphère raréfiée (imp.)..... 566

DEYHIMI (SOLEYMAN). — Le prix Foulon d'économie rurale lui est décerné..... 1577

DEYSSON (GUY). — Fixation et coloration extemporanée du chondriome à l'aide d'un réactif à l'orcéine trichloracétique..... 1529

DIAMENT (Mme MAURICE), née MARTHE CHIMOURIEZ, M. ERNEST KAHANE et Mlle JEANNE LÉVY.

MM. Pages.

— Sur les esters hydrosolubles de la choline. La glycérylphosphorylcholine..... 1058

DIEUDONNÉ (JEAN). — Le prix Leonard Eugene Dickson lui est décerné..... 1574

DIEUZEIDE (RENÉ). — Voir *Grangaud (René)* et *divers*..... 213

DIVAN (Mlle LUCIENNE). — Étude de deux étoiles très rougies dans le Sagittaire..... 126

— Comparaison des lois de variation de l'absorption interstellaire avec la longueur d'onde dans trois régions différentes de la Galaxie.. 410

— Voir *Berger (Jacques)* et *divers*..... 348

DIZER (MUAMMER). — Étude des films cinématographiques de la chromosphère solaire au bord du disque..... 1016

DŒHLER (OSKAR). — Voir *Guénard (Pierre)* et *divers*..... 32, 236

— Voir *Leblond (André)* et *divers*..... 1494

— Voir *Warnecke (Robert)* et *divers*.. 470, 493, 751

DOLLFUS (AUDOUIN). — La courbe de polarisation de la Terre et la nature du sol lunaire..... 1013

— Un micromètre à double image permettant un grand dédoublement..... 1477

DONITCH (NICOLAS). — Observations de la lumière zodiacale au cours des hivers 1946-1947 et 1947-1948 à Tamanrasset (Hoggar)..... 412

DOUARD (Mlle THÉRÈSE). — Voir *Grangaud (René)* et *divers*..... 213

DOUCET (YVES). — Activité et stabilité du complexe antimoniotartrate de potassium..... 475

DOUMERC (JEAN). — Voir *Faraggi* (Mme *Henriette*) et *divers*..... 714

DOUSTE-BLAZY (LOUIS), JACQUES POLONOVSKI et PAUL VALDIGUIE. — Fractionnement des lipides par chromatographie de partage à contre-courant sur papier..... 1643

DREYFUS (JEAN-CLAUDE). — Voir *Schapira (Georges)* et *Claude Dreyfus*..... 1580

DREYFUS-ALAIN (BERTRAND). — Étude radiocristallographique de l'hydruration du lanthane.. 540, 1295

DRILHON (Mme MARCEL), née ANDRÉE COURTOIS. — Étude de l'hyaluronidase (facteur de diffusion) sur l'Anguille..... 1167

DRUET (YVES). — Nouveau dispositif

MM. Pages.

bistable à grande vitesse et à combinaisons multiples..... 494

DUBOIS (Georges) et Michel RUHLAND. — Le Trias et le Jurassique des collines sous-vosgiennes entre la Fecht et la Weiss..... 436

DUBOIS (Georges), Mlles Suzette GILLET et Thérèse KOLB. — Géologie des collines sous-vosgiennes entre la Thur et le Silbach..... 1138

DUBOIS (Jacques-Émile). — Méthodes générales de cétolisation mixte par les chlorures d'organomagnésiens..... 296

DUBOIS (Mme Pierre), née Raymonde CHEVALLIER. — Voir *Union astronomique internationale et Association internationale de Géodésie*..... 503

DUBOIS-VIOLETTE (Pierre-Louis). — Application de la méthode de fusion des racines à l'étude de la stabilité du réglage automatique d'un échangeur thermique..... 1111

DUBREIL (Paul). — Le Grand Prix des sciences mathématiques lui est décerné..... 1579

— Adresse des remercîments..... 1589

DU CHALARD (André). — Voir *Patay (René)* et *André du Chalard*. 498

DUCHESNE (Maurice). — Voir *Lallemand (André)* et *Maurice Duchesne*..... 503

DUCLAUX (Jacques). — Présente un Ouvrage de M. *Clément Courty* : « Charbons activés (Adsorption des gaz et des vapeurs) » dont il a écrit la Préface..... 645

DUFAY (Jean), Joseph-Henri BIGAY et Pierre BERTHIER. — Photographie directe du centre de la Voie Lactée dans le proche infrarouge..... 120

DUFAY (Jean), Joseph-Henri BIGAY, Pierre BERTHIER et Jean TEXEREAU. — Étude et résolution du grand nuage stellaire situé dans la direction du centre de la Voie Lactée..... 1284

DUFRAISSE (Charles), André ÉTIENNE et Edmond TOROMANOFF. — Hydruration photochimique de la phénazine..... 759

— Études sur les phénazhydrines. Observations sur la composition de la chlororaphine..... 920

— *Erratum*..... 1717

DUFRAISSE (Charles), André ÉTIENNE et Bernard GOFFINET. — Cyclisation indénique de colorants éthyléniques : colorants indaniques résultants..... 1349

DUFRESNOY (Jacques) et Charles PISOT. — Sur un problème de M. Siegel relatif à un ensemble fermé d'entiers algébriques..... 1592

DUGAL (Louis-Paul). — Le prix Montyon de physiologie lui est décerné..... 1578

— Adresse des remercîments..... 1589

DUGAS (Charles). — Délégué à l'inauguration de l'Institut méditerranéen du Palais du Roure, à Avignon, le 4 novembre 1952.... 857

— Voir *Regnault* (Mlle *Fernande*) et *divers*..... 31

DUGAS (Claude). — Voir *Aigrain (Pierre)* et *divers*..... 145

DUHEM (Pierre). — L'Académie est informée de l'inauguration, le 27 octobre 1952, d'une plaque commémorative sur la maison où il mourut, à Cabrespine, Aude..... 924

DUMÉZIL-CURIEN (Mme Perrine) [Mme Hubert CURIEN]. — Relation entre période, type spectral moyen et déphasage chez les Céphéïdes..... 1011

— Ondes de compression dans une atmosphère en équilibre radiatif. 1369

DUNOYER (Jean-Michel). — Expériences sur la vitesse de diffusion d'une vapeur dans un gaz..... 1027

DUPERON (Robert). — Les glucides des semences de Crucifères..... 1331

— *Errata*..... 1718

— Voir *Sosa (Antoine)* et *Robert Dupéron*..... 82

DUPOUY (Gaston). — Membre du Conseil chargé de former le Comité national pour la préparation de l'année internationale géophysique et de l'opération internationale des Longitudes..... 1067

DUPUY (Michel). — Voir *Levallois (Jean-Jacques)* et *Michel Dupuy*.. 281

DURAND (Michel-Charles). — Remarque sur l'évolution des acides nucléiques dans l'ovogénèse de *Gryllus bimaculatus*..... 824

DURAND (Paul). — Un prix Bréant lui est décerné..... 1578

— Adresse des remercîments..... 1589

DURAND-VIEL (Georges). — Membre du Conseil chargé de former le Comité national pour la préparation de l'année internationale

MM. Pages.

géophysique et de l'opération internationale des Longitudes..... 1067
— Rapport du prix Binoux de géographie..... 1574
— Id. du prix Général Muteau des sciences mathématiques..... 1581
DURR (Georges). — Action des échangeurs d'anions sur les aldéhydes aliphatiques..... 1314
— Voir *Mastagli (Pierre)* et *divers*.... 1402
DURR (Georges) et Pierre MASTAGLI. — Action des échangeurs d'anions sur les aldéhydes aliphatiques..... 1038
DUSSART (Bernard) et Mlle Marysette SUCHET. — Influence du Rhône sur l'état thermique du Lac Léman..... 806

E

EBEL (Jean-Pierre). — Voir *Volmar (Yves)* et *divers*..... 372
EBERHARD (Lucien). — Voir *Roudier (Adrien)* et *Lucien Eberhard*..... 207
ECKERT (Bernard). — Voir *Lacassagne (Antoine)* et *divers*..... 589
ÉCOLE NATIONALE VÉTÉRINAIRE D'ALFORT. — Une subvention Loutreuil lui est accordée pour sa Bibliothèque..... 1582
— Son Directeur adresse des remercîments..... 1589
ÉCOLE SUPÉRIEURE D'ÉLECTRICITÉ. — MM. *Louis de Broglie, Georges Darrieus* et *Hippolyte Parodi* sont délégués à la Cérémonie de remise de la Croix de guerre 1939-1945 à cette École, le 21 octobre 1952..... 767
EDEL (Mme Henry), née Violette MOURIQUAND. — Voir *Mouriquand (Georges)* et *divers*..... 855
ELECTRICAL COMMUNICATION LABORATORY [Tokyo]. — Technical Journal, vol. I, no 1 (imp.).. 225
ELPHIMOFF-FELKIN (Mme Irène), MM. Hugh FELKIN et Zoltan WELVART. — Préparation et transformation réciproque de dérivés *érythro* et *thréo* de la β-*p*-nitrophénylsérine. III. Configuration des β-*p*-nitrophénylsérinates d'éthyle optiquement actifs..... 1510
EMMANUEL (H. F.). — Voir *Chevalier (Auguste)*..... 674
EPELBOIN (Israël). — Voir *Bourrat (Jean)* et *divers*..... 1290
EPPERSON (Eugene Rhodes). — Voir *Spenceley (George Wellington)* et *divers*..... 1085
EPSZTEIN (Bernard). — Voir *Guénard (Pierre)* et *divers*..... 236
EPSZTEIN (Roland). — Voir *Marszak (Israël)* et *divers*..... 1409
ERTAUD (André). — Voir *Bonét-Maury (Paul)* et *André Ertaud*.. 828 909
ESCANDE (Léopold). — Méthode analytique de calcul des chambres d'équilibre déversantes..... 338
ESCLANGON (Ernest). — Sur les détonations balistiques engendrées par les projectiles et les avions supersoniques..... 1177
— Sur les sifflements de projectiles et bruits d'avions en vitesse supersonique..... 1257
— Souhaite la bienvenue à M. *Linus Pauling*..... 333
ESPAGNAT (Bernard d'). — Sur la vie moyenne de la particule V_1^0.. 1610
ESTRABAUD (Stéphane). — Effets de l'éclipse solaire du 25 février 1952 sur la région ionosphérique F 2 en Afrique Équatoriale..... 1521
ÉTIENNE (André). — Voir *Dufraisse (Charles)* et *divers*.... 759, 920, 1349, 1717
ÉTIENNE (André) et Jean SALMON. — Action des acides sur le quinol du dihydroxy-2.6 diphényl-9.10 anthracène..... 70
— Action des sels de diazonium sur l'hydroxy-2 diphényl-9.10 anthracène et sur le dihydroxy-2.6 diphényl-9.10 anthracène..... 244
ÉTIENNE (André) et Jean WEILL-RAYNAL. — Sur quelques dérivés de la diphényl-9.10 anthraquinone-1.2..... 301
ÉTIENNE (Yves). — Réactivité des alcoylhalogénosilanes en présence de base tertiaire..... 966
EXPÉDITIONS POLAIRES FRANÇAISES. — M. le Ministre de l'Éducation Nationale annonce la prochaine ouverture d'une exposition publique sur les activités en

MM. Pages.

Terre Adélie et au Groenland des Expéditions polaires françaises.. 1358

EXPOSITION DU CHAUFFAGE INDUSTRIEL. — L'Académie est informée de l'ouverture, le jeudi 2 octobre 1952, de la quatrième Exposition..... 645

EYFRIG (Rudolf). — Une influence lunaire sur l'altitude du centre de la couche ionosphérique F 2.... 736

F

FABIANI (Georges), Josanne CLAUSSE et Georges FULCHIRON. — Intérêt de la réticulocytose sanguine dans le paludisme expérimental du Rat blanc à *Plasmodium berghei*..... 274

FABRE DE LA RIPELLE (Michel). — Passage des équations de perturbation aux équations intégrales. 1482

FAGE (Louis). — Présente un Ouvrage de MM. *Hervé Floch* et *Émile Abonnenc*..... 923

— Id. de MM. *Claude Delamare-Deboutteville* et *Renaud Paulian*..... 1357

— Rapport du prix Savigny..... 1577

— Id. du prix Jules Mahyer des sciences physiques..... 1580

FAIVRE-AMIOT (Albert), Hermon DARPOUX et Louis ROUX. — Sur un nouvel antibiotique, la Chlamydosporine, isolé d'un Fusarium..... 912

— Sur la production, l'extraction et les propriétés physico-chimiques de la chlamydosporine..... 982

FALK-VAIRANT (Paul). — Étude des électrons de conversion du $^{231}_{91}Pa$..... 796

FALLOT (Paul). — Rapport du prix Joseph Labbé..... 1576

FARAGGI (Mme Henriette), M. René BERNAS et Mlle Arlette BONNET. — Sur les réactions (n, α) provoquées par les neutrons lents sur les isotopes séparés du zinc, ainsi que sur le nickel..... 425

FARAGGI (Mme Henriette), MM. André KOHN et Jean DOUMERC. — Sur une technique autoradiographique par irradiation neutronique de mise en évidence du constituant boré dans les aciers au bore..... 714

FARY (István). — Sur les anneaux spectraux de certaines classes d'applications. I. Généralités.... 686

— Id. II. Fonctions numériques (continues)..... 780

— Id. III. Fonctions numériques (différentiables)..... 1272

— Id. IV. Cohomologie des hypersurfaces algébriques..... 1467

FAUQUET (André). — Voir *Chaffois* (*Jean*) et *divers*..... 345

FAURE (Jacques). — Réactions sanguines après stimulation lumineuse intermittente..... 326

FAURE (Raymond). — Voir *Dévé* (*Max*) et *Raymond Faure*..... 1085

FAURÉ-FRÉMIET (Emmanuel). — Symbiontes bactériens des ciliés du genre *Euplotes*..... 402

FAVREAU (Léopold). — Voir *Barré* (*Roger*) et *Léopold Favreau*..... 1404

FAYET (Gaston). — Membre du Conseil chargé de former le Comité national pour la préparation de l'année internationale géophysique et de l'opération internationale des Longitudes..... 1067

FÉDÉRATION NATIONALE DES MÉDECINS DU FRONT. — M. *Léon Binet* est délégué à la Cérémonie du Souvenir organisée par cette Fédération à la Faculté de Médecine de Paris, le 11 novembre 1952..... 923

FEDERLIN (Paul). — Étude spectrophotométrique de l'hydratation des aldéhydes α-halogénés..... 44

FELDMAN (Charles). — Sur la protection de dépôts minces de molybdène par une couche de SiO obtenue par évaporation sous vide..... 706

FELDMAN (Charles) et Boris VODAR. — Conduction électrique de films minces de platine recouverts d'une couche diélectrique par évaporation dans le vide..... 414

FELKIN (Hugh). — Voir *Elphimoff-Felkin* (Mme *Irène*) et *divers*..... 1510

FENAROLI (L.). — Voir *Houtzagers* (*G.*)..... 338

FÉNÉANT (Mme Charles), née Suzanne EYMARD. — Étude par

MM. Pages.

effet Raman de l'acide acétique en solution dans divers solvants organiques..... 240

FÉNÉANT (Mme Suzanne). — Spectres Raman des solutions d'acide acétique dans l'eau..... 1292

FERRIÉ (Frank). — Voir *Manson (Numa)* et *Frank Ferrié*..... 139

FERT (Charles) et Robert SAPORTE. — Microscopie électronique par réflexion..... 1490

FERT (Charles) et Roger DARGENT. — Procédé d'empreinte à grand pouvoir de résolution..... 1623

FESSARD (Mme Alfred), née Denise ALBE. — Voir *Albe-Fessard* (Mme *Denise*).

FÉTIZON (Marcel) et Marc JULIA. — Sur le nitrile, chloro-4 pentène-3 oïque et quelques composés apparentés..... 1654

FINN (Robert). — Sur quelques généralisations du théorème de Picard. 596

FISCHER (Emil). — Voir *Gesellschaft Deutscher Chemiker*..... 593

FISCHER (Paul-H.). — Les zones d'organismes littoraux de l'Indochine et des côtes indo-pacifiques. 840

FISHERIES AGENCY (Tokyo). — Fishing Boat Series II. Study of the ultrasonic echo-sounder, fish-finder and its application (imp.).. 7

FLEUREAU (Bernard) et André SANCELME. — Sur la décomposition catalytique de l'oxyde de carbone par le fer réduit électrolytiquement à basse température. 801

FLOC'H (Mlle Angèle). — Voir *Mastagli (Pierre)* et *divers*..... 1402

FLOCH (Hervé) et Émile ABONNENC. — Faune de l'Union française. XIV. Diptères phlébotomes de la Guyane et des Antilles françaises. Préface de M. *Émile Roubaud*... 923

FLORISSON (Charles). — Procédé de mesure absolue de la puissance acoustique d'un flux d'ultrasons dans un liquide, mettant en œuvre la pression de radiation s'exerçant sur une intersurface liquide-gaz.. 27

FLÜCKIGER (Gottlieb). — Adresse deux Notes imprimées : 1° Über die Bekämpfung der Rindertuberkulose in Europa und die Frage der Schutzimpfung; 2° Der Verlauf und die Bekämpfung der Maul- und Klauenseuche 1951-1952 in den europäischen Weststaaten... 1464

— Id. un Mémoire : L'épizootie de fièvre aphteuse de 1951-1952 et les moyens utilisés pour la combattre dans les différents pays de l'Europe occidentale..... 1587

— Présente une Thèse de M. *Pierre-Henri Willi*..... 1588

FOËX (Marc). — Voir *Trombe (Félix)* et *Marc Foëx*..... 42, 163, 571

FONTAINE (André). — Voir *Mousseron (Max)* et *divers*..... 1512

FORESTIER (Hubert) et Georges GUIOT-GUILLAIN. — Ferrites de terres rares à double point de Curie ferromagnétique..... 48

FORT (Roland). — Voir *Denivelle (Léon)* et *Roland Fort*.... 1514, 1658

FORTET (Robert). — Le prix Aimé Berthé des sciences mathématiques lui est décerné..... 1580

— Adresse des remercîments..... 1589

FOUAD I NATIONAL RESEARCH COUNCIL. — Classified list of Egyptian scientific papers published in 1951, vol. I (imp.)..... 502

FOURIER (Joseph). — MM. *Jean Chazy* et *Gustave Ribaud* sont délégués, le 9 novembre 1952, à Auxerre à l'inauguration d'un médaillon à son effigie..... 7, 502

— M. *Arnaud Denjoy* également..... 502

— M. *Denjoy* rend compte de cette Cérémonie..... 1069

FOURNET (Gérard). — Étude des modifications ordre-désordre dans les alliages Cu-Pt..... 1377

— Voir *Dervichian (Dikran G.)* et *divers*..... 324

FRÉCHET (Maurice). — Sur deux familles de fonctions analogues à la famille des fonctions analytiques..... 1585

FRÉDÉRICQ (Léon). — Un pionnier de la Physiologie, Léon Frédéricq (imp.)..... 1587

FREISTADT (Hans). — Sur l'hypothèse d'un intervalle fondamental et les théories de Darling et Born. 23

FREULON (Jean-Michel) et Jean-Philippe LEFRANC. — Structure et stratigraphie du Nord du Fezzan (Libye)..... 385

FREYMANN (René). — Voir *Freymann* (Mme *Marie*) et M. *René Freymann*..... 1125

FREYMANN (Mme René), née Marie LIPSZYC et M. René FREYMANN. — Sur l'existence de deux causes distinctes d'absorption Debye dans le spectre hert-

MM. Pages.

zien. Application aux semi-conducteurs..... 1125
FRIANT (Mlle Madeleine). — Les caractéristiques fondamentales du cerveau des *Giraffidæ*..... 978
— Développement et interprétation de l'*Insula* cérébrale des Singes (*Cercopithecidæ*), au cours de l'ontogénie..... 1334
FRINGANT (Mlle Anne-Marie). — Étude du spectre continu de quelques étoiles à atmosphère étendue..... 128
— Voir *Berger* (*Jacques*) et *divers*..... 348
FUHRMANN (Robert). — Étude des constituants non glycéridiques des huiles de pulpes d'olives..... 722
FULCHIRON (Georges). — Voir *Fabiani* (*Georges*) et *divers*..... 274
FUNKE (Albert). — Voir *Depierre* (Mlle *France*) et M. *Albert Funke*. 267
FUNKE (Albert) et Pierre KORNMANN. — Dérivés N-alcoyles du phényl-1 amino-2 propane-diol-1.3. Application à la synthèse d'une chloromycétine N-méthylée..... 726
FUNKE (Albert), Joseph JACOB et Karl von DÄNIKEN. — Activités cardiaques de deux dérivés aminométhylcoumaraniques..... 1709
FURON (Raymond) et G. DAUMAIN. — Voir *Bureau d'études géologiques et minières coloniales*..... 1085
FUSON (Nelson). — Voir *Josien* (Mlle *Marie-Louise*) et *divers*.. 1025, 1206

G

GABE (Manfred). — Particularités histochimiques de l'organe de Hanström (organe X) et de la glande du sinus chez quelques Crustacés décapodes..... 90
— Sur l'existence d'un cycle sécrétoire dans la glande du sinus (organe pseudofrontal) chez *Oniscus asellus* L..... 900
— Particularités histologiques de la glande du sinus et de l'organe X (organe de Bellonci) chez *Sphæroma serratum* Fabr..... 973
— Sur l'emplacement et les connexions des cellules neuro-sécrétrices dans les ganglions cérébroïdes de quelques Chilopodes..... 1430
GABE (Manfred) et Marcel PRENANT. — Sur le rôle des odontoblastes dans l'élaboration des dents radulaires..... 1050
GABERT (Mlle Angèle) et M. Henri NORMANT. — Sur la pureté du bromométhylcoumaranne selon le mode de préparation..... 1407
GADET (Roger). — Voir *Carles* (*Jules*) et *divers*..... 80, 1419
GAILLARD (Jean-A.). — Voir *Giroud* (*Paul*) et *divers*..... 988
GAILLIOT (Paul). — Voir *Charpentier* (*Paul*) et *divers*..... 59
GALLISSOT (François). — Sur l'origine des impossibilités et des indéterminations dues aux liaisons... 93
— Transformations infinitésimales et intégration des équations différentielles de la mécanique... 1277, 1599
— Sur la discussion des éventualités dans la dynamique des solides en contact ponctuel avec frottement dans le cas où certaines vitesses de glissement sont nulles à l'instant initial..... 1471
GALY (André). — Spectre Raman du chlorure de baryum hydraté ($BaCl_2$, $2H_2O$)..... 1504
GARCIA (Mlle Isabelle). — Voir *Grangaud* (*René*) et *divers*..... 446
GARNIER (René). — Fait hommage du Tome III : « Intégrales simples, multiples et curvilignes », de la deuxième édition de son Cours de mathématiques générales (Analyse et Géométrie)..... 1357
GARRIDO (Jules). — Les groupes de symétrie des ornements employés par les anciennes civilisations du Mexique..... 1184
GARRIGUE (Hubert). — Nouveau photomètre visuel pour le ciel nocturne..... 34
— Sur la radioactivité anormale de l'atmosphère..... 1498
GASTAUT (Henri). — Voir *Morin* (*Georges*) et *divers*..... 1561
GAUDECHON (Jacques). — Voir

MM. Pages.

Charpentier (*Paul*) et *divers*..... 59
GAUDEFROY (Christophe). — Voir *Section d'études des gîtes minéraux du Service géologique du Maroc*... 1576
GAUDEMARIS (Gabriel de). — Voir *Heilmann* (*René*) et *divers*..... 544
GAUFRÈS (Robert). — Voir *Salvinien* (*Jean*) et *divers*..... 46
GAUME (Mme François), née Françoise MAHN. — Sur le ferromagnétisme de certains alliages gadolinium-magnésium..... 352
GAUTHERET (Roger). — Remarques sur l'emploi du lait de coco pour la réalisation des cultures de tissus végétaux..... 1321
— Observations à propos de cette Note, par MM. *Roger Heim* et *Roger Cailleux*..... 1323
— Voir *Lance* (*Claude*) et *Roger Gautheret*..... 1682
GAUTHIER (Henri). — Voir *Bourdier* (*Franck*) et *divers*..... 514
GAUTHIER (Henri) et Henri SALVAN. — Sur la paléogéographie de l'Éocène de la bordure Sud-Atlasique..... 484
GAUTIER (Jean-Albert) et Pierre PIGNARD. — Sur un nouveau complexe borotartrique isolable.. 242
GAUTIER (Pierre). — Mesure de la dérivée première et de la dérivée seconde de l'induction sur l'axe de révolution d'une lentille magnétique puissante..... 361
GAVARD (Raymond). — Voir *Aubert* (*Jean-Paul*) et *divers*..... 1165
— Voir *Barry* (*Cormac*) et *divers*..... 1062
GAY (Mlle Yvonne). — Voir *Cheymol* (*Jean*) et *divers*..... 1711
GAYET (Mme René), née Thérèse HALLION. — Voir *Bertrand* (*Ivan*) et Mme *Thérèse Gayet-Hallion*..... 214
GELIN (René). — Voir *Colonge* (*Jean*) et *René Gelin*..... 577
GERBEAUX (Claude). — Voir *Ramon* (*Gaston*) et *divers*..... 111
GERBER (Robert). — Un théorème d'unicité pour les écoulements d'un liquide parfait, pesant..... 693
— Sur l'existence des écoulements plans, permanents, irrotationnels, uniformes à l'infini, des liquides incompressibles..... 1601
GÉRO (Étienne). — Sur les anticatalyseurs de l'oxydation de l'acide L-ascorbique. Un nouveau complexe cuivreux de la thiamine. 397

MM. Pages.

GESELLSCHAFT DEUTSCHER CHEMIKER. — Le Président invite l'Académie à se faire représenter aux Cérémonies du Centième anniversaire de la naissance de *Jacobus Henricus Van't Hoff*, le 26 septembre, à Braunschweig et de *Emil Fischer*, le 9 octobre, à Euskirchen..... 593
GEVREY (Maurice). — Le prix Paul Gallet des sciences mathématiques lui est décerné..... 1581
— Adresse des remercîments..... 1589
GIACOMO (Pierre). — Méthode directe de mesure des caractéristiques d'un système interférentiel de Fabry-Perot..... 1627
GIAJA (Alexandre). — Sur la consommation alimentaire dans la lutte contre la chaleur..... 818
GIAJA (Jean) et Vojin POPOVIĆ. — L'action des protides sur les échanges de l'organisme refroidi.. 89
GIBAULT (Gaston. — Voir *Beaufils* (Mlle *Yvonne*) et *divers*..... 198
GIBERT (René). — Sur une théorie physicochimique de l'excitabilité cellulaire..... 748
— Sur une théorie de l'excitabilité cellulaire (II)..... 831
GIBRAT (Robert). — Le prix Plumey lui est décerné..... 1575
— Adresse des remercîments..... 1589
GILLET (Mlle Suzette). — Voir *Dubois* (*Georges*) et *divers*..... 1138
GIOVANNELLI (J.). — Les cyclones tropicaux en Nouvelle-Calédonie au cours d'un siècle (1852-1951) (polycopie)..... 282
GIRARD (Georges). — Production de cristaux par une souche de *Pasteurella pestis* cultivée sur certains milieux gélosés..... 1441
GIRAUDEL (Bernard). — Voir *May* (*Serge*) et *Bernard Giraudel*..... 953
GIROUD (Paul), Jean-A. GAILLARD et Francis ROGER. — Les mutants au cours des rickettsioses expérimentales : évolution vers des caractères murins de souches sélectionnées de *Rickettsia conori*... 988
GLANGEAUD (Louis) et Jean LAGRULA. — Corrélations entre les données gravimétriques et structurales dans le Nord de la province d'Alger..... 193
GLIGORIJEVIC (Jovan). — Voir *Busnel* (*René-Guy*) et *divers*.. 1535, 1684

MM. Pages.

GODET (Mme JEAN), née JACQUELINE GUILLAIN. — Voir *Guillain (Georges)* et *divers*..... 1073

GOFFINET (BERNARD). — Voir *Dufraisse (Charles)* et *divers*..... 1349

GOGUEL (JEAN). — Traité de tectonique (imp.)..... 857

GOLAZ (PAUL). — Voir *Sirieix (Maurice)* et *divers*..... 459

GOLDSCHMID (EDGAR). — Célébrités médicales (imp.)..... 458

— Über den medizinischen Aufschwung in den vierziger Jahren des 19. Jahrhunderts mit einem Verzeichnis der Werke von Hermann Lebert (1813-1878) (imp.)..... 459

GOÑI (JUAN). — Voir *Caillère* (Mlle *Simonne*) et M. *Juan Goñi*..... 1662

GONTCHAROFF (Mlle MARIE). — Réactions à la lumière de *Lineus ruber* (Némertien) en éclairage ventral..... 1690

GORODETZKY (SERGE). — Voir *Muller (Théo)* et *divers*..... 1385

GOUDOT (Mme PIERRE), née ANDRÉE PERROT. — Considérations sur l'action de l'ion cobalt dans l'hydrolyse enzymatique des peptides..... 1396

GOURCEAUX (MARCEL). — Voir *Colombani (Antoine)* et *Marcel Gourceaux*..... 605, 650

GOUSTARD (MICHEL) et LOUIS-PIERRE LE BIGOT. — Sur certains caractères d'une rétention d'habitudes par *Blatella germanica*..... 93

GOUTAREL (ROBERT). — Voir *Le Hir (Alain)* et *divers*..... 63

GRAMBAST (LOUIS). — Sur la signification des structures généralisées chez les Coniférales et la valeur des Protopinacées en tant que groupe..... 1533

GRAMMATICAKIS (PANOS). — Action des organomagnésiens mixtes sur les aminobenzonitriles (*o*, *m* et *p*) et sur les aminobenzamides (*o*, *m* et *p*). Préparation des aminoacétophénones et aminobenzophénones isomères..... 546

GRAMONT (ARMAND DE). — Rapport du prix d'Aumale..... 1580

GRANDCHAMP (Mme RENÉ DE), née ANDRÉE CHAUDUN. — Sur l'action inhibitrice du galactose dans l'analyse du saccharose par la saccharase de la levure..... 1060

MM. Pages.

GRANDCHAMP-CHAUDUN (Mme ANDRÉE DE) et Mlle MARIE-THÉRÈSE MOREAU. — Sur l'hydrolyse diastasique du saccharose : influence du glucose, du galactose, du fructose sur la vitesse d'inversion.... 552

GRANDJEAN (FRANÇOIS). — Sur les articles des appendices chez les Acariens actinochitineux..... 560

— Sur les variations individuelles. Vertitions (écarts) et anomalies..... 640

GRANGAUD (RENÉ), RENÉ DIEUZEIDE, Mlles RENÉE MASSONET et THÉRÈSE DOUARD. — Saumonisation de *Salmo irideus* Gibb. par administration d'astaxanthine..... 213

GRANGAUD (RENÉ), Mlles ISABELLE GARCIA et RENÉE MASSONET. — Mise en évidence de l'astaxanthine chez *Triton nodifer* Lamarck. 446

GRANIER (Mme RAOUL), née JANINE MAYENCE. — Voir *Romand (Jacques)* et Mme *Janine Granier-Mayence*..... 1023

GRANJON (HENRI). — Étude du comportement des aciers lors du soudage par la méthode des gradients croisés..... 173

GRASSÉ (PIERRE-PAUL). — Présente un Ouvrage de M. *Henri Termier* et Mme *Geneviève Termier*..... 1084

— Rapport du prix Foulon d'anatomie et zoologie..... 1577

GRAY (ÉLIE) et ANTONIO HIDALGO. — Étude de l'influence de divers solvants sur la vibration fondamentale de valence du groupement carbonyle de cétones..... 152

GREGORY (BERNARD). — Le prix Gaston Planté lui est décerné.... 1575

GRENIER (Mme JEAN), née MARIE-LOUISE BESSON, MM. GILBERT AMAT et PIERRE BARCHEWITZ. — Contribution à l'étude du spectre de vibration de l'oxyde azoteux. 1636

GROS (PIERRE). — Voir *Coursaget (Jean)* et *divers*..... 448

GUASTALLA (Mme PIERRE), née LINA ASSCHER. — Extension de la loi de Traube-Duclaux à l'adsorption des acides gras saturés sur la paraffine..... 941

GUÉNARD (PIERRE). — Voir *Warnecke (Robert)* et *divers*. 470, 493, 751, 1580

MM. Pages.

GUÉNARD (Pierre), Oskar DŒHLER et Robert WARNECKE. — Sur les propriétés des lignes à structure périodique..... 32

GUÉNARD (Pierre), Oskar DŒHLER, Bernard EPSZTEIN et Robert WARNECKE. — Nouveaux tubes oscillateurs à large bande d'accord électronique pour hyperfréquences..... 236

GUÉNOCHE (Henri) et Numa MANSON. — Sur la variation de la célérité des ondes explosives avec le diamètre des tubes..... 1617

GUERASSIMOV (I. P.). — Assiste à une séance..... 845

GUÉRILLOT (Jean), Mme Andrée GUÉRILLOT-VINET et Mlle Liliane DELMAS. — Nouveau procédé de détermination chromatographique sur papier de l'α-tocophérol..... 1295

GUÉRILLOT (Mme Jean), née Andrée VINET. — Voir *Guérillot (Jean)* et *divers*..... 1295

— Voir *Raoul (Yves)* et *divers*.. 1439, 1704

GUÉRIN (Henri) et Henri KOZICKI. — Sur les orthophosphates de cuivre. Étude du système P_2O_5—OCu—OH_2 à 60 et 180..... 52

GUÉRIN (Henri) et Lucien HOSTI. — Sur la variation de la carboxyréactivité des cokes au cours même de sa détermination..... 1400

GUÉRIN (Pierre). — Voir *Chalonge (Daniel)* et *divers*..... 124

GUERMONT (Jean-Pierre) et Israël MARSZAK. — Contribution à l'étude des éthers diacétyléniques. 252

GUILLAIN (Georges). — Dépose sur le Bureau une Notice sur la vie et l'œuvre de *Hyacinthe Vincent*, qui sera imprimée dans le Recueil des « Notices et discours »..... 857

GUILLAIN (Georges), Ivan BERTRAND et Mme Jean GODET-GUILLAIN. — Les lésions du système nerveux central dans l'intoxication par le phosphate tri-*o*-crésylique..... 1073

GUILLAUD (Charles). — L'antiferromagnétisme d'atomes placés sur des sites cristallographiques différents..... 468

GUILLOT (Marcel). — Voir *Rosenblum (Salomon)* et *divers*..... 238

GUINIER (André). — Voir *Dervichian (Dikran G.)* et *divers*..... 324

— Voir *Walker (Christopher B.)* et *divers*..... 254

GUINIER (André) et François SÉBILLEAU. — Montage achromatique pour la détermination du profil des raies de diffraction des rayons X..... 888

GUIOT-GUILLAIN (Georges). — Voir *Forestier (Hubert)* et *Georges Guiot-Guillain*..... 48

GUITEL (Mlle Geneviève). — Principes de classification dans l'étude des trièdres et des tétraèdres..... 1274

GUMBEL (Emil J.). — Intervalles de contrôle pour l'extrapolation des plus grandes valeurs..... 1598

GUTTON (Camille). — Rapport du prix du Général Ferrié..... 1575

GUY (Roland). — Sur les solutions de l'équation d'évolution..... 1194

GUYOMARD (Francis). — Détermination du coefficient local d'absorption monochromatique dans les flammes de cracking..... 358

H

HAAG (Jules). — Les mouvements vibratoires. Tome I (imp.)..... 1084

HACKSPILL (Louis). — Présente le premier Volume : « Chimie générale », d'un « Précis de chimie » de M. *Raymond Quelet*, publié dans la collection « Euclide ». dirigée par MM. *Charles Maurain* et *Maurice Caullery*..... 1267

— Rapport du prix Paul Marguerite de La Charlonie de chimie..... 1576

HAÏSSINSKY (Moïse). — Voir *Anta* (Mme *Maria do Carmo*) et M. *Moïse Haïssinsky*..... 170

— Voir *Cottin (Maurice)* et *divers*..... 542

HALPHEN (Étienne). — Sur une famille de fonctions..... 684

HANNOUN (Claude). — Action inhi-

MM. Pages.

bitrice d'analogues du glycocolle et de l'adénine sur la multiplication du virus de la grippe..... 1340

— Action de certains inhibiteurs enzymatiques sur la multiplication du virus de la grippe..... 1445

HARDOUIN (Jean). — Un prix L.-E. Rivot et Lamb lui est décerné... 1581

— Adresse des remercîments..... 1589

HARNISCHMACHER (Ewald) et Karl RAWER. — Liaisons radioélectriques à très grande distance. 709

HARTMANN (Henri). — Son remplacement dans la Section de Médecine et Chirurgie..... 557

HARTSHORN (A. S.). — Assiste à une séance..... 673

HARVEY (Richard F.). — Martempering. Invention and Early History (imp.)..... 7

HAVAS (László J.). — Le prix Charles-Louis de Saulses de Freycinet lui est décerné à titre posthume.... 1580

— Sa veuve adresse des remercîments. 1588

HEDIN (Sven). — M. *Albert Caquot* annonce sa mort..... 1345

— Notice nécrologique, par M. *Emmanuel de Martonne*..... 1452

HÉE (Mme Auguste), née Arlette FERGANT et M. René LECOLAZET. — Utilisation de trous forés dans les roches pour l'étude de leur rayonnement pénétrant... 201

HEILBRONN (Georges). — Sur la construction des équations $s + f(x, y, z, p, q, r) = 0$ qui possèdent un invariant du second ordre..... 1090

HEILMANN (René), Gabriel de GAUDEMARIS et Rudolf HEINDL. — Sur la réaction de Willgerodt en série aliphatique... 544

HEIM (Roger). — Dépose sur le Bureau un Volume de MM. *Pierre Bourrelly* et *Émile Manguin* : « Algues d'eau douce de la Guadeloupe et dépendances recueillies par la Mission P. Allorge en 1936 », dont il a écrit la Préface, et présente un Ouvrage de *Marcel Josserand*..... 767

— Présente un Ouvrage de M. *Georges Kuhnholtz-Lordat*..... 1357

— Id. de MM. *P. Konrad* et *André Maublanc*..... 1464

— Rapport du prix Desmazières..... 1577

MM. Pages.

— Voir *Union internationale pour la protection de la nature*..... 755

HEIM (Roger) et Roger CAILLEUX. — Observations à propos de la Note de M. *Roger Gautheret* : « Remarques sur l'emploi du lait de Coco pour la réalisation des cultures de tissus végétaux »..... 1323

HEINDL (Rudolf). — Voir *Heilmann (René)* et *divers*..... 544

HÉNIN (Stéphane). — Le prix Mme Albert Demolon lui est décerné.. 1577

— Adresse des remercîments..... 1589

— Voir *Demolon (Albert)* et *Stéphane Hénin*..... 847

HERMAN (Louis). — Voir *Weniger (Charles)* et *Louis Herman*..... 1020

HÉROLD (Albert), Pierre MULLER et Pierre ALBRECHT. — Sur la perméabilité de l'acier pour le lithium..... 658

HERSCH (Joseph). — Longueurs extrémales, mesure harmonique et distance hyperbolique..... 566

HERZ (Jean-Claude). — Sur les systèmes de polynomes différentiels..... 1085

HIDALGO (Antonio). — Voir *Gray (Élie)* et *Antonio Hidalgo*..... 152

HIRSCH (Herbert M.). — Voir *Slonimski (Piotr P.)* et *Herbert M. Hirsch*..... 741, 914

HISSARD (René), Louis MONCOURIER et Jean JACQUET. — Sur les différentes fibres conjonctives et sur la formation des basocytes. 822

HOANG NAM (Nguyen). — Voir *Nam (Nguyen Hoang)*.....

HOCQUETTE (Maurice), Jean MONTREUIL et Serge PAUL. — Variations quantitatives du phosphore total, du phosphore des acides ribo- et désoxyribo-nucléiques dans l'axe hypocotylé de *Phaseolus vulgaris* au cours de la germination normale, du jeûne glucidique après ablation des cotylédons et de la régénération cellulaire..... 1525

HOESTLANDT (Henri). — Sur le polychromatisme de populations de *Sphæroma serratum* le long des côtes d'Irlande..... 1052

HOÏ (Nguyen Ph. Buu). — Le prix Marie Léon-Houry lui est décerné. 1578

— Adresse des remercîments..... 1589

— Voir *Lacassagne (Antoine)* et *divers*. 589

MM. Pages.

HOÏ (Nguyen P. Buu), Nguyen Dat Xuong, Fernand Binon et Nguyen Hoang Nam. — Sur le mécanisme d'action des hydrazides tuberculo-statiques..... 329

HOLLANDE (André) et Jean Cachon. — Un parasite des œufs de Sardine : *l'Ichthyodinium chabelardi*, nov. gen., nov. sp. (Péridinien parasite)..... 976

HOLLARD (Henri). — Voir *Mortelmans* (*Georges*) et *divers*..... 1680

HOSTI (Lucien). — Voir *Guérin* (*Henri*) et *Lucien Hosti*..... 1400

HOUTZAGERS (G.). — Il genere populus e la sua importanza nella selvicoltura. (Traduction en langue italienne par *L. Fenaroli*) (imp.)..... 338

HUARD DE LA MARRE (Pierre). — Étude rhéoélectrique de problèmes d'infiltration..... 602

HUBER (Harry). — Voir *Warnecke* (*Robert*) et *divers*..... 470, 493, 751

HUETZ (Mme Jacques), née Magdeleine AUBERT. — Voir *Aubert-Huetz* (Mme *Madeleine*).

HUMBERT (Henri). — Rapport du prix Foulon de botanique..... 1577

HUPÉ (Pierre). — Sur les zones de Trilobites du Cambrien inférieur marocain..... 480

HURAULT (Louis). — Le prix du Général Muteau des sciences mathématiques lui est décerné..... 1581

— Adresse des remercîments..... 1589

HUSSON (Mlle Christiane). — Voir *Roux* (*Eugène*) et Mlle *Christiane Husson*..... 1154

HUSSON (Roger). — A propos du rôle des gastrolithes chez les Écrevisses..... 905

— *Erratum* relatif au prénom de M. *Roger Husson*..... 1717

I

IMBERT (Bertrand). — Sur l'emploi de l'astrolabe à pendule en astronomie géodésique..... 1605

INSTITUT DES PARCS NATIONAUX DU CONGO BELGE. — Exploration du Parc National Albert. Mission G. F. de Witte (1933-1935), fasc. 78 (imp.)..... 767

— Id. du Parc national de l'Upemba. Mission G. F. de Witte en collaboration avec W. Adam, A. Janssens, L. Van Meel et R. Verheyen (1946-1949), fasc. 8, 12 et 13 (imp.)..... 767

INSTITUT DES RECHERCHES AGRONOMIQUES DE L'INDOCHINE. — Archives, nos 1-3, 5-7, 8-12 (imp.)..... 282

INSTITUT GÉOGRAPHIQUE NATIONAL. — Voir *Poivilliers* (*Georges*)..... 281

INSTITUT INTERNATIONAL D'EMBRYOLOGIE. — Voir *Académie Royale Néerlandaise des sciences et des lettres*..... 1588

INSTITUT MÉDITERRANÉEN DU PALAIS DU ROURE. — M. le Maire d'Avignon invite l'Académie à se faire représenter à l'inauguration de cet Institut, le 4 novembre 1952. M. *Charles Dugas* représentera l'Académie..... 857

INSTITUT NATIONAL AGRONOMIQUE. — Une subvention Loutreuil lui est accordée..... 1582

— Son Directeur adresse des remercîments..... 1589

INSTITUTO DE INGENIEROS DE MINAS DEL PERU — Mineria, ano 1, no 1 (imp.)..... 1267

INTERNATIONAL GRASSLAND CONGRESS. — L'Académie est informée de la réunion du sixième Congrès au « Pennsylvania State College », États-Unis, du 17 au 23 août 1952..... 924

J

JACOB (Charles). — Présente un Ouvrage de *Jean Goguel*..... 857

— Id. le tome II du Traité de Paléontologie, publié sous la direction

MM. Pages.

de *Jean Piveteau,* Secrétaire de rédaction : Mlle *Colette Dechaseaux* : « Problèmes d'adaptation et de phylogenèse (Brachiopodes, Chétognathes, Annélides, Géphyriens, Mollusques) »..... 923

— Délégué au quatrième Congrès international de l'Association internationale pour l'étude du Quaternaire (INQUA), à Rome et à Pise, en septembre 1953..... 1180

— Rapport de la fondation Lucien Cayeux..... 1576

— Id. du prix Millet-Ronssin..... 1581

JACOB (Joseph). — Voir *Funke (Albert)* et *divers*..... 1709

JACOB (Joseph) et Mme Anna OLOMUCKI.– Comportement de divers sels d'ammonium quaternaire acétyléniques vis-à-vis des cholinestérases sérique et globulaire... 263

JACOB (Robert). — Voir *Charpentier (Paul)* et *divers*..... 59

JACQUÉ (Léon). — Voir *Beaujard (Louis)* et *divers*..... 1388

JACQUET (Jean). — Voir *Hissard (René)* et *divers*..... 822

JACQUET (Pierre). — Voir *Poulignier (Jean)* et *divers*..... 718

JACQUIER (Robert). — Voir *Mousseron (Max)* et *divers*..... 57, 177, 1512

JALU (Raymond) et André VIAUT. — La circulation générale dans le Sud-Ouest de l'Océan Indien méridional..... 968

JANCOVICI (Bernard). — Voir *Aigrain (Pierre)* et *divers*..... 145

— Voir *Regnault* (Mlle *Fernande*) et *divers*..... 31

JANIN (Joseph). — Voir *Déjardin (Georges)* et *divers*..... 538

JANOT (Maurice-Marie). — Voir *Le Hir (Alain)* et *divers*..... 63

JANSSENS (A.). — Voir *Institut des Parcs nationaux du Congo Belge*.. 767

JARY (Robert). — Voir *Boullé (André)* et *Robert Jary*..... 1029

JAULMES (Charles), André JUDE et Jean QUÉRANGAL DES ESSARTS. — Le prix du Baron Larrey leur est décerné..... 1578

— Adressent des remercîments..... 1589

JAVILLIER (Maurice). — Fait hommage de la brochure : « Les exigences en magnésium des plantes, des animaux et de l'homme »..... 593

— Membre de la Commission de la fièvre aphteuse..... 404

MM. Pages.

— Rapport du prix Montyon des arts insalubres..... 1576

— Id. du prix Mme Albert Demolon... 1577

— Id. du prix Lonchampt..... 1580

— Id. du prix Ernest Dechelle des sciences physiques..... 1581

JEAN (Maurice). — Sur une possibilité de généralisation covariante de la théorie du couplage intermédiaire..... 794, 1197

JEANNEL (René). — Apparition récente d'une sous-espèce nouvelle de Coléoptère dans la faune de Madère..... 1155

JOLIBOIS (Pierre). — Son remplacement dans le Conseil de perfectionnement de l'École polytechnique..... 566

— Réélu..... 681

JOLY (Pierre). — Déterminisme de la pigmentation chez *Acrida turrita* L. (Insecte orthoptéroïde)..... 1054

— Production d'adultoïdes chez *Locusta migratoria* L., (Insecte orthoptéroïde)..... 1555

JONES (E. T.). — Assiste à une séance. 673

JOSIEN (Mlle Marie-Louise) et M. Nelson FUSON. — Étude spectroscopique de la liaison hydrogène chez les acides trifluoroacétiques et trichloroacétiques légers et lourds..... 1025

JOSIEN (Mlle Marie-Louise), MM. Nelson FUSON et Donald E. PEARSON. — Vibration de valence C=O et constante de Hammett dans une série de benzophénones..... 1206

JOSSERAND (Marcel). — Encyclopédie mycologique. XXI. La description des Champignons supérieurs (imp.)..... 767

JOUANNETEAU (Jacques). — Voir *Meunier (Paul)* et *divers*..... 1161

JOURAVSKY (Georges).— Voir *Section d'études des gîtes minéraux du Service géologique du Maroc.* 1576, 1589

JOURNAUX (André). — Dépôt actuel de varves lacustres en Normandie. 1669

JOYEUX (Mlle Yvonne). — Voir *Nicolle (Jacques)* et Mlle *Yvonne Joyeux*..... 108

JUDE (André). — Voir *Jaulmes (Charles)* et *divers*..... 1578, 1589

JUDE (André), Jacques SERVANT, Pierre NICOLLE et Mlle Paule SERVANT. — Relation inverse entre les variations des teneurs en antigènes *O* et *Vi* de quelques

MM. Pages.

entérobactériacées suivant la température d'incubation..... 1443
JULIA (Gaston). — Rapport du prix Leonard Eugene Dickson..... 1574
JULIA (Marc). — Sur quelques réactions de l'aldéhyde β-chlorocrotonique et de corps apparentés.. 662
— Voir *Fétizon (Marcel)* et *Marc Julia*. 1654
JUNKES (G.). — Voir *Stein (G.)* et *G. Junkes*..... 7

K

KAHANE (Ernest). — Voir *Diament* (Mme *Marthe*) et *divers*..... 1058
KAMPÉ DE FÉRIET (Joseph) et Jack KOTIK. — Sur les ondes de pesanteur à deux dimensions d'énergie finie..... 230
KARRER (Paul). — Élu Associé étranger, adresse ses remercîments.... 114
— Son élection est approuvée..... 405
KATZ (T.). — Voir *Niggli (Paul)*..... 114
KÉPINOFF (Léon). — Le prix Fanny Emden lui est décerné..... 1579
KHALEQ (Abdul) et Mme Arlette VASSY. — Variation dirune de l'épaisseur réduite et de la température moyenne de l'ozone atmosphérique aux basses latitudes. 737
KOHN (André). — Voir *Faraggi* (Mme *Henriette*) et *divers*..... 714
KOLB (Mlle Thérèse). — Voir *Dubois (Georges)* et *divers*..... 1138
KONRAD (P.) et André MAUBLANC. — Encyclopédie mycologique. XX. Les Agaricales. Tome II. Russulacées, Hygrophoracées, Gomphidiacées, Paxillacées, Bolétacées (imp.)..... 1464
KOPACZEWSKI (Wladislas). — Le passage des hydrosols à travers les couches lipidiques et la nature du support..... 102
KOPP (Mme Marianne). — Sur une méthode générale de préparation des aryloxyamines de formule générale R′—CHNH$_2$—CHOAr—R″. 247
KORNMANN (Pierre). — Voir *Funke (Albert)* et *Pierre Kornmann*..... 726
KOTIK (Jack). — Voir *Kampé de Fériet (Joseph)* et *Jack Kotik*.... 230
KOVACS (André). — Sur la contraction isotherme du polystyrolène.. 1127
— L'influence de l'histoire thermique sur la variation isotherme du volume spécifique du polystyrolène..... 1648
KOVACS (André) et Pierre LAURENT. — Influence des phénomènes de fatigue sur le module d'élasticité des aciers..... 1103
— Influence de la fatigue sur les propriétés magnétiques des aciers... 1224
KOZICKI (Henri). — Voir *Guérin (Henri)* et *Henri Kozicki*..... 52
KRAUT (François). — Voir *Caillère* (Mlle *Simone*) et M. *François Kraut*..... 510
KREBS (Mlle Monique). — Voir *Rangier (Maurice)* et Mlle *Monique Krebs*..... 984
KUHNHOLTZ-LORDAT (Georges).— Le tapis végétal dans ses rapports avec les phénomènes actuels de surface en Basse-Provence (de Cassis à Bandol) (imp.)..... 1357
KUNETZ (Geza). — Voir *Beaufils* (Mlle *Yvonne*) et *divers*..... 198
KYOTO UNIVERSITY. — Bulletin of the Engineering research Institute, vol. I (imp.)..... 282

L

LABROUSTE (Mme Henri), née Yvonne DAMMANN et M. Benjamin BLADIER. — Analyse d'un électroencéphalogramme par la méthode Labrouste..... 898
LACASSAGNE (Antoine). — Délégué

MM. Pages.

au septième Congrès international de Radiologie, à Copenhague, en juillet 1953..... 645
— Rapports des prix Bréant, Marie Léon-Houry..... 1578
LACASSAGNE (Antoine), N. P. Buu-Hoi, Ng. Dat Xuong, François Zajdela et Bernard Eckert. — Synthèse d'un hexœstrol marqué par deux atomes de tritium..... 589
LAFFITTE (Mlle Élisabeth). — Application du modèle métallique à l'absorption et à la fluorescence de quelques colorants..... 36
LAFORGUE (Alexandre). — Sur la définition des atomes dans la molécule et la systématisation des diagrammes..... 1299
LAGASSE (Jean). — Voir *Teissié-Solier* (*Max*) et *Jean Lagasse*.... 146
LAGRULA (Jean). — Sur la prolongation du réseau gravimétrique nord-africain au Sahara français. Essai d'interprétation structurale (imp.)..... 1267
— Voir *Glangeaud* (*Louis*) et *Jean Lagrula*..... 193
LALAGUË (Pierre). — Sur certaines classes de fonctions indéfiniment dérivables..... 114
LALLEMAND (André) et Maurice DUCHESNE. — Application à l'Astronomie d'un récepteur idéal de photons..... 503
LALLIER (Roger). — Chlorure de lithium et biochimie du développement embryonnaire..... 98
— Chlorure de lithium et développement embryonnaire (aspects cytochimiques et morphologiques)... 260
LAMBERT (Mlle Paulette) et M. Pierre MASTAGLI. — Hydrogénation catalytique des acides furylacrylique et furylacryliques substitués en α au moyen du nickel de Raney..... 626
LAMBOT (Honoré) et Lawrence VASSAMILLET. — Détermination des désorientations réticulaires par diffraction des rayons X transmis dans les monocristaux..... 1136
— Sur la déformation et la polygonisation des monocristaux d'aluminium..... 1232
LAMOTTE (Maxime). — Influence de l'effectif des populations sur la diversité des fréquences du gène « absence de bande » chez *Cepæa nemoralis* L..... 826
— Le prix Cuvier d'anatomie et zoologie lui est décerné..... 1577
LAMOTTE (Maxime) et Gabriel Rougerie. — Nature et origine du relief de la Dorsale guinéenne.... 1144
LANCE (Claude) et Roger Gautheret. — Sur la pérennité des propriétés tumorales des tissus de Crown-Gall et des tissus ayant subi le phénomène d'accoutumance aux auxines..... 1682
LANG (François-Michel). — Du rôle de l'acide nitreux dans la formation des dérivés nitrés des amines et des phénols en milieu nitrique étendu..... 165
LAPICQUE (Louis). — Membre de la Commission de la fièvre aphteuse. 404
— M. *Albert Caquot* annonce sa mort.. 1449
— Notice nécrologique, par M. *Albert Caquot*..... 1449
LAPIN (Henri). — Voir *Sannié* (*Charles*) et *Henri Lapin*..... 581
LARNAUDIE (Marcel). — Isomérie des dérivés monosubstitués du cyclohexane..... 154
LARRAMONA (Mlle Henriette). — Action de la diéthylamine sur les cétones α-chlorées sur un carbone tertiaire..... 66
LASCOMBES (Georges). — Action des variations quotidiennes de température sur le métabolisme glucidique et le cycle de développement de la Betterave cultivée à haute altitude..... 894
LATARJET (Raymond). — Action restauratrice de la peroxydase sur des bactéries irradiées..... 1701
LATURAZE (Jean). — Voir *Osteux* (*Roger*) et *divers*..... 554
LAURENT (Jean). — Résultats de recherches concernant les origines des mouvements à longue période observés dans les ports maritimes. 1602
LAURENT (Jean) et André Rivière. — Résultats d'études complémentaires relatives à un type particulier d'ouvrage de protection des ports, rades ou estuaires contre les ensablements.... 1475
LAURENT (Pierre). — Voir *Kovacs* (*André*) et *Pierre Laurent*.. 1103, 1224
LAVOCAT (René). — Sur une faune de mammifères miocènes découverte à Beni-Mellal (Atlas Marocain)..... 189
LAZARD (Michel). — Sur les groupes

MM. Pages.
analytiques dans les modules filtrés. 1465
LEBEAU (Paul). — Rapport du prix La Caze de chimie..... 1576
— Id. du prix Laura Mounier de Saridakis..... 1581
LEBERT (Hermann).—Voir *Goldschmid (Edgar)*,..... 459
LE BIGOT (Louis-Pierre). — Voir *Goustard (Michel)* et *Louis-Pierre Le Bigot*..... 93
LEBLANC (Mlle Michèle). — Voir *Binet (Léon)* et *divers*..... 279, 405
LEBLANC (Pierre). — Sur la présence de wolframite en bordure du massif granitique de Tafraout (Anti-Atlas occidental, Maroc)... 1236
LEBLOND (André), Jean NALOT et Oskar DOEHLER. — Sur la détermination des vibrations propres et les changements de mode d'un magnétron oscillateur à cavités multiples..... 1494
LE BORGNE (Eugène). — Sur la susceptibilité magnétique du sol.. 1042
LE BOT (Jean). — Voir *Le Montagner (Serge)* et *divers*..... 1199
LE BOUFFANT (Léon) et Jean-Louis SOULÉ. — Procédé automatique d'analyse granulométrique..... 1207
LE BOULCH (Mlle Noellie). — Voir *Raoul (Yves)* et *divers*.... 1439, 1704
LEBRIS (Mlle Marie-Thérèse). — Voir *Wahl (Henri)* et Mlle *Marie-Thérèse Lebris*..... 1405
LECAMP (Maurice). — Régénération et métamorphose chez un Batracien anoure, *Alytes obstetricans*... 1699
LECHNO WASIUTYNSKA (Mlle Zofia). — Voir *Demers (Pierre)* et Mlle *Zofia Lechno Wasiutynska*.. 474
LECLAINCHE (Emmanuel). — Signale l'émoi causé par l'épizootie de fièvre aphteuse et demande qu'une Commission soit nommée afin d'étudier les mesures à prendre pour lutter contre le fléau..... 277
— Membre de la Commission de la fièvre aphteuse..... 404
— Rapport du prix Foulon d'économie rurale..... 1577
LECOINTRE (Georges). — Recherches sur le néogène et le quaternaire marins de la côte atlantique du Maroc. Tome I : Stratigraphie; Tome II : Paléontologie (imp)... 593
LECOLAZET (René). — Voir *Hée* (Mme *Arlette*) et M. *René Lecolazet*..... 201
LECOQ (Raoul). — Potentialisation des effets toxiques de l'acide pyruvique par une substance voisine complémentaire..... 550
— A propos de la notion de vitamine P. La fragilité vasculaire avitaminique..... 585
LECUIR (René). — Propriétés caractéristiques des matériaux céramiques obtenus par frittage..... 1650
— Voir *Lecuir* (Mme *René*) et M. *René Lecuir*..... 946
LECUIR (Mme René), née Lucienne CHAUMETON et M. René LECUIR. — Contrôle de l'action chimique du faisceau pendant la prise des clichés de diffraction électronique. Cas du chlorure de cobalt hydraté..... 946
LEDERER (Edgar). — Voir *Demarteau* (Mlle *Hélène*) et M. *Edgar Lederer*..... 265
LEFRANC (Jean-Philippe). — Voir *Freulon (Jean-Michel)* et *Jean-Philippe Lefranc*..... 385
LE GENDRE (Antoine). — Voir *Chevalier (Auguste)*..... 277
LEGENDRE (Robert). — Un prix Plumey lui est décerné..... 1575
LEGRAND (Mlle Gilberte). — Voir *Quillet (Marcel)* et Mlle *Gilberte Legrand*..... 311, 628
LEGRAND (Maurice) et Yves LEPAGE. — Dérivés méthoxylés et méthoxychlorés de la benzo [6.7] quinazoline..... 303
LEGRAND DES CLOIZEAUX (Jacques). — Voir *Des Cloizeaux (Jacques Legrand)*.
LE HIR (Alain), Robert GOUTAREL et Maurice-Marie JANOT. — Passage de la sempervirine à l'alloyohimbane..... 63
LEJAY (Pierre). — Membre du Conseil chargé de former le Comité national pour la préparation de l'année internationale géophysique et de l'opération internationale des Longitudes..... 1067
— Présente un Ouvrage de *Jean Lagrula*..... 1267
— Voir *Comité national pour la préparation de l'année internationale géophysique et de l'opération internationale des Longitudes*..... 1067
— Voir *Union Radioscientifique internationale*..... 753
LEJAY (Pierre), Jean MARTIN et Claude BLOT. — Contribution à

MM. Pages.

l'établissement des bases du réseau gravimétrique africain..... 1259
LELONG (Pierre). — Équivalence de certaines propriétés de pseudo-convexité..... 594
LELUBRE (Maurice). — Le prix Millet-Ronssin lui est décerné... 1581
— Adresse des remercîments..... 1589
LE MASNE (Georges). — Les échanges alimentaires entre adultes chez la Fourmi *Ponera eduardi* Forel.... 1549
LEMESLE (Robert). — Nature des éléments sclérenchymateux de la tige du *Lactoris fernandeziana* Philippi et position systématique des Lactoridacées..... 814
— Trachéides à face interne striée dans le bois de deux Ombellifères Apioïdées à port arbustif..... 896
LEMOIGNE (Maurice). — Membre de la Commission de la fièvre aphteuse..... 404
LEMOIGNE (Maurice) et Mme Madeleine CROSON. — Sur une bactérie productrice d'acide gluconique..... 1075
LE MONTAGNER (Serge), Jean LE BOT et Yves ALLAIN. — Constante diélectrique complexe à 9 500 MHz de quelques phosphates en fonction de la température..... 1199
LENNUIER (Robert) et Jean-Louis COJAN. — Nouvelles mesures des intervalles spectraux qui séparent les composantes hyperfines de la raie du mercure λ 2537..... 1634
LENORMANT (Henri). — Sur la structure des protéines en solution et dans les cellules vivantes. 104
LENOUVEL (François). — Observation de *AE Aquarii*..... 1282
LEPAGE (Yves). — Voir *Legrand* (*Maurice*) et *Yves Lepage*..... 303
LEPRINCE-RINGUET (Louis). — Rapport du prix Gaston Planté.. 1575
LERICHE (René). — Rapports des prix Montyon de médecine et chirurgie, Jean Dagnan-Bouveret. 1578
LESCOP (Pierre). — Voir *Vidal* (*Georges*) et *Pierre Lescop*..... 1221
LESSE (Hubert de). — Quelques formules chromosomiques chez les *Lycænidae* (Lépidoptères Rhopalocères)..... 1692
LE THI THUAN (Mlle). — Voir *Wiemann* (*Joseph*) et Mlle *Le Thi Thuan*..... 623
LETULLIER (André). — Voir *Dangeard* (*Louis*) et *André Letullier*.. 481
LEVADITI (Constantin), Aron VAISMAN et Mme Henriette CHAIGNEAU-ERHARD. — Mécanisme de l'action antituberculeuse de l'isonicotinhydrazide (I. N. H.). 450
— Durée des effets du traitement par l'isonicotinhydrazide (INH) des souris tuberculisées..... 1562
LEVALLOIS (Jean-Jacques) et Michel DUPUY. — Note sur le calcul des grandes géodésiques avec XI tables annexes (imp.)... 281
LE VAN HUNG. — Voir *Chauveau* (*Jean*) et *Le van Hung*..... 1248
LEVAS (Émile) et Mme Émile LEVAS. — Action du brome sur la β-dichloracroléine..... 61
LEVAS (Mme Émile), née Marcelle BOELENS. — Voir *Levas* (*Émile*) et Mme *Émile Levas*..... 61
LEVASSEUR (Albert). — Le prix Trémont lui est décerné..... 1579
— Adresse des remercîments..... 1589
LÉVÊQUE (Antoine). — Voir *Cohen* (*René*) et *divers*..... 159
LÉVY (Jacques). — Voir *Binet* (*Léon*) et *divers*..... 219
LÉVY (Mlle Jeanne). — Voir *Diament* (Mme *Marthe*) et *divers*..... 1058
LÉVY (Paul). — Sur une classe de lois de probabilité indécomposables..... 489
— Loi faible et loi forte des grands nombres..... 1186
LÉVY (Roger). — Sur le microdosage des ions chlore et brome en présence l'un de l'autre. Application de l'argentométrie potentiométrique par potentiels repérés..... 882
LHERMITTE (Roger). — Les « bandes supérieures » dans la structure verticale des échos de pluie..... 1414
LIBRARY OF CONGRESS. — Adresse de Washington une collection d'Ouvrages scientifiques..... 1000
LICHNEROWICZ (André). — Variétés pseudokählériennes à courbure de Ricci non nulle; application aux domaines bornés homogènes de C^n. 12
LIMA-DE-FARIA (José). — Sur l'obtention de charges électriques macroscopiques à l'intérieur des solutions..... 1297
— Sur le calcul des charges électriques formées à l'intérieur des solutions dans des régions de très forte discontinuité du champ électrique... 1392
— Sur l'application du permanganate

MM. Pages.

de potassium à la mise en évidence, d'une façon visible, des charges électriques engendrées pendant la diffusion..... 1641

LINDER (Robert). — Observation de l'incompatibilité dans *Œnothera fruticosa* L..... 516

LIPMAN (Jacob Goodale). — Voir *Waksman (Selman A.)*..... 1084

LITTLE (Arthur) et K. A. MITCHELL. — Tablet making (imp.) 1464

LONGCHAMP (Robert). — Voir *Vin-*

M

MACAGNO (Enzo Oscar). — Étude expérimentale du siphonnage dans des corps granulaires..... 866

MACHEBŒUF (Michel). — Voir *Coursaget (Jean)* et *divers*..... 448

— Voir *Talwar (Gursaran Parshad)* et *divers*..... 393

MAC KIE (Douglas). — The essays of Jean Rey. A facsimile reprint of the original edition of 1630 with an introduction (imp.)..... 646

MACRIS (Constantin). — Sur la vie moyenne des granules faculaires et des plages lumineuses dans la pénombre des taches..... 868

MAILLE (Mlle Monique). — Voir *André (Émile)* et Mlle *Monique Maille*.. 665

MAILLET (Pierre). — Sur la possibilité de transmission de virus par le Phylloxéra de la Vigne..... 907

MAKRAM (Helmy). — Voir *Bonnemay (Maurice)* et *divers*..... 955

MALÉ (Damien). — Sur le choix des mesures à effectuer pour déterminer simultanément les constantes optiques et l'épaisseur des lames minces absorbantes..... 1630

MALLEMANN (René de). — Rotativité de la vapeur d'eau..... 1263

MALLEMANN (René de) et François SUHNER. — Rotativités de l'éthane et des carbures d'hydrogène saturés..... 643

MALMGREN (Harry). — Enzymatic Breakdown of Polymetaphosphate (Uppsala, Thèse) (imp.)..... 593

MALVAUX (Pierre). — Recherche d'une loi intrinsèque de composition des vitesses..... 1009

MANDEL (Jean). — Sur le tassement d'une couche d'argile sous l'effet d'une force concentrée..... 1104

— Le prix Henri de Parville de mécanique lui est décerné..... 1574

— Adresse des remercîments. 1589

MANDEL (Paul). — Voir *Nordmann (Jean)* et *Paul Mandel*..... 834

MANDEL (Paul) et Robert BIETH. — Étude comparée du développement biochimique du cerveau chez quelques espèces de Mammifères..... 485

MANGALO (Raymond). — Voir *Raynaud (Marcel)* et *divers*..... 1713

MANGUIN (Émile). — Voir *Bourrelly (Pierre)* et *Émile Manguin*..... 767

MANSON (Numa). — Voir *Guénoche (Henri)* et *Numa Manson*..... 1617

MANSON (Numa) et Frank FERRIÉ. — Note sur les ondes explosives sphériques dans les mélanges gazeux..... 139

MANTZ (Mme Jean-Marie), née Jeanine LE COROLLER. — Un prix Jean Dagnan-Bouveret lui est décerné..... 1578

— Adresse des remercîments..... 1588

MANUEL (Mlle Simone). — Voir *Benoit (Jacques)* et *divers*..... 1695

MARCHAND (Henri). — Analogie entre une loi d'union sélective et une loi de fécondité ou de survivance différentielles..... 863

MARCOU (Clovis). — Voir *Santon (Lucien)* et *Clovis Marcou*..... 1278

MARESCAUX (Jean). — Voir *Aron (Max)* et *divers*..... 320

MARGERIE (Emmanuel de). — Pré-

MM. Pages.

sente la Carte géologique internationale de l'Afrique au 5 000000e en 9 feuilles..... 591
MARION (Fernand). — Voir *Aubry (Jacques)* et *Fernand Marion*.... 1509
MARNAY (Mlle Christiane). — Voir *Billet* (Mlle *Denise*) et Mlle *Christiane Marnay*..... 1706
MARQUIS (Mlle Madeleine). — Voir *Binet (Léon)* et *divers*..... 1352
MARSZAK (Israël). — Voir *Guermont (Jean-Pierre)* et *Israël Marszak*.. 252
MARSZAK (Israël), Roland EPSZTEIN et Martin OLOMUCKI. — Recherches sur les amines β, γ et δ acétyléniques..... 1409
MARTENS (Pierre). — Le prix Desmazières lui est décerné..... 1577
— Adresse des remercîments..... 1589
MARTIN (Charles). — Analyse de l'émission α dans la région des terres rares..... 878, 950
MARTIN (Claude). — Voir *Morel (Georges)* et *Claude Martin*..... 1324
MARTIN (Jean). — Voir *Lejay (Pierre)* et *divers*..... 1259
MARTINET (Jean). — Sur le mécanisme physique des phénomènes dans les complexes de semi-conducteurs électroniques..... 874
MARTINOT LAGARDE (André). — Voir *Chaffois (Jean)* et *divers*.... 345
MARTONNE (Emmanuel de). — Notice nécrologique sur *Sven Hedin*. 1452
MARTY (Claude) et Jacques PRENTKI. — Sur le spin de certains noyaux impair-impair..... 654
MARTYNOFF (Modeste). — Spectres d'absorption et structure des composés aminoazoïques. I. Les trois aminoazobenzènes isomériques et leurs sels monoacides..... 54
MASCHLER (Michaël). — Sur une transformation généralisée de série en série..... 769
MASQUELIER (Jack). — Voir *David (Roger)* et *Jack Masquelier*..... 1325
MASSE (Jean-Léon). — Étude d'un ion fondamental dans la série des oxazines..... 575
MASSONET (Mlle Renée). — Voir *Grangaud (René)* et *divers*.. 213, 446
MASTAGLI (Pierre). — Voir *Durr (Georges)* et *Pierre Mastagli*..... 1038
— Voir *Lambert* (Mlle *Paulette*) et M. *Pierre Mastagli*..... 626
MASTAGLI (Pierre), Mlle Angèle FLOC'H et M. Georges DURR. — Action des échangeurs d'anions

MM. Pages.

sur la condensation du furfural avec les aldéhydes ou avec l'acétone..... 1402
MATHIEU (Gilbert). — Évolution tectonique de la fosse de Chantonnay et extension de la mer des faluns dans le Nord de la Vendée..... 728
— Structure géologique de la façade atlantique de la Vendée et plissements posthumes en Aquitaine... 1139
MATSCHINSKI (Matthias). — Sur la probabilité de l'hypothèse de périodicité..... 14
— Quelques remarques sur les processus stochastiques. Le processus stochastique dans une population. 1362
— *Erratum*..... 1718
MATTEI (Mme Albert), née José MARCELLI. — Action des substances de croissance sur le bouturage de l'*Hibiscus rosa sinensis* L. Malvacée ornementale..... 205
MATTI (Jean). — Voir *Reynaud (Pierre)* et *Jean Matti*..... 1230, 1316
MAUBEUGE (Pierre-L.). — Existence d'une importante lacune stratigraphique, de vaste extension géographique, dans le Jurassique moyen haut-marnais..... 891
MAUBLANC (André). — Voir *Konrad (P.)* et *André Maublanc*..... 1464
MAUBLANC (François de). — Délégué de la France à l'Assemblée générale de l'Union Internationale pour la Protection de la Nature.. 216
MAUGUIN (Charles). — Rapport du prix Carrière de minéralogie et géologie..... 1576
MAURAIN (Charles). — Voir *Hackspill (Louis)*..... 1267
— Membre du Conseil chargé de former le Comité national pour la préparation de l'année internationale géophysique et de l'opération internationale des Longitudes... 1067
— Rapport du prix Saintour des sciences mathématiques..... 1580
MAURY (Pierre). — Voir *Carles (Jules)* et *divers*..... 80
MAY (Serge) et Bernard GIRAUDEL. — Échange d'iode entre l'iodure de sodium et l'iodure d'éthyle dans l'acétonitrile comme solvant. Comparaison avec divers résultats dans l'éthanol..... 953
MAYER (André). — Membre de la Commission de la fièvre aphteuse. 404

MM. Pages.
— Fait hommage d'un Ouvrage : « Un pionnier de la Physiologie. Léon Fredericq »..... 1587
MAYER (JEAN). — Le « Syndrome héréditaire d'obésité-diabète » de la Souris..... 667
MAYER (MAURICE). — Voir *Tuchmann-Duplessis* (*Herbert*) et *divers*..... 209
MAYOT (MARCEL). — Voir *Berthod-Zaborowski* (Mme *Henri*) et *divers*. 232
MAZOUÉ (Mme LOUIS), née HENRIETTE GIRY. — Voir *Busnel* (*René-Guy*) et *divers*..... 1535, 1684
MÉNAGER (H.). — Les Eucalyptus dans le Gharb (Maroc occidental) (imp.)..... 674
MENDÈS (MARCEL). — Sur des équations se ramenant à la forme canonique..... 408
MÉRIAUX (Mme DANIEL), née SUZANNE THOMAS. — Observations sur la méthode densimétrique dans l'analyse granulométrique..... 381
MEUNIER (PAUL). — Voir *Raoul* (*Yves*) et *divers*..... 1439, 1704
MEUNIER (PAUL), GEORGES ZWINGELSTEIN et JACQUES JOUANNETEAU. — Activité biologique sur des rats adultes du dérivé à action antivitaminique A obtenu par oxydation de l'axérophtol au moyen de V_2O_4; et effet de l'acide ascorbique..... 1161
MEYBECK (JEAN). — Voir *Schirlé* (*Charles*) et *Jean Meybeck*..... 298
MEYER (JEAN). — Réduction plastidale et dédifférenciation au cours de l'hyperplasie du tissu palissadique de la feuille de hêtre sous l'action cécidogène d'*Oligotrophus annulipes* Htg..... 391
— Édification de galles multiples par une même fondatrice et peuplement des galles d'*Eriophyes macrorhynchus* Nal. sur *Acer Pseudoplatanus* L..... 1428
— Rapports entre l'évolution cytologique du tissu nourricier d'*Eriophyes macrorhynchus* Nal. et la biologie de l'Acarien..... 1545
MEYER (A.-JEAN-PIERRE). — Les facteurs *g* spectroscopiques d'alliages ferromagnétiques nickel-cuivre... 1382
MIALHE (PIERRE). — Sur l'existence de l'hormone hyperglycémiante du pancréas..... 94
MIALHE (Mme PIERRE), née CÉCILE VOLOSS. — Action mélanophorodilatatrice des lobes antérieurs et postérieurs d'hypophyses de Rat et de Bœuf..... 211
— Action corticotrope des lobes antérieur et postérieur de l'hypophyse du Bœuf..... 743
MICHARD (RAYMOND). Nouvelles observations photométriques des taches solaires..... 791
— Les conditions physiques dans les grandes taches solaires déduites de leur spectre..... 1608
MICHEL (ANDRÉ-HENRI) et JEAN PAPIER. — Contribution à l'étude du revenu des aciers à coupe rapide..... 1398
MICHEL (PIERRE). — Formation d'alliages en couches minces par évaporation dans le vide des constituants purs..... 377
MICHEL-LÉVY (ALBERT). — Rapport de la fondation Lucien Cayeux... 1576
MILHAUD (GÉRARD). — Voir *Aubert* (*Jean-Paul*) et *divers*..... 1165
— Voir *Barry* (*Cormac*) et *divers*..... 1062
MINEUR (HENRI). — Sur les zéros des relations période-luminosité des Céphéides et des R R Lyræ... 1607
— Voir *Berthod-Zaborowski* (Mme *Henri*) et *divers*..... 232
— Présenté en troisième ligne pour la place vacante, dans la Section d'Astronomie, par la mort de M. *Bernard Lyot*..... 1344
— Obtient des suffrages..... 1357
MINISTRE DE L'ÉDUCATION NATIONALE. — Adresse ampliation du décret approuvant l'élection de M. *Paul Karrer*, en remplacement de Sir *Charles Sherrington*..... 405
— Id. d'un décret modifiant le règlement concernant la nomination des Membres non résidants..... 502
— Id. du décret approuvant l'élection de M. *Louis Bazy* en remplacement de M. *Henri Hartmann*..... 557
— Invite l'Académie à lui présenter une liste de deux candidats au poste d'Astronome titulaire à l'Observatoire de Paris, vacant par la mort de M. *Bernard Lyot*.. 1588
— Voir *Expéditions polaires françaises*. 1358
MINORSKY (NICOLAS). — Sur des systèmes oscillatoires contenant des paramètres à inertie..... 604
MITCHELL (K. A.). — Voir *Little* (*Arthur*) et *K. A. Mitchell*..... 1464

MM. Pages.

MOISSAN (Henri). — Son nom sera donné à l'une des voies de Noisy-le-Sec, à l'occasion du Centenaire de sa naissance..... 1085

MOLHO (Darius) et Mme Lucie MOLHO-LACROIX. — Chromatographie de partage sur papier de l'héparine en solutions aqueuse et plasmatique..... 522

MOLHO (Mme Darius), née Lucie LACROIX. — Voir *Molho (Darius)* et Mme *Lucie Molho-Lacroix*..... 522

MOLLARET (Pierre) et Mlle Geneviève CATEIGNE. — Isolement d'un ultra-virus dans un cas de méningite endothélio-leucocytaire multirécurrente bénigne..... 269

MONCOURIER (Louis). — Voir *Hissard (René)* et *divers*..... 822

MONNIER (Gilbert). — Voir *Aubry (Jacques)* et *Gilbert Monnier*.... 1037

MONOD (Théodore). — Fait hommage d'un Mémoire, en collaboration avec M. *R. Schnell* : « Mélanges botaniques », qui constitue le nº 18 des « Mémoires de l'Institut français d'Afrique Noire »..... 1464

MONTAIGNE (Jean-Claude). — Voir *Normant (Henri)* et *Jean-Claude Montaigne*..... 1656

MONTARIOL (Frédéric), Philippe ALBERT et Georges CHAUDRON. — Étude par irradiation à la pile atomique de la ségrégation intergranulaire et interdendritique des traces d'impuretés dans l'aluminium très pur..... 477

MONTEL (Paul). — Rapport du Grand Prix des sciences mathématiques. 1579

MONTREUIL (Jean). — Voir *Hocquette (Maurice)* et *divers*..... 1525

MORAND (Max) et Mme Simone DESPREZ-REBAUD. — Sur la répartition de l'intensité des traces isolées produites par le rayonnement cosmique dans des émulsions nucléaires tournantes, axées sur l'étoile polaire et conservant une orientation fixe par rapport au Soleil..... 294

MORAND (Max) et TSAI-CHÜ. — Sur la répartition angulaire, le spectre des moments et la dissymétrie Est-Ouest de la composante nucléaire du rayonnement cosmique étudiée au moyen d'une émulsion sensible..... 1502

MM. Pages.

MORAND (Max), Mlle Yvette AVIGNON, MM. Lud van ROSSUM et Roger DESPREZ. — Effet de latitude sur l'intensité du rayonnement cosmique déterminé au moyen des émulsions nucléaires.. 1639

MOREAU (Jean) et Jean PEREZ Y JORBA. — Étude des spectres β^- de $^{90}_{39}Y$, $^{91}_{39}Y$, $^{142}_{59}Pr$, $^{86}_{37}Rb$..... 38

MOREAU (Jean-Jacques). — Sur la théorie tourbillonnaire du profil portant en régime non stationnaire..... 695

— Voir *Salvinien (Jean)* et *divers*..... 46

MOREAU (Mlle Marie-Thérèse). — Voir *Grandchamp-Chaudun* (Mme *Andrée de*) et Mlle *Marie-Thérèse Moreau*..... 552

MOREL (Frédéric). — Lubrification des surfaces d'acier traitées par un bain sulfureux..... 284

MOREL (Georges) et Claude MARTIN. — Guérison de Dahlias atteints d'une maladie à virus.... 1324

MORET (Léon). — Curieuses cristallisations de calcite, attribuées à tort à des Algues (*Microcodium*), dans la partie terminale du Crétacé supérieur alpin et pyrénéen. 762

MORIN (Georges), Henri GASTAUT, Robert VIGOUROUX et Robert NAQUET. — Reproduction expérimentale de l'épilepsie de type « psycho-moteur » chez le Chat... 1561

MORIN (Philippe). — Voir *Section d'études des gîtes minéraux du Service géologique du Maroc*..... 1576

MORLAT (Georges). — Sur une généralisation de la loi de Poisson.... 933

— Sur une classe de fonctions aléatoires. 1364

MORTELMANS (Georges), Georges CHOUBERT et Henri HOLLARD. — Découverte d'industries du groupe de la « Pebble Culture » sur le reg ancien des plaines du Dra (Sud marocain)... 1680

MORTENSEN (Théodor). — Son remplacement parmi les Correspondants pour la Section d'Anatomie et Zoologie..... 1084

MOTTE (Jean). — Interprétation phylogénétique des formes anthéridiennes tératologiques chez les Polypodiacées..... 203

MOURAVIEFF (Igor). — Action prolongée de l'eau et des acides naphthylacétique et indolacétique sur l'appareil stomatique isolé.. 1328

MM. Pages.

MOURIQUAND (Georges), Mme Violette EDEL et Mlle Renée CHIGHIZOLA. — Sur la mesure du temps d'imprégnation post-toxique (acide acétyl-salicylique, alcool, plomb, benzol) de l'organisme par la chronaximétrie vestibulaire. 855

MOUSSERON (Max). — Un prix Paul Marguerite de La Charlonie de chimie lui est décerné..... 1576

— Adresse des remercîments..... 1589

MOUSSERON (Max), Robert JACQUIER et Henri CHRISTOL. — Réactions de réarrangement moléculaire dans la préparation d'amines à partir d'alcools alicycliques..... 57

MOUSSERON (Max), Robert JACQUIER, Mme Magdeleine MOUSSERON-CANET et M. Robert ZAGDOUN. — Quelques réactions de réduction par l'hydrure d'aluminium et de lithum en série alicyclique..... 177

MM. Pages.

MOUSSERON (Max), François WINTERNITZ et Mme Magdeleine MOUSSERON-CANET. — Quelques réactions d'hétérocyclisation d'amino-2 cyclanols stéréoisomères..... 373

MOUSSERON (Max), François WINTERNITZ et Georges ROUZIER. — Synthèse de quelques acides phénylcyclopentylacétiques. 660

MOUSSERON (Max), Robert JACQUIER et André FONTAINE. — Réactions d'oxydation et d'halogénation allyliques de cyano- et carbéthoxy-cyclohexènes..... 1512

MOUSSERON (Mme Max), née Magdeleine CANET. — Voir *Mousseron* (*Max*) et *divers*..... 177, 373

MULLER (Pierre). — Voir *Hérold* (*Albert*) et *divers*..... 658

MULLER (Théo), Raymond RICHERT et Serge GORODETZKY. — Sur l'emploi du compteur Rosenblum avec les sélecteurs à coïncidences à temps très courts.. 1385

N

NAJER (Henri). — Voir *Cheymol* (*Jean*) et *divers*..... 1711

— Voir *Delaby* (*Raymond*) et *divers*. 376, 1131

NALOT (Jean). — Voir *Leblond* (*André*) et *divers*..... 1494

NAM (Nguyen Hoang). — Voir *Hoï* (*N. P. Buu*) et *divers*..... 329

NAQUET (Robert). — Voir *Morin* (*Georges*) et *divers*..... 1561

NATIONAL ACADEMY OF SCIENCES ET NATIONAL RESEARCH COUNCIL. — Development of international cooperation in science. A Symposium held in conjunction with the third annuel Meeting of the executive Board International Council of scientific Unions. October 18, 1951, Washington (imp.)..... 1358

NATIONAL PHYSICAL LABORATORY. — Recent Developments and Techniques in the maintenance of Standards. Proceedings of a Symposium held on 2 1st and 2end May 1951 (imp.)..... 646

NATIONAL RESEARCH COUNCIL (U. S. A.). — Voir *Atwood* (*Wallace*)..... 767

— Voir *National Academy of sciences et National research Council*..... 1358

NAVES (Yves-René) et Pierre ARDIZIO. — Sur un mode inédit de cyclisation des pseudoirones (méthyl-3-pseudoionones)..... 579

— *Erratum*..... 842

NESTEROFF (Wladimir). — Coupes transversales de la Mer Rouge. Contribution aux théories de formation des récifs coralliens..... 1523

NEW ZEALAND DEPARTMENT OF SCIENTIFIC AND INDUSTRIAL RESEARCH. — Geophysical Memoir, n° 1 (imp.).... 1180

NGUYEN-VAN THOAI, Jean ROCHE et Mme Yvonne ROBIN. — Sur l'oxydation de la L (+) arginine par une L-amino-acide-oxydase présente chez des Invertébrés marins (étapes de la réaction et produits formés)..... 832

NICOLAU (Pierre). — Le prix Bordin des sciences mathématiques lui est décerné..... 1579

— Adresse des remercîments..... 1589

NICOLLE (Jacques) et Mlle Yvonne

MM. Pages.

JOYEUX. — *Erratum* relatif à une précédente communication (234, 1952, p. 2496)..... 108
NICOLLE (Pierre). — Voir *Jude* (*André*) et *divers*..... 1443
NIFONTOFF (Nicolas). — Sur l'effet de scintillation des cristaux détecteurs..... 1117
NIGGLI (Paul). — Adresse son Ouvrage : « Les bases de la Stéréochimie », traduit en français par MM. *J. Vialle* et *T. Katz*..... 114
NIKODYM (Otton Martin). — Voir *Berg* (*William D.*) et *Otton Martin Nikodym*..... 1005, 1096
NOLLET (l'abbé Jean-Antoine). — Voir *Torlais* (*Jean*)..... 282
NOMARSKI (Georges). — Un prix d'Aumale lui est décerné..... 1580
NORDMANN (Jean) et Paul MANDEL. — Étude quantitative des composés phosphorés acido-solubles du cristallin de Mammifères jeunes et âgés..... 834
NORDON (Jean). — Nouveaux cas d'intégrabilité par quadratures d'une équation différentielle remarquable du premier ordre. II.. 1181
NORMANT (Henri). — Voir *Gabert* (Mlle *Angèle*) et M. *Henri Normant*..... 1407
NORMANT (Henri) et Jean-Claude MONTAIGNE. — Recherches sur les dihydropyrannes; passage aux alcools γ éthyléniques ramifiés... 1656
NOUGARO (Jean). — Méthode graphique pour le calcul des ondes de translation dans les canaux découverts..... 341
— Recherches expérimentales sur les intumescences dans les canaux découverts..... 788

O

OBALDIA (Mlle G. de). — Voir *Baldet* (*Fernand*) et Mlle *G. de Obaldia*.. 857
OKAYAMA UNIVERSITY. — Mathematical Journal, vol. 1, n°s 1-2 (imp.)..... 593
O'KEEFE (John A.) et J. Pamelia ANDERSON. — The earth's equatorial radius and the distance of the moon (imp.)..... 1180
OLOMUCKI (Martin). — Voir *Marszak* (*Israël*) et *divers*..... 1409
OLOMUCKI (Mme Martin), née Anna GAWARTIN. — Voir *Jacob* (*Joseph*) et Mme *Anna Olomucki*.... 263
OR (Louis d') et Adam ORZECHOWSKI. — Sur la promotion en catalyse hétérogène..... 368
— Recherches complémentaires sur la promotion en catalyse hétérogène. 430
ORGANISATION INTERNATIONALE DE STANDARDISATION. — Voir *Pérard* (*Albert*)... 919
ORZECHOWSKI (Adam). — Voir *Or* (*Louis d'*) et *Adam Orzechowski*. 368, 430
OSTEUX (Roger). — Voir *Boulanger* (*Paul*) et *Roger Osteux*..... 524
OSTEUX (Roger), Jean LATURAZE et Mlle Janine BÜRCK. — Action inhibitrice de l'auréomycine sur la respiration bactérienne et l'oxydation des acides du cycle citrique. 554

P

PALAIS DE LA DÉCOUVERTE. — Son Directeur adresse le Catalogue de l'Exposition « Léonard de Vinci, Homme de science, 1452-1519 ».. 1464
PAPIER (Jean). — Contribution à l'extraction électrolytique des carbures d'un acier rapide trempé... 619
— Voir *Michel* (*André-Henri*) et *Jean Papier*..... 1398
PAPON (André). — Sur une méthode de construction de profils par combinaison de deux ou plusieurs profils analytiques..... 939
PAREYN (Claude). — Voir *Dangeard*

MM. Pages.

(*Louis*) et *divers*..... 440
PARIGI (Henri). — Voir *Valensi* (*Jacques*) et *divers*..... 865
PARIS (René). — Sur le flavonoside des fruits du *Paliurus aculeatus* Lamk..... 1329
PARODI (Hippolyte). — Délégué à la Remise de la Croix de guerre 1939-1945 à l'École supérieure d'électricité..... 767
PARODI (Maurice). — Application de la relation qui donne l'original d'un déterminant à la résolution d'un type d'équations intégrales. 1002
— Application de la transformation de Laplace à deux variables, à la résolution d'équations fonctionnelles..... 1597
PASCAUD (Claude). — Voir *Cueilleron* (*Jean*) et *Claude Pascaud*..... 1220
PASQUIER (Roger), Xavier COLONNA-CÉSARI et Jacques BONFILS. — Sur la détermination des régions grégarigènes du Criquet marocain *Dociostaurus maroccanus* Thünbg, en Corse..... 1157
PATAY (René) et André du CHALARD. — A propos de l'épiphysectomie chez *Gallus domesticus* L. 498
PAUL (Raymond) et Serge TCHELITCHEFF. — Action des dérivés organo-sodiques sur les éthers vinyliques..... 1226
PAUL (Serge). — Voir *Hocquette* (*Maurice*) et *divers*..... 1525
PAULIAN (Renaud). — Voir *Delamare-Debouteville* (*Claude*) et *Renaud Paulian*..... 1357
PAULING (Linus). — Assiste à une séance..... 333
PAULY (Jules). — Entraînement du cérium par le nitrate de potassium suivi à l'aide de $^{144}Ce^{*}$ comme indicateur..... 40
— Entraînement du sodium dans la cristallisation du nitrate de potassium suivi à l'aide du radiosodium comme indicateur..... 1215
PAUTHENIER (Marcel) et René CHALLANDE. — Comportement des ions dans les champs électriques forts..... 28
— Observation des dépôts de précipitation électrique au microscope électronique..... 1113
PAVANS DE CECCATTY (Max). — Voir *Tuzet* (Mlle *Odette*) et M. *Max Pavans de Ceccatty*..... 1541
PAVILLARD (Jean). — Recherches sur la croissance des plantes virosées : virus et auxines..... 87
— Id. II. Influence des facteurs d'environnement..... 1527
PEARSON (Donald E.). — Voir *Josien* (Mlle *Marie-Louise*) et *divers*..... 1206
PEBEREAU (Georges). — Un prix L.-E. Rivot et Lamb lui est décerné..... 1581
PÉLEGRIN (Marc). — Mesure de la turbulence atmosphérique..... 19
PELLAS (Paul). — Sur le mécanisme de diffusion de l'hélium dans les zircons..... 1134
PELLETIER (Marcel). — Utilisation possible des Polypiers pour la stratigraphie du Malm jurassien.. 1664
PELOU (André). — Voir *Polonovski* (*Michel*) et *divers*..... 1254
PELTIER (Daniel). — Sur quelques acides ortho-toluiques substitués et leurs esters méthyliques..... 1660
PERAKIS (Nicolas) et Jules WUCHER. — Courbe thermomagnétique caractéristique du tétroxyde de vanadium entre 81 et 680° K.. 354
— Sur le comportement magnétique du rhénium associé au palladium.... 419
PÉRARD (Albert). — Délégué dans le Comité technique de l'Organisation internationale de Standardisation, donne quelques renseignements sur les réunions tenues du 20 au 25 octobre, à Copenhague 919
— Rapport du prix Bordin des sciences mathématiques..... 1579
PÉRÈS (Joseph). — Délégué à l'inauguration d'un Médaillon à l'effigie de *Guido Castelnuovo*, à Rome, le 13 décembre 1952..... 1358
— Rapport du prix Montyon de mécanique..... 1574
— Voir *Conseil international des Unions scientifiques*..... 673
PÉREZ (Charles). — M. *Maurice Caullery* annonce sa mort..... 637
— Notice nécrologique, par M. *Maurice Caullery*..... 637
— Son remplacement dans la Section d'Anatomie et Zoologie..... 1588
PÉREZ (Jean-Jacques). — Solubilité de la sérum-albumine de Cheval préparée par cristallisation en milieu neutre ou alcalin..... 980
— Nature de la sérum-albumine de Cheval préparée par cristallisation en milieu alcalin..... 1056
PEREZ Y JORBA (Jean). — Voir *Moreau* (*Jean*) et *Jean Perez y*

MM. Pages.

Jorba..... 38

PERMINGEAT (François).— Voir *Section d'études des gîtes minéraux du Service géologique du Maroc*. 1576, 1589

PERNOUX (Émile). — Voir *Bernard (René)* et *Émile Pernoux*..... 1488

PERRIN (René) et Marcel ROUBAULT. — Observations en Bretagne sur des granites à enclaves de schistosités discordantes, dites enclaves déplacées..... 196

PERROT (Marcel) et Jean TORTOSA. — Contribution à l'étude de la conductibilité du silicium..... 143

PERROT (Roger) et Raoul BERGER. — Action du chlorure de nitrosyle sur les hydrocarbures acétyléniques..... 185

PERRYMAN (Eric-Charles). — Rupture intercristalline des alliages aluminium-zinc..... 884

PESSON (Marcel). — Voir *Polonovski (Michel)* et *divers*..... 1310

PESTEIL (Paul). — Fluorescence du naphtalène cristallisé à 20° C.... 150

— Polarisation de la fluorescence du diphényle et du tétraphényl 1144-butadiène 13..... 1384

PETIAU (Gérard). — Sur l'évaluation de la section efficace de diffusion coulombienne dans le choc de deux corpuscules élémentaires de spins $n/\hbar 2$ et $m\hbar/2$ (m et n entiers)..... 1612

PETIT (Mme Claudine). — Un cas de haute mutabilité chez *Drosophila melanogaster*..... 745

PETIT (Georges) et Anwar Abdel ALEEM. — Caractéristiques et évolution de la végétation d'un étang des Pyrénées-Orientales... 632

PETRESCO (Julian). — Théorie relative des chaînes. I. Conformisme et correspondance..... 226

— Id. II. Isocorrespondance..... 1087

PEUTEMAN (André). — Définition précise d'un intervalle de temps, au moyen d'un dispositif électronique. Remise à zéro automatique. Choix de la fréquence de référence..... 1381

PEYNAUD (Émile). — Étude de l'inhibition de *Saccharomyces cerevisiæ* par l'actidione..... 1163

PEYRÉ (Mlle Marcelle). — Voir *Velu (Henri)* et Mlle *Marcelle Peyré*... 1559

PEYRON (Maurice). — Voir *Déjardin (Georges)* et *divers*..... 538

PHILIPPOT (André). — Sur la présence d'Éponges réticulées (Dictyospongidés, Lyssacines) dans le Briovérien de Bretagne..... 438

PHOUPHAS (Chryssanthos). — Action de l'hydrazide maléique sur la teneur en substances glucidiques du tissu libérien de racine de Carotte cultivé *in vitro*..... 808

PICARD (Daniel). — Voir *Busnel (René-Guy)* et *Daniel Picard*..... 1217

PICARD (Jacques). — Voir *Polonovski (Michel)* et *Jacques Picard*..... 669

PICCAROLO (G.). — Il Pioppo. Norme pratiche di coltivazione (imp.)... 338

PIERRÉE (Mlle Claire). — Voir *Barraud (Jean)* et Mlle *Claire Pierrée*. 72, 1068

PIGNARD (Pierre). — Voir *Gautier (Jean-Albert)* et *Pierre Pignard*.. 242

PINEAU (Robert). — Voir *Quelet (Raymond)* et *Robert Pineau*.... 496

PISOT (Charles). — Voir *Dufresnoy (Jacques)* et *Charles Pisot*..... 1592

PIVETEAU (Jean). — Voir *Jacob (Charles)*..... 923

PLANTEFOL (Lucien). — Sur les « feuilles soudées en cornet » du *Linum usitatissimum* L..... 386

— Variations des « cornets foliaires » tératologiques du *Linum usitatissimum* L..... 812

— Sur l'aréole du *Pereskiopsis Diguetii*. Valeur morphologique des aiguillons des Cactées..... 1150

— La phyllotaxie du *Linum usitatissimum* L..... 1242

PLOUVIER (Victor). — Voir *Sosa (Antoine)* et *Victor Plouvier*..... 1045

POBEGUIN (Mlle Thérèse). — Voir *Louisfert* (Mlle *Jeannine*) et Mlle *Thérèse Pobeguin*..... 287

POINCARÉ (Henri). — Œuvres, Tome VIII, publié avec la collaboration de *Pierre Sémirot* (imp.). 1356

POINCELOT (Paul). — Sur l'inexistence de l'onde de surface (Oberflächenwelle) de A. Sommerfeld.. 350

— Sur les régimes transitoires..... 1492

POIVILLIERS (Georges). — Présente une Publication de l'Institut géographique national, par MM. *Jean-Jacques Levallois* et *Michel Dupuy*..... 281

— Rapport du prix Aimé Laussedat... 1575

POLICARD (Albert), André COLLET et Mlle Lucette RALYTE. — Étude au microscope électronique des poussières minérales renfermées dans les scléroses pulmonaires silicotiques..... 224

MM. Pages.

POLICARD (Albert) et André COLLET. — Étude par microcinématographie en contraste de phase de l'action des particules de charbon et de quartz sur le comportement des phagocytes..... 680

— Effets du fluorure de calcium naturel (spath fluor) et synthétique sur les tissus conjonctifs et lymphoïdes. 1462

POLLACZEK (Félix). — Sur une application de l'intégrale d'Hadamard à la théorie des équations différentielles linéaires..... 681

POLONOVSKI (Jacques). — Voir *Douste-Blazy* (*Louis*) et *divers*.... 1643

POLONOVSKI (Michel) et Jacques PICARD. — Action des phosphates et des esters phosphoriques sur la minéralisation du cartilage ossifiable par l'acide adénosinetriphosphorique..... 669

POLONOVSKI (Michel), Henri SCHMITT et André PELOU. — Activité adrénolytique, noradrénolytique et sympatholytique comparée de quelques β-phénoxyisopropylamines..... 1254

POLONOVSKI (Michel), Marcel PESSON et Mme Pesia RAJZMAN. — Dérivés de l'hydroxy-3 diphényl-5.6 *as.*-triazine..... 1310

POLONOVSKI (Michel), Carlos ALCANTARA et René-Guy BUSNEL. — Sur la pluralité des ptérines des écailles des cyprinidés et des œufs de *Bombyx Mori*..... 1703

PÓLYA (George). — Sur une interprétation de la méthode des différences finies qui peut fournir des bornes supérieures ou inférieures. 995

— Sur le rôle des domaines symétriques dans le calcul de certaines grandeurs physiques..... 1079

POMMIER (Mlle Marie-Christine). — Voir *Collet* (*Luc-Henry*) et Mlle *Marie-Christine Pommier*..... 1033

PONDER (Eric). — Voir *Dervichian* (*Dikran G.*) et *divers*..... 324

PONDER (Eric), Marcel BESSIS et Michel BRICKA. — Répartition de l'hémoglobine en fonction de la forme disque ou sphère des érythrocites..... 96

POPOFF (Kyrille). — Sur les relations phénoménologiques d'Onsager... 648

POPOVA (Mlle Hélène). — Sur les vecteurs dérivés des quasi-groupes unis..... 1360

— Logarithmétiques réductibles de quasi-groupes..... 1589

POPOVIĆ (Vojin). — Voir *Giaja* (*Jean*) et *Vojin Popović*..... 98

PORTEVIN (Albert). — Rapport du prix Trémont..... 1579

PORTIER (Paul). — Rapport du prix Jean Dagnan-Bouveret..... 1578

— Id. du prix Fanny Emden..... 1579

POTIER (Mme Antoine), née Jacqueline BOUGUIÈRE. — Courbes d'ébullition et de rosée du mélange azéotrope nitrique-acide à 100 % sous 760 mm Hg..... 432

— *Errata*..... 751

POULIGNIER (Jean), Mme Charlotte BUCKLE et M. Pierre JACQUET. — Détermination métallographique des températures subies en service par des pièces de machines thermiques..... 718

POURADIER (Jacques). — Voir *Abribat* (*Marcel*) et *divers*..... 157

PRENANT (Marcel). — Voir *Gabe* (*Manfred*) et *Marcel Prenant*.... 1050

PRENTKI (Jacques). — Voir *Marty* (*Claude*) et *Jacques Prentki*..... 654

PRICE (Terrence). — Voir *Chanson* (*Paul*) et *divers*..... 1500

PROUVOST (Jean). — Sur la transformation de la covellite, sous l'action du courant, dans un électrolyte unique..... 379

PRUDHOMME (Robert-Olivier) et Raoul-Henri BUSSO. — Photogénèse ultraviolette dans l'eau soumise aux ultrasons..... 1486

PRUVOT (Mme Georges), née Alice FOL. — *Acteon tornatilis* L. et sa « radula »..... 1336

PUZENAT (Léon). — Probabilités de l'existence de minerais radioactifs dans certaines régions du Maroc français (pli cacheté)..... 1234

Q

QUELET (Jean). — Voir *Tuchmann-Duplessis* (*Herbert*) et *divers*..... 209

QUELET (Raymond). — Précis de chimie. I. Chimie générale (imp.). 1267

MM. Pages.

QUELET (Raymond) et Robert PINEAU. — Sur une prétendue transposition des acides dérivés de l'acide bromo-5 salicylique. Action d'un excès de bromure d'éthyle-magnésium sur l'acide méthoxy-2 bromo-5 benzoïque..... 496

QUÉRANGAL DES ESSARTS (Jean). — Voir *Jaulmes* (*Charles*) et *divers*. 1578, 1589

QUILLET (Marcel) et Mlle Gilberte LEGRAND. — Sur le métabolisme glucidique des champignons supérieurs. II. Relation entre le glycogène et le mannitol chez *Agaricus campester* (Fr.) variété bispora..... 311

— Id. III. Le fructose, glucide intermédiaire du métabolisme du mannitol chez *Agaricus campester* (Fr.) variété *bispora*..... 628

R

RADVANYI (Pierre). — Mesure du rapport d'embranchement capture K/émission β^+ de ^{79}Kr..... 289

— Mesure du rapport capture L/capture K de ^{79}Kr..... 428

RADZISZEWSKI (Constantin). — Sur un problème extrémal relatif aux figures inscrites dans les figures convexes..... 771

RAISON (Mlle Madeleine). — Détermination de la concentration critique des micelles de détergents anioniques par titration colorimétrique au moyen d'un colorant cationique : le chlorure de pinacyanol..... 1129

RAJZMAN (Mme Salomon), née Pesia MARKON. — Voir *Polonovski* (*Michel*) et *divers*..... 1310

RALYTE (Mlle Lucette). — Voir *Policard* (*Albert*) et *divers*..... 224

RAMART (Mme Maurice), née Pauline LUCAS. — Structure et absorption des dérivés hydroxylés du xanthène (résorcine-benzéines). 1652

RAMON (Gaston). — A propos de la fièvre aphteuse..... 333

— Sur sa proposition, l'Académie adopte un vœu relatif à l'épizootie aphteuse..... 403

— Membre de la Commission de la fièvre aphteuse..... 404

— Rapport du prix du Baron Larrey.. 1578

RAMON (Gaston), André CHASSIGNEUX, Rémy RICHOU et Claude GERBEAUX. — Le nucléinate de soude, substance adjuvante et stimulante de l'immunité..... 111

RAMSAY (Sir William). — Voir *Broglie* (*Louis de*)..... 1180

RANGIER (Maurice) et Mlle Monique KREBS. — Dosage à froid de l'ammoniaque dans les milieux riches en urée..... 984

RAOUL (Yves), Mlle Noëllie LE BOULCH, MM. Jean CHOPIN, Paul MEUNIER et Mme Andrée GUERILLOT-VINET. — Nouvelle chaîne d'activation antirachitique du cholestérol; sa généralité..... 1439

— Présence dans les huiles de foies de poissons d'un nouveau composé antirachitique et de son précurseur..... 1704

RAUCOURT (Marc). — Le prix Montyon des arts insalubres lui est décerné..... 1576

— Adresse des remercîments..... 1589

RAWER (Karl). — Voir *Harnischmacher* (*Ewald*) et *Karl Rawer*... 709

RAYMOND (François-Henri). — Sur la stabilité d'un asservissement linéaire multiple..... 508

RAYMOND-HAMET. — Gelsémine, gelsémicine, strychnine et formosanine..... 84

— Sur l'alcaloïde principal d'une Rubiacée des régions tropicales de l'Amérique du Sud : l'*Ourouparia guianensis* Aublet..... 547

— Sur quelques propriétés physiologiques des alcaloïdes totaux de l'écorce d'Angusture..... 1152

RAYNAUD (Marcel), Mlle Renée SAISSAC et M. Raymond MANGALO. — Étude sur la toxinogenèse diphtérique. Suppression de

MM. Pages.

l'action inhibitrice du fer par l'aération et l'agitation des cultures.. 1713

REAL SOCIEDAD ESPANOLA DE FISICA Y QUIMICA. — L'Académie est informée du Cinquantième anniversaire de cette Société, à Madrid, du 15 au 21 avril 1953.. 1588

REBONT (Jean). — Voir *Valensi* (*Jacques*) et *divers*..... 865

REBUFFET (Pierre). — Voir *Sirieix* (*Maurice*) et *divers*..... 459

RECH (Mme Henri), née Marguerite FROLLO. — Phénomènes de convergence dans la formation des grès anisométriques..... 1517

— Un prix Lucien Cayeux lui est décerné..... 1576

REEB (Georges). — Variétés symplectiques, variétés presque-complexes et systèmes dynamiques.. 776

REGNAULT (Mlle Fernande), MM. Pierre AIGRAIN, Claude DUGAS et Bernard JANCOVICI. — Sur les propriétés semi-conductrices de la molybdénite..... 31

RÉGNIER (André). — Sur la conservation de la charge..... 1370

RENARD (Mlle Simone-Hélène). — Voir *Chabrier* (*Pierre*) et *divers*.. 64

RENAUD (Mlle Jeanne). — Déterminisme du sexe et parthénogenèse facultative chez *Dinophilus apatris* Korsch..... 908

RENAULT (Philippe). — Distinction de deux types d'avens sur les Plans de Canjuers (Var)..... 1519

— Influence du sens des circulations aquifères sur le creusement des avens des Plans de Canjuers (Var). 1672

RENGGLI (Heinz). — Un théorème de représentation conforme..... 1593

RENIER (Edgar). — Voir *Chabrier* (*Pierre*) et *divers*..... 64

RENOUX (Gérard). — Vaccination préventive du Cobaye contre la brucellose expérimentale (*Br. Melitensis* par l'association de la souche 19 aux anacultures..... 986

REY (Jean). — Voir *Mac Kie* (*Douglas*)..... 646

REYNAUD (Pierre) et Jean MATTI. — Sur l'isolement et quelques propriétés des isomères *cis-trans* de l'α, β-diphényl-β-méthoxyacrylonitrile..... 1230

— Préparation, isolement et étude des bromhydrates des isomères *cis-trans* de l'α-carbéthoxy α'diéthylaminoéthoxy stilbène et du bromhydrate de l'α-carbéthoxy α-diéthylaminoéthyl désoxybenzoïne.. 1316

RIABOUCHINSKY (Dimitri). — Quelques considérations sur les canons sans recul et les projectiles à charge creuse..... 677

RIBAUD (Gustave). — Délégué à l'inauguration d'un médaillon de *Joseph Fourier*, à Auxerre.. 7, 502

— Présente un fascicule du Mémorial des sciences physiques contenant un Mémoire de *F. Marcel Devienne*. 566

— Id. deux fascicules contenant des Mémoires de M. *Pierre Rouard*.. 1587

RICARD (Jacques). — Évolution des distributions de fréquences des tailles des plantules d'une population de Blé..... 1424

RICHERT (Raymond). — Voir *Muller* (*Théo*) et *divers*..... 1385

RICHOU (Rémy). — Voir *Ramon* (*Gaston*) et *divers*..... 111

RIO (Guy). — Les deux céto-bis (phényl-éthyl)-9.10 anthracènes..... 182

— Les distyryl-9.10 anthracènes..... 964

— Spectres d'absorption de quelques corps insaturés appartenant à la série du *bis* (phényl-éthyl)-9.10 anthracène..... 1308

RIVIÈRE (André). — Voir *Laurent* (*Jean*) et *André Rivière*..... 1475

ROBILLARD (Eugène), Henri SIMONNET et Joseph STERNBERG. — Recherches sur la biochimie des composés phosphorés du lait. VI. Électrophérographie des protéines du sang de Lapine en lactation..... 1557

ROBIN (Jacques). — Recherches sur la structure et la stabilité des oxydes mixtes de cobalt-nickel, cobalt-magnésium et cobalt-zinc... 1301

ROBIN (Stéphane). — Voir *Bergeon* (*René*) et *divers*..... 360

ROBIN (Mme Yvonne). — Voir *Nguyen Van Thoai* et *divers*..... 832

ROCHE (Jean). — L'industrie préhistorique du Cabeço d'Amoreira (Muge) (imp.)..... 593

— Voir *Nguyen Van Thoai* et *divers*... 832

ROCHET (Mlle Geneviève) et M. Jean DAUDIN. — Sur l'origine des bursts de rayons cosmiques.. 1121

MM. Pages.

ROGER (Francis). — Voir *Giroud (Paul)* et *divers*..... 988

ROIG (Jean) et Maurice BÉCART. — Lampe à cathode creuse alimentée en impulsions; obtention de raies d'étincelle..... 1625

ROMAND (Jacques) et Mme Janine GRANIER-MAYENCE. — Spectre d'absorption de l'oxyde azoteux solide dans la région de Schumann..... 1023

ROMANET (René). — Sur le fonctionnement adiabatique des colonnes à rectifier..... 412

— Contribution à l'étude de l'effet du prélèvement intermittent sur l'efficacité des colonnes à rectifier. 1390, 1645

ROSE (Adolphe-Jean). — Réalisation de demi-diagrammes symétriques Debye-Scherrer, par transmission, en rayonnement filtré..... 74

ROSE (Alan). — Le degré de saturation du calcul propositionnel implicatif à trois valeurs de Sobociński. 1000

ROSE (Maurice) et Jean CACHON. — *Errata* relatifs à de précédentes communications (233, 1951, p. 451-452 et 234, 1952, p. 2306-2308)..... 488

ROSENBERG (Albert-Jean) et Anatole ANDREJEW. — Métabolisme intermédiaire des Mycobactéries. III. Malicodéshydrogénases et coenzyme I-cytochrome *c* réductase dans les bacilles tuberculeux. 1437

ROSENBLUM (Salomon), Manuel VALADARES et Marcel GUILLOT. — Spectre d'électrons de conversion interne émis dans la transmutation radiothorium → thorium X..... 238

ROSENBLUM (Salomon) et Manuel VALADARES. — Sur les niveaux nucléaires A (premiers états excités)..... 711

ROSSETTI (Mlle Colette). — Montages interférométriques de détection des ultrasons..... 1484

ROSTAND (Jean). — Polydactylie, polypodie et polymélie chez les têtards de *Rana esculanta* L..... 322

— Sur la variété d'expression d'une certaine anomalie (P) chez la Grenouille verte (*Rana esculenta* L.)..... 583

ROTHSTEIN (Robert), Kurt BINOVIC et Mlle Jacqueline DELOR. — Sur quelques dérivés ammonium quaternaires de la δ-amino-γ-valérolactone..... 1171

ROUARD (Pierre). — Mémorial des sciences physiques, fasc. LIV : « Propriétés optiques des lames minces solides », fasc. LV : « Applications optiques des lames minces solides »..... 1587

ROUBAUD (Émile). — Voir *Floch (Hervé)* et *Émile Abonnenc*..... 923

ROUBAULT (Marcel). — Sur l'origine des granites tertiaires de la Kabylie de Collo (Département de Constantine)..... 307

— Voir *Perrin (René)* et *Marcel Roubault*..... 196

ROUDIER (Adrien) et Lucien EBERHARD. — La présence des mannanes dans le bois des arbres appartenant au sous-embranchement des Angiospermes..... 207

ROUGERIE (Gabriel). — Voir *Lamotte (Maxime)* et *Gabriel Rougerie*. 1144

ROULLEAU (Jean). — Sur le rôle de la vapeur d'eau dans l'alimentation des anticyclones..... 664

ROUVILLOIS (Mlle Armelle). — Sur l'hydrogéologie des sables thanétiens du Bassin de Paris..... 305

ROUX (Eugène) et Mlle Christiane HUSSON. — Pigments des chloroplastes et photosynthèse..... 1154

ROUX (Louis). — Voir *Faivre-Amiot (Albert)* et *divers*..... 912, 982

ROUZIER (Georges). — Voir *Mousseron (Max)* et *divers*..... 660

ROY (Maurice). — A propos du gong sonique..... 756

ROYAL SOCIETY. — Adresse à l'Académie, pour être distribués à ses Membres, un certain nombre d'exemplaires d'un fascicule : « The relations between fellows of the Royal Society and french men of science when France and Britain were at war », par *Gavin Rylands De Beer*..... 681

ROYON (Jean). — Voir *Bonnemay (Maurice)* et *divers*..... 955

RUBIO (Santiago). — Rotaciones corpusculares (imp.)..... 408

RUFFIER D'EPENOUX (François). — Un prix L.-E. Rivot et Lamb lui est décerné..... 1581

— Adresse des remercîments..... 1589

RUHLAND (Michel). — Voir *Dubois (Georges)* et *Michel Ruhland*..... 436

RYBAK (Boris). — Un dialyseur sous pression contrôlée..... 617

S

MM. Pages.

SABATIER (Germain). — La mesure des chaleurs de transformation à l'aide de l'analyse thermique différentielle..... 574
— Le prix Carrière de minéralogie et géologie lui est décerné..... 1576
— Adresse des remercîments..... 1589
SACKMANN (Louis A.). — Mise en équation des résultats d'expériences. Lois empiriques linéarisées..... 689
— Id. Nouvelles formules d'utilisation. 783
SADRAN (Gérard). — Essais de synthèses en relation avec des roches volcaniques d'Algérie..... 512
SAENGER (Eugen). — Détonation des explosifs liquides et solides... 461
SAEZ (Alberto). — Influence de l'apodisation sur la structure des images d'objets étendus..... 148
SAHY (André). — Voir *Tuchmann-Duplessis* (*Herbert*) et *divers*..... 209
SAINT-GUILY (Bernard). — Différences des coefficients d'absorption de l'eau pure et de l'eau de mer, prévues par la théorie dans le domaine des rayons X..... 893
SAISSAC (Mlle Renée). — Voir *Raynaud* (*Marcel*) et *divers*..... 1713
SALMON (Jean). — Voir *Étienne* (*André*) et *Jean Salmon*..... 70, 244
SALOMON (Louis). — Voir *Thomas* (*J.-André*) et *divers*..... 520
SALOMON (Mme Louis), née Léone BALSSA. — Voir *Thomas* (*J.-André*) et *divers*..... 520
SALVAN (Henri). — Voir *Gauthier* (*Henri*) et *Henri Salvan*..... 484
SALVINIEN (Jean), Jean-Jacques MOREAU et Robert GAUFRÈS. — Régimes permanents de diffusion déterminés, dans un gel, par la précipitation mutuelle de deux réactifs..... 46
SANCELME (André). — Voir *Fleureau* (*Bernard*) et *André Sancelme*. 801
SANDOR (Georges). — Voir *Wesley* (Mme *Inès*) et M. *Georges Sandor*. 1159
SAN JUAN (Ricardo). — Sur la somme des classes quasi analytiques..... 118
— Une propriété générale des classes quasi analytiques et des développements asymptotiques dans des demi-plans..... 282
SANNIÉ (Charles). — Le prix Laura Mounier de Saridakis lui est décerné..... 1581
— Adresse des remercîments..... 1589
SANNIÉ (Charles) et Henri LAPIN. — Structure des sapogénines stéroliques et chromatographie de partage sur papier..... 581
SANTON (Lucien) et Clovis MARCOU. — Un enregistreur de profil de houle pour laboratoire..... 1278
SANTONI (Ermenegildo). — Le prix Aimé Laussedat lui est décerné... 1575
— Adresse des remercîments..... 1589
SANTOS LUCAS (José). — L'anthracène étudié par la méthode des orbitales moléculaires, compte tenu des interactions entre configurations. La configuration fondamentale..... 656
SAPORTE (Robert). — Voir *Fert* (*Charles*) et *Robert Saporte*..... 1490
SAULGEOT (Mlle Anne-Marie). — Pertes de charge à travers une colonne de sphères..... 343
SAURIN (Edmond). — Sur quelques points de la stratigraphie et de la structure de l'Anthracolithique dans la zone maritime du Nord Vietnam..... 1667
SAVEL (Pierre). — Utilisation du compteur à étincelles pour l'étude de la fission de l'uranium..... 156
SAVORNIN (Jean) et Mme France SAVORNIN. — Mesures thermoélectriques sur le silicium *P*..... 465
SAVORNIN (Mme Jean), née France FOURRIER. — Voir *Savornin* (*Jean*) et Mme *France Savornin*... 465
SCHAPIRA (Georges) et Jean-Claude DREYFUS. — Le prix Lonchampt leur est décerné..... 1580
SCHATZMANN (Evry). — Le prix Henri de Parville d'ouvrages de sciences lui est décerné..... 1579
— Adresse des remercîments..... 1589
SCHIRLÉ (Charles) et Jean MEYBECK. — Étude de l'action du chlorite et du bioxyde de chlore

MM. Pages.
sur la laine..... 298
SCHMITT (Claude). — Influence de la lumière sur la résistance de plantules de *Lepidium sativum* L. à *Botrytis cinerea* Pers..... 258
SCHMITT (Henri). — Voir *Polonovski (Michel)* et *divers*..... 1254
SCHNELL (Raymond). — Voir *Monod (Théodore)*..... 1464
SCHNELLER (H.). — Geschichte und Literatur der Lichtwechsels der veränderlichen Sterne. Zweite Ausgabe enthaltend die Literatur der Jahre 1916-1950 (imp.)..... 459
SCHUTZENBERGER (Marcel-Paul). — Construction du treillis modulaire engendré par deux éléments et une chaîne finie discrète..... 926
SEBILLEAU (François). — Voir *Guinier (André)* et *François Sébilleau*. 888
SECRÉTAIRE D'ÉTAT A LA GUERRE. — Invite l'Académie à désigner l'un de ses Membres qui fera partie du Conseil de perfectionnement de l'École polytechnique, en remplacement de M. *Pierre Jolibois* dont les pouvoirs sont expirés et qui est rééligible.. 566
SECTION D'ÉTUDES DES GÎTES MINÉRAUX DU SERVICE GÉOLOGIQUE DU MAROC. — Le prix Joseph Labbé lui est décerné, notamment à MM. *Jules Agard, Jean Bouladon, Georges Jouravsky, Philippe Morin, François Permingeat* et *Christophe Gaudefroy*..... 1576
— Son Chef et MM. *J. Agard, J. Bouladon, G. Jouravsky, F. Permingeat* adressent des remercîments..... 1589
SÉGARD (Norbert). — Contribution à l'étude théorique de la figure de diffraction donnée par une ouverture circulaire couverte à moitié par une lame à faces parallèles... 1496
SEGRETAIN (Gabriel). — Action du lait de Coco et de l'acide naphtalène acétique sur la multiplication d'un virus en culture de tissus... 1342
SEMENENKO (N. P.). — Assiste à une séance..... 845
SÉMIROT (Pierre). — Voir *Poincaré (Henri)*..... 1356
SEPTIER (Albert). — Sur le pouvoir séparateur de l'objectif électrostatique à immersion..... 609
— Objectif à immersion électrostatique à haut pouvoir séparateur d'un type nouveau..... 652
— Calcul de la répartition de potentiel

MM. Pages.
$\Phi(z)$ sur l'axe d'un objectif électrostatique à immersion à électrodes épaisses..... 1203
— Étude expérimentale de l'objectif électrostatique à immersion à électrodes planes : courbes de focalisation et distance focale..... 1621
SERGENT (Edmond) et Étienne SERGENT. — Étude expérimentale de la durée de l'infection latente et de la prémunition corrélative dans le paludisme..... 222
SERGENT (Étienne). — Voir *Sergent (Edmond)* et *Étienne Sergent*..... 222
SERRE (Jean-Pierre). — Une allocation Girbal-Baral lui est accordée..... 1581
— Adresse des remercîments..... 1589
SERRUYS (Max). — Sur le passage par la vitesse du son au cours de la détente d'un gaz en combustion.. 1280
SERVANT (Jacques). — Étude de certains caractères immunologiques chez une souche sensible et des souches résistant à la dihydrostreptomycine de *Salmonella enteritidis var. Danysz*..... 106
— Voir *Jude (André)* et *divers*..... 1443
SERVANT (Mlle Paule). — Voir *Jude (André)* et *divers*..... 1443
SERVICE GÉOLOGIQUE DU MAROC. — Voir *Section d'études des gîtes minéraux du Service géologique du Maroc*..... 1576
SHERRINGTON (Sir Charles). — Son remplacement parmi les Associés étrangers..... 405
SIEGBAHN (Manne). — Assiste à une séance..... 673
SIERPINSKI (Waclaw). — Sur une formule donnant tous les nombres premiers..... 1078
— Voir *Davis* (Mme *Anne C.*) et M. *Waclaw Sierpinski*..... 850
SILBERSTEIN (Lazare). — Voir *Bertrand (Gabriel)* et *Lazare Silberstein*..... 1458
SIMON (Jean-Claude). — Le prix du Général Ferrié lui est décerné.... 1575
— Adresse des remercîments..... 1589
SIMON (Jean-Claude) et Georges WEILL. — Sur le rayonnement longitudinal d'antennes diélectriques..... 1379
SIMONET (Marc). — Nouveaux dénombrements chromosomiques chez les Iris..... 1244
— Sur la méiose de quelques *Iris Pogocyclus*. IV. Hybrides entre *Pogo-*

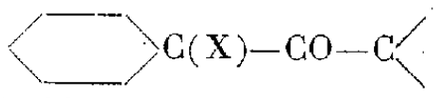
MM. Pages.

cyclus 2 *n* (2 *n* = 22) ou 4 *n*(*n*=22) et *Pogoniris grands* 4*n* (*n* = 24).. 1426
— Le prix Vaillant des sciences mathématiques lui est décerné..... 1580
— Adresse des remercîments..... 1589
SIMONNET (Henri). — Voir *Robillard* (*Eugène*) et *divers*..... 1557
SIRIEIX (Maurice), Paul GOLAZ et Pierre REBUFFET. — Résultats expérimentaux obtenus au voisinage de la vitesse du son sur une maquette d'aile à profil losangique..... 459
SIVADJIAN (Joseph). — Sur les modalités de la thermolyse par perspiration et par transpiration.... 1686
SLONIMSKI (Piotr P.). — Excrétion de porphyrines par la levure en anaérobiose..... 1064
SLONIMSKI (Piotr P.) et Herbert M. HIRSCH. — Nouvelles données sur la constitution enzymatique du mutant « petite colonie » de *Saccharomyces cerevisiæ*..... 741
— Rôle de l'oxygène dans le déterminisme de la constitution enzymatique de la levure..... 914
SOCIEDADE PORTUGUESA DE MATEMATICA. — Boletim, vol. I, 1947-1951 (imp.)..... 225
SOCIÉTÉ D'ENCOURAGEMENT POUR L'INDUSTRIE NATIONALE. — Le Cent-cinquantième anniversaire de la Société d'encouragement pour l'Industrie Nationale et les problèmes actuels de l'Économie française, 1801-1951 (imp.)..... 1358
— Une subvention Loutreuil lui est accordée pour sa Bibliothèque... 1582
— Son Président adresse des remercîments..... 1589
SOCIÉTÉ DES SCIENCES NATURELLES ET MATHÉMATIQUES DE CHERBOURG. — M. *Auguste Chevalier* est délégué au Centenaire de la fondation, les 25, 26 et 27 octobre 1952..... 529
SOCIÉTÉ MÉDICALE DE VALS. — Journées du Diabète. Vals-les-Bains, 14-18 septembre 1952. Rapports (imp.)..... 1358
— Le Diabète et les eaux de Vals (imp.)..... 1358
SOMMELET (Marcel). — Le prix Émile Jungfleisch lui est décerné 1576
SOSA (Antoine) et Robert DUPÉRON. — Sur quelques constituants des semences de *Raphanus sativus* L..... 82
SOSA (Antoine) et Mme Cécile SOSA-BOURDOUIL. — Étude de quelques constituants chimiques du pollen de *Corylus avellana* L..... 971
SOSA (Antoine) et Victor PLOUVIER. — Recherches sur quelques constituants des fleurs de *Forsythia*..... 1045
SOSA (Mme Antoine), née Cécile BOURDOUIL. — Voir *Sosa* (*Antoine*) et Mme *Cécile Sosa-Bourdouil*..... 971
SOUBIÈS (Louis). — Voir *Carles* (*Jules*) et *divers*..... 80, 1419
SOUÈGES (René). — Embryogénie des Boragacées. Développement de l'embryon chez le *Lithospermum officinale* L..... 217
— L'albumen et l'embryon chez le *Callitriche vernalis* Kuetz (*C. verna* L.)..... 453
— Embryogénie des Ombellifères. Développement de l'embryon chez l'*Astrantia major* L..... 674
SOULAIRAC (André). — Le prix Foulon d'anatomie et zoologie lui est décerné..... 1577
— Adresse des remercîments..... 1589
SOULÉ (Jean-Louis). — Voir *Le Bouffant* (*Léon*) et *Jean-Louis Soulé*..... 1207
SOUTIF (Michel). — Le prix Hughes lui est décerné..... 1575
SPENCELEY (George Wellington) Rheba Murray SPENCELEY et Eugene Rhodes EPPERSON. — Smithsonian logarithmic Tables to base e and base 10 (imp.)..... 1085
SPENCELEY (Rheba Murray). — Voir *Spenceley* (*George Wellington*) et *divers*..... 1085
STACHTCHENKO (Mme Stéphane), née Janine DELORT. — Voir *Delort-Stachtchenko* (Mme *Janine*).
STEIN (G.) et G. JUNKES. — La Specola Vaticana. Nel passato e nel presente (imp.)..... 7
STERNBERG (Joseph). — Voir *Robillard* (*Eugène*) et *divers*..... 1557
STOLZ (Jean). — Un prix Plumey lui est décerné..... 1575
— Adresse des remercîments..... 1589
STOYKO (Nicolas). — Sur le champ magnétique variable des étoiles.. 122
— Voir *Union astronomique internationale et association internationale de géodésie*..... 503
STRUMZA (Maurice V.). — Voir *Binet*

MM. Pages.
(*Léon*) et *divers*..... 219
STUMPER (Robert). — Sur les sécrétions odorantes de quelques fourmis..... 526
SUCHET (Mlle Marysette). — Voir *Dussart* (*Bernard*) et Mlle *Marysette Suchet*..... 806
SUHNER (François). — Voir *Mallemann* (*René de*) et *François Suhner*..... 643
SURVILLE (Bertrand de). — Sur la polymérisation de l'acide linoléique..... 724
SUTRA (Mlle Geneviève). — Sur les changements dans la conductibilité électrique des métaux lors de la fusion (II)..... 707
— Sur l'ion hydrogène en solution dans l'eau..... 957
SVERIGES GEOLOGISKA UNDERSÖKNING. — Ser. C, NR 500. Tavla 1 : Karta över Markreaktionen hos skånska Jordar, par *Olof Arrhenius* (imp.)..... 767

T

TAFFARA (Salvatore). — Voir *Chalonge* (*Daniel*) et *divers*..... 124
TAKAHASHI (Noboru). — Voir *Trillat* (*Jean-Jacques*) et *Noboru Takahashi*..... 1306
TALWAR (Gursaran Parshad), Jacques BASSET et Michel MACHEBŒUF. — Influence des très hautes pressions sur l'évolution des solutions de gélatine en présence de trypsine..... 393
TANRET (Pierre). — Voir *Binet* (*Léon*) et *divers*..... 1352
TAUZIN (Pierre). — La théorie de la photophorèse négative. Complément à deux Notes antérieures... 1119
— *Erratum*..... 1718
— Comparaison des énergies lumineuses présentes sur les deux faces, à l'intérieur d'une lame éclairée, sous l'incidence normale par un faisceau parallèle..... 1632
TAXI (Jacques). — Voir *Couteaux* (*René*) et *Jacques Taxi*..... 434
TAZIEFF (Haroun). — L'éruption du volcan Gituro (Kivu, Congo belge) de mars à juillet 1948 (imp.)..... 225
TCHELITCHEFF (Serge). — Voir *Paul* (*Raymond*) et *Serge Tchelitcheff*..... 1226
TCHERNIA (Paul). — Le prix Binoux de géographie lui est décerné.... 1575
TCHOUBAR (Mlle Bianca). — Sur le mécanisme de la déshalogénation argentique des cétones α-halogénées



énolisables et non énolisables.... 720
TEILHARD DE CHARDIN (Pierre). — Sur la nature et la signification des *Collenia* précambriennes..... 845
TEISSIÉ-SOLIER (Max) et Jean LAGASSE. — La détermination de l'inductance des fuites totales des machines à courant alternatif et la méthode de résonance..... 146
TEISSIER (Mlle Marianne). — Sur quelques propriétés des idéaux dans les demi-groupes..... 767
TEISSIER DU CROS (François). — Sur le lien entre les notions « champ réel autonome » et « cellules d'harmonicité »..... 600
TERMIER (Henri) et Mme Geneviève TERMIER. — Histoire géologique de la Biosphère. La vie et les sédiments dans les géographies successives (imp.)..... 1084
TERMIER (Mme Henri), née Geneviève DELPEY. — Voir *Termier* (*Henri*) et Mme *Geneviève Termier*..... 1084
TERRACOL (Jean). — Le prix Montyon de médecine et chirurgie lui est décerné..... 1578
— Adresse des remercîments..... 1589
TERRIEN (Jean). — Méthode pour comparer une longueur à bouts et une longueur à traits..... 1288
TERTIAN (Mme Robert), née Léa CHARAUDEAU. — Voir *Trillat* (*Jean-Jacques*) et Mme *Léa Tertian*..... 1123
TEXEREAU (Jean). — Voir *Dufay* (*Jean*) et *divers*..... 1284
TEYSSEYRE (Mlle Jacqueline). — Voir *Binet* (*Léon*) et *divers*..... 564

MM. Pages.

THALER (Mlle Odile). — Voir *Ulrich (Roger)* et Mlle *Odile Thaler*..... 1417

THENIUS (Erich). — Voir *Viret (Jean)* et *Erich Thenius*..... 1678

THÉODORESCO (Mlle Marie). — Sur l'application de quelques méthodes spectrographiques..... 472

— *Erratum*..... 842

THIEBOLD (Jean-Jacques). — Action du propionate de testostérone sur la différenciation sexuelle des embryons de *Scylliorhinus canicula* C..... 1551

THIÉRY (J.-Pierre). — Voir *Thomas (J.-André)* et *divers*..... 520

THIRY (Yves). — Sur une généralisation du problème de Schwarzschild à une théorie unitaire..... 1480

THOMAS (J.-André). — Demande l'ouverture d'un pli cacheté contenant une Note : « Procédé général de culture des virus, en très grande abondance, chez l'animal »..... 502

— Publication de ce pli..... 518

THOMAS (J.-André) et Mlle Annette BLANC [Mme Annette ALFSEN-BLANC]. — Le rôle de facteurs enzymatiques extraits du poumon ou du cœur sur l'oxygénation de l'hémoglobine..... 318

— L'enzyme catalysant l'oxygénation de l'hémoglobine..... 1537

THOMAS (J.-André), J.-Pierre THIÉRY, Louis SALOMON et Mme Léone SALOMON. — La culture du virus de la fièvre aphteuse en très grande quantité sur embryome spécifique géant, chez la Vache..... 520

TIAN (Albert). — Un prix Paul Marguerite de La Charlonie de chimie et une médaille Berthelot lui sont décernés..... 1576

— Adresse des remercîments..... 1589

TINELLI (Mlle Régina). — Modifications biochimiques accompagnant la sporulation de *Bacillus megatherium*..... 836

TIROUFLET (Jean). — Cinétique de la lactonisation des acides orthométhylolbenzoïques substitués... 962

TISELIUS (Arne). — Assiste à une séance..... 277

TONELLI (Leonida). — Voir *Université de Pise*..... 282

TORDEUX (Mlle Jacqueline). — Voir *Beaujard (Louis)* et Mlle *Jacqueline Tordeux*..... 1304

TORLAIS (Jean). — L'Abbé Nollet, biologiste et électrothérapeute au XVIIe (imp.)..... 282

TOROMANOFF (Edmond). — Voir *Dufraisse (Charles)* et *divers*. 759, 920, 1717

TOROSSIAN (Robert). — Réduction des sels d'alcoylquinoléiniums et isoquinoléiniums..... 1312

TORTOSA (Jean). — Voir *Perrot (Marcel)* et *Jean Tortosa*..... 143

TOUMANOFF (Constantin) et Constantin VAGO. — L'effet de l'alcalinité du milieu de culture sur la virulence de *Bacillus cereus* var. *alesti* Toum. et Vago pour les Vers à soie..... 1715

TRAVERS (Morris W.). — William Ramsay and University College London, 1852-1952 (imp.)..... 1180

TRAVERS (Serge). — État actuel et valeur de la théorie hydro-thermodynamique des explosions et des chocs. Ire et 2e parties. (Thèse) (imp.)..... 646

— Limitation des gradients et de leur dérivée logarithmique dans les ondes de choc, par les formules de Chapman..... 1099

TREILLE (Pierre). — Voir *Chanson (Paul)* et *divers*..... 1500

TRILLAT (Jean-Jacques) et Mme Léa TERTIAN. — Étude de minerais radioactifs par radiographie électronique par réflexion et autoradiographie combinées..... 1123

TRILLAT (Jean-Jacques) et Noboru TAKAHASHI. — Étude par diffraction électronique des alliages aluminium-cuivre, obtenus par évaporation thermique dans le vide..... 1306

TROMBE (Félix). — Sur la réalisation d'un four solaire semi-industriel au Laboratoire de Montlouis (Pyrénées-Orientales)..... 704

— Sur quelques détails de montage du four solaire semi-industriel de Montlouis..... 1211

TROMBE (Félix) et Marc FOËX. — Étude dilatométrique du gadolinium métallique..... 42

— Id. du dysprosium métallique..... 163

— Fours centrifuges à accumulation d'énergie solaire..... 571

TRUESDELL (Clifford). — Longueur critique pour la propagation des ondes libres dans un fluide visqueux..... 702

MM. Pages.

TSAI-CHÜ. — Voir *Morand* (*Max*) et *Tsai-Chü*..... 1502

TSATSAS (Georges). — Sur quelques nouvelles thiosemicarbazones.... 175

TUCHMANN-DUPLESSIS (Herbert), Maurice MAYER, Jean QUELET et André SAHY. — Sur la présence d'une substance corticostimulante du placenta humain.. 209

MM. Pages.

TUZET (Mlle Odette) et M. Max PAVANS DE CECCATTY. — Les cellules nerveuses de *Grantia compressa pennigera Haeckel* (Éponge calcaire Hétérocœle).... 1541

TYSKIEWICZ (Mlle Edwige). — Voir *Barbier* (*Georges*) et Mlle *Edwige Tyskiewicz*..... 1246

U

ULRICH (Roger) et Mlle Odile THALER. — Mesure du gaz carbonique total des tissus des fruits. Application à un cas particulier.. 1417

UNION ASTRONOMIQUE INTERNATIONALE. — Congresso mondiale di Astronomia. VIII. Assemblea generale dell'Unione Astronomica Internazionale. Programma preliminare (Rome, 4-13 septembre 1952) (imp.)..... 7

— M. *André Danjon* rend compte de la huitième Assemblée générale de cette Union..... 673

UNION ASTRONOMIQUE INTERNATIONALE ET ASSOCIATION INTERNATIONALE DE GÉODÉSIE. — La deuxième opération internationale des Longitudes, octobre-novembre 1933. Résultats, conclusions, vitesse apparente de propagation des ondes radioélectriques, par *Nicolas Stoyko* et Mme *P. Dubois* (imp.)... 503

UNION GÉODÉSIQUE ET GÉOPHYSIQUE INTERNATIONALE. — Association de météorologie. Réunion de Bruxelles, août 1951. Rapports nationaux (imp.). 1085

UNION INTERNATIONALE DE CHIMIE PURE ET APPLIQUÉE. — Voir *Congrès international de chimie pure et appliquée*..... 225

UNION INTERNATIONALE POUR LA PROTECTION DE LA NATURE. — M. *François de Maublanc* est adjoint à la délégation de la France à la troisième Assemblée générale de cette Union, à Caracas, du 3 au 9 septembre 1952...., 216

— M. *Roger Heim* rend compte de cette Assemblée..... 755

UNION RADIOSCIENTIFIQUE INTERNATIONALE. — Rapport spécial nº 1. Bruits radioélectriques solaires et galactiques (imp.)..... 593

— M. *A. Chevalier* informe l'Académie de l'élection de M. *Pierre Lejay*, à la Présidence de cette Union..... 753

— M. *Pierre Lejay* rend compte de la dixième Assemblée générale de cette Union, à Sydney, du 11 au 23 août 1952..... 753

UNIVERSIDAD DEL ZULIA. — Aportacion de la Universidad del Zulia al primer Congreso Venezolano de Cirugia (imp.)..... 593

UNIVERSITÉ DE GLASGOW. — Fortuna Domus. A series of lectures delivered in the University of Glasgow in commemoration of the fifth Centenary of its foundation (imp.)..... .. 114

— The book of the fifth Centenary (imp.)..... 646

UNIVERSITÉ DE PISE. — Leonida Tonelli. In memoriam (imp.).... 282

UNIVERSITÉ DE PITTSBURGH. — The Allegheny Observatory of the University of Pittsburgh (imp.).. 408

UNIVERSITÉ NATIONALE DE COLOMBIE. — Revista de matematicas elementales, vol. 1, fasc. 1 (imp.)..... 1267

UNIVERSITÉ WASEDA. — L'Académie est invitée aux cérémonies du soixante-dixième anniversaire de cette Université, à Tokyo, en octobre 1952..... 566

V

MM. Pages.

VACHON (Maxime). — Le prix Savigny lui est décerné..... 1577
— Adresse des remercîments..... 1589
VAGO (Constantin). — Voir *Toumanoff* (*Constantin*) et *Constantin Vago*.. 1715
VAILLAUD (Michel). — Le prix Laplace et Lamb et un prix L.-E. Rivot et Lamb lui sont décernés.. 1581
— Adresse des remercîments..... 1589
VAISMAN (Aron). — Voir *Levaditi* (*Constantin*) et *divers*..... 450, 1562
VALADARES (Manuel). — Voir *Rosenblum* (*Salomon*) et *divers*. 238, 711
VALATIN (Jean-G.). — Sur l'état supraconducteur..... 132
VALDIGUIE (Paul). — Voir *Douste-Blazy* (*Louis*) et *divers*..... 1643
VALENSI (Jacques). — Le prix Montyon de mécanique lui est décerné. 1574
— Adresse des remercîments..... 1589
VALENSI (Jacques), Henri PARIGI et Jean REBONT. — Détermination en soufflerie des dérivées aérodynamiques (stabilité latérale)..... 865
VALENSI (Jacques) et Mlle Claire CLARION. — Oscillations amorties d'une sphère dans un fluide visqueux..... 1097
VALLOIS (Henri-V.). — Une subvention Loutreuil lui est accordée. 1582
— Adresse des remercîments..... 1589
VANDEL (Albert). — La répartition du complexe trichoniscoïde (Isopodes terrestres) et les théories géologiques..... 997
VAN DEN DUNGEN (Frans H.). — Sur un variant intégral associé à l'équation des ondes..... 532
— Variants intégraux associés aux équations hyperboliques linéaires.... 1106
VAN DER BIJL (Willem). — Insuffisance d'une preuve statistique de l'influence de la Lune sur les précipitations atmosphériques... 22
VAN HEEMS (Jacques). — Voir *Delwaulle* (Mlle *Marie-Louise*) et M. *Jacques Van Heems*..... 161
VAN MEEL (L.). — Voir *Institut des Parcs nationaux du Congo belge*.. 767
VAN RHIJN (P. J.). — Durchmusterung of selected areas of the special plan. Vol. I et II (imp.)..... 646

MM. Pages.

VAN ROSSUM (Lud). — Voir *Morand* (*Max*) et *divers*..... 1639
VAN'T HOFF (Jacobus Henricus). — Voir *Gesellschaft Deutscher Chemiker*..... 593
VARGUES (Robert). — Démonstration chimique de l'action anti-inflammatoire de la cortisone : inhibition de la production de l'Euglobuline I_1 de Sandor..... 838
VASSAMILLET (Lawrence). — Voir *Lambot* (*Honoré*) et *Lawrence Vassamillet*..... 1136, 1232
VASSY (Étienne). — Voir *Vassy* (Mme *Arlette*) et M. *Étienne Vassy*. 1240
VASSY (Mme Étienne), née Arlette TOURNAIRE. — Voir *Khaleq* (*Abdul*) et Mme *Arlette Vassy*.... 737
VASSY (Mme Arlette) et M. Étienne VASSY. — Interprétation d'un type particulier d'écho de radar.. 1240
VATAN (André). — Un prix Lucien Cayeux lui est décerné..... 1576
— Adresse des remercîments..... 1589
VAUMAS (Étienne de). — Sur la morphométrie du massif galiléen. 1146
— Id. du massif palestinien..... 1410
VAUTIER (Roger). — Magnétostriction des ferrites de cobalt en fonction de la composition..... 356
— Variation thermique de la magnétostriction d'un ferrite de cobalt... 417
VAZART (Bernard). — Étude de la fécondation chez quelques Graminées de type nucléaire euréticulé ou réticulé..... 76
VAZART (Mme Bernard), née Jacqueline DILLY. — Différenciation et structure des anthérozoïdes de certains Ptéridophytes. 78
— Structure de l'archégone et déroulement de la fécondation chez quelques Polypodiacées..... 316
VELU (Henri) et Mlle Marcelle PEYRÉ. — Le pH du sérum : ses variations et leur influence sur le titrage des antibiotiques..... 1559
VENDRELY (Roger) et Mme Colette VENDRELY. — Sur la teneur comparée en arginine et en acide désoxyribonucléique des noyaux d'érythrocytes de quelques espèces de Poissons..... 395

MM. Pages.
— Sur la teneur individuelle en arginine des spermatozoïdes, comparée à la teneur individuelle en arginine des noyaux d'érythrocytes chez quelques espèces de Poissons. 444
VENDRELY (Mme Roger), née Colette RANDAVEL. — Voir *Vendrely* (*Roger*) et Mme *Colette Vendrely*..... 395, 444
VENET (Mlle Anne-Marie). — Voir *Abribat* (*Marcel*) et *divers*..... 157
VERHEYEN (René). — Voir *Institut des Parcs Nationaux du Congo belge* 767
VERMEIL (Mme Guy), née Catherine LÉVI. — Voir *Cottin* (*Maurice*) et *divers*..... 542
VERNE (Jean). — Un prix Roy-Vaucouloux lui est décerné..... 1578
— Pose sa candidature à la place vacante, dans la Section d'Anatomie et Zoologie, par la mort de M. *Charles Pérez*..... 1588
VERNOTTE (Pierre). — A propos de la détermination précise de l'accélération due à la pesanteur : rôle complexe de la viscosité des gaz.. 1110
— La sommation des séries asymptotiques de seconde espèce..... 1469
VÉRON (Marcel). — Une subvention Loutreuil lui est accordée..... 1582
VESSIOT (Ernest). — M. *Albert Caquot* annonce sa mort..... 845
— Notice nécrologique, par M. *Albert Caquot*..... 917
VIALLE (J.). — Voir *Niggli* (*Paul*)... 114
VIANNA E SILVA (Manuel). — Bibliografia orizicola Portuguesa 1800-1950 (imp.)..... 1267
VIAUT (André). — Voir *Jalu* (*Raymond*) et *André Viaut*..... 968
VIDAL (Georges) et Pierre LESCOP. — Vitesse du son et densité des états de décomposition au chauffage de la martensite des aciers... 1221
VIGIER (Jean-Pierre). — Sur la relation entre l'onde à singularité et l'onde statistique en théorie unitaire relativiste..... 869,
— Forces s'exerçant sur les lignes de courant usuelles des particules de spin 0,1/2 et 1 en théorie de l'onde-pilote..... 1107
— Mécanique ondulatoire dans l'espace de configuration..... 1372
VIGOUROUX (Robert). — Voir *Morin* (*Georges*) et *divers*..... 1561
VIGROUX (Ernest). — Absorption de l'ozone dans le spectre visible.... 149
VILKAS (Michel). — Les constituants triterpéniques de la résine d'*Andryala canariensis* : taraxastérol et hétérolupéol..... 179
VINCENT (Hyacinthe). — M. *Georges Guillain* dépose une Notice sur sa vie et son œuvre..... 857
VINCI (Leonard de). — Voir *Palais de la Découverte*..... 1464
VINDARD (Mlle Georgette), MM. Philippe DASTE et Robert LONGCHAMP. — Action comparée du 2-méthyl 4-chlorophénoxyacétate de sodium (M. C. P. A.) sur le développement de l'*Azotobacter* dans divers sols..... 1048
VINELLI (Baptista). — Assiste à une séance..... 753
VIOLA (Tullio). — Domaines réguliers et domaines normaux..... 10
VIOLLE (Henri). — Augmentation de la coagulabilité du sang sous l'action *in vivo* du lysozyme..... 1170
VIRET (Jean) et Erich THENIUS. — Sur la présence d'une nouvelle espèce d'Hyracoïde dans le Pliocène de Montpellier..... 1678
VIVIEN (Jean). — Sur l'existence de caractères sexuels secondaires ♀ et sur le déterminisme de leur différenciation chez *Xiphophorus helleri* H. O..... 1697
VLASOV (K. A.). — Assiste à une séance..... 845
VODAR (Boris). — Voir *Bergeon* (*René*) et *divers*..... 360
— Voir *Feldman* (*Charles*) et *Boris Vodar*..... 414
VOLET (Charles). — Mesure de l'accélération due à la pesanteur, au Pavillon de Breteuil..... 442
VOLMAR (Yves), Jean-Pierre EBEL et Fawzi Bassili YACOUB. — Chromatographie sur papier des oxyacides du phosphore et de l'arsenic..... 372
VOY (André). — Le développement embryonnaire, larvaire et la croissance pondérale du Phasme (*Clonopsis gallica* Charp.)..... 1338
VROELANT (Claude). — Calcul approché en orbitales moléculaires des grandeurs associées aux hydrocarbures polyéthyléniques conjugués ou aromatiques..... 958

W

MM. Pages.

WAHL (Henri) et Mlle Marie-Thérèse LEBRIS. — Sur les colorants disazoïques dérivés des sels de diméthyl-1.2 benzothiazolium.... 1405

WAKSMAN (Selman A.). — Adresse quelques fascicules relatifs à ses travaux sur les antibiotiques.... 593

— Id. un Ouvrage : « Lipman Hall. Being an Account of the Proceedings at the Dedication on June 12th, 1951, of a Building Named in Honor of Jacob Goodale Lipman », dans lequel il a écrit un article : « Fifty Years of Soil Microbiology at Rutgers »..... 1084

WALKER (Christopher B.), Jean BLIN et André GUINIER. — Mise en évidence des hétérogénéités d'une solution solide en équilibre. 254

WALLDEN (Lennart). — Defecation block in cases of deep rectogenital pouch (Uppsala, Thèse) (imp.)... 593

WARNECKE (Robert). — Voir *Guénard* (*Pierre*) et *divers*..... 32, 236

WARNECKE (Robert), Harry HUBER, Pierre GUÉNARD et Oskar DOEHLER. — Amplification par ondes de charge d'espace dans un faisceau électronique se déplaçant dans des champs électrique et magnétique croisés..... 470

— *Erratum*..... 751

— Oscillations d'un magnétron sans fente liées à l'amplification par ondes de charge d'espace..... 493

WARNECKE (Robert) et Pierre GUÉNARD. — Un prix d'Aumale leur est décerné..... 1580

— M. *Robert Warnecke* adresse des remercîments..... 1589

WEILL (Georges). — Voir *Simon* (*Jean-Claude*) et *Georges Weill*... 1379

WEILL (Mme Robert), née Adrienne BRUNSCHVICG. — Observation de figures de croissance en spirale sur des cristaux de quartz naturel et d'alumine fondue..... 256

WEILL-RAYNAL (Jean). — Voir *Étienne* (*André*) et *Jean Weill-Raynal*..... 301

WELVART (Zoltan). — Voir *Elphimoff-Felkin* (Mme *Irène*) et *divers*. 1510

WENIGER (Charles) et Louis HERMAN. — Effet du champ électrique sur le contour des raies HI ($2^2P^0 - n^2D$) émises dans une recombinaison radiative..... 1020

WESLEY (Mme Rajko), née Inès TANASKOVIC et M. Georges SANDOR. — Influence du blocage du système réticulo-endothélial sur la fiche réticulo-endothéliale..... 1159

WEST (David). — Voir *Chanson* (*Paul*) et *divers*..... 1500

WIEMANN (Joseph) et Mlle LE THI THUAN. — Polymérisation des dérivés polyéthyléniques provenant de la réduction de l'oxyde de mésityle..... 623

WILLI (Pierre-Henri). — L'élimination des animaux tuberculeux et la lutte contre la tuberculose bovine sous le régime des arrêtés du Conseil fédéral. (Thèse) (imp.)... 1588

WINOGRADZKI (Mme Anatole), née Judith WITTENBERG. — Sur la forme spinorielle des densités de valeur moyenne des grandeurs physiques attachées aux particules de spin 1/2..... 463

— Sur huit familles d'opérateurs associés aux observables des particules de spin 1/2..... 505

— Sur les relations entre les densités de valeur moyenne des grandeurs physiques attachées aux particules de spin 1/2..... 533

WINTERNITZ (François). — Voir *Mousseron* (*Max*) et *divers*.. 373, 660

WIŚNIEWSKI (Félix Joachim). — Une remarque relative aux niveaux énergétiques des noyaux légers..... 364

WITTE (Gaston-François de). — Voir *Institut des Parcs nationaux du Congo belge*..... 767

WUCHER (Jules). — Voir *Perakis* (*Nicolas*) et *Jules Wucher*. 354, 419

X

MM. Pages.
XUONG (Nguyen Dat). — Voir *Hoï (N. P. Buu)* et *divers*..... 329

MM. Pages.
— Voir *Lacassagne (Antoine)* et *divers*.. 589

Y

YACOUB (Fawzi Bassili). — Voir *Volmar (Yves)* et *divers*..... 372
YOKOHAMA NATIONAL UNIVERSITY. — Science Reports. Section II. Biological and geological sciences, n° 1 (imp.)..... 1180
YUASA (Mlle Tosiko). — Sur le rapport d'embranchement K/β^+ de ^{65}Zn. 366
YVERNAULT (Théophile). — Hydrolyse de l'anhydride acétique dans l'acide acétique, en présence d'acide chlorhydrique..... 167

Z

ZAGDOUN (Robert). — Voir *Mousseron (Max)* et *divers*..... 177
ZAJDELA (François). — Voir *Lacassagne (Antoine)* et *divers*..... 589
ZAMANSKY (Marc). — Sur la sommation des séries divergentes..... 1094
ZANDMAN (Félix). — Étude photoélastique de la rupture..... 1472
ZWINGELSTEIN (Georges). — Voir *Meunier (Paul)* et *divers*..... 1161

GAUTHIER-VILLARS,
ÉDITEUR-IMPRIMEUR-LIBRAIRE DES COMPTES RENDUS DES SÉANCES DE L'ACADÉMIE DES SCIENCES
Paris. — Quai des Grands-Augustins, 55.

143629-54.